COMPUESTOS DE PICOLINAMIDA

CON ACTIVIDAD FUNGICIDA

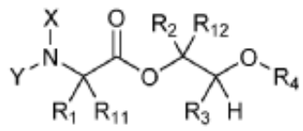
REFERENCIA CRUZADA A SOLICITUDES RELACIONADAS

Esta solicitud reclama el beneficio de las Solicitudes Provisionales de Patente de los Estados Unidos de Norteamérica con Números de Serie 62/098089 presentada el 30 de diciembre de 2014, 62/098097 presentada el 30 de diciembre de 2014, 62/255144 presentada el 13 de noviembre de 2015, 62/255152 presentada el 13 de noviembre de 2015, 62/255163 presentada el 13 de noviembre de 2015, 62/255168 presentada el 13 de noviembre de 2015, 62/255125 presentada el 13 de noviembre de 2015 y 62/255131 presentada el 13 de noviembre de 2015, las cuales se incorporan expresamente como referencia a la presente.

ANTECEDENTES Y BREVE DESCRIPCIÓN DE LA INVENCIÓN

La presente descripción se refiere a picolinamidas y a su uso como fungicidas. Los compuestos de la presente descripción pueden ofrecer protección contra ascomicetos, basidiomicetos, deuteromicetos y oomicetos.

Una modalidad de la presente descripción puede incluir a los compuestos de la fórmula I:



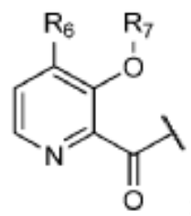
I

en donde:

X es hidrógeno o $C(O)R_5$;

Y es hidrógeno, $C(O)R_5$ o Q;

Q es:



;

R_1 y R_{11} se seleccionan independientemente a partir de hidrógeno o alquilo opcionalmente sustituido con 0, 1 o múltiples R_8; de una manera alternativa, R_1 y R_{11} se pueden tomar juntos para formar un carbociclo o heterociclo saturado o parcialmente saturado de 3 a 6 miembros, opcionalmente sustituido con 0, 1 o múltiples R_8;

R_2 y R_{12} se seleccionan independientemente a partir de hidrógeno, alquilo, arilo, o alquenilo, cada uno opcionalmente sustituido con 0, 1 o múltiples R_8;

R_3 se selecciona a partir de hidrógeno, alquilo de 2 a 6 átomos de carbono, arilo, o alquenilo, cada uno opcionalmente sustituido con 0, 1 o múltiples R_8;

R_4 se selecciona a partir de alquilo, arilo, o acilo, cada uno opcionalmente sustituido con 0, 1 o múltiples R_8;

R_5 se selecciona a partir de alcoxilo o benciloxilo, cada uno opcionalmente sustituido con 0, 1 o múltiples R_8;

R_6 se selecciona a partir de hidrógeno, alcoxilo, o halógeno, cada uno opcionalmente sustituido con 0, 1 o múltiples R_8;

R_7 se selecciona a partir de hidrógeno, $–C(O)R_9$, o $–CH_2OC(O)R_9$;

R_8 se selecciona a partir de hidrógeno, alquilo, arilo, acilo, halógeno, alquenilo, alcoxilo o heterociclilo, cada uno opcionalmente sustituido con 0, 1 o múltiples $R_{10;}$

R_9 se selecciona a partir de alquilo, alcoxilo, o arilo, cada uno opcionalmente sustituido con 0, 1 o múltiples R_8;

R_{10} se selecciona a partir de hidrógeno, alquilo, arilo, acilo, halógeno, alquenilo, alcoxilo o heterociclilo.

Otra modalidad de la presente descripción puede incluir una composición fungicida para el control o la prevención de un ataque fúngico, la cual comprende los compuestos descritos anteriormente y un material portador fitológicamente aceptable.

Todavía otra modalidad de la presente descripción puede incluir un método para el control o la prevención de un ataque fúngico en una planta, en donde el método incluye los pasos de aplicar una cantidad fungicidamente efectiva de uno o más de los compuestos descritos anteriormente a cuando menos uno del hongo, la planta y un área adyacente a la planta.

Será entendido por los expertos en la materia que los siguientes términos pueden

incluir los grupos "R" genéricos dentro de sus definiciones, por ejemplo, "el término alcoxilo se refiere a un sustituyente –OR". También se entiende que dentro de las definiciones para los siguientes términos, estos grupos "R" se incluyen para propósitos de ilustración y no deben interpretarse como limitantes o limitados por las sustituciones alrededor de la fórmula I.

El término "alquilo" se refiere a una cadena de carbono ramificada, no ramificada o cíclica saturada, incluyendo, pero no limitándose a, metilo, etilo, propilo, butilo, isopropilo, isobutilo, butilo terciario, pentilo, hexilo, ciclopropilo, ciclobutilo, ciclopentilo, ciclohexilo, y similares.

El término "alquenilo" se refiere a una cadena de carbono ramificada, no ramificada o cíclica que contiene uno o más dobles enlaces, incluyendo, pero no limitándose a, etenilo, propenilo, butenilo, isopropenilo, isobutenilo, ciclobutenilo, ciclopentenilo, ciclohexenilo, y similares.

El término "alquinilo" se refiere a una cadena de carbono ramificada o no ramificada que contiene uno o más triples enlaces, incluyendo, pero no limitándose a, propinilo, butinilo, y similares.

Los términos "arilo" y “Ar” se refieren a cualquier anillo aromático, mono- o bi-cíclico, que contiene 0 heteroátomos.

El término "heterociclilo" se refiere a cualquier anillo aromático o no aromático, mono- o bi-cíclico, que contiene uno o más heteroátomos.

El término "alcoxilo" se refiere a un sustituyente –OR.

El término "aciloxilo" se refiere a un sustituyente –OC (O)R.

El término "ciano" se refiere a un sustituyente –C≡N.

El término "hidroxilo" se refiere a un sustituyente –OH.

El término "amino" se refiere a un sustituyente $–N(R)_2$.

El término "aril-alcoxilo" se refiere a $–O(CH_2)_nAr$, en donde n es un entero seleccionado a partir de la lista 1, 2, 3, 4, 5 o 6.

El término "halo-alcoxilo" se refiere a un sustituyente –OR–X, en donde X es Cl, F, Br o I, o cualquier combinación de los mismos.

El término "halo-alquilo" se refiere a un alquilo que está sustituido con Cl, F, I o Br,

o cualquier combinación de los mismos.

El término "halógeno" o "halo" se refiere a uno o más átomos de halógeno, definidos como F, Cl, Br e I.

El término "nitro" se refiere a un sustituyente $–NO_2$.

El término tioalquilo se refiere a un sustituyente –SR.

A través de toda la divulgación, se entiende que la referencia a los compuestos de la fórmula I también incluye a todos los estereoisómeros, por ejemplo, diaestereómeros, enantiómeros, y mezclas de los mismos. En otra modalidad, se entiende que la fórmula (I) también incluye a las sales o hidratos de la misma. Las sales de ejemplo incluyen, pero no se limitan a: clorhidrato, bromhidrato, yodhidrato, trifluoro-acetato, y trifluoro-metan-sulfonato.

También es entendido por los expertos en la materia que es permisible la sustitución adicional, a menos que se observe de otra manera, siempre que se satisfagan las reglas del enlace químico y la energía de la cepa, y el producto todavía exhiba actividad fungicida.

Otra modalidad de la presente descripción es el uso de un compuesto de la fórmula I, para la protección de una planta contra el ataque por parte de un organismo fitopatogénico, o para el tratamiento de una planta infestada por un organismo fitopatogénico, el cual comprende la aplicación de un compuesto de la fórmula I, o de una composición que comprenda el compuesto a la tierra, a una planta, a una parte de una planta, al follaje, y/o a las raíces.

Adicionalmente, otra modalidad de la presente descripción es una composición útil para proteger a una planta contra el ataque por parte de un organismo fitopatogénico y/o para el tratamiento de una planta infestada por un organismo fitopatogénico, la cual comprende un compuesto de la fórmula I y un material portador fitológicamente aceptable.

DESCRIPCIÓN DETALLADA DE LA INVENCIÓN

Los compuestos de la presente descripción se pueden aplicar mediante cualquiera de una variedad de técnicas conocidas, ya sea como los compuestos o como formulaciones que comprendan los compuestos. Por ejemplo, los compuestos se pueden aplicar a las raíces o al follaje de las plantas para el control de diversos hongos, sin dañar

el valor comercial de las plantas. Los materiales se pueden aplicar en la forma de cualquiera de los tipos de formulaciones generalmente utilizados, por ejemplo, como soluciones, polvos secos, polvos humectables, concentrados fluibles, o concentrados emulsionables.

De preferencia, los compuestos de la presente descripción se aplican en la forma de una formulación, la cual comprende uno o más de los compuestos de la fórmula I con un vehículo fitológicamente aceptable. Las formulaciones concentradas se pueden dispersar en agua o en otros líquidos para su aplicación, o las formulaciones pueden ser de tipo polvo o granulares, las cuales entonces se pueden aplicar sin tratamiento adicional. Las formulaciones se pueden preparar de acuerdo con los procedimientos que son convencionales en el ámbito químico agrícola.

La presente descripción contempla todos los vehículos mediante los cuales se puedan formular uno o más de los compuestos para el suministro y uso como un fungicida. Típicamente, las formulaciones se aplican como suspensiones o emulsiones acuosas. Estas suspensiones o emulsiones se pueden producir a partir de formulaciones solubles en agua, suspendibles en agua, o emulsionables, las cuales son sólidas, usualmente conocidas como polvos humectables; o líquidas, usualmente conocidas como concentrados emulsionables, suspensiones acuosas, o concentrados en suspensión. Como se apreciará fácilmente, se puede utilizar cualquier material al cual se puedan agregar estos compuestos, en el entendido de que proporcione la utilidad deseada sin una interferencia significativa con la actividad de estos compuestos como agentes antifúngicos.

Los polvos humectables, los cuales se pueden compactar para formar gránulos dispersables en agua, comprenden una mezcla íntima de uno o más de los compuestos de la fórmula I, un vehículo inerte y tensoactivos. La concentración del compuesto en el polvo humectable puede ser de aproximadamente el 10 por ciento a aproximadamente el 90 por ciento en peso, basándose en el peso total del polvo humectable, más preferiblemente de aproximadamente el 25 por ciento en peso a aproximadamente el 75 por ciento en peso. En la preparación de las formulaciones de polvo humectable, los compuestos se pueden mezclar con cualquier sólido finamente dividido, tal como profilita,

talco, tiza, yeso, tierra de Fuller, bentonita, atapulgita, almidón, caseína, gluten, arcillas de montmorilonita, tierras diatomáceas, silicatos purificados o similares. En estas operaciones, el vehículo finamente dividido y los tensoactivos típicamente se mezclan con los compuestos, y se muelen.

Los concentrados emulsionables de los compuestos de la fórmula I pueden comprender una concentración conveniente, tal como de aproximadamente el 1 por ciento en peso a aproximadamente el 50 por ciento en peso del compuesto, en un líquido adecuado, basándose en el peso total del concentrado. Los compuestos se pueden disolver en un vehículo inerte, el cual es cualquiera de un solvente miscible con agua, o una mezcla de solventes orgánicos inmiscibles con agua, y emulsionantes. Los concentrados se pueden diluir con agua y aceite para formar mezclas para aspersión en la forma de emulsiones de aceite en agua. Los solventes orgánicos útiles incluyen los solventes aromáticos, en especial las porciones de petróleo naftalénicas y olefínicas de alto punto de ebullición, tales como nafta aromática pesada. También se pueden utilizar otros solventes orgánicos, por ejemplo, solventes terpénicos, incluyendo derivados de rosina, cetonas alifáticas, tales como ciclohexanona, y alcoholes complejos, tales como 2-etoxi-etanol.

Los emulsionantes que se pueden emplear convenientemente en la presente, pueden ser fácilmente determinados por los expertos en la materia e incluyen diversos emulsionantes no iónicos, aniónicos, catiónicos y anfotéricos, o una mezcla de dos o más emulsionantes. Los ejemplos de los emulsionantes no iónicos útiles en la preparación de los concentrados emulsionables incluyen los éteres de polialquilen-glicol y los productos de la condensación de alquil- y aril-fenoles, alcoholes alifáticos, aminas alifáticas o ácidos grasos con óxido de etileno, óxidos de propileno, tales como los alquil-fenoles etoxilados y ésteres carboxílicos solubilizados con el poliol o polioxi-alquileno. Los emulsionantes catiónicos incluyen compuestos de amonio cuaternario y sales de amina grasas. Los emulsionantes aniónicos incluyen las sales solubles en aceite (por ejemplo, calcio) de ácidos alquil-aril-sulfónicos, las sales solubles en aceite de poliglicol-éteres sulfatados, y las sales apropiadas de poliglicol-éter fosfatado.

Los líquidos orgánicos representativos que se pueden emplear en la preparación

de los concentrados emulsionables de los compuestos de la presente descripción son los líquidos aromáticos, tales como xileno, fracciones de propil-benceno; o fracciones de naftaleno mixtas, aceites minerales, líquidos orgánicos aromáticos sustituidos, tales como ftalato de dioctilo; queroseno; dialquil-amidas de diversos ácidos grasos, en particular las dimetil-amidas de glicoles grasos y derivados de glicol, tales como el n-butil-éter, etil-éter o metil-éter de dietilenglicol, el metil-éter de trietilenglicol, fracciones de petróleo o hidrocarburos, tales como un aceite mineral, solventes aromáticos, aceites parafínicos, y similares; aceites vegetales, tales como aceite de semilla de soya, aceite de semilla de colza, aceite de oliva, aceite de ricino, aceite de semilla de girasol, aceite de coco, aceite de maíz, aceite de semilla de algodón, aceite de linaza, aceite de palma, aceite de cacahuate, aceite de cártamo, aceite de ajonjolí, aceite de tung y similares; ésteres de los aceites vegetales anteriores; y similares. También se pueden emplear mezclas de dos o más líquidos orgánicos en la preparación del concentrado emulsionable. Los líquidos orgánicos incluyen xileno, y las fracciones de propil-benceno, en donde el xileno es más preferido en algunos casos. En las formulaciones líquidas típicamente se emplean agentes dispersantes de actividad superficial y en una cantidad del 0.1 al 20 por ciento en peso, basándose en el peso combinado del agente dispersante con uno o más de los compuestos. Las formulaciones también pueden contener otros aditivos compatibles, por ejemplo, reguladores del crecimiento de las plantas y otros compuestos biológicamente activos utilizados en agricultura.

Las suspensiones acuosas comprenden suspensiones de uno o más compuestos insolubles en agua de la fórmula I, dispersados en un vehículo acuoso en una concentración en el intervalo de aproximadamente el 1 a aproximadamente el 50 por ciento en peso, basándose en el peso total de la suspensión acuosa. Las suspensiones se preparan moliendo finamente uno o más de los compuestos, y mezclando vigorosamente el material molido en un vehículo comprendido de agua y tensoactivos seleccionados a partir de los mismos tipos discutidos anteriormente. También se pueden agregar otros componentes, tales como sales inorgánicas y gomas sintéticas o naturales, para aumentar la densidad y viscosidad del vehículo acuoso.

Los compuestos de la fórmula I también se pueden aplicar como formulaciones

granulares, que son particularmente útiles para las aplicaciones a la tierra. Las formulaciones granulares contienen en general de aproximadamente el 0.5 a aproximadamente el 10 por ciento en peso, basándose en el peso total de la formulación granular de los compuestos, dispersados en un vehículo inerte que consiste enteramente o en gran parte en un material inerte gruesamente dividido, tal como atapulgita, bentonita, diatomita, arcilla o una sustancia económica similar. Estas formulaciones usualmente se preparan mediante la disolución de los compuestos en un solvente adecuado y su aplicación a un vehículo granular, el cual se ha preformado hasta el tamaño de partículas apropiado, en el intervalo de aproximadamente 0.5 a aproximadamente 3 milímetros. Un solvente adecuado es un solvente en donde el compuesto es sustancialmente o completamente soluble. Estas formulaciones también se pueden preparar haciendo una masa o pasta del vehículo y el compuesto y solvente, y triturando y secando para obtener la partícula granular deseada.

Los polvos que contienen los compuestos de la fórmula I se pueden preparar mediante la mezcla íntima de uno o más de los compuestos en forma de polvo con un vehículo agrícola polvoso adecuado, tal como, por ejemplo, arcilla de caolín, roca volcánica molida, y similares. Los polvos secos pueden contener de una manera adecuada de aproximadamente el 1 a aproximadamente el 10 por ciento en peso de los compuestos, basándose en el peso total del polvo.

Las formulaciones adicionalmente pueden contener tensoactivos adyuvantes para mejorar el depósito, la humectación y la penetración de los compuestos sobre el cultivo y organismo objetivo. Estos tensoactivos adyuvantes se pueden emplear opcionalmente como un componente de la formulación o como una mezcla de tanque. La cantidad de tensoactivo adyuvante típicamente variará del 0.01 al 1.0 por ciento en volumen, basándose en un volumen de agua para aspersión, de preferencia del 0.05 al 0.5 por ciento en volumen. Los tensoactivos adyuvantes adecuados incluyen, pero no se limitan a, nonil-fenoles etoxilados, alcoholes sintéticos o naturales etoxilados, sales de los ésteres o ácidos sulfosuccínicos, organosiliconas etoxiladas, aminas grasas etoxiladas, mezclas de tensoactivos con aceites minerales o vegetales, concentrado de aceite de cultivo (aceite mineral (85 por ciento) + emulsionantes (15 por ciento)); etoxilato de nonil-

fenol; sal de amonio cuaternario de bencil-cocoalquil-dimetilo; mezcla de hidrocarburo de petróleo, alquil-ésteres, ácido orgánico, y tensoactivo aniónico; poliglicósido de alquilo de 9 a 11 átomos de carbono; etoxilato de alcohol fosfatado; etoxilato (de 12 a 16 átomos de carbono) de alcohol primario; copolímero de bloques de di-sec-butil-fenol EO-PO; tapa de polisiloxano-metilo; etoxilato de nonil-fenol + nitrato de amonio urea; aceite de semillas metilado emulsionado; etoxilato de alcohol tridecílico (sintético) (8EO); etoxilato de amina de sebo (15 EO); PEG(400) dioleato-99. Las formulaciones también pueden incluir emulsiones de aceite en agua, tales como aquéllas que se dan a conocer en la Solicitud de Patente de los Estados Unidos de Norteamérica con Número de Serie 11/495,228, cuya divulgación se incorpora expresamente como referencia a la presente.

Las formulaciones pueden incluir opcionalmente combinaciones que contengan otros compuestos plaguicidas. Los compuestos plaguicidas adicionales pueden ser fungicidas, insecticidas, herbicidas, nematocidas, miticidas, artropodicidas, bactericidas o combinaciones de los mismos, que sean compatibles con los compuestos de la presente descripción en el medio seleccionado para su aplicación, y que no sean antagonistas para la actividad de los presentes compuestos. De conformidad con lo anterior, en estas modalidades, el otro compuesto plaguicida se emplea como un toxicante complementario para el mismo o para un uso plaguicida diferente. Los compuestos de la fórmula I, y el compuesto plaguicida en la combinación, pueden estar presentes en términos generales en una proporción en peso de 1:100 a 100:1.

Los compuestos de la presente descripción también se pueden combinar con otros fungicidas para formar mezclas fungicidas y mezclas sinérgicas de las mismas. Los compuestos fungicidas de la presente descripción con frecuencia se aplican en conjunto con uno o más fungicidas adicionales para controlar una variedad más amplia de enfermedades indeseables. Cuando se utilizan en conjunto con otros fungicidas, los compuestos actualmente reivindicados se pueden formular con los otros fungicidas, se pueden mezclar en tanque con los otros fungicidas, o se pueden aplicar en secuencia con los otros fungicidas. Esos otros fungicidas pueden incluir 2-(tiocianato-tiometil)-benzotiazol, 2-fenil-fenol, sulfato de 8-hidroxi-quinolina, ametoctradina, amisulbrom, antimicina, *Ampelomyces quisqualis*, azaconazol, azoxistrobina, *Bacillus subtilis, Bacillus*

subtilis cepa QST713, benalaxilo, benomilo, bentiavalicarb-isopropilo, sal de bencil-amino-bencen-sulfonato de benzo-vindiflupir (BABS), bicarbonatos, bifenilo, bismertiazol, bitertanol, bixafeno, blasticidina-S, bórax, mezcla Bordeaux, boscalid, bromuconazol, bupirimato, polisulfuro de calcio, captafol, captano, carbendazim, carboxina, carpropamid, carvona, clazafenona, cloroneb, clorotalonil, clozolinato, *Coniothyrium minitans*, hidróxido de cobre, octanoato de cobre, oxicloruro de cobre, sulfato de cobre, sulfato de cobre (tribásico), óxido cuproso, ciazofamid, ciflufenamid, cimoxanil, ciproconazol, ciprodinil, dazomet, debacarb, etilen-bis-(ditiocarbamato) de diamonio, diclofluanid, diclorofeno, diclocimet, diclomezina, diclorán, dietofencarb, difenoconazol, ion de difenzoquat, diflumetorim, dimetomorf, dimoxistrobina, diniconazol, diniconazol-M, dinobutón, dinocap, difenil-amina, ditianón, dodemorf, acetato de dodemorf, dodina, base libre de dodina, edifenfos, enestrobina, enestroburina, epoxiconazol, etaboxam, etoxiquina, etridiazol, famoxadona, fenamidona, fenarimol, fenbuconazol, fenfuram, fenhexamida, fenoxanil, fenpiclonil, fenpropidina, fenpropimorf, fenpirazamina, fentina, acetato de fentina, hidróxido de fentina, ferbam, ferimzona, fluazinam, fludioxonil, flumorf, fluopicolida, fluopiram, fluoro-imida, fluoxastrobina, fluquinconazol, flusilazol, flusulfamida, flutianil, flutolanil, flutriafol, flujoapiroxad, folpet, formaldehído, fosetilo, fosetil-aluminio, fuberidazol, furalaxilo, furametpyr, guazatina, acetatos de guazatina, GY-81, hexacloro-benceno, hexaconazol, himexazol, imazalil, sulfato de imazalil, imibenconazol, iminoctadina, triacetato de iminoctadina, tris-(albesilato) de iminoctadina, yodocarb, ipconazol, ipfenpirazolona, isondanfos, iprodiona, iprovalicarb, isoprotiolano, isopirazam, isotianil, casugamicina, hidrato de clorhidrato de casugamicina, cresoxim-metilo, laminarina, mancobre, mancozeb, mandipropamid, maneb, mefenoxam, mepanipirim, mepronil, meptil-dinocap, cloruro mercúrico, óxido mercúrico, cloruro mercuroso, metalaxilo, metalaxilo-M, metam, metam-amonio, metam-potasio, metam-sodio, metconazol, metasulfocarb, yoduro de metilo, isotiocianato de metilo, metiram, metominostrobina, metrafenona, mildiomicina, miclobutanil, nabam, nitrotal-isopropilo, nuarimol, octilinona, ofurace, ácido oleico (ácidos grasos), orisastrobina, oxadixilo, oxina-cobre, fumarato de oxpoconazol, oxicarboxina, pefurazoato, penconazol, pencicurón, penflufeno, pentacloro-fenol, laurato de pentaclorofenilo, pentiopirad, acetato de fenil-mercurio, ácido fosfónico,

ftalida, picoxistrobina, polioxina B, polioxinas, polioxorim, bicarbonato de potasio, sulfato de hidroxi-quinolina-potasio, sondanazol, procloraz, procimidona, propamocarb, clorhidrato de propamocarb, propiconazol, propinob, proquinazid, protioconazol, piraclostrobina, pirametostrobina, piraoxistrobina, pirazofos, piribencarb, piributicarb, pirifenox, pirimetanil, piriofenona, piroquilona, quinoclamina, quinoxifeno, quintozeno, extracto de *Reynoutria sachalinensis*, sedaxano, siltiofam, simeconazol, 2-fenil-fenóxido de sodio, bicarbonato de sodio, pentaclorofenóxido de sodio, espiroxamina, azufre, SYP-Z048, aceites de alquitrán, tebuconazol, tebufloquina, tecnazeno, tetraconazol, tiabendazol, tifluzamida, tiofanato-metilo, tiram, tiadinil, tolclofos-metilo, tolilfluanid, triadimefón, triadimenol, triazóxido, triciclazol, tridemorf, trifloxistrobina, triflumizol, triforina, triticonazol, validamicina, valifenalato, valifenal, vinclozolina, zineb, ziram, zoxamida, *Candida oleophila, Fusarium oxisporum, Gliocladium* spp., *Phlebiopsis gigantea, estreptomyces griseoviridis, trichoderma* spp., (RS)-N-(3,5-dicloro-fenil)-2-(metoxi-metil)-succinimida, 1,2-dicloro-propano, hidrato de 1,3-dicloro-1,1,3,3-tetrafluoro-acetona, 1-cloro-2,4-dinitronaftaleno, 1-cloro-2-nitro-propano, 2-(2-heptadecil-2-imidazolin-1-il)-etanol, 1,1,4,4-tetraóxido de 2,3-dihidro-5-fenil-1,4-diti-ino, acetato de 2-metoxi-etil-mercurio, cloruro de 2-metoxi-etil-mercurio, silicato de 2-metoxi-etil-mercurio, 3-(4-cloro-fenil)-5-metil-rodanina, tiocianato de 4-(2-nitro-prop-1-enil)-fenilo, ampropilfos, anilazina, azitiram, polisulfuro de bario, Bayer 32394, benodanil, benquinox, bentalurón, benzamacril; benzamacril-isobutilo, benzamorf, binapacrilo, sulfato de bis-(metil-mercurio), óxido de bis-(tributil-estaño), butiobato, sulfato de cromato de cadmio-calcio-cobre-zinc, carbamorf, CECA, clobentiazona, cloraniformetano, clorfenazol, clorquinox, climbazol, bis-(3-fenil-salicilato) de cobre, cromato de cobre-zinc, cufraneb, sulfato de hidrazinio cúprico, cuprobam, ciclafuramid, cipendazol, ciprofuram, decafentina, diclona, diclozolina, diclobutrazol, dimetirimol, dinoctón, dinosulfón, dinoterbón, dipiritiona, ditalimfos, dodicina, drazoxolona, EBP, ESBP, etaconazol, etem, etirim, fenaminosulf, fenapanil, fenitropán, fluotrimazol, furcarbanil, furconazol, furconazol-cis, furmeciclox, furofanato, gliodina, griseofulvina, halacrinato, Hercules 3944, hexiltiofos, ICIA0858, isopamfos, isovalediona, mebenil, mecarbinzid, metazoxolona, metfuroxam, diciandiamida de metil-mercurio, metsulfovax, milneb, anhídrido mucoclórico, miclozolina, N-3,5-diclorofenil-succinimida, N-

3-nitro-fenil-itaconimida, natamicina, N-etil-mercurio-4-toluen-sulfonanilida, bis-(dimetil-ditiocarbamato) de níquel, OCH, dimetil-ditiocarbamato de fenil-mercurio, nitrato de fenil-mercurio, fosdifeno, protiocarb; clorhidrato de protiocarb, piracarbolid, piridinitril, piroxiclor, piroxifur, quinacetol; sulfato de quinacetol, quinazamid, quinconazol, rabenzazol, salicilanilida, SSF-109, sultropeno, tecoram, tiadiflúor, ticiofeno, tioclorfenfim, tiofanato, tioquinox, tioximid, triamifos, triarimol, triazbutil, triclamida, urbacida, zarilamida, y cualesquiera combinaciones de los mismos.

Adicionalmente, los compuestos descritos en la presente se pueden combinar con otros plaguicidas, incluyendo insecticidas, nematocidas, miticidas, artropodicidas, bactericidas o combinaciones de los mismos, que son compatibles con los compuestos de la presente descripción, en el medio seleccionado para su aplicación, y no antagonistas de la actividad de los presentes compuestos para formar mezclas plaguicidas y mezclas sinérgicas de los mismos. Los compuestos fungicidas de la presente descripción se pueden aplicar en conjunto con uno o más plaguicidas adicionales para controlar una variedad más amplia de plagas indeseables. Cuando se utilizan en conjunto con otros plaguicidas, los compuestos actualmente reivindicados se pueden formular con los otros plaguicidas, se pueden mezclar en tanque con los otros plaguicidas, o se pueden aplicar en secuencia con los otros plaguicidas. Los insecticidas típicos incluyen, pero no se limitan a: 1,2-dicloro-propano, abamectina, acefato, acetamiprid, acetión, acetoprol, acrinatrina, acrilonitrilo, alanicarb, aldicarb, aldoxicarb, aldrina, aletrina, alosamidina, alixicarb, alfa-cipermetrina, alfa-ecdisona, alfa-endosulfano, amiditión, aminocarb, amitón, oxalato de amitón, amitraz, anabasina, atidatión, azadiractina, azametifos, azinfos-etilo, azinfos-metilo, azotoato, hexafluorosilicato de bario, bartrina, bendiocarb, benfuracarb, bensultap, beta-ciflutrina, beta-cipermetrina, bifentrina, bioaletrina, bioetanometrina, biopermetrina, bistriflurón, bórax, ácido bórico, bromfenvinfos, bromociclón, bromo-DDT, bromofos, bromofos-etilo, bufencarb, buprofezina, butacarb, butatiofos, butocarboxim, butonato, butoxi-carboxim, cadusafos, arsenato de calcio, polisulfuro de calcio, camfeclor, carbanolato, carbarilo, carbofurano, disulfuro de carbono, tetracloruro de carbono, carbofenotión, carbosulfano, cartap, clorhidrato de cartap, clorantraniliprol, clorbiciclón, clordano, clordecona, clordimeform, clorhidrato de clordimeform, cloretoxifos, clorfenapir,

clorfenvinfos, clorfluazurón, clormefos, cloroformo, cloropicrina, clorfoxim, clorprazofos, clorpirifos, clorpirifos-metilo, clortiofos, cromafenozida, cinerina I, cinerina II, cinerinas, cismetrina, cloetocarb, closantel, clotianidina, acetoarsenita de cobre, arsenato de cobre, naftenato de cobre, oleato de cobre, cumafos, cumitoato, crotamitón, crotoxifos, crufomato, criolita, cianofenfos, cianofos, ciantoato, ciantraniliprol, ciclotrina, cicloprotrina, ciflutrina, cihalotrina, cipermetrina, cifenotrina, ciromazina, citioato, DDT, decarbofurano, deltametrina, demefión, demefión-O, demefión-S, demetón, demetón-metilo, demetón-O, demetón-O-metilo, demetón-S, demetón-S-metilo, demetón-S-metil-sulfona, diafentiurón, dialifos, tierra diatomácea, diazinón, dicaptón, diclofentión, diclorvos, dicresilo, dicrotofos, diciclanil, dieldrina, diflubenzurón, dilor, dimeflutrina, dimefox, dimetano, dimetoato, dimetrina, dimetilvinfos, dimetilán, dinex, dinex-diclexina, dinoprop, dinosam, dinotefurano, diofenolán, dioxabenzofos, dioxacarb, dioxatión, disulfotón, diticrofos, d-limoneno, DNOC, DNOC-amonio, DNOC-potasio, DNOC-sodio, doramectina, ecdsterona, emamectina, benzoato de emamectina, EMPC, empentrina, endosulfano, endotión, endrina, EPN, epofenonano, eprinomectina, esdepaletrina, esfenvalerato, etafos, etiofencarb, etión, etiprol, etoato-metilo, etoprofos, formato de etilo, etil-DDD, dibromuro de etileno, dicloruro de etileno, óxido de etileno, etofenprox, etrimfos, EXD, famfur, fenamifos, fenazaflor, fenclorfos, fenetacarb, fenflutrina, fenitrotión, fenobucarb, fenoxacrim, fenoxicarb, fenpiritrina, fenpropatrina, fensulfotión, fentión, fentión-etilo, fenvalerato, fipronil, flonicamid, flubendiamida, flucofurón, flucicloxurón, flucitrinato, flufenerim, flufenoxurón, flufenprox, fluvalinato, fonofos, formetanato, formetanato-clorhidrato, formotión, formparanato, formparanato-clorhidrato, fosmetilán, fospirato, fostietán, furatiocarb, furetrina, gamma-cihalotrina, gamma-HCH, halfenprox, halofenozida, HCH, HEOD, heptaclor, heptenofos, heterofos, hexaflumurón, HHDN, hidrametilnón, cianuro de hidrógeno, hidropreno, hiquincarb, imidacloprid, imiprotrina, indoxacarb, yodo-metano, IPSP, isazofos, isobenzano, isocarbofos, isodrina, isofenfos, isofenfos-metilo, isoprocarb, isoprotiolano, isotioato, isoxatión, ivermectina, jasmolina I, jasmolina II, jodfenfos, hormona juvenil I, hormona juvenil II, hormona juvenil III, quelevan, quinopreno, lambda-cihalotrina, arsenato de plomo, lepimectina, leptofos, lindano, lirimfos, lufenurón, litidatión, malatión, malonobeno, mazidox, mecarbam, mecarfón, menazón, mefosfolán, cloruro

mercuroso, mesulfenfos, metaflumizona, metacrifos, metamidofos, metidatión, metiocarb, metocrotofos, metomilo, metopreno, metoxiclor, metoxi-fenozida, bromuro de metilo, isotiocianato de metilo, metilcloroformo, cloruro de metileno, metoflutrina, metolcarb, metoxadiazona, mevinfos, mexacarbato, milbemectina, milbemicina-oxima, mipafox, mirex, molosultap, monocrotofos, monomehipo, monosultap, morfotión, moxidoctina, naftalofos, naled, naftaleno, nicotina, nifluridida, nitenpiram, nitiazina, nitrilacarb, novalurón, noviflumurón, ometoato, oxamilo, oxidemetón-metilo, oxideprofos, oxidisulfotón, para-dicloro-benceno, paratión, paratión-metilo, penflurón, pentaclorofenol, permetrina, fencaptón, fenotrina, fentoato, forato, fosalona, fosfolán, fosmet, fosniclor, fosfamidón, fosfina, foxim, foxim-metilo, pirimetafos, pirimicarb, pirimifos-etilo, pirimifos-metilo, arsenita de potasio, tiocianato de potasio, pp'-DDT, praletrina, precoceno I, precoceno II, precoceno III, primidofos, profenofos, profluralina, promacilo, promecarb, propafos, propetamfos, propoxur, protidatión, protiofos, protoato, protrifenbuto, piraclofos, pirafluprol, pirazofos, piresmetrina, piretrina I, piretrina II, piretrinas, piridabeno, piridalilo, piridafentión, pirifluquinazón, pirimidifeno, pirimitato, piriprol, piriproxifeno, quassia, quinalfos, quinalfos-metilo, quinotión, rafoxanida, resmetrina, rotenona, riania, sabadila, schradan, selamectina, silafluofeno, gel de sílice, arsenita de sodio, fluoruro de sodio, hexafluorosilicato de sodio, tiocianato de sodio, sofamida, spinetoram, espinosad, espiromesifeno, espirotetramato, sulcofurón, sulcofurón-sodio, sulfluramid, sulfotep, sulfoxaflor, fluoruro de sulfurilo, sulprofos, tau-fluvalinato, tazimcarb, TDE, tebufenozida, tebufenpirad, tebupirimfos, teflubenzurón, teflutrina, temefos, TEPP, teraletrina, terbufos, tetracloro-etano, tetraclorvinfos, tetrametrina, tetrametilflutrina, tetra-cipermetrina, tiacloprid, tiametoxam, ticrofos, tiocarboxima, tiociclam, oxalato de tiociclam, tiodicarb, tiofanox, tiometón, tiosultap, tiosultap-disodio, tiosultap-monosodio, turingiensina, tolfenpirad, tralometrina, transflutrina, transpermetrina, triarateno, triazamato, triazofos, triclorfón, triclormetafos-3, tricloronato, trifenofos, triflumurón, trimetacarb, tripreno, vamidotión, vaniliprol, XMC, xilil-carb, zeta-cipermetrina, zolaprofos, y cualesquiera combinaciones de los mismos.

Adicionalmente, los compuestos descritos en la presente se pueden combinar con herbicidas que sean compatibles con los compuestos de la presente descripción en el

medio seleccionado para su aplicación, y no antagonistas de la actividad de los presentes compuestos para formar mezclas plaguicidas y mezclas sinérgicas de los mismos. Los compuestos fungicidas de la presente descripción se pueden aplicar en conjunto con uno o más herbicidas para controlar una amplia variedad de plantas indeseables. Cuando se utilizan en conjunto con herbicidas, los compuestos actualmente reivindicados se pueden formular con los herbicidas, se pueden mezclar en tanque con los herbicidas, o se pueden aplicar en secuencia con los herbicidas. Los herbicidas típicos incluyen, pero no se limitan a: 4-CPA; 4-CPB; 4-CPP; 2,4-D; 3,4-DA; 2,4-DB; 3,4-DB; 2,4-DEB; 2,4-DEP; 3,4-DP; 2,3,6-TBA; 2,4,5-T; 2,4,5-TB; acetoclor, acifluorofeno, aclonifeno, acroleína, alaclor, alidoclor, aloxidim, alcohol alílico, alorac, ametridiona, ametrina, amibuzina, amicarbazona, amidosulfurón, amino-ciclopiraclor, aminopiralid, amiprofos-metilo, amitrol, sulfamato de amonio, anilofos, anisurón, asulam, atratón, atrazina, azafenidina, azimsulfurón, aziprotrina, barbán, BCPC, beflubutamid, benazolina, bencarbazona, benfluralina, benfuresato, bensulfurón, bensulida, bentazona, benzadox, benzfendizona, bencipram, benzobiciclón, benzofenap, benzofluor, benzoilprop, benzotiazurón, biciclopirona, bifenox, bilanafos, bispiribac, bórax, bromacilo, bromobonilo, bromobutida, bromofenoxim, bromoxinilo, brompirazón, butaclor, butafenacilo, butamifos, butenaclor, butidazol, butiurón, butralina, butroxidim, buturón, butilato, ácido cacodílico, cafenstrol, clorato de calcio, cianamida de calcio, cambendiclor, carbasulam, carbetamida, carboxazol-clorprocarb, carfentrazona, CDEA, CEPC, clometoxifeno, clorambeno, cloranocrilo, clorazifop, clorazina, clorbromurón, clorbufam, cloreturón, clorfenac, clorfenprop, clorflurazol, clorflurenol, clorurozón, clorimurón, clornitrofeno, cloropón, clorotolurón, cloroxurón, cloroxinilo, clorprofam, clorsulfurón, clortal, clortiamid, cinidón-etilo, cinmetilina, cinosulfurón, cisanilida, cletodim, cliodota, clodinafop, clofop, clomazona, clomeprop, cloprop, cloproxidim, clopiralid, cloransulam, CMA, sulfato de cobre, CPMF, CPPC, credazina, cresol, cumilurón, cianatrina, cianazina, cicloato, ciclosulfamurón, cicloxidim, ciclurón, cihalofop, ciperquat, ciprazina, ciprazol, cipromid, daimurón, dalapón, dazomet, delaclor, desmedifam, desmetrina, dialato, dicamba, diclobenil, dicloralurea, diclormato, diclorprop, diclorprop-P, diclofop, diclosulam, dietamquat, dietatilo, difenpenteno, difenoxurón, difenzoquat, diflufenicán, diflufenzopir, dimefurón,

dimepiperato, dimetaclor, dimetametrina, dimetenamid, dimetenamid-P, dimexano, dimidazón, dinitramina, dinofenato, dinoprop, dinosam, dinoseb, dinoterb, difenamid, dipropetrina, diquat, disul, ditiopir, diurón, DMPA, DNOC, DSMA, EBEP, eglinazina, endotal, epronaz, EPTC, erbón, esprocarb, etalfluralina, etametsulfurón, etidimurón, etiolato, etofumesato, etoxifeno, etoxisulfurón, etinofeno, etnipromid, etobenzanid, EXD, fenasulam, fenoprop, fenoxaprop, fenoxaprop-P, fenoxasulfona, fenteracol, fentiaprop, fentrazamida, fenurón, sulfato ferroso, flamprop, flamprop-M, flazasulfurón, florasulam, fluazifop, fluazifop-P, fluazolato, flucarbazona, flucetosulfurón, flucloralina, flufenacet, flufenicán, flufenpir, flumetsulam, flumezina, flumiclorac, flumioxazina, flumipropina, fluometurón, fluorodifeno, fluoroglicofeno, fluoromidina, fluoro-nitrofeno, fluotiurón, flupoxam, flupropacilo, flupropanato, flupirsulfurón, fluridona, flurocloridona, fluroxipir, flurtamona, flutiacet, fomesafeno, foramsulfurón, fosamina, furiloxifeno, glufosinato, glufosinate-P, glifosato, halauxifeno, halosafeno, halo-sulfurón, haloxidina, haloxifop, haloxifop-P, hexacloro-acetona, hexaflurato, hexazinona, imazametabenz, imazamox, imazapic, imazapir, imazaquina, imazetapir, imazosulfurón, indanofán, indaziflam, iodobonilo, yodo-metano, yodosulfurón, ioxinilo, ipazina, ipfencarbazona, iprimidam, isocarbamid, isocilo, isometiozina, isonorurón, isopolinato, isopropalina, isoproturón, isourón, isoxabeno, isoxaclortol, isoxaflutol, isoxapirifop, carbutilato, cetospiradox, lactofeno, lenacilo, linurón, MAA, MAMA, MCPA, MCPA-tioetilo, MCPB, mecoprop, mecoprop-P, medinoterb, mefenacet, mefluidida, mesoprazina, mesosulfurón, mesotriona, metam, metamifop, metamitrón, metazaclor, metazosulfurón, metflurazón, metabenzotiazurón, metalpropalina, metazol, metiobencarb, metiozolina, metiurón, metometón, metoprotrina, bromuro de metilo, isotiocianato de metilo, metildimrón, metobenzurón, metobromurón, metolaclor, metosulam, metoxurón, metribuzina, metsulfurón, molinato, monalida, monisourón, ácido monocloroacético, monolinurón, monurón, morfamquat, MSMA, naproanilida, napropamida, naptalam, neburón, nicosulfurón, nipiraclofeno, nitralina, nitrofeno, nitrofluorofeno, norflurazón, norurón, OC, orbencarb, orto-dicloro-benceno, ortosulfamurón, orizalina, oxadiargilo, oxadiazón, oxapirazón, oxasulfurón, oxaziclomefona, oxifluorofeno, paraflurón, paraquat, pebulato, ácido pelargónico, pendimetalina, penoxsulam, pentaclorofenol, pentanoclor,

pentoxazona, perfluidona, petoxamid, fenisofam, fenmedifam, fenmedifam-etilo, fenobenzurón, acetato de fenilmercurio, picloram, picolinafeno, pinoxadeno, piperofos, arsenita de potasio, azida de potasio, cianato de potasio, pretilaclor, primisulfurón, prociazina, prodiamina, profluazol, profluralina, profoxidim, proglinazina, prometón, prometrina, propaclor, propanilo, propaquizafop, propazina, profam, propisoclor, propoxicarbazona, propirisulfurón, propizamida, prosulfalina, prosulfocarb, prosulfurón, proxán, prinaclor, pidanón, piraclonilo, piraflufeno, pirasulfotol, pirazolinato, pirazosulfurón, pirazoxifeno, piribenzoxim, piributicarb, piriclor, piridafol, piridato, piriftalid, piriminobac, pirimisulfano, piritiobac, piroxasulfona, piroxsulam, quinclorac, quinmerac, quinoclamina, quinonamid, quizalofop, quizalofop-P, rodetanilo, rimsulfurón, saflufenacilo, S-metolaclor, sebutilazina, secbumetón, setoxidim, sidurón, simazina, simetón, simetrina, SMA, arsenita de sodio, azida de sodio, clorato de sodio, sulcotriona, sulfalato, sulfentrazona, sulfometurón, sulfosulfurón, ácido sulfúrico, sulglicapina, swep, TCA, tebutam, tebutiurón, tefuriltriona, tembotriona, tepraloxidim, terbacilo, terbucarb, terbuclor, terbumetón, terbutilazina, terbutrina, tetraflurón, entoncesilclor, tiazaflurón, tiazopir, tidiazimina, tidiazurón, tiencarbazona-metilo, tifensulfurón, tiobencarb, tiocarbazilo, tioclorim, topramezona, tralcoxidim, triafamona, trialato, triasulfurón, triaziflam, tribenurón, tricamba, triclopir, tridifano, trietazina, trifloxisulfurón, trifluralina, triflusulfurón, trifop, trifopsima, trihidroxitriazina, trimeturón, tripropindán, tritac, tritosulfurón, vernolato, y xilaclor.

Otra modalidad de la presente descripción es un método para el control o la prevención de un ataque fúngico. Este método comprende aplicar a la tierra, a la planta, a las raíces, al follaje, o al *locus* del hongo, o a un *locus* en donde se deba prevenir la infestación (por ejemplo, aplicar a las plantas de cereal o de uva), una cantidad fungicidamente efectiva de uno o más de los compuestos de la fórmula I. Los compuestos son adecuados para el tratamiento de diversas plantas en niveles fungicidas, mientras que exhiben una baja fitotoxicidad. Los compuestos pueden ser útiles en una forma protectora y/o en una forma eradicante.

Se ha encontrado que los compuestos tienen un efecto fungicida significativo, en particular para el uso agrícola. Muchos de los compuestos son en particular efectivos para usarse con cultivos agrícolas y plantas hortícolas.

Será entendido por los expertos en la materia que la eficacia del compuesto para los hongos anteriores establece la utilidad general de los compuestos como fungicidas.

Los compuestos tienen amplios alcances de actividad contra patógenos fúngicos. Los ejemplos de los patógenos pueden incluir, pero no se limitan a, los agentes causantes de mancha de hoja de trigo (*Zymoseptoria tritici*), roya parda del trigo (*Puccinia triticina*), roya amarilla del trigo (*Puccinia striiformis*), costra de la manzana (*Venturia inaequalis*), moho polvoroso de la vid (*Uncinula necator*), escaldadura de la cebada (*Rhynchosporium secalis*), añublo del arroz (*Pyricularia oryzae*), roya de semilla de soya (*Phakopsora pachyrhizi*), mancha de gluma del trigo (*Leptosphaeria nodorum*), moho polvoroso del trigo (*Blumeria graminis f. sp. tritici*), moho polvoroso de la cebada (*Blumeria graminis f. sp. hordei*), moho polvoroso de cucurbitáceas (*Erysiphe cichoracearum*), antracnosis de cucurbitáceas (*Colletotrichum lagenarium*), mancha de la hoja de la remolacha (*Cercospora beticola*), tizón temprano del tomate (*Alternaria solani*), y mancha punteada de la cebada (*Cochliobolus sativus*). La cantidad exacta del material activo que se va a aplicar depende no solamente del material activo específico que se aplique, sino también de la acción particular deseada, de la especie fúngica que se vaya a controlar y de la etapa de crecimiento de la misma, así como de la parte de la planta u otro producto que se vaya a poner en contacto con el compuesto. Por consiguiente, no todos los compuestos, ni las formulaciones que los contienen, pueden ser igualmente efectivos en concentraciones similares o contra la misma especie fúngica.

Los compuestos son efectivos cuando se utilizan con plantas en una cantidad inhibidora de la enfermedad y fitológicamente aceptable. El término " cantidad inhibidora de la enfermedad y fitológicamente aceptable" se refiere a una cantidad de un compuesto que aniquila o inhibe la enfermedad de la planta para la cual se desee el control, pero que no es significativamente tóxica para la planta. Esta cantidad en términos generales será de aproximadamente 0.1 a aproximadamente 1,000 ppm (partes por millón), y se prefiere de 1 a 500 ppm. La concentración exacta requerida del compuesto varía con la enfermedad fúngica que se vaya a controlar, el tipo de formulación empleado, el método de aplicación, la especie de planta particular, las condiciones climáticas, y similares. Una tasa de aplicación adecuada está típicamente en el intervalo de aproximadamente 0.10 a

aproximadamente 4 libras/acre (de aproximadamente 0.01 a 0.45 gramos por metro cuadrado, g/m^2).

Cualquier rango o valor deseado dado en la presente se puede extender o alterar sin perder los efectos buscados, como es evidente para la persona experta, para tener un entendimiento de las enseñanzas de la presente.

Los compuestos de la fórmula I se pueden hacer mediante el empleo de los procedimientos químicos bien conocidos. Los intermediarios no específicamente mencionados en esta divulgación son cualquiera de aquéllos comercialmente disponibles, se pueden hacer mediante las rutas que se dan a conocer en la literatura química, o pueden ser fácilmente sintetizados a partir de los materiales de partida comerciales empleando los procedimientos convencionales.

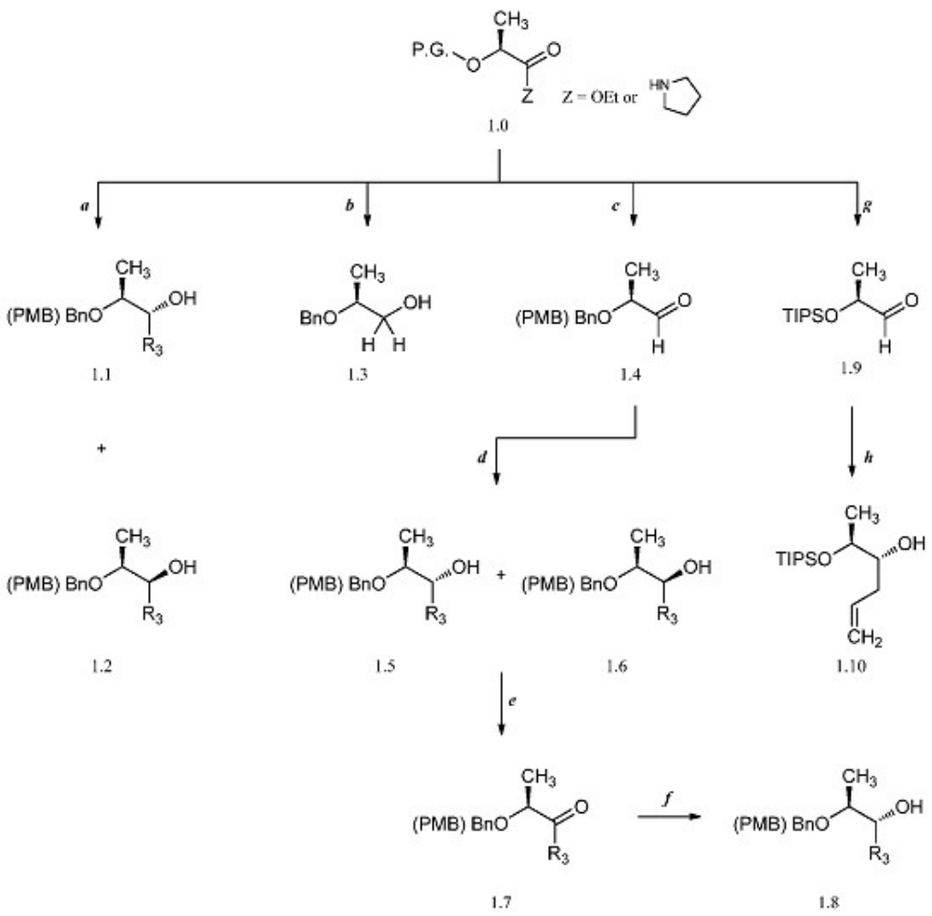
ESQUEMAS GENERALES

Los siguientes esquemas ilustran los planteamientos para generar los compuestos de picolinamida de la fórmula (I). Las siguientes descripciones y ejemplos se proporcionan para propósitos ilustrativos y no deben interpretarse como limitantes en términos de sustituyentes o de patrones de sustitución.

Los compuestos de las fórmulas 1.1, 1.2, 1.3, 1.5, 1.6 y 1.8, en donde P.G. es bencilo (Bn) o para–metoxi-bencilo (PMB), y R_3 es como se definió originalmente, y los compuestos de la fórmula 1.10, en donde P.G. es tri-isopropil-sililo (TIPS), y R_3 es como se definió originalmente, se pueden preparar mediante los métodos mostrados en el esquema 1, pasos a – h. Los compuestos de la fórmula 1.0, en donde Z es etoxilo (–OCH_2CH_3, OEt) o pirrolidina, y P.G. es Bn o PMB, se pueden tratar con una mezcla de un nucleófilo organometálico, tal como bromuro de ciclopentil-magnesio, y un agente reductor, tal como borohidruro de litio ($LiBH_4$), en un solvente aprótico polar, tal como tetrahidrofurano (THF), a una temperatura reducida de aproximadamente -20°C a aproximadamente 0°C, para proporcionar los compuestos de las fórmulas 1.1 y 1.2, en donde R_3 es como se define anteriormente, como se muestra en **a**. El alcohol de la fórmula 1.3, en donde P.G. es Bn, se puede preparar a partir del compuesto de la fórmula 1.0, en donde Z es OEt, y P.G. es Bn, mediante el tratamiento con hidruro de litio y aluminio (LAH) en un solvente etéreo, tal como dietil-éter (Et_2O), a una temperatura de

aproximadamente 0°C, como se muestra en **b**. Adicionalmente, el compuesto de la fórmula 1.0, en donde Z es OEt, y P.G. es Bn o PMB, se puede convertir hasta el aldehído de la fórmula 1.4 mediante el tratamiento con un catalizador, tal como el dímero de cloro-bis-(ciclo-octeno)-iridio(I) ($IR_2(coe)_4Cl_2$), y un agente reductor, tal como dietil-silano (Et_2SiH_2), en un solvente halogenado, tal como dicloro-metano (DCM) (CH_2Cl_2), como es descrito por Cheng, C.; Brookhart, M. Angew. Chem. Int. Edición 2012, 51, 9422–9424, y como se muestra en **c**. Los compuestos de las fórmulas 1.5 y 1.6, en donde R_3 es como se define anteriormente, se pueden obtener mediante el tratamiento del aldehído de la fórmula 1.4 con un nucleófilo de carbono, por ejemplo, bromuro de fenil-magnesio o bromuro de (E)-prop-1-en-1-il-magnesio, en un solvente aprótico polar, tal como tetrahidrofurano (THF), a una temperatura reducida de aproximadamente -78°C a aproximadamente 23°C, como se ilustra en **d**. Una mezcla de los compuestos de las fórmulas 1.5 y 1.6, en donde R_3 es como se define anteriormente, se puede oxidar para dar un compuesto de la fórmula 1.7, en donde R_3 es como se definió originalmente, mediante el tratamiento con un oxidante, tal como peryodona Dess-Martin (DMP), en un solvente, tal como CH_2Cl_2, a una temperatura de aproximadamente 0°C a aproximadamente 23°C, como se muestra en **e**. Los compuestos de la fórmula 1.8, en donde R_3 es como se define anteriormente, se pueden preparar mediante el tratamiento de los compuestos de la fórmula 1.7, en donde R_3 es como se define anteriormente, con un agente reductor, tal como borohidruro de zinc, preparado *in situ* a partir de cloruro de zinc(II) ($ZnCl_2$), y borohidruro de sodio ($NaBH_4$), en un solvente etéreo, tal como Et_2O, a una temperatura de aproximadamente 0°C a aproximadamente 23°C, como se ilustra en **f**. El compuesto de la fórmula 1.0, en donde P.G. es TIPS, se puede tratar con un agente reductor, tal como hidruro de di-isobutil-aluminio (DIBAL), en un solvente halogenado, tal como CH_2Cl_2 a una temperatura de aproximadamente -78°C a aproximadamente 0°C, para proporcionar el aldehído de la fórmula 1.9, como se ilustra en **g**. El compuesto de la fórmula 1.10 se puede preparar a partir del aldehído de la fórmula 1.9 mediante el tratamiento con un nucleófilo, tal como (+)-Ipc_2-alil-borano, en un solvente etéreo, tal como Et_2O, a una temperatura de aproximadamente -78°C a aproximadamente 0°C, como se muestra en H.

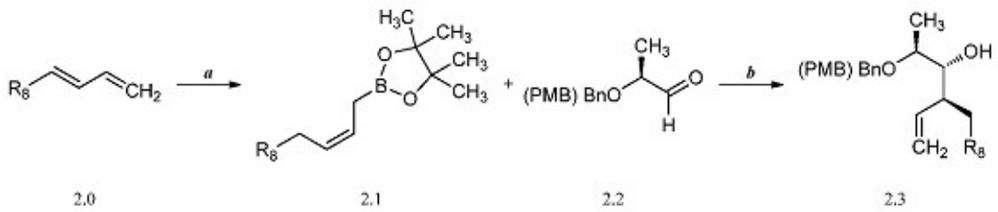
Esquema 1



Los compuestos de la fórmula 2.3, en donde R_8 es como se definió originalmente, se pueden preparar mediante el método mostrado en el esquema 2, pasos a – b. Como se ilustra en **a**, los compuestos de la fórmula 2.1, en donde R_8 es como se definió originalmente, se pueden preparar a partir de los compuestos de la fórmula 2.0, en donde R_8 es como se definió originalmente, mediante el tratamiento con un alcoxi-borano, tal como pinacol-borano, en la presencia de un catalizador de níquel, tal como bis-(ciclo-octadieno)-níquel(0) ($Ni(cod)_2$), a una temperatura de aproximadamente 0°C a aproximadamente 23°C, en un solvente aprótico como tolueno, como es descrito por Ely, R. J.; Morken, J. P. J. Am. Chem. Soc. 2010, 132, 2534–2535. Los compuestos de la fórmula 2.3, en donde R_8 es como se define anteriormente, se pueden preparar a partir de los compuestos de la fórmula 2.1, en donde R_8 es como se define anteriormente, mediante el tratamiento con un aldehído derivado de lactato protegido por bencilo (Bn) o

p-metoxi-bencilo (PMB), tal como un compuesto de la fórmula 2.2, como se muestra en **b**.

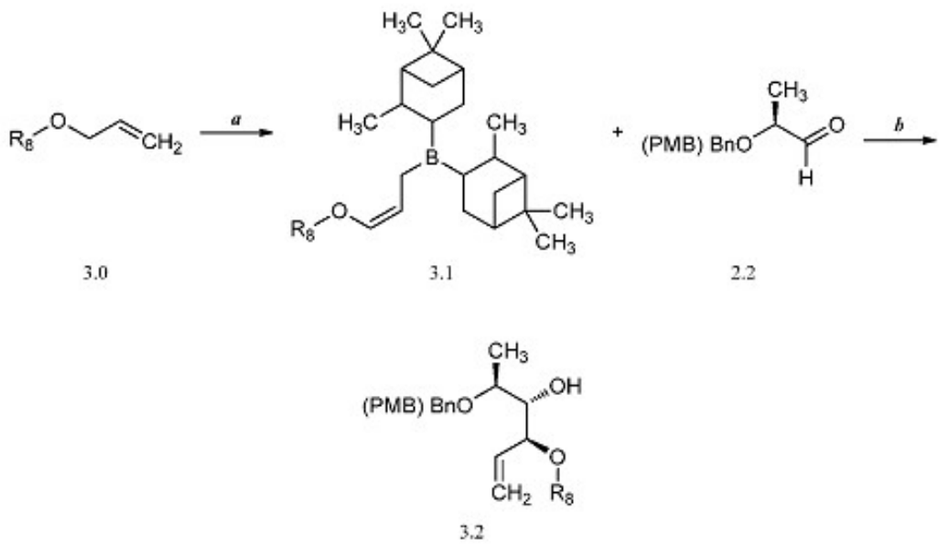
Esquema 2



2.0 2.1 2.2 2.3

Los compuestos de la fórmula 3.2, en donde R_8 es como se definió originalmente, se pueden preparar mediante el método mostrado en el esquema 3, pasos a–b. Los compuestos de la fórmula 3.1, en donde R_8 es como se definió originalmente, se pueden preparar mediante el tratamiento de los compuestos de la fórmula 3.0, en donde R_8 es como se definió originalmente, con un reactivo de alquil-litio, tal como sec-butil-litio, seguido por un alcoxi-borano, tal como B-metoxi-di-isopinocanfeil-borano, en un solvente aprótico polar, tal como tetrahidrofurano (THF), a una temperatura de aproximadamente -78°C a aproximadamente 23°C, como es descrito por Brown, H. C.; Jadhav, P. K.; Bhat, K. S. J. Am. Chem. Soc. 1988, 110, 1535–1538, y como se muestra en **a**. Los compuestos de la fórmula 3.2, en donde R_8 es como se define anteriormente, se pueden preparar a partir de los compuestos de la fórmula 3.1, en donde R_8 es como se define anteriormente, mediante el tratamiento con un ácido de Lewis, tal como dietil-eterato de trifluoruro de boro, seguido por un aldehído derivado de lactato protegido por Bn o PMB, tal como un compuesto de la fórmula 2.2, a una temperatura de aproximadamente -78°C a aproximadamente 23°C, como se muestra en **b**.

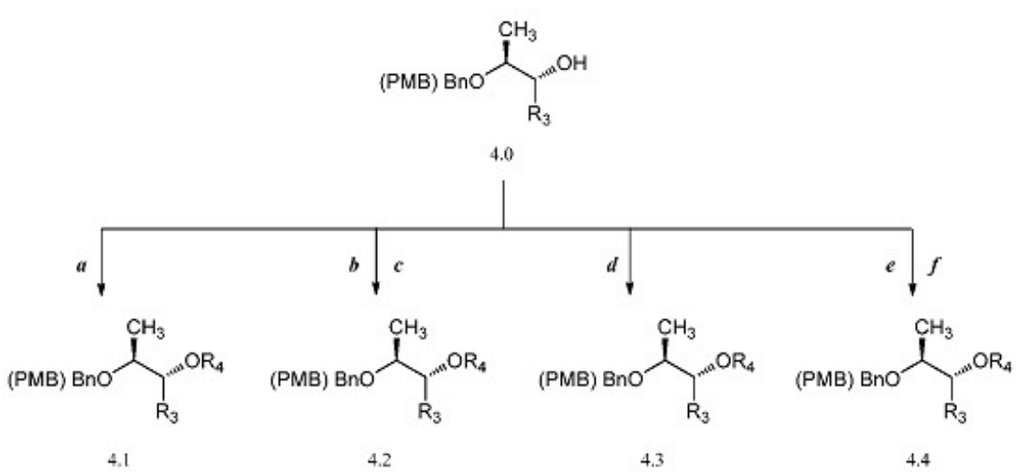
Esquema 3



Los compuestos de las fórmulas 4.1, 4.2, 4.3 y 4.4, en donde R_3 es como se definió originalmente, se pueden obtener empleando los métodos ilustrados en el esquema 4, pasos a–f. Los compuestos de la fórmula 4.1, en donde R_3 es como se define anteriormente, y R_4 es acilo, se pueden preparar a partir de los compuestos de la fórmula 4.0, en donde R_3 es como se define anteriormente, mediante el tratamiento con un haluro de acilo, tal como cloruro de isobutirilo, en la presencia de una base, tal como trietil-amina (TEA), y un catalizador de amina, tal como N,N-dimetil-amino-piridina (DMAP), en un solvente halogenado, tal como CH_2Cl_2, como se muestra en **a**. Los compuestos de la fórmula 4.2, en donde R_3 es como se define anteriormente, y R_4 es arilo, se pueden preparar mediante el tratamiento de soluciones de los compuestos de la fórmula 4.0, en donde R_3 es como se define anteriormente, en un solvente, tal como tolueno, con una especie organometálica, tal como bis-(acetato-O)-trifenil-bismuto(V) ($Ph_3Bi(OAc)_2$), en la presencia de un catalizador, tal como acetato de cobre(II) ($Cu(OAc)_2$), a una temperatura elevada de aproximadamente 50°C, como se muestra en **b**. De una manera alternativa, los productos arilados de la fórmula 4.2, en donde R_3 es como se define anteriormente, se pueden preparar mediante el tratamiento de los compuestos de la fórmula 4.0, en donde R_3 es como se define anteriormente, con un fluoruro de arilo, tal como 1,3-difluoro-benceno y una base de alcóxido, tal como terbutóxido de potasio (KOt-Bu), en un solvente aprótico polar, tal como N,N-dimetil-formamida (DMF), a una temperatura elevada de aproximadamente 50°C a aproximadamente 70°C, como se muestra en **c**. Los

compuestos de la fórmula 4.3, en donde R_3 es como se define anteriormente, y R_4 es alquilo, se pueden preparar a partir de los compuestos de la fórmula 4.0, en donde R_3 es como se define anteriormente, mediante el tratamiento con una base, tal como KOt-Bu o hidruro de sodio (NaH), y un electrófilo, por ejemplo, un haluro de alquilo, tal como (bromo-metil)-ciclopropano, en un solvente aprótico polar, tal como N,N-dimetil-formamida (DMF), a una temperatura elevada de aproximadamente 50°C, como se muestra en **d**. Los compuestos de la fórmula 4.4, en donde R_3 es como se define anteriormente y R_4 es alquenilo, se pueden preparar a partir de los compuestos de la fórmula 4.0, en donde R_3 es como se define anteriormente, mediante el tratamiento con una base, tal como KOt-Bu o NaH, y un electrófilo alílico, tal como 3-bromo-2-metil-prop-1-eno, en un solvente aprótico polar, tal como N,N-dimetil-formamida (DMF), a una temperatura elevada de aproximadamente 50°C, como se muestra en **e**. De una manera alternativa, los compuestos de la fórmula 4.4, en donde R_3 es como se define anteriormente y R_4 es alquenilo, se pueden preparar a partir de los compuestos de la fórmula 4.0, mediante el tratamiento con un carbonato de alilo simétrico o mixto, tal como ciclopent-2-en-1-il-carbonato de terbutilo, en la presencia de un catalizador de paladio, por ejemplo, tris-(dibenciliden-acetona)-dipaladio(0) ($Pd_2(dba)_3$), y un ligando, tal como 1,1′-bis-(difenil-fosfino)-ferroceno (dppf), en un solvente aprótico polar, tal como tetrahidrofurano (THF), a una temperatura elevada de aproximadamente 65°C, como se ilustra en **f**.

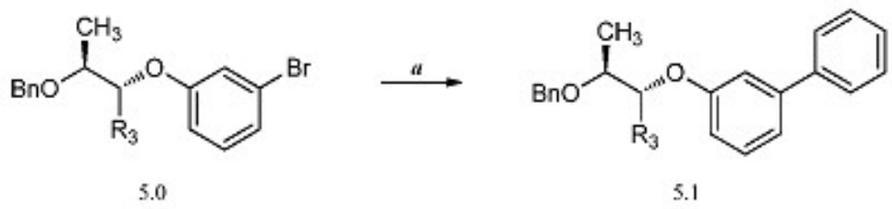
Esquema 4



Los compuestos de la fórmula 5.1, en donde R_3 es como se definió originalmente,

pero no alquenilo, se pueden preparar de acuerdo con el método ilustrado en el esquema 5. Los compuestos de la fórmula 5.0, en donde R_3 es como se definió originalmente, pero no alquenilo, se pueden tratar con un catalizador de paladio, tal como tetraquis-(trifenil-fosfina)-paladio(0) ($Pd(PPh_3)_4$) y un éster de boronato o ácido borónico, tal como ácido fenil-borónico, en la presencia de una base alcalina de carbonato, tal como carbonato de sodio (Na_2CO_3), en un sistema mixto de solventes, tal como dioxano acuoso, a una temperatura elevada de aproximadamente 80°C, para proporcionar los compuestos de la fórmula 5.1, en donde R_3 es como se define anteriormente, como se muestra en **a**.

Esquema 5



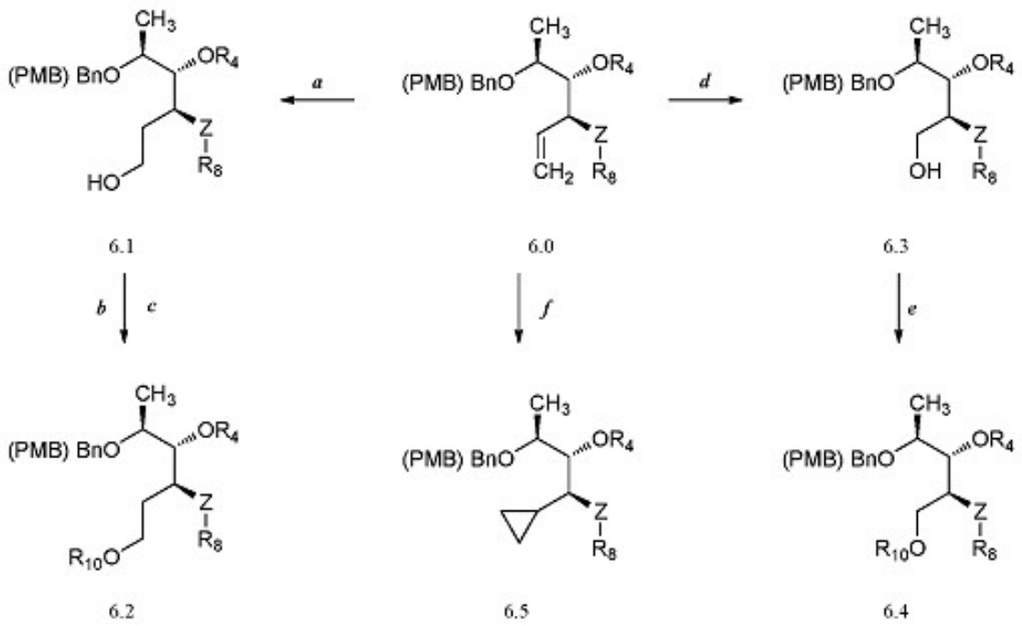
5.0 5.1

Los compuestos de las fórmulas 6.2, 6.4 y 6.5, en donde Z es metileno (CH_2) u oxígeno (O), R_4 y R_8 son como se definieron originalmente, pero no alquenilo, y R_{10} es alquilo, se pueden obtener por medio de los métodos ilustrados en el esquema 6, pasos a–f. Los compuestos de la fórmula 6.1, en donde Z es CH_2 u O, y R_4 y R_8 son como se definieron originalmente, pero no alquenilo, se pueden preparar a partir de los compuestos de la fórmula 6.0, en donde Z es CH_2 u O, y R_4 y R_8 son como se definieron originalmente, pero no alquenilo, a través de condiciones de hidroboración convencionales, es decir, mediante el tratamiento con un reactivo de borano, tal como 9-borabiciclo-[3.3.1]-nonano (9-BBN), en un solvente aprótico polar, tal como tetrahidrofurano (THF), a aproximadamente 23°C, y la oxidación del intermediario de boro resultante mediante el tratamiento con hidróxido de sodio (NaOH), y peróxido de hidrógeno (H_2O_2), como se muestra en **a**. Los compuestos de la fórmula 6.2, en donde Z, R_4, R_8 y R_{10} son como se definen anteriormente, se pueden preparar mediante el tratamiento de los compuestos de la fórmula 6.1, en donde Z, R_4 y R_8 son como se definen anteriormente, con un electrófilo, tal como tetrafluoro-borato de trimetil-oxonio, en la presencia de una base, tal como N,N,N',N'-tetrametil-naftalen-1,8-diamina (Proton

Sponge®), en un solvente aprótico polar, tal como CH_2Cl_2 a una temperatura de aproximadamente 0°C a aproximadamente 23°C, como se muestra en **b**. De una manera alternativa, los alcoholes de la fórmula 6.1, en donde Z, R_4 y R_8 son como se definen anteriormente, se pueden funcionalizar además mediante el tratamiento con una aziridina protegida, por ejemplo, 1-terbutil-aziridin-1,2-dicarboxilato de (R)-2-bencilo, en la presencia de un ácido de Lewis, tal como triflato de escandio(III) ($Sc(OTf)_3$), en un solvente aprótico, tal como CH_2Cl_2, a una temperatura de aproximadamente 0°C a aproximadamente 23°C, como se muestra en **c**. Los compuestos de la fórmula 6.3, en donde Z es CH_2 u O, y R_4 y R_8 son como se definieron originalmente, pero no alquenilo, se puede preparar sometiendo a los compuestos de la fórmula 6.0, en donde Z, R_4 y R_8 son como se definen anteriormente, to condiciones convencionales de ozonólisis/reducción, es decir, el tratamiento con ozono (O_3), en una mezcla de solventes, tales como CH_2Cl_2 y metanol (MeOH), a una temperatura de aproximadamente -78°C, seguido por la adición de borohidruro de sodio ($NaBH_4$) y MeOH, como se muestra en **d**. Los compuestos de la fórmula 6.4, en donde Z, R_4, R_8 y R_{10} son como se definen anteriormente, se pueden preparar a partir de los compuestos de la fórmula 6.3, en donde Z, R_4 y R_8 son como se definen anteriormente, mediante el tratamiento con un electrófilo, tal como tetrafluoro-borato de trimetil-oxonio, y una base, tal como Proton Sponge®, en un solvente aprótico, tal como CH_2Cl_2, a una temperatura de aproximadamente 0°C a aproximadamente 23°C, como se muestra en **e**.

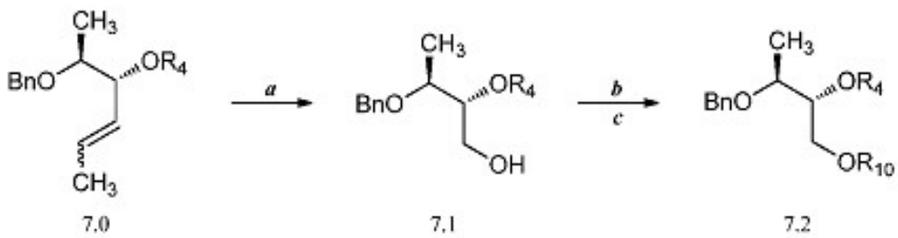
Los compuestos de ciclopropilo de la fórmula 6.5, en donde Z, R_4 y R_8 son como se definen anteriormente, se pueden preparar mediante el tratamiento de soluciones etéreas de los compuestos de la fórmula 6.0, en donde Z, R_4 y R_8 son como se definen anteriormente, con un reactivo de dihalometano, tal como diyodometano, en la presencia de dietil-zinc (Et_2Zn), a una temperatura de aproximadamente 0°C a aproximadamente 23°C, como se muestra en **f**.

Esquema 6



Los compuestos de la fórmula 7.2, en donde R_4 y R_{10} son como se definieron originalmente, se pueden preparar de acuerdo con los métodos ilustrados en el esquema 7, pasos a–b. Los compuestos de la fórmula 7.0, en donde R_4 es como se definió originalmente, se pueden someter a las condiciones de ozonólisis descritas en el esquema 6, paso d, para proporcionar los compuestos de la fórmula 7.1, en donde R_4 es como se definió originalmente, como se muestra en **a**. Los compuestos de la fórmula 7.2, en donde R_4 es como se definió originalmente y R_{10} es alquilo, se pueden preparar a partir de los compuestos de la fórmula 7.1, en donde R_4 es como se define anteriormente, mediante el tratamiento con una base, tal como NaH, en un solvente aprótico polar, tal como N,N-dimetil-formamida (DMF), a una temperatura de aproximadamente 0°C a aproximadamente 23°C, y el apagado del alcóxido resultante con un electrófilo, tal como 4-metil-bencen-sulfonato de propilo, como se muestra en **b**. Adicionalmente, los compuestos de la fórmula 7.2, en donde R_4 es como se definió originalmente y R_{10} es arilo, se pueden preparar a partir de los alcoholes de la fórmula 7.1, en donde R_4 es como se define anteriormente, utilizando las condiciones de arilación descritas en el esquema 4, paso b, como se muestra en **c**.

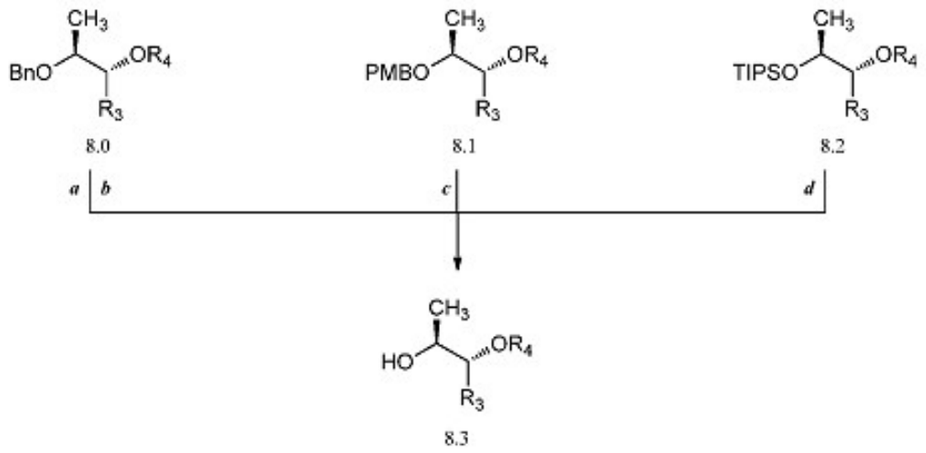
Esquema 7



7.0 7.1 7.2

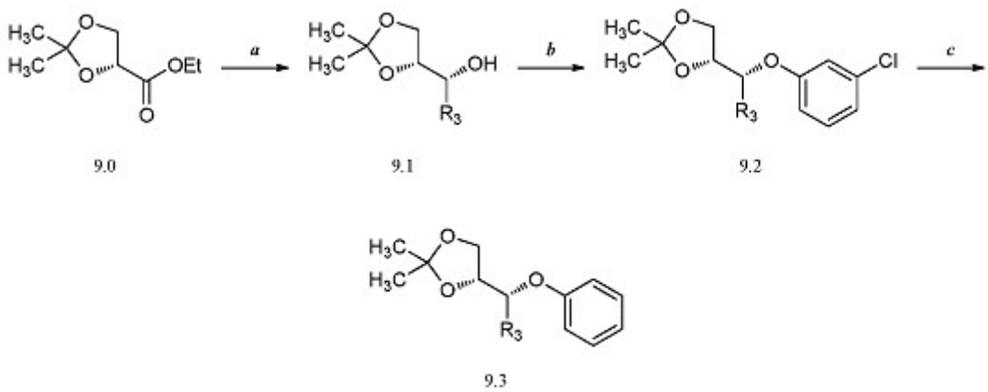
Los compuestos de la fórmula 8.3, en donde R_3 y R_4 son como se definieron originalmente, se pueden preparar de acuerdo con los métodos ilustrados en el esquema 8, pasos a–d. Los compuestos de la fórmula 8.3, en donde R_3 y R_4 son como se definen anteriormente, pero no alquenilo, se pueden preparar mediante el tratamiento de los compuestos de la fórmula 8.0, en donde R_3 y R_4 son como se definieron originalmente, con un catalizador, tal como paladio sobre carbón (Pd/C), en la presencia de gas de hidrógeno (H_2), en un solvente polar, tal como acetato de etilo (EtOAc) o metanol (MeOH), o con una fuente alternativa de hidrógeno, tal como ciclohexeno, en un solvente polar, tal como EtOH, como se muestra en **a**. Adicionalmente, los compuestos de la fórmula 8.0, en donde R_3 es como se define anteriormente y R_4 es un cloruro de arilo, se pueden someter a condiciones de hidrogenólisis modificadas, es decir, exponer una solución en EtOH del cloruro de arilo al H_2 en la presencia de Pd/C y NEt_3 para proporcionar los compuestos de la fórmula 8.3, en donde R_3 y R_4 son como se definieron originalmente, pero R_3 no es alquenilo, como se muestra en **b**. Los compuestos de la fórmula 8.3, en donde R_3 y R_4 son como se definieron originalmente, se pueden obtener mediante el tratamiento de los compuestos de la fórmula 8.1, en donde R_3 y R_4 son como se definieron originalmente, con un oxidante, tal como 2,3-dicloro-5,6-diciano-1,4-benzoquinona (DDQ), en una mezcla de solventes, tal como CH_2Cl_2 acuoso, como se indica en **c**. Los compuestos de la fórmula 8.3, en donde R_3 y R_4 son como se definieron originalmente, también se pueden preparar mediante el tratamiento de los compuestos de la fórmula 8.2, en donde R_3 y R_4 son como se definieron originalmente, con una fuente de fluoruro, tal como fluoruro de tetra-N-butil-amonio (TBAF), en un solvente, tal como tetrahidrofurano (THF), a una temperatura de aproximadamente 0°C a aproximadamente 23°C, como se ilustra en **d**.

Esquema 8



Los compuestos de la fórmula 9.3, en donde R_3 es como se definió originalmente, pero no alquenilo, se pueden preparar de acuerdo con los métodos ilustrados en el esquema 9, pasos a–c. Como se ilustra en **a**, el compuesto de la fórmula 9.0 se puede tratar con un agente reductor, tal como $LiBH_4$, y un nucleófilo de carbono, por ejemplo, un reactivo de Grignard, tal como cloruro de isopropil-magnesio, en un solvente aprótico polar, tal como tetrahidrofurano (THF), a una temperatura de aproximadamente -10°C a aproximadamente 0°C, para proporcionar los compuestos de la fórmula 9.1, en donde R_3 es como se definió originalmente. Los compuestos de la fórmula 9.2, en donde R_3 es como se definió originalmente, se pueden preparar a partir de los compuestos de la fórmula 9.1, en donde R_3 es como se define anteriormente, mediante el tratamiento con una base, tal como KOt-Bu, y apagando el anión de alcóxido resultante con un electrófilo, tal como 1-cloro-3-fluoro-benceno, en un solvente aprótico polar, tal como N,N-dimetil-formamida (DMF), como se muestra en **b**. Los compuestos de la fórmula 9.3, en donde R_3 es como se define anteriormente, se pueden preparar a partir de los compuestos de la fórmula 9.2, en donde R_3 es como se define anteriormente, empleando la metodología descrita en el esquema 8, paso b, como se muestra en **c**.

Esquema 9

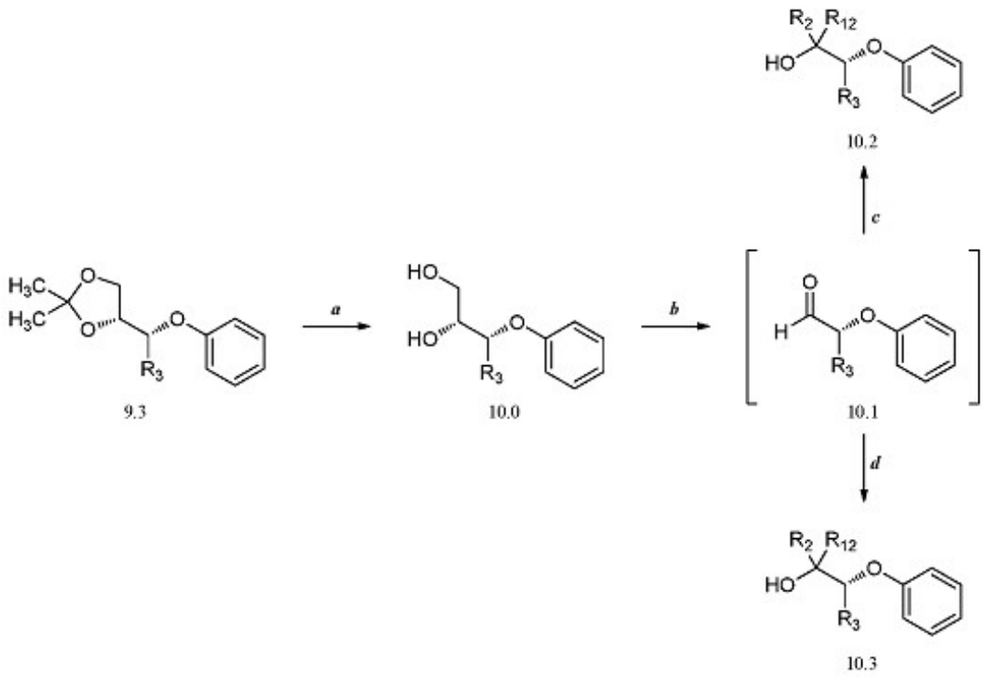


9.0 9.1 9.2

9.3

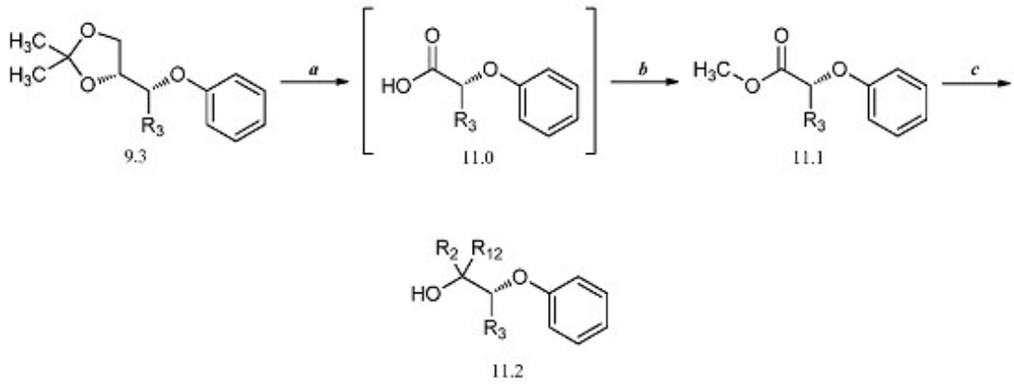
Los compuestos de la fórmula 10.2 y 10.3, en donde R_2 y R_3 son como se definieron originalmente, se pueden preparar empleando los métodos descritos en el esquema 10, pasos a–d. Los compuestos de la fórmula 9.3, en donde R_3 es como se definió originalmente, se pueden tratar con una solución ácida acuosa, tal como cloruro de hidrógeno (HCl) 1 normal (N), para proporcionar los dioles de la fórmula 10.0, en donde R_3 es como se definió originalmente, como se ilustra en **a**. Los compuestos de la fórmula 10.1, en donde R_3 es como se definió originalmente, se pueden preparar a partir de los compuestos de la fórmula 10.0, en donde R_3 es como se define anteriormente, mediante el tratamiento con un oxidante, tal como peryodato de sodio ($NaIO_4$), en un solvente halogenado, tal como CH_2Cl_2, a una temperatura de aproximadamente 23°C, como se muestra en **b**. Los aldehídos de la fórmula 10.1, en donde R_3 es como se define anteriormente, se pueden tratar con un agente reductor, tal como $NaBH_4$, en un solvente, tal como metanol (MeOH), a una temperatura de aproximadamente 23°C, para proporcionar los alcoholes de la fórmula 10.2, en donde R_2 y R_{12} son hidrógeno y R_3 es como se define anteriormente, como se muestra en **c**. Adicionalmente, los aldehídos de la fórmula 10.1, en donde R_3 es como se define anteriormente, se pueden tratar con un nucleófilo de carbono, por ejemplo, un reactivo de Grignard, tal como bromuro de etil-magnesio (EtMgBr), en un solvente aprótico polar, tal como tetrahidrofurano (THF), a una temperatura de aproximadamente -78°C, para proporcionar los compuestos de la fórmula 10.3, en donde R_2 y R_3 son como se definieron originalmente y R_{12} es hidrógeno, como se ilustra en **d**.

Esquema 10



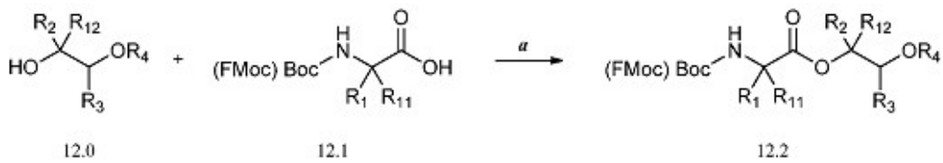
Los compuestos de la fórmula 11.2, en donde R_2, R_3 y R_{12} son como se definieron originalmente, se pueden preparar de acuerdo con los métodos ilustrados en el esquema 11, pasos a–c. Como se muestra en **a**, los acetales de la fórmula 9.3, en donde R_3 es como se definió originalmente, se pueden tratar con un oxidante, tal como ácido orto-peryódico, en un sistema mixto de solventes, tal como acetonitrilo (CH_3CN), tetracloruro de carbono (CCl_4) y agua (H_2O), seguido por un segundo oxidante, tal como tricloruro de rutenio ($RuCl_3$), para proporcionar los ácidos carboxílicos de la fórmula 11.0, en donde R_3 es como se definió originalmente. Los compuestos de la fórmula 11.0, en donde R_3 es como se define anteriormente, se pueden tratar con trimetil-silil-diazometano en una mezcla de solventes, tal como tetrahidrofurano (THF), benceno y metanol (MeOH), para proporcionar los ésteres de la fórmula 11.1, en donde R_3 es como se definió originalmente, como se muestra en **b**. Los compuestos de la fórmula 11.2, en donde R_2, R_3 y R_{12} son como se definen anteriormente, se pueden preparar a partir de los ésteres de la fórmula 11.1, en donde R_3 es como se define anteriormente, mediante el tratamiento con un nucleófilo de carbono, por ejemplo, un reactivo de Grignard, tal como bromuro de metil-magnesio (MeMgBr), en una mezcla de solventes etéreos, tales como tetrahidrofurano (THF) y Et_2O, a una temperatura de aproximadamente 0°C a aproximadamente 23°C, como se muestra en **c**.

Esquema 11



Los compuestos de la fórmula 12.2, en donde R_1, R_2, R_3, R_4, R_{11} y R_{12} son como se definieron originalmente, se pueden preparar de acuerdo con el método ilustrado en el esquema 12. Los alcoholes de la fórmula 12.0, en donde R_2, R_3, R_4 y R_{12} son como se definieron originalmente, se pueden tratar con los compuestos de la fórmula 12.1, en donde R_1 y R_{11} son como se definieron originalmente, con un reactivo de acoplamiento, tal como clorhidrato de 3-(etil-imino-metilen-amino)-N,N-dimetil-propan-1-amina (EDC) o una carbodi-imida soportada por polímero (PS-CDI) y un catalizador, tal como DMAP, en un solvente halogenado, tal como CH_2Cl_2, para proporcionar los compuestos de la fórmula 12.2, en donde R_1, R_2, R_3, R_4, R_{11} y R_{12} son como se definen anteriormente, como se muestra en **a**.

Esquema 12

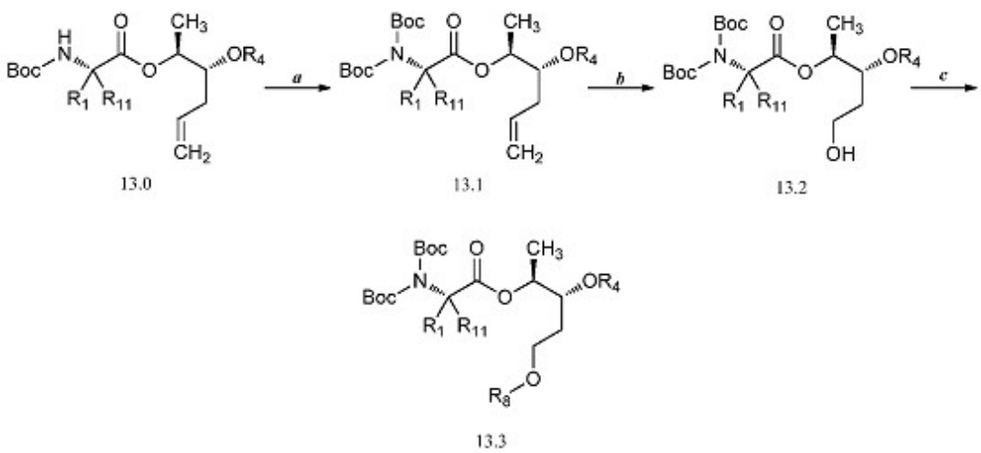


Los compuestos de la fórmula 13.3, en donde R_1, R_4 y R_{11} son como se definieron originalmente, y R_8 es alquilo, se pueden preparar de acuerdo con los métodos ilustrados en el esquema 13, pasos a–c. Como se ilustra en **a**, los compuestos de la fórmula 13.1, en donde R_1, R_4 y R_{11} son como se definieron originalmente, se pueden preparar mediante el tratamiento de los compuestos de la fórmula 13.0, en donde R_1, R_4 y R_{11} son como se definieron originalmente, con dicarbonato de diterbutilo (BOC_2O) y DMAP, en un solvente aprótico, tal como CH_3CN, a aproximadamente 23°C.

Los compuestos de la fórmula 13.2, en donde R_1, R_4 y R_{11} son como se definieron

originalmente, se pueden preparar a partir de los compuestos de la fórmula 13.1, en donde R_1, R_4 y R_{11} son como se definen anteriormente, utilizando las condiciones de ozonólisis descritas en el esquema 6, paso d, como se muestra en **b**. Los compuestos de la fórmula 13.3, en donde R_1, R_4, R_8 y R_{11} son como se definen anteriormente, se pueden preparar a partir de los compuestos de la fórmula 13.2, en donde R_1, R_4 y R_{11} son como se definen anteriormente, empleando la metodología descrita en el Esquema 6, paso b, como se muestra en **c**.

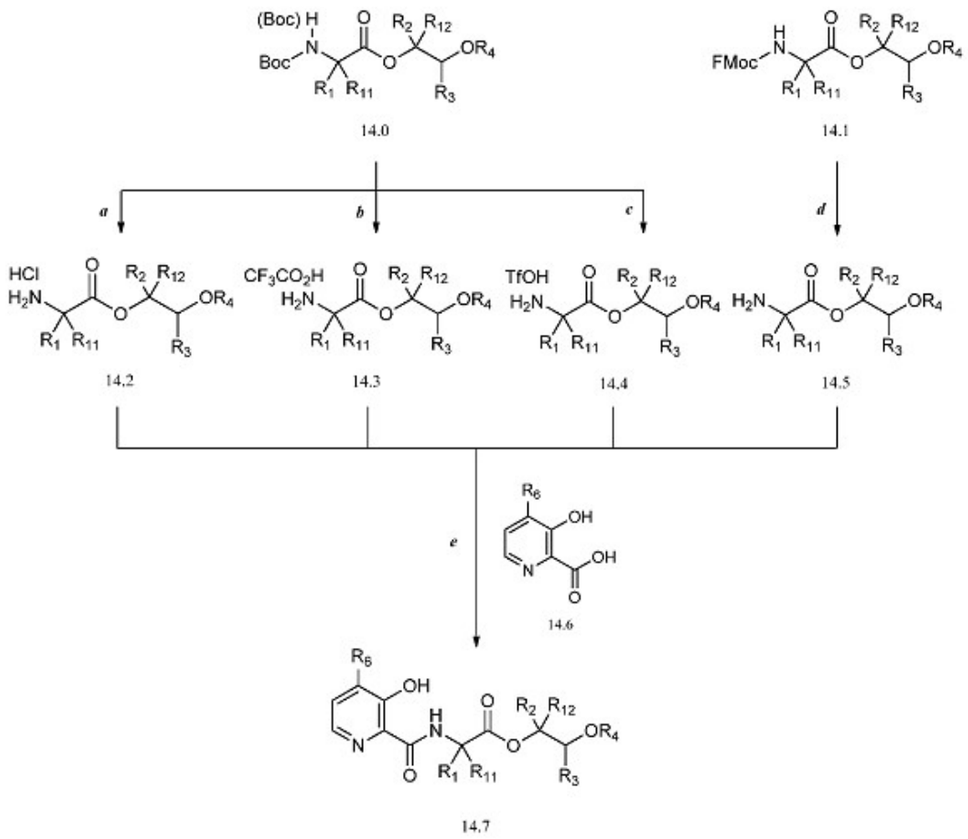
Esquema 13



Los compuestos de la fórmula 14.7, en donde R_1, R_2, R_3, R_4, R_6, R_{11} y R_{12} son como se definieron originalmente, se pueden preparar de acuerdo con los métodos ilustrados en el esquema 14, pasos a–e. Los compuestos de la fórmula 14.0, en donde R_1, R_2, R_3, R_4, R_{11} y R_{12} son como se definieron originalmente, pero no alquenilo, se pueden tratar con un ácido, tal como una solución 4N de HCl en dioxano, en un solvente halogenado, tal como CH_2Cl_2, para proporcionar los compuestos de la fórmula 14.2, en donde R_1, R_2, R_3, R_4, R_{11} y R_{12} son como se definieron originalmente, pero no alquenilo, como se muestra en **a**. Los compuestos de la fórmula 14.3, en donde R_1, R_2, R_3, R_4, R_{11} y R_{12} son como se definieron originalmente, se pueden preparar mediante el tratamiento de los compuestos de la fórmula 14.0, en donde R_1, R_2, R_3, R_4, R_{11} y R_{12} son como se definieron originalmente, con un ácido, tal como ácido 2,2,2-trifluoro-acético, en un solvente halogenado, tal como CH_2Cl_2, como se muestra en **b**. Los compuestos de la fórmula 14.4, en donde R_1, R_2, R_3, R_4, R_{11} y R_{12} son como se definieron originalmente, se pueden preparar mediante el tratamiento de los compuestos de la fórmula 14.0, en donde

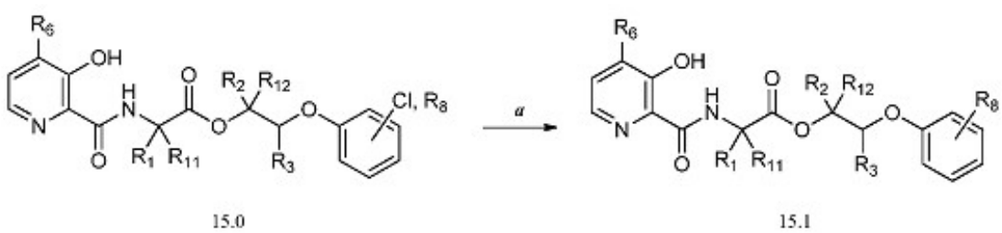
R_1, R_2, R_3, R_4, R_{11} y R_{12} son como se definieron originalmente, con un reactivo, tal como trifluoro-metan-sulfonato de trimetil-sililo (TMSOTf), y una base de amina, tal como 2,6-lutidina, en un solvente halogenado, tal como CH_2Cl_2, como se muestra en **c**. Los compuestos de la fórmula 14.5, en donde R_1, R_2, R_3, R_4, R_{11} y R_{12} son como se definen anteriormente, se pueden preparar mediante el tratamiento de los compuestos de la fórmula 14.1, en donde R_1, R_2, R_3, R_4, R_{11} y R_{12} son como se definieron originalmente, con una base de amina, tal como morfolina, en un solvente aprótico polar, tal como tetrahidrofurano (THF), como se muestra en **d**. Los compuestos de las fórmulas 14.2, 14.3, 14.4 y 14.5, en donde R_1, R_2, R_3, R_4, R_{11} y R_{12} son como se definieron originalmente, se pueden tratar con los compuestos de la fórmula 14.6, en donde R_6 es como se definió originalmente, en la presencia de una base, tal como di-isopropil-etil-amina (DIPEA), y un reactivo de acoplamiento de péptidos, tal como hexafluoro-fosfato de benzotriazol-1-il-oxi-tripirrolidino-fosfonio (PyBOP) o hexafluoro-fosfato de O-(7-azabenzotriazol-1-il)-N,N,N′,N′-tetrametil-uronio (HATU), en un solvente halogenado, tal como CH_2Cl_2, para proporcionar los compuestos de la fórmula 14.7, en donde R_1, R_2, R_3, R_4, R_6, R_{11} y R_{12} son como se definen anteriormente como se muestra en **e**.

Esquema 14



Los compuestos de la fórmula 15.1, en donde R_1, R_2, R_3, R_6, R_{11} y R_{12} son como se definieron originalmente, pero no alquenilo, y R_8 es como se definió originalmente, pero no alquenilo o cloro, se pueden preparar de acuerdo con el método ilustrado en el esquema 15. Los compuestos de la fórmula 15.0, en donde R_1, R_2, R_3, R_6, R_8, R_{11} y R_{12} son como se definieron originalmente, se pueden someter a las condiciones de hidrogenación descritas en el esquema 8, paso b, para proporcionar los compuestos de la fórmula 15.1, en donde R_1, R_2, R_3, R_6, R_8, R_{11} y R_{12} son como se definen anteriormente, como se ilustra en **a**.

Esquema 15



Los compuestos de la fórmula 16.1, en donde R_1, R_2, R_3, R_4, R_6, R_7, R_{11} y R_{12} son como se definieron originalmente, se pueden preparar de acuerdo con el método ilustrado

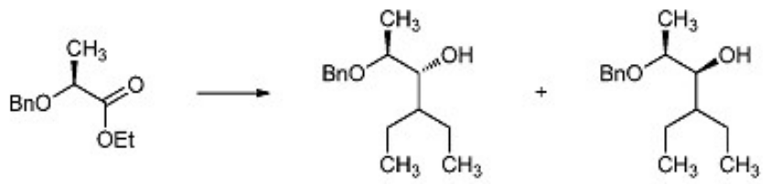
en el esquema 16. Los compuestos de la fórmula 16.0, en donde R_1, R_2, R_3, R_4, R_6, R_{11} y R_{12} son como se definen anteriormente, se pueden tratar con un haluro de alquilo apropiado con o sin un reactivo, tal como yoduro de sodio (NaI), y una base alcalina de carbonato, tal como Na_2CO_3 o carbonato de potasio (K_2CO_3), en un solvente, tal como acetona, o mediante el tratamiento con un haluro de acilo, en la presencia de una base de amina, tal como piridina, NEt_3, DMAP, o mezclas de las mismas, en un solvente aprótico, tal como CH_2Cl_2, para proporcionar los compuestos de la fórmula 16.1, en donde R_1, R_2, R_3, R_4, R_6, R_7, R_{11} y R_{12} son como se definen anteriormente, como se muestra en **a**.

Esquema 16



EJEMPLOS

Ejemplo 1A: Preparación de (2S,3R)-2-(benciloxi)-4-etil-hexan-3-ol y (2S,3S)-2-(benciloxi)-4-etil-hexan-3-ol.



A una solución de bromuro de pentan-3-il-magnesio (77.0 mililitros (mL), 154 milimoles (mmol)), y borohidruro de litio ($LiBH_4$; 49.9 mililitros, 100 milimoles, 2 molar (M) en tetrahidrofurano (THF)), en tetrahidrofurano (THF) (400 mililitros) a -5°C, se le agregó 2-(benciloxi)-propanoato de (S)-etilo limpio (16.0 gramos (g), 77.0 milimoles) por goteo mediante una adición con bomba de jeringa durante un período de aproximadamente 1 hora (h), a una velocidad que mantuvo la temperatura interna debajo de -3°C. El recipiente de reacción se dejó calentar lentamente hasta la temperatura ambiente durante la noche, y la mezcla de reacción se apagó agregando lentamente la mezcla al agua (H_2O, 300 mililitros) durante un período de 30 minutos (min). La mezcla se diluyó con dietil-éter (Et_2O; 300 mililitros), las fases se separaron, y la fase acuosa (ac.) se extrajo

con Et_2O (100 mililitros, 2 veces). Las fases orgánicas combinadas se lavaron con cloruro de sodio acuoso saturado (sat.) (NaCl, salmuera; 300 mililitros), se secaron sobre sulfato de magnesio ($MgSO_4$), se filtraron, y se concentraron. El aceite resultante se purificó mediante cromatografía en columna por evaporación instantánea (gel de sílice (SiO_2), 0 → 15 por ciento de acetato de etilo (EtOAc) en hexanos), para proporcionar los compuestos del título (9.61 gramos, 53 por ciento, y 3.46 gramos, 19 por ciento, respectivamente), como aceites incoloros:

Mayor: IR (Película delgada) 3471, 3031, 2962, 2932, 2874, 1454, 1382 cm^{-1}; ^1H RMN (400 MHz, $CDCl_3$) δ 7.38 – 7.26 (m, 5H), 4.60 (d, J = 11.8 Hz, 1H), 4.51 (d, J = 11.8 Hz, 1H), 3.68 (ddd, J = 7.4, 3.6, 2.7 Hz, 1H), 3.63 (qd, J = 6.2, 3.7 Hz, 1H), 2.05 (d, J = 2.8 Hz, 1H), 1.65 (dq, J = 9.9, 7.4 Hz, 1H), 1.44 – 1.34 (m, 2H), 1.36 – 1.18 (m, 2H), 1.18 (d, J = 6.2 Hz, 3H), 0.88 (t, J = 7.3 Hz, 3H), 0.84 (t, J = 7.4 Hz, 3H); ^{13}C RMN (101 MHz, $CDCl_3$) δ 138.53, 128.41, 127.63, 127.60, 75.65, 73.56, 70.50, 41.34, 20.59, 20.51, 13.13, 10.44, 10.29;

Menor: IR (Película delgada) 3472, 3031, 2961, 2932, 2874, 1497, 1454, 1376 cm^{-1}; ^1H RMN (400 MHz, $CDCl_3$) δ 7.39 – 7.32 (m, 4H), 7.32 – 7.26 (m, 1H), 4.68 (d, J = 11.3 Hz, 1H), 4.44 (d, J = 11.4 Hz, 1H), 3.66 – 3.54 (m, 1H), 3.43 (dt, J = 6.8, 3.8 Hz, 1H), 2.43 (dd, J = 4.0, 0.8 Hz, 1H), 1.54 – 1.36 (m, 3H), 1.36 – 1.23 (m, 2H), 1.19 (d, J = 6.1 Hz, 3H), 0.90 (t, J = 7.4 Hz, 3H), 0.89 (t, J = 7.3 Hz, 3H); ^{13}C RMN (101 MHz, $CDCl_3$) δ 138.40, 128.46, 127.79, 127.73, 76.67, 76.07, 70.99, 42.65, 22.73, 20.79, 15.78, 11.98, 11.65.

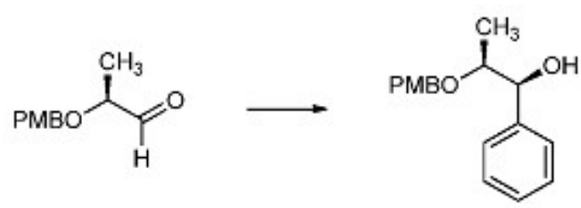
Ejemplo 1B, Paso 1: Preparación de (S)-2-((4-metoxi-bencil)-oxi)-propanal.



A una solución de 2-((4-metoxi-bencil)-oxi)-propanoato de (S)-etilo (5.00 gramos, 21.0 milimoles) en CH_2Cl_2 (30 mililitros) a 0°C, se le agregó un dímero de cloro-bis-(ciclo-octeno)-iridio(I) ($IR_2Cl_2(coe)_4$; 94.0 miligramos (mg), 0.105 milimoles), seguido por dietil-silano (Et_2SiH_2; 4.08 mililitros, 31.5 mili-moles) durante un período de 10 minutos. La mezcla se agitó a 0°C durante 30 minutos, se calentó hasta la temperatura ambiente, y se agitó durante 3 horas, se enfrió hasta 0°C, y se apagó mediante la adición de cloruro de

hidrógeno acuoso 1 normal (N) (HCl; 12 mililitros). La solución resultante se calentó hasta la temperatura ambiente, y se agitó durante 15 minutos. Las fases se separaron, y la fase acuosa se extrajo con CH_2Cl_2 (30 mililitros, 3 veces). Las fases orgánicas combinadas se lavaron con salmuera, se secaron sobre sulfato de sodio (Na_2SO_4), se filtraron, se evaporaron, y se purificaron mediante cromatografía en columna por evaporación instantánea (SiO_2, 2 → 50 por ciento de acetona en hexanos), para proporcionar el compuesto del título (4.27 gramos, 100 por ciento), como un aceite amarillo: IR (Película delgada) 2934, 2837, 2865, 1731, 1512 cm^{-1}; ^1H RMN (300 MHz, $CDCl_3$) δ 9.64 (d, J = 1.9 Hz, 1H), 7.35– 7.21 (m, 2H), 6.95– 6.79 (m, 2H), 4.63– 4.40 (m, 2H), 3.94– 3.76 (m, 1H), 3.81 (s, 3H), 1.31 (d, J = 6.9 Hz, 3H); ^{13}C RMN (101 MHz, $CDCl_3$) δ 203.58, 159.54, 129.65, 129.37, 113.98, 79.14, 71.75, 55.30, 15.34.

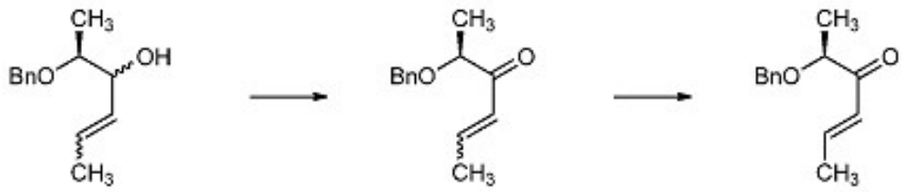
Ejemplo 1B, Paso 2: Preparación de (1S,2S)-2-((4-metoxi-bencil)-oxi)-1-fenil-propan-1-ol.



A una solución de (S)-2-((4-metoxi-bencil)-oxi)-propanal (3.38 gramos, 17.4 milimoles) en Et_2O (58 mililitros) a -78°C, se le agregó bromuro de fenil-magnesio (34.8 mililitros, 34.8 mili-moles, 1 M en tetrahidrofurano (THF)) por goteo, y la mezcla de reacción se dejó calentar hasta la temperatura ambiente, se agitó durante la noche, y se apagó mediante la adición de cloruro de amonio acuoso saturado (NH_4Cl). La mezcla se dividió entre H_2O y EtOAc, las fases se separaron, y la fase acuosa se extrajo con EtOAc (2 veces). Las fases orgánicas combinadas se lavaron con salmuera, se secaron sobre Na_2SO_4, se filtraron, se evaporaron, y se purificaron mediante cromatografía en columna por evaporación instantánea (SiO_2, 2 → 50 por ciento de acetona en hexanos), para proporcionar una mezcla inseparable de diaestereómeros (d.r. 3:1 SS:RS) del compuesto del título (3.29 gramos, 66 por ciento), como un aceite amarillo: ^1H RMN (400 MHz, $CDCl_3$; mayor) δ 7.37– 7.25 (m, 7H), 6.89 (d, J = 8.6 Hz, 2H), 4.62 (d, J = 11.0 Hz, 1H), 4.44 (dd, J = 7.8, 2.1 Hz, 1H), 4.41 (d, J = 11.0 Hz, 1H), 3.82 (s, 3H), 3.60 (dq, J = 7.8, 6.2 Hz, 1H),

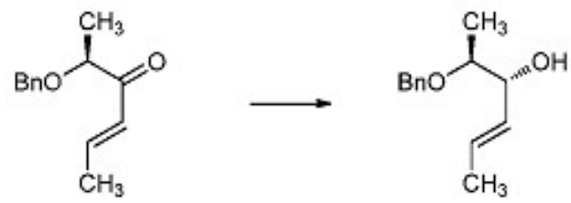
3.21 (d, J = 2.1 Hz, 1H), 1.05 (d, J = 6.2 Hz, 3H); ^{13}C RMN (101 MHz, $CDCl_3$) δ 159.34, 140.56, 130.21, 129.46, 128.31, 127.25, 126.31, 113.93, 79.66, 78.32, 70.92, 55.30, 15.56; ESIMS m/z 295 (([M+Na]$^+$)).

Ejemplo 1B, Paso 3: Preparación de (S,E)-2-(benciloxi)-hex-4-en-3-ona.



A una solución de (2S)-2-(benciloxi)-hex-4-en-3-ol (1.3 gramos, 6.30 milimoles), y bicarbonato de sodio ($NaHCO_3$; 0.582 gramos, 6.93 milimoles) en CH_2Cl_2 (25.2 mililitros) a 0°C, se le agregó peryodinano Dess-Martin (DMP; 2.94 gramos, 6.93 milimoles), y la mezcla de reacción se removió del baño frío, se agitó a temperatura ambiente durante 6 horas, y se apagó mediante la adición de tiosulfato de sodio acuoso saturado ($Na_2S_2O_3$; 10 mililitros). La mezcla se diluyó con CH_2Cl_2 (10 mililitros), y la solución bifásica se agitó vigorosamente durante 15 minutos, se diluyó con H_2O (10 mililitros), y las fases se separaron. La fase acuosa se extrajo con CH_2Cl_2 (15 mililitros, 2 veces), y las fases orgánicas combinadas se lavaron sucesivamente con $NaHCO_3$ acuoso saturado (10 mililitros), H_2O (20 mililitros), y salmuera (20 mililitros), se secaron sobre Na_2SO_4, se filtraron, y se concentraron. El residuo crudo se purificó mediante cromatografía en columna por evaporación instantánea (SiO_2, 0 → 50 por ciento de EtOAc en hexanos), para proporcionar el compuesto del título (480 miligramos, 37 por ciento), y (S,Z)-2-((4-metoxi-bencil)-oxi)-hex-4-en-3-ona, la última de los cuales se disolvió en CH_2Cl_2 (5 mililitros), y se agitó en la presencia de DABCO (10 miligramos) durante 18 horas, para proporcionar el compuesto del título adicional (400 miligramos, 31 por ciento): ^{1}H RMN (400 MHz, $CDCl_3$) δ 7.40 – 7.26 (m, 5H), 7.08 (dq, J = 15.6, 6.9 Hz, 1H), 6.55 (dq, J = 15.6, 1.7 Hz, 1H), 4.57 (d, J = 11.7 Hz, 1H), 4.43 (d, J = 11.7 Hz, 1H), 4.05 (q, J = 6.9 Hz, 1H), 1.93 (dd, J = 6.9, 1.7 Hz, 3H), 1.36 (d, J = 6.9 Hz, 3H); ^{13}C RMN (101 MHz, $CDCl_3$) δ 201.11, 144.70, 137.66, 128.45, 127.84, 126.07, 80.00, 71.76, 18.56, 18.00; ESIMS m/z 205 (([M+H]$^+$)).

Ejemplo 1B, Paso 4: Preparación de (2S,3R,E)-2-(benciloxi)-hex-4-en-3-ol.



A una solución de $NaBH_4$ (445 miligramos, 11.8 milimoles) en Et_2O (15.7 mililitros) a 0°C, se le agregó cloruro de zinc(II) ($ZnCl_2$; 5.90 mililitros, 5.87 milimoles, 1 M en Et_2O), y la mezcla se removió del baño frío y se agitó a temperatura ambiente durante 18 horas. La mezcla de reacción se enfrió hasta 0°C, se trató por goteo con una solución de (S,E)-2-(benciloxi)-hex-4-en-3-ona (800 miligramos, 3.92 milimoles) en Et_2O (2 mililitros), y se agitó durante 2 horas. La mezcla de reacción se calentó hasta la temperatura ambiente, se agitó a temperatura ambiente durante 3 horas, se diluyó con tetrahidrofurano (THF) (5 mililitros), y la agitación se continuó durante 1 hora adicional, y entonces se apagó mediante la adición cuidadosa de NH_4Cl acuoso saturado (25 mililitros). Las fases se separaron, y la fase acuosa se extrajo con Et_2O (20 mililitros, 3 veces). Las fases orgánicas combinadas se lavaron con salmuera (10 mililitros), se secaron sobre Na_2SO_4, se filtraron, se evaporaron, y el residuo crudo se purificó mediante cromatografía en columna por evaporación instantánea (SiO_2, 0 → 35 por ciento de EtOAc en hexanos), para proporcionar el compuesto del título (620 miligramos, 77 por ciento), como un aceite incoloro: ^{1}H RMN (400 MHz, $CDCl_3$) δ 7.38– 7.24 (m, 5H), 5.80– 5.66 (m, 1H), 5.55 – 5.43 (m, 1H), 4.63 (d, J = 11.8 Hz, 1H), 4.53 (d, J = 11.8 Hz, 1H), 4.20 – 4.12 (m, 1H), 3.57 (qd, J = 6.4, 3.4 Hz, 1H), 2.28 – 2.22 (m, 1H), 1.75 – 1.68 (m, 3H), 1.14 (d, J = 6.3 Hz, 3H); ^{13}C RMN (101 MHz, $CDCl_3$) δ 138.54, 129.43, 128.68, 128.42, 127.64, 77.76, 74.62, 70.86, 17.91, 14.20; ESIMS m/z 229 (($[M+Na]^+$)).

Ejemplo 1C, Paso 1: Preparación de (S)-2-((tri-isopropil-silil)-oxi)-propanal.



A una solución de 2-((tri-isopropil-silil)-oxi)-propanoato de (S)-etilo (20.5 gramos, 74.7 milimoles) en CH_2Cl_2 (373 mili-litros) a -78°C, se le agregó una solución de hidruro de di-isopropil-aluminio (DIBAL; 149 mililitros, 149 milimoles, 1 M en CH_2Cl_2) durante 4 horas,

y la mezcla de reacción se agitó a -78°C durante 30 minutos adicionales, se apagó con EtOAc (75 mililitros), y se calentó a 0°C. La mezcla heterogénea se trató con tartrato de sodio acuoso (aproximadamente 200 mililitros), y la mezcla se calentó hasta la temperatura ambiente, y se agitó vigorosamente durante la noche. Las fases se separaron, y la fase acuosa se extrajo con CH_2Cl_2 (150 mililitros, 2 veces). Las fases orgánicas combinadas se secaron sobre Na_2SO_4, se filtraron, y se concentraron hasta obtener un aceite, el cual se purificó mediante cromatografía en columna por evaporación instantánea (SiO_2, 0 → 10 por ciento de EtOAc en hexanos), para proporcionar el compuesto del título (12.64 gramos, 70 por ciento), como un aceite incoloro transparente: ^{1}H RMN (400 MHz, $CDCl_3$) δ 9.66 (d, J = 1.7 Hz, 1H), 4.18 (qd, J = 6.8, 1.7 Hz, 1H), 1.31 (d, J = 6.8 Hz, 3H), 1.07 (td, J = 5.6, 5.0, 3.2 Hz, 21H); ^{13}C RMN (101 MHz, $CDCl_3$) δ 204.58, 73.82, 18.95, 17.89, 12.14; EIMS m/z 187 $[M\text{-}i\text{-}Pr]^+$.

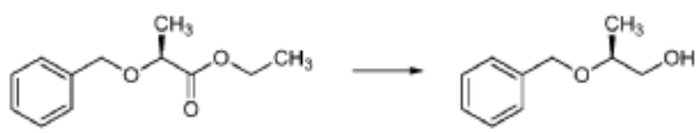
Ejemplo 1C, Paso 2: Preparación de (2S,3R)-2-((tri-isopropil-silil)-oxi)-hex-5-en-3-ol.



A una solución de (+)-Ipc_2-alil-borano (25.0 mililitros, 25.0 milimoles, 1 M en pentano) en Et_2O (100 mililitros) a -78°C, se le agregó una solución de (S)-2-((tri-isopropil-silil)-oxi)-propanal (4.61 gramos, 20.0 milimoles) en Et_2O (60 mililitros) durante 1.5 horas, y la mezcla de reacción se agitó a -78°C durante 1.5 horas adicionales, se trató con metanol (MeOH) (50 mililitros), y se agitó durante 5 minutos. La mezcla se trató con un regulador a un pH de 7 (70 mililitros), se calentó hasta 0°C, y se trató con H_2O_2 acuoso al 30 por ciento (60 mililitros). La mezcla de reacción se agitó a 0°C durante 2.5 horas, se dejó calentar lentamente hasta la temperatura ambiente, y se agitó durante 30 horas. Las fases se separaron, y la fase acuosa se extrajo con Et_2O (100 mililitros, 3 veces). Las fases orgánicas combinadas se secaron sobre $MgSO_4$, se filtraron, y se concentraron hasta obtener un aceite transparente, el cual se purificó mediante cromatografía en columna por evaporación instantánea (SiO_2, 0 → 15 por ciento de EtOAc en hexanos),

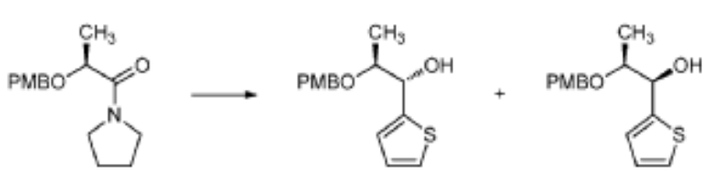
para proporcionar el compuesto del título (5.00 gramos, 87 por ciento), como un aceite de color ligeramente rosado transparente: IR (limpio) 3480, 2943, 2866, 1463, 1067, 881 cm^{-1}; ^1H RMN (400 MHz, $CDCl_3$) δ 5.85 (ddt, J = 17.2, 10.2, 7.0 Hz, 1H), 5.22 – 4.97 (m, 2H), 3.93 (qd, J = 6.2, 3.3 Hz, 1H), 3.70 (ddt, J = 8.3, 5.7, 2.9 Hz, 1H), 2.34 (d, J = 2.6 Hz, 1H), 2.30 – 2.09 (m, 2H), 1.14 (d, J = 6.3 Hz, 3H), 1.12 – 1.03 (m, 21H); HRMS–ESI (m/z) ($[M+H]^+$) calculada para $C_{15}H_{33}O_2Si$, 274.2270; encontrada, 274.2274.

Ejemplo 1D: Preparación de (S)-2-(benciloxi)-propan-1-ol.



A una solución de LAH (48.0 mililitros, 24.0 milimoles, 0.5M en Et_2O) a 0°C, se le agregó 2-(benciloxi)-propanoato de (S)-etilo (5.00 gramos, 24.0 milimoles) por goteo durante un período de 10 minutos, y la mezcla de reacción se agitó a 0°C durante 3 horas, se apagó lentamente mediante la adición sucesiva de H_2O (900 microlitros), NaOH 1N (900 microlitros), y agua (2.7 mililitros). La pasta acuosa resultante se agitó durante 10 minutos a temperatura ambiente, se trató con Na_2SO_4 y la mezcla se filtró a través de Celite®. El filtrado se concentró, para proporcionar el compuesto del título (4.00 gramos, 24.1 milimoles, 100 por ciento), como un aceite incoloro: ^1H RMN (400 MHz, $CDCl_3$) δ 7.41 – 7.26 (m, 5H), 4.65 (d, J = 11.6 Hz, 1H), 4.48 (d, J = 11.6 Hz, 1H), 3.74 – 3.56 (m, 2H), 3.49 (ddd, J = 11.5, 7.0, 4.6 Hz, 1H), 2.21 (dd, J = 7.9, 4.6 Hz, 1H), 1.17 (d, J = 6.2 Hz, 3H); ^{13}C RMN (101 MHz, $CDCl_3$) δ 138.46, 128.48, 127.75, 127.73, 75.57, 70.82, 66.36, 15.89; EIMS m/z 166.

Ejemplo 1E: Preparación de (1S,2S)-2-((4-metoxi-bencil)-oxi)-1-(tiofen-2-il)-propan-1-ol y (1R,2S)-2-((4-metoxi-bencil)-oxi)-1-(tiofen-2-il)-propan-1-ol.



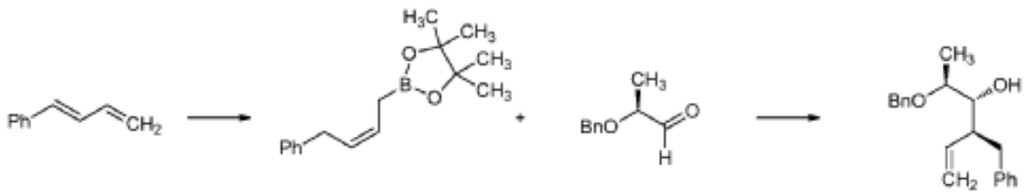
A una solución de tiofen-2-il-litio (4.00 mililitros, 4.00 milimoles, 1 M en tetrahidrofurano (THF)), y borohidruro de litio ($LiBH_4$; 1.30 mililitros, 2.60 milimoles, 2 M en tetrahidrofurano (THF)), en tetrahidrofurano (THF) (10 mililitros) a -10°C, se le agregó (S)-

2-((4-metoxi-bencil)-oxi)-1-(pirrolidin-1-il)-propan-1-ona limpia (0.527 gramos, 2.00 milimoles) (para la preparación véase: Pellicena, M.; Solsona, J. G.; Romea, P.; Urpi, F. Tetrahedron 2012, 68, 10338) por goteo mediante una adición con bomba de jeringa durante un período de aproximadamente 1 hora, a una velocidad que mantuvo la temperatura interna debajo de -5°C. El recipiente de reacción se dejó calentar lentamente hasta la temperatura ambiente durante la noche, y la mezcla de reacción se apagó mediante la adición de NH_4Cl acuoso saturado. La fase acuosa se extrajo con Et_2O (3 veces). Las fases orgánicas combinadas se lavaron con salmuera, se secaron sobre Na_2SO_4, se filtraron, se evaporaron, y se purificaron mediante cromatografía en columna por evaporación instantánea (SiO_2, 2 → 10 por ciento de acetona en hexanos), para proporcionar los compuestos del título (0.231 gramos, 41 por ciento, y 0.175 gramos, 31 por ciento, respectivamente), como aceites incoloros:

Mayor: ^{1}H RMN (300 MHz, $CDCl_3$) δ 7.32 – 7.21 (m, 3H), 7.05 – 6.93 (m, 2H), 6.94 – 6.83 (m, 2H), 5.03 (t, J = 4.2 Hz, 1H), 4.61 (d, J = 11.4 Hz, 1H), 4.48 (d, J = 11.3 Hz, 1H), 3.81 (s, 3H), 3.88 – 3.73 (m, 1H), 2.59 (d, J = 4.4 Hz, 1H), 1.13 (d, J = 6.3 Hz, 3H); ESIMS m/z 579 ($[2M+Na]^+$).

Menor: ^{1}H RMN (300 MHz, $CDCl_3$) δ 7.34 – 7.22 (m, 3H), 7.06 – 6.92 (m, 2H), 6.95 – 6.84 (m, 2H), 4.73 (dd, J = 7.3, 2.7 Hz, 1H), 4.63 (d, J = 10.9 Hz, 1H), 4.44 (d, J = 11.0 Hz, 1H), 3.82 (s, 3H), 3.67 (dq, J = 7.3, 6.2 Hz, 1H), 3.29 (d, J = 2.8 Hz, 1H), 1.14 (d, J = 6.1 Hz, 3H); ESIMS m/z 579 ($[2M+Na]^+$).

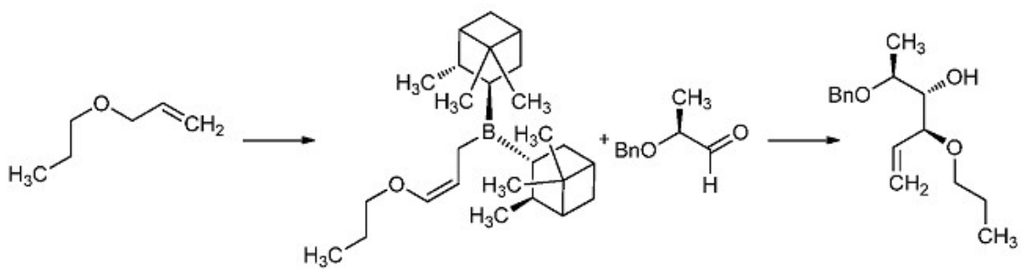
Ejemplo 2: Preparación de (2S,3R,4S)-4-bencil-2-(benciloxi)-hex-5-en-3-ol.



A un matraz de fondo redondo se le agregaron bis-(ciclo-octadieno)-níquel(0) ($Ni(cod)_2$; 0.168 gramos, 0.609 milimoles), y triciclohexil-fosfina ($P(C_6H_{11})_3$; 0.213 gramos, 0.761 mili-moles), bajo una atmósfera inerte (bolsa de guantes con gas de nitrógeno (N_2)), y el matraz se tapó y se removió de la bolsa. La mezcla se diluyó con tolueno (22 mililitros), y se agregó 4,4,5,5-tetrametil-1,3,2-dioxaborolano (6.63 mililitros, 45.7 mili-

moles), a temperatura ambiente. La mezcla de reacción se enfrió hasta 0°C en un baño de hielo, y se trató con (E)-buta-1,3-dien-1-il-benceno limpio (4.76 gramos, 36.5 milimoles) por goteo durante un período de 10 minutos. La mezcla se removió del baño de hielo y se agitó a temperatura ambiente durante 2 horas, se enfrió hasta -78°C en un baño de hielo seco/acetona, y se trató con (S)-2-(benciloxi)-propanal (5.00 gramos, 30.5 milimoles), seguido por BF_3•OEt_2 (0.376 mililitros, 3.05 mili-moles). La mezcla de reacción se dejó calentar lentamente hasta la temperatura ambiente durante la noche, y se apagó mediante el tratamiento con metanol (MeOH) (5 mililitros). Después de agitar durante 30 minutos, la mezcla de reacción se concentró y se purificó mediante cromatografía en columna por evaporación instantánea (SiO_2, 0 → 50 por ciento de EtOAc en hexanos), para proporcionar el compuesto del título (8.95 gramos, 99 por ciento), como un aceite incoloro: ^{1}H RMN (400 MHz, $CDCl_3$) δ 7.39 – 7.30 (m, 3H), 7.32 – 7.25 (m, 1H), 7.25 – 7.21 (m, 2H), 7.20 – 7.11 (m, 4H), 5.45 (ddd, J = 17.2, 10.3, 9.5 Hz, 1H), 4.93 (dd, J = 10.3, 1.8 Hz, 1H), 4.79 (ddd, J = 17.2, 1.9, 0.7 Hz, 1H), 4.55 (d, J = 11.7 Hz, 1H), 4.46 (d, J = 11.7 Hz, 1H), 3.76 (ddd, J = 9.2, 3.2, 2.2 Hz, 1H), 3.56 (qd, J = 6.3, 3.1 Hz, 1H), 3.19 (dd, J = 13.3, 3.5 Hz, 1H), 2.58 (dd, J = 13.4, 9.3 Hz, 1H), 2.39 (dt, J = 9.2, 3.4 Hz, 1H), 2.37 (d, J = 2.3 Hz, 1H), 1.17 (d, J = 6.3 Hz, 3H); ^{13}C RMN (101 MHz, $CDCl_3$) δ 139.92, 138.48, 137.37, 129.81, 128.46, 127.94, 127.70, 127.66, 125.76, 117.21, 76.22, 73.78, 70.56, 48.44, 37.63, 12.21; ESIMS m/z 319 (([M+Na]$^+$)).

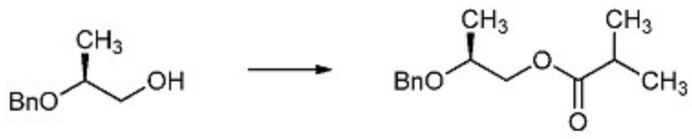
Ejemplo 3: Preparación de (2S,3S,4S)-2-(benciloxi)-4-fenoxi-hex-5-en-3-ol.



A una solución de 3-propoxi-prop-1-eno (5.77 gramos, 57.6 milimoles) en tetrahidrofurano (THF) (87 mililitros) a –78°C, se le agregó lentamente una solución de sec-butil-litio (s-BuLi; 37.4 mililitros, 52.4 milimoles, 1.4 M en ciclohexano), y la solución resultante se agitó durante 40 minutos a –78°C, se trató con metoxi-bis-((2S,3R)-2,6,6-trimetil-biciclo-[3.1.1]-heptan-3-il)-borano (16.57 gramos, 52.4 milimoles), y se agitó a –

78°C durante 2.5 horas adicionales. La mezcla de reacción se calentó a 0°C, y se apagó a 0°C mediante la adición lenta de hidróxido de sodio acuoso 1 N (NaOH; 63 mililitros), seguido por peróxido de hidrógeno acuoso al 30 por ciento (H_2O_2; 21 mililitros). La mezcla resultante se calentó hasta la temperatura ambiente, y se agitó durante la noche. Las fases se separaron, y la fase acuosa se extrajo con Et_2O (3 veces), y los extractos orgánicos combinados se lavaron con H_2O y salmuera, se secaron sobre Na_2SO_4, se filtraron, y se evaporaron. El aceite crudo resultante se purificó mediante destilación Kugelrhor (temperatura (T) = 60°C, 0.4 – 0.6 milímetros (mm) de Hg), para proporcionar el compuesto del título (10.6 gramos, 77 por ciento), como un aceite ligeramente amarillo: ^{1}H RMN (400 MHz, $CDCl_3$) δ 7.37 – 7.33 (m, 4H), 7.32 – 7.26 (m, 1H), 5.76 (ddd, J = 17.2, 10.4, 7.5 Hz, 1H), 5.28 (ddd, J = 8.9, 1.8, 0.9 Hz, 1H), 5.28 – 5.22 (m, 1H), 4.61 (d, J = 11.6 Hz, 1H), 4.48 (d, J = 11.7 Hz, 1H), 3.83 (ddt, J = 7.5, 4.5, 0.9 Hz, 1H), 3.58 (p, J = 6.1 Hz, 1H), 3.53 – 3.43 (m, 2H), 3.18 (dt, J = 9.1, 6.6 Hz, 1H), 2.42 (d, J = 5.8 Hz, 1H), 1.62 – 1.45 (m, 2H), 1.27 (d, J = 6.2 Hz, 3H), 0.90 (t, J = 7.4 Hz, 3H); ^{13}C RMN (101 MHz, $CDCl_3$) δ 138.59, 135.88, 128.34, 127.77, 127.54, 118.33, 80.16, 76.18, 74.70, 70.69, 70.47, 23.01, 15.25, 10.70; HRMS–ESI (m/z) ($[M+H]^+$) calculada para $C_{16}H_{25}O_3$, 265.1798; encontrada, 265.1793.

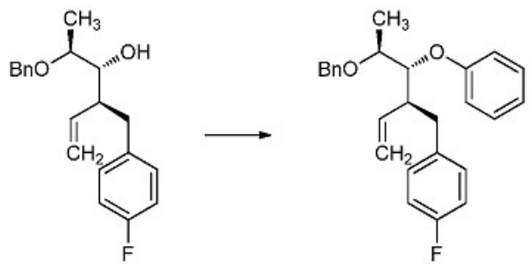
Ejemplo 4A: Preparación de isobutirato de (S)-2-(benciloxi)-propilo.



A una solución de (S)-2-(benciloxi)-propan-1-ol (500 miligramos, 3.01 milimoles) en CH_2Cl_2 anhidro (10 mililitros), se le agregaron trietil-amina (NEt_3; 839 microlitros (µL), 6.02 milimoles), DMAP (36.7 miligramos, 0.301 milimoles), y cloruro de isobutirilo (473 microlitros, 4.51 milimoles), y la solución resultante se agitó durante la noche a temperatura ambiente. La mezcla de reacción se vertió en HCl acuoso 1 N (20 mililitros), las fases se separaron, y la fase acuosa se extrajo con CH_2Cl_2 (20 mililitros, 2 veces). Los extractos orgánicos se combinaron, se secaron sobre Na_2SO_4, se filtraron, y se evaporaron, para dar un aceite amarillo, el cual se purificó mediante cromatografía en columna por evaporación instantánea (SiO_2, 0 → 20 por ciento de acetona en hexanos),

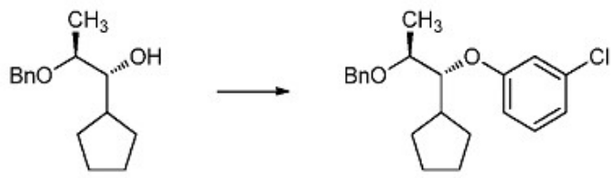
para proporcionar el compuesto del título (687 miligramos, 97 por ciento), como un aceite incoloro transparente: ^{1}H RMN (400 MHz, $CDCl_3$) δ 7.37 – 7.26 (m, 5H), 4.61 (d, J = 11.9 Hz, 1H), 4.58 (d, J = 11.9 Hz, 1H), 4.18 – 4.04 (m, 2H), 3.76 (pd, J = 6.3, 4.6 Hz, 1H), 2.58 (p, J = 7.0 Hz, 1H), 1.22 (d, J = 6.3 Hz, 3H), 1.19 (d, J = 2.3 Hz, 3H), 1.17 (d, J = 2.3 Hz, 3H); ^{13}C RMN (101 MHz, $CDCl_3$) δ 176.98, 138.51, 128.37, 127.60, 127.58, 72.71, 71.04, 67.16, 34.00, 19.01, 18.99, 16.99; ESIMS m/z 237 (([M+H]$^+$)).

Ejemplo 4B: Preparación de 1-((2S,3R,4S)-4-(benciloxi)-3-fenoxi-2-vinil-pentil)-4-fluoro-benceno.



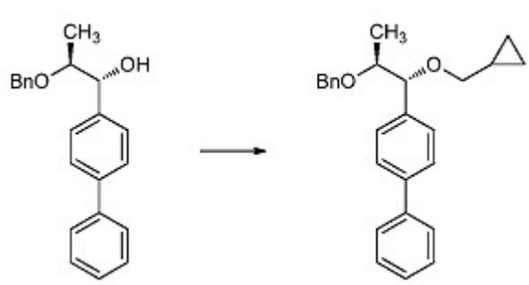
A una solución de (2S,3R,4S)-2-(benciloxi)-4-(4-fluoro-bencil)-hex-5-en-3-ol (3 gramos, 9.54 milimoles) en tolueno anhidro (48 mililitros), se le agregaron N-ciclohexil-N-metil-ciclohexanamina (3.04 mililitros, 14.3 milimoles), $Ph_3Bi(OAc)_2$ (7.73 gramos, 14.3 milimoles), y diacetoxi-cobre ($Cu(OAc)_2$; 0.347 gramos, 1.91 milimoles). La suspensión azul resultante se calentó y se agitó a 50°C durante 15 horas, se enfrió hasta la temperatura ambiente, se filtró a través de un tapón de Celite®, y se evaporó. El material crudo resultante se purificó mediante cromatografía en columna por evaporación instantánea (SiO_2, 1 → 5 por ciento de EtOAc en hexanos), para dar el compuesto del título (2.77 gramos, 74 por ciento) como un aceite incoloro transparente: ^{1}H RMN (400 MHz, $CDCl_3$) δ 7.38 – 7.18 (m, 7H), 7.09 – 6.99 (m, 2H), 6.996.84 (m, 5H), 5.62 (dt, J = 17.2, 9.7 Hz, 1H), 4.96 (dd, J = 10.3, 1.7 Hz, 1H), 4.83 (d, J = 17.2 Hz, 1H), 4.61 (d, J = 11.6 Hz, 1H), 4.44 (d, J = 11.6 Hz, 1H), 4.32 (t, J = 5.5 Hz, 1H), 3.82 (p, J = 6.1 Hz, 1H), 3.09 (dd, J = 13.5, 4.1 Hz, 1H), 2.71 (dt, J = 9.7, 5.0 Hz, 1H), 2.57 (dd, J = 13.3, 9.8 Hz, 1H), 1.27 (d, J = 6.2 Hz, 3H); ^{13}C RMN (151 MHz, $CDCl_3$) δ 162.06, 160.45, 159.51, 138.48, 138.05, 135.87, 135.85, 130.84, 130.79, 129.44, 128.35, 127.67, 127.55, 120.92, 117.28, 116.31, 114.82, 114.68, 82.38, 75.70, 70.67, 48.55, 35.96, 15.11; ESIMS m/z 413 (([M+Na]$^+$)).

Ejemplo 4C: Preparación de 1-((1R,2S)-2-(benciloxi)-1-ciclopentil-propoxi)-3-cloro-benceno.



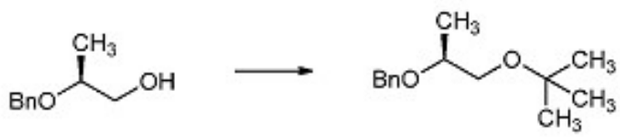
A una suspensión de terbutóxido de potasio (KOt-Bu; 314 miligramos, 2.80 milimoles) en N,N-dimetil-formamida anhidra (DMF; 2 mililitros), se le agregó (1R,2S)-2-(benciloxi)-1-ciclopentil-propan-1-ol (469 miligramos, 2.00 milimoles), a temperatura ambiente, y la solución color naranja resultante se agitó durante 5 minutos, se trató con 1-cloro-3-fluoro-benceno (643 microlitros, 6.00 milimoles), y se calentó y se agitó a 60°C durante la noche. La mezcla de reacción enfriada se apagó con ácido acético glacial (HOAc; 300 microlitros), se diluyó con hexanos (2 mililitros), y la suspensión resultante se purificó mediante cromatografía en columna por evaporación instantánea (SiO_2, 2 → 8 por ciento de acetona en hexanos), para proporcionar el compuesto del título (637 miligramos, 92 por ciento), como un aceite incoloro: IR (Película delgada) 3065, 2949, 2866, 1590, 1474, 1452 cm^{-1}; ^1H RMN (500 MHz, $CDCl_3$) δ 7.35 – 7.30 (m, 2H), 7.29 – 7.26 (m, 3H), 7.14 (t, J = 8.1 Hz, 1H), 7.05 (t, J = 2.2 Hz, 1H), 6.88 (dd, J = 8.2, 2.1 Hz, 2H), 4.61 (d, J = 11.7 Hz, 1H), 4.49 (d, J = 11.8 Hz, 1H), 4.23 (dd, J = 7.4, 3.7 Hz, 1H), 3.70 (qd, J = 6.3, 3.7 Hz, 1H), 2.30 – 2.12 (m, 1H), 1.851.74 (m, 1H), 1.71 – 1.64 (m, 1H), 1.66 – 1.46 (m, 4H), 1.45 – 1.35 (m, 1H), 1.25 (d, J = 6.3 Hz, 3H), 1.23 – 1.15 (m, 1H); ^{13}C RMN (126 MHz, $CDCl_3$) δ 160.99, 138.48, 134.62, 130.03, 128.33, 127.51, 127.48, 120.72, 116.88, 114.73, 85.07, 76.56, 70.85, 42.16, 29.40, 28.98, 25.46, 25.12, 14.78.

Ejemplo 4D: Preparación de 4-((1R,2S)-2-(benciloxi)-1-(ciclopropil-metoxi)-propil)-1,1'-bifenilo.



A una solución de (1R,2S)-1-([1,1'-bifenil]-4-il)-2-(benciloxi)-propan-1-ol (272 miligramos, 0.854 milimoles) en N,N-dimetil-formamida (DMF) anhidra (2.8 mililitros) a 0°C, se le agregó hidruro de sodio (NaH; 59.8 miligramos, 1.50 milimoles, al 60 por ciento en peso en aceite mineral), y la mezcla de reacción se agitó a 0°C durante 15 minutos. La mezcla se removió del baño de hielo, se agitó durante 15 minutos adicionales, se enfrió de regreso hasta 0°C, y se trató con (bromo-metil)-ciclopropano (84 microlitros, 0.854 milimoles). Después de 10 minutos, el recipiente de reacción se removió del baño de hielo, y la mezcla se calentó y se agitó a temperatura ambiente durante la noche. La mezcla de reacción se apagó cuidadosamente mediante la adición de H_2O, seguida por agitación durante 10 minutos, y las fases se separaron. La fase acuosa se extrajo con Et_2O (3 veces), y las fases orgánicas combinadas se secaron sobre Na_2SO_4, se filtraron, y se concentraron. El aceite resultante se purificó mediante cromatografía en columna por evaporación instantánea (SiO_2, 0 → 10 por ciento de acetona en hexanos), para proporcionar el compuesto del título (251 miligramos, 79 por ciento), como un aceite incoloro: ^{1}H RMN (400 MHz, $CDCl_3$) δ 7.64 – 7.60 (m, 2H), 7.57 (d, J = 8.2 Hz, 2H), 7.48 – 7.32 (m, 5H), 7.24 – 7.19 (m, 3H), 7.10 – 7.06 (m, 2H), 4.46 (d, J = 11.9 Hz, 1H), 4.30 (d, J = 11.9 Hz, 1H), 4.27 (d, J = 6.4 Hz, 1H), 3.64 (p, J = 6.2 Hz, 1H), 3.28 – 3.20 (m, 2H), 1.32 (d, J = 6.2 Hz, 3H), 1.12 – 1.01 (m, 1H), 0.56 – 0.45 (m, 2H), 0.22 – 0.10 (m, 2H); ^{13}C RMN (101 MHz, $CDCl_3$) δ 141.03, 140.33, 139.54, 138.60, 128.75, 128.18, 128.14, 127.67, 127.30, 127.18, 127.06, 126.73, 84.36, 78.56, 73.75, 71.47, 16.71, 10.74, 3.18, 2.83; ESIMS m/z 395 (([M+Na]$^+$)).

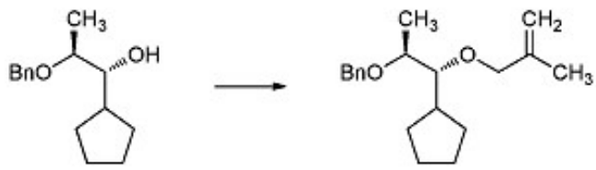
Ejemplo 4E: Preparación de (S)(((1-(terbutoxi)-propan-2-il)-oxi)-metil)-benceno.



A una solución de (S)-2-(benciloxi)-propan-1-ol (300 miligramos, 1.80 milimoles) en CH_2Cl_2 anhidro (9.0 mililitros) se le agregaron dicarbonato de diterbutilo (Boc_2O; 985 miligramos, 4.51 milimoles), y trifluoro-metan-sulfonato de escandio ($Sc(OTf)_3$; 89 miligramos, 0.180 milimoles), a temperatura ambiente, y la solución resultante se agitó a temperatura ambiente durante 20 horas. La mezcla se trató con Boc_2O adicional (400

miligramos), y la mezcla se calentó y se agitó a 40°C durante 4 horas. La mezcla de reacción se enfrió hasta la temperatura ambiente, se concentró, y el residuo se purificó mediante cromatografía en columna por evaporación instantánea (SiO_2, 2 → 12 por ciento de acetona en hexanos), para proporcionar el compuesto del título (223 miligramos, 56 por ciento), como un aceite incoloro: ^{1}H RMN (400 MHz, $CDCl_3$) δ 7.40 – 7.29 (m, 4H), 7.29 – 7.23 (m, 1H), 4.63 (s, 2H), 3.64 (h, J = 6.2 Hz, 1H), 3.48 (dd, J = 9.2, 5.7 Hz, 1H), 3.27 (dd, J = 9.2, 5.6 Hz, 1H), 1.23 – 1.16 (m, 12H); ^{13}C RMN (126 MHz, $CDCl_3$) δ 139.13, 128.26, 127.61, 127.33, 74.56, 72.84, 71.21, 66.08, 27.52, 17.70; ESIMS m/z 245 (([M+Na]$^+$)).

Ejemplo 4F: Preparación de ((((1R,2S)-1-ciclopentil-1-((2-metil-alil)-oxi)-propan-2-il)-oxi)-metil)-benceno.



A una suspensión de KOt-Bu (314 miligramos, 2.80 milimoles) en N,N-dimetil-formamida (DMF) anhidra (2 mili-litros), se le agregó (1R,2S)-2-(benciloxi)-1-ciclopentil-propan-1-ol (469 miligramos, 2.00 milimoles). La solución color naranja resultante se agitó a temperatura ambiente durante 5 minutos, se trató con 3-bromo-2-metil-prop-1-eno (605 microlitros, 6.00 milimoles), y se calentó y se agitó a 60°C durante la noche. La mezcla de reacción enfriada se apagó con HOAc glacial (300 microlitros), se diluyó con hexanos (2 mililitros), y la suspensión resultante se purificó mediante cromatografía en columna por evaporación instantánea (SiO_2, 2 → 8 por ciento de acetona en hexanos), para proporcionar el compuesto del título (476 miligramos, 83 por ciento), como un aceite incoloro: IR (Película delgada) 3066, 2947, 2865, 1726, 1656, 1452 cm^{-1}; ^{1}H RMN (500 MHz, $CDCl_3$) δ 7.34 (d, J = 4.3 Hz, 4H), 7.31 – 7.23 (m, 1H), 4.98 (dt, J = 2.3, 1.2 Hz, 1H), 4.85 – 4.78 (m, 1H), 4.58 (d, J = 11.9 Hz, 1H), 4.52 (d, J = 12.0 Hz, 1H), 4.23 (d, J = 12.0 Hz, 1H), 3.96 (d, J = 12.0 Hz, 1H), 3.58 (qd, J = 6.4, 2.7 Hz, 1H), 3.32 (dd, J = 8.1, 2.6 Hz, 1H), 2.01 – 1.88 (m, 1H), 1.88 – 1.79 (m, 1H), 1.76 (d, J = 1.3 Hz, 3H), 1.66 – 1.57 (m, 3H), 1.54 – 1.45 (m, 2H), 1.44 – 1.35 (m, 1H), 1.22 (d, J = 6.3 Hz, 3H), 1.20 – 1.12 (m,

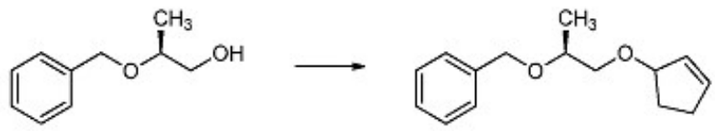
1H); ^{13}C RMN (126 MHz, $CDCl_3$) δ 143.21, 139.04, 128.29, 127.38, 127.33, 111.68, 85.41, 77.83, 76.21, 70.61, 42.49, 29.89, 29.64, 25.44, 25.21, 19.90, 14.25.

Ejemplo 4G: Preparación de ((1R,2S)-2-(benciloxi)-1-metoxi-propil)-adamantano.



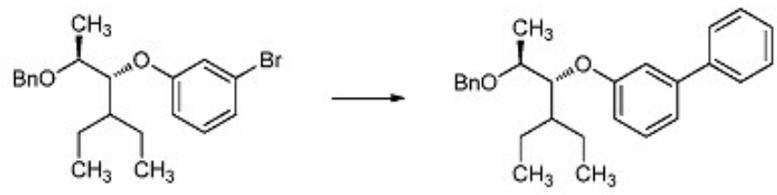
A una solución de (1R,2S)-1-(adamantan-1-il)-2-(benciloxi)-propan-1-ol (0.550 gramos, 1.831 milimoles) en CH_2Cl_2 (7.32 mililitros) a 0°C, se le agregó Proton Sponge® (0.785 gramos, 3.66 milimoles), y tetrafluoro-borato de trimetil-oxonio (0.406 gramos, 2.75 milimoles), y la mezcla de reacción se calentó hasta la temperatura ambiente, y se agitó durante 6 horas. Se agregó un equivalente adicional de tanto Proton Sponge® como tetrafluoro-borato de trimetil-oxonio, y la mezcla se agitó a temperatura ambiente durante la noche. La mezcla de reacción se apagó con $NaHCO_3$ saturado, las fases se separaron, y los productos se extrajeron a partir de la fase acuosa con CH_2Cl_2 (2 veces). Las fases orgánicas combinadas se lavaron con $NaHSO_4$ 1N (2 veces), se secaron sobre Na_2SO_4, se filtraron, y se concentraron. El material crudo se purificó mediante cromatografía en columna por evaporación instantánea (SiO_2, 0 → 20 por ciento de acetona en hexanos), para proporcionar el compuesto del título (501 miligramos, 87 por ciento), como un aceite incoloro: IR (Película delgada) 2899.51, 1451.42, 1105.09, 1091.88 cm-1; ^{1}H RMN (400 MHz, $CDCl_3$) δ 7.39 – 7.31 (m, 5H), 4.53 (d, J = 11.9 Hz, 1H), 4.47 (d, J = 11.9 Hz, 1H), 3.73 (qd, J = 6.2, 2.2 Hz, 1H), 3.50 (s, 3H), 2.84 (d, J = 2.3 Hz, 1H), 2.03 – 1.85 (d, J = 3.4 Hz, 3H), 1.81 – 1.47 (m, 12H), 1.24 (d, J = 6.3 Hz, 3H); ^{13}C RMN (101 MHz, $CDCl_3$) δ 138.99, 128.30, 127.48, 127.35, 91.85, 75.25, 70.22, 61.34, 38.89, 37.27, 37.18, 28.40, 15.91; HRMS–ESI m/z (([M+Na]$^+$)) calculada para $C_{21}H_{30}NaO_2$, 337.2138; encontrada, 337.2143.

Ejemplo 4H: Preparación de ((((2S)-1-(ciclopent-2-en-1-iloxi)-propan-2-il)-oxi)-metil)-benceno.



A una solución de (S)-2-(benciloxi)-propan-1-ol (300 miligramos, 1.81 milimoles), DPPF (100 miligramos, 0.180 mili-moles), y $Pd_2(dba)_3$ (83 miligramos, 0.090 milimoles) en tetrahidrofurano (THF) anhidro (9 mililitros) a 65°C, se le agregó ciclopent-2-en-1-il-carbonato de terbutilo (665 mili-gramos, 3.61 milimoles), y la mezcla de reacción se agitó a 65°C durante 7 horas, se enfrió hasta la temperatura ambiente, se concentró, y se purificó mediante cromatografía en columna por evaporación instantánea (SiO_2, 1 → 16 por ciento de acetona en hexanos), para proporcionar el compuesto del título (192 miligramos, 0.826 milimoles, 45.7 por ciento), como un aceite amarillo claro. ^{1}H RMN y ^{13}C RMN muestran que el producto es una mezcla de 1:1 de diaestereómeros, como se refleja en los átomos de carbono extras presentes en el espectro de ^{13}C: ^{1}H RMN (400 MHz, $CDCl_3$) δ 7.42 – 7.30 (m, 4H), 7.30 – 7.19 (m, 1H), 6.01 (dtd, J = 5.6, 2.2, 1.1 Hz, 1H), 5.91 – 5.81 (m, 1H), 4.70 – 4.53 (m, 3H), 3.78 – 3.64 (m, 1H), 3.54 (ddd, J = 11.3, 9.9, 5.8 Hz, 1H), 3.41 (ddd, J = 9.8, 7.4, 5.1 Hz, 1H), 2.56 – 2.42 (m, 1H), 2.32 – 2.20 (m, 1H), 2.20 – 2.07 (m, 1H), 1.86 – 1.72 (m, 1H), 1.20 (d, J = 6.3 Hz, 3H); ^{13}C RMN (126 MHz, $CDCl_3$) δ 139.02, 135.64, 135.60, 130.86, 130.78, 128.28, 127.61, 127.60, 127.37, 85.27, 74.24, 74.22, 72.52, 72.46, 71.17, 31.10, 31.09, 29.66, 29.60, 17.56, 17.54; ESIMS m/z 255.3 (([M+Na]$^+$)).

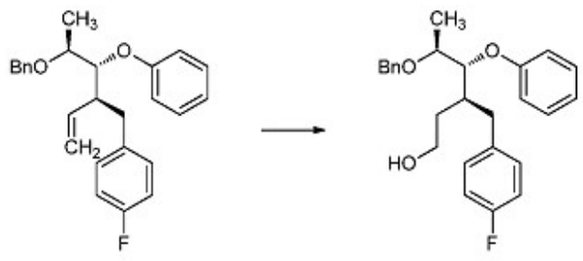
Ejemplo 5: Preparación de 3-(((2S,3R)-2-(benciloxi)-4-etil-hexan-3-il)-oxi)-1,1'-bifenilo.



Una mezcla de 1-(((2S,3R)-2-(benciloxi)-4-etil-hexan-3-il)-oxi)-3-bromo-benceno (555 miligramos, 1.418 milimoles), carbonato de sodio (Na_2CO_3; 451 miligramos, 4.25 milimoles), y ácido fenil-borónico (501 miligramos, 4.11 milimoles) en dioxano (5.3 mililitros) y H_2O (1.8 mililitros), se desoxigenó mediante evacuación con un vacío suave y

rellenando con N_2 (3 veces), y la mezcla desgasificada se trató con tetraquis-(trifenil-fosfina)-paladio(0) ($Pd(PPh_3)_4$; 164 miligramos, 0.142 milimoles). El procedimiento de desgasificación se repitió, y la mezcla se calentó y se agitó a 80°C durante 4 horas, se enfrió hasta la temperatura ambiente, y se diluyó con H_2O (20 mililitros). Las fases se separaron, y la fase acuosa se extrajo con CH_2Cl_2 (20 mililitros). La fase orgánica se secó pasándola a través de un cartucho separador de fases, y entonces se evaporó. El aceite resultante se purificó mediante cromatografía en columna por evaporación instantánea (SiO_2, 1 → 5 por ciento de EtOAc en hexanos), para proporcionar el compuesto del título (540 miligramos, 98 por ciento), como un aceite incoloro: IR (Película delgada) 2961, 2931, 2873, 1595, 1569, 1476 cm^{-1}; ^1H RMN (500 MHz, $CDCl_3$) δ 7.58 – 7.51 (m, 2H), 7.42 – 7.37 (m, 2H), 7.36 – 7.27 (m, 7H), 7.23 (dd, J = 2.5, 1.7 Hz, 1H), 7.14 (ddd, J = 7.6, 1.7, 1.0 Hz, 1H), 6.97 (ddd, J = 8.2, 2.6, 0.9 Hz, 1H), 4.63 (d, J = 11.6 Hz, 1H), 4.48 (d, J = 11.7 Hz, 1H), 4.42 (t, J = 5.1 Hz, 1H), 3.82 (qd, J = 6.2, 5.2 Hz, 1H), 1.75 – 1.56 (m, 2H), 1.46 – 1.35 (m, 3H), 1.30 (d, J = 6.2 Hz, 3H), 0.91 (t, J = 7.4 Hz, 3H), 0.89 (t, J = 7.4 Hz, 3H); ^{13}C RMN (126 MHz, $CDCl_3$) δ 160.44, 142.57, 141.18, 138.56, 129.60, 128.66, 128.30, 127.62, 127.46, 127.24, 127.13, 119.38, 114.98, 114.77, 81.99, 75.43, 70.76, 43.00, 22.36, 21.44, 15.70, 11.85, 11.44.

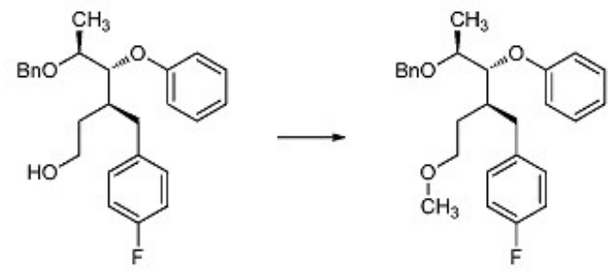
Ejemplo 6A, Paso 1: Preparación de (3S,4R,5S)-5-(benciloxi)-3-(4-fluoro-bencil)-4-fenoxi-hexan-1-ol.



A una solución de 9-borabiciclo-[3.3.1]-nonano (9-BBN; 17.90 mililitros, 8.95 milimoles, 0.5 M en tetrahidrofurano (THF)), se le agregó 1-((2S,3R,4S)-4-(benciloxi)-3-fenoxi-2-vinil-pentil)-4-fluoro-benceno (2.33 gramos, 5.97 milimoles), y la mezcla de reacción se agitó a temperatura ambiente durante 2 horas, se enfrió hasta 0°C, y se trató por goteo con NaOH acuoso 2 N (11.9 mililitros, 23.9 milimoles), seguido por H_2O_2 acuoso al 30 por ciento (2.44 mililitros, 23.9 milimoles). La mezcla se removió del baño frío y se

agitó durante 45 minutos, se enfrió de regreso hasta 0°C, y se apagó mediante la adición de bisulfito de sodio acuoso saturado ($NaHSO_3$). Las fases se separaron, y la fase acuosa se extrajo con EtOAc (20 mililitros, 3 veces). Las fases orgánicas combinadas se secaron sobre $MgSO_4$, se filtraron, y se evaporaron, para dar un aceite, el cual se purificó mediante cromatografía en columna por evaporación instantánea (SiO_2, 4 → 20 por ciento de acetona en hexanos), para proporcionar el compuesto del título (2.32 gramos, 95 por ciento), como un aceite incoloro transparente: ^{1}H RMN (400 MHz, $CDCl_3$) δ 7.36 (d, J = 4.5 Hz, 4H), 7.34 – 7.27 (m, 1H), 7.27 – 7.18 (m, 2H), 7.11 – 7.03 (m, 2H), 6.97 – 6.87 (m, 3H), 6.85 – 6.76 (m, 2H), 4.67 (d, J = 11.4 Hz, 1H), 4.41 (d, J = 11.4 Hz, 1H), 4.31 (dd, J = 7.5, 2.4 Hz, 1H), 3.97 – 3.80 (m, 1H), 3.56 (p, J = 6.0 Hz, 2H), 3.00 (dd, J = 13.8, 6.2 Hz, 1H), 2.55 (dd, J = 13.8, 8.7 Hz, 1H), 2.29 (pd, J = 8.3, 2.4 Hz, 1H), 1.76 – 1.61 (m, 1H), 1.58 – 1.48 (m, 2H), 1.28 (d, J = 6.1 Hz, 3H); ^{13}C RMN (101 MHz, $CDCl_3$) δ 162.54, 160.11, 158.77, 138.25, 136.81, 136.78, 130.72, 130.64, 129.60, 128.47, 127.96, 127.76, 120.95, 115.63, 115.13, 114.92, 81.00, 75.19, 70.83, 61.34, 39.38, 35.90, 33.50, 16.82; ESIMS m/z 431 (([M+Na]$^+$)).

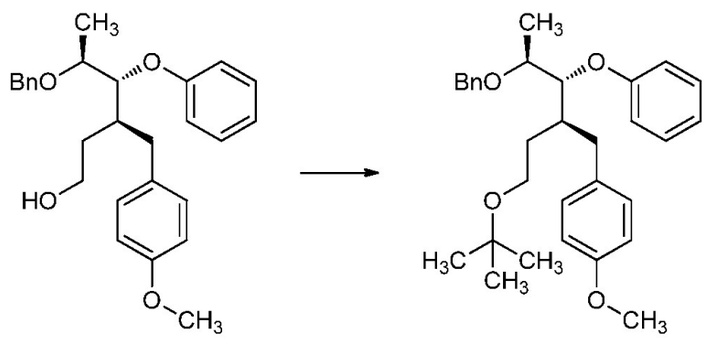
Ejemplo 6A, Paso 2a: Preparación de 1-((2S,3R,4S)-4-(benciloxi)-2-(2-metoxi-etil)-3-fenoxi-pentil)-4-fluoro-benceno.



A una solución de (3S,4R,5S)-5-(benciloxi)-3-(4-fluoro-bencil)-4-fenoxi-hexan-1-ol (390 miligramos, 0.955 milimoles) en CH_2Cl_2 anhidro (10 mililitros) a 0°C, se le agregaron N^1,N^1,N^8,N^8-tetrametil-naftalen-1,8-diamina (614 miligramos, 2.86 milimoles), seguida por tetrafluoro-borato de trimetil-oxonio (282 miligramos, 1.91 milimoles), y la mezcla se agitó a 0°C durante 4 horas, y se apagó mediante la adición de HCl acuoso 1 N (10 mililitros). Las fases se separaron, y la fase acuosa se extrajo con CH_2Cl_2 (10 mililitros, 2 veces). Las fases orgánicas se combinaron, se secaron sobre Na_2SO_4, se filtraron, y se evaporaron hasta obtener un sólido oleoso blanco, el cual se suspendió en hexanos, se filtró a través

de Celite®, y se concentró para dar un aceite. El aceite residual se purificó mediante cromatografía en columna por evaporación instantánea (SiO_2, 1 → 20 por ciento de acetona en hexanos), para proporcionar el compuesto del título (239 miligramos, 59 por ciento), como un aceite incoloro transparente: ^{1}H RMN (400 MHz, $CDCl_3$) δ 7.35 (d, J = 4.1 Hz, 4H), 7.30 (dt, J = 9.1, 4.5 Hz, 1H), 7.22 (t, J = 8.0 Hz, 2H), 7.08 (dd, J = 8.2, 5.7 Hz, 2H), 6.98 – 6.87 (m, 3H), 6.83 (d, J = 8.4 Hz, 2H), 4.65 (d, J = 11.5 Hz, 1H), 4.41 (d, J = 11.5 Hz, 1H), 4.32 (dd, J = 7.0, 2.5 Hz, 1H), 3.85 (p, J = 6.2 Hz, 1H), 3.29 (t, J = 6.8 Hz, 2H), 3.19 (d, J = 1.3 Hz, 3H), 3.01 (dd, J = 13.8, 5.9 Hz, 1H), 2.56 (dd, J = 13.9, 8.8 Hz, 1H), 2.37 – 2.22 (m, 1H), 1.78 – 1.64 (m, 1H), 1.59 – 1.47 (m, 1H), 1.27 (d, J = 6.1 Hz, 3H); ^{13}C RMN (126 MHz, $CDCl_3$) δ 161.27 (d, J = 243.4 Hz), 159.11, 138.44, 136.89 (d, J = 3.2 Hz), 130.65 (d, J = 7.7 Hz), 129.46, 128.38, 127.76, 127.59, 120.70, 115.73, 114.93 (d, J = 21.0 Hz), 81.11, 75.18, 71.07, 70.74, 58.39, 39.20, 35.38, 30.20, 16.67; ESIMS m/z 423 (($[M+H]^+$)).

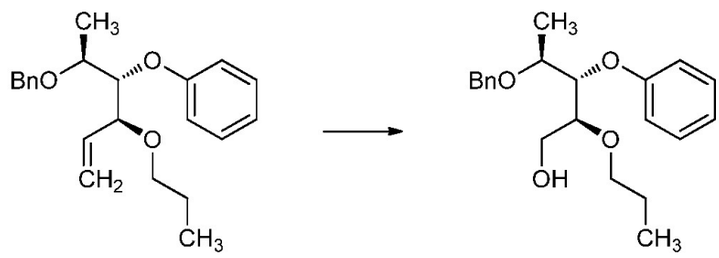
Ejemplo 6A, Paso 2b: Preparación de 1-((2S,3R,4S)-4-(benciloxi)-2-(2-(terbutoxi)-etil)-3-fenoxil-pentil)-4-metoxi-benceno.



A una solución de (3S,4R,5S)-5-(benciloxi)-3-(4-metoxi-bencil)-4-fenoxi-hexan-1-ol (1.99 gramos, 4.73 milimoles), y aziridina-1,2-dicarboxilato de (R)-2-bencil-1-terbutilo (1.44 gramos, 5.21 milimoles) en CH_2Cl_2 anhidro (20 mililitros) a 0°C, se le agregó $Sc(OTf)_3$ (0.233 gramos, 0.473 milimoles), y la mezcla de reacción se agitó a 0°C durante 40 minutos, y entonces se dejó calentar hasta la temperatura ambiente durante la noche a medida que se derretía el hielo. La mezcla se apagó con $NaHCO_3$ acuoso saturado (25 mililitros), se dividió entre H_2O (25 mililitros) y CH_2Cl_2 (50 mililitros), y las fases se separaron. La fase acuosa se extrajo con CH_2Cl_2 (25 mililitros, 2 veces), y las fases orgánicas combinadas se secaron sobre Na_2SO_4, se filtraron, y se evaporaron hasta

obtener un aceite incoloro, el cual se purificó mediante cromatografía en columna por evaporación instantánea (SiO_2, 2 → 25 por ciento de acetona en hexanos), para proporcionar el compuesto del título (320 miligramos, 14 por ciento), como un aceite incoloro: ^{1}H RMN (400 MHz, $CDCl_3$) δ 7.34 (d, J = 4.4 Hz, 4H), 7.33 – 7.26 (m, 1H), 7.21 (t, J = 8.0 Hz, 2H), 7.07 (d, J = 8.6 Hz, 2H), 6.88 (t, J = 8.6 Hz, 3H), 6.79 (d, J = 8.6 Hz, 2H), 4.63 (d, J = 11.5 Hz, 1H), 4.45 – 4.36 (m, 2H), 3.86 (p, J = 6.2 Hz, 1H), 3.78 (s, 3H), 3.32 – 3.18 (m, 2H), 2.99 (dd, J = 13.9, 5.8 Hz, 1H), 2.54 (dd, J = 13.9, 8.8 Hz, 1H), 2.37 – 2.22 (m, 1H), 1.66 (dq, J = 14.0, 7.0 Hz, 1H), 1.60 – 1.46 (m, 1H), 1.27 (d, J = 6.1 Hz, 3H), 1.08 (s, 9H); ^{13}C RMN (151 MHz, $CDCl_3$) δ 159.44, 157.75, 138.64, 133.45, 130.26, 129.37, 128.32, 127.68, 127.47, 120.52, 115.94, 113.63, 81.62, 75.33, 72.50, 70.73, 60.26, 55.29, 39.62, 35.32, 31.25, 27.51, 16.62; ESIMS m/z 499 (([M+Na]$^+$)).

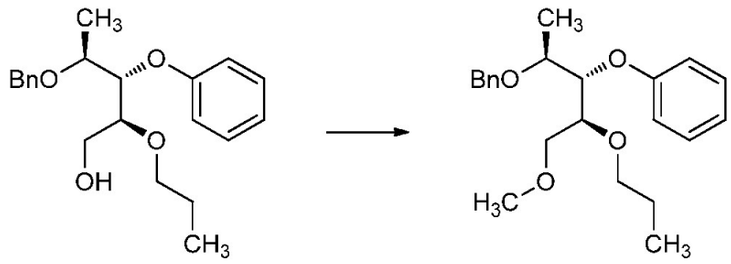
Ejemplo 6B, Paso 1: Preparación de (2S,3S,4S)-4-(benciloxi)-3-fenoxi-2-propoxi-pentan-1-ol.



Una solución de (((2S,3S,4S)-2-(benciloxi)-4-propoxi-hex-5-en-3-il)-oxi)-benceno (500 miligramos, 1.47 milimoles), y $NaHCO_3$ (12.3 miligramos, 0.147 milimoles) en metanol (MeOH) anhidro (0.44 mililitros) y CH_2Cl_2 (14 mililitros), se trató con ozono (O_3) a –78°C hasta que la solución cambió de incolora hasta un color azul. La mezcla de reacción se purgó con oxígeno (O_2) hasta ser incolora, se trató con metanol (MeOH) adicional (4 mililitros), seguido por $NaBH_4$ (167 miligramos, 4.41 milimoles), y entonces se calentó a temperatura ambiente, y se agitó durante 4 horas. La mezcla se apagó con H_2O, se diluyó con CH_2Cl_2, y las fases se separaron. La fase acuosa se extrajo con CH_2Cl_2 (2 veces), y las fases orgánicas combinadas se lavaron con salmuera, se secaron sobre $MgSO_4$, se filtraron, y se evaporaron. El residuo crudo resultante se purificó mediante cromatografía en columna por evaporación instantánea (SiO_2, 0 → 100 por ciento de EtOAc en hexanos), para proporcionar el compuesto del título (458 miligramos, 91 por

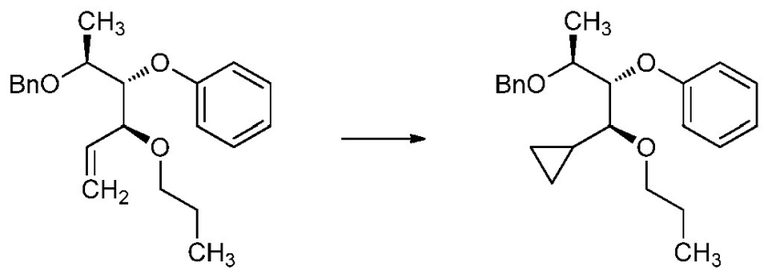
ciento), como un aceite incoloro: IR (Película delgada) 3453, 2934, 2875, 1597, 1493, 1237 cm^{-1}; ^1H RMN (400 MHz, $CDCl_3$) δ 7.36 – 7.22 (m, 7H), 7.06 – 7.02 (m, 2H), 6.97 – 6.91 (m, 1H), 4.63 (d, J = 11.5 Hz, 1H), 4.51 – 4.44 (m, 2H), 3.95 – 3.87 (m, 1H), 3.79 – 3.66 (m, 3H), 3.60 – 3.49 (m, 2H), 2.08 – 2.04 (m, 1H), 1.60 – 1.51 (m, 2H), 1.29 (d, J = 6.3 Hz, 3H), 0.86 (t, J = 7.4 Hz, 3H); ESIMS m/z 345 (($[M+H]^+$)).

Ejemplo 6B, Paso 2: Preparación de (((2S,3S,4S)-4-(benciloxi)-1-metoxi-2-propoxi-pentan-3-il)-oxi)-benceno.



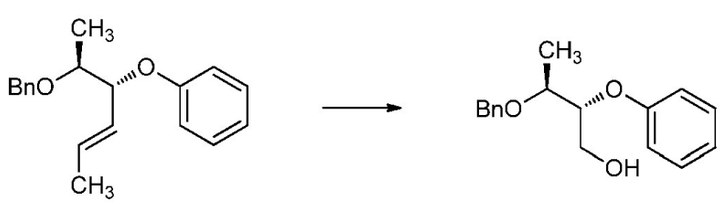
Una solución de (2S,3S,4S)-4-(benciloxi)-3-fenoxi-2-propoxi-pentan-1-ol (452 miligramos, 1.31 milimoles), Proton Sponge® (1687 miligramos, 7.87 milimoles), y tetrafluoro-borato de trimetil-oxonio (485 miligramos, 3.28 milimoles) en CH_2Cl_2 anhidro (10 mililitros) se agitó a temperatura ambiente durante 8 horas, y la mezcla de reacción se apagó mediante la adición de $NaHCO_3$ acuoso saturado, se diluyó con CH_2Cl_2, y las fases se separaron. La fase acuosa se extrajo con CH_2Cl_2 y las fases orgánicas combinadas se lavaron con HCl acuoso 1 M (3 veces), se lavaron con salmuera, se secaron sobre $MgSO_4$, se filtraron, y se evaporaron. El residuo se purificó mediante cromatografía en columna por evaporación instantánea (SiO_2, 0 → 100 por ciento de EtOAc en hexanos), para proporcionar el compuesto del título (370 miligramos, 79 por ciento), como un aceite incoloro: IR (Película delgada) 2930, 2875, 1597, 1493, 1237 cm^{-1}; ^1H RMN (400 MHz, $CDCl_3$) δ 7.35 – 7.21 (m, 7H), 7.08 – 7.03 (m, 2H), 6.95 – 6.89 (m, 1H), 4.64 (d, J = 11.5 Hz, 1H), 4.50 – 4.44 (m, 2H), 4.02 – 3.93 (m, 1H), 3.89 – 3.83 (m, 1H), 3.64 – 3.56 (m, 1H), 3.54 – 3.48 (m, 1H), 3.47 – 3.39 (m, 2H), 3.24 (s, 3H), 1.63 – 1.53 (m, 2H), 1.26 (d, J = 6.3 Hz, 3H), 0.87 (t, J = 7.4 Hz, 3H); ESIMS m/z 359 (($[M+H]^+$)).

Ejemplo 6C: Preparación de (((1S,2S,3S)-3-(benciloxi)-1-ciclopropil-1-propoxi-butan-2-il)-oxi)-benceno.



A una solución de (((2S,3S,4S)-2-(benciloxi)-4-propoxi-hex-5-en-3-il)-oxi)-benceno (500 miligramos, 1.47 milimoles), y dietil-zinc (Et_2Zn; 1 M en hexanos, 14.7 mililitros, 14.7 mili-moles) en Et_2O (10 mililitros), se le agregó diyodo-metano (CH_2I_2; 2.37 mililitros, 29.4 milimoles) a 0°C por goteo, y la mezcla de reacción se calentó hasta la temperatura ambiente durante un período de 15 minutos y se agitó durante 2 días. Se agregaron un exceso de Et_2Zn (5.0 mililitros, 5.0 milimoles) y CH_2I_2 (0.83 mililitros, 10.3 milimoles) a 0°C, y la reacción se calentó y se agitó a 45°C, 20 horas. La mezcla de reacción se apagó mediante la adición de NH_4Cl acuoso saturado y se extrajo con Et_2O. Los extractos orgánicos combinados se lavaron con salmuera, se secaron sobre $MgSO_4$, se filtraron, se concentraron, y se purificaron mediante cromatografía en columna (SiO_2, gradiente de hexanos/EtOAc), para proporcionar el compuesto del título (113 miligramos, 22 por ciento), como un aceite incoloro: IR (limpio) 2932, 2874, 1597, 1493, 1239, 1084 cm^{-1}; ^1H RMN (400 MHz, $CDCl_3$) δ 7.39 – 7.20 (m, 7H), 7.09 – 7.04 (m, 2H), 6.94 – 6.88 (m, 1H), 4.62 (d, J = 11.4 Hz, 1H), 4.47 (d, J = 11.4 Hz, 1H), 4.35 (dd, J = 7.3, 2.9 Hz, 1H), 4.08 – 4.00 (m, 1H), 3.82 – 3.74 (m, 1H), 3.35 – 3.28 (m, 1H), 2.98 (dd, J = 9.0, 2.9 Hz, 1H), 1.66 – 1.55 (m, 2H), 1.26 (d, J = 6.2 Hz, 3H), 0.98 – 0.85 (m, 4H), 0.70 – 0.62 (m, 1H), 0.49 – 0.41 (m, 1H), 0.38 – 0.30 (m, 1H), 0.21 – 0.13 (m, 1H); HRMS–ESI (m/z) $[M]^+$ calculada para $C_{23}H_{30}O_3$, 354.2195; encontrada, 354.2195.

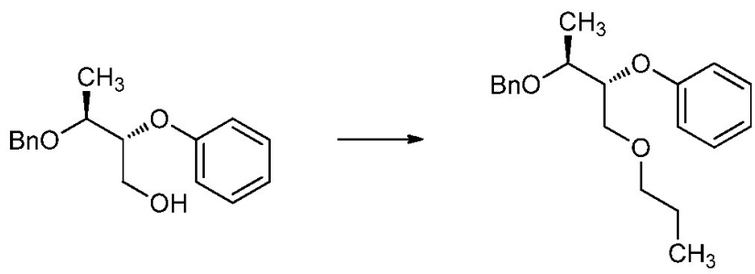
Ejemplo 7, Paso 1: Preparación de (2R,3S)-3-(benciloxi)-2-fenoxi-butan-1-ol.



A una solución de (((2S,3R,E)-2-(benciloxi)-hex-4-en-3-il)-oxi)-benceno (740 miligramos, 2.62 milimoles), en una mezcla de CH_2Cl_2 (11 mililitros) y metanol (MeOH)

(1.2 mililitros), se le agregaron 2 gotas de una solución al 1 por ciento de Sudan III en CH_2Cl_2. La solución rosa resultante se enfrió hasta -78°C y se burbujeó O_3 a través de la mezcla de reacción hasta que el color rosa se decoloró. La solución se purgó con O_2 durante 5 minutos, se puso bajo una atmósfera de N_2, y se trató con $NaBH_4$ (297 miligramos, 7.86 milimoles). La mezcla de reacción se calentó lentamente hasta la temperatura ambiente, se agitó durante la noche, se diluyó con CH_2Cl_2 (10 mililitros), y se apagó con NH_4Cl acuoso saturado (10 mililitros). Las fases se separaron, la fase acuosa se extrajo con CH_2Cl_2 (10 mililitros, 2 veces), y las fases orgánicas combinadas se secaron pasando a través de un cartucho separador de fases y se evaporaron. El material crudo resultante se purificó mediante cromatografía en columna por evaporación instantánea (SiO_2, 0 → 60 por ciento de EtOAc en hexanos), para proporcionar el compuesto del título (610 miligramos, 85 por ciento), como un aceite incoloro: ^{1}H RMN (400 MHz, $CDCl_3$) δ 7.37 – 7.25 (m, 7H), 7.01 – 6.92 (m, 3H), 4.67 (d, J = 11.6 Hz, 1H), 4.55 (d, J = 11.5 Hz, 1H), 4.23 (app dt, J = 6.0, 4.5 Hz, 1H), 3.97 – 3.84 (m, 3H), 2.30 (app t, J = 6.4 Hz, 1H), 1.31 (d, J = 6.3 Hz, 3H); ^{13}C RMN (101 MHz, $CDCl_3$) δ 158.01, 138.07, 129.66, 128.49, 127.82, 127.81, 121.49, 116.16, 81.18, 75.24, 71.51, 62.02, 16.82; ESIMS m/z 273 (($[M+H]^+$)).

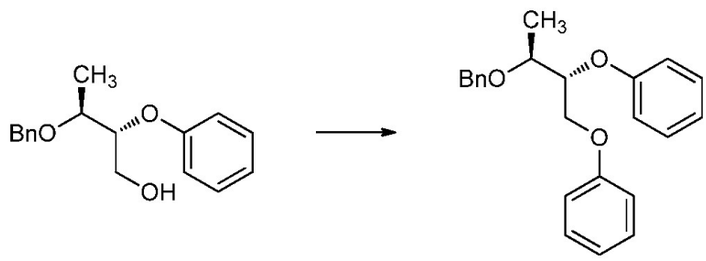
Ejemplo 7, Paso 2a: Preparación de (((2R,3S)-3-(benciloxi)-1-propoxi-butan-2-il)-oxi)-benceno.



A una solución de (2R,3S)-3-(benciloxi)-2-fenoxi-butan-1-ol (150 miligramos, 0.551 milimoles) en N,N-dimetil-formamida (DMF) (2.7 mililitros) a 0°C, se le agregó NaH (44.1 miligramos, 1.10 milimoles, al 60 por ciento en peso en aceite mineral), y la mezcla de reacción se agitó a 0°C durante 10 minutos, se removió del baño frío y se agitó a temperatura ambiente durante 15 minutos. Se trató con 4-metil-bencen-sulfonato de

propilo (237 microlitros, 1.24 milimoles), y se agitó a temperatura ambiente durante 16 horas. La mezcla se apagó mediante la adición de NH_4Cl acuoso saturado (7 mililitros), se diluyó con Et_2O (10 mililitros), y las fases se separaron. La fase acuosa se extrajo con Et_2O (10 mililitros, 2 veces), y las fases orgánicas combinadas se lavaron con salmuera (5 mililitros), se secaron sobre Na_2SO_4, se filtraron, y se evaporaron. El residuo crudo se purificó mediante cromatografía en columna por evaporación instantánea (SiO_2, 0 → 30 por ciento de EtOAc en hexanos), para proporcionar el compuesto del título (125 miligramos, 72 por ciento), como un aceite incoloro: ^{1}H RMN (400 MHz, $CDCl_3$) δ 7.35 – 7.22 (m, 7H), 7.03 – 6.90 (m, 3H), 4.67 – 4.54 (m, 2H), 4.36 (app td, J = 5.1, 3.9 Hz, 1H), 3.89 (qd, J = 6.4, 5.0 Hz, 1H), 3.80 – 3.67 (m, 2H), 3.41 (app td, J = 6.7, 2.6 Hz, 2H), 1.64 – 1.50 (m, 2H), 1.29 (d, J = 6.4 Hz, 3H), 0.89 (app t, J = 7.4 Hz, 3H); ^{13}C RMN (101 MHz, $CDCl_3$) δ 158.67, 138.64, 129.41, 128.32, 127.69, 127.51, 121.09, 116.52, 80.85, 74.38, 73.30, 71.46, 69.48, 22.87, 16.26, 10.58; ESIMS m/z 315 (($[M+H]^+$)).

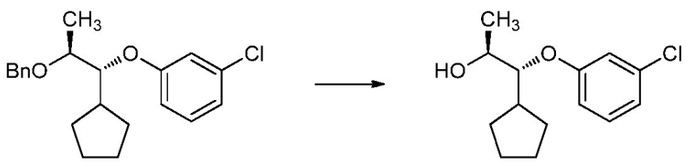
Ejemplo 7, Paso 2b: Preparación de (((2R,3S)-3-(benciloxi)-1-fenoxi-butan-2-il)-oxi)-benceno.



A una solución de (2R,3S)-3-(benciloxi)-2-fenoxi-butan-1-ol (290 miligramos, 1.06 milimoles) en CH_2Cl_2 (5.3 mililitros) se le agregaron diacetoxi-cobre (19.3 miligramos, 0.106 milimoles), y $Ph_3Bi(OAc)_2$ (654 miligramos, 1.17 milimoles), y la mezcla se agitó durante la noche a temperatura ambiente, se filtró a través de un cojín de Celite® enjuagando con CH_2Cl_2 (10 mililitros, 2 veces), y se concentró. El residuo crudo se purificó mediante cromatografía en columna por evaporación instantánea (SiO_2, 0 → 35 por ciento de EtOAc en hexanos), para proporcionar el compuesto del título (290 miligramos, 76 por ciento), como un aceite incoloro: ^{1}H RMN (400 MHz, $CDCl_3$) δ 7.31 – 7.24 (m, 9H), 7.04 – 6.83 (m, 6H), 4.66 (d, J = 11.7 Hz, 1H), 4.61 – 4.50 (m, 2H), 4.34 – 4.21 (m, 2H), 4.01 (qd,

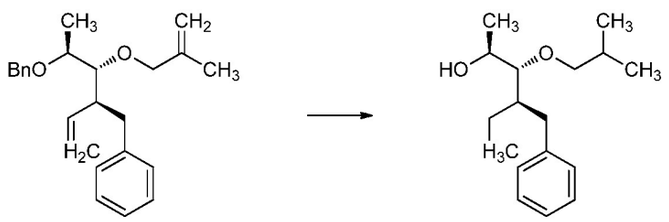
J = 6.3, 5.3 Hz, 1H), 1.36 (d, J = 6.3 Hz, 3H); ^{13}C RMN (101 MHz, $CDCl_3$) δ 158.72, 158.40, 138.34, 129.53, 129.43, 128.37, 127.80, 127.62, 121.44, 120.93, 116.56, 114.70, 80.25, 74.09, 71.58, 66.73, 16.46; ESIMS m/z 371 (([M+Na]$^+$)).

Ejemplo 8A: Preparación de (1R,2S)-1-(3-cloro-fenoxi)-1-ciclopentil-propan-2-ol.



A una solución de 1-((1R,2S)-2-(benciloxi)-1-ciclopentil-propoxi)-3-cloro-benceno (630 miligramos, 1.83 milimoles), en una mezcla de etanol (EtOH; 6.1 mililitros) y ciclohexeno (3.0 mililitros), se le agregó paladio al 10 por ciento sobre carbón (Pd/C; 97 miligramos, 0.091 milimoles), y la suspensión resultante se calentó y se agitó a 65°C durante 2 horas. La mezcla de reacción se filtró a través de un tapón de Celite® y el filtrado se evaporó, para dar el compuesto del título (476 miligramos, 97 por ciento), como un aceite incoloro: IR (Película delgada) 3351, 2951, 2867, 1590, 1473, 1427, 1228 cm^{-1}; ^{1}H RMN (500 MHz, $CDCl_3$) δ 7.17 (t, J = 8.1 Hz, 1H), 7.03 (t, J = 2.3 Hz, 1H), 6.94 – 6.87 (m, 2H), 4.21 (dd, J = 8.0, 3.4 Hz, 1H), 3.99 (qd, J = 6.4, 3.3 Hz, 1H), 2.21 – 2.07 (m, 1H), 1.87 – 1.77 (m, 1H), 1.70 (dtd, J = 11.7, 7.6, 3.8 Hz, 1H), 1.66 – 1.44 (m, 5H), 1.38 – 1.30 (m, 1H), 1.27 (d, J = 6.4 Hz, 3H), 1.31 – 1.19 (m, 1H); ^{13}C RMN (126 MHz, $CDCl_3$) δ 160.86, 134.83, 130.23, 121.13, 116.87, 114.59, 86.65, 69.41, 42.15, 29.68, 29.22, 25.23, 25.03, 17.85.

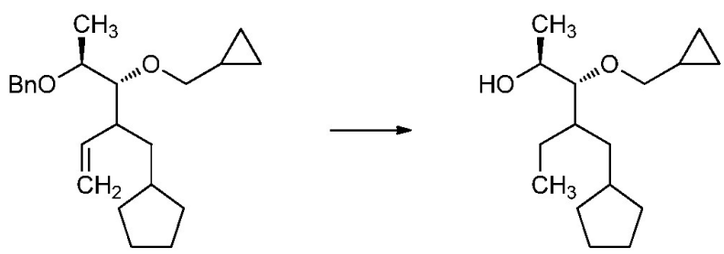
Ejemplo 8B: Preparación de (2S,3R,4R)-4-bencil-3-isobutoxi-hexan-2-ol.



Una frasco Parr se cargó con una suspensión de ((((2S,3R,4S)-4-bencil-3-((2-metil-alil)-oxi)-hex-5-en-2-il)-oxi)-metil)-benceno (1.85 gramos, 5.28 milimoles), y Pd/C al 10 por ciento (0.056 gramos, 0.53 milimoles) en EtOH (10 mililitros), y la botella se evacuó bajo un vacío suave y se rellenó con gas de hidrógeno (H_2; 3 veces). La botella se cargó en el agitador Parr, y el sistema se presurizó a 3.5 kg/cm^2 (50 libras por pulgada cuadrada (psi))

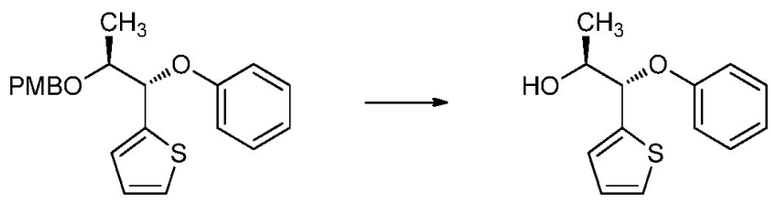
con H_2 y se agitó durante la noche a temperatura ambiente. La mezcla de reacción se filtró a través de Celite® y el filtrado se evaporó para proporcionar el compuesto del título (1.36 gramos, 97 por ciento), como un aceite incoloro: ^{1}H RMN (400 MHz, $CDCl_3$) δ 7.30 – 7.24 (m, 2H), 7.22 – 7.14 (m, 3H), 3.96 (h, J = 6.3 Hz, 1H), 3.39 (dd, J = 8.6, 6.3 Hz, 1H), 3.30 (dd, J = 8.6, 6.6 Hz, 1H), 3.21 – 3.17 (m, 1H), 3.05 (dd, J = 13.8, 4.6 Hz, 1H), 2.44 (dd, J = 13.8, 9.8 Hz, 1H), 1.86 (m, 2H), 1.76 (d, J = 5.6 Hz, 1H), 1.45 – 1.24 (m, 2H), 1.25 (d, J = 6.3 Hz, 3H), 0.95 (dd, J = 6.7, 4.3 Hz, 6H), 0.85 (t, J = 7.5 Hz, 3H); ^{13}C RMN (100 MHz, $CDCl_3$) δ 142.04, 129.13, 128.19, 125.59, 83.76, 79.27, 68.23, 42.93, 35.69, 29.24, 22.76, 19.54, 19.50, 19.02, 11.30; [α] = 3.048 (2.1 gramos/100 mili-litros, $CHCl_3$).

Ejemplo 8C: Preparación de (2S,3R)-4-(ciclopentil-metil)-3-(ciclopropil-metoxi)-hexan-2-ol



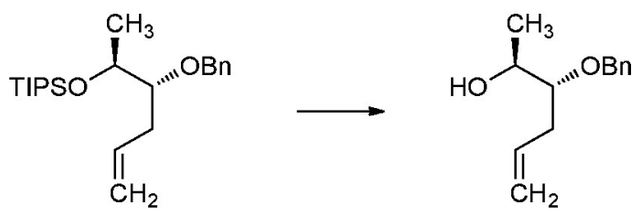
A una solución de 1-((2S,3R,4S)-4-(benciloxi)-2-(2-metoxi-etil)-3-fenoxi-pentil)-4-fluoro-benceno (215 miligramos, 0.509 milimoles) en EtOAc (5 mililitros), se le agregó Pd/C al 5 por ciento (54.2 miligramos, 0.025 milimoles), y el recipiente de reacción se evacuó bajo un vacío suave y se rellenó con H_2 (3 veces). La mezcla se colocó bajo aproximadamente 1 atmósfera de H_2 (globo), y se agitó durante la noche a temperatura ambiente. La mezcla de reacción se filtró a través de un tapón de Celite® y se concentró, para proporcionar el compuesto del título (176 miligramos, 99 por ciento), como un aceite incoloro transparente: ^{1}H RMN (400 MHz, $CDCl_3$) δ 7.30 – 7.21 (m, 2H), 7.21 – 7.14 (m, 2H), 7.02 – 6.85 (m, 5H), 4.26 (dd, J = 6.2, 3.9 Hz, 1H), 4.11 (h, J = 6.2 Hz, 1H), 3.40 – 3.24 (m, 2H), 3.21 (s, 3H), 3.11 (dd, J = 13.9, 5.5 Hz, 1H), 2.55 (dd, J = 14.0, 9.0 Hz, 1H), 2.37 – 2.23 (m, 1H), 1.80 – 1.66 (m, 2H), 1.66 – 1.54 (m, 1H), 1.29 (d, J = 6.3 Hz, 3H); ^{13}C RMN (126 MHz, $CDCl_3$) δ 161.31 (d, J = 243.7 Hz), 159.11, 136.75 (d, J = 3.2 Hz), 130.55 (d, J = 7.7 Hz), 129.57, 120.97, 115.83, 115.07 (d, J = 21.0 Hz), 82.44, 70.82, 68.31, 58.46, 39.14, 35.48, 30.06, 20.18; ESIMS m/z 333 (([M+H]$^+$)).

Ejemplo 8D: Preparación de (1S,2S)-1-fenoxi-1-(tiofen-2-il)-propan-2-ol.



A una solución de 2-((1S,2S)-2-((4-metoxi-bencil)-oxi)-1-fenoxi-propil)-tiofeno (0.223 gramos, 0.630 milimoles), en una mezcla de CH_2Cl_2 (3 mililitros) y H_2O (0.3 mililitros) a 0°C, se le agregó 4,5-dicloro-3,6-dioxo-ciclohexa-1,4-dieno-1,2-di-carbonitrilo (0.150 gramos, 0.661 milimoles), y la mezcla de reacción se agitó durante 30 minutos, se apagó mediante la adición de NaOH acuoso 1 N (0.66 mililitros), y se diluyó con CH_2Cl_2 (10 mililitros). Las fases se separaron, y la fase acuosa se extrajo con CH_2Cl_2 (10 mililitros, 2 veces). Las fases orgánicas combinadas se secaron sobre Na_2SO_4, se filtraron, se evaporaron, y se purificaron mediante cromatografía en columna por evaporación instantánea (SiO_2, 2 → 20 por ciento de acetona en hexanos), para proporcionar el compuesto del título (116 miligramos, 75 por ciento), como un aceite incoloro: IR (Película delgada) 3390, 2923, 2851, 2865, 1597 cm^{-1}; ^1H RMN (300 MHz, $CDCl_3$) δ 7.33 – 7.16 (m, 3H), 7.07 (ddd, J = 3.5, 1.2, 0.7 Hz, 1H), 7.03 – 6.88 (m, 4H), 5.26 (d, J = 4.9 Hz, 1H), 4.28 – 4.09 (m, 1H), 2.08 (d, J = 4.9 Hz, 1H), 1.29 (d, J = 6.3 Hz, 3H); ^{13}C RMN (101 MHz, $CDCl_3$) δ 157.60, 140.58, 129.43, 126.59, 126.50, 125.94, 121.60, 116.21, 80.60, 70.73, 18.33.

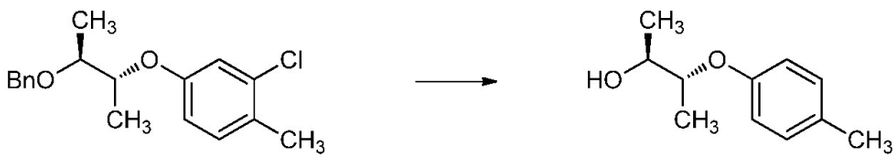
Ejemplo 8E: Preparación de (2S,3R)-3-(benciloxi)-hex-5-en-2-ol.



A una solución de (((2S,3R)-3-(benciloxi)-hex-5-en-2-il)-oxi)-tri-isopropil-silano (4.04 gramos, 11.1 milimoles) en tetrahidrofurano (THF) (56 mililitros) a 0°C, se le agregó fluoruro de tetra-N-butil-amonio (TBAF; 14.7 mililitros, 14.7 milimoles, en tetrahidrofurano (THF) 1 M) durante un período de 5 minutos, y la mezcla de reacción se calentó a temperatura ambiente y se agitó durante 4 horas, se vertió en NH_4Cl acuoso saturado

(100 mililitros), y se diluyó con EtOAc (100 mililitros). Las fases se separaron, y la fase acuosa se extrajo con EtOAc (100 mililitros, 2 veces). Las fases orgánicas combinadas se secaron sobre $MgSO_4$, se filtraron, y se concentraron hasta obtener un aceite amarillo, el cual se purificó mediante cromatografía en columna por evaporación instantánea (SiO_2, 0 → EtOAc al 25 por ciento en hexanos), para proporcionar el compuesto del título (1.91 gramos, 83 por ciento), como un aceite incoloro transparente: IR (limpio) 3419, 2977, 2872, 1454, 1069, 696 cm^{-1}; ^1H RMN (400 MHz, $CDCl_3$) δ 7.39 – 7.20 (m, 5H), 5.87 (ddt, J = 17.2, 10.2, 7.1 Hz, 1H), 5.18 – 5.09 (m, 1H), 5.06 (ddt, J = 10.1, 2.2, 1.2 Hz, 1H), 4.62 (d, J = 11.5 Hz, 1H), 4.55 (d, J = 11.5 Hz, 1H), 4.00 – 3.82 (m, 1H), 3.40 (ddd, J = 7.3, 5.2, 3.8 Hz, 1H), 2.41 (dtt, J = 14.3, 7.1, 1.4 Hz, 1H), 2.33 – 2.23 (m, 1H), 2.21 (s, 1H), 1.17 (d, J = 6.5 Hz, 3H); HRMS–ESI (m/z) ($[M+H]^+$) calculada para $C_{13}H_{19}O_2$, 207.1380; encontrada, 207.1372.

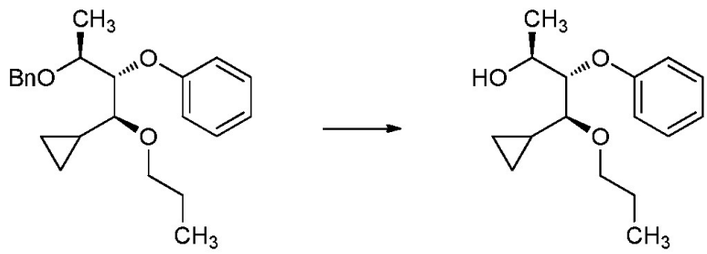
Ejemplo 8F: Preparación de (2S,3R)-3-(p-toliloxi)-butan-2-ol



A una solución de 4-(((2R,3S)-3-(benciloxi)-butan-2-il)-oxi)-2-cloro-1-metil-benceno (330 miligramos, 1.08 milimoles) en EtOH (11 mililitros) se le agregaron NEt_3 (0.30 mililitros, 2.17 milimoles) y Pd/C al 10 por ciento (58 miligramos, 0.054 milimoles), y el recipiente de reacción se evacuó y se rellenó con H_2 (3 veces). La mezcla se agitó bajo H_2 durante 24 horas a temperatura ambiente, se filtró a través de un tapón de Celite®, y se concentró, para proporcionar un sólido oleoso. El residuo se suspendió en CH_2Cl_2 (20 mililitros), se lavó con HCl 1N (20 mililitros), se secó sobre Na_2SO_4, se filtró, y se concentró, para proporcionar 312 miligramos de un aceite incoloro, el cual se disolvió en una mezcla de 2:1 de EtOH : ciclohexeno (10 mili-litros), se trató con Pd/C al 10 por ciento (58 miligramos, 0.054 milimoles), y se calentó y se agitó a 65°C durante 20 horas. La mezcla se enfrió hasta la temperatura ambiente, se filtró a través de un tapón de Celite®, y se concentró, para proporcionar el compuesto del título (188 miligramos, 96 por ciento), como un aceite incoloro: IR (Película delgada) 3391, 2977, 2923, 1613, 1585, 1508, 1450, 1373, 1287, 1232, 1167, 1082, 1050, 1008, 993, 935, 901, 813, 746 cm^{-1}; ^1H RMN (300

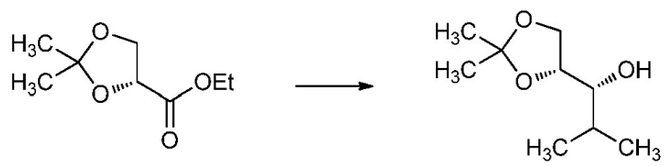
MHz, $CDCl_3$) δ 7.08 (d, J = 8.2 Hz, 2H), 6.91 – 6.68 (m, 2H), 4.27 (qd, J = 6.3, 3.3 Hz, 1H), 4.02 (dd, J = 6.2, 3.3 Hz, 1H), 2.29 (s, 3H), 2.07 (s, 1H), 1.25 (d, J = 5.6 Hz, 3H), 1.23 (d, J = 5.8 Hz, 3H); ^{13}C RMN (126 MHz, $CDCl_3$) δ 155.35, 130.51, 130.00, 116.18, 77.60, 69.37, 20.48, 17.83, 13.45.

Ejemplo 8G: Preparación de (2S,3S,4S)-4-ciclopropil-3-fenoxi-4-propoxi-butan-2-ol.



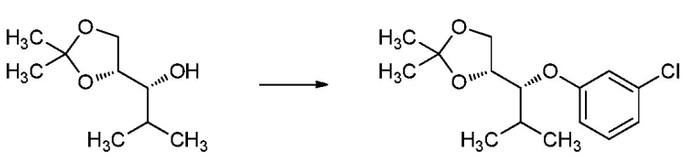
Un reactor de acero de alta presión se cargó con una solución de (((1S,2S,3S)-3-(benciloxi)-1-ciclopropil-1-propoxi-butan-2-il)-oxi)-benceno (112 miligramos, 0.316 milimoles) en EtOH (10 mililitros), Pd/C al 10 por ciento, tipo Degussa (17 miligramos, 0.016 milimoles), y 3 gotas de AcOH, y el reactor se cargó con 42 kg/cm^2 (600 psi) de H_2, y se calentó y se agitó vigorosamente a 50°C durante 14 horas. La mezcla de reacción se filtró a través de un tapón de Celite®, se concentró, y el residuo se diluyó con EtOAc, y se lavó con $NaHCO_3$ acuoso saturado. La fase acuosa se extrajo adicionalmente con EtOAc, y las fases orgánicas combinadas se lavaron con salmuera, se secaron sobre Na_2SO_4, se filtraron, y se concentraron, para proporcionar el compuesto del título (66.0 miligramos, 79 por ciento), como un aceite incoloro: IR (limpio) 3448, 2963, 2932, 1597, 1492, 1238, 1079 cm^{-1}; ^1H RMN (400 MHz, $CDCl_3$) δ 7.31 – 7.25 (m, 2H), 7.01 – 6.98 (m, 2H), 6.98 – 6.93 (m, 1H), 4.34 – 4.25 (m, 1H), 4.20 (dd, J = 7.0, 3.3 Hz, 1H), 3.80 – 3.72 (m, 1H), 3.47 – 3.40 (m, 1H), 3.33 (d, J = 4.2 Hz, 1H), 3.11 (dd, J = 8.2, 3.3 Hz, 1H), 1.66 – 1.57 (m, 2H), 1.27 (d, J = 6.2 Hz, 3H), 1.14 – 1.04 (m, 1H), 0.93 (t, J = 7.4 Hz, 3H), 0.71 – 0.63 (m, 1H), 0.53 – 0.45 (m, 1H), 0.45 – 0.38 (m, 1H), 0.26 – 0.14 (m, 1H); HRMS–ESI (m/z) $[M]^+$ calculada para $C_{16}H_{24}O_3$, 264.1725; encontrada, 264.1723.

Ejemplo 9, Paso 1: Preparación de (R)-1-((R)-2,2-di-metil-1,3-dioxolan-4-il)-2-metil-propan-1-ol



A una solución de cloruro de isopropil-magnesio (62 mililitros, 125 milimoles, en tetrahidrofurano 2 M (THF)), y borohidruro de litio ($LiBH_4$; 41 mililitros, 81 milimoles, en tetrahidrofurano 2 M (THF)), en tetrahidrofurano (THF) anhidro (350 mililitros) a -5°C, se le agregó (R)-2,2-dimetil-1,3-dioxolano-4-carboxilato de metilo (10 gramos, 62 milimoles) por goteo a una velocidad que mantuvo la temperatura debajo de 5°C. La mezcla de reacción se dejó calentar lentamente hasta la temperatura ambiente durante la noche, se enfrió hasta 0°C, y se apagó cuidadosamente mediante la adición de H_2O. Las fases se separaron, y la fase acuosa se extrajo con Et_2O. Las fases orgánicas se combinaron, se secaron sobre Na_2SO_4, se filtraron, y se concentraron hasta obtener un aceite incoloro, el cual se purificó mediante cromatografía en columna por evaporación instantánea (SiO_2, 0 → 10 por ciento de acetona en hexanos), para proporcionar el compuesto del título (5.07 gramos, 47 por ciento), como un aceite incoloro: ^{1}H RMN (400 MHz, $CDCl_3$) δ 4.21 – 4.10 (m, 1H), 4.02 (dd, J = 8.0, 6.5 Hz, 1H), 3.76 (dd, J = 8.0, 7.2 Hz, 1H), 3.23 (dt, J = 6.2, 5.3 Hz, 1H), 2.13 (d, J = 6.3 Hz, 1H), 1.76 – 1.62 (m, 1H), 1.44 (s, 3H), 1.38 (s, 3H), 0.98 (d, J = 6.8 Hz, 6H); ^{13}C RMN (101 MHz, $CDCl_3$) δ 109.17, 76.86, 76.30, 66.55, 31.56, 26.60, 25.44, 19.41, 17.49; ESIMS m/z 174 (($[M+H]^+$)).

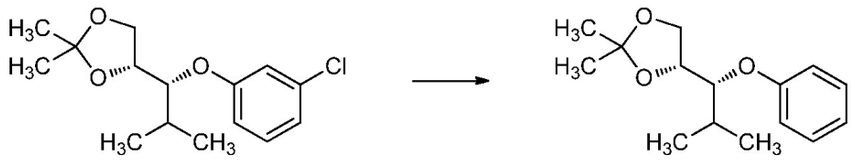
Ejemplo 9, Paso 2: Preparación de (R)-4-((R)-1-(3-cloro-fenoxi)-2-metil-propil)-2,2-dimetil-1,3-dioxolano



A una solución de (R)-1-((R)-2,2-dimetil-1,3-dioxolan-4-il)-2-metil-propan-1-ol (5.62 gramos, 32.3 milimoles) en N,N-dimetil-formamida (DMF) anhidra (32 mililitros), se le agregó KOt-Bu (4.34 gramos, 38.7 milimoles) en una porción, y la mezcla de reacción se agitó durante 5 minutos a temperatura ambiente, se trató con 1-cloro-3-fluoro-benceno (10.3 mililitros, 97 milimoles), y se calentó y se agitó a 55°C durante aproximadamente 3 horas. A la mezcla se le agregaron KOt-Bu (1.8 gramos, 16.1 milimoles), y 1-cloro-3-

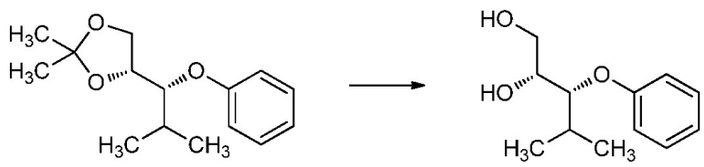
fluoro-benceno (3.45 mililitros, 32.3 milimoles) adicionales, y la agitación a 55°C se continuó hasta que la cromatografía de capa delgada (TLC) indicó el consumo total del material de partida. La mezcla de reacción se dividió entre Et_2O y H_2O, y las fases se separaron. La fase orgánica se lavó con H_2O (2 veces), se secaron sobre Na_2SO_4, se filtraron, y se evaporaron. El material crudo se purificó mediante cromatografía en columna por evaporación instantánea (SiO_2, 0 → 5 por ciento de acetona en hexanos), para proporcionar el compuesto del título (8.97 gramos, 98 por ciento), como un aceite incoloro: ^{1}H RMN (400 MHz, $CDCl_3$) δ 7.16 (t, J = 8.2 Hz, 1H), 7.03 (t, J = 2.2 Hz, 1H), 6.93 – 6.86 (m, 2H), 4.37 (dt, J = 7.6, 6.4 Hz, 1H), 4.07 – 4.00 (m, 2H), 3.68 (t, J = 7.9 Hz, 1H), 1.98 – 1.85 (m, 1H), 1.45 (s, 3H), 1.37 (s, 3H), 1.01 (d, J = 6.8 Hz, 3H), 0.99 (d, J = 6.8 Hz, 3H); ^{13}C RMN (101 MHz, $CDCl_3$) δ 160.96, 134.64, 130.08, 121.03, 116.81, 114.66, 109.40, 83.92, 65.99, 30.69, 26.41, 25.58, 19.84, 17.35; EIMS m/z 284.

Ejemplo 9, Paso 3: Preparación de (R)-2,2-dimetil-4-((R)-2-metil-1-fenoxi-propil)-1,3-dioxolano.



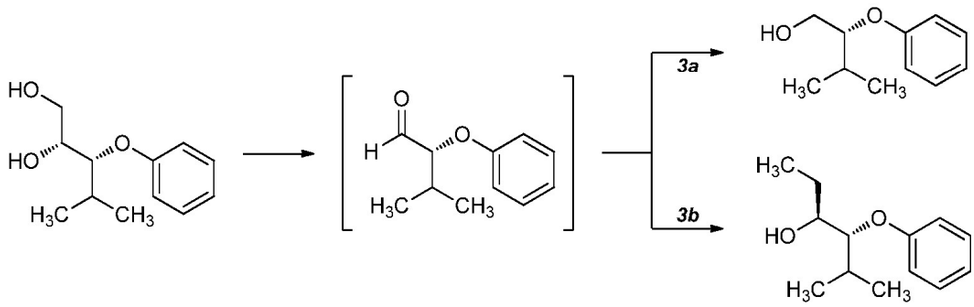
A una solución de (R)-4-((R)-1-(3-cloro-fenoxi)-2-metil-propil)-2,2-dimetil-1,3-dioxolano (9.44 gramos, 33.1 milimoles) en etanol absoluto (95 mililitros) se le agregaron Pd/C al 5 por ciento (3.53 gramos, 1.66 milimoles) y NEt_3 (13.1 mililitros, 99 milimoles), y se burbujeó H_2 a través de la solución durante varios minutos. La mezcla de reacción se colocó bajo aproximadamente 1 atmósfera (Atm) de H_2 (globo), y se agitó a temperatura ambiente durante la noche. La mezcla se filtró a través de Celite®, enjuagando con Et_2O, y el filtrado se lavó con HCl acuoso 0.1 N (3 veces), se secó sobre Na_2SO_4, se filtró, y se evaporó, para proporcionar el compuesto del título (7.12 gramos, 86 por ciento), como un aceite incoloro.^{1}H RMN (400 MHz, $CDCl_3$) δ 7.28 – 7.22 (m, 2H), 7.00 (dt, J = 7.9, 1.1 Hz, 2H), 6.92 (tt, J = 7.3, 1.1 Hz, 1H), 4.39 (dt, J = 7.8, 6.1 Hz, 1H), 4.09 – 3.98 (m, 2H), 3.71 (t, J = 8.0 Hz, 1H), 2.01 – 1.91 (m, 1H), 1.45 (s, 3H), 1.37 (s, 3H), 1.03 (d, J = 6.9 Hz, 3H), 1.00 (d, J = 6.9 Hz, 3H); ^{13}C RMN (101 MHz, $CDCl_3$) δ 160.19, 129.35, 120.85, 116.27, 109.23, 83.12, 65.99, 30.74, 26.43, 25.67, 19.83, 17.76; EIMS m/z 250.

Ejemplo 10, Paso 1: Preparación de (2R,3R)-4-metil-3-fenoxi-pentano-1,2-diol.



A una solución de (R)-2,2-dimetil-4-((R)-2-metil-1-fenoxi-propil)-1,3-dioxolano (7.1 gramos, 28.4 milimoles) en tetrahidro-furano (THF) (50 mililitros), se le agregó HCl acuoso 1 N (50 mililitros), y la mezcla de reacción se agitó vigorosamente durante la noche y se diluyó con Et_2O. Las fases se separaron, y la fase acuosa se extrajo con Et_2O. Las fases orgánicas combinadas luego se lavaron en secuencia con $NaHCO_3$ acuoso saturado y salmuera, se secaron sobre Na_2SO_4, se filtraron, y se evaporaron. El residuo crudo se purificó mediante cromatografía en columna por evaporación instantánea (SiO_2, 0 → 50 por ciento de acetona en hexanos), para proporcionar el compuesto del título (5.44 gramos, 91 por ciento), como un sólido blanco: ^{1}H RMN (400 MHz, $CDCl_3$) δ 7.30 – 7.20 (m, 2H), 6.99 – 6.90 (m, 3H), 4.14 (dd, J = 5.8, 4.3 Hz, 1H), 3.97 – 3.88 (m, 1H), 3.68 – 3.55 (m, 2H), 2.71 (d, J = 6.4 Hz, 1H), 2.51 (t, J = 5.8 Hz, 1H), 2.15 – 2.04 (m, 1H), 0.99 (d, J = 6.8, 1.6 Hz, 6H); ^{13}C RMN (101 MHz, $CDCl_3$) δ 159.62, 129.63, 121.25, 115.99, 82.58, 72.12, 64.12, 30.01, 19.44, 18.03; EIMS m/z 210.

Ejemplo 10, Pasos 2, 3a y 3b: Preparación de (R)-3-metil-2-fenoxi-butan-1-ol y (3S,4R)-5-metil-4-fenoxi-hexan-3-ol.



Paso 2:

A una solución de (2R,3R)-4-metil-3-fenoxi-pentano-1,2-diol (0.5 gramos, 2.38 milimoles) en CH_2Cl_2 (4 mililitros) y $NaHCO_3$ acuoso saturado (1 mililitro), se le agregó peryodato de sodio (2.034 gramos, 9.51 milimoles), y la mezcla se agitó vigorosamente hasta que la TLC mostró el consumo total del diol. La mezcla de reacción se filtró, y el

filtrado se lavó con H_2O, se secó sobre Na_2SO_4, se filtró, y se concentró para dar el aldehído intermediario, (R)-3-metil-2-fenoxi-butanal, el cual se utilizó sin mayor purificación.

Paso 3a:

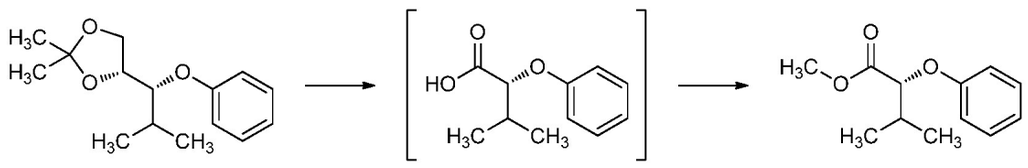
A una solución del (R)-3-metil-2-fenoxi-butanal crudo (aproximadamente 1 milimol) en metanol (MeOH) (3.3 mililitros), se le agregó $NaBH_4$ (76 miligramos, 2.0 milimoles) en una porción, y la mezcla se agitó hasta que la TLC mostró el consumo total del aldehído. La mezcla de reacción se apagó cuidadosamente con NH_4Cl acuoso saturado (10 mililitros), se diluyó con CH_2Cl_2, y las fases se separaron. La fase acuosa se extrajo con CH_2Cl_2 (2 veces), y las fases orgánicas combinadas se secaron pasando a través de un cartucho separador de fases. El solvente se evaporó y el material crudo resultante se purificó mediante cromatografía en columna por evaporación instantánea (SiO_2, 0 → 15 por ciento de acetona en hexanos), para proporcionar el compuesto del título (170 miligramos, 94 por ciento), como un aceite incoloro: ^{1}H RMN (400 MHz, $CDCl_3$) δ 7.32 – 7.24 (m, 2H), 7.00 – 6.91 (m, 3H), 4.15 (td, J = 6.1, 3.6 Hz, 1H), 3.88 – 3.73 (m, 2H), 2.14 – 2.01 (m, 1H), 1.80 (dd, J = 7.3, 5.6 Hz, 1H), 1.01 (d, J = 6.9 Hz, 3H), 0.97 (d, J = 6.9 Hz, 3H); ^{13}C RMN (101 MHz, $CDCl_3$) δ 158.86, 129.57, 121.18, 116.35, 83.94, 62.27, 29.25, 18.62, 18.09; ESIMS m/z 181 (($[M+H]^+$)).

Paso 3b:

A una solución de bromuro de etil-magnesio (EtMgBr; 3.99 mililitros, 4 milimoles, en tetrahidrofurano 1 M (THF)), en tetrahidrofurano (THF) a -78°C, se le agregó una solución del (R)-3-metil-2-fenoxi-butanal crudo (aproximadamente 2 mili-moles) en tetrahidrofurano (THF) (6 mililitros), y la mezcla se agitó hasta que la TLC mostró el consumo total del aldehído. La mezcla de reacción se apagó cuidadosamente con NH_4Cl acuoso saturado, se diluyó con Et_2O, y las fases se separaron. La fase acuosa se extrajo con Et_2O, y las fases orgánicas combinadas se secaron sobre Na_2SO_4, se filtraron, y se concentraron. El residuo crudo se purificó mediante cromatografía en columna por evaporación instantánea (SiO_2, 0 → 10 por ciento de acetona en hexanos), para proporcionar el compuesto del título (187 miligramos, 45 por ciento), como un aceite incoloro: ^{1}H RMN (400 MHz, $CDCl_3$) δ 7.29 – 7.22 (m, 2H), 7.00 – 6.96 (m, 2H), 6.95 –

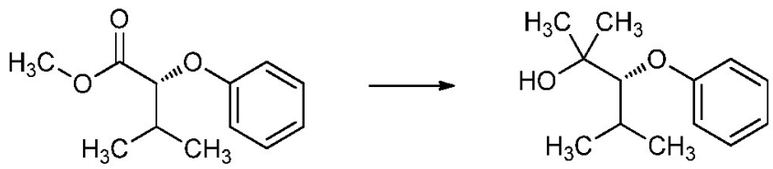
6.89 (m, 1H), 4.11 (t, J = 5.3 Hz, 1H), 3.80 – 3.71 (m, 1H), 2.15 – 2.03 (m, 1H), 1.76 – 1.64 (m, 1H), 1.57 (d, J = 4.5 Hz, 1H), 1.49 (ddd, J = 14.3, 9.6, 7.2 Hz, 1H), 1.02 (d, J = 6.8 Hz, 3H), 1.01 (t, J = 7.5 Hz, 3H), 0.97 (d, J = 6.9 Hz, 3H); ^{13}C RMN (101 MHz, $CDCl_3$) δ 160.03, 129.50, 120.80, 116.01, 85.65, 73.83, 29.86, 25.33, 19.88, 18.19, 10.36; EIMS m/z 208.

Ejemplo 11, Paso 1: Preparación de (R)-3-metil-2-fenoxi-butanoato de metilo



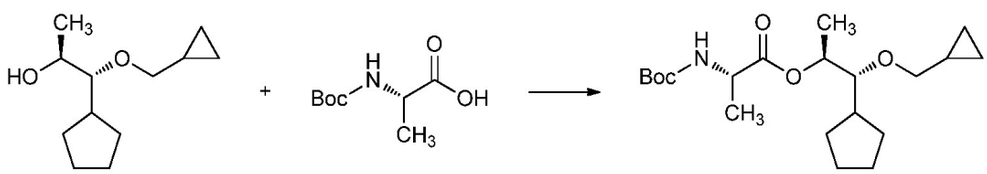
A una solución de (S)-2,2-dimetil-4-((R)-2-metil-1-fenoxi-propil)-1,3-dioxolano (1.45 gramos, 5.79 milimoles), en una mezcla de CH_3CN (17 mililitros), tetracloruro de carbono (CCl_4; 17 mililitros), y H_2O (25 mililitros), se le agregó ácido orto-peryódico (H_5IO_6; 6.60 gramos, 29.0 milimoles), y la mezcla incolora resultante se agitó vigorosamente durante 26 horas, se trató con cloruro de rutenio(III) ($RuCl_3$; 0.024 gramos, 0.12 milimoles), y se agitó vigorosamente durante 80 minutos. La mezcla de reacción se enfrió hasta 0°C, se apagó mediante la adición de $NaHSO_3$ acuoso saturado (100 mililitros), y se diluyó con EtOAc (150 mililitros). Las fases se separaron, y la fase orgánica se lavó con salmuera (100 mililitros), se secó sobre $MgSO_4$, se filtró, y se concentró hasta obtener un aceite amarillo, el cual se disolvió en una mezcla de metanol (MeOH) (8 mililitros) y benceno (22 mililitros). La solución resultante se trató con trimetil-silil-diazometano (5.79 mililitros, 11.6 mili-moles, en Et_2O 2 M), y la mezcla de reacción se agitó a temperatura ambiente durante 30 minutos. El solvente y los componentes volátiles se evaporaron, para dar un aceite amarillo, el cual se purificó mediante cromatografía en columna por evaporación instantánea (SiO_2, 1 → 4 por ciento de acetato de etilo en hexanos), para proporcionar el compuesto del título (671 miligramos, 56 por ciento), como un aceite incoloro: ^{1}H RMN (400 MHz, $CDCl_3$) δ 7.33 – 7.19 (m, 2H), 7.03 – 6.93 (m, 1H), 6.93 – 6.81 (m, 2H), 4.38 (d, J = 5.6 Hz, 1H), 3.74 (s, 3H), 2.41 – 2.19 (m, 1H), 1.09 (d, J = 6.8 Hz, 3H), 1.06 (d, J = 6.9 Hz, 3H); ^{13}C RMN (101 MHz, $CDCl_3$) δ 171.91, 158.23, 129.54, 121.49, 115.07, 81.63, 51.99, 31.71, 18.62, 17.85; ESIMS m/z 209 (($[M+H]^+$)).

Ejemplo 11 Paso 2: Preparación de (R)-2,4-dimetil-3-fenoxi-pentan-2-ol



A una solución de (R)-3-metil-2-fenoxi-butanoato de metilo (671 miligramos, 3.22 milimoles) en Et_2O anhidro (16 mililitros), se le agregó bromuro de metil-magnesio (3.22 mililitros, 9.67 milimoles, en Et_2O 3 M) a 0°C, y el matraz se removió del baño de enfriamiento y se calentó a temperatura ambiente. Después de 2 horas, la mezcla de reacción se apagó mediante la adición de H_2O (20 mililitros), se diluyó con EtOAc (20 mililitros), y la mezcla se trató con HCl 2M hasta que la mezcla se hizo transparente y bifásica. Las fases se separaron, y la fase acuosa se extrajo con EtOAc (20 mililitros, 2 veces). Las fases orgánicas se combinaron, se secaron sobre $MgSO_4$, se filtraron, y se evaporaron, para dar un aceite, el cual se purificó mediante cromatografía en columna por evaporación instantánea (SiO_2, 2 → 10 por ciento de acetona en hexanos), para proporcionar el compuesto del título (526 miligramos, 78 por ciento), como un aceite incoloro transparente: ^{1}H RMN (400 MHz, $CDCl_3$) δ 7.32 – 7.22 (m, 2H), 7.03 – 6.95 (m, 2H), 6.95 – 6.88 (m, 1H), 4.05 (d, J = 3.4 Hz, 1H), 2.17 (s, 1H), 2.13 (ddp, J = 10.3, 6.9, 3.4 Hz, 1H), 1.29 (s, 3H), 1.26 (s, 3H), 1.05 (d, J = 6.8 Hz, 3H), 1.01 (d, J = 6.9 Hz, 3H); ^{13}C RMN (101 MHz, $CDCl_3$) δ 160.53, 129.52, 120.78, 115.80, 87.85, 73.82, 29.86, 27.90, 25.53, 22.79, 17.62; ESIMS m/z 209 ($[M+H]^+$)).

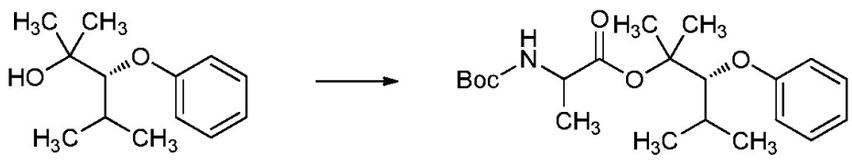
Ejemplo 12A: Preparación de 2-((terbutoxi-carbonil)-amino)-propanoato de (S)-(1R,2S)-1-ciclopentil-1-(ciclopropil-metoxi)-propan-2-ilo (**Compuesto 737**).



A una solución de (1R,2S)-1-ciclopentil-1-(ciclopropil-metoxi)-propan-2-ol (160 miligramos, 0.807 milimoles) en CH_2Cl_2 (4.0 mililitros) se le agregaron ácido (S)-2-((terbutoxi-carbonil)-amino)-propanoico (Boc-Ala-OH; 168 miligramos, 0.888 milimoles) y

DMAP (9.86 miligramos, 0.081 milimoles), seguidos por clorhidrato de N^1-((etil-imino)-metilen)-N^3,N^3-dimetil-propan-1,3-diamina (EDC; 309 miligramos, 1.61 mili-moles), y la mezcla de reacción se agitó a temperatura ambiente durante la noche, y entonces se concentró, para dar un aceite amarillo. El material crudo se purificó mediante cromatografía en columna por evaporación instantánea (SiO_2, 1 → 12 por ciento de acetona en hexanos), para proporcionar el compuesto del título (189 miligramos, 63 por ciento), como un aceite incoloro: IR (Película delgada) 3362, 2951, 2869, 1714, 1,500, 1451 cm^{-1}; ^1H RMN (500 MHz, $CDCl_3$) δ 5.10 – 4.96 (m, 2H), 4.34 – 4.22 (m, 1H), 3.54 (dd, J = 9.8, 7.0 Hz, 1H), 3.30 (dd, J = 9.8, 6.8 Hz, 1H), 3.16 (dd, J = 8.4, 2.5 Hz, 1H), 1.95 – 1.81 (m, 3H), 1.71 – 1.59 (m, 3H), 1.57 – 1.49 (m, 3H), 1.45 (s, 9H), 1.38 (d, J = 7.2 Hz, 3H), 1.26 (d, J = 6.6 Hz, 3H), 1.12 – 1.01 (m, 1H), 0.56 – 0.46 (m, 2H), 0.24 – 0.17 (m, 2H); ESIMS m/z 370 (([M+H]$^+$)).

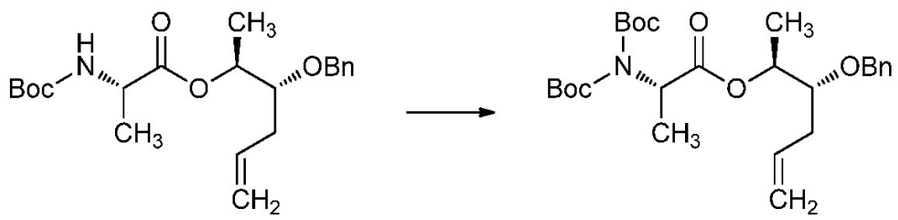
Ejemplo 12B: Preparación de 2-((terbutoxi-carbonil)-amino)-propanoato de (R)-2,4-dimetil-3-fenoxi-pentan-2-ilo (**Compuesto 728**).



A una solución de (R)-2,4-dimetil-3-fenoxi-pentan-2-ol (480 miligramos, 2.30 milimoles), DMAP (845 miligramos, 6.91 milimoles), $Sc(OTf)_3$ (680 miligramos, 1.38 milimoles), y Boc-Ala-OH (1.31 gramos, 6.91 milimoles) en CH_2Cl_2 (23 mililitros) a 0°C, se le agregó N,N'-metan-di-ilidenbis-(propan-2-amina) (DIC; 1.12 mililitros, 7.26 milimoles), y la mezcla de reacción se calentó y se agitó a reflujo durante 8 horas, se enfrió hasta la temperatura ambiente, y se agitó durante 24 horas adicionales. La mezcla se filtró a través de un tapón de Celite® y el filtrado se lavó con HCl 0.1 N (30 mililitros), se secó sobre Na_2SO_4, se filtró, y se evaporó, para proporcionar una mezcla de 1:1 de diaestereómeros del compuesto del título (219 miligramos, 24 por ciento), como un aceite incoloro: ^1H RMN (400 MHz, $CDCl_3$) para un diaestereómero δ 7.33 – 7.17 (m, 2H), 7.03 – 6.82 (m, 3H), 4.86 (s, 1H), 4.64 (dd, J = 16.5, 4.4 Hz, 1H), 4.20 – 3.90 (m, 1H), 2.18 – 2.03 (m, 1H), 1.59 – 1.51 (m, 6H), 1.44 (s, 9H), 1.17 (t, J = 6.9 Hz, 3H), 1.06 (dd, J = 6.9, 1.5 Hz, 3H), 1.01 (dd, J = 6.8, 1.6 Hz, 3H); ^{13}C RMN (101 MHz, $CDCl_3$) para ambos

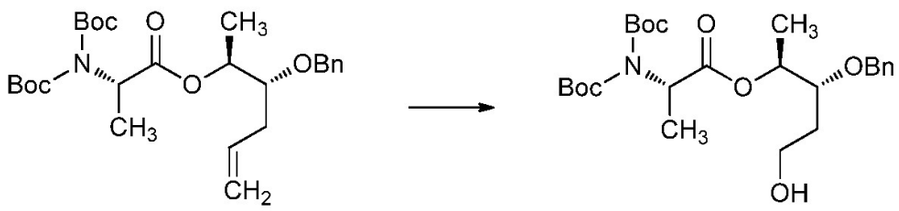
diaestereómeros δ 172.48, 172.34, 160.23, 160.18, 155.11, 155.04, 129.47, 129.46, 120.69, 120.63, 115.70, 115.64, 86.67, 86.45, 84.13, 83.93, 79.61, 79.57, 49.94, 49.85, 29.60, 29.54, 28.34, 28.33, 23.56, 23.42, 22.59, 22.56, 22.45, 22.38, 18.37, 18.31, 18.30, 18.25; ESIMS m/z 380 (([M+H]$^+$)).

Ejemplo 13, Paso 1: Preparación de 2-((di-terbutoxi-carbonil)-amino)-propanoato de (S)-(2S,3R)-3-(benciloxi)-hex-5-en-2-ilo (**Compuesto 34** y **Compuesto 131**)



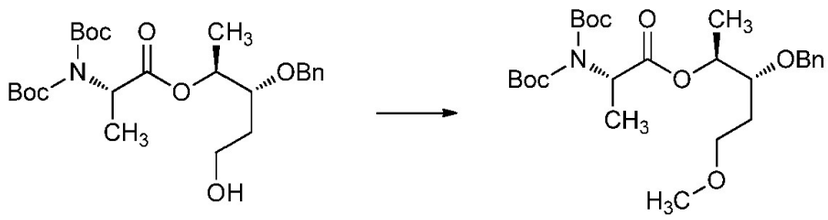
A una solución de 2-((terbutoxi-carbonil)-amino)-propanoato de (S)-(2S,3R)-3-(benciloxi)-hex-5-en-2-ilo (129.6 miligramos, 0.343 milimoles) en CH_3CN (3.4 mililitros), se le agregaron DMAP (62.9 miligramos, 0.515 milimoles), y Boc_2O (225 miligramos, 1.030 milimoles), y la mezcla de reacción color naranja pálido resultante se agitó a temperatura ambiente durante la noche. La mezcla se trató con DMAP (62.9 miligramos, 0.515 milimoles) y Boc_2O (225 miligramos, 1.030 milimoles) adicionales, y se agitó a temperatura ambiente durante 2 horas adicionales. La mezcla de reacción se concentró hasta obtener un aceite color café/rojo, el cual se purificó mediante cromatografía en columna por evaporación instantánea (SiO_2, 0 → EtOAc al 20 por ciento en hexanos), para proporcionar el compuesto del título (176.6 miligramos, 97 por ciento), como un aceite incoloro transparente: IR (Película delgada) 2981, 2940, 1739, 1696, 1642, 1455 cm^{-1}; ^{1}H RMN (400 MHz, $CDCl_3$) δ 7.39 – 7.22 (m, 10H), 5.90 – 5.75 (m, 1H), 5.17 – 4.90 (m, 4H), 4.68 (d, J = 11.5 Hz, 1H), 4.53 (d, J = 11.4 Hz, 1H), 3.58 (ddd, J = 7.5, 5.3, 3.3 Hz, 1H), 2.39 – 2.18 (m, 2H), 1.51 (d, J = 6.9 Hz, 3H), 1.48 (s, 18H), 1.27 (d, J = 6.5 Hz, 3H); ESIMS m/z 500 (([M+Na]$^+$)).

Ejemplo 13, Paso 2: Preparación de 2-((di-terbutoxi-carbonil)-amino)-propanoato de (S)-(2S,3R)-3-(benciloxi)-5-hidroxi-pentan-2-ilo (**SM: Compuesto 131**)



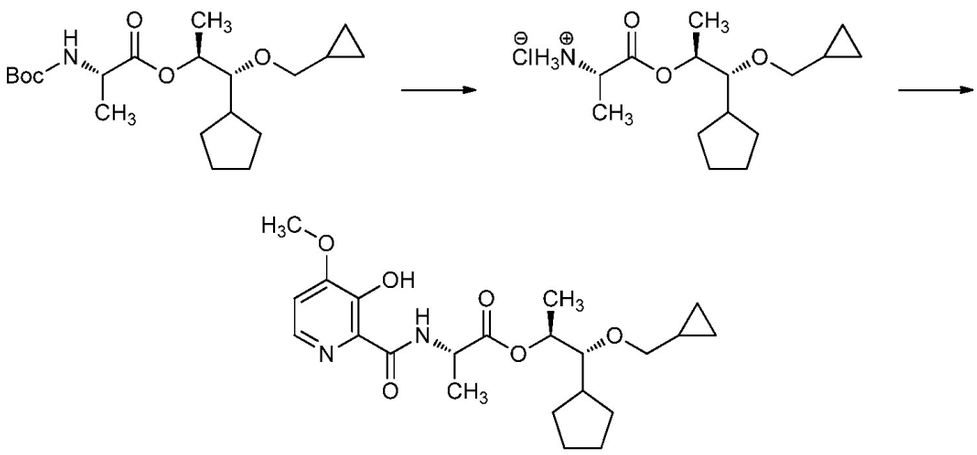
A una solución de 2-((di-terbutoxi-carbonil)-amino)-propanoato de (S)-(2S,3R)-3-(benciloxi)-hex-5-en-2-ilo (154.6 miligramos, 0.324 milimoles), y $NaHCO_3$ (2.72 miligramos, 0.032 milimoles), en una mezcla de CH_2Cl_2 anhidro (3.1 mililitros) y metanol (MeOH) anhidro (99 microlitros), se le agregaron 5 gotas de una solución de Sudan III al 1 por ciento en CH_2Cl_2. La mezcla de reacción se enfrió hasta –78°C y se burbujeó O_3 a través de la solución hasta que se hizo transparente e incolora. La mezcla se purgó con O_2 durante varios minutos, se purgó con N_2 durante varios minutos, se diluyó con metanol (MeOH) (1.2 mililitros) adicional, se trató con una porción individual de $NaBH_4$ (36.7 miligramos, 0.971 milimoles), y la solución resultante se dejó calentar hasta la temperatura ambiente con agitación durante la noche. La mezcla de reacción se apagó mediante la adición de H_2O (20 mililitros), y las fases se separaron. La fase acuosa se extrajo con CH_2Cl_2 (20 mililitros, 3 veces), y las fases orgánicas combinadas se secaron pasando a través de un cartucho separador de fases y se evaporaron hasta obtener un aceite, el cual se purificó mediante cromatografía en columna por evaporación instantánea (SiO_2, 0 → 100 por ciento de EtOAc en hexanos), para proporcionar el compuesto del título (132.6 miligramos, 81 por ciento), como un aceite incoloro transparente: IR (Película delgada) 2981, 1734, 1694, 1455 cm^{-1}; ^1H RMN (400 MHz, $CDCl_3$) δ 7.39 – 7.27 (m, 5H), 5.10 (qd, J = 6.5, 2.5 Hz, 1H), 4.98 (q, J = 6.9 Hz, 1H), 4.77 (d, J = 11.3 Hz, 1H), 4.50 (d, J = 11.3 Hz, 1H), 3.81 – 3.63 (m, 3H), 2.09 (t, J = 5.4 Hz, 1H), 1.82 – 1.62 (m, 2H), 1.52 (d, J = 7.0 Hz, 3H), 1.48 (s, 18H), 1.27 (d, J = 6.5 Hz, 3H); HRMS–ESI (m/z) (($[M+Na]^+$)) calculada para $C_{25}H_{39}NNaO_8$, 504.2568; encontrada, 504.2567.

Ejemplo 13, Paso 3: Preparación de 2-((di-terbutoxi-carbonil)-amino)-propanoato de (S)-(2S,3R)-3-(benciloxi)-5-metoxi-pentan-2-ilo (**Producto: Compuesto 132**)



A una solución de 2-((di-terbutoxi-carbonil)-amino)-propanoato de (S)-(2S,3R)-3-(benciloxi)-5-hidroxi-pentan-2-ilo (133 miligramos, 0.275 milimoles) en CH_2Cl_2 (2.76 mililitros) se le agregaron Proton Sponge® (118 miligramos, 0.551 mili-moles), y tetrafluoro-borato de trimetil-oxonio (52.9 miligramos, 0.358 milimoles), y la mezcla incolora resultante de la reacción se agitó a temperatura ambiente durante la noche. La mezcla color naranja nebulosa resultante se apagó cuidadosamente mediante la adición de $NaHCO_3$ acuoso saturado (20 mililitros), y las fases se separaron. La fase acuosa se extrajo con CH_2Cl_2 (20 mililitros, 3 veces), y las fases orgánicas combinadas se lavaron en secuencia con HCl acuoso 1 N (20 mililitros, 2 veces) y salmuera, se secaron pasando a través de un cartucho separador de fases, y se evaporaron, para dar un aceite, el cual se purificó mediante cromatografía en columna por evaporación instantánea (SiO_2, 0 → EtOAc al 50 por ciento en hexanos), para proporcionar el compuesto del título (113 miligramos, 79 por ciento), como un aceite incoloro transparente: IR (Película delgada) 2980, 2936, 1739, 1696, 1455 cm^{-1}; ^1H RMN (400 MHz, $CDCl_3$) δ 7.41 – 7.20 (m, 5H), 5.07 (qd, J = 6.5, 2.6 Hz, 1H), 4.97 (q, J = 6.9 Hz, 1H), 4.73 (d, J = 11.3 Hz, 1H), 4.46 (d, J = 11.3 Hz, 1H), 3.69 (ddd, J = 8.7, 4.3, 2.6 Hz, 1H), 3.52 – 3.39 (m, 2H), 3.28 (s, 3H), 1.80 – 1.65 (m, 2H), 1.52 (d, J = 6.9 Hz, 3H), 1.48 (s, 18H), 1.25 (d, J = 6.5 Hz, 3H); HRMS–ESI (m/z) ($[M+Na]^+$) calculada para $C_{26}H_{41}NNaO_8$, 518.2724; encontrada, 518.2718.

Ejemplo 14A, Pasos 1 y 2: Preparación de 2-(3-hidroxi-4-metoxi-picolinamido)-propanoato de (S)-(1R,2S)-1-ciclopentil-1-(ciclopropil-metoxi)-propan-2-ilo (**Compuesto 737**, **Compuesto 786**, y **Compuesto 845**)



Paso 1:

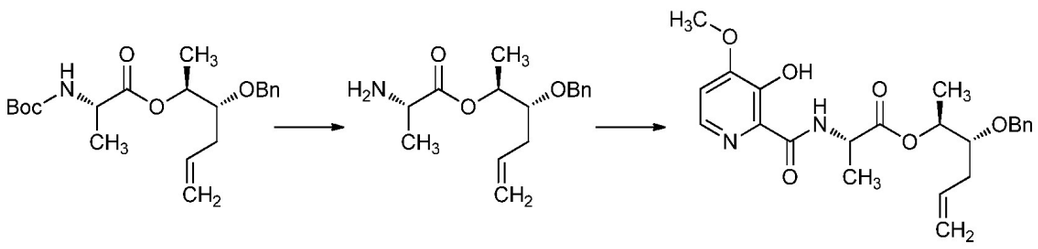
A una solución de 2-((terbutoxi-carbonil)-amino)-propanoato de (S)-(1R,2S)-1-ciclopentil-1-(ciclopropil-metoxi)-propan-2-ilo (189 miligramos, 0.512 milimoles) en CH_2Cl_2(3.4 mililitros), se le agregó una solución de HCl 4N en dioxano (2.6 mililitros, 10.2 milimoles), y la mezcla se agitó durante 3 horas a temperatura ambiente. El solvente se evaporó bajo una corriente de N_2 para proporcionar el clorhidrato de amina intermediario, cloruro de (S)-1-(((1R,2S)-1-ciclopentil-1-(ciclo-propil-metoxi)-propan-2-il)-oxi)-1-oxo-propan-2-amino, como un sólido blanco: ESIMS m/z 340 ($[M+H]^+$).

Paso 2:

A una solución de cloruro de (S)-1-(((1R,2S)-1-ciclopentil-1-(ciclopropil-metoxi)-propan-2-il)-oxi)-1-oxo-propan-2-amino y ácido 3-hidroxi-4-metoxi-picolínico (95.0 miligramos, 0.563 mili-moles) en CH_2Cl_2 (3.4 mililitros), se le agregaron N-etil-N-isopropil-propan-2-amina (294 microlitros, 1.69 milimoles), y PyBOP (293 miligramos, 0.563 milimoles), y la mezcla de reacción se agitó durante 4 horas a temperatura ambiente. El solvente se evaporó y el aceite crudo se purificó mediante cromatografía en columna por evaporación instantánea (SiO_2, 1 → 50 por ciento de acetona en hexanos), para proporcionar el compuesto del título (118 miligramos, 55 por ciento), como un sólido blanco: ^{1}H RMN (300 MHz, $CDCl_3$) δ 12.13 (d, J = 0.6 Hz, 1H), 8.47 (d, J = 7.9 Hz, 1H), 7.99 (d, J = 5.2 Hz, 1H), 6.88 (dd, J = 5.3, 0.6 Hz, 1H), 5.09 (qd, J = 6.5, 2.3 Hz, 1H), 4.78 – 4.66 (m, 1H), 3.95 (s, 3H), 3.51 (dd, J = 9.8, 6.9 Hz, 1H), 3.23 (dd, J = 9.9, 6.8 Hz, 1H), 3.17 (dd, J = 8.5, 2.3 Hz, 1H), 2.01 – 1.72 (m, 2H), 1.75 – 1.45 (m, 6H), 1.56 (d, J = 7.2

Hz, 3H), 1.46 – 1.29 (m, 1H), 1.28 (d, J = 6.6 Hz, 3H), 1.11 – 0.96 (m, 1H), 0.55 – 0.41 (m, 2H), 0.15 – 0.06 (m, 2H); ^{13}C RMN (101 MHz, $CDCl_3$) δ 171.45, 168.69, 155.40, 148.77, 140.50, 130.42, 109.46, 85.27, 77.27, 75.19, 56.09, 48.12, 42.50, 30.03, 29.15, 25.44, 25.11, 18.21, 13.72, 11.11, 2.87, 2.84; HRMS–ESI (m/z) ($[M+H]^+$) calculada para $C_{22}H_{33}N_2O_6$, 421.2333; encontrada, 421.2331.

Ejemplo 14B, Pasos 1 y 2: Preparación de 2-(3-hidroxi-4-metoxi-picolin-amido)-propanoato de (S)-(2S,3R)-3-(benciloxi)-hex-5-en-2-ilo (**Compuesto 34**, **Compuesto 180**, y **Compuesto 333**)



Paso 1:

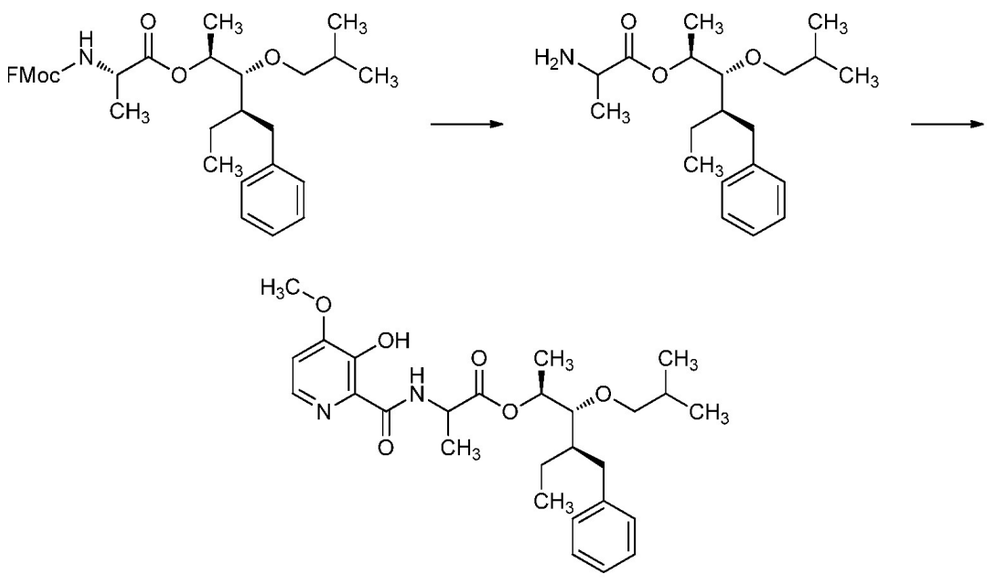
A una solución de 2-((terbutoxi-carbonil)-amino)-propanoato de (S)-(2S,3R)-3-(benciloxi)-hex-5-en-2-ilo (182 miligramos, 0.483 milimoles) en CH_2Cl_2 (1.6 mililitros) a 0°C, se le agregó ácido 2,2,2-trifluoro-acético (TFA; 400 microlitros, 5.19 milimoles) por goteo durante más de 30 segundos, y la mezcla color naranja resultante se calentó y se agitó a temperatura ambiente durante 2 horas. La mezcla de reacción se diluyó con CH_2Cl_2 (5 mililitros), se lavó con $NaHCO_3$ acuoso saturado (5 mililitros), y las fases se separaron. La fase acuosa se extrajo con CH_2Cl_2 (5 mililitros, 3 veces), y las capas orgánicas combinadas se secaron pasando a través de un cartucho separador de fases y se concentraron, para proporcionar la amina intermediaria, 2-amino-propanoato de (S)-(2S,3R)-3-(benciloxi)-hex-5-en-2-ilo (135 miligramos, 100 por ciento), como un aceite incoloro transparente, el cual se utilizó directamente en el siguiente paso: HRMS–ESI (m/z) ($[M+H]^+$) calculada para $C_{16}H_{24}NO_3$, 278.1751; encontrada, 278.1752.

Paso 2:

A una solución de 2-amino-propanoato de (S)-(2S,3R)-3-(benciloxi)-hex-5-en-2-ilo (135 miligramos, 0.487 milimoles), ácido 3-hidroxi-4-metoxi-picolínico (99 miligramos,

0.584 mili-moles), y PyBOP (304 miligramos, 0.584 milimoles) en CH_2Cl_2 (4.87 mililitros), se le agregó N-etil-N-isopropil-propan-2-amina (305 microlitros, 1.75 milimoles) por goteo durante un período de 45 segundos, y la mezcla de reacción se agitó a temperatura ambiente durante la noche. La mezcla se concentró y el aceite color naranja/café resultante se purificó mediante cromatografía en columna por evaporación instantánea (SiO_2, 0 → 50 por ciento de acetona en hexanos), para proporcionar el compuesto del título (212 miligramos, 86 por ciento), como un aceite incoloro transparente: IR (Película delgada) 3369, 3063, 2981, 2940, 2877, 1737, 1648, 1576, 1528, 1481, 1452, 1438 cm^{-1}; ^1H RMN (400 MHz, $CDCl_3$) δ 12.12 (d, J = 0.6 Hz, 1H), 8.49 (d, J = 7.9 Hz, 1H), 7.94 (d, J = 5.2 Hz, 1H), 7.38 – 7.19 (m, 5H), 6.83 (dd, J = 5.2, 2.6 Hz, 1H), 5.84 (ddt, J = 17.2, 10.2, 7.0 Hz, 1H), 5.20 – 5.00 (m, 3H), 4.79 – 4.66 (m, 1H), 4.62 (d, J = 11.5 Hz, 1H), 4.52 (d, J = 11.5 Hz, 1H), 3.92 (s, 3H), 3.57 (ddd, J = 7.2, 5.3, 3.5 Hz, 1H), 2.42 – 2.24 (m, 2H), 1.54 (d, J = 7.2 Hz, 3H), 1.31 (d, J = 6.5 Hz, 3H); HRMS–ESI (m/z) ($[M+H]^+$) calculada para $C_{23}H_{29}N_2O_6$, 429.2020; encontrada, 429.2025.

Ejemplo 14C, Pasos 1 y 2: Preparación de 2-(3-hidroxi-4-metoxi-picolinamido)-propanoato de (S)-(2S,3R,4R)-4-bencil-3-isobutoxi-hexan-2-ilo (**Compuesto 4**, **Compuesto 146**, y **Compuesto 293**)



Paso 1:

A una solución de 2-((((9H-fluoren-9-il)-metoxi)-carbonil)-amino)-propanoato de

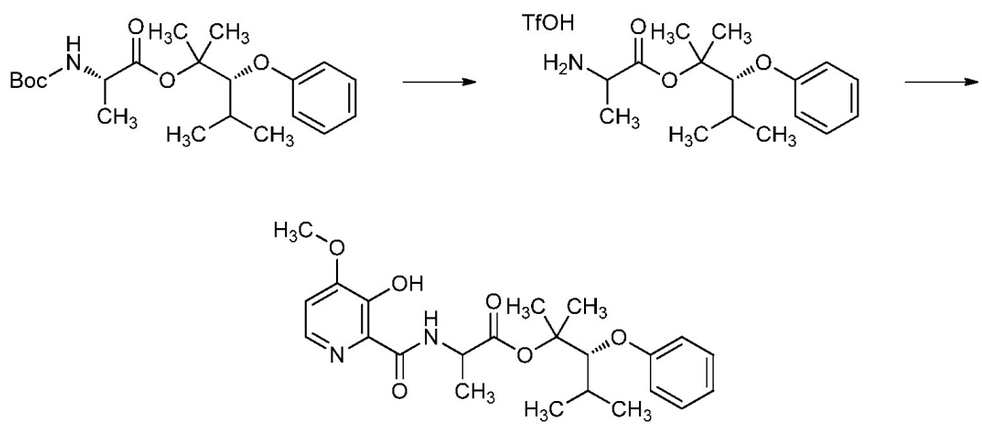
(S)-(2S,3R,4R)-4-bencil-3-isobutoxi-hexan-2-ilo (350 miligramos, 0.63 milimoles) en tetrahidrofurano (THF) (6 mililitros), se le agregó morfolina (0.63 mililitros, 7.2 milimoles), y la solución resultante se agitó a temperatura ambiente durante 4 días. La mezcla se filtró, y el filtrado se evaporó, para dar un sólido blanco pegajoso, el cual se purificó mediante cromatografía en columna en fase inversa (C_{18}, CH_3CN en H_2O, regulador de NaOAc), para proporcionar el acetato de aminio intermediario, acetato de 1-(((2S,3R,4R)-4-bencil-3-isobutoxi-hexan-2-il)-oxi)-1-oxo-propan-2-aminio. El acetato de aminio se disolvió en EtOAc (10 mililitros), se lavó con $NaHCO_3$ acuoso saturado, y las fases se separaron. La fase orgánica se secó sobre Na_2SO_4, se filtró, y se concentró para dar la amina intermediaria, 2-amino-propanoato de (2S,3R,4R)-4-bencil-3-isobutoxi-hexan-2-ilo (90 miligramos, 43 por ciento, mezcla de 1.5:1 de diaestereómeros en la amina portadora de carbono), como un aceite incoloro: ^{1}H RMN (400 MHz, $CDCl_3$) para ambos diaestereómeros δ 7.31 – 7.22 (m, 2H), 7.21 – 7.12 (m, 3H), 5.22 – 5.09 (m, 1H), 3.52 (adq, J = 8.9, 7.0 Hz, 1H), 3.42 (atd, J = 8.5, 6.4 Hz, 1H), 3.30 (at, J = 4.9 Hz, 1H), 3.24 (addd, J = 8.4, 6.4, 4.3 Hz, 1H), 2.98 (adt, J = 13.8, 3.8 Hz, 1H), 2.43 (addd, J = 13.6, 9.9, 2.6 Hz, 1H), 1.92 – 1.81 (m, 1H), 1.72 (adp, J = 15.7, 5.1 Hz, 1H), 1.58 (bs, 2H), 1.40 – 1.24 (m, 2H), 1.34 (ad, J = 7.0 Hz, 3H), 1.31 – 1.27 (m, 3H), 0.94 (ad, J = 6.7 Hz, 6H), 0.87 (atd, J = 7.5, 3.1 Hz, 3H).

Paso 2:

A una suspensión de 2-amino-propanoato de (2S,3R,4R)-4-bencil-3-isobutoxi-hexan-2-ilo (0.09 gramos, 0.268 milimoles), ácido 3-hidroxi-4-metoxi-picolínico (0.05 gramos, 0.295 mili-moles), y PyBOP (0.209 gramos, 0.402 milimoles) en CH_2Cl_2 (1.5 mililitros), se le agregó N-etil-N-isopropil-propan-2-amina (0.141 mililitros, 0.805 milimoles), y la solución color café oscuro resultante se agitó a temperatura ambiente durante 48 horas, la mezcla de reacción se dividió entre EtOAc y HCl acuoso 1 N, y las fases se separaron. La fase orgánica se lavó con $NaHCO_3$ acuoso saturado, se secó sobre Na_2SO_4, se filtró, y se concentró. El residuo crudo resultante se purificó mediante cromatografía en columna por evaporación instantánea (SiO_2, EtOAc al 30 por ciento en hexanos), para proporcionar una mezcla de 1.5:1 de diaestereómeros (en la amina

portadora de carbono) del compuesto del título (125 miligramos, 96 por ciento), como un aceite incoloro: ^{1}H RMN (400 MHz, $CDCl_3$) para ambos diaestereómeros δ 12.15 (add, J = 11.4, 0.5 Hz, 1H), 8.49 (at, J = 8.0 Hz, 1H), 7.97 (add, J = 5.2, 3.5 Hz, 1H), 7.31 – 7.19 (m, 2H), 7.15 (m, 3H), 6.86 (ad, J = 5.1 Hz, 1H), 5.25 – 5.16 (m, 1H), 4.76 – 4.66 (m, 1H), 3.94 (s, 3H), 3.42 (add, J = 8.5, 6.4 Hz, 1H), 3.33 (aq, J = 5.0 Hz, 1H), 3.22 (addd, J = 17.7, 8.5, 6.4 Hz, 1H), 2.97 (add, J = 13.8, 4.3 Hz, 1H), 2.42 (addd, J = 13.6, 10.0, 3.2 Hz, 1H), 1.89 – 1.77 (m, 1H), 1.73 (apptt, J = 10.2, 4.8 Hz, 1H), 1.56 (d, J = 7.2 Hz, 3H), 1.39 – 1.25 (m, 2H), 1.37 – 1.22 (m, 3H), 0.96 – 0.81 (m, 9H); ^{13}C RMN (101 MHz, $CDCl_3$) para ambos diaestereómeros δ 171.51, 171.44, 168.76, 168.70, 155.38, 155.37, 148.77, 141.54, 141.53, 140.50, 130.43, 129.14, 128.19, 128.17, 125.66, 125.64, 109.46, 81.72, 79.54, 79.50, 73.20, 73.19, 56.08, 48.10, 48.01, 43.62, 43.55, 35.39, 29.20, 22.18, 22.00, 19.51, 19.46, 18.32, 18.23, 15.54, 15.30, 10.82, 10.63; ESIMS m/z 487 (($[M+H]^+$)).

Ejemplo 14D, Pasos 1 y 2: Preparación de 2-(3-hidroxi-4-metoxi-picolinamido)-propanoato de (R)-2,4-dimetil-3-fenoxi-pentan-2-ilo (**Compuesto 728**, **Compuesto 779**, y **Compuesto 835**)



Paso 1:

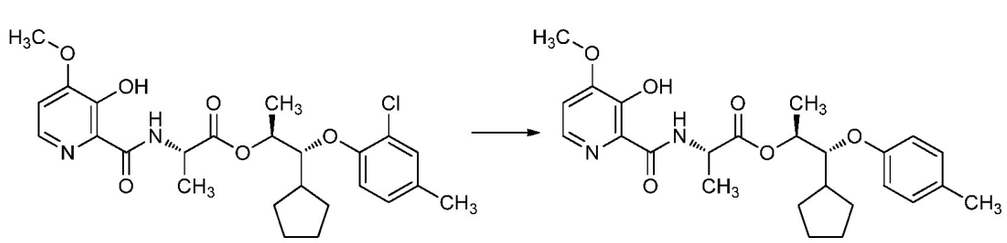
A una solución de 2-((terbutoxi-carbonil)-amino)-propanoato de (R)-2,4-dimetil-3-fenoxi-pentan-2-ilo (197 mili-gramos, 0.519 milimoles) en CH_2Cl_2 anhidro (5 mililitros), se le agregó 2,6-lutidina (302 microlitros, 2.60 milimoles), seguida por trifluoro-metan-sulfonato de trimetil-sililo (281 microlitros, 1.56 milimoles), y la solución resultante se agitó a temperatura ambiente durante 4 horas. La mezcla de reacción se diluyó con metanol (MeOH) (2.5 mililitros), y la solución resultante se agitó a temperatura ambiente durante

30 minutos, y se concentró para dar la sal de amina de intermediario, trifluoro-metan-sulfonato de 2-amino-propanoato de (R)-2,4-dimetil-3-fenoxi-pentan-2-ilo (223 miligramos, 100 por ciento), como un aceite amarillo: ESIMS m/z 280.4 (($[M+H]^+$)).

Paso 2:

A una solución de trifluoro-metan-sulfonato de 2-amino-propanoato de (R)-2,4-dimetil-3-fenoxi-pentan-2-ilo (223 mili-gramos, 0.519 milimoles) en CH_2Cl_2 anhidro (5 mililitros) se le agregaron ácido 3-hidroxi-4-metoxi-picolínico (97 miligramos, 0.57 milimoles), PyBOP (297 miligramos, 0.571 milimoles), y base de Hunig (299 1.71 milimoles), y la mezcla resultante se agitó a temperatura ambiente durante 2 horas, se concentró, y el residuo se purificó mediante cromatografía en columna (SiO_2; 4 → 40 por ciento de acetona en hexanos), para proporcionar el compuesto del título (24 miligramos, 11 por ciento), como un aceite: ^{1}H RMN (400 MHz, $CDCl_3$) δ 12.18 (d, J = 3.7 Hz, 1H), 8.40 (d, J = 7.6 Hz, 1H), 7.99 (d, J = 5.0 Hz, 1H), 7.26 – 7.17 (m, 2H), 6.96 (dd, J = 7.8, 4.9 Hz, 2H), 6.92 – 6.80 (m, 2H), 4.67 (dd, J = 19.2, 4.4 Hz, 1H), 4.47 (dp, J = 29.2, 7.2 Hz, 1H), 3.94 (s, 3H), 2.12 (ddt, J = 13.8, 6.9, 3.3 Hz, 1H), 1.62 – 1.54 (m, 6H), 1.38 – 1.31 (m, 3H), 1.06 (dd, J = 6.9, 2.2 Hz, 3H), 1.01 (d, J = 6.8 Hz, 3H); ^{13}C RMN (101 MHz, $CDCl_3$) δ 171.32, 171.28, 168.62, 168.55, 160.11, 155.36, 148.73, 148.71, 140.47, 130.55, 129.48, 120.75, 120.66, 115.72, 115.58, 109.41, 87.27, 86.97, 84.10, 83.64, 56.07, 48.53, 48.44, 29.71, 29.60, 23.77, 23.46, 22.65, 22.43, 22.29, 18.33, 18.26, 18.01, 17.92; HRMS–ESI (m/z) ($[M+H]^+$) calculada para $C_{23}H_{31}N_2O_6$, 431.2177; encontrada, 431.2187.

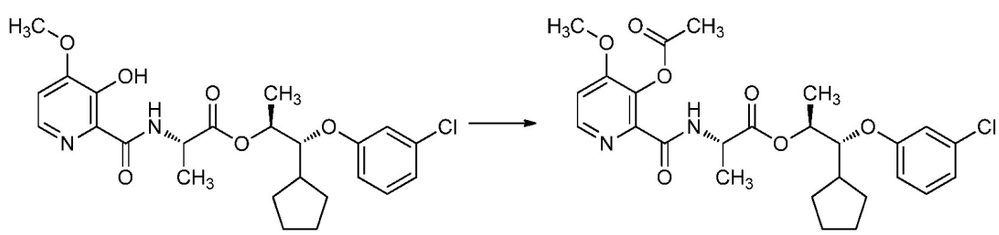
Ejemplo 15: Preparación de 2-(3-hidroxi-4-metoxi-picolin-amido)-propanoato de (S)-(1R,2S)-1-ciclopentil-1-(p-toliloxi)-propan-2-ilo (**Compuesto 843** y **Compuesto 846**)



Una suspensión de 2-(3-hidroxi-4-metoxi-picolinamido)-propanoato de (S)-(1R,2S)-1-(2-cloro-4-metil-fenoxi)-1-ciclo-pentil-propan-2-ilo (202 miligramos, 0.411 milimoles), Pd/C al 5 por ciento (88 miligramos, 0.041 milimoles), y NEt_3 (172 microlitros, 1.234

milimoles) en EtOH (8.2 mililitros) se agitó bajo aproximadamente 1 atmósfera (globo) de H_2 a temperatura ambiente durante 72 horas. La mezcla de reacción se filtró a través de un cojín de Celite® y el filtrado se concentró, para dar un aceite, el cual se purificó mediante cromatografía en columna por evaporación instantánea (SiO_2, 1 → 30 por ciento de acetona en hexanos), para proporcionar el compuesto del título (166 miligramos, 88 por ciento) como una espuma blanca: ^{1}H RMN (400 MHz, $CDCl_3$) δ 12.11 (d, J = 0.6 Hz, 1H), 8.38 (d, J = 8.1 Hz, 1H), 7.96 (d, J = 5.2 Hz, 1H), 7.01 – 6.96 (m, 2H), 6.86 (d, J = 5.4 Hz, 1H), 6.81 (d, J = 8.5 Hz, 2H), 5.15 (qd, J = 6.5, 3.0 Hz, 1H), 4.64 – 4.49 (m, 1H), 4.28 (dd, J = 8.2, 3.0 Hz, 1H), 3.94 (s, 3H), 2.24 (s, 3H), 2.18 – 2.04 (m, 1H), 1.91 – 1.78 (m, 1H), 1.78 – 1.64 (m, 2H), 1.62 – 1.40 (m, 5H), 1.37 (d, J = 6.5 Hz, 3H), 1.24 (d, J = 7.3 Hz, 3H); ^{13}C RMN (101 MHz, $CDCl_3$) δ 171.62, 168.64, 157.82, 155.35, 148.73, 140.43, 130.46, 130.34, 129.84, 116.30, 109.40, 83.42, 74.16, 56.07, 47.99, 42.21, 29.65, 29.01, 25.43, 25.10, 20.44, 17.67, 14.26; HRMS–ESI (m/z) ($[M+H]^+$) calculada para $C_{25}H_{33}N_2O_6$, 457.2333; encontrada, 457.2335.

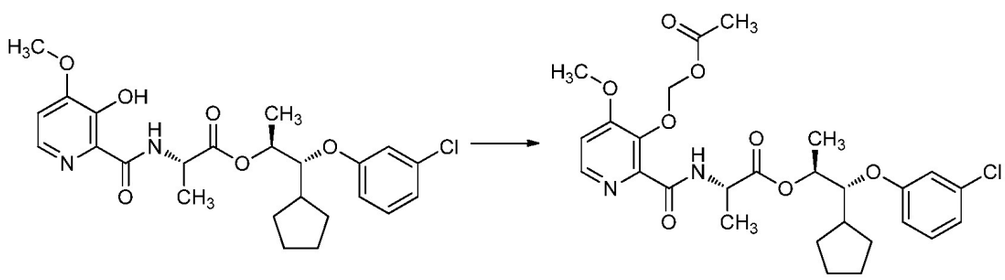
Ejemplo 16A: Preparación de 2-(3-acetoxi-4-metoxi-picolinamido)-propanoato de (S)-(1R,2S)-1-(3-cloro-fenoxi)-1-ciclopentil-propan-2-ilo (**Compuesto 841** y **Compuesto 920**).



A una solución de 2-(3-hidroxi-4-metoxi-picolinamido)-propanoato de (S)-(1R,2S)-1-(3-cloro-fenoxi)-1-ciclopentil-propan-2-ilo (100 miligramos, 0.210 milimoles), NEt_3 (58.1 microlitros, 0.419 milimoles), y DMAP (5.12 miligramos, 0.042 milimoles) en CH_2Cl_2 (2.1 mililitros), se le agregó cloruro de acetilo (22.4 microlitros, 0.314 milimoles), a temperatura ambiente, y la mezcla de reacción se agitó durante la noche. El solvente se evaporó, y el aceite crudo resultante se purificó mediante cromatografía en columna por evaporación

instantánea (SiO_2, 1 → 40 por ciento de acetona en hexanos), para proporcionar el compuesto del título (76 miligramos, 70 por ciento), como un aceite incoloro: ^{1}H RMN (500 MHz, $CDCl_3$) δ 8.42 (d, J = 8.0 Hz, 1H), 8.30 (d, J = 5.4 Hz, 1H), 7.10 (t, J = 8.2 Hz, 1H), 7.01 – 6.96 (m, 1H), 6.93 (t, J = 2.2 Hz, 1H), 6.85 (ddd, J = 7.9, 1.9, 0.9 Hz, 1H), 6.80 (ddd, J = 8.4, 2.5, 0.9 Hz, 1H), 5.13 (qd, J = 6.5, 2.9 Hz, 1H), 4.63 – 4.54 (m, 1H), 4.31 (dd, J = 8.4, 3.0 Hz, 1H), 3.91 (s, 3H), 2.39 (s, 3H), 2.16 – 2.09 (m, 1H), 1.82 (td, J = 10.1, 7.6, 4.9 Hz, 1H), 1.73 (qd, J = 7.5, 3.4 Hz, 1H), 1.69 – 1.46 (m, 5H), 1.43 – 1.36 (m, 1H), 1.34 (d, J = 6.5 Hz, 3H), 1.25 (d, J = 7.2 Hz, 3H); ^{13}C RMN (126 MHz, $CDCl_3$) δ 172.16, 168.91, 162.37, 160.58, 159.44, 146.65, 141.43, 137.49, 134.72, 130.20, 121.15, 116.75, 114.47, 109.73, 83.60, 73.66, 56.29, 47.97, 42.12, 29.70, 28.93, 25.40, 25.07, 20.75, 18.01, 14.10; HRMS–ESI (m/z) ($[M+H]^+$) calculada para $C_{26}H_{32}ClN_2O_7$, 519.1893; encontrada, 519.1888.

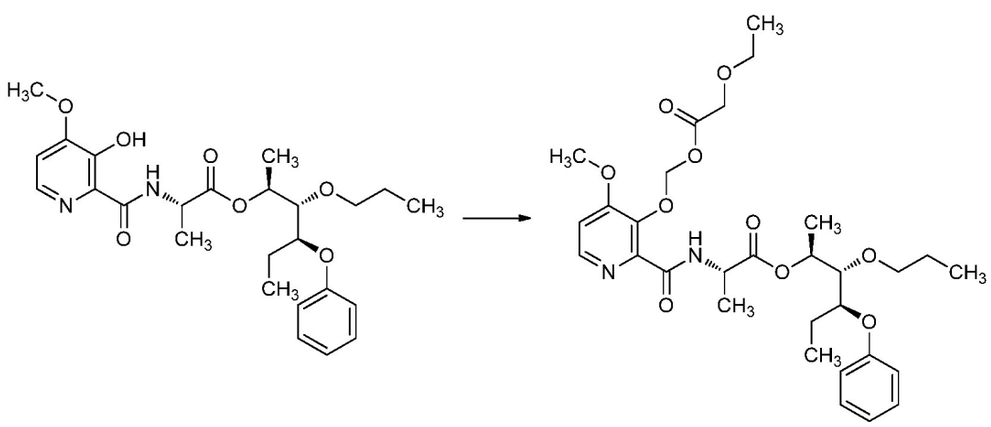
Ejemplo 16B: Preparación de 2-(3-(acetoxi-metoxi)-4-metoxi-picolinamido)-propanoato de (S)-(1R,2S)-1-(3-cloro-fenoxi)-1-ciclopentil-propan-2-ilo (**Compuesto 841** y **Compuesto 911**).



A una suspensión de 2-(3-hidroxi-4-metoxi-picolinamido)-propanoato de (S)-(1R,2S)-1-(3-cloro-fenoxi)-1-ciclopentil-propan-2-ilo (100 miligramos, 0.210 milimoles), y K_2CO_3 (58.0 miligramos, 0.419 milimoles) en acetona (2.1 mililitros), se le agregó bromo-acetato de etilo (28.8 microlitros, 0.294 mili-moles), a temperatura ambiente, y la mezcla se calentó y se agitó a 55°C durante 3 horas, se enfrió hasta la temperatura ambiente, y se agitó durante la noche. El solvente se evaporó y el material crudo resultante se purificó mediante cromatografía en columna por evaporación instantánea (SiO_2, 1 → 40 por ciento de acetona en hexanos), para proporcionar el compuesto del título (53.9 miligramos, 47 por ciento), como un aceite incoloro: ^{1}H RMN (500 MHz, $CDCl_3$) δ 8.29 – 8.20 (m, 2H),

7.11 (t, J = 8.1 Hz, 1H), 6.95 – 6.91 (m, 2H), 6.86 (ddd, J = 8.0, 2.0, 0.9 Hz, 1H), 6.81 (ddd, J = 8.4, 2.5, 0.9 Hz, 1H), 5.73 (s, 2H), 5.17 – 5.10 (m, 1H), 4.64 – 4.55 (m, 1H), 4.32 (dd, J = 8.4, 3.0 Hz, 1H), 3.91 (s, 3H), 2.17 – 2.09 (m, 1H), 2.07 (s, 3H), 1.87 – 1.79 (m, 1H), 1.78 – 1.70 (m, 1H), 1.70 – 1.64 (m, 1H), 1.57 (s, 4H), 1.42 – 1.36 (m, 1H), 1.36 (d, J = 6.6 Hz, 3H), 1.26 (d, J = 7.1 Hz, 3H); ^{13}C RMN (126 MHz, $CDCl_3$) δ 172.25, 170.29, 162.95, 160.59, 160.27, 145.68, 144.04, 142.35, 134.72, 130.19, 121.15, 116.73, 114.53, 109.53, 89.58, 83.63, 73.63, 56.17, 48.18, 42.12, 29.71, 28.91, 25.39, 25.05, 20.87, 17.84, 14.10; HRMS–ESI (m/z) ($[M+H]^+$) calculada para $C_{27}H_{34}ClN_2O_8$, 549.1998; encontrada, 549.1997.

Ejemplo 16C: Preparación de 2-(3-((2-etoxi-acetoxi)-metoxi)-4-metoxi-picolin-amido)-propanoato de (S)-(2S,3S,4S)-4-fenoxi-3-propoxi-hexan-2-ilo (**Compuesto 326** y **Compuesto 512**)



A una solución de 2-(3-hidroxi-4-metoxi-picolinamido)-propanoato de (S)-(2S,3S,4S)-4-fenoxi-3-propoxi-hexan-2-ilo (103 miligramos, 0.217 milimoles) en acetona (2 mililitros) se le agregaron Na_2CO_3 (46.0 miligramos, 0.434 milimoles), yoduro de sodio (NaI; 6.5 miligramos, 0.043 milimoles), y 2-etoxi-acetato de cloro-metilo (49.7 miligramos, 0.326 milimoles), y la mezcla se calentó y se agitó a 40°C durante 6 horas, se enfrió hasta la temperatura ambiente, y se concentró. El residuo resultante se purificó mediante cromatografía en columna por evaporación instantánea (SiO_2, 2 → 30 por ciento de acetona en hexanos), para proporcionar el compuesto del título (41.4 miligramos, 32 por ciento), como un aceite incoloro: IR (Película delgada) 3383, 2973, 2936, 2878, 1774, 1737, 1677 cm^{-1}; ^1H RMN (400 MHz, $CDCl_3$) δ 8.33 (d, J = 7.8 Hz, 1H), 8.26 (d, J = 5.4 Hz,

1H), 7.29 – 7.19 (m, 2H), 6.98 – 6.89 (m, 4H), 5.82 (d, J = 1.0 Hz, 2H), 5.16 (qd, J = 6.4, 4.2 Hz, 1H), 4.72 – 4.63 (m, 1H), 4.27 – 4.17 (m, 1H), 4.10 (s, 2H), 3.90 (s, 3H), 3.65 – 3.47 (m, 5H), 1.88 – 1.76 (m, 1H), 1.75 – 1.65 (m, 1H), 1.59 – 1.49 (m, 2H), 1.42 (d, J = 7.2 Hz, 3H), 1.36 (d, J = 6.4 Hz, 3H), 1.23 (t, J = 7.0 Hz, 3H), 1.00 (t, J = 7.4 Hz, 3H), 0.87 (t, J = 7.4 Hz, 3H); HRMS–ESI (m/z) ($[M+H]^+$) calculada para $C_{30}H_{43}N_2O_{10}$, 591.2912; encontrada, 591.2913.

Ejemplo A: Evaluación de actividad fungicida: Mancha de hoja de trigo (*Zymoseptoria tritici*; código Bayer SEPTTR):

Las calidades técnicas de los materiales se disolvieron en acetona, la cual entonces se mezcló con nueve volúmenes de agua que contenían Triton X-100, 110 ppm. Las soluciones fungicidas se aplicaron a plántulas de trigo, utilizando un aspersor de caseta automático hasta escurrirse. Todas las plantas pulverizadas se dejaron secar al aire antes de más manipulación. Todos los fungicidas se evaluaron empleando el método anteriormente mencionado para determinar su actividad contra todas las enfermedades objetivo, a menos que se informe de otra manera. Las actividades de mancha de hoja de trigo y de roya marrón también se evaluaron utilizando aplicaciones en pistas de aerosol, en cuyo caso, los fungicidas se formularon como las formulaciones EC, que contenían el 0.1 por ciento de Trycol 5941 en las soluciones de aerosol.

Se cultivaron las plantas de trigo (variedad Yuma) a partir de semillas en un invernadero en 50 por ciento de tierra mineral/50 por ciento de mezcla Metro sin tierra hasta que emergió totalmente la primera hoja, con 7 a 10 plántulas por maceta. Estas plantas se inocularon con una suspensión de esporas acuosa de *Zymoseptoria tritici* tanto antes como después de los tratamientos fungicidas. Después de la inoculación, las plantas se mantuvieron en una humedad relativa del 100 por ciento (un día en una cámara de aspersión oscura seguido por dos a tres días en un cámara de aspersión con luz a 20°C) para permitir germinar a las esporas e infectar la hoja. Entonces, las plantas se transfirieron a un invernadero establecido a 20°C para desarrollar la enfermedad. Cuando los síntomas de la enfermedad se expresaron totalmente sobre las primeras hojas de las plantas sin tratar, se evaluaron los niveles de infección en una escala del 0 al 100 por ciento de gravedad de la enfermedad.

Se calculó el porcentaje de control de enfermedad utilizando la proporción de la gravedad de la enfermedad en plantas tratadas con relación a plantas sin tratar.

Ejemplo B: Evaluación de actividad fungicida: roya marrón del trigo (*Puccinia triticina*; *Synonym*: *Puccinia recondita f. sp. tritici*; código Bayer PUCCRT):

Se cultivaron plantas de trigo (variedad Yuma) a partir de semillas en un invernadero en 50 por ciento de tierra mineral/50 por ciento de mezcla Metro sin tierra hasta la primera hoja totalmente emergida, con 7 a 10 plántulas por maceta. Estas plantas se inocularon con una suspensión de esporas acuosa de *Puccinia triticina* tanto antes como después de los tratamientos fungicidas. Después de la inoculación las plantas se mantuvieron en un cuarto de aspersión oscuro a 22°C con humedad relativa del 100 por ciento durante la noche para permitir germinar a las esporas e infectar la hoja. Entonces, las plantas se transfirieron a un invernadero establecido a 24°C para desarrollar la enfermedad. Se evaluaron la formulación fungicida, la aplicación y la enfermedad siguiendo los procedimientos como se describen en el Ejemplo A.

Ejemplo C: Evaluación de actividad fungicida: mancha de gluma del trigo (*Leptosphaeria nodorum*; código Bayer LEPTNO):

Se cultivaron plantas de trigo (variedad Yuma) a partir de semillas en un invernadero en 50 por ciento de tierra mineral/50 por ciento de mezcla Metro sin tierra hasta la primera hoja totalmente emergida, con 7 a 10 plántulas por maceta. Estas plantas se inocularon con una suspensión de esporas acuosa de *Leptosphaeria nodorum* 24 horas después de los tratamientos fungicidas. Después de la inoculación las plantas se mantuvieron en una humedad relativa del 100 por ciento (un día en una cámara de aspersión oscura, seguida por dos días en una cámara de aspersión con luz a 20°C) para permitir germinar a las esporas e infectar la hoja. Entonces, las plantas se transfirieron a un invernadero establecido a 20°C para desarrollar la enfermedad. Se evaluaron la formulación fungicida, la aplicación y la enfermedad siguiendo los procedimientos como se describen en el Ejemplo A.

Ejemplo D: Evaluación de actividad fungicida: Costra de la manzana (*Venturia inaequalis*; código Bayer VENTIN):

Las plántulas de manzana (variedad McIntosh) se cultivaron en la mezcla Metro sin tierra, con una planta por maceta. En esta prueba se utilizaron las plántulas con dos hojas jóvenes expandiéndose en la parte superior (se recortan las hojas más viejas en la base de las plantas). Las plantas se inocularon con una suspensión de esporas de *Venturia inaequalis* 24 horas después del tratamiento fungicida y se mantuvieron en una cámara de aspersión a 22°C con humedad relativa del 100 por ciento durante 48 horas, y entonces se movieron a un invernadero establecido a 20°C para desarrollar la enfermedad. Se evaluaron la formulación fungicida, la aplicación y la enfermedad en las hojas rociadas siguiendo los procedimientos como se describen en el Ejemplo A.

Ejemplo E: Evaluación de actividad fungicida: Moho polvoroso de cucurbitáceas (*Erysiphe cichoracearum*; código Bayer ERYSCI):

Las plántulas de cucurbitáceas (variedad Bush Pickle) se cultivaron en la mezcla Metro sin tierra, con una planta por maceta, y se utilizaron en la prueba cuando tenían de 12 a 14 días de edad. Las plantas se inocularon con una suspensión de esporas 24 horas después de los tratamientos fungicidas. Después de la inoculación, las plantas permanecieron en el invernadero establecido a 20°C hasta que la enfermedad se expresó totalmente. Se evaluaron la formulación fungicida, la aplicación y la enfermedad en las hojas rociadas siguiendo los procedimientos como se describen en el Ejemplo A.

Ejemplo F: Evaluación de actividad fungicida: Mancha de la hoja de la remolacha azucarera (*Cercospora beticola*; código Bayer CERCBE):

Las plantas de remolacha azucarera (variedad HH88) se cultivaron en la mezcla Metro sin tierra y se recortaron regularmente para mantener una planta de tamaño uniforme antes de la prueba. Las plantas se inocularon con una suspensión de esporas 24 horas después de los tratamientos fungicidas. Las plantas inoculadas se mantuvieron en una cámara de aspersión a 22°C durante 48 horas, entonces se incubaron en un invernadero establecido a 24°C bajo una capucha de plástico claro con ventilación en la base hasta que los síntomas de la enfermedad se expresaron totalmente. Se evaluaron la formulación fungicida, la aplicación y la enfermedad en las hojas rociadas siguiendo los procedimientos como se describen en el Ejemplo A.

Ejemplo G: Evaluación de actividad fungicida: Roya de semilla de soya asiática

(*Phakopsora pachyrhizi*; código Bayer PHAKPA):

Los materiales de grados técnicos se disolvieron en acetona, la cual entonces se mezcló con nueve volúmenes de agua que contenía el 0.011 por ciento de Tween 20. Las soluciones fungicidas se aplicaron sobre plántulas de soya utilizando un aspersor de caseta automático hasta escurrirse. Todas las plantas rociadas se dejaron secar al aire antes de más manipulación.

Las plantas de semilla de soya (variedad Williams 82) se cultivaron en la mezcla Metro sin tierra, con una planta por maceta. Se utilizaron plántulas de dos semanas de edad para la prueba. Las plantas se inocularon ya sea 3 días antes o bien 1 día después de los tratamientos fungicidas. Las plantas se incubaron durante 24 horas en un cuarto de aspersión oscuro a 22°C y con el 100 por ciento de humedad relativa; entonces se transfirieron a un cuarto de crecimiento a 23°C para desarrollar la enfermedad. La gravedad de la enfermedad se evaluó en las hojas rociadas.

Ejemplo H: Evaluación de actividad fungicida: Escaldadura de la cebada (*Rhyncosporium secalis*; código Bayer RHYNSE):

Las plántulas de cebada (variedad Harrington) se propagaron en la mezcla Metro sin tierra; cada maceta tenía de 8 a 12 plantas, y se utilizaron en la prueba cuando emergió totalmente la primera hoja. Las plantas de la prueba se inocularon mediante una suspensión de esporas acuosa de *Rhyncosporium secalis* 24 horas después de los tratamientos fungicidas. Después de la inoculación, las plantas se mantuvieron en un cuarto de aspersión a 22°C con humedad relativa del 100 por ciento durante 48 horas. Entonces, las plantas se transfirieron a un invernadero establecido a 20°C para desarrollar la enfermedad. Se evaluaron la formulación fungicida, la aplicación y la enfermedad en las hojas rociadas siguiendo los procedimientos como se describen en el Ejemplo A.

Ejemplo I: Evaluación de actividad fungicida: Añublo del arroz (*Piricularia oryzae*; código Bayer PYRIOR):

Las plántulas de arroz (variedad Japonica) se propagaron en la mezcla Metro sin tierra; cada maceta tenía de 8 a 14 plantas, y se utilizaron en la prueba cuando tenían de 12 a 14 días de edad. Las plantas de la prueba se inocularon con una suspensión de esporas acuosa de *Piricularia oryzae* 24 horas después de los tratamientos fungicidas.

Después de la inoculación, las plantas se mantuvieron en un cuarto de aspersión a 22°C con una humedad relativa del 100 por ciento durante 48 horas para permitir germinar a las esporas e infectar la hoja. Entonces, las plantas se transfirieron a un invernadero establecido a 24°C para desarrollar la enfermedad. Se evaluaron la formulación fungicida, la aplicación y la enfermedad en las hojas rociadas siguiendo los procedimientos como se describen en el Ejemplo A.

Ejemplo J: Evaluación de actividad fungicida: Tizón temprano del tomate (*Alternaria solani*; código Bayer ALTESO):

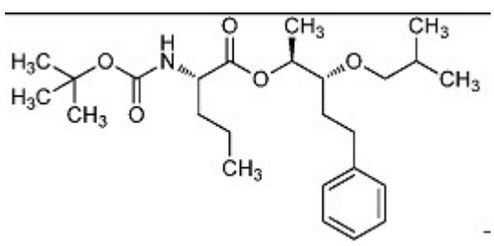
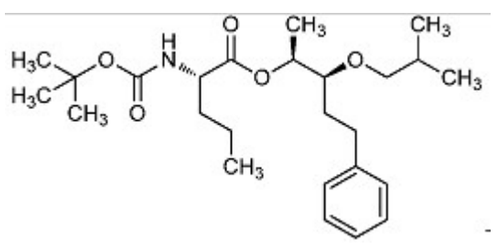
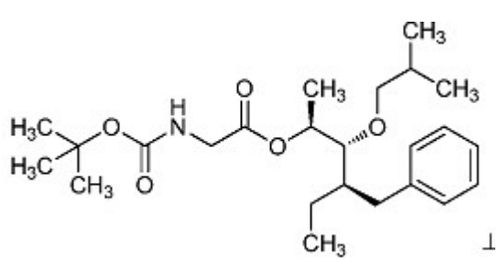
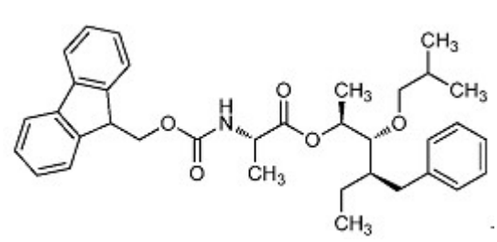
Las plantas de tomate (variedad Outdoor Girl) se propagaron en la mezcla Metro sin tierra; cada maceta tenía una planta, y se utilizó cuando tenía de 12 a 14 días de edad. Las plantas de la prueba se inocularon con una suspensión de esporas acuosa de *Alternaria solani* 24 horas después de los tratamientos fungicidas. Después de la inoculación, las plantas se mantuvieron en un cuarto de aspersión a 22°C con una humedad relativa del 100 por ciento durante 48 horas para permitir germinar a las esporas e infectar la hoja. Las plantas entonces se transfirieron a un cuarto de crecimiento a 22°C para desarrollar la enfermedad. Se evaluaron la formulación fungicida, la aplicación y la enfermedad en las hojas rociadas siguiendo los procedimientos como se describen en el Ejemplo A.

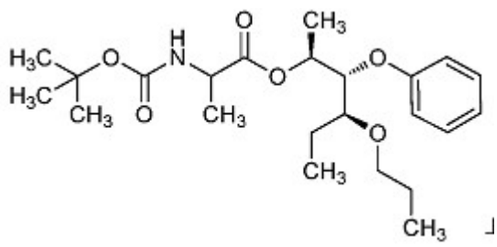
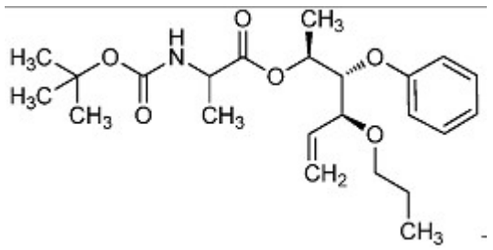
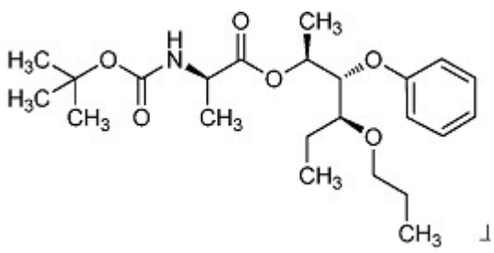
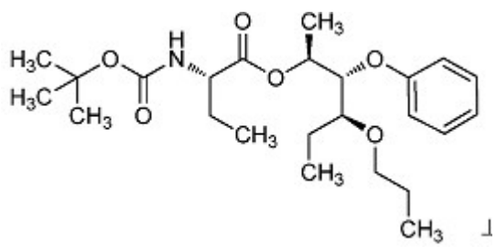
Ejemplo K: Evaluación de actividad fungicida: Antracnosis de cucurbitáceas (*Colletotrichum lagenarium*; código Bayer COLLLA):

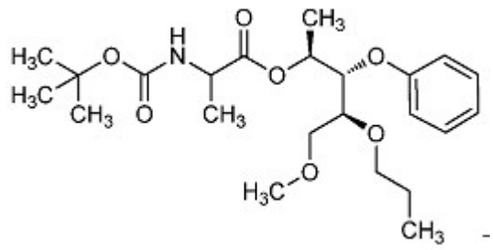
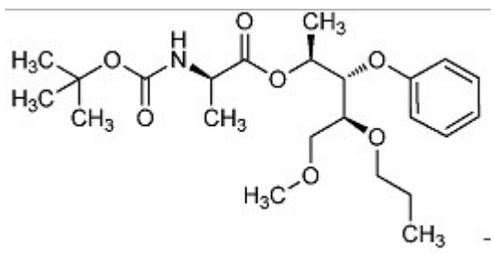
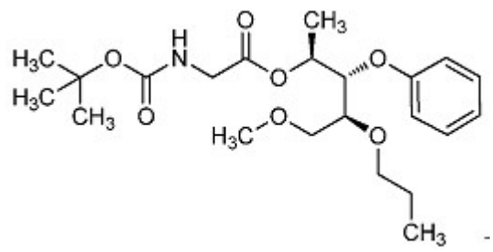
Las plántulas de cucurbitáceas (variedad Bush Pickle) se propagaron en la mezcla Metro sin tierra; cada maceta tenía una planta, y se utilizó en la prueba cuando tenía de 12 a 14 días de edad. Las plantas de la prueba se inocularon con una suspensión de esporas acuosa de *Colletotrichum lagenarium* 24 horas después de los tratamientos fungicidas. Después de la inoculación, las plantas se mantuvieron en un cuarto de aspersión a 22°C con una humedad relativa del 100 por ciento durante 48 horas para permitir germinar a las esporas e infectar la hoja. Las plantas entonces se transfirieron a un cuarto de crecimiento establecido a 22°C para desarrollar la enfermedad. Se evaluaron la formulación fungicida, la aplicación y la enfermedad en las hojas rociadas siguiendo los procedimientos como se describen en el Ejemplo A.

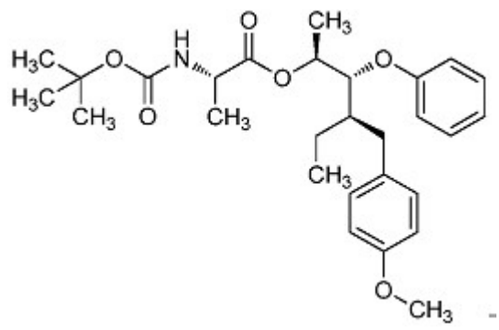
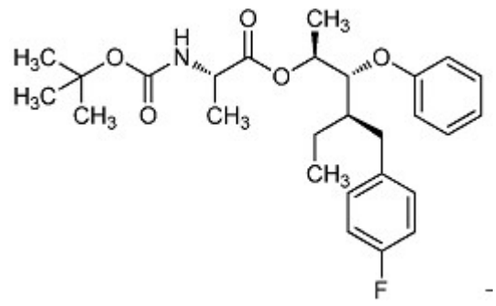
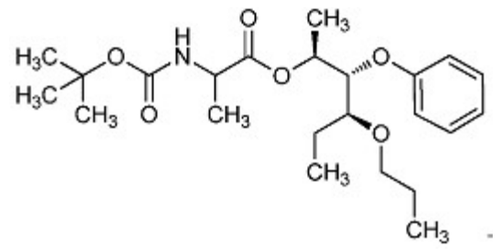
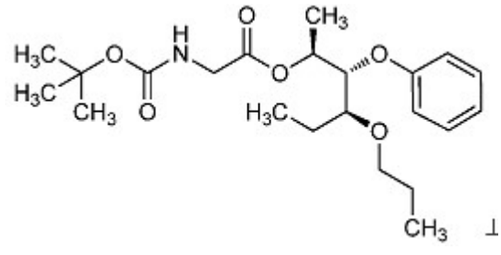
Tabla 1

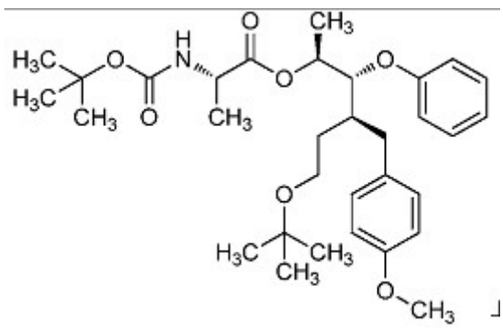
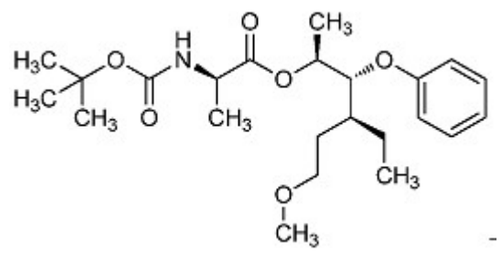
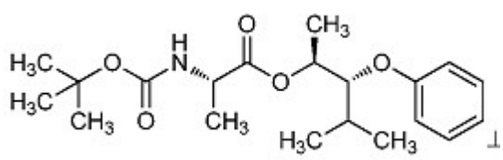
Estructura de compuestos, apariencia y método de preparación

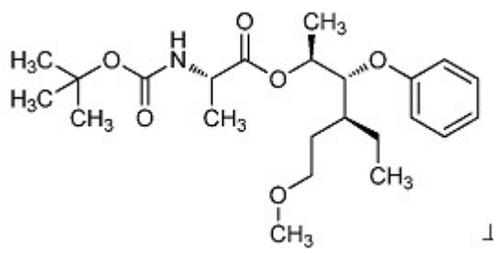
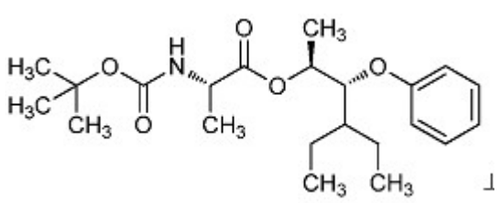
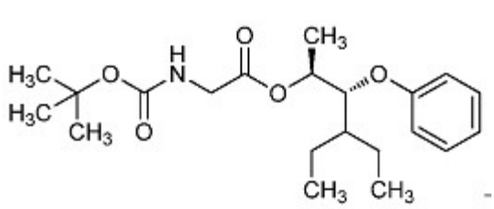
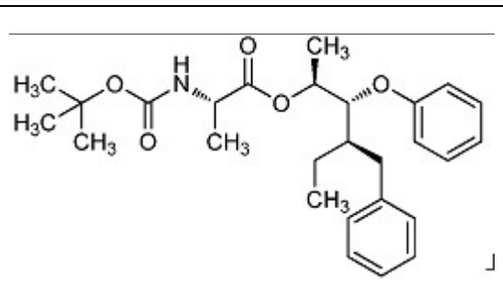
*Comp. No.	Estructura	Preparado de acuerdo con el Ejemplo:	Apariencia
1		Ejemplo 1A; Ejemplo 4F; Ejemplo 8B; Ejemplo 12A	Aceite incoloro
2		Ejemplo 1A; Ejemplo 4F; Ejemplo 8B; Ejemplo 12A	Aceite incoloro
3		Ejemplo 2; Ejemplo 4F; Ejemplo 8B; Ejemplo 12A	Aceite incoloro
4		Ejemplo 2; Ejemplo 4F; Ejemplo 8B; Ejemplo 12A	Aceite incoloro

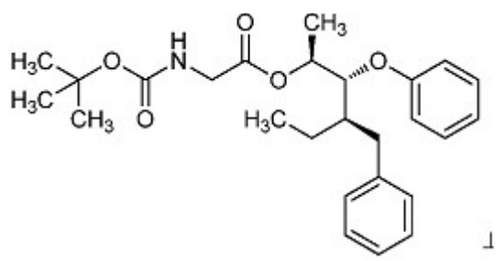
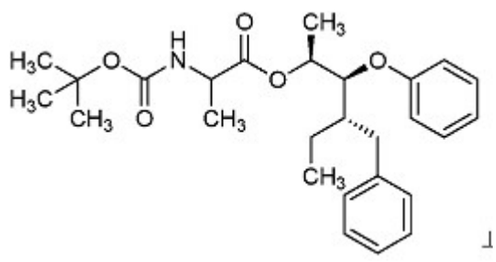
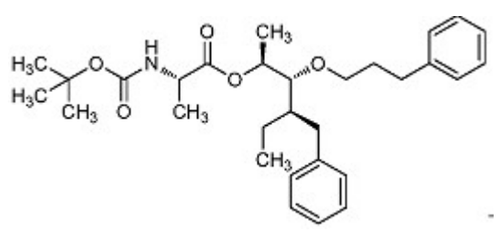
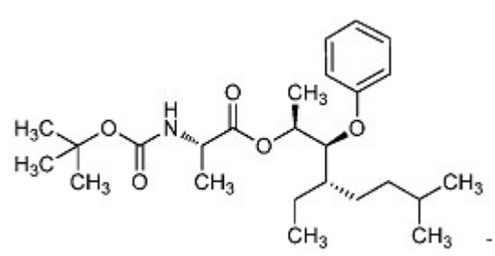
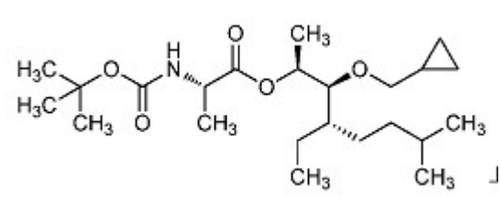
*Comp. No.	Estructura	Preparado de acuerdo con el Ejemplo:	Apariencia
5		Ejemplo 3; Ejemplo 4B; Ejemplo 8C; Ejemplo 12A	Aceite incoloro
6		Ejemplo 1B, Paso 1; Ejemplo 3; Ejemplo 4B; Ejemplo 8D; Ejemplo 12A	Sólido incoloro
7		Ejemplo 3; Ejemplo 4B; Ejemplo 8C; Ejemplo 12A	Aceite incoloro
8		Ejemplo 3; Ejemplo 4B; Ejemplo 8C; Ejemplo 12A	Aceite incoloro

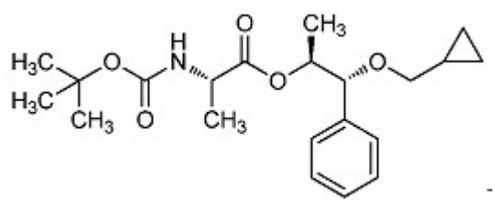
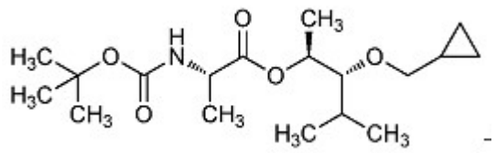
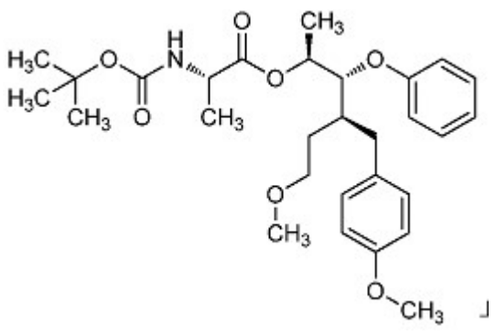
*Comp. No.	Estructura	Preparado de acuerdo con el Ejemplo:	Apariencia
9		Ejemplo 3; Ejemplo 4B; Ejemplo 6B, Pasos 1, 2; Ejemplo 8C; Ejemplo 12A	Aceite pegajoso incoloro
10		Ejemplo 3; Ejemplo 4B; Ejemplo 6B, Pasos 1, 2; Ejemplo 8C; Ejemplo 12A	Aceite pegajoso incoloro
11		Ejemplo 3; Ejemplo 4B; Ejemplo 6B, Pasos 1, 2; Ejemplo 8C; Ejemplo 12A	Aceite pegajoso incoloro

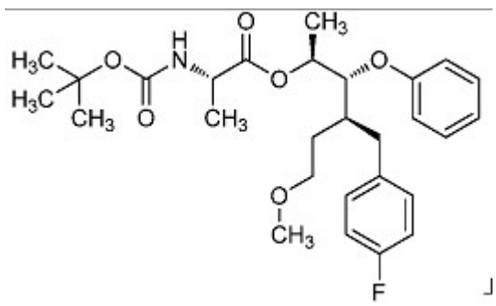
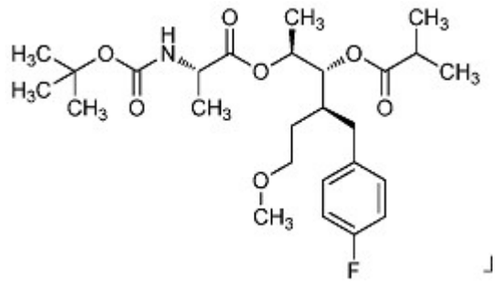
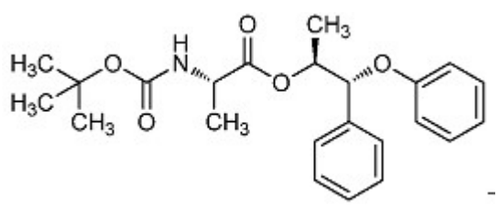
*Comp. No.	Estructura	Preparado de acuerdo con el Ejemplo:	Apariencia
12		Ejemplo 1B, Paso 1; Ejemplo 2; Ejemplo 4B; Ejemplo 8C; Ejemplo 12A	Aceite pegajoso
13		Ejemplo 1B, Paso 1; Ejemplo 2; Ejemplo 4B; Ejemplo 8C; Ejemplo 12A	Aceite pegajoso
14		Ejemplo 3; Ejemplo 4B; Ejemplo 8C; Ejemplo 12A	Aceite incoloro
15		Ejemplo 3; Ejemplo 4B; Ejemplo 8C; Ejemplo 12A	Aceite incoloro

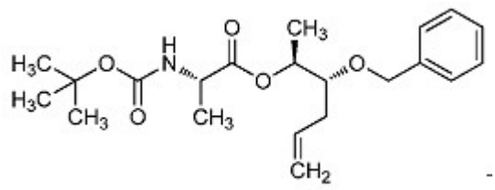
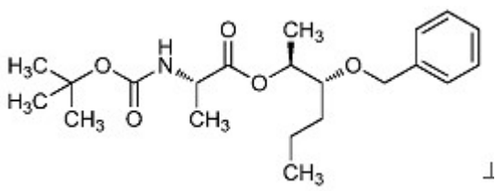
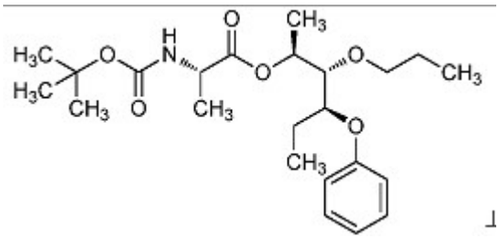
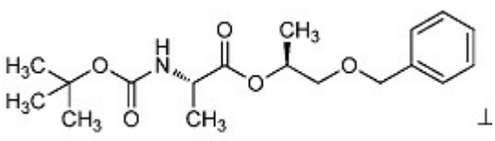
*Comp. No.	Estructura	Preparado de acuerdo con el Ejemplo:	Apariencia
16		Ejemplo 1B, Paso 1; Ejemplo 2; Ejemplo 4B; Ejemplo 6A, Paso 1, 2b; Ejemplo 8C; Ejemplo 12A	Aceite incoloro
17		Ejemplo 2; Ejemplo 4B; Ejemplo 6A, Paso 1; Ejemplo 7, Paso 2a; Ejemplo 8C; Ejemplo 12A	Aceite incoloro
18		Ejemplo 1A; Ejemplo 4B; Ejemplo 8C; Ejemplo 12A	Aceite incoloro

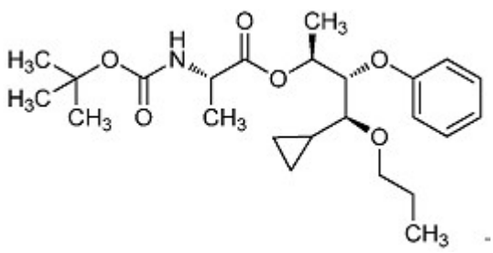
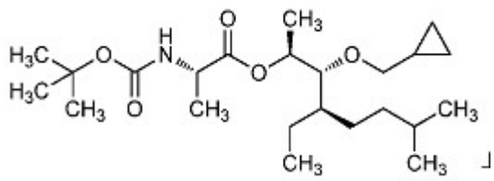
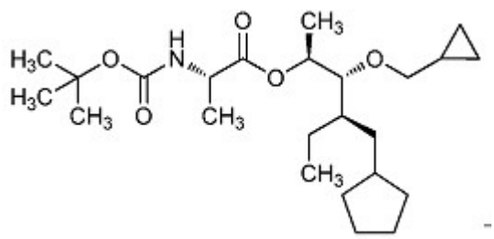
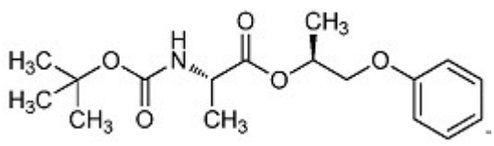
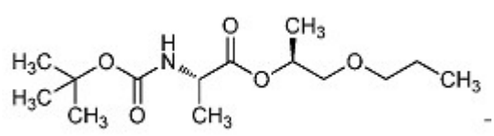
*Comp. No.	Estructura	Preparado de acuerdo con el Ejemplo:	Apariencia
19		Ejemplo 2; Ejemplo 4B; Ejemplo 6A, Paso 1; Ejemplo 7, Paso 2a; Ejemplo 8C; Ejemplo 12A	Aceite incoloro
20		Ejemplo 2; Ejemplo 4B; Ejemplo 8C; Ejemplo 12A	Aceite incoloro
21		Ejemplo 2; Ejemplo 4B; Ejemplo 8C; Ejemplo 12A	Aceite incoloro
22		Ejemplo 2; Ejemplo 4B; Ejemplo 8C; Ejemplo 12A	Aceite incoloro

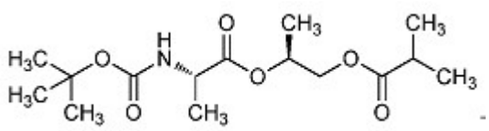
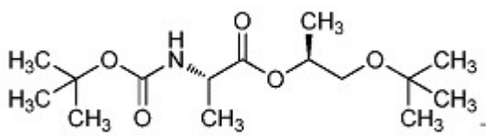
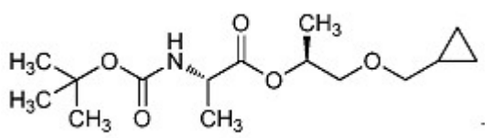
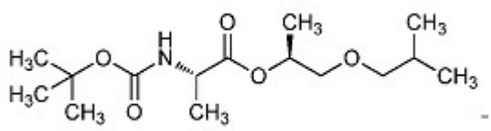
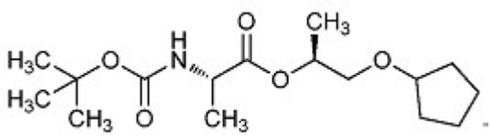
*Comp. No.	Estructura	Preparado de acuerdo con el Ejemplo:	Apariencia
23		Ejemplo 2; Ejemplo 4B; Ejemplo 8C; Ejemplo 12A	Aceite incoloro
24		Ejemplo 2; Ejemplo 4B; Ejemplo 8C; Ejemplo 12A	Aceite incoloro
25		Ejemplo 2; Ejemplo 4F; Ejemplo 8C; Ejemplo 12A	Aceite incoloro
26		Ejemplo 1B, Paso 1; Ejemplo 2; Ejemplo 8C; Ejemplo 8D; Ejemplo 12A	Aceite incoloro
27		Ejemplo 1B, Paso 1; Ejemplo 2; Ejemplo 8C;	Aceite incoloro

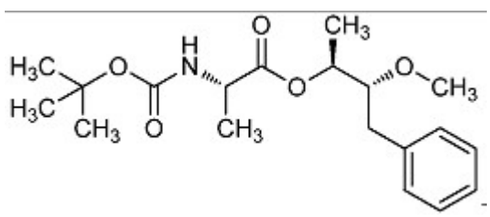
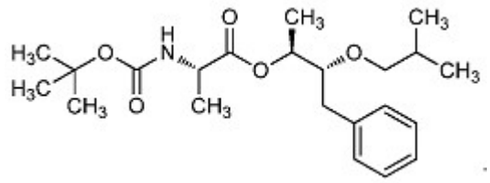
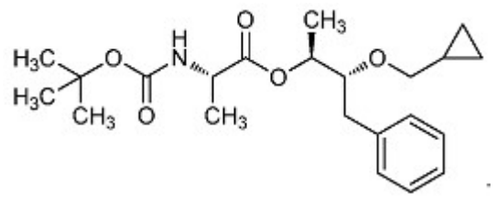
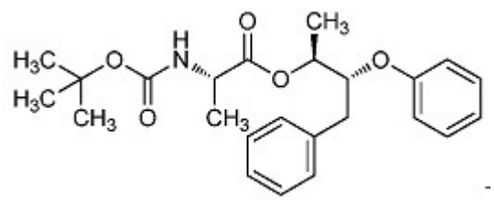
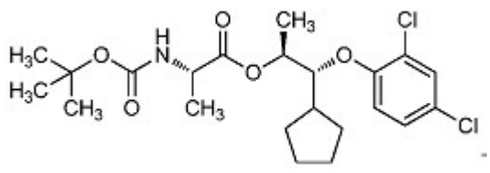
*Comp. No.	Estructura	Preparado de acuerdo con el Ejemplo:	Apariencia
		Ejemplo 8D; Ejemplo 12A	
28		Ejemplo 1A; Ejemplo 4F; Ejemplo 8C; Ejemplo 12A	Semi-sólido incoloro
29		Ejemplo 1A; Ejemplo 4F; Ejemplo 8C; Ejemplo 12A	Aceite incoloro
30		Ejemplo 1B, Paso 1; Ejemplo 2; Ejemplo 4B; Ejemplo 6A, Pasos 1, 2a; Ejemplo 8C; Ejemplo 12A	Aceite incoloro

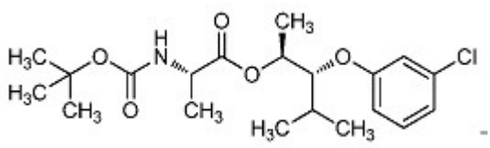
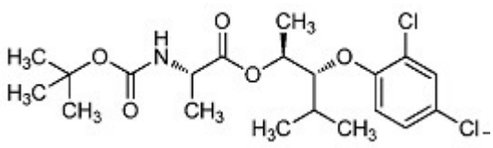
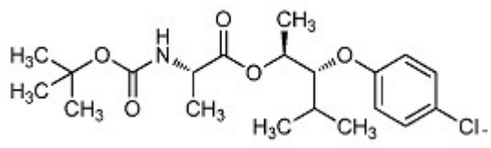
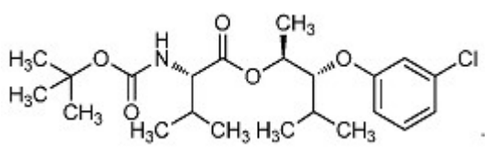
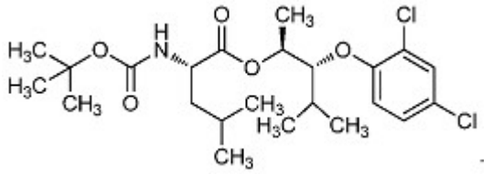
*Comp. No.	Estructura	Preparado de acuerdo con el Ejemplo:	Apariencia
31		Ejemplo 1B, Paso 1; Ejemplo 2; Ejemplo 4B; Ejemplo 6A, Pasos 1, 2a; Ejemplo 8C; Ejemplo 12A	Aceite incoloro
32		Ejemplo 1B, Paso 1; Ejemplo 2; Ejemplo 4B; Ejemplo 6A, Pasos 1, 2a; Ejemplo 8C; Ejemplo 12A	Aceite incoloro
33		Ejemplo 1A; Ejemplo 4B; Ejemplo 8C; Ejemplo 12A	Sólido blanco

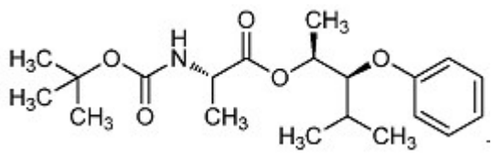
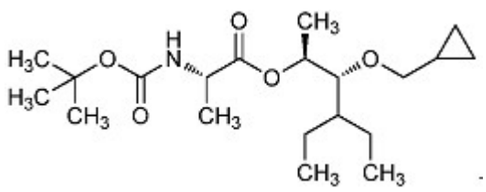
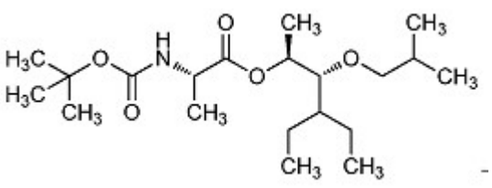
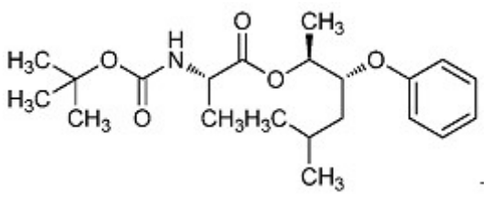
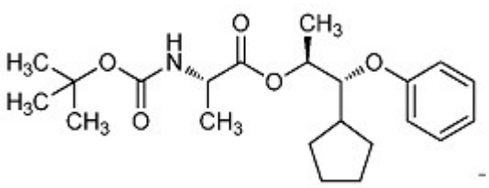
*Comp. No.	Estructura	Preparado de acuerdo con el Ejemplo:	Apariencia
34		Ejemplo 1C, Pasos 1, 2; Ejemplo 4D; Ejemplo 8E; Ejemplo 12A	Aceite incoloro transpa-rente
35		Ejemplo 1C, Pasos 1, 2; Ejemplo 8C; Ejemplo 4D; Ejemplo 8E; Ejemplo 12A	Aceite incoloro transpa-rente
36		Ejemplo 3; Ejemplo 4F; Ejemplo 8B, Ejemplo 12A	Aceite amarillo
37		Ejemplo 12A (del (S)-1-(benciloxi)-propan-2-ol)	Aceite amarillo claro

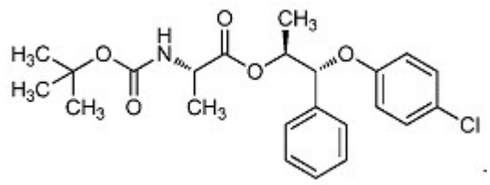
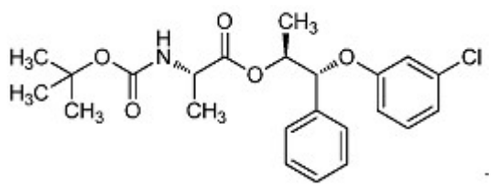
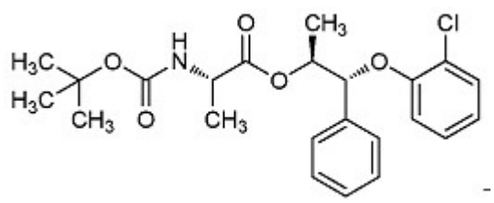
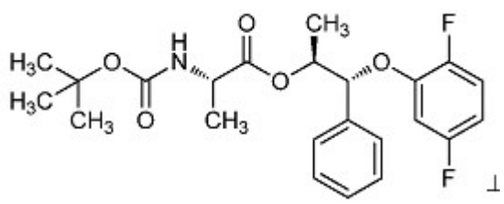
*Comp. No.	Estructura	Preparado de acuerdo con el Ejemplo:	Apariencia
38		Ejemplo 3; Ejemplo 4B; Ejemplo 6C; Ejemplo 8G; Ejemplo 12A	Aceite amarillo pálido
39		Ejemplo 1B, Paso 1; Ejemplo 2; Ejemplo 4D; Ejemplo 8C; Ejemplo 8D; Ejemplo 12A	Aceite amarillo pálido
40		Ejemplo 2; Ejemplo 4D; Ejemplo 8B; Ejemplo 12A	Aceite amarillo pálido
41		Ejemplo 1D; Ejemplo 4B; Ejemplo 8C; Ejemplo 12A	Aceite incoloro
42		Ejemplo 1D; Ejemplo 4F; Ejemplo 8C;	Aceite incoloro

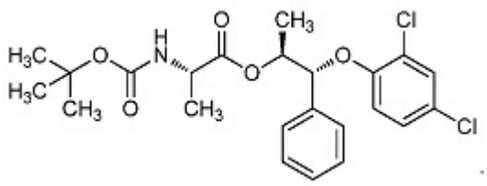
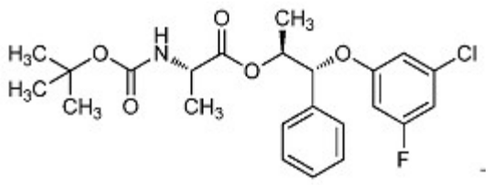
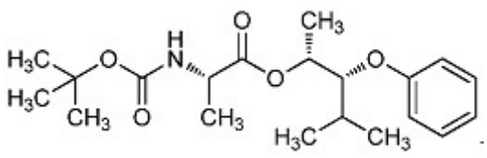
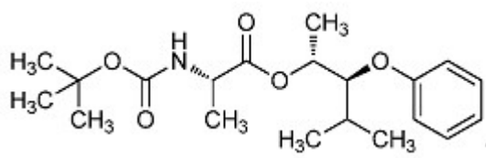
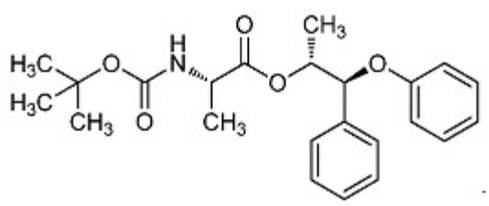
*Comp. No.	Estructura	Preparado de acuerdo con el Ejemplo:	Apariencia
		Ejemplo 12A	
43		Ejemplo 1D; Ejemplo 4A; Ejemplo 8C; Ejemplo 12A	Aceite incoloro
44		Ejemplo 1D; Ejemplo 4E; Ejemplo 8C; Ejemplo 12A	Aceite incoloro
45		Ejemplo 1D; Ejemplo 4D; Ejemplo 8C; Ejemplo 12A	Aceite incoloro
46		Ejemplo 1D; Ejemplo 4F; Ejemplo 8C; Ejemplo 12A	Aceite incoloro
47		Ejemplo 1D; Ejemplo 4H; Ejemplo 8C; Ejemplo 12A	Aceite incoloro

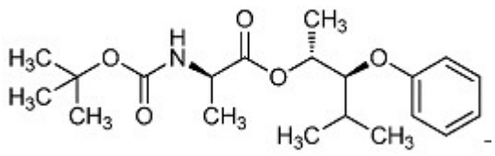
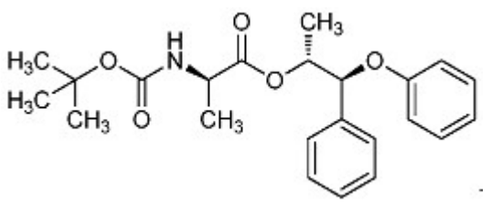
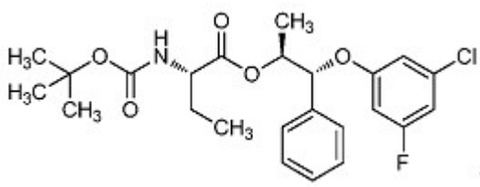
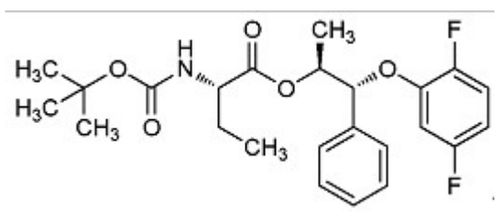
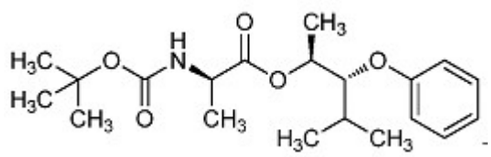
*Comp. No.	Estructura	Preparado de acuerdo con el Ejemplo:	Apariencia
48		Ejemplo 1B, Paso 1, 2; Ejemplo 4D; Ejemplo 8C; Ejemplo 12A	Aceite incoloro
49		Ejemplo 1B, Paso 1, 2; Ejemplo 4D; Ejemplo 8C; Ejemplo 12A	Aceite incoloro
50		Ejemplo 1B, Paso 1, 2; Ejemplo 4D; Ejemplo 8C; Ejemplo 12A	Aceite incoloro
51		Ejemplo 1B, Paso 1, 2; Ejemplo 4B; Ejemplo 8C; Ejemplo 12A	Aceite incoloro
52		Ejemplo 1B, Paso 1, 2; Ejemplo 4C;	Aceite incoloro

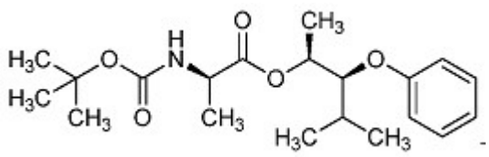
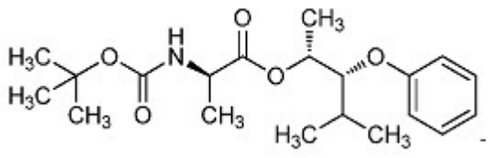
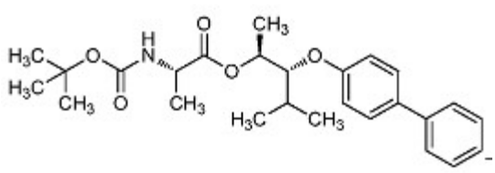
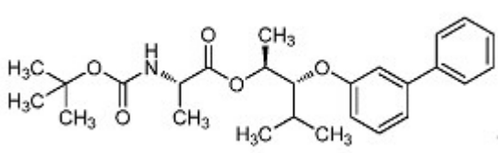
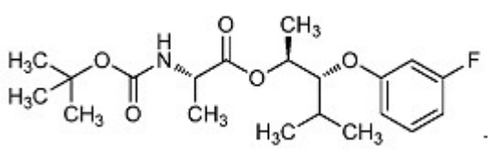
*Comp. No.	Estructura	Preparado de acuerdo con el Ejemplo:	Apariencia
		Ejemplo 8C; Ejemplo 12A	
53		Ejemplo 1A; Ejemplo 4C; Ejemplo 8A; Ejemplo 12A	Aceite incoloro
54		Ejemplo 1A; Ejemplo 4C; Ejemplo 8A; Ejemplo 12A	Aceite incoloro
55		Ejemplo 1A; Ejemplo 4C; Ejemplo 8A; Ejemplo 12A	Aceite incoloro
56		Ejemplo 1A; Ejemplo 4C; Ejemplo 8A; Ejemplo 12A	Aceite incoloro
57		Ejemplo 1A; Ejemplo 4C; Ejemplo 8A; Ejemplo 12A	Aceite incoloro

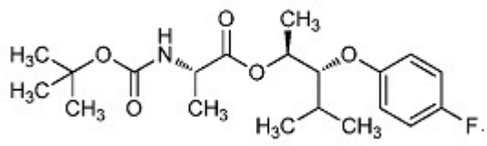
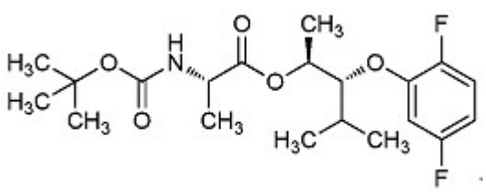
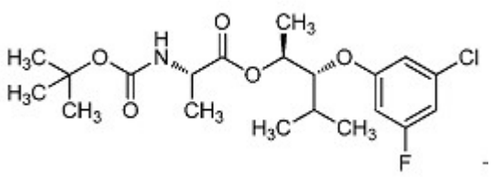
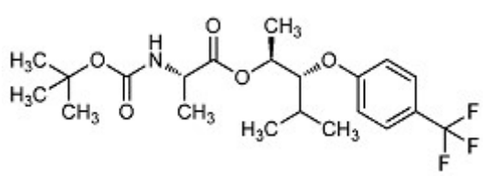
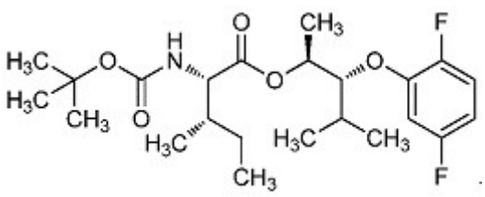
*Comp. No.	Estructura	Preparado de acuerdo con el Ejemplo:	Apariencia
58		Ejemplo 1A; Ejemplo 4B; Ejemplo 8C; Ejemplo 12A	Sólido blanco
59		Ejemplo 1A; Ejemplo 4D; Ejemplo 8A; Ejemplo 12A	Aceite incoloro
60		Ejemplo 1A; Ejemplo 4F; Ejemplo 8C; Ejemplo 12A	Aceite incoloro
61		Ejemplo 1B, Pasos 1, 2; Ejemplo 4C; Ejemplo 8B; Ejemplo 12A	Aceite incoloro
62		Ejemplo 1B, Pasos 1, 2; Ejemplo 4B; Ejemplo 8C; Ejemplo 12A	Aceite pegajoso

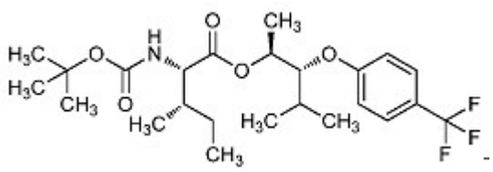
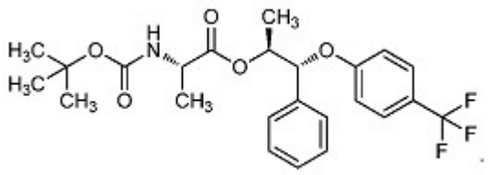
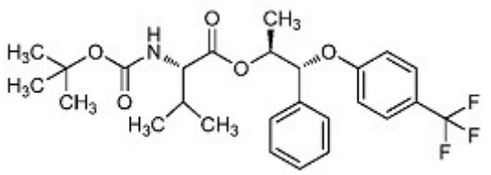
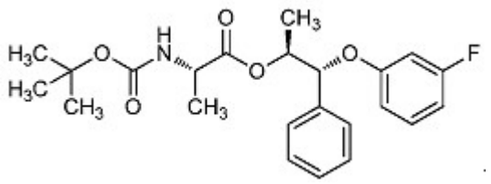
*Comp. No.	Estructura	Preparado de acuerdo con el Ejemplo:	Apariencia
63		Ejemplo 1B, Pasos 1, 2; Ejemplo 4C; Ejemplo 8B; Ejemplo 12A	Aceite pegajoso
64		Ejemplo 1B, Pasos 1, 2; Ejemplo 4C; Ejemplo 8C; Ejemplo 12A	Aceite pegajoso
65		Ejemplo 1B, Pasos 1, 2; Ejemplo 4C; Ejemplo 8C; Ejemplo 12A	Aceite pegajoso
66		Ejemplo 1B, Pasos 1, 2; Ejemplo 4C; Ejemplo 8C; Ejemplo 12A	Aceite pegajoso

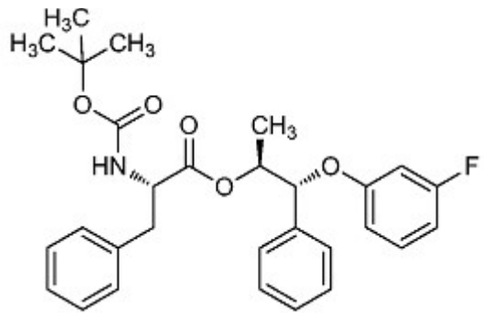
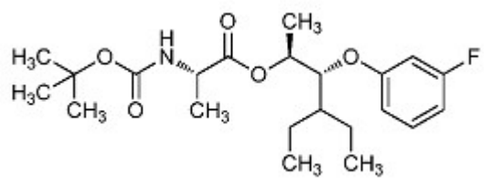
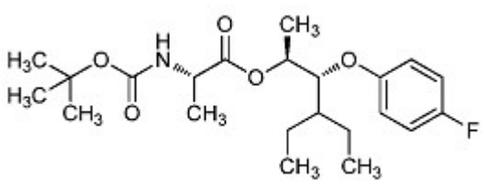
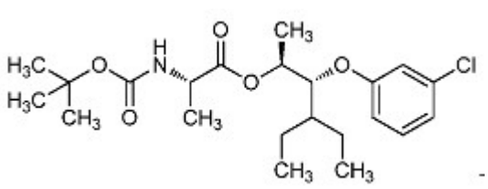
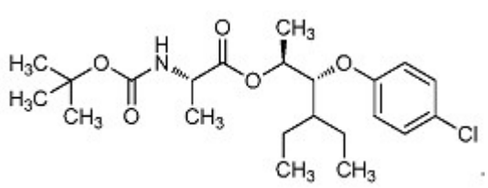
*Comp. No.	Estructura	Preparado de acuerdo con el Ejemplo:	Apariencia
67		Ejemplo 1B, Pasos 1, 2; Ejemplo 4C; Ejemplo 8C; Ejemplo 12A	Aceite pegajoso
68		Ejemplo 1B, Pasos 1, 2; Ejemplo 4C; Ejemplo 8C; Ejemplo 12A	Aceite pegajoso
69		Ejemplo 1A; Ejemplo 4B; Ejemplo 8A; Ejemplo 12A	Aceite transpa-rente
70		Ejemplo 1A; Ejemplo 4B; Ejemplo 8A; Ejemplo 12A	Cera pegajosa
71		Ejemplo 1A; Ejemplo 4B; Ejemplo 8A; Ejemplo 12A	Cera pegajosa

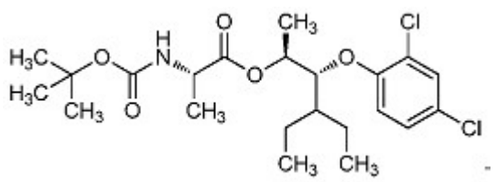
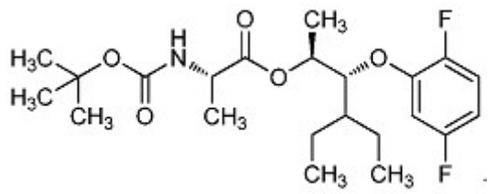
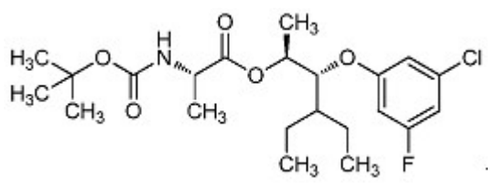
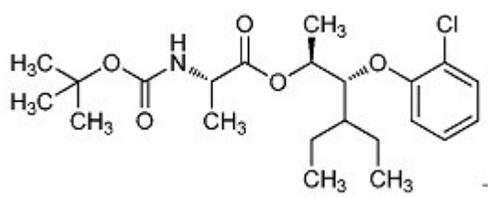
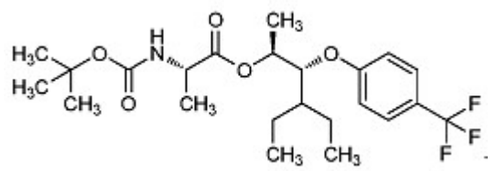
*Comp. No.	Estructura	Preparado de acuerdo con el Ejemplo:	Apariencia
72		Ejemplo 1A; Ejemplo 4B; Ejemplo 8A; Ejemplo 12A	Cera pegajosa
73		Ejemplo 1A; Ejemplo 4B; Ejemplo 8A; Ejemplo 12A	Cera pegajosa
74		Ejemplo 1B, Pasos 1, 2; Ejemplo 4C; Ejemplo 8C; Ejemplo 12A	Aceite pegajoso
75		Ejemplo 1B, Pasos 1, 2; Ejemplo 4C; Ejemplo 8C; Ejemplo 12A	Sólido blanco
76		Ejemplo 1A; Ejemplo 4B; Ejemplo 8A; Ejemplo 12A	Aceite transpa-rente

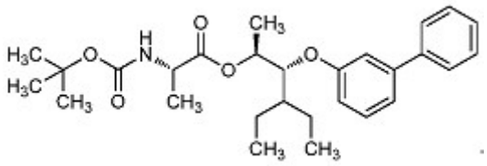
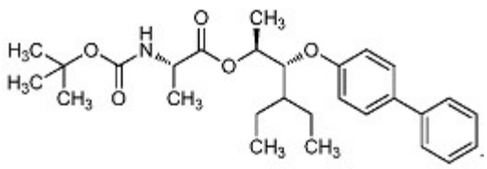
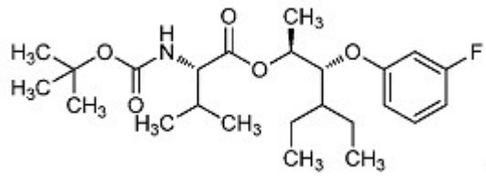
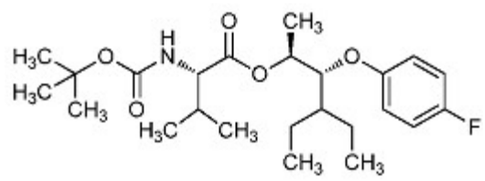
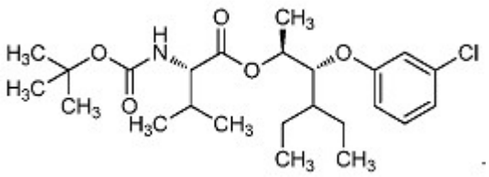
*Comp. No.	Estructura	Preparado de acuerdo con el Ejemplo:	Apariencia
77		Ejemplo 1A; Ejemplo 4B; Ejemplo 8A; Ejemplo 12A	Aceite transpa-rente
78		Ejemplo 1A; Ejemplo 4B; Ejemplo 8A; Ejemplo 12A	Aceite transpa-rente
79		Ejemplo 1A; Ejemplo 4C; Ejemplo 5; Ejemplo 8A; Ejemplo 12A	Aceite incoloro
80		Ejemplo 1A; Ejemplo 4C; Ejemplo 5; Ejemplo 8A; Ejemplo 12A	Aceite incoloro
81		Ejemplo 1A; Ejemplo 4C; Ejemplo 8A; Ejemplo 12A	Aceite incoloro

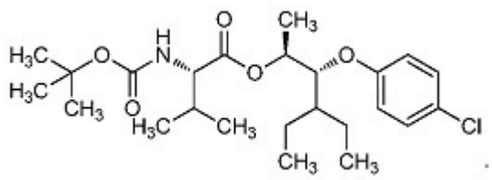
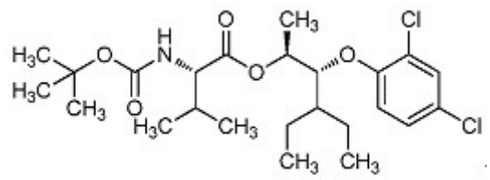
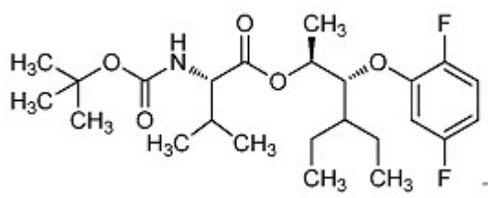
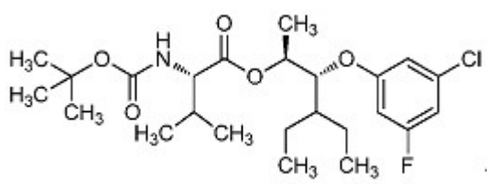
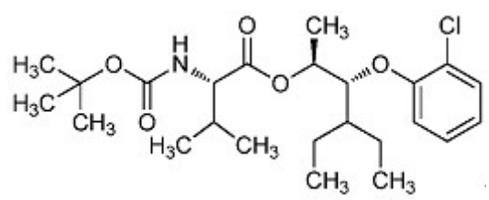
*Comp. No.	Estructura	Preparado de acuerdo con el Ejemplo:	Apariencia
82		Ejemplo 1A; Ejemplo 4C; Ejemplo 8A; Ejemplo 12A	Aceite incoloro
83		Ejemplo 1A; Ejemplo 4C; Ejemplo 8A; Ejemplo 12A	Sólido blanco
84		Ejemplo 1A; Ejemplo 4C; Ejemplo 8A; Ejemplo 12A	Sólido blanco
85		Ejemplo 1A; Ejemplo 4C; Ejemplo 8A; Ejemplo 12A	Aceite incoloro
86		Ejemplo 1A; Ejemplo 4C; Ejemplo 8A; Ejemplo 12A	Aceite incoloro

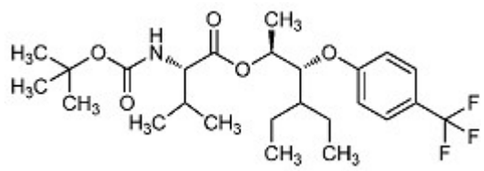
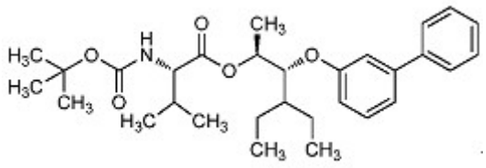
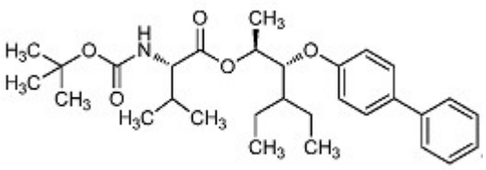
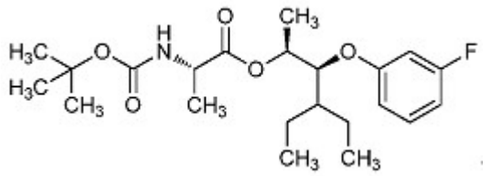
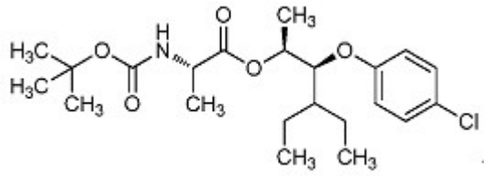
*Comp. No.	Estructura	Preparado de acuerdo con el Ejemplo:	Apariencia
87		Ejemplo 1A; Ejemplo 4C; Ejemplo 8A; Ejemplo 12A	Aceite incoloro
88		Ejemplo 1B, Pasos 1, 2; Ejemplo 4C; Ejemplo 8C; Ejemplo 12A	Cristal pegajoso
89		Ejemplo 1B; Pasos 1, 2; Ejemplo 4C; Ejemplo 8C; Ejemplo 12A	Cristal pegajoso
90		Ejemplo 1B; Pasos 1, 2; Ejemplo 4C; Ejemplo 8C; Ejemplo 12A	Aceite pegajoso

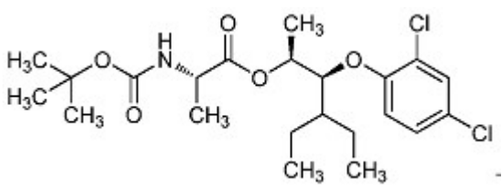
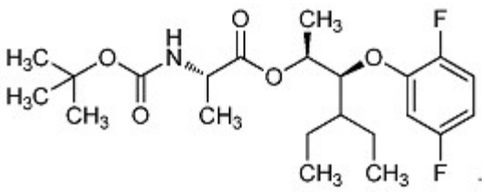
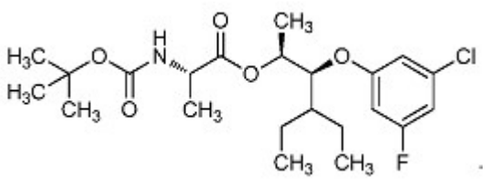
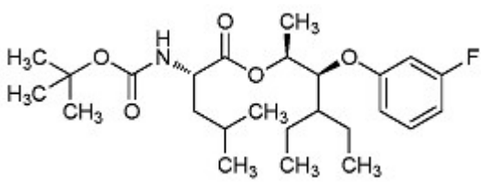
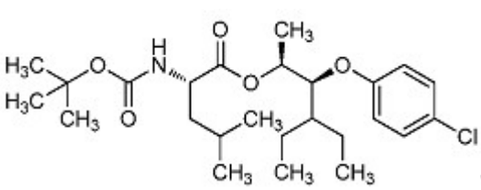
*Comp. No.	Estructura	Preparado de acuerdo con el Ejemplo:	Apariencia
91		Ejemplo 1B; Pasos 1, 2; Ejemplo 4C; Ejemplo 8C; Ejemplo 12A	Semi-sólido
92		Ejemplo 1A; Ejemplo 4C; Ejemplo 8A; Ejemplo 12A	Aceite incoloro
93		Ejemplo 1A; Ejemplo 4C; Ejemplo 8A; Ejemplo 12A	Aceite incoloro
94		Ejemplo 1A; Ejemplo 4C; Ejemplo 8A; Ejemplo 12A	Aceite incoloro
95		Ejemplo 1A; Ejemplo 4C; Ejemplo 8A; Ejemplo 12A	Aceite incoloro

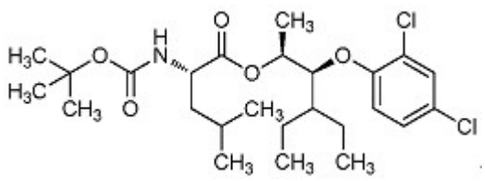
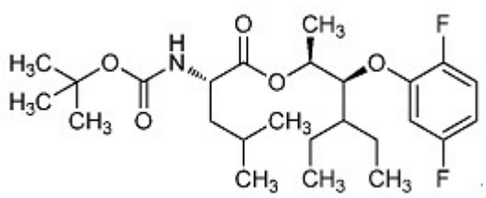
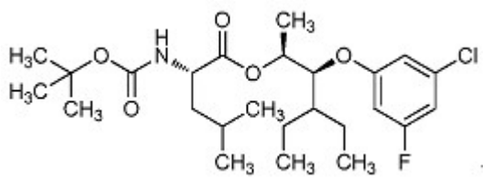
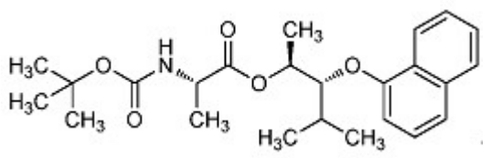
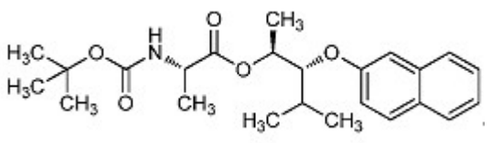
*Comp. No.	Estructura	Preparado de acuerdo con el Ejemplo:	Apariencia
96		Ejemplo 1A; Ejemplo 4C; Ejemplo 8A; Ejemplo 12A	Aceite incoloro
97		Ejemplo 1A; Ejemplo 4C; Ejemplo 8A; Ejemplo 12A	Aceite incoloro
98		Ejemplo 1A; Ejemplo 4C; Ejemplo 8A; Ejemplo 12A	Aceite incoloro
99		Ejemplo 1A; Ejemplo 4C; Ejemplo 8A; Ejemplo 12A	Aceite incoloro
100		Ejemplo 1A; Ejemplo 4C; Ejemplo 8A; Ejemplo 12A	Aceite incoloro

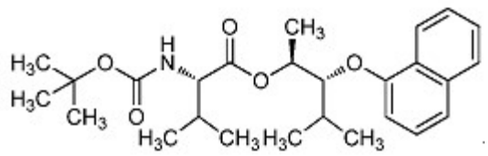
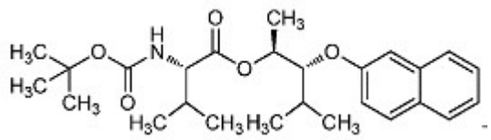
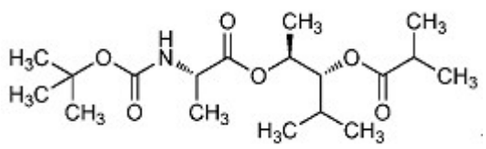
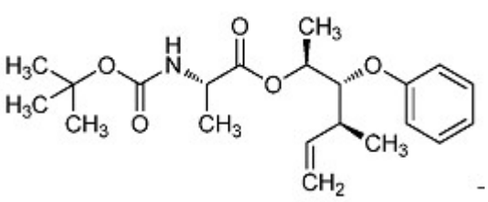
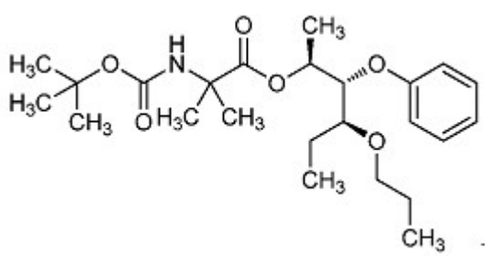
*Comp. No.	Estructura	Preparado de acuerdo con el Ejemplo:	Apariencia
101		Ejemplo 1A; Ejemplo 4C; Ejemplo 5; Ejemplo 8A; Ejemplo 12A	Aceite incoloro
102		Ejemplo 1A; Ejemplo 4C; Ejemplo 5; Ejemplo 8A; Ejemplo 12A	Aceite incoloro
103		Ejemplo 1A; Ejemplo 4C; Ejemplo 8A; Ejemplo 12A	Aceite incoloro
104		Ejemplo 1A; Ejemplo 4C; Ejemplo 8A; Ejemplo 12A	Aceite incoloro
105		Ejemplo 1A; Ejemplo 4C; Ejemplo 8A; Ejemplo 12A	Aceite incoloro

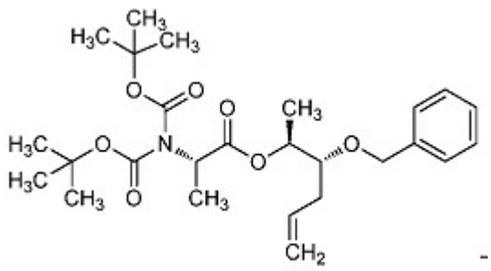
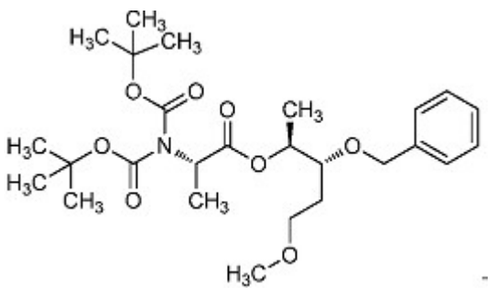
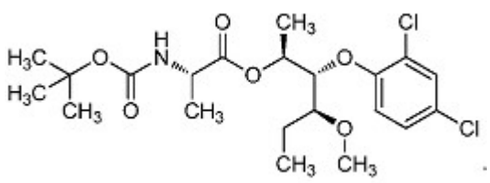
*Comp. No.	Estructura	Preparado de acuerdo con el Ejemplo:	Apariencia
106		Ejemplo 1A; Ejemplo 4C; Ejemplo 8A; Ejemplo 12A	Aceite incoloro
107		Ejemplo 1A; Ejemplo 4C; Ejemplo 8A; Ejemplo 12A	Aceite incoloro
108		Ejemplo 1A; Ejemplo 4C; Ejemplo 8A; Ejemplo 12A	Aceite incoloro
109		Ejemplo 1A; Ejemplo 4C; Ejemplo 8A; Ejemplo 12A	Aceite incoloro
110		Ejemplo 1A; Ejemplo 4C; Ejemplo 8A; Ejemplo 12A	Aceite incoloro

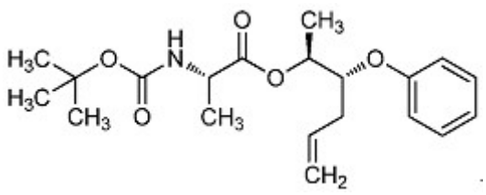
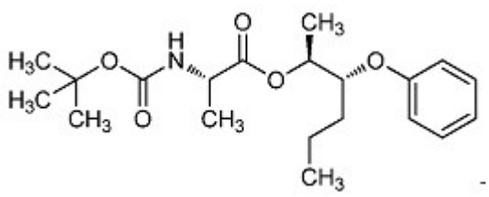
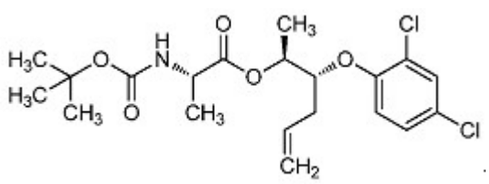
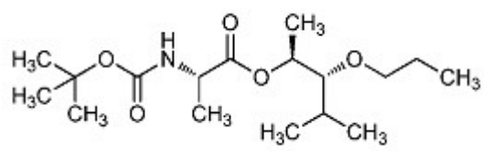
*Comp. No.	Estructura	Preparado de acuerdo con el Ejemplo:	Apariencia
111		Ejemplo 1A; Ejemplo 4C; Ejemplo 8A; Ejemplo 12A	Aceite incoloro
112		Ejemplo 1A; Ejemplo 4C; Ejemplo 5; Ejemplo 8A; Ejemplo 12A	Aceite incoloro
113		Ejemplo 1A; Ejemplo 4C; Ejemplo 5; Ejemplo 8A; Ejemplo 12A	Aceite incoloro
114		Ejemplo 1A; Ejemplo 4C; Ejemplo 8A; Ejemplo 12A	Aceite incoloro
115		Ejemplo 1A; Ejemplo 4C; Ejemplo 8A; Ejemplo 12A	Aceite incoloro

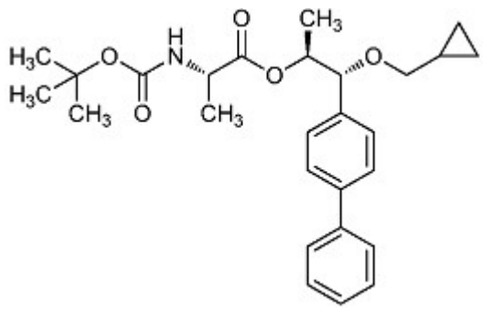
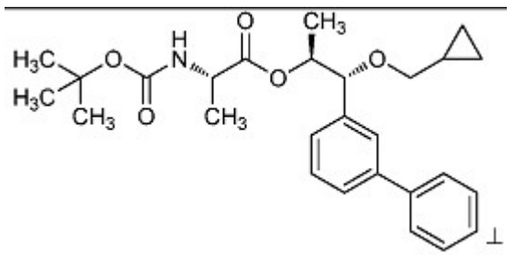
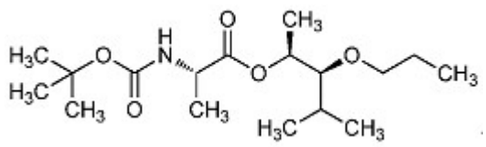
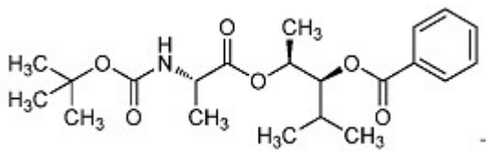
*Comp. No.	Estructura	Preparado de acuerdo con el Ejemplo:	Apariencia
116		Ejemplo 1A; Ejemplo 4C; Ejemplo 8A; Ejemplo 12A	Aceite incoloro
117		Ejemplo 1A; Ejemplo 4C; Ejemplo 8A; Ejemplo 12A	Aceite incoloro
118		Ejemplo 1A; Ejemplo 4C; Ejemplo 8A; Ejemplo 12A	Aceite incoloro
119		Ejemplo 1A; Ejemplo 4C; Ejemplo 8A; Ejemplo 12A	Aceite incoloro
120		Ejemplo 1A; Ejemplo 4C; Ejemplo 8A; Ejemplo 12A	Aceite incoloro

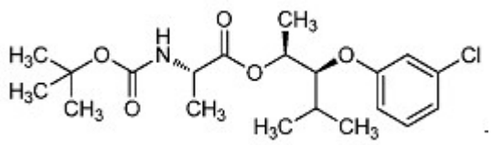
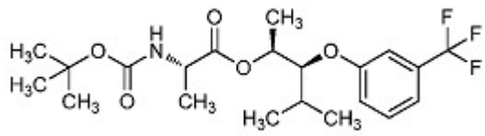
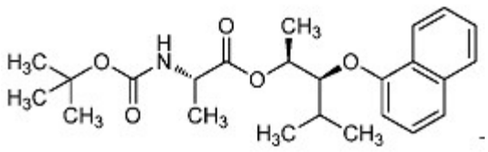
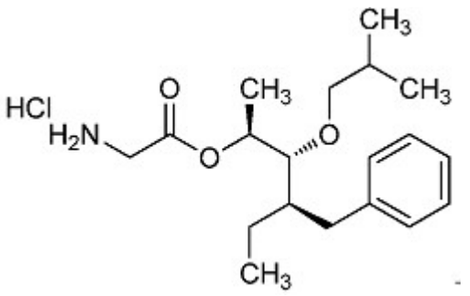
*Comp. No.	Estructura	Preparado de acuerdo con el Ejemplo:	Apariencia
121		Ejemplo 1A; Ejemplo 4C; Ejemplo 8A; Ejemplo 12A	Aceite incoloro
122		Ejemplo 1A; Ejemplo 4C; Ejemplo 8A; Ejemplo 12A	Aceite incoloro
123		Ejemplo 1A; Ejemplo 4C; Ejemplo 8A; Ejemplo 12A	Aceite incoloro
124		Ejemplo 1A; Ejemplo 4C; Ejemplo 8A; Ejemplo 12A	Aceite
125		Ejemplo 1A; Ejemplo 4C; Ejemplo 8A; Ejemplo 12A	Aceite incoloro

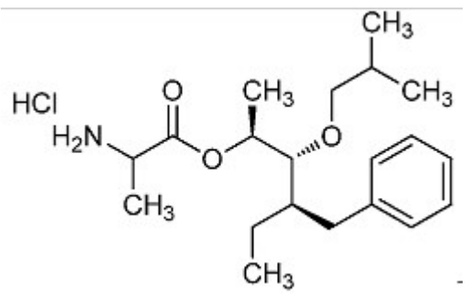
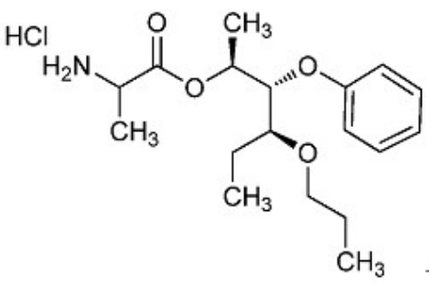
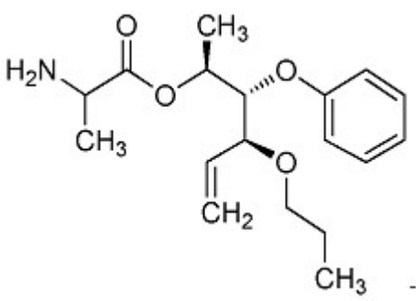
*Comp. No.	Estructura	Preparado de acuerdo con el Ejemplo:	Apariencia
126		Ejemplo 1A; Ejemplo 4C; Ejemplo 8A; Ejemplo 12A	Aceite incoloro
127		Ejemplo 1A; Ejemplo 4C; Ejemplo 8A; Ejemplo 12A	Sólido blanco
128		Ejemplo 1A; Ejemplo 4C; Ejemplo 8A; Ejemplo 12A	Aceite incoloro
129		Ejemplo 1B, Paso 1; Ejemplo 3; Ejemplo 4B; Ejemplo 8D; Ejemplo 12A	Sólido blanco
130		Ejemplo 3; Ejemplo 4B; Ejemplo 8B; Ejemplo 12A	Aceite incoloro

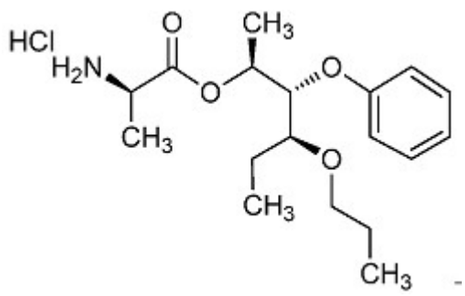
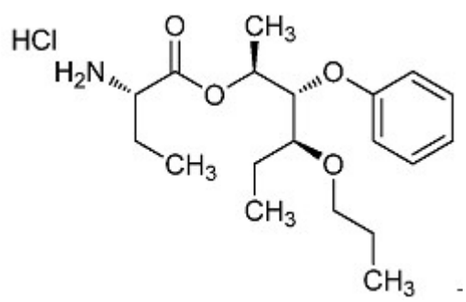
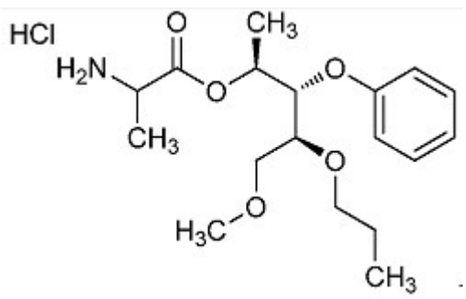
*Comp. No.	Estructura	Preparado de acuerdo con el Ejemplo:	Apariencia
131		Ejemplo 1C, Pasos 1, 2; Ejemplo 4D; Ejemplo 8E; Ejemplo 12A; Ejemplo 13, Paso 1	Aceite incoloro, transpa-rente
132		Ejemplo 1C, Pasos 1, 2; Ejemplo 4D; Ejemplo 8E; Ejemplo 12A; Ejemplo 13, Pasos 1-3	Aceite incoloro, transpa-rente
133		Ejemplo 2A; Ejemplo 3; Ejemplo 4C; Ejemplo 8C	Aceite incoloro

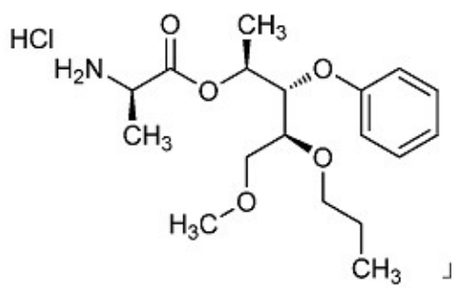
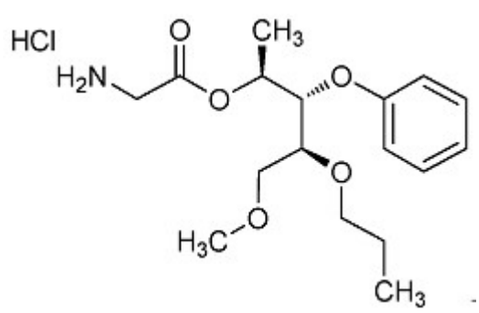
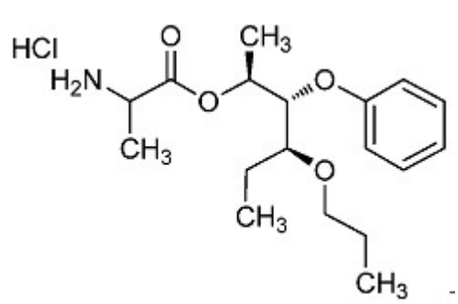
*Comp. No.	Estructura	Preparado de acuerdo con el Ejemplo:	Apariencia
134		Ejemplo 1C, Pasos 1, 2; Ejemplo 4B; Ejemplo 8E; Ejemplo 12A	Aceite incoloro, transpa-rente
135		Ejemplo 1C, Pasos 1, 2; Ejemplo 8C; Ejemplo 4B; Ejemplo 8E; Ejemplo 12A	Aceite incoloro, transpa-rente
136		Ejemplo 1C, Pasos 1, 2; Ejemplo 4C; Ejemplo 8E; Ejemplo 12A	Sólido semi-cristalino blanco
137		Ejemplo 1A; Ejemplo 4F; Ejemplo 8C; Ejemplo 12A	Aceite incoloro

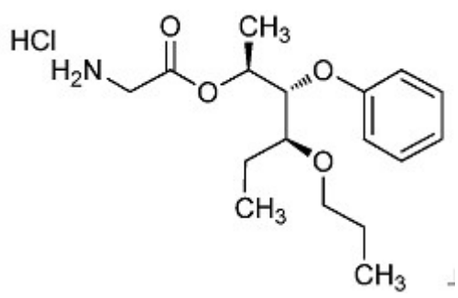
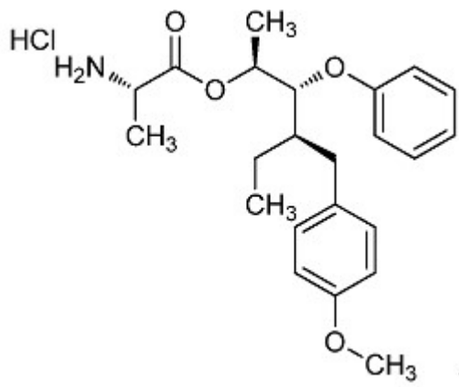
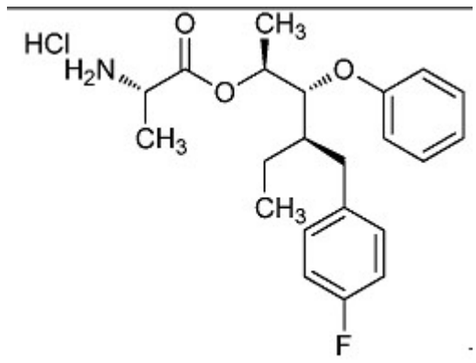
*Comp. No.	Estructura	Preparado de acuerdo con el Ejemplo:	Apariencia
138		Ejemplo 1A; Ejemplo 4D; Ejemplo 8A; Ejemplo 12A	Aceite incoloro
139		Ejemplo 1A; Ejemplo 4D; Ejemplo 8A; Ejemplo 12A	Aceite incoloro
140		Ejemplo 1A; Ejemplo 4F; Ejemplo 8C; Ejemplo 12A	Aceite incoloro
141		Ejemplo 1A; Ejemplo 4A; Ejemplo 8C; Ejemplo 12A	Aceite incoloro

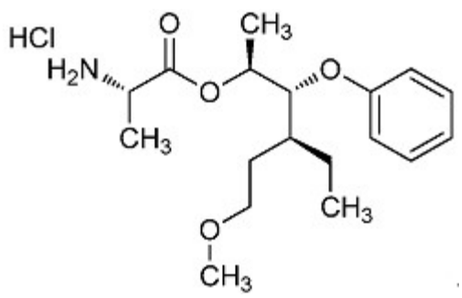
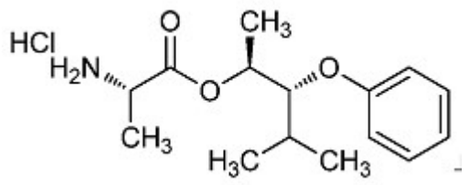
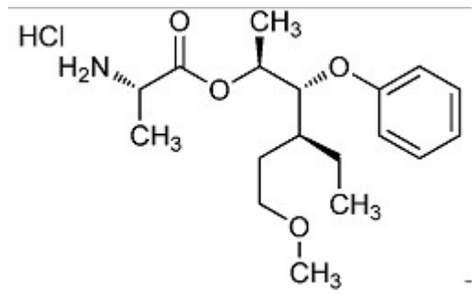
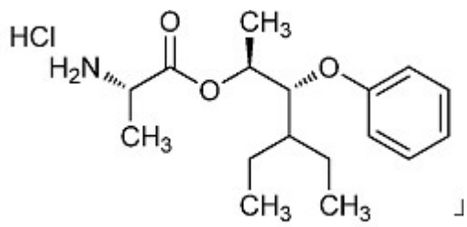
*Comp. No.	Estructura	Preparado de acuerdo con el Ejemplo:	Apariencia
142		Ejemplo 1A; Ejemplo 4C; Ejemplo 8A; Ejemplo 12A	Aceite amarillo
143		Ejemplo 1A; Ejemplo 4C; Ejemplo 8A; Ejemplo 12A	Aceite
144		Ejemplo 1A; Ejemplo 4C; Ejemplo 8A; Ejemplo 12A	Aceite incoloro
145		Ejemplo 14A, Paso 1	Aceite amarillo

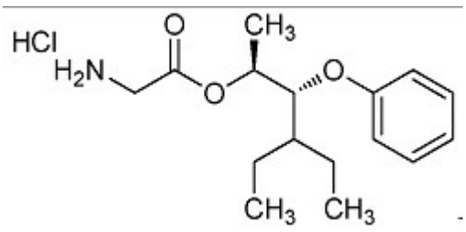
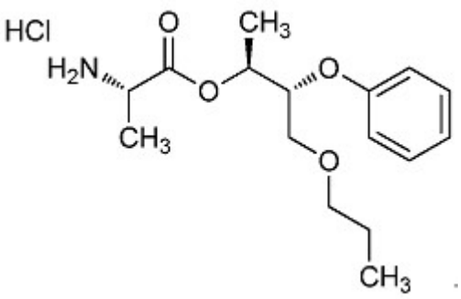
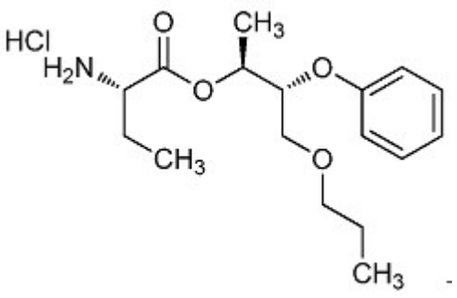
*Comp. No.	Estructura	Preparado de acuerdo con el Ejemplo:	Apariencia
146		Ejemplo 14C, Paso 1	Aceite incoloro
147		Ejemplo 14A, Paso 1	Aceite incoloro espeso
148		Ejemplo 14B, Paso 1	Aceite incoloro espeso

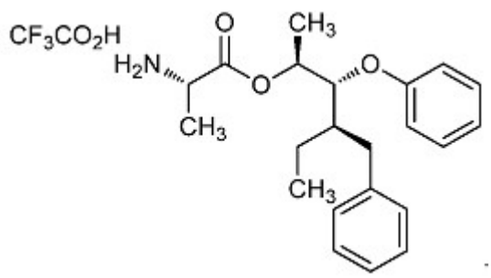
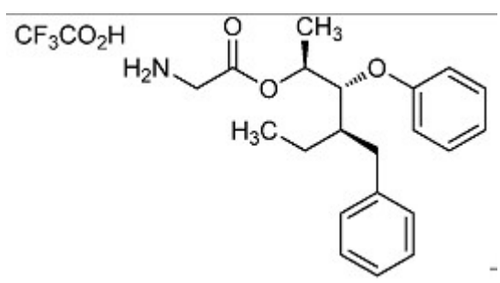
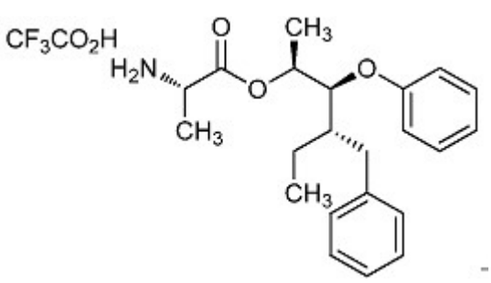
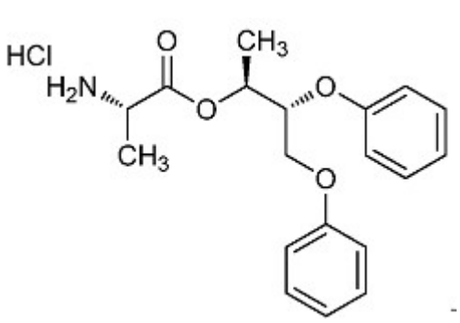
*Comp. No.	Estructura	Preparado de acuerdo con el Ejemplo:	Apariencia
149		Ejemplo 14A, Paso 1	Aceite incoloro espeso
150		Ejemplo 14A, Paso 1	Aceite incoloro espeso
151		Ejemplo 14A, Paso 1	Aceite incoloro espeso

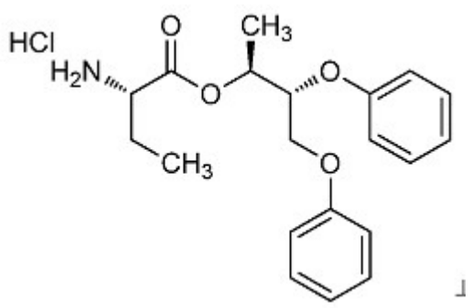
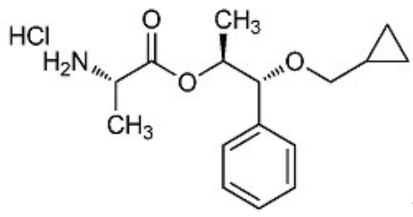
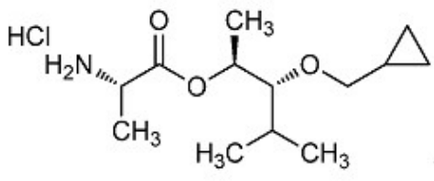
*Comp. No.	Estructura	Preparado de acuerdo con el Ejemplo:	Apariencia
152		Ejemplo 14A, Paso 1	Aceite incoloro espeso
153		Ejemplo 14A, Paso 1	Aceite incoloro espeso
154		Ejemplo 14A, Paso 1	Aceite amarillo pálido

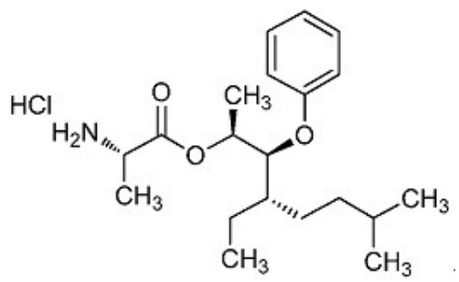
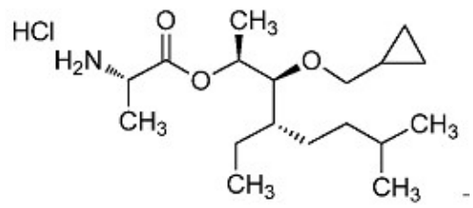
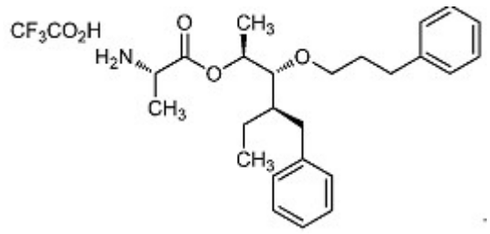
*Comp. No.	Estructura	Preparado de acuerdo con el Ejemplo:	Apariencia
155		Ejemplo 14A, Paso 1	Aceite amarillo pálido
156		Ejemplo 14A, Paso 1	Aceite pegajoso
157		Ejemplo 14A, Paso 1	Aceite pegajoso

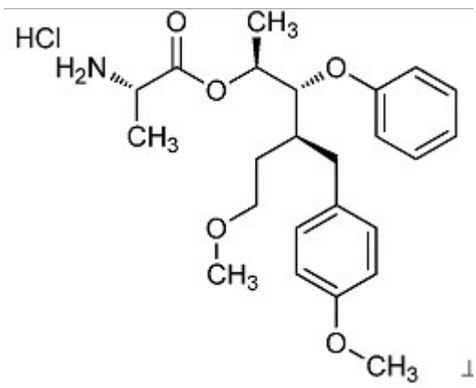
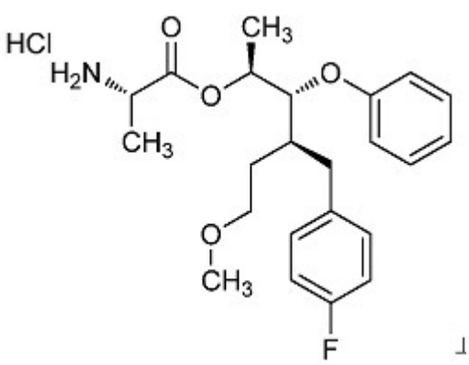
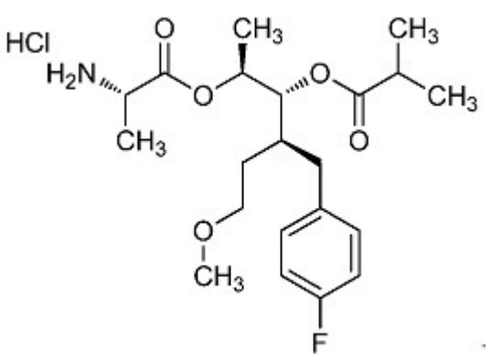
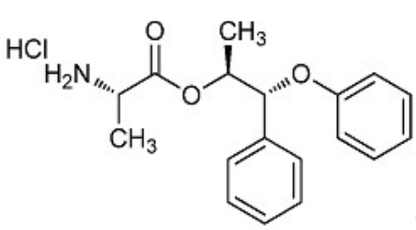
*Comp. No.	Estructura	Preparado de acuerdo con el Ejemplo:	Apariencia
158		Ejemplo 14A, Paso 1	Sólido blanco
159		Ejemplo 14A, Paso 1	Cristal incoloro
160		Ejemplo 14A, Paso 1	Sólido blanco
161		Ejemplo 14A, Paso 1	Sólido blanco

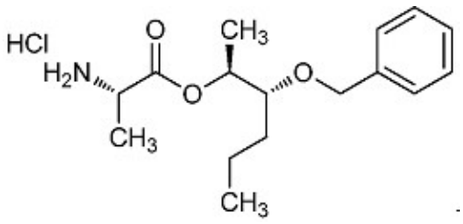
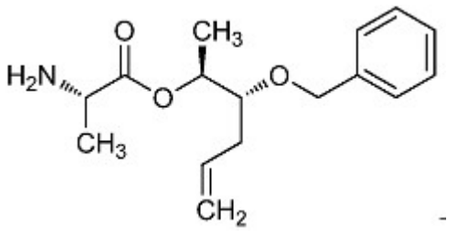
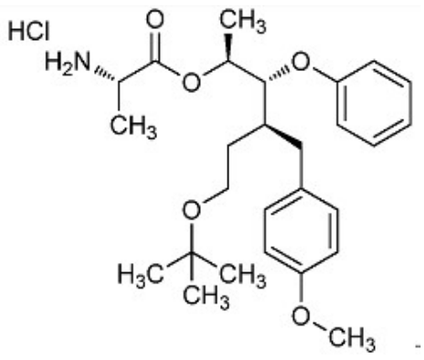
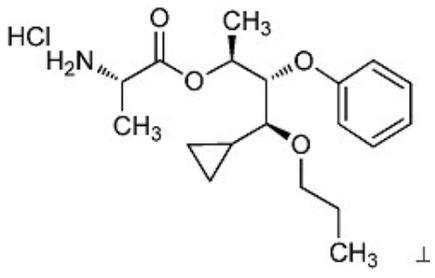
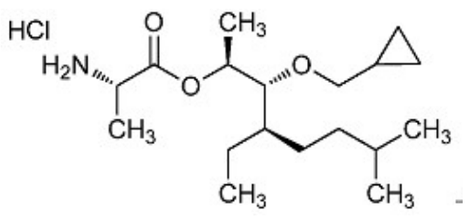
*Comp. No.	Estructura	Preparado de acuerdo con el Ejemplo:	Apariencia
162		Ejemplo 14A, Paso 1	Sólido blanco
163		Ejemplo 1B, Pasos 1-4; Ejemplo 4B; Ejemplo 7, Pasos 1, 2a; Ejemplo 8C; Ejemplo 12A; Ejemplo 14A, Paso 1	Aceite incoloro
164		Ejemplo 1B, Pasos 1-4; Ejemplo 4B; Ejemplo 7, Pasos 1, 2a; Ejemplo 8C; Ejemplo 12A; Ejemplo 14A, Paso 1	Aceite incoloro

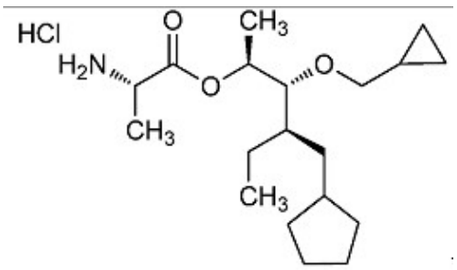
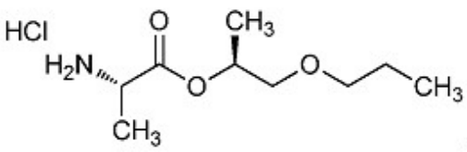
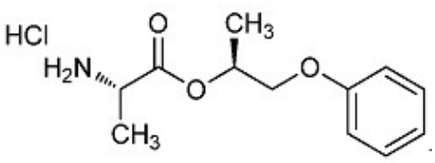
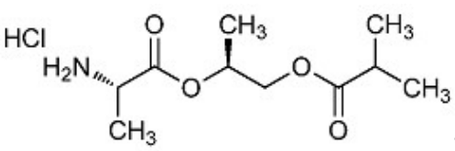
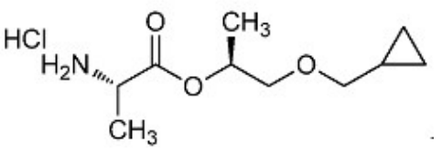
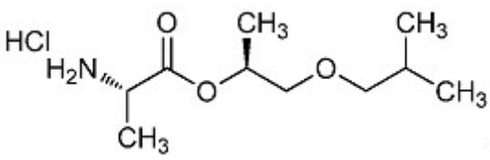
*Comp. No.	Estructura	Preparado de acuerdo con el Ejemplo:	Apariencia
165		Ejemplo 14B, Paso 1	Aceite amarillo claro
166		Ejemplo 14B, Paso 1	Aceite amarillo claro
167		Ejemplo 14B, Paso 1	Aceite amarillo claro
168		Ejemplo 1B, Pasos 1-4; Ejemplo 4B; Ejemplo 7, Pasos 1, 2b; Ejemplo 8C; Ejemplo 12A; Ejemplo 14A,	Aceite incoloro

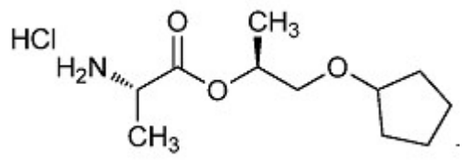
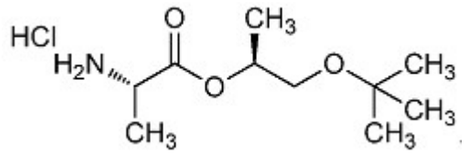
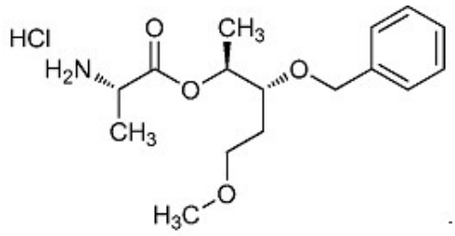
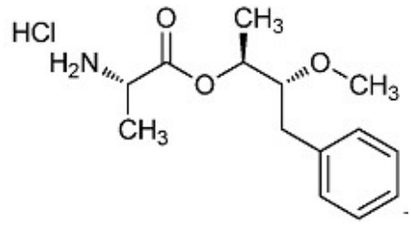
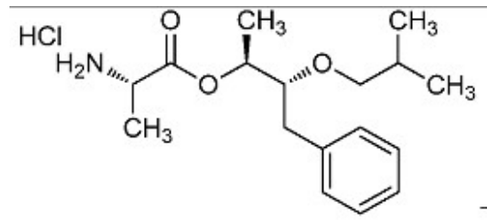
*Comp. No.	Estructura	Preparado de acuerdo con el Ejemplo:	Apariencia
		Paso 1	
169		Ejemplo 1B, Pasos 1-4; Ejemplo 4B; Ejemplo 7, Pasos 1, 2b; Ejemplo 8C; Ejemplo 12A; Ejemplo 14A, Paso 1	Aceite incoloro
170		Ejemplo 14A, Paso 1	Sólido blanco
171		Ejemplo 14A, Paso 1	Sólido blanco

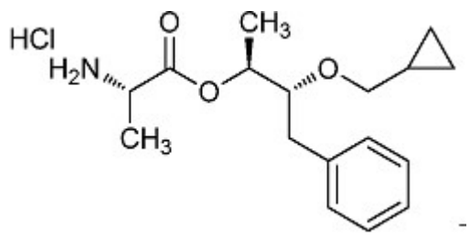
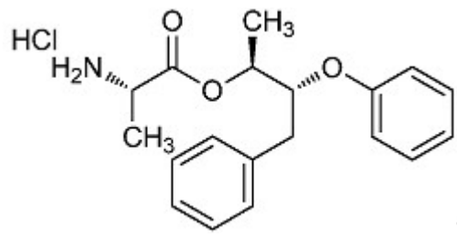
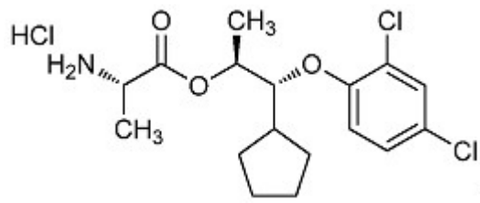
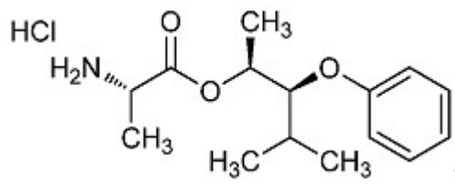
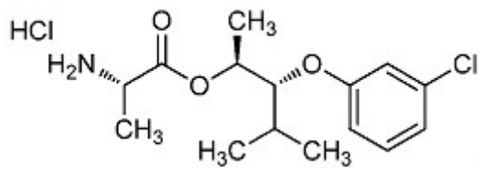
*Comp. No.	Estructura	Preparado de acuerdo con el Ejemplo:	Apariencia
172		Ejemplo 14A, Paso 1	Sólido blanco
173		Ejemplo 14A, Paso 1	Sólido blanco
174		Ejemplo 14B, Paso 1	Aceite anaranjado claro

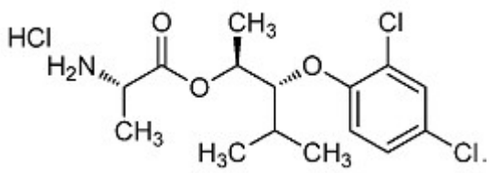
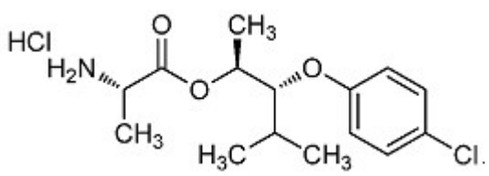
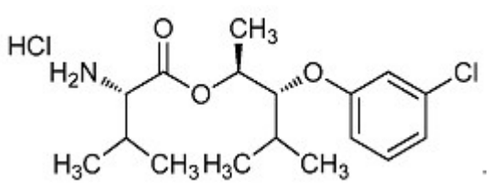
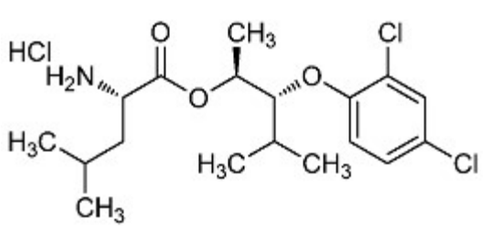
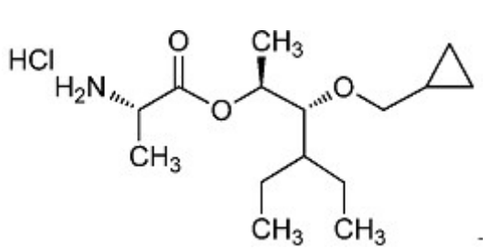
*Comp. No.	Estructura	Preparado de acuerdo con el Ejemplo:	Apariencia
175		Ejemplo 14A, Paso 1	Aceite pegajoso
176		Ejemplo 14A, Paso 1	Aceite pegajoso
177		Ejemplo 14A, Paso 1	Aceite pegajoso
178		Ejemplo 14A, Paso 1	Sólido blanco

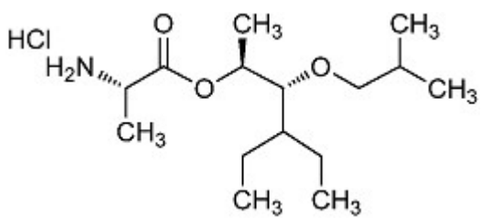
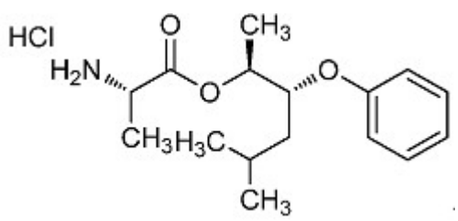
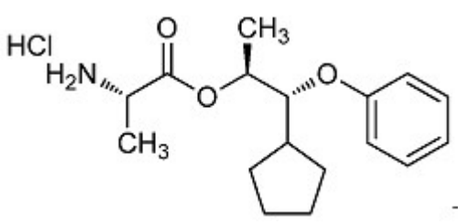
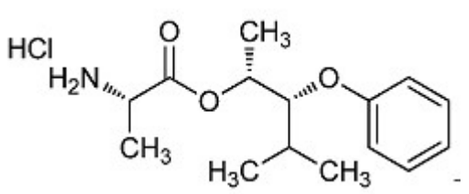
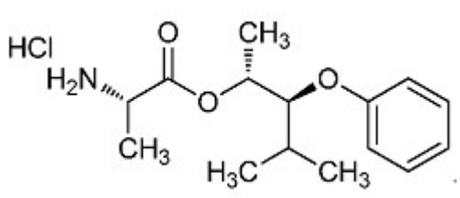
*Comp. No.	Estructura	Preparado de acuerdo con el Ejemplo:	Apariencia
179		Ejemplo 14A, Paso 1	Aceite incoloro transpa-rente
180		Ejemplo 14B, Paso 1	Aceite incoloro transpa-rente
181		Ejemplo 14A, Paso 1	Sólido pegajoso
182		Ejemplo 14A, Paso 1	Aceite amarillo pálido espeso
183		Ejemplo 14A, Paso 1	Sólido pegajoso grisáceo

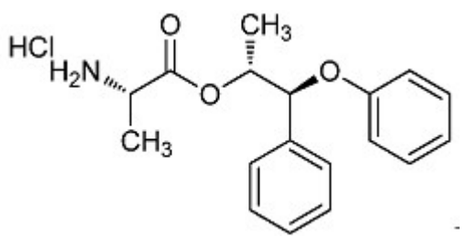
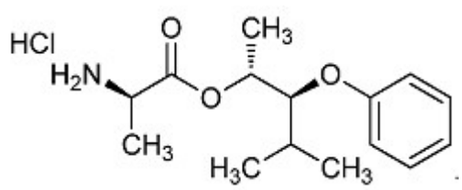
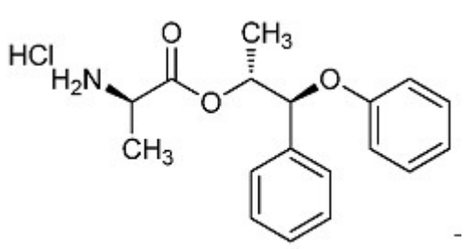
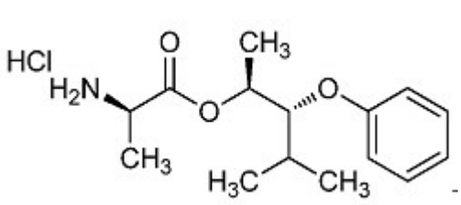
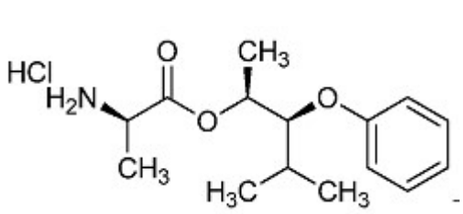
*Comp. No.	Estructura	Preparado de acuerdo con el Ejemplo:	Apariencia
184		Ejemplo 14A, Paso 1	Aceite amarillo pálido espeso
185		Ejemplo 14A, Paso 1	Aceite amarillo claro
186		Ejemplo 14A, Paso 1	- - -
187		Ejemplo 14A, Paso 1	Sólido blanco
188		Ejemplo 14A, Paso 1	Sólido blanco
189		Ejemplo 14A, Paso 1	Sólido blanco

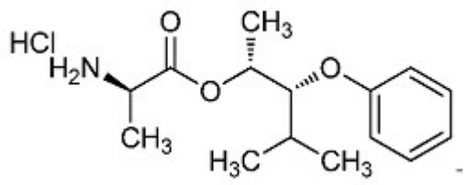
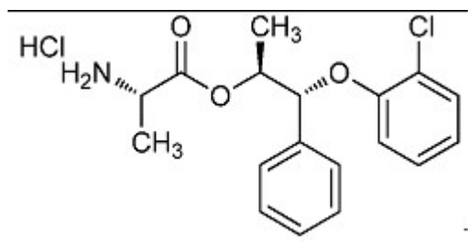
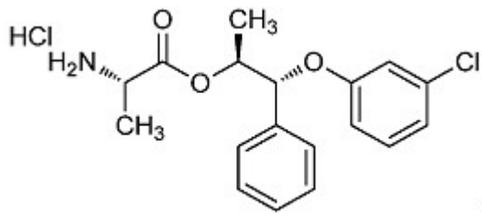
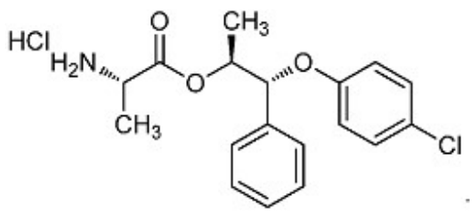
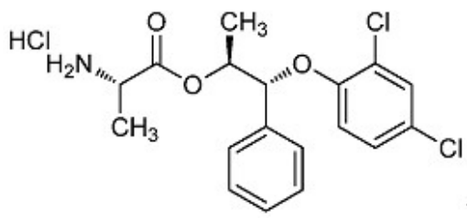
*Comp. No.	Estructura	Preparado de acuerdo con el Ejemplo:	Apariencia
190		Ejemplo 14A, Paso 1	Aceite incoloro
191		Ejemplo 14A, Paso 1	Aceite
192		Ejemplo 14A, Paso 1	Aceite incoloro transpa-rente
193		Ejemplo 14A, Paso 1	Espuma blanca
194		Ejemplo 14A, Paso 1	Espuma blanca

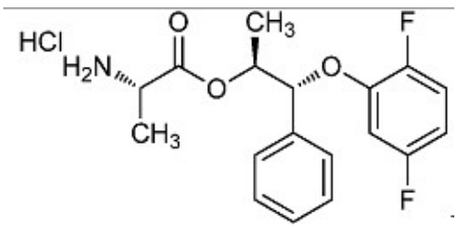
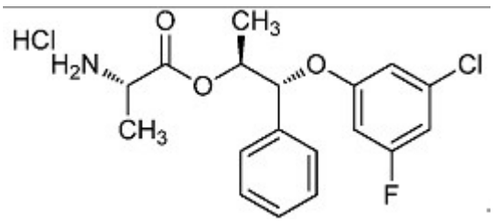
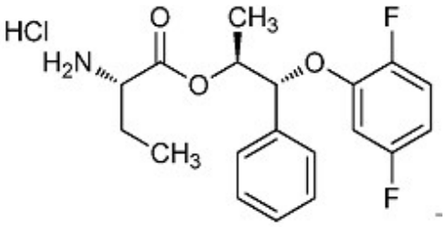
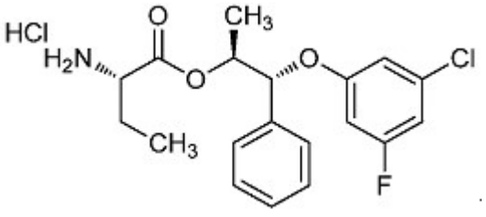
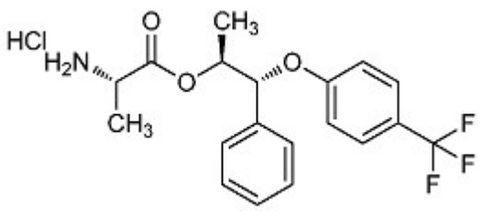
*Comp. No.	Estructura	Preparado de acuerdo con el Ejemplo:	Apariencia
195		Ejemplo 14A, Paso 1	Espuma blanca
196		Ejemplo 14A, Paso 1	Aceite pegajoso
197		Ejemplo 14A, Paso 1	Sólido blanco
198		Ejemplo 14A, Paso 1	Sólido bronceado
199		Ejemplo 14A, Paso 1	Aceite

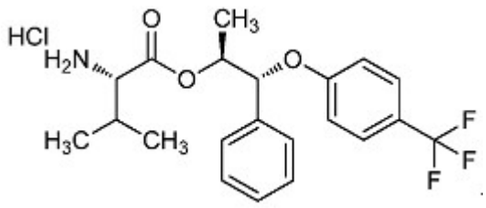
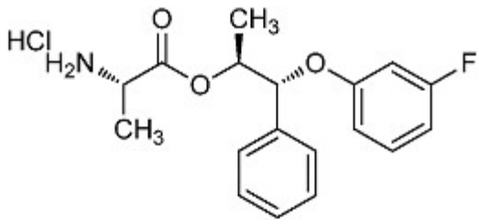
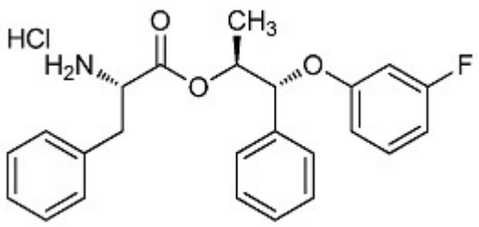
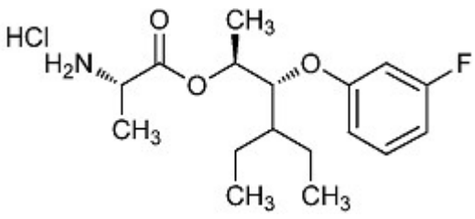
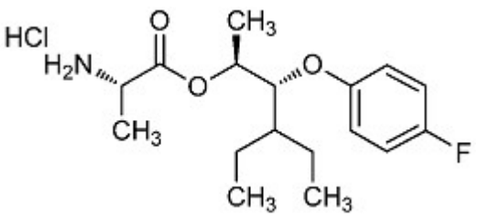
*Comp. No.	Estructura	Preparado de acuerdo con el Ejemplo:	Apariencia
200		Ejemplo 14A, Paso 1	Aceite
201		Ejemplo 14A, Paso 1	Sólido blanco
202		Ejemplo 14A, Paso 1	Aceite incoloro
203		Ejemplo 14A, Paso 1	Aceite incoloro
204		Ejemplo 14A, Paso 1	Espuma

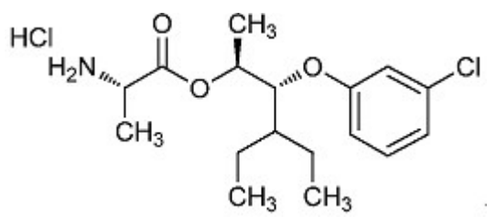
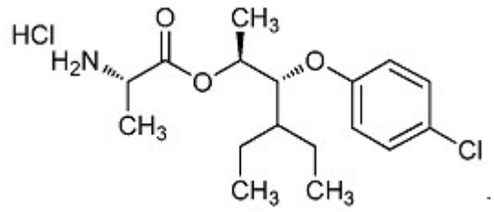
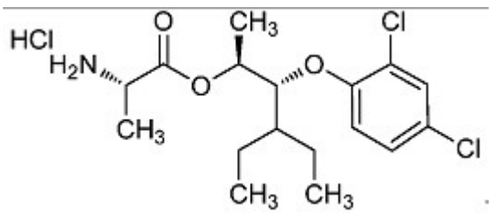
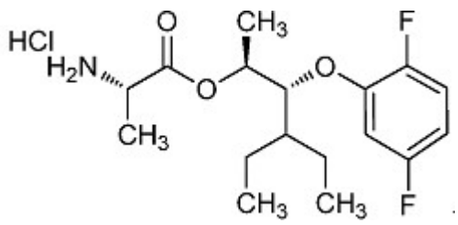
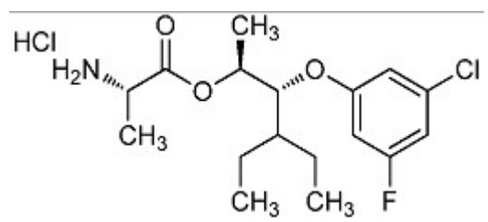
*Comp. No.	Estructura	Preparado de acuerdo con el Ejemplo:	Apariencia
205		Ejemplo 14A, Paso 1	Espuma
206		Ejemplo 14A, Paso 1	Sólido pegajoso
207		Ejemplo 14A, Paso 1	Polvo blanco
208		Ejemplo 14A, Paso 1	Sólido blanco
209		Ejemplo 14A, Paso 1	Cristal claro

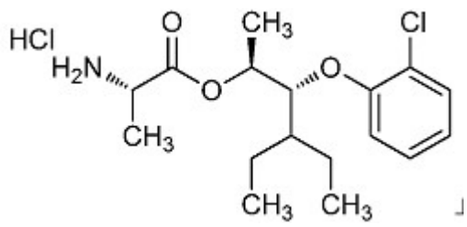
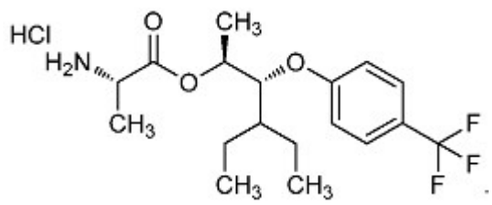
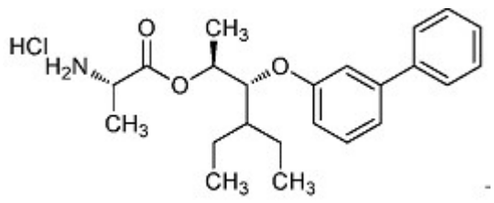
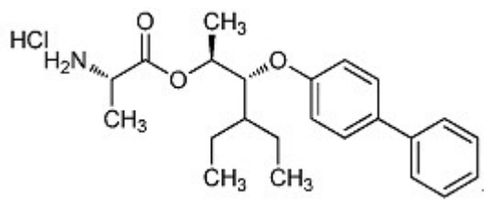
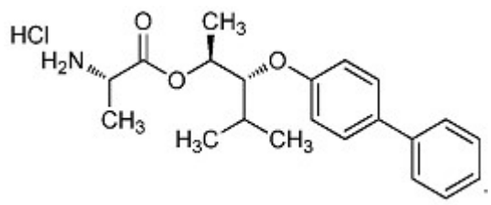
*Comp. No.	Estructura	Preparado de acuerdo con el Ejemplo:	Apariencia
210		Ejemplo 14A, Paso 1	Cristal claro
211		Ejemplo 14A, Paso 1	Cristal claro
212		Ejemplo 14A, Paso 1	Cristal claro
213		Ejemplo 14A, Paso 1	Sólido blanco
214		Ejemplo 14A, Paso 1	Sólido blanco

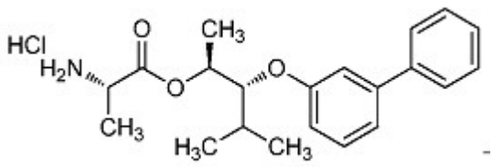
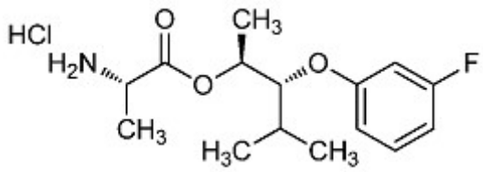
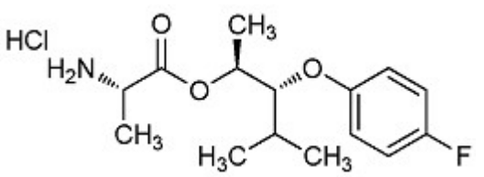
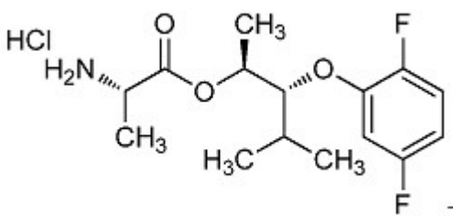
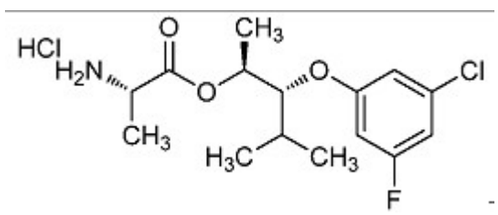
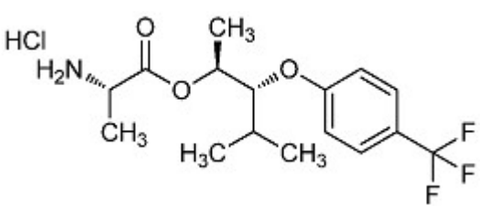
*Comp. No.	Estructura	Preparado de acuerdo con el Ejemplo:	Apariencia
215		Ejemplo 14A, Paso 1	Sólido blanco
216		Ejemplo 14A, Paso 1	Polvo blanco
217		Ejemplo 14A, Paso 1	Polvo blanco
218		Ejemplo 14A, Paso 1	Polvo blanco
219		Ejemplo 14A, Paso 1	Polvo blanco

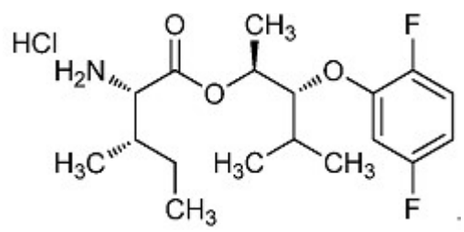
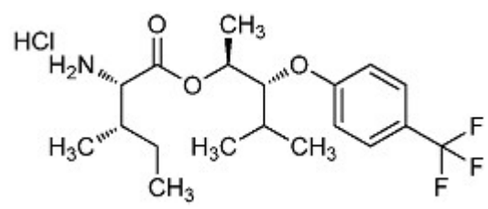
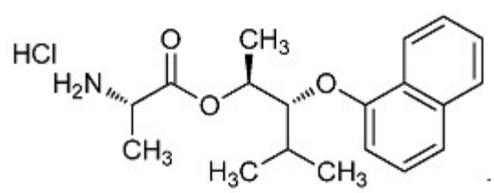
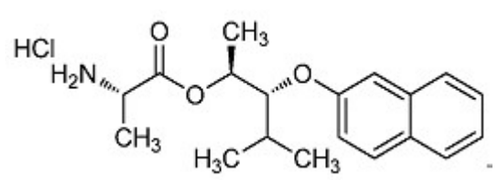
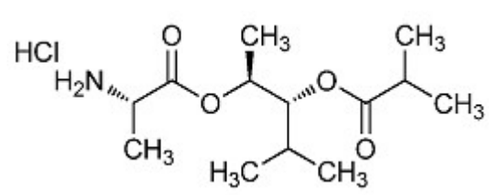
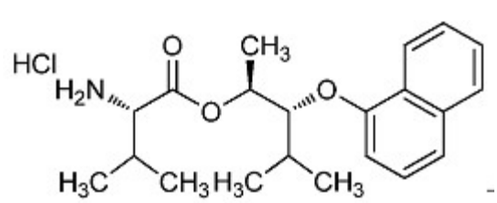
*Comp. No.	Estructura	Preparado de acuerdo con el Ejemplo:	Apariencia
220		Ejemplo 14A, Paso 1	Polvo blanco
221		Ejemplo 14A, Paso 1	Polvo blanco
222		Ejemplo 14A, Paso 1	Polvo blanco
223		Ejemplo 14A, Paso 1	Polvo blanco
224		Ejemplo 14A, Paso 1	Polvo blanco

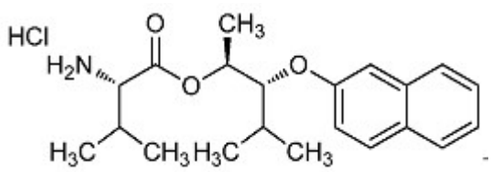
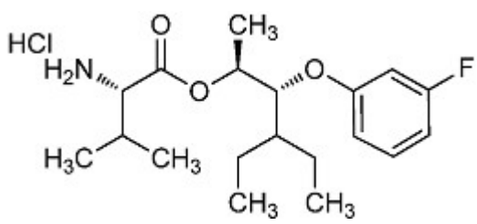
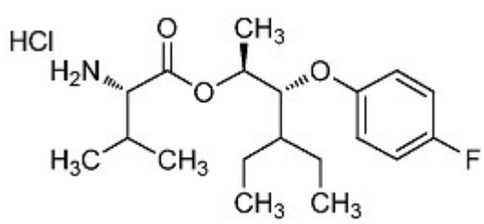
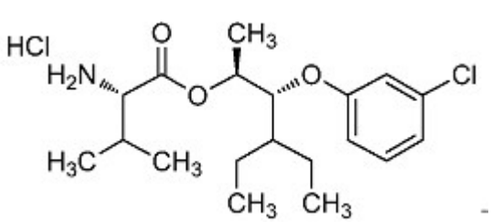
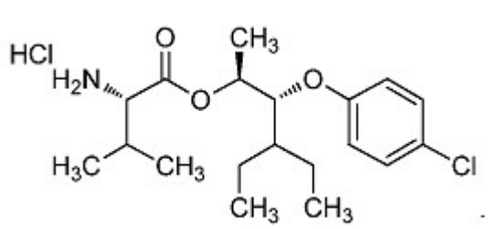
*Comp. No.	Estructura	Preparado de acuerdo con el Ejemplo:	Apariencia
225		Ejemplo 14A, Paso 1	Polvo blanco
226		Ejemplo 14A, Paso 1	Polvo blanco
227		Ejemplo 14A, Paso 1	Polvo blanco
228		Ejemplo 14A, Paso 1	Aceite pegajoso
229		Ejemplo 14A, Paso 1	Aceite pegajoso

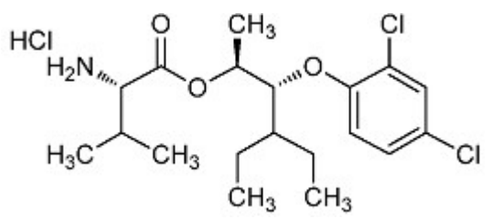
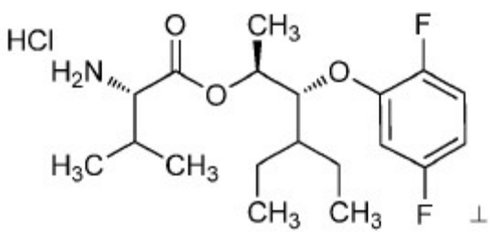
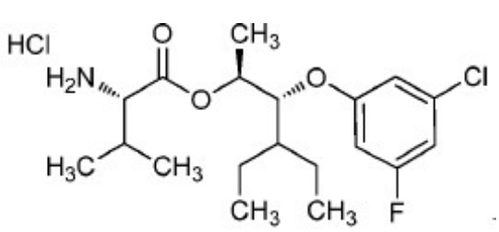
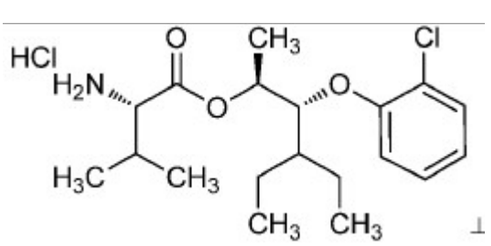
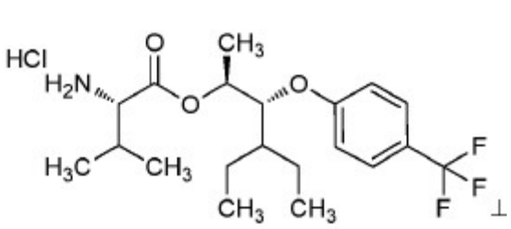
*Comp. No.	Estructura	Preparado de acuerdo con el Ejemplo:	Apariencia
230		Ejemplo 14A, Paso 1	Aceite pegajoso
231		Ejemplo 14A, Paso 1	Aceite pegajoso
232		Ejemplo 14A, Paso 1	Aceite pegajoso
233		Ejemplo 14A, Paso 1	Aceite pegajoso
234		Ejemplo 14A, Paso 1	Aceite pegajoso

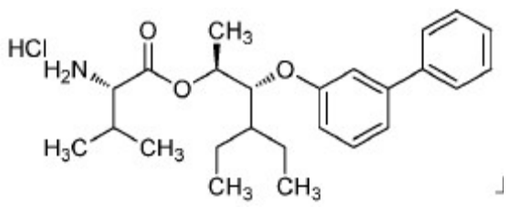
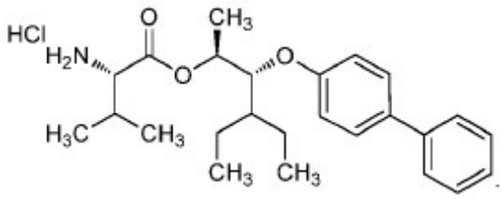
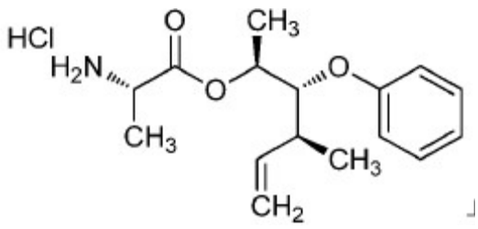
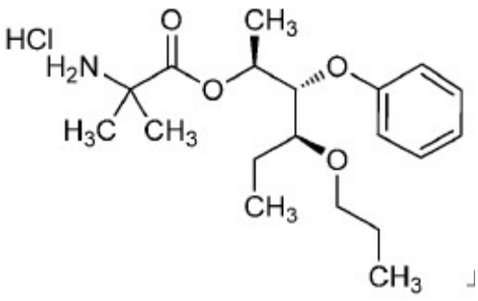
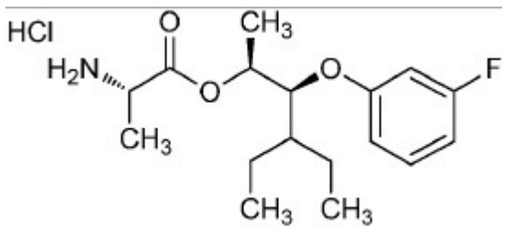
*Comp. No.	Estructura	Preparado de acuerdo con el Ejemplo:	Apariencia
235		Ejemplo 14A, Paso 1	Aceite pegajoso
236		Ejemplo 14A, Paso 1	Aceite pegajoso
237		Ejemplo 14A, Paso 1	Aceite pegajoso
238		Ejemplo 14A, Paso 1	Aceite pegajoso
239		Ejemplo 14A, Paso 1	Sólido blanco

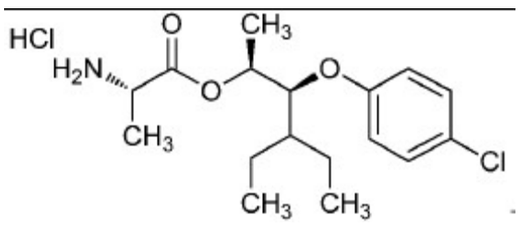
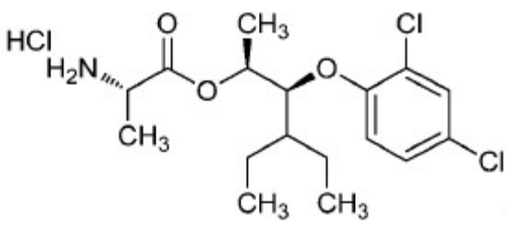
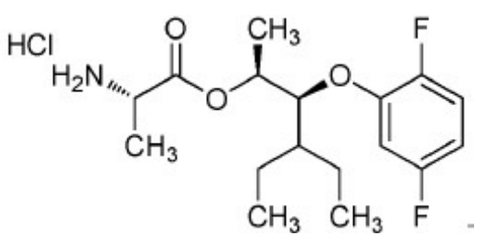
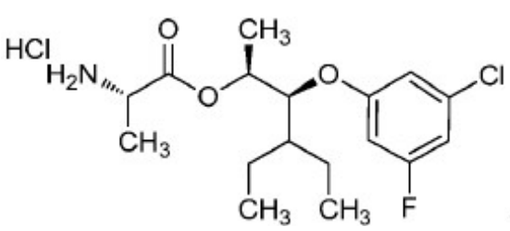
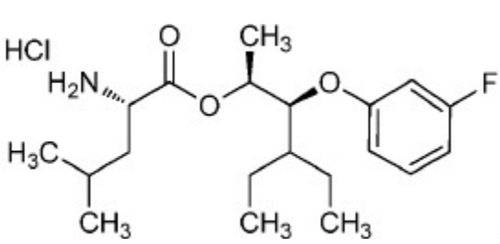
*Comp. No.	Estructura	Preparado de acuerdo con el Ejemplo:	Apariencia
240		Ejemplo 14A, Paso 1	Aceite incoloro
241		Ejemplo 14A, Paso 1	Aceite incoloro
242		Ejemplo 14A, Paso 1	Sólido blanco
243		Ejemplo 14A, Paso 1	Sólido blanco
244		Ejemplo 14A, Paso 1	Sólido pegajoso
245		Ejemplo 14A, Paso 1	Aceite incoloro

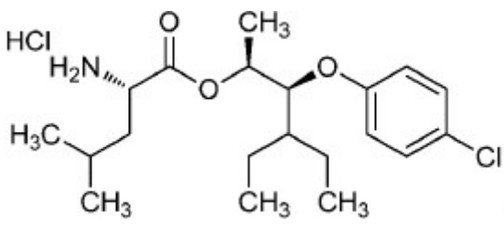
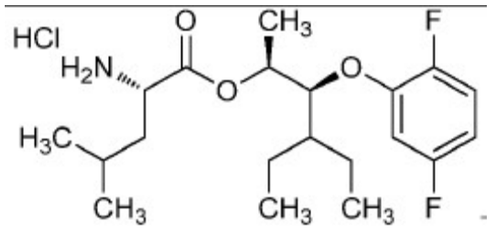
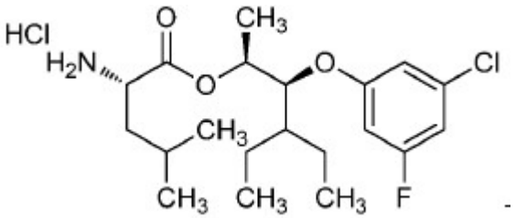
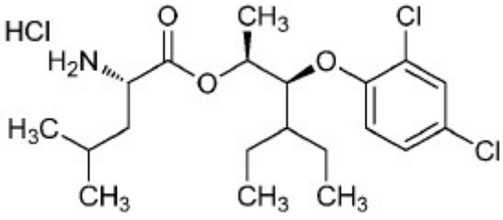
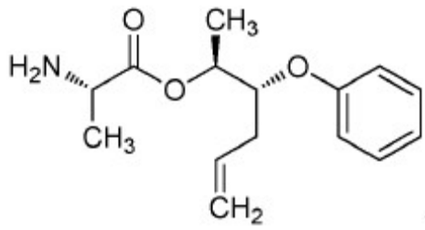
*Comp. No.	Estructura	Preparado de acuerdo con el Ejemplo:	Apariencia
246		Ejemplo 14A, Paso 1	Sólido blanco
247		Ejemplo 14A, Paso 1	Sólido blanco
248		Ejemplo 14A, Paso 1	Aceite amarillo
249		Ejemplo 14A, Paso 1	Aceite amarillo
250		Ejemplo 14A, Paso 1	Sólido blanco
251		Ejemplo 14A, Paso 1	Aceite

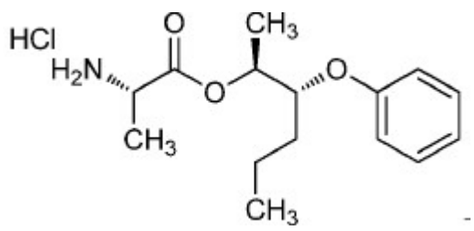
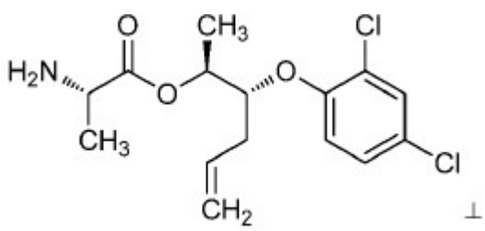
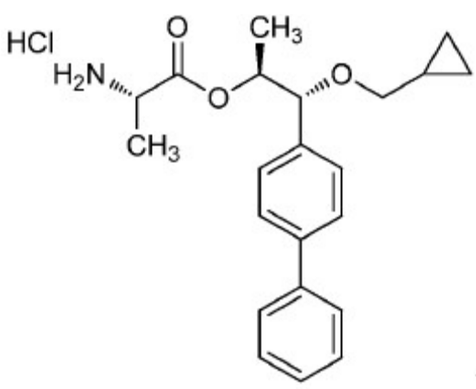
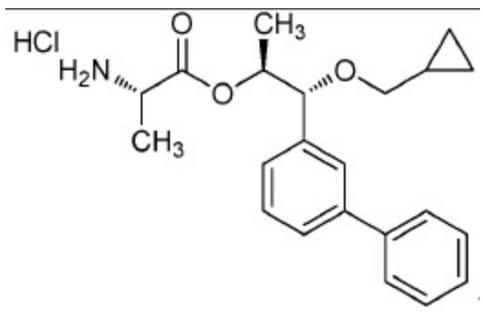
*Comp. No.	Estructura	Preparado de acuerdo con el Ejemplo:	Apariencia
252		Ejemplo 14A, Paso 1	Sólido blanco
253		Ejemplo 14A, Paso 1	Aceite incoloro
254		Ejemplo 14A, Paso 1	Aceite incoloro
255		Ejemplo 14A, Paso 1	Sólido ceroso
256		Ejemplo 14A, Paso 1	Sólido ceroso

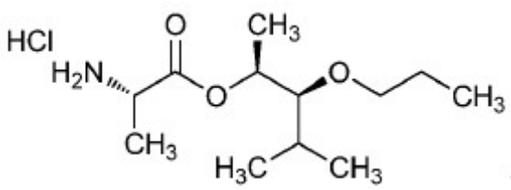
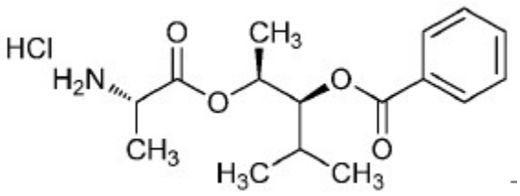
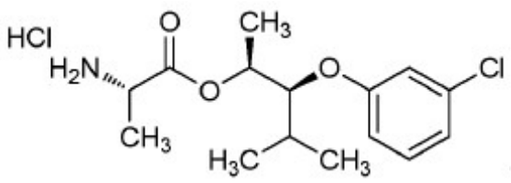
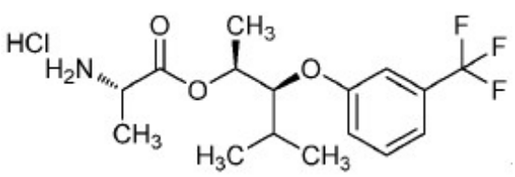
*Comp. No.	Estructura	Preparado de acuerdo con el Ejemplo:	Apariencia
257		Ejemplo 14A, Paso 1	Sólido ceroso
258		Ejemplo 14A, Paso 1	Sólido ceroso
259		Ejemplo 14A, Paso 1	Aceite incoloro
260		Ejemplo 14A, Paso 1	Aceite incoloro
261		Ejemplo 14A, Paso 1	Sólido ceroso

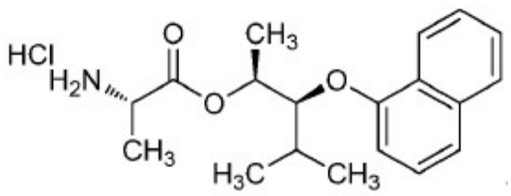
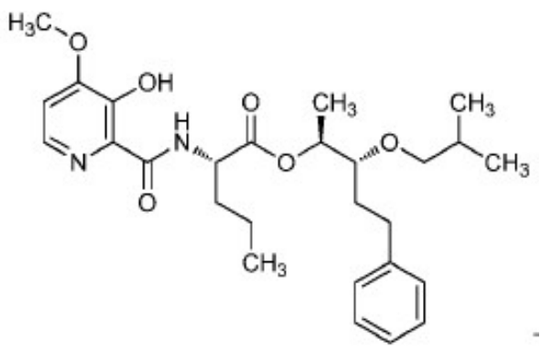
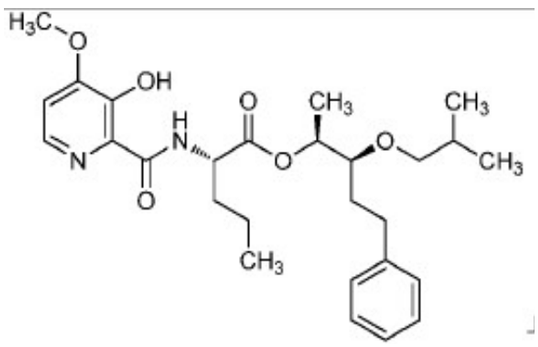
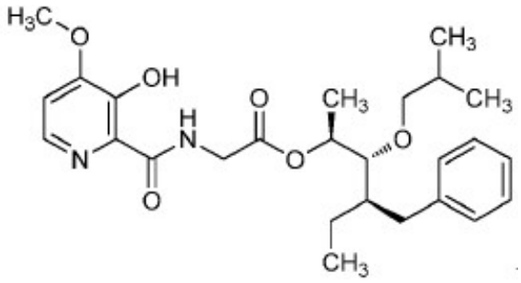
*Comp. No.	Estructura	Preparado de acuerdo con el Ejemplo:	Apariencia
262		Ejemplo 14A, Paso 1	Aceite incoloro
263		Ejemplo 14A, Paso 1	Sólido ceroso
264		Ejemplo 14A, Paso 1	Aceite claro
265		Ejemplo 14A, Paso 1	Aceite espeso incoloro
266		Ejemplo 14A, Paso 1	Aceite incoloro

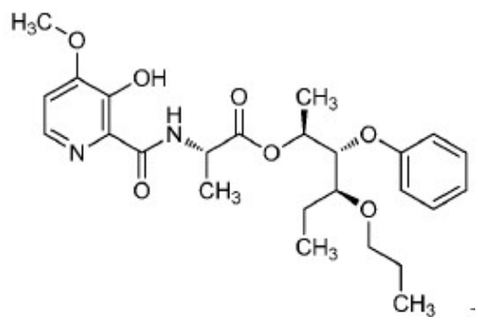
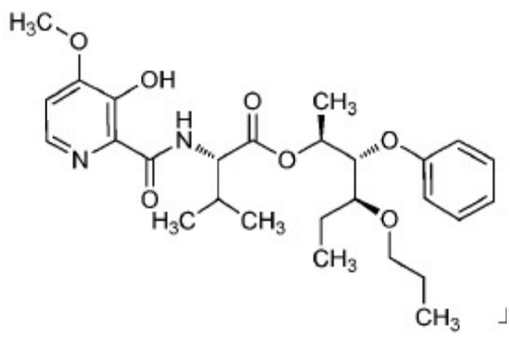
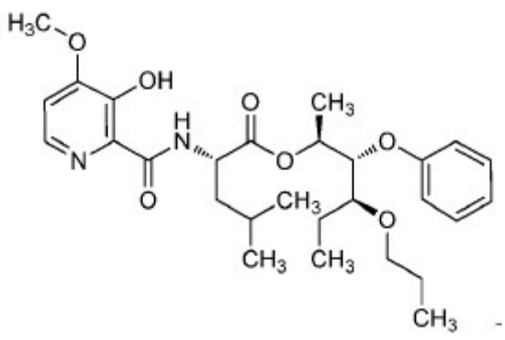
*Comp. No.	Estructura	Preparado de acuerdo con el Ejemplo:	Apariencia
267		Ejemplo 14A, Paso 1	Aceite incoloro
268		Ejemplo 14A, Paso 1	Aceite incoloro
269		Ejemplo 14A, Paso 1	Aceite incoloro
270		Ejemplo 14A, Paso 1	Aceite incoloro
271		Ejemplo 14A, Paso 1	Aceite incoloro

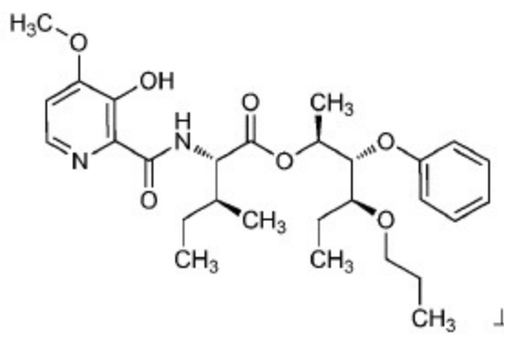
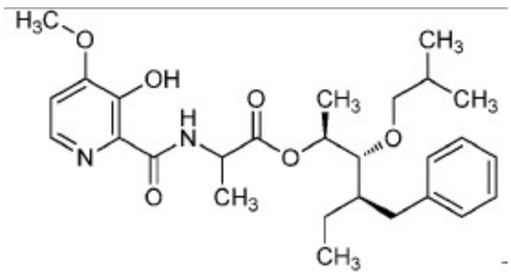
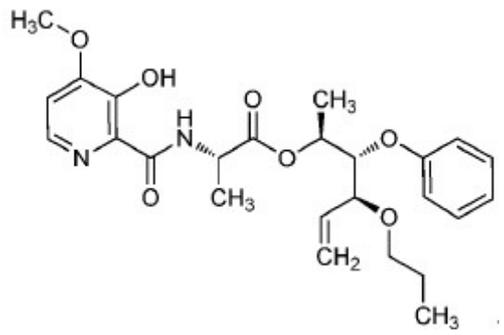
*Comp. No.	Estructura	Preparado de acuerdo con el Ejemplo:	Apariencia
272		Ejemplo 14A, Paso 1	Aceite incoloro
273		Ejemplo 14A, Paso 1	Aceite incoloro
274		Ejemplo 14A, Paso 1	Aceite incoloro
275		Ejemplo 14A, Paso 1	Aceite incoloro
276		Ejemplo 14B, Paso 1	Aceite amarillo

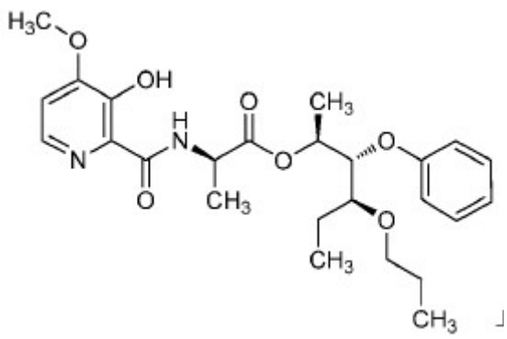
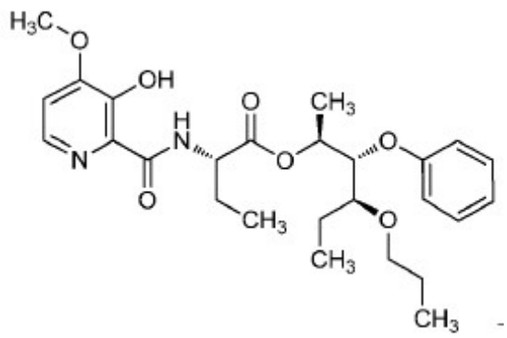
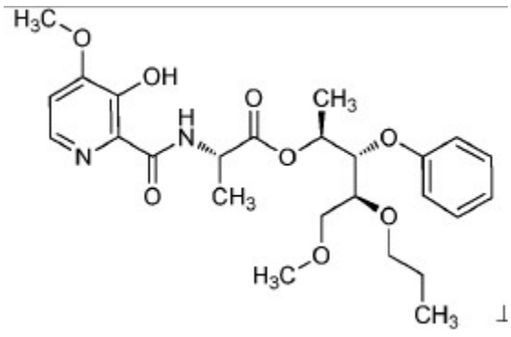
*Comp. No.	Estructura	Preparado de acuerdo con el Ejemplo:	Apariencia
277		Ejemplo 14A, Paso 1	Aceite amarillo
278		Ejemplo 14B, Paso 1	Aceite amarillo pálido
279		Ejemplo 14A, Paso 1	Aceite incoloro
280		Ejemplo 14A, Paso 1	Aceite incoloro

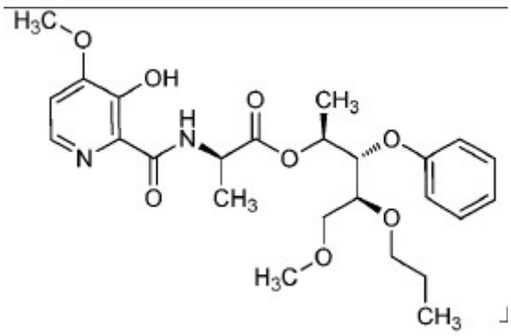
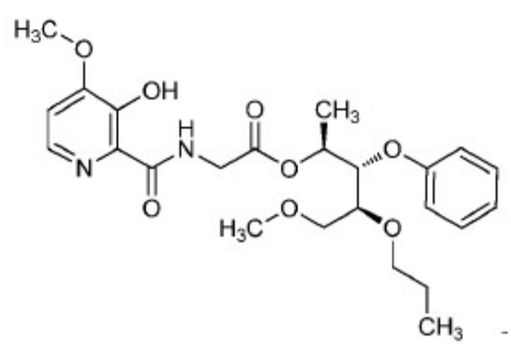
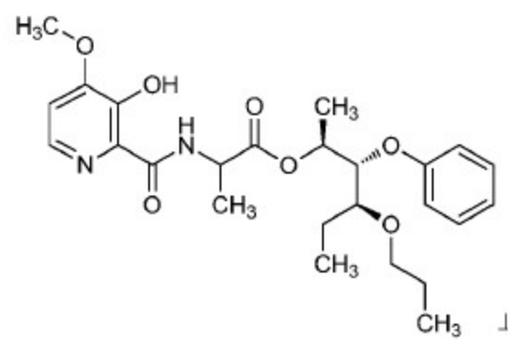
*Comp. No.	Estructura	Preparado de acuerdo con el Ejemplo:	Apariencia
281		Ejemplo 14A, Paso 1	Sólido blanco
282		Ejemplo 14A, Paso 1	Espuma blanca
283		Ejemplo 14A, Paso 1	Espuma blanca
284		Ejemplo 14A, Paso 1	Espuma blanca

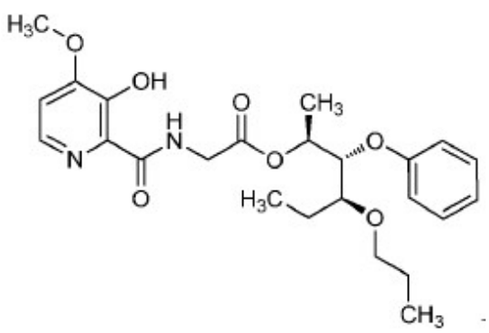
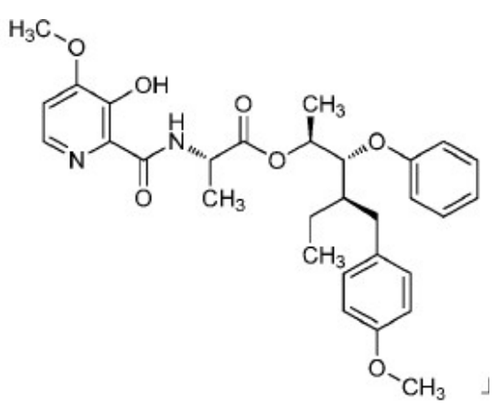
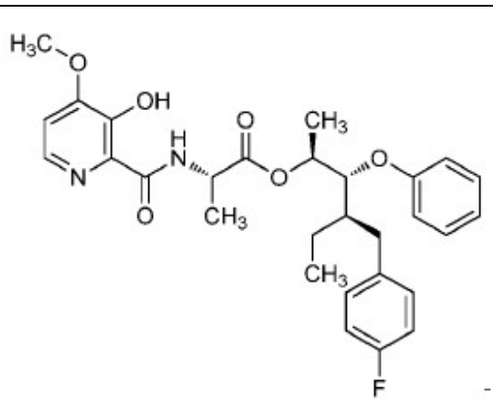
*Comp. No.	Estructura	Preparado de acuerdo con el Ejemplo:	Apariencia
285		Ejemplo 14A, Paso 1	Espuma blanca
286		Ejemplo 14A, Pasos 1, 2	Aceite incoloro
287		Ejemplo 14A, Pasos 1, 2	Aceite incoloro
288		Ejemplo 14A, Paso 2	Aceite incoloro

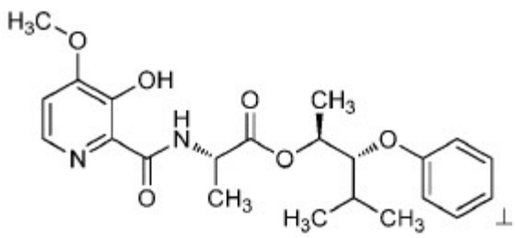
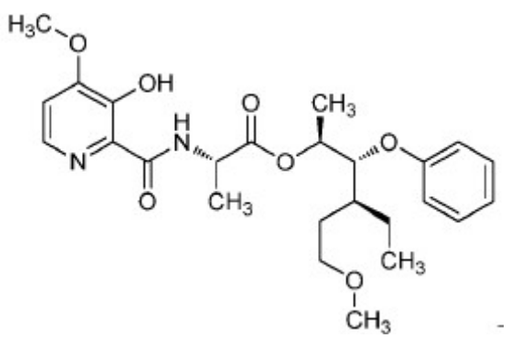
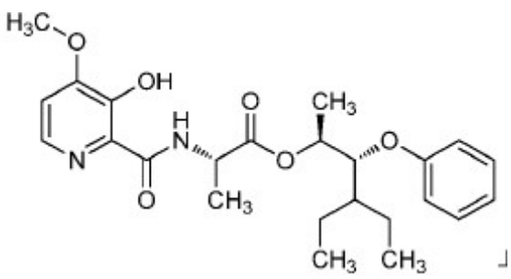
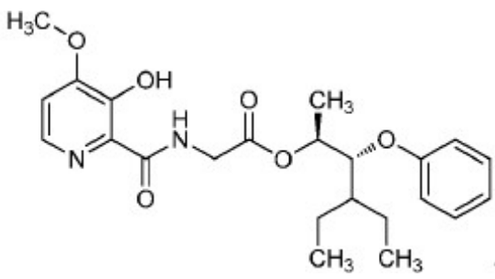
*Comp. No.	Estructura	Preparado de acuerdo con el Ejemplo:	Apariencia
289		Ejemplo 14A, Paso 2	Aceite incoloro
290		Ejemplo 3; Ejemplo 4B; Ejemplo 8C; Ejemplo 12A; Ejemplo 14A, Paso 1, 2	Aceite incoloro
291		Ejemplo 3; Ejemplo 4B; Ejemplo 8C; Ejemplo 12A; Ejemplo 14A, Paso 1, 2	Aceite incoloro

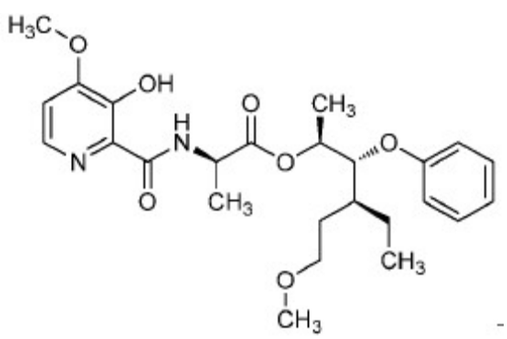
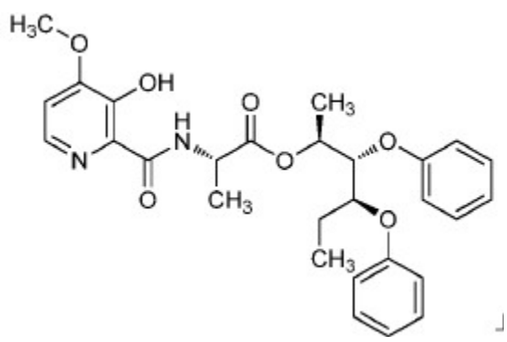
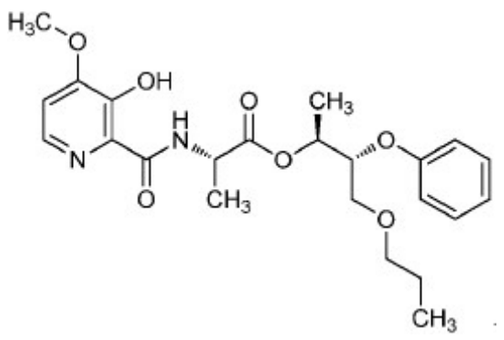
*Comp. No.	Estructura	Preparado de acuerdo con el Ejemplo:	Apariencia
292		Ejemplo 3; Ejemplo 4B; Ejemplo 8C; Ejemplo 12A; Ejemplo 14A, Paso 1, 2	Aceite incoloro
293		Ejemplo 14C, Paso 2	Aceite incoloro
294		Ejemplo 14B, Paso 2	Aceite incoloro

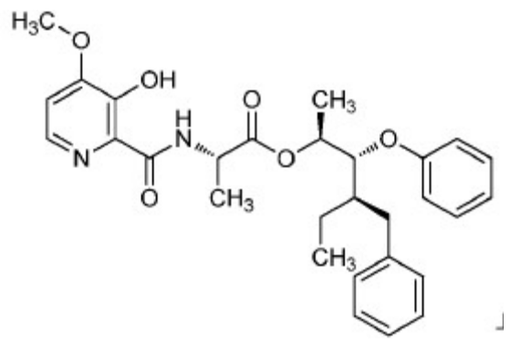
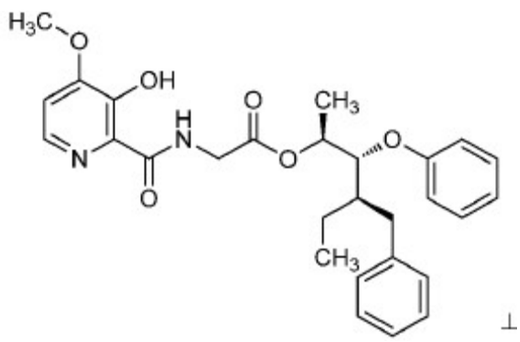
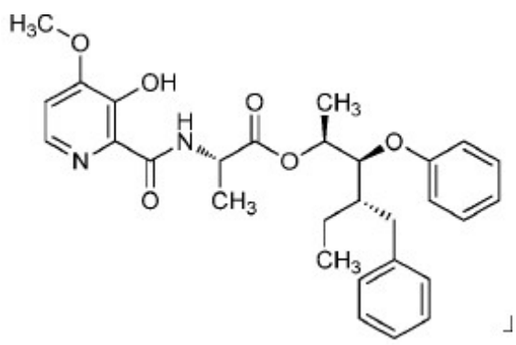
*Comp. No.	Estructura	Preparado de acuerdo con el Ejemplo:	Apariencia
295		Ejemplo 14A, Paso 2	Aceite incoloro
296		Ejemplo 14A, Paso 2	Aceite incoloro
297		Ejemplo 14A, Paso 2	Aceite incoloro

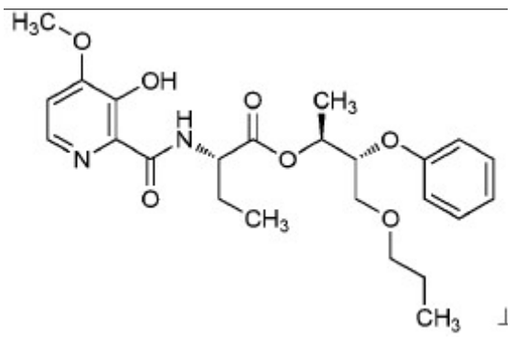
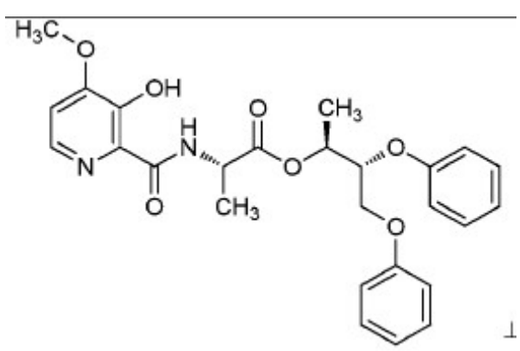
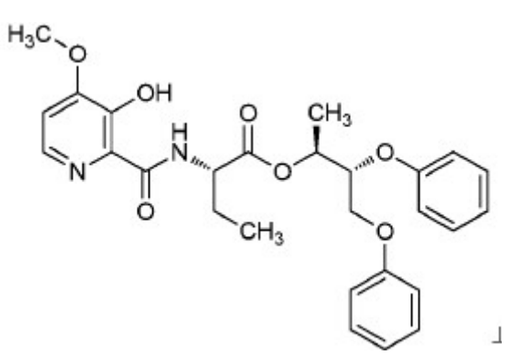
*Comp. No.	Estructura	Preparado de acuerdo con el Ejemplo:	Apariencia
298		Ejemplo 14A, Paso 2	Aceite incoloro
299		Ejemplo 14A, Paso 2	Aceite incoloro
300		Ejemplo 14A, Paso 2	Aceite incoloro

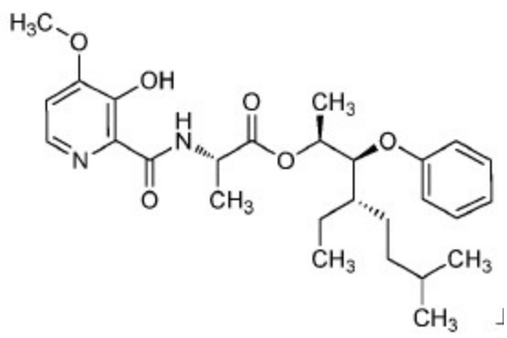
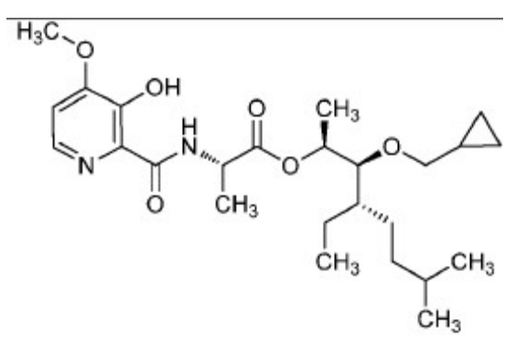
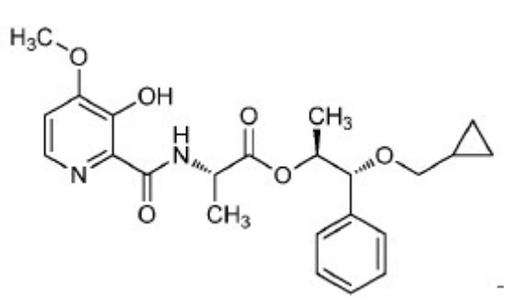
*Comp. No.	Estructura	Preparado de acuerdo con el Ejemplo:	Apariencia
301		Ejemplo 14A, Paso 2	Aceite amarillo pálido
302		Ejemplo 14A, Paso 2	Sólido blanco
303		Ejemplo 14A, Paso 2	Sólido blanco

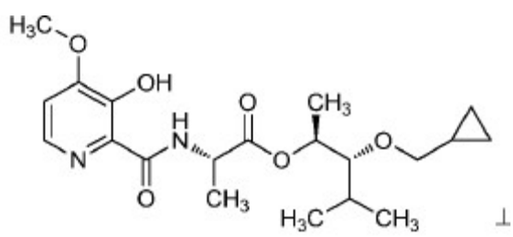
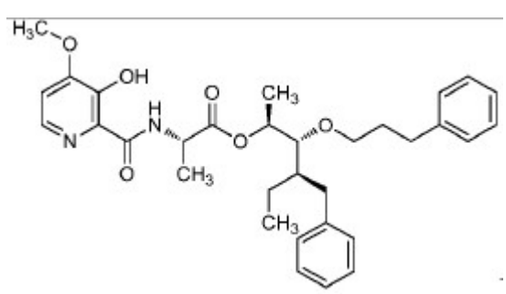
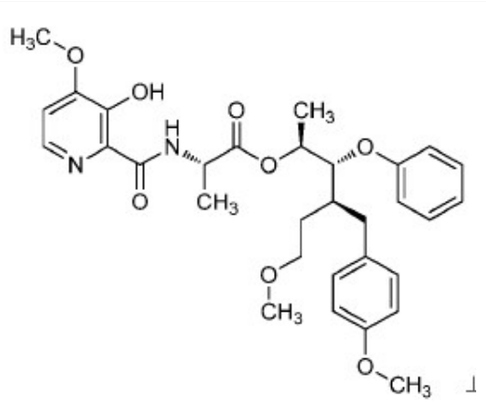
*Comp. No.	Estructura	Preparado de acuerdo con el Ejemplo:	Apariencia
304		Ejemplo 14A, Paso 2	Aceite incoloro
305		Ejemplo 14A, Paso 2	Aceite incoloro
306		Ejemplo 14A, Paso 2	Aceite incoloro
307		Ejemplo 14A, Paso 2	Sólido blanco

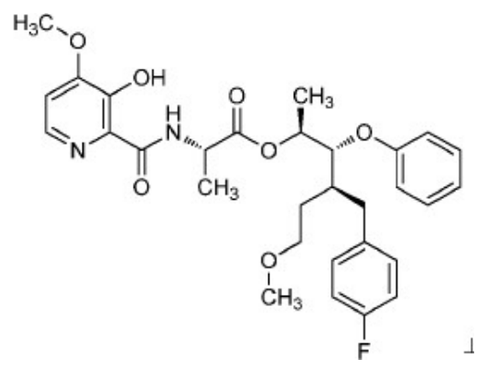
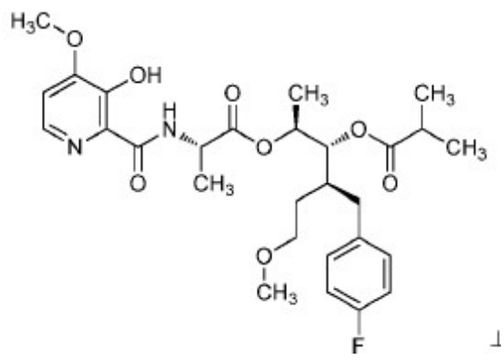
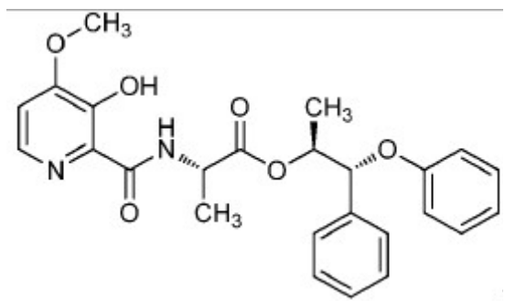
*Comp. No.	Estructura	Preparado de acuerdo con el Ejemplo:	Apariencia
308		Ejemplo 14A, Paso 2	Semi-sólido incoloro
309		Ejemplo 3; Ejemplo 4B; Ejemplo 8B; Ejemplo 12A; Ejemplo 14A, Pasos 1, 2	Espuma blanca
310		Ejemplo 14A, Paso 2	Aceite incoloro

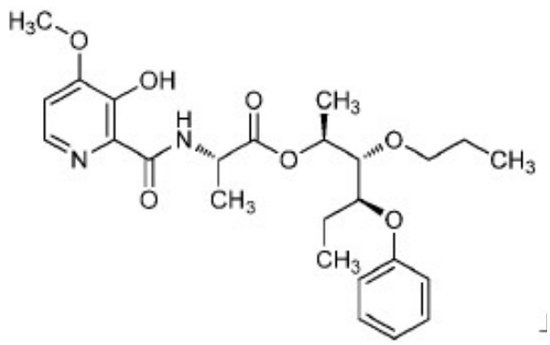
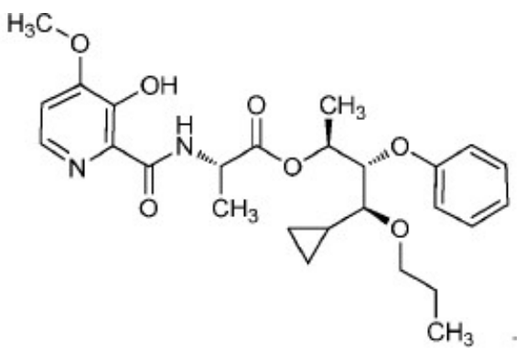
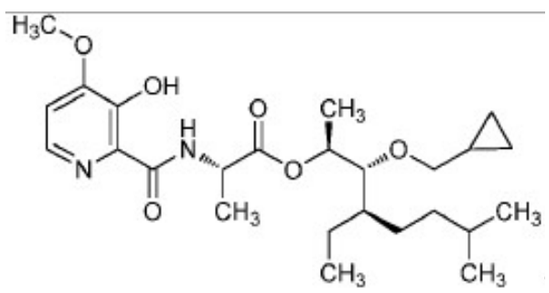
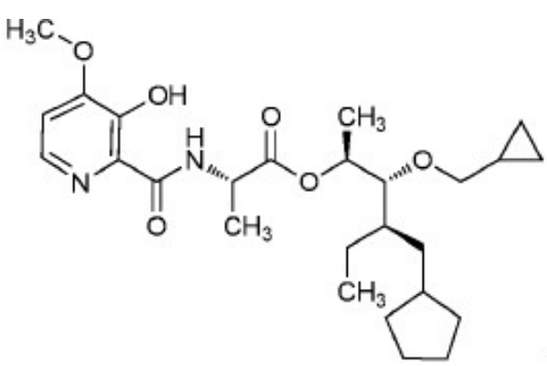
*Comp. No.	Estructura	Preparado de acuerdo con el Ejemplo:	Apariencia
311		Ejemplo 14B, Paso 2	Aceite claro
312		Ejemplo 14B, Paso 2	Espuma blanca aceitosa
313		Ejemplo 14B, Paso 2	Espuma blanca pegajosa

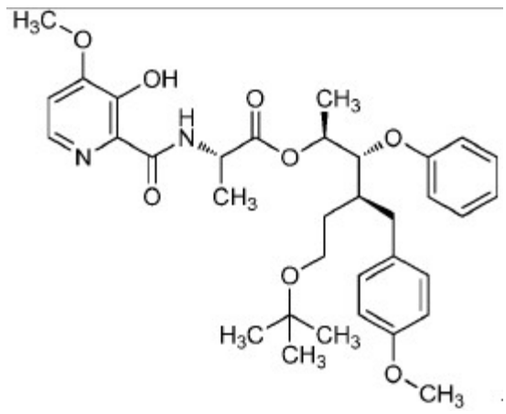
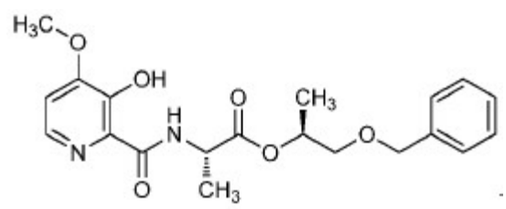
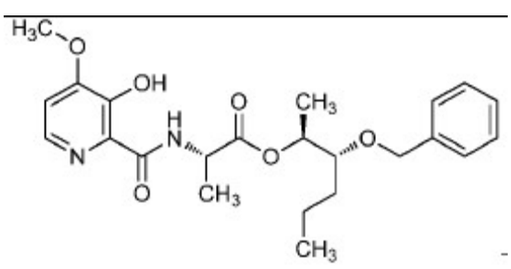
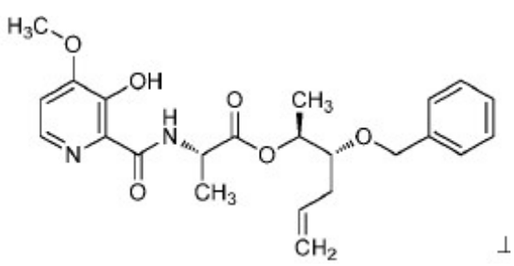
*Comp. No.	Estructura	Preparado de acuerdo con el Ejemplo:	Apariencia
314		Ejemplo 14A, Paso 2	Aceite incoloro
315		Ejemplo 14A, Paso 2	Aceite incoloro
316		Ejemplo 14A, Paso 2	Aceite incoloro

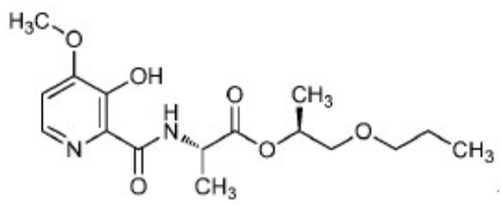
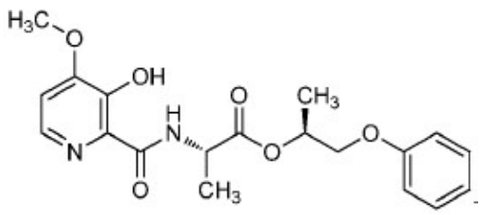
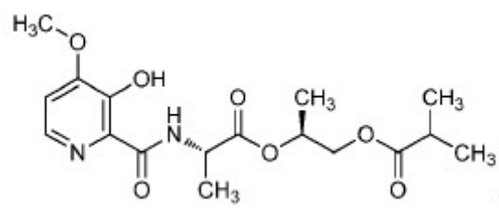
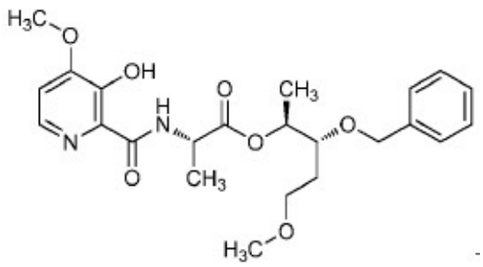
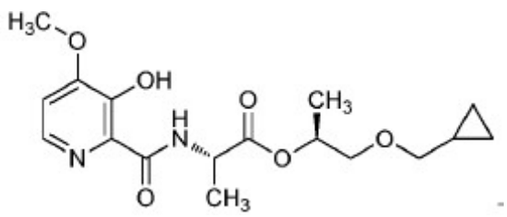
*Comp. No.	Estructura	Preparado de acuerdo con el Ejemplo:	Apariencia
317		Ejemplo 14A, Paso 2	Aceite incoloro
318		Ejemplo 14A, Paso 2	Aceite incoloro
319		Ejemplo 14A, Paso 2	Semi-sólido incoloro

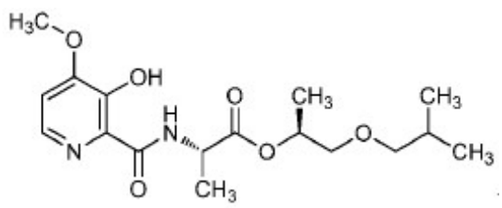
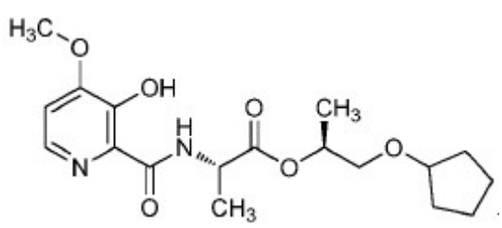
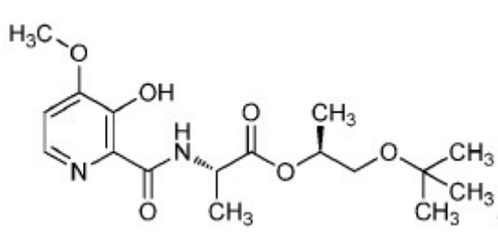
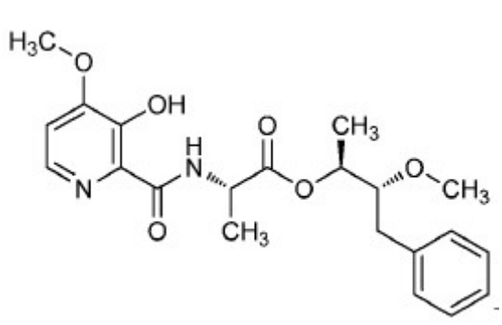
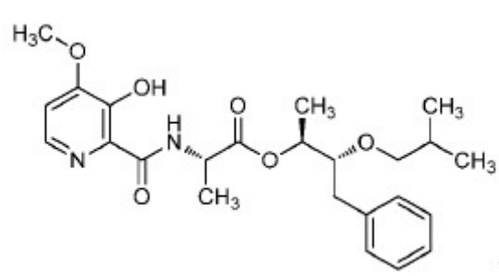
*Comp. No.	Estructura	Preparado de acuerdo con el Ejemplo:	Apariencia
320		Ejemplo 14A, Paso 2	Aceite incoloro
321		Ejemplo 14B, Paso 2	Aceite incoloro
322		Ejemplo 14A, Paso 2	Aceite pegajoso

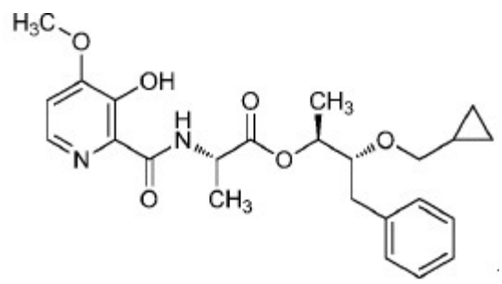
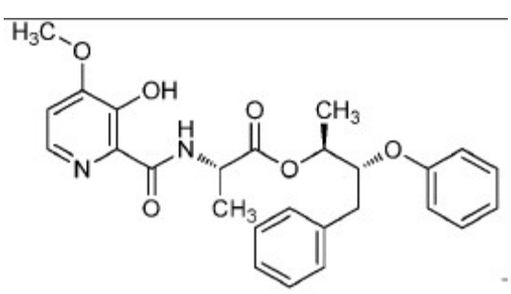
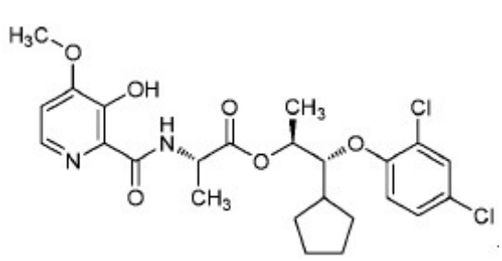
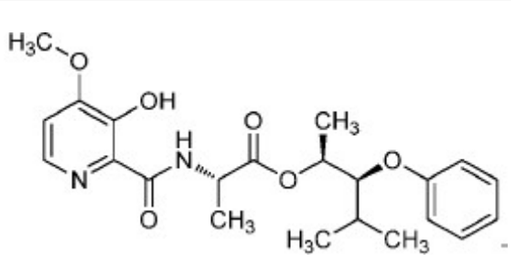
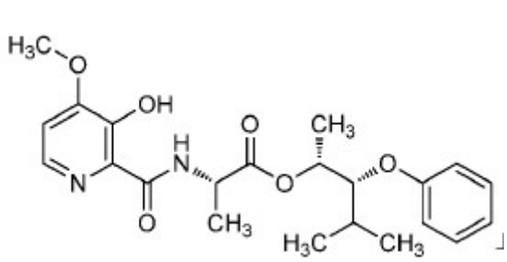
*Comp. No.	Estructura	Preparado de acuerdo con el Ejemplo:	Apariencia
323		Ejemplo 14A, Paso 2	Aceite pegajoso
324		Ejemplo 14A, Paso 2	Aceite pegajoso
325		Ejemplo 14A, Paso 2	Sólido blanco

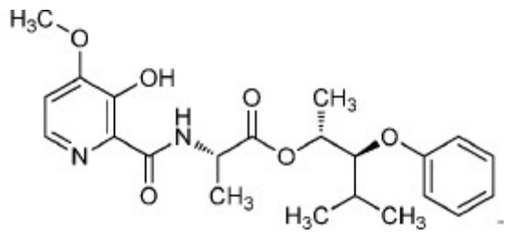
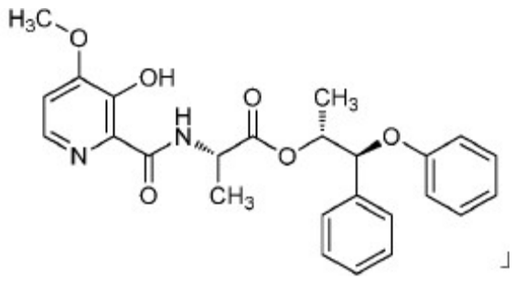
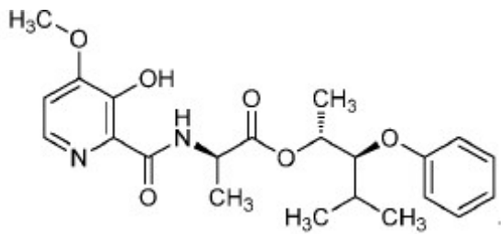
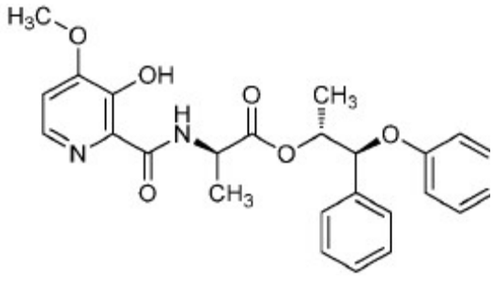
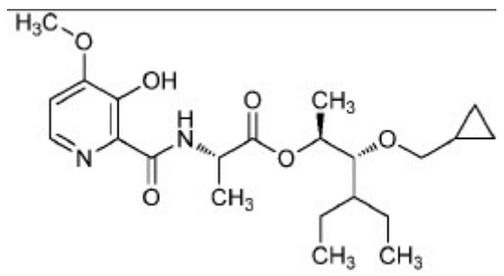
*Comp. No.	Estructura	Preparado de acuerdo con el Ejemplo:	Apariencia
326		Ejemplo 14A, Pasos 1, 2	Aceite amarillo claro
327		Ejemplo 14A, Paso 2	Aceite incoloro
328		Ejemplo 14A, Paso 2	Aceite incoloro
329		Ejemplo 14A, Paso 2	Aceite incoloro

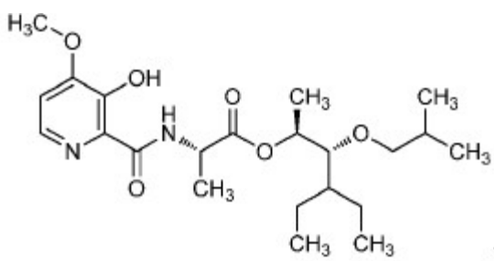
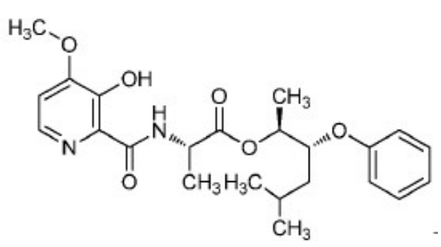
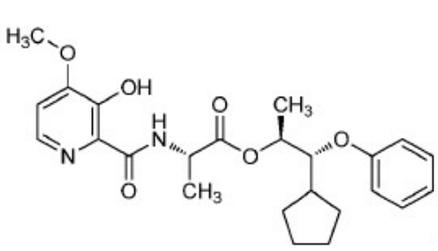
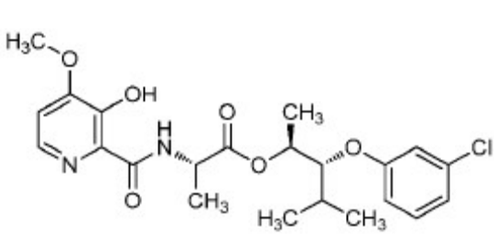
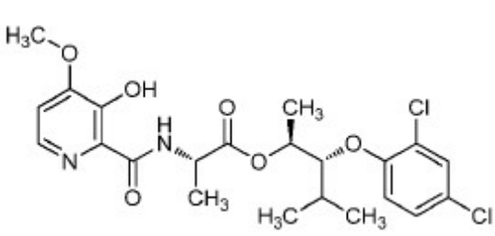
*Comp. No.	Estructura	Preparado de acuerdo con el Ejemplo:	Apariencia
330		Ejemplo 14A, Paso 2	Sólido blanco
331		Ejemplo 14A, Pasos 1, 2	Aceite incoloro
332		Ejemplo 14A, Paso 2	Aceite claro, incoloro
333		Ejemplo 14B, Paso 2	Aceite claro, incoloro

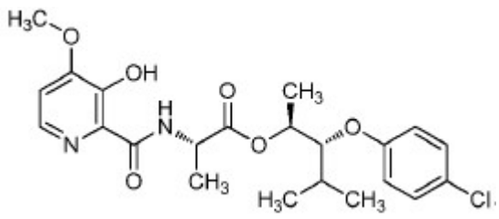
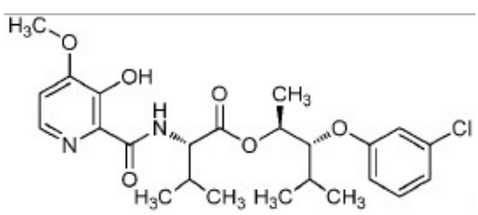
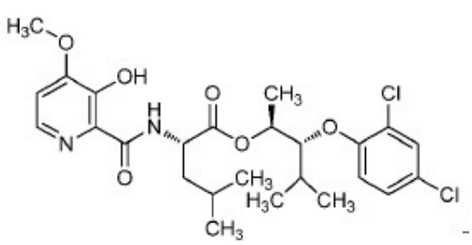
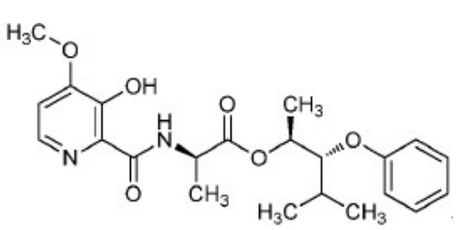
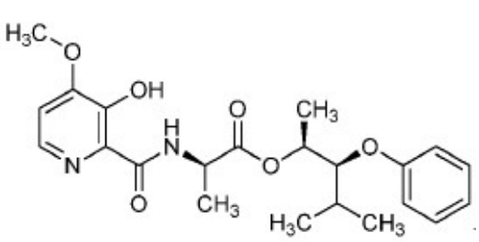
*Comp. No.	Estructura	Preparado de acuerdo con el Ejemplo:	Apariencia
334		Ejemplo 14A, Paso 2	Aceite incoloro
335		Ejemplo 14A, Paso 2	Aceite
336		Ejemplo 14A, Paso 2	Aceite incoloro
337		Ejemplo 14A, Paso 2	Aceite claro, incoloro
338		Ejemplo 14A, Paso 2	Aceite incoloro

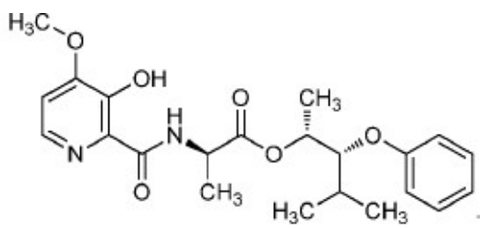
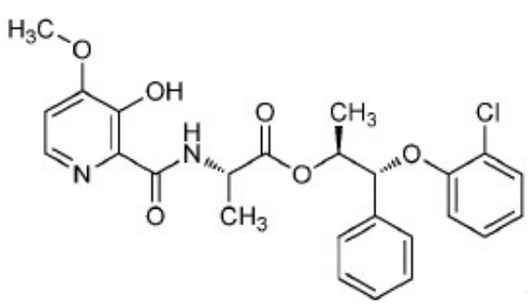
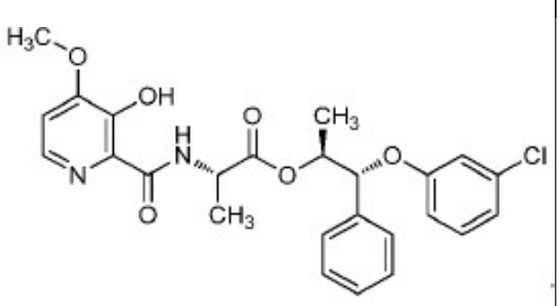
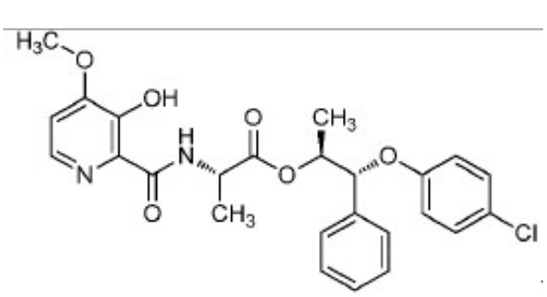
*Comp. No.	Estructura	Preparado de acuerdo con el Ejemplo:	Apariencia
339		Ejemplo 14A, Paso 2	Aceite incoloro
340		Ejemplo 14A, Paso 2	Aceite incoloro
341		Ejemplo 14A, Paso 2	Aceite incoloro
342		Ejemplo 14A, Paso 2	Aceite incoloro
343		Ejemplo 14A, Paso 2	Aceite incoloro

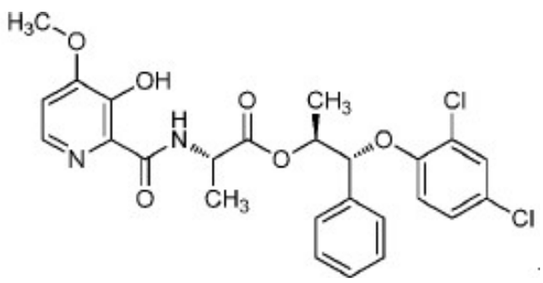
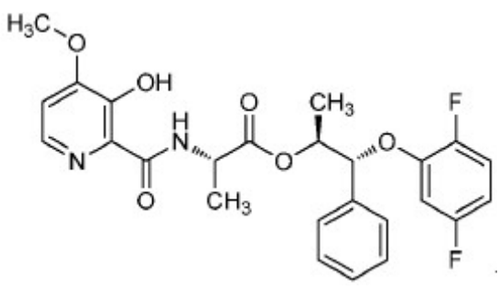
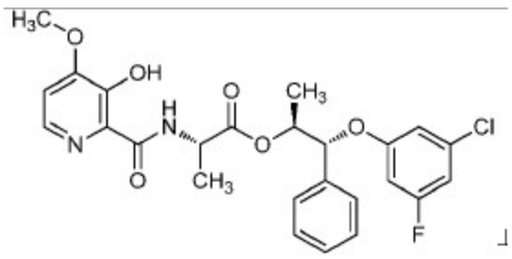
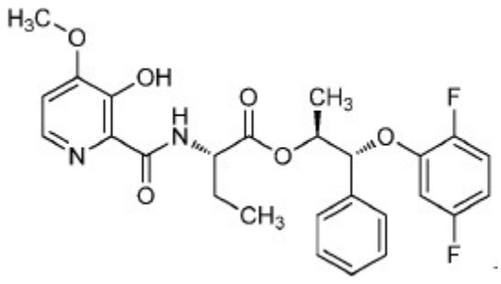
*Comp. No.	Estructura	Preparado de acuerdo con el Ejemplo:	Apariencia
344		Ejemplo 14A, Paso 2	Aceite incoloro
345		Ejemplo 14A, Paso 2	Semi-sólido
346		Ejemplo 14A, Paso 2	Polvo blanco
347		Ejemplo 14A, Paso 2	Sólido blanco
348		Ejemplo 14A, Paso 2	Cera pegajosa

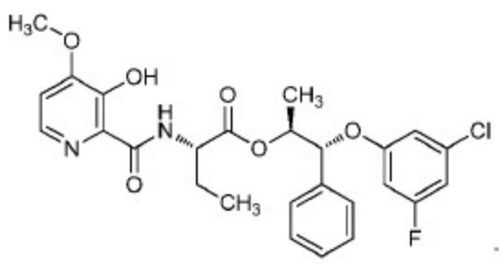
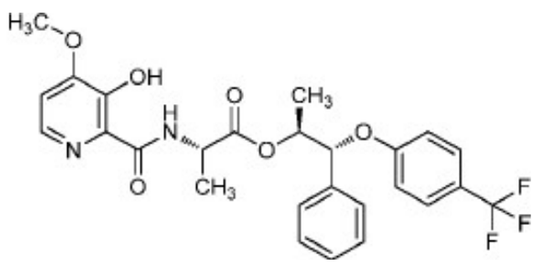
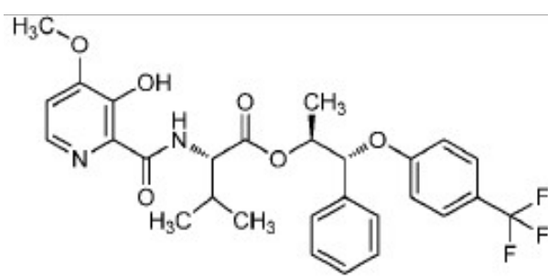
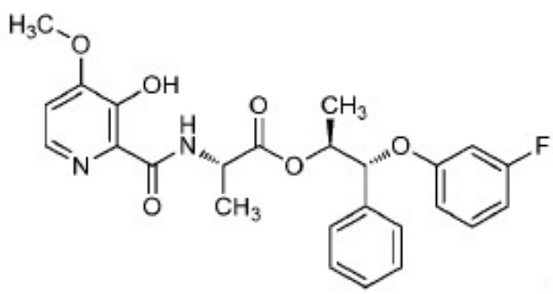
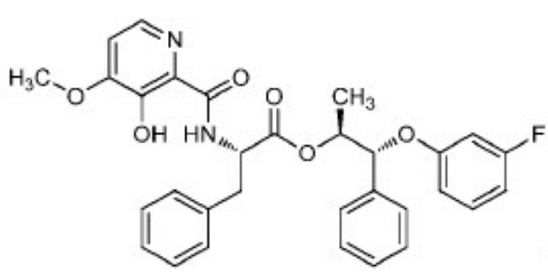
*Comp. No.	Estructura	Preparado de acuerdo con el Ejemplo:	Apariencia
349		Ejemplo 14A, Paso 2	Cera pegajosa
350		Ejemplo 14A, Paso 2	Espuma blanca
351		Ejemplo 14A, Paso 2	Cera pegajosa
352		Ejemplo 14A, Paso 2	Espuma blanca
353		Ejemplo 14A, Paso 2	Aceite incoloro

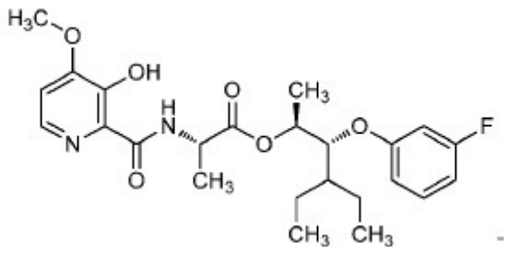
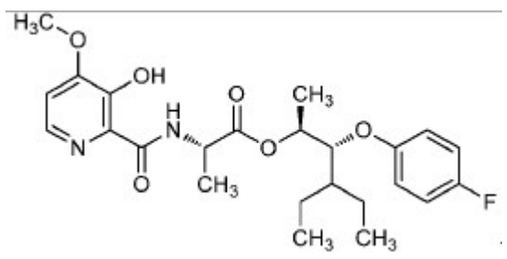
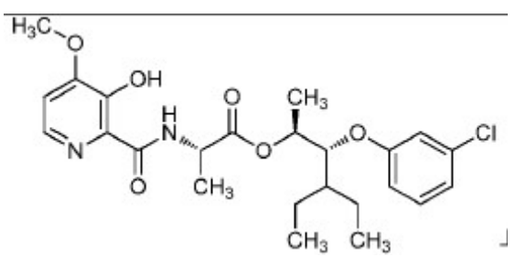
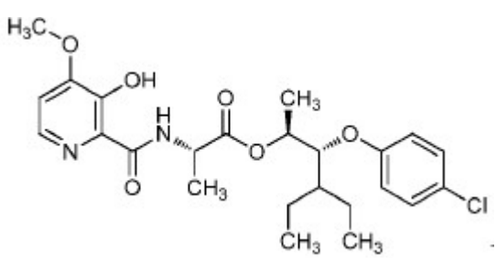
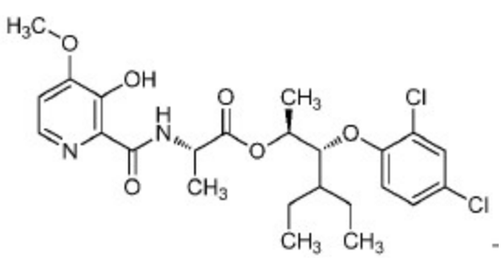
*Comp. No.	Estructura	Preparado de acuerdo con el Ejemplo:	Apariencia
354		Ejemplo 14A, Paso 2	Aceite incoloro
355		Ejemplo 14A, Paso 2	Aceite pegajoso
356		Ejemplo 14A, Paso 2	Aceite pegajoso
357		Ejemplo 14A, Paso 2	Aceite incoloro
358		Ejemplo 14A, Paso 2	Sólido blanco

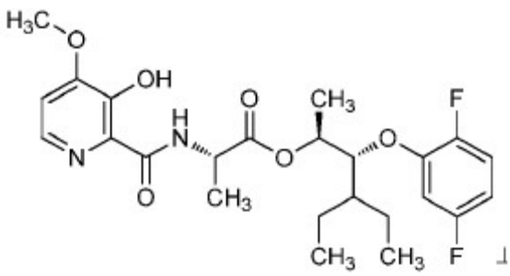
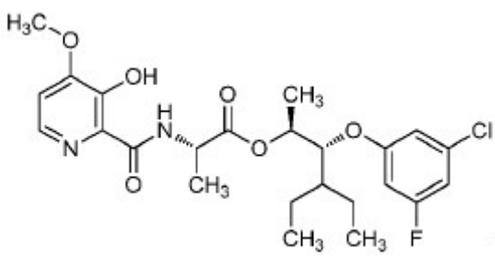
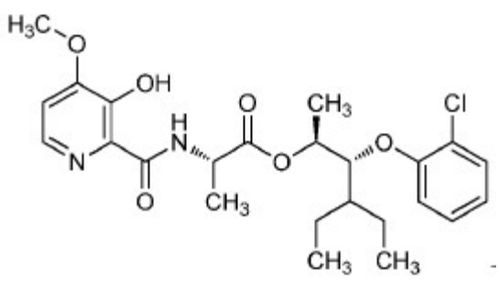
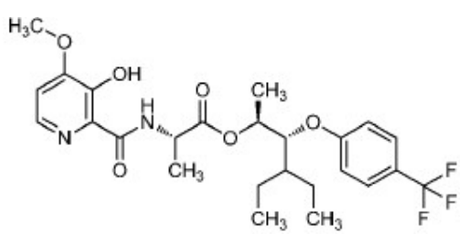
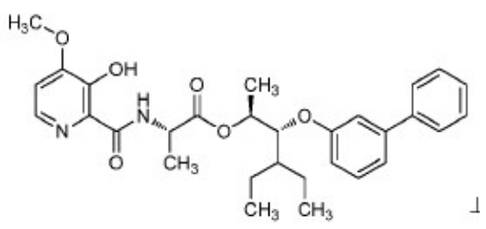
*Comp. No.	Estructura	Preparado de acuerdo con el Ejemplo:	Apariencia
359		Ejemplo 14A, Paso 2	Aceite pegajoso
360		Ejemplo 14A, Paso 2	Aceite incoloro
361		Ejemplo 14A, Paso 2	Sólido blanco
362		Ejemplo 14A, Paso 2	Cera pegajosa
363		Ejemplo 14A, Paso 2	Cera pegajosa

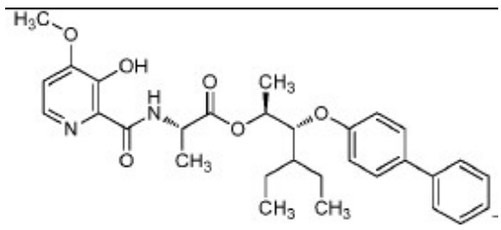
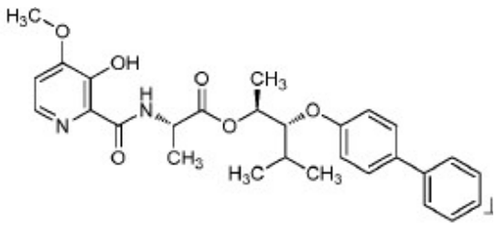
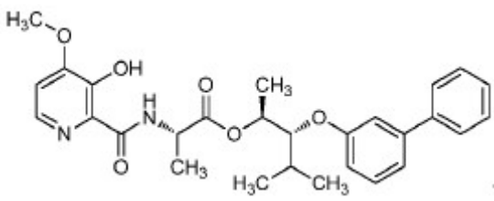
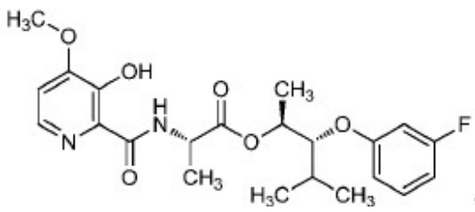
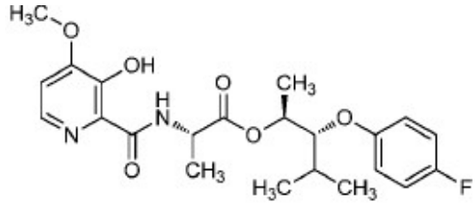
*Comp. No.	Estructura	Preparado de acuerdo con el Ejemplo:	Apariencia
364		Ejemplo 14A, Paso 2	Sólido blanco
365		Ejemplo 14A, Paso 2	Polvo blanco
366		Ejemplo 14A, Paso 2	Polvo blanco
367		Ejemplo 14A, Paso 2	Polvo blanco

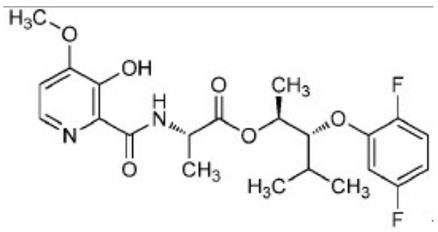
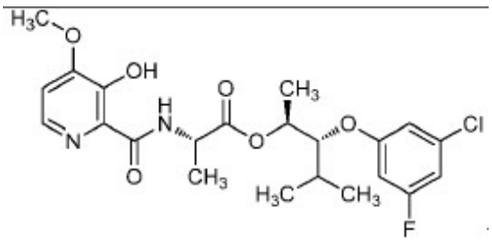
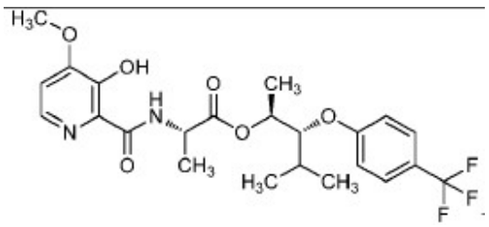
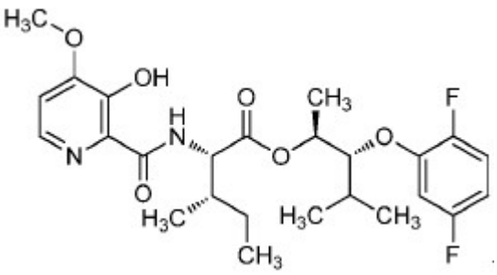
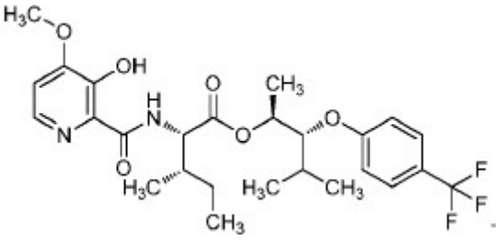
*Comp. No.	Estructura	Preparado de acuerdo con el Ejemplo:	Apariencia
368		Ejemplo 14A, Paso 2	Polvo blanco
369		Ejemplo 14A, Paso 2	Polvo blanco hidroscópico
370		Ejemplo 14A, Paso 2	Polvo blanco hidroscópico
371		Ejemplo 14A, Paso 2	Polvo blanco hidroscópico

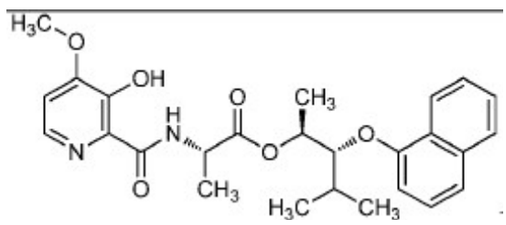
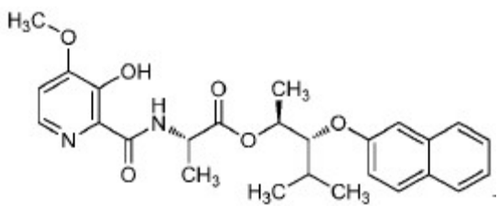
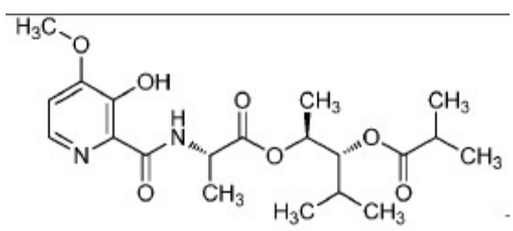
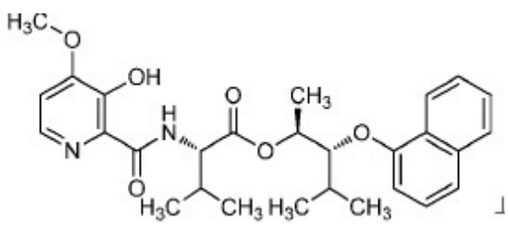
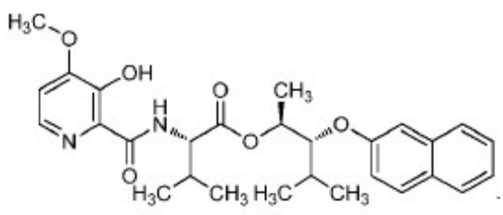
*Comp. No.	Estructura	Preparado de acuerdo con el Ejemplo:	Apariencia
372		Ejemplo 14A, Paso 2	Polvo blanco hidroscópico
373		Ejemplo 14A, Paso 2	Polvo blanco
374		Ejemplo 14A, Paso 2	Polvo blanco
375		Ejemplo 14A, Paso 2	Polvo blanco hidroscópico
376		Ejemplo 14A, Paso 2	Polvo blanco

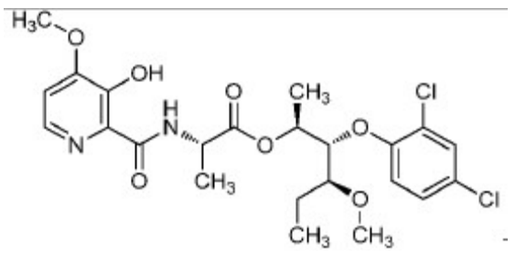
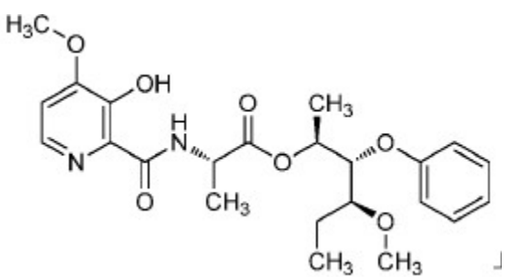
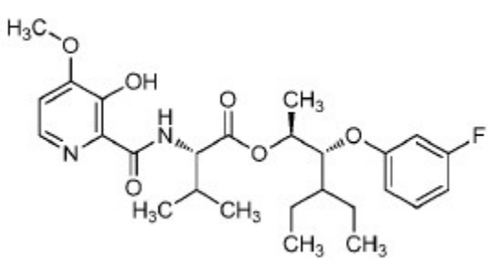
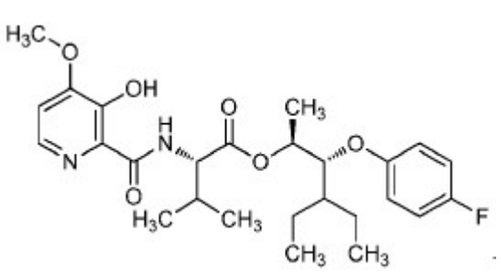
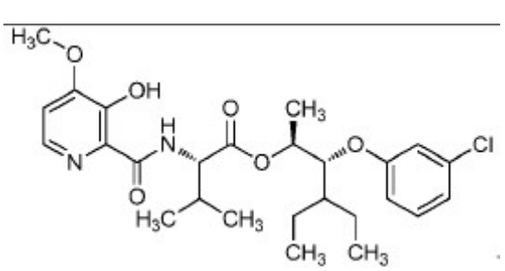
*Comp. No.	Estructura	Preparado de acuerdo con el Ejemplo:	Apariencia
377		Ejemplo 14A, Paso 2	Aceite incoloro
378		Ejemplo 14A, Paso 2	Aceite incoloro
379		Ejemplo 14A, Paso 2	Aceite incoloro
380		Ejemplo 14A, Paso 2	Aceite incoloro
381		Ejemplo 14A, Paso 2	Aceite incoloro

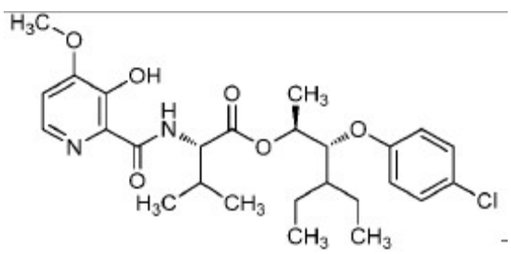
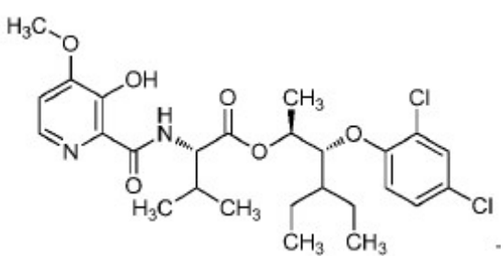
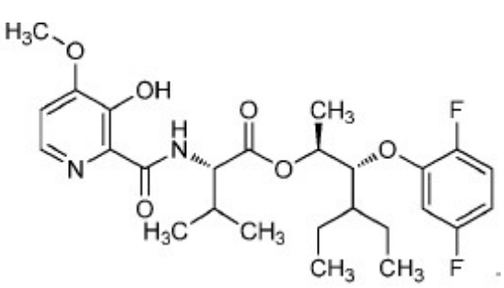
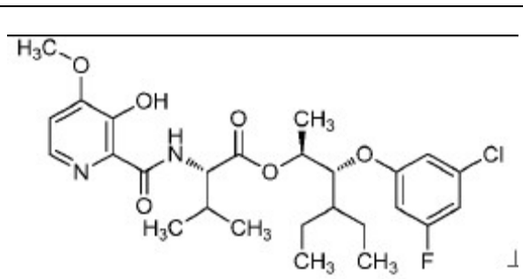
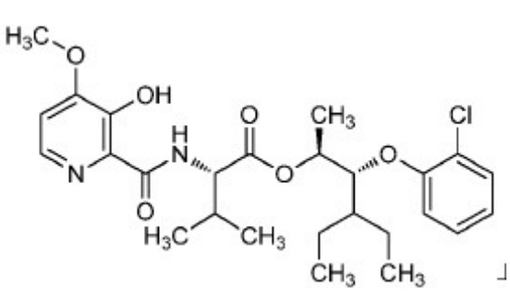
*Comp. No.	Estructura	Preparado de acuerdo con el Ejemplo:	Apariencia
382		Ejemplo 14A, Paso 2	Aceite incoloro
383		Ejemplo 14A, Paso 2	Aceite incoloro
384		Ejemplo 14A, Paso 2	Aceite incoloro
385		Ejemplo 14A, Paso 2	Aceite incoloro
386		Ejemplo 14A, Paso 2	Aceite incoloro

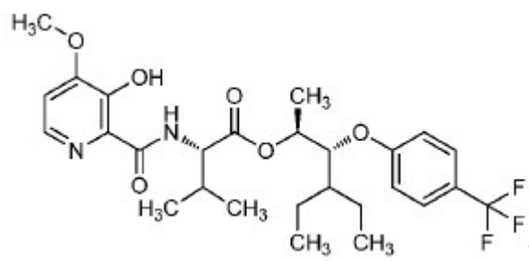
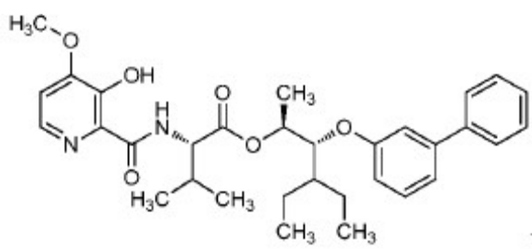
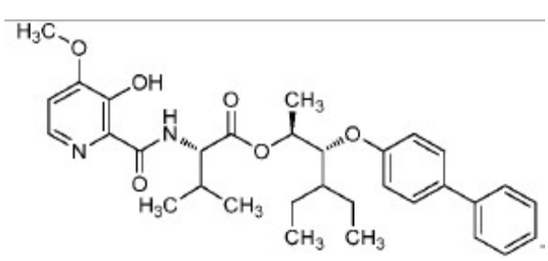
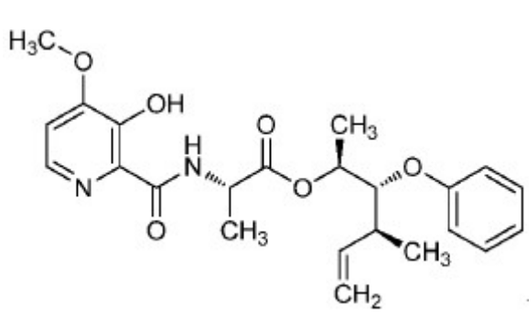
*Comp. No.	Estructura	Preparado de acuerdo con el Ejemplo:	Apariencia
387		Ejemplo 14A, Paso 2	Aceite incoloro
388		Ejemplo 14A, Paso 2	Sólido blanco
389		Ejemplo 14A, Paso 2	Sólido blanco
390		Ejemplo 14A, Paso 2	Aceite incoloro
391		Ejemplo 14A, Paso 2	Aceite incoloro

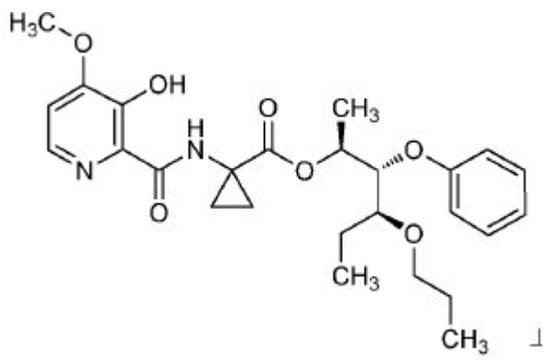
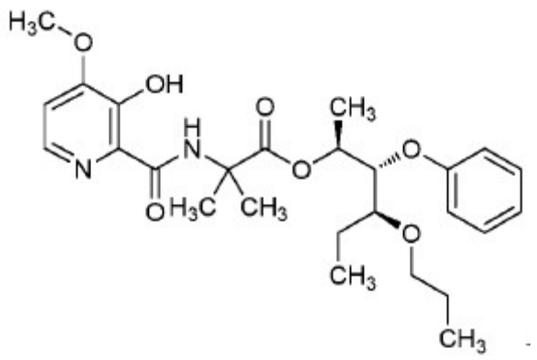
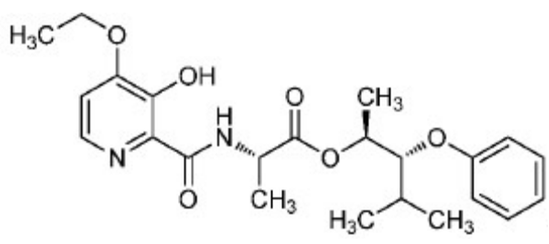
*Comp. No.	Estructura	Preparado de acuerdo con el Ejemplo:	Apariencia
392		Ejemplo 14A, Paso 2	Aceite incoloro
393		Ejemplo 14A, Paso 2	Aceite incoloro
394		Ejemplo 14A, Paso 2	Sólido pegajoso
395		Ejemplo 14A, Paso 2	Aceite incoloro
396		Ejemplo 14A, Paso 2	Aceite incoloro

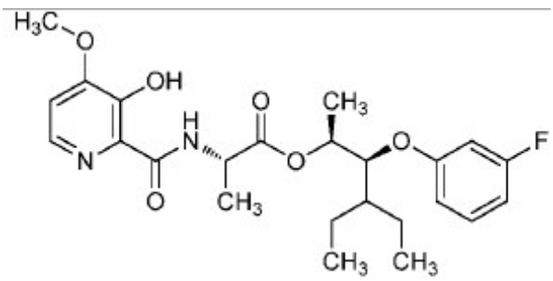
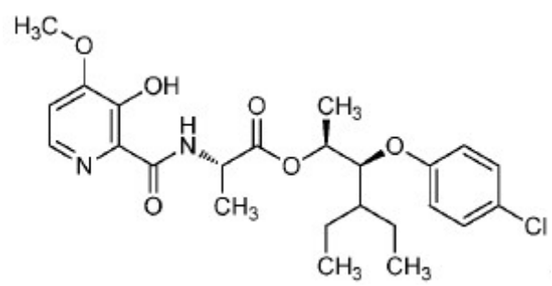
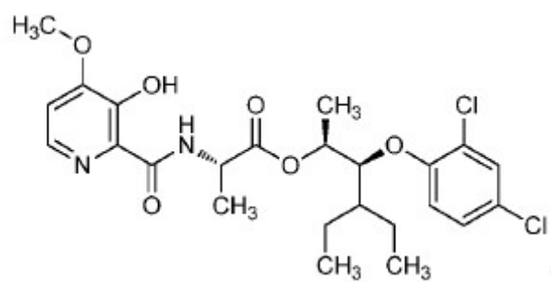
*Comp. No.	Estructura	Preparado de acuerdo con el Ejemplo:	Apariencia
397		Ejemplo 14A, Paso 2	Sólido blanco
398		Ejemplo 14A, Paso 2	Sólido blanco
399		Ejemplo 14A, Paso 2	Aceite incoloro
400		Ejemplo 14A, Paso 2	Sólido blanco
401		Ejemplo 14A, Paso 2	Aceite

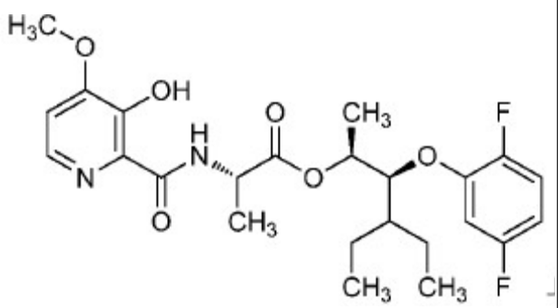
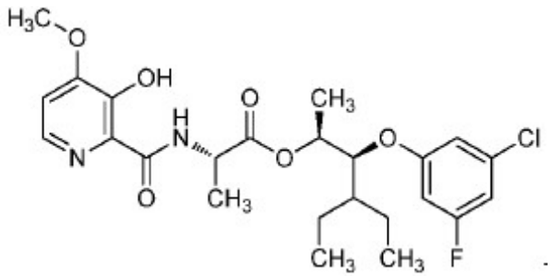
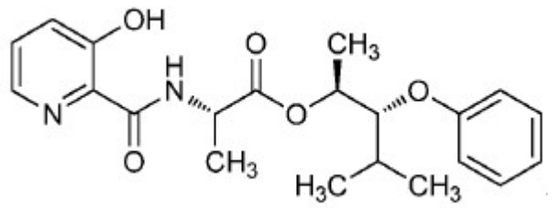
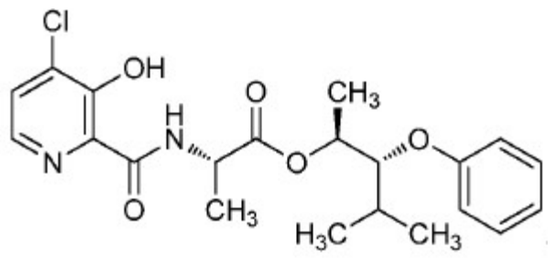
*Comp. No.	Estructura	Preparado de acuerdo con el Ejemplo:	Apariencia
402		Ejemplo 14A, Paso 2	Aceite incoloro
403		Ejemplo 15	Aceite incoloro
404		Ejemplo 14A, Paso 2	Aceite incoloro
405		Ejemplo 14A, Paso 2	Aceite incoloro
406		Ejemplo 14A, Paso 2	Aceite incoloro

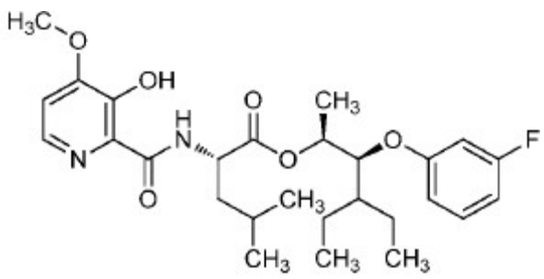
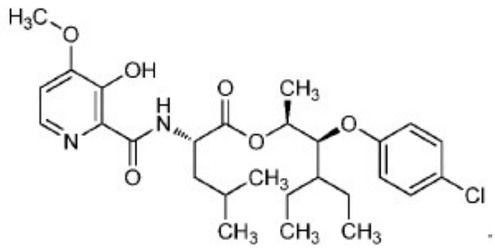
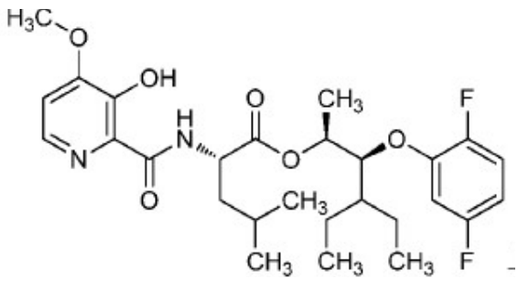
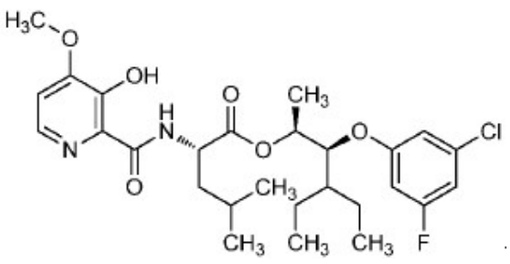
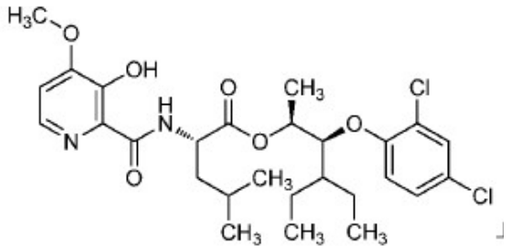
*Comp. No.	Estructura	Preparado de acuerdo con el Ejemplo:	Apariencia
407		Ejemplo 14A, Paso 2	Aceite incoloro
408		Ejemplo 14A, Paso 2	Aceite incoloro
409		Ejemplo 14A, Paso 2	Aceite incoloro
410		Ejemplo 14A, Paso 2	Aceite incoloro
411		Ejemplo 14A, Paso 2	Aceite incoloro

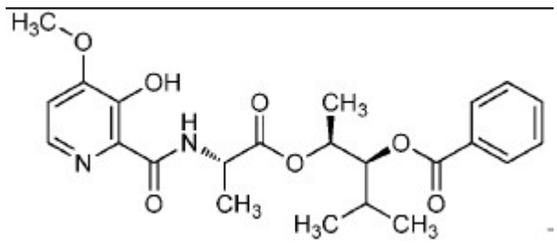
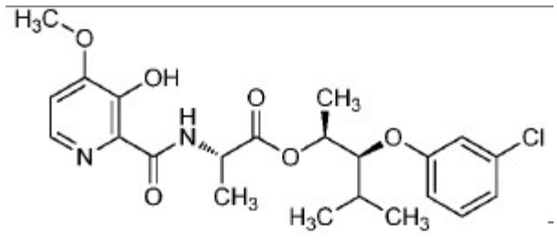
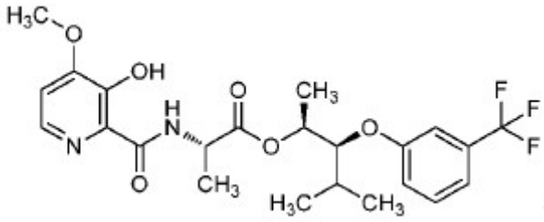
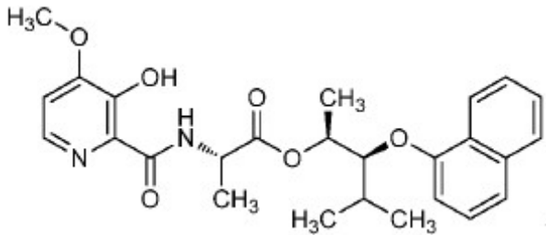
*Comp. No.	Estructura	Preparado de acuerdo con el Ejemplo:	Apariencia
412		Ejemplo 14A, Paso 2	Aceite incoloro
413		Ejemplo 14A, Paso 2	Aceite incoloro
414		Ejemplo 14A, Paso 2	Aceite incoloro
415		Ejemplo 14A, Paso 2	Aceite claro

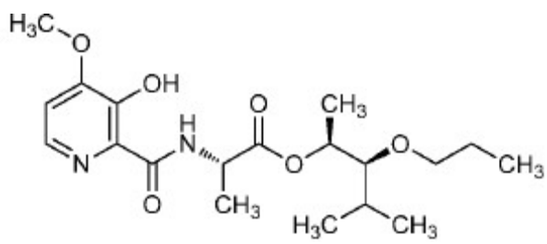
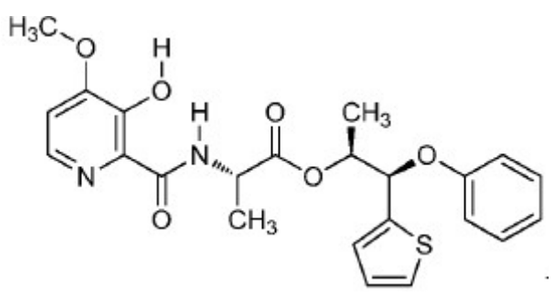
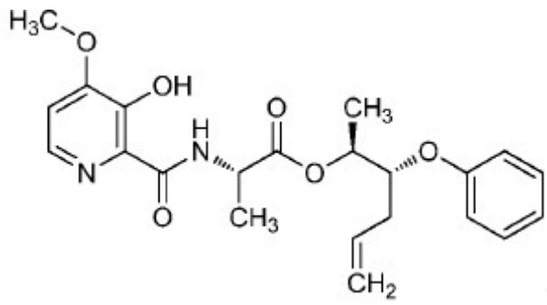
*Comp. No.	Estructura	Preparado de acuerdo con el Ejemplo:	Apariencia
416		Ejemplo 3; Ejemplo 4B; Ejemplo 8C; Ejemplo 12A; Ejemplo 14A, Pasos 1, 2	Aceite incoloro
417		Ejemplo 14A, Paso 2	Aceite incoloro
418		Ejemplo 14A, Paso 2	Vidrio incoloro

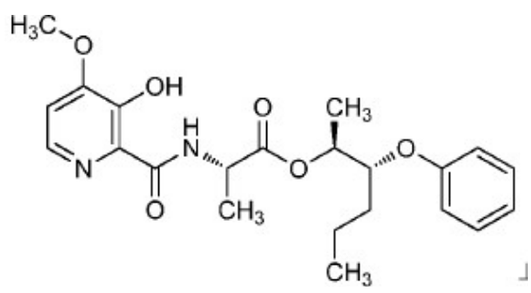
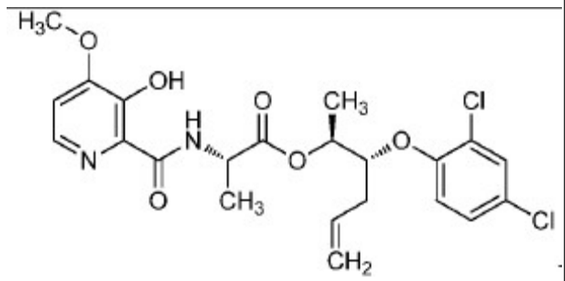
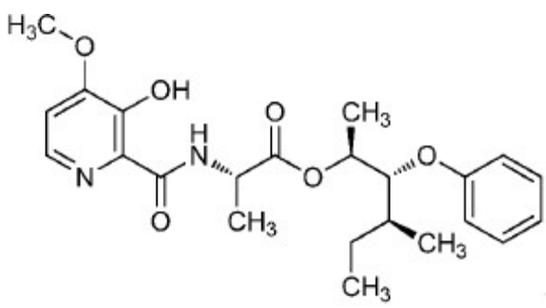
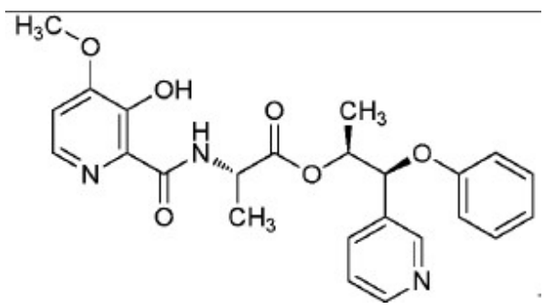
*Comp. No.	Estructura	Preparado de acuerdo con el Ejemplo:	Apariencia
419		Ejemplo 14A, Paso 2	Aceite incoloro
420		Ejemplo 14A, Paso 2	Aceite incoloro
421		Ejemplo 14A, Paso 2	Aceite incoloro

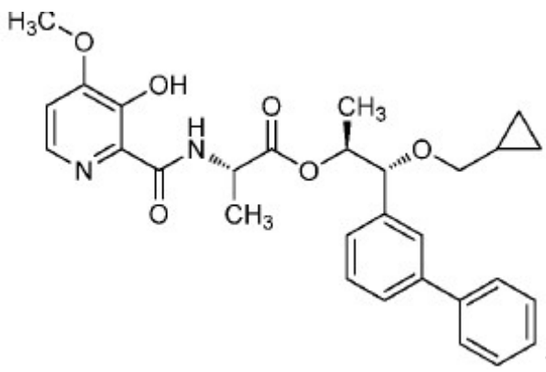
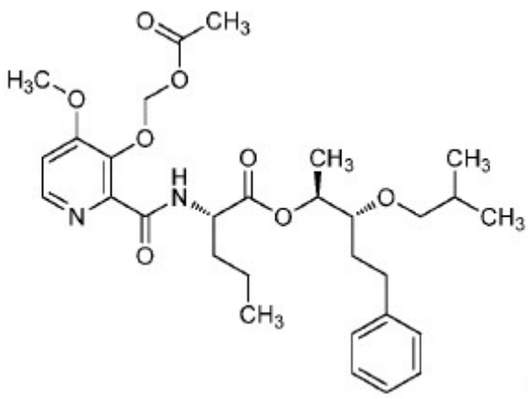
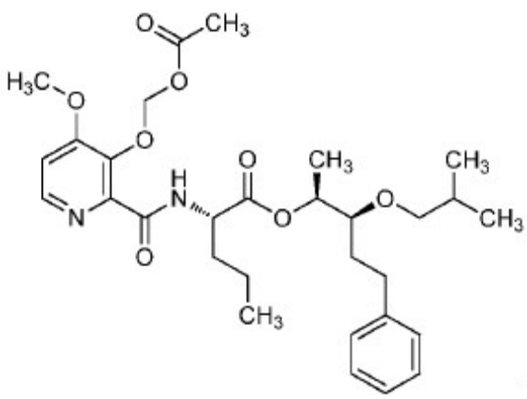
*Comp. No.	Estructura	Preparado de acuerdo con el Ejemplo:	Apariencia
422		Ejemplo 14A, Paso 2	Aceite incoloro
423		Ejemplo 14A, Paso 2	Aceite incoloro
424		Ejemplo 14A, Paso 2	Vidrio incoloro
425		Ejemplo 14A, Paso 2	Aceite claro

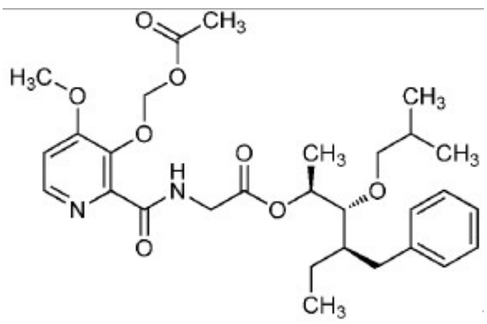
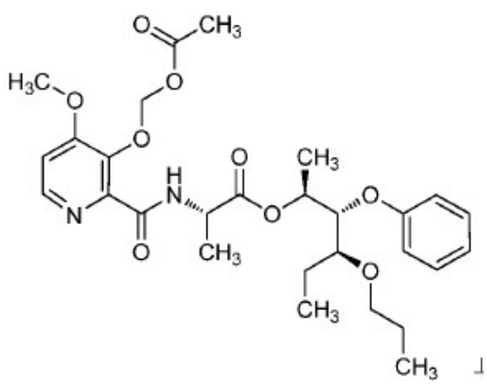
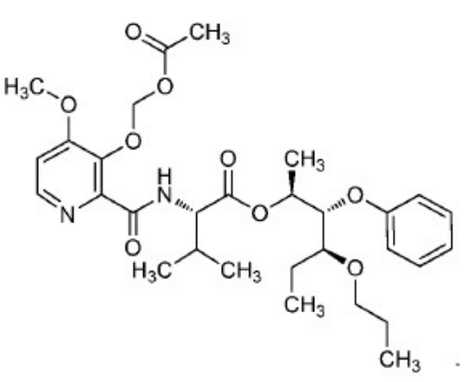
*Comp. No.	Estructura	Preparado de acuerdo con el Ejemplo:	Apariencia
426		Ejemplo 14A, Paso 2	Aceite incoloro
427		Ejemplo 14A, Paso 2	Aceite incoloro
428		Ejemplo 14A, Paso 2	Espuma blanca
429		Ejemplo 14A, Paso 2	Aceite incoloro
430		Ejemplo 14A, Paso 2	Aceite incoloro

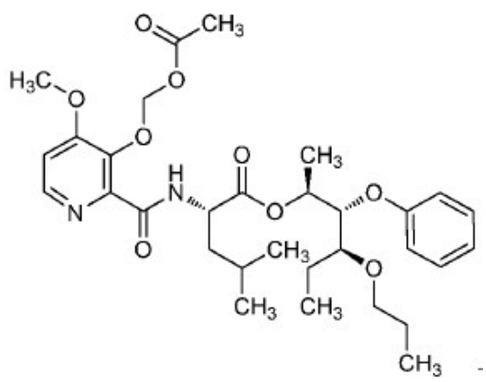
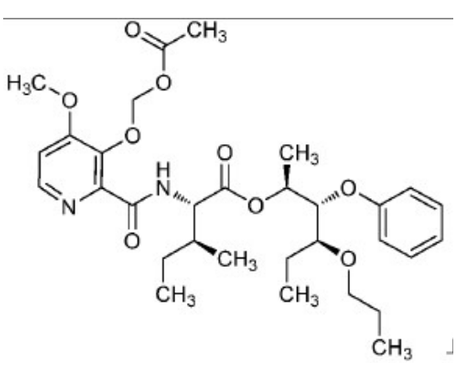
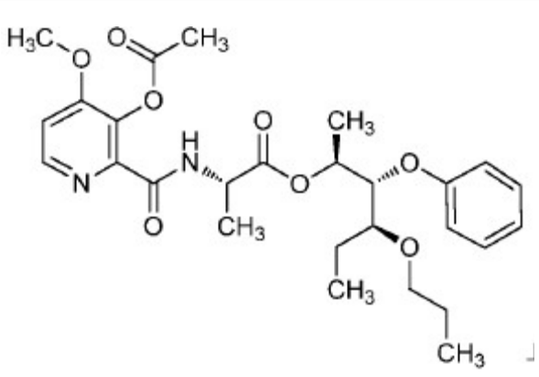
*Comp. No.	Estructura	Preparado de acuerdo con el Ejemplo:	Apariencia
431		Ejemplo 14A, Paso 2	Sólido blanco
432		Ejemplo 14A, Paso 2	Sólido blanco
433		Ejemplo 14A, Paso 2	Sólido blanco
434		Ejemplo 14A, Paso 2	Sólido blanco

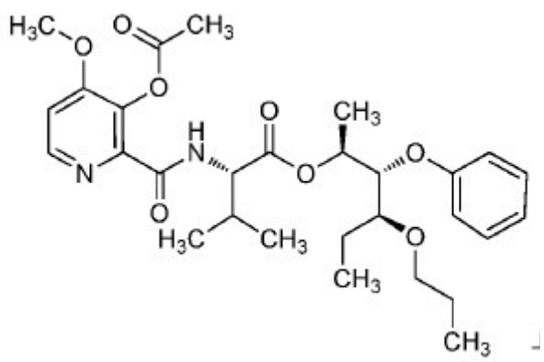
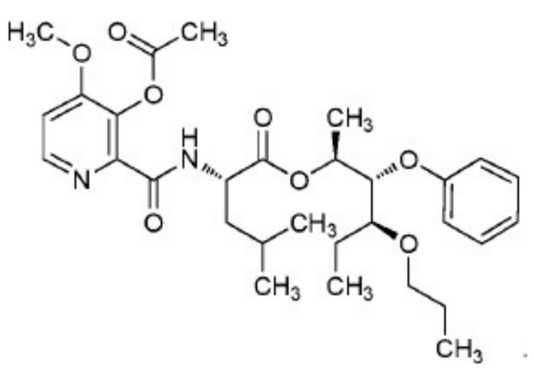
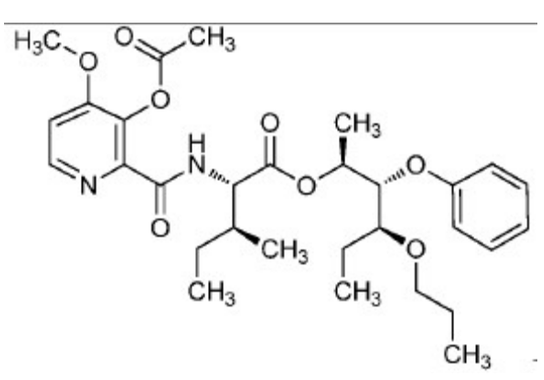
*Comp. No.	Estructura	Preparado de acuerdo con el Ejemplo:	Apariencia
435		Ejemplo 14A, Paso 2	Sólido blanco
436		Ejemplo 14A, Paso 2	Aceite incoloro
437		Ejemplo 14B, Paso 2	Aceite claro, incoloro

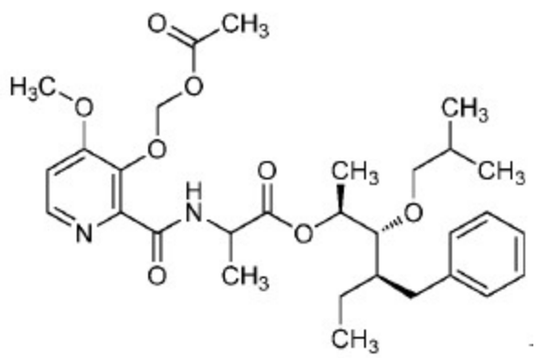
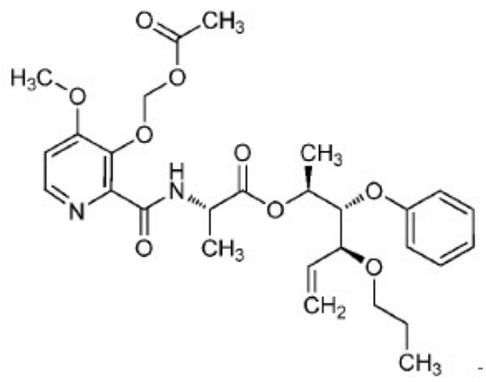
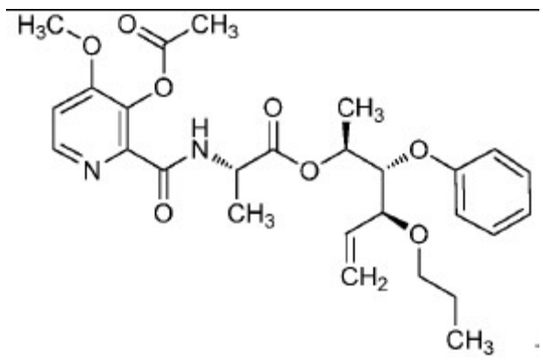
*Comp. No.	Estructura	Preparado de acuerdo con el Ejemplo:	Apariencia
438		Ejemplo 14A, Paso 2	Aceite claro, incoloro
439		Ejemplo 14B, Paso 2	Aceite claro, incoloro
440		Ejemplo 8B	Aceite espeso claro
441		Ejemplo 14A, Pasos 1, 2	Aceite incoloro

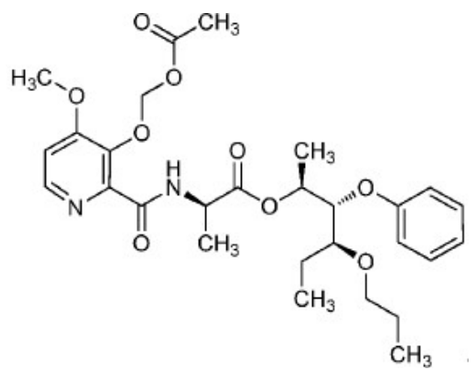
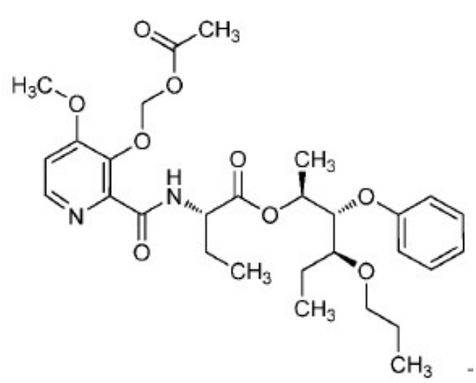
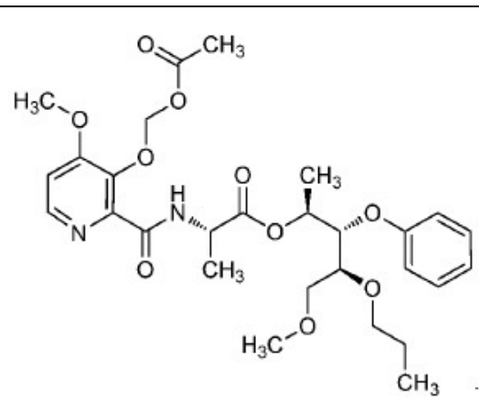
*Comp. No.	Estructura	Preparado de acuerdo con el Ejemplo:	Apariencia
442		Ejemplo 14A, Paso 2	Aceite incoloro
443		Ejemplo 16B	Aceite incoloro
444		Ejemplo 16B	Aceite incoloro

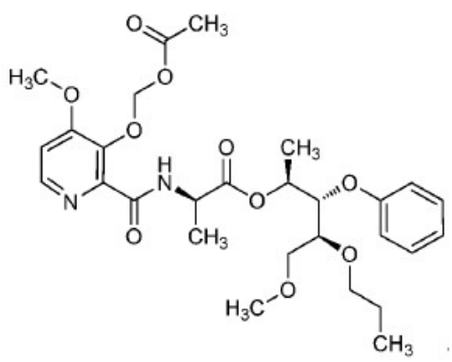
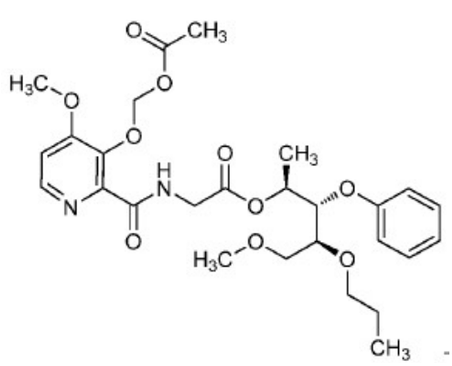
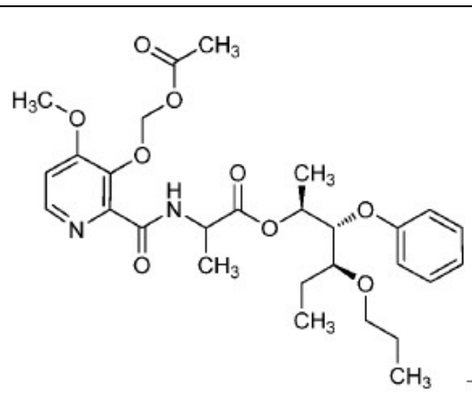
*Comp. No.	Estructura	Preparado de acuerdo con el Ejemplo:	Apariencia
445		Ejemplo 16B	Aceite incoloro
446		Ejemplo 16B	Aceite incoloro
447		Ejemplo 16B	Aceite incoloro

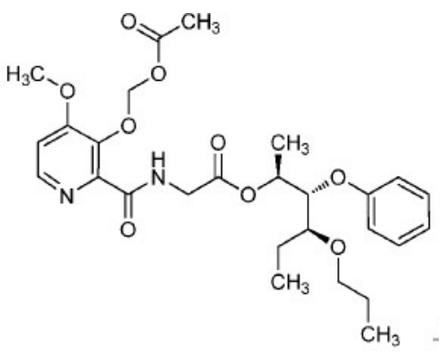
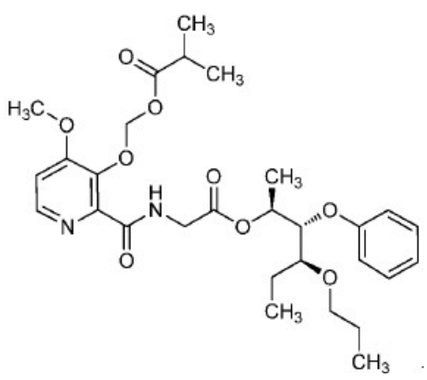
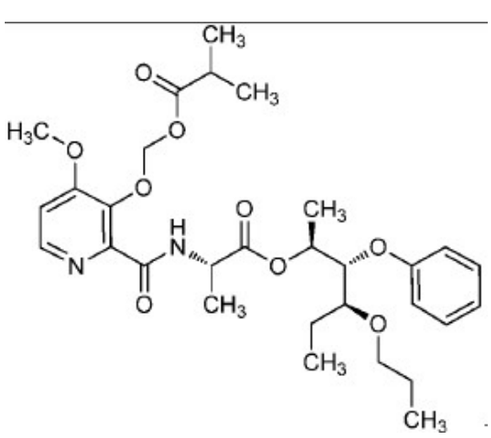
*Comp. No.	Estructura	Preparado de acuerdo con el Ejemplo:	Apariencia
448		Ejemplo 16B	Aceite incoloro
449		Ejemplo 16B	Aceite incoloro
450		Ejemplo 16A	Aceite amarillo pálido

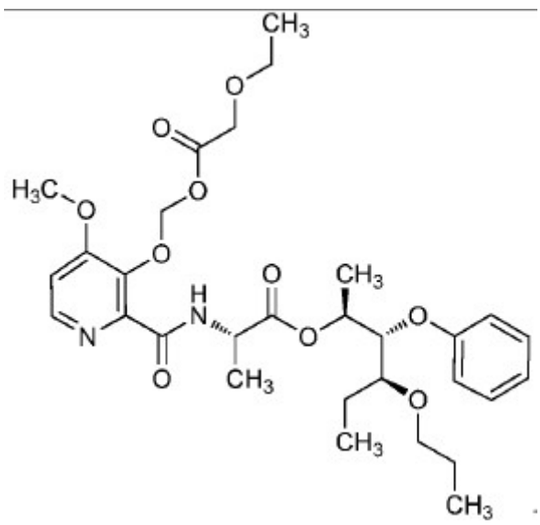
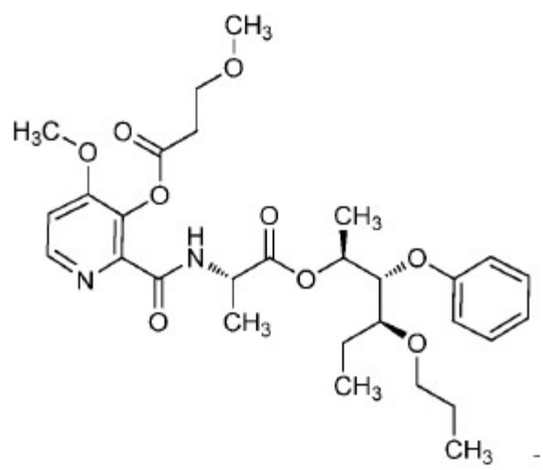
*Comp. No.	Estructura	Preparado de acuerdo con el Ejemplo:	Apariencia
451		Ejemplo 16A	Aceite amarillo pálido
452		Ejemplo 16A	Aceite amarillo pálido
453		Ejemplo 16A	Aceite amarillo pálido

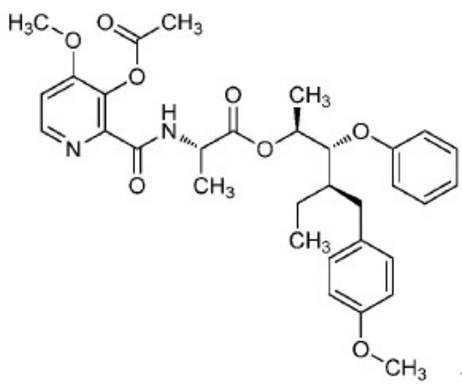
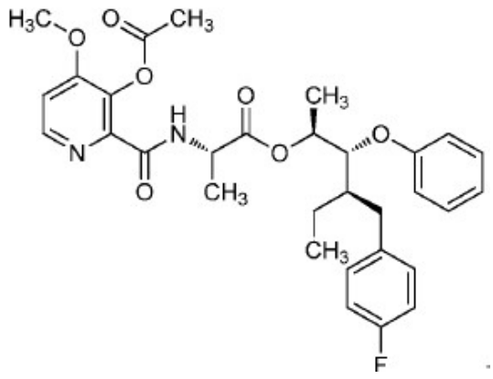
*Comp. No.	Estructura	Preparado de acuerdo con el Ejemplo:	Apariencia
454		Ejemplo 16B	Aceite amarillo claro
455		Ejemplo 16B	Aceite amarillo pálido
456		Ejemplo 16A	Aceite amarillo pálido

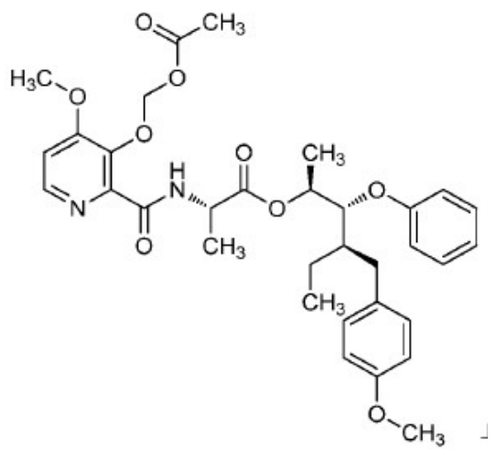
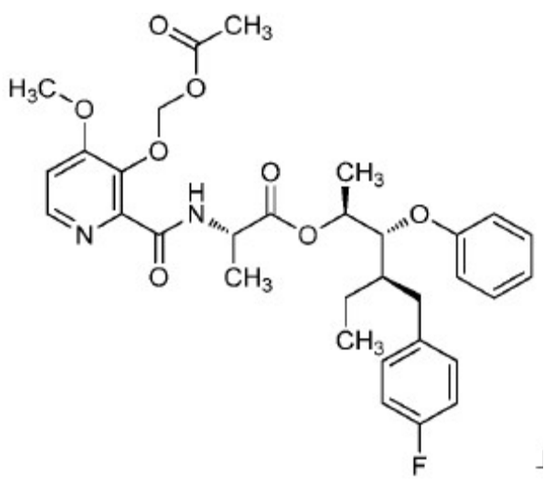
*Comp. No.	Estructura	Preparado de acuerdo con el Ejemplo:	Apariencia
457		Ejemplo 16B	Aceite incoloro
458		Ejemplo 16B	Aceite incoloro
459		Ejemplo 16B	Aceite incoloro

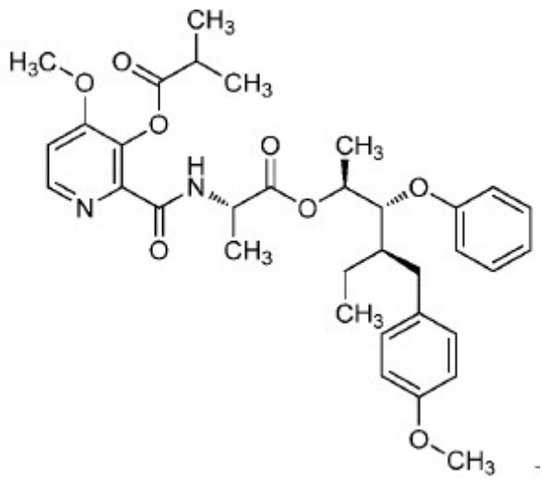
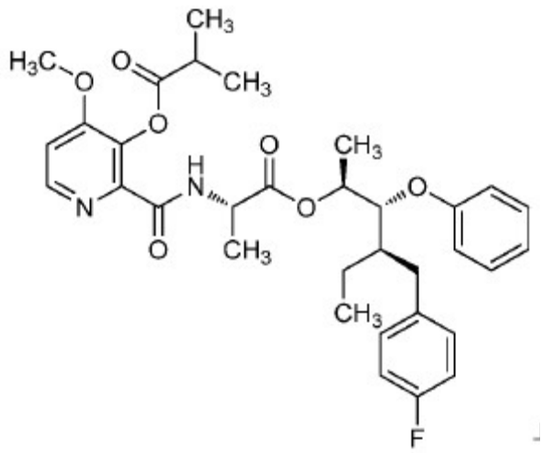
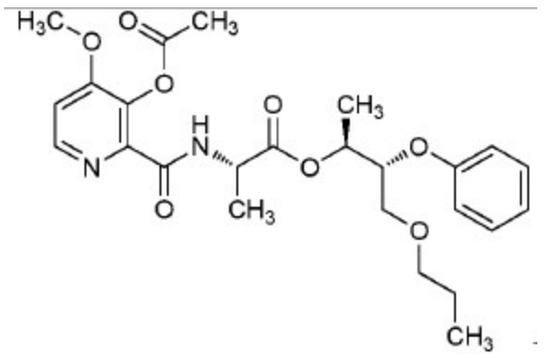
*Comp. No.	Estructura	Preparado de acuerdo con el Ejemplo:	Apariencia
460		Ejemplo 16B	Aceite incoloro
461		Ejemplo 16B	Aceite incoloro
462		Ejemplo 16B	Aceite incoloro

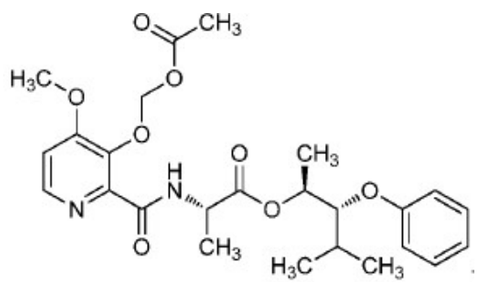
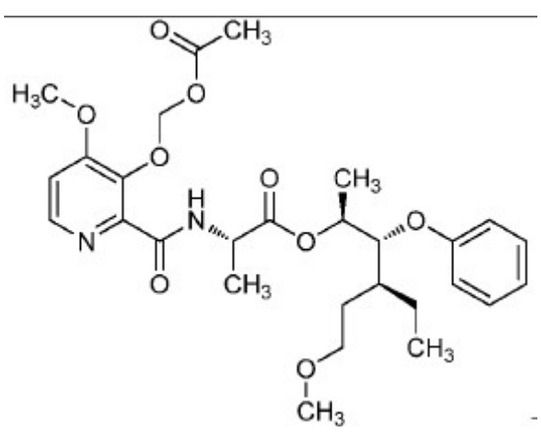
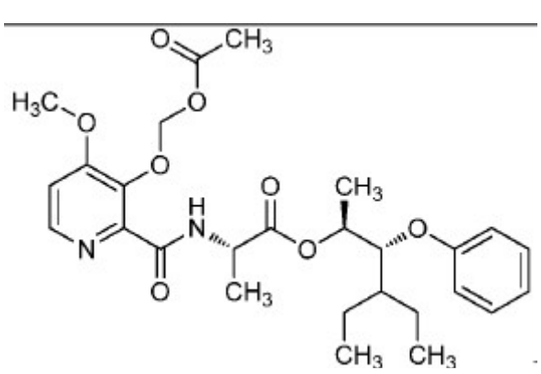
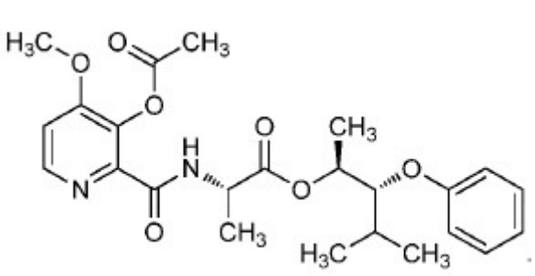
*Comp. No.	Estructura	Preparado de acuerdo con el Ejemplo:	Apariencia
463		Ejemplo 16B	Aceite incoloro
464		Ejemplo 16C	Aceite incoloro
465		Ejemplo 16C	Aceite incoloro

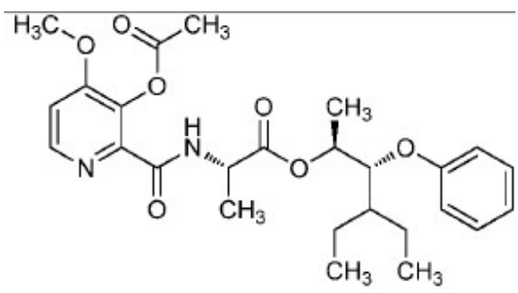
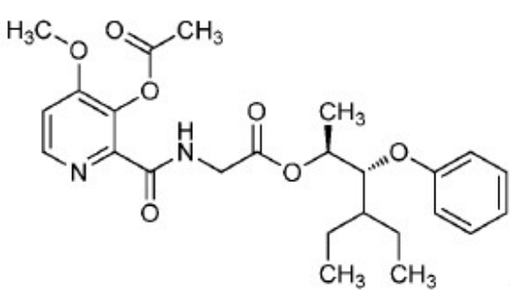
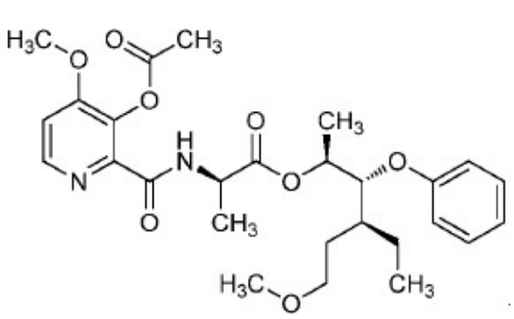
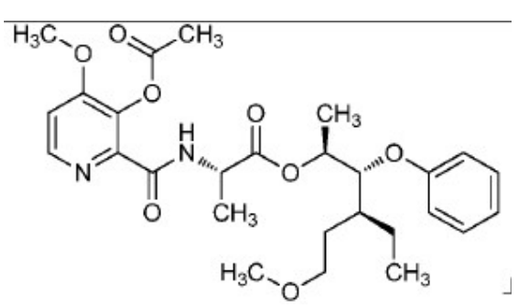
*Comp. No.	Estructura	Preparado de acuerdo con el Ejemplo:	Apariencia
466		Ejemplo 16C	Aceite amarillo pálido
467		Ejemplo 16A	Aceite amarillo pálido

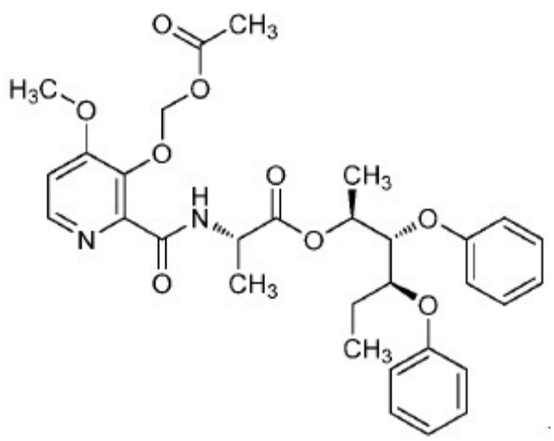
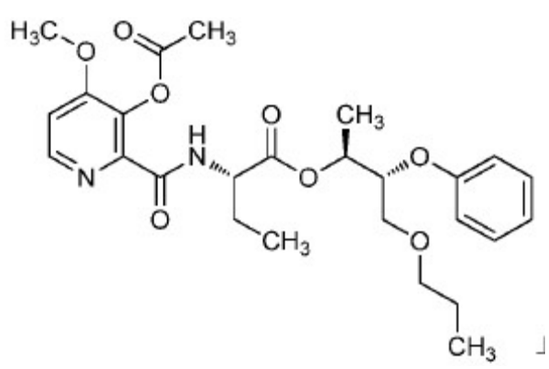
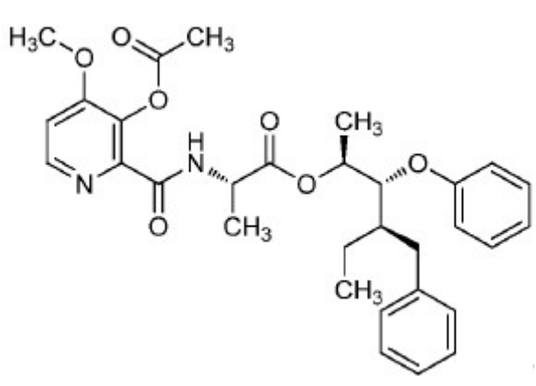
*Comp. No.	Estructura	Preparado de acuerdo con el Ejemplo:	Apariencia
468		Ejemplo 16A	Espuma blanca dura
469		Ejemplo 16A	Espuma blanca dura

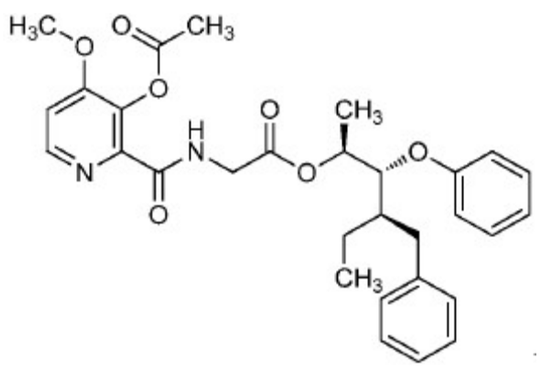
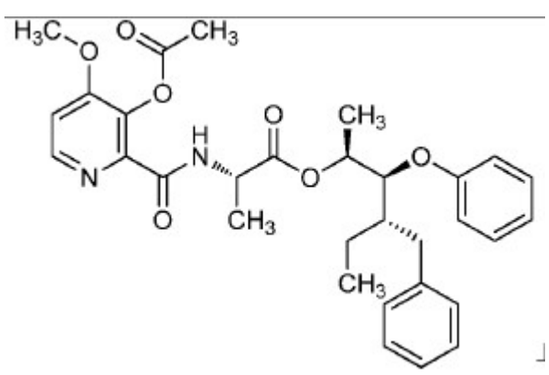
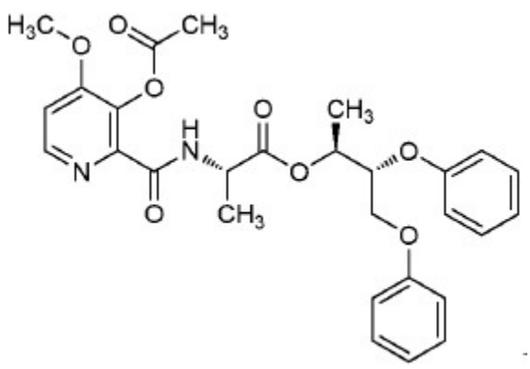
*Comp. No.	Estructura	Preparado de acuerdo con el Ejemplo:	Apariencia
470		Ejemplo 16B	Sólido pegajoso amarillo
471		Ejemplo 16B	Aceite amarillo

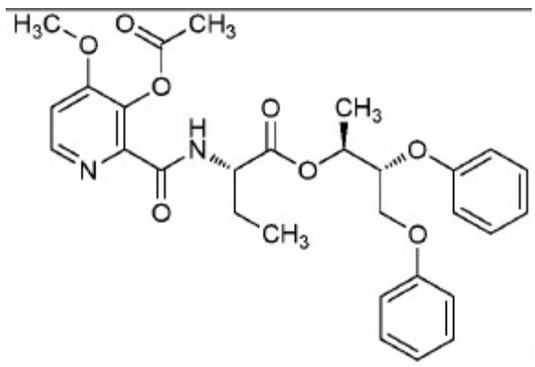
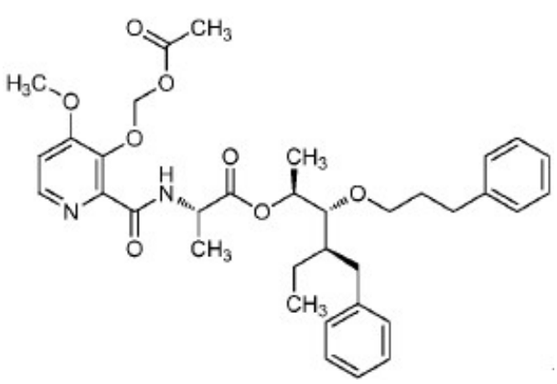
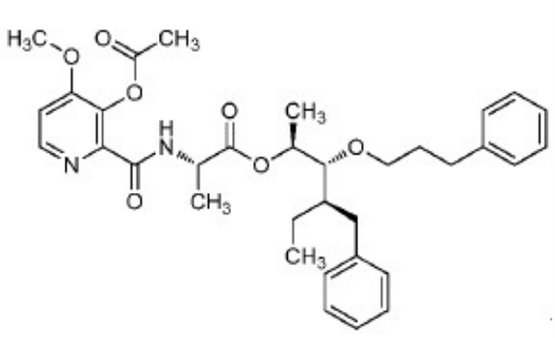
*Comp. No.	Estructura	Preparado de acuerdo con el Ejemplo:	Apariencia
472		Ejemplo 16A	Sólido blanco
473		Ejemplo 16A	Sólido blanco
474		Ejemplo 16A	Aceite ligeramente amarillo

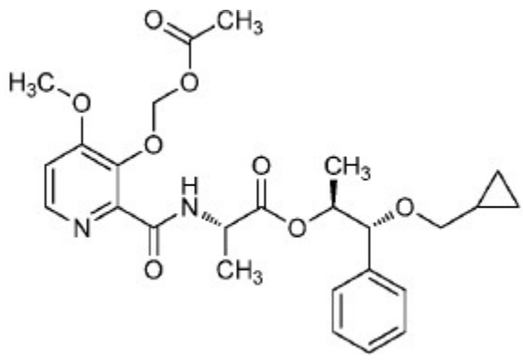
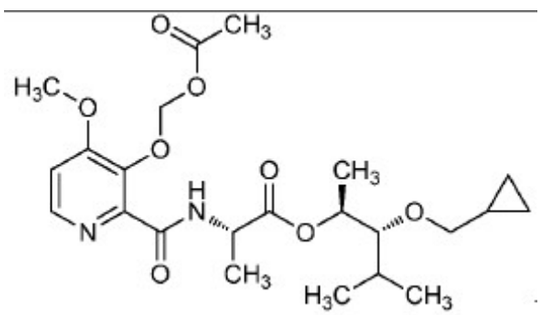
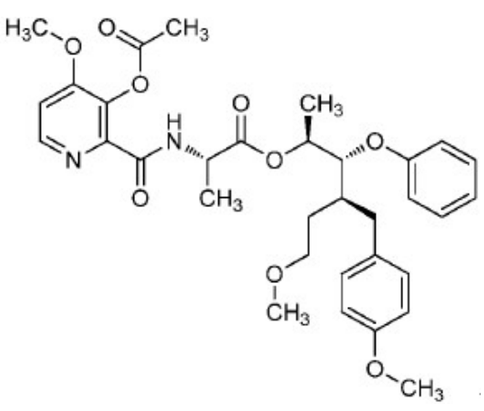
*Comp. No.	Estructura	Preparado de acuerdo con el Ejemplo:	Apariencia
475		Ejemplo 16B	Semi-sólido amarillo claro
476		Ejemplo 16B	Aceite incoloro
477		Ejemplo 16B	Aceite amarillo
478		Ejemplo 16A	Sólido blanco

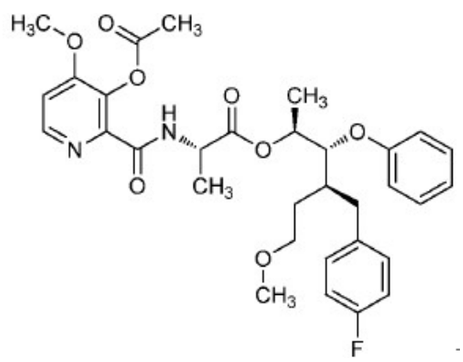
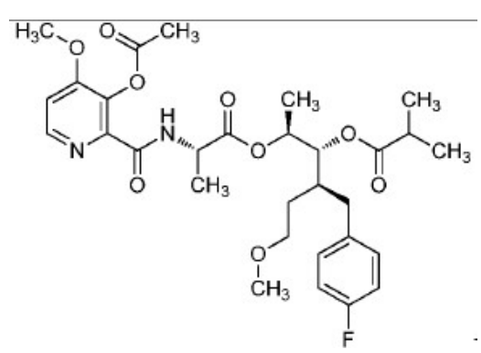
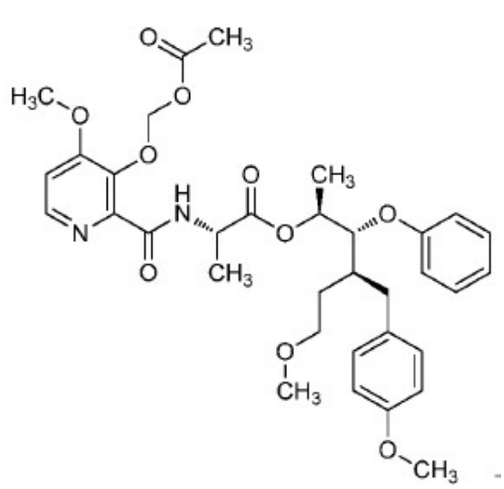
*Comp. No.	Estructura	Preparado de acuerdo con el Ejemplo:	Apariencia
479		Ejemplo 16A	Aceite amarillo
480		Ejemplo 16A	Aceite incoloro
481		Ejemplo 16A	Aceite amarillo
482		Ejemplo 16A	Aceite incoloro

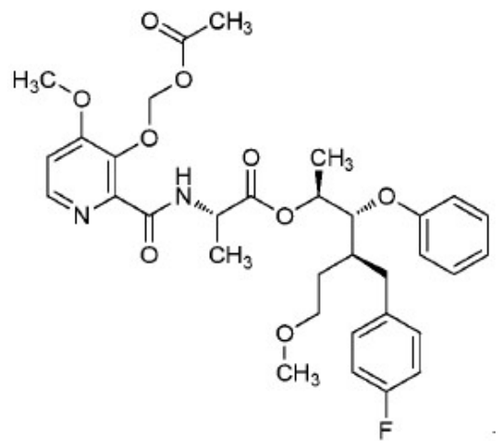
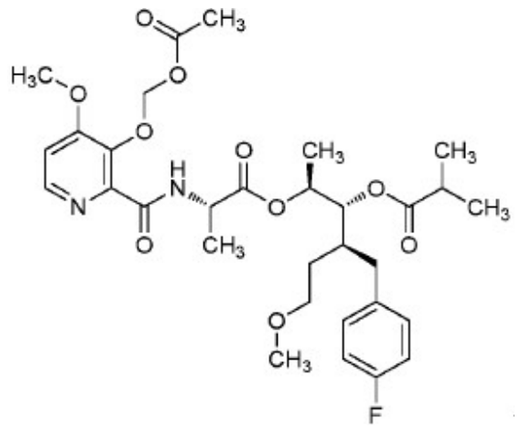
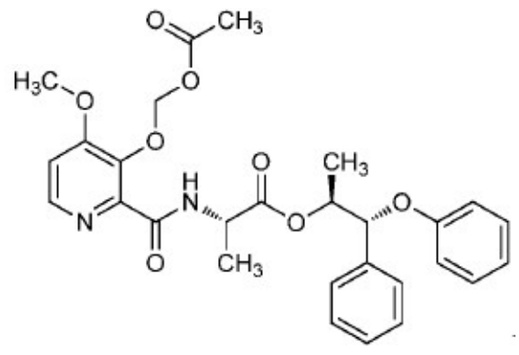
*Comp. No.	Estructura	Preparado de acuerdo con el Ejemplo:	Apariencia
483		Ejemplo 16B	Espuma blanca
484		Ejemplo 16A	Aceite incoloro
485		Ejemplo 16A	Espuma grisácea

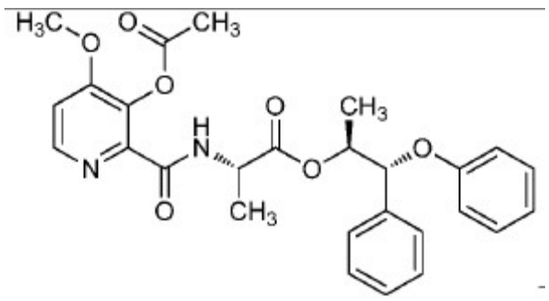
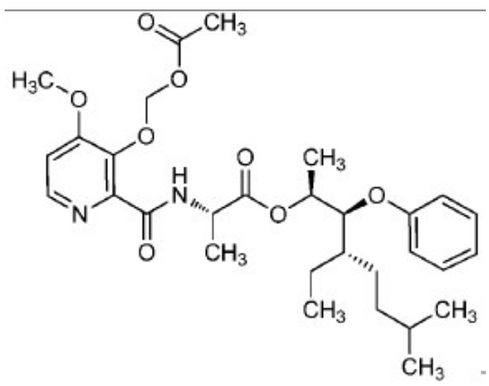
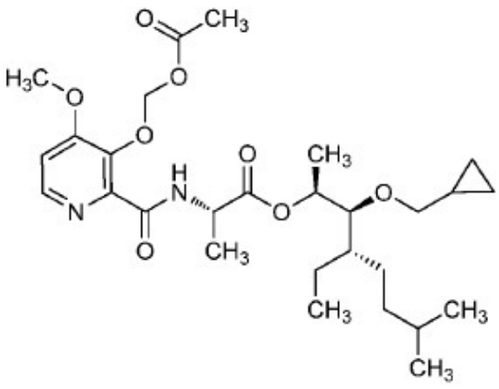
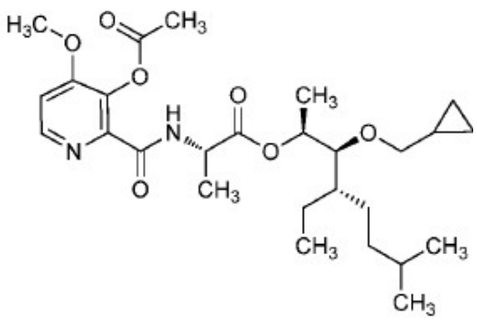
*Comp. No.	Estructura	Preparado de acuerdo con el Ejemplo:	Apariencia
486		Ejemplo 16A	Aceite naranja
487		Ejemplo 16A	Espuma grisácea
488		Ejemplo 16A	Polvo blanco higroscópico

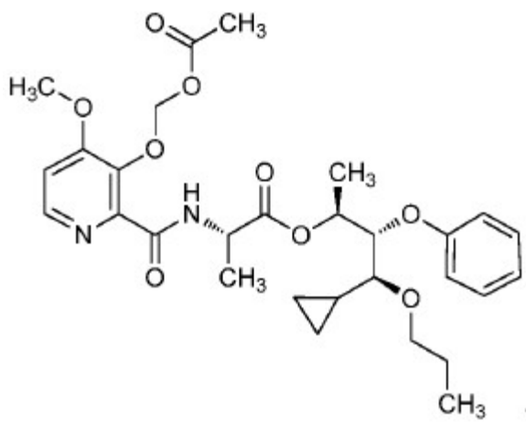
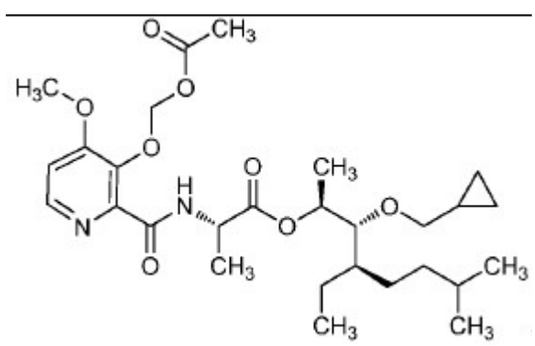
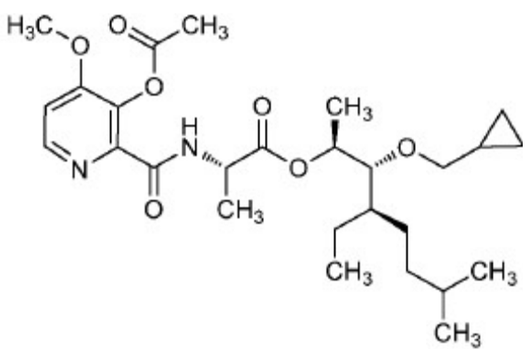
*Comp. No.	Estructura	Preparado de acuerdo con el Ejemplo:	Apariencia
489		Ejemplo 16A	Polvo blanco higroscópico
490		Ejemplo 16B	Aceite amarillo claro
491		Ejemplo 16A	Aceite amarillo claro

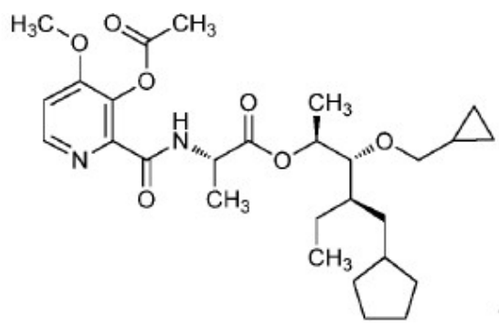
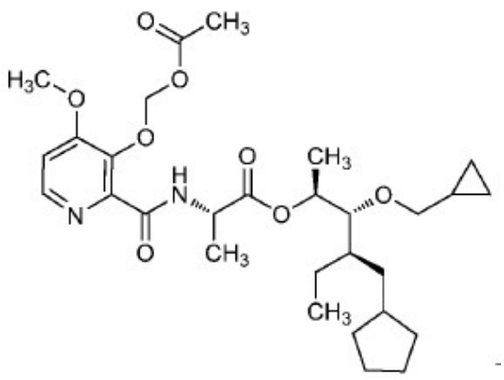
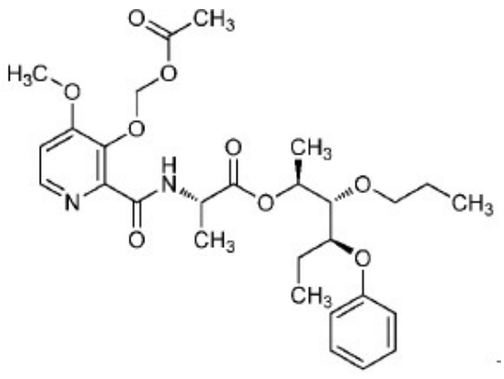
*Comp. No.	Estructura	Preparado de acuerdo con el Ejemplo:	Apariencia
492		Ejemplo 16B	Semi-sólido amarillo claro
493		Ejemplo 16B	Semi-sólido incoloro
494		Ejemplo 16A	Sólido blanco

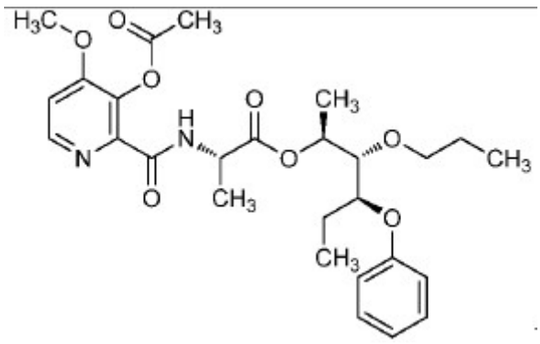
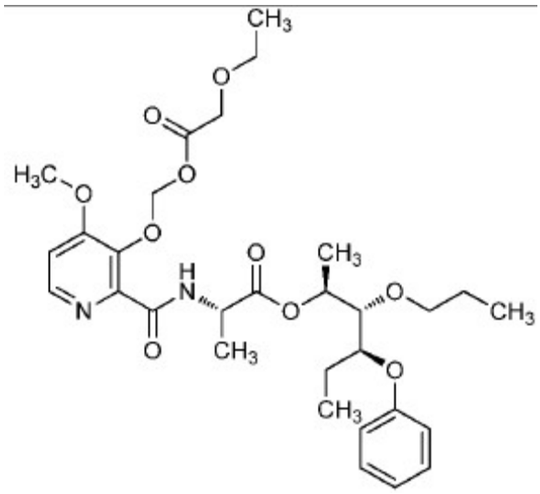
*Comp. No.	Estructura	Preparado de acuerdo con el Ejemplo:	Apariencia
495		Ejemplo 16A	Sólido blanco
496		Ejemplo 16A	Aceite incoloro
497		Ejemplo 16B	Aceite amarillo

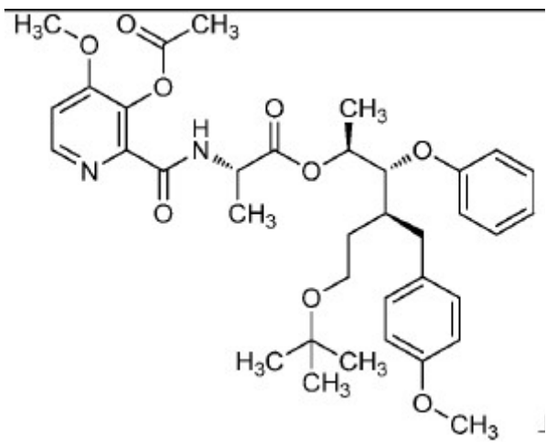
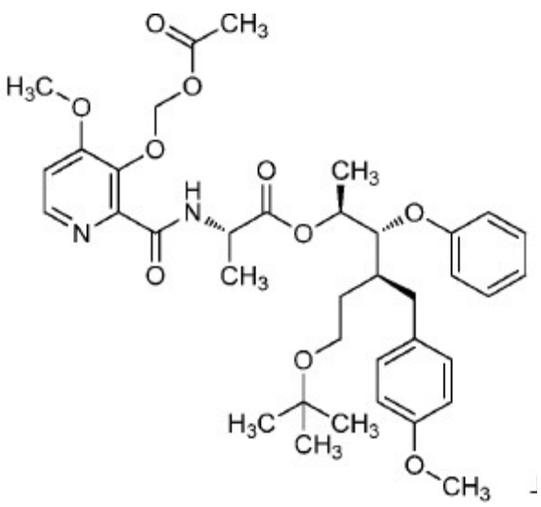
*Comp. No.	Estructura	Preparado de acuerdo con el Ejemplo:	Apariencia
498		Ejemplo 16B	Aceite amarillo
499		Ejemplo 16B	Aceite amarillo
500		Ejemplo 16B	Aceite amarillo

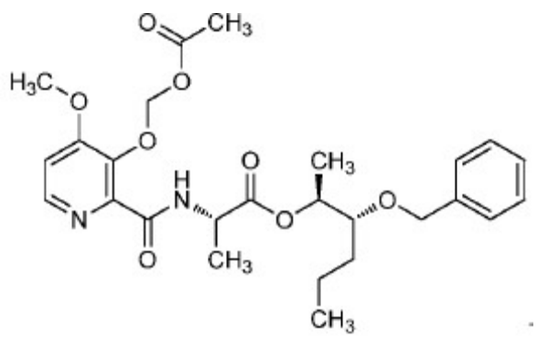
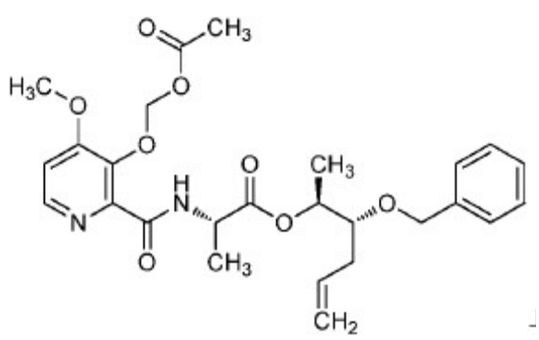
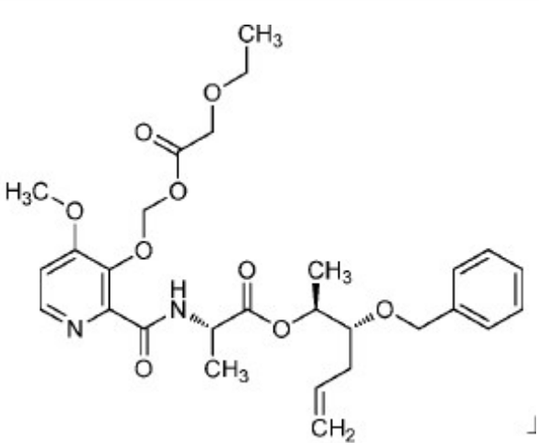
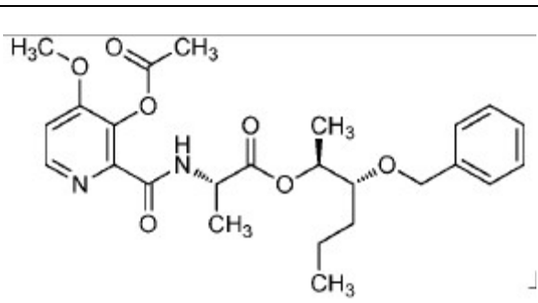
*Comp. No.	Estructura	Preparado de acuerdo con el Ejemplo:	Apariencia
501		Ejemplo 16A	Sólido blanco
502		Ejemplo 16B	Aceite incoloro
503		Ejemplo 16B	Aceite incoloro
504		Ejemplo 16A	Aceite amarillo pálido

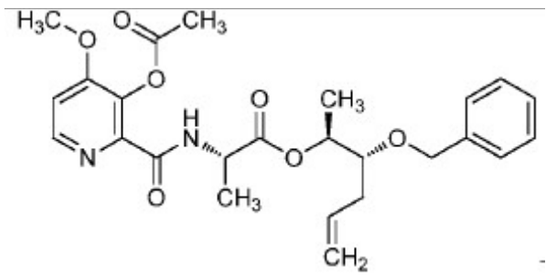
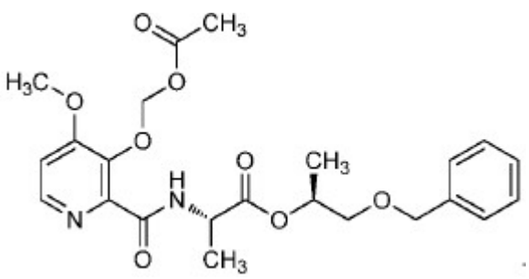
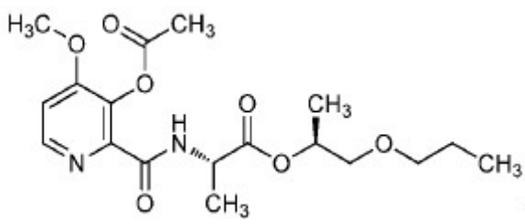
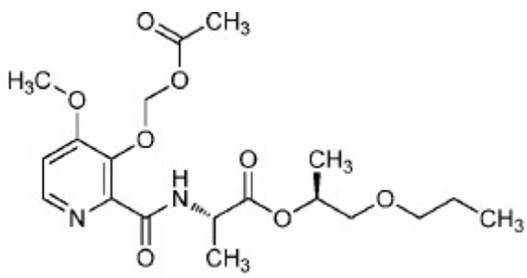
*Comp. No.	Estructura	Preparado de acuerdo con el Ejemplo:	Apariencia
505		Ejemplo 16B	Aceite incoloro
506		Ejemplo 16B	Aceite incoloro
507		Ejemplo 16A	Aceite incoloro

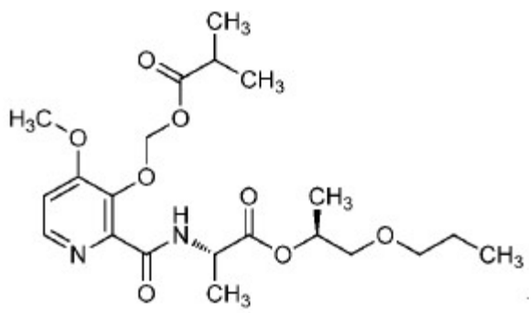
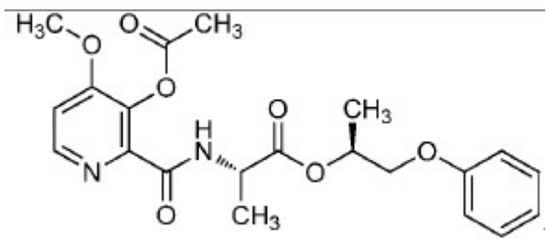
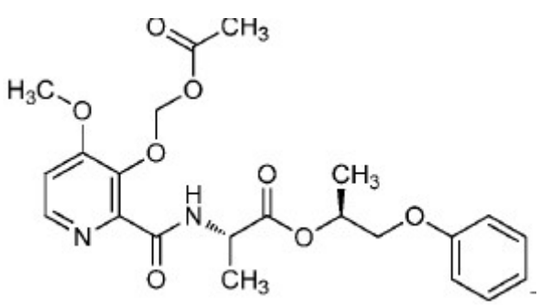
*Comp. No.	Estructura	Preparado de acuerdo con el Ejemplo:	Apariencia
508		Ejemplo 16A	Aceite pegajoso amarillo pálido
509		Ejemplo 16B	Aceite incoloro
510		Ejemplo 16B	Aceite amarillo claro

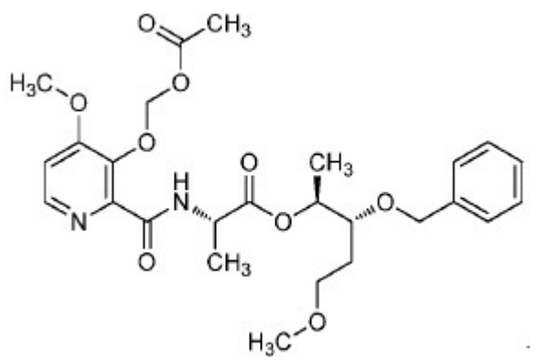
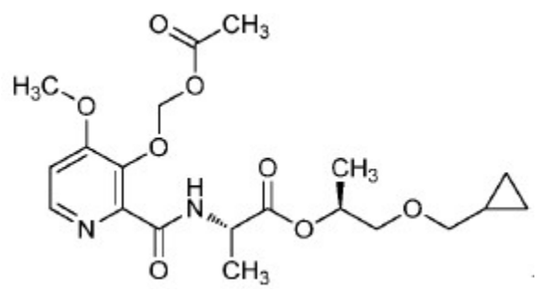
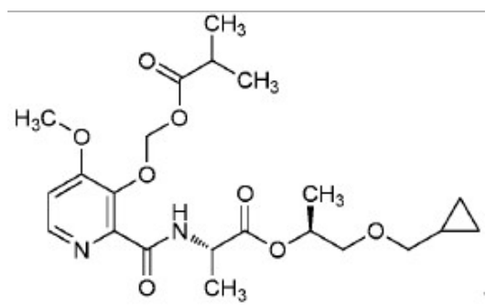
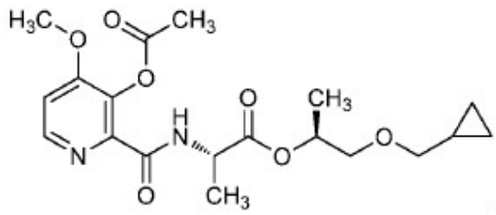
*Comp. No.	Estructura	Preparado de acuerdo con el Ejemplo:	Apariencia
511		Ejemplo 16A	Aceite amarillo claro
512		Ejemplo 16C	Aceite incoloro

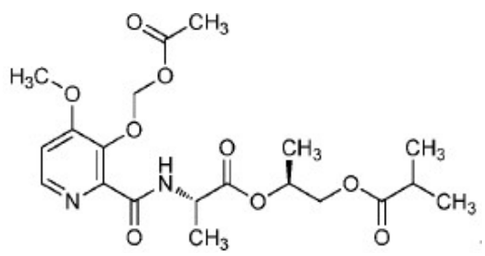
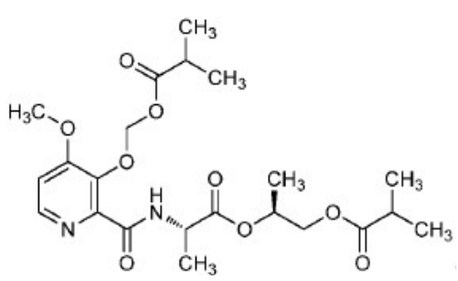
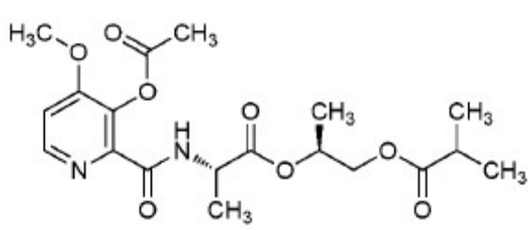
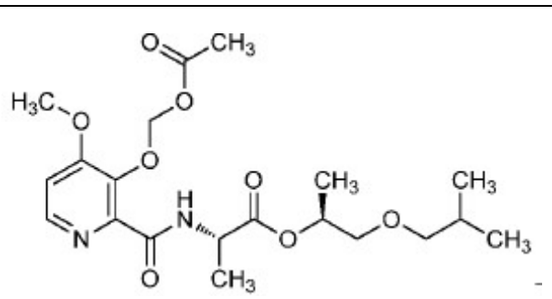
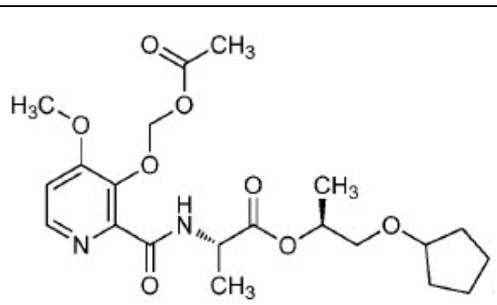
*Comp. No.	Estructura	Preparado de acuerdo con el Ejemplo:	Apariencia
513		Ejemplo 16A	Sólido blanco
514		Ejemplo 16B	Aceite amarillo

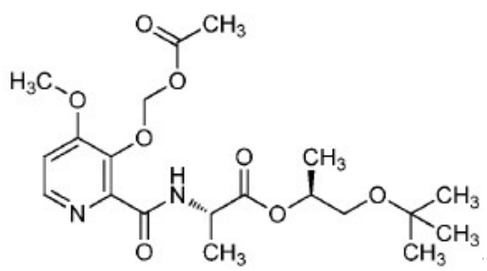
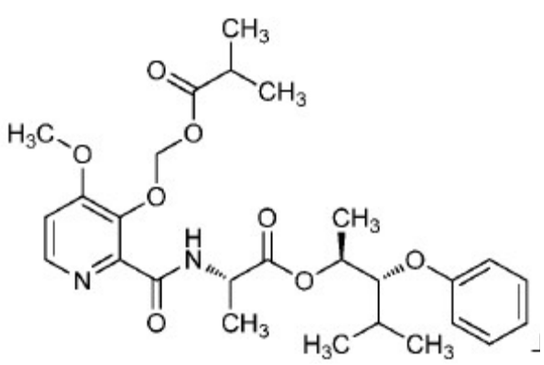
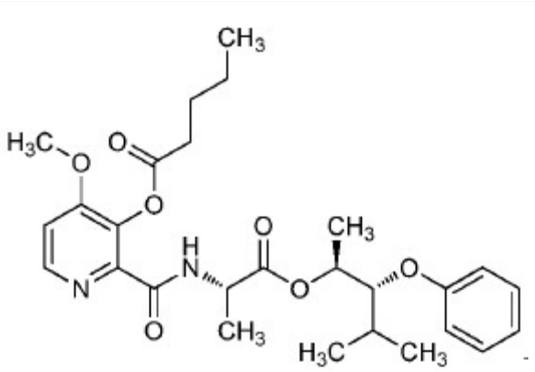
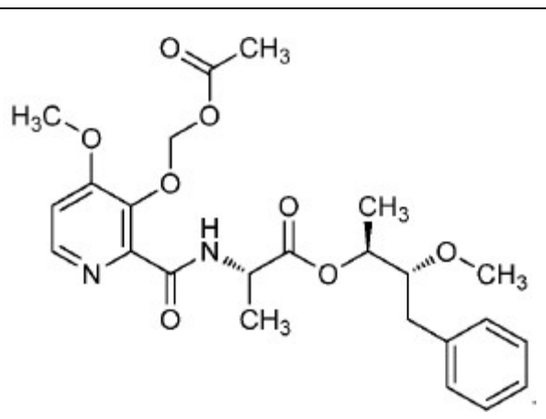
*Comp. No.	Estructura	Preparado de acuerdo con el Ejemplo:	Apariencia
515		Ejemplo 16B	Aceite claro, incoloro
516		Ejemplo 16B	Aceite claro, incoloro
517		Ejemplo 16C	Aceite claro, incoloro
518		Ejemplo 16A	Aceite amarillo

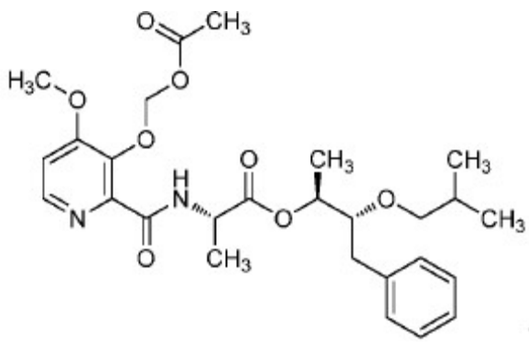
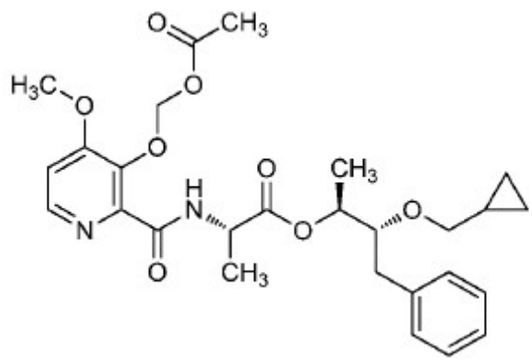
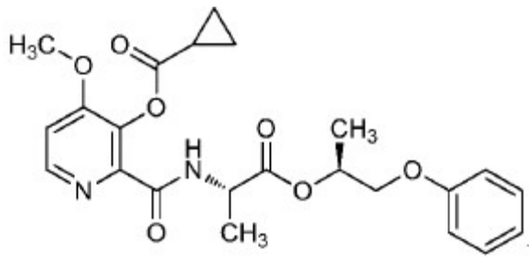
*Comp. No.	Estructura	Preparado de acuerdo con el Ejemplo:	Apariencia
519		Ejemplo 16A	Aceite amarillo
520		Ejemplo 16B	Aceite amarillo claro
521		Ejemplo 16A	Aceite incoloro
522		Ejemplo 16B	Aceite amarillo

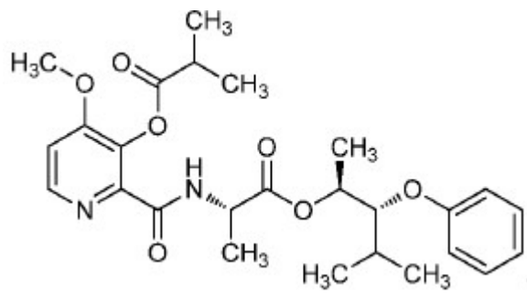
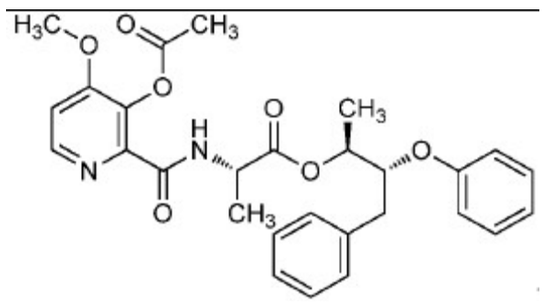
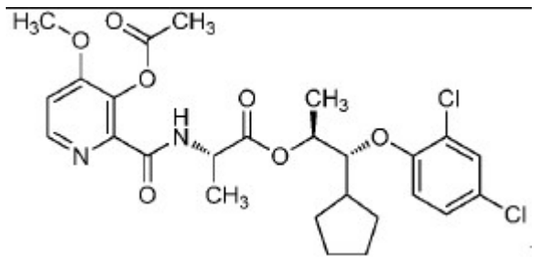
*Comp. No.	Estructura	Preparado de acuerdo con el Ejemplo:	Apariencia
523		Ejemplo 16C	Aceite incoloro
524		Ejemplo 16A	Aceite pegajoso
525		Ejemplo 16B	Aceite amarillo

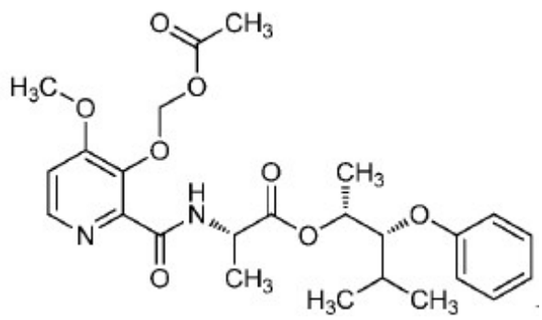
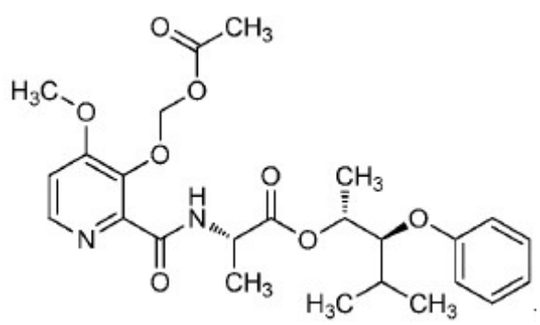
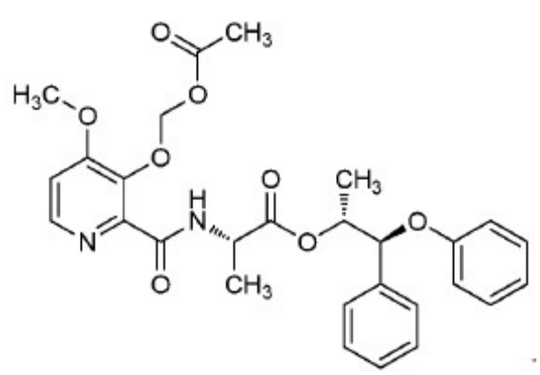
*Comp. No.	Estructura	Preparado de acuerdo con el Ejemplo:	Apariencia
526		Ejemplo 16B	Aceite amarillo pálido
527		Ejemplo 16B	Aceite amarillo
528		Ejemplo 16C	Aceite incoloro
529		Ejemplo 16A	Aceite incoloro

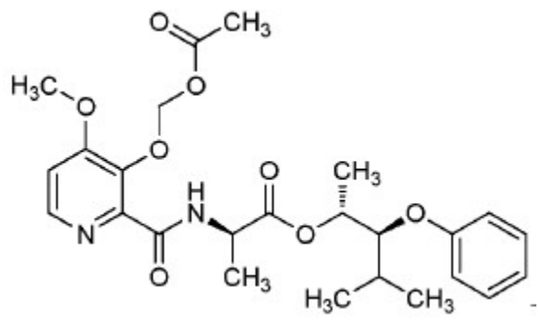
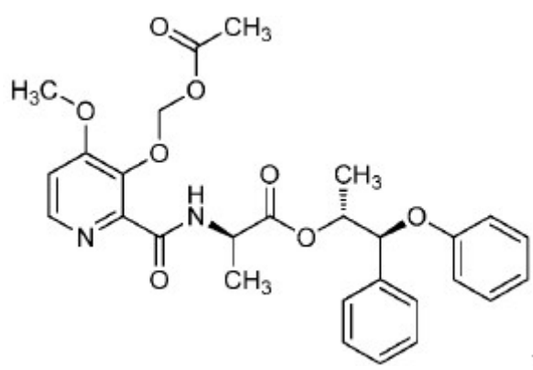
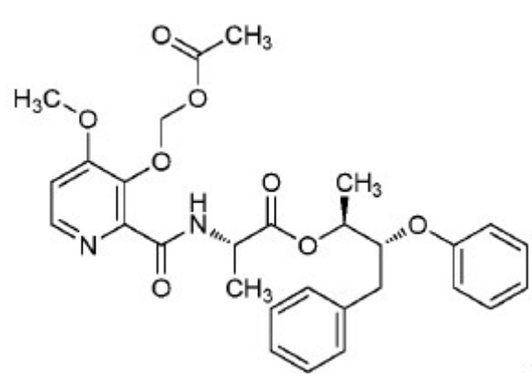
*Comp. No.	Estructura	Preparado de acuerdo con el Ejemplo:	Apariencia
530		Ejemplo 16B	Aceite amarillo
531		Ejemplo 16C	Aceite incoloro
532		Ejemplo 16A	Aceite incoloro
533		Ejemplo 16B	Aceite amarillo
534		Ejemplo 16B	Aceite amarillo

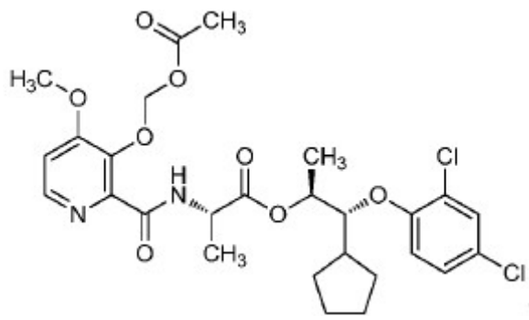
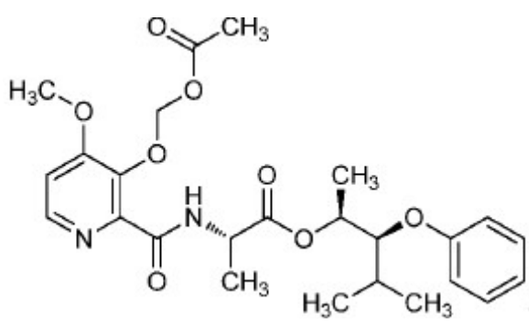
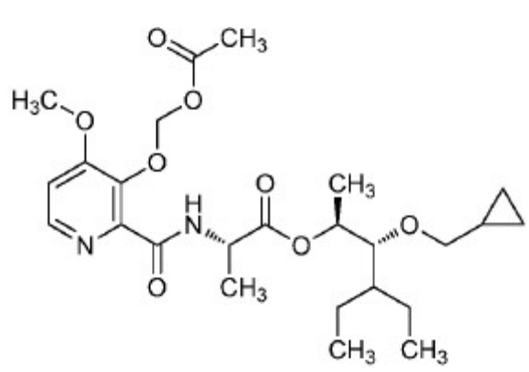
*Comp. No.	Estructura	Preparado de acuerdo con el Ejemplo:	Apariencia
535		Ejemplo 16B	Aceite amarillo
536		Ejemplo 16C	Aceite amarillo claro
537		Ejemplo 16A	Aceite amarillo claro
538		Ejemplo 16B	Aceite incoloro

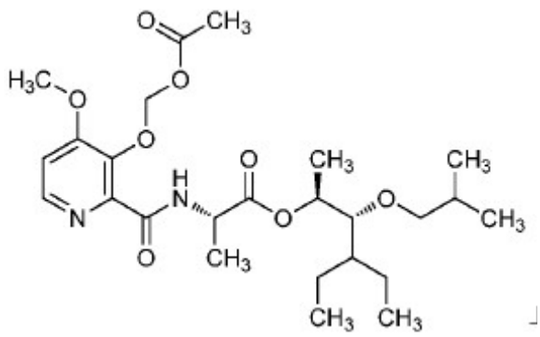
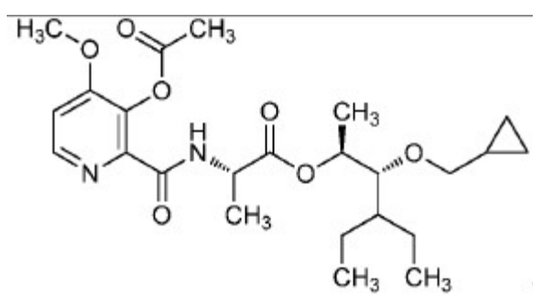
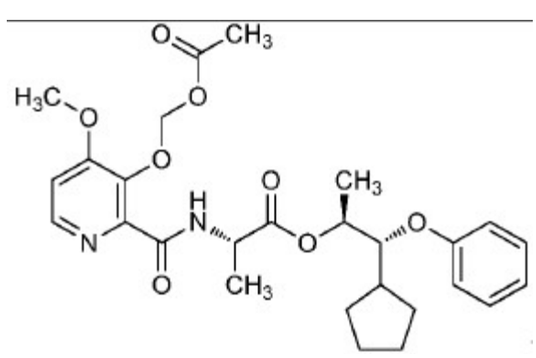
*Comp. No.	Estructura	Preparado de acuerdo con el Ejemplo:	Apariencia
539		Ejemplo 16B	Aceite incoloro
540		Ejemplo 16B	Aceite incoloro
541		Ejemplo 16A	Aceite pegajoso

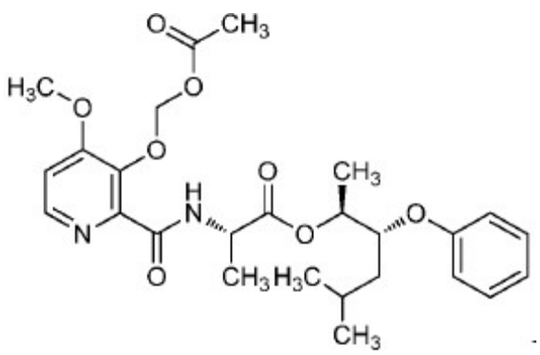
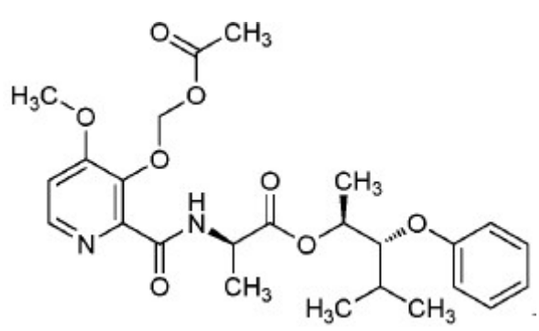
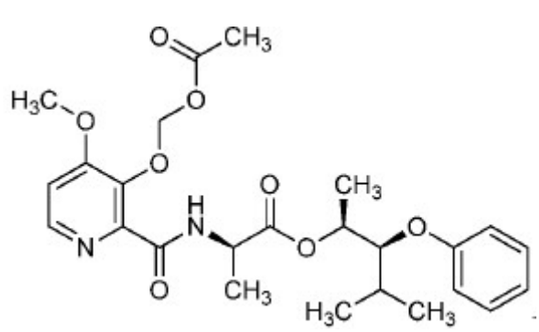
*Comp. No.	Estructura	Preparado de acuerdo con el Ejemplo:	Apariencia
542		Ejemplo 16A	Aceite amarillo claro
543		Ejemplo 16A	Sólido pegajoso
544		Ejemplo 16A	Sólido pegajoso

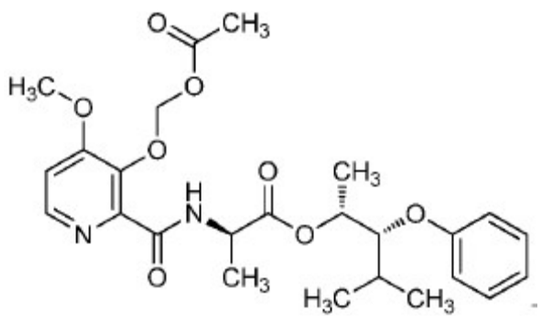
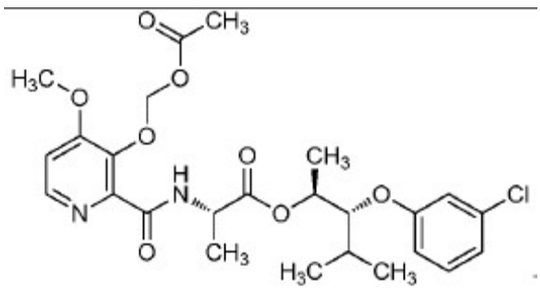
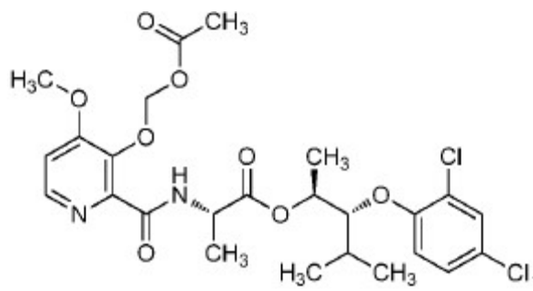
*Comp. No.	Estructura	Preparado de acuerdo con el Ejemplo:	Apariencia
545		Ejemplo 16B	Cera pegajosa
546		Ejemplo 16B	Cera pegajosa
547		Ejemplo 16B	Espuma blanca

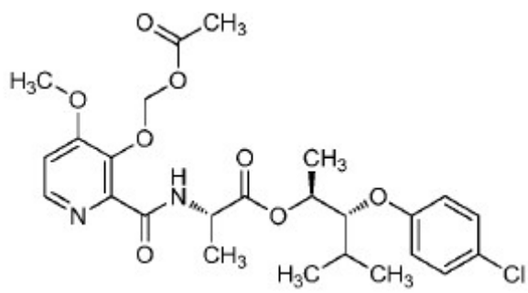
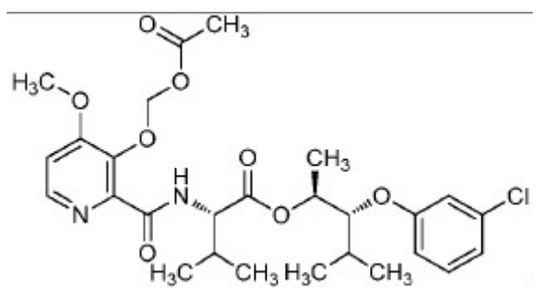
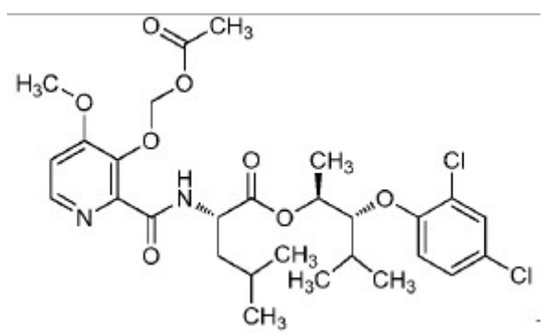
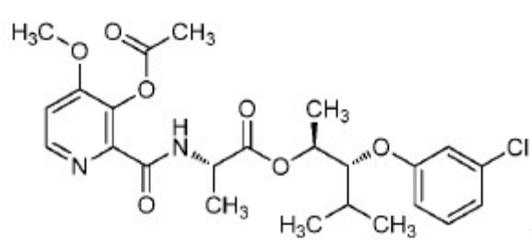
*Comp. No.	Estructura	Preparado de acuerdo con el Ejemplo:	Apariencia
548		Ejemplo 16B	Cera pegajosa
549		Ejemplo 16B	Espuma blanca
550		Ejemplo 16B	Aceite viscoso

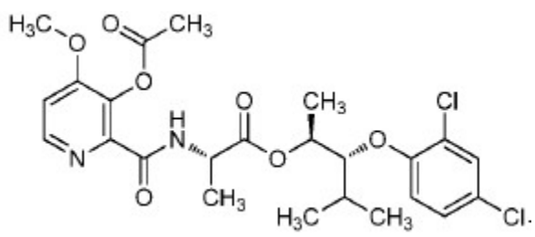
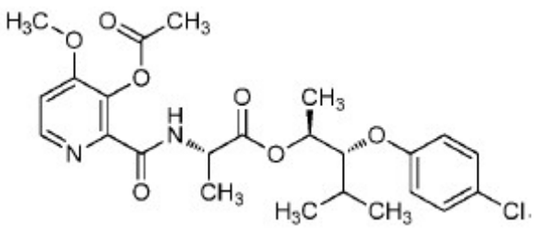
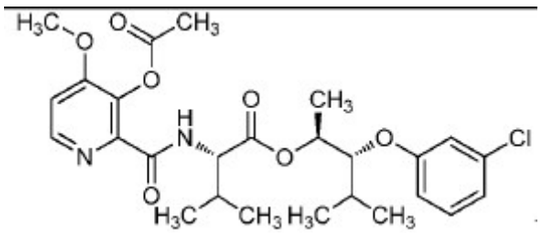
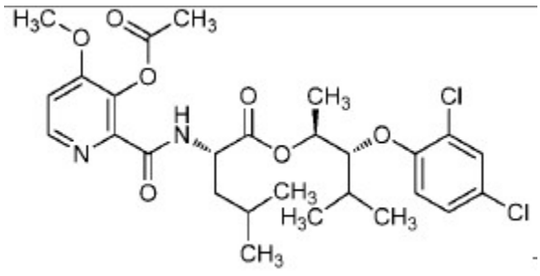
*Comp. No.	Estructura	Preparado de acuerdo con el Ejemplo:	Apariencia
551		Ejemplo 16B	Aceite pegajoso
552		Ejemplo 16B	Aceite amarillo
553		Ejemplo 16B	Aceite incoloro

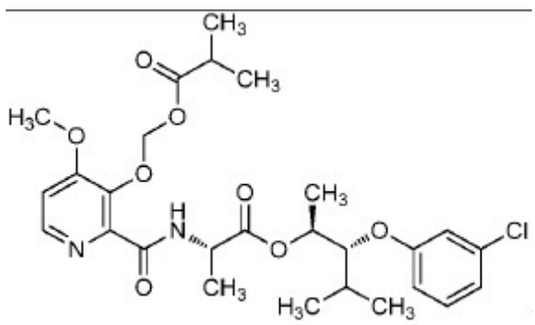
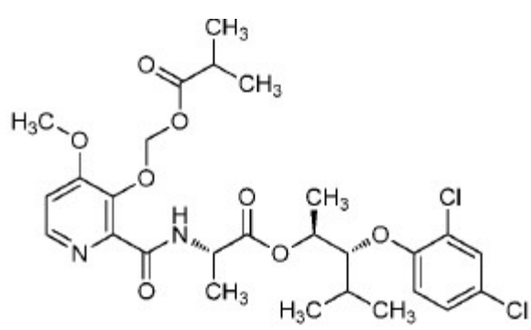
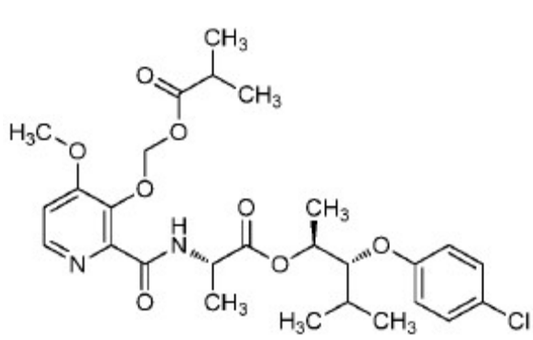
*Comp. No.	Estructura	Preparado de acuerdo con el Ejemplo:	Apariencia
554		Ejemplo 16B	Aceite incoloro
555		Ejemplo 16A	Aceite incoloro
556		Ejemplo 16B	Aceite pegajoso

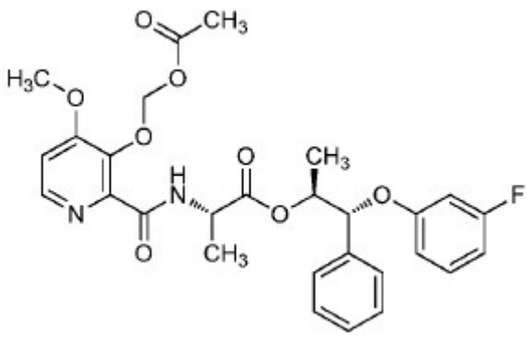
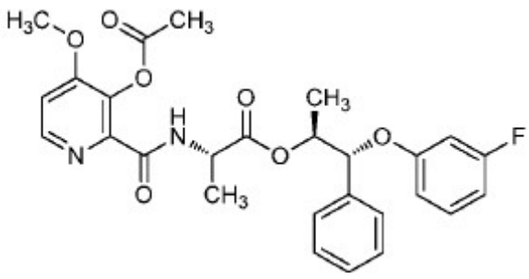
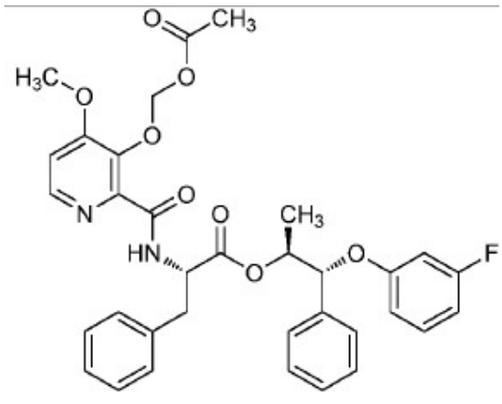
*Comp. No.	Estructura	Preparado de acuerdo con el Ejemplo:	Apariencia
557		Ejemplo 16B	Aceite pegajoso
558		Ejemplo 16B	Cera pegajosa
559		Ejemplo 16B	Cera pegajosa

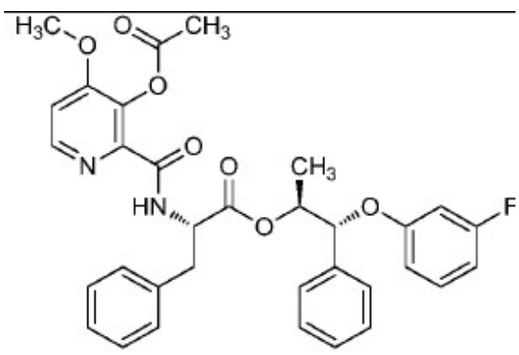
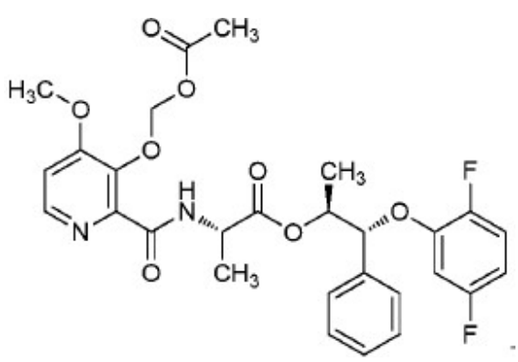
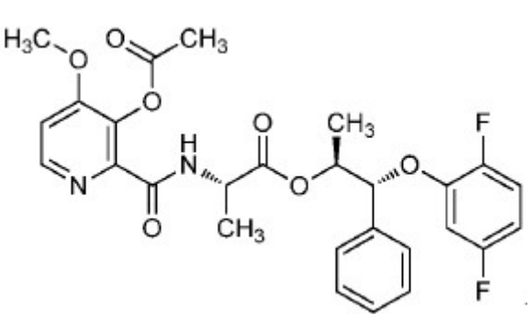
*Comp. No.	Estructura	Preparado de acuerdo con el Ejemplo:	Apariencia
560		Ejemplo 16B	Cera pegajosa
561		Ejemplo 16B	Aceite incoloro
562		Ejemplo 16B	Aceite incoloro

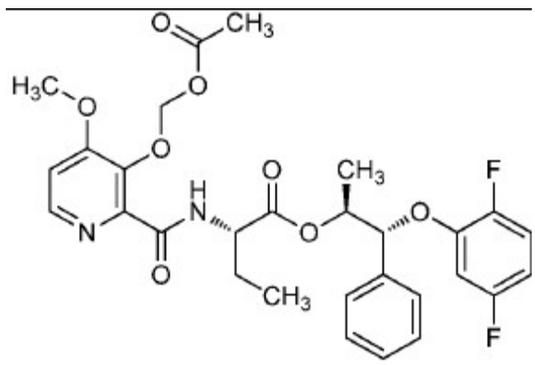
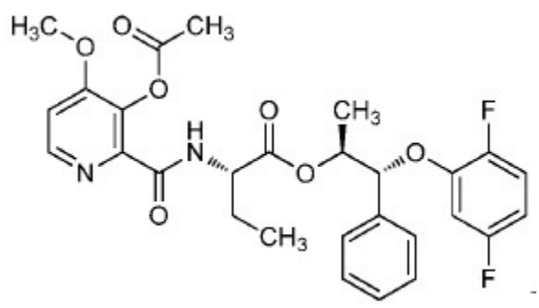
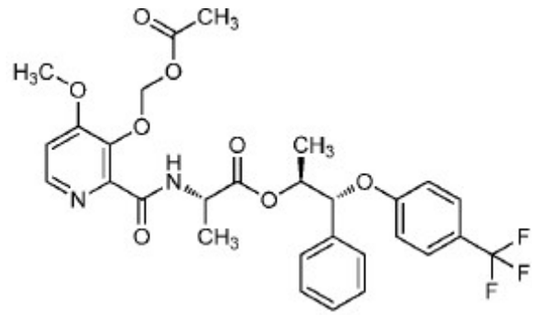
*Comp. No.	Estructura	Preparado de acuerdo con el Ejemplo:	Apariencia
563		Ejemplo 16B	Aceite incoloro
564		Ejemplo 16B	Aceite incoloro
565		Ejemplo 16B	Aceite incoloro
566		Ejemplo 16A	Aceite incoloro

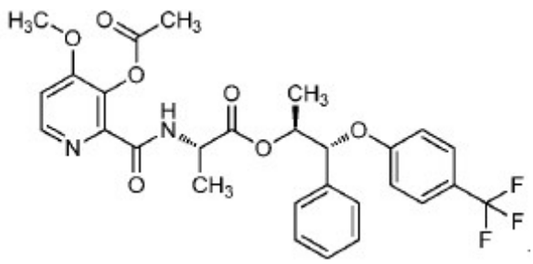
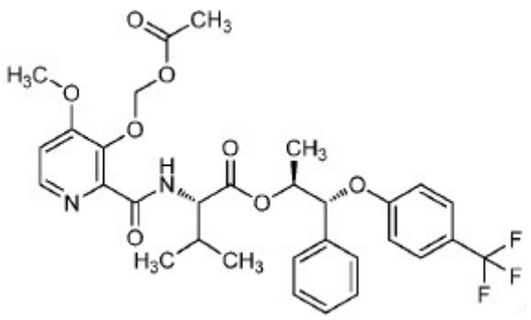
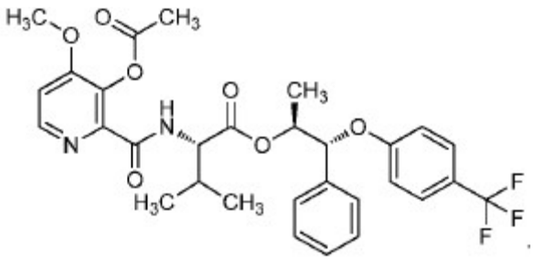
*Comp. No.	Estructura	Preparado de acuerdo con el Ejemplo:	Apariencia
567		Ejemplo 16A	Aceite incoloro
568		Ejemplo 16A	Sólido blanco
569		Ejemplo 16A	Aceite incoloro
570		Ejemplo 16A	Sólido blanco

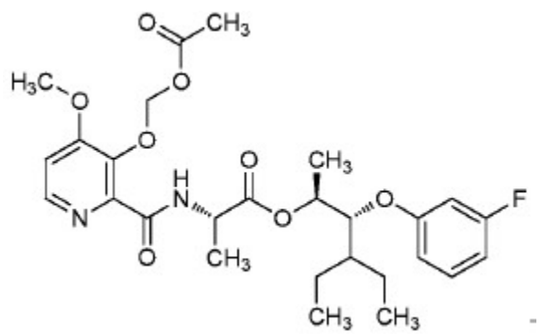
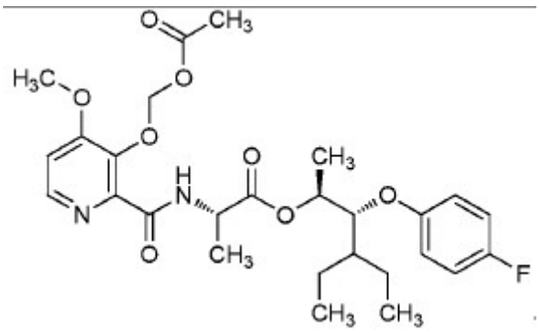
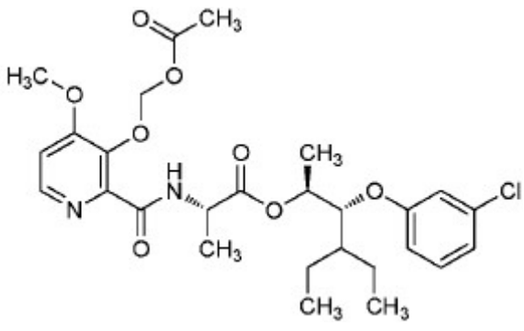
*Comp. No.	Estructura	Preparado de acuerdo con el Ejemplo:	Apariencia
571		Ejemplo 16C	Aceite incoloro
572		Ejemplo 16C	Aceite incoloro
573		Ejemplo 16C	Aceite incoloro

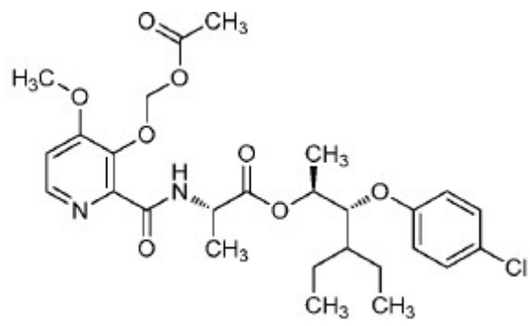
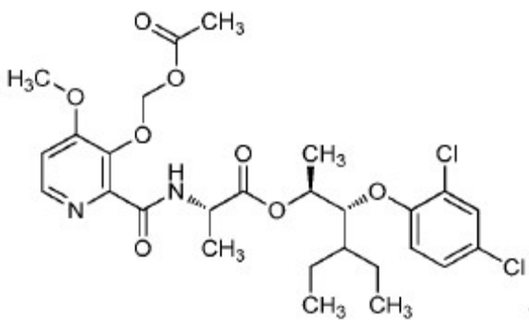
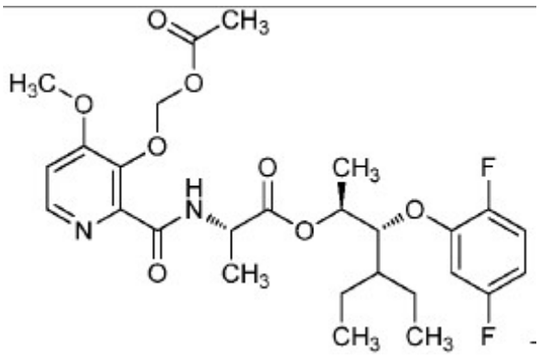
*Comp. No.	Estructura	Preparado de acuerdo con el Ejemplo:	Apariencia
574		Ejemplo 16B	Polvo blanco
575		Ejemplo 16A	Polvo blanco
576		Ejemplo 16B	Polvo blanco

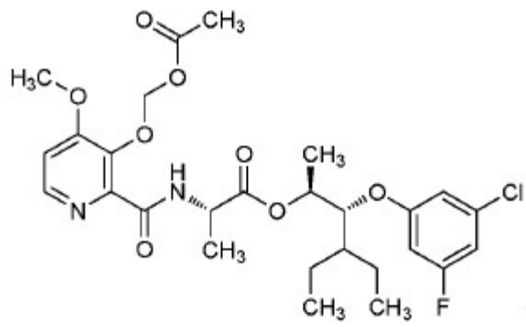
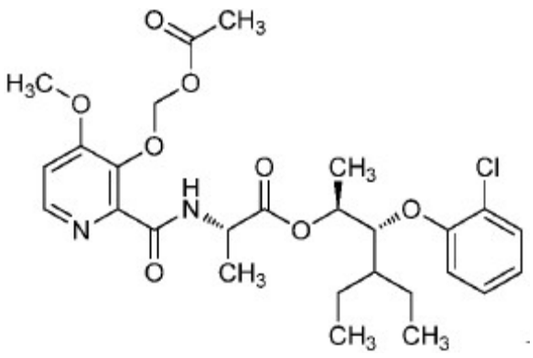
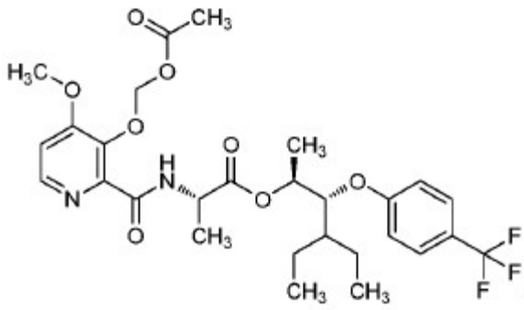
*Comp. No.	Estructura	Preparado de acuerdo con el Ejemplo:	Apariencia
577		Ejemplo 16A	Polvo blanco
578		Ejemplo 16B	Polvo blanco
579		Ejemplo 16A	Polvo blanco

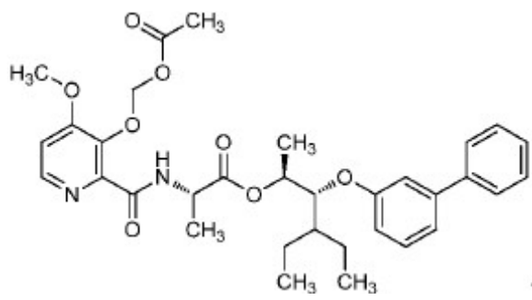
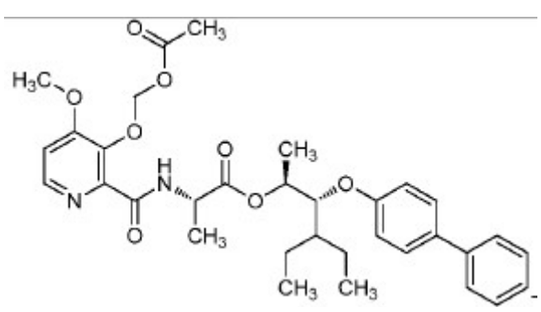
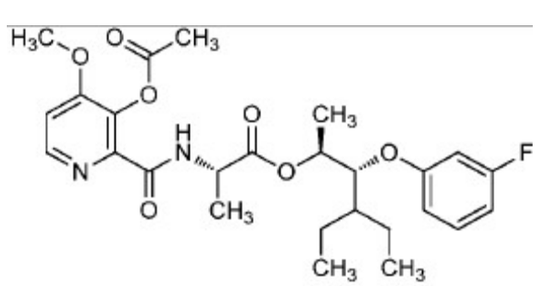
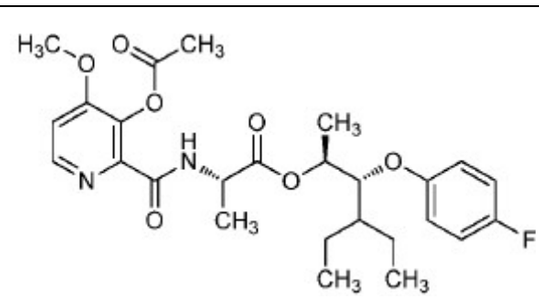
*Comp. No.	Estructura	Preparado de acuerdo con el Ejemplo:	Apariencia
580		Ejemplo 16B	Sólido higroscópico
581		Ejemplo 16A	Polvo blanco
582		Ejemplo 16B	Polvo blanco

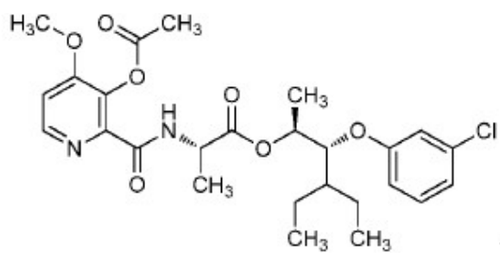
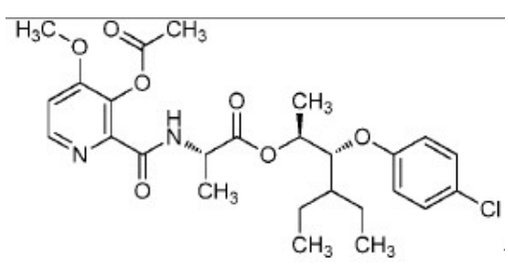
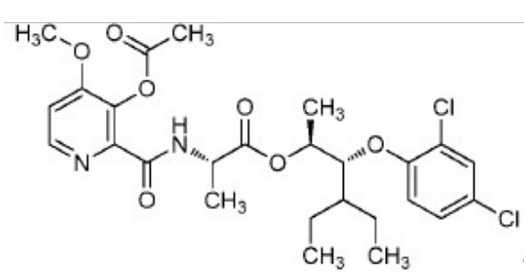
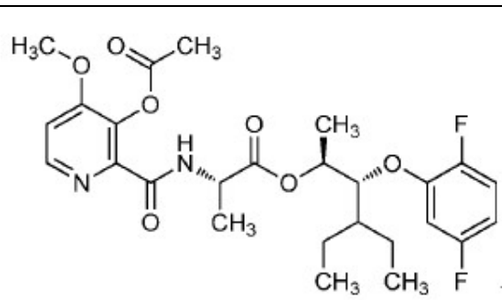
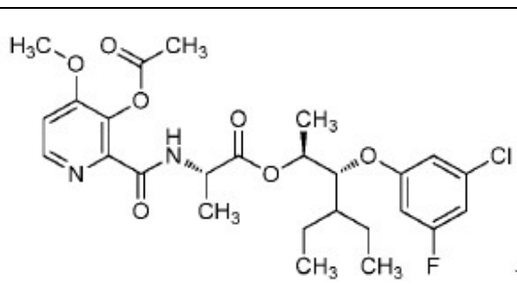
*Comp. No.	Estructura	Preparado de acuerdo con el Ejemplo:	Apariencia
583		Ejemplo 16A	Polvo blanco
584		Ejemplo 16B	Polvo higroscópico
585		Ejemplo 16A	Polvo blanco

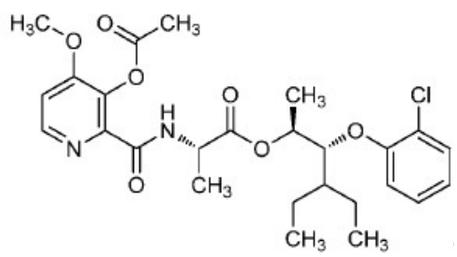
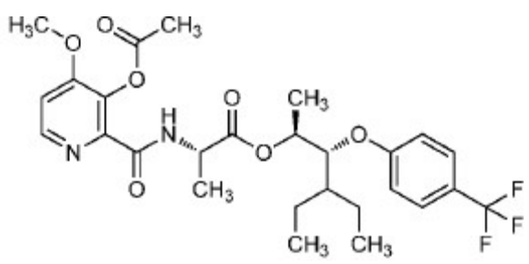
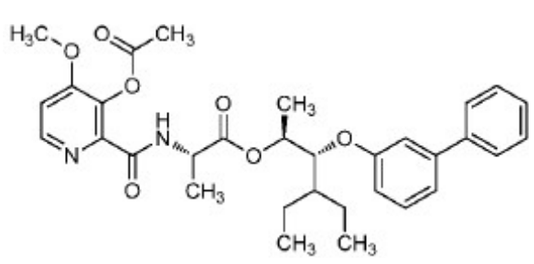
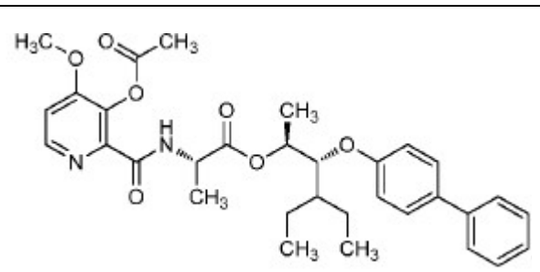
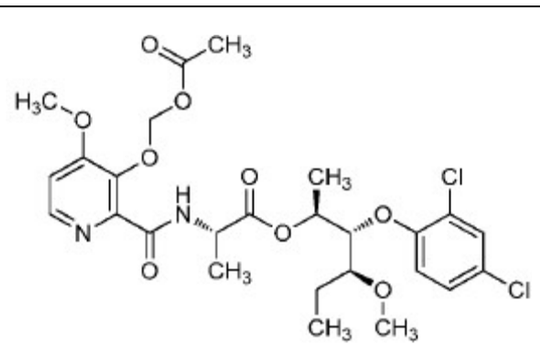
*Comp. No.	Estructura	Preparado de acuerdo con el Ejemplo:	Apariencia
586		Ejemplo 16B	Aceite incoloro
587		Ejemplo 16B	Aceite incoloro
588		Ejemplo 16B	Aceite incoloro

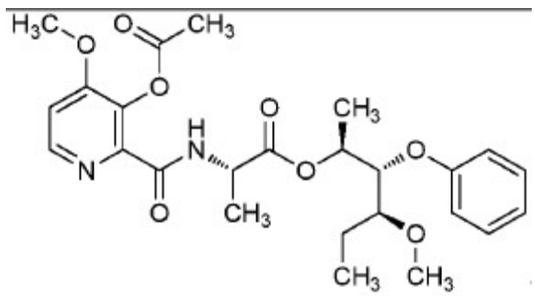
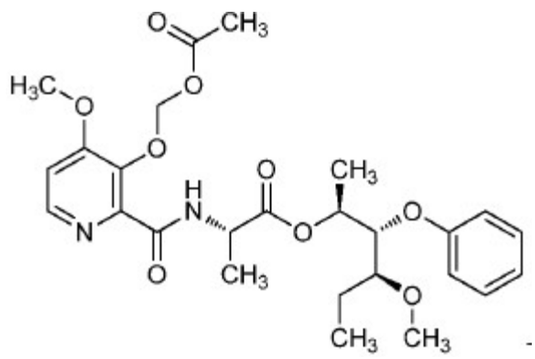
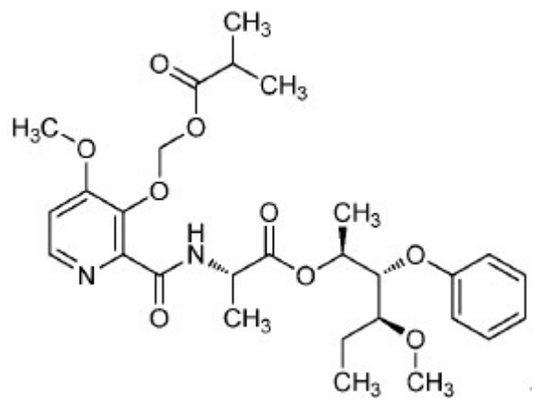
*Comp. No.	Estructura	Preparado de acuerdo con el Ejemplo:	Apariencia
589		Ejemplo 16B	Aceite incoloro
590		Ejemplo 16B	Aceite incoloro
591		Ejemplo 16B	Aceite incoloro

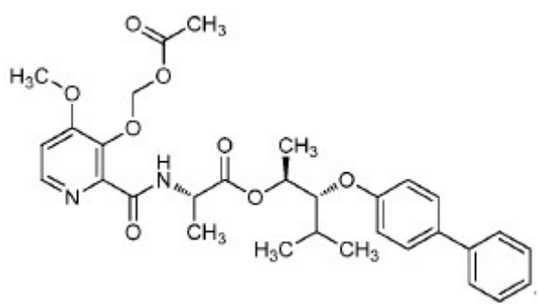
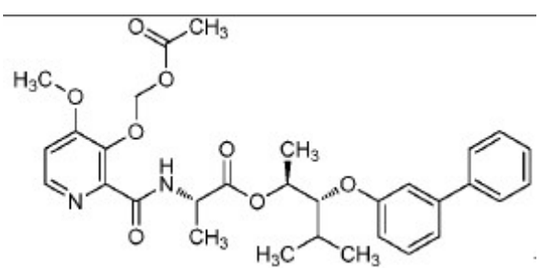
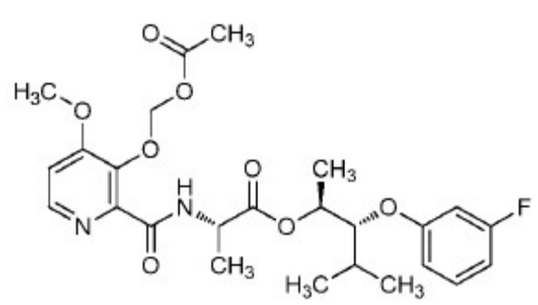
*Comp. No.	Estructura	Preparado de acuerdo con el Ejemplo:	Apariencia
592		Ejemplo 16B	Aceite incoloro
593		Ejemplo 16B	Aceite incoloro
594		Ejemplo 16B	Aceite incoloro

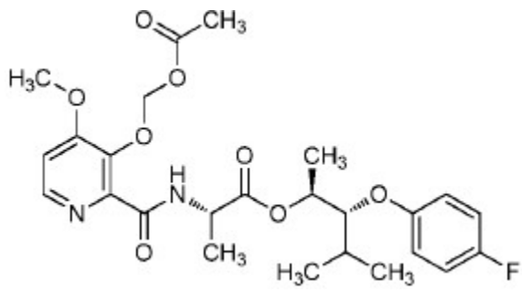
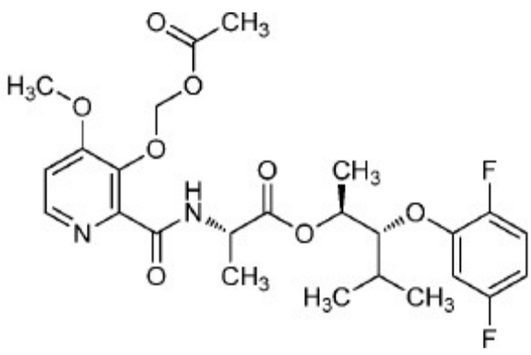
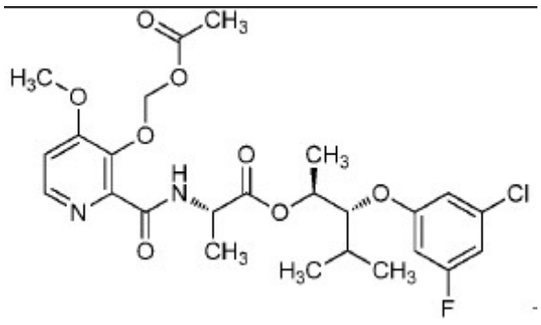
*Comp. No.	Estructura	Preparado de acuerdo con el Ejemplo:	Apariencia
595		Ejemplo 16B	Aceite incoloro
596		Ejemplo 16B	Aceite incoloro
597		Ejemplo 16A	Aceite pegajoso
598		Ejemplo 16A	Aceite pegajoso

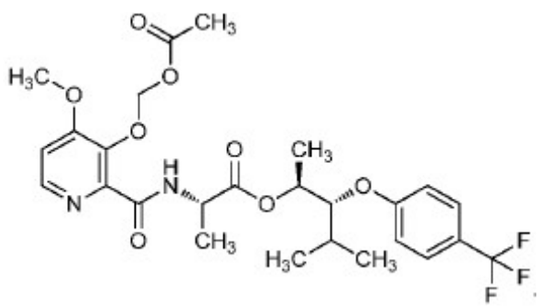
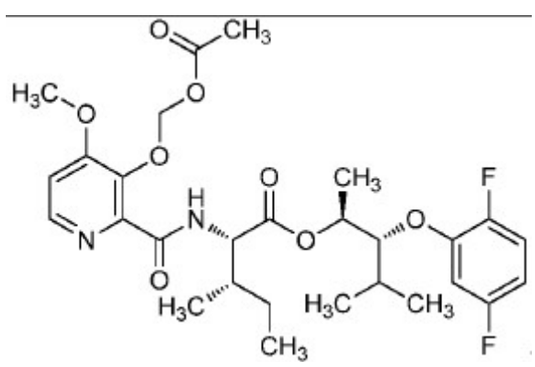
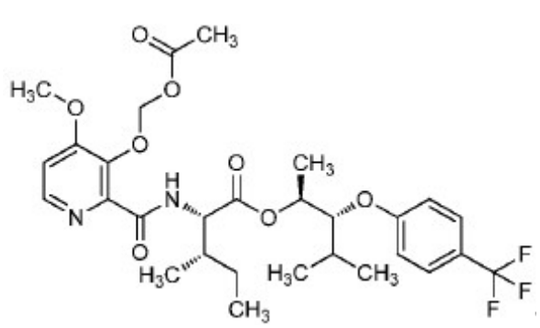
*Comp. No.	Estructura	Preparado de acuerdo con el Ejemplo:	Apariencia
599		Ejemplo 16A	Aceite pegajoso
600		Ejemplo 16A	Espuma blanca
601		Ejemplo 16A	Espuma blanca
602		Ejemplo 16A	Aceite pegajoso
603		Ejemplo 16A	Aceite pegajoso

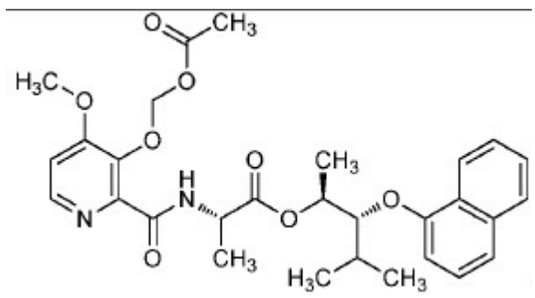
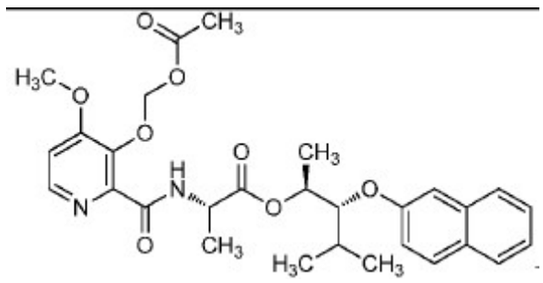
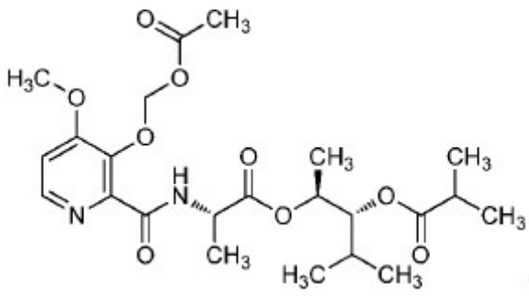
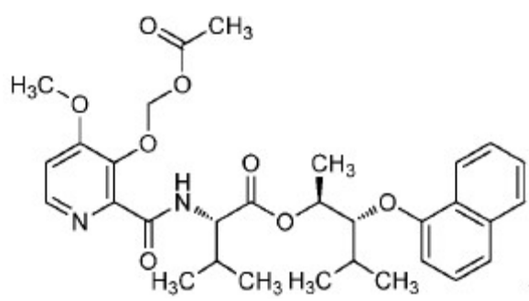
*Comp. No.	Estructura	Preparado de acuerdo con el Ejemplo:	Apariencia
604		Ejemplo 16A	Aceite pegajoso
605		Ejemplo 16A	Espuma blanca
606		Ejemplo 16A	Aceite pegajoso
607		Ejemplo 16A	Aceite pegajoso
608		Ejemplo 16B	Aceite incoloro

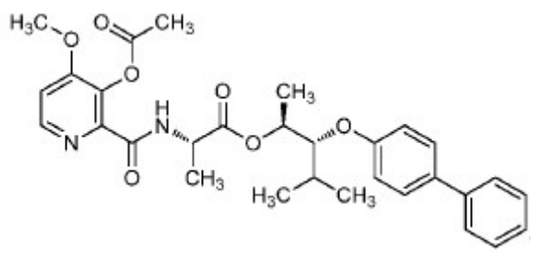
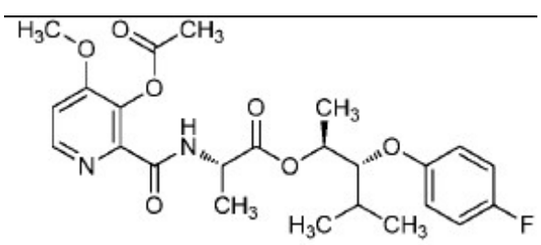
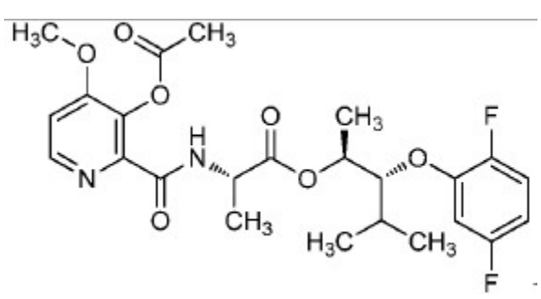
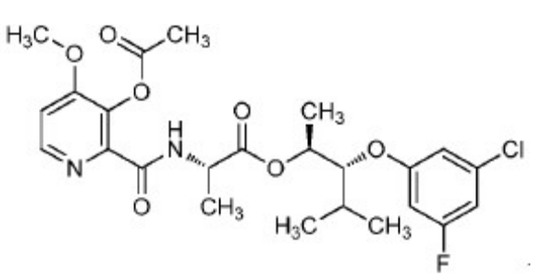
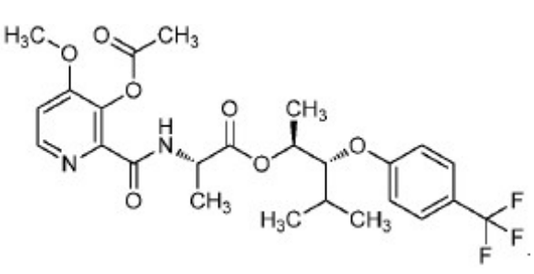
*Comp. No.	Estructura	Preparado de acuerdo con el Ejemplo:	Apariencia
609		Ejemplo 16A	Aceite incoloro
610		Ejemplo 16B	Aceite incoloro
611		Ejemplo 16C	Aceite incoloro

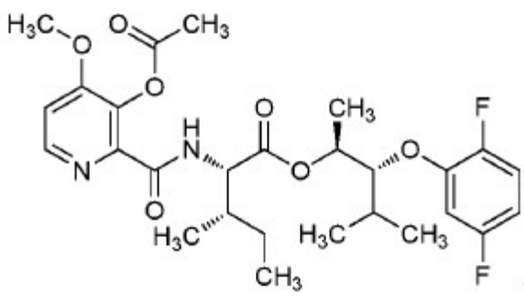
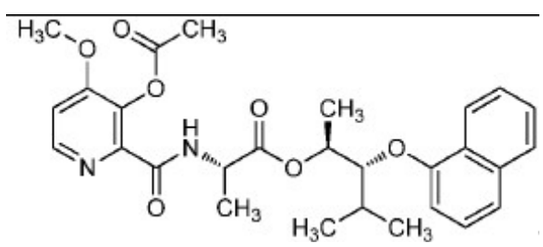
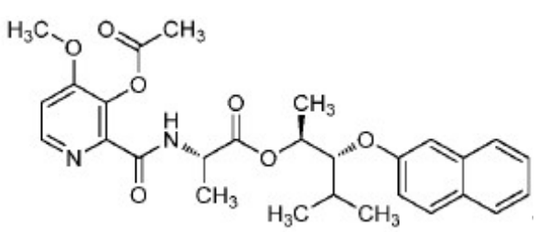
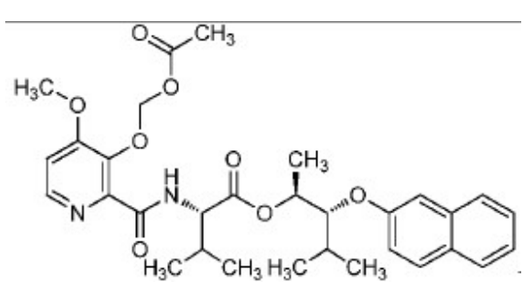
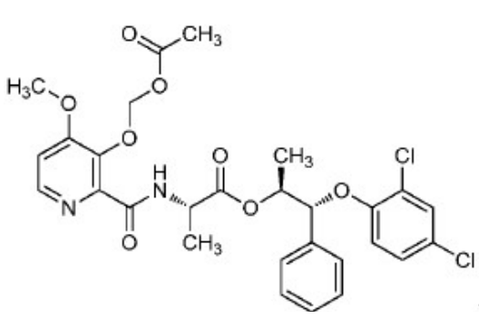
*Comp. No.	Estructura	Preparado de acuerdo con el Ejemplo:	Apariencia
612		Ejemplo 16B	Sólido blanco
613		Ejemplo 16B	Sólido pegajoso
614		Ejemplo 16B	Aceite amarillo

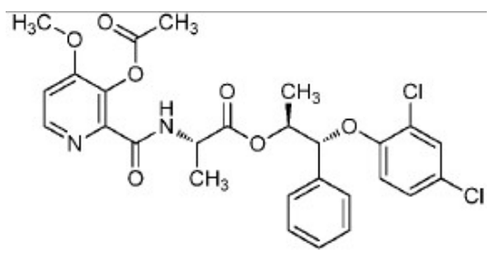
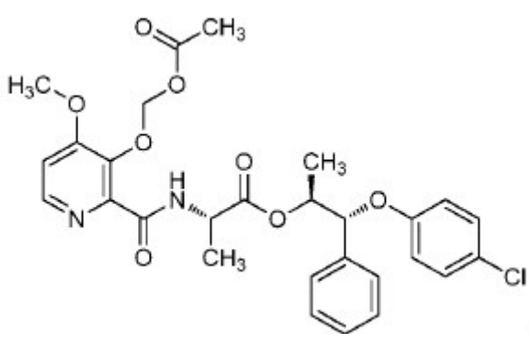
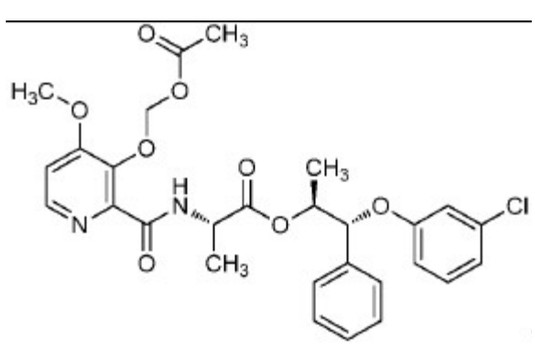
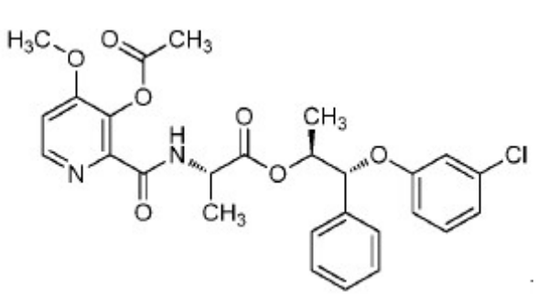
*Comp. No.	Estructura	Preparado de acuerdo con el Ejemplo:	Apariencia
615		Ejemplo 16B	Aceite amarillo
616		Ejemplo 16B	Aceite amarillo
617		Ejemplo 16B	Aceite amarillo

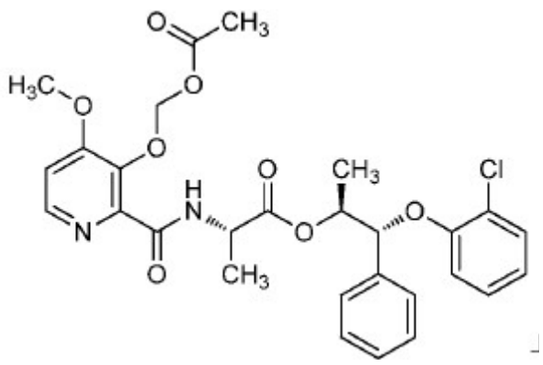
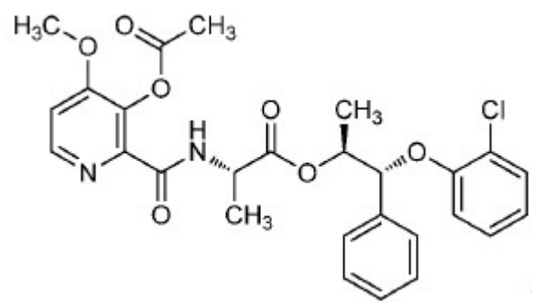
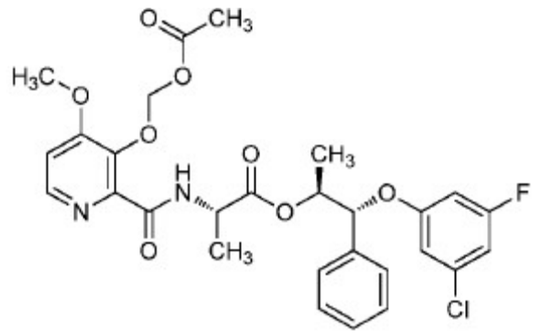
*Comp. No.	Estructura	Preparado de acuerdo con el Ejemplo:	Apariencia
618		Ejemplo 16B	Aceite amarillo
619		Ejemplo 16B	Aceite incoloro
620		Ejemplo 16B	Aceite incoloro

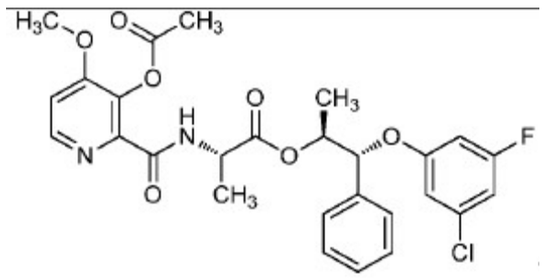
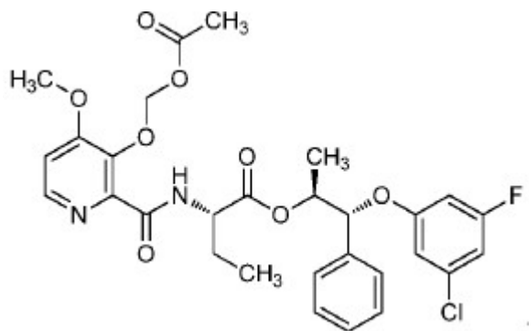
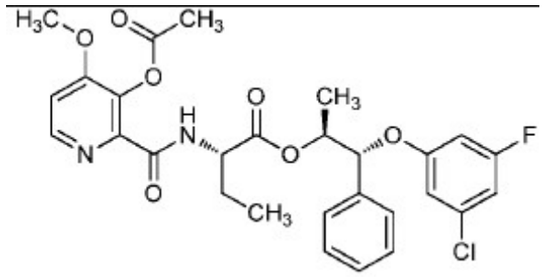
*Comp. No.	Estructura	Preparado de acuerdo con el Ejemplo:	Apariencia
621		Ejemplo 16B	Sólido blanco
622		Ejemplo 16B	Sólido amarillo
623		Ejemplo 16B	Aceite amarillo
624		Ejemplo 16B	Sólido pegajoso

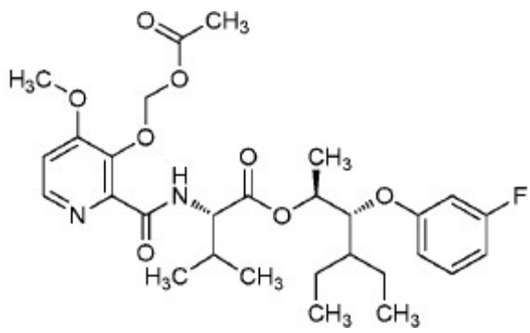
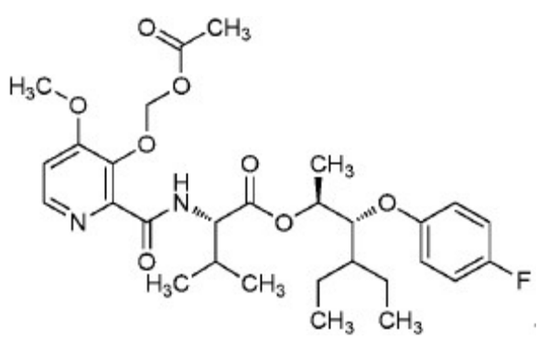
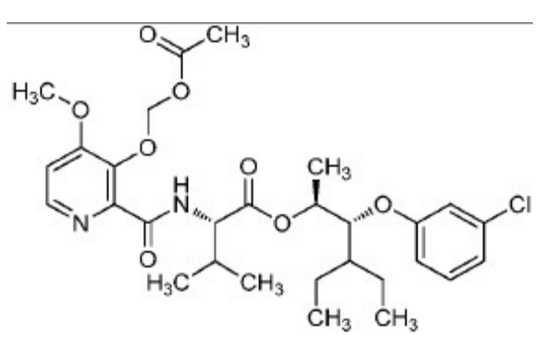
*Comp. No.	Estructura	Preparado de acuerdo con el Ejemplo:	Apariencia
625		Ejemplo 16A	Sólido blanco
626		Ejemplo 16A	Sólido blanco
627		Ejemplo 16A	Sólido blanco
628		Ejemplo 16A	Sólido blanco
629		Ejemplo 16A	Sólido blanco

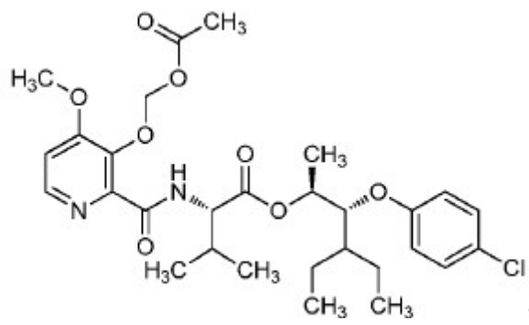
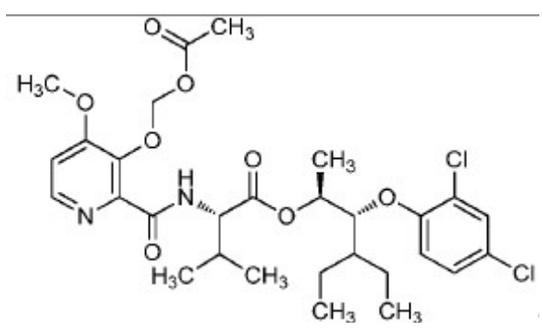
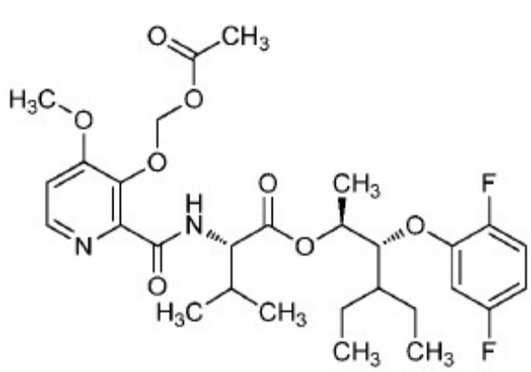
*Comp. No.	Estructura	Preparado de acuerdo con el Ejemplo:	Apariencia
630		Ejemplo 16A	Aceite incoloro
631		Ejemplo 16A	Sólido blanco
632		Ejemplo 16A	Sólido blanco
633		Ejemplo 16B	Aceite incoloro
634		Ejemplo 16B	Sólido blanco

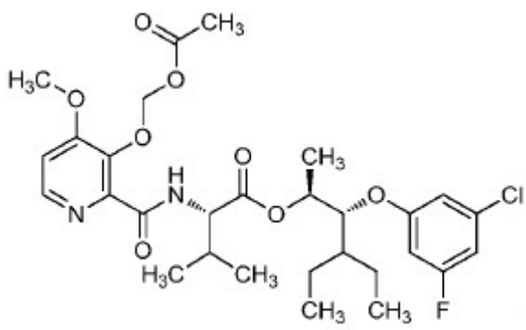
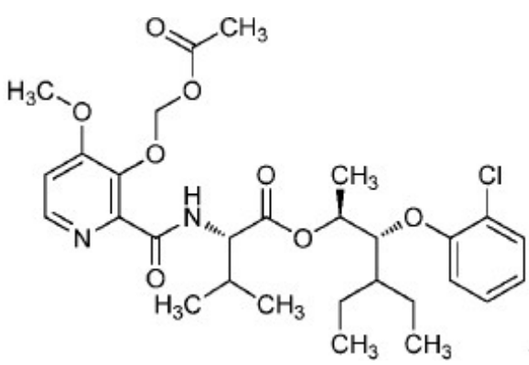
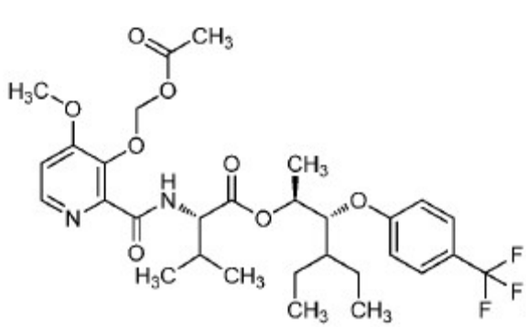
*Comp. No.	Estructura	Preparado de acuerdo con el Ejemplo:	Apariencia
635		Ejemplo 16A	Sólido blanco
636		Ejemplo 16B	Sólido blanco
637		Ejemplo 16B	Aceite pegajoso
638		Ejemplo 16A	Polvo blanco

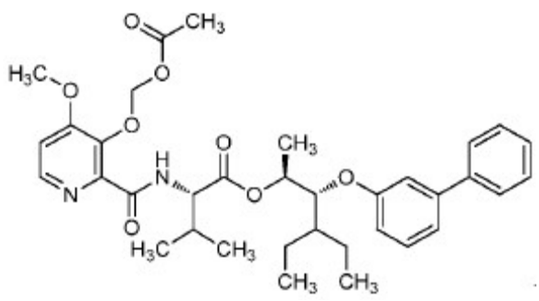
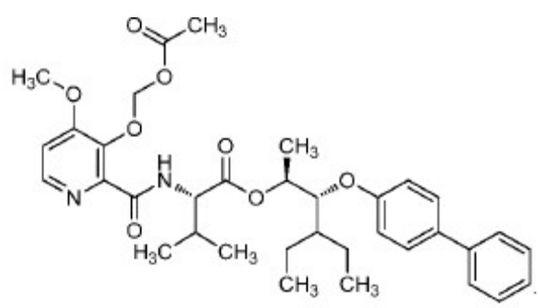
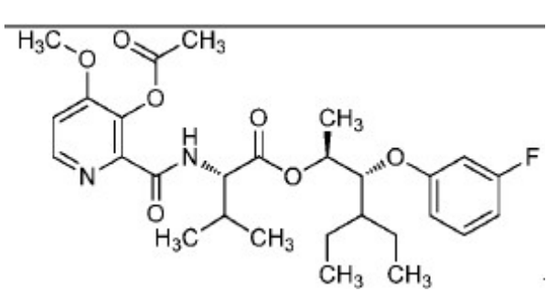
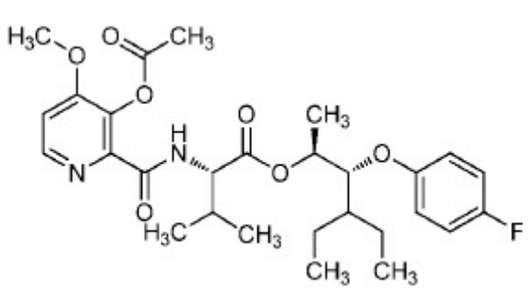
*Comp. No.	Estructura	Preparado de acuerdo con el Ejemplo:	Apariencia
639		Ejemplo 16B	Polvo blanco
640		Ejemplo 16A	Polvo blanco
641		Ejemplo 16B	Semi-sólido

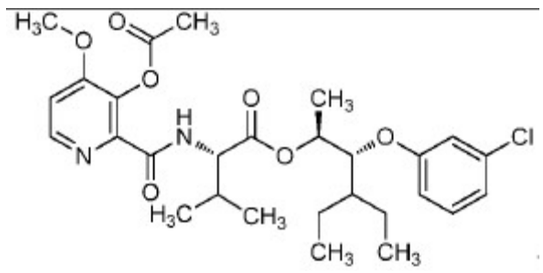
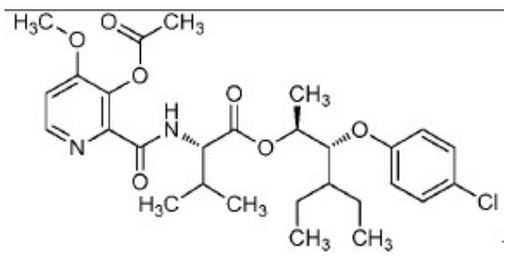
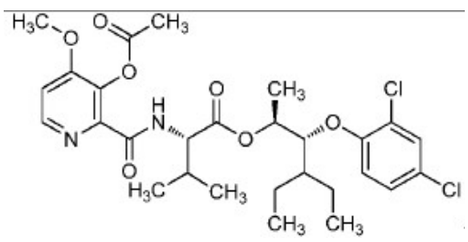
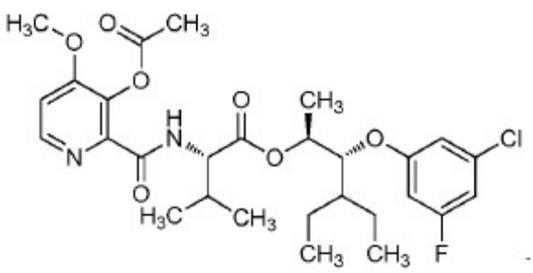
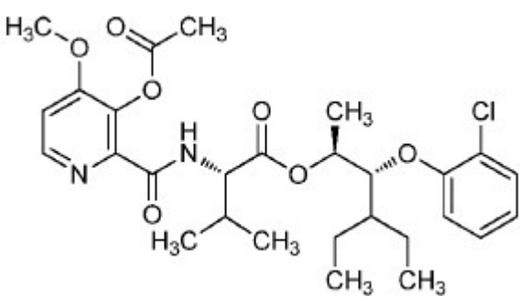
*Comp. No.	Estructura	Preparado de acuerdo con el Ejemplo:	Apariencia
642		Ejemplo 16A	Polvo blanco
643		Ejemplo 16B	Sólido pegajoso blanco
644		Ejemplo 16A	Polvo blanco

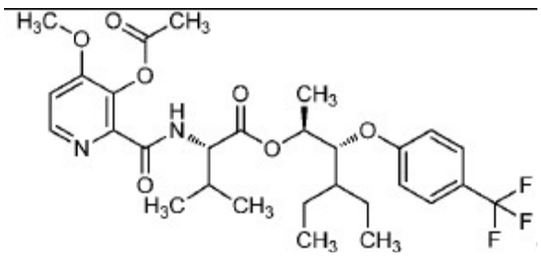
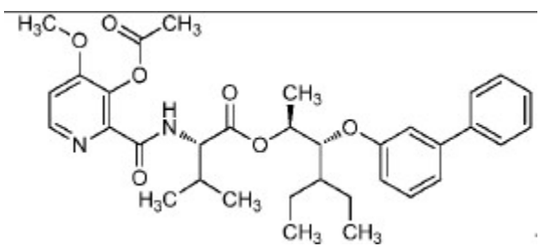
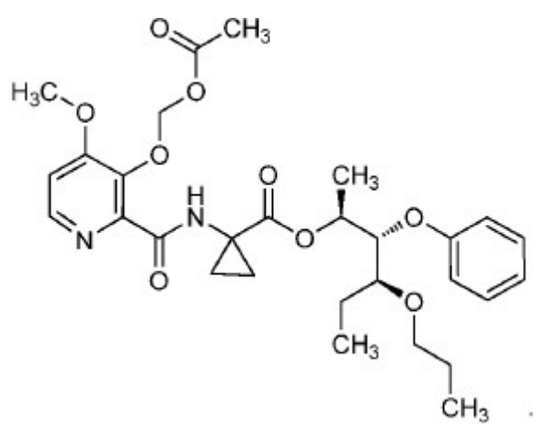
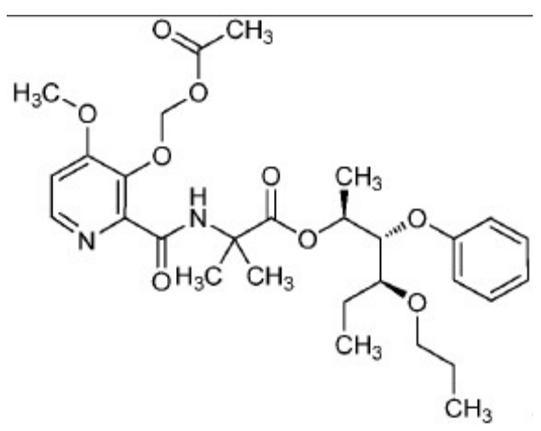
*Comp. No.	Estructura	Preparado de acuerdo con el Ejemplo:	Apariencia
645		Ejemplo 16B	Aceite incoloro
646		Ejemplo 16B	Aceite incoloro
647		Ejemplo 16B	Aceite incoloro

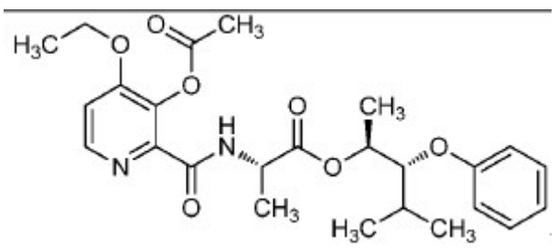
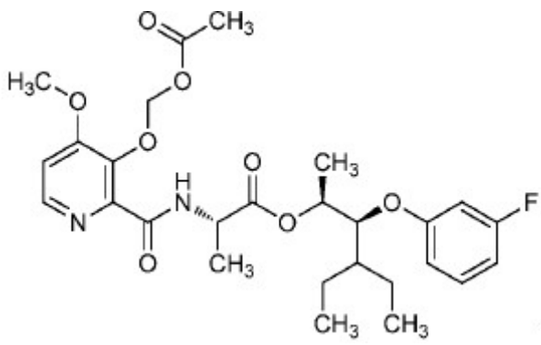
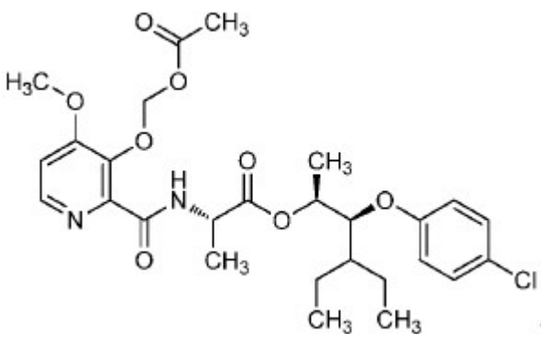
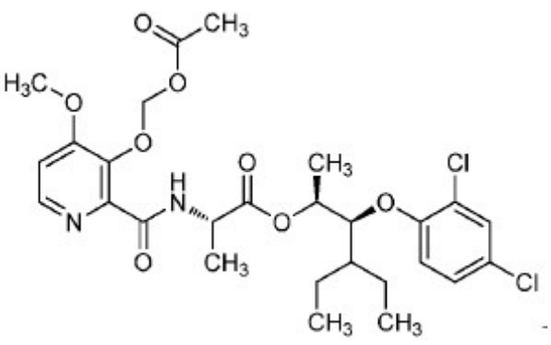
*Comp. No.	Estructura	Preparado de acuerdo con el Ejemplo:	Apariencia
648		Ejemplo 16B	Aceite incoloro
649		Ejemplo 16B	Aceite incoloro
650		Ejemplo 16B	Aceite incoloro

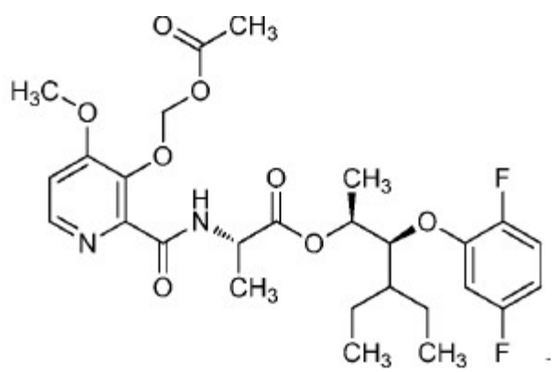
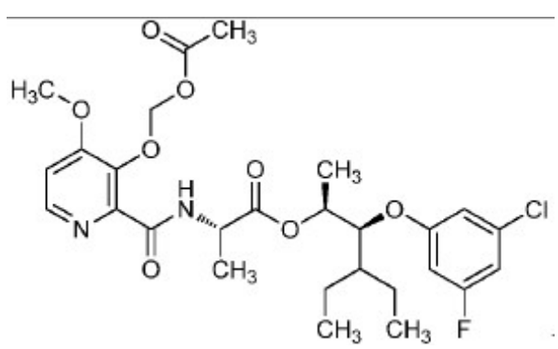
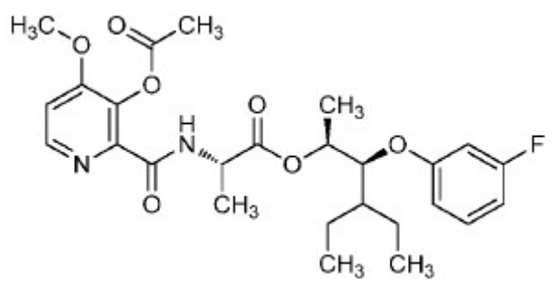
*Comp. No.	Estructura	Preparado de acuerdo con el Ejemplo:	Apariencia
651		Ejemplo 16B	Aceite incoloro
652		Ejemplo 16B	Aceite incoloro
653		Ejemplo 16B	Aceite incoloro

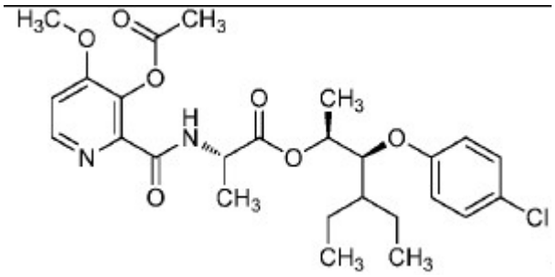
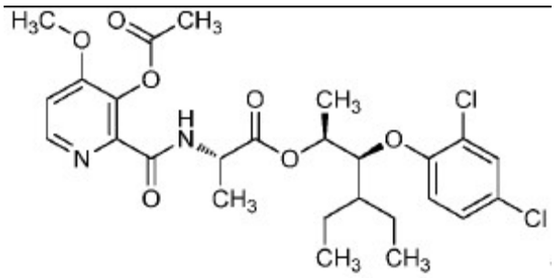
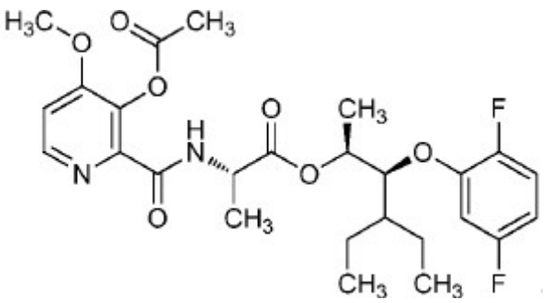
*Comp. No.	Estructura	Preparado de acuerdo con el Ejemplo:	Apariencia
654		Ejemplo 16B	Aceite incoloro
655		Ejemplo 16B	Aceite incoloro
656		Ejemplo 16A	Aceite incoloro
657		Ejemplo 16A	Aceite incoloro

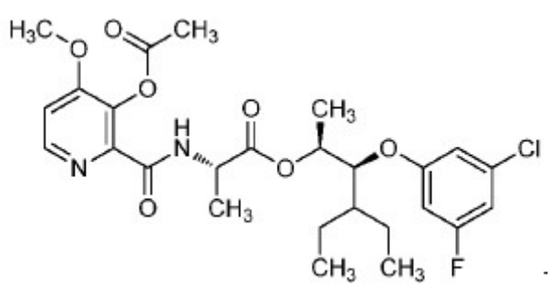
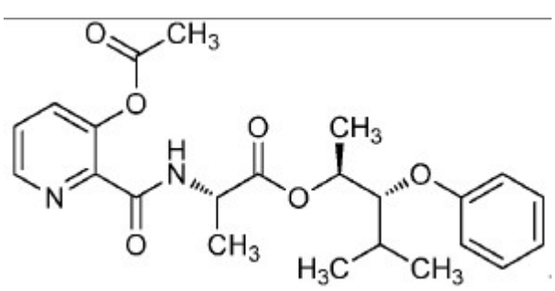
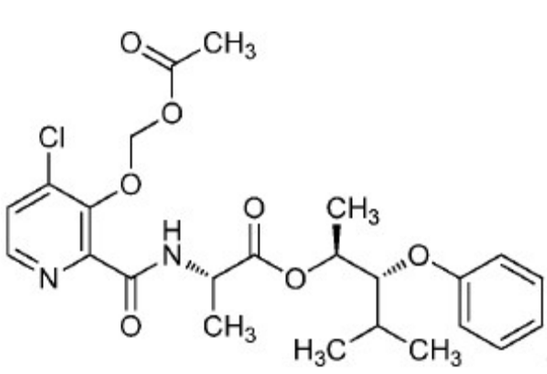
*Comp. No.	Estructura	Preparado de acuerdo con el Ejemplo:	Apariencia
658		Ejemplo 16A	Aceite incoloro
659		Ejemplo 16A	Aceite incoloro
660		Ejemplo 16A	Aceite incoloro
661		Ejemplo 16A	Aceite incoloro
662		Ejemplo 16A	Aceite incoloro

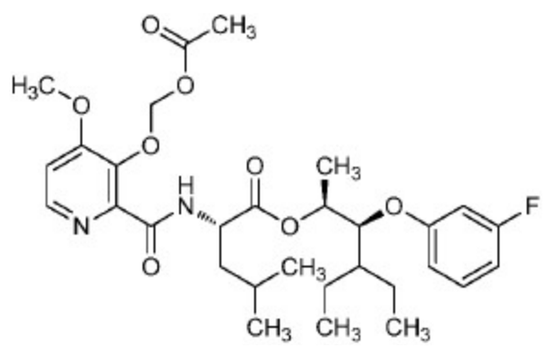
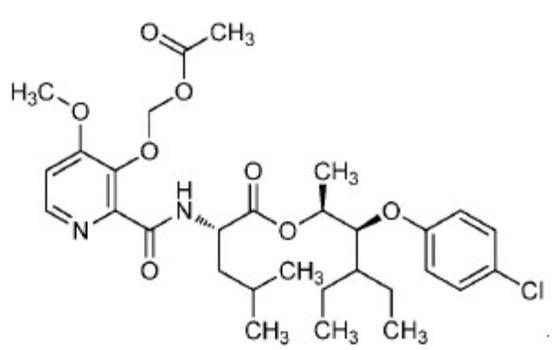
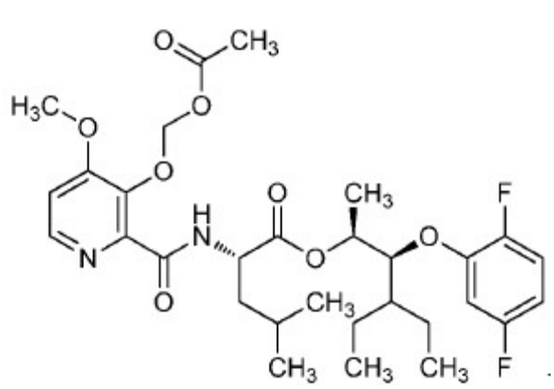
*Comp. No.	Estructura	Preparado de acuerdo con el Ejemplo:	Apariencia
663		Ejemplo 16A	Aceite incoloro
664		Ejemplo 16A	Aceite pegajoso
665		Ejemplo 16B	Aceite incoloro
666		Ejemplo 16B	Aceite incoloro

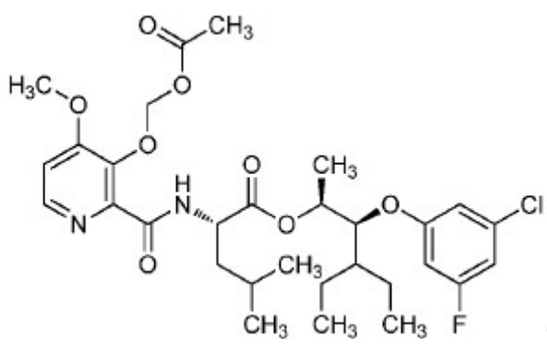
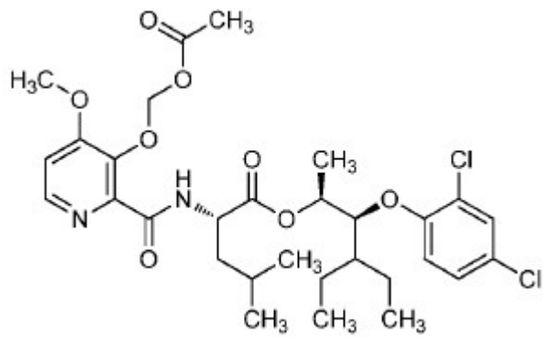
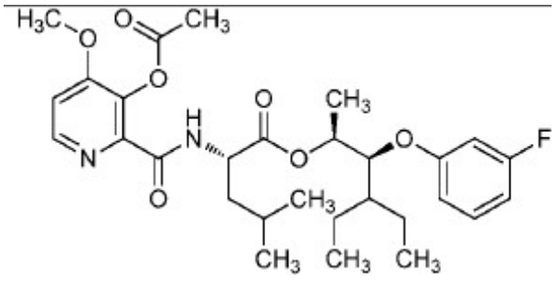
*Comp. No.	Estructura	Preparado de acuerdo con el Ejemplo:	Apariencia
667		Ejemplo 16A	Aceite amarillo claro
668		Ejemplo 16B	Aceite incoloro
669		Ejemplo 16B	Aceite incoloro
670		Ejemplo 16B	Aceite incoloro

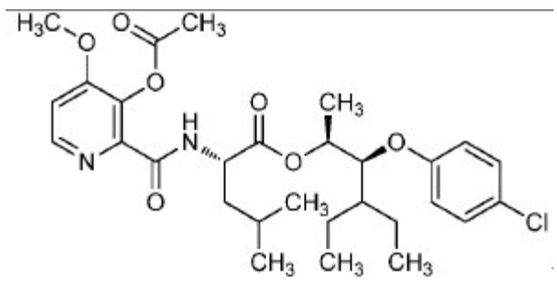
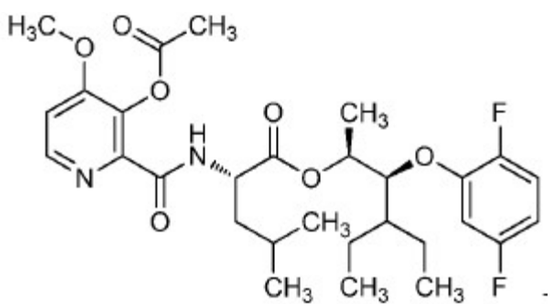
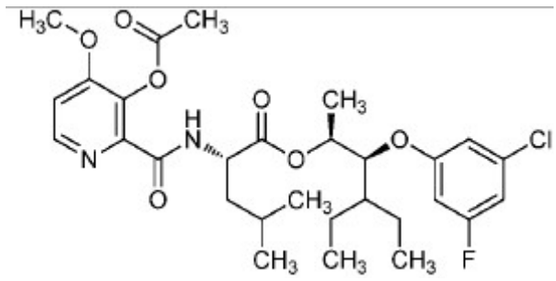
*Comp. No.	Estructura	Preparado de acuerdo con el Ejemplo:	Apariencia
671		Ejemplo 16B	Aceite incoloro
672		Ejemplo 16B	Aceite incoloro
673		Ejemplo 16A	Aceite incoloro

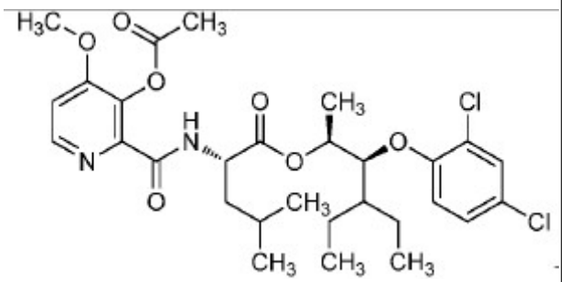
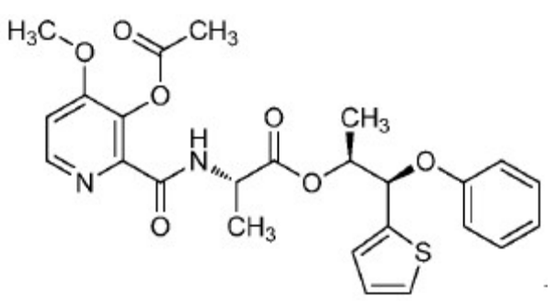
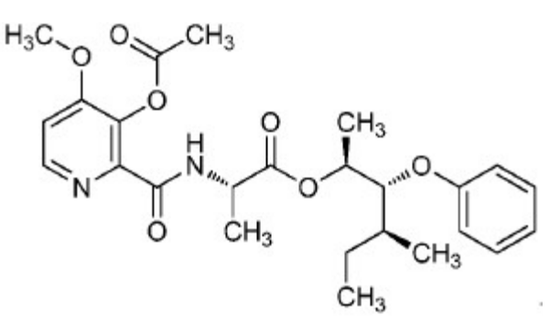
*Comp. No.	Estructura	Preparado de acuerdo con el Ejemplo:	Apariencia
674		Ejemplo 16A	Aceite incoloro
675		Ejemplo 16A	Aceite incoloro
676		Ejemplo 16A	Aceite incoloro

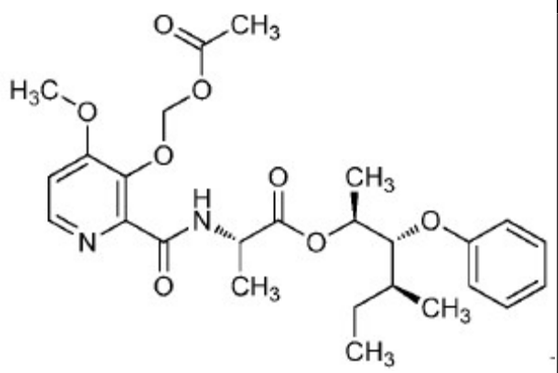
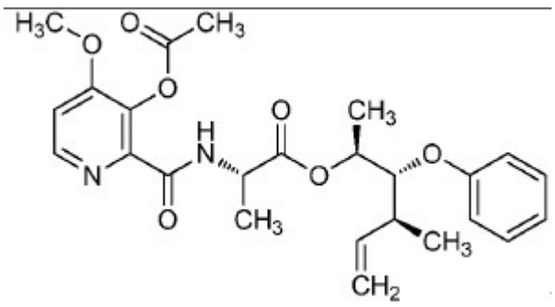
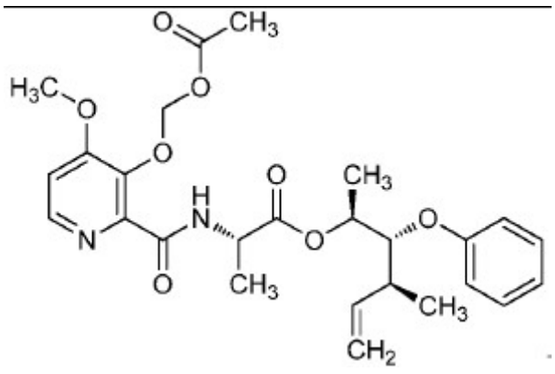
*Comp. No.	Estructura	Preparado de acuerdo con el Ejemplo:	Apariencia
677		Ejemplo 16A	Aceite incoloro
678		Ejemplo 16A	Aceite amarillo claro
679		Ejemplo 16B	Aceite claro

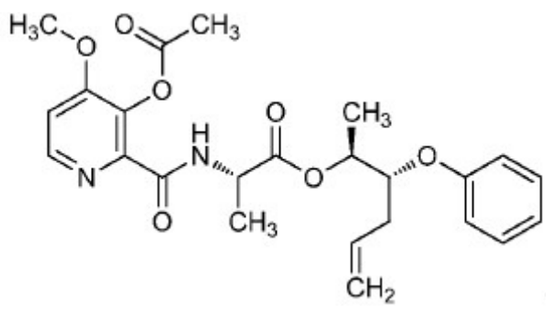
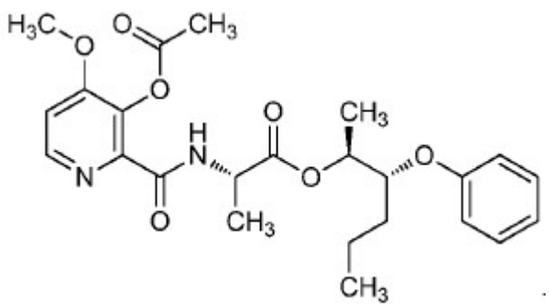
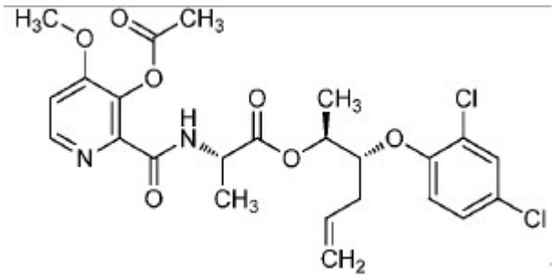
*Comp. No.	Estructura	Preparado de acuerdo con el Ejemplo:	Apariencia
680		Ejemplo 16B	Aceite incoloro
681		Ejemplo 16B	Espuma blanca
682		Ejemplo 16B	Aceite incoloro

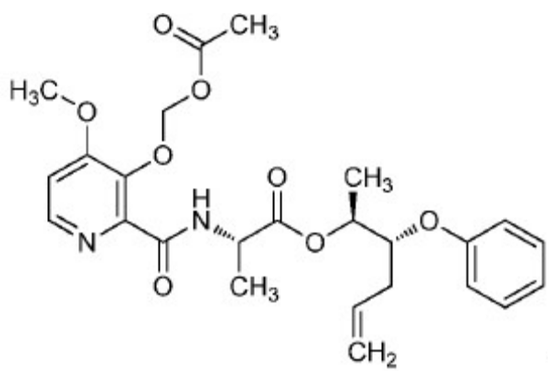
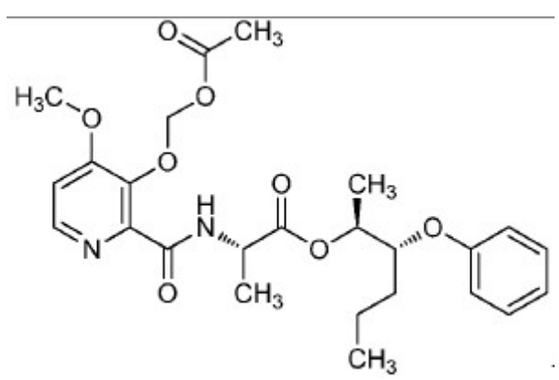
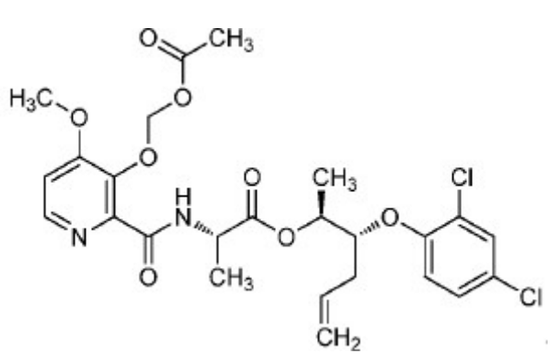
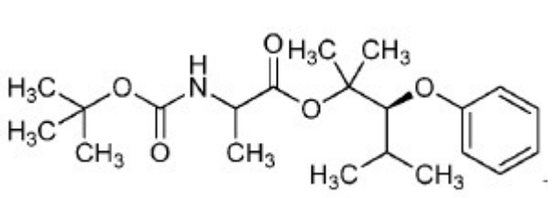
*Comp. No.	Estructura	Preparado de acuerdo con el Ejemplo:	Apariencia
683		Ejemplo 16B	Aceite incoloro
684		Ejemplo 16B	Aceite incoloro
685		Ejemplo 16A	Aceite incoloro

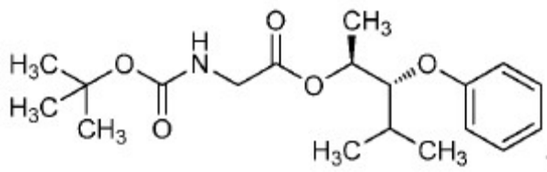
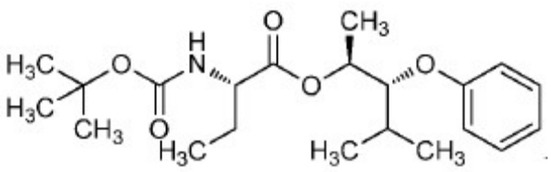
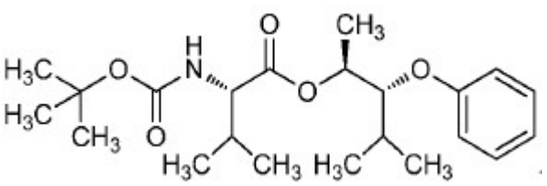
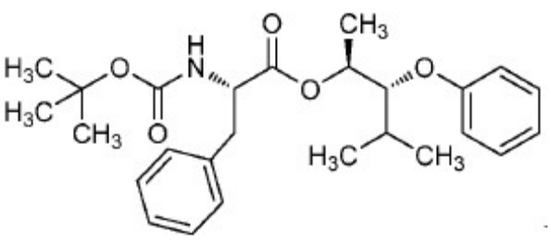
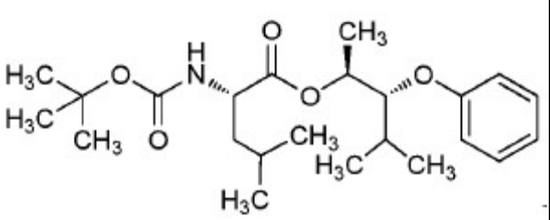
*Comp. No.	Estructura	Preparado de acuerdo con el Ejemplo:	Apariencia
686		Ejemplo 16A	Aceite incoloro
687		Ejemplo 16A	Aceite incoloro
688		Ejemplo 16A	Aceite incoloro

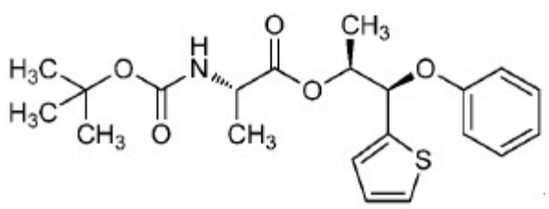
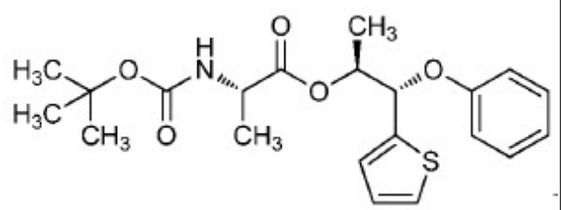
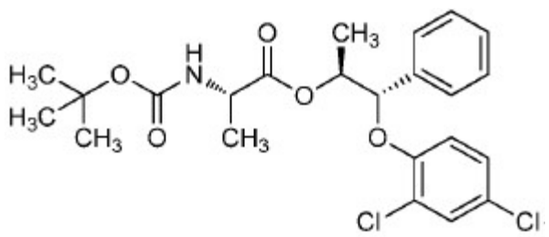
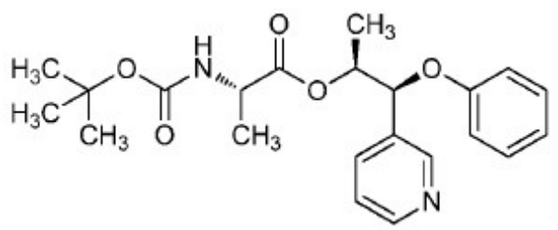
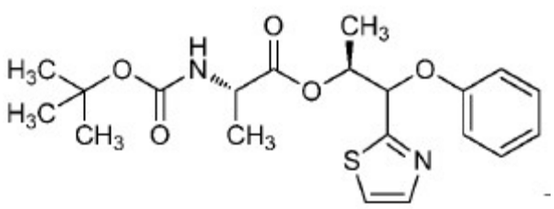
*Comp. No.	Estructura	Preparado de acuerdo con el Ejemplo:	Apariencia
689		Ejemplo 16A	Aceite incoloro
690		Ejemplo 16A	Aceite incoloro
691		Ejemplo 16A	Sólido ceroso

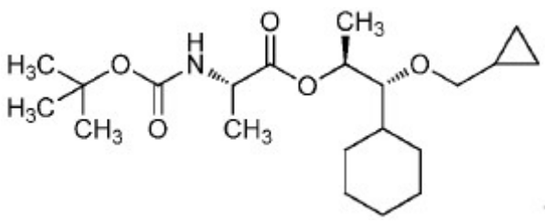
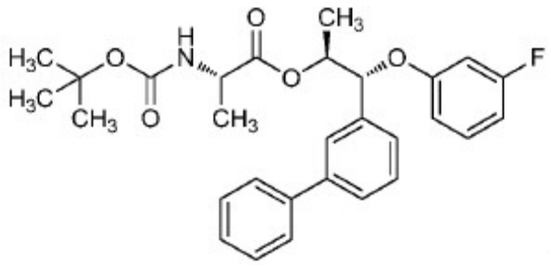
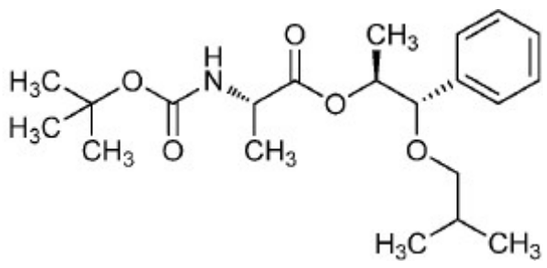
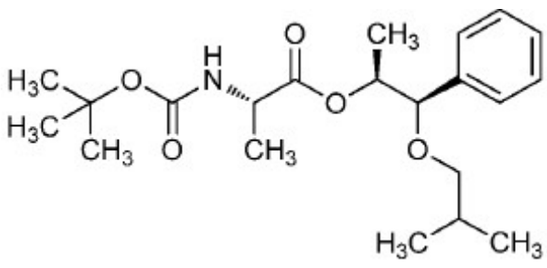
*Comp. No.	Estructura	Preparado de acuerdo con el Ejemplo:	Apariencia
692		Ejemplo 16B	Aceite amarillo claro
693		Ejemplo 16A	Sólido blanco
694		Ejemplo 16B	Aceite amarillo

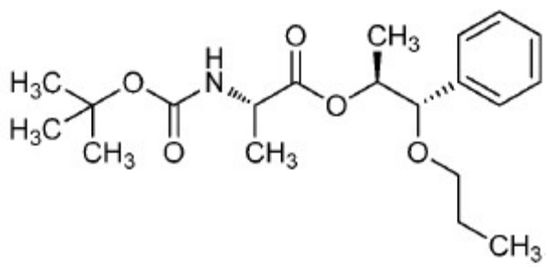
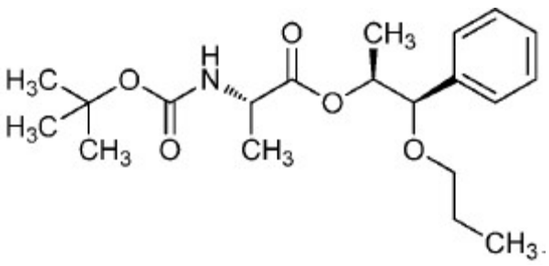
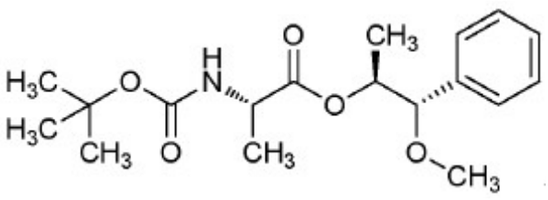
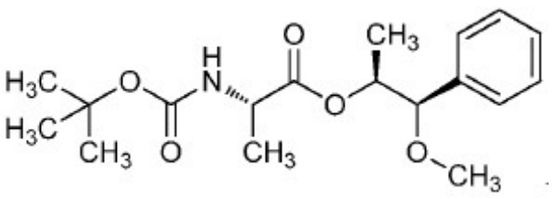
*Comp. No.	Estructura	Preparado de acuerdo con el Ejemplo:	Apariencia
695		Ejemplo 16A	Aceite amarillo
696		Ejemplo 16A	Aceite amarillo
697		Ejemplo 16A	Aceite amarillo

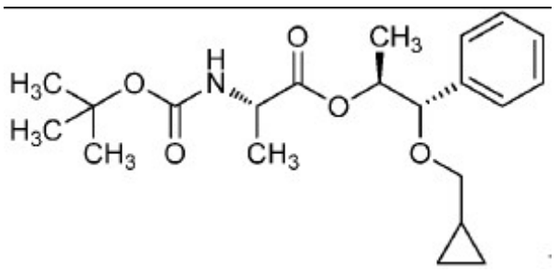
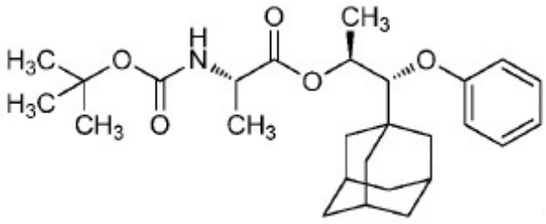
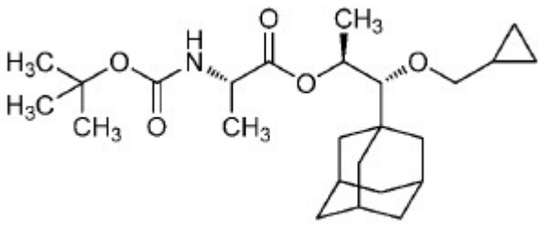
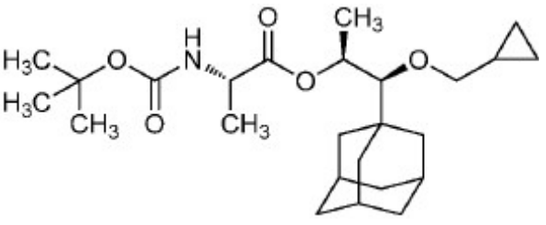
*Comp. No.	Estructura	Preparado de acuerdo con el Ejemplo:	Apariencia
698		Ejemplo 16B	Aceite claro, incoloro
699		Ejemplo 16B	Aceite claro, incoloro
700		Ejemplo 16B	Aceite claro, incoloro
701		Ejemplo 9, Pasos 1-3; Ejemplo 11, Pasos 1, 2; Ejemplo 12B	Aceite incoloro

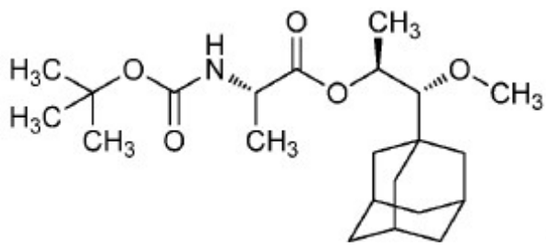
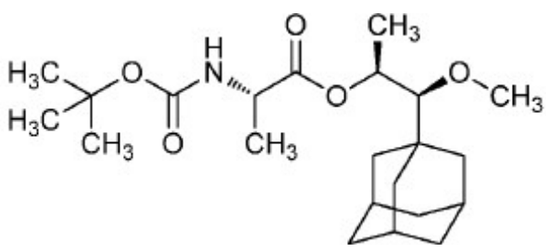
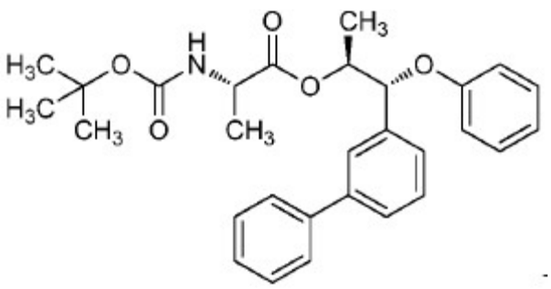
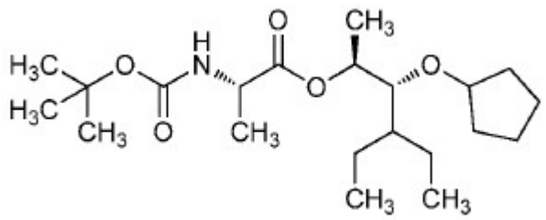
*Comp. No.	Estructura	Preparado de acuerdo con el Ejemplo:	Apariencia
702		Ejemplo 1A; Ejemplo 4B; Ejemplo 8C; Ejemplo 12A	Aceite incoloro
703		Ejemplo 1A; Ejemplo 4B; Ejemplo 8C; Ejemplo 12A	Aceite incoloro
704		Ejemplo 1A; Ejemplo 4B; Ejemplo 8C; Ejemplo 12A	Aceite incoloro
705		Ejemplo 1A; Ejemplo 4B; Ejemplo 8C; Ejemplo 12A	Aceite incoloro
706		Ejemplo 1A; Ejemplo 4B; Ejemplo 8C; Ejemplo 12A	Aceite incoloro

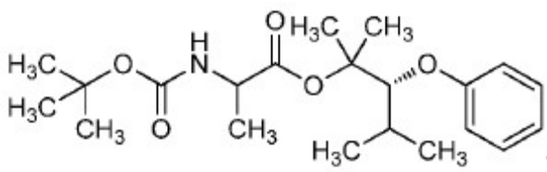
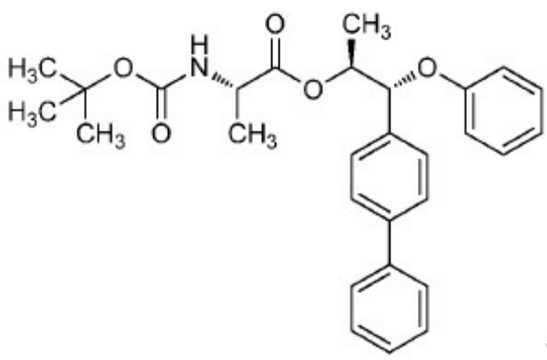
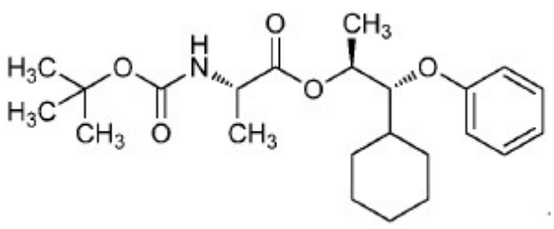
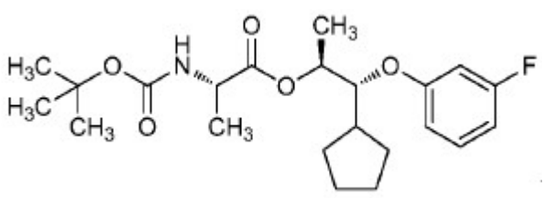
*Comp. No.	Estructura	Preparado de acuerdo con el Ejemplo:	Apariencia
707		Ejemplo 1E; Ejemplo 4B; Ejemplo 8D; Ejemplo 12A	Aceite incoloro
708		Ejemplo 1E; Ejemplo 4B; Ejemplo 8D; Ejemplo 12A	Aceite incoloro
709		Ejemplo 1B, Pasos 1, 2; Ejemplo 4C; Ejemplo 8A; Ejemplo 12A	Aceite incoloro
710		Ejemplo 1E; Ejemplo 4B; Ejemplo 8D; Ejemplo 12A	Aceite incoloro
711		Ejemplo 1E; Ejemplo 4B; Ejemplo 8D; Ejemplo 12A	Aceite incoloro

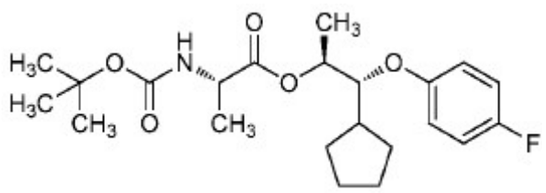
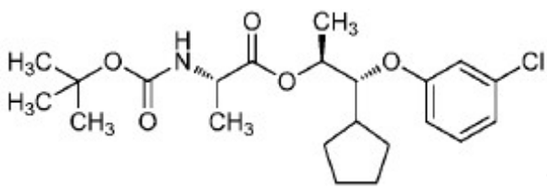
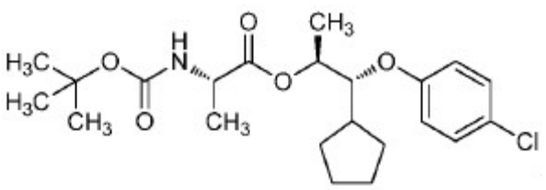
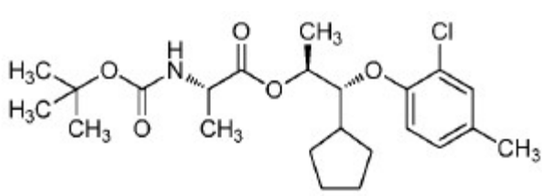
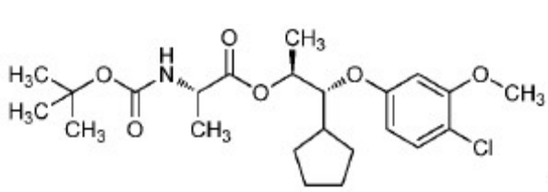
*Comp. No.	Estructura	Preparado de acuerdo con el Ejemplo:	Apariencia
712		Ejemplo 1A; Ejemplo 4D; Ejemplo 8A; Ejemplo 12A	Aceite incoloro
713		Ejemplo 1A; Ejemplo 4C; Ejemplo 8A; Ejemplo 12A	Aceite incoloro
714		Ejemplo 1B, Pasos 1, 2; Ejemplo 4F; Ejemplo 8B; Ejemplo 12A	Aceite incoloro
715		Ejemplo 1B, Pasos 1, 2; Ejemplo 4F; Ejemplo 8B; Ejemplo 12A	Aceite incoloro

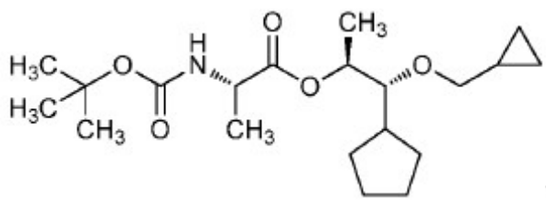
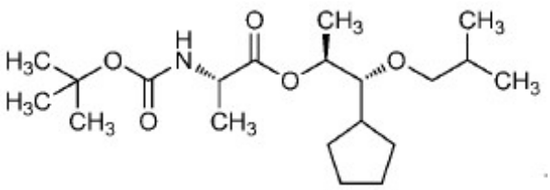
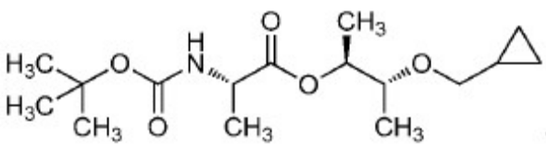
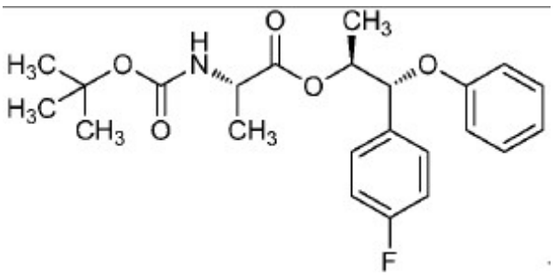
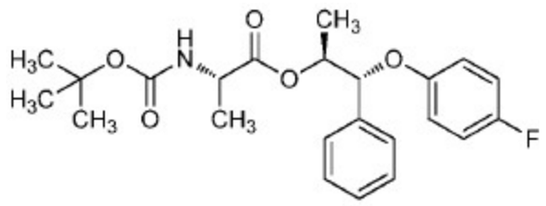
*Comp. No.	Estructura	Preparado de acuerdo con el Ejemplo:	Apariencia
716		Ejemplo 1B, Pasos 1, 2; Ejemplo 4F; Ejemplo 8C; Ejemplo 12A	Aceite incoloro
717		Ejemplo 1B, Pasos 1, 2; Ejemplo 4F; Ejemplo 8C; Ejemplo 12A	Aceite incoloro
718		Ejemplo 1B, Pasos 1, 2; Ejemplo 4D; Ejemplo 8D; Ejemplo 12A	Aceite incoloro
719		Ejemplo 1B, Pasos 1, 2; Ejemplo 4D; Ejemplo 8D; Ejemplo 12A	Aceite incoloro

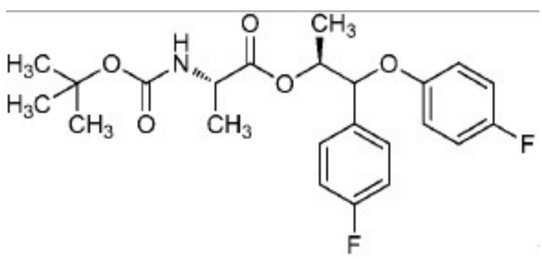
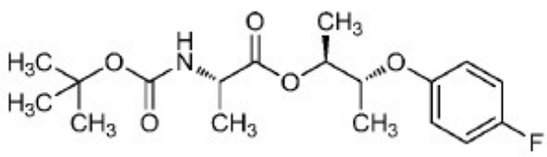
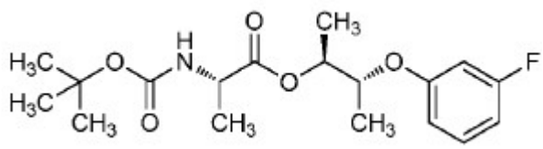
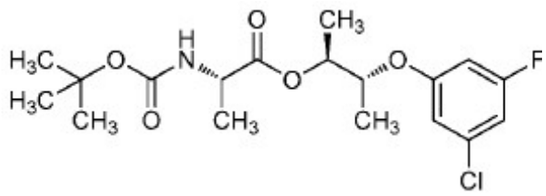
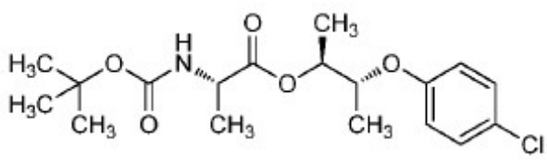
*Comp. No.	Estructura	Preparado de acuerdo con el Ejemplo:	Apariencia
720		Ejemplo 1B, Pasos 1, 2; Ejemplo 4D; Ejemplo 8D; Ejemplo 12A	Aceite incoloro
721		Ejemplo 1A; Ejemplo 4B; Ejemplo 8A; Ejemplo 12A	Aceite claro
722		Ejemplo 1A; Ejemplo 4D; Ejemplo 8A; Ejemplo 12A	Aceite claro
723		Ejemplo 1A; Ejemplo 4D; Ejemplo 8A; Ejemplo 12A	Aceite claro

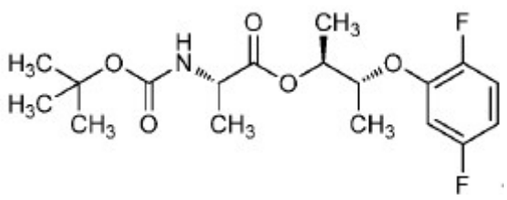
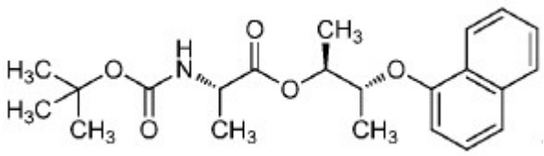
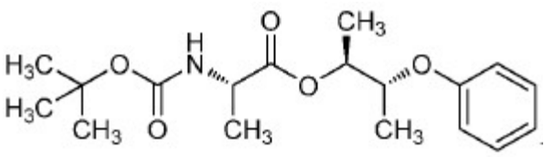
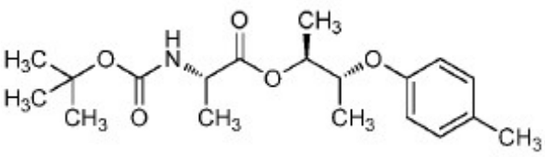
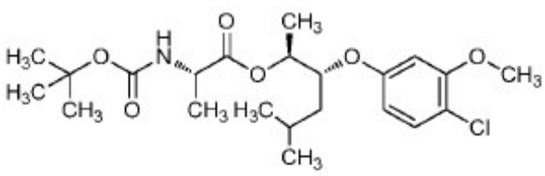
*Comp. No.	Estructura	Preparado de acuerdo con el Ejemplo:	Apariencia
724		Ejemplo 1A; Ejemplo 4G; Ejemplo 8A; Ejemplo 12A	Aceite claro
725		Ejemplo 1A; Ejemplo 4G; Ejemplo 8A; Ejemplo 12A	Aceite claro
726		Ejemplo 1A; Ejemplo 4B; Ejemplo 8A; Ejemplo 12A	Aceite incoloro
727		Ejemplo 1A; Ejemplo 4H; Ejemplo 8C; Ejemplo 12A	Aceite incoloro

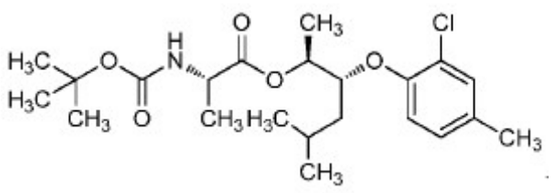
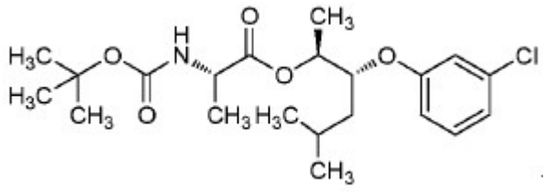
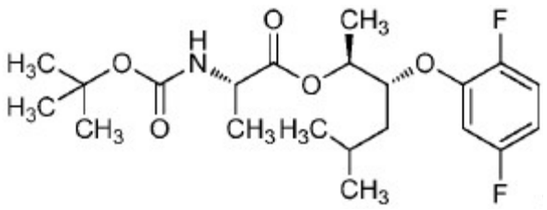
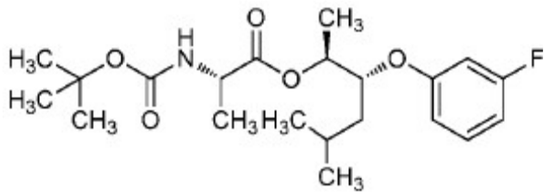
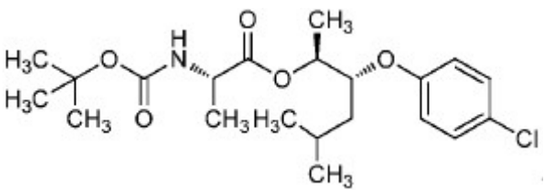
*Comp. No.	Estructura	Preparado de acuerdo con el Ejemplo:	Apariencia
728		Ejemplo 9, Pasos 1-3; Ejemplo 11, Pasos 1, 2; Ejemplo 12B	Aceite incoloro
729		Ejemplo 1A; Ejemplo 4B; Ejemplo 8A; Ejemplo 12A	Aceite incoloro
730		Ejemplo 1A; Ejemplo 4B; Ejemplo 8A; Ejemplo 12A	Aceite incoloro
731		Ejemplo 1A; Ejemplo 4C; Ejemplo 8A; Ejemplo 12A	Aceite incoloro

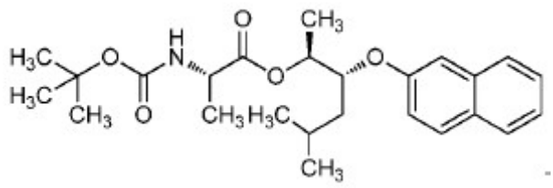
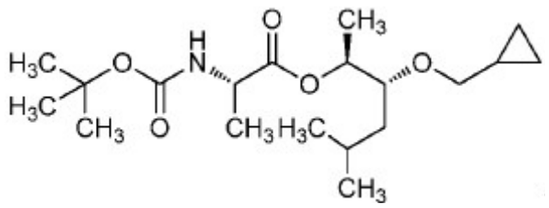
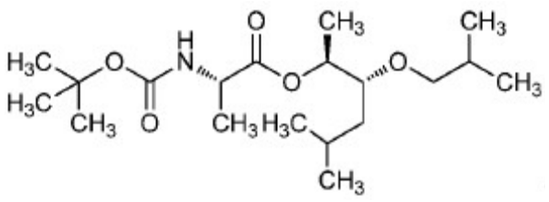
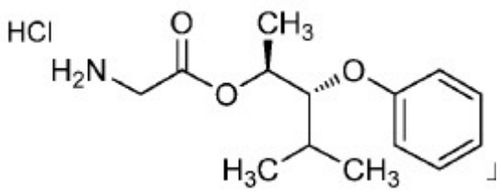
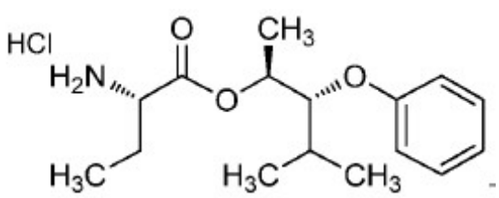
*Comp. No.	Estructura	Preparado de acuerdo con el Ejemplo:	Apariencia
732		Ejemplo 1A; Ejemplo 4C; Ejemplo 8A; Ejemplo 12A	Aceite incoloro
733		Ejemplo 1A; Ejemplo 4C; Ejemplo 8A; Ejemplo 12A	Aceite incoloro
734		Ejemplo 1A; Ejemplo 4C; Ejemplo 8A; Ejemplo 12A	Aceite incoloro
735		Ejemplo 1A; Ejemplo 4C; Ejemplo 8A; Ejemplo 12A	Aceite incoloro
736		Ejemplo 1A; Ejemplo 4C; Ejemplo 8A; Ejemplo 12A	Aceite incoloro

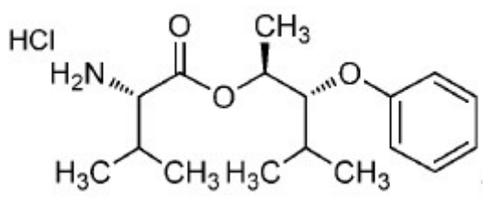
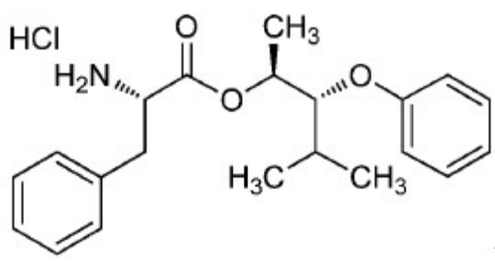
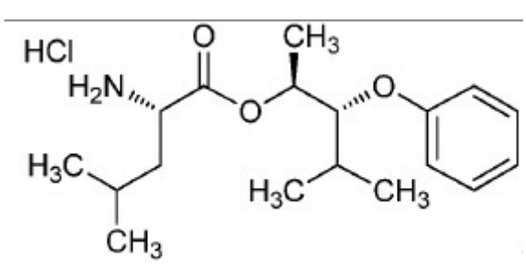
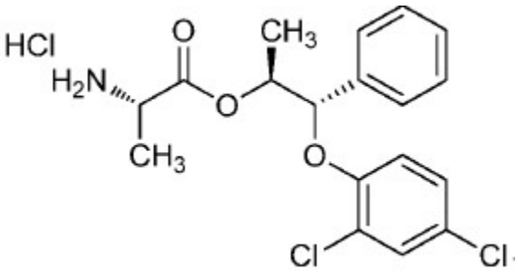
*Comp. No.	Estructura	Preparado de acuerdo con el Ejemplo:	Apariencia
737		Ejemplo 1A; Ejemplo 4D; Ejemplo 8A; Ejemplo 12A	Aceite incoloro
738		Ejemplo 1A; Ejemplo 4F; Ejemplo 8C; Ejemplo 12A	Aceite incoloro
739		Ejemplo 1A; Ejemplo 4D; Ejemplo 8C; Ejemplo 12A	Aceite amarillo
740		Ejemplo 1A; Ejemplo 4B; Ejemplo 8D; Ejemplo 12A	Aceite incoloro
741		Ejemplo 1A; Ejemplo 4B; Ejemplo 8A; Ejemplo 12A	Aceite incoloro

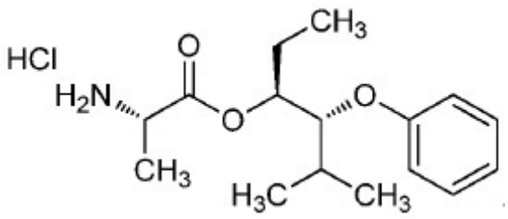
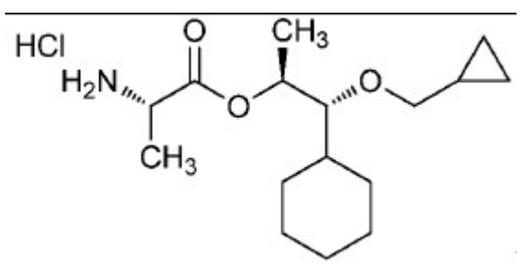
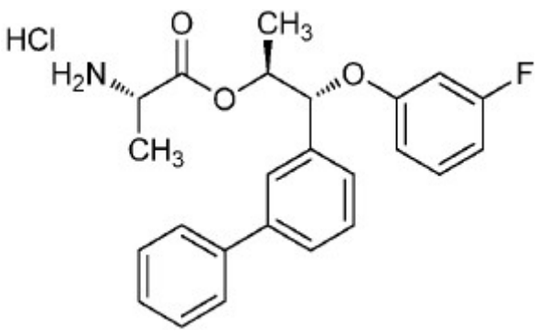
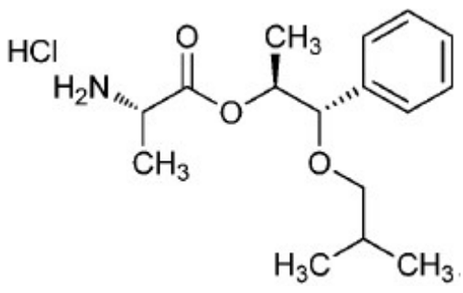
*Comp. No.	Estructura	Preparado de acuerdo con el Ejemplo:	Apariencia
742		Ejemplo 1B, Pasos 1, 2; Ejemplo 4B; Ejemplo 8A; Ejemplo 12A	Aceite incoloro
743		Ejemplo 1A; Ejemplo 4C; Ejemplo 8A; Ejemplo 12A	Aceite incoloro
744		Ejemplo 1A; Ejemplo 4C; Ejemplo 8A; Ejemplo 12A	Aceite incoloro
745		Ejemplo 1A; Ejemplo 4C; Ejemplo 8A; Ejemplo 12A	Aceite incoloro
746		Ejemplo 1A; Ejemplo 4C; Ejemplo 8A; Ejemplo 12A	Aceite incoloro

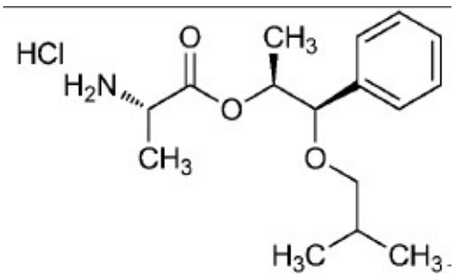
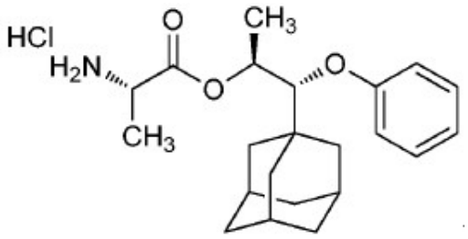
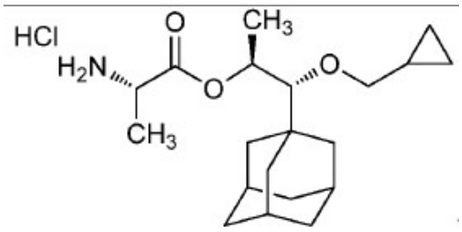
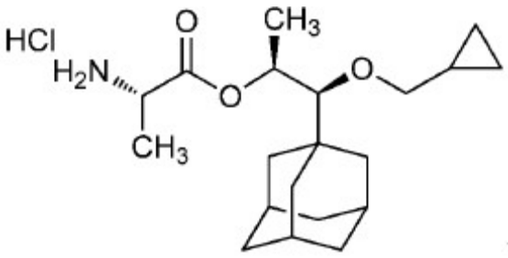
*Comp. No.	Estructura	Preparado de acuerdo con el Ejemplo:	Apariencia
747		Ejemplo 1A; Ejemplo 4C; Ejemplo 8A; Ejemplo 12A	Aceite incoloro
748		Ejemplo 1A; Ejemplo 4C; Ejemplo 8A; Ejemplo 12A	Aceite incoloro
749		Ejemplo 1A; Ejemplo 4C; Ejemplo 8F; Ejemplo 12A	Aceite amarillo
750		Ejemplo 1A; Ejemplo 4C; Ejemplo 8F; Ejemplo 12A	Aceite amarillo
751		Ejemplo 1A; Ejemplo 4C; Ejemplo 8A; Ejemplo 12A	Aceite café

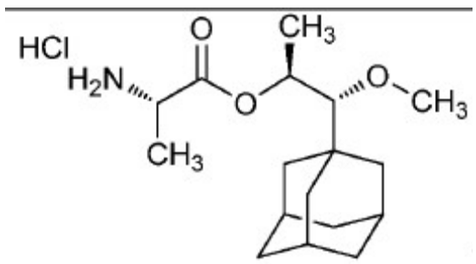
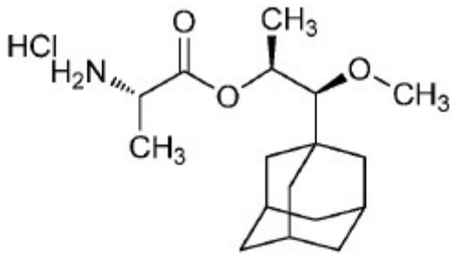
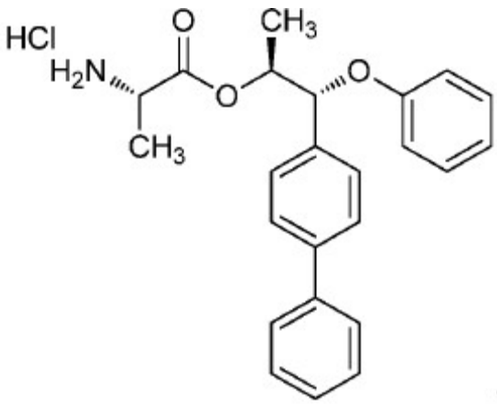
*Comp. No.	Estructura	Preparado de acuerdo con el Ejemplo:	Apariencia
752		Ejemplo 1A; Ejemplo 4C; Ejemplo 8A; Ejemplo 12A	Aceite incoloro
753		Ejemplo 1A; Ejemplo 4C; Ejemplo 8A; Ejemplo 12A	Aceite incoloro
754		Ejemplo 1A; Ejemplo 4C; Ejemplo 8A; Ejemplo 12A	Aceite incoloro
755		Ejemplo 1A; Ejemplo 4C; Ejemplo 8A; Ejemplo 12A	Aceite incoloro
756		Ejemplo 1A; Ejemplo 4C; Ejemplo 8A; Ejemplo 12A	Aceite incoloro

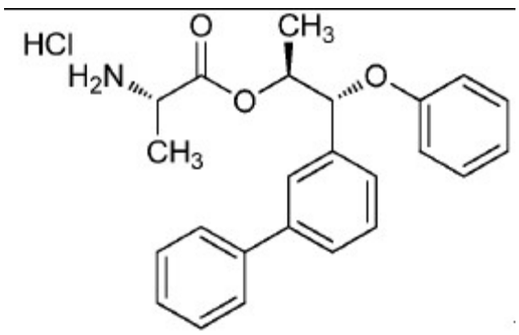
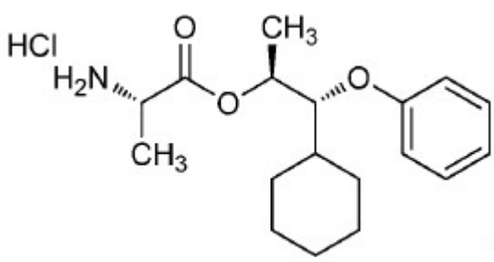
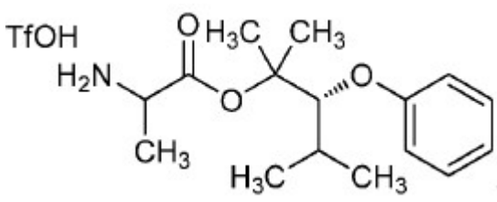
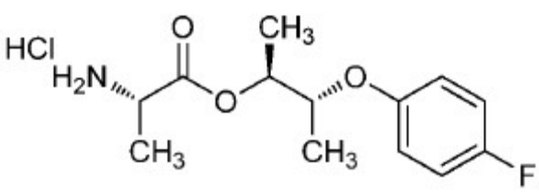
*Comp. No.	Estructura	Preparado de acuerdo con el Ejemplo:	Apariencia
757		Ejemplo 1A; Ejemplo 4C; Ejemplo 8A; Ejemplo 12A	Aceite amarillo
758		Ejemplo 1A; Ejemplo 4D; Ejemplo 8A; Ejemplo 12A	Aceite incoloro
759		Ejemplo 1A; Ejemplo 4F; Ejemplo 8C; Ejemplo 12A	Aceite incoloro
760		Ejemplo 14A, Paso 1	Aceite incoloro
761		Ejemplo 14A, Paso 1	Aceite incoloro

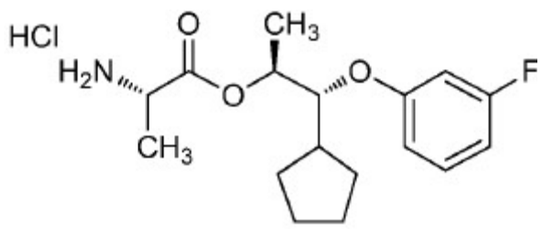
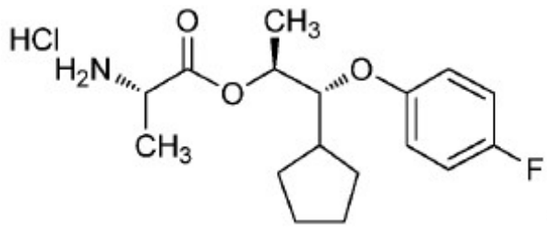
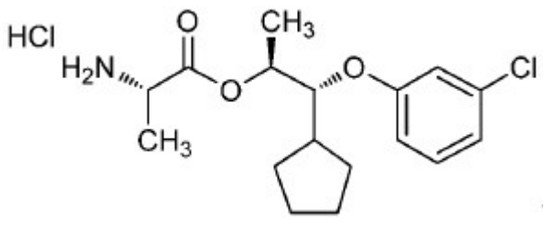
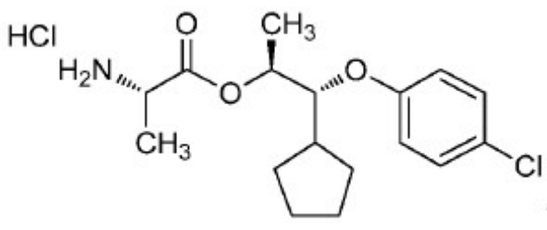
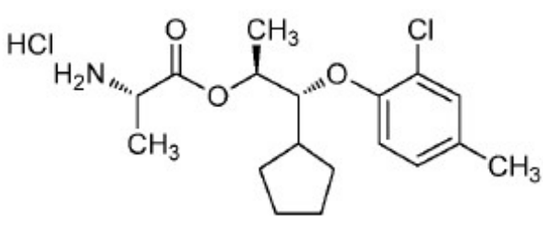
*Comp. No.	Estructura	Preparado de acuerdo con el Ejemplo:	Apariencia
762		Ejemplo 14A, Paso 1	Aceite incoloro
763		Ejemplo 14A, Paso 1	Aceite incoloro
764		Ejemplo 14A, Paso 1	Aceite incoloro
765		Ejemplo 14A, Paso 1	Aceite incoloro

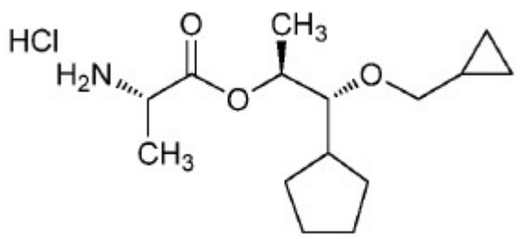
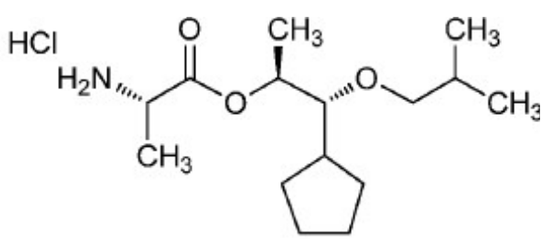
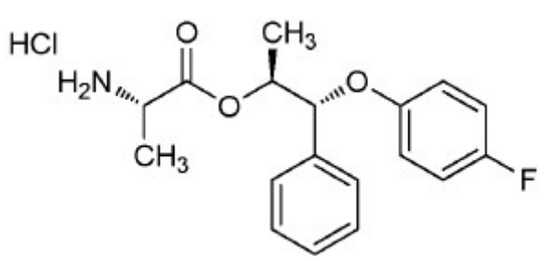
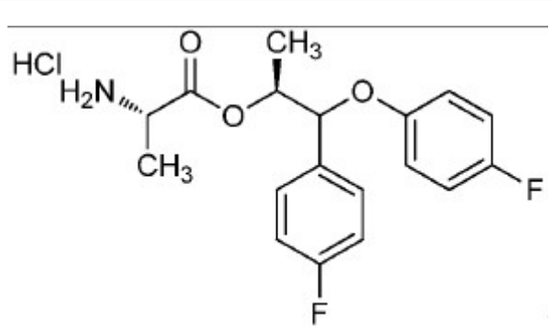
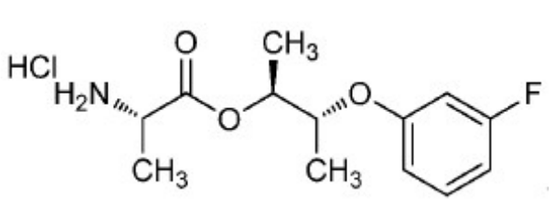
*Comp. No.	Estructura	Preparado de acuerdo con el Ejemplo:	Apariencia
766		Ejemplo 14A, Paso 1	Sólido blanco
767		Ejemplo 14A, Paso 1	Aceite incoloro nublado
768		Ejemplo 14A, Paso 1	Aceite incoloro
769		Ejemplo 14A, Paso 1	Aceite incoloro

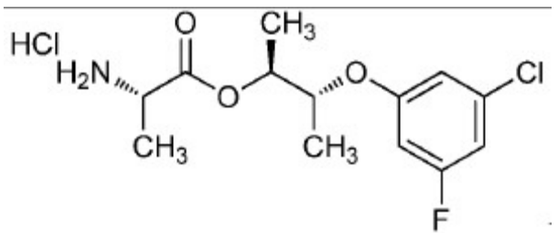
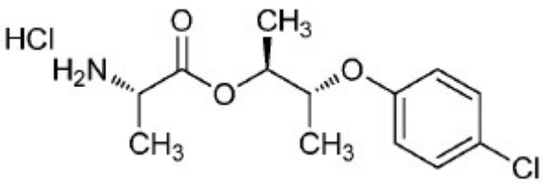
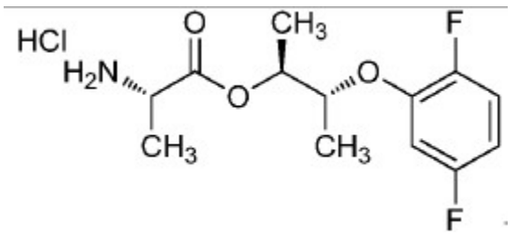
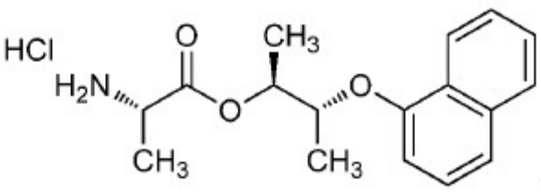
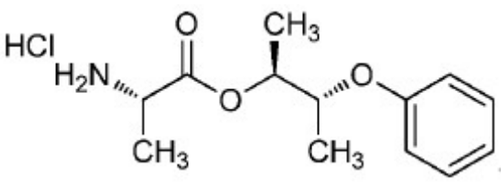
*Comp. No.	Estructura	Preparado de acuerdo con el Ejemplo:	Apariencia
770		Ejemplo 14A, Paso 1	Aceite incoloro
771		Ejemplo 14A, Paso 1	Sólido blanco
772		Ejemplo 14A, Paso 1	Sólido blanco
773		Ejemplo 14A, Paso 1	Sólido blanco

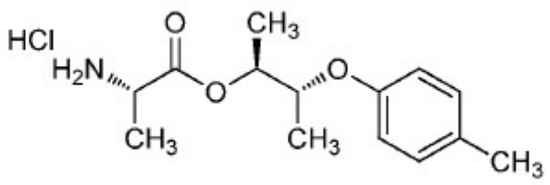
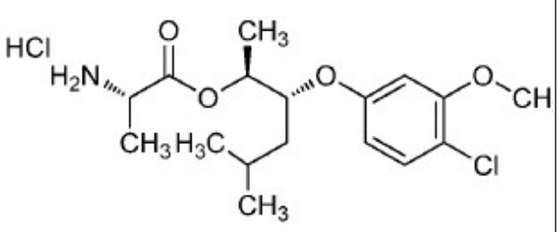
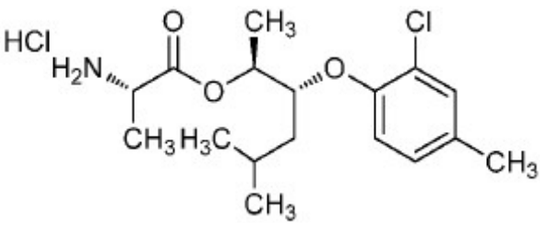
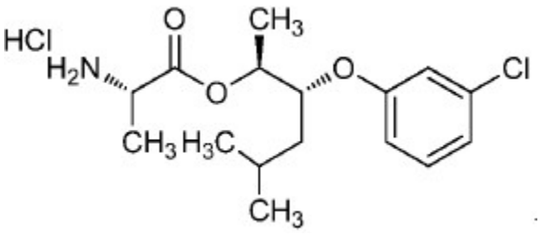
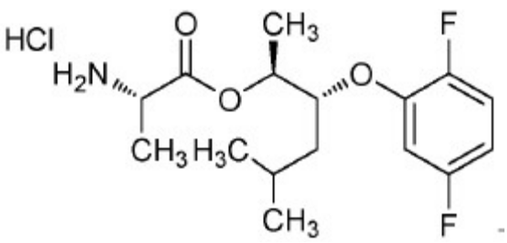
*Comp. No.	Estructura	Preparado de acuerdo con el Ejemplo:	Apariencia
774		Ejemplo 14A, Paso 1	Sólido blanco
775		Ejemplo 14A, Paso 1	Sólido blanco
776		Ejemplo 14A, Paso 1	Sólido beige

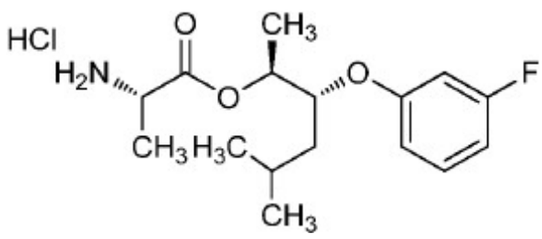
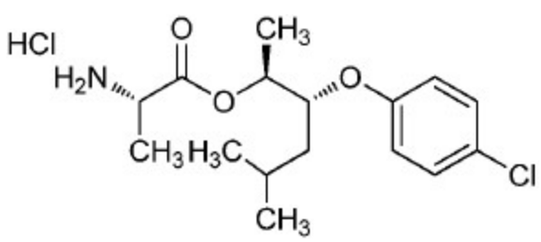
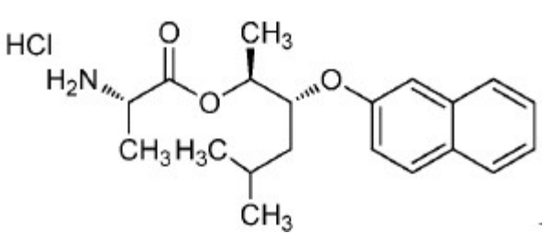
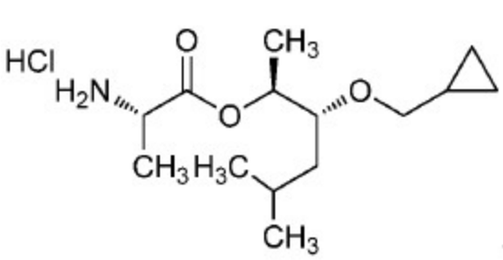
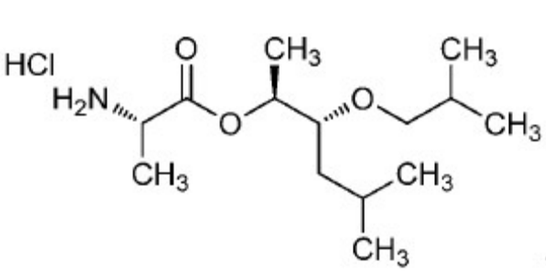
*Comp. No.	Estructura	Preparado de acuerdo con el Ejemplo:	Apariencia
777		Ejemplo 14A, Paso 1	Aceite incoloro
778		Ejemplo 14D, Paso 1	Sólido beige
779		Ejemplo 14A, Paso 1	Aceite
780		Ejemplo 14A, Paso 1	Aceite amarillo

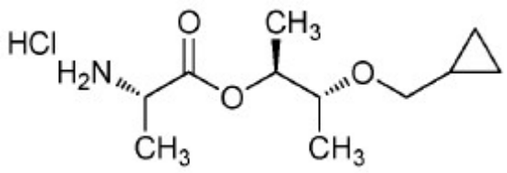
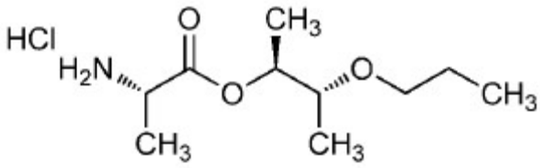
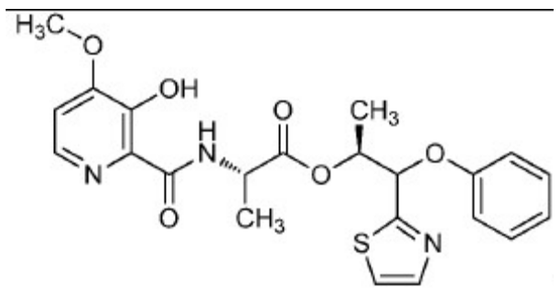
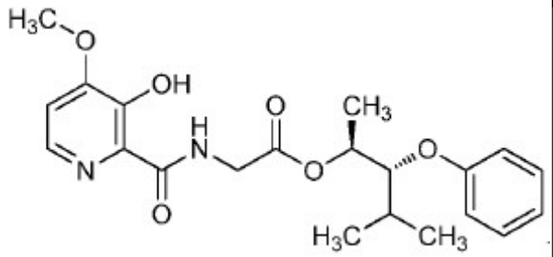
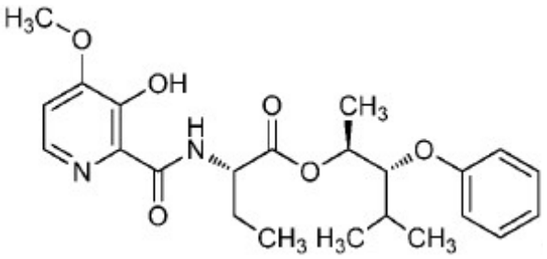
*Comp. No.	Estructura	Preparado de acuerdo con el Ejemplo:	Apariencia
781		Ejemplo 14A, Paso 1	Aceite incoloro
782		Ejemplo 14A, Paso 1	Aceite incoloro
783		Ejemplo 14A, Paso 1	Aceite incoloro
784		Ejemplo 14A, Paso 1	Aceite incoloro
785		Ejemplo 14A, Paso 1	Aceite incoloro

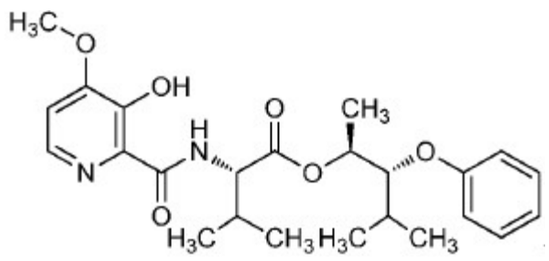
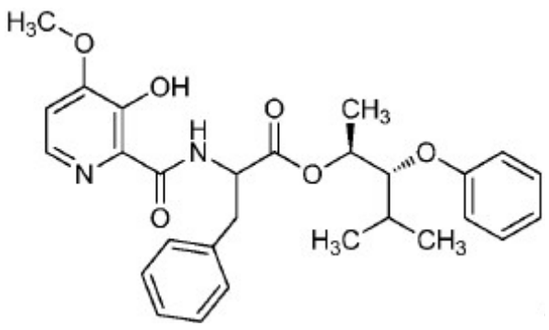
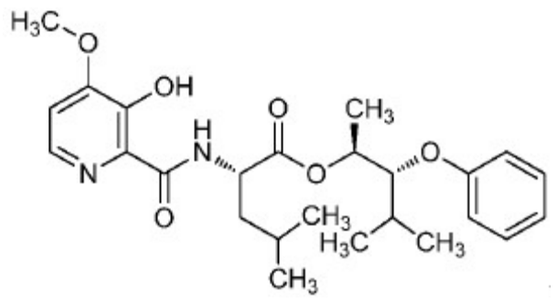
*Comp. No.	Estructura	Preparado de acuerdo con el Ejemplo:	Apariencia
786		Ejemplo 14A, Paso 1	Aceite incoloro
787		Ejemplo 14A, Paso 1	Aceite incoloro
788		Ejemplo 14A, Paso 1	Aceite incoloro
789		Ejemplo 14A, Paso 1	Aceite incoloro
790		Ejemplo 14A, Paso 1	Aceite amarillo

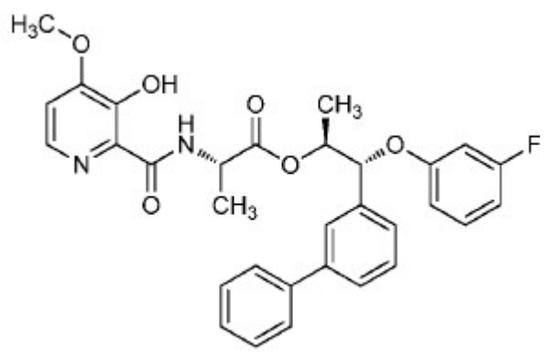
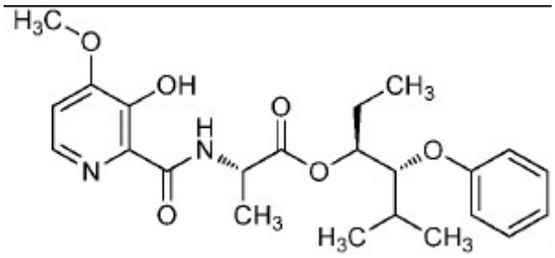
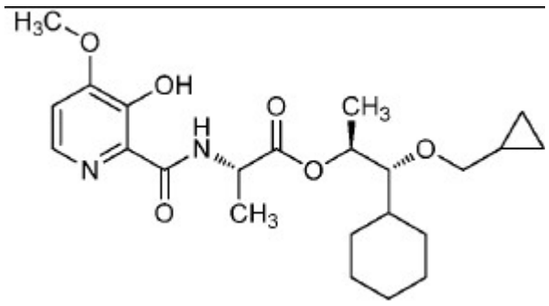
*Comp. No.	Estructura	Preparado de acuerdo con el Ejemplo:	Apariencia
791		Ejemplo 14A, Paso 1	Aceite amarillo
792		Ejemplo 14A, Paso 1	Aceite amarillo
793		Ejemplo 14A, Paso 1	Aceite amarillo
794		Ejemplo 14A, Paso 1	Aceite amarillo
795		Ejemplo 14A, Paso 1	Aceite amarillo

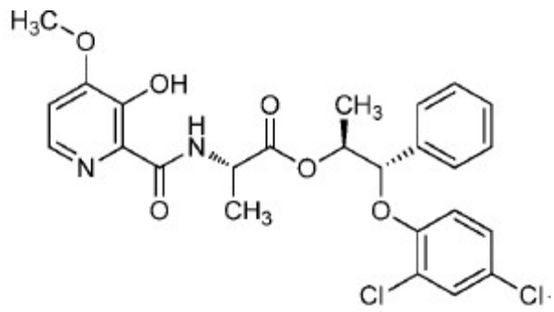
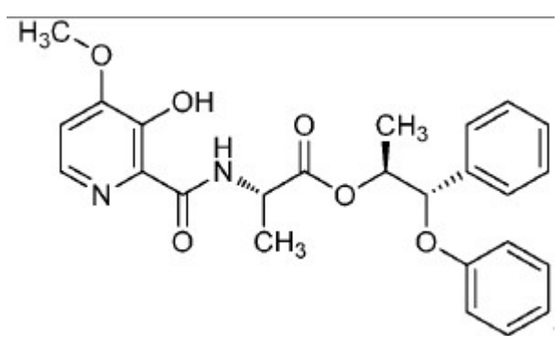
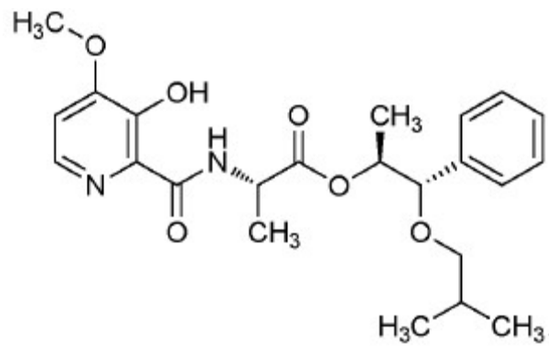
*Comp. No.	Estructura	Preparado de acuerdo con el Ejemplo:	Apariencia
796		Ejemplo 14A, Paso 1	Aceite amarillo
797		Ejemplo 14A, Paso 1	Aceite amarillo
798		Ejemplo 14A, Paso 1	Aceite amarillo
799		Ejemplo 14A, Paso 1	Aceite amarillo
800		Ejemplo 14A, Paso 1	Aceite amarillo

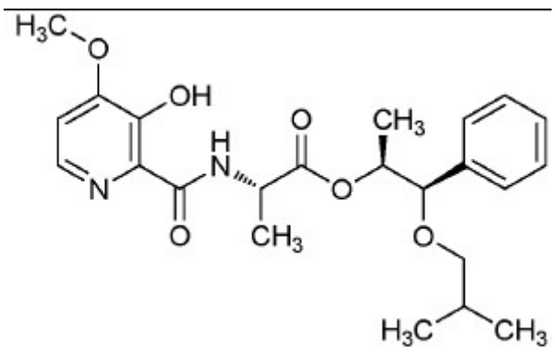
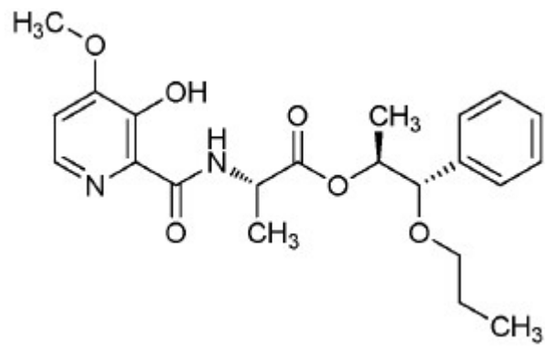
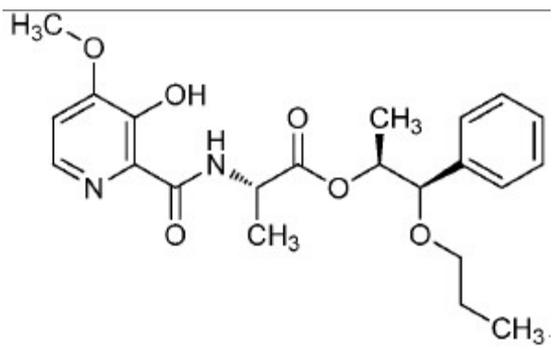
*Comp. No.	Estructura	Preparado de acuerdo con el Ejemplo:	Apariencia
801		Ejemplo 14A, Paso 1	Aceite amarillo
802		Ejemplo 14A, Paso 1	Aceite amarillo
803		Ejemplo 14A, Paso 1	Aceite amarillo
804		Ejemplo 14A, Paso 1	Aceite amarillo
805		Ejemplo 14A, Paso 1	Aceite amarillo

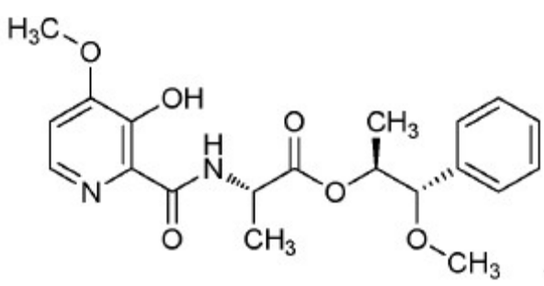
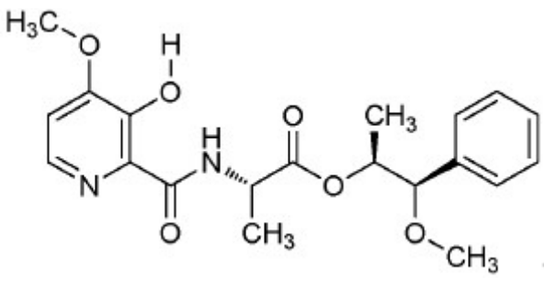
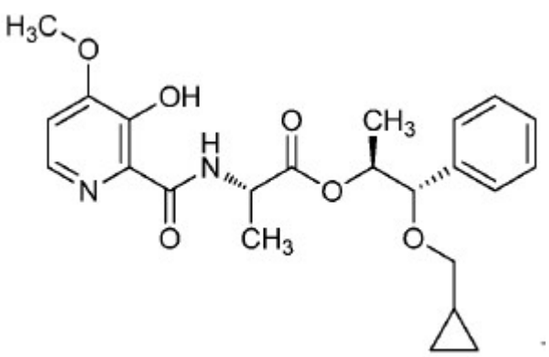
*Comp. No.	Estructura	Preparado de acuerdo con el Ejemplo:	Apariencia
806		Ejemplo 14A, Paso 1	Aceite amarillo
807		Ejemplo 14A, Paso 1	Aceite amarillo
808		Ejemplo 14A, Pasos 1, 2	Espuma / Aceite incoloro
809		Ejemplo 14A, Paso 2	Aceite incoloro
810		Ejemplo 14A, Paso 2	Aceite incoloro

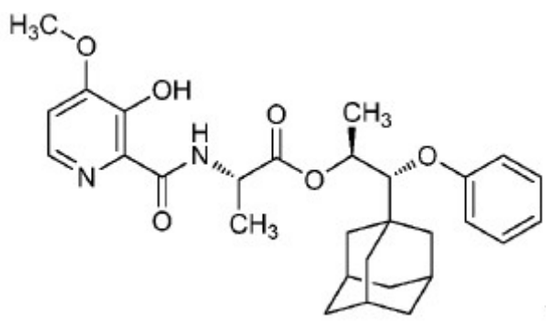
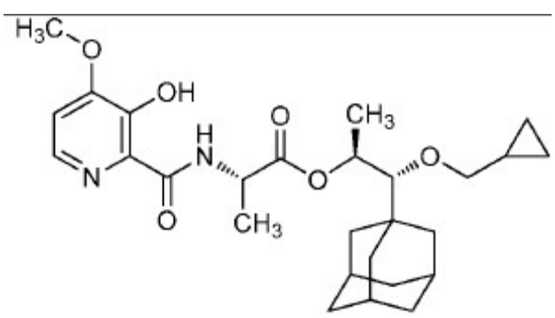
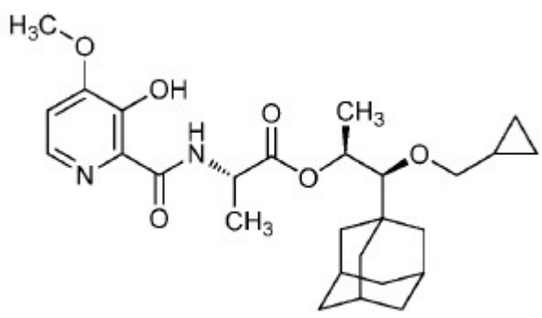
*Comp. No.	Estructura	Preparado de acuerdo con el Ejemplo:	Apariencia
811		Ejemplo 14A, Paso 2	Aceite incoloro
812		Ejemplo 14A, Paso 2	Aceite incoloro
813		Ejemplo 14A, Paso 2	Aceite incoloro

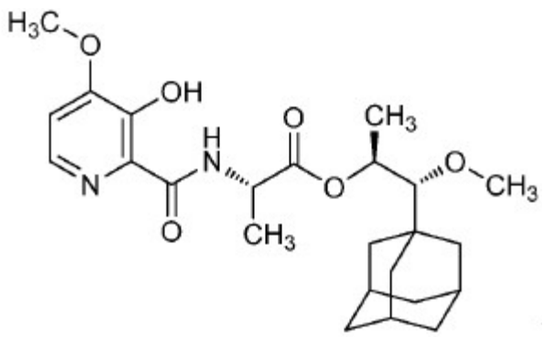
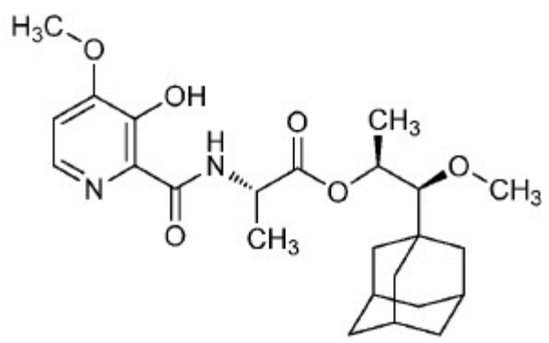
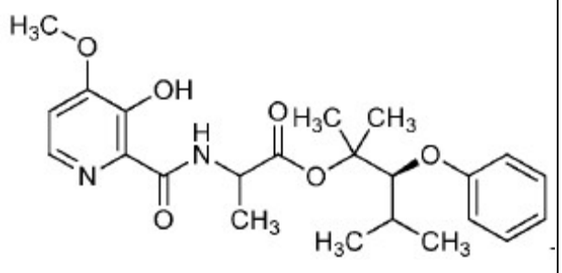
*Comp. No.	Estructura	Preparado de acuerdo con el Ejemplo:	Apariencia
814		Ejemplo 14A, Paso 2	Sólido blanco espumoso
815		Ejemplo 14A, Paso 2	Aceite espeso
816		Ejemplo 14A, Paso 2	Aceite incoloro

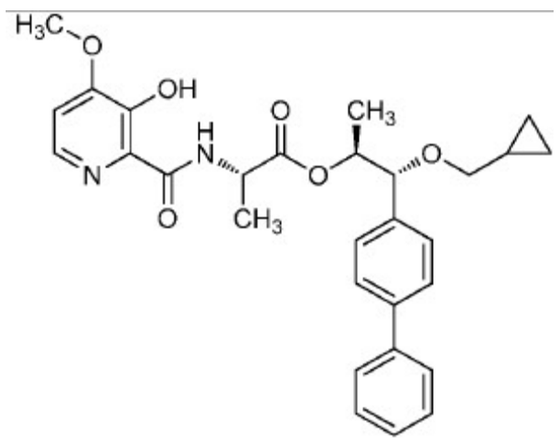
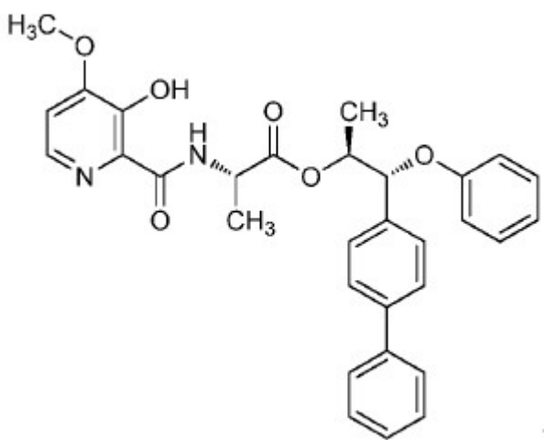
*Comp. No.	Estructura	Preparado de acuerdo con el Ejemplo:	Apariencia
817		Ejemplo 14A, Paso 2	Espuma blanca
818		Ejemplo 15	Aceite incoloro
819		Ejemplo 14A, Paso 2	Aceite incoloro

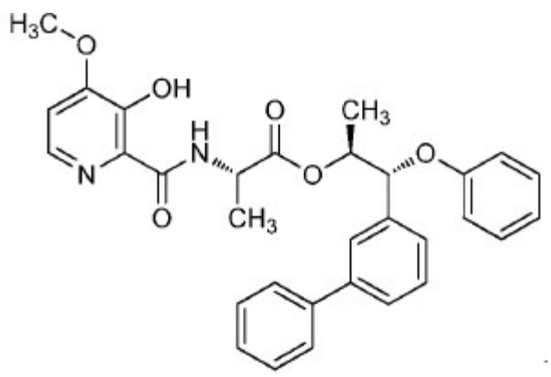
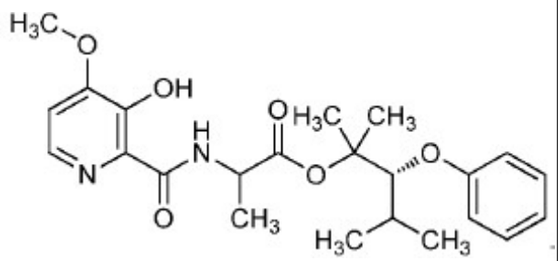
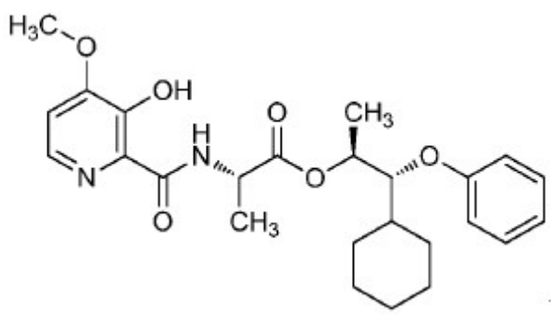
*Comp. No.	Estructura	Preparado de acuerdo con el Ejemplo:	Apariencia
820		Ejemplo 14A, Paso 2	Aceite incoloro
821		Ejemplo 14A, Pasos 1, 2	Aceite incoloro
822		Ejemplo 14A, Pasos 1, 2	Aceite incoloro

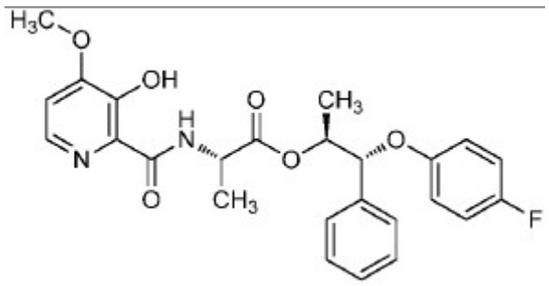
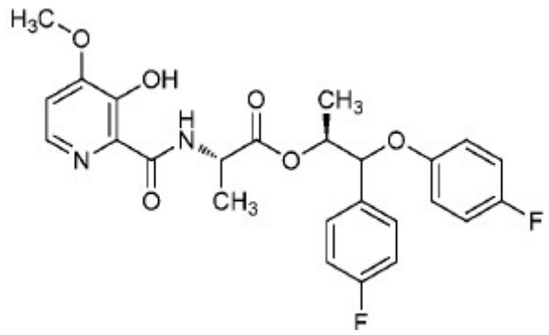
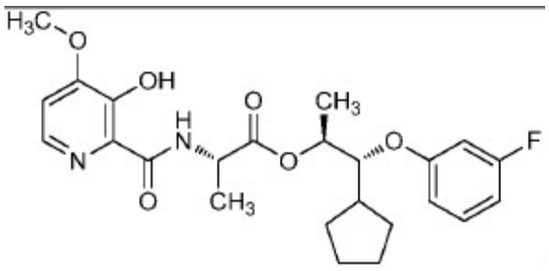
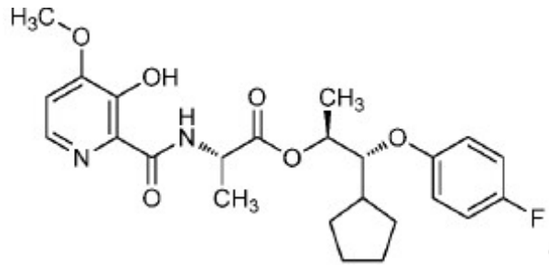
*Comp. No.	Estructura	Preparado de acuerdo con el Ejemplo:	Apariencia
823		Ejemplo 14A, Pasos 1, 2	Aceite incoloro
824		Ejemplo 14A, Pasos 1, 2	Aceite incoloro
825		Ejemplo 14A, Pasos 1, 2	Aceite incoloro

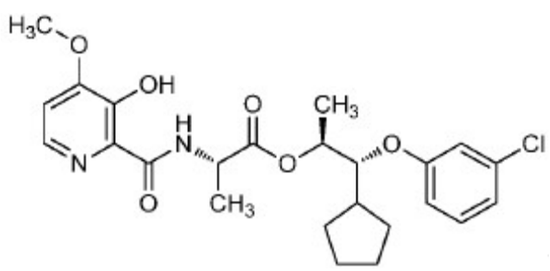
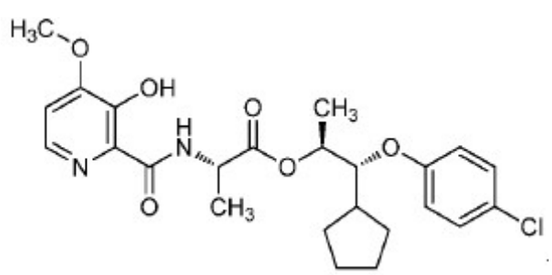
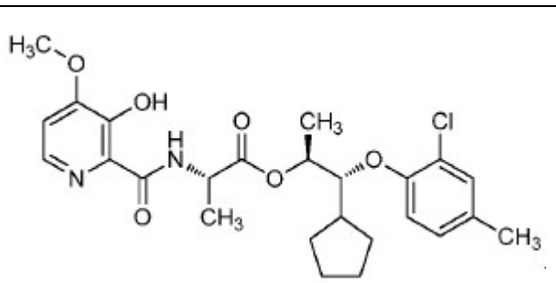
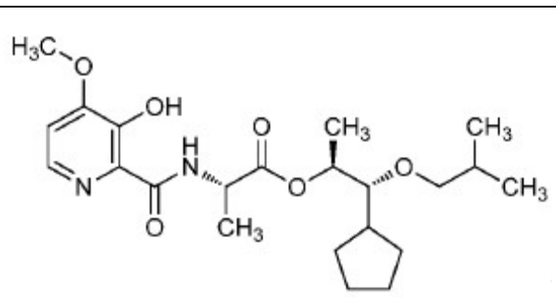
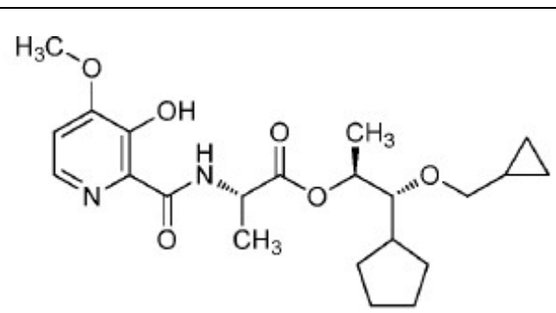
*Comp. No.	Estructura	Preparado de acuerdo con el Ejemplo:	Apariencia
826		Ejemplo 14A, Paso 2	Espuma blanca
827		Ejemplo 14A, Paso 2	Espuma blanca
828		Ejemplo 14A, Paso 2	Espuma blanca

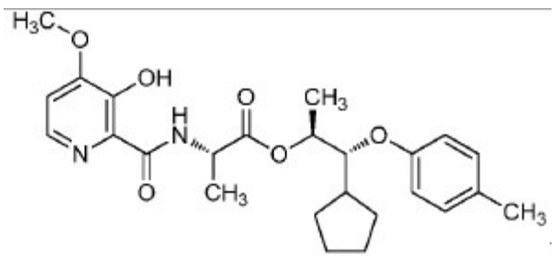
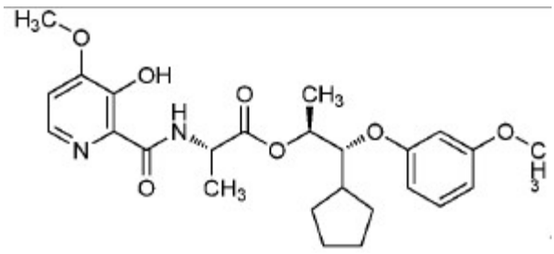
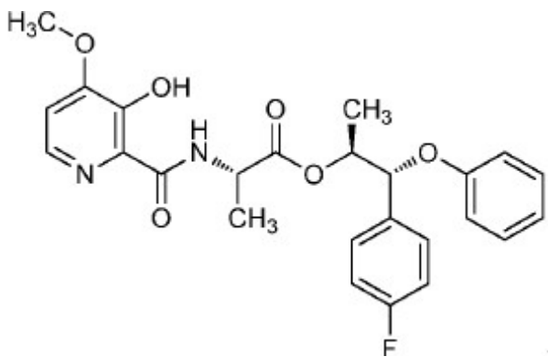
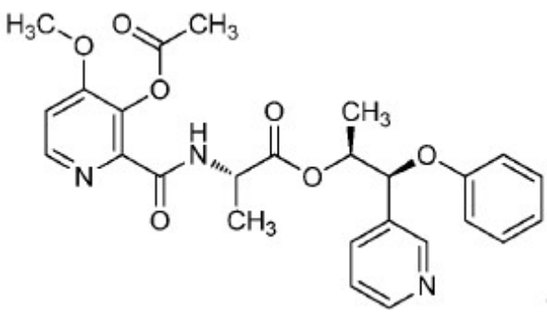
*Comp. No.	Estructura	Preparado de acuerdo con el Ejemplo:	Apariencia
829		Ejemplo 14A, Paso 2	Espuma blanca
830		Ejemplo 14A, Paso 2	Espuma blanca
831		Ejemplo 14D, Paso 2	Aceite

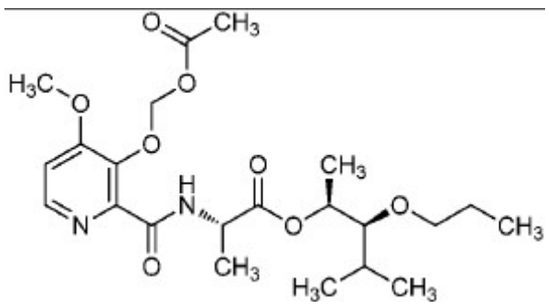
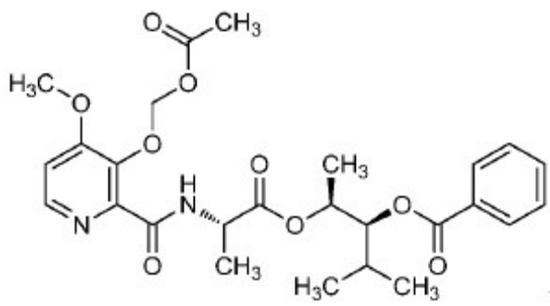
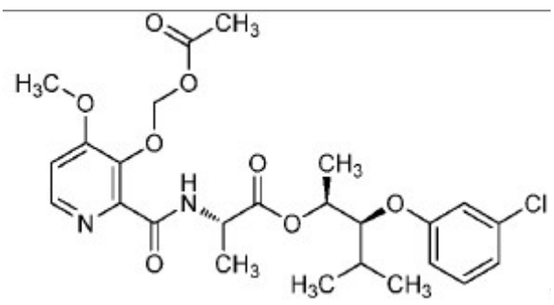
*Comp. No.	Estructura	Preparado de acuerdo con el Ejemplo:	Apariencia
832		Ejemplo 14A, Paso 2	Sólido beige
833		Ejemplo 14A, Paso 2	Aceite incoloro

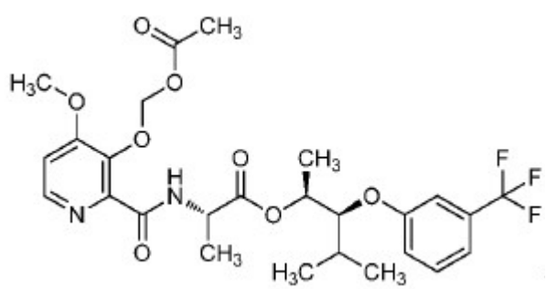
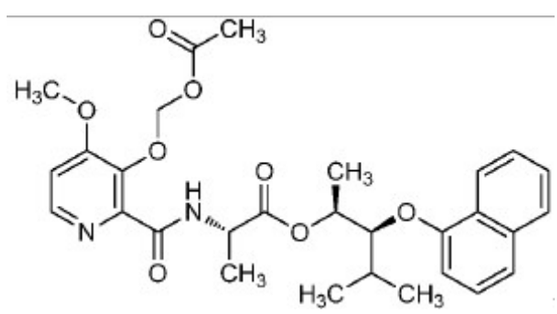
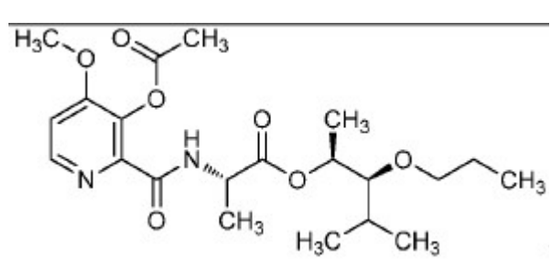
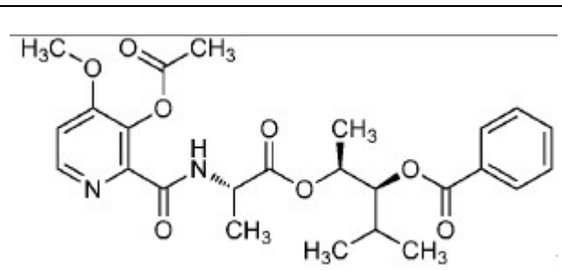
*Comp. No.	Estructura	Preparado de acuerdo con el Ejemplo:	Apariencia
834		Ejemplo 14A, Paso 2	Aceite incoloro
835		Ejemplo 14D, Paso 2	Aceite incoloro
836		Ejemplo 14A, Paso 2	Sólido blanco espumoso

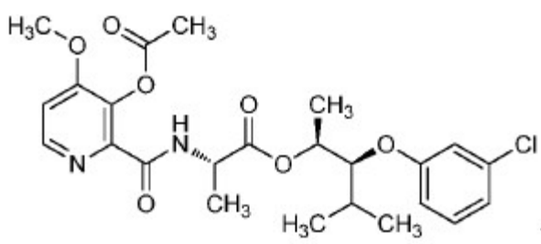
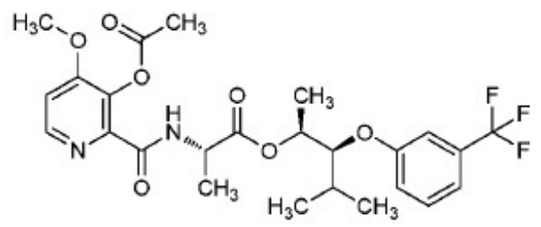
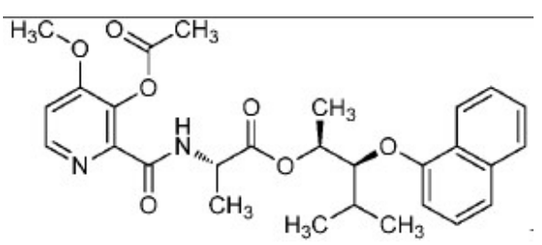
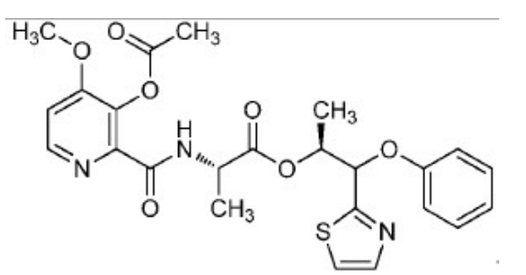
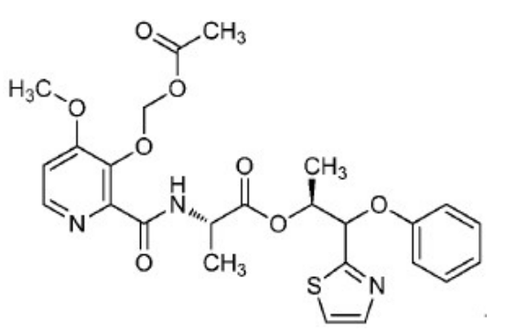
*Comp. No.	Estructura	Preparado de acuerdo con el Ejemplo:	Apariencia
837		Ejemplo 14A, Paso 2	Aceite incoloro
838		Ejemplo 14A, Paso 2	Aceite incoloro
839		Ejemplo 14A, Paso 2	Aceite incoloro
840		Ejemplo 14A, Paso 2	Aceite incoloro

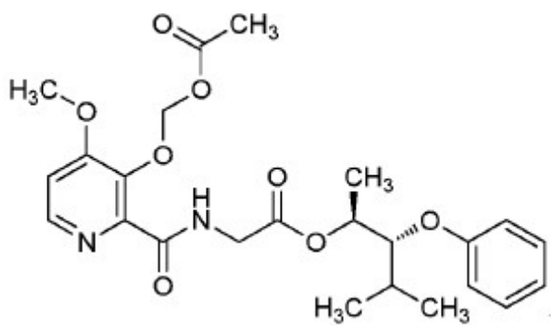
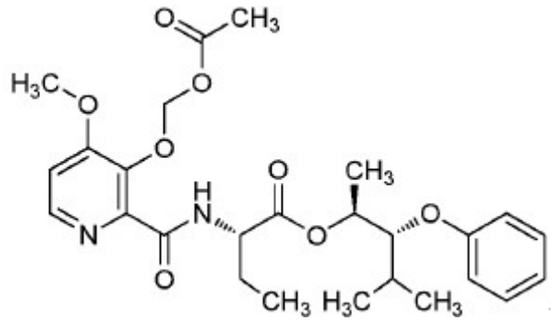
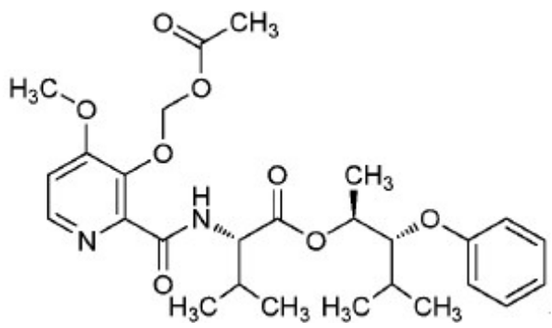
*Comp. No.	Estructura	Preparado de acuerdo con el Ejemplo:	Apariencia
841		Ejemplo 14A, Paso 2	Aceite incoloro
842		Ejemplo 14A, Paso 2	Aceite incoloro
843		Ejemplo 14A, Paso 2	Aceite incoloro
844		Ejemplo 14A, Paso 2	Aceite incoloro
845		Ejemplo 14A, Paso 2	Aceite incoloro

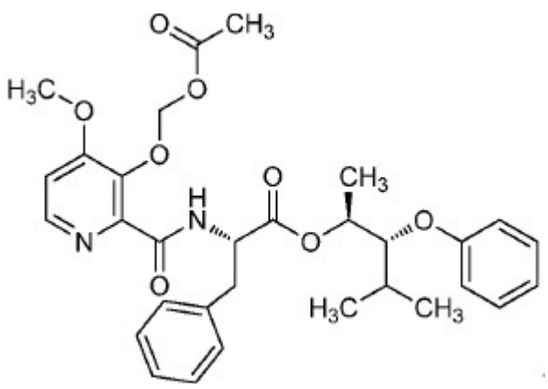
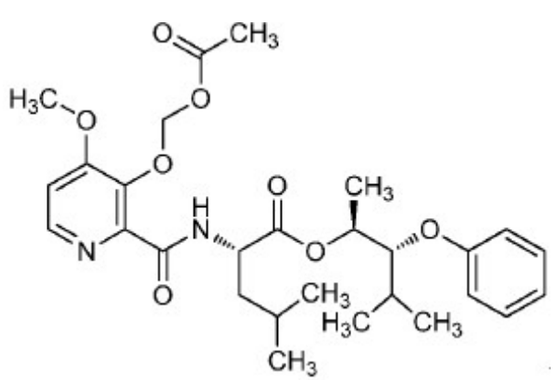
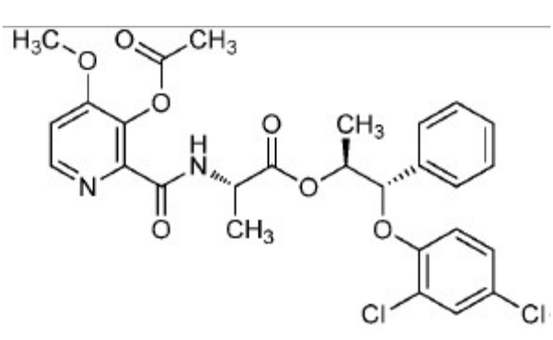
*Comp. No.	Estructura	Preparado de acuerdo con el Ejemplo:	Apariencia
846		Ejemplo 15	Espuma blanca
847		Ejemplo 15	Aceite incoloro
848		Ejemplo 14A, Paso 2	Aceite incoloro
849		Ejemplo 16A	Aceite incoloro

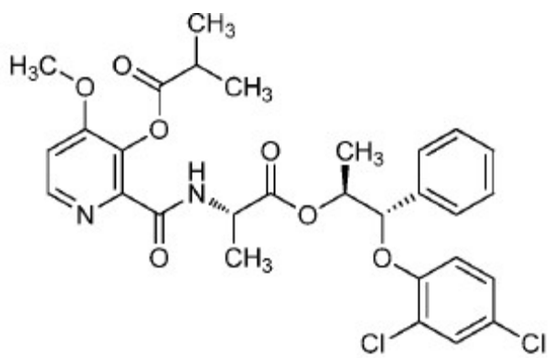
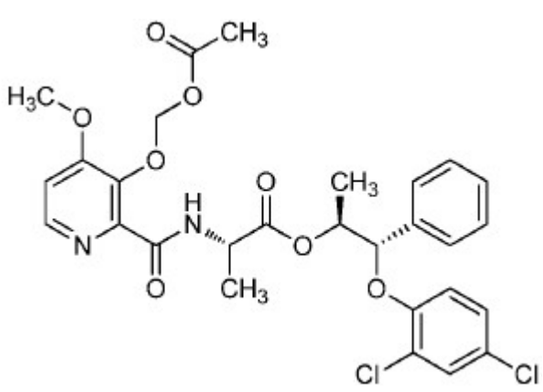
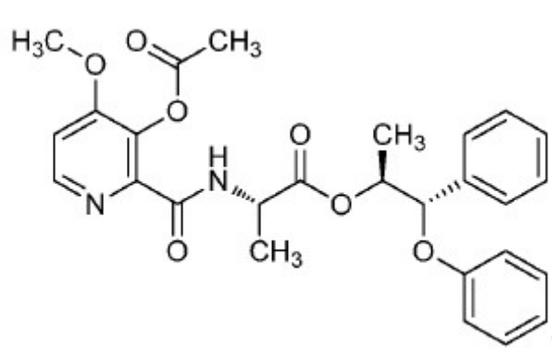
*Comp. No.	Estructura	Preparado de acuerdo con el Ejemplo:	Apariencia
850		Ejemplo 16B	Aceite amarillo
851		Ejemplo 16B	Aceite amarillo
852		Ejemplo 16B	Aceite amarillo

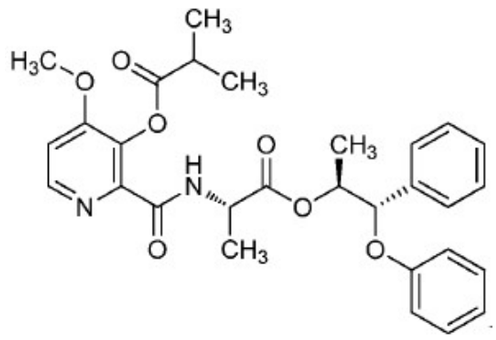
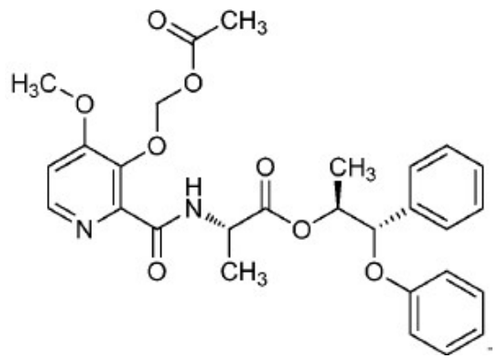
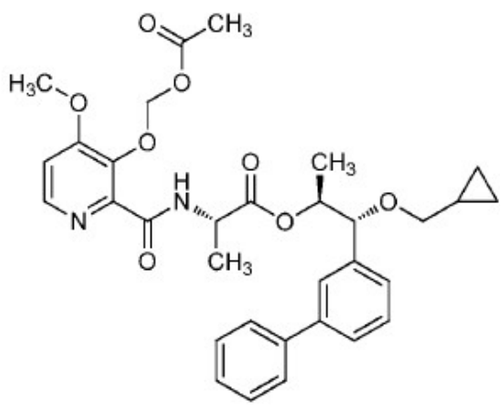
*Comp. No.	Estructura	Preparado de acuerdo con el Ejemplo:	Apariencia
853		Ejemplo 16B	Aceite amarillo
854		Ejemplo 16B	Sólido amarillo
855		Ejemplo 16A	Aceite
856		Ejemplo 16A	Sólido blanco

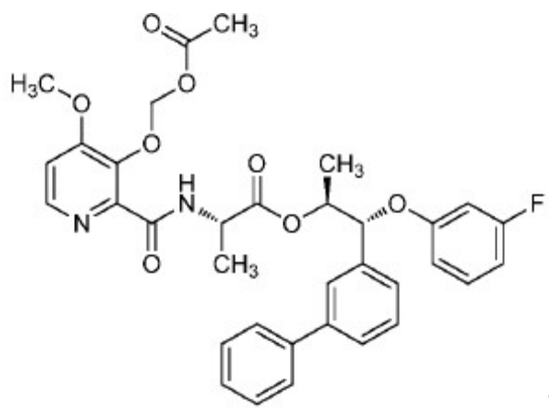
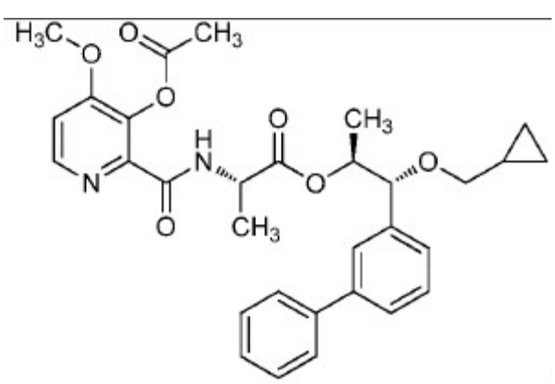
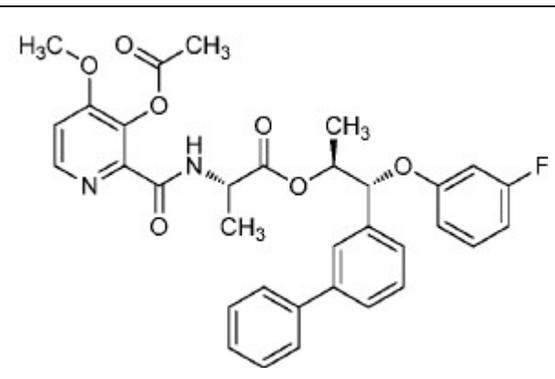
*Comp. No.	Estructura	Preparado de acuerdo con el Ejemplo:	Apariencia
857		Ejemplo 16A	Sólido blanco
858		Ejemplo 16A	Sólido blanco
859		Ejemplo 16A	Sólido blanco
860		Ejemplo 16A	Aceite/espuma incolora
861		Ejemplo 16B	Aceite/espuma incolora

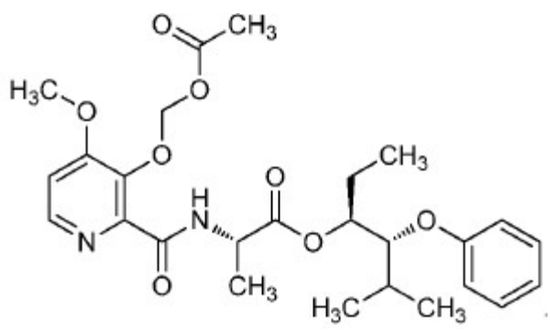
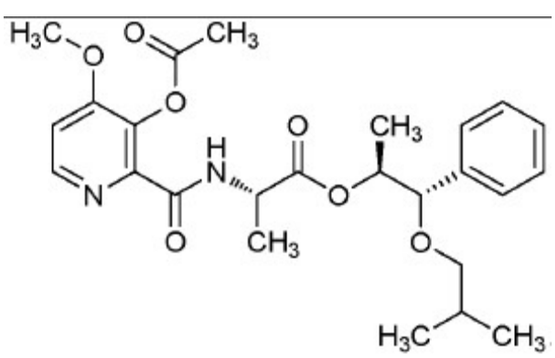
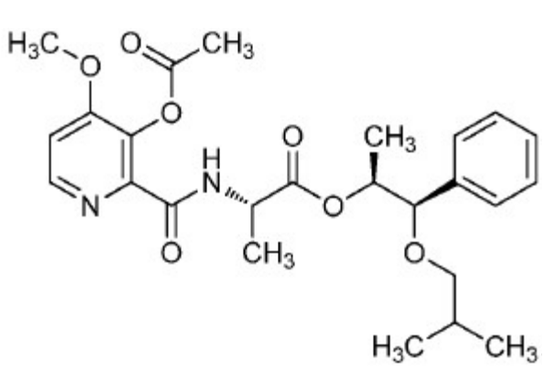
*Comp. No.	Estructura	Preparado de acuerdo con el Ejemplo:	Apariencia
862		Ejemplo 16B	Aceite pegajoso
863		Ejemplo 16B	Aceite incoloro
864		Ejemplo 16B	Aceite incoloro

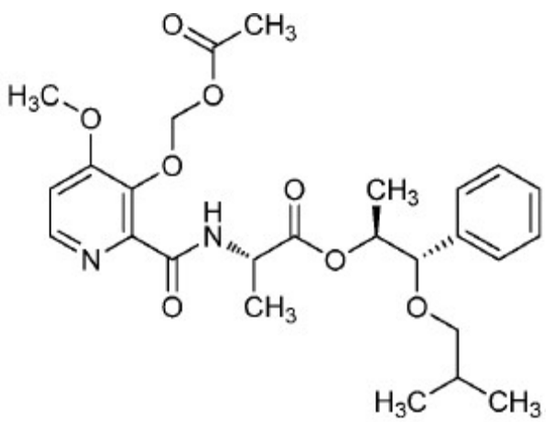
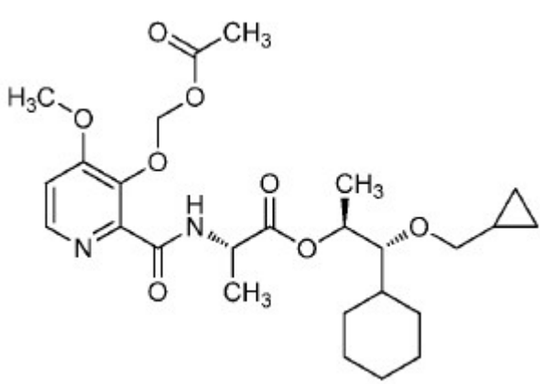
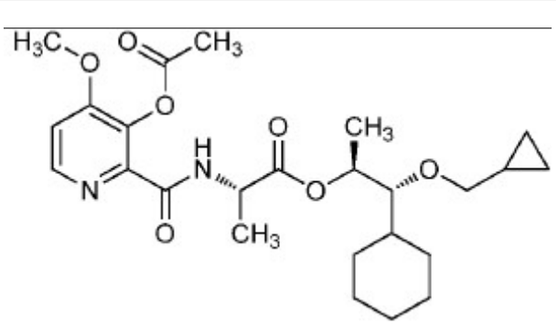
*Comp. No.	Estructura	Preparado de acuerdo con el Ejemplo:	Apariencia
865		Ejemplo 16B	Aceite incoloro
866		Ejemplo 16B	Aceite incoloro
867		Ejemplo 16A	Aceite incoloro

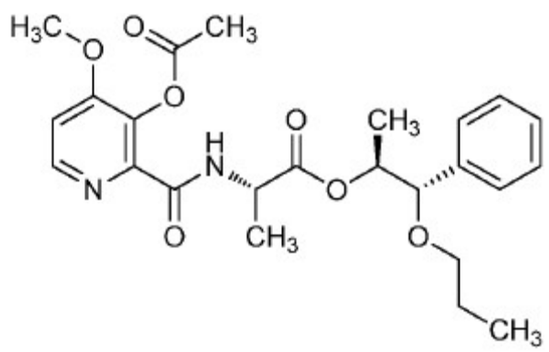
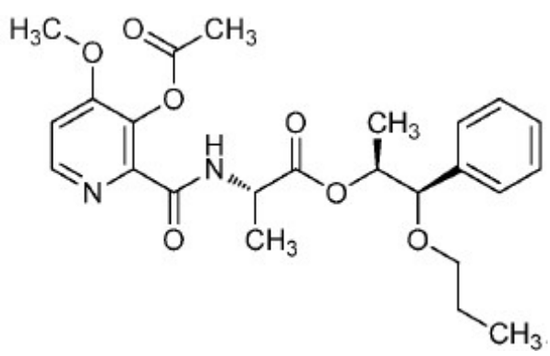
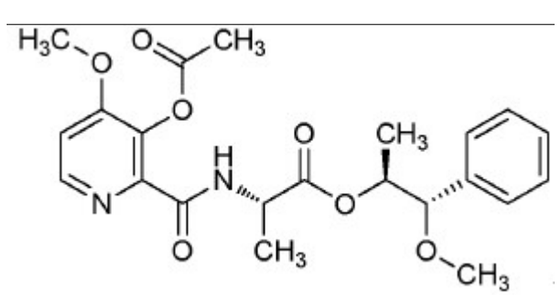
*Comp. No.	Estructura	Preparado de acuerdo con el Ejemplo:	Apariencia
868		Ejemplo 16A	Aceite incoloro
869		Ejemplo 16B	Aceite incoloro
870		Ejemplo 16A	Aceite incoloro

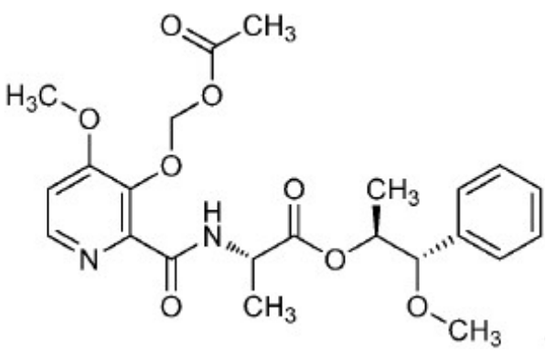
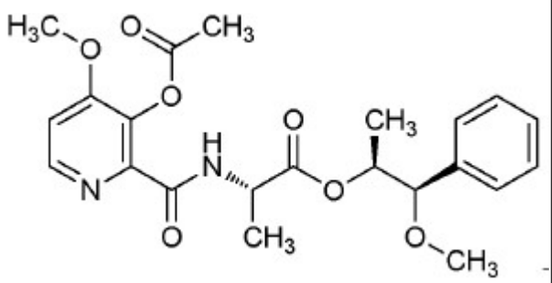
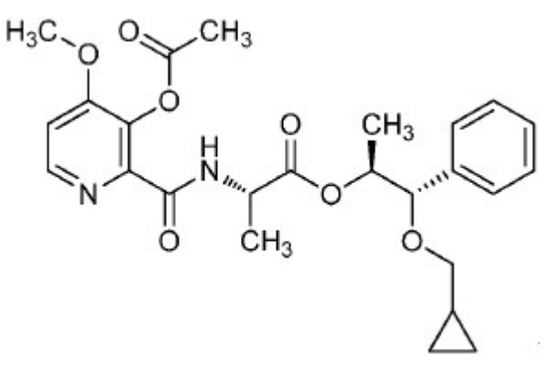
*Comp. No.	Estructura	Preparado de acuerdo con el Ejemplo:	Apariencia
871		Ejemplo 16A	Aceite incoloro
872		Ejemplo 16B	Aceite incoloro
873		Ejemplo 16B	Aceite incoloro

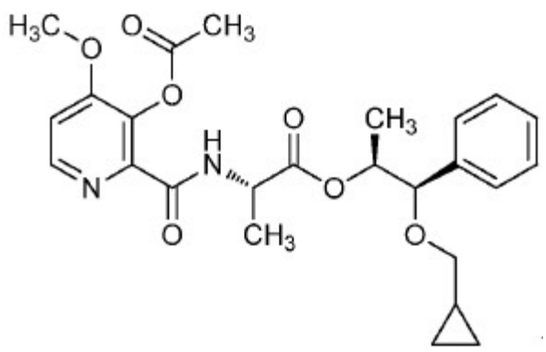
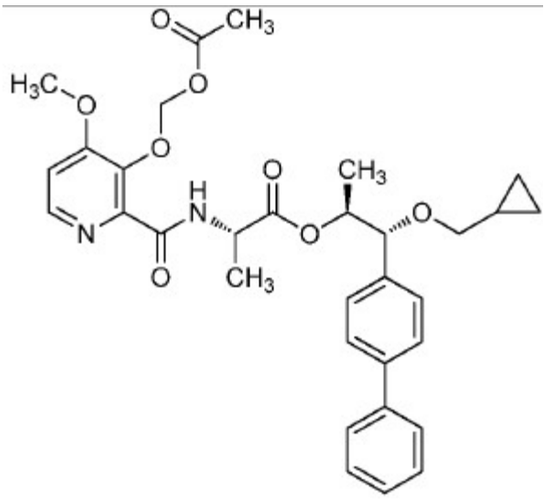
*Comp. No.	Estructura	Preparado de acuerdo con el Ejemplo:	Apariencia
874		Ejemplo 16B	Aceite incoloro
875		Ejemplo 16A	Aceite incoloro
876		Ejemplo 16A	Espuma grisácea

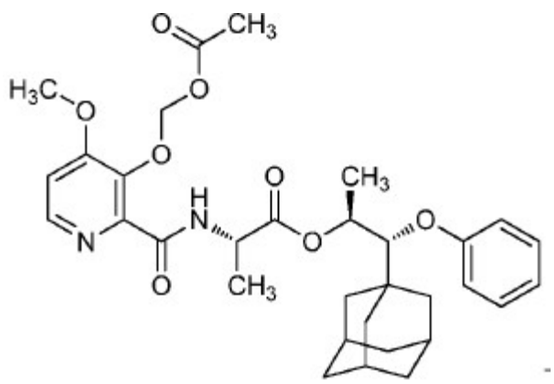
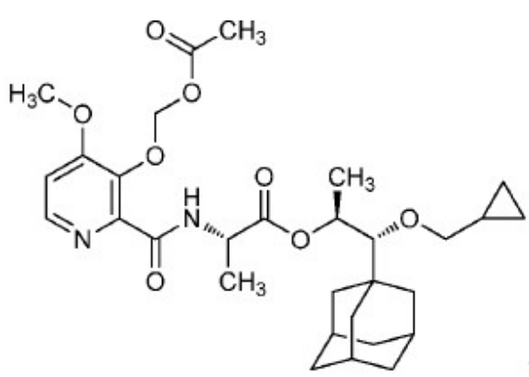
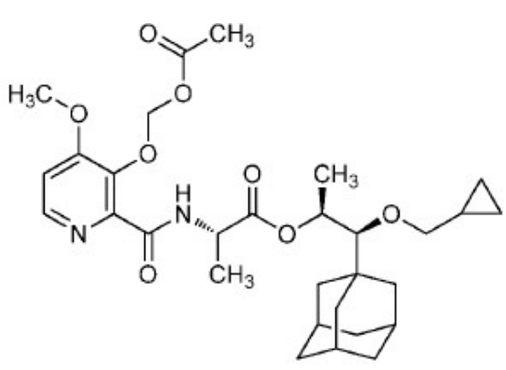
*Comp. No.	Estructura	Preparado de acuerdo con el Ejemplo:	Apariencia
877		Ejemplo 16B	Aceite de color ámbar
878		Ejemplo 16A	Aceite incoloro
879		Ejemplo 16A	Aceite incoloro

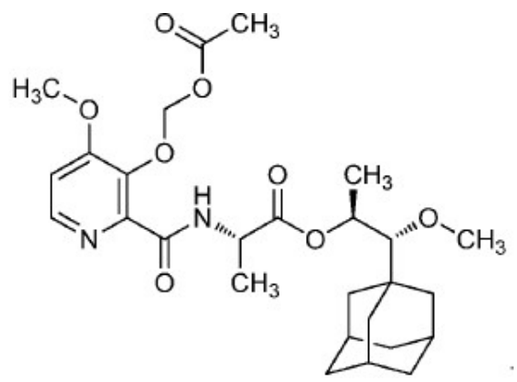
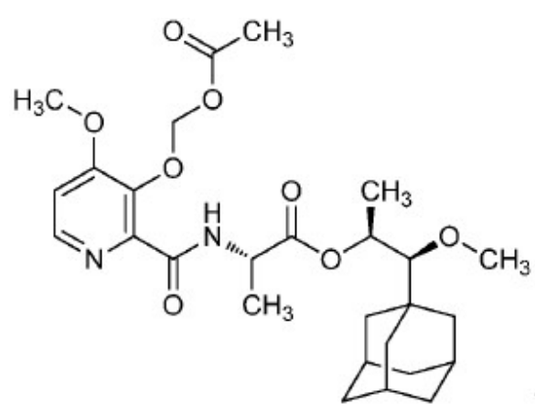
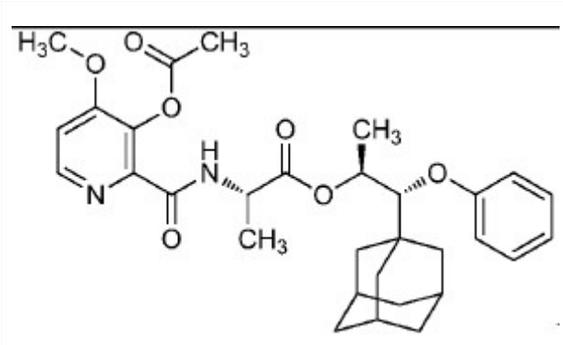
*Comp. No.	Estructura	Preparado de acuerdo con el Ejemplo:	Apariencia
880		Ejemplo 16B	Aceite incoloro
881		Ejemplo 16B	Aceite incoloro
882		Ejemplo 16A	Aceite incoloro

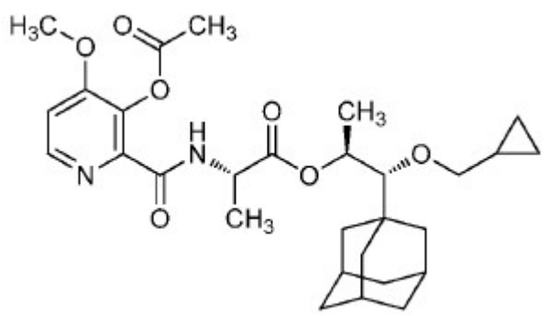
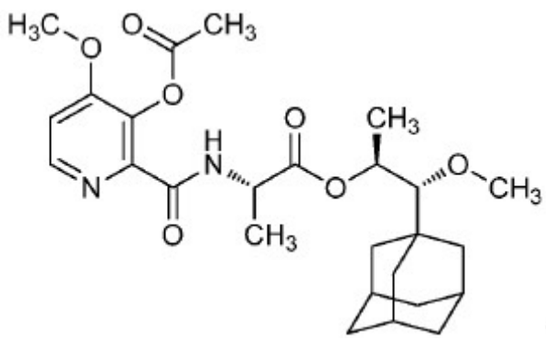
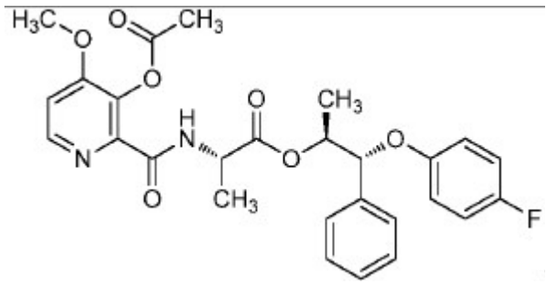
*Comp. No.	Estructura	Preparado de acuerdo con el Ejemplo:	Apariencia
883		Ejemplo 16A	Aceite incoloro
884		Ejemplo 16A	Aceite incoloro
885		Ejemplo 16A	Aceite incoloro

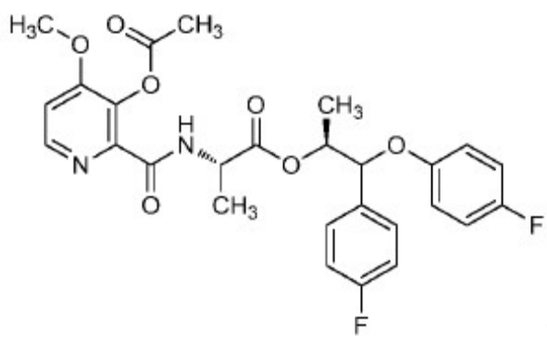
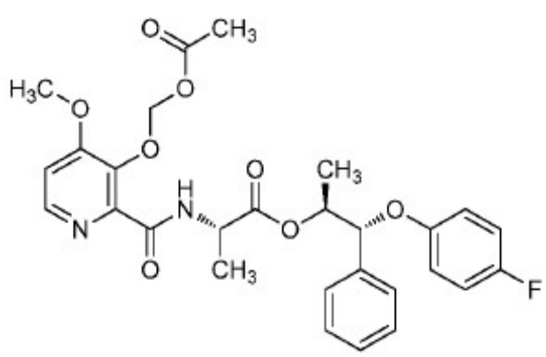
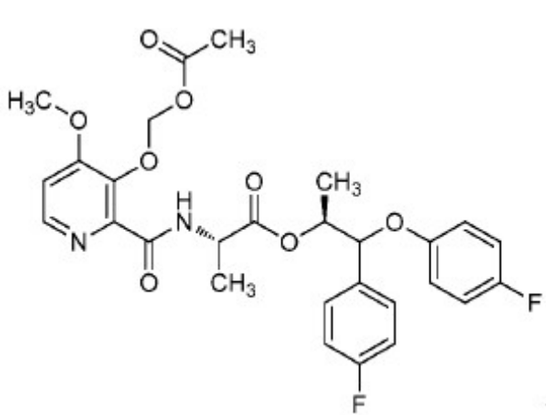
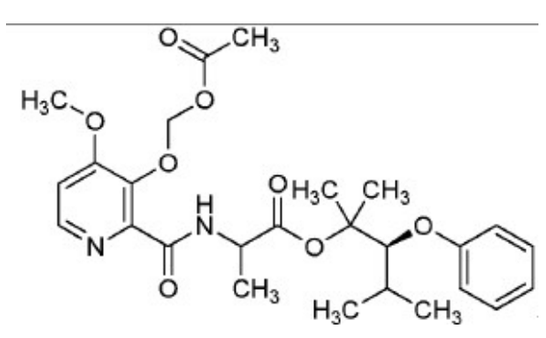
*Comp. No.	Estructura	Preparado de acuerdo con el Ejemplo:	Apariencia
886		Ejemplo 16B	Aceite incoloro
887		Ejemplo 16A	Aceite incoloro
888		Ejemplo 16A	Aceite incoloro

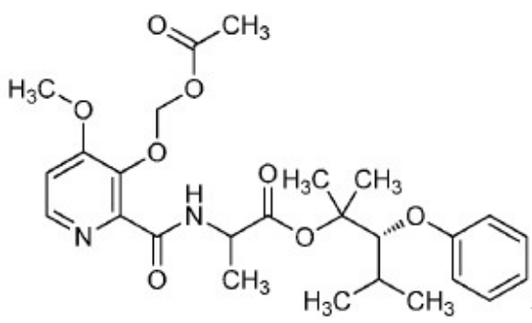
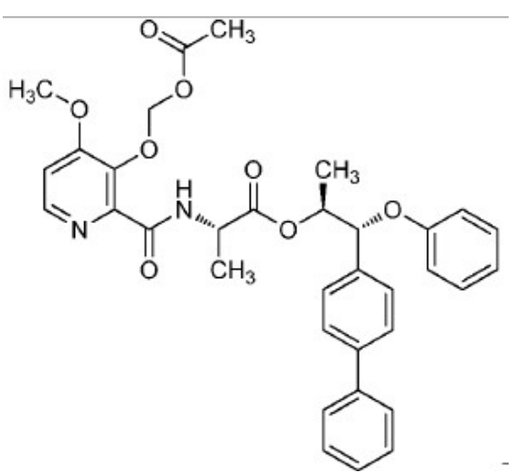
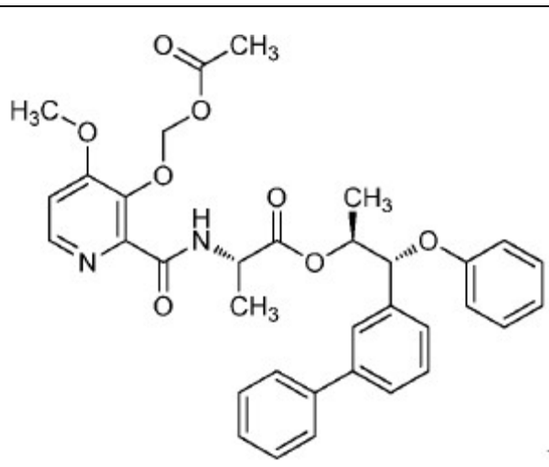
*Comp. No.	Estructura	Preparado de acuerdo con el Ejemplo:	Apariencia
889		Ejemplo 16A	Aceite incoloro
890		Ejemplo 16B	Aceite incoloro

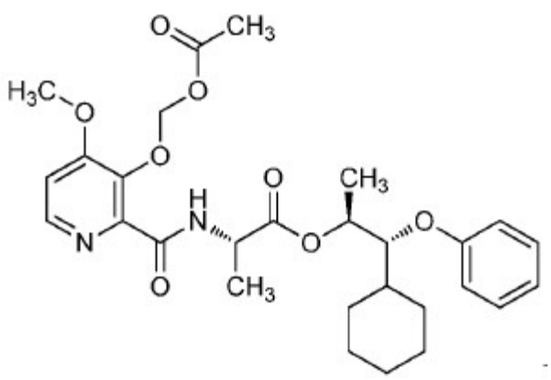
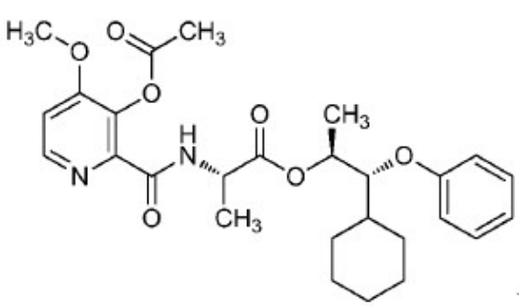
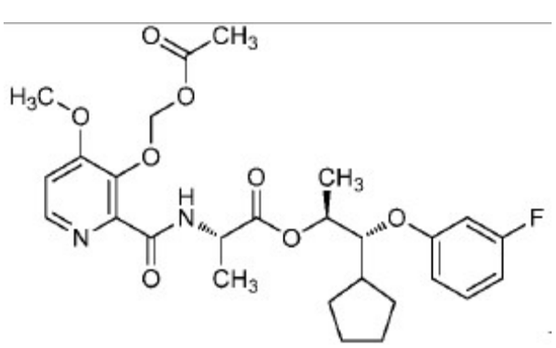
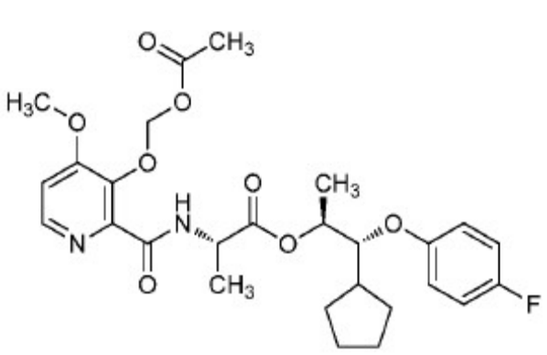
*Comp. No.	Estructura	Preparado de acuerdo con el Ejemplo:	Apariencia
891		Ejemplo 16B	Espuma blanca
892		Ejemplo 16B	Cera pegajosa
893		Ejemplo 16B	Cera pegajosa

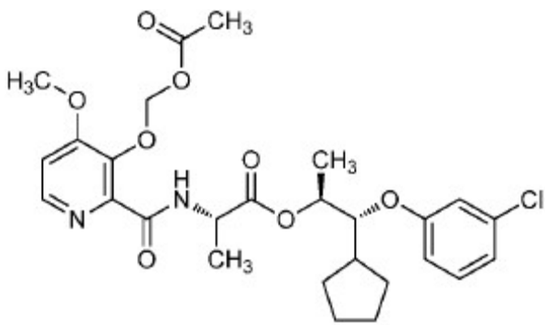
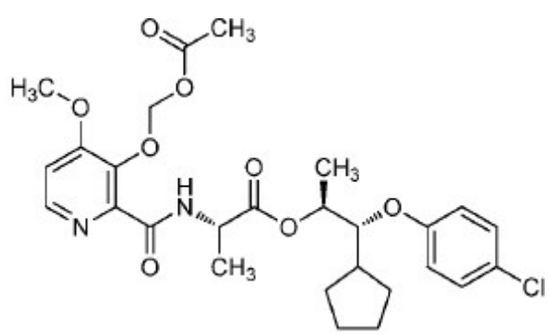
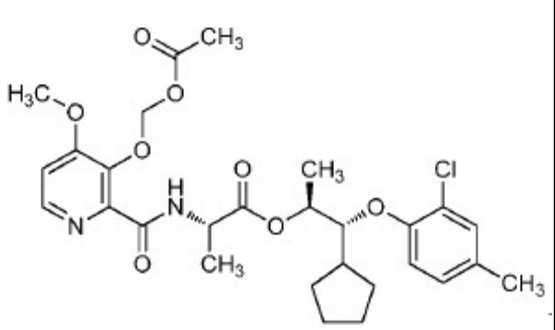
*Comp. No.	Estructura	Preparado de acuerdo con el Ejemplo:	Apariencia
894		Ejemplo 16B	Cera pegajosa
895		Ejemplo 16B	Cera pegajosa
896		Ejemplo 16A	Cera amarilla pálida

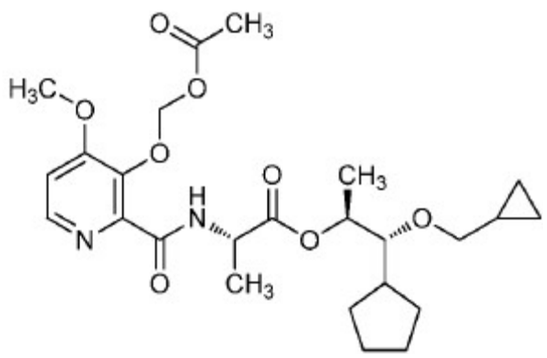
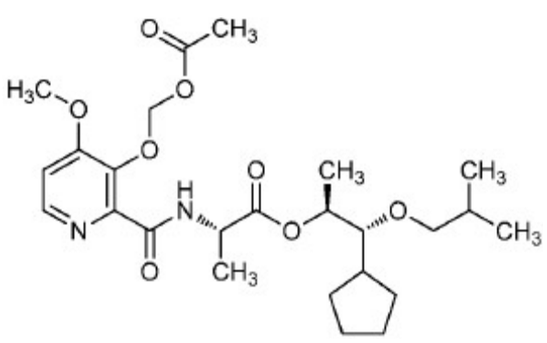
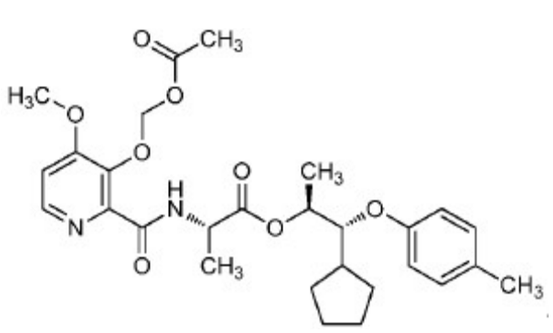
*Comp. No.	Estructura	Preparado de acuerdo con el Ejemplo:	Apariencia
897		Ejemplo 16A	Cera amarilla pálida
898		Ejemplo 16A	Cera amarilla pálida
899		Ejemplo 16A	Aceite incoloro

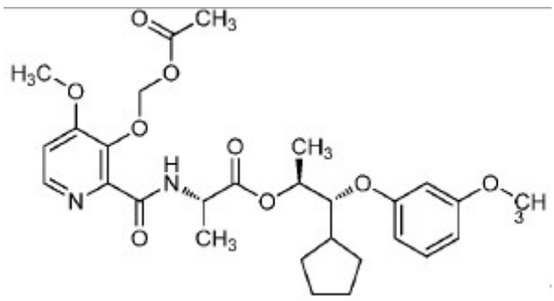
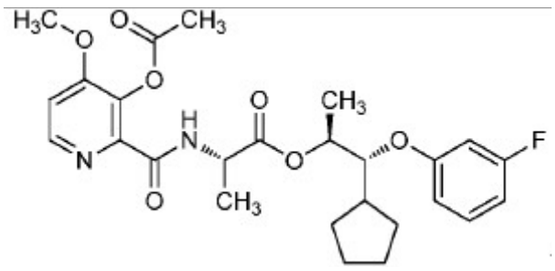
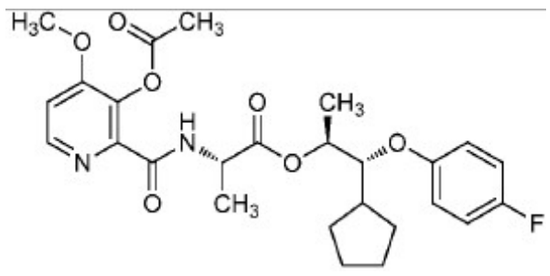
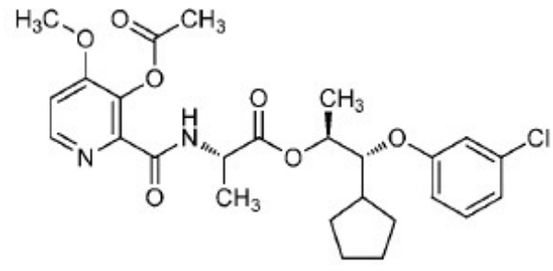
*Comp. No.	Estructura	Preparado de acuerdo con el Ejemplo:	Apariencia
900		Ejemplo 16A	Aceite incoloro
901		Ejemplo 16B	Aceite incoloro
902		Ejemplo 16B	Aceite incoloro
903		Ejemplo 16B	Aceite amarillo

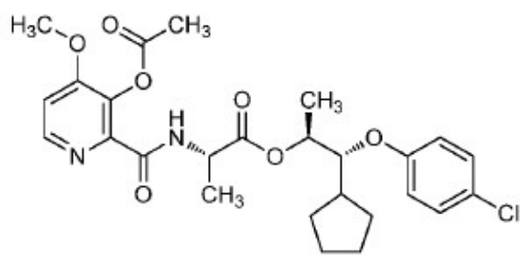
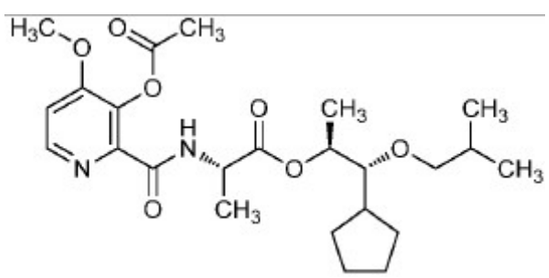
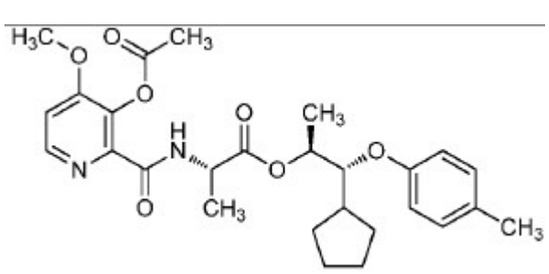
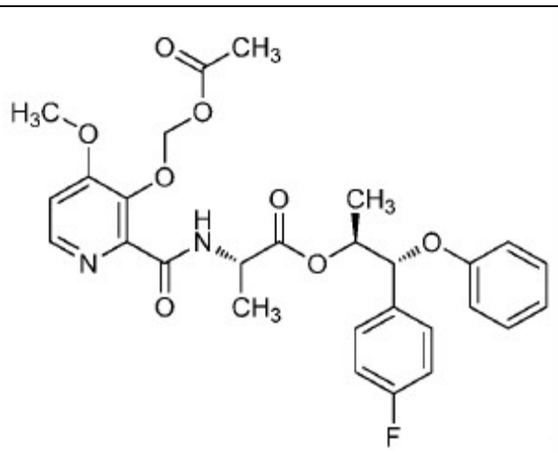
*Comp. No.	Estructura	Preparado de acuerdo con el Ejemplo:	Apariencia
904		Ejemplo 16B	Aceite amarillo
905		Ejemplo 16B	Aceite incoloro
906		Ejemplo 16B	Aceite incoloro

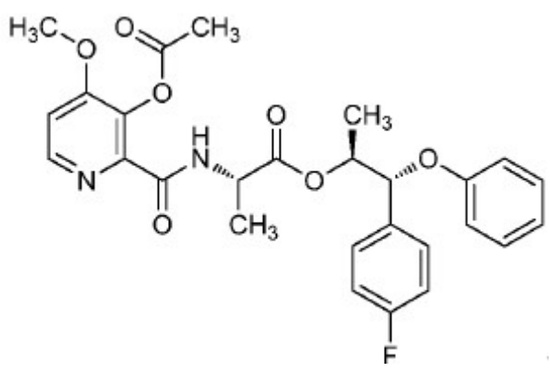
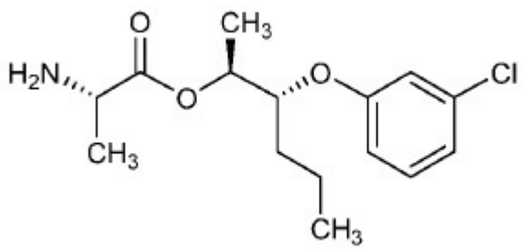
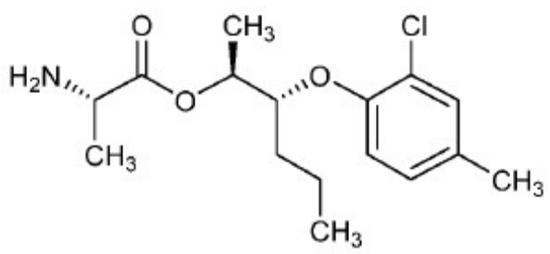
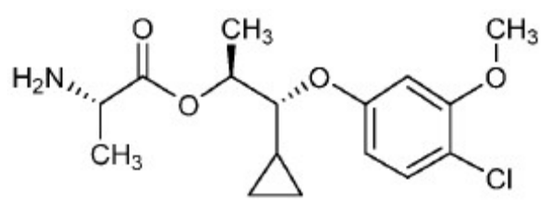
*Comp. No.	Estructura	Preparado de acuerdo con el Ejemplo:	Apariencia
907		Ejemplo 16B	Aceite amarillo claro
908		Ejemplo 16A	Aceite amarillo
909		Ejemplo 16B	Aceite incoloro
910		Ejemplo 16B	Aceite incoloro

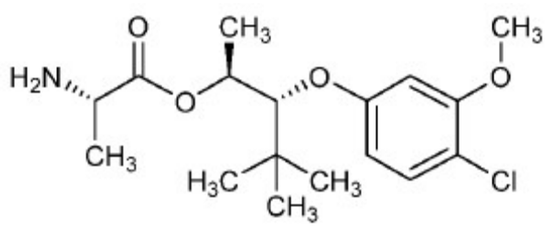
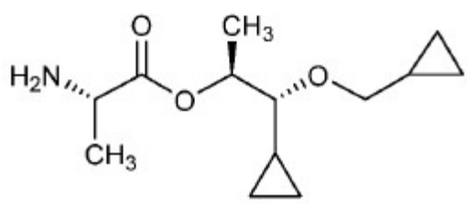
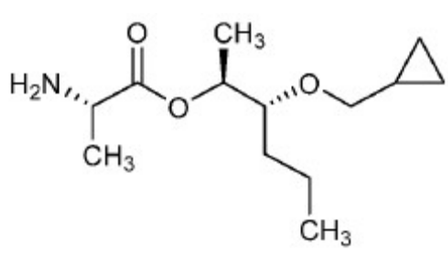
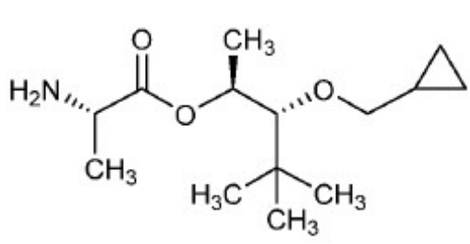
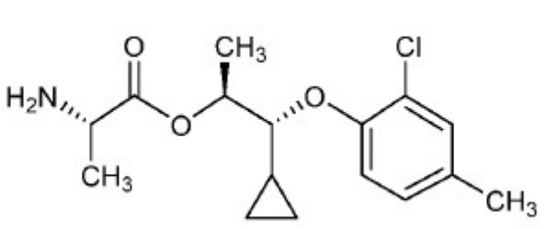
*Comp. No.	Estructura	Preparado de acuerdo con el Ejemplo:	Apariencia
911		Ejemplo 16B	Aceite incoloro
912		Ejemplo 16B	Aceite incoloro
913		Ejemplo 16B	Aceite incoloro

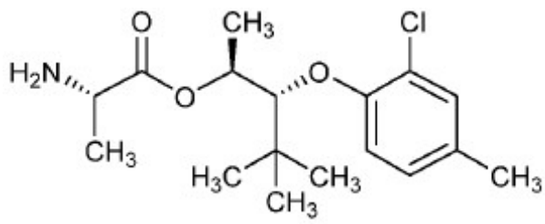
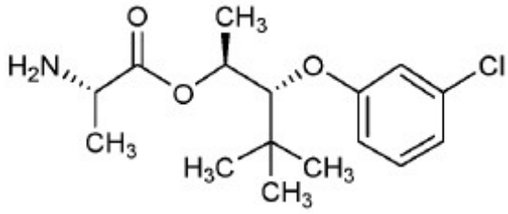
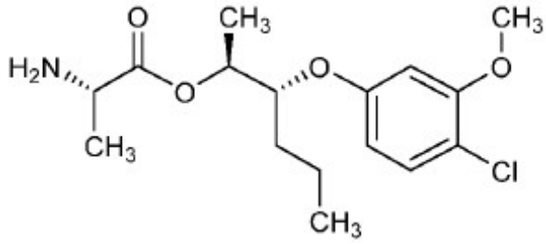
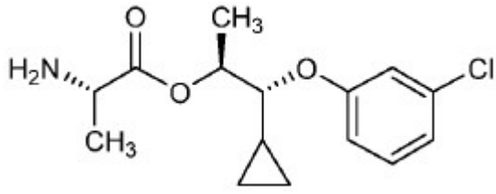
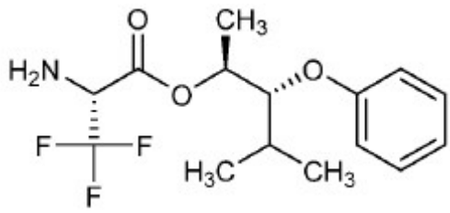
*Comp. No.	Estructura	Preparado de acuerdo con el Ejemplo:	Apariencia
914		Ejemplo 16B	Aceite incoloro
915		Ejemplo 16B	Aceite incoloro
916		Ejemplo 16B	Aceite incoloro

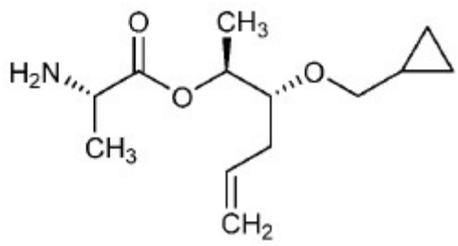
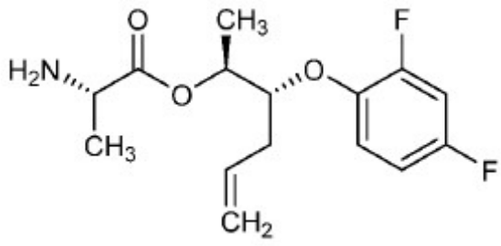
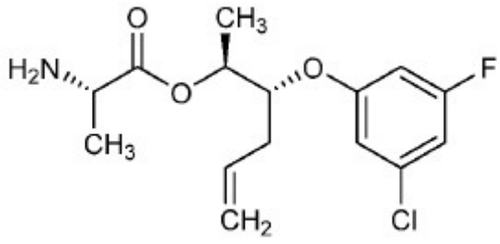
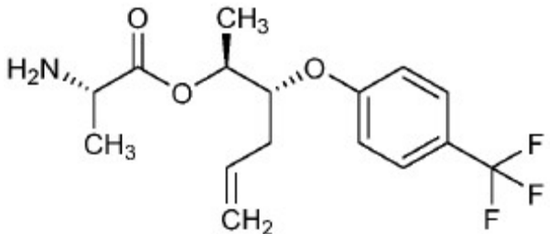
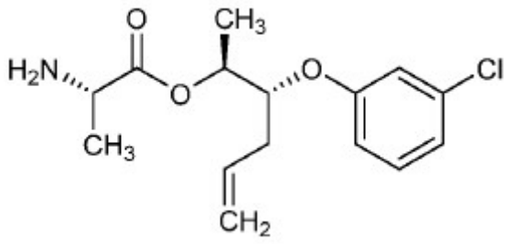
*Comp. No.	Estructura	Preparado de acuerdo con el Ejemplo:	Apariencia
917		Ejemplo 16B	Aceite incoloro
918		Ejemplo 16A	Aceite incoloro
919		Ejemplo 16A	Aceite incoloro
920		Ejemplo 16A	Aceite incoloro

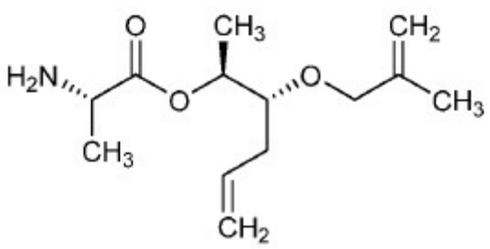
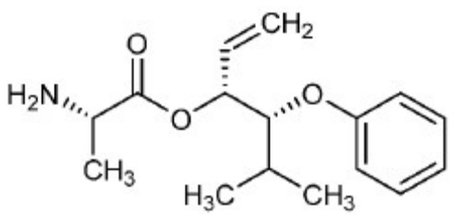
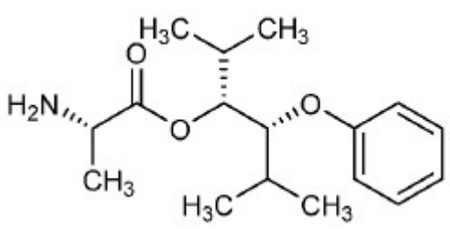
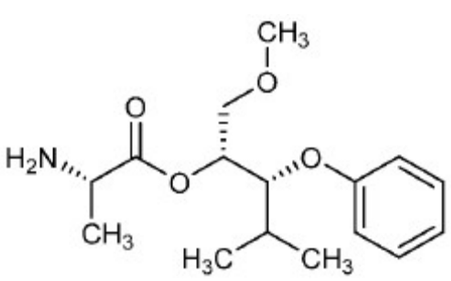
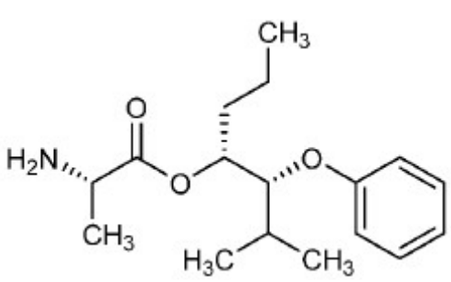
*Comp. No.	Estructura	Preparado de acuerdo con el Ejemplo:	Apariencia
921		Ejemplo 16A	Aceite incoloro
922		Ejemplo 16A	Aceite incoloro
923		Ejemplo 16A	Aceite incoloro
924		Ejemplo 16B	Aceite incoloro

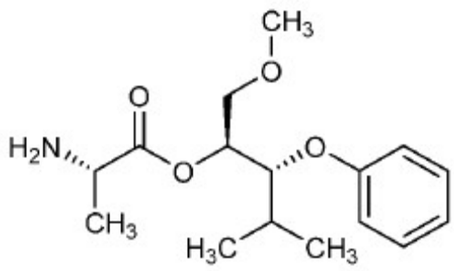
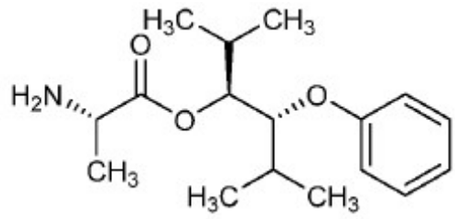
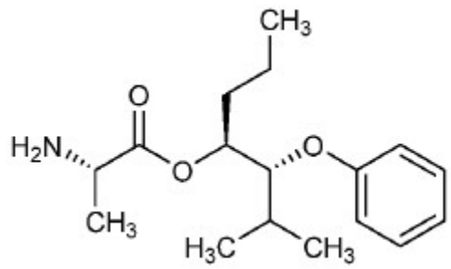
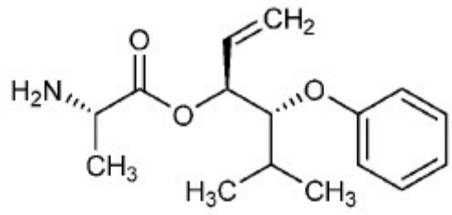
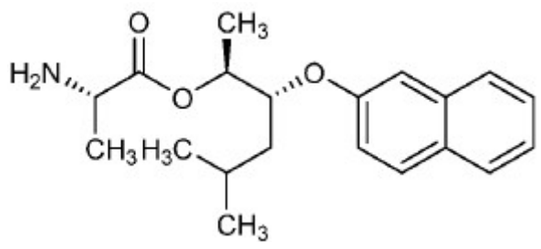
*Comp. No.	Estructura	Preparado de acuerdo con el Ejemplo:	Apariencia
925		Ejemplo 16A	Aceite amarillo claro
926		Ejemplo 14A, Paso 1	Aceite pegajoso
927		Ejemplo 14A, Paso 1	Aceite pegajoso
928		Ejemplo 14A, Paso 1	Aceite pegajoso

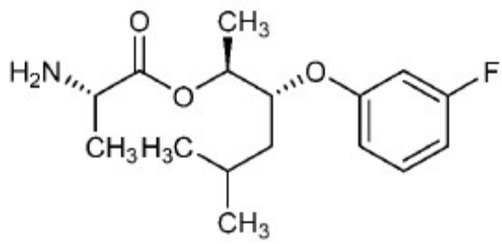
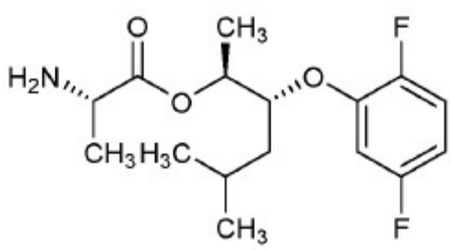
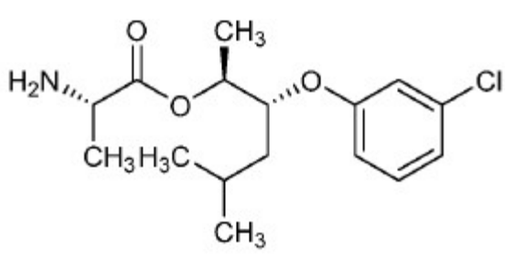
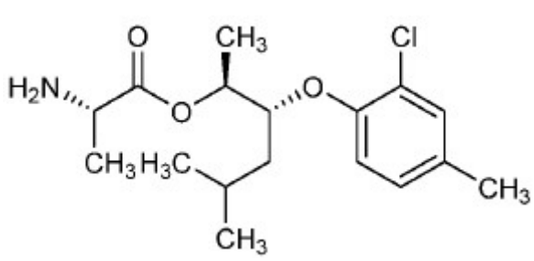
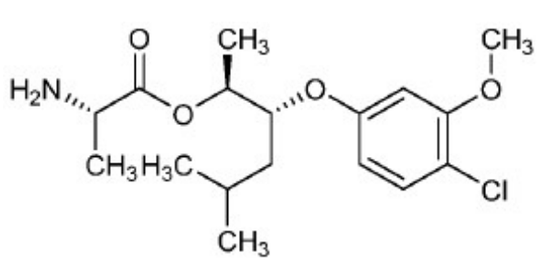
*Comp. No.	Estructura	Preparado de acuerdo con el Ejemplo:	Apariencia
929		Ejemplo 14A, Paso 1	Aceite pegajoso
930		Ejemplo 14A, Paso 1	Aceite pegajoso
931		Ejemplo 14A, Paso 1	Aceite pegajoso
932		Ejemplo 14A, Paso 1	Aceite pegajoso
933		Ejemplo 14A, Paso 1	Aceite pegajoso

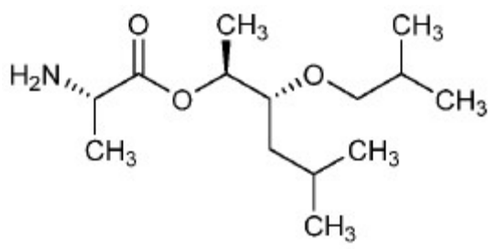
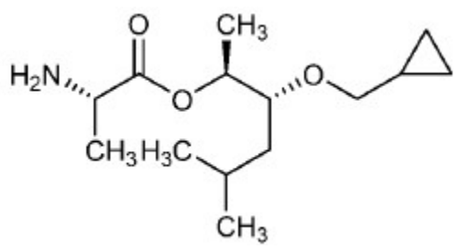
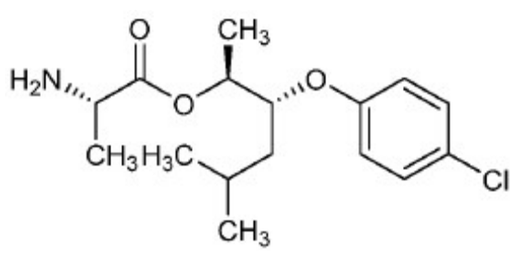
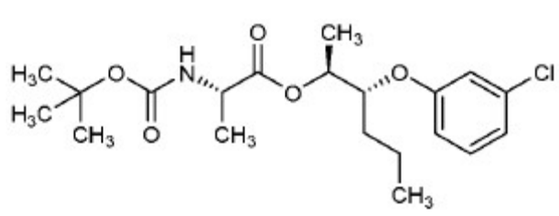
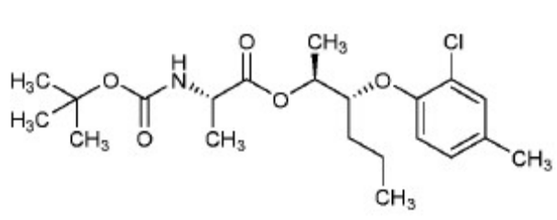
*Comp. No.	Estructura	Preparado de acuerdo con el Ejemplo:	Apariencia
934		Ejemplo 14A, Paso 1	Aceite pegajoso
935		Ejemplo 14A, Paso 1	Aceite pegajoso
936		Ejemplo 14A, Paso 1	Aceite pegajoso
937		Ejemplo 14A, Paso 1	Aceite pegajoso
938		Ejemplo 14A, Paso 1	Cera pegajosa amarilla

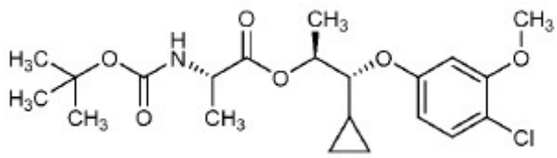
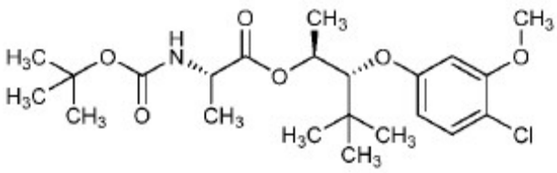
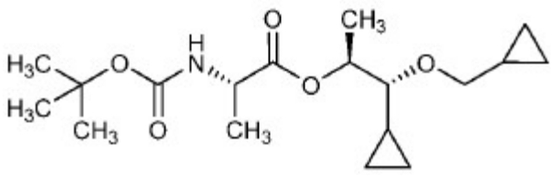
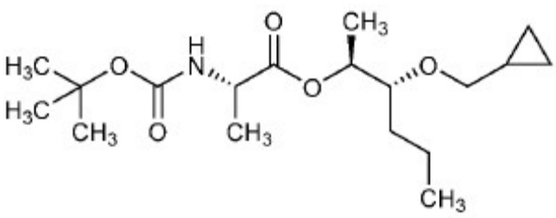
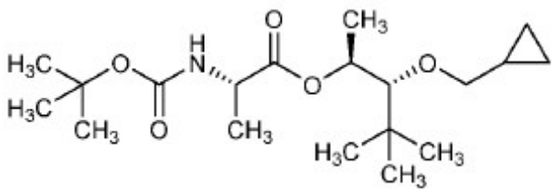
*Comp. No.	Estructura	Preparado de acuerdo con el Ejemplo:	Apariencia
939		Ejemplo 14B, Paso 1	Aceite amarillo pálido
940		Ejemplo 14B, Paso 1	Aceite amarillo pálido
941		Ejemplo 14B, Paso 1	Aceite amarillo pálido
942		Ejemplo 14B, Paso 1	Aceite amarillo pálido
943		Ejemplo 14B, Paso 1	Aceite amarillo pálido

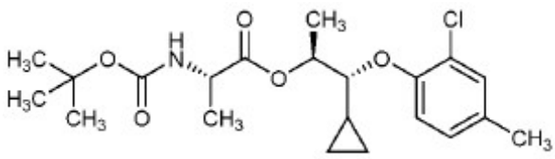
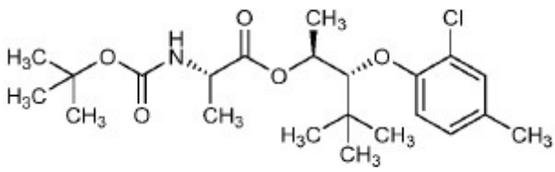
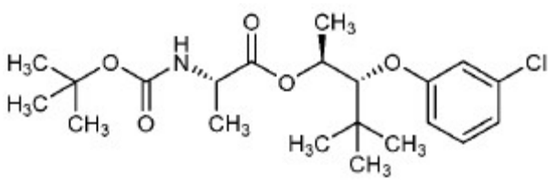
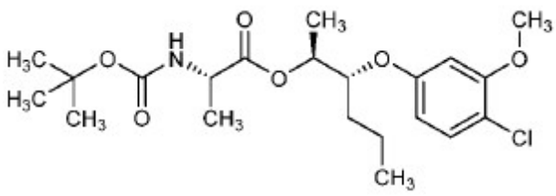
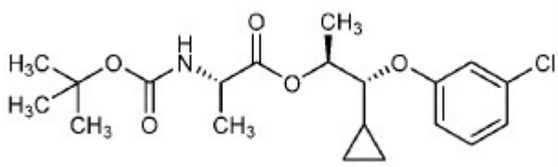
*Comp. No.	Estructura	Preparado de acuerdo con el Ejemplo:	Apariencia
944		Ejemplo 14B, Paso 1	Aceite naranja
945		Ejemplo 14A, Paso 1	Sólido blanco
946		Ejemplo 14A, Paso 1	Aceite incoloro
947		Ejemplo 14A, Paso 1	Sólido blanco
948		Ejemplo 14A, Paso 1	Aceite incoloro

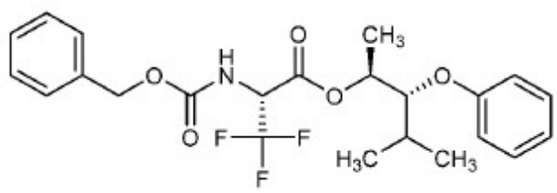
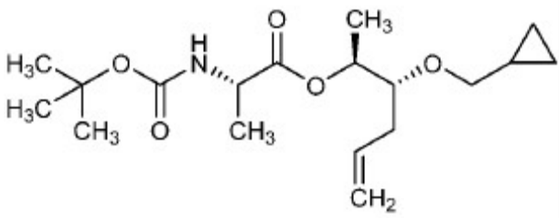
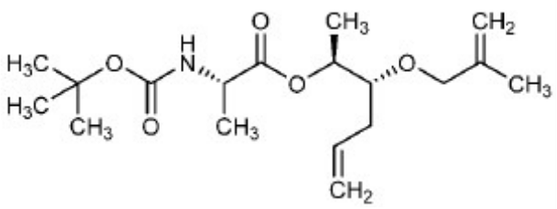
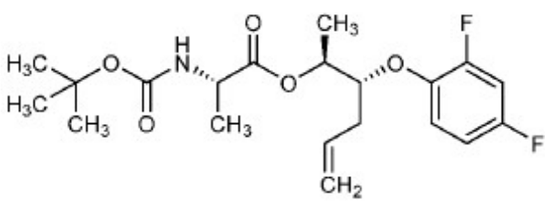
*Comp. No.	Estructura	Preparado de acuerdo con el Ejemplo:	Apariencia
949		Ejemplo 14A, Paso 1	Sólido blanco
950		Ejemplo 14A, Paso 1	Sólido blanco
951		Ejemplo 14A, Paso 1	Sólido blanco
952		Ejemplo 14A, Paso 1	Sólido blanco
953		Ejemplo 14A, Paso 1	Aceite amarillo

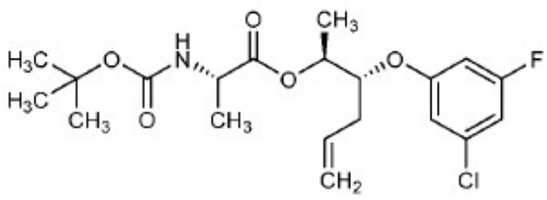
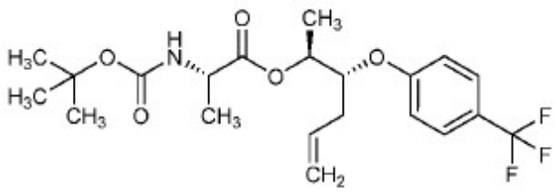
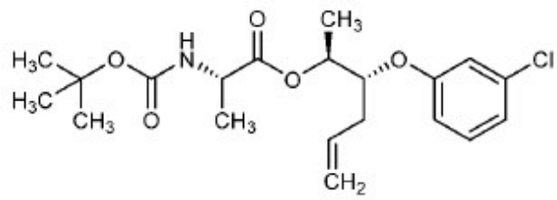
*Comp. No.	Estructura	Preparado de acuerdo con el Ejemplo:	Apariencia
954		Ejemplo 14A, Paso 1	Aceite amarillo
955		Ejemplo 14A, Paso 1	Aceite amarillo
956		Ejemplo 14A, Paso 1	Aceite amarillo
957		Ejemplo 14A, Paso 1	Aceite amarillo
958		Ejemplo 14A, Paso 1	Aceite amarillo

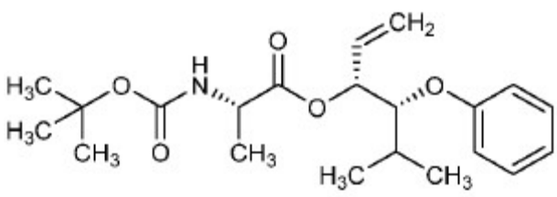
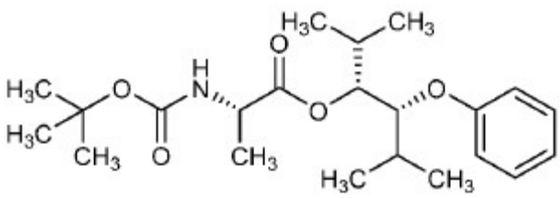
*Comp. No.	Estructura	Preparado de acuerdo con el Ejemplo:	Apariencia
959		Ejemplo 14A, Paso 1	Aceite amarillo
960		Ejemplo 14A, Paso 1	Aceite amarillo
961		Ejemplo 14A, Paso 1	Aceite amarillo
962		Ejemplo 1A; Ejemplo 4C; Ejemplo 8A; Ejemplo 12A	Aceite amarillo pálido
963		Ejemplo 1A; Ejemplo 4C; Ejemplo 8A; Ejemplo 12A	Aceite amarillo pálido

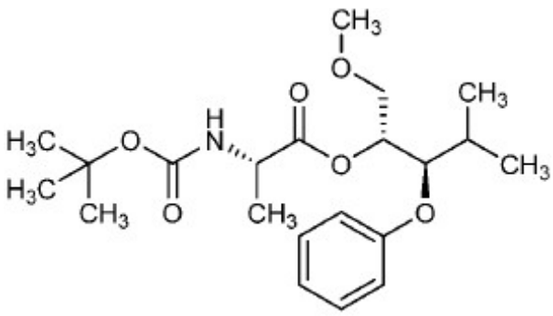
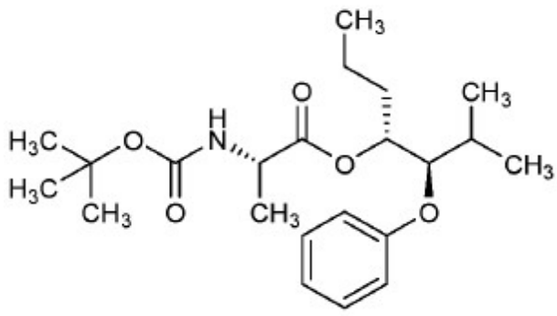
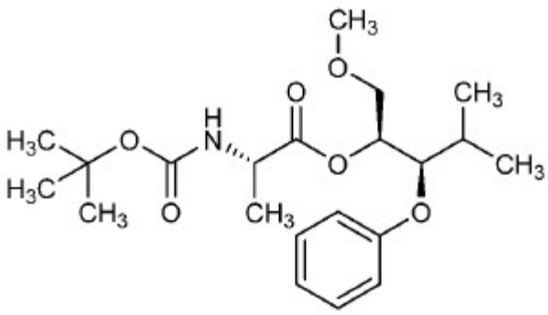
*Comp. No.	Estructura	Preparado de acuerdo con el Ejemplo:	Apariencia
964		Ejemplo 1A; Ejemplo 4C; Ejemplo 8A; Ejemplo 12A	Aceite amarillo pálido
965		Ejemplo 1A; Ejemplo 4C; Ejemplo 8A; Ejemplo 12A	Aceite amarillo pálido
966		Ejemplo 1A; Ejemplo 4D; Ejemplo 8C; Ejemplo 12A	Aceite incoloro
967		Ejemplo 1A; Ejemplo 4D; Ejemplo 8C; Ejemplo 12A	Aceite incoloro
968		Ejemplo 1A; Ejemplo 4D; Ejemplo 8C; Ejemplo 12A	Aceite incoloro

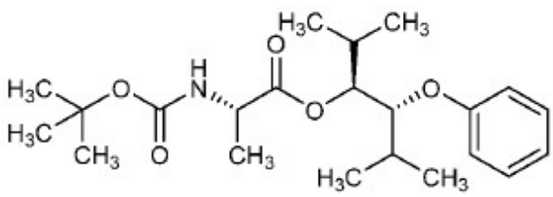
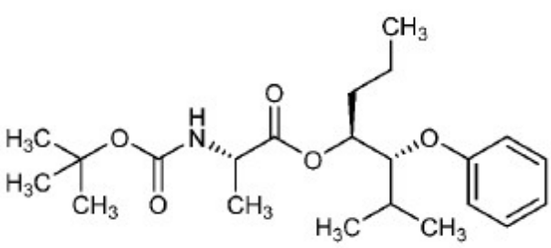
*Comp. No.	Estructura	Preparado de acuerdo con el Ejemplo:	Apariencia
969		Ejemplo 1A; Ejemplo 4C; Ejemplo 8A; Ejemplo 12A	Aceite amarillo pálido
970		Ejemplo 1A; Ejemplo 4C; Ejemplo 8A; Ejemplo 12A	Aceite amarillo pálido
971		Ejemplo 1A; Ejemplo 4C; Ejemplo 8A; Ejemplo 12A	Aceite amarillo pálido
972		Ejemplo 1A; Ejemplo 4C; Ejemplo 8A; Ejemplo 12A	Aceite amarillo pálido
973		Ejemplo 1A; Ejemplo 4C; Ejemplo 8A; Ejemplo 12A	Aceite amarillo pálido

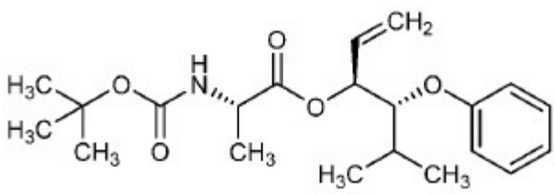
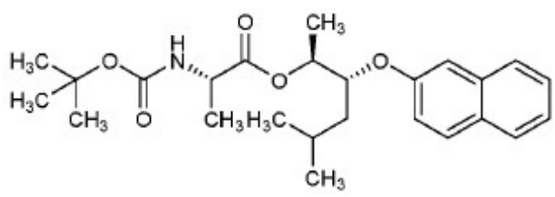
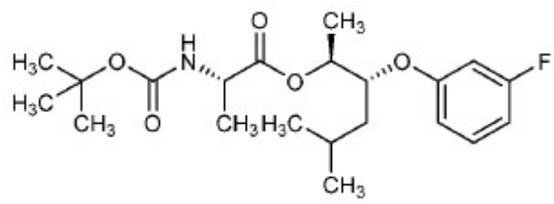
*Comp. No.	Estructura	Preparado de acuerdo con el Ejemplo:	Apariencia
974		Ejemplo 1A; Ejemplo 4B; Ejemplo 8A; Ejemplo 12A	Semi-sólido blanco
975		Ejemplo 1B, Paso 1; Ejemplo 1C, Paso 2; Ejemplo 4D; Ejemplo 8D; Ejemplo 12A	Aceite claro, incoloro
976		Ejemplo 1B, Paso 1; Ejemplo 1C, Paso 2; Ejemplo 4D; Ejemplo 8D; Ejemplo 12A	Aceite claro, incoloro
977		Ejemplo 1B, Paso 1; Ejemplo 1C, Paso 2; Ejemplo 4C; Ejemplo 8D;	Aceite claro, incoloro

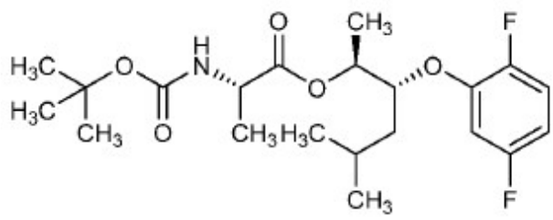
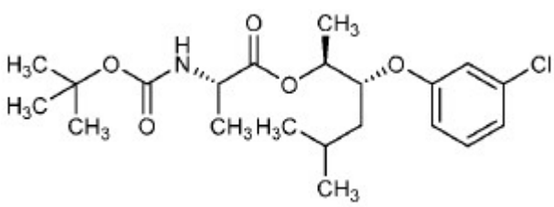
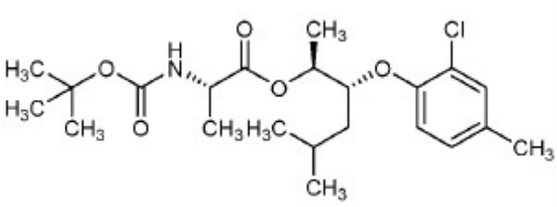
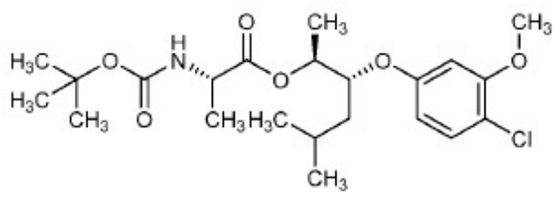
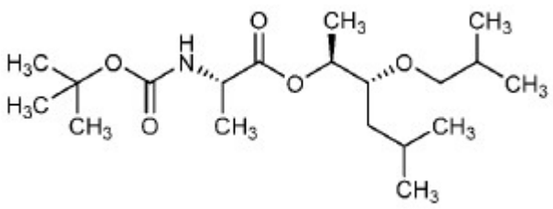
*Comp. No.	Estructura	Preparado de acuerdo con el Ejemplo:	Apariencia
		Ejemplo 12A	
978		Ejemplo 1B, Paso 1; Ejemplo 1C, Paso 2; Ejemplo 4C; Ejemplo 8D; Ejemplo 12A	Aceite claro, incoloro
979		Ejemplo 1B, Paso 1; Ejemplo 1C, Paso 2; Ejemplo 4C; Ejemplo 8D; Ejemplo 12A	Aceite amarillo
980		Ejemplo 1B, Paso 1; Ejemplo 1C, Paso 2; Ejemplo 4C; Ejemplo 8D; Ejemplo 12A	Aceite claro, incoloro

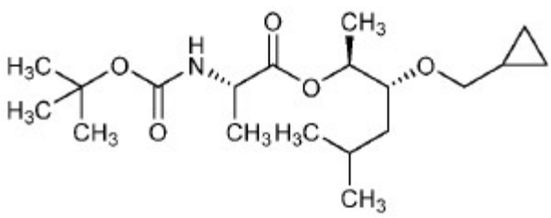
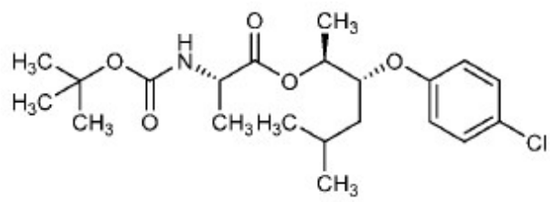
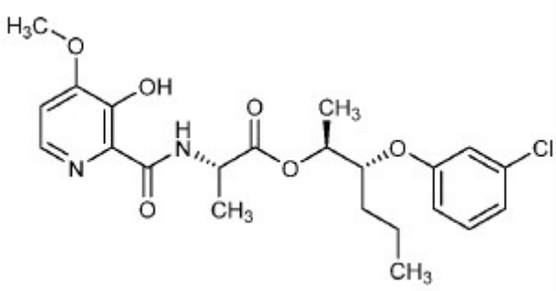
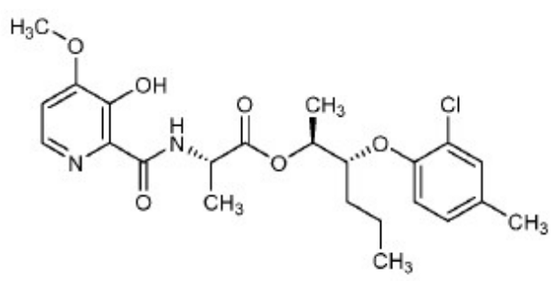
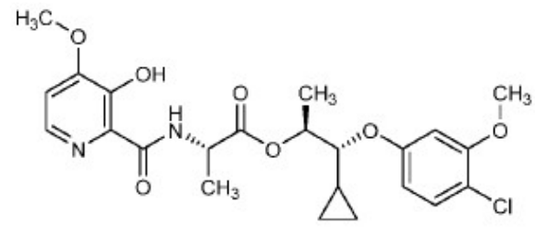
*Comp. No.	Estructura	Preparado de acuerdo con el Ejemplo:	Apariencia
981		Ejemplo 9, Paso 1; Ejemplo 9, Paso 2; Ejemplo 9, Paso 3; Ejemplo 10, Paso 1; Ejemplo 10, Paso 3b; Ejemplo 12A	Aceite incoloro
982		Ejemplo 9, Paso 1; Ejemplo 9, Paso 2; Ejemplo 9, Paso 3; Ejemplo 10, Paso 1; Ejemplo 10, Paso 3b; Ejemplo 12A	Aceite incoloro

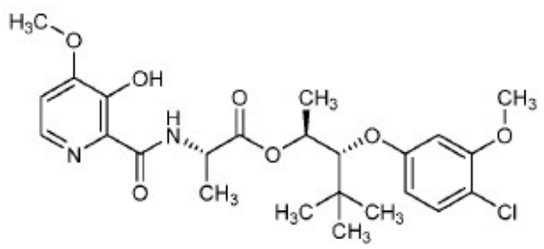
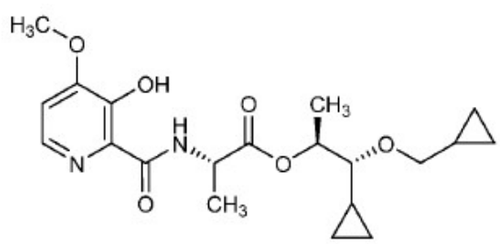
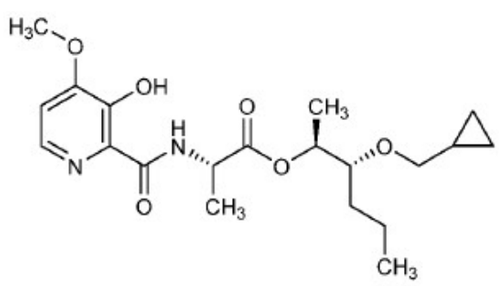
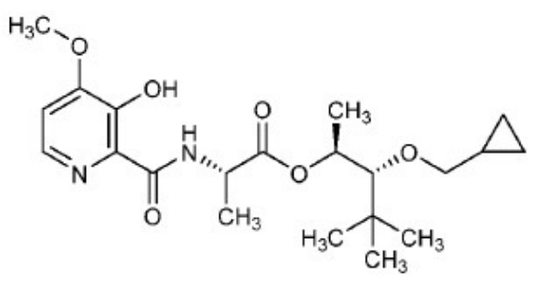
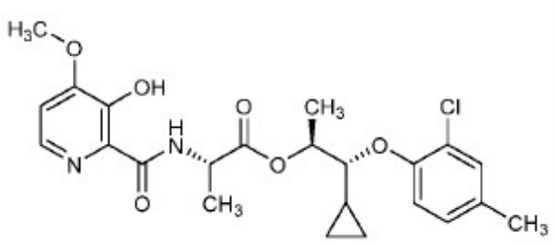
*Comp. No.	Estructura	Preparado de acuerdo con el Ejemplo:	Apariencia
983		Ejemplo 12A	Aceite incoloro
984		Ejemplo 9, Paso 1; Ejemplo 9, Paso 2; Ejemplo 9, Paso 3; Ejemplo 10, Paso 1; Ejemplo 10, Paso 3b; Ejemplo 12A	Aceite incoloro
985		Ejemplo 12A	Aceite incoloro

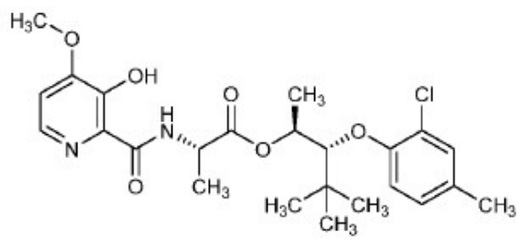
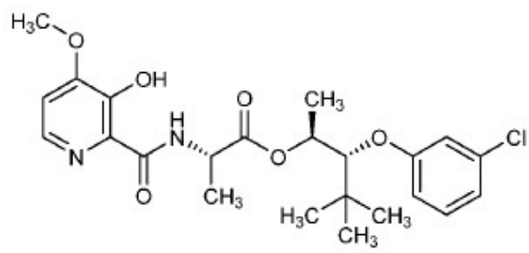
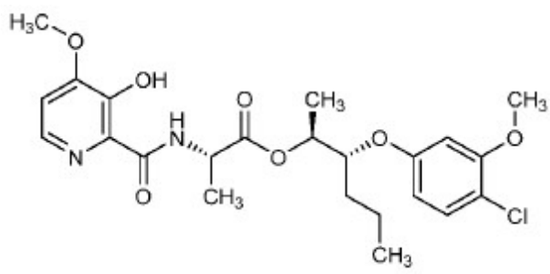
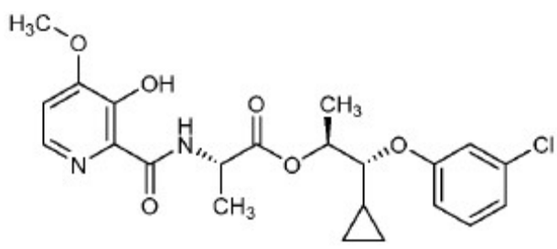
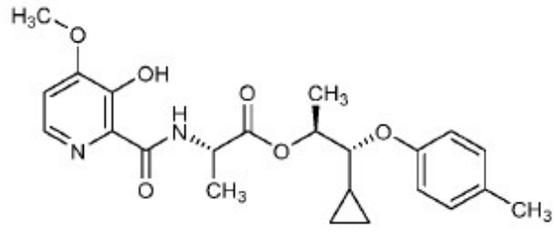
*Comp. No.	Estructura	Preparado de acuerdo con el Ejemplo:	Apariencia
986		Ejemplo 9, Paso 1; Ejemplo 9, Paso 2; Ejemplo 9, Paso 3; Ejemplo 10, Paso 1; Ejemplo 10, Paso 3b; Ejemplo 12A	Sólido blanco
987		Ejemplo 9, Paso 1; Ejemplo 9, Paso 2; Ejemplo 9, Paso 3; Ejemplo 10, Paso 1; Ejemplo 10, Paso 3b; Ejemplo 12A	Aceite incoloro

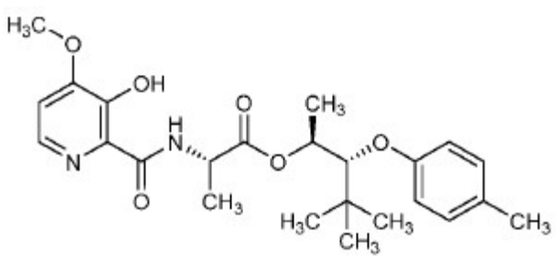
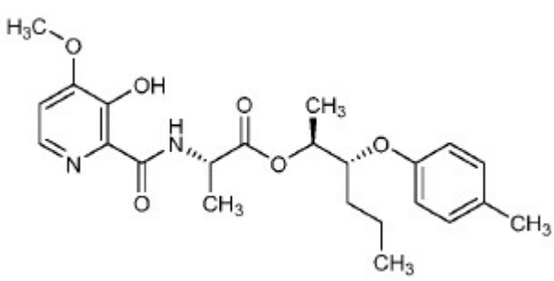
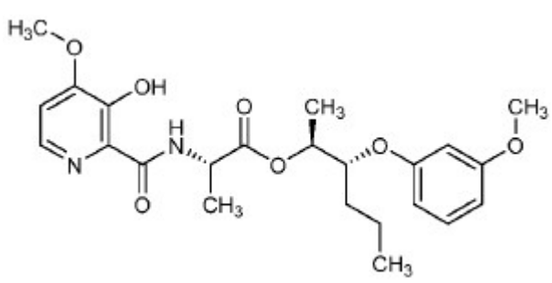
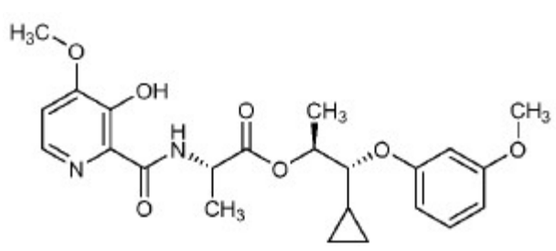
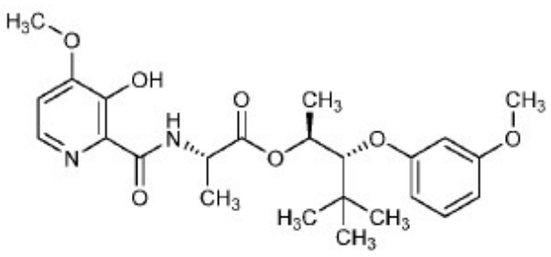
*Comp. No.	Estructura	Preparado de acuerdo con el Ejemplo:	Apariencia
988		Ejemplo 9, Paso 1; Ejemplo 9, Paso 2; Ejemplo 9, Paso 3; Ejemplo 10, Paso 1; Ejemplo 10, Paso 3b; Ejemplo 12A	Aceite incoloro
989		Ejemplo 1A; Ejemplo 4C; Ejemplo 8A; Ejemplo 12A	Aceite amarillo
990		Ejemplo 1A; Ejemplo 4C; Ejemplo 8A; Ejemplo 12A	Aceite incoloro

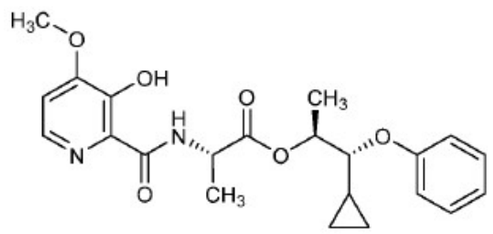
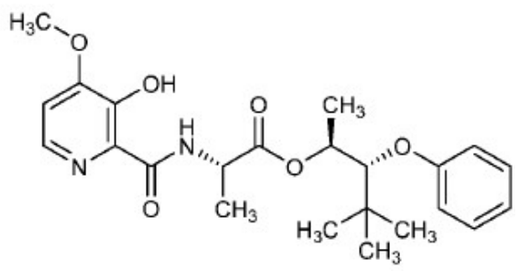
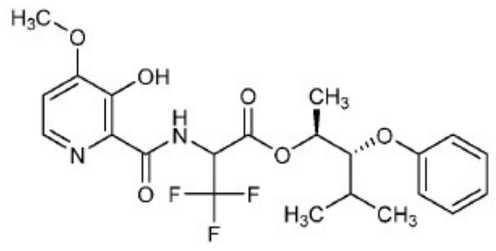
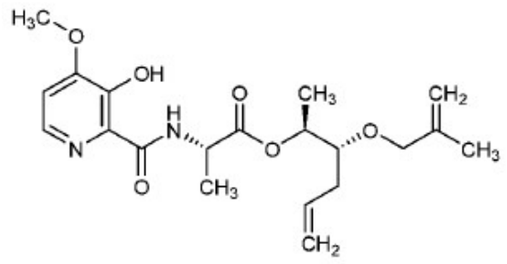
*Comp. No.	Estructura	Preparado de acuerdo con el Ejemplo:	Apariencia
991		Ejemplo 1A; Ejemplo 4C; Ejemplo 8A; Ejemplo 12A	Aceite incoloro
992		Ejemplo 1A; Ejemplo 4C; Ejemplo 8A; Ejemplo 12A	Aceite incoloro
993		Ejemplo 1A; Ejemplo 4C; Ejemplo 8A; Ejemplo 12A	Aceite incoloro
994		Ejemplo 1A; Ejemplo 4C; Ejemplo 8A; Ejemplo 12A	Aceite café
995		Ejemplo 1A; Ejemplo 4F; Ejemplo 8A; Ejemplo 12A	Aceite incoloro

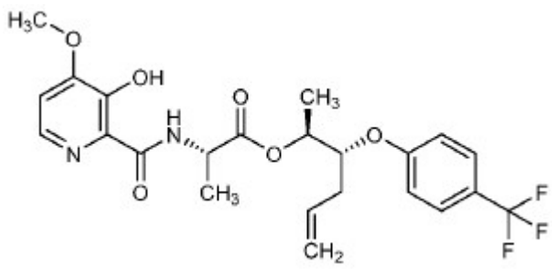
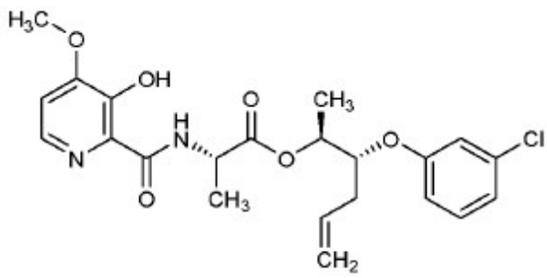
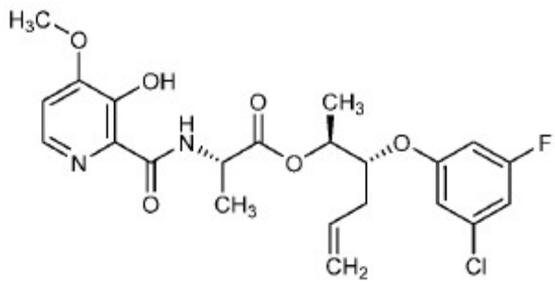
*Comp. No.	Estructura	Preparado de acuerdo con el Ejemplo:	Apariencia
996		Ejemplo 1A; Ejemplo 4D; Ejemplo 12A	Aceite incoloro
997		Ejemplo 1A; Ejemplo 4C; Ejemplo 8A; Ejemplo 12A	Aceite incoloro
998		Ejemplo 14A, Paso 2	Aceite pegajoso incoloro
999		Ejemplo 14A, Paso 2	Aceite pegajoso incoloro
1000		Ejemplo 14A, Paso 2	Aceite pegajoso incoloro

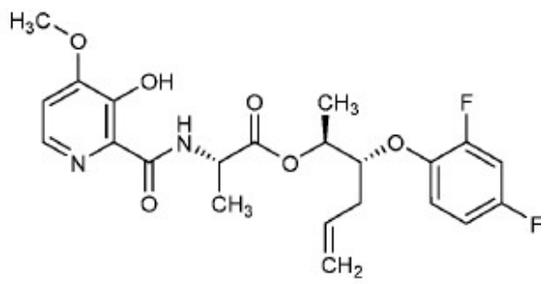
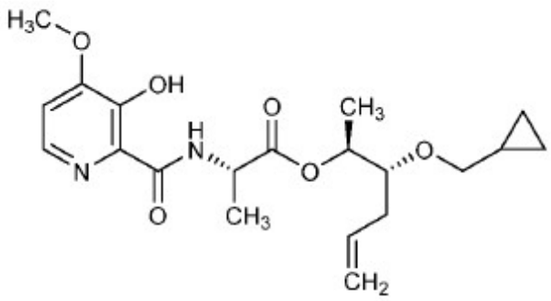
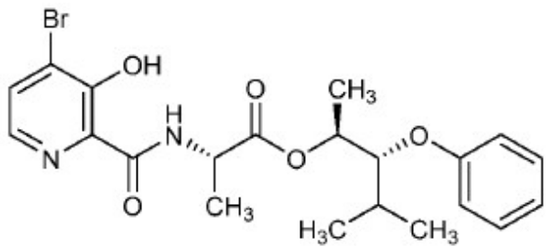
*Comp. No.	Estructura	Preparado de acuerdo con el Ejemplo:	Apariencia
1001		Ejemplo 14A, Paso 2	Cera amarillo pálido
1002		Ejemplo 14A, Paso 2	Aceite incoloro
1003		Ejemplo 14A, Paso 2	Aceite incoloro
1004		Ejemplo 14A, Paso 2	Aceite incoloro
1005		Ejemplo 14A, Paso 2	Aceite pegajoso incoloro

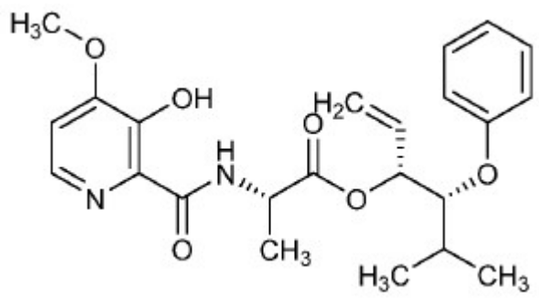
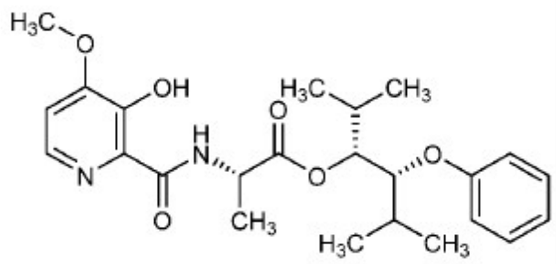
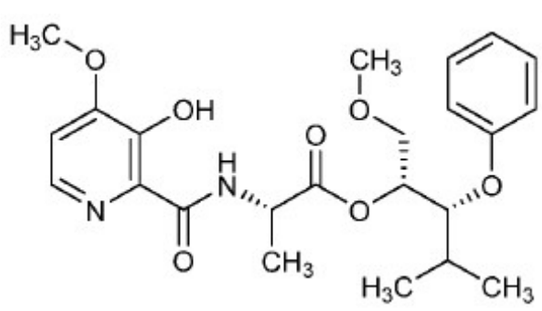
*Comp. No.	Estructura	Preparado de acuerdo con el Ejemplo:	Apariencia
1006		Ejemplo 14A, Paso 2	Espuma blanca
1007		Ejemplo 14A, Paso 2	Aceite pegajoso incoloro
1008		Ejemplo 14A, Paso 2	Aceite pegajoso amarillo
1009		Ejemplo 14A, Paso 2	Aceite pegajoso incoloro
1010		Ejemplo 14A, Paso 2	Aceite pegajoso

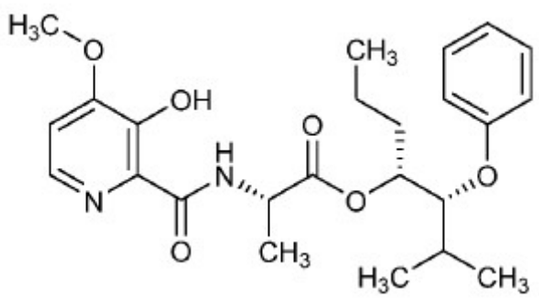
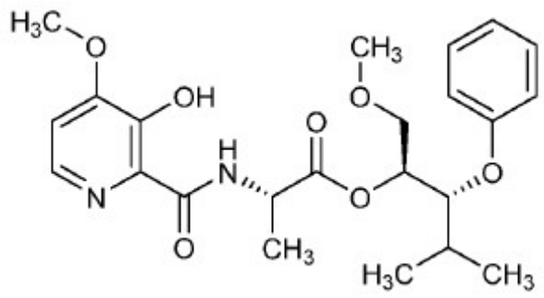
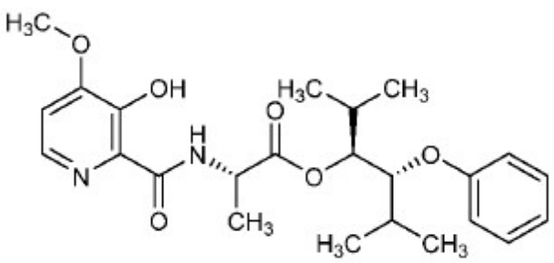
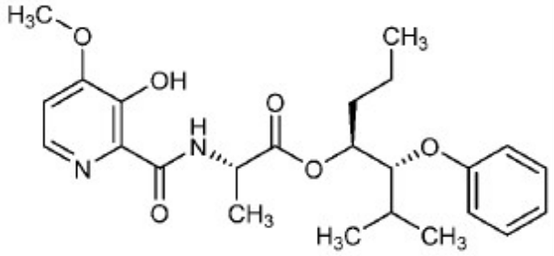
*Comp. No.	Estructura	Preparado de acuerdo con el Ejemplo:	Apariencia
1011		Ejemplo 14A, Paso 2	Aceite pegajoso
1012		Ejemplo 14A, Paso 2	Aceite pegajoso
1013		Ejemplo 14A, Paso 2	Aceite pegajoso
1014		Ejemplo 14A, Paso 2	Aceite pegajoso
1015		Ejemplo 14A, Paso 2	Aceite pegajoso

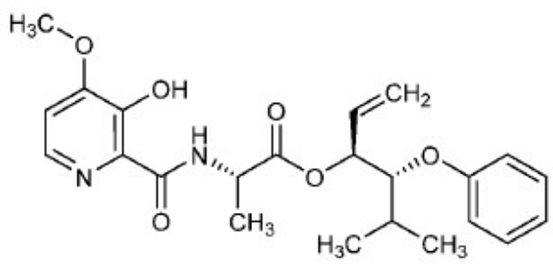
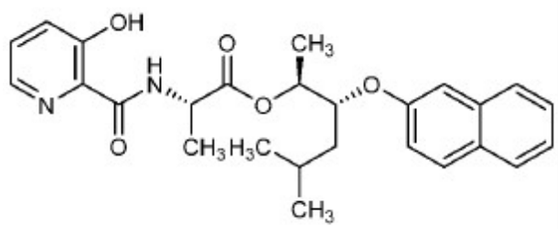
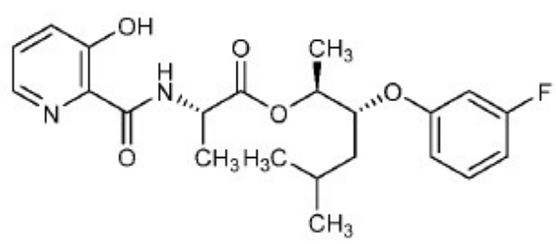
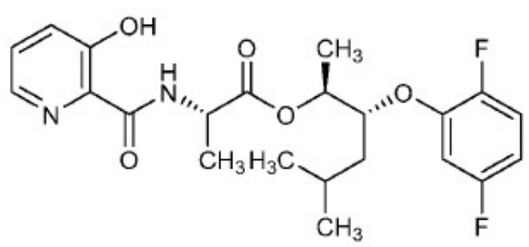
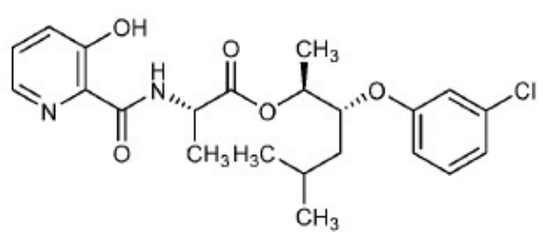
*Comp. No.	Estructura	Preparado de acuerdo con el Ejemplo:	Apariencia
1016		Ejemplo 14A, Paso 2	Aceite pegajoso
1017		Ejemplo 14A, Paso 2	Aceite pegajoso
1018		Ejemplo 14C, Paso 2	Cera pegajosa
1019		Ejemplo 14B, Paso 2	Aceite amarillo pálido

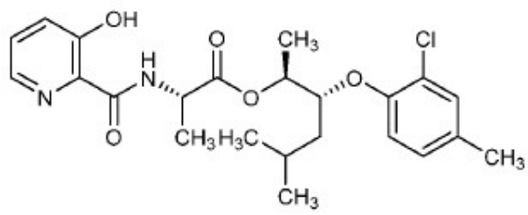
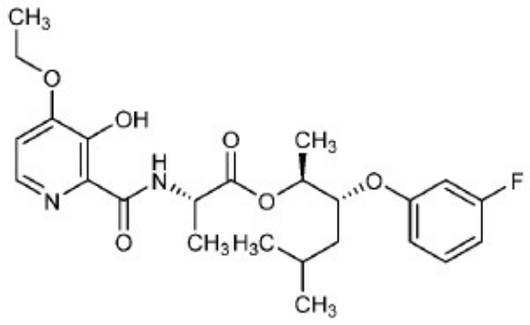
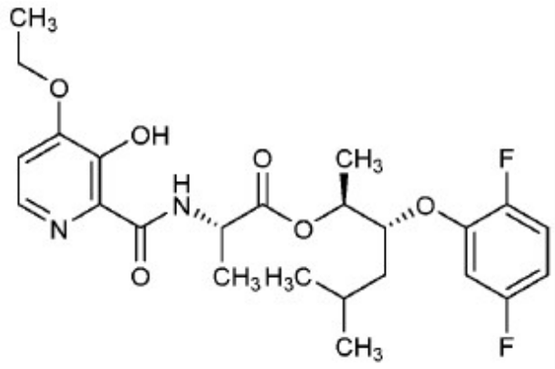
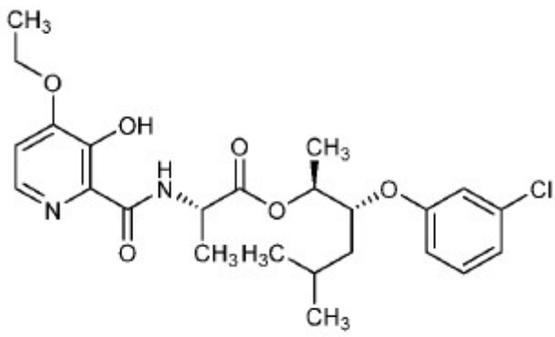
*Comp. No.	Estructura	Preparado de acuerdo con el Ejemplo:	Apariencia
1020		Ejemplo 14B, Paso 2	Aceite amarillo pálido
1021		Ejemplo 14B, Paso 2	Aceite amarillo pálido
1022		Ejemplo 14B, Paso 2	Aceite amarillo pálido

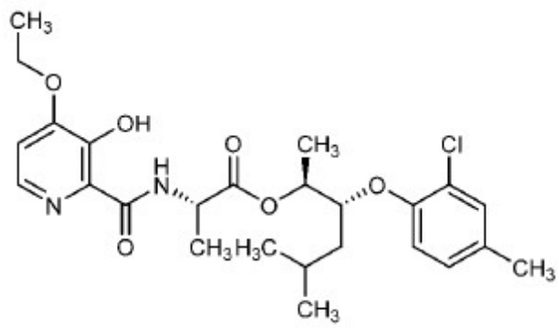
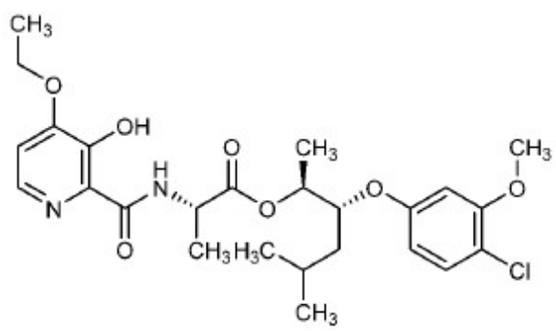
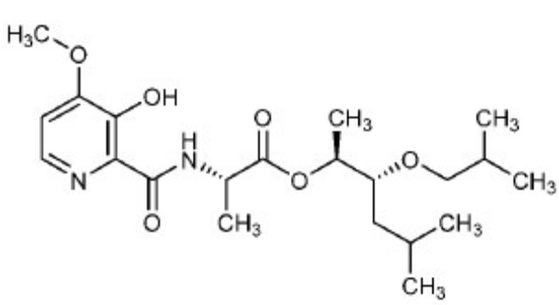
*Comp. No.	Estructura	Preparado de acuerdo con el Ejemplo:	Apariencia
1023		Ejemplo 14B, Paso 2	Aceite amarillo pálido
1024		Ejemplo 14B, Paso 2	Aceite claro, incoloro
1025		Ejemplo 14A, Paso 2	Aceite claro, incoloro

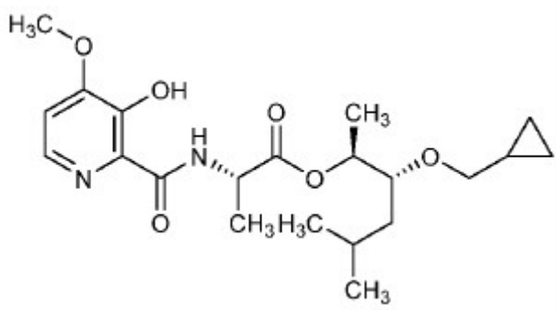
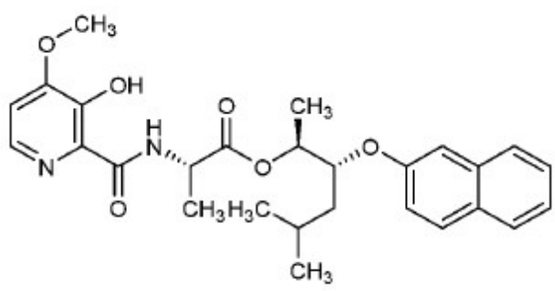
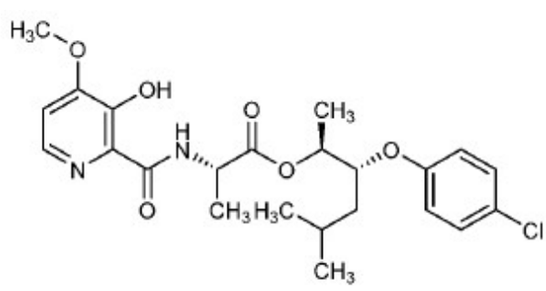
*Comp. No.	Estructura	Preparado de acuerdo con el Ejemplo:	Apariencia
1026		Ejemplo 14A, Paso 2	Aceite incoloro
1027		Ejemplo 14A, Paso 2	Aceite incoloro
1028		Ejemplo 14A, Paso 2	Aceite incoloro

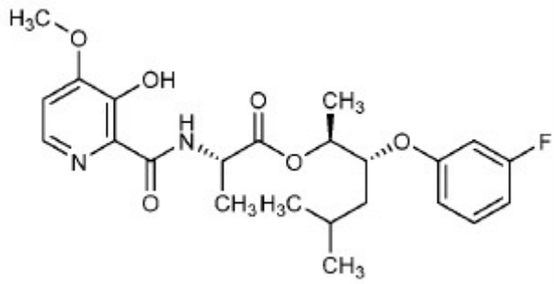
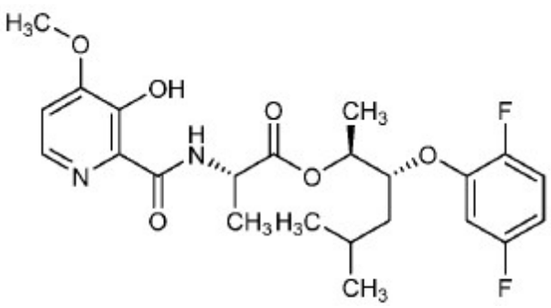
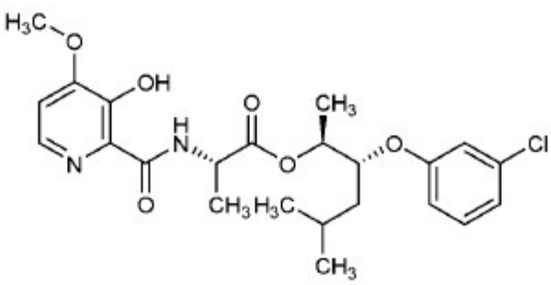
*Comp. No.	Estructura	Preparado de acuerdo con el Ejemplo:	Apariencia
1029		Ejemplo 14A, Paso 2	Aceite incoloro
1030		Ejemplo 14A, Paso 2	Aceite incoloro
1031		Ejemplo 14A, Paso 2	Aceite incoloro
1032		Ejemplo 14A, Paso 2	Aceite incoloro

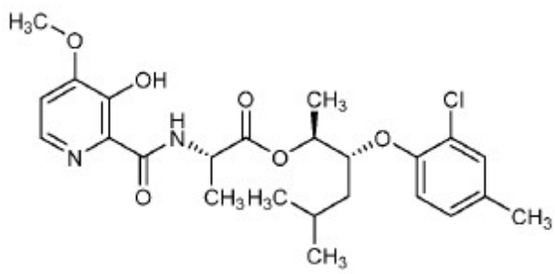
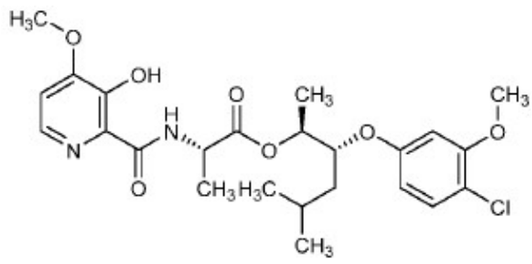
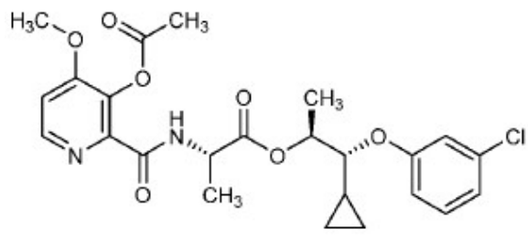
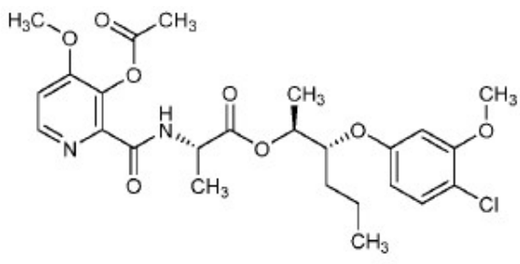
*Comp. No.	Estructura	Preparado de acuerdo con el Ejemplo:	Apariencia
1033		Ejemplo 14A, Paso 2	Aceite incoloro
1034		Ejemplo 14A, Paso 2	Aceite incoloro
1035		Ejemplo 14A, Paso 2	Aceite incoloro
1036		Ejemplo 14A, Paso 2	Aceite incoloro
1037		Ejemplo 14A, Paso 2	Aceite incoloro

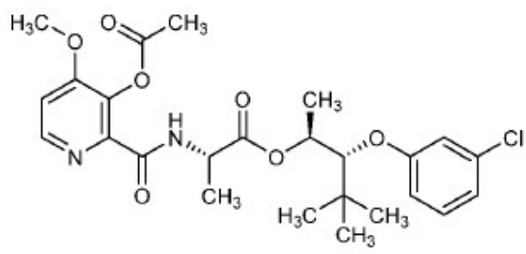
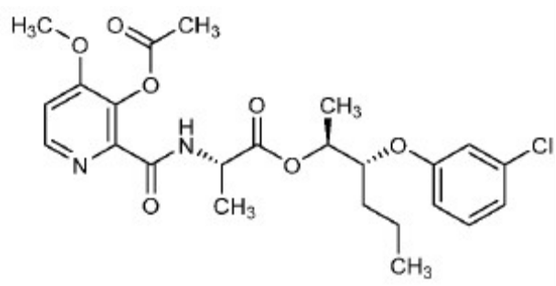
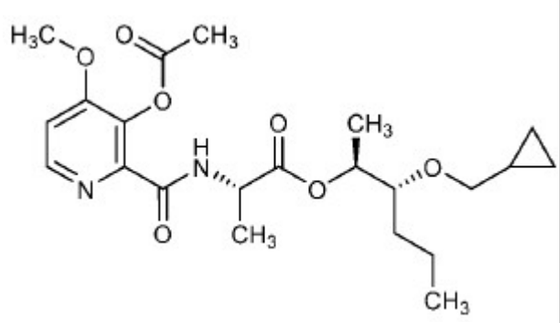
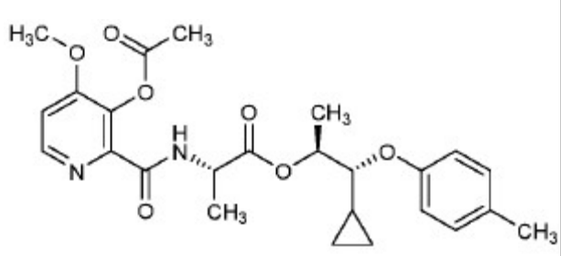
*Comp. No.	Estructura	Preparado de acuerdo con el Ejemplo:	Apariencia
1038		Ejemplo 14A, Paso 2	Aceite incoloro
1039		Ejemplo 14A, Paso 2	Aceite amarillo
1040		Ejemplo 14A, Paso 2	Aceite incoloro
1041		Ejemplo 14A, Paso 2	Aceite incoloro

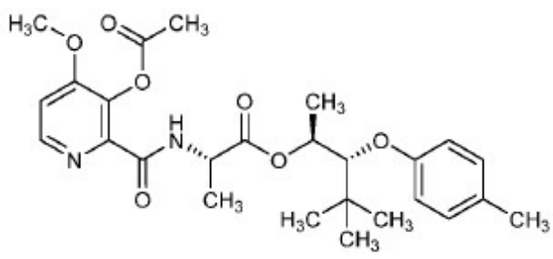
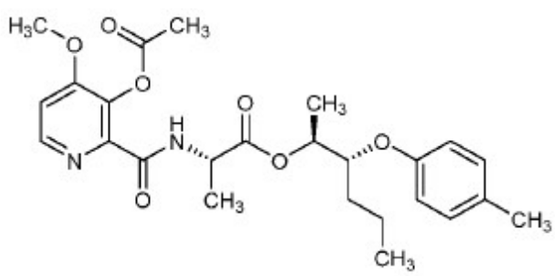
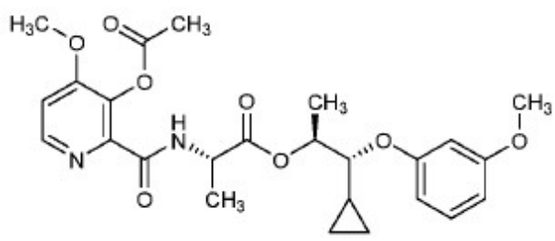
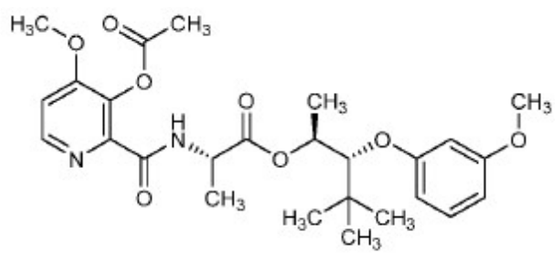
*Comp. No.	Estructura	Preparado de acuerdo con el Ejemplo:	Apariencia
1042		Ejemplo 14A, Paso 2	Aceite incoloro
1043		Ejemplo 14A, Paso 2	Aceite incoloro
1044		Ejemplo 14A, Paso 2	Aceite incoloro

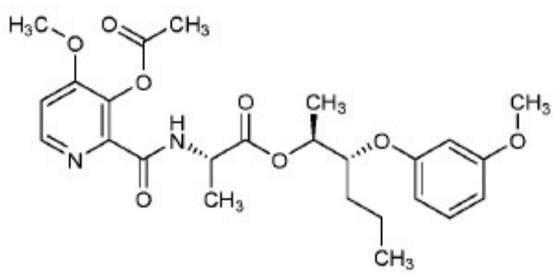
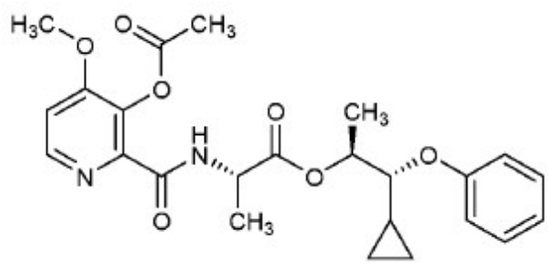
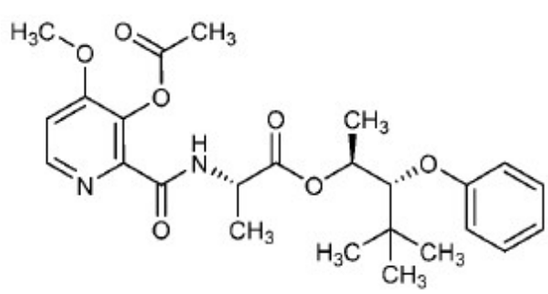
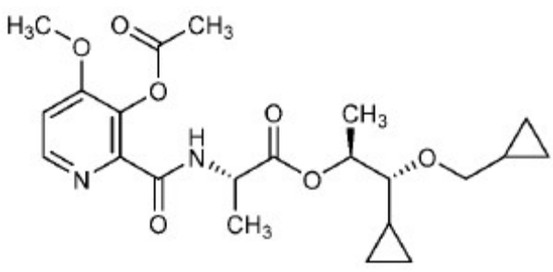
*Comp. No.	Estructura	Preparado de acuerdo con el Ejemplo:	Apariencia
1045		Ejemplo 14A, Paso 2	Aceite incoloro
1046		Ejemplo 14A, Paso 2	Aceite incoloro
1047		Ejemplo 14A, Paso 2	Aceite amarillo

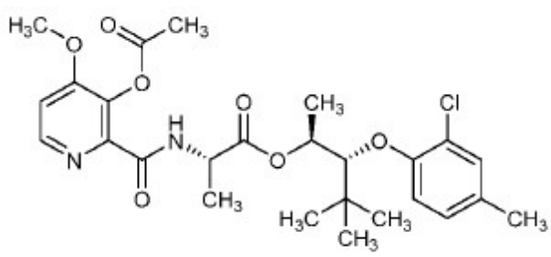
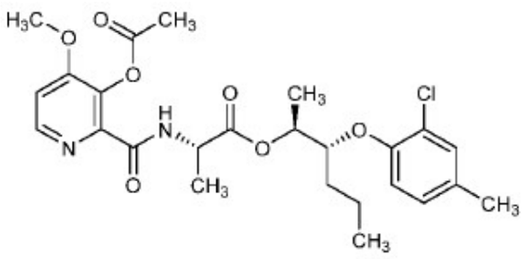
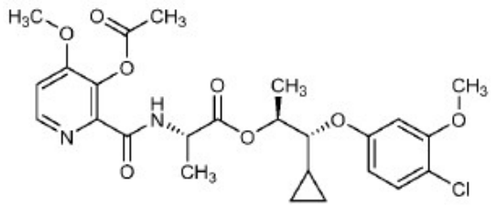
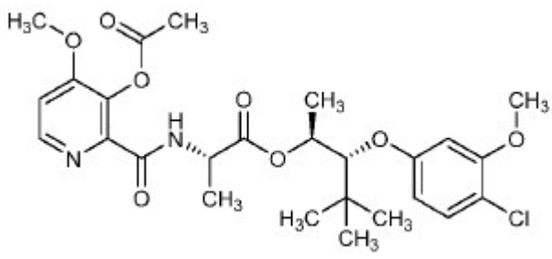
*Comp. No.	Estructura	Preparado de acuerdo con el Ejemplo:	Apariencia
1048		Ejemplo 14A, Paso 2	Aceite incoloro
1049		Ejemplo 14A, Paso 2	Aceite incoloro
1050		Ejemplo 14A, Paso 2	Aceite incoloro

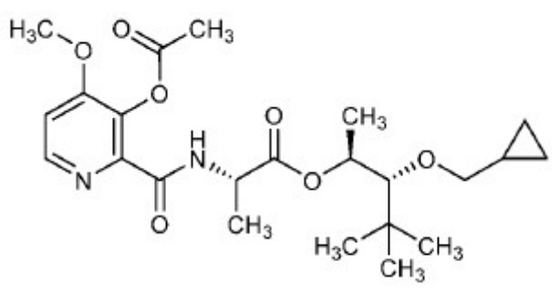
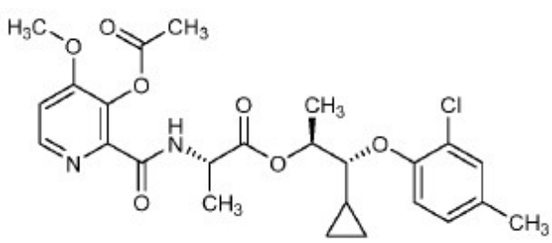
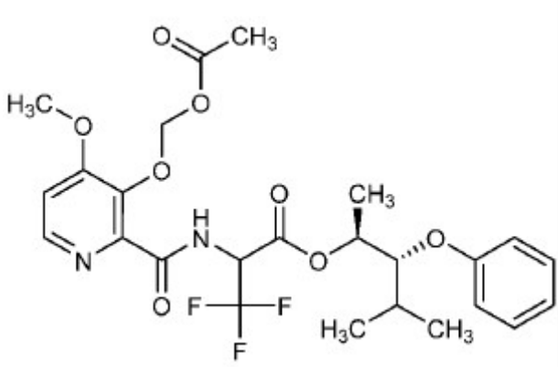
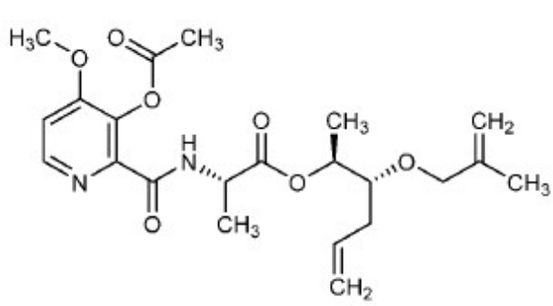
*Comp. No.	Estructura	Preparado de acuerdo con el Ejemplo:	Apariencia
1051		Ejemplo 14A, Paso 2	Aceite incoloro
1052		Ejemplo 14A, Paso 2	Aceite amarillo
1053		Ejemplo 16A	Aceite incoloro
1054		Ejemplo 16A	Aceite incoloro

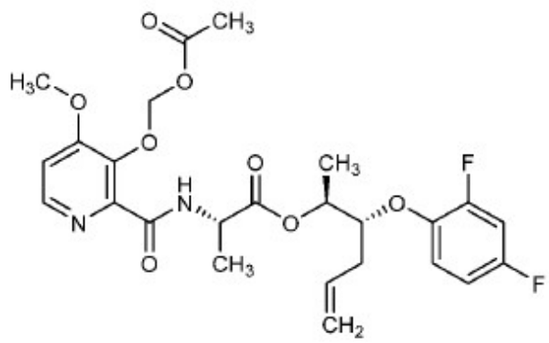
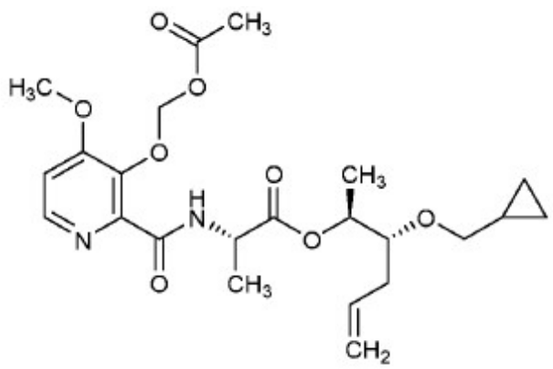
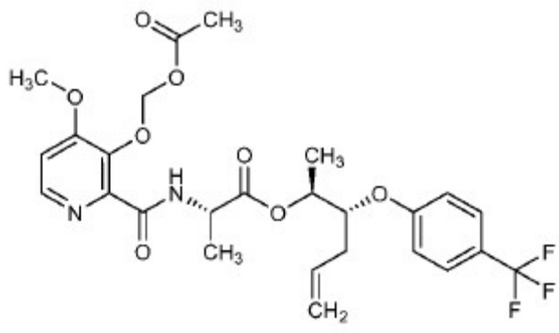
*Comp. No.	Estructura	Preparado de acuerdo con el Ejemplo:	Apariencia
1055		Ejemplo 16A	Aceite incoloro
1056		Ejemplo 16A	Aceite incoloro
1057		Ejemplo 16A	Aceite incoloro
1058		Ejemplo 16A	Aceite incoloro

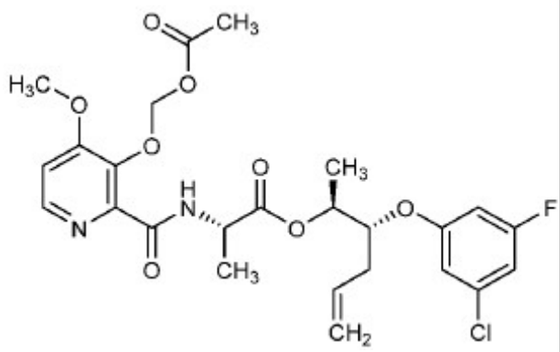
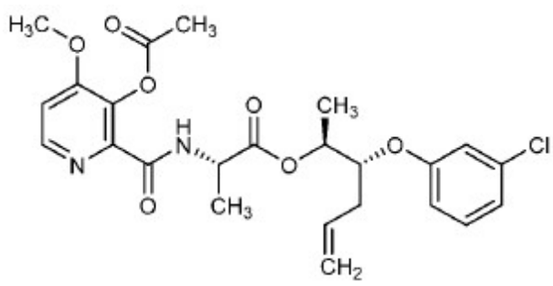
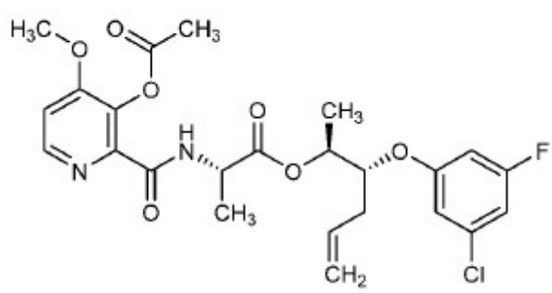
*Comp. No.	Estructura	Preparado de acuerdo con el Ejemplo:	Apariencia
1059		Ejemplo 16A	Aceite incoloro
1060		Ejemplo 16A	Aceite incoloro
1061		Ejemplo 16A	Aceite incoloro
1062		Ejemplo 16A	Aceite incoloro

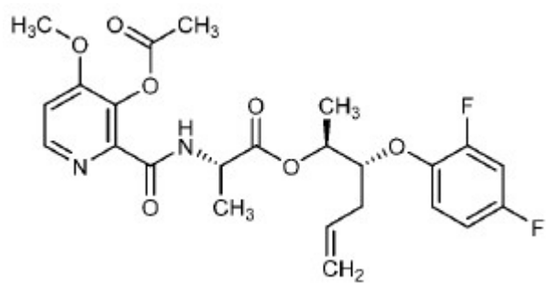
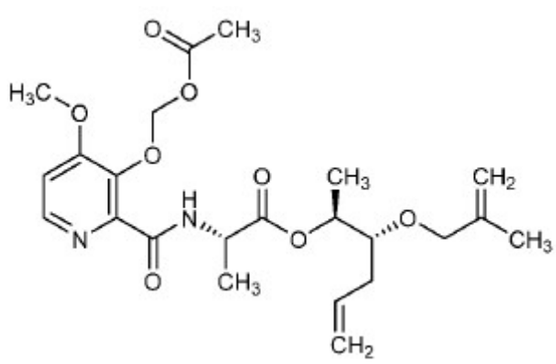
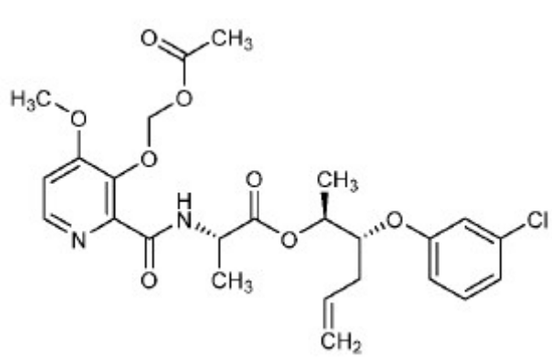
*Comp. No.	Estructura	Preparado de acuerdo con el Ejemplo:	Apariencia
1063		Ejemplo 16A	Aceite incoloro
1064		Ejemplo 16A	Aceite incoloro
1065		Ejemplo 16A	Aceite incoloro
1066		Ejemplo 16A	Aceite incoloro

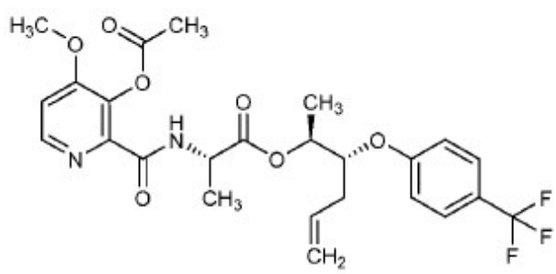
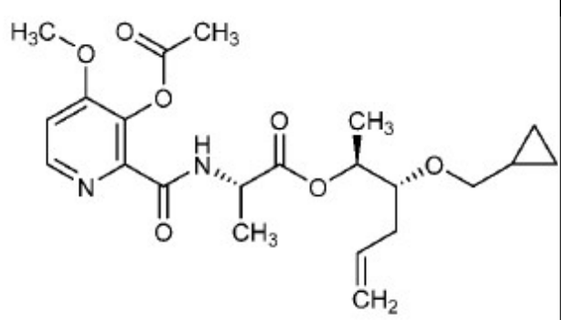
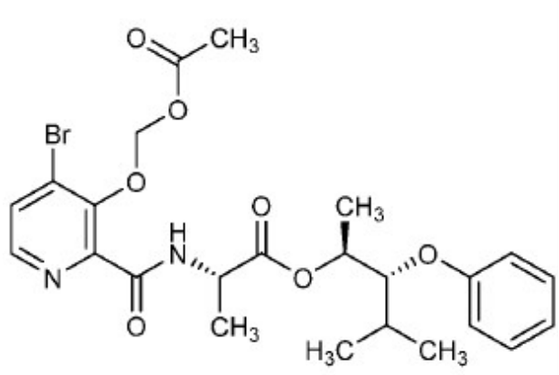
*Comp. No.	Estructura	Preparado de acuerdo con el Ejemplo:	Apariencia
1067		Ejemplo 16A	Aceite incoloro
1068		Ejemplo 16A	Aceite incoloro
1069		Ejemplo 16A	Aceite incoloro
1070		Ejemplo 16A	Aceite incoloro

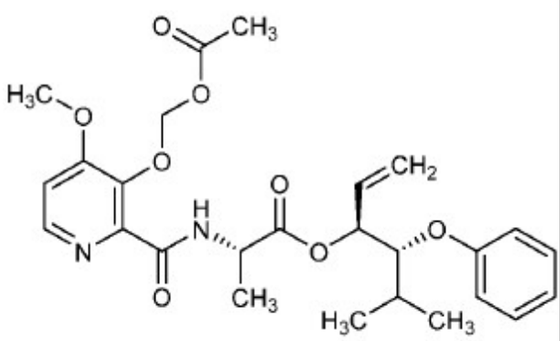
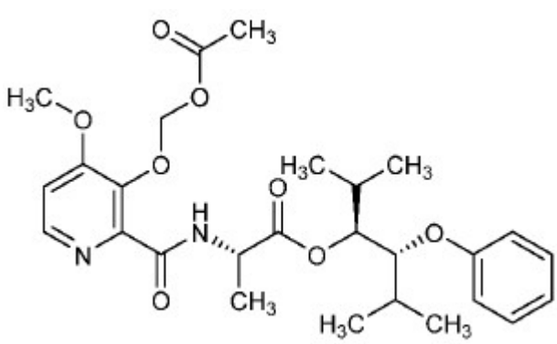
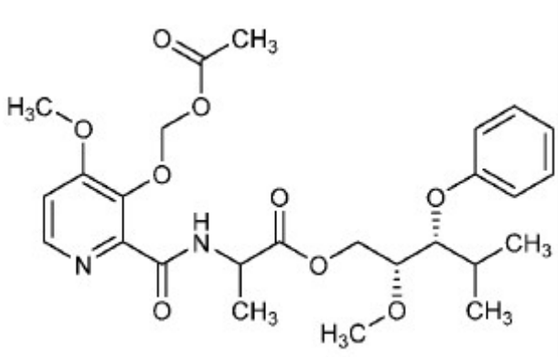
*Comp. No.	Estructura	Preparado de acuerdo con el Ejemplo:	Apariencia
1071		Ejemplo 16A	Aceite incoloro
1072		Ejemplo 16A	Aceite incoloro
1073		Ejemplo 16B	Cera pegajosa
1074		Ejemplo 16A	Aceite claro, incoloro

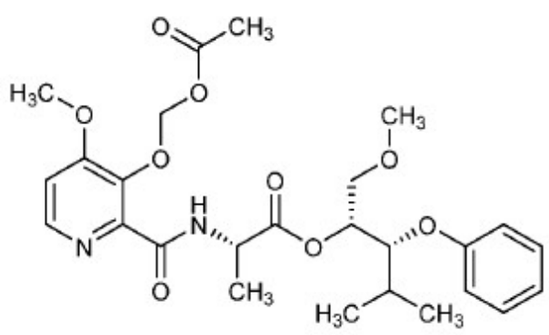
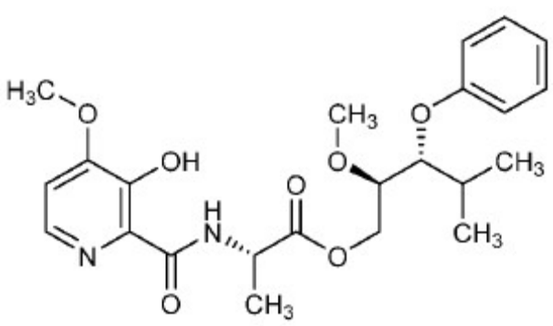
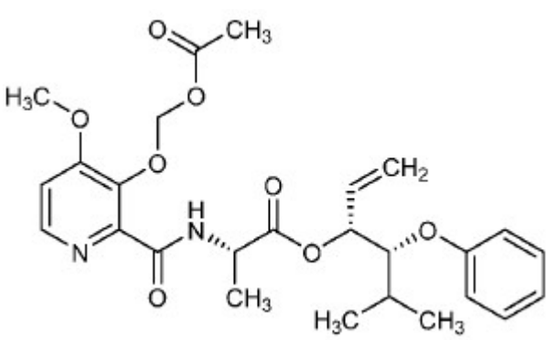
*Comp. No.	Estructura	Preparado de acuerdo con el Ejemplo:	Apariencia
1075		Ejemplo 16B	Aceite claro, incoloro
1076		Ejemplo 16B	Aceite claro, incoloro
1077		Ejemplo 16B	Aceite claro, incoloro

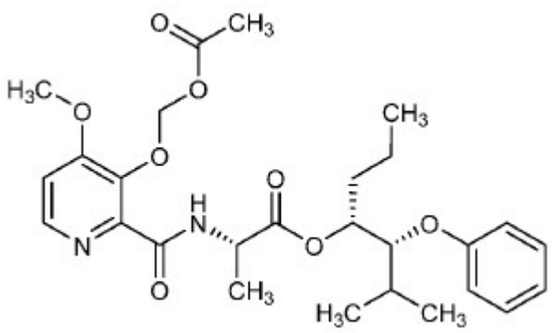
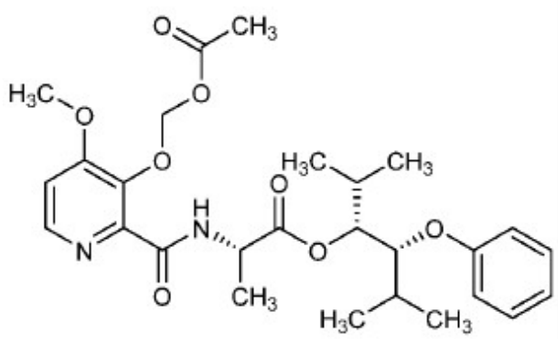
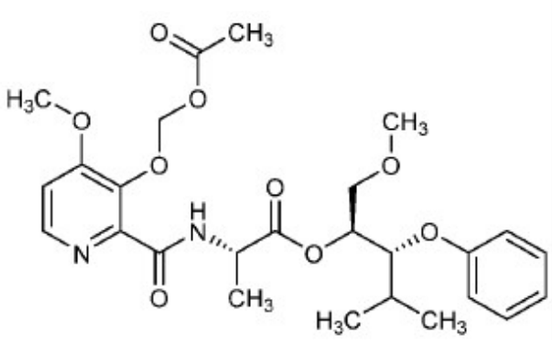
*Comp. No.	Estructura	Preparado de acuerdo con el Ejemplo:	Apariencia
1078		Ejemplo 16B	Aceite claro, incoloro
1079		Ejemplo 16A	Aceite claro, incoloro
1080		Ejemplo 16A	Aceite claro, incoloro

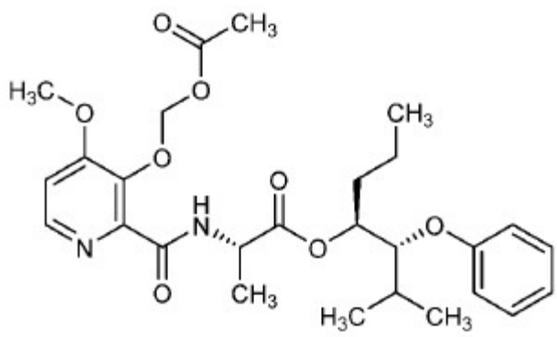
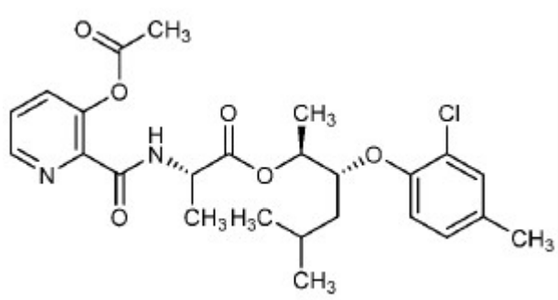
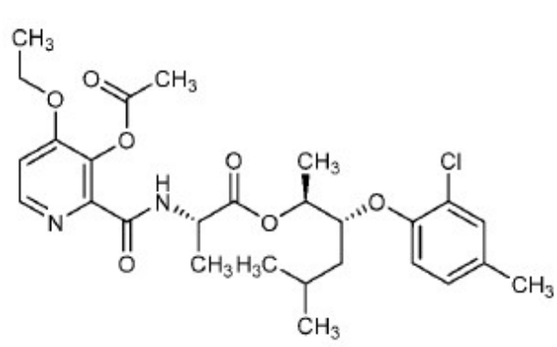
*Comp. No.	Estructura	Preparado de acuerdo con el Ejemplo:	Apariencia
1081		Ejemplo 16A	Aceite claro, incoloro
1082		Ejemplo 16B	Aceite claro, incoloro
1083		Ejemplo 16B	Aceite claro, incoloro

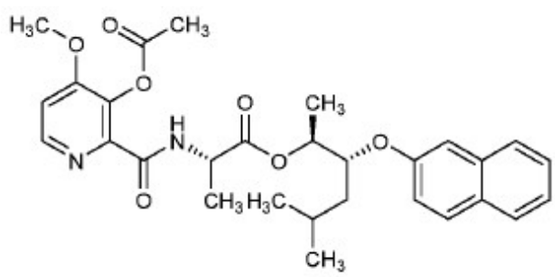
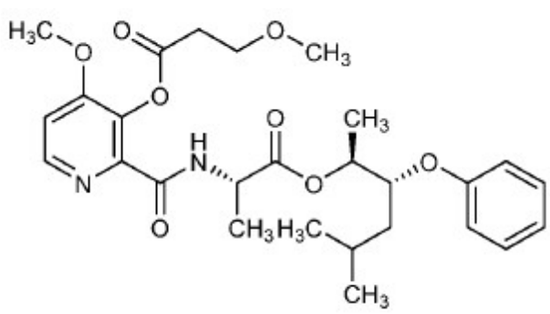
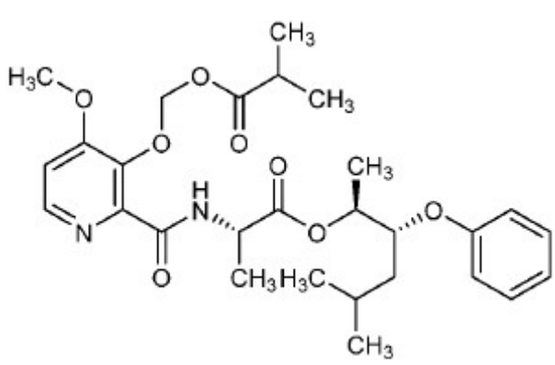
*Comp. No.	Estructura	Preparado de acuerdo con el Ejemplo:	Apariencia
1084		Ejemplo 16A	Aceite claro, incoloro
1085		Ejemplo 16A	Aceite claro, incoloro
1086		Ejemplo 16B	Aceite claro, incoloro

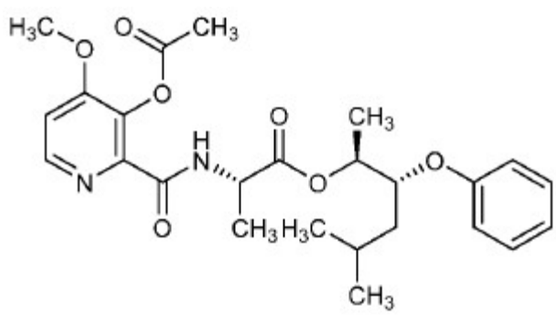
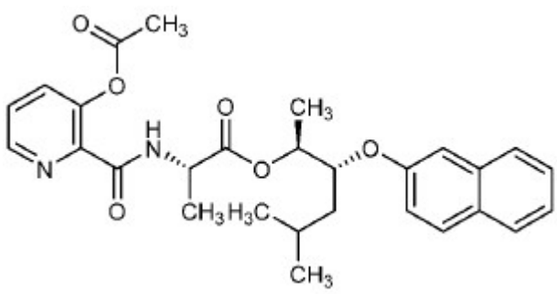
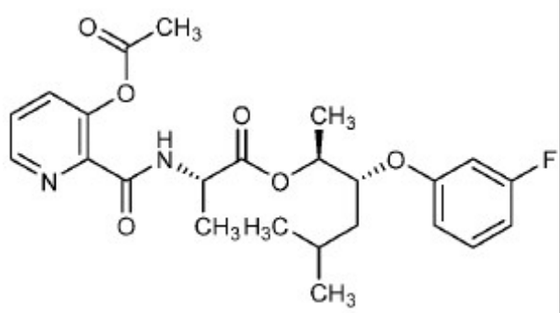
*Comp. No.	Estructura	Preparado de acuerdo con el Ejemplo:	Apariencia
1087		Ejemplo 16B	Aceite amarillo
1088		Ejemplo 16B	Aceite amarillo
1089		Ejemplo 16B	Aceite amarillo

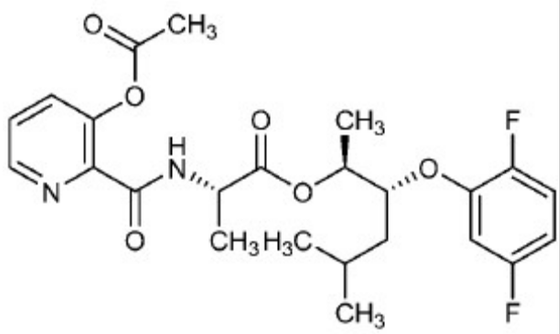
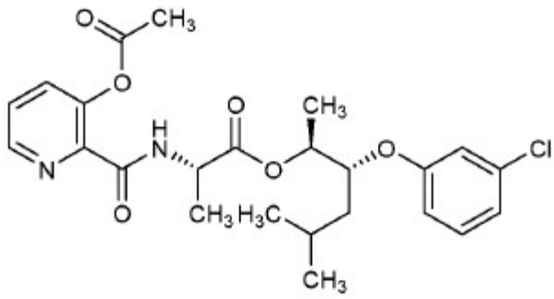
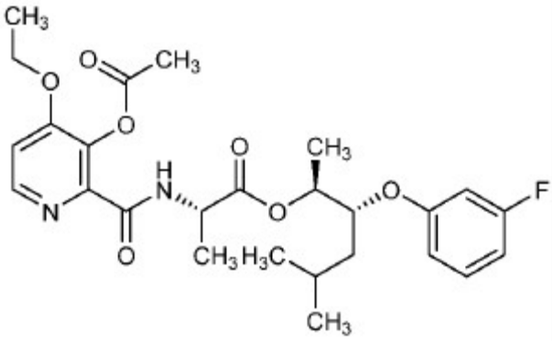
*Comp. No.	Estructura	Preparado de acuerdo con el Ejemplo:	Apariencia
1090		Ejemplo 16B	Aceite amarillo
1091		Ejemplo 16B	Aceite incoloro
1092		Ejemplo 16B	Aceite amarillo

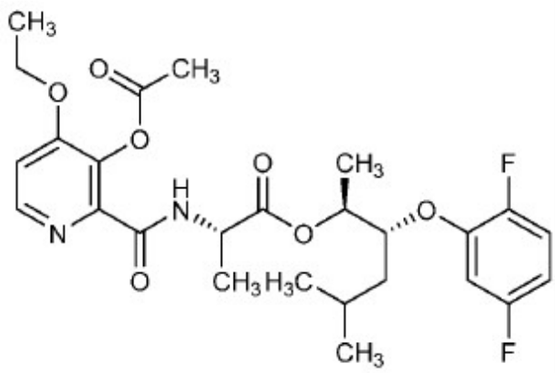
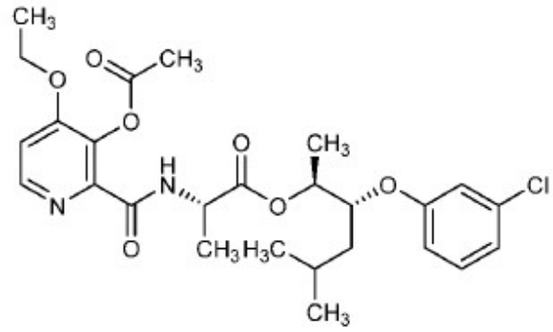
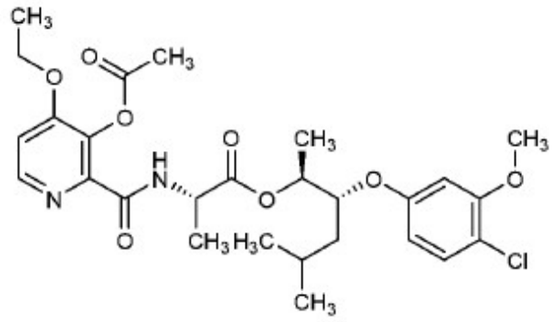
*Comp. No.	Estructura	Preparado de acuerdo con el Ejemplo:	Apariencia
1093		Ejemplo 16B	Aceite amarillo
1094		Ejemplo 16B	Aceite amarillo
1095		Ejemplo 16B	Aceite amarillo

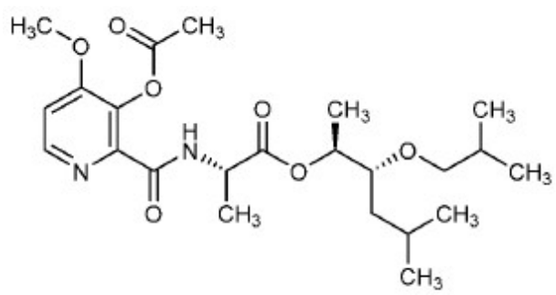
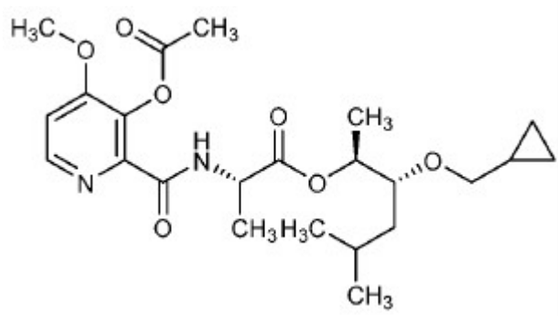
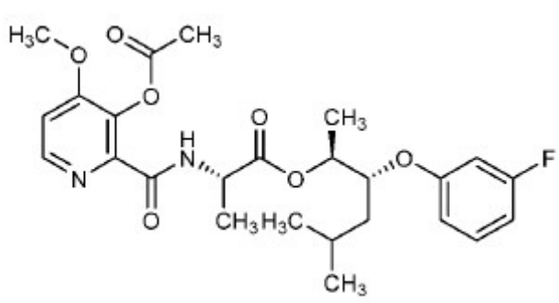
*Comp. No.	Estructura	Preparado de acuerdo con el Ejemplo:	Apariencia
1096		Ejemplo 16B	Aceite amarillo
1097		Ejemplo 16A	Aceite
1098		Ejemplo 16A	Aceite

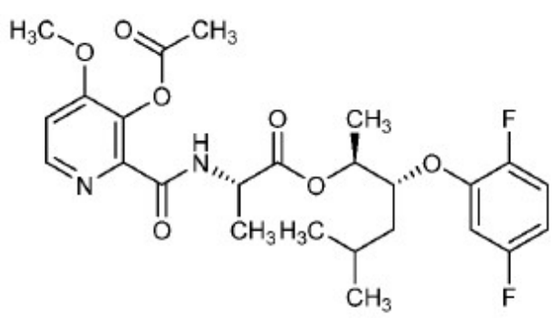
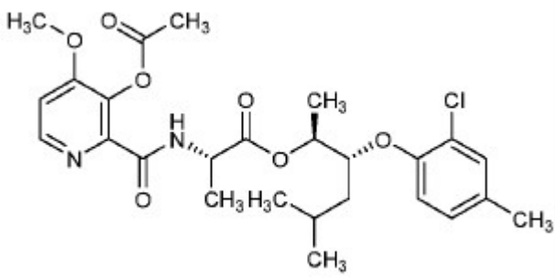
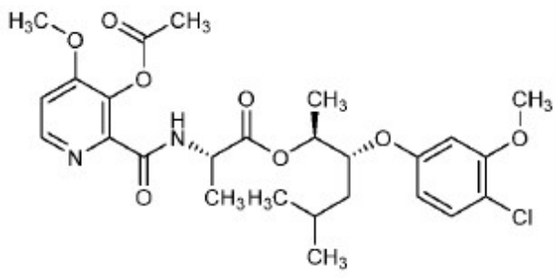
*Comp. No.	Estructura	Preparado de acuerdo con el Ejemplo:	Apariencia
1099		Ejemplo 16A	Aceite
1100		Ejemplo 16A	Aceite
1101		Ejemplo 16C	Aceite

*Comp. No.	Estructura	Preparado de acuerdo con el Ejemplo:	Apariencia
1102		Ejemplo 16A	Aceite
1103		Ejemplo 16A	Aceite
1104		Ejemplo 16A	Aceite

*Comp. No.	Estructura	Preparado de acuerdo con el Ejemplo:	Apariencia
1105		Ejemplo 16A	Aceite
1106		Ejemplo 16A	Aceite
1107		Ejemplo 16A	Aceite

*Comp. No.	Estructura	Preparado de acuerdo con el Ejemplo:	Apariencia
1108		Ejemplo 16A	Aceite
1109		Ejemplo 16A	Aceite
1110		Ejemplo 16A	Aceite

*Comp. No.	Estructura	Preparado de acuerdo con el Ejemplo:	Apariencia
1111		Ejemplo 16A	Aceite
1112		Ejemplo 16A	Aceite
1113		Ejemplo 16A	Aceite

*Comp. No.	Estructura	Preparado de acuerdo con el Ejemplo:	Apariencia
1114		Ejemplo 16A	Aceite
1115		Ejemplo 16A	Aceite
1116		Ejemplo 16A	Aceite

*Comp. No. = Número de compuesto.

Tabla 2

Datos analíticos

*Comp. No.	P.F. (°C)	*1R (cm^{-1})	MASA	RMN (^{1}H, ^{13}C, ^{19}F)
1	- -	- -	ESIMS *m/z* 458 ($[M+Na]^{+}$)	^{1}H RMN (400 MHz, $CDCl_3$) δ 7.33 - 7.24 (m, 2H), 7.23 - 7.14 (m, 3H), 5.09 (qd, *J* = 6.5, 3.3 Hz, 1H), 5.02 (d, *J* = 8.3 Hz, 1H), 4.28 (q, *J* = 7.5 Hz, 1H), 3.39 (dd, *J* = 8.5, 6.4 Hz, 1H), 3.24 (dt, *J* = 7.8, 3.6 Hz, 1H), 3.13 (dd, *J* = 8.6, 6.6 Hz, 1H), 2.83 (ddd, *J* = 14.7, 9.4, 5.8 Hz, 1H), 2.63 (ddd, *J* = 13.8, 9.3, 7.3 Hz, 1H), 1.90 - 1.71 (m, 4H), 1.65 - 1.53 (m, 1H), 1.44 (s, 9H), 1.38 (m, 2H), 1.21 (d, *J* = 6.5 Hz, 3H), 0.96 - 0.90 (m, 9H) ^{13}C RMN (101 MHz, $CDCl_3$) δ 172.37, 155.30, 142.04, 128.38, 125.84, 80.57, 79.68, 77.55, 72.64, 53.46, 34.98, 32.38, 31.85, 29.02, 28.34, 19.51, 19.47, 18.41, 15.17, 13.73
2	- -	- -	ESIMS *m/z* 458 ($[M+Na]^{+}$)	^{1}H RMN (400 MHz, $CDCl_3$) δ 7.31 - 7.25 (m, 2H), 7.22 - 7.15 (m, 3H), 5.15 - 5.06 (m, 1H), 4.98 (d, *J* = 8.2 Hz, 1H), 4.27 (q, *J* = 7.7 Hz, 1H), 3.35 (dd, *J* = 8.8, 6.5 Hz, 1H), 3.29 - 3.18 (m, 2H), 2.80 (ddd, *J* = 14.7, 9.2, 6.0 Hz, 1H), 2.67 - 2.55 (m, 1H), 1.90 -

*Comp. No.	P.F. (°C)	*1R (cm^{-1})	MASA	RMN (^{1}H, ^{13}C, ^{19}F)
				1.66 (m, 4H), 1.53 (m, 1H), 1.44 (s, 9H), 1.41 - 1.27 (m, 2H), 1.22 (d, *J* = 6.5 Hz, 3H), 1.00 - 0.87 (m, 9H) ^{13}C RMN (101 MHz, $CDCl_3$) δ 172.49, 155.34, 141.99, 128.40, 128.37, 125.87, 79.70, 79.32, 77.50, 71.50, 53.43, 34.97, 31.77, 31.39, 28.99, 28.33, 19.50, 19.45, 18.59, 14.69, 13.74
3	- -	- -	ESIMS *m/z* 444 ($[M+Na]^+$)	^{1}H RMN (400 MHz, $CDCl_3$) δ 7.33 - 7.21 (m, 2H), 7.21 - 7.10 (m, 3H), 5.23 - 5.11 (m, 1H), 5.00 b(s, 1H), 3.98 - 3.80 (m, 2H), 3.40 (dd, *J* = 8.5, 6.3 Hz, 1H), 3.32 - 3.25 (m, 1H), 3.23 (dd, *J* = 8.5, 6.3 Hz, 1H), 2.96 (dd, *J* = 13.7, 4.5 Hz, 1H), 2.43 (dd, *J* = 13.8, 9.8 Hz, 1H), 1.85 (dt, *J* = 13.2, 6.6 Hz, 1H), 1.72 (dq, *J* = 10.2, 5.3 Hz, 1H), 1.46 (s, 9H), 1.35 (m, 2H), 1.29 (d, *J* = 6.4 Hz, 3H), 0.93 (dd, *J* = 6.7, 0.8 Hz, 6H), 0.87 (t, *J* = 7.5 Hz, 3H) ^{13}C RMN (101 MHz, $CDCl_3$) 169.59, 155.59, 141.57, 129.14, 128.21, 125.66, 81.86, 79.96, 79.55, 73.01, 43.55, 42.69, 35.35, 29.20, 28.32, 22.11, 19.52, 19.51, 15.46, 10.62

*Comp. No.	P.F. (°C)	*1R (cm^{-1})	MASA	RMN (^{1}H, ^{13}C, ^{19}F)
4	- -	- -	ESIMS *m/z* 580 ($[M+Na]^{+}$).	^{1}H RMN (400 MHz, $CDCl_3$) δ 7 .76 (d, *J* = 7.5 Hz, 2H), 7.64 - 7.56 (m, 2H), 7.40 (t, *J* = 7.5 Hz, 2H), 7.36 - 7.23 (m, 4H), 7.23 - 7.11 (m, 3H), 5.40 (d, *J* = 7.4 Hz, 1H), 5.24 - 5.14 (m, 1H), 4.39 (d, *J* = 6.1 Hz, 3H), 4.22 (t, *J* = 7.0 Hz, 1H), 3.47 - 3.39 (m, 1H), 3.34 - 3.27 (m, 1H), 3.22 (dd, *J* = 8.4, 6.5 Hz, 1H), 2.98 (dd, *J* = 13.7, 4.1 Hz, 1H), 2.44 (ddd, *J* = 13.8, 9.9, 4.8 Hz, 1H), 1.85 (m. 1H), 1.70 (dq, *J* = 9.8, 5.0 Hz, 1H), 1.43 (d, *J* = 7.0 Hz, 3H), 1.4 - 1.3 (m, 2H), 1.31 (d, *J* = 6.3 Hz, 3H), 0.93 (dd, *J* = 6.7, 1.8 Hz, 6H), 0.86 (t, *J* = 7.1 Hz, 3H) ^{13}C RMN (101 MHz, $CDCl_3$) 172.37, 155.58, 143.93, 143.80, 141.58, 141.32, 129.17, 128.24, 127.72, 127.08, 125.71, 125.11, 120.00, 83.80, 81.72, 79.58, 73.04, 67.03, 47.18, 43.65, 35.41, 29.24, 22.27, 19.53, 19.52, 15.70, 10.93
5	- -	- - -	ESIMS *m/z* 424.4 ($[M+H]^{+}$)	^{1}H RMN (400 MHz, $CDCl_3$) δ 7.31 - 7.21 (m, 2H), 7.04 - 6.98 (m, 2H), 6.97 - 6.90 (m, 1H), 5.24 - 5.13 (m, 1H), 5.01 - 4.90 (m, 1H), 4.42 (dd, *J* =

*Comp. No.	P.F. (°C)	*1R (cm^{-1})	MASA	RMN (^1H, ^{13}C, ^{19}F)
				5.8, 4.0 Hz, 1H), 4.25 - 4.10 (m, 1H), 3.47 (t, *J* = 6.7 Hz, 2H), 3.39 - 3.30 (m, 1H), 1.71 - 1.58 (m, 1H), 1.58 - 1.48 (m, 3H), 1.43 (s, 9H), 1.36 (d, *J* = 6.5 Hz, 3H), 1.09 (d, *J* = 7.2 Hz, 3H), 0.98 (t, *J* = 7.4 Hz, 3H), 0.85 t, *J* = 7.4 Hz, 3H)
6	- -	- - -	ESIMS *m/z* 422.4 ($[M+H]^+$)	^1H RMN (400 MHz, $CDCl_3$) δ 7.31 - 7.20 (m, 2H), 7.04 - 7.0 (m, 2H), 6.96 - 6.90 (m, 1H), 5.81 (ddd, *J* = 17.2, 10.3, 8.0 Hz, 1H), 5.39 - 5.31 (m, 2H), 5.24 - 5.13 (m, 1H), 4.95 (d, *J* = 8.0 Hz, 1H), 4.39 (dd, *J* = 5.8, 4.2 Hz, 1H), 4.22 - 4.07 (m, 1H), 3.89 - 3.80 (m, 1H), 3.54 - 3.44 (m, 1H), 3.26 - 3.16 (m, 1H), 1.60 - 1.49 (m, 2H), 1.43 (s, 9H), 1.35 (d, *J* = 6.5 Hz, 3H), 1.10 (d, *J* = 7.2 Hz, 3H), 0.85 (t, *J* = 7.4 Hz, 3H)
7	- -	- - -	ESIMS *m/z* 424.4 ($[M+H]^+$)	^1H RMN (400 MHz, $CDCl_3$) δ 7.32 - 7.21 (m, 2H), 7.07 - 6.99 (m, 2H), 6.99 6.92 (m, 1H), 5.25 - 5.15 (m, 1H), 4.81 (d, *J* = 8.1 Hz, 1H), 4.43 (dd, *J* = 5.5, 4.0 Hz, 1H), 4.21 - 4.09 (m, 1H), 3.48 (t, *J* = 6.7 Hz, 2H), 3.40

*Comp. No.	P.F. (°C)	*1R (cm^{-1})	MASA	RMN (^{1}H, ^{13}C, ^{19}F)
				- 3.32 (m, 1H), 1.70 - 1.48 (m, 4H), 1.44 (s, 9H), 1.33 (d, *J* = 6.5 Hz, 3H), 1.22 (d, *J* = 7.2 Hz, 3H), 0.97 (t, *J* = 7 4 Hz, 3H), 0.86 (t, *J* = 7.4 Hz, 3H)
8	- -	- - -	ESIMS *m/z* 438.4 ($[M+H]^{+}$)	^{1}H RMN (400 MHz, $CDCl_3$) δ 7.33 - 7.20 (m, 2H), 7.05 - 6.99 (m, 2H), 6.99 6.91 (m, 1H), 5.24 - 5.15 (m, 1H), 4.94 (d, *J* = 8.5 Hz, 1H), 4.39 (dd, *J* = 5.8, 3.8 Hz, 1H), 4.19 - 4.09 (m, 1H), 3.51 - 3.44 (m, 2H), 3.38 - 3.31 (m, 1H), 1.81 - 1.47 (m, 6H), 1.43 (s, 9H), 1.36 (d, *J* = 6.5 Hz, 3H), 0.98 (t, *J* = 7.4 Hz, 3H), 0.86 (t, *J* = 7.4Hz, 3H), 0.76 (t, *J* = 7.4 Hz, 3H)
9	- -	- - -	ESIMS *m/z* 440.3 ($[M+H]^{+}$)	^{1}H RMN (400 MHz, $CDCl_3$) δ 7.31 - 7.22 (m, 2H), 7.07 - 7.01 (m, 2H), 6.98 - 6.91 (m, 1H), 5.31 - 5.22 (m, 1H), 4.98 (d, *J* = 8.8 Hz, 1H), 4.53 (dd, *J* = 5 6, 3.9 Hz, 1H), 4.27 - 4.16 (m, 1H), 3.69 - 3.55 (m, 2H), 3.55 - 3.36 (m, 3H), 3.29 (s, 3H), 1.66 - 1.51 (m, 2H), 1.43 (s, 9H), 1.34 (d, *J* = 6.4 Hz, 3H), 1.20 (d, *J* = 7.2 Hz, 3H), 0.87 (t, *J* = 7.4 Hz, 3H)
10	- - -	- - -	ESIMS *m/z* 440.3	^{1}H RMN (400 MHz, $CDCl_3$) δ 7.31 -

*Comp. No.	P.F. (°C)	*1R (cm^{-1})	MASA	RMN (^{1}H, ^{13}C, ^{19}F)
			($[M+H]^+$)	7.23 (m, 2H), 7.07 - 7.02 (m, 2H), 6.98 - 6.91 (m, 1H), 5.32 - 5.22 (m, 1H), 4.88 (d, *J* = 8.0 Hz, 1H), 4.53 (dd, *J* = 5.9, 3.8 Hz, 1H), 4.27 - 4.15 (m, 1H), 3.69 - 3.55 (m, 2H), 3.55 - 3.36 (m, 3H), 3.29 (s, 3H), 1.65 - 1.51 (m, 2H), 1.44 (s, 9H), 1.31 (d, *J* = 6.4 Hz, 3H), 1.27 (d, *J* = 7.6 Hz, 3H), 0.87 (t, *J* = 7.4 Hz, 3H)
11	- -	- - -	ESIMS *m/z* 426.3 ($[M+H]^+$)	^{1}H RMN (400 MHz, $CDCl_3$) δ 7.30 - 7.23 (m, 2H), 7.05 - 7.01 (m, 2H), 6.97 - 6.92 (m, 1H), 5.34 - 5.24 (m, 1H), 4.95 4.85 (m, 1H), 4.53 (dd, *J* = 5.7, 3.9 Hz, 1H), 3.87 - 3.72 (m, 2H), 3.67 - 3.37 (m, 5H), 3.29 (s, 3H), 1.65 - 1.50 (m, 2H), 1.45 (s, 9H), 1.33 (d, *J* = 6.4 Hz, 3H), 0.87 (t, *J* = 7.4 Hz, 3H)
12	- -	- - -	ESIMS *m/z* 508.5 ($[M+Na]^+$)	^{1}H RMN (400 MHz, $CDCl_3$) δ 7.23 (dd, *J* = 7.0, 1.6 Hz, 2H), 7.12 - 7.05 (m, 2H), 6.96 - 6.90 (m, 1H), 6.88 (dd, *J* = 8.7, 0.9 Hz, 2H), 6.85 - 6.79 (m, 2H), 5.31 - 5.20 (m, 1H), 4.95 (d, *J* = 6.2 Hz, 1H), 4.44 (t, *J* = 5.2 Hz, 1H), 4.29 - 4.12 (m, 1H), 3.79 (s, 3H), 2.95 (dd, *J* = 13.8, 4.6 Hz, 1H), 2.50 (dd, *J* =

*Comp. No.	P.F. (°C)	*1R (cm^{-1})	MASA	RMN (^{1}H, ^{13}C, ^{19}F)
				13.9, 9.8 Hz, 1H), 1.87 (dp, *J* = 10.5, 5.5 Hz, 1H), 1.43 (s, 9H), 1.41 - 1.37 (m, 1H), 1.36 (d, *J* = 6.4 Hz, 3H), 1.34 - 1.23 (m, 1H), 1.13 (d, *J* = 7.2 Hz, 3H), 0.91 (t, *J* = 7.4 Hz, 3H) ^{13}C RMN (151 MHz, $CDCl_3$) δ 172.61, 159.64, 157.84, 132.80, 130.10, 129.52, 121.09, 116.07, 113.72, 79.85, 72.21, 55.25, 49.36, 43.60, 34.44, 28.33, 21.57, 18.29, 15.55, 10.57
13	- -	- - -	ESIMS *m/z* 496.5 ($[M+Na]^+$)	^{1}H RMN (400 MHz, $CDCl_3$) δ 7.28 - 7.21 (m, 2H), 7.14 - 7.08 (m, 2H), 7.02 - 6.92 (m, 3H), 6.92 - 6.84 (m, 2H), 5.30 - 5.21 (m, 1H), 4.94 (d, *J* = 6.1 Hz, 1H), 4.45 (t, *J* = 5.2 Hz, 1H), 4.28 - 4.13 (m, 1H), 2.99 (dd, *J* = 13.9, 4.5 Hz, 1H), 2.53 (dd, *J* = 13.9, 9.8 Hz, 1H), 1.87 (dp, *J* = 10.5, 5.5 Hz, 1H), 1.43 (s, 9H), 1.41 - 1.37 (m, 1H), 1.36 (d, *J* = 6.4 Hz, 3H), 1.34 - 1.28 (m, 1H), 1.13 (d, *J* = 7.2 Hz, 3H), 0.91 (t, *J* = 7.4 Hz, 3H) ^{13}C RMN (151 MHz, $CDCl_3$) δ 172.61, 162.12, 160.51, 159.58, 136.45, 130.53, 130.48, 129.56, 121.20,

*Comp. No.	P.F. (°C)	*1R (cm^{-1})	MASA	RMN (^{1}H, ^{13}C, ^{19}F)
				116.03, 115.13, 114.99, 79.77, 72.10, 49.36, 43.55, 34.57, 30.94, 28.32, 21.61, 18.25, 15.54, 10.55
14	- -	3362, 2967, 2934, 1714, 1598, 1493, 1239	ESIMS *m/z* 446.4 ($[M+Na]^{+}$)	^{1}H RMN (400 MHz, $CDCl_3$) δ 7.31 - 7.21 (m, 2H), 7.06 - 6.99 (m, 2H), 6.97 - 6.89 (m, 1H), 5.25 - 5.15 (m, 1H), 4.95 (d, *J* = 8.2 Hz, 0.5H), 4.81 (d, *J* = 8.8 Hz, 0.5H), 4.46 - 4.40 (m, 1H), 4.23 - 4.10 (m, 1H), 3.52 - 3.44 (m, 2H), 3.39 - 3.31 (m, 1H), 1.70 - 1.48 (m, 4H), 1.43 (s, 4.5H), 1.44 (s, 4.5H), 1.36 (d, *J* = 6.5 Hz, 1.5H), 1.33 (d, *J* = 6.5 Hz, 1.5H), 1.22 (d, *J* = 7.4 Hz, 1.5H), 1.09 (d, *J* = 7.2 Hz, 1.5H), 1.01 - 0.94 (m, 3H), 0.89 - 0.82 (m, 3H)
15	- -	3361, 2966, 2933, 1714, 1598, 1493, 1367, 1230	ESIMS *m/z* 432.4 ($[M+Na]^{+}$)	^{1}H RMN (400 MHz, $CDCl_3$) δ 7.30 - 7.22 (m, 2H), 7.03 - 6.98 (m, 2H), 6.97 - 6.91 (m, 1H), 5.27 - 5.18 (m, 1H), 4.90 - 4.78 (m, 1H), 4.44 (dd, *J* = 5.6, 4.0 Hz, 1H), 3.85 - 3.60 (m, 2H), 3.48 (t, *J* = 6.7 Hz, 2H), 3.39 - 3.31 (m, 1H), 1.70 - 1.48 (m, 4H), 1.44 (s, 9H), 1.35 (d, *J* = 6.5 Hz, 3H), 0.97 (t, *J* = 7.4 Hz, 3H), 0.86 (t, *J* = 7.4 Hz, 3H)

*Comp. No.	P.F. (°C)	*1R (cm^{-1})	MASA	RMN (^{1}H, ^{13}C, ^{19}F)
16	- -	- - -	ESIMS *m/z* 580.5 ($[M+Na]^{+}$)	^{1}H RMN (400 MHz, $CDCl_3$) δ 7.24 (dd, *J* = 8.8, 3.7 Hz, 2H), 7.14 - 7.01 (m, 2H), 6.97 - 6.89 (m, 3H), 6.84 - 6.78 (m, 2H), 5.43 - 5.30 (m, 1H), 5.00 (d, *J* = 6.9 Hz, 1H), 4.57 (t, *J* = 5.1 Hz, 1H), 4.31 - 4.17 (m, 1H), 3.79 (s, 3H), 3.32 (dt, *J* = 8.8, 6.4 Hz, 1H), 3.24 (dt, *J* = 8.9, 6.5 Hz, 1H), 2.99 (dd, *J* = 13.9, 4.7 Hz, 1H), 2.52 (dd, *J* = 13.9, 9.8 Hz, 1H), 2.21 - 2.02 (m, 1H), 1.71 - 1.60 (m, 1H), 1.54 - 1.47 (m, 1H), 1.43 (s, 9H), 1.34 (d, *J* = 6.4 Hz, 3H), 1.21 (d, *J* = 7.1 Hz, 3H), 1.12 (s, 9H) ^{13}C RMN (126 MHz, $CDCl_3$) δ 172.43, 159.59, 157.85, 154.96, 132.69, 130.12, 129.45, 121.02, 116.18, 113.74, 80.77, 79.76, 72.57, 72.17, 59.54, 55.26, 49.36, 40.08, 35.07, 30.07, 28.32, 27.49, 18.56, 15.87
17	- -	- - -	ESIMS *m/z* 446 ($[M+Na]^{+}$)	^{1}H RMN (400 MHz, $CDCl_3$) δ 7.31 - 7.20 (m, 2H), 6.98 - 6.87 (m, 3H), 5.23 (qd, *J* = 6.4, 4.2 Hz, 1H), 4.78 (d, *J* = 8.0 Hz, 1H), 4.42 (dd, *J* = 6 4, 4.2 Hz, 1H), 4.17 - 4.07 (m, 1H), 3.50 - 3.34 (m, 2H), 3.35 - 3.26 (m, 3H), 1.85 - 1.54 (m, 5H), 1.44 (s, 9H), 1.31

*Comp. No.	P.F. (°C)	*1R (cm^{-1})	MASA	RMN (^{1}H, ^{13}C, ^{19}F)
				(d, *J* = 6.4 Hz, 3H), 1.22 (d, *J* = 7.2 Hz, 3H), 0.92 (t, *J* = 7.5 Hz, 3H) ^{13}C RMN (101 MHz, $CDCl_3$) δ 172.41, 159.67, 129.51, 121.02, 116.11, 80.69, 72.46, 70.54, 58.59, 49.37, 38.49, 29.26, 28.32, 22.09, 18.35, 14.97, 11.28
18	- -	- - -	ESIMS *m/z* 388 ($[M+Na]^+$)	^{1}H RMN (400 MHz, $CDCl_3$) δ 7.31 - 7.19 (m, 2H), 6.99 - 6.87 (m, 3H), 5.18 (qd, *J* = 6.4, 4.0 Hz, 1H), 4.91 - 4.85 (m, 1H), 4.17 (td, *J* = 9.0, 8.0, 4.6 Hz, 2H), 1.96 (dq, *J* = 13.7, 6.8 Hz, 1H), 1.43 (s, 9H), 1.33 (d, *J* = 6.5 Hz, 3H), 1.06 (d, *J* = 7.2 Hz, 3H), 1.02 (dd, *J* = 12.1, 6.8 Hz, 6H) ^{13}C RMN (101 MHz, $CDCl_3$) δ 172.57, 160.16, 129.46, 121.03, 116.40, 116.31, 84.14, 72.57, 30.35, 28.32, 19.26, 18.63, 18.10, 14.61
19	- -	- - -	ESIMS *m/z* 446 ($[M+Na]^+$)	^{1}H RMN (400 MHz, $CDCl_3$) δ 7.33 - 7.18 (m, 2H), 6.98 - 6.86 (m, 3H), 5.22 (qd, *J* = 6.4, 4.6 Hz, 1H), 4.95 (d, *J* = 8.0 Hz, 1H), 4.47 - 4.39 (m, 1H), 4.19 (t, *J* = 7.8 Hz, 1H), 3.49 - 3.33 (m, 2H), 3.31 (s, 3H), 1.82 - 1.55 (m,

*Comp. No.	P.F. (°C)	*1R (cm^{-1})	MASA	RMN (^{1}H, ^{13}C, ^{19}F)
				4H), 1.45 - 1.40 (m, 1H), 1.43 (s, 9H), 1.33 (d, *J* = 6.4 Hz, 3H), 1.15 (d, *J* = 7.2 Hz, 3H), 0.92 (t, *J* = 7.5 Hz, 3H) ^{13}C RMN (101 MHz, $CDCl_3$) δ 172.53, 159.65, 129.51, 121.03, 116.11, 116.00, 80.73, 72.36, 70.59, 58.58, 38.59, 29.43, 28.33, 22.00, 18.29, 15.44, 11.55
20	- -	- - -	ESIMS *m/z* 416 ($[M+Na]^+$)	RMN (400 MHz, $CDCl_3$) δ 7.31 - 7.19 (m, 2H), 6.97 - 6.86 (m, 3H), 5.20 (qd, *J* = 6.4, 4.1 Hz, 1H), 4.90 (d, *J* = 7.2 Hz, 1H), 4.41 (dd, *J* = 6.6, 4.0 Hz, 1H), 4.13 (q, *J* = 19.5, 13.5 Hz, 1H), 1.71 - 1.23 (m, 5H), 1.43 (s, 9H), 1.34 (d, *J* = 6.4 Hz, 3H), 1.06 (d, *J* = 7.2 Hz, 3H), 0.91 (dt, *J* = 12.5, 7.4 Hz, 6H) ^{13}C RMN (101 MHz, $CDCl_3$) δ 172.60, 159.99, 129.48, 120.95, 116.20, 116.09, 80.57, 72.67, 42.64, 28.32, 21.55, 21.26, 18.13, 14.85, 11.43, 10.57
21	- -	- - -	ESIMS *m/z* 402 ($[M+Na]^+$)	^{1}H RMN (400 MHz, $CDCl_3$) δ 7.26 (t, *J* = 6.8 Hz, 2H), 6.92 (dd, *J* = 6.6, 2.9 Hz, 3H), 5.24 (dq, *J* = 13.1, 6.2, 4.7

*Comp. No.	P.F. (°C)	*1R (cm^{-1})	MASA	RMN (^{1}H, ^{13}C, ^{19}F)
				Hz, 1H), 4.74 (s, 1H), 4.42 (dd, *J* = 7.1, 3.6 Hz, 1H), 3.71 (dd, *J* = 18.3, 5.7 Hz, 1H), 3.59 - 3.48 (m, 1H), 1.60 (dt, 17 9, 6.1 Hz, 2H), 1.44 (s, 9H), 1.52 - 1.35 (m, 3H), 1.33 (d, *J* = 6.7 Hz, 3H), 0.98 - 0.81 (m, 6H) ^{13}C RMN (101 MHz, $CDCl_3$) δ 169.70, 159.97, 155.57, 129.48, 120.96, 116.09, 80.28, 79.88, 72.80, 42.47, 42.39, 28.30, 21.37, 21.27, 14.49, 11.18, 10.42
22	- -	- - -	ESIMS *m/z* 478 ($[M+Na]^+$)	^{1}H RMN (400 MHz, $CDCl_3$) δ 7.32 - 7.13 (m, 7H), 6.95 - 6.85 (m, 3H), 5.31 - 5.25 (m, 1H), 4.96 (d, *J* = 6.8 Hz, 1H), 4.46 (t, *J* = 5.2 Hz, 1H), 4.21 (m, 1H), 3.02 (dd, *J* = 13.7, 4.5 Hz, 1H), 2.56 (dd, *J* = 13.7, 9.7 Hz, 1H), 1.93 (dt, *J* = 10.3, 5.3 Hz, 1H), 1.43 (s, 9H), 1.40 - 1.30 (m, 2H), 1.36 (d, *J* = 6.4 Hz, 3H), 1.14 (d, *J* = 7.2 Hz, 3H), 0.92 (t, *J* = 7.5 Hz, 3H) ^{13}C RMN (101 MHz, $CDCl_3$) δ 172.60, 159.63, 154.98, 140.87, 129.54, 129.22, 128.31, 125.92, 12113, 116.06, 79.85, 72.17, 49.37, 43.47, 35.40, 28.33, 21.70, 18.28, 15.58,

*Comp. No.	P.F. (°C)	*1R (cm^{-1})	MASA	RMN (^{1}H, ^{13}C, ^{19}F)
				10.58
23	- -	- - -	ESIMS *m/z* 464 ($[M+Na]^+$)	^{1}H RMN (400 MHz, $CDCl_3$) δ 7.33 - 7.13 (m, 7H), 6.93 (t, *J* = 7.3 Hz, 1H), 6.89 - 6.84 (m, 2H), 5.28 (m, 1H), 4.81 (bm, 1H), 4.45 (m, 1H), 3.78 (dd, *J* = 18.3, 5.5 Hz, 1H), 3.62 (dd, *J* = 18.3, 5.5 Hz, 1H), 2.99 (dd, *J* = 13.7, 5.0 Hz, 1H), 2.56 (dd, *J* = 13.8, 9.4 Hz, 1H), 2.01 - 1.90 (m, 1H), 1.45 (s, 9H), 1.42 - 1.38 (m, 2H), 1.35 (d, *J* = 6.4 Hz, 3H), 0.93 (t, *J* = 7.5 Hz, 3H) ^{13}C RMN (101 MHz, $CDCl_3$) δ 169.63, 159.57, 155.59, 140.81, 129.53, 129.23, 128.32, 125.92, 121.12, 116.09, 79.96, 79.75, 72.32, 43.33, 42.53, 35.39, 28.32, 21.66, 15.41, 10.43
24	- -	- - -	ESIMS *m/z* 478 ($[M+Na]^+$)	^{1}H RMN (400 MHz, $CDCl_3$) δ 7.34 - 7.12 (m, 7H), 6.98 - 6.85 (m, 3H), 5.34 (m, 1H), 4.93 (d, *J* = 7.0 Hz, 1H), 4.47 (dd, *J* = 7.3, 3.3 Hz, 1H), 4.12 (bm, 1H), 2.95 (dd, *J* = 14.0, 4.6 Hz, 1H), 2.63 (dd, *J* = 14.1, 9.5 Hz, 1H), 1.92 (bm, 1H), 1.42 (s, 9H), 1.40 - 1.30 (m, 2H), 1.32 (d, *J* = 6.4 Hz, 3H),

*Comp. No.	P.F. (°C)	*1R (cm^{-1})	MASA	RMN (^{1}H, ^{13}C, ^{19}F)
				0.96 (d, *J* = 7.2 Hz, 3H), 0.83 (t, *J* = 7.5 Hz, 3H) ^{13}C RMN (101 MHz, $CDCl_3$) δ 172.86, 159.64, 154.98, 140.78, 129.42, 129.16, 128.37, 126.00, 120.81, 115.47, 79.42, 72.68, 49.40, 43.50, 35.13, 28.32, 22.53, 18.02, 17.19, 11.68
25	- - -	- - -	ESIMS *m/z* 520 ($[M+Na]^+$)	^{1}H RMN (400 MHz, $CDCl_3$) δ 7.32 - 7.23 (m, 4H), 7.22 - 7.13 (m, 6H), 5.18 (m, 1H), 5.06 (d, *J* = 7.3 Hz, 1H), 4.29 (m, 1H), 3.68 (dt, *J* = 8.9, 6.3 Hz, 1H), 3.46 (dt, *J* = 8.9, 6.3 Hz, 1H), 3.30 (t, *J* = 4.9 Hz, 1H), 2.98 (dd, *J* = 13.7, 4.3 Hz, 1H), 2.72 (dd, *J* = 8.5, 6.8 Hz, 2H), 2.44 (dd, *J* = 13.7, 9.9 Hz, 1H), 1.91 (dt, *J* = 13.8, 6.4 Hz, 2H), 1.72 (m, 1H), 1.44 (s, 9H), 1.39 - 1.25 (m, 2H), 1.34 (d, *J* = 7.2 Hz, 3H), 1.31 (d, *J* = 6.4 Hz, 3H), 0.86 (t, *J* = 7.5 Hz, 3H) ^{13}C RMN (101 MHz, $CDCl_3$) δ 172.65, 155.01, 141.99, 141.47, 129.17, 128.43, 128.36, 128.24, 125.82, 125.72, 82.10, 79.77, 72.71, 71.93, 49.41, 43.57, 35.43, 32.50, 31.98,

*Comp. No.	P.F. (°C)	*1R (cm^{-1})	MASA	RMN (^{1}H, ^{13}C, ^{19}F)
				28.36, 22.12, 18.74, 15.54, 10.81
26	- -	3366, 2958, 2934, 1716, 1493, 1238	HRMS - ESI (*m/z*) $[M]^+$ calculada para $C_{25}H_{41}NO_5$, 435.2985; encontrada, 435.2974	^{1}H RMN (400 MHz, $CDCl_3$) δ 7.27 - 7.20 (m, 2H), 6.95 - 6.88 (m, 3H), 5.25 - 5.14 (m, 1H), 4.91 (d, *J* = 7.1 Hz, 1H), 4.39 (dd, *J* = 6.4, 4.3 Hz, 1H), 4.22 - 4.09 (m, 1H), 1.67 - 1.27 (m, 6H), 1.43 (s, 9H), 1.34 (d, *J* = 6.4 Hz, 3H), 1.24 - 1.15 (m, 2H), 1 08 (d, *J* = 7.2 Hz, 3H), 0.94 0.82 m, 9H)
27	- -	3367, 2958, 2933, 1718, 1501, 1367	HRMS - ESI + (*m/z*) $[M]^+$ calculada para $C_{23}H_{43}NO_5$, 413.3141; encontrada, 413.3144	^{1}H RMN (400 MHz, $CDCl_3$) δ 5.16 - 5.01 (m, 2H), 4.37 - 4.20 (m, 1H), 3.49 (dd, *J* = 9.8, 6.8 Hz, 1H), 3.29 (dd, *J* = 9.8, 6.8 Hz, 1H), 3.25 - 3.17 (m, 1H), 1.61 - 1.45 (m, 2H), 1.45 (s, 9H), 1.41 - 1.30 (m, 4H), 1.37 (d, *J* = 7.1 Hz, 3H), 1.27 (d, *J* = 6.4 Hz, 3H), 1.22 - 1.11 (m, 2H), 1.11 - 1.00 (m, 1H), 0.93 - 0.81 (m, 9H), 0.57 - 0.47 (m, 2H), 0.24 - 0.16 (m, 2H)
28	- -	- - -	HRMS - ESI [M] calculada para $C_{21}H_{31}NO_5$, 377.2202; encontrada, 377.2206	^{1}H RMN (500 MHz, $CDCl_3$) δ 7.36 7.22 (m, 5H), 5.09 (p, *J* = 6.3 Hz, 1H), 5.01 - 4.93 (m, 1H), 4.31 (d, *J* = 6.2 Hz, 1H), 4.23 - 4.13 (m, 1H), 3.19 (d, *J* = 6.8 Hz, 2H), 1.42 (s, 9H), 1.32 (d, *J* = 6.4 Hz, 3H), 1.04 (d, *J* = 7.2 Hz,

*Comp. No.	P.F. (°C)	*1R (cm^{-1})	MASA	RMN (^{1}H, ^{13}C, ^{19}F)
				3H), 1.03 - 0.96 (m, 1H), 0.54 - 0.40 (m, 2H), 0.19 - 0.04 (m, 2H) ^{13}C RMN (126 MHz, $CDCl_3$) δ 172.47, 154.95, 138.76, 128.21, 127.95, 127.59, 83.05, 79.63, 74.05, 73.71, 49.19, 28.32, 18.43, 16.01, 10.58, 3.19, 2.71
29	- -	- - -	HRMS - ESI (*m/z*) $[M]^+$ calculada para $C_{18}H_{33}NO_5$, 343.2359; encontrada, 343.2364	^{1}H RMN (500 MHz, $CDCl_3$) δ 5.13 5.02 (m, 2H), 4.34 - 4.23 (m, 1H), 3.51 (dt, *J* = 9.8, 7.1 Hz, 1H), 3.32 (dt, *J* = 9.8, 6.4 Hz, 1H), 3.06 - 2.98 (m, 1H), 1.71 (hepteto, 6.7 Hz, 1H), 1.45 (s, 9H), 1.37 (d, *J* = 7.2 Hz, 3H), 1.25 (dd, *J* = 10.6, 6.4 Hz, 3H), 1.13 - 1.03 (m, 1H), 0.96 (dd, *J* = 14.7, 6.8 Hz, 6H), 0.56 - 0.47 (m, 2H), 0.24 - 0.15 (m, 2H) ^{13}C RMN (126 MHz, $CDCl_3$) δ 172.60, 155.01, 86.06, 79.78, 77.82, 73.37, 49.39, 30.45, 28.33, 19.62, 18.71, 18.55, 14.57, 11.12, 3.00, 2.89
30	- -	- - -	ESIMS *m/z* 516.4 ($[M+H]^+$)	^{1}H RMN (400 MHz, $CDCl_3$) δ 7.27 - 7.21 (m, 2H), 7.12 - 7.05 (m, 2H), 6.97 - 6.90 (m, 1H), 6.90 - 6.85 (m, 2H), 6.85 - 6.80 (m, 2H), 5.35 - 5.27

*Comp. No.	P.F. (°C)	*1R (cm^{-1})	MASA	RMN (^{1}H, ^{13}C, ^{19}F)
				(m, 1H), 5.02 (d, *J* = 6.5 Hz, 1H), 4.51 - (m, 1H), 4.34 - 4.17 (m, 1H), 3.79 (s, 3H), 3.35 (dt, *J* = 9.5, 6.6 Hz, 1H), 3.28 (dt, *J* = 9.6, 6.5 Hz, 1H), 3.20 (s, 3H), 2.99 (dd, *J* = 13.9, 4.9 Hz, 1H), 2.52 (dd, *J* = 13.9, 9.6 Hz, 1H), 2.11 (tt, *J* = 9.8, 5.0 Hz, 1H), 1.72 - 1.62 (m, 1H), 1.61 - 1.52 (m, 1H), 1.44 (s, 9H), 1.34 (d, *J* = 6.4 Hz, 3H), 1.24 (d, *J* = 7.2 Hz, 3H) ^{13}C RMN (101 MHz, $CDCl_3$) δ 172.51, 159.27, 157.92, 132.51, 130.12, 129.53, 121.12, 115.98, 113.79, 80.20, 71.93, 70.61, 58.42, 55.26, 49.40, 39.53, 35.10, 29.54, 28.33, 18.47, 16.21
31	- -	- - -	ESIMS *m/z* 504.4 ($[M+H]^+$)	^{1}H RMN (400 MHz, $CDCl_3$) δ 7.29 - 7.22 (m, 2H), 7.16 - 7.09 (m, 2H), 7.00 - 6.91 (m, 3H), 6.91 - 6.86 (m, 2H), 5.30 (p, *J* = 6.3 Hz, 1H), 5.00 (d, *J* = 6.5 Hz, 1H), 4.47 (dd, *J* = 5 4, 4.4 Hz, 1H), 4.33 - 4.16 (m, 1H), 3.35 (dt, *J* = 9.6, 6.5 Hz, 1H), 3.27 (dt, *J* = 9.6, 6.4 Hz, 1H), 3.20 (s, 3H), 3.03 (dd, *J* = 13.9, 4.8 Hz, 1H), 2.56 (dd, *J* = 14.0, 9.6 Hz, 1H), 2.17 - 2.06 (m, 1H), 1.66

*Comp. No.	P.F. (°C)	*1R (cm^{-1})	MASA	RMN (^{1}H, ^{13}C, ^{19}F)
				(dq, *J* = 13.2, 6.5 Hz, 1H), 1.60 - 1.50 (m, 1H), 1.44 (s, 9H), 1.34 (d, *J* = 6.4 Hz, 3H), 1.24 (d, *J* = 7.2 Hz, 3H) ^{13}C RMN (101 MHz, $CDCl_3$) δ 172.53, 161.37 (d, *J* = 243.8 Hz), 159.23, 154 98, 136.22 (d, *J* = 3.2 Hz), 130.55 (d, *J* = 7.8 Hz), 129.57, 121.24, 115.95, 115.12 (d, *J* = 21.1 Hz), 80.14, 71.82, 70.45, 58.44, 49.40, 39.41, 35.17, 29.58, 28.33, 18.43, 16.21
32	- -	- - -	ESIMS *m/z* 498.4 ($[M+H]^+$)	^{1}H RMN (400 MHz, $CDCl_3$) δ 7.14 - 7.04 (m, 2H), 7.02 - 6.88 (m, 2H), 5.26 (p, *J* = 6.3 Hz, 1H), 5.13 (dd, *J* = 5.8, 4.9 Hz, 1H), 5.11 - 5.01 (m, 1H), 4.40 - 4.21 (m, 1H), 3.35 (dt, *J* = 9.4, 6.9 Hz, 1H), 3.27 (dt, *J* = 9.6, 6.2 Hz, 1H), 3.20 (s, 3H), 2.89 (dd, *J* = 14.0, 4.0 Hz, 1H), 2.66 - 2.51 (m, 1H), 2.36 (dd, *J* = 14.0, 10.1 Hz, 1H), 2.13 - 2.00 (m, 1H), 1.61 - 1.48 (m, 1H), 1.44 (s, 9H), 1.43 - 1.38 (m, 1H), 1.37 (d, *J* = 7.2 Hz, 3H), 1.27 (d, *J* = 6.4 Hz, 3H), 1.20 (d, *J* = 7.0 Hz, 6H) ^{13}C RMN (101 MHz, $CDCl_3$) δ 176.35, 172.50, 161.39 (d, *J* = 243.9 Hz), 135.78 (d, *J* = 3.2 Hz), 130.38 (d, *J* =

*Comp. No.	P.F. (°C)	*1R (cm^{-1})	MASA	RMN (^{1}H, ^{13}C, ^{19}F)
				7.8 Hz), 115.16 (d, *J* = 21.1 Hz), 74.35, 70.30, 69.59, 58.44, 49.35, 37.46, 35.00, 34.25, 29.46, 28.32, 19.07, 18.57, 15.57
33	- -	- - -	ESIMS *m/z* 400.3 ($[M+H]^+$)	^{1}H RMN (400 MHz, $CDCl_3$) δ 7.43 7.22 (m, 5H), 7.23 - 7.12 (m, 2H), 6.93 - 6.78 (m, 3H), 5.26 (qd, *J* = 6.3, 4.8 Hz, 1H), 5.18 (d, *J* = 5.0 Hz, 1H), 4.97 (d, *J* = 8.2 Hz, 1H), 4.24 (h, *J* = 7.4, 6.8 Hz, 1H), 1.42 (s, 9H), 1.37 (d, *J* = 6.4 Hz, 3H), 1.12 (d, *J* = 7.2 Hz, 3H) ^{13}C RMN (101 MHz, $CDCl_3$) δ 172.72, 157.90, 137.59, 129.37, 128.52, 128.15, 126.97, 126.80, 121.20, 115.98, 81.23, 79.75, 74.16, 49.28, 28.32, 18.45, 15.04
34	- -	3359, 3066, 2979, 2936, 2876, 1713, 1642, 1498, 1453, 1366, 1304, 1248, 1209, 1163, 1111, 1061,	HRMS - ESI (*m/z*) ($[M+Na]^+$) calculada para $C_{21}H_{31}NNaO_5$, 400.2094; encontrada, 400.2096	^{1}H RMN (400 MHz, $CDCl_3$) δ 7.40 - 7.21 (m, 5H), 5.84 (ddt, *J* = 17.1, 10.2, 7.0 Hz, 1H), 5.17 - 4.97 (m, 4H), 4.63 (d, *J* = 11.5 Hz, 1H), 4.56 (d, *J* = 11.5 Hz, 1H), 4.30 (p, *J* = 7.4 Hz, 1H), 3.53 (ddd, *J* = 7.1, 5.3, 3.7 Hz, 1H), 2.41 - 2.21 (m, 2H), 1.44 (s, 9H), 1.36 (dd, *J* = 7.2, 3.1 Hz, 3H), 1.29 (d, *J* = 6.5 Hz,

*Comp. No.	P.F. (°C)	*1R (cm^{-1})	MASA	RMN (^{1}H, ^{13}C, ^{19}F)
		1027, 915 857, 782, 737, 698, 538		3H)
35	- -	3356, 3031, 2961, 2935, 2873, 1713, 1498, 1454, 1366, 1308, 1249, 1210, 1163, 1096, 1064, 1027, 915, 856 780, 735, 697, 605	HRMS - ESI (*m/z*) ($[M+Na]^{+}$) calculada para $C_{21}H_{33}NNaO_5$, 402.2251; encontrada, 402.2227	^{1}H RMN (400 MHz, $CDCl_3$) δ 7.38 - 7.23 (m, 5H), 5.11 (qq, *J* = 7.8, 4.8, 3.5 Hz, 2H), 4.68 (d, *J* = 11.4 Hz, 1H), 4.49 (d, *J* = 11.4 Hz, 1H), 4.31 (p, *J* = 7.5 Hz, 1H), 3.46 (dt, *J* = 8.3, 3.4 Hz, 1H), 1.62 - 1.29 (m, 4H), 1.44 (s, 9H), 1.37 (d, *J* = 7.2 Hz, 3H), 1.27 (d, *J* = 6.5 Hz, 3H), 0.90 (t, *J* = 7.0 Hz, 3H)
36	- -	3365, 2968, 2933, 2877, 1713	ESIMS *m/z* 446 ($[M+Na]^{+}$)	^{1}H RMN (400 MHz, $CDCl_3$) δ 7.29 - 7.21 (m, 2H), 6.96 - 6.90 (m, 3H), 5.12 (qd, *J* = 6.5, 4.4 Hz, 1H), 5.08 - 4.99 (m, 1H), 4.32 - 4.15 (m, 2H), 3.64 - 3.51 (m, 3H), 1.81 (dtd, *J* = 14.9, 7.5, 5.8 Hz, 1H), 1.71 (dq, *J* = 14.2, 7.3 Hz, 1H), 1.62 - 1.51 (m, 2H), 1.44 (s, 9H), 1.34 (d, *J* = 6.5 Hz, 3H), 1.28 (d, *J* = 7.2 Hz, 3H), 1.00 (t, *J* = 7 4 Hz, 3H), 0.90 (t, *J* = 7.4 Hz, 3H)

*Comp. No.	P.F. (°C)	*1R (cm^{-1})	MASA	RMN (^{1}H, ^{13}C, ^{19}F)
37	- -	- - -	ESIMS *m/z* 360 ($[M+Na]^+$)	^{1}H RMN (400 MHz, $CDCl_3$) δ 7.37 - 7.26 (m, 5H), 5.17 (pd, *J* = 6.5, 4.2 Hz, 1H), 5.09 (d, *J* = 7.7 Hz, 1H), 4.61 - 4.47 (m, 2H), 4.30 (t, *J* = 7.4 Hz, 1H), 3.58 - 3.40 (m, 2H), 1.44 (s, 9H), 1.37 (d, *J* = 7.2 Hz, 3H), 1.27 (d, *J* = 6.5 Hz, 3H)
38	- -	3366, 2976, 2934, 1715, 1493, 1366, 1240	HRMS - ESI (*m/z*) $[M]^+$ calculada para $C_{24}H_{37}NO_6$, 435.2621; encontrada, 435.2607	^{1}H RMN (400 MHz, $CDCl_3$) δ 7.30 - 7.22 (m, 2H), 7.07 - 7.01 (m, 2H), 6.97 - 6.90 (m, 1H), 5.39 - 5.31 (m, 1H), 4.97 (d, *J* = 6.7 Hz, 1H), 4.48 - 4.43 (m, 1H), 4.26 - 4.14 (m, 1H), 3.69 (dt, *J* = 9.0, 6.6 Hz, 1H), 3.32 (dt, *J* = 9.0, 6.9 Hz, 1H), 2.81 (dd, *J* = 8.5, 4.5 Hz, 1H), 1.62 - 1.48 (m, 2H), 1.43 (s, 9H), 1.36 (d, *J* = 6.4 Hz, 3H), 1.14 (d, *J* = 7.2 Hz, 3H), 1.01 - 0.92 (m, 1H), 0.86 (t, *J* = 7.4 Hz, 3H), 0.72 0.63 (m, 1H), 0.53 - 0.41 (m, 2H), 0.26 0.18 (m 1H)
39	- -	3365, 2957, 2934, 1716, 1500, 1454, 1366	HRMS - ESI (*m/z*) $[M]^+$ calculada para $C_{23}H_{43}NO_5$, 413.3141; encontrada,	^{1}H RMN (400 MHz, $CDCl_3$) δ 5.15 - 4.99 (m, 2H), 4.36 - 4.20 (m, 1H), 3.50 (dd, *J* = 9.8, 6.7 Hz, 1H), 3.28 (dd, *J* = 9.8, 6.8 Hz, 1H), 3.23 (dd, *J* = 6.1, 3.9 Hz, 1H), 1.61 - 1.45 (m, 2H),

*Comp. No.	P.F. (°C)	*1R (cm^{-1})	MASA	RMN (^{1}H, ^{13}C, ^{19}F)
			413.3136	1.45 (s, 9H), 1.41 - 1.22 (m, 4H), 1.37 (d, *J* = 7.2 Hz, 3H), 1.27 (d, *J* = 6.4 Hz, 3H), 1.22 1.01 (m, 3H), 0.93 - 0.83 (m, 9H), 0.56 - 0.48 (m, 2H), 0.24 - 0.17 (m, 2H)
40	- -	3363, 2927, 1717, 1500, 1447, 1366, 1244	HRMS - ESI (*m/z*) $[M]^+$ calculada para $C_{24}H_{43}NO_5$, 425.3141; encontrada, 425.3137	^{1}H RMN (400 MHz, $CDCl_3$) δ 5.17 - 4.98 (m, 2H), 4.37 - 4.21 (m, 1H), 3.47 (dd, *J* = 9.8, 6.8 Hz, 1H), 3.30 (dd, *J* = 9.9, 6.8 Hz, 1H), 3.27 - 3.23 (m, 1H), 1.90 - 1.54 (m, 6H), 1.53 - 1.18 (m, 6H), 1.44 (s, 9H), 1.37 (d, *J* = 7.2 Hz, 3H), 1.28 (d, *J* = 6.4 Hz, 3H), 1.14 - 0.96 (m, 3H), 0.90 (t, *J* = 6.8 Hz, 3H), 0.56 - 0.47 (m, 2H), 0.23 - 0.16 (m, 2H)
41	- -	- -	ESIMS *m/z* 324.3 ($[M+H]^+$)	^{1}H RMN (400 MHz, $CDCl_3$) δ 7.32 - 7.22 (m, 2H), 7.00 - 6.92 (m, 1H), 6.88 (d, *J* = 8.1 Hz, 2H), 5.38 - 5.24 (m, 1H), 5.10 (s, 1H), 4.38 - 4.22 (m, 1H), 4.08 - 3.93 (m, 2H), 1.44 (s, 9H), 1.41 - 1.32 (m, 6H) ^{13}C RMN (101 MHz, $CDCl_3$) δ 173.01, 158.48, 155.08, 129.50, 121.14, 114.57, 79.75, 69.87, 69.82, 53.44, 49.37, 28.33, 18.73, 16.60

*Comp. No.	P.F. (°C)	*1R (cm^{-1})	MASA	RMN (^{1}H, ^{13}C, ^{19}F)
42	- -	- -	HRMS - ESI (*m/z*) ($[M+Na]^+$) calculada para $C_{14}H_{27}NNaO_5$, 290.1962; encontrada, 290.1968	^{1}H RMN (400 MHz, $CDCl_3$) δ 5.12 (ddd, *J* = 13.0, 8.6, 5.4 Hz, 2H), 4.39 - 4.22 (m, 1H), 3.55 - 3.30 (m, 4H), 1.57 (dt, *J* = 14.1, 7.0 Hz, 2H), 1.45 (s, 9H), 1.38 (d, *J* = 7.2 Hz, 3H), 1.25 (dd, *J* = 6.4, 2.9 Hz, 3H), 0.90 (t, *J* = 7.4 Hz, 3H) ^{13}C RMN (101 MHz, $CDCl_3$) δ 172.96, 155.04, 79.69, 73.00, 70.43, 49.35, 28.33, 22.84, 18.86, 16.61, 10.49
43	- -	- -	ESIMS *m/z* 318.3 ($[M+H]^+$)	^{1}H RMN (400 MHz, $CDCl_3$) δ 5.19 (dtq, *J* = 9.7, 6.5, 3.2 Hz, 1H), 5.13 - 5.03 (m, 1H), 4.38 - 4.25 (m, 1H), 4.21 (dt, *J* = 11.8, 3.1 Hz, 1H), 4.12 - 3.98 (m, 1H), 2.65 - 2.46 (m, 1H), 1.45 (s, 9H), 1.38 (d, *J* = 7.2 Hz, 3H), 1.29 (d, *J* = 6.5 Hz, 3H), 1.19 - 1.13 (m, 6H) ^{13}C RMN (101 MHz, $CDCl_3$) δ 176.55, 172.75, 155.01, 79.75, 69.35, 67.66, 66.73, 65.68, 49.26, 33.87, 28.29, 18.87, 18.70, 16.40.
44	- -	- -	ESIMS *m/z* 304.4 ($[M+H]^+$)	^{1}H RMN (400 MHz, $CDCl_3$) δ 5.17 - 5.07 (m, 1H), 5.07 - 4.94 (m, 1H), 4.40 - 4.21 (m, 1H), 3.39 (dd, *J* = 9.7,

*Comp. No.	P.F. (°C)	*1R (cm^{-1})	MASA	RMN (^{1}H, ^{13}C, ^{19}F)
				6.4 Hz, 1H), 3.33 (dd, *J* = 9 7, 4.6 Hz, 1H), 1.44 (s, 9H), 1.38 (d, *J* = 7.2 Hz, 3H), 1.24 (d, *J* = 6.4 Hz, 3H), 1.17 (d, *J* = Hz, 9H) ^{13}C RMN (126 MHz, $CDCl_3$) δ 172.96, 155.06, 79.65, 72.97, 71.27, 64.30, 49.35, 28.34, 27.43, 19.04, 16.80
45	- -	- -	ESIMS *m/z* 302.3 ($[M+H]^+$)	^{1}H RMN (400 MHz, $CDCl_3$) δ 5.22 - 5.02 (m, 2H), 4.39 - 4.22 (m, 1H), 3.56 - 3.42 (m, 2H), 3.37 - 3.20 (m, 2H), 1.45 (s, 9H), 1.39 (d, *J* = 7.2 Hz, 3H), 1.26 (d, *J* = 6.5 Hz, 3H), 1.07 - 0.96 (m, 1H), 0.56 - 0.47 (m, 2H), 0.23 - 0.14 (m, 2H) ^{13}C RMN (126 MHz, $CDCl_3$) δ 172.97, 155.05, 79.70, 75.86, 72.76, 70.40, 49.35, 28.34, 18.89, 16.65, 10.50, 2.92, 2.88
46	- -	- -	ESIMS *m/z* 304.4 ($[M+H]^+$)	^{1}H RMN (400 MHz, $CDCl_3$) δ 5.17 - 5.02 (m, 2H), 4.41 - 4.23 (m, 1H), 3.47 (dd, *J* = 10 6, 6.6 Hz, 1H), 3.40 (dd, *J* = 10 6, 4.2 Hz, 1H), 3.23 (dd, *J* = 9.0, 6.6 Hz, 1H), 3.15 (dd, *J* = 9.0, 6.7 Hz, 1H), 1.90 - 1.75 (m, 1H), 1.45 (s, 9H), 1.38 (d, *J* = 7.2 Hz, 3H), 1.25

*Comp. No.	P.F. (°C)	*1R (cm^{-1})	MASA	RMN (^{1}H, ^{13}C, ^{19}F)
				(d, *J* = 6.5 Hz, 3H), 0.88 (dd, *J* = 6 7, 0.7 Hz, 6H) ^{13}C RMN (126 MHz, $CDCl_3$) δ 172.95, 155.05, 79.70, 78.22, 73.20, 70.47, 49.34, 28 43, 28.34, 19.25, 18.90, 16.63
47	- -	- -	ESIMS *m/z* 316.4 ($[M+H]^+$)	^{1}H RMN (400 MHz, $CDCl_3$) δ 5.19 - 4.98 (m, 2H), 4.38 - 4.20 (m, 1H), 3.95 - 3.81 (m, 1H), 3.39 (dd, *J* = 5.5, 2.2 Hz, 2H), 1.75 - 1.57 (m, 6H), 1.57 - 1.47 (m, 2H), 1.45 (s, 9H), 1.38 (d, *J* = 7.2 Hz, 3H), 1.24 (d, *J* = 6.5 Hz, 3H) ^{13}C RMN (126 MHz, $CDCl_3$) δ 172.96, 155.04, 81.70, 70.98, 70.68, 49.33, 32.29, 32.13, 28.34, 23.48, 18.93, 16.72
48	- -	- -	ESIMS *m/z* 352 ($[M+H]^+$)	^{1}H RMN (400 MHz, $CDCl_3$) δ 7.31 - 7.27 (m, 2H), 7.24 - 7.18 (m, 3H), 5.14 - 5.07 (m, 1H), 5.03 (qd, *J* = 6 5, 3.5 Hz, 1H), 4.36 - 4.27 (m, 1H), 3.49 - 3.41 (m, 1H), 3.27 (s, 3H), 2.75 (d, *J* = 6.3 Hz, 2H), 1.44 (s, 9H), 1.40 (d, *J* = 7.2 Hz, 3H), 1.29 (d, *J* = 6.5 Hz, 3H) ^{13}C RMN (101 MHz, $CDCl_3$) δ 172.67, 155.06, 138.37, 129.21, 128.35,

*Comp. No.	P.F. (°C)	*1R (cm^{-1})	MASA	RMN (^{1}H, ^{13}C, ^{19}F)
				126.32, 84.00, 79.71, 72.74, 58.93, 49.37, 37.27, 28.32, 18.69, 14.70
49	- -	- -	ESIMS *m/z* 395 ($[M+H]^+$)	^{1}H RMN (400 MHz, $CDCl_3$) δ 7.31 - 7.24 (m, 2H), 7.24 - 7.17 (m, 3H), 5.12 4.98 (m, 2H), 4.37 - 4.25 (m, 1H), 3.48 (ddd, *J* = 7.7, 5.0, 3.5 Hz, 1H), 3.23 (dd, *J* = 8 6, 6.4 Hz, 1H), 2.95 (dd, *J* = 8 6, 6.3 Hz, 1H), 2.79 - 2.71 (m, 2H), 1.75 - 1.63 (m, 1H), 1.44 (s, 9H), 1.40 (d, *J* = 7.2 Hz, 3H), 1.29 (d, *J* = 6.4 Hz, 3H), 0.80 (d, *J* = 6.7 Hz, 3H), 0.77 (d, *J* = 6.7 Hz, 3H) ^{13}C RMN (101 MHz, $CDCl_3$) δ 172.65, 155.04, 138.60, 129.41, 128.20, 126.21, 82.47, 79.72, 77.97, 73.00, 49.38, 37.44, 28.82, 28.34, 19.33, 19.26, 18.84, 14.98
50	- -	- -	ESIMS *m/z* 393 ($[M+H]^+$)	^{1}H RMN (400 MHz, $CDCl_3$) δ 7.27 - 7.20 (m, 2H), 7.20 - 7.13 (m, 3H), 5.05 (d, *J* = 7.9 Hz, 1H), 4.96 (qd, *J* = 6 4, 3.9 Hz, 1H), 4.33 - 4.20 (m, 1H), 3.49 (ddd, *J* = 7 9, 4 9, 3.9 Hz, 1H), 3.26 (dd, *J* = 9.9, 6.7 Hz, 1H), 2.96 (dd, *J* = 9 9, 6.8 Hz, 1H), 2.75 - 2.67 (m, 2H), 1.40 (s, 9H), 1.35 (d, *J* = 7.2

*Comp. No.	P.F. (°C)	*1R (cm^{-1})	MASA	RMN (^{1}H, ^{13}C, ^{19}F)
				Hz, 3H), 1.27 (d, *J* = 6.5 Hz, 3H), 0.89 - 0.80 (m, 1H), 0.41 - 0.33 (m, 2H), 0.06 - 0.05 (m, 2H) ^{13}C RMN (101 MHz, $CDCl_3$) δ 172.62, 155.03, 138.55, 129.39, 128.23, 126.25, 82.08, 79.72, 75.99, 73.29, 49.38, 37.75, 28.33, 18.78, 15.07, 10.79, 2.88, 2.78
51	- -	- -	ESIMS *m/z* 415 ($[M+H]^+$)	^{1}H RMN (400 MHz, $CDCl_3$) δ 7.28 - 7.15 (m, 8H), 6.92 - 6.87 (m, 1H), 6.75 - 6.70 (m, 1H), 5.10 (qd, *J* = 6 5, 3.5 Hz, 1H), 4.95 (d, *J* = 7.5 Hz, 1H), 4.52 (ddd, *J* = 8.0, 4.8, 3.5 Hz, 1H), 4.27 - 4.18 (m, 1H), 3.01 (dd, *J* = 14.3, 7.7 Hz, 1H), 2.93 (dd, *J* = 14.2, 4.9 Hz, 1H), 1.43 (s, 9H), 1.38 (d, *J* = 6.5 Hz, 3H), 1.19 (d, *J* = 7.2 Hz, 3H) ^{13}C RMN (101 MHz, $CDCl_3$) δ 172.61, 158 67, 155.03, 137 45, 129.43, 129.41, 128.51, 126.63, 121.52, 116.80, 81.33, 79.77, 72.59, 49.34, 37.00, 28.33, 18.42, 14.88
52	- -	- -	ESIMS *m/z* 460 ($[M+H]^+$)	^{1}H RMN (400 MHz, $CDCl_3$) δ 7.35 (d, *J* = 2.6 Hz, 1H), 7.17 - 7.08 (m, 1H), 6.89 (dd, *J* = 8 9, 0.7 Hz, 1H), 5.11

*Comp. No.	P.F. (°C)	*1R (cm^{-1})	MASA	RMN (^1H, ^{13}C, ^{19}F)
				(qd, *J* = 6.5, 2.8 Hz, 1H), 4.88 (d, *J* = 8.0 Hz, 1H), 4.33 (dd, *J* = 8.3, 2.8 Hz, 1H), 4.15 (d, *J* = 4.3 Hz, 1H), 2.25 - 2.11 (m, 1H), 1.95 - 1.82 (m, 1H), 1.81 - 1.50 (m, 5H), 1.49 - 1.28 (m, 14H), 1.09 (d, *J* = 7.2 Hz, 3H) ^{13}C RMN (101 MHz, $CDCl_3$) δ 172.53, 154.93, 154.30, 130.17, 127.40, 125.77, 124.64, 116.02, 85.25, 79.85, 73.43, 49.34, 42.03, 29.77, 28.91, 28.31, 25.33, 25.03, 18.14, 13.96
53	- -	- -	ESIMS *m/z* 400.4 ($[M+H]^+$)	^1H RMN (400 MHz, $CDCl_3$) δ 7.17 (t, *J* = 8.1 Hz, 1H), 7.01 - 6.87 (m, 2H), 6.82 (dd, *J* = 8.4, 1.8 Hz, 1H), 5.18 (qd, *J* = 6.5, 4.0 Hz, 1H), 4.90 (s, 1H), 4.16 (ddd, *J* = 11.0, 7.1, 4.0 Hz, 2H), 1.95 (dq, *J* = 13 6, 6.8 Hz, 1H), 1.43 (s, 9H), 1.32 (d, *J* = 6.4 Hz, 3H), 1.12 (d, *J* = 7.2 Hz, 3H), 1.02 (d, *J* = 4.5 Hz, 3H), 1.00 (d, *J* = 4.7 Hz, 3H) ^{13}C RMN (126 MHz, $CDCl_3$) δ 172.60, 160.80, 134.79, 130.25, 129.46, 121.18, 116.56, 116.30, 114.51, 84.48, 72.38, 49.33, 30.36, 28.31, 19.18, 18.61, 18.08, 14.48

*Comp. No.	P.F. (°C)	*1R (cm^{-1})	MASA	RMN (^{1}H, ^{13}C, ^{19}F)
54	- -	- -	ESIMS *m/z* 434.4 ($[M+H]^+$)	^{1}H RMN (400 MHz, $CDCl_3$) δ 7.36 (d, *J* = 2.6 Hz, 1H), 7.13 (dd, *J* = 8.8, 2.5 Hz, 1H), 6.87 (d, *J* = 9.2 Hz, 1H), 5.19 (qd, *J* = 6.5, 3.8 Hz, 1H), 4.87 (s, 1H), 4.23 - 4.09 (m, 2H), 2.01 (dq, *J* = 13.7, 6.8 Hz, 1H), 1.43 (s, 9H), 1.38 (d, *J* = 6.5 Hz, 3H), 1.08 (d, *J* = 7.2 Hz, 3H), 1.05 (d, *J* = 6.7 Hz, 3H), 1.01 (d, *J* = 6.8 Hz, 3H) ^{13}C RMN (126 MHz, $CDCl_3$) δ 172.47, 154.47, 130.18, 127.42, 125.75, 124.55, 115.79, 86.20, 79.86, 72.36, 49.32, 30.31, 28.31, 19.04, 18.69, 18.10, 14.28
55	- -	- -	ESIMS *m/z* 400.4 ($[M+H]^+$)	^{1}H RMN (400 MHz, $CDCl_3$) δ 7.25 - 7.17 (m, 2H), 6.91 - 6.83 (m, 2H), 5.17 (qd, *J* = 6.5, 4.0 Hz, 1H), 4.89 (s, 1H), 4.17 (dt, *J* = 11.6, 5.8 Hz, 1H), 4.11 (dd, *J* = 7.1, 4.O Hz, 1H), 2.01 - 1.89 (m, 1H), 1.43 (s, 9H), 1.31 (d, *J* = 6.5 Hz, 3H), 1.11 (d, *J* = 7.2 Hz, 3H), 1.04 - 0.96 (m, ^{13}C RMN (126 MHz, $CDCl_3$) δ 172.54, 158.74, 129.46, 129.34, 125.76, 117.48, 116.30, 84.72, 72.37, 49.34, 30.36, 28.31, 19.23, 18.57, 18.16,

*Comp. No.	P.F. (°C)	*1R (cm^{-1})	MASA	RMN (^{1}H, ^{13}C, ^{19}F)
				14.56
56	- -	- -	ESIMS *m/z* 428.5 ($[M+H]^+$)	^{1}H RMN (400 MHz, $CDCl_3$) δ 7.23 - 7.11 (m, 1H), 7.01 - 6.89 (m, 2H), 6.89 6.77 (m, 1H), 5.19 (qd, *J* = 6.4, 4.0 Hz, 1H), 4.85 (d, *J* = 9.0 Hz, 1H), 4.10 (ddd, *J* = 10.9, 6.7, 3.2 Hz, 2H), 2.07 - 1.91 (m, 1H), 1.85 (dd, *J* = 11.4, 6.6 Hz, 1H), 1.43 (s, 9H), 1.31 (d, *J* = 6.4 Hz, 3H), 1.03 (d, *J* = 6.8 Hz, 3H), 1.00 (d, *J* = 6.9 Hz, 3H), 0.88 (d, *J* = 6.8 Hz, 3H), 0.75 (d, *J* = 6.9 Hz, 3H) ^{13}C RMN (126 MHz, $CDCl_3$) δ 171.56, 160.76, 155.64, 134.80, 130.23, 129.45, 121.25, 116.76, 116.42, 114.69, 85.04, 72.16, 58.60, 30.86, 30.28, 28.30, 19.32, 19.21, 18.44, 16.96, 14.80
57	- -	- -	ESIMS *m/z* 498.4 ($[M+Na]^+$)	^{1}H RMN (400 MHz, $CDCl_3$) δ 7.36 (d, *J* = 2.6 Hz, 1H), 7.20 - 7.08 (m, 1H), 6.88 (d, *J* = 8.9 Hz, 1H), 5.18 (qd, *J* = 6.5, 3.4 Hz, 1H), 4.64 (d, *J* = 8.1 Hz, 1H), 4.25 - 4.06 (m, 2H), 2.01 (dq, *J* = 14.2, 6.8 Hz, 1H), 1.61 - 1.52 (m, 1H), 1.43 (s, 9H), 1.39 (d, *J* = 6.5 Hz, 3H),

*Comp. No.	P.F. (°C)	*1R (cm^{-1})	MASA	RMN (^{1}H, ^{13}C, ^{19}F)
				1.13 (t, *J* = 7.1 Hz, 2H), 1.06 (d, *J* = 6.7 Hz, 3H), 1.01 (d, *J* = 6.8 Hz, 3H), 0.88 - 0.78 (m, 6H) ^{13}C RMN (126 MHz, $CDCl_3$) δ 172.66, 155.33, 154.62, 130.22, 127.45, 125.76, 124.61, 115.98, 86.42, 79.81, 72.36, 52.14, 41.22, 30.36, 28.30, 24.56, 22.95, 21.36, 19.01, 18.98, 13.98
58	- -	- -	ESIMS *m/z* 366 ($[M+H]^+$)	^{1}H RMN (400 MHz, $CDCl_3$) δ 7.29 - 7.20 (m, 2H), 6.97 - 6.87 (m, 3H), 5.22 (p, *J* = 6.3 Hz, 1H), 4.97 (d, *J* = 8.0 Hz, 1H), 4.24 - 4.08 (m, 2H), 2.02 (pd, *J* = 6.9, 5.3 Hz, 1H), 1.43 (s, 9H), 1.29 (d, *J* = 6.5 Hz, 3H), 1.08 (d, *J* = 7.2 Hz, 3H), 1.01 (d, *J* = 6.8 Hz, 3H), 0.97 (d, *J* = 6.8 Hz, 3H) ^{13}C RMN (101 MHz, $CDCl_3$) δ 172.87, 159.99, 129.47, 129.41, 120.72, 115.53, 83.42, 72.52, 53.42, 49.40, 29.77, 28.33, 19.78, 18.24, 17.18, 16.72
59	- -	- -	ESIMS *m/z* 372 ($[M+H]^+$)	^{1}H RMN (400 MHz, $CDCl_3$) δ 4.95 - 4.84 (m, 2H), 4.08 (p, *J* = 6.9, 6.4 Hz, 1H), 3.33 - 3.24 (m, 1H), 3.08 (dd, *J* =

*Comp. No.	P.F. (°C)	*1R (cm^{-1})	MASA	RMN (^{1}H, ^{13}C, ^{19}F)
				9.8, 6.8 Hz, 1H), 3.03 (dd, *J* = 6.1, 3.8 Hz, 1H), 1.45 - 1.32 (m, 1H), 1.24 (s, 9H), 1.17 (d, *J* = 7.2 Hz, 3H), 1.06 (d, *J* = 6.4 Hz, 3H), 1.20 - 1.02 (m, 4H), 0.91 - 0.80 (m, 1H), 0.74 - 0.59 (m, 6H), 0.35 0.25 (m, 2H), 0.03 - 0.06 (m, 2H) ^{13}C RMN (101 (MHZ, $CDCl_3$) δ 172.54, 154.97, 82.28, 77.41, 73.38, 49.36, 42.70, 28.29, 21.72, 20.98, 18.67, 14.79, 11.15, 11.10, 10.80, 2.89, 2.84
60	- -	- -	ESIMS *m/z* 374 ($[M+H]^+$)	^{1}H RMN (400 MHz, $CDCl_3$) δ 5.19 - 4.99 (m, 2H), 4.29 (q, *J* = 7.7 Hz, 1H), 3.41 (dd, *J* = 8.4, 6.4 Hz, 1H), 3.23 - 3.15 (m, 2H), 1.83 (dp, *J* = 13.2, 6.6 Hz, 1H), 1.66 - 1.49 (m, 1H), 1.45 (s, 9H), 1.38 (d, *J* = 7.1 Hz, 3H), 1.40 - 1.22 (m, 4H), 1.25 (d, *J* = 6.4 Hz, 3H), 0 96 - 0.81 (m, 12H) ^{13}C RMN (101 MHz, $CDCl_3$) δ 172.60, 155.01, 82.44, 79.55, 73.38, 49.39, 42.90, 29.19, 28.33, 22.13, 21.11, 19.49, 19.45, 18.76, 15.03, 11.33, 11.13

*Comp. No.	P.F. (°C)	*1R (cm^{-1})	MASA	RMN (^{1}H, ^{13}C, ^{19}F)
61	- - -	- - -	ESIMS *m/z* 381 ($[M+H]^+$)	^{1}H RMN (400 MHz, $CDCl_3$) δ 7.29 - 7.20 (m, 2H), 6.97 - 6.86 (m, 3H), 5.09 (qd, *J* = 6.6, 2.9 Hz, 1H), 4.97 (d, *J* = 7.9 Hz, 1H), 4.45 (ddd, *J* = 9.0, 3.9, 2.8 Hz, 1H), 4.25 - 4.16 (m, 1H), 1.86 - 1.64 (m, 2H), 1.47 - 1.16 (m, 16H), 0.97 (d, *J* = 6.6 Hz, 3H), 0.93 (d, *J* = 6.6 Hz, 3H) ^{13}C RMN (101 MHz, $CDCl_3$) δ 172.74, 158.88, 155.01, 129.52, 121.21, 116.35, 79.71, 77.75, 73.16, 49.36, 39.70, 28.32, 24.54, 23.35, 22.24, 18.43, 14.59
62	- - -	- - -	ESIMS *m/z* 392 ($[M+H]^+$)	^{1}H RMN (500 MHz, $CDCl_3$) δ 7.28 - 7.21 (m, 2H), 6.97 - 6.88 (m, 3H), 5.10 (qd, *J* = 6.5, 3.1 Hz, 1H), 4.89 - 4.85 (m, 1H), 4.31 (dd, *J* = 8.3, 3.1 Hz, 1H), 4.16 - 4.12 (m, 1H), 2.18 - 2.07 (m, 1H), 1.90 1.80 (m, 1H), 1.78 - 1.28 (m, 19H), 1.05 (d, *J* = 7.2 Hz, 3H) ^{13}C RMN (126 MHz, $CDCl_3$) δ 172.63, 160.02, 154.97, 129.45, 121.11, 116.53, 83.42, 79.73, 73.73, 49.36, 42.12, 29.70, 28.99, 28.32, 25.45, 25.10, 18.11, 14.17

*Comp. No.	P.F. (°C)	*1R (cm^{-1})	MASA	RMN (^{1}H, ^{13}C, ^{19}F)
63	- - -	- - -	ESIMS *m/z* 456 ($[M+Na]^+$)	^{1}H RMN (400 MHz, $CDCl_3$) δ 7.39 - 7.30 (m, 5H), 7.16 - 7.09 (m, 2H), 6.79 - 6.71 (m, 2H), 5.25 (qd, *J* = 6.5, 4.8 Hz, 1H), 5.13 (d, *J* = 4.9 Hz, 1H), 4.94 (d, *J* = 8.0 Hz, 1H), 4.24 (t, *J* = 7.6 Hz, 1H), 1.42 (s, 9H), 1.35 (d, *J* = 6.4 Hz, 3H), 1.13 (d, *J* = 7.2 Hz, 3H) ^{13}C RMN (101 MHz, $CDCl_3$) δ 172.71, 156.42, 155.02, 137.00, 129.28, 128.62, 128.36, 126.90, 126.13, 117.25, 81.62, 79.82, 73.96, 49.25, 28.30, 18.46, 14.90
64	- - -	- - -	ESIMS *m/z* 434 ($[M+H]^+$)	^{1}H RMN (400 MHz, $CDCl_3$) δ 7.41 - 7.26 (m, 5H), 7.08 (ddd, *J* = 8.4, 7.7, 0.6 Hz, 1H), 6.91 - 6.82 (m, 2H), 6.70 (ddd, *J* = 8.4, 2.4, 1.0 Hz, 1H), 5.30 - 5.19 (m, 1H), 5.16 (d, *J* = 4.9 Hz, 1H), 4.95 (d, *J* = 8.3 Hz, 1H), 4.28 - 4.19 (m, 1H), 1.42 (s, 9H), 1.35 (d, *J* = 6.5 Hz, 3H), 1.14 (d, *J* = 7.2 Hz, 3H) ^{13}C RMN (101 MHz, $CDCl_3$) δ 172.71, 158.54, 155.01, 136.85, 134.75, 130.15, 128.65, 128.40, 126.87, 121.47, 116.59, 114.09, 81.48, 79.81, 73.95, 49.26, 28.30, 18.44, 14.89

*Comp. No.	P.F. (°C)	*1R (cm^{-1})	MASA	RMN (^{1}H, ^{13}C, ^{19}F)
65	- - -	- - -	ESIMS *m/z* 456 ($[M+Na]^+$)	^{1}H RMN (400 MHz, $CDCl_3$) δ 7.44 - 7.26 (m, 6H), 7.00 (ddd, *J* = 8.3, 7.5, 1.7 Hz, 1H), 6.82 (td, *J* = 7.7, 1.4 Hz, 1H), 6.66 (dd, *J* = 8.3, 1.4 Hz, 1H), 5.36 - 5.22 (m, 2H), 4.97 (d, *J* = 8.2 Hz, 1H), 4.29 4.20 (m, 1H), 1.45 - 1.39 (m, 12H), 1.15 (d, *J* = 7.2 Hz, 3H) ^{13}C RMN (101 MHz, $CDCl_3$) δ 172.71, 155.00, 153.31, 136.81, 130.34, 128.61, 128.39, 127.44, 126.90, 123.54, 121.78, 115.14, 82.01, 79.75, 74.19, 49.30, 28.30, 18.43, 14.86
66	- - -	- - -	ESIMS *m/z* 436 ($[M+H]^+$)	^{1}H RMN (500 MHz, $CDCl_3$) δ 7.42 - 7.27 (m, 5H), 6.98 (ddd, *J* = 10.6, 9.0, 5.3 Hz, 1H), 6.58 - 6.44 (m, 2H), 5.30 (qd, *J* = 6.4, 5.0 Hz, 1H), 5.17 (d, *J* = 5.0 Hz, 1H), 4.95 (d, *J* = 8.0 Hz, 1H), 4.24 (t, *J* = 7.7 Hz, 1H), 1.42 (s, 9H), 1.39 (d, *J* = 6.4 Hz, 3H), 1.14 (d, *J* = 7.2 Hz, 3H) ^{13}C RMN (126 MHz, $CDCl_3$) δ 172.66, 158.32 (dd, *J* = 242.4, 2.5 Hz), 155.00, 149.47 (dd, *J* = 242.1, 3.4 Hz), 146.24 (dd, *J* = 12.1, 10.8 Hz), 136.27, 128.69, 128.66, 126.99,

*Comp. No.	P.F. (°C)	*1R (cm^{-1})	MASA	RMN (^{1}H, ^{13}C, ^{19}F)
				116.41 (dd, *J* = 20.8, 10.1 Hz), 107.68 (dd, *J* = 24.0, 6.9 Hz), 105.12 (dd, *J* = 27.2, 1.7 Hz), 83.04, 79.80, 73.72, 49.25, 28.29, 18.35, 15.03
67	- - -	- - -	ESIMS *m/z* 468 ($[M+H]^+$)	^{1}H RMN (500 MHz, $CDCl_3$) δ 7.40 - 7.28 (m, 6H), 6.97 (dd, *J* = 8.8, 2.6 Hz, 1H), 6.57 (d, *J* = 8.9 Hz, 1H), 5.30 (qd, *J* = 6.4, 4.6 Hz, 1H), 5.21 (d, *J* = 4.6 Hz, 1H), 4.96 (d, *J* = 8.1 Hz, 1H), 4.29 - 4.22 (m, 1H), 1 43 - 1.39 (m, 12H), 1.16 (d, *J* = 7.2 Hz, 3H) ^{13}C RMN (126 MHz, $CDCl_3$) δ 172.70, 155.00, 152.06, 136.27, 130.04, 128.71, 128.59, 127.36, 126.86, 126.20, 124.35, 115.83, 82.37, 79.80, 73.97, 49.27, 28.29, 18.43, 14.82
68	- - -	- - -	ESIMS *m/z* 452 ($[M+H]^+$)	^{1}H RMN (500 MHz, $CDCl_3$) δ 7.38 - 7.30 (m, 5H), 6.68 - 6.60 (m, 2H), 6.48 6.40 (m, 1H), 5.29 - 5.20 (m, 1H), 5.14 (d, *J* = 4.7 Hz, 1H), 4.94 (d, *J* = 8.2 Hz, 1H), 4.28 - 4.21 (m, 1H), 1.42 (s, 9H), 1.34 (d, *J* = 6.5 Hz, 3H), 1.15 (d, *J* = 7.3 Hz, 3H) ^{13}C RMN (126 MHz, $CDCl_3$) δ 172.69, 163.12 (d, *J* = 248.4 Hz), 159.25 (d, *J*

*Comp. No.	P.F. (°C)	*1R (cm^{-1})	MASA	RMN (^1H, ^{13}C, ^{19}F)
				= 12.4 Hz), 155.00, 136.22, 135.29 (d, *J* = 13.3 Hz), 128.78, 128.62, 126.80, 112.55 (d, *J* = 3.3 Hz), 109.25 (d, *J* = 25.2 Hz), 102.25 (d, *J* = 25.0 Hz), 81.78, 79.86, 73.72, 49.24, 28.29, 18.43, 14.82
69	- - -	3370.65, 2975.62, 1712.46, 1491.22, 1236.77, 1162.88	HRMS - ESI (*m/z*) ($[M+Na]^+$) calculada para $C_{20}H_{31}NNaO_5$, 388.2094; encontrada, 388.2096	^1H RMN (400 MHz, $CDCl_3$) δ 7.29 - 7.23 (m, 2H), 7.01 - 6.89 (m, 3H), 5.23 (p, *J* = 6.4 Hz, 1H), 4.72 (d, *J* = 8.0 Hz, 1H), 4.21 - 4.07 (m, 2H), 2.10 - 1.92 (m, 1H), 1.44 (s, 9H), 1.25 (d, *J* = 6.4 Hz, 3H), 1.21 (d, *J* = 6.7 Hz, 3H), 1.02 (d, *J* = 6.8 Hz, 3H), 1.01 (d, *J* = 6.8 Hz, 3H)
70	- - -	3376.60, 2975.84, 1712.62, 1491.00, 1236.88, 1161.78	HRMS - ESI (*m/z*) ($[M+Na]^+$) calculada para $C_{20}H_{31}NNaO_5$, 388.2094; encontrada, 388.2098	^1H RMN (400 MHz, $CDCl_3$) δ 7.30 - 7.23 (m, 2H), 6.98 - 6.90 (m, 3H), 5.19 (qd, *J* = 6.4, 3.8 Hz, 1H), 4.68 (d, *J* = 8.1 Hz, 1H), 4.17 (dd, *J* = 7.4, 3.8 Hz, 1H), 4.14 - 4.04 (m, 1H), 1.95 (dq, *J* = 13.7, 6.8 Hz, 1H), 1.44 (s, 9H), 1.31 (d, *J* = 6.4 Hz, 3H), 1.17 (d, *J* = 7.2 Hz, 3H), 1.04 (d, *J* = 6.7Hz, 3H), 1.00 (d, *J* = 6.8 Hz, 3H)
71	- - -	3364.14, 2978.73,	HRMS - ESI (*m/z*) ($[M+Na]^+$)	^1H RMN (400 MHz, $CDCl_3$) δ 7.42 - 7.37 (m, 2H), 7.37 - 7.30 (m, 2H),

*Comp. No.	P.F. (°C)	*1R (cm^{-1})	MASA	RMN (^{1}H, ^{13}C, ^{19}F)
		1709.99, 1492.42, 1235.09, 1160.57	calculada para $C_{23}H_{29}NNaO_5$, 422.1938; encontrada, 422.194	7.31 - 7.22 (m, 1H), 7.22 - 7.14 (m, 2H), 6.92 - 6.81 (m, 3H), 5.29 - 5.20 (m, 2H), 4.93 (d, *J* = 8.0 Hz, 1H), 4.31 - 4.16 (m, 1H), 1.43 (s, 9H), 1.37 - 1.31 (m, 3H), 1.28 (d, *J* = 7.2 Hz, 3H)
72	- - -	3361.27, 2973.82, 1712.61, 1491.29, 1237.88, 1163.11	HRMS - ESI (*m/z*) ($[M+Na]^+$) calculada para $C_{20}H_{31}NNaO_5$, 388.2094; encontrada, 388.2099	^{1}H RMN (400 MHz, $CDCl_3$) δ 7.32 - 7.16 (m, 2H), 6.99 - 6.87 (m, 3H), 5.18 (qd, *J* = 6.5, 4.1 Hz, 1H), 4.89 (d, *J* = 7.6 Hz, 1H), 4.18 (dd, *J* = 7.1, 4.0 Hz, 1H), 4.16 - 4.07 (m, 1H), 1.96 (dq, *J* = 13.6, 6.8 Hz, 1H), 1.43 (s, 9H), 1.33 (d, *J* = 6.4 Hz, 3H), 1.06 (d, *J* = 7.2 Hz, 3H), 1.04 (d, *J* = 6.8 Hz, eH), 1.01 (d, *J* = 6.9 Hz, 3H)
73	- - -	3366.73, 1708.90, 1492.33, 1236.49, 1159.90	HRMS - ESI (*m/z*) ($[M+Na]^+$) calculada para $C_{23}H_{29}NNaO_5$, 422.1938; encontrada, 422.1939	^{1}H RMN (400 MHz, $CDCl_3$) δ 7.41 - 7.37 (m, 2H), 7.36 - 7.30 (m, 2H), 7.29 - 7.23 (m, 1H), 7.21 - 7.12 (m, 2H), 6.90 - 6.85 (m, 1H), 6.85 - 6.80 (m, 2H), 5.26 (dq, *J* = 6.2, 4.8 Hz, 1H), 5.18 (d, *J* = 5.0 Hz, 1H), 4.97 (d, *J* = 8.3 Hz, 1H), 4.31 - 4.16 (m, 1H), 1.42 (s, 9H), 1.37 (d, *J* = 6.4 Hz, 3H), 1.12 (d, *J* = 7.2 Hz, 3H)
74	- - -	- - -	ESIMS *m/z* 467 ($[M+H]^+$)	^{1}H RMN (400 MHz, $CDCl_3$) δ 7.41 - 7.27 (m, 5H), 6.68 - 6.59 (m, 2H),

*Comp. No.	P.F. (°C)	*1R (cm^{-1})	MASA	RMN (^{1}H, ^{13}C, ^{19}F)
				6.43 (dt, *J* = 10.4, 2.3 Hz, 1H), 5.29 - 5.18 (m, 1H), 5.14 (d, *J* = 4.7 Hz, 1H), 4.96 (d, *J* = 8.2 Hz, 1H), 4.22 (q, *J* = 6.8 Hz, 1H), 1.73 - 1.61 (m, 1H), 1.54 - 1.40 (m, 10H), 1.33 (d, *J* = 6.4 Hz, 3H), 0.72 (t, *J* = 7.5 Hz, 3H) ^{13}C RMN (101 MHz, $CDCl_3$) δ 172.06, 163.12 (d, *J* = 248.2 Hz), 159.24 (d, *J* = 12.4 Hz), 155.27, 136.21, 135.29 (d, *J* = 13.3 Hz), 128.80, 128.63, 126.78, 112.54 (d, *J* = 3.3 Hz), 109.24 (d, *J* = 25.2 Hz), 102.23 (d, *J* = 25.1 Hz), 81.77, 79.80, 73.79, 54.48, 28.30, 25.65, 14.81, 9.14 ^{19}F RMN (376 MHz, $CDCl_3$) δ - 109.89
75	- - -	- - -	ESIMS *m/z* 473 ($[M+Na]^+$)	^{1}H RMN (400 MHz, $CDCl_3$) δ 7.43 - 7.28 (m, 5H), 6.98 (ddd, *J* = 10.6, 9.0, 5.3 Hz, 1H), 6.59 - 6.42 (m, 2H), 5.29 (qd, *J* = 6.4, 4.8 Hz, 1H), 5.17 (d, *J* = 4.9 Hz, 1H), 4.97 (d, *J* = 8.3 Hz, 1H), 4.22 (q, *J* = 6.8 Hz, 1H), 1.72 - 1.58 (m, 1H), 1.48 - 1.36 (m, 13H), 0.69 (t, *J* = 7.5 Hz, 3H) ^{19}F RMN (376 MHz, $CDCl_3$) δ - 116.68 (d, *J* = 15.0 Hz), -138.71 (d, *J* = 15.0 Hz)

*Comp. No.	P.F. (°C)	*1R (cm^{-1})	MASA	RMN (^1H, ^{13}C, ^{19}F)
76	- - -	- - -	ESIMS *m/z* 366.5 ($[M+H]^+$)	^1H RMN (400 MHz, $CDCl_3$) δ 7.32 - 7.21 (m, 2H), 7.00 - 6.89 (m, 3H), 5.19 (qd, *J* = 6.4, 3.8 Hz, 1H), 4.68 (d, *J* = 8.2 Hz, 1H), 4.17 (dd, *J* = 7.4, 3.8 Hz, 1H), 4.14 - 4.02 (m, 1H), 2.04 - 1.87 (m, *J* = 6.8 Hz, 1H), 1.44 (s, 9H), 1.31 (d, *J* = 6.4 Hz, 3H), 1.17 (d, *J* = 7.3 Hz, 3H), 1.04 (d, *J* = 6.7 Hz, 3H), 1.00 (d, *J* = 6.8 Hz, 3H) ^{13}C RMN (101 MHz, $CDCl_3$) δ 172.41, 160.20, 155.07, 129.47, 121.03, 116.39, 84.21, 79.67, 72.53, 49.34, 30.35, 28.32, 19.11, 18.87, 18.24, 14.24
77	- - -	- - -	ESIMS *m/z* 366.5 ($[M+H]^+$)	^1H RMN (400 MHz, $CDCl_3$) δ 7.29 - 7.23 (m, 2H), 7.01 - 6.89 (m, 3H), 5.23 (p, *J* = 6.4 Hz, 1H), 4.72 (d, *J* = 8.0 Hz, 1H), 4.21 - 4.07 (m, 2H), 2.10 - 1.92 (m, 1H), 1.44 (s, 9H), 1.25 (d, *J* = 6.4 Hz, 3H), 1.21 (d, *J* = 6.7 Hz, 3H), 1.02 (d, *J* = 6.8 Hz, 3H), 1.01 (d, *J* = 6.8 Hz, 3H) ^{13}C RMN (101 MHz, $CDCl_3$) δ 172.50, 160.08, 155.01, 129.46, 120.88, 116.05, 87.22, 83.72, 79.57, 72.50, 68.03, 49.39, 29.58, 28.34, 19.83,

*Comp. No.	P.F. (°C)	*1R (cm^{-1})	MASA	RMN (^1H, ^{13}C, ^{19}F)
				18.38
78	- - -	- - -	ESIMS *m/z* 366.4 ($[M+H]^+$)	^1H RMN (400 MHz, $CDCl_3$) δ 7.29 - 7.19 (m, 2H), 6.97 - 6.86 (m, 3H), 5.22 (p, *J* = 6.4 Hz, 1H), 4.97 (d, *J* = 7.9 Hz, 1H), 4.24 - 4.09 (m, 2H), 2.09 - 1.94 (m, 1H), 1.43 (s, 9H), 1.29 (d, *J* = 6.5 Hz, 3H), 1.08 (d, *J* = 7.2 Hz, 3H), 1.01 (d, *J* = 6.8 Hz, 3H), 0.97 (d, *J* = 6.9 Hz, 3H) ^{13}C RMN (101 MHz, $CDCl_3$) δ 172.87, 159.99, 129.41, 120.72, 115.53, 87.23, 83.42, 79.72, 72.52, 49.40, 29.77, 28.33, 19.78, 18.23, 17.19, 16.72
79	- - -	- - -	ESIMS *m/z* 442.5 ($[M+H]^+$)	^1H RMN (500 MHz, $CDCl_3$) δ 7.59 - 7.45 (m, 4H), 7.45 - 7.37 (m, 2H), 7.34 - 7.27 (m, 1H), 7.06 - 6.94 (m, 2H), 5.20 (qd, *J* = 6.5, 4.2 Hz, 1H), 4.90 (d, *J* = 7.9 Hz, 1H), 4.22 (dd, *J* = 7.0, 4.1 Hz, 1H), 4.18 (dd, *J* = 15.3, 8.1 Hz, 1H), 2.05 1.93 (m, 1H), 1.42 (s, 9H), 1.35 (d, *J* = 6.5 Hz, 3H), 1.08 (d, *J* = 7.2 Hz, 3H), 1.06 (d, *J* = 6.7 Hz, 3H), 1.03 (d, *J* = 6.9 Hz, 3H) ^{13}C RMN (126 MHz, $CDCl_3$) δ 172.63,

*Comp. No.	P.F. (°C)	*1R (cm^{-1})	MASA	RMN (^{1}H, ^{13}C, ^{19}F)
				159.70, 140.73, 134.14, 128.70, 128.18, 128.15, 126.75, 126.72, 126.69, 116.51 84.28, 72.54, 49.36, 30.37, 28.30, 19.29, 18 62, 18.05, 14.67
80	- - -	- - -	ESIMS *m/z* 442.6 ($[M+H]^+$)	^{1}H RMN (500 MHz, $CDCl_3$) δ 7.61 - 7.54 (m, 2H), 7.47 - 7.41 (m, 2H), 7.41 7.28 (m, 2H), 7.20 - 7.13 (m, 2H), 6.96 - 6.89 (m, 1H), 5.20 (qd, *J* = 6.5, 4.1 Hz, 1H), 4.88 (d, *J* = 7.8 Hz, 1H), 4.26 (dd, *J* = 7.0, 4.1 Hz, 1H), 4.22 - 4.07 (m, 1H), 1.99 (h, *J* = 6.8 Hz, 1H), 1.42 (s, 9H), 1.36 (d, *J* = 6.5 Hz, 3H), 1.06 (d, *J* = 6.7 Hz, 3H), 1.04 (d, *J* = 3.5 Hz, 3H), 1.03 (d, *J* = 3.2 Hz, 3H) ^{13}C RMN (126 MHz, $CDCl_3$) δ 172.64, 160.53, 154.99, 142.83, 140.97, 129.78, 129.76, 128.74, 127.43, 127.14, 127.12, 119.99, 115.37, 114.91, 84.22, 79.75, 72.58, 49.32, 30.39, 28.29, 19.28, 18.64, 17.97, 14.69
81	- - -	- - -	ESIMS *m/z* 384.5 ($[M+H]^+$)	^{1}H RMN (500 MHz, $CDCl_3$) δ 7.19 (td, *J* = 8.4, 7.0 Hz, 1H), 6.71 (ddd, *J* =

*Comp. No.	P.F. (°C)	*1R (cm^{-1})	MASA	RMN (^{1}H, ^{13}C, ^{19}F)
				8.5, 2.3, 0.9 Hz, 1H), 6.68 - 6.57 (m, 2H), 5.18 (qd, *J* = 6.5, 4.0 Hz, 1H), 4.90 (s, 1H), 4.24 - 4.09 (m, 2H), 2.02 - 1.89 (m, 1H), 1.43 (s, 9H), 1.32 (d, *J* = 6.5 Hz, 3H), 1.11 (d, *J* = 7.2 Hz, 3H), 1.01 (dd, *J* = 6.8, 5.8 Hz, 6H) ^{13}C RMN (126 MHz, $CDCl_3$) δ 163.55 (d, *J* = 245.4 Hz), 161.40 (d, 10.8 Hz), 130.20 (d, *J* = 10.1 Hz), 111.78 (d, *J* = 2.8 Hz), 107.80 (d, *J* = 21.3 Hz), 103.77 (d, *J* = 24.5 Hz), 84.49, 84.43, 79.81, 72.34, 72.29, 49.34, 30.32, 28.30, 19.18, 18.56, 18.10, 14.52
82	- - -	- - -	ESIMS *m/z* 384.5 ($[M+H]^+$)	^{1}H RMN (500 MHz, $CDCl_3$) δ 7.01 6.84 (m, 4H), 5.17 (qd, 6 5, 3.9 Hz, 1H), 4.88 (s, 1H), 4.16 (d, *J* = 9.0 Hz, 1H), 4.05 (dd, *J* = 7.2, 3.9 Hz, 1H), 2.01 _ 1.87 (m, 6.8 Hz, 1H), 1.43 (s, 9H), 1.32 (d, *J* = 6.5 Hz, 3H), 1.09 (d, *J* = 7.2 Hz, 3H), 1.03 (d, *J* = 6.7 Hz, 3H), 1.00 (d, *J* = 6.8 Hz, 3H) ^{13}C RMN (126 MHz, $CDCl_3$) δ 172.53, 157.27 (d, *J* = 240.3 Hz), 156.31 (d, *J* = 3.6 Hz), 117.47 (d, *J* = 8.0 Hz), 115.88, 115.70, 85.43, 72.53, 30.36, 28.31, 19.26, 18.72, 18.14, 14.52

*Comp. No.	P.F. (°C)	*1R (cm^{-1})	MASA	RMN (^{1}H, ^{13}C, ^{19}F)
83	- - -	- - -	ESIMS *m/z* 402.5 ($[M+H]^+$)	^{1}H RMN (500 MHz, $CDCl_3$) δ 7.01 (ddd, *J* = 10 6, 9.0, 5.4 Hz, 1H), 6.72 (ddd, *J* = 9.8, 6.7, 3.0 Hz, 1H), 6.59 (dtt, *J* = 9.0, 7 6, 3.2 Hz, 1H), 5.20 (qd, *J* = 6 5, 3.5 Hz, 1H), 4.87 (s, 1H), 4.21 - 4.12 (m, 1H), 4.10 (dd, *J* = 7 6, 3.4 Hz, 1H), 2.07 1.93 (m, 1H), 1.43 (s, 9H), 1.36 (d, *J* = 6.5 Hz, 3H), 1.09 (d, *J* = 7.2 Hz, 3H), 1.07 (d, *J* = 6.7 Hz, 3H), 1.02 (d, *J* = 6.9 Hz, 3H) ^{13}C RMN (126 MHz, $CDCl_3$) δ 172.51, 159.74 - 148.24 (m), 116.64 (dd, *J* = 21.3, 10.0 Hz), 107.39 (dd, *J* = 23.8, 7.0 Hz), 105.10 (d, *J* = 26.4 Hz), 86.88, 79.84, 72.46, 30.28, 28.29, 19.05, 18.79, 18.01, 14.02
84	- - -	- - -	ESIMS *m/z* 418.2 ($[M+H]^+$)	^{1}H RMN (500 MHz, $CDCl_3$) δ 6.74 (td, *J* = 2.1, 1.1 Hz, 1H), 6.67 (dt, *J* = 8.3, 1.9 Hz, 1H), 6.56 (dt, *J* = 10.7, 2.3 Hz, 1H), 5.18 (qd, *J* = 6 5, 3.8 Hz, 1H), 4.92 (d, *J* = 7.6 Hz, 1H), 4.18 (t, *J* = 7.3 Hz, 1H), 4.14 - 4.07 (m, 1H), 2.03 - 1.89 (m, 1H), 1.43 (s, 9H), 1.30 (d, *J* = 6.5 Hz, 3H), 1.17 (d, *J* = 7.2 Hz, 3H), 1.01 (d, *J* = 2.6 Hz, 3H), 0.99 (d, *J* = 2.4 Hz, 3H)

*Comp. No.	P.F. (°C)	*1R (cm^{-1})	MASA	RMN (^{1}H, ^{13}C, ^{19}F)
				^{13}C RMN (126 MHz, $CDCl_3$) δ 172.61, 163.29 (d, *J* = 248.4 Hz), 161.50 (d, *J* = 12.2 Hz), 135.36 (d, *J* = 13.6 Hz), 112.42 (d, *J* = 3.2 Hz), 108.91 (d, *J* = 25.4 Hz), 102.33 (d, *J* = 24.9 Hz), 84.80, 72.16, 49.34, 30.33, 28.29, 19.11, 18.54, 18.09, 14.42
85	- - -	- - -	ESIMS *m/z* 434.5 ($[M+H]^+$)	^{1}H RMN (500 MHz, $CDCl_3$) δ 7.59 - 7.38 (m, 2H), 7.09 - 6.90 (m, 2H), 5.19 (qd, *J* = 6.4, 4.0 Hz, 1H), 4.89 (d, *J* = 7.8 Hz, 1H), 4.26 (dd, *J* = 7.1, 4.1 Hz, 1H), 4.20 - 4.03 (m, 1H), 1.98 (h, *J* = 6.8 Hz, 1H), 1 43 (s, 9H), 1.32 (d, *J* = 6.5 Hz, 3H), 1.09 (d, *J* = 7.2 Hz, 3H), 1.06 - 0.96 (m, 6H) ^{13}C RMN (126 MHz, $CDCl_3$) δ 172.57, 162.48 (d, *J* = 1.5 Hz), 126.95 (q, *J* = 3.8 Hz), 125.39, 123.44 - 122.60 (m), 115.89, 84.24, 72.24, 30.36, 28.30, 19.18, 18.50, 18.05, 14.55
86	- - -	- - -	ESIMS *m/z* 444.5 ($[M+H]^+$)	^{1}H RMN (500 MHz, $CDCl_3$) δ 7.01 (ddd, *J* = 10 6, 9.0, 5.4 Hz, 1H), 6.74 (ddd, *J* = 9.8, 6.6, 3.0 Hz, 1H), 6.59 (ddt, *J* = 9.0, 7 6, 3.1 Hz, 1H), 5.19 (qd, *J* = 6.4, 3.7 Hz, 1H), 4.79 (d, *J* =

*Comp. No.	P.F. (°C)	*1R (cm^{-1})	MASA	RMN (^{1}H, ^{13}C, ^{19}F)
				9.2 Hz, 1H), 4.12 (dd, *J* = 9.2, 4.8 Hz, 1H), 4.05 (dd, *J* = 7.2, 3.7 Hz, 1H), 2.10 - 1.94 (m, 1H), 1.56 (s, 1H), 1.43 (s, 9H), 1.36 (d, *J* = 6.4 Hz, 3H), 1.26 (dtd, *J* = 12.5, 7.4, 6 0, 3.8 Hz, 1H), 1.07 (d, *J* = 6.7 Hz, 3H), 1.05 - 1.02 (m, 1H), 1.01 (d, *J* = 6.9 Hz, 3H), 0.85 - 0.79 (m, 6H) ^{13}C RMN (126 MHz, $CDCl_3$) δ 171.34, 158.51 (dd, *J* = 242.3, 2.5 Hz), 155.45, 149.63 (dd, *J* = 241.6, 3.2 Hz), 148.48 (dd, *J* =12.3, 10.5 Hz), 116.61 (dd, *J* = 21.2, 10.3 Hz), 107.45 (dd, 24.0, 6.7 Hz), 105.26 (d, *J* = 26.8 Hz), 87.20, 79.76, 72.22, 58.29, 37.70, 30.20, 28.29, 24.51, 19.20, 18.50, 15.45, 14.45, 11.46
87	- - -	- - -	ESIMS *m/z* 476.5 ($[M+H]^+$)	^{1}H RMN (500 $CDCl_3$) δ 7.63 - 7.44 (m, 2H), 7.09 - 6.91 (m, 2H), 5.19 (qd, *J* = 6.4, 4.2 Hz, 1H), 4.84 (d, *J* = 9.1 Hz, 1H), 4.21 (dd, *J* = 6.7, 4.2 Hz, 1H), 4.16 (dd, *J* = 9.2, 4.7 Hz, 1H), 2.13 - 1.93 (m, 1H), 1.62 (s, 1H), 1.43 (s, 9H), 1.32 (d, *J* = 6.4 Hz, 3H), 1.27 - 1.18 (m, 1H), 1.03 - 0.99 (m, 7H), 0.82 (d, *J* = 6.9 Hz, 3H), 0.80 (t, *J* =

*Comp. No.	P.F. (°C)	*1R (cm^{-1})	MASA	RMN (^{1}H, ^{13}C, ^{19}F)
				7.4 Hz, 3H) ^{13}C RMN (126 MHz, $CDCl_3$) δ 171.39, 162.39, 155.47, 126.97 (q, *J* = 3.8 Hz), 128.10 - 120.84 (m), 123.09 (d, *J* = 32.8 Hz), 115.98, 84.55, 79.83, 72.02, 58.28, 37.69, 30.24, 28.30, 19.36, 18.24, 15.42, 14.93, 11.46
88	- - -	- - -	ESIMS *m/z* 469 ($[M+H]^+$)	^{1}H RMN (500 MHz, $CDCl_3$) δ 7.47 - 7.41 (m, 2H), 7.40 - 7.27 (m, 5H), 6.92 - 6.86 (m, 2H), 5.32 - 5.21 (m, 2H), 4.94 (d, *J* = 8.1 Hz, 1H), 4.25 (t, *J* = 7.6 Hz, 1H), 1.41 (s, 9H), 1.37 (d, *J* = 6.3 Hz, 3H), 1.14 (d, *J* = 7.2 Hz, 3H) ^{19}F RMN (471 MHz, $CDCl_3$) δ - 61.67
89	- - -	- - -	ESIMS *m/z* 497 ($[M+H]^+$)	^{1}H RMN (500 MHz, $CDCl_3$) δ 7.47 - 7.40 (m, 2H), 7.40 - 7.28 (m, 5H), 6.91 - 6.84 (m, 2H), 5.32 - 5.23 (m, 2H), 4.93 (d, *J* = 9.3 Hz, 1H), 4.19 (dd, *J* = 9.2, 4.5 Hz, 1H), 2.01 - 1.90 (m, 1H), 1.42 (s, 9H), 1.36 (d, *J* = 6.2 Hz, 3H), 0.84 (d, *J* = 6.8 Hz, 3H), 0.62 (d, *J* = 6.8 Hz, 3H) ^{19}F RMN (471 MHz, $CDCl_3$) δ - 61.67
90	- - -	- - -	ESIMS *m/z* 418 ($[M+H]^+$)	^{1}H RMN (500 MHz, $CDCl_3$) δ 7.40 - 7.25 (m, 5H), 7.11 (td, *J* = 8.3, 6.8 Hz,

*Comp. No.	P.F. (°C)	*1R (cm^{-1})	MASA	RMN (^{1}H, ^{13}C, ^{19}F)
				1H), 6.64 - 6.51 (m, 3H), 5.25 (qd, *J* = 6.4, 4.8 Hz, 1H), 5.16 (d, *J* = 4.9 Hz, 1H), 4.95 (d, *J* = 8.2 Hz, 1H), 4.28 - 4.21 (m, 1H), 1 42 (s, 9H), 1.36 (d, *J* = 6.4 Hz, 3H), 1.14 (d, *J* = 7.2 Hz, 3H) ^{13}C RMN (126 MHz, $CDCl_3$) δ 172.71, 163.39 (d, *J* = 245.6 Hz), 159.11 (d, *J* = 10.8 Hz), 155.00, 136 93, 130.13 (d, *J* = 10.0 Hz), 128.64, 128.37, 126.87, 111.57 (d, *J* = 2.9 Hz), 108.08 (d, *J* = 21.3 Hz), 103.73 (d, *J* = 24.8 Hz), 81.50, 79.80, 73.93, 49.25, 28.30, 18.44, 14.91
91	- - -	- - -	ESIMS *m/z* 495 ($[M+H]^+$)	^{1}H RMN (500 MHz, $CDCl_3$) δ 7.40 - 7.26 (m, 5H), 7.19 - 7.08 (m, 4H), 6.97 - 6.92 (m, 2H), 6.65 - 6.50 (m, 3H), 5.17 (qd, *J* = 6 4, 3.8 Hz, 1H), 5.12 (d, *J* = 4.4 Hz, 1H), 4.88 (d, *J* = 8.5 Hz, 1H), 4.59 4.51 (m, 1H), 2.97 (dd, *J* = 13.9, 5.8 Hz, 1H), 2.90 (dd, *J* = 13.9, 5.9 Hz, 1H), 1.40 (s, 9H), 1.34 (d, *J* = 6.4 Hz, 3H) ^{13}C RMN (126 MHz, $CDCl_3$) δ 171.29, 163.41 (d, *J* = 245.4 Hz), 158.96 (d, *J* = 10.9 Hz), 155.00, 136 91, 135.75, 130.14 (d, *J* = 10.0 Hz), 129.33,

*Comp. No.	P.F. (°C)	*1R (cm^{-1})	MASA	RMN (^{1}H, ^{13}C, ^{19}F)
				128.73, 128.43, 126.93, 126 80, 111.63 (d, *J* = 2.9 Hz), 108.07 (d, *J* = 21.2 Hz), 103.75 (d, *J* = 24.9 Hz), 81.24, 79.86, 74.68, 54.31, 37.92, 28.27, 14.49
92	- - -	- - -	ESIMS *m/z* 412 ($[M+H]^+$)	^{1}H RMN (500 MHz, $CDCl_3$) δ 7.23 - 7.13 (m, 1H), 6.70 (ddd, *J* = 8.3, 2.2, 0.8 Hz, 1H), 6.66 - 6.60 (m, 2H), 5.20 (qd, *J* = 6.5, 4.0 Hz, 1H), 4.96 - 4.88 (m, 1H), 4.38 (dd, *J* = 6 8, 4.0 Hz, 1H), 4.21 - 4.12 (m, 1H), 1.65 - 1.59 (m, 1H), 1.57 - 1.51 (m, 1H), 1.51 - 1.44 (m, 1H), 1.43 (s, 9H), 1 42 - 1.34 (m, 2H), 1.32 (d, *J* = 6.5 Hz, 3H), 1.11 (d, *J* = 7.2 Hz, 3H), 0.93 (t, *J* = 7.4 Hz, 3H), 0.89 (t, *J* = 7.4 Hz, 3H) ^{13}C RMN (126 MHz, $CDCl_3$) δ 172.62, 163.58 (d, *J* = 245.5 Hz), 161.26 (d, *J* = 10.6 Hz), 154.98, 130.22 (d, *J* = 10.2 Hz), 111.57 (d, *J* = 3.0 Hz), 107.74 (d, *J* = 21.3 Hz), 103.61 (d, *J* = 24.4 Hz), 49.33, 42.53, 28.30, 21.48, 21.18, 18.13, 14 74, 11.33, 10.50
93	- - -	- - -	ESIMS *m/z* 412 ($[M+H]^+$)	^{1}H RMN (500 MHz, $CDCl_3$) δ 6.98 - 6.91 (m, 2H), 6.89 - 6.81 (m, 2H),

*Comp. No.	P.F. (°C)	*1R (cm^{-1})	MASA	RMN (^{1}H, ^{13}C, ^{19}F)
				5.19 (qd, *J* = 6.5, 4.0 Hz, 1H), 4.96 - 4.85 (m, 1H), 4.28 (dd, *J* = 6 7, 3.9 Hz, 1H), 4.22 _ 4.11 (m, 1H), 1.68 - 1.58 (m, 1H), 1.56 - 1.51 (m, 1H), 1.48 (ddd, *J* = 14.1, 7.4, 5.9 Hz, 1H), 1.43 (s, 9H), 1.42 - 1.35 (m, 2H), 1.33 (d, *J* = 6.4 Hz, 3H), 1.09 (d, *J* = 7.2 Hz, 3H), 0.92 (t, *J* = 7.4 Hz, 3H), 0.89 (t, *J* = 7.4 Hz, 3H) ^{13}C RMN (126 MHz, $CDCl_3$) δ 172.57, 157.22 (d, *J* = 238.9 Hz), 156.13 (d, *J* = 2.3 Hz), 154.96, 117.23 (d, *J* = 7.8 Hz), 115.81 (d, *J* = 23.0 Hz), 81.83, 79.82, 72.63, 49.34, 42.61, 28.31, 21.52, 21.27, 18.18, 14.78, 11.39, 10.52
94	- - -	- - -	ESIMS *m/z* 428 ($[M+H]^+$)	^{1}H RMN (500 MHz, $CDCl_3$) δ 7.20 7.11 (m, 1H), 6.94 - 6.86 (m, 2H), 6.81 (ddd, *J* = 8.4, 2.5, 0.9 Hz, 1H), 5.20 (qd, *J* = 6.4, 3.8 Hz, 1H), 4.92 (d, *J* = 8.0 Hz, 1H), 4.37 (dd, *J* = 6.9, 3.9 Hz, 1H), 4.22 4.10 (m, 1H), 1.63 - 1.50 (m, 2H), 1.50 1.45 (m, 1H), 1.43 (s, 9H), 1.41 - 1.35 (m, 2H), 1.32 (d, *J* = 6.5 Hz, 3H), 1.12 (d, *J* = 7.2 Hz, 3H), 0.93 (t, *J* = 7.4 Hz, 3H), 0.89 (t, *J*

*Comp. No.	P.F. (°C)	*1R (cm^{-1})	MASA	RMN (^1H, ^{13}C, ^{19}F)
				= 7.4 Hz, 3H) ^{13}C RMN (126 MHz, $CDCl_3$) δ 172.65, 160.65, 154.98, 134.83, 130.26, 121.11, 116.42, 114.24, 80.99, 79.81, 72.51, 49.33, 42.53, 28.31, 21.47, 21.19, 18.11, 14.69, 11.31, 10.49
95	- - -	- - -	ESIMS *m/z* 428 ($[M+H]^+$)	^1H RMN (500 MHz, $CDCl_3$) δ 7.23 - 7.11 (m, 2H), 6.91 - 6.76 (m, 2H), 5.19 (qd, *J* = 6.5, 4.6 Hz, 1H), 4.91 (d, *J* = 7.9 Hz, 1H), 4.34 (dd, *J* = 6.7, 4.0 Hz, 1H), 4.20 - 4.10 (m, 1H), 1.66 - 1.48 (m, 2H), 1.43 (s, 9H), 1.43 - 1.35 (m, 3H), 1.32 (d, *J* = 6.5 Hz, 3H), 1.11 (d, *J* = 7.2 Hz, 3H), 0.92 (t, *J* = 7.5 HZ, 3H), 0.88 (t, *J* = 7.4 Hz, 3H) ^{13}C RMN (126 MHz, $CDCl_3$) δ 172.58, 158.56, 154.96, 129.36, 125.67, 117.27, 81.17, 79.84, 72.47, 49.33, 42.59, 28.31, 21.52, 21.20, 18.19, 14.81, 11.35, 10.55
96	- - -	- - -	ESIMS *m/z* 463 ($[M+H]^+$)	^1H RMN (500 MHz, $CDCl_3$) δ 7.35 (d, *J* = 2.6 Hz, 1H), 7.15 - 7.10 (m, 1H), 6.86 (dd, *J* = 8.9, 06 Hz, 1H), 5.21 (qd, *J* = 6.5, 3.8 Hz, 1H), 4.89 (d, *J* = 8.1 Hz, 1H), 4.41 (dd, *J* = 6.7, 3.7 Hz,

*Comp. No.	P.F. (°C)	*1R (cm^{-1})	MASA	RMN (^{1}H, ^{13}C, ^{19}F)
				1H), 4.23 - 4.12 (m, 1H), 1.69 - 1.56 (m, 3H), 1.53 - 1.46 (m, 1H), 1 43 (s, 9H), 1.38 (d, *J* = 6.5 Hz, 3H), 1 44 - 1.33 (m, 1H), 1.09 (d, *J* = 7.2 Hz, 3H), 0.92 (t, *J* = 7.5 Hz, 3H), 0.90 (t, *J* = 7.3 Hz, 3H) ^{13}C RMN (126 MHz, $CDCl_3$) δ 172.52, 154.94, 154.29, 130.21, 127.41, 125.64, 124.47, 115.42, 82.59, 79.86, 72.47, 49.32, 42.43, 28.31, 21.37, 21.20, 18.13, 14.59, 11.32, 10.43
97	- - -	- - -	ESIMS *m/z* 430 ($[M+H]^+$)	^{1}H RMN (500 MHz, $CDCl_3$) δ 7.00 (ddd, *J* = 10.5, 9.0, 5.3 Hz, 1H), 6.71 (ddd, *J* = 9.8, 6 6, 3.0 Hz, 1H), 6.57 (ddt, *J* = 9.0, 7.7, 3.1 Hz, 1H), 5.22 (qd, *J* = 6.57 3.5 Hz, 1H), 4.89 (d, *J* = 7.5 Hz, 1H), 4.33 (dd, *J* = 7.2, 3.5 Hz, 1H), 4.19 - 4.07 (m, 1H), 1.70 - 1.58 (m, 2H), 1.57 - 1.44 (m, 1H), 1.43 (s, 9H), 1.48 - 1.37 (m, 2H), 1.37 (d, *J* = 6.5 Hz, 3H), 1.09 (d, *J* = 7.2 Hz, 3H), 0.93 (t, *J* = 7.5 Hz, 3H), 0.91 (t, *J* = 7.4 Hz, 3H) ^{13}C RMN (126 MHz, $CDCl_3$) δ 172.56, 158.52 (dd, *J* = 242.2, 2.4 Hz), 154.96, 149.56 (dd, *J* = 241.4, 3.2

*Comp. No.	P.F. (°C)	*1R (cm^{-1})	MASA	RMN (^{1}H, ^{13}C, ^{19}F)
				Hz), 148.44 (dd, *J* = 12.3, 10.4 Hz), 116.63 (dd, *J* = 21.2, 10.3 Hz), 107.25 (dd, *J* = 23.9, 7.0 Hz), 104.75 (d, *J* = 26.5 Hz), 83.32, 79.83, 72.58, 49.32, 42.32, 28.29, 21.30, 21.14, 18.02, 14.29, 11.19, 10.31
98	- - -	- - -	ESIMS *m/z* 446 ($[M+H]^{+}$)	^{1}H RMN (500 MHz, $CDCl_3$) δ 6.72 (td, *J* = 2.1, 1.1 Hz, 1H), 6.68 - 6.64 (m, 1H), 6.54 (dt, *J* = 10 6, 2.3 Hz, 1H), 5.20 (qd, *J* = 6.5, 3.8 Hz, 1H), 4.93 (d, *J* = 7.8 Hz, 1H), 4.34 (dd, *J* = 6 8, 3.8 Hz, 1H), 4.23 - 4.13 (m, 1H), 1.64 - 1.51 (m, 2H), 1.52 - 1.43 (m, 1H), 1.43 (s, 9H), 1.42 - 1.33 (m, 2H), 1.31 (d, *J* = 6.5 Hz, 3H), 1.17 (d, *J* = 7.2 Hz, 3H), 0.93 (t, *J* = 7.5 Hz, 3H), 0.88 (t, *J* = 7.3 Hz, 3H) ^{13}C RMN (126 MHz, $CDCl_3$) δ 172.66, 163.31 (d, *J* = 248.0 Hz), 161.37 (d, *J* = 12.3 Hz), 15499, 135.39 (d, *J* = 13.5 Hz), 112.28 (d, *J* = 3.2 Hz), 108.85 (d, *J* = 25.2 Hz), 102.13 (d, *J* = 24.9 Hz), 81.39, 79.87, 72.32, 49.33, 42.45, 28.29, 21.42, 21.12, 18.11, 14 61, 11.22, 10.45

*Comp. No.	P.F. (°C)	*1R (cm^{-1})	MASA	RMN (^{1}H, ^{13}C, ^{19}F)
99	- - -	- - -	ESIMS *m/z* 450 ($[M+Na]^+$)	^{1}H RMN (500 MHz, $CDCl_3$) δ 7.34 (dd, *J* = 7.8, 1.7 Hz, 1H), 7.20 - 7.10 (m, 1H), 6.93 (dd, *J* = 8.6, 1.0 Hz, 1H), 6.85 (td, *J* = 7.6, 1.4 Hz, 1H), 5.21 (qd, *J* = 6.5, 3.8 Hz, 1H), 4.92 - 4.83 (m, 1H), 4.47 (dd, *J* = 6.9, 3.8 Hz, 1H), 4.22 - 4.08 (m, 1H), 1.72 - 1.58 (m, 2H), 1.56 - 1.44 (m, 2H), 1.43 (s, 9H), 1.40 (d, *J* = 6.4 Hz, 3H), 1.39 - 1.36 (m, 1H), 1.03 (d, *J* = 7.2 Hz, 3H), 0.93 (t, *J* = 7.5 Hz, 3H), 0.91 (t, *J* = 7.4 Hz, 3H) ^{13}C RMN (126 MHz, $CDCl_3$) δ 172.55, 155.54, 154.95, 130.56, 127.52, 123.73, 121.44, 114.87, 82.08, 79.76, 72.67, 49.31, 42.42, 28.32, 21.33, 21.23, 18.04, 14.54, 11.37, 10.37
100	- - -	- - -	ESIMS *m/z* 462 ($[M+H]^+$)	^{1}H RMN (500 MHz, $CDCl_3$) δ 7.51 (d, *J* = 8.6 Hz, 2H), 6.99 (d, *J* = 8.2 Hz, 2H), 5.22 (qd, *J* = 6.5, 4.0 Hz, 1H), 4.91 (d, *J* = 8.0 Hz, 1H), 4.48 (dd, *J* = 6.7, 3.9 Hz, 1H), 4.23 - 4.12 (m, 1H), 1.65 - 1.53 (m, 2H), 1.54 - 1.33 (m, 3H), 1.43 (s, 9H), 1.33 (d, *J* = 6.5 Hz, 3H), 1.09 (d, *J* = 7.2 Hz, 3H), 0.93 (t, *J* = 7.5 Hz, 3H), 0.89 (t, *J* = 7.3 Hz, 3H)

*Comp. No.	P.F. (°C)	*1R (cm^{-1})	MASA	RMN (^{1}H, ^{13}C, ^{19}F)
				^{13}C RMN (126 MHz, $CDCl_3$) δ 172.61, 162.33, 154.97, 126.97 (q, *J* = 3.8 W), 124.32 (q, *J* = 271.1 Hz), 123.03 (q, *J* = 32.7 Hz), 115.72, 80.80, 79.89, 72.36, 49.32, 42.55, 28.30, 21.50, 21.17, 18.08, 14.78, 11.31, 10.54
101	- - -	- - -	ESIMS *m/z* 492 ($[M+Na]^+$)	^{1}H RMN (500 MHz, $CDCl_3$) δ 7.60 - 7.53 (m, 2H), 7.47 - 7.40 (m, 2H), 7.37 - 7.33 (m, 1H), 7.31 (t, *J* = 8.2 Hz, 1H), 7.17 - 7.12 (m, 2H), 6.90 (ddd, *J* = 8.4, 2.4, 1.1 Hz, 1H), 5.22 (qd, *J* = 6.4, 4.2 Hz, 1H), 4.89 (d, *J* = 7.9 Hz, 1H), 4.48 (dd, *J* = 6.7, 4.2 Hz, 1H), 4.20 - 4.11 (m, 1H), 1.67 (dqd, *J* = 13.6, 7.5, 4.1 Hz, 1H), 1.63 - 1.52 (m, 1H), 1.54 - 1.47 (m, 1H), 1.48 - 1.37 (m, 2H), 1.42 (s, 9H), 1.36 (d, *J* = 6.5 Hz, 3H), 1.04 (d, *J* = 7.2 Hz, 3H), 0.95 (t, *J* = 7.6 Hz, 3H), 0.92 (t, *J* = 7.5 Hz, 3H) ^{13}C RMN (126 MHz, $CDCl_3$) δ 172.67, 160.37, 154.97, 142.82, 140.96, 129.78, 128.75, 127.43, 127.10, 119.91, 115.19, 114.65, 80.72, 79.74, 72.66, 49.33, 42.69, 28.31, 21.59, 21.32, 18.02, 14.95, 11.49, 10.62

*Comp. No.	P.F. (°C)	*1R (cm^{-1})	MASA	RMN (^{1}H, ^{13}C, ^{19}F)
102	- - -	- - -	ESIMS *m/z* 492 ($[M+Na]^+$)	^{1}H RMN (500 MHz, $CDCl_3$) δ 7.54 - 7.51 (m, 2H), 7.48 (d, *J* = 8.7 Hz, 2H), 7.45 - 7.37 (m, 2H), 7.33 - 7.27 (m, 1H), 7.03 - 6.95 (m, 2H), 5.22 (qd, *J* = 6.5, 4.2 Hz, 1H), 4.92 (d, *J* = 8.0 Hz, 1H), 4.45 (dd, *J* = 6.7, 4.1 Hz, 1H), 4.22 - 4.07 (m, 1H), 1.71 - 1.61 (m, 1H), 1.62 - 1.51 (m, 1H), 1.53 - 1.46 (m, 1H), 1.48 - 1.36 (m, 2H), 1.42 (s, 9H), 1.36 (d, *J* = 6.4 Hz, 3H), 1.08 (d, *J* = 7.2 Hz, 3H), 0.95 (t, *J* = 7.7 Hz, 3H), 0.92 (t, *J* = 7.4 Hz, 3H) ^{13}C RMN (126 MHz, $CDCl_3$) δ 172.67, 159.55, 154.98, 140.73, 134.05, 128.70, 128.17, 126.70, 126.69, 116.30, 80.75, 79.77, 72.65, 49.35, 42.65, 28.31, 21.57, 21.28, 18.09, 14.89, 11.45, 10.60
103	- - -	- - -	ESIMS *m/z* 462 ($[M+Na]^+$)	^{1}H RMN (500 MHz, $CDCl_3$) δ 7.25 - 7.14 (m, 1H), 6.75 - 6.70 (m, 1H), 6.67 - 6.60 (m, 2H), 5.22 (qd, *J* = 6.4, 4.1 Hz, 1H), 4.87 (d, *J* = 9.3 Hz, 1H), 4.32 (dd, *J* = 6.4, 4.1 1 H), 4.14 (dd, *J* = 9.4, 4.4 Hz, 1H), 1.93 - 1.81 (m, 1H), 1.68 - 1.50 (m, 2H), 1.43 (s, 9H), 1.52 - 1.34 (m, 3H), 1.32 (d, *J* = 6.4

*Comp. No.	P.F. (°C)	*1R (cm^{-1})	MASA	RMN (^{1}H, ^{13}C, ^{19}F)
				Hz, 3H), 0.94 - 0.86 (m, 9H), 0.76 (d, *J* = 6.9 Hz, 3H) ^{13}C RMN (126 MHz, $CDCl_3$) δ 171.54, 163.59 (d, *J* = 245.3 Hz), 161.19 (d, *J* = 10.9 Hz), 155.61, 130.22 (d, *J* = 9.8 Hz), 111.71 (d, *J* = 3.2 Hz), 107.79 (d, *J* = 20.9 Hz), 103.73 (d, *J* = 24.4 Hz), 81.47, 79.70, 72.24, 58.63, 42.59, 30.93, 28.30, 21.67, 21.22, 19.19, 17.03, 15.08, 11.42, 10.71
104	- - -	- - -	ESIMS *m/z* 462 ($[M+Na]^+$)	^{1}H RMN (500 MHz, $CDCl_3$) δ 6.99 - 6.90 (m, 2H), 6.90 - 6.81 (m, 2H), 5.21 (qd, *J* = 6.4, 3.9 Hz, 1H), 4.84 (d, *J* = 9.5 Hz, 1H), 4.23 (dd, *J* = 6.5, 4.0 Hz, 1H), 4.13 (dd, *J* = 9.6, 4.5 Hz, 1H), 1.87 - 1.77 (m, 1H), 1.70 - 1.57 (m, 1H), 1.58 - 1.51 (m, 1H), 1 44 (s, 9H), 1.52 - 1.34 (m, 3H), 1.33 (d, *J* = 6.5 Hz, 3H), 0.91 (t, *J* = 7.4 Hz, 3H), 0.90 (t, *J* = 7.5 Hz, 3H), 0.87 (d, *J* = 6.9 Hz, 3H), 0.73 (d, *J* = 6.9 Hz, 3H) ^{13}C RMN (126 MHz, $CDCl_3$) δ 171.46, 157.27 (d, *J* = 239.0 Hz), 156 07, 155.84 (d, *J* = 63.1 Hz), 117.41 (d, *J* = 8.0 Hz), 115.80 (d, *J* = 23.1 Hz), 82.34, 79.73, 72.45, 58.62, 42.64,

*Comp. No.	P.F. (°C)	*1R (cm^{-1})	MASA	RMN (^{1}H, ^{13}C, ^{19}F)
				30.96, 28.31, 21.66, 21.29, 19.16, 17.06, 15.04, 11.44, 10.68
105	- - -	- - -	ESIMS *m/z* 479 ($[M+Na]^{+}$)	^{1}H RMN (500 MHz, $CDCl_3$) δ 7.18 (td, *J* = 8.2, 1.8 Hz, 1H), 6.95 - 6.87 (m, 2H), 6.82 (ddd, *J* = 8.4, 2.5, 0.9 Hz, 1H), 5.21 (qd, *J* = 6.4, 3.9 Hz, 1H), 4.88 (d, *J* = 9.3 Hz, 1H), 4.31 (dd, *J* = 6 S, 3.9 Hz, 1H), 4.13 (dd, *J* = 9.4, 4.4 Hz, 1H), 1.92 - 1.82 (m, 1H), 1.67 - 1.51 (m, 2H), 1.43 (s, 9H), 1.51 - 1.34 (m, 3H), 1.32 (d, *J* = 6.4 Hz, 3H), 0.94 - 0.87 (m, 9H), 0.76 (d, *J* = 6.9 Hz, 3H) ^{13}C RMN (126 MHz, $CDCl_3$) δ 171.56, 160.59, 155.61, 134.83, 130.24, 121.18, 116.61, 114.40, 81.61, 79.69, 72.29, 58.60, 42.60, 30.88, 28.30, 21.64, 21.23, 19.22, 16.99, 15.01, 11.41, 10.68
106	- - -	- - -	ESIMS *m/z* 479 ($[M+Na]^{+}$)	^{1}H RMN (500 MHz, $CDCl_3$) δ 7.21 (d, *J* = 9.0 Hz, 2H), 6.87 (d, *J* = 9.0 Hz, 2H), 5.21 (qd, *J* = 6.4, 4.1 Hz, 1H), 4.86 (d, *J* = 9.3 Hz, 1H), 4.28 (dd, *J* = 6.5, 4.1 Hz, 1H), 4.13 (dd, *J* = 9.4, 4.4 Hz, 1H), 1.87 - 1.80 (m, 1H), 1.68 -

*Comp. No.	P.F. (°C)	*1R (cm^{-1})	MASA	RMN (^{1}H, ^{13}C, ^{19}F)
				1.58 (m, 1H), 1.58 - 1.51 (m, 1H), 1.44 (s, 9H), 1.50 - 1.35 (m, 3H), 1.32 (d, *J* = 6.4 Hz, 3H), 0.94 - 0.84 (m, 9H), 0.74 (d, *J* = 6.9 Hz, 3H) ^{13}C RMN (126 MHz, $CDCl_3$) δ 171.46, 158.54, 155.58, 129.35, 125.76, 117.47, 81.77, 79.75, 72.31, 58.63, 42.59, 30.92, 28.31, 21.65, 21.23, 19.18, 17.07, 15.05, 11.40, 10.70
107	- - -	- - -	ESIMS *m/z* 513 ($[M+Na]^+$)	^{1}H RMN (500 MHz, $CDCl_3$) δ 7.36 (d, *J* = 2.5 Hz, 1H), 7.15 (dd, *J* = 8.9, 2.5 Hz, 1H), 6.89 (d, *J* = 9.0 Hz, 1H), 5.23 (qd, *J* = 6.4, 3.9 Hz, 1H), 4.84 (d, *J* = 9.4 Hz, 1H), 4.36 (dd, *J* = 6.4, 3.8 Hz, 1H), 4.14 (dd, *J* = 9.2, 4.6 Hz, 1H), 1.84 - 1.79 (m, 1H), 1.69 - 1.56 (m, 2H), 1.55 - 1.40 (m, 3H), 1.44 (s, 9H), 1.38 (d, *J* = 6.4 Hz, 3H), 0.91 (t, *J* = 7.4 Hz, 6H), 0.88 (d, *J* = 6.9 Hz, 3H), 0.73 (d, *J* = 6.9 Hz, 3H) ^{13}C RMN (126 MHz, $CDCl_3$) δ 171.39, 155.53, 154.25, 130.16, 127.41, 125.69, 124.53, 115.62, 83.08, 79.76, 72.28, 58.61, 42.51, 30.94, 28.29, 21.48, 21.20, 19.14, 17.04, 14.84, 11.37, 10.60

*Comp. No.	P.F. (°C)	*1R (cm^{-1})	MASA	RMN (^{1}H, ^{13}C, ^{19}F)
108	- - -	- - -	ESIMS *m/z* 480 ($[M+Na]^+$)	^{1}H RMN (500 MHz, $CDCl_3$) δ 7.01 (ddd, *J* = 10.6, 8.9, 5.4 Hz, 1H), 6.73 (ddd, *J* = 9.8, 6.6, 3.0 Hz, 1H), 6.66 - 6.53 (m, 1H), 5.24 (qd, *J* = 6.4, 3.5 Hz, 1H), 4.82 (d, *J* = 9.3 Hz, 1H), 4.27 (dd, *J* = 6.9, 3.5 Hz, 1H), 4.11 (dd, *J* = 9.3, 4.5 Hz, 1H), 84 - 1.71 (m, 1H), 1.71 - 1.57 (m, 2H), 1.54 - 1.37 (m, 3H), 1.43 (s, 9H), 1.37 (d, *J* = 6.5 Hz, 3H), 0.92 (t, *J* = 7.5 Hz, 3H), 0.92 (t, *J* = 7.4 Hz, 3H), 0.87 (d, *J* = 6.8 Hz, 3H), 0.74 (d, *J* = 7.0 Hz, 3H) ^{13}C RMN (126 MHz, $CDCl_3$) δ 171.52, 158.54 (dd, *J* = 242.5, 2.3 Hz), 155.60, 149.61 (dd, *J* = 240.9, 2.9 Hz), 148.39 (dd, *J* = 11.9, 10.4 Hz), 116.61 (dd, *J* = 21.5, 10.1 Hz), 107.34 (dd, *J* = 24.0, 7.1 Hz), 104.98 (d, *J* = 26.0 Hz), 83.87, 79.75, 72.35, 58.58, 42.40, 30.86, 28.29, 21.44, 21.17, 19.18, 16.94, 14.57, 11.28, 10.46
109	- - -	- - -	ESIMS *m/z* 497 ($[M+Na]^+$)	^{1}H RMN (500 MHz, $CDCl_3$) δ 6.74 (td, *J* = 2.1, 1.2 Hz, 1H), 6.68 (dt, *J* = 8.3, 2.0 Hz, 1H), 6.56 (dt, *J* = 10.5, 2.3 Hz, 1H), 5.22 (qd, *J* = 6.4, 3.9 Hz, 1H), 4.91 (d, *J* = 9.3 Hz, 1H), 4.28 (dd, *J* =

*Comp. No.	P.F. (°C)	*1R (cm^{-1})	MASA	RMN (^{1}H, ^{13}C, ^{19}F)
				6.4, 3.8 Hz, 1H), 4.15 (dd, *J* = 9.3, 4.4 Hz, 1H), 2.00 - 1.86 (m, 1H), 1.65 - 1.51 (m, 2H), 1.43 (s, 9H), 1.50 - 1.34 (m, 3H), 1.31 (d, *J* = 6.5 Hz, 3H), 0.94 - 0.87 (m, 9H), 0.79 (d, *J* = 6.9 Hz, 3H) ^{13}C RMN (126 MHz, $CDCl_3$) δ 171.61, 163.33 (d, *J* = 248.1 Hz), 161.34 (d, *J* = 12.3 Hz), 155.63, 135.41 (d, *J* = 13.5 Hz), 112.48 (d, *J* = 3.2 Hz), 108.93 (d, *J* = 25.3 Hz), 102.28 (d, *J* = 24.6 Hz), 82.02, 79.75, 72.08, 58.63, 42.56, 30.92, 28.28, 21.62, 21.19, 19.23, 17.00, 14.96, 11.35, 10.65
110	- - -	- - -	ESIMS *m/z* 479 ($[M+Na]^+$)	^{1}H RMN (500 MHz, $CDCl_3$) δ 7.35 (dd, *J* = 7.9, 1.6 Hz, 1H), 7.17 (dt, *J* = 7.4, 4.6 Hz, 1H), 6.96 (dd, *J* = 8.5, 1.5 Hz, 1H), 6.86 (td, *J* = 7.7, 1.3 Hz, 1H), 5.23 (qd, *J* = 6.4, 3.9 Hz, 1H), 4.82 (d, *J* = 9.3 Hz, 1H), 4.42 (dd, *J* = 6.5, 3.9 Hz, 1H), 4 12 (dd, *J* = 9.6, 4.4 Hz, 1H), 1 85 - 1.73 (m, 1H), 1.73 - 1.57 (m, 2H), 1.55 - 1.35 (m, 3H), 1.43 (s, 9H), 1.40 (d, *J* = 6.5 Hz, 3H), 0.92 (t, *J* = 7.4 Hz, 3H), 0.92 (t, *J* = 7.5 Hz, 3H), 0.85 (d, *J* = 6.8 Hz, 3H), 0.70 (d, *J* =

*Comp. No.	P.F. (°C)	*1R (cm^{-1})	MASA	RMN (^1H, ^{13}C, ^{19}F)
				6.9 Hz, 3H) ^{13}C RMN (126 MHz, $CDCl_3$) δ 171.43, 155.55, 155.40, 130.53, 127.52, 123.73, 121.44, 114.96, 82.43, 79.65, 72.43, 58.63, 42.55, 30.90, 28.31, 21.53, 21.24, 19.16, 17.03, 14.91, 11.45, 10.64
111	- - -	- - -	ESIMS *m/z* 512 ($[M+Na]^+$)	^1H RMN (500 MHz, $CDCl_3$) δ 7.53 (d, *J* = 8.6 Hz, 2H), 7.01 (d, *J* = 8.6 Hz, 2H), 5.24 (qd, *J* = 6.4, 4.0 Hz, 1H), 4.88 (d, *J* = 9.3 Hz, 1H), 4.43 (dd, *J* = 6.4, 4.0 Hz, 1H), 4.13 (dd, *J* = 9.3, 4.5 Hz, 1H), 1.86 - 1.75 (m, 1H), 1.68 - 1.53 (m, 2H), 1.44 (s, 9H), 1.51 - 1.36 (m, 3H), 1.33 (d, *J* = 6.4 Hz, 3H), 0.92 (t, *J* = 7.4 Hz, 3H), 0.91 (t, *J* = 7.3 Hz, 3H), 0.86 (d, *J* = 6.9 Hz, 3H), 0.73 (d, *J* = 6.9 Hz, 3H) ^{13}C RMN (126 MHz, $CDCl_3$) δ 171.55, 162.37, 155.63, 126.99 (q, *J* = 3.8 Hz), 124.39 (q, *J* = 271.1 Hz), 123.11 (q, *J* = 32.8 Hz), 115.96, 81.42, 79.82, 72.23, 58.67, 42.60, 30.89, 28.31, 21.66, 21.23, 19.15, 17.06, 15.01, 11.37, 10.69

*Comp. No.	P.F. (°C)	*1R (cm^{-1})	MASA	RMN (^{1}H, ^{13}C, ^{19}F)
112	- - -	- - -	ESIMS *m/z* 520 ($[M+Na]^{+}$)	^{1}H RMN (500 MHz, $CDCl_3$) δ 7.62 - 7.48 (m, 2H), 7.48 - 7.39 (m, 2H), 7.38 - 7.29 (m, 2H), 7.20 - 7.08 (m, 2H), 6.92 (ddd, *J* = 8.3, 2.5, 1.0 Hz, 1H), 5.25 (qd, *J* = 6.4, 4.2 Hz, 1H), 4.87 (d, *J* = 9.4 Hz, 1H), 4.41 (dd, *J* = 6.3, 4.3 Hz, 1H), 4.13 (dd, *J* = 9.4, 4.4 Hz, 1H), 1.88 - 1.77 (m, 1H), 1.68 (dqd, *J* = 13.6, 7.5, 4.1 Hz, 1H), 1.58 (tdt, *J* = 7.9, 6.0, 3.9 Hz, 1H), 1.52 - 1.38 (m, 3H), 1.42 (s, 9H), 1.36 (d, *J* = 6.5 Hz, 3H), 0.93 (t, *J* = 7.5 Hz, 3H), 0.93 (t, *J* = 7.4 Hz, 3H), 0.83 (d, *J* = 6.8 Hz, 3H), 0.68 (d, *J* = 6.9 Hz, 3H) ^{13}C RMN (126 MHz, $CDCl_3$) δ 171.59, 160.29, 155.61, 142.83, 140.97, 129.74, 128.73, 127.41, 127.11, 119.97, 115.39, 114.76, 81.31, 79.63, 72.43, 58.58, 42.77, 30.82, 28.29, 21.76, 21.34, 19.21, 16.92, 15.28, 11.57, 10.84
113	- - -	- - -	ESIMS *m/z* 520 ($[M+Na]^{+}$)	^{1}H RMN (500 MHz, $CDCl_3$) δ 7.57 - 7.51 (m, 2H), 7.52 - 7.48 (m, 2H), 7.44 7.38 (m, 2H), 7.34 - 7.26 (m, 1H), 7.03 - 6.97 (m, 2H), 5.24 (qd, *J* = 6.4, 4.1 Hz, 1H), 4.87 (d, *J* = 9.3 Hz,

*Comp. No.	P.F. (°C)	*1R (cm^{-1})	MASA	RMN (^{1}H, ^{13}C, ^{19}F)
				1H), 4.39 (dd, *J* = 6.4, 4.1 HZ, 1H), 4.14 9.4, 4.4 Hz, 1H), 1.87 - 1.75 (m, 1H), 1.72 - 1.61 (m, 1H), 1.61 - 1.53 (m, 1H), 1.55 - 1.37 (m, 3H), 1.42 (s, 9H), 1.36 (d, *J* = 6.5 Hz, 3H), 0.94 (t, *J* = 7.4 Hz, 3H), 0.93 (t, *J* = 7.5 Hz, 3H), 0.84 (d, *J* = 6.8 Hz, 3H), 0.72 (d, J: 6.9 Hz, 3H) ^{13}C RMN (126 MHz, $CDCl_3$) δ 171.55, 159.50, 155.61, 140.74, 134.09, 128.69, 128.14, 126.71, 126.67, 116.47, 81.31, 79.68, 72.46, 58.62, 42.64, 30.83, 28.29, 21.70, 21.29, 19.23, 17.05, 15.15, 11.50, 10.76
114	- - -	- - -	ESIMS *m/z* 412 ($[M+H]^+$)	^{1}H RMN (500 MHz, $CDCl_3$) δ 7.17 (td, *J* = 8.3, 6.9 Hz, 1H), 6.73 (dd, *J* = 8.3, 2.4 Hz, 1H), 6.66 (dt, *J* = 11.2, 2.4 Hz, 1H), 6.60 (td, *J* = 8.3, 2.4 Hz, 1H), 5.27 (p, *J* = 6.5 Hz, 1H), 5.01 (d, *J* = 7.6 Hz, 1H), 4.35 (dd, *J* = 7.0, 4.1 Hz, 1H), 4.23 - 4 10 (m, 1H), 1.64 - 1.56 (m, 1H), 1.56 - 1.48 (m, 1H), 1 43 (s, 9H), 1.49 - 1.37 (m, 2H), 1.38 - 1.31 (m, 1H), 1.28 (d, *J* = 6.4 Hz, 3H), 1.03 (d, *J* = 7.2 Hz, 3H), 0.93 (t, *J* = 7.4 Hz, 3H), 0.87 (t, *J* = 7.4 Hz, 3H)

*Comp. No.	P.F. (°C)	*1R (cm^{-1})	MASA	RMN (^1H, ^{13}C, ^{19}F)
				^{13}C RMN (126 MHz, $CDCl_3$) δ 172.88, 163.58 (d, *J* = 245.2 Hz), 161.22 (d, *J* = 10.8 Hz), 155.01, 130.16 (d, *J* = 10.0 Hz), 111.04 (d, *J* = 3.2 Hz), 107.48 (d, *J* = 21.3 Hz), 103.11 (d, *J* = 24.7 Hz), 80.78, 79.69, 72.61, 49.39, 42.62, 28.31, 22.20, 21.06, 18.03, 17.03, 11.77, 11.55
115	- - -	- - -	ESIMS *m/z* 428 ($[M+H]^+$)	^1H RMN (500 MHz, $CDCl_3$) δ 7.19 (d, *J* = 9.0 Hz, 2H), 6.88 (d, *J* = 9.0 Hz, 2H), 5.32 - 5.21 (m, 1H), 5.03 (d, *J* = 8.0 Hz, 1H), 4.32 (dd, *J* = 6.9, 4.1 Hz, 1H), 4.21 - 4.10 (m, 1H), 1.64 - 1.54 (m, 1H), 1.55 - 1.48 (m, 1H), 1.43 (s, 9H), 1.48 - 1.36 (m, 2H), 1.36 - 1.29 (m, 1H), 1.28 (d, *J* = 6.5 Hz, 3H), 1.04 (d, *J* = 7.2 Hz, 3H), 0.92 (t, *J* = 7.5 Hz, 3H), 0.85 (t, *J* = 7.5 Hz, 3H) ^{13}C RMN (126 MHz, $CDCl_3$) δ 172.89, 158.49, 155.00, 129.27, 125.36, 116.70, 80.85, 79.68, 72.62, 49.37, 42.66, 28.30, 22.19, 21.05, 18.11, 17.01, 11.76, 11.54
116	- - -	- - -	ESIMS *m/z* 463 ($[M+H]^+$)	^1H RMN (500 MHz, $CDCl_3$) δ 7.32 (d, *J* = 2.6 Hz, 1H), 7.15 (dd, *J* = 8.9, 2.6

*Comp. No.	P.F. (°C)	*1R (cm^{-1})	MASA	RMN (^{1}H, ^{13}C, ^{19}F)
				Hz, 1H), 7.03 (d, *J* = 8.9 Hz, 1H), 5.28 (p, *J* = 6.6 Hz, 1H), 5.03 (d, *J* = 8.1 Hz, 1H), 4.40 (dd, *J* = 7.5, 2.6 Hz, 1H), 4.23 - 4.09 (m, 1H), 1.71 - 1.57 (m, 1H), 1.57 - 1.48 (m, 2H), 1.50 - 1.38 (m, 2H), 1.43 (s, 9H), 1.30 (d, *J* = 6.4 Hz, 3H), 1.04 (d, *J* = 7.2 Hz, 3H), 0.95 (t, *J* = 7.1 Hz, 3H), 0.85 (t, *J* = 7.4 Hz, 3H) ^{13}C RMN (126 MHz, $CDCl_3$) δ 172.79, 155.01, 154.13, 130.07, 127.38, 125.38, 124.03, 115.09, 82.24, 79.75, 72.75, 49.34, 42.72, 28.30, 22.25, 21.01, 18.04, 16.89, 11.87, 11.70
117	- - -	- - -	ESIMS *m/z* 430 ($[M+H]^+$)	^{1}H RMN (500 MHz, $CDCl_3$) δ 7.06 - 6.88 (m, 1H), 6.84 (ddd, *J* = 10.0, 6.8, 3.0 Hz, 1H), 6.55 (ddt, *J* = 10.7, 8.8, 3.1 Hz, 1H), 5.29 (p, *J* = 6.5 Hz, 1H), 5.07 (d, *J* = 8.0 Hz, 1H), 4.35 (dd, *J* = 7.1, 3.8 Hz, 1H), 4.19 (t, *J* = 7.4 Hz, 1H), 1.67 - 1.58 (m, 1H), 1.58 - 1.51 (m, 1H), 1.52 - 1.38 (m, 2H), 1.43 (s, 9H), 1.41 - 1.33 (m, 1H), 1.31 (d, *J* = 6.5 Hz, 3H), 1.09 (d, *J* = 7.2 Hz, 3H), 0.94 (t, *J* = 7.4 Hz, 3H), 0.88 (t, *J* = 7.4 Hz, 3H)

*Comp. No.	P.F. (°C)	*1R (cm^{-1})	MASA	RMN (^{1}H, ^{13}C, ^{19}F)
				^{13}C RMN (126 MHz, $CDCl_3$) δ 172.86, 158.59 (dd, *J* = 242.0, 2.4 Hz), 155.05, 149.11 (dd, *J* = 241.3, 3.2 Hz), 148.39 (dd, *J* = 12.1, 10.4 Hz), 116.52 (dd, *J* = 21.2, 10.3 Hz), 106.81 (dd, *J* = 23.8, 6.9 Hz), 103.95 (dd, *J* = 27.3, 1.7 Hz), 82.71, 79.73, 72.63, 49.41, 42.64, 28.30, 22.16, 20.97, 18.00, 16.89, 11.71, 11.56
118	- - -	- - -	ESIMS *m/z* 446 ($[M+H]^+$)	^{1}H RMN (500 MHz, $CDCl_3$) δ 6.76 (d, *J* = 2.5 Hz, 1H), 6.65 (dt, *J* = 8.4, 2.0 Hz, 1H), 6.59 (dt, *J* = 10.7, 2.3 Hz, 1H), 5.26 (p, *J* = 6.6 Hz, 1H), 5.05 (d, *J* = 8.0 Hz, 1H), 4.32 (dd, *J* = 7.0, 3.9 Hz, 1H), 4.21 4.12 (m, 1H), 1.63 - 1.49 (m, 2H), 1 43 (s, 9H), 1.41 (s, 2H), 1.38 - 1.30 (m, 1H), 1.29 (d, *J* = 6.5 Hz, 3H), 1.07 (d, *J* = 7.2 Hz, 3H), 0.93 (t, *J* = 7.4 Hz, 3H), 0.88 (t, *J* = 7.4 Hz, 3H) ^{13}C RMN (126 MHz, $CDCl_3$) δ 172.85, 163.32 (d, *J* = 247.9 Hz), 161.42 (d, *J* = 12.5 Hz), 155.02, 135.36 (d, *J* = 13.6 Hz), 112.04 (d, *J* = 3.2 Hz), 108.64 (d, *J* = 25.2 Hz), 101.71 (d, *J* = 24.9 Hz), 81.46, 79.73, 72.45, 49.39,

*Comp. No.	P.F. (°C)	*1R (cm^{-1})	MASA	RMN (^{1}H, ^{13}C, ^{19}F)
				42.54, 28.30, 22.23, 21.00, 17.97, 16.99, 11.75, 11.55
119	- - -	- - -	ESIMS *m/z* 454 ($[M+H]^+$)	^{1}H RMN (500 MHz, $CDCl_3$) δ 7.23 - 7.13 (m, 1H), 6.72 (dd, *J* = 8.3, 2.4 Hz, 1H), 6.66 (dt, *J* = 11.2, 2.4 Hz, 1H), 6.60 (td, *J* = 8.3, 2.3 Hz, 1H), 5.27 - 5.18 (m, 1H), 4.81 (d, *J* = 9.0 Hz, 1H), 4.38 (dd, *J* = 7.7, 3.2 Hz, 1H), 4.15 (td, *J* = 9.9, 4.4 Hz, 1H), 1.67 - 1.45 (m, 3H), 1.42 (s, 9H), 1.46 - 1.37 (m, 2H), 1.37 - 1.23 (m, 1H), 1.29 (d, *J* = 6.4 Hz, 3H), 1.20 - 1.12 (m, 1H), 1.11 - 1.02 (m, 1H), 0.94 (t, *J* = 7.4 Hz, 3H), 0.87 (t, *J* = 7.3 Hz, 3H), 0.75 (d, *J* = 6.6 Hz, 3H), 0.70 (d, *J* = 6.7 Hz, ^{13}C RMN (126 MHz, $CDCl_3$) δ 173.23, 163.59 (d, *J* = 245.0 Hz), 161.29 (d, *J* = 10.9 Hz), 155.44, 130.16 (d, *J* = 10.4 Hz), 111.02 (d, *J* = 2.7 Hz), 107.42 (d, *J* = 21.3 Hz), 103.06 (d, *J* = 24.7 Hz), 80.66, 79.64, 72.70, 52.20, 42.80, 41.14, 28.29, 24.43, 22.90, 22.39, 21.12, 21.03, 17.08, 11.92, 11.71

*Comp. No.	P.F. (°C)	*1R (cm^{-1})	MASA	RMN (^{1}H, ^{13}C, ^{19}F)
120	- - -	- - -	ESIMS *m/z* 493 ($[M+Na]^+$)	^{1}H RMN (500 MHz, $CDCl_3$) δ 7.18 (d, *J* = 9.0 Hz, 2H), 6.88 (d, *J* = 9.0 Hz, 2H), 5.24 (p, *J* = 6.5 Hz, 1H), 4.82 (d, *J* = 9.1 Hz, 1H), 4.36 (dd, *J* = 7 6, 3.1 Hz, 1H), 4.13 (td, *J* = 9.7, 4.2 Hz, 1H), 1.65 - 1.34 (m, 4H), 1.42 (s, 9H), 1.28 (d, *J* = 6.4 Hz, 3H), 1.35 - 1.22 (m, 2H), 1.15 (ddd, *J* = 14 8, 10 4, 4.6 Hz, 1H), 1.03 (ddd, *J* = 13.5, 9.2, 4.1 Hz, 1H), 0.93 (t, *J* = 7.4 Hz, 3H), 0.86 (t, *J* = 7.2 Hz, 3H), 0.75 (d, *J* = 6.6 Hz, 3H), 0.72 (d, *J* = 6.7 Hz, 3H) ^{13}C RMN (126 MHz, $CDCl_3$) δ 173.20, 158.50, 155.42, 129.28, 125.25, 116.57, 80.54, 79 63, 72.79, 52.19, 42.78, 41.05, 28.29, 24.45, 22.88, 22.37, 21.09, 21.00, 17.06, 11.91, 11.71
121	- - -	- - -	ESIMS *m/z* 527 ($[M+H]^+$)	^{1}H RMN (500 MHz, $CDCl_3$) δ 7.32 (d, *J* = 2.6 Hz, 1H), 7.15 (dd, *J* = 8.9, 2.5 Hz, 1H), 7.03 (d, *J* = 8.9 Hz, 1H), 5.31 - 5.19 (m, 1H), 4.82 (d, *J* = 9.0 Hz, 1H), 4.43 (dd, *J* = 8.1, 2.2 Hz, 1H), 4.12 (td, *J* = 9 6, 4.3 Hz, 1H), 1.69 - 1.57 (m, 1H), 1.57 - 1.45 (m, 3H), 1.42 (s, 9H), 1.31 (d, *J* = 6.4 Hz, 3H),

*Comp. No.	P.F. (°C)	*1R (cm^{-1})	MASA	RMN (^{1}H, ^{13}C, ^{19}F)
				1.35 - 1.23 (m, 1H), 1.20 (ddd, *J* = 14.7, 10.2, 4.8 Hz, 1H), 1.03 (ddd, *J* = 13.8, 9.4, 4.3 Hz, 1H), 0.96 (t, *J* = 7.1 Hz, 4H), 0.85 (t, *J* = 7.2 Hz, 3H), 0.73 (d, *J* = 6.5 Hz, 3H), 0.71 (d, *J* = 6.8 Hz, 3H) ^{13}C RMN (126 MHz, $CDCl_3$) δ 173.12, 155.43, 154.16, 130.06, 127.39, 125.25, 123.93, 114.86, 81.94, 79.71, 72.83, 52.17, 42.83, 41.03, 28.28, 24.43, 22.86, 22.38, 21.17, 20.97, 16.99, 11.97, 11.81
122	- - -	- - -	ESIMS *m/z* 472 ($[M+H]^+$)	^{1}H RMN (500 MHz, $CDCl_3$) δ 6.97 (ddd, *J* = 10 6, 9.0, 5.4 Hz, 1H), 6.85 (ddd, *J* = 10.0, 6.7, 3.0 Hz, 1H), 6.55 (ddd, *J* = 11.4, 7.0, 2.9 Hz, 1H), 5.31 - 5.20 (m, 1H), 4.85 (d, *J* = 8.9 Hz, 1H), 4.37 (dd, *J* = 7.8, 2.8 Hz, 1H), 4.18 (td, *J* = 9.6, 4.3 Hz, 1H), 1.67 - 1.59 (m, 1H), 1.59 - 1.53 (m, 1H), 1.53 - 1.39 (m, 3H), 1.43 (s, 9H), 1.38 - 1.28 (m, 1H), 1.31 (d, *J* = 6.4 Hz, 3H), 1.28 - 1.20 (m, 1H), 1.13 (ddd, *J* = 13.8, 9.4, 4.3 Hz, 1H), 0.95 (t, *J* = 7.3 Hz, 3H), 0.87 (t, *J* = 7.3 Hz, 3H), 0.77 (d, *J* = 6.6 Hz, 3H), 0.72 (d, *J* = 6.7 Hz, 3H)

*Comp. No.	P.F. (°C)	*1R (cm^{-1})	MASA	RMN (^1H, ^{13}C, ^{19}F)
				^{13}C RMN (126 MHz, $CDCl_3$) δ 173.17, 158.57 (dd, *J* = 242.0, 2.4 Hz), 155.47, 149.01 (dd, *J* = 241.3, 3.2 Hz), 148.49 (dd, *J* = 12.1, 10.4 Hz), 116.46 (dd, *J* = 20.9, 10.2 Hz), 106.62 (dd, *J* = 23.8, 6.8 Hz), 103.78 (dd, 27.3, 1.7 Hz), 82.55, 79.70, 72.72, 52.23, 42.80, 41.19, 28.29, 24.46, 22.94, 22.30, 21.16, 20.93, 16 97, 11.83, 11.70
123	- - -	- - -	ESIMS *m/z* 489 ($[M+H]^+$)	^1H RMN (500 MHz, $CDCl_3$) δ 6.75 (d, *J* = 2.2 Hz, 1H), 6.65 (dt, *J* = 8.3, 2.0 Hz, 1H), 6.58 (dt, *J* = 10.8, 2.3 Hz, 1H), 5.33 5.13 (m, 1H), 4.82 (d, *J* = 8.9 Hz, 1H), 4.35 (dd, *J* = 7.9, 2.9 Hz, 1H), 4.15 (td, *J* = 10.1, 3.9 Hz, 1H), 1.64 - 1.50 (m, 2H), 1.53 - 1.33 (m, 3H), 1.43 (s, 9H), 1.29 (d, *J* = 6.3 Hz, 3H), 1.34 - 1.22 (m, 1H), 1.18 (ddd, *J* = 14.9, 10.5, 4.6 Hz, 1H), 1.03 (ddd, *J* = 13.9, 9.5, 4.3 Hz, 1H), 0.94 (t, *J* = 7.4 Hz, 3H), 0.88 (t, *J* = 7.3 Hz, 3H), 0.77 (d, *J* = 6.6 Hz, 3H), 0.73 (d, *J* = 6.7 Hz, 3H) ^{13}C RMN (126 MHz, $CDCl_3$) δ 173.21, 163.33 (d, *J* = 247.8 Hz), 161.50 (d, *J*

*Comp. No.	P.F. (°C)	*1R (cm^{-1})	MASA	RMN (^{1}H, ^{13}C, ^{19}F)
				= 12.4 Hz), 155.46, 135.37 (d, *J* = 13.6 Hz), 111.96 (d, *J* = 3.2 Hz), 108.57 (d, *J* = 25.1 Hz), 101.62 (d, *J* = 25.0 Hz), 81.31, 79.70, 72.59, 52.18, 42.72, 41.16, 28.29, 24.39, 22.93, 22.44, 21.09, 20.96, 17.06, 11.92, 11.75
124	- - -	- - -	ESIMS *m/z* 416.5 ($[M+H]^{+}$)	^{1}H RMN (400 MHz, $CDCl_3$) δ 8.39 - 8.22 (m, 1H), 7.87 - 7.72 (m, 1H), 7.53 - 7.44 (m, 2H), 7.44 - 7.37 (m, 1H), 7.37 - 7.28 (m, 1H), 6.87 (dt, *J* = 7.5, 0.9 Hz, 1H), 5.38 - 5.19 (m, 1H), 4.86 (s, 1H), 4.51 6.5, 4.4, 0.7 Hz, 1H), 4.22 - 3.99 (m, 1H), 2.12 (dq, *J* = 13.5, 6.8 Hz, 1H), 1.42 (s, 9H), 1.41 - 1.36 (m, 3H), 1.09 (d, *J* = 6.7 Hz, 3H), 1.05 (d, *J* = 6.8 Hz, 3H), 1.03 (d, *J* = 7.3 Hz, 3H) ^{13}C RMN (126 MHz, $CDCl_3$) δ 172.62, 155.45, 134.77, 127.51, 126.38, 126.07, 125.66, 125.18, 122.18, 120.28, 106.10, 99.98, 83 48, 72.36, 49.32, 30.48, 28.30, 19.34, 18.32, 18.12, 15.02
125	- - -	- - -	ESIMS *m/z* 416.6	^{1}H RMN (400 MHz, $CDCl_3$) δ 7.79

*Comp. No.	P.F. (°C)	*1R (cm^{-1})	MASA	RMN (^{1}H, ^{13}C, ^{19}F)
			($[M+H]^+$)	7.71 (m, 2H), 7.67 (dd, *J* = 8.2, 1.1 Hz, 1H), 7.42 (ddd, *J* = 8.2, 6 9, 1.3 Hz, 1H), 7.32 (ddd, *J* = 8.1, 6 8, 1.3 Hz, 1H), 7.23 - 7.14 (m, 2H), 5.24 (qd, *J* = 6 5, 4.3 Hz, 1H), 4.95 - 4.84 (m, 1H), 4.43 - 4.32 (m, 1H), 4.21 - 4.05 (m, 1H), 2.02 (h, *J* = 6.8 Hz, 1H), 1.41 (s, 9H), 1.37 (d, *J* = 6.5 Hz, 3H), 1.09 - 1.00 (m, 9H) ^{13}C RMN (126 MHz, $CDCl_3$) δ 172.68, 157.86, 134.43, 129.52, 129.04, 127.58, 126.64, 126.38, 123.70, 119.41, 109.07, 83.81, 72.42, 49.33, 30.42, 28.29, 19.33, 18.46, 18.08, 14.84
126	- - -	- - -	ESIMS *m/z* 444.6 ($[M+H]^+$)	^{1}H RMN (400 MHz, $CDCl_3$) δ 8.35 - 8.24 (m, 1H), 7.88 - 7.74 (m, 1H), 7.54 - 7.44 (m, 2H), 7.41 (d, *J* = 8.2 Hz, 1H), 7.34 (t, *J* = 7.9 Hz, 1H), 6.89 (d, *J* = 7.6 Hz, 1H), 5.37 - 5.20 (m, 1H), 4.80 (d, *J* = 9.5 Hz, 1H), 4.52 - 4.38 (m, 1H), 4.08 (dd, *J* = 9.3, 4 5 Hz, 1H), 2.22 - 2.08 (m, 1H), 1.76 (dd, *J* =12.1, 6.5 Hz, 1H), 1 43 (s, 9H), 1 40 (d, *J* = 6.4 Hz, 3H), 1.11 (d, *J* = 6.8 Hz, 3H), 1.05 (d, *J* = 6.8 Hz, 3H), 0.79

*Comp. No.	P.F. (°C)	*1R (cm^{-1})	MASA	RMN (^{1}H, ^{13}C, ^{19}F)
				(d, *J* = 6.8 Hz, 3H), 0 67 (d, *J* = 6.9 Hz, 3H) ^{13}C RMN (101 MHz, $CDCl_3$) δ 171.60, 171.01, 155.42, 134.80, 127.50, 126.41, 126.14, 125.62, 125.23, 122.20, 120.42, 106.31, 83.89, 72.24, 57.00, 30.69, 30.56, 30.34, 28.29, 19.50, 19.27, 19.15, 18 03, 17.89, 16.96, 15.49
127	- - -	- - -	ESIMS *m/z* 444.6 ($[M+H]^+$)	^{1}H RMN (400 MHz, $CDCl_3$) δ 7.79 - 7.72 (m, 2H), 7.68 (d, *J* = 8.3 Hz, 1H), 7.42 8.2, 6.8, 1.3 Hz, 1H), 7.32 (ddd, *J* = 8.1, 6 9, 1.2 Hz, 1H), 7.22 (d, *J* = 2.5 Hz, 1H), 7.18 (dd, 8 9, 2.5 Hz, 1H), 5.28 - 5.17 (m, 1H), 4.86 (d, *J* = 9.2 Hz, 1H), 4.31 (dd, *J* = 6.6, 4.4 Hz, 1H), 4.10 (dd, *J* = 9.1, 4.3 Hz, 1H), 2.04 (h, *J* = 6.8 Hz, 1H), 1.73 (q, *J* = 6.2 Hz, 1H), 1.41 (s, 9H), 1.37 (d, *J* = 6.4 Hz, 3H), 1.08 (d, *J* = 6.7 Hz, 3H), 1.04 (d, *J* = 6.8 Hz, 3H), 0.75 (d, *J* = 6.8 Hz, 3H), 0 64 (d, *J* = 6.9 Hz, 3H) ^{13}C RMN (101 MHz, $CDCl_3$) δ 171.63, 157.88, 155.65, 134.47, 129.50, 129.12, 127.58, 126.69, 126.36, 123.76, 119.55, 109.55, 84.53, 79.68,

*Comp. No.	P.F. (°C)	*1R (cm^{-1})	MASA	RMN (^{1}H, ^{13}C, ^{19}F)
				72.23, 58.58, 30.72, 30.31, 28.29, 19.48, 19.11, 18.32, 16.85, 15.16
128	- - -	- - -	ESIMS *m/z* 360.5 ($[M+H]^+$)	^{1}H RMN (400 MHz, $CDCl_3$) δ 5.14 (qd, *J* = 6.5, 4.3 Hz, 1H), 5.09 - 4.98 (m, 1H), 4.94 - 4.84 (m, 1H), 4.34 - 4.17 (m, 1H), 2.69 - 2.53 (m, 1H), 1.93 - 1.77 (m, 1H), 1.44 (s, 9H), 1.34 (d, *J* = 7.2 Hz, 3H), 1.25 - 1.15 (m, 9H), 0.95 (d, *J* = 6.8 Hz, 3H), 0.89 (d, *J* = 6.7 Hz, 3H) ^{13}C RMN (126 MHz, $CDCl_3$) δ 176.42, 172.48, 70.82, 49.33, 34.31, 29.05, 28.33, 19.13, 19.10, 18.98, 18.83, 18.79, 18.49, 18.07, 14.31
129	5862	- - -	ESIMS *m/z* 378.6 ($[M+H]^+$)	^{1}H RMN (500 MHz, $CDCl_3$) δ 7.33 - 7.15 (m, 2H), 6.93 (dd, *J* = 10.2, 7.7 Hz, 3H), 5.78 (ddd, *J* = 16 9, 10.2, 8.7 Hz, 1H), 5.19 - 5.04 (m, 3H), 4.93 - 4.78 (m, 1H), 4.31 (dd, *J* = 8.1, 3.3 Hz, 1H), 4.12 (t, *J* = 7.7 Hz, 1H), 2.51 (q, *J* = 7.5 Hz, 1H), 1.42 (s, 9H), 1.33 (d, *J* = 6.5 Hz, 3H), 1.14 (d, *J* = 6.7 Hz, 3H), 1.02 (d, *J* = 7.2 Hz, 3H) ^{13}C RMN (126 MHz, $CDCl_3$) δ 172.51, 159.96, 139.50, 129.47, 121.26,

*Comp. No.	P.F. (°C)	*1R (cm^{-1})	MASA	RMN (^{1}H, ^{13}C, ^{19}F)
				116.47, 116.18, 115.83, 82.61, 79.77, 73.05, 49.31, 40.99, 28.32, 18.05, 17.04, 13.89
130	- - -	- - -	ESIMS *m/z* 438.4 ($[M+H]^+$)	^{1}H RMN (400 MHz, $CDCl_3$) δ 7.31 - 7.21 (m, 2H), 7.07 - 7.01 (m, 2H), 6.99 - 6.91 (m, 1H), 5.22 - 5.12 (m, 1H), 4.89 4.77 (m, 1H), 4.42 (dd, *J* = 6 0, 3.4 Hz, 1H), 3.56 - 3.43 (m, 2H), 3.40 - 3.32 (m, 1H), 1.71 - 1.47 (m, 4H), 1.42 (s, 9H), 1.34 (d, *J* = 6.5 Hz, 3H), 1.32 (s, 6H), 0.98 (t, *J* = 7.4 Hz, 3H), 0.86 (t, *J* = 74 Hz, 3H)
131	- - -	2981, 2940, 1739, 1696, 1642, 1455, 1366, 1314, 1268, 1243, 1156, 1121, 1063, 1006, 915, 848, 813, 779, 736, 698	ESIMS *m/z* 500.5 ($[M+Na]^+$)	^{1}H RMN (400 MHz, $CDCl_3$) δ 7.39 - 7.22 (m, 5H), 5.90 - 5.75 (m, 1H), 5.17 - 4.90 (m, 4H), 4.68 (d, *J* = 11.5 Hz, 1H), 4.53 (d, *J* = 11.4 Hz, 1H), 3.58 (ddd, *J* = 7.5, 5.3, 3.3 Hz, 1H), 2.39 - 2.18 (m, 2H), 1.51 (d, *J* = 6.9 Hz, 3H), 1.48 (s, 18H), 1.27 (d, *J* = 6.5 Hz, 3H)
132	- - -	2980, 2936, 1739, 1696, 1455, 1366,	HRMS - ESI (*m/z*) ($[M+Na]^+$) calculada para	^{1}H RMN (400 MHz, $CDCl_3$) δ 7.41 - 7.20 (m, 5H), 5.07 (qd, *J* = 6.5, 2.6 Hz, 1H), 4.97 (q, *J* = 6.9 Hz, 1H), 4.73

*Comp. No.	P.F. (°C)	*1R (cm^{-1})	MASA	RMN (^{1}H, ^{13}C, ^{19}F)
		1313, 1267, 1242, 1221, 1155, 1063, 1028, 1008, 856, 812 779, 736, 698	$C_{26}H_{41}NNaO_8$, 518.2724; encontrada, 518.2718	(d, *J* = 11.3 Hz, 1H), 4.46 (d, *J* = 11.3 Hz, 1H), 3.69 (ddd, *J* = 8.7, 4.3, 2.6 Hz, 1H), 3.52 - 3.39 (m, 2H), 3.28 (s, 3H), 1.80 - 1.65 (m, 2H), 1.52 (d, *J* = 6.9 Hz, 3H), 1.48 (s, 18H), 1.25 (d, *J* = 6.5 Hz, 3H)
133	- - -	- - -	ESIMS *m/z* 464.2 ($[M+H]^+$)	^{1}H RMN (400 MHz, $CDCl_3$) δ 7.35 (d, *J* = 2.5 Hz, 1H), 7.13 (dd, *J* = 8.9, 2.5 Hz, 1H), 7.06 (d, *J* = 8.9 Hz, 1H), 5.12 (qd, *J* = 6.6, 3.0 Hz, 1H), 4.88 (s, 1H), 4.39 (dd, *J* = 7.4, 3.0 Hz, 1H), 4.27 - 4.14 (m, 1H), 3.39 (s, 3H), 3.30 (td, *J* = 7.3, 4.0 Hz, 1H), 1.78 - 1.64 (m, 1H), 1.56 - 1.44 (m, 1H), 1.42 (s, 9H), 1.42 (d, *J* = 6.4 Hz, 3H), 1.09 - 0.98 m, 6H)
134	- - -	3361, 2979, 1711, 1643, 1597, 1492, 1453, 1366, 1298, 1239, 1162, 1057, 1001, 981 918, 857,	HRMS - ESI (*m/z*) ($[M+Na]^+$) calculada para $C_{20}H_{29}NNaO_5$, 386.1938; encontrada, 386.1936	^{1}H RMN (400 MHz, $CDCl_3$) δ 7.37 - 7.16 (m, 2H), 7.02 - 6.81 (m, 3H), 5.86 - 17.1, 10.2, 7.0 Hz, 1H), 5.26 - 4.92 (m, 4H), 4.39 (ddd, *J* = 7.0, 5.3, 3.9 Hz, 1H), 4.23 (q, *J* = 7.4 Hz, 1H), 2.56 2.31 (m, 2H), 1.43 (s, 9H), 1.35 (d, *J* = 6.5 Hz, 3H), 1.23 (d, *J* = 7.2 Hz, 3H)

*Comp. No.	P.F. (°C)	*1R (cm^{-1})	MASA	RMN (^{1}H, ^{13}C, ^{19}F)
		783, 752, 691		
135	- - -	3357, 2961, 2874, 1712, 1597, 1492, 1454, 1366, 1298, 1239, 1163, 1115, 1093, 1054, 1027, 971 877, 857 752, 691	HRMS - ESI (*m/z*) ($[M+Na]^+$) calculada para $C_{20}H_{31}NNaO_5$, 388.2094; encontrada, 388.2100	^{1}H RMN (400 MHz, $CDCl_3$) δ 7.37 - 7.16 (m, 2H), 7.02 - 6.81 (m, 3H), 5.10 (qd, *J* = 6.5, 3.4 Hz, 1H), 4.97 (d, *J* = 8.0 Hz, 1H), 4.36 (dt, *J* = 7.8, 3.7 Hz, 1H), 4.22 (t, *J* = 7.6 Hz, 1H), 1.76 - 1.45 (m, 4H), 1.43 (s, 9H), 1.33 (d, *J* = 6.5 Hz, 3H), 1.19 (d, *J* = 7.2 Hz, 3H), 0.94 (t, *J* = 7.1 Hz, 3H)
136	- - -	3357, 2980, 1705, 1643, 1585, 1477, 1454, 1366, 1286, 1247, 1209, 1161, 1103, 1058, 981, 919 867, 804 737, 655	HRMS - ESI (*m/z*) ($[M+Na]^+$) calculada para $C_{20}H_{27}Cl_2NNaO_5$, 454.1158; encontrada, 454.1166	^{1}H RMN (400 MHz, $CDCl_3$) δ 7.35 (d, *J* = 2.6 Hz, 1H), 7.21 - 7.09 (m, 1H), 6.88 (d, *J* = 8.8 Hz, 1H), 5.84 (ddt, *J* = 17.2, 10.2, 7.1 Hz, 1H), 5.24 - 4.94 (m, 4H), 4.42 (ddd, *J* = 7.3, 5.4, 3.5 Hz, 1H), 4.26 (h, *J* = 7.6, 7.1 Hz, 1H), 2.59 - 2.48 (m, 1H), 2.43 (dddt, *J* = 14.4, 7.7, 5.4, 1.2 Hz, 1H), 1.43 (s, 9H), 1.39 (d, *J* = 6.5 Hz, 3H), 1.24 (d, *J* = 7.2 Hz, 3H)
137	- - -	- - -	ESIMS *m/z* 332.5 ($[M+H]^+$)	^{1}H RMN (400 MHz, $CDCl_3$) δ 5.07 (qd, *J* = 6.4, 3.9 Hz, 2H), 4.43 – 4.22 (m, 1H), 3.61 (dt, *J* = 8.8, 6.6 Hz, 1H),

*Comp. No.	P.F. (°C)	*1R (cm^{-1})	MASA	RMN (^{1}H, ^{13}C, ^{19}F)
				3.40 (dt, *J* = 8.8, 6.6 Hz, 1H), 3.00 (dd, *J* = 6.8, 3.9 Hz, 1H), 1.70 (dq, *J* = 13.5, 6.8 Hz, 1H), 1.65 – 1.53 (m, 2H), 1.45 (s, 9H), 1.38 (d, *J* = 7.2 Hz, 3H), 1.25 (d, *J* = 6.5 Hz, 3H), 1.00 – 0.90 (m, 9H) ^{13}C RMN (101 MHz, $CDCl_3$) δ 86.24, 74.81, 73.27, 30.41, 28.33, 23.54, 19.68, 18.71, 18.37, 14.64, 10.80, 10.76
138	- - -	- - -	ESIMS *m/z* 454 ($[M+Na]^+$)	- - -
139	- - -	- - -	ESIMS *m/z* 454 ($[M+H]^+$)	^{1}H RMN (400 MHz, $CDCl_3$) δ 7.59 - 7.54 (m, 3H), 7.51 (dd, *J* = 7.6, 1.2 Hz, 1H), 7.47 - 7.29 (m, 6H), 5.15 (p, *J* = 6.4 Hz, 1H), 4.96 (d, *J* = 7.2 Hz, 1H), 4.39 (d, *J* = 6.3 Hz, 1H), 4.26 - 4.13 (m, 1H), 3.28 - 3.20 (m, 2H), 1.42 (s, 9H), 1.36 (d, *J* = 6.3 Hz, 3H), 1.09 - 0.99 (m, 4H), 0.56 - 0.44 (m, 2H), 0.20 - 0.08 (m, 2H) ^{13}C RMN (126 MHz, $CDCl_3$) δ 172.56, 154.96, 141.18, 140.86, 139.40, 128.81, 128.71, 127.41, 127.09, 126.76, 126.51, 126.33, 83.14, 79.68,

*Comp. No.	P.F. (°C)	*1R (cm^{-1})	MASA	RMN (^{1}H, ^{13}C, ^{19}F)
				74.08, 73.85, 49.18, 30.94, 28.31, 16.04, 10.62, 3.24, 2.75
140	- - -	- - -	ESIMS *m/z* 332.5 ($[M+H]^+$)	^{1}H RMN (300 MHz, $CDCl_3$) δ 5.19 - 4.95 (m, 2H), 4.42 - 4.20 (m, 1H), 3.67 - 3.50 (m, 1H), 3.51 - 3.38 (m, 1H), 2.99 - 2.84 (m, 1H), 1.82 (dq, *J* = 13.4, 6.7 Hz, 1H), 1.65 - 1.53 (m, 2H), 1.44 (s, 9H), 1.38 (d, *J* = 7.2 Hz, 3H), 1.25 (d, *J* = 6.5 Hz, 3H), 1.00 - 0.88 (m, 9H) ^{13}C RMN (126 MHz, $CDCl_3$) δ 172.95, 155.01, 86.07, 79.69, 74.79, 73.09, 49.43, 29.66, 28.34, 23.47, 19.80, 19.73, 18.80, 17.87, 16.41, 10.68, 10.65
141	- - -	- - -	ESIMS *m/z* 394.6 ($[M+H]^+$)	^{1}H RMN (300 MHz, $CDCl_3$) δ 8.14 - 7.98 (m, 2H), 7.65 - 7.52 (m, 1H), 7.52 7.40 (m, 2H), 5.29 (q, *J* = 6.2 Hz, 1H), 5.09 (t, *J* = 5.8 Hz, 1H), 5.01 (d, *J* = 16.7 Hz, 1H), 4.37 - 4.19 (m, 1H), 2.05 (dq, *J* = 13.5, 6.8 Hz, 1H), 1.43 (s, 9H), 1.28 (d, *J* = 6.4 Hz, 3H), 1.20 (d, *J* = 7.2 Hz, 3H), 0.99 (d, *J* = 3.5 Hz, 3H), 0.97 (d, *J* = 3.5 Hz, 3H) ^{13}C RMN (126 MHz, $CDCl_3$) δ 172.78,

*Comp. No.	P.F. (°C)	*1R (cm^{-1})	MASA	RMN (^{1}H, ^{13}C, ^{19}F)
				166.20, 154.99, 133.13, 129.91, 129.74, 129.63, 128.46, 79.75, 79 41, 70.90, 49.33, 29.02, 28.31, 19.32, 18.58, 16.83
142	- - -	- - -	ESIMS *m/z* 400.5 ($[M+H]^+$)	^{1}H RMN (300 MHz, $CDCl_3$) δ 7.16 (t, *J* = 8.1 Hz, 1H), 6.96 (t, 2.2 Hz, 1H), 6.92 - 6.77 (m, 2H), 5.26 - 5.13 (m, 1H), 4.96 (s, 1H), 4.31 - 4.14 (m, 1H), 4.11 (dd, *J* = 6.3, 5.1 Hz, 1H), 2.12 - 1.92 (m, 1H), 1.43 (s, 9H), 1.28 (d, *J* = 6.5 Hz, 3H), 1.08 (d, *J* = 7.2 Hz, 3H), 1.00 (d, *J* = 6.8 Hz, 3H), 0.97 (d, *J* = 6.8 Hz, 3H) ^{13}C RMN (126 MHz, $CDCl_3$) δ 172.84, 160.73, 155.01, 134.80, 130.22, 129.42, 120.94, 116.09, 115.53, 113.80, 84.00, 79.77, 72.40, 49.37, 29.70, 28.32, 19.78, 18.17, 16.90, 16.71
143	- - -	- - -	ESIMS *m/z* 434.6 ($[M+H]^+$)	^{1}H RMN (300 MHz, $CDCl_3$) δ 7.36 (t, *J* = 7.9 Hz, 1H), 7.23 - 7.06 (m, 3H), 5.22 (p, *J* = 6.5 Hz, 1H), 4.96 (d, *J* = Hz, 1H), 4.19 (dd, *J* = 6 5, 4.9 Hz, 2H), 2.03 (ddt, *J* = 13 6, 11.8, 6.8 Hz, 1H), 1.43 (s, 9H), 1.30 (d, *J* = 6.5 Hz,

*Comp. No.	P.F. (°C)	*1R (cm^{-1})	MASA	RMN (^{1}H, ^{13}C, ^{19}F)
				3H), 1.03 (d, *J* = 3.0 Hz, 3H), 1.01 (d, *J* = 2.5 Hz, 3H), 0.98 (d, *J* = 6.8 Hz, 3H) ^{13}C RMN (126 MHz, $CDCl_3$) δ 172.85, 160.10, 155.01, 131.88 (q, *J* = 32.2 Hz), 130.01, 123.90 (q, *J* = 272.3 Hz), 118.65, 117.40 (q, *J* = 3.6 Hz), 112.53, 83.99, 79.79, 72.48, 53.43, 49.35, 29.69, 28.30, 19.81, 18.03, 16 78, 16.69
144	- - -	- - -	ESIMS *m/z* 416.6 ($[M+H]^+$)	^{1}H RMN (300 MHz, $CDCl_3$) δ 8.39 8.18 (m, 1H), 7.85 - 7.71 (m, 1H), 7.55 - 7.42 (m, 2H), 7.42 - 7.31 (m, 2H), 6.94 (d, *J* = 6.4 Hz, 1H), 5.37 (p, *J* = 6.5 Hz, 1H), 4.88 (d, *J* = 7.1 Hz, 1H), 4.48 - 4.33 (m, 1H), 4.27 - 4.02 (m, 1H), 2.25 - 2.07 (m, 1H), 1.41 (s, 9H), 1.32 (d, *J* = 6.5 Hz, 3H), 1.11 (d, *J* = 6.8 Hz, 3H), 1.03 (d, *J* = 6.8 Hz, 3H), 0.83 (d, *J* = 7.2 Hz, 3H) ^{13}C RMN (126 MHz, $CDCl_3$) δ 172.85, 155.48, 134.73, 127.41, 126.34, 125.98, 125.71, 125.15, 122.27, 120.11, 105.86, 83.80, 79.69, 72.45, 49.30, 29.83, 28.30, 19.84, 17.84, 17.13, 16.84

*Comp. No.	P.F. (°C)	*1R (cm^{-1})	MASA	RMN (^{1}H, ^{13}C, ^{19}F)
145	- - -	- - -	ESIMS *m/z* 322 ($[M+H]^+$)	- - -
146	- - -	- - -	ESIMS *m/z* 336 ($[M+H]^+$)	- - -
147	- - -	- - -	ESIMS *m/z* 324.3 ($[M+H]^+$)	- - -
148	- - -	- - -	ESIMS *m/z* 322.3 ($[M+H]^+$)	- - -
149	- - -	- - -	ESIMS *m/z* 324.4 ($[M+H]^+$)	- - -
150	- - -	- - -	ESIMS *m/z* 338.4 ($[M+H]^+$)	- - -
151	- - -	- - -	ESIMS *m/z* 340.4 ($[M+H]^+$)	- - -
152	- - -	- - -	ESIMS *m/z* 340.4 ($[M+H]^+$)	- - -
153	- - -	- - -	ESIMS *m/z* 348.3 ($[M+Na]^+$)	- - -
154	- - -	- - -	ESIMS *m/z* 324.4 ($[M+H]^+$)	- - -
155	- - -	- - -	ESIMS *m/z* 310.4 ($[M+H]^+$)	- - -

*Comp. No.	P.F. (°C)	*1R (cm^{-1})	MASA	RMN (^{1}H, ^{13}C, ^{19}F)
156	- - -	- - -	ESIMS *m/z* 386.4 ($[M+H]^+$)	- - -
157	- - -	- - -	ESIMS *m/z* 374.4 ($[M+H]^+$)	- - -
158	- - -	- - -	ESIMS *m/z* 324 ($[M+H]^+$)	- - -
159	- - -	- - -	ESIMS *m/z* 266 ($[M+H]^+$)	- - -
160	- - -	- - -	ESIMS *m/z* 324 ($[M+H]^+$)	- - -
161	- - -	- - -	ESIMS *m/z* 294 ($[M+H]^+$)	- - -
162	- - -	- - -	ESIMS *m/z* 280 ($[M+H]^+$)	- - -
163	- - -	- - -	ESIMS *m/z* 296 ($[M+H]^+$)	- - -
164	- - -	- - -	ESIMS *m/z* 310 ($[M+H]^+$)	- - -
165	- - -	- - -	ESIMS *m/z* 356 ($[M+H]^+$)	^{1}H RMN (400 MHz, DMSO - d_6) δ 8.26 (bs, 3H), 7.34 - 7.25 (m, 4H), 7.24 - 7.15 (m, 3H), 6.99 (bd, *J* = 7.8 Hz, 2H), 6.95 (t, *J* = 7.3 Hz, 1H), 5.30

*Comp. No.	P.F. (°C)	*1R (cm^{-1})	MASA	RMN (^{1}H, ^{13}C, ^{19}F)
				(m, 1H), 4.55 (m, 1H), 4.09 - 4.01 (m, 1H), 2.95 (dd, *J* = 13.7, 4.1 Hz, 1H), 2.56 (dd, *J* = 13.9, 10.5 Hz, 1H), 2.00 - 1.91 (m, 1H), 1.36 (d, *J* = 6.5 Hz, 3H), 1.34 - 1.21 (m, 2H), 1.14 (d, *J* = 7.3 Hz, 3H), 0.85 (t, *J* = 7.4 Hz, 3H)
166	- - -	- - -	ESIMS *m/z* 342 ($[M+H]^{+}$)	^{1}H RMN (400 MHz, DMSO - d_6) δ 8.23 (bs, 3H), 7.33 - 7.25 (m, 4H), 7.21 (m, 3H), 6.99 - 6.94 (m, 3H), 5.34 - 5.25 (m, 1H), 4.50 (m, 1H), 3.84 (dd, *J* = 17.4, 5.5 Hz, 1H), 3.65 (dd, 17.3, 5.4 Hz, 1H), 2.92 (dd, *J* = 13.7, 4.5 Hz, 1H), 2.50 (parcialmente oscurecida por DMSO, 1H), 1.99 (m, 1H), 1.33 (d, *J* = 6.5 Hz, 3H), 1.32 - 1.23 (m, 2H), 0.83 (t, *J* = 7.5 Hz, 3H)
167	- - -	- - -	ESIMS *m/z* 356 ($[M+H]^{+}$)	^{1}H RMN (400 MHz, DMSO - d_6) δ 8.21 (bs, 3H), 7.33 - 7.17 (m, 7H), 7.01 (d, *J* = 7.9 Hz, 2H), 6.92 (t, *J* = 7.3 Hz, 1H), 5.28 (p, *J* = 6.2 Hz, 1H), 4.63 (dd, *J* = 6.8, 3.9 Hz, 1H), 4.00 (q, *J* = 7.3 Hz, 1H), 2.89 (dd, *J* = 13.7, 4.7 Hz, 1H), 2.53 (señal oscurecida por DMSO, 1H), 1.95 (m, 1H), 1.30 (d, *J* = 6.4 Hz, 3H), 1.27 - 1.20 (m, 2H),

*Comp. No.	P.F. (°C)	*1R (cm^{-1})	MASA	RMN (^{1}H, ^{13}C, ^{19}F)
				0.97 (d, *J* = 7.2 Hz, 3H), 0.79 (t, *J* = 7.4 Hz, 3H)
168	- - -	- - -	ESIMS *m/z* 330 ($[M+H]^+$)	- - -
169	- - -	- - -	ESIMS *m/z* 344 ($[M+H]^+$)	- - -
170	- - -	- - -	ESIMS *m/z* 278 ($[M+H]^+$)	- - -
171	- - -	- - -	ESIMS *m/z* 244 ($[M+H]^+$)	- - -
172	- - -	- - -	ESIMS *m/z* 336.4 ($[M+H]^+$)	^{1}H RMN (400 MHz, $CDCl_3$) δ 8.67 (bs, 3H), 7.27 - 7.20 (m, 2H), 6.95 - 6.86 (m, 3H), 5.30 - 5.19 (m, 1H), 4.44 - 4.34 (m, 1H), 3.96 - 3.82 (m, 1H), 1.66 - 1.24 (m, 6H), 1.35 (d, *J* = 6.3 Hz, 3H), 1.30 (d, *J* = 7.1 Hz, 3H), 1.26 - 1.12 (m, 2H), 0.92 0.82 (m, 9H)
173	- - -	- - -	ESIMS *m/z* 314.1 ($[M+H]^+$)	^{1}H RMN (400 MHz, $CDCl_3$) δ 8.81 (bs, 3H), 5.19 - 5.08 (m, 1H), 4.22 - 4.07 (m, 1H), 3.48 (dd, *J* = 9.7, 6.7 Hz, 1H), 3.31 3.21 (m, 2H), 1.71 (d, *J* = 7.1 Hz, 3H), 1.59 - 1.42 (m, 2H), 1.41 - 1.21 (m, 4H), 1.29 (d, *J* = 6.2 Hz, 3H), 1.20 - 1.11 (m, 2H), 1 09 - 0.99

*Comp. No.	P.F. (°C)	*1R (cm^{-1})	MASA	RMN (^{1}H, ^{13}C, ^{19}F)
				(m, 1H), 0.93 - 0.81 (m, 9H), 0.55 - 0.47 (m, 2H), 0.24 - 0.16 (m, 2H)
174	- - -	- - -	ESIMS *m/z* 398 ($[M+H]^+$)	^{1}H RMN (400 DMSO - d_6) δ 8.33 (bs, 3H), 7.28 (td, *J* = 7.5, 1.6 Hz, 4H), 7.23 - 7.13 (m, 6H), 5.20 - 5.11 (m, 1H), 4.18 - 4.07 (m, 1H), 3.64 (dt, *J* = 9.2, 6.3 Hz, 1H), 3.46 (dt, *J* = 9.0, 6.3 Hz, 1H), 3.34 (t, *J* = 4.7 Hz, 1H), 2.88 (dd, *J* = 13.8, 4.1 Hz, 1H), 2.67 (t, *J* = 7.7 Hz, 2H), 2.42 (dd, *J* = 13.7, 10.2 Hz, 1H), 1.83 (dt, *J* = 13 4, 6.5 Hz, 2H), 1.75 1.64 (m, 1H), 1.36 (d, *J* = 7.2 Hz, 3H), 1.32 - 1.18 (m, 2H), 1.29 (d, *J* = 6.4 Hz, 3H), 0.82 (t, *J* = 7.4 Hz, 3H)
175	- - -	- - -	ESIMS *m/z* 416.3 ($[M+H]^+$)	- - -
176	- - -	- - -	ESIMS *m/z* 404.3 ($[M+H]^+$)	- - -
177	- - -	- - -	ESIMS *m/z* 398.4 ($[M+H]^+$)	- - -
178	- - -	- - -	ESIMS *m/z* 300.5 ($[M+H]^+$)	- - -
179	- - -	2957, 2872,	HRMS - ESI (*m/z*)	^{1}H RMN (400 CD_3OD) δ 7.39 _ 7.22

*Comp. No.	P.F. (°C)	*1R (cm^{-1})	MASA	RMN (^1H, ^{13}C, ^{19}F)
		2154, 1740, 1570, 1454, 1382, 1355, 1310, 1230, 1163, 1113, 1064, 1027, 909, 855, 734, 697, 612 595, 578, 563, 544, 538	($[M+H]^+$) calculada para $C_{16}H_{26}NO_3$, 280.1907, encontrada, 280.1908	(m, 5H), 5.29 (qd, *J* = 6.6, 3.0 Hz, 1H), 4.87 (s, 3H), 4.67 (d, *J* = 11.4 Hz, 1H), 4.51 (d, *J* = 11.3 Hz, 1H), 4.09 (q, *J* = 7.2 Hz, 1H), 3.55 (ddd, *J* = 7.9, 4 4, 2.9 Hz, 1H), 1.59 - 1.45 (m, 5H), 1 44 - 1.32 (m, 1H), 1 30 (d, *J* = 6.5 Hz, 3H), 0.96 - 0.87 (m, 3H)
180	- - -	3376, 3066, 3031, 2979, 2936, 2873, 1730, 1641, 1604, 1497, 1454, 1376, 1309, 1187, 1139, 1062, 1028, 996 914, 856 736, 698, 612, 594, 579, 563, 544, 539	HRMS – ESI *m/z* ($[M+H]^+$) calculada para $C_{16}H_{24}NO_3$, 278.1751, encontrada, 278.1752	^1H RMN (400 MHz, CD_3OD) δ 7.40 - 7.20 (m, 5H), 5.86 (ddt, *J* = 17.2, 10.2, 7.0 Hz, 1H), 5.19 - 4.98 (m, 3H), 4.80 (s, 2H), 4.68 - 4.50 (m, 2H), 3.57 (td, *J* = 6.1, 3.7 Hz, 1H), 3.48 (q, *J* = 7.0 Hz, 1H), 2.33 (ddt, *J* = 7.2, 6.0, 1.4 Hz, 2H), 1.29 (d, *J* = 7.1 Hz, 3H), 1.25 (d, *J* = 6.5 Hz, 3H)

*Comp. No.	P.F. (°C)	*1R (cm^{-1})	MASA	RMN (^{1}H, ^{13}C, ^{19}F)
181	- - -	- - -	ESIMS *m/z* 458.4 ($[M+H]^+$)	- - -
182	- - -	- - -	ESIMS *m/z* 336.4 ($[M+H]^+$)	^{1}H RMN (400 MHz, $CDCl_3$) δ 8.70 (bs, 3H), 7.27 - 7.21 (m, 2H), 7.07 - 6.99 (m, 2H), 6.96 - 6.90 (m, 1H), 5.44 - 5.34 (m, 1H), 4.50 - 4.45 (m, 1H), 4.04 - 3.93 (m, 1H), 3.71 - 3.63 (m, 1H), 3.37 - 3.30 (m, 1H), 2.82 (dd, *J* = 8.5, 4.6 Hz, 1H), 1.59 1.46 (m, 2H), 1.38 (d, *J* = 6.3 Hz, 3H), 1.37 (d, *J* = 7.3 Hz, 3H), 0.97 - 0.87 (m, 1H), 0.85 (t, *J* = 7.4 Hz, 3H), 0.71 - 0 62 (m, 1H), 0.52 - 0.41 (m, 2H), 0.30 - 0.20 (m, 1H)
183	- - -	- - -	ESIMS *m/z* 314.5 ($[M+H]^+$)	^{1}H RMN (400 MHz, $CDCl_3$) δ 8.82 (bs, 3H), 5.20 - 5.10 (m, 1H), 4.21 - 4.08 (m, 1H), 3.53 - 3.45 (m, 1H), 3.30 - 3.20 (m, 2H), 1.71 (d, *J* = 7.1 Hz, 3H), 1.59 - 1.23 (m, 6H), 1.28 (d, *J* = 6.4 Hz, 3H), 1.23 - 0.99 (m, 3H), 0.93 - 0.80 (m, 9H), 0.55 – 0.49 (m, 2H), 0.23 - 0 17 (m, 2H)
184	- - -	- - -	ESIMS *m/z* 326.4 ($[M+H]^+$)	^{1}H RMN (400 MHz, $CDCl_3$) δ 8.81 (bs, 3H), 5.18 - 5.08 (m, 1H), 4.23 - 4.07 (m, 1H), 3.46 (dd, *J* = 9.9, 6.6 Hz,

*Comp. No.	P.F. (°C)	*1R (cm^{-1})	MASA	RMN (^{1}H, ^{13}C, ^{19}F)
				1H), 3.31 - 3.22 (m, 2H), 1.90 - 1.55 (m, 6H), 1.70 (d, *J* = 7.3 Hz, 3H), 1.54 - 1.23 (m, 6H), 1.30 (d, *J* = 6.4 Hz, 3H), 1.13 - 0.96 (m, 3H), 0.89 (t, *J* = 7.2 Hz, 3H), 0.55 - 0.47 (m, 2H), 0.23 - 0.15 (m, 2H)
185	- - -	- - -	ESIMS *m/z* 190.2 ($[M+H]^+$)	- - -
186	- - -	- - -	ESIMS *m/z* 224.2 ($[M+H]^+$)	- - -
187	- - -	- - -	ESIMS *m/z* 218.2 ($[M+H]^+$)	- - -
188	- - -	- - -	ESIMS *m/z* 202.2 ($[M+H]^+$)	- - -
189	- - -	- - -	ESIMS *m/z* 204.2 ($[M+H]^+$)	- - -
190	- - -	- - -	ESIMS *m/z* 216.2 ($[M+H]^+$)	- - -
191	- - -	- - -	ESIMS *m/z* 204.2 ($[M+H]^+$)	- - -
192	- - -	2874, 1742, 1587, 1497, 1454, 1383,	HRMS - ESI *m/z* ($[M+H]^+$) calculada para $C_{16}H_{26}NO_4$,	- - -

*Comp. No.	P.F. (°C)	*1R (cm^{-1})	MASA	RMN (^{1}H, ^{13}C, ^{19}F)
		1322, 1236, 1206, 1061, 1028, 1008, 862, 747, 698, 614 600	296.1856, encontrada, 296.1861	
193	- - -	- - -	ESIMS *m/z* 252 ($[M+H]^+$)	- - -
194	- - -	- - -	ESIMS *m/z* 294 ($[M+H]^+$)	- - -
195	- - -	- - -	ESIMS *m/z* 292 ($[M+H]^+$)	- - -
196	- - -	- - -	ESIMS *m/z* 314 ($[M+H]^+$)	- - -
197	- - -	- - -	ESIMS *m/z* 360 ($[M+H]^+$)	- - -
198	- - -	- - -	HRMS - ESI *m/z* ($[M+H]^+$) calculada para $C_{15}H_{24}NO_3$, 266.1751; encontrada, 266.1759	- - -
199	- - -	- - -	ESIMS *m/z* 300.3 ($[M+H]^+$)	- - -

*Comp. No.	P.F. (°C)	*1R (cm^{-1})	MASA	RMN (^{1}H, ^{13}C, ^{19}F)
200	- - -	- - -	ESIMS *m/z* 334.3 ($[M+H]^+$)	- - -
201	- - -	- - -	ESIMS *m/z* 300.3 ($[M+H]^+$)	- - -
202	- - -	- - -	ESIMS *m/z* 328.3 ($[M+H]^+$)	- - -
203	- - -	- - -	ESIMS *m/z* 376.2 ($[M+H]^+$)	- - -
204	- - -	- - -	ESIMS *m/z* 272 ($[M+H]^+$)	- - -
205	- - -	- - -	ESIMS *m/z* 274 ($[M+H]^+$)	- - -
206	- - -	- - -	ESIMS *m/z* 280 ($[M+H]^+$)	- - -
207	- - -	- - -	ESIMS *m/z* 292 ($[M+H]^+$)	- - -
208	- - -	- - -	ESIMS *m/z* 266.3 ($[M+H]^+$)	- - -
209	- - -	- - -	ESIMS *m/z* 266.3 ($[M+H]^+$)	- - -
210	- - -	- - -	ESIMS *m/z* 300.3 ($[M+H]^+$)	- - -

*Comp. No.	P.F. (°C)	*1R (cm^{-1})	MASA	RMN (^{1}H, ^{13}C, ^{19}F)
211	- - -	- - -	ESIMS *m/z* 266.3 ($[M+H]^+$)	- - -
212	- - -	- - -	ESIMS *m/z* 300.3 ($[M+H]^+$)	- - -
213	- - -	- - -	ESIMS *m/z* 266.4 ($[M+H]^+$)	- - -
214	- - -	- - -	ESIMS *m/z* 266.4 ($[M+H]^+$)	- - -
215	- - -	- - -	ESIMS *m/z* 266.4 ($[M+H]^+$)	- - -
216	- - -	- - -	ESIMS *m/z* 334 ($[M+H]^+$)	- - -
217	- - -	- - -	ESIMS *m/z* 334 ($[M+H]^+$)	- - -
218	- - -	- - -	ESIMS *m/z* 334 ($[M+H]^+$)	- - -
219	- - -	- - -	ESIMS *m/z* 368 ($[M+H]^+$)	- - -
220	- - -	- - -	ESIMS *m/z* 336 ($[M+H]^+$)	- - -
221	- - -	- - -	ESIMS *m/z* 352 ($[M+H]^+$)	- - -

*Comp. No.	P.F. (°C)	*1R (cm^{-1})	MASA	RMN (^{1}H, ^{13}C, ^{19}F)
222	- - -	- - -	ESIMS *m/z* 350 ($[M+H]^+$)	- - -
223	- - -	- - -	ESIMS *m/z* 366 ($[M+H]^+$)	- - -
224	- - -	- - -	ESIMS *m/z* 368 ($[M+H]^+$)	- - -
225	- - -	- - -	ESIMS *m/z* 396 ($[M+H]^+$)	- - -
226	- - -	- - -	ESIMS *m/z* 318 ($[M+H]^+$)	- - -
227	- - -	- - -	ESIMS *m/z* 394 ($[M+H]^+$)	- - -
228	- - -	- - -	ESIMS *m/z* 312 ($[M+H]^+$)	- - -
229	- - -	- - -	ESIMS *m/z* 312 ($[M+H]^+$)	- - -
230	- - -	- - -	ESIMS *m/z* 328 ($[M+H]^+$)	- - -
231	- - -	- - -	ESIMS *m/z* 328 ($[M+H]^+$)	- - -
232	- - -	- - -	ESIMS *m/z* 363 ($[M+H]^+$)	- - -

*Comp. No.	P.F. (°C)	*1R (cm^{-1})	MASA	RMN (^{1}H, ^{13}C, ^{19}F)
233	- - -	- - -	ESIMS *m/z* 330 ($[M+H]^+$)	- - -
234	- - -	- - -	ESIMS *m/z* 346 ($[M+H]^+$)	- - -
235	- - -	- - -	ESIMS *m/z* 328 ($[M+H]^+$)	- - -
236	- - -	- - -	ESIMS *m/z* 362 ($[M+H]^+$)	- - -
237	- - -	- - -	ESIMS *m/z* 370 ($[M+H]^+$)	- - -
238	- - -	- - -	ESIMS *m/z* 370 ($[M+H]^+$)	- - -
239	- - -	- - -	ESIMS *m/z* 342.5 ($[M+H]^+$)	- - -
240	- - -	- - -	ESIMS *m/z* 342.4 ($[M+H]^+$)	- - -
241	- - -	- - -	ESIMS *m/z* 284.4 ($[M+H]^+$)	- - -
242	- - -	- - -	ESIMS *m/z* 284.4 ($[M+H]^+$)	- - -
243	- - -	- - -	ESIMS *m/z* 302.3 ($[M+H]^+$)	- - -

*Comp. No.	P.F. (°C)	*1R (cm^{-1})	MASA	RMN (^{1}H, ^{13}C, ^{19}F)
244	- - -	- - -	ESIMS *m/z* 318.3 ($[M+H]^+$)	- - -
245	- - -	- - -	ESIMS *m/z* 334.3 ($[M+H]^+$)	- - -
246	- - -	- - -	ESIMS *m/z* 344.4 ($[M+H]^+$)	- - -
247	- - -	- - -	ESIMS *m/z* 376.3 ($[M+H]^+$)	- - -
248	- - -	- - -	ESIMS *m/z* 316.4 ($[M+H]^+$)	- - -
249	- - -	- - -	ESIMS *m/z* 316.4 ($[M+H]^+$)	- - -
250	- - -	- - -	ESIMS *m/z* 260.3 ($[M+H]^+$)	- - -
251	- - -	- - -	ESIMS *m/z* 344.4 ($[M+H]^+$)	- - -
252	- - -	- - -	ESIMS *m/z* 344.4 ($[M+H]^+$)	- - -
253	- - -	- - -	ESIMS *m/z* 340 ($[M+H]^+$)	- - -
254	- - -	- - -	ESIMS *m/z* 340 ($[M+H]^+$)	- - -

*Comp. No.	P.F. (°C)	*1R (cm^{-1})	MASA	RMN (^{1}H, ^{13}C, ^{19}F)
255	- - -	- - -	ESIMS *m/z* 356 ($[M+H]^+$)	- - -
256	- - -	- - -	ESIMS *m/z* 356 ($[M+H]^+$)	- - -
257	- - -	- - -	ESIMS mz 391 ($[M+H]^+$)	- - -
258	- - -	- - -	ESIMS mz 358 ($[M+H]^+$)	- - -
259	- - -	- - -	ESIMS *m/z* 374 ($[M+H]^+$)	- - -
260	- - -	- - -	ESIMS *m/z* 356 ($[M+H]^+$)	- - -
261	- - -	- - -	ESIMS *m/z* 390 ($[M+H]^+$)	- - -
262	- - -	- - -	ESIMS *m/z* 398 ($[M+H]^+$)	- - -
263	- - -	- - -	ESIMS *m/z* 398 ($[M+H]^+$)	- - -
264	- - -	- - -	ESIMS *m/z* 278.4 ($[M+H]^+$)	- - -
265	- - -	- - -	ESIMS *m/z* 338.4 ($[M+H]^+$)	- - -

*Comp. No.	P.F. (°C)	*1R (cm^{-1})	MASA	RMN (^{1}H, ^{13}C, ^{19}F)
266	- - -	- - -	ESIMS *m/z* 312 ($[M+H]^+$)	- - -
267	- - -	- - -	ESIMS *m/z* 328 ($[M+H]^+$)	- - -
268	- - -	- - -	ESIMS *m/z* 363 ($[M+H]^+$)	- - -
269	- - -	- - -	ESIMS *m/z* 330 ($[M+H]^+$)	- - -
270	- - -	- - -	ESIMS *m/z* 346 ($[M+H]^+$)	- - -
271	- - -	- - -	ESIMS *m/z* 354 ($[M+H]^+$)	- - -
272	- - -	- - -	ESIMS *m/z* 371 ($[M+H]^+$)	- - -
273	- - -	- - -	ESIMS *m/z* 372 ($[M+H]^+$)	- - -
274	- - -	- - -	ESIMS *m/z* 389 ($[M+H]^+$)	- - -
275	- - -	- - -	ESIMS *m/z* 405 ($[M+H]^+$)	- - -
276	- - -	2946, 1744, 1672, 1596,	HRMS - ESI *m/z* ($[M+H]^+$) calculada	^{1}H RMN (400 MHz, $CDCl_3$) δ 8.32 (s, 3H), 7.33 - 7.18 (m, 2H), 7.00 - 6.91

*Comp. No.	P.F. (°C)	*1R (cm^{-1})	MASA	RMN (^{1}H, ^{13}C, ^{19}F)
		1535, 1492, 1461, 1432, 1391, 1329, 1200, 1133, 1077, 1033, 981, 920 837, 799, 753, 722, 692	para $C_{15}H_{22}NO_3$, 264.1594; encontrada, 264.1596	(m, 1H), 6.90 - 6.80 (m, 2H), 5.82 (ddt, *J* = 17.1, 10.1, 7.0 Hz, 1H), 5.19 - 5.01 (m, 3H), 4.39 (ddd, *J* = 7.2, 5.4, 3.6 Hz, 1H), 3.91 (q, *J* = 7.2 Hz, 1H), 2.51 - 2.32 (m, 2H), 1.34 (d, *J* = 3.6 Hz, 3H), 1.32 (d, *J* = 2.9 Hz, 3H)
277	- - -	3394, 2958, 2873, 1741, 1596, 1492, 1456, 1389, 1325, 1288, 1227, 1171, 1114, 1075, 1027, 969 875, 837 800, 752, 691	HRMS - ESI *m/z* ($[M+H]^+$) calculada para $C_{15}H_{24}NO_3$, 266.1751, encontrada, 266.1744	- - -
278	- - -	2947, 1744, 1672, 1535, 1477, 1432, 1391, 1329, 1285, 1242,	HRMS - ESI *m/z* ($[M+H]^+$) calculada para $C_{15}H_{20}Cl_2NO_3$, 332.0815;	- - -

*Comp. No.	P.F. (°C)	*1R (cm^{-1})	MASA	RMN (^{1}H, ^{13}C, ^{19}F)
		1200, 1134, 1059, 981, 922 868, 837 800, 742, 722, 656	encontrada, 332.0819	
279	- - -	- - -	ESIMS *m/z* 354 ($[M+H]^+$)	- - -
280	- - -	- - -	ESIMS *m/z* 354 ($[M+H]^+$)	- - -
281	- - -	- - -	ESIMS *m/z* 232.2 ($[M+H]^+$)	- - -
282	- - -	- - -	ESIMS *m/z* 294. 1 ($[M+H]^+$)	- - -
283	- - -	- - -	ESIMS *m/z* 300.1 ($[M+H]^+$)	- - -
284	- - -	- - -	ESIMS *m/z* 334.1 ($[M+H]^+$)	- - -
285	- - -	- - -	ESIMS *m/z* 316.1 ($[M+H]^+$)	- - -
286	- - -	- - -	ESIMS *m/z* 487 ($[M+H]^+$)	^{1}H RMN (400 MHz, $CDCl_3$) δ 12.16 (s, 1H), 8.46 (d, *J* = 8.5 Hz, 1H), 7.97 (d, *J* = 5.1 Hz, 1H), 7.31 - 7.25 (m, 2H), 7.21 7.15 (m, 3H), 6.86 (d, *J* = 5.1 Hz,

*Comp. No.	P.F. (°C)	*1R (cm^{-1})	MASA	RMN (^{1}H, ^{13}C, ^{19}F)
				1H), 5.14 (qd, *J* = 6 5, 3.2 Hz, 1H), 4.71 (td, *J* = 7.8, 5.2 Hz, 1H), 3.94 (s, 3H), 3.39 (dd, *J* = 8.5, 6.4 Hz, 1H), 3.27 (dt, *J* = 7.8, 3.8 Hz, 1H), 3.11 (dd, *J* = 8 6, 6.6 Hz, 1H), 2.83 (ddd, *J* = 14.8, 9.5, 5.8 Hz, 1H), 2.63 (ddd, *J* = 13.7, 9.3, 7.2 Hz, 1H), 2.01 - 1.89 (m, 1H), 1.88 - 1.74 (m, 4H), 1 45 (m, 2H), 1 24 (d, *J* = 6.5 Hz, 3H), 0.95 (t, *J* = 7.3 Hz, 3H), 0.90 (dd, *J* = 6.7, 5.5 Hz, 6H) ^{13}C RMN (101 MHz, $CDCl_3$) δ 171.15, 168.83, 155.38, 148.75, 142.01, 140.48, 130.49, 128.38, 128.36, 125.84, 109.42, 80.56, 77.56, 73.11, 56.08, 52.04, 34.58, 32.45, 31.87, 29.01, 19.45, 19.42, 18 60, 15.10, 13.68
287	- - -	- - -	ESIMS *m/z* 487 ($[M+H]^+$)	^{1}H RMN (400 MHz, $CDCl_3$) δ 12.15 (s, 1H), 8.44 (d, *J* = 8.5 Hz, 1H), 7.97 (d, *J* = 5.1 Hz, 1H), 7.30 - 7.20 (m, 2H), 7.23 - 7.07 (m, 3H), 6.85 (d, *J* = 5.3 Hz, 1H), 5.21 - 5.10 (m, 1H), 4.70 (td, *J* = 8.2, 5.1 Hz, 1H), 3.93 (s, 3H), 3.35 (dd, *J* = 8.8, 6.5 Hz, 1H), 3.29 (dt, *J* = 8.2, 4.6 Hz, 1H), 3.22 (dd, *J* = 8.8, 6.7

*Comp. No.	P.F. (°C)	*1R (cm^{-1})	MASA	RMN (^{1}H, ^{13}C, ^{19}F)
				Hz, 1H), 2.79 (ddd, *J* = 14.8, 9.3, 6.0 Hz, 1H), 2.66 2.53 (m, 1H), 1.95 - 1.71 (m, 5H), 1.42 (m, 2H), 1.25 (d, *J* = 6.5 Hz, 3H), 0.93 (m, 9H) ^{13}C RMN (101 MHz, $CDCl_3$) δ 171.21, 168.87, 155.39, 148.75, 141.96, 140.50, 130.45, 128.37, 128.33, 125.84, 109.44, 79.30, 77.52, 71.90, 56.07, 52.00, 34.57, 31.75, 31.41, 28.98, 19.46, 19.41, 18.74, 14.67, 13.69
288	- - -	- - -	ESIMS *m/z* 473 ($[M+H]^+$)	^{1}H RMN (400 MHz, $CDCl_3$) mezcla de d1aestereómeros δ 12.06 (s, 1H), 8.48 (t, *J* = 5.4 Hz, 1H), 7.98 (d, *J* = 5.3 Hz, 1H), 7.29 - 7.21 (m, 2H), 7.21 - 7.10 (m, 3H), 6.86 (d, *J* = 5.1 Hz, 1H), 5.33 - 5.11 (m, 1H), 4.28 - 4.13 (m, 2H), 3.94 (s, 3H), 3.41 (dd, *J* = 8.5, 6.4 Hz, 1H), 3.36 - 3.28 (m, 1H), 3.22 (dd, *J* = 8.5, 6.4 Hz, 1H), 2.97 (dd, *J* = 13.7, 4.5 Hz, 1H), 2.43 (dd, *J* = 13.8, 9.8 Hz, 1H), 1.84 (dt, *J* = 13.2, 6.5 Hz, 1H), 1.75 (t, *J* = 10.5, 5.2 Hz, 1H), 1.41 _ 1.24 (m, 2H), 1.32 (d, *J* = 6.4 Hz, 3H), 0.91 (d, *J* = 6.8 Hz, 6H), 0.87 (t, *J* = 7.5 Hz, 3H)

*Comp. No.	P.F. (°C)	*1R (cm^{-1})	MASA	RMN (^1H, ^{13}C, ^{19}F)
				^{13}C RMN (101 MHz, $CDCl_3$) δ 169.32, 168.40, 155.38, 148.71, 141.54, 140.60, 130.37, 129.13, 128.21, 125.67, 109.52, 81.82, 79.53, 73.45, 56.09, 43.56, 41.13, 35.35, 29.19, 22.12, 19.49, 19.47, 15.42, 10.62
289	- - -	3371, 2965, 1738, 1650, 1530, 1482, 1240	ESIMS *m/z* 475.5 ($[M+H]^+$)	^1H RMN (400 MHz, $CDCl_3$) δ 12.09 (s, 1H), 8.38 (d, *J* = 8.0 Hz, 1H), 7.97 (d, *J* = 5.2 Hz, 1H), 7.24 - 7.18 (m, 2H), 7.03 6.98 (m, 2H), 6.93 - 6.88 (m 1H), 6.86 (d, *J* = 5.3 Hz, 1H), 5.27 - 5.19 (m, 1H), 4.64 - 4.54 (m, 1H), 4.46 (dd, *J* = 5.8, 3.9 Hz, 1H), 3.94 (s, 3H), 3.47 (t, *J* = 6.7 Hz, 2H), 3.39 - 3.32 (m, 1H), 1.71 - 1.58 (m, 1H), 1.58 - 1.47 (m, 3H), 1.39 (d, *J* = 6.5 Hz, 3H), 1.26 (d, *J* = 7.2 Hz, 3H), 0.97 (t, *J* = 7.4 Hz, 3H), 0.85 (t, *J* = 7.4 Hz, 3H)
290	- - -	3372, 2964, 1735, 1652, 1528, 1482, 1263, 1238	ESIMS *m/z* 503.5 ($[M+H]^+$)	^1H RMN (400 MHz, $CDCl_3$) δ 12.12 (s, 1H), 8.41 (d, *J* = 9.4 Hz, 1H), 7.98 (d, *J* = 5.2 Hz, 1H), 7.24 - 7.17 (m, 2H), 7.03 6.98 (m, 2H), 6.93 - 6.88 (m, 1H), 6.87 (d, *J* = 5.2 Hz, 1H), 5.29 - 5.21 (m, 1H), 4.56 (dd, *J* = 9.3, 4.5 Hz, 1H), 4.40 (dd, *J* = 5.8, 3.8 Hz,

*Comp. No.	P.F. (°C)	*1R (cm^{-1})	MASA	RMN (^{1}H, ^{13}C, ^{19}F)
				1H), 3.95 (s, 3H), 3.45 (t, *J* = 6.7 Hz, 2H), 3.38 - 3.30 (m, 1H), 2.08 1.97 (m, 1H), 1.71 - 1.57 (m, 1H), 1.57 - 1.45 (m, 3H), 1.39 (d, *J* = 6.5 Hz, 3H), 0.95 (t, *J* = 7.3 Hz, 3H), 0.91 (d, *J* = 6.9 Hz, 3H), 0.85 (t, *J* = 7.4 Hz, 3H), 0.81 (d, *J* = 6.9 Hz, 3H)
291	- - -	3366, 2961, 1737, 1650, 1530, 1239	ESIMS mz 517.5 ($[M+H]^{+}$)	^{1}H RMN (400 MHz, $CDCl_3$) δ 12.11 (s, 1H), 8.23 (d, *J* = 8.8 Hz, 1H), 7.97 (d, *J* = 5.2 Hz, 1H), 7.24 - 7.17 (m, 2H), 7.04 6.96 (m, 2H), 6.93 - 6.87 (m, 1H), 6.86 (d, *J* = 5.3 Hz, 1H), 5.25 - 5.17 (m, 1H), 4.66 - 4.56 (m, 1H), 4.44 (dd, *J* = 6.1, 3.6 Hz, 1H), 3.94 (s, 3H), 3.45 (t, *J* = 6.7 Hz, 2H), 3.38 - 3.29 (m, 1H), 1.71 - 1.57 (m, 2H), 1.57 - 1.46 (m, 3H), 1.46 - 1.33 (m, 2H), 1.39 (d, *J* = 6.6 Hz, 3H), 0.96 (t, *J* = 7.4 Hz, 3H), 0.86 (d, *J* = 6.5 Hz, 3H), 0.84 t, *J* = 7.4 Hz, 6H)
292	- - -	- - -	ESIMS mz 517.5 ($[M+H]^{+}$)	^{1}H RMN (400 MHz, $CDCl_3$) δ 12.13 (s, 1H), 8.43 (d, *J* = 9.4 Hz, 1H), 7.97 (d, *J* = 5.2 Hz, 1H), 7.23 - 7.17 (m, 2H), 7.02 - 6.97 (m, 2H), 6.92 - 6.87 (m, 1H), 6.87 (d, *J* = 5.3 Hz, 1H), 5.31 -

*Comp. No.	P.F. (°C)	*1R (cm^{-1})	MASA	RMN (^{1}H, ^{13}C, ^{19}F)
				5.20 (m, 1H), 4.60 (dd, *J* = 9.2, 4.7 Hz, 1H), 4.40 (dd, *J* = 5.6, 3.9 Hz, 1H), 3.95 (s, 3H), 3.44 (t, *J* = 6.7 Hz, 2H), 3.37 - 3.30 (m, 1H), 1.91 - 1.80 (m, 1H), 1.71 - 1.56 (m, 1H), 1.56 - 1.45 (m, 3H), 1.43 - 1.35 (m, 1H), 1.38 (d, *J* = 6.5 Hz, 3H), 1.23 - 1.09 (m, 1H), 0.93 (t, *J* = 7.3 Hz, 3H), 0.89 (d, *J* = 6.9 Hz, 3H), 0.87 - 0.80 (m, 6H)
293	- - -	- - -	ESIMS *m/z* 487 ($[M+H]^{+}$)	^{1}H RMN (400 MHz, $CDCl_3$, 1.5:1 mezcla de diaestereómeros en la amina que lleva el carbono) δ 12.16 (m), 8.49 (m, 1H), 7.96 (m, 1H), 7.25 (m, 2H), 7.15 (m, 3H), 6.85 (m, 1H), 5.20 (m, 1H, 4.71(m, 1H), 3.94 (s, 3H), 3.42 (m, 1H), 3.33 (m, 1H), 3.22 (m, 1H), 2.97 (m, 1H), 2.42 (m, 1H), 1.83 (m, 1H), 1.73 (m, 1H), 1.56 (d, *J* = 7.2 Hz, 3H), 1.39 - 1.23 (m, 2H), 1.32 (m, 3H), 0.94 - 0.82 (m, 9H) ^{13}C RMN (101 MHz, $CDCl_3$, 1.5:1 mezcla de diaestereómeros en la amina que lleva el carbono) δ 171.51, 171.44, 168.76, 168.70, 155.38, 155.37, 148.77, 141.54, 141.53,

*Comp. No.	P.F. (°C)	*1R (cm^{-1})	MASA	RMN (^{1}H, ^{13}C, ^{19}F)
				140.50, 130.43, 129.14, 128.19, 128.17, 125.66, 125.64, 109.46, 81.72, 79.54, 79.50, 73.20, 73.19, 56.08, 48.10, 48.01, 43.62, 43.55, 35.39, 29.20, 22.18, 22.00, 19.51, 19.46, 18.32, 18.23, 15.54, 15.30, 10.82, 10.63
294	- - -	3369, 2963, 1738, 1649, 1529, 1481, 1238	HRMS - ESI (*m/z*) $[M]^+$ calculada para $C_{25}H_{32}N_2O_7$, 472.2210; encontrada, 472.2208	^{1}H RMN (400 MHz, $CDCl_3$) δ 12.10 (s, 1H), 8.40 (d, *J* = 7.9 Hz, 1H), 7.96 (d, *J* = 5.2 Hz, 1H), 7.24 - 7.18 (m, 2H), 7.06 6.97 (m, 2H), 6.96 - 6.86 (m, 1H), 6.85 (d, *J* = 5.3 Hz, 1H), 5.82 (ddd, *J* = 17 2, 10.3, 8.0 Hz, 1H), 5.37 - 5.28 (m, 2H), 5.28 - 5.19 (m, 1H), 4.65 - 4.54 (m, 1H), 4.43 (dd, *J* = 5.8, 4.2 Hz, 1H), 3.93 (s, 3H), 3.89 - 3.82 (m, 1H), 3.52 - 3.43 (m, 1H), 3.26 - 3.17 (m, 1H), 1.59 - 1.48 (m, 2H), 1.38 (d, *J* = 6.5 Hz, 3H), 1.28 (d, *J* = 7.2 Hz, 3H), 0.85 t, *J* = 7.4 Hz, 3H)
295	- - -	3367, 2964, 2937, 1738, 1650, 1528, 1239	HRMS - ESI (*m/z*) $[M]^+$ calculada para $C_{25}H_{34}N_2O_7$, 474.2366; encontrada,	^{1}H RMN (400 MHz, $CDCl_3$) δ 12.13 (s, 1H), 8.35 (d, *J* = 7.9 Hz, 1H), 8.00 (d, *J* = 5.2 Hz, 1H), 7.28 - 7.22 (m, 2H), 7.05 7.01 (m, 2H), 6.96 - 6.88 (m, 1H), 6.90 - 6.85 (m, 1H), 5.31 - 5.20

*Comp. No.	P.F. (°C)	*1R (cm^{-1})	MASA	RMN (^{1}H, ^{13}C, ^{19}F)
			474.2375	(m, 1H), 4.58 4.50 (m, 1H), 4.46 (dd, *J* = 5.5, 4.0 Hz, 1H), 3.95 (s, 3H), 3.47 (t, *J* = 6.8 Hz, 2H), 3.42 - 3.33 (m, 1H), 1.71 - 1.47 (m, 4H), 1 40 (d, *J* = 7.2 Hz, 3H), 1.36 (d, *J* = 6.5 Hz, 3H), 0.96 (t, *J* = 7.4 Hz, 3H), 0.84 t, *J* = 7.4 Hz, 3H)
296	- - -	3371, 2967, 2937, 1736, 1650, 1528, 1482, 1238	HRMS - ESI (*m/z*) $[M]^{+}$ calculada para $C_{26}H_{36}N_2O_7$, 488.2523; encontrada, 488.2526	^{1}H RMN (400 MHz, $CDCl_3$) δ 12.11 (s, 1H), 8.38 (d, *J* = 8.4 Hz, 1H), 7.97 (d, *J* = 5.2 Hz, 1H), 7.24 - 7.18 (m, 2H), 7.03 6.99 (m, 2H), 6.94 - 6.88 (m, 1H), 6.88 – 6.85 (m, 1H), 5.30 - 5.19 (m, 1H), 4.61 4.51 (m, 1H), 4.42 (dd, *J* = 5.8, 3.8 Hz, 1H), 3.94 (s, 3H), 3.46 (t, *J* = 6.7 Hz, 2H), 3.40 - 3.30 (m, 1H), 1.81 - 1.59 (m, 2H), 1.60 - 1.46 (m, 4H), 1.39 (d, *J* = 6.5 Hz, 3H), 0.96 (t, *J* = 7.4 Hz, 3H), 0.88 - 0.79 (m, 6H)
297	- - -	3365, 2963, 2936, 1739, 1649, 1529, 1481, 1239	HRMS - ESI (*m/z*) $[M]^{+}$ calculada para $C_{25}H_{34}N_2O_8$, 490.2315; encontrada, 490.2320	^{1}H RMN (400 MHz, $CDCl_3$) δ 12.09 (s, 1H), 8.43 (d, *J* = 7.9 Hz, 1H), 7.98 (d, *J* = 5.2 Hz, 1H), 7.26 - 7.19 (m, 2H), 7.06 7.0 (m, 2H), 6.96 - 6.89 (m, 1H), 6.87 (d, *J* = 5.2 Hz, 1H), 5.35 - 5.25 (m, 1H), 4.67 - 4.58 (m, 1H), 4.56 (dd, *J* = 5.4, 4.0 Hz, 1H), 3.95 (s, 3H), 3.66

*Comp. No.	P.F. (°C)	*1R (cm^{-1})	MASA	RMN (^{1}H, ^{13}C, ^{19}F)
				- 3.55 (m, 2H), 3.54 - 3.46 (m, 2H), 3.46 - 3.36 (m, 1H), 3.28 (s, 3H), 1.62 - 1.51 (m, 2H), 1.36 (t, *J* = 6.5 Hz, 6H), 0.87 (t, *J* = 7.4 Hz, 3H)
298	- - -	3367, 2963, 2936, 1740, 1649, 1528, 1239	HRMS - ESI (*m/z*) $[M]^{+}$ calculada para $C_{25}H_{34}N_2O_8$, 490.2315; encontrada, 490.2314	^{1}H RMN (400 MHz, $CDCl_3$) δ 12.13 (s, 1H), 8.37 (d, *J* = 7.8 Hz, 1H), 7.99 (d, *J* = 5.2 Hz, 1H), 7.29 - 7.22 (m, 2H), 7.09 7.01 (m, 2H), 6.97 - 6.91 (m, 1H), 6.88 (d, *J* = 5.3 Hz, 1H), 5.37 - 5.26 (m, 1H), 4.64 - 4.53 (m, 2H), 3.95 (s, 3H), 3.71 - 3.63 (m, 1H), 3.61 - 3.39 (m, 4H), 3.28 (s, 3H), 1.61 - 1.49 (m, 2H), 1.45 (d, *J* = 7.2 Hz, 3H), 1.34 (d, *J* = 6.4 Hz, 3H), 0.84 (t, *J* = 7.4 Hz, 3H)
299	- - -	3372, 2962, 2936, 1747, 1651, 1535, 1482, 1240	HRMS - ESI (*m/z*) $[M]^{+}$ calculada para $C_{24}H_{32}N_2O_8$, 476.2159; encontrada, 476.2161	^{1}H RMN (400 MHz, $CDCl_3$) δ 12.02 (s, 1H), 8.40 (t, *J* = 5.7 Hz, 1H), 7.99 (d, *J* = 5.2 Hz, 1H), 7.29 - 7.21 (m, 2H), 7.06 - 7.0 (m, 2H), 6.97 - 6.91 (m, 1H), 6.88 (d, *J* = 5.2 Hz, 1H), 5.38 - 5.29 (m, 1H), 4.57 (dd, *J* = 5.6, 4.0 Hz, 1H), 4.18 - 4.00 (m, 2H), 3.95 (s, 3H), 3.68 - 3.39 (m, 5H), 3.28 (s, 3H), 1.62 - 1.51 (m, 2H), 1.37 (d, *J* = 6.4 Hz, 3H), 0.87 (t, *J* = 7.4 Hz, 3H)

*Comp. No.	P.F. (°C)	*1R (cm^{-1})	MASA	RMN (^{1}H, ^{13}C, ^{19}F)
300	- - -	3369, 2964, 2937, 1738, 1649, 1528, 1481, 1239	HRMS - ESI (*m/z*) $[M]^+$ calculada para $C_{25}H_{34}N_2O_7$, 474.2366; encontrada, 474.2368	^{1}H RMN (400 MHz, $CDCl_3$) δ 12.13 (s, 0.5H), 12.09 (s, 0.5H), 8.42 - 8.32 (m, 1H), 8.00 (d, *J* = 5.2 Hz, 0.5H), 7.97 (d, *J* = 5.2 Hz, 0.5H), 7.26 - 7.18 (m, 2H), 7.05 - 6.98 (m, 2H), 6.96 - 6.90 (m, 1H), 6.92 - 6.83 (m, 1H), 5.29 - 5.20 (m, 1H), 4.64 - 4.50 (m, 1H), 4.49 - 4.42 (m, 1H), 3.95 (s, 1.5H), 3.94 (s, 1.5H), 3.51 - 3.44 (m, 2H), 3.42 - 3.31 (m, 1H), 1.70 - 1.48 (m, 4H), 1.43 - 1.33 (m, 4.5H), 1.27 (d, *J* = 6.4 Hz, 1.5H), 1.01 - 0.91 (m, 3H), 0.89 - 0.80 (m, 3H)
301	- - -	3372, 2964, 2937, 1745, 1651, 1534, 1482, 1239	HRMS - ESI (*m/z*) $[M]^+$ calculada para $C_{24}H_{32}N_2O_7$, 460.2210; encontrada, 460.2217	^{1}H RMN (400 MHz, $CDCl_3$) δ 12.01 (s, 1H), 8.42 - 8.30 (m, 1H), 7.99 (d, *J* = 5.2 Hz, 1H), 7.26 - 7.22 (m, 2H), 7.03 - 6.98 (m, 2H), 6.96 - 6.90 (m, 1H), 6.89 - 6.86 (m, 1H), 5.32 - 5.23 (m, 1H), 4.48 (dd, *J* = 5.7, 4.0 Hz, 1H), 4.16 - 3.88 (m, 2H), 3.95 (s, 3H), 3.48 (t, *J* = 6.7 Hz, 2H), 3.41 - 3.32 (m, 1H), 1.70 - 1.47 (m, 4H), 1.39 (d, *J* = 6.5 Hz, 3H), 0.96 (t, *J* = 7.4 Hz, 3H), 0.85 (t, *J* = 7.4 Hz, 3H)
302	- - -	- - -	HRMS - ESI (*m/z*)	^{1}H RMN (600 MHz, $CDCl_3$) δ 12.09 (d,

*Comp. No.	P.F. (°C)	*1R (cm^{-1})	MASA	RMN (^{1}H, ^{13}C, ^{19}F)
			($[M+H]^+$) calculada para $C_{30}H_{37}N_2O_7$, 537.2595, encontrada, 537.2591	*J* = 0.4 Hz, 1H), 8.40 (d, *J* = 7.9 Hz, 1H), 7.97 (d, *J* = 5.2 Hz, 1H), 7.25 - 7.17 (m, 2H), 7.07 (d, *J* = 8.6 Hz, 2H), 6.93 - 6.88 (m, 1H), 6.88 - 6.84 (m, 3H), 6.84 - 6.79 (m, 2H), 5.38 - 5.27 (m, 1H), 4.61 (p, *J* = 7.2 Hz, 1H), 4.48 (t, *J* = 5.2 Hz, 1H), 3.94 (s, 3H), 3.79 (s, 3H), 2.94 (dd, *J* = 13.9, 4.7 Hz, 1H), 2.50 (dd, *J* = 13.9, 9.7 Hz, 1H), 1.89 (dp, *J* = 10.7, 5.4 Hz, 1H), 1.47 - 1.37 (m, 4H), 1.37 - 1.32 (m, 1H), 1.30 (d, *J* = 7.2 Hz, 3H), 0.91 (t, *J* = 7.5 Hz, 3H) ^{13}C RMN (151 MHz, $CDCl_3$) δ 171.48, 168.67, 159.59, 157.84, 155.37, 148.76, 140.46, 132.76, 130.42, 130.06, 129.51, 121.09, 116.00, 113.71, 109.45, 79.74, 72 62, 56 08, 55.25, 47.99, 43.61, 34.44, 21.58, 17.81, 15.54, 10.54
303	- - -	- - -	HRMS - ESI (*m/z*) ($[M+H]^+$) calculada para $C_{29}H_{34}FN_2O_6$, 525.2395; encontrada, 525.2405	^{1}H RMN (600 $CDCl_3$) δ 12.07 (s, 1H), 8.38 (d, *J* = 7.8 Hz, 1H), 7.96 (d, *J* = 5.2 Hz, 1H), 7.25 - 7.17 (m, 2H), 7.15 - 7.07 (m, 2H), 6.98 - 6.93 (m, 2H), 6.93 - 6.89 (m, 1H), 6.89 - 6.84 (m, 3H), 5.36 5.27 (m, 1H), 4.61 (p, *J* =

*Comp. No.	P.F. (°C)	*1R (cm^{-1})	MASA	RMN (^1H, ^{13}C, ^{19}F)
				7.3 Hz, 1H), 4.48 (t, *J* = 5.2 Hz, 1H), 3.94 (s, 3H), 2.97 (dd, *J* = 13.9, 4.5 Hz, 1H), 2.52 (dd, *J* = 13.9, 9.8 Hz, 1H), 1.89 (dp, *J* = 10.6, 5.4 Hz, 1H), 1.47 - 1.37 (m, 4H), 1.37 - 1.32 (m, 1H), 1.30 (d, *J* = 7.2 Hz, 3H), 0.90 (t, *J* = 7.5 Hz, 3H) ^{13}C RMN (151 MHz, $CDCl_3$) δ 171.48, 168.69, 162.11, 160.50, 159.51, 155.39, 148.77, 140.47, 136.41, 130.50, 130.45, 130.37, 129.55, 121.20, 115.96, 115.11, 114.97, 109 46, 79.63, 72.50, 56.09, 47.99, 43.54, 34.57, 21.61, 17.76, 15.54, 10.51
304	- - -	- - -	HRMS - ESI (*m/z*) ($[M+H]^+$) calculada para $C_{22}H_{28}N_2O_6$, 416.1947; encontrada, 416.1951	^1H RMN (400 MHz, $CDCl_3$) δ 12.09 (d, *J* = 0.7 Hz, 1H), 8.37 (d, *J* = 7.9 Hz, 1H), 7.97 (d, *J* = 5.2 Hz, 1H), 7.25 - 7.16 (m, 2H), 6.99 - 6.83 (m, 4H), 5.23 (qd, *J* = 6.5, 3.9 Hz, 1H), 4.61 - 4.49 (m, 1H), 4.22 (dd, *J* = 7.2, 3.9 Hz, 1H), 3.94 (s, 3H), 2.05 - 1.88 (m, 6.9 Hz, 1H), 1.37 (d, *J* = 6.4 Hz, 3H), 1.22 (d, *J* = 7.2 Hz, 3H), 1.03 (dd, *J* = 11.2, 6.8 Hz, 6H) ^{13}C RMN (101 MHz, $CDCl_3$) δ 171.56, 168.65, 160.09, 155.36,

*Comp. No.	P.F. (°C)	*1R (cm^{-1})	MASA	RMN (^{1}H, ^{13}C, ^{19}F)
				148.73, 140.44, 130.42, 129.44, 121.02, 116.21, 109.42, 83.96, 73.05, 56.08, 47.95, 30.42, 19.22, 18.71, 17.60, 14.54
305	- - -	- - -	HRMS - ESI (*m/z*) $[M]^+$ calculada para $C_{25}H_{34}N_2O_7$, 474.2366; encontrada, 474.2372	^{1}H RMN (400 MHz, $CDCl_3$) δ 12.10 (d, *J* = 0.6 Hz, 1H), 8.40 (d, *J* = 8.0 Hz, 1H), 7.98 (d, *J* = 5.2 Hz, 1H), 7.25 - 7.16 (m, 2H), 6.98 - 6.83 (m, 4H), 5.27 (qd, *J* = 6.4, 4.6 Hz, 1H), 4.66 - 4.52 (m, 1H), 4.46 (dd, *J* = 5.7, 4.7 Hz, 1H), 3.94 (s, 3H), 3.40 (qt, *J* = 9.3, 6.7 Hz, 2H), 3.30 (s, 3H), 1.83 - 1.58 (m, 4H), 1.50 - 1.27 (m, 1H), 1.36 (d, *J* = 6.4 Hz, 3H), 1.32 (d, *J* = 7.2 Hz, 3H), 0.92 (t, *J* = 7.4 Hz, 3H) ^{13}C RMN (101 MHz, $CDCl_3$) δ 171.48, 168.66, 159.58, 155.37, 148.74, 140.46, 130.44, 129.49, 121.02, 115.92, 109.43, 80.60, 72.76, 70.61, 58.58, 56.08, 47.98, 38.65, 29.41, 22.04, 17.80, 15.44, 11.57
306	- - -	- - -	HRMS - ESI (*m/z*) $[M]^+$ calculada para $C_{24}H_{32}N_2O_6$, 444.2260;	^{1}H RMN (400 MHz, $CDCl_3$) δ 12.10 (d, *J* = 0.6 Hz, 1H), 8.37 (d, *J* = 8.1 Hz, 1H), 7.97 (d, *J* = 5.2 Hz, 1H), 7.27 - 7.16 (m, 2H), 6.98 - 6.83 (m, 4H),

*Comp. No.	P.F. (°C)	*1R (cm^{-1})	MASA	RMN (^{1}H, ^{13}C, ^{19}F)
			encontrada, 444.2262	5.25 (qd, *J* = 6.5, 4.2 Hz, 1H), 4.62 - 4.50 (m, 1H), 4.45 (dd, *J* = 6.6, 4.1 Hz, 1H), 3.94 (s, 3H), 1.71 - 1.29 (m, 5H), 1.37 (d, *J* = 6.4 Hz, 3H), 1.22 (d, *J* = 7.2 Hz, 3H), 0.91 (dt, *J* = 11.1, 7.5 Hz, 6H) ^{13}C RMN (101 MHz, $CDCl_3$) δ 171.56, 168.64, 159.94, 155.35, 148.73, 140.45, 130.43, 129.46, 120.95, 115.99, 109.42, 80.39, 73.08, 56.08, 47.96, 42.68, 21.52, 21.29, 17.62, 14.86, 11.47, 10.53
307	- - -	- - -	HRMS - ESI (*m/z*) $[M]^+$ calculada para $C_{23}H_{30}N_2O_6$, 430.2104; encontrada, 430.2160	^{1}H RMN (400 MHz, $CDCl_3$) δ 12.03 (s, 1H), 8.33 (t, *J* = 5.9 Hz, 1H), 7.98 (d, *J* = 5.2 Hz, 1H), 7.30 - 7.20 (m, 2H), 6.98 - 6.88 (m, 3H), 6.87 (d, *J* = 5.2 Hz, 1H), 5.29 (qd, *J* = 6.5, 3.7 Hz, 1H), 4.46 (dd, *J* = 7.1, 3.7 Hz, 1H), 4.04 (dd, 18.3, 5.9 Hz, 1H), 3.94 (s, 3H), 3.77 (dd, 18.3, 5.7 Hz, 1H), 1.71 - 1.28 (m, 5H), 1.37 (d, *J* = 6.5 Hz, 3H), 0.90 (dt, 14.9, 7.5 Hz, 6H) ^{13}C RMN (101 MHz, $CDCl_3$) δ 169.27, 168.64, 159.91, 155.36, 148.67, 140.55, 130.36, 129.51, 121.00, 116.05, 109.50, 80.15, 73.25, 56.08,

*Comp. No.	P.F. (°C)	*1R (cm^{-1})	MASA	RMN (^{1}H, ^{13}C, ^{19}F)
				42.43, 40.79, 21.35, 21.30, 14.51, 11.23, 10.38
308	- - -	- - -	HRMS - ESI (*m/z*) $[M]^+$ calculada para $C_{25}H_{34}N_2O_7$, 474.2366; encontrada, 474.2373	^{1}H RMN (400 MHz, $CDCl_3$) δ 12.16 (s, 1H), 8.38 (d, *J* = 7.8 Hz, 1H), 7.99 (d, *J* = 5.2 Hz, 1H), 7.30 - 7.17 (m, 2H), 6.99 6.89 (m, 3H), 6.87 (d, *J* = 5.2 Hz, 1H), 5.28 (qd, *J* = 6 4, 4.3 Hz, 1H), 4.59 - 4.37 (m, 2H), 3.94 (s, 3H), 3.49 - 3.35 (m, 2H), 3.30 (s, 3H), 1.86 - 1.54 (m, 4H), 1.50 - 1.37 (m, 1H), 1.40 (d, *J* = 7.2 Hz, 3H), 1.34 (d, *J* = 6.4 Hz, 3H), 0.91 (t, *J* = 7.5 Hz, 3H) ^{13}C RMN (101 MHz, $CDCl_3$) δ 171.44, 168.72, 159.54, 155.35, 148.75, 140.47, 130.44, 129.51, 121.06, 116.03, 109.46, 80.58, 72.85, 70.58, 58.59, 56.07, 47.93, 38.58, 29.31, 22.13, 17.93, 15.08, 11.33
309	- - -	3370, 2971, 2939, 1739, 1649	HRMS - ESI (*m/z*) ($[M+H]^+$) calculada para $C_{28}H_{32}N_2O_7$, 509.2282, encontrada, 509.2293	^{1}H RMN (400 MHz, $CDCl_3$) δ 12.09 (s, 1H), 8.35 (d, *J* = 7.9 Hz, 1H), 7.97 (d, *J* = 5.2 Hz, 1H), 7.30 - 7.16 (m, 4H), 7.03 6.95 (m, 2H), 6.96 - 6.88 (m, 4H), 6.86 (d, *J* = 5.2 Hz, 1H), 5.31 (qd, *J* = 6 5, 4.5 Hz, 1H), 4.64 (t, *J* = 4.8 Hz, 1H), 4.61 4.51 (m, 1H), 4.40

*Comp. No.	P.F. (°C)	*1R (cm^{-1})	MASA	RMN (^{1}H, ^{13}C, ^{19}F)
				(dt, *J* = 6.6, 5.3 Hz, 1H), 3.93 (s, 3H), 1.95 - 1.83 (m, 1H), 1.82 - 1.71 (m, 1H), 1.43 (d, *J* = 6 4 Hz, 3H), 1.22 (d, *J* = 7.3 Hz, 3H), 1.01 (t, *J* = 7.4 Hz, 3H)
310	- - -	3370, 2963, 2938, 2875, 1739, 1649, 1528, 1239	HRMS - ESI (*m/z*) ($[M+H]^+$) calculada para $C_{23}H_{31}N_2O_7$, 447.2126; encontrada, 447.2132	^{1}H RMN (400 MHz, $CDCl_3$) δ 12.11 (d, *J* = 0.6 Hz, 1H), 8.45 (d, *J* = 8.0 Hz, 1H), 7.97 (d, *J* = 5.2 Hz, 1H), 7.29 - 7.20 (m, 2H), 7.02 - 6.90 (m, 3H), 6.89 - 6.82 (m, 1H), 5.35 - 5.25 (m, 1H), 4.71 - 4.61 (m, 1H), 4.50 (td, *J* = 5.4, 4.0 Hz, 1H), 3.93 (s, 3H), 3.68 - 3.60 (m, 2H), 3.41 (app t, *J* = 6.6 Hz, 2H), 1.62 - 1.52 (m, 2H), 1.43 (d, *J* = 7.2 Hz, 3H), 1.40 (d, *J* = 6.5 Hz, 3H), 0.89 (t, *J* = 7.4 Hz, 3H)
311	- - -	- - -	ESIMS *m/z* 507 ($[M+H]^+$)	^{1}H RMN (400 MHz, $CDCl_3$) δ 12.09 (s, 1H), 8.41 (d, *J* = 7.9 Hz, 1H), 7.96 (d, *J* = 5.3 Hz, 1H), 7.30 - 7.13 (m, 7H), 6.95 6.82 (m, 4H), 5.36 - 5.27 (m, 1H), 4.67 - 4.56 (m, 1H), 4.50 (t, *J* = 5.2 Hz, 1H), 3.93 (s, 3H), 3.01 (dd, *J* = 137, 4.6 Hz, 1H), 2.56 (dd, *J* = 13.7, 9.7 Hz, 1H), 1.95 (m, 1H), 1.45 - 1.26 (m, 2H), 1.39 (d, *J* = 6.5 Hz, 3H), 1.30

*Comp. No.	P.F. (°C)	*1R (cm^{-1})	MASA	RMN (^{1}H, ^{13}C, ^{19}F)
				(d, *J* = 7.2 Hz, 3H), 0.91 (t, *J* = 7.5 Hz, 3H) ^{13}C RMN (101 MHz, $CDCl_3$) δ 171.47, 168.68, 159.58, 155.37, 148.76, 140.82, 140.47, 130.40, 129.53, 129.19, 128.30, 125.91, 121.13, 115.99, 109.46, 79.73, 72.57, 56.08, 48.00, 43.48, 35.40, 21.71, 17.80, 15.57, 10.55
312	- - -	- - -	ESIMS *m/z* 493 ($[M+H]^+$)	^{1}H RMN (400 MHz, $CDCl_3$) δ 12.03 (s, 1H), 8.36 (t, *J* = 5.5 Hz, 1H), 7.98 (s, 1H), 7.31 - 7.14 (m, 7H), 6.95 - 6.89 (m, 1H), 6.90 - 6.83 (m, 3H), 5.37 - 5.28 (m, 1H), 4.49 (m, 1H), 4.09 (dd, *J* = 18.3, 6.0 Hz, 1H), 3.94 (s, 3H), 3.87 (dd, *J* = 18.2, 5.6 Hz, 1H), 3.00 (dd, *J* = 13.7, 5.0 Hz, 1H), 2.56 (dd, *J* = 13.7, 9.3 Hz, 1H), 2.03 - 1.91 (m, 1H), 1.46 - 1.31 (m, 2H), 1.38 (d, *J* = 6.4 Hz, 3H), 0.93 (t, *J* = 7.5 Hz, 3H)
313	- - -	- - -	ESIMS *m/z* 507 ($[M+H]^+$)	^{1}H RMN (400 MHz, $CDCl_3$) δ 12.11 (s, 1H), 8.38 (d, *J* = 7.9 Hz, 1H), 7.97 (d, *J* = 5.3 Hz, 1H), 7.33 - 7.15 (m, 7H), 6.96 - 6.83 (m, 4H), 5.38 (m, 1H), 4.58 - 4.51 (m, 1H), 4.49 (dd, *J* = 73,

*Comp. No.	P.F. (°C)	*1R (cm^{-1})	MASA	RMN (^{1}H, ^{13}C, ^{19}F)
				3.1 Hz, 1H), 3.93 (s, 3H), 2.95 (dd, *J* = 14.1, 4.8 Hz, 1H), 2.64 (dd, *J* = 14.0, 9.3 Hz, 1H), 1.93 (m, 1H), 1.41 - 1.29 (m, 2H), 1.33 (d, *J* = 6.5 Hz, 3H), 1.14 (d, *J* = 7.2 Hz, 3H), 0.83 (t, *J* = 7.4 Hz, 3H) ^{13}C RMN (101 MHz, $CDCl_3$) δ 171.69, 168.61, 159.61, 155.34, 148.73, 140.76, 140.44, 130.46, 129.43, 129.15, 128.39, 126.02, 120.85, 115.47, 109.42, 79.49, 73.07, 56.07, 48.03, 43.56, 35.14, 22.69, 17.63, 17.16, 11.73
314	- - -	3370, 2968, 2937, 2876, 1738, 1650, 1527, 1239	HRMS - ESI (*m/z*) ($[M+H]^+$) calculada para $C_{24}H_{33}N_2O_7$, 461.2282, encontrada, 461.2287	^{1}H RMN (400 MHz, $CDCl_3$) δ 12.18 - 12.10 (m, 1H), 8.50 - 8.41 (m, 1H), 8.02 - 7.94 (m, 1H), 7.29 - 7.20 (m, 2H), 7.04 - 6.83 (m, 4H), 5.37 - 5.26 (m, 1H), 4 69 - 4 56 (m, 1H), 4.52 - 4.43 (m, 1H), 3.97 3.91 (m, 3H), 3.72 - 3.59 (m, 2H), 3.45 - 3.35 (m, 2H), 2.00 - 1.85 (m, 1H), 1.87 - 1.68 (m, 1H), 1.64 - 1.50 (m, 2H), 1.43 - 1.35 (m, 3H), 0.98 - 0.86 (m, 6H
315	- - -	3368, 2984, 2939, 1740,	HRMS - ESI (*m/z*) ($[M+H]^+$) calculada	^{1}H RMN (400 MHz, $CDCl_3$) δ 12.13 - 12.06 (m, 1H), 8.48 – 8.40 (m, 1H),

*Comp. No.	P.F. (°C)	*1R (cm^{-1})	MASA	RMN (^{1}H, ^{13}C, ^{19}F)
		1649, 1528, 1225, 1047	para $C_{26}H_{29}N_2O_7$, 481.1969; encontrada, 481.1978	7.98 - 7.91 (m, 1H), 7.30 – 7.21 (m, 4), 7.05 - 6.79 (m, 7H), 5.49 – 5.38 (m, 1H), 4.74 - 4.62 (m, 2H), 4.25 – 4.13 (m, 2H), 3.94 - 3.88 (m, 3H), 1.50 – 1.37 (m, 6H)
316	- - -	3369, 2971, 2938, 1739, 1649, 1597, 1587, 1528, 1481, 1226, 1050	HRMS - ESI (*m/z*) ($[M+H]^+$) calculada para $C_{27}H_{31}N_2O_7$, 495.2126; encontrada, 495.2130	^{1}H RMN (400 MHz, $CDCl_3$) δ 12.15 - 12.08 (m, 1H), 8.50 - 8.42 (m, 1H), 7.99 - 7.92 (m, 1H), 7.30 - 7.21 (m, 4H), 7.05 - 6.80 (m, 7H), 5.50 - 5.39 (m, 1H), 4.75 - 4.58 (m, 2H), 4.26 - 4.13 (m, 2H), 3.94 - 3.88 (m, 3H), 1.99 - 1.86 (m, 1H), 1.85 - 1.69 (m, 1H), 1.49 - 1.39 (m, 3H), 0.99 - 0.87 (m, 3H)
317	- - -	3372, 2956, 1737, 1650, 1529, 1481, 1239	HRMS - ESI (*m/z*) $[M]^+$ calculada para $C_{27}H_{38}N_2O_6$, 486.2730; encontrada, 486.2738	^{1}H RMN (400 MHz, $CDCl_3$) δ 12.10 (s, 1H), 8.37 (d, *J* = 7.9 Hz, 1H), 7.98 (d, *J* = 5.2 Hz, 1H), 7.24 - 7.18 (m, 2H), 6.93 - 6.84 (m, 4H), 5.30 - 5.19 (m, 1H), 4.62 - 4.53 (m, 1H), 4.43 (dd, *J* = 6.3, 4.4 Hz, 1H), 3.94 (s, 3H), 1.68 - 1.54 (m, 2H), 1.52 - 1.29 (m, 4H), 1.37 (d, *J* = 6.4 Hz, 3H), 1.25 (d, *J* = 7.2 Hz, 3H), 1.23 - 1.12 (m, 2H), 0.93 - 0.81 (m, 9H)
318	- - -	3372, 2956,	HRMS - ESI (*m/z*)	¹H RMN (400 MHz, $CDCl_3$) δ 12.13 (s,

*Comp. No.	P.F. (°C)	*1R (cm^{-1})	MASA	RMN (^{1}H, ^{13}C, ^{19}F)
		2934, 1736, 1650, 1528, 1264	$[M]^+$ calculada para $C_{25}H_{40}N_2O_6$, 464.2886; encontrada, 464.2898	1H), 8.47 (d, *J* = 7.9 Hz, 1H), 7.99 (d, *J* = 5.2 Hz, 1H), 6.87 (d, *J* = 5.2 Hz, 1H), 5.21 - 5.11 (m, 1H), 4.76 - 4.65 (m, 1H), 3.95 (s, 3H), 3.47 (dd, *J* = 9.8, 6.8 Hz, 1H), 3.28 - 3.19 (m, 2H), 1.63 - 1.42 (m, 2H), 1.55 (d, *J* = 7.2 Hz, 3H), 1.41 - 1.21 (m, 4H), 1 29 (d, *J* = 6.4 Hz, 3H), 1.19 - 1.09 (m, 2H), 1.07 - 0.97 (m, 1H), 0.93 - 0.80 (m, 9H), 0.51 - 0.43 (m, 2H), 0.16 - 0.09 (m, 2H)
319	- - -	- - -	HRMS - ESI (*m/z*) $[M]^+$ calculada para $C_{23}H_{28}N_2O_6$, 428.1947; encontrada, 428.1953	^{1}H RMN (500 MHz, $CDCl_3$) δ 12.12 (d, *J* = 0.6 Hz, 1H), 8.40 (d, *J* = 8.1 Hz, 1H), 7.97 (d, *J* = 5.2 Hz, 1H), 7.36 - 7.19 (m, 5H), 6.86 (d, *J* = 5.2 Hz, 1H), 5.14 (h, *J* = 6.3 Hz, 1H), 4.66 - 4.52 (m, 1H), 4.33 (d, *J* = 6.4 Hz, 1H), 3.94 (s, 3H), 3.26 - 3.12 (m, 2H), 1.35 (d, *J* = 6.3 Hz, 3H), 1.22 (d, *J* = 7.2 Hz, 3H), 1.01 (ttt, *J* = 8.1, 6.7, 4.8 Hz, 1H), 0.54 - 0.40 (m, 2H), 0.19 - 0.04 (m, 2H) ^{13}C RMN (126 MHz, $CDCl_3$) δ 171.34, 168.57, 155.33, 148.71, 140.44, 138.68, 130.47, 128.24, 128.00, 127.58, 109.41, 83.04, 74.45, 73.74,

*Comp. No.	P.F. (°C)	*1R (cm^{-1})	MASA	RMN (^{1}H, ^{13}C, ^{19}F)
				56 07, 47.88, 17.97, 16.06, 10.57, 3.17, 2.71
320	- - -	- - -	HRMS - ESI (*m/z*) $[M]^+$ calculada para $C_{20}H_{30}N_2O_6$, 394.2107, encontrada, 394.2104	^{1}H RMN (500 MHz, $CDCl_3$) δ 12.12 (d, *J* = 0.6 Hz, 1H), 8.47 (d, *J* = 7.8 Hz, 1H), 7.99 (d, *J* = 5.2 Hz, 1H), 6.87 (d, *J* = 5.2 Hz, 1H), 5.15 (qd, *J* = 6 4, 3.6 Hz, 1H), 4.75 - 4.64 (m, 1H), 3.95 (s, 3H), 3.49 (dd, *J* = 9.8, 6.8 Hz, 1H), 3.25 (dd, *J* = 9.8, 6.9 Hz, 1H), 3.03 (dd, *J* = 7.3, 3.6 Hz, 1H), 1.79 - 1.68 (m, 1H), 1.55 (d, *J* = 7.2 Hz, 3H), 1.28 (dd, *J* = 6 4, 4.4 Hz, 3H), 1.10 - 1.00 (m, 1H), 0.96 (dd, *J* = 17.0, 6.7 Hz, 6H), 0.48 (tddd, *J* = 10.8, 5.9, 3.1, 2.0 Hz, 2H), 0.15 - 0.08 (m, 2H) ^{13}C RMN (126 MHz, $CDCl_3$) δ 171.44, 168.70, 155.39, 148.76, 140.50, 130.42, 109.45, 86.05, 77.77, 73.89, 56.09, 48.10, 30.53, 19.57, 18.71, 18.22, 14.39, 11.07, 2.92, 2.80
321	- - -	- - -	ESIMS *m/z* 549 ($[M+H]^+$)	^{1}H RMN (400 MHz, $CDCl_3$) δ 12.14 (s, 1H), 8.48 (d, *J* = 7.9 Hz, 1H), 7.95 (d, *J* = 5.1 Hz, 1H), 7.32 - 7.21 (m, 4H), 7.21 7.10 (m, 6H), 6.83 (d, *J* = 5.3 Hz, 1H), 5.28 - 5.18 (m, 1H), 4.70 (p, *J* =

*Comp. No.	P.F. (°C)	*1R (cm^{-1})	MASA	RMN (^{1}H, ^{13}C, ^{19}F)
				7.2 Hz, 1H), 3.92 (s, 3H), 3.67 (dt, *J* = 8.9, 6.2 Hz, 1H), 3.44 (dt, *J* = 8.9, 6.3 Hz, 1H), 3.36 - 3.29 (m, 1H), 2.98 (dd, *J* = 13.7, 4.3 Hz, 1H), 2.71 - 2.62 (m, 2H), 2.44 (dd, *J* = 13.8, 9.9 Hz, 1H), 1.92 - 1.81 (m, 2H), 1.73 (dt, *J* = 10.3, 5.0 Hz, 1H), 1.52 (d, *J* = 7.3 Hz, 3H), 1.39 - 1.27 (m, 2H), 1.33 (d, *J* = 6.4 Hz, 3H), 0.86 (t, *J* = 7.5 Hz, 3H) ^{13}C RMN (101 MHz, $CDCl_3$) δ 171.43, 168.72, 155.38, 148.78, 142.00, 141.41, 140.50, 130.42, 129.15, 128.39, 128.33, 128.23, 125.80, 125.72, 109.47, 82.11, 73.18, 71.99, 56.08, 48.11, 43.54, 35.43, 32.47, 31.97, 22.07, 18.28, 15.40, 10.72
322	- - -	- - -	HRMS - ESI (*m/z*) ($[M+H]^+$) calculada para $C_{31}H_{39}N_2O_8$, 567.2701; encontrada, 567.2705	^{1}H RMN (500 MHz, $CDCl_3$) δ 12.13 - 12.05 (m, 1H), 8.44 (d, *J* = 7.9 Hz, 1H), 7.97 (d, *J* = 5.2 Hz, 1H), 7.24 - 7.19 (m, 2H), 7.07 (d, *J* = 8.6 Hz, 2H), 6.94 - 6.89 (m, 1H), 6.89 - 6.84 (m, 3H), 6.84 - 6.79 (m, 2H), 5.35 (p, *J* = 6.3 Hz, 1H), 4.66 (p, *J* = 7.2 Hz, 1H), 4.53 - 4.47 (m, 1H), 3.94 (s, 3H), 3.79 (s, 3H), 3.34 (dt, *J* = 9 6, 6.6 Hz, 1H), 3.27 (dt, *J* = 9.6, 6.5 Hz, 1H), 3.19 (s,

*Comp. No.	P.F. (°C)	*1R (cm^{-1})	MASA	RMN (^{1}H, ^{13}C, ^{19}F)
				3H), 2.98 (dd, *J* = 13.9, 4.9 Hz, 1H), 2.51 (dd, *J* = 14.0, 9.6 Hz, 1H), 2.17 - 2.07 (m, 1H), 1.68 (dq, *J* = 13.3, 6.6 Hz, 1H), 1.61 - 1.53 (m, 1H), 1.41 (d, *J* = 7.2 Hz, 3H), 1.37 (d, *J* = 6.4 Hz, 3H) ^{13}C RMN (126 MHz, $CDCl_3$) δ 171.40, 168.68, 159.21, 157.91, 155.37, 148.76, 140.48, 132.47, 130.41, 130.09, 129.52, 121.13, 115.93, 113.77, 109.45, 80.11, 72.33, 70.63, 58.43, 56.08, 55.26, 48.01, 39.56, 35.11, 29.53, 18.00, 16.18
323	- - -	- - -	HRMS - ESI (*m/z*) ($[M+H]^+$) calculada para $C_{30}H_{36}FN_2O_7$, 555.2501; encontrada, 555.2508	^{1}H RMN (500 MHz, $CDCl_3$) δ 12.10 - 12.06 (m, 1H), 8.42 (d, *J* = 7.8 Hz, 1H), 7.97 (d, *J* = 5.2 Hz, 1H), 7.25 - 7.20 (m, 2H), 7.14 - 7.08 (m, 2H), 6.98 - 6.83 (m, 6H), 5.35 (p, *J* = 6.3 Hz, 1H), 4.66 (p, *J* = 7.2 Hz, 1H), 4.57 - 4.45 (m, 1H), 3.94 (s, 3H), 3.33 (dt, *J* = 9.6, 6.5 Hz, 1H), 3.25 (dt, *J* = 9.6, 6.4 Hz, 1H), 3.18 (s, 3H), 3.02 (dd, *J* = 14.0, 4.8 Hz, 1H), 2.54 (dd, *J* = 14.0, 9.7 Hz, 1H), 2.14 (ddq, *J* = 14.5, 9.7, 4.9 Hz, 1H), 1.67 (dq, *J* = 13.3, 6.5 Hz, 1H), 1.59 - 1.51 (m, 1H), 1.41 (d,

*Comp. No.	P.F. (°C)	*1R (cm^{-1})	MASA	RMN (^{1}H, ^{13}C, ^{19}F)
				J = 7.2 Hz, 3H), 1.37 (d, *J* = 6.4 Hz, 3H) ^{13}C RMN (126 MHz, $CDCl_3$) δ 171.41, 168.71, 161.36 (d, *J* = 243.8 Hz), 159.15, 155.39, 148.77, 140.49, 136.17 (d, *J* = 3.1 Hz), 130.52 (d, *J* = 7.8 Hz), 130.37, 129.56, 121.24, 115.90, 115.09 (d, *J* = 21.1 Hz), 109.46, 80.03, 72.21, 70.48, 58.44, 56.09, 48.01, 39.41, 35.18, 29.55, 17.94, 16.19
324	- - -	- - -	HRMS - ESI (*m/z*) ($[M+H]^+$) calculada para $C_{28}H_{38}FN_2O_8$, 549.2607; encontrada, 549.2613	^{1}H RMN (500 MHz, $CDCl_3$) δ 12.09 (d, *J* = 0.5 Hz, 1H), 8.44 (d, *J* = 7.9 Hz, 1H), 7.96 (d, *J* = 5.2 Hz, 1H), 7.14 - 7.03 (m, 2H), 6.99 - 6.87 (m, 2H), 6.84 (d, *J* = 5.2 Hz, 1H), 5.30 (p, *J* = 6.4 Hz, 1H), 5.19 - 5.11 (m, 1H), 4.70 (p, *J* = 7.2 Hz, 1H), 3.94 (s, 3H), 3.31 (dt, *J* = 9.5, 6.9 Hz, 1H), 3.24 (dt, *J* = 9.5, 6.2 Hz, 1H), 3.18 (s, 3H), 2.89 (dd, *J* = 14.0, 4.0 Hz, 1H), 2.58 (p, *J* = 7.0 Hz, 1H), 2.35 (dd, *J* = 14.0, 10.3 Hz, 1H), 2.14 - 2.03 (m, 1H), 1.54 (d, *J* = 7.2 Hz, 3H), 1.53 - 1.48 (m, 1H), 1.46 - 1.38 (m, 1H), 1.30 (d, *J* = 6.4 Hz, 3H), 1.20 (d, *J* = 7.0 Hz, 6H)

*Comp. No.	P.F. (°C)	*1R (cm^{-1})	MASA	RMN (^{1}H, ^{13}C, ^{19}F)
				^{13}C RMN (126 MHz, $CDCl_3$) δ 176.34, 171.38, 168.75, 161.37 (d, *J* = 243.9 Hz), 155.37, 148.76, 140.50, 135.72 (d, *J* = 3.2 Hz), 130.39, 130.34 (d, *J* = 2.6 Hz), 115.13 (d, *J* = 21.1 Hz), 109.44, 74.24, 70.79, 69.64, 58.44, 56.07, 47.96, 37.39, 35.01, 34.25, 29.43, 19.06, 18.09, 15.57
325	- - -	- - -	HRMS - ESI (*m/z*) $[M]^+$ calculada para $C_{25}H_{26}N_2O_6$, 450.1791; encontrada, 450.1795	^{1}H RMN (500 $CDCl_3$) δ 12.08 (s, 1H), 8.40 (d, *J* = 7.9 Hz, 1H), 7.97 (d, *J* = 5.2 Hz, 1H), 7.42 - 7.34 (m, 2H), 7.35 - 7.20 (m, 3H), 7.21 - 7.08 (m, 2H), 6.91 - 6.75 (m, 4H), 5.30 (qd, *J* = 6 5, 5.2 Hz, 1H), 5.20 (d, *J* = 5.1 Hz, 1H), 4.64 (p, *J* = 7.3 Hz, 1H), 3.93 (s, 3H), 1.40 (d, *J* = 6.4 Hz, 3H), 1.30 (d, *J* = 7.2 Hz, 3H) ^{13}C RMN (126 MHz, $CDCl_3$) δ 171.55, 168.65, 157.83, 155.34, 148.72, 140.44, 137.48, 130.40, 129.34, 128.53, 128.19, 126.95, 121.19, 115.92, 109.42, 81.18, 74.52, 56.06, 47.93, 18.02, 15.09
326	- - -	3370, 2966, 2937, 2877,	HRMS - ESI (*m/z*) ($[M+H]^+$) calculada	^{1}H RMN (400 MHz, $CDCl_3$) δ 12.12 (d, *J* = 0.6 Hz, 1H), 8.43 (d, *J* = 7.9 Hz,

*Comp. No.	P.F. (°C)	*1R (cm^{-1})	MASA	RMN (^{1}H, ^{13}C, ^{19}F)
		1736, 1649	para $C_{25}H_{34}N_2O_7$, 475.2439; encontrada, 475 2449	1H), 7.98 (d, *J* = 5.2 Hz, 1H), 7.25 - 7.21 (m, 2H), 6.95 - 6.89 (m, 3H), 6.87 (d, *J* = 5.2 Hz, 1H), 5.18 (qd, *J* = 6 4, 4.3 Hz, 1H), 4.70 - 4.59 (m, 1H), 4.22 (dt, *J* = 12.6, 6.3 Hz, 1H), 3.95 (s, 3H), 3.63 - 3.46 (m, 3H), 1.88 - 1.78 (m, 1H), 1.77 - 1.65 (m, 1H), 1.61 - 1.49 (m, 2H), 1.45 (d, *J* = 7.2 Hz, 3H), 1.37 (d, *J* = 6.5 Hz, 3H), 1.00 (t, *J* = 7.5 Hz, 3H), 0.86 (t, *J* = 7.4 Hz, 3H)
327	- - -	3370, 2961, 2934, 1739, 1650, 1530, 1482, 1240	HRMS - ESI (*m/z*) $[M]^+$ calculada para $C_{26}H_{34}N_2O_7$, 486.2366; encontrada, 486.2365	^{1}H RMN (400 MHz, $CDCl_3$) δ 12.10 (d, *J* = 0.6 Hz, 1H), 8.39 (d, *J* = 8.2 Hz, 1H), 7.98 (d, *J* = 5.2 Hz, 1H), 7.27 - 7.20 (m, 2H), 7.06 - 7.01 (m, 2H), 6.94 - 6.89 (m, 1H), 6.87 (d, *J* = 5.4 Hz, 1H), 5.43 - 5.34 (m, 1H), 4.67 - 4.57 (m, 1H), 4.49 - 4.45 (m, 1H), 3.95 (s, 3H), 3.73 - 3.64 (m, 1H), 3.34 - 3.26 (m, 1H), 2.80 (dd, *J* = 8.6, 4.3 Hz, 1H), 1.60 - 1.48 (m, 2H), 1.39 (d, *J* = 6.4 Hz, 3H), 1.33 (d, *J* = 7.2 Hz, 3H), 1.02 - 0.91 (m, 1H), 0.86 (t, *J* = 7.4 Hz, 3H), 0.72 - 0.62 (m, 1H), 0.51 - 0.38 (m, 2H), 0.21 - 0.12 (m, 1H)

*Comp. No.	P.F. (°C)	*1R (cm^{-1})	MASA	RMN (^{1}H, ^{13}C, ^{19}F)
328	- - -	3371, 2955, 1736, 1650, 1528, 1452, 1264	HRMS - ESI (*m/z*) $[M]^+$ calculada para $C_{25}H_{40}N_2O_6$, 464.2886; encontrada, 464.2883	^{1}H RMN (400 MHz, $CDCl_3$) δ 12.13 (s, 1H), 8.47 (d, *J* = 7.9 Hz, 1H), 7.99 (d, *J* = 5.2 Hz, 1H), 6.87 (d, *J* = 5.2 Hz, 1H), 5.20 - 5.11 (m, 1H), 4.76 - 4.65 (m, 1H), 3.95 (s, 3H), 3.49 (dd, *J* = 9.8, 6.8 Hz, 1H), 3.28 - 3.20 (m, 2H), 1.60 - 1.39 (m, 2H), 1.55 (d, *J* = 7.2 Hz, 3H), 1.39 - 1.22 (m, 4H), 1.29 (d, *J* = 6.4 Hz, 3H), 1.22 - 0.97 (m, 3H), 0.92 - 0.83 (m, 9H), 0.50 - 0.43 (m, 2H), 0.16 - 0.10 (m, 2H)
329	- - -	3373, 2940, 1736, 1650, 1529, 1451, 1264	HRMS - ESI (*m/z*) $[M]^+$ calculada para $C_{26}H_{40}N_2O_6$, 476.2886, encontrada, 476.2890	^{1}H RMN (400 MHz, $CDCl_3$) δ 12.14 (s, 1H), 8.48 (d, *J* = 8.0 Hz, 1H), 7.99 (d, *J* = 5.2 Hz, 1H), 6.87 (d, *J* = 5.2 Hz, 1H), 5.18 - 5.09 (m, 1H), 4.76 - 4.65 (m, 1H), 3.95 (s, 3H), 3.46 (dd, *J* = 9.8, 6.7 Hz, 1H), 3.31 - 3.21 (m, 2H), 1.88 - 1.53 (m, 6H), 1.55 (d, *J* = 7.2 Hz, 3H), 1.53 - 1.24 (m, 6H), 1.30 (d, *J* = 6.4 Hz, 3H), 1.13 - 0.94 (m, 3H), 0.89 (t, *J* = 7.1 Hz, 3H), 0.52 - 0.43 (m, 2H), 0.17 - 0.11 (m, 2H)
330	- - -	- - -	HRMS - ESI (*m/z*) ($[M+H]^+$) calculada para $C_{34}H_{45}N_2O_8$,	^{1}H RMN (400 MHz, $CDCl_3$) δ 12.11 (d, *J* = 0.6 Hz, 1H), 8.44 (d, *J* = 7.9 Hz, 1H), 7.97 (d, *J* = 5.2 Hz, 1H), 7.25 -

*Comp. No.	P.F. (°C)	*1R (cm^{-1})	MASA	RMN (^{1}H, ^{13}C, ^{19}F)
			609.3170, encontrada, 609.3179	7.17 (m, 2H), 7.12 - 7.03 (m, 2H), 6.97 - 6.87 (m, 3H), 6.85 (d, *J* = 5.1 Hz, 1H), 6.83 - 6.75 (m, 2H), 5.45 - 5.33 (m, 1H), 4.71 - 4.56 (m, 2H), 3.94 (s, 3H), 3.79 (s, 3H), 3.31 (dt, *J* = 8.8, 6.3 Hz, 1H), 3.22 (dt, *J* = 8.9, 6.5 Hz, 1H), 2.99 (dd, *J* = 13.9, 4.8 Hz, 1H), 2.51 (dd, *J* = 13.9, 9.8 Hz, 1H), 2.18 - 2.06 (m, 1H), 1.71 - 1.59 (m, 1H), 1.57 1.47 (m, 1H), 1.39 (d, *J* = 3.7 Hz, 3H), 1.37 (d, *J* = 2.9 Hz, 3H), 1.11 (s, 9H) ^{13}C RMN (126 MHz, $CDCl_3$) δ 171.34, 168.64, 159.50, 157.85, 155.35, 148.74, 140.46, 132.66, 130.43, 130.10, 129.43 121.02, 116.12, 113.73, 109.42, 80.66, 72.57, 59.61, 56.07, 55.27, 47.99, 40.08, 35.13, 30.13, 27.49, 18.08, 15.89
331	- - -	3369, 2981, 2938, 2870, 1737, 1648	HRMS - ESI (*m/z*) ($[M+H]^+$) calculada para $C_{20}H_{24}N_2O_6$, 389.1707; encontrada, 389.1711	^{1}H RMN (400 MHz, $CDCl_3$) δ 12.15 (d, *J* = 0.6 Hz, 1H), 8.50 (d, *J* = 7.9 Hz, 1H), 7.98 (d, *J* = 5.2 Hz, 1H), 7.43 - 7.19 (m, 5H), 6.95 - 6.77 (m, 1H), 5.23 (pd, *J* = 6.5, 4.1 Hz, 1H), 4.71 (dq, *J* = 8.0, 7.2 Hz, 1H), 4.54 (d, *J* = 6.3 Hz, 2H), 3.94 (s, 3H), 3.59 - 3.47

*Comp. No.	P.F. (°C)	*1R (cm^{-1})	MASA	RMN (^{1}H, ^{13}C, ^{19}F)
				(m, 2H), 1.54 (d, *J* = 7.2 1.29 (d, *J* = 6.5 Hz, 3H)
332	- - -	3370, 2958, 2938, 2872, 1736, 1649, 1576, 1528, 1497, 1481, 1452, 1439, 1325, 1280, 1263, 1242, 1212, 1152, 1097, 1059, 1028, 954, 923, 849, 800, 733, 698, 647, 615, 601	HRMS - ESI (*m/z*) ($[M+H]^+$) calculada para $C_{23}H_{31}N_2O_6$, 431.2177; encontrada, 431.2178	^{1}H RMN (400 MHz, $CDCl_3$) δ 12.13 (d, *J* = 0.6 Hz, 1H), 8.50 (d, *J* = 7.8 Hz, 1H), 7.94 (d, *J* = 5.2 Hz, 1H), 7.39 - 7.21 (m, 6H), 6.83 (d, *J* = 5.2 Hz, 1H), 5.16 (qd, *J* = 6.5, 3.0 Hz, 1H), 4.80 - 4.62 (m, 2H), 4.45 (d, *J* = 11.3 Hz, 1H), 3.91 (s, 3H), 3.49 (dt, *J* = 8.3, 3.3 Hz, 1H), 1.55 (d, *J* = 7.2 Hz, 3H), 1.54 - 1.32 (m, 3H), 1.30 (d, *J* = 6.5 Hz, 3H), 0.90 (t, *J* = 7.0 Hz, 3H)
333	- - -	3369, 3063, 2981, 2940, 2877, 1737, 1648, 1576, 1528, 1452, 1438, 1324, 1280, 1263, 1242, 1211,	HRMS - ESI (*m/z*) ($[M+H]^+$) calculada para $C_{23}H_{29}N_2O_6$, 429.2020; encontrada, 429.2025	^{1}H RMN (400 MHz, $CDCl_3$) δ 12.12 (d, *J* = 0.6 Hz, 1H), 8.49 (d, *J* = 7.9 Hz, 1H), 7.94 (d, *J* = 5.2 Hz, 1H), 7.38 - 7.19 (m, 5H), 6.83 (dd, *J* = 5.2, 2.6 Hz, 1H), 5.84 (ddt, *J* = 17.2, 10.2, 7.0 Hz, 1H), 5.20 - 5.00 (m, 3H), 4.79 - 4.66 (m, 1H), 4.62 (d, *J* = 11.5 Hz, 1H), 4.52 (d, *J* = 11.5 Hz, 1H), 3.92 (s,

*Comp. No.	P.F. (°C)	*1R (cm^{-1})	MASA	RMN (^1H, ^{13}C, ^{19}F)
		1151, 1095, 1060, 997, 954, 917, 849, 801, 734, 698, 647, 615, 600		3H), 3.57 (ddd, *J* = 7.2, 5.3, 3.5 Hz, 1H), 2.42 - 2.24 (m, 2H), 1.54 (d, *J* = 7.2 Hz, 3H), 1.31 (d, *J* = 6.5 Hz, 3H)
334	- - -	- - -	HRMS - ESI (*m/z*) ($[M+H]^+$) calculada para $C_{16}H_{25}N_2O_6$, 341.1707; encontrada, 341.1707	^1H RMN (400 MHz, $CDCl_3$) δ 12.16 (d, *J* = 0.5 Hz, 1H), 8.51 (d, *J* = 7.7 Hz, 1H), 7.99 (d, *J* = 5.2 Hz, 1H), 6.87 (d, *J* = 5.2 Hz, 1H), 5.18 (pd, *J* = 6.5, 4.3 Hz, 1H), 4.71 (p, *J* = 7.2 Hz, 1H), 3.94 (s, 3H), 3.57 - 3.30 (m, 4H), 1.60 - 1.50 (m, 5H), 1.28 (d, *J* = 6.5 Hz, 3H), 0.89 (t, *J* = 7.4 Hz, 3H) ^{13}C RMN (126 MHz, $CDCl_3$) δ 171.86, 168.70, 155.35, 148.73, 140.47, 130.51, 109.42, 73.05, 72.97, 70.95, 56.07, 48.01, 22.85, 18.43, 16.56, 10.49
335	- - -	- - -	HRMS - ESI (*m/z*) ($[M+H]^+$) calculada para $C_{19}H_{23}N_2O_6$, 375.1551; encontrada,	^1H RMN (500 MHz, $CDCl_3$) δ 12.11 (d, *J* = 0.5 Hz, 1H), 8.49 (d, *J* = 7.6 Hz, 1H), 7.98 (d, *J* = 5.2 Hz, 1H), 7.30 - 7.25 (m, 2H), 6.96 (tt, *J* = 7.4, 1.0 Hz, 1H), 6.93 - 6.84 (m, 3H), 5.37 (pd, *J* =

*Comp. No.	P.F. (°C)	*1R (cm^{-1})	MASA	RMN (^{1}H, ^{13}C, ^{19}F)
			375.1558	6.4, 4.4 Hz, 1H), 4.78 - 4.63 (m, 1H), 4.09 - 3.99 (m, 2H), 3.94 (s, 3H), 1.53 (d, *J* = 7.2 Hz, 3H), 1.41 (d, *J* = 6.5 Hz, 3H) ^{13}C RMN (126 MHz, $CDCl_3$) δ 171.89, 168.75, 158.45, 155.36, 148.74, 140.49, 130.46, 129.51, 121.17, 114.57, 109.44, 70.29, 69.85, 56.07, 48.01, 18.37, 16.57
336	- - -	- - -	HRMS - ESI (*m/z*) ($[M+H]^+$) calculada para $C_{17}H_{25}N_2O_7$, 369.1656; encontrada, 369.1659	^{1}H RMN (500 MHz, $CDCl_3$) δ 12.11 (d, *J* = 0.6 Hz, 1H), 8.47 (d, *J* = 7.7 Hz, 1H), 8.00 (d, *J* = 5.2 Hz, 1H), 6.87 (d, *J* = 5.2 Hz, 1H), 5.24 (ddq, *J* = 9.9, 6.6, 3.3 Hz, 1H), 4.77 - 4.67 (m, 1H), 4.25 (dd, *J* = 11.9, 3.3 Hz, 1H), 4.07 (dd, *J* = 11.9, 7.0 Hz, 1H), 3.95 (s, 3H), 2.62 - 2.46 (m, 1H), 1.55 (d, *J* = 7.2 Hz, 3H), 1.31 (d, *J* = 6.5 Hz, 3H), 1.16 (dd, *J* = 7.0, 3.5 Hz, 6H) ^{13}C RMN (101 MHz, $CDCl_3$) δ 176.59, 171.66, 168.74, 155.38, 148.77, 140.50, 130.44, 109.47, 69.85, 65.63, 56.08, 47.93, 33.90, 18.89, 18.33, 16.40
337	- - -	3369, 2936,	HRMS - ESI (*m/z*)	^{1}H RMN (400 MHz, $CDCl_3$) δ 12.13 (d,

*Comp. No.	P.F. (°C)	*1R (cm^{-1})	MASA	RMN (^{1}H, ^{13}C, ^{19}F)
		2875, 1736, 1648, 1576, 1528, 1480, 1451, 1325, 1280, 1212, 1192, 1150, 1058, 1028, 954 913, 849 800, 732, 698, 647, 614, 601	([M+H]$^{+}$) calculada para $C_{23}H_{31}N_2O_7$, 447.2126; encontrada, 447.2128	*J* = 0.7 Hz, 1H), 8.50 (d, *J* = 7.9 Hz, 1H), 7.95 (d, *J* = 5.2 Hz, 1H), 7.39 - 7.22 (m, 5H), 6.84 (dd, *J* = 5.3, 0.7 Hz, 1H), 5.21 (qd, *J* = 6.5, 2.9 Hz, 1H), 4.79 - 4.65 (m, 2H), 4.46 (d, *J* = 11.3 Hz, 1H), 3.93 (s, 3H), 3.67 (ddd, *J* = 9.2, 3.7, 2.9 Hz, 1H), 3.53 - 3.39 (m, 2H), 3.29 (s, 3H), 1.86 1.67 (m, 2H), 1.54 (d, *J* = 7.2 Hz, 3H), 1.30 (d, *J* = 6.5 Hz, 3H)
338	- - -	- - -	HRMS - ESI (*m/z*) ([M+H]$^{+}$) calculada para $C_{17}H_{25}N_2O_6$, 353.1707, encontrada, 353.1715	^{1}H RMN (400 MHz, $CDCl_3$) δ 12.15 (s, 1H), 8.50 (d, *J* = 7.7 Hz, 1H), 7.99 (d, *J* = 5.2 Hz, 1H), 6.87 (d, *J* = 5.2 Hz, 1H), 5.26 - 5.12 (m, 1H), 4.71 (p, *J* = 7.2 Hz, 1H), 3.95 (s, 3H), 3.59 - 3.45 (m, 2H), 3.36 - 3.24 (m, 2H), 1.56 (d, *J* = 7.2 Hz, 3H), 1.28 (d, *J* = 6.5 Hz, 3H), 1.10 - 0.95 (m, 1H), 0.57 - 0.47 (m, 2H), 0.24 - 0.14 (m, 2H) ^{13}C RMN (126 MHz, $CDCl_3$) δ 171.85, 168.70, 155.35, 148.74, 140.47, 130.51, 109.42, 75.90, 72.73, 70.93, 56.07, 48.01, 18.44, 16.59, 10.50, 2.91, 2.86

*Comp. No.	P.F. (°C)	*1R (cm^{-1})	MASA	RMN (^{1}H, ^{13}C, ^{19}F)
339	- - -	- - -	HRMS - ESI (*m/z*) ($[M+H]^+$) calculada para $C_{17}H_{27}N_2O_6$, 355.1864, encontrada, 355.1871	^{1}H RMN (400 MHz, $CDCl_3$) δ 12.16 (d, *J* = 0.6 Hz, 1H), 8.50 (d, *J* = 7.7 Hz, 1H), 7.99 (d, *J* = 5.2 Hz, 1H), 6.87 (d, *J* = 5.2 Hz, 1H), 5.18 (pd, *J* = 6.5, 4.1 Hz, 1H), 4.82 - 4.63 (m, 1H), 3.95 (s, 3H), 3.50 (dd, *J* = 10.7, 6.6 Hz, 1H), 3.44 (dd, *J* = 10.7, 4.1 Hz, 1H), 3.23 (dd, *J* = 9.0, 6.6 Hz, 1H), 3.16 (dd, *J* = 9.0, 6.7 Hz, 1H), 1.95 - 1.74 (m, 1H), 1.55 (d, *J* = 7.2 Hz, 3H), 1.27 (d, *J* = 6.5 Hz, 3H), 0.87 (d, *J* = 6.7 Hz, 6H) ^{13}C RMN (126 MHz, $CDCl_3$) δ 171.85, 168.69, 155.35, 148.74, 140.47, 130.53, 109.41, 78.25, 73.17, 70.99, 56.07, 48.01, 28.44, 19.24, 18.45, 16.57
340	- - -	- - -	HRMS - ESI (*m/z*) ($[M+H]^+$) calculada para $C_{18}H_{27}N_2O_6$, 367.1864, encontrada, 367.1868	^{1}H RMN (400 MHz, $CDCl_3$) δ 12.16 (d, *J* = 0.5 Hz, 1H), 8.51 (d, *J* = 7.7 Hz, 1H), 7.99 (d, *J* = 5.2 Hz, 1H), 6.87 (d, *J* = 5.2 Hz, 1H), 5.13 (pd, *J* = 6.4, 3.9 Hz, 1H), 4.81 - 4.64 (m, 1H), 3.94 (s, 3H), 3.92 - 3.83 (m, 1H), 3.46 - 3.38 (m, 2H), 1.76 - 1.57 (m, 6H), 1.55 (d, *J* = 7.2 Hz, 3H), 1.49 (td, *J* = 5.8, 5.1, 2.5 Hz, 2H), 1.26 (d, *J* = 6.5 Hz, 3H) ^{13}C RMN (126 MHz, $CDCl_3$) δ 171.85,

*Comp. No.	P.F. (°C)	*1R (cm^{-1})	MASA	RMN (^{1}H, ^{13}C, ^{19}F)
				168.68, 155.35, 148.73, 140.46, 130.54, 109.41, 81.73, 71.19, 70.94, 56.07, 48.01, 32.30, 32.13, 23.48, 18.48, 16.66
341	- - -	- - -	HRMS - ESI (*m/z*) ($[M+H]^+$) calculada para $C_{17}H_{27}N_2O_6$, 355.1864, encontrada, 355.1868	^{1}H RMN (400 MHz, $CDCl_3$) δ 12.17 (d, *J* = 0.6 Hz, 1H), 8.53 (d, *J* = 7.7 Hz, 1H), 7.99 (d, *J* = 5.2 Hz, 1H), 6.87 (d, *J* = 5.2 Hz, 1H), 5.08 (pd, *J* = 6.4, 4.5 Hz, 1H), 4.79 - 4.62 (m, 1H), 3.94 (s, 3H), 3.42 (dd, *J* = 9.8, 6.5 Hz, 1H), 3.37 (dd, *J* = 9.8, 4.5 Hz, 1H), 1.56 (d, *J* = 7.2 Hz, 3H), 1.27 (d, *J* = 6.5 Hz, 3H), 1.17 (s, 9H) ^{13}C RMN (101 (MHZ, $CDCl_3$) δ 171.84, 168.67, 155.33, 148.72, 140.45, 130.54, 109.40, 72.98, 71.74, 64.27, 56.05, 48.02, 27.42, 18.57, 16.73
342	- - -	3368, 2982, 2938, 2838, 1735, 1648, 1527, 1279, 1057	HRMS - ESI (*m/z*) ($[M+H]^+$) calculada para $C_{21}H_{27}N_2O_6$, 403.1864; encontrada, 403.1855	^{1}H RMN (400 MHz, $CDCl_3$) δ 12.13 (d, *J* = 0.7 Hz, 1H), 8.51 (d, *J* = 7.8 Hz, 1H), 7.97 (d, *J* = 5.2 Hz, 1H), 7.33 - 7.24 (m, 2H), 7.24 - 7.17 (m, 3H), 6.89 - 6.82 (m, 1H), 5.08 (qd, *J* = 6 5, 3.4 Hz, 1H), 4.79 - 4.67 (m, 1H), 3.92 (s, 3H), 3.52 - 3.43 (m, 1H), 3.26 (s,

*Comp. No.	P.F. (°C)	*1R (cm^{-1})	MASA	RMN (^{1}H, ^{13}C, ^{19}F)
				3H), 2.76 (d, *J* = 6.3 Hz, 2H), 1.57 (d, *J* = 7.2 Hz, 3H), 1.31 (d, *J* = 6.5 Hz, 3H)
343	- - -	3369, 2954, 2872, 1736, 1649, 1527, 1263, 1058	HRMS - ESI (*m/z*) ($[M+H]^+$) calculada para $C_{24}H_{33}N_2O_6$, 445.2333; encontrada, 445.2328	^{1}H RMN (400 MHz, $CDCl_3$) δ 12.14 (d, *J* = 0.7 Hz, 1H), 8.50 (d, *J* = 7.8 Hz, 1H), 7.98 (d, *J* = 5.2 Hz, 1H), 7.32 - 7.23 (m, 2H), 7.23 - 7.15 (m, 3H), 6.86 (dd, *J* = 5.2, 0.7 Hz, 1H), 5.08 (qd, *J* = 6.5, 3.3 Hz, 1H), 4.72 (dq, *J* = 7.9, 7.2 Hz, 1H), 3.93 (s, 3H), 3.51 (ddd, *J* = 7.3, 5.5, 3.4 Hz, 1H), 3.28 - 3.18 (m, 1H), 2.94 (dd, *J* = 8.6, 6.3 Hz, 1H), 2.80 - 2.72 (m, 2H), 1.74 - 1.61 (m, 1H), 1.56 (d, *J* = 7.2 Hz, 3H), 1.32 (d, *J* = 6.5 Hz, 3H), 0.80 - 0.70 (m, 6H)
344	- - -	3368, 2985, 2939, 1735, 1648, 1527, 1452, 1263, 1057	HRMS - ESI (*m/z*) ($[M+H]^+$) calculada para $C_{24}H_{31}N_2O_6$, 443.2177; encontrada, 443.2173	^{1}H RMN (400 MHz, $CDCl_3$) δ 12.14 (d, *J* = 0.6 Hz, 1H), 8.50 (d, *J* = 7.8 Hz, 1H), 7.97 (dd, *J* = 5.3, 1.1 Hz, 1H), 7.32 - 7.24 (m, 2H), 7.24 - 7.15 (m, 3H), 6.89 - 6.82 (m, 1H), 5.06 (qd, *J* = 6.4, 3.8 Hz, 1H), 4.78 - 4.66 (m, 1H), 3.92 (s, 3H), 3.56 (ddd, *J* = 7.5, 5.4, 3.8 Hz, 1H), 3.30 (dd, *J* = 9.9, 6.8 Hz, 1H), 2.98 (dd, *J* = 9.9, 6.8 Hz, 1H),

*Comp. No.	P.F. (°C)	*1R (cm^{-1})	MASA	RMN (^1H, ^{13}C, ^{19}F)
				2.79 - 2.72 (m, 2H), 1.56 (d, *J* = 7.2 Hz, 3H), 1.33 (d, *J* = 6.5 Hz, 3H), 0.93 - 0.80 (m, 1H), 0.44 - 0.34 (m, 2H), 0.07 - 0.05 (m, 2H)
345	- - -	3367, 2939, 1737, 1648, 1527, 1480, 1239	HRMS - ESI calculada para $C_{26}H_{29}N_2O_6$, 465.2020; encontrada, 465.2024	^{1}H RMN (500 MHz, $CDCl_3$) δ 12.09 (d, *J* = 0.6 Hz, 1H), 8.41 (d, *J* = 7.9 Hz, 1H), 7.96 (d, *J* = 5.2 Hz, 1H), 7.30 - 7.12 (m, 6H), 6.92 - 6.83 (m, 3H), 6.75 - 6.69 (m, 2H), 5.15 (qd, *J* = 6.5, 3.5 Hz, 1H), 4.64 (dd, *J* = 7.8, 7.1 Hz, 1H), 4.55 (ddd, *J* = 8.1, 4.8, 3.5 Hz, 1H), 3.94 (s, 3H), 3.02 (dd, *J* = 14.3, 7.7 Hz, 1H), 2.94 (dd, *J* = 14.2, 4.9 Hz, 1H), 1.41 (d, *J* = 6.5 Hz, 3H), 1.36 (d, *J* = 7.2 Hz, 3H)
346	45-49	- - -	HRMS - ESI (*m/z*) ($[M+H]^+$) calculada para $C_{24}H_{29}Cl_2N_2O_6$, 511.1397, encontrada, 511.1401	^{1}H RMN (500 MHz, $CDCl_3$) δ 12.05 (d, *J* = 0.6 Hz, 1H), 8.30 (d, *J* = 8.0 Hz, 1H), 7.95 (d, *J* = 5.2 Hz, 1H), 7.26 (d, *J* = 2.7 Hz, 1H), 6.99 (dd, *J* = 8.9, 2.6 Hz, 1H), 6.89 - 6.80 (m, 2H), 5.17 (qd, *J* = 6 5, 2.7 Hz, 1H), 4.63 - 4.53 (m, 1H), 4.35 (dd, *J* = 8.5, 2.7 Hz, 1H), 3.95 (s, 3H), 2.25 - 2.12 (m, 1H), 1.86 (dtd, *J* = 11.9, 7.4, 3.6 Hz, 1H), 1.80 - 1.23 (m, 13H)

*Comp. No.	P.F. (°C)	*1R (cm^{-1})	MASA	RMN (^{1}H, ^{13}C, ^{19}F)
347	- - -	- - -	HRMS - ESI (*m/z*) ($[M+H]^+$) calculada para $C_{22}H_{29}N_2O_6$, 417.2020; encontrada, 417.2023	^{1}H RMN (400 MHz, $CDCl_3$) δ 12.12 (s, 1H), 8.41 (d, *J* = 7.9 Hz, 1H), 7.98 (d, *J* = 5.2 Hz, 1H), 7.26 - 7.17 (m, 2H), 6.99 - 6.91 (m, 2H), 6.91 - 6.84 (m, 2H), 5.27 (p, *J* = 6.4 Hz, 1H), 4.65 - 4.55 (m, 1H), 4.17 (dd, *J* = 6 3, 5.0 Hz, 1H), 3.94 (s, 3H), 2.09 - 1.95 (m, 1H), 1.31 (d, *J* = 6.5 Hz, 3H), 1.25 (d, *J* = 7.2 Hz, 3H), 1.02 (d, *J* = 6.7 Hz, 3H), 0.98 (d, *J* = 6.9 Hz, 3H) ^{13}C RMN (101 MHz, $CDCl_3$) δ 171.86, 168.76, 160.09, 155.50, 148.88, 140.57, 130.62, 129.55, 120.89, 115.67, 109.55, 83.49, 73.14, 56.21, 48.17, 29.93, 19.96, 17.98, 17.19, 16.84
348	- - -	3368.31, 2965.55, 1737.02, 1649.65, 1528.05, 1481.38, 1238.58	HRMS - ESI (*m/z*) ($[M+H]^+$) calculada para $C_{22}H_{29}N_2O_6$, 417.202; encontrada, 417.2017	^{1}H RMN (400 MHz, $CDCl_3$) δ 12.16 (s, 1H), 8.34 (d, *J* = 7.9 Hz, 1H), 8.01 (d, *J* = 5.2 Hz, 1H), 7.26 - 7.21 (m, 2H), 6.98 - 6.86 (m, 4H), 5.39 - 5.16 (m, 1H), 4.56 - 4.43 (m, 1H), 4.13 (dd, *J* = 6.2, 5.2 Hz, 1H), 3.95 (s, 3H), 2.08 - 1.97 (m, 1H), 1.36 (d, *J* = 7.2 Hz, 3H), 1.28 (d, *J* = 6.5 Hz, 3H), 1.02 (d, *J* = 6.8 Hz, 3H), 1.00 (d, *J* = 6.9 Hz, 3H)

*Comp. No.	P.F. (°C)	*1R (cm^{-1})	MASA	RMN (^{1}H, ^{13}C, ^{19}F)
349	- - -	3367.61, 296449, 1736.75, 1649.08, 1527.96, 1481.28, 1238.71	HRMS - ESI (*m/z*) ($[M+H]^+$) calculada para $C_{22}H_{29}N_2O_6$, 417.202, encontrada, 417.2025	^{1}H RMN (400 MHz, $CDCl_3$) δ 12.14 (s, 1H), 8.34 (d, *J* = 7.9 Hz, 1H), 7.99 (d, *J* = 5.2 Hz, 1H), 7.30 - 7.18 (m, 2H), 6.99 - 6.89 (m, 3H), 6.87 (d, *J* = 4.9 Hz, 1H), 5.24 (qd, *J* = 6 5, 3.8 Hz, 1H), 4.50 - 4.40 (m, 1H), 4.21 (dd, *J* = 7.4, 3.7 Hz, 1H), 3.95 (s, 3H), 2.03 - 1.88 (m, 1H), 1.35 (d, *J* = 5.3 Hz, 3H), 1.34 (d, *J* = 4.7 Hz, 3H), 1.04 (d, *J* = 6.7 Hz, 3H), 1.00 (d, *J* = 6.8 Hz, 3H)
350	- - -	3367.32, 2984.27, 1737.93, 1648.90, 1527.87, 1480.95, 1237.99	HRMS - ESI (*m/z*) ($[M+H]^+$) calculada para $C_{25}H_{27}N_2O_6$, 451.1864; encontrada, 451.1869	^{1}H RMN (400 MHz, $CDCl_3$) δ 12.12 (d, *J* = 0.6 Hz, 1H), 8.39 (d, *J* = 7.9 Hz, 1H), 7.99 (d, *J* = 5.2 Hz, 1H), 7.42 - 7.37 (m, 2H), 7.35 - 7.28 (m, 2H), 7.20 - 7.11 (m, 2H), 6.90 - 6.80 (m, 5H), 5.32 - 5.22 (m, 2H), 4.73 - 4.49 (m, 1H), 3.95 (s, 3H), 1.45 (d, *J* = 7.2 Hz, 3H), 1.37 (d, *J* = 6.3 Hz, 3H)
351	- - -	3367.88, 2964.65, 1735.61, 1648.17, 1527.32, 1237.41	HRMS - ESI (*m/z*) ($[M+H]^+$) calculada para $C_{22}H_{29}N_2O_6$, 417.202, encontrada, 417.2025	^{1}H RMN (400 MHz, $CDCl_3$) δ 12.09 (s, 1H), 8.37 (d, *J* = 7.9 Hz, 1H), 7.97 (d, *J* = 5.2 Hz, 1H), 7.25 - 7.17 (m, 2H), 6.97 - 6.84 (m, 4H), 5.23 (qd, *J* = 6.5, 3.9 Hz, 1H), 4.60 - 4.50 (m, 1H), 4.22 (dd, *J* = 7.2, 3.9 Hz, 1H), 3.94 (s, 3H), 2.02 - 1.89 (m, 1H), 1.37 (d, *J* = 6.4

*Comp. No.	P.F. (°C)	*1R (cm^{-1})	MASA	RMN (^{1}H, ^{13}C, ^{19}F)
				Hz, 3H), 1.22 (d, *J* = 7.2 Hz, 3H), 1.04 (d, *J* = 6.7 Hz, 3H), 1.01 (d, *J* = 6.9 Hz, 3H)
352	- - -	3367.65, 2984.35, 1738.51, 1648.67, 1528.19, 1480.80, 1238.38	HRMS - ESI (*m/z*) ($[M+H]^+$) calculada para $C_{25}H_{27}N_2O_6$, 451.1864; encontrada, 451.1872	^{1}H RMN (400 MHz, $CDCl_3$) δ 12.08 (d, *J* = 0.6 Hz, 1H), 8.40 (d, *J* = 7.9 Hz, 1H), 7.97 (d, *J* = 5.2 Hz, 1H), 7.43 - 7.37 (m, 2H), 7.34 - 7.27 (m, 2H), 7.20 - 7.11 (m, 2H), 6.93 - 6.78 (m, 5H), 5.30 (qd, *J* = 6.4, 5.1 Hz, 1H), 5.20 (d, *J* = 5.1 Hz, 1H), 4.69 - 4.58 (m, 1H), 3.94 (s, 3H), 1.40 (d, *J* = 6.4Hz, 3H), 1.30 (d, *J* = 7.2 Hz, 3H)
353	- - -	- - -	HRMS - ESI (*m/z*) ($[M+H]^+$) calculada para $C_{22}H_{35}N_2O_6$, 423.2490, encontrada, 423.2493	^{1}H RMN (400 MHz, $CDCl_3$) δ 12.00 (s, 1H), 8.35 (d, *J* = 8.1 Hz, 1H), 7.86 (d, *J* = 5.2 Hz, 1H), 6.75 (d, *J* = 5.2 Hz, 1H), 5.04 (qd, *J* = 6 4, 3.8 Hz, 1H), 4.58 (p, *J* = 7.2 Hz, 1H), 3.82 (s, 3H), 3.35 (dd, *J* = 9.7, 6.8 Hz, 1H), 3.16 - 3.06 (m, 2H), 1.54 - 1.44 (m, 1H), 1.43 (d, *J* = 7.2 Hz, 3H), 1.38 - 1.26 (m, 1H), 1.26 - 1.10 (m, 4H), 1.16 (d, *J* = 6.4 Hz, 2H), 0.95 - 0.85 (m, 1H), 0.80 - 0 67 (m, 6H), 0.38 - 0.30 (m, 2H), 0.05 - 0.04 (m, 2H) ^{13}C RMN (101 MHz, $CDCl_3$) δ 171.40,

*Comp. No.	P.F. (°C)	*1R (cm^{-1})	MASA	RMN (^{1}H, ^{13}C, ^{19}F)
				168.67, 155.37, 148.75, 140.48, 130.40, 109.44, 82.29, 77.45, 73.89, 56.07, 48.09, 42.73, 21.70, 21.01, 18.23, 14.73, 11.14, 11.08, 10.79, 2.84, 2.81
354	- - -	- - -	HRMS - ESI (*m/z*) ($[M+H]^+$) calculada para $C_{22}H_{37}N_2O_6$, 425.2646, encontrada, 425.2650	^{1}H RMN (400 MHz, $CDCl_3$) δ 12.14 (s, 1H), 8.50 (d, *J* = 8.0 Hz, 1H), 7.98 (d, *J* = 5.2 Hz, 1H), 6.87 (d, *J* = 5.2 Hz, 1H), 5.15 (qd, *J* = 6 4, 3.9 Hz, 1H), 4.76 - 4.65 (m, 1H), 3.94 (s, 3H), 3.40 (dd, *J* = 8 4, 6.4 Hz, 1H), 3.23 (dd, *J* = 5.7, 3.9 Hz, 1H), 3.15 (dd, 8.4, 6.4 Hz, 1H), 1.89 1.70 (m, 1H), 1.56 (d, *J* = 7.2 Hz, 3H), 1.51 - 1.21 (m, 5H), 1.28 (d, *J* = 6.4 Hz, 3H), 0.93 - 0.80 (m, 12H) ^{13}C RMN (101 MHz, $CDCl_3$) δ 171.47, 168.68, 155.36, 148.75, 140.47, 130.45, 109.44, 82.42, 79.49, 73.86, 56.06, 48.09, 42.94, 29.17, 22.12, 21.13, 19.42, 19.39, 18.24, 14.97, 11.32, 11.13
355	- - -	3368, 2955, 1736, 1648, 1576, 1527,	HRMS - ESI (*m/z*) ($[M+H]^+$) calculada para $C_{23}H_{31}N_2O_6$,	^{1}H RMN (400 MHz, $CDCl_3$) δ 12.11 (d, *J* = 0.6 Hz, 1H), 8.41 (d, *J* = 8.0 Hz, 1H), 7.96 (d, *J* = 5.2 Hz, 1H), 7.26 -

*Comp. No.	P.F. (°C)	*1R (cm^{-1})	MASA	RMN (^{1}H, ^{13}C, ^{19}F)
		1481, 1238	431.2177, encontrada, 431.2164	7.19 (m, 2H), 6.96 - 6.82 (m, 4H), 5.14 (qd, *J* = 6.5, 2.9 Hz, 1H), 4.69 - 4.56 (m, 1H), 4.48 (ddd, *J* = 8.9, 4.0, 2.9 Hz, 1H), 3.94 (s, 3H), 1.87 - 1.65 (m, 2H), 1.43 - 1.38 (m, 1H), 1.36 (d, *J* = 7.3 Hz, 3H), 1.34 (d, *J* = 6.7 Hz, 3H), 0.97 (d, *J* = 6.6 Hz, 3H), 0.92 (d, *J* = 6.4 Hz, 3H)
356	- - -	3367, 2943, 2868, 1735, 1648, 1527, 1481, 1237	HRMS - ESI (*m/z*) ($[M+H]^+$) calculada para $C_{24}H_{31}N_2O_6$, 443.2177; encontrada, 443.2175	^{1}H RMN (400 MHz, $CDCl_3$) δ 12.10 (d, *J* = 0.6 Hz, 1H), 8.37 (d, *J* = 8.1 Hz, 1H), 7.96 (d, *J* = 5.2 Hz, 1H), 7.27 - 7.16 (m, 2H), 6.95 - 6.83 (m, 4H), 5.16 (qd, *J* = 6.5, 2.9 Hz, 1H), 4.61 - 4.49 (m, 1H), 4.35 (dd, *J* = 8.3, 3.1 Hz, 1H), 3.94 (s, 3H), 2.22 - 2.06 (m, 1H), 1.95 - 1.28 (m, 11H), 1.21 (d, *J* = 7.3 Hz, 3H)
357	- - -	- - -	HRMS - ESI (*m/z*) ($[M+H]^+$) calculada para $C_{22}H_{28}ClN_2O_6$, 451.1630; encontrada, 451.1614	^{1}H RMN (400 MHz, $CDCl_3$) δ 12.06 (d, *J* = 0.4 Hz, 1H), 8.37 (d, *J* = 7.8 Hz, 1H), 7.96 (d, *J* = 5.2 Hz, 1H), 7.12 (t, *J* = 8.1 Hz, 1H), 6.92 (t, 2.2 Hz, 1H), 6.89 - 6.83 (m, 2H), 6.83 - 6.74 (m, 1H), 5.24 (qd, *J* = 6.5, 3.8 Hz, 1H), 4.58 (p, *J* = 7.3 Hz, 1H), 4.19 (dd, *J* = 7.3, 3.8 Hz, 1H), 3.94 (s, 3H), 2.01 -

*Comp. No.	P.F. (°C)	*1R (cm^{-1})	MASA	RMN (^{1}H, ^{13}C, ^{19}F)
				1.89 (m, 1H), 1.35 (d, *J* = 6.5 Hz, 3H), 1.29 (d, *J* = 7.2 Hz, 3H), 1.02 (d, *J* = 2.7 Hz, 3H), 1.00 (d, *J* = 2.8 Hz, 3H) ^{13}C RMN (126 MHz, $CDCl_3$) δ 171.54, 168.67, 160.72, 155.35, 148.71, 140.48, 134.79, 130.36, 130.22, 121.16, 116.55, 114.23, 109.44, 84.28, 72.82, 56.08, 47.94, 30.42, 19.13, 18.70, 17.67, 14.39
358	- - -	- - -	HRMS - ESI (*m/z*) ($[M+H]^+$) calculada para $C_{22}H_{27}Cl_2N_2O_6$, 485.1241, encontrada, 485.1215	^{1}H RMN (500 MHz, $CDCl_3$) δ 12.17 - 11.91 (m, 1H), 8.30 (d, *J* = 7.7 Hz, 1H), 7.96 (d, *J* = 5.2 Hz, 1H), 7.28 (d, *J* = 2.6 Hz, 1H), 7.01 (dd, 8.9, 2.6 Hz, 1H), 6.87 (d, *J* = 5.2 Hz, 1H), 6.82 (d, *J* = 9.0 Hz, 1H), 5.39 - 5.18 (m, 1H), 4.57 (p, *J* = 7.3 Hz, 1H), 4.20 (dd, *J* = 7.6, 3.4 Hz, 1H), 3.95 (s, 3H), 2.10 - 1.94 (m, 1H), 1.41 (d, *J* = 6.5 Hz, 3H), 1.28 (d, *J* = 7.2 Hz, 3H), 1.04 (d, *J* = 6.7 Hz, 3H), 1.01 (d, *J* = 6.8 Hz, 3H) ^{13}C RMN (126 MHz, $CDCl_3$) δ 171.39, 168.65, 155.38, 154.35, 148.71, 140.47, 130.28, 130.09, 127.34, 125.61, 124.39, 115.45, 109.49, 85.93, 72.81, 56.09, 47.99, 30.46, 18.98, 18.85, 17.67, 14.09

*Comp. No.	P.F. (°C)	*1R (cm^{-1})	MASA	RMN (^{1}H, ^{13}C, ^{19}F)
359	- - -	- - -	HRMS - ESI (*m/z*) ($[M+H]^+$) calculada para $C_{22}H_{28}ClN_2O_6$, 451.1630, encontrada, 451.1613	^{1}H RMN (400 MHz, $CDCl_3$) δ 12.06 (d, *J* = 0.6 Hz, 1H), 8.33 (d, *J* = 7.7 Hz, 1H), 7.96 (d, *J* = 5.2 Hz, 1H), 7.13 (d, *J* = 9.1 Hz, 2H), 6.96 - 6.77 (m, 3H), 5.23 (qd, *J* = 6.5, 3.8 Hz, 1H), 4.64 - 4.52 (m, 1H), 4.13 (dd, *J* = 7.3, 3.7 Hz, 1H), 3.95 (s, 3H), 1.95 (dq, *J* = 13.7, 6.8 Hz, 1H), 1.35 (d, *J* = 6.5 Hz, 3H), 1.29 (d, *J* = 7.2 Hz, 3H), 1.01 (d, *J* = 1.7 Hz, 3H), 0.99 (d, *J* = 1.8 Hz, 3H) ^{13}C RMN (126 MHz, $CDCl_3$) δ 171.47, 168.69, 158.64, 155.37, 148.73, 140.47, 130.31, 129.28, 125.67, 117.29, 109.48, 84.51, 72.81, 56.09, 47.99, 30.49, 19.17, 18.71, 17.70, 14.40
360	- - -	- - -	HRMS - ESI (*m/z*) ($[M+H]^+$) calculada para $C_{24}H_{32}ClN_2O_6$, 379.1943; encontrada, 479 1914	^{1}H RMN (400 MHz, $CDCl_3$) δ 12.08 (d, *J* = 0.5 Hz, 1H), 8.38 (d, *J* = 9.4 Hz, 1H), 7.96 (d, *J* = 5.2 Hz, 1H), 7.11 (t, *J* = 8.2 Hz, 1H), 6.91 (t, 2.2 Hz, 1H), 6.89 - 6.75 (m, 3H), 5.24 (qd, *J* = 6.4, 3.9 Hz, 1H), 4.55 (dd, *J* = 9.4, 4.6 Hz, 1H), 4.12 (dd, *J* = 7.0, 3.9 Hz, 1H), 3.95 (s, 3H), 2.05 13.7, 6 9, 2.2 Hz, 1H), 1.96 (dt, 13 6, 6.8 Hz, 1H), 1.34

*Comp. No.	P.F. (°C)	*1R (cm^{-1})	MASA	RMN (^{1}H, ^{13}C, ^{19}F)
				(d, *J* = 6.4 Hz, 3H), 1.01 (d, *J* = 4.7 Hz, 3H), 0.99 (d, *J* = 4.8 Hz, 3H), 0.95 (d, *J* = 6.9 Hz, 3H), 0.89 (d, *J* = 6.9 Hz, 3H) ^{13}C RMN (126 MHz, $CDCl_3$) δ 170.42, 169.04, 160.64, 155.34, 148.66, 140.49, 134.76, 130.40, 130.15, 121.14, 116.63, 114.26, 109.41, 84.61, 72.46, 57.01, 56.08, 31.03, 30.37, 19.37, 19.26, 18.52, 17.24, 14.71
361	- - -	- - -	HRMS - ESI (*m/z*) ($[M+H]^+$) calculada para $C_{25}H_{33}Cl_2N_2O_6$, 527.1710; encontrada, 527.1681	^{1}H RMN (400 MHz, $CDCl_3$) δ 12.06 (d, *J* = 0.5 Hz, 1H), 8.14 (d, *J* = 8.9 Hz, 1H), 7.95 (d, *J* = 5.2 Hz, 1H), 7.27 (d, *J* = 2.6 Hz, 1H), 7.00 (dd, *J* = 8.9, 2.6 Hz, 1H), 6.87 (d, *J* = 5.1 Hz, 1H), 6.81 (d, *J* = 9.2 Hz, 1H), 5.23 (qd, *J* = 6 5, 3.1 Hz, 1H), 4.65 - 4.54 (m, 1H), 4.18 (dd, *J* = 8.0, 3.1 Hz, 1H), 3.95 (s, 3H), 2.09 - 1.90 (m, 1H), 1.68 - 1.57 (m, 1H), 1.42 (d, *J* = 6.5 Hz, 3H), 1.40 - 1.29 (m, 2H), 1.03 (d, *J* = 6.7 Hz, 3H), 1.01 (d, *J* = 6.8 Hz, 3H), 0.88 (d, *J* = 5.5 Hz, 3H), 0.87 (d, *J* = 5.7 Hz, 3H) ^{13}C RMN (126 MHz, $CDCl_3$) δ 171.41, 168.90, 155.40, 154.46, 148.71,

*Comp. No.	P.F. (°C)	*1R (cm^{-1})	MASA	RMN (^{1}H, ^{13}C, ^{19}F)
				140.43, 130.27, 130.11, 127.35, 125.59, 124.40, 115.57, 109.47, 86.08, 72.75, 56.09, 50.58, 40.83, 30.51, 24.69, 22.95, 21.32, 19.12, 18.91, 13.82
362	- - -	3366.81, 2964.65, 1736.52, 1649.00, 1527.73, 1238.37	HRMS - ESI (*m/z*) ($[M+H]^+$) calculada para $C_{22}H_{29}N_2O_6$, 417.202, encontrada, 417.202	^{1}H RMN (400 MHz, $CDCl_3$) δ 12.14 (s, 1H), 8.34 (d, *J* = 7.9 Hz, 1H), 7.99 (d, *J* = 5.2 Hz, 1H), 7.29 - 7.17 (m, 2H), 7.00 - 6.88 (m, 3H), 6.89 - 6.85 (m, 1H), 5.24 (qd, *J* = 6.5, 3.8 Hz, 1H), 4.52 - 4.37 (m, 1H), 4.21 (dd, *J* = 7.3, 3.8 Hz, 1H), 3.95 (s, 3H), 2.05 - 1.83 (m, 6.8 Hz, 1H), 1.35 (d, *J* = 7.2 Hz, 3H), 1.34 (d, *J* = 6.5 Hz, 3H), 1.04 (d, *J* = 6.7 Hz, 3H), 1.00 (d, *J* = 6.9 Hz, 3H)
363	- - -	3366.95, 2965.64, 1736.59, 1649.28, 1481.02, 1237.65	HRMS - ESI (*m/z*) ($[M+H]^+$) calculada para $C_{22}H_{29}N_2O_6$, 417.202; encontrada, 417.2012	^{1}H RMN (400 MHz, $CDCl_3$) δ 12.16 (d, *J* = 0.6 Hz, 1H), 8.34 (d, *J* = 7.8 Hz, 1H), 8.01 (d, *J* = 5.2 Hz, 1H), 7.27 - 7.21 (m, 2H), 6.98 - 6.86 (m, 4H), 5.38 - 5.18 (m, 1H), 4.56 - 4.43 (m, 1H), 4.13 (dd, *J* = 6.2, 5.2 Hz, 1H), 3.95 (s, 3H), 2.09 - 1.95 (m, 1H), 1.36 (d, *J* = 7.2 Hz, 3H), 1.28 (d, *J* = 6.5 Hz, 3H), 1.02 (d, *J* = 6.8 Hz, 3H), 1.00

*Comp. No.	P.F. (°C)	*1R (cm^{-1})	MASA	RMN (^{1}H, ^{13}C, ^{19}F)
				(d, *J* = 6.9 Hz, 3H)
364	- - -	3367.79, 2965.70, 1737.22, 1648.98, 1481.09, 1239.09	HRMS - ESI (*m/z*) ($[M+H]^+$) calculada para $C_{22}H_{29}N_2O_6$, 417.202, encontrada, 417.2014	^{1}H RMN (400 MHz, $CDCl_3$) δ 12.11 (d, *J* = Hz, 1H), 8.41 (d, *J* = 7.9 Hz, 1H), 7.98 (d, *J* = 5.2 Hz, 1H), 7.26 - 7.16 (m, 2H), 6.95 (dt, *J* = 7.9, 1.1 Hz, 2H), 6.92 - 6.84 (m, 2H), 5.34 - 5.19 (m, 1H), 4.65 - 4.53 (m, 1H), 4.24 - 4.10 (m, 1H), 3.94 (s, 3H), 2.07 - 1.96 (m, 1H), 1.31 (d, *J* = 6.5 Hz, 3H), 1.25 (d, *J* = 7.2 Hz, 3H), 1.02 (d, *J* = 6.8 Hz, 3H), 0.98 (d, *J* = 6.9 Hz, 3H)
365	- - -	3368, 2939, 1739, 1648, 1577, 1528, 1480, 1446, 1242, 1059	HRMS - ESI (*m/z*) ($[M+H]^+$) calculada para $C_{25}H_{26}ClN_2O_6$, 485.1474; encontrada, 485.1476	^{1}H RMN (400 MHz, $CDCl_3$) δ 12.05 (d, *J* = 0.6 Hz, 1H), 8.40 (d, *J* = 7.9 Hz, 1H), 7.97 (d, *J* = 5.2 Hz, 1H), 7.44 - 7.38 (m, 2H), 7.36 - 7.28 (m, 4H), 7.00 (ddd, *J* = *J* = 8.3, 7.5, 1.7 Hz, 1H), 6.89 - 6.77 (m, 2H), 6.66 (dd, *J* = 8.3, 1.4 Hz, 1H), 5.40 - 5.30 (m, 1H), 5.28 (d, *J* = 4.7 Hz, 1H), 4.70 - 4.59 (m, 1H), 3.94 (s, 3H), 1.45 (d, *J* = 6.4Hz, 3H), 1.34 (d, *J* = 7.2 Hz, 3H)
366	- - -	3368, 2939, 1739, 1648, 1576, 1528, 1476, 1452,	HRMS - ESI (*m/z*) ($[M+H]^+$) calculada para $C_{25}H_{26}ClN_2O_6$,	^{1}H RMN (400 MHz, $CDCl_3$) δ 12.04 (d, *J* = 0.6 Hz, 1H), 8.39 (d, *J* = 7.9 Hz, 1H), 7.96 (d, *J* = 5.2 Hz, 1H), 7.38 - 7.27 (m, 5H), 7.11 - 7.02 (m, 1H),

*Comp. No.	P.F. (°C)	*1R (cm^{-1})	MASA	RMN (^{1}H, ^{13}C, ^{19}F)
		1241	485.1474; encontrada, 485.1474	6.89 - 6.80 (m, 3H), 6.67 (ddd, *J* = 8.3, 2.3, 1.1 Hz, 1H), 5.35 - 5.24 (m, 1H), 5.19 (d, *J* = 4.9 Hz, 1H), 4.64 (dq, *J* = 8.4, 7.3 Hz, 1H), 3.93 (s, 3H), 1.38 (d, *J* = 6.4 Hz, 3H), 1.33 (d, *J* = 7.2 Hz, 3H)
367	- - -	3368, 2939, 1739, 1649, 1577, 1529, 1488, 1452, 1240	HRMS - ESI (*m/z*) ($[M+H]^+$) calculada para $C_{25}H_{26}ClN_2O_6$, 485.1474; encontrada, 485.1465	^{1}H RMN (400 MHz, $CDCl_3$) δ 12.04 (d, *J* = 0.6 Hz, 1H), 8.37 (d, *J* = 8.0 Hz, 1H), 7.96 (d, *J* = 5.2 Hz, 1H), 7.37 - 7.27 (m, 5H), 7.13 - 7.05 (m, 2H), 6.89 - 6.82 (m, 1H), 6.76 - 6.69 (m, 2H), 5.35 - 5.24 (m, 1H), 5.15 (d, *J* = 4.8 Hz, 1H), 4.70 - 4.57 (m, 1H), 3.94 (s, 3H), 1.37 (d, *J* = 6.4 Hz, 3H), 1.34 (d, *J* = 7.2 Hz, 3H)
368	- - -	- - -	HRMS - ESI (*m/z*) ($[M+H]^+$) calculada para $C_{25}H_{25}Cl_2N_2O_6$, 519.1084; encontrada, 519.1067	^{1}H RMN (400 MHz, $CDCl_3$) δ 12.00 (d, *J* = 0.6 Hz, 1H), 8.37 (d, *J* = 7.8 Hz, 1H), 7.96 (d, *J* = 5.2 Hz, 1H), 7.40 - 7.25 (m, 6H), 6.94 (dd, *J* = 8.8, 2.5 Hz, 1H), 6.89 - 6.82 (m, 1H), 6.55 (d, *J* = 8.8 Hz, 1H), 5.38 - 5.30 (m, 1H), 5.23 (d, *J* = 4.5 Hz, 1H), 4.71 - 4.58 (m, 1H), 3.94 (s, 3H), 1.42 (d, *J* = 6.4 Hz, 3H), 1.37 (d, *J* = 7.2 Hz, 3H)
369	- - -	- - -	HRMS - ESI (*m/z*)	¹H RMN (400 MHz, $CDCl_3$) δ 12.05 (d,

*Comp. No.	P.F. (°C)	*1R (cm^{-1})	MASA	RMN (^{1}H, ^{13}C, ^{19}F)
			($[M+H]^+$) calculada para $C_{25}H_{25}F_2N_2O_6$, 487.1675; encontrada, 487.1675	*J* = 0.6 Hz, 1H), 8.39 (d, *J* = 7.9 Hz, 1H), 7.97 (d, *J* = 5.2 Hz, 1H), 7.43 - 7.27 (m, 5H), 6.96 (ddd, *J* = 10.6, 8.9, 5.3 Hz, 1H), 6.86 (dd, *J* = 5.3, 0.7 Hz, 1H), 6.58 - 6.43 (m, 2H), 5.35 (qd, *J* = 6.4, 5.1 Hz, 1H), 5.18 (d, *J* = 5.1 Hz, 1H), 4.70 - 4.58 (m, 1H), 3.94 (s, 3H), 1.42 (d, *J* = 6.4 Hz, 3H), 1.32 (d, *J* = 7.2 Hz, 3H) ^{19}F RMN (376 MHz, $CDCl_3$) δ -116.63 d, *J* = 15.0 Hz), -138.72 (d, *J* = 15.0 Hz)
370	- - -	- - -	HRMS - ESI (*m/z*) ($[M+H]^+$) calculada para $C_{25}H_{25}ClFN_2O_6$, 503.1380; encontrada, 503.1361	^{1}H RMN (400 MHz, $CDCl_3$) δ 12.01 (d, *J* = 0.6 Hz, 1H), 8.38 (d, *J* = 7.8 Hz, 1H), 7.97 (d, *J* = 5.2 Hz, 1H), 7.38 - 7.27 (m, 5H), 6.86 (dd, *J* = 5.3, 0.7 Hz, 1H), 6.66 _ 6.58 (m, 2H), 6.41 (dt, *J* = 10.5, 2.3 Hz, 1H), 5.29 (qd, *J* = 6.4, 4.7 Hz, 1H), 5.16 (d, *J* = 4.8 Hz, 1H), 4.70 - 4.58 (m, 1H), 3.94 (s, 3H), 1.36 (app dd, *J* = 6.8, 2.3 Hz, 6H) ^{19}F RMN (376 MHz, $CDCl_3$) δ - 109.82
371	- - -	3371, 2972, 2939, 1739, 1650, 1577,	HRMS - ESI (*m/z*) ($[M+H]^+$) calculada para	^{1}H RMN (500 MHz, $CDCl_3$) δ 12.08 (d, *J* = 0.6 Hz, 1H), 8.43 (d, *J* = 8.4 Hz, 1H), 7.98 (d, *J* = 5.2 Hz, 1H), 7.42 -

*Comp. No.	P.F. (°C)	*1R (cm^{-1})	MASA	RMN (^{1}H, ^{13}C, ^{19}F)
		1509, 1432, 1251, 1203, 1146	$C_{26}H_{27}F_2N_2O_6$, 501.1832; encontrada, 501.1831	7.36 (m, 2H), 7.36 - 7.28 (m, 3H), 6.96 (ddd, *J* = 10.5, 9.0, 5.3 Hz, 1H), 6.87 (d, *J* = 5.3 Hz, 1H), 6.57 - 6.49 (m, 1H), 6.46 (ddd, *J* = 9.7, 6.6, 3.0 Hz, 1H), 5.34 (qd, *J* = 6.4, 5.0 Hz, 1H), 5.18 (d, *J* = 5.1 Hz, 1H), 4.62 (ddd, *J* = 8.4, 6.8, 5.2 Hz, 1H), 3.94 (s, 3H), 1.89 - 1.78 (m, 1H), 1.67 (dt, *J* = 14.2, 7.2 Hz, 1H), 1.42 (d, *J* = 6.4 Hz, 3H), 0.79 (t, *J* = 7.4 Hz, 3H)
372	- - -	- - -	HRMS - ESI (*m/z*) ($[M+H]^+$) calculada para $C_{26}H_{27}ClFN_2O_6$, 517.1536; encontrada, 517.1534	^{1}H RMN (500 MHz, $CDCl_3$) δ 12.04 (d, *J* = 0.7 Hz, 1H), 8.41 (d, *J* = 8.3 Hz, 1H), 7.98 (d, *J* = 5.2 Hz, 1H), 7.37 - 7.28 (m, 5H), 6.87 (dd, *J* = 5.2, 0.7 Hz, 1H), 6.65 – 6.58 (m, 2H), 6.40 (dt, *J* = 10.4, 2.3 Hz, 1H), 5.29 (qd, *J* = 6.4, 4.7 Hz, 1H), 5.16 (d, *J* = 4.7 Hz, 1H), 4.61 (ddd, *J* = 8.3, 6.9, 5.3 Hz, 1H), 3.94 (s, 3H), 1.92 - 1.80 (m, 1H), 1.71 (dt, *J* = 14.2, 7.2 Hz, 1H), 1.36 (d, *J* = 6.4 Hz, 3H), 0.83 (t, *J* = 7.5 Hz, 3H) ^{19}F RMN (471 MHz, $CDCl_3$) δ - 109.83
373	54-58	- - -	HRMS - ESI (*m/z*) ($[M+H]^+$) calculada	^{1}H RMN (500 MHz, $CDCl_3$) δ 12.03 (d, *J* = 0.7 Hz, 1H), 8.37 (d, *J* = 7.8 Hz,

*Comp. No.	P.F. (°C)	*1R (cm^{-1})	MASA	RMN (^{1}H, ^{13}C, ^{19}F)
			para $C_{26}H_{26}F_3N_2O_6$, 519.1737; encontrada, 519.1739	1H), 7.95 (d, *J* = 5.2 Hz, 1H), 7.44 - 7.27 (m, 7H), 6.90 - 6.82 (m, 3H), 5.36 - 5.27 (m, 1H), 5.25 (d, *J* = 4.8 Hz, 1H), 4.69 - 4.60 (m, 1H), 3.94 (s, 3H), 1.39 (d, *J* = 6.4 Hz, 3H), 1.35 (d, *J* = 7.2 Hz, 3H)
374	54-58	- - -	HRMS - ESI (*m/z*) ($[M+H]^+$) calculada para $C_{28}H_{30}F_3N_2O_6$, 547.2050; encontrada, 547.2059	^{1}H RMN (500 MHz, $CDCl_3$) δ 12.07 (d, *J* = 0.6 Hz, 1H), 8.43 (d, *J* = 9.2 Hz, 1H), 7.95 (d, *J* = 5.2 Hz, 1H), 7.43 - 7.26 (m, 7H), 6.88 - 6.82 (m, 3H), 5.35 - 5.25 (m, 2H), 4.59 (dd, *J* = 9.2, 4.9 Hz, 1H), 3.94 (s, 3H), 2.21 - 2.10 (m, 1H), 1.38 (d, *J* = 6.4 Hz, 3H), 0.92 (d, *J* = 6.9 Hz, 3H), 0.80 (d, *J* = 6.9 Hz, 3H)
375	- - -	3369, 2940, 1740, 1649, 1529, 1482, 1450, 1262, 1132	HRMS - ESI (*m/z*) ($[M+H]^+$) calculada para $C_{25}H_{26}FN_2O_6$, 469.1769; encontrada, 469.1784	^{1}H RMN (500 MHz, $CDCl_3$) δ 12.04 (d, *J* = 0.6 Hz, 1H), 8.39 (d, *J* = 7.8 Hz, 1H), 7.97 (d, *J* = 5.2 Hz, 1H), 7.40 - 7.26 (m, 5H), 7.10 (td, *J* = 8.3, 6.9 Hz, 1H), 6.86 (dd, *J* = 5.2, 0.7 Hz, 1H), 6.62 - 6.49 (m, 3H), 5.29 (qd, *J* = 6.5, 5.0 Hz, 1H), 5.18 (d, *J* = 4.9 Hz, 1H), 4.69 - 4.59 (m, 1H), 3.94 (s, 3H), 1.38 (d, *J* = 6.4 Hz, 3H), 1.33 d, *J* = 7.2 Hz, 3H)

*Comp. No.	P.F. (°C)	*1R (cm^{-1})	MASA	RMN (^1H, ^{13}C, ^{19}F)
376	54-57	- - -	HRMS - ESI (*m/z*) ($[M+H]^+$) calculada para $C_{31}H_{30}FN_2O_6$, 545.2082; encontrada, 545.2090	^1H RMN (500 MHz, $CDCl_3$) δ 11.98 (d, *J* = 0.6 Hz, 1H), 8.40 (d, *J* = 8.4 Hz, 1H), 7.94 (d, *J* = 5.3 Hz, 1H), 7.38 - 7.25 (m, 5H), 7.20 - 7.07 (m, 4H), 7.07 - 7.00 (m, 2H), 6.85 (d, *J* = 5.3 Hz, 1H), 6.63 - 6.54 (m, 2H), 6.50 (dt, *J* = 10.8, 2.4 Hz, 1H), 5.20 (qd, *J* = 6.4, 4.3 Hz, 1H), 5.12 (d, *J* = 4.3 Hz, 1H), 4.94 (ddd, *J* = 8.5, 6.4, 5.7 Hz, 1H), 3.94 (s, 3H), 3.12 (dd, *J* = 14.0, 5.8 Hz, 1H), 3.06 (dd, *J* = 14.0, 6.4 Hz, 1H), 1.35 (d, *J* = 6.4 Hz, 3H)
377	- - -	3369, 2964, 2939, 2877, 1737, 1649, 1528, 1482	HRMS - ESI (*m/z*) ($[M+H]^+$) calculada para $C_{24}H_{32}FN_2O_6$, 463.2239, encontrada, 463.2242	^1H RMN (500 MHz, $CDCl_3$) δ 12.06 (d, *J* = 0.7 Hz, 1H), 8.37 (d, *J* = 8.0 Hz, 1H), 7.97 (d, *J* = 5.2 Hz, 1H), 7.15 (td, *J* = 8.3, 6.9 Hz, 1H), 6.86 (dd, *J* = 5.2, 0.6 Hz, 1H), 6.68 (ddd, *J* = 8 4, 2 S, 0.9 Hz, 1H), 6.65 - 6.54 (m, 2H), 5.25 (qd, *J* = 6.5, 4.0 Hz, 1H), 4.64 - 4.54 (m, 1H), 4.41 (dd, *J* = 6.8, 4.0 Hz, 1H), 3.94 (s, 3H), 1.66 1.50 (m, 2H), 1.51 - 1.43 (m, 1H), 1.44 1.37 (m, 2H), 1.36 (d, *J* = 6.5 Hz, 3H), 1.29 (d, *J* = 7.2 Hz, 3H), 0.92 (t, *J* = 7.5 Hz, 3H), 0.88 (t, *J* = 7.4 Hz, 3H)

*Comp. No.	P.F. (°C)	*1R (cm^{-1})	MASA	RMN (^{1}H, ^{13}C, ^{19}F)
378	- - -	3370, 1736, 1649, 1528, 1502, 1481	HRMS - ESI (*m/z*) ($[M+H]^+$) calculada para $C_{24}H_{32}FN_2O_6$, 463.2239; encontrada, 463.2246	^{1}H RMN (500 MHz, $CDCl_3$) δ 12.07 (d, *J* = 0.6 Hz, 1H), 8.34 (d, *J* = 7.9 Hz, 1H), 7.96 (d, *J* = 5.2 Hz, 1H), 6.93 - 6.78 (m, 5H), 5.24 (qd, *J* = 6.5, 4.0 Hz, 1H), 4.61 - 4.53 (m, 1H), 4.31 (dd, *J* = 6.8, 3.9 Hz, 1H), 3.95 (s, 3H), 1.66 - 1.57 (m, 1H), 1.55 - 1.51 (m, 1H), 1.51 - 1.44 (m, 1H), 1.45 - 1.30 (m, 2H), 1.36 (d, *J* = 6.4 Hz, 3H), 1.27 (d, *J* = 7.2 Hz, 3H), 0.91 (t, *J* = 7.4 Hz, 3H), 0.88 (t, *J* = 7.4 Hz, 3H)
379	- - -	3369, 2964, 2938, 2877, 1737, 1649, 1576, 1528, 1478	HRMS - ESI (*m/z*) ($[M+H]^+$) calculada para $C_{24}H_{32}ClN_2O_6$, 479.1943; encontrada, 479.1957	^{1}H RMN (500 MHz, $CDCl_3$) δ 12.06 (d, *J* = 0.6 Hz, 1H), 8.37 (d, *J* = 8.0 Hz, 1H), 7.97 (d, *J* = 5.2 Hz, 1H), 7.12 (t, *J* = 8.2 Hz, 1H), 6.91 (t, *J* = 2.2 Hz, 1H), 6.89 - 6.84 (m, 2H), 6.79 (ddd, *J* = 8.4, 2.4, 0.9 Hz, 1H), 5.25 (qd, *J* = 6.5, 3.9 Hz, 1H), 4.63 - 4.53 (m, 1H), 4.41 (dd, *J* = 6.8, 3.9 Hz, 1H), 3.94 (s, 3H), 1.65 - 1.51 (m, 2H), 1.52 - 1 44 (m, 1H), 1.42 - 1.37 (m, 2H), 1.36 (d, *J* = 6.5 Hz, 3H), 1.29 (d, *J* = 7.2 Hz, 3H), 0.92 (t, *J* = 7.4 Hz, 3H), 0.88 (t, *J* = 7.4 Hz, 3H)
380	- - -	3369, 2964,	HRMS - ESI (*m/z*)	^{1}H RMN (500 MHz, $CDCl_3$) δ 12.07 (d,

*Comp. No.	P.F. (°C)	*1R (cm^{-1})	MASA	RMN (^{1}H, ^{13}C, ^{19}F)
		2938, 2877, 1737, 1649, 1577, 1528, 1487	($[M+H]^+$) calculada para $C_{24}H_{32}ClN_2O_6$, encontrada, 479.1948	*J* = 0.6 Hz, 1H), 8.34 (d, *J* = 8.0 Hz, 1H), 7.96 (d, *J* = 5.2 Hz, 1H), 7.13 (d, *J* = 9.0 Hz, 2H), 6.87 (dd, *J* = 5.3, 0.6 Hz, 1H), 6.82 (d, *J* = 9.0 Hz, 2H), 5.24 (qd, *J* = 6.5, 4.1 Hz, 1H), 4.63 - 4.55 (m, 1H), 4.36 (dd, *J* = 6.7, 4.0 Hz, 1H), 3.95 (s, 3H), 1.66 - 1.49 (m, 2H), 1.50 - 1.40 (m, 1H), 1.42 - 1.30 (m, 2H), 1.35 (d, *J* = 6.5 Hz, 3H), 1.30 (d, *J* = 7.2 Hz, 3H), 0.90 (t, *J* = 7.5 Hz, 3H), 0.87 - 7.4 Hz, 3H)
381	- - -	3368, 2964, 2938, 2877, 1737, 1649, 1577, 1528, 1476	HRMS - ESI (*m/z*) ($[M+H]^+$) calculada para $C_{24}H_{31}Cl_2N_2O_6$, 513.1554; encontrada, 513.1564	^{1}H RMN (500 MHz, $CDCl_3$) δ 12.05 (d, *J* = 0.6 Hz, 1H), 8.31 (d, *J* = 8.0 Hz, 1H), 7.96 (d, *J* = 5.2 Hz, 1H), 7.27 (d, *J* = 2.6 Hz, 1H), 7.02 (dd, *J* = 8.9, 2.6 Hz, 1H), 6.87 (dd, *J* = 5.3, 0.7 Hz, 1H), 6.81 (dd, *J* = 8.8, 0.6 Hz, 1H), 5.27 (qd, *J* = 6.5, 3.6 Hz, 1H), 4.64 - 4.53 (m, 1H), 4.43 (dd, *J* = 6.9, 3.7 Hz, 1H), 3.95 (s, 3H), 1.65 1.57 (m, 2H), 1.53 - 1.45 (m, 1H), 1.41 (d, *J* = 6.5 Hz, 3H), 1.46 - 1.35 (m, 2H), 1.28 (d, *J* = 7.2 Hz, 3H), 0.92 (t, *J* = 7.5 Hz, 3H), 0.89 (t, *J* = 7.3 Hz, 3H)
382	- - -	3371, 2965,	HRMS - ESI (*m/z*)	^{1}H RMN (500 MHz, $CDCl_3$) δ 12.05 (d,

*Comp. No.	P.F. (°C)	*1R (cm^{-1})	MASA	RMN (^{1}H, ^{13}C, ^{19}F)
		2878, 1738, 1649, 1528, 1507	($[M+H]^+$) calculada para $C_{24}H_{31}F_2N_2O_6$, 481.2145; encontrada, 481.2157	*J* = 0.6 Hz, 1H), 8.37 (d, *J* = 7.9 Hz, 1H), 7.97 (d, *J* = 5.2 Hz, 1H), 6.97 (ddd, *J* = 10.7, 9.0, 5.4 Hz, 1H), 6.86 (dd, *J* = 5.2, 0.7 Hz, 1H), 6.69 (ddd, *J* = 9.8, 6.7, 3.0 Hz, 1H), 6.55 (ddt, *J* = 8.9, 7.6, 3.1 Hz, 1H), 5.27 (qd, *J* = 6.5, 3.6 Hz, 1H), 4.61 4.51 (m, 1H), 4.37 (dd, *J* = 7.0, 3.5 Hz, 1H), 3.94 (s, 3H), 1.70 - 1.58 (m, 2H), 1.55 - 1.46 (m, 1H), 1.48 - 1.34 (m, 2H), 1.40 (d, *J* = 6.6 Hz, 3H), 1.27 (d, *J* = 7.3 Hz, 3H), 0.93 (t, *J* = 7.5 Hz, 3H), 0.91 (t, *J* = 7.3 Hz, 3H)
383	- - -	3370, 2965, 2939, 2877, 1738, 1603, 1587, 1528	HRMS - ESI (*m/z*) ($[M+H]^+$) calculada para $C_{24}H_{31}ClFN_2O_6$, 497.1849; encontrada, 497.1854	^{1}H RMN (500 MHz, $CDCl_3$) δ 12.04 (d, *J* = 0.6 Hz, 1H), 8.37 (d, *J* = 7.9 Hz, 1H), 7.97 (d, *J* = 5.2 Hz, 1H), 6.86 (dd, *J* = 5.2, 0.6 Hz, 1H), 6.70 (td, *J* = 2.0, 1.1 Hz, 1H), 6.62 (dt, *J* = 8.3, 2.2 Hz, 1H), 6.52 (dt, *J* = 10.6, 2.3 Hz, 1H), 5.25 (qd, *J* = 6.5, 3.8 Hz, 1H), 4.65 - 4.54 (m, 1H), 4.37 (dd, *J* = 6.8, 3.9 Hz, 1H), 3.95 (s, 3H), 1.62 - 1.49 (m, 2H), 1.50 - 1.42 (m, 1H), 1.44 - 1.29 (m, 2H), 1.35 (d, *J* = 3.1 Hz, 3H), 1.34 (d, *J* = 2.4 Hz, 3H), 0.92 (t, *J* = 7.4 Hz, 3H), 0.88 (t, *J* = 7.3 Hz, 3H)

*Comp. No.	P.F. (°C)	*1R (cm^{-1})	MASA	RMN (^{1}H, ^{13}C, ^{19}F)
384	- - -	3369, 2964, 2939, 2877, 1737, 1649, 1529, 1479, 1446	HRMS - ESI (*m/z*) ($[M+H]^+$) calculada para $C_{24}H_{32}ClN_2O_6$, encontrada, 479.1952	^{1}H RMN (500 MHz, $CDCl_3$) δ 12.07 (d, *J* = 0.7 Hz, 1H), 8.33 (d, *J* = 8.0 Hz, 1H), 7.97 (d, *J* = 5.2 Hz, 1H), 7.28 (dd, *J* = 7.9, 1.7 Hz, 1H), 7.11 (ddd, *J* = 8.3, 7.4, 1.7 Hz, 1H), 6.93 - 6.89 (m, 1H), 6.86 (dd, *J* = 5.3, 0.6 Hz, 1H), 6.81 (ddd, *J* = 7.9, 7.4, 1.4 Hz, 1H), 5.27 (qd, *J* = 6.5, 3.7 Hz, 1H), 4.59 - 4.53 (m, 1H), 4.51 (dd, *J* = 7.0, 4.1 Hz, 1H), 3.94 (s, 3H), 1.70 - 1.59 (m, 2H), 1.54 - 1.48 (m, 1H), 1.44 (d, *J* = 6.5 Hz, 3H), 1.48 - 1.35 (m, 2H), 1.20 (d, *J* 7.2 Hz, 3H), 0.93 (t, *J* = 7.5 Hz, 3H), 0.91 (t, *J* = 7.4 Hz, 3H)
385	- - -	3370, 2966, 2878, 1738, 1650, 1613, 1529, 1516	HRMS - ESI (*m/z*) ($[M+H]^+$) calculada para $C_{25}H_{32}F_3N_2O_6$, 513.2207; encontrada, 513.2228	^{1}H RMN (500 MHz, $CDCl_3$) δ 12.05 (d, *J* = 0.6 Hz, 1H), 8.33 (d, *J* = 7.8 Hz, 1H), 7.95 (d, *J* = 5.2 Hz, 1H), 7.44 (d, *J* = 8.4 Hz, 2H), 6.96 (d, *J* = 8.2 Hz, 2H), 6.86 (dd, *J* = 5.3, 0.7 Hz, 1H), 5.27 (qd, *J* = 6.5, 4.0 Hz, 1H), 4.63 - 4.53 (m, 1H), 4.50 (dd, *J* = 6.6, 4.0 Hz, 1H), 3.94 (s, 3H), 1.64 - 1.52 (m, 2H), 1.51 1.43 (m, 1H), 1.45 - 1.36 (m, 2H), 1.36 (d, *J* = 6.5 Hz, 3H), 1.28 (d, *J* = 7.2 Hz, 3H), 0.92 (t, *J* = 7.5 Hz, 3H), 0.88 (t, *J* = 7.3 Hz, 3H)

*Comp. No.	P.F. (°C)	*1R (cm^{-1})	MASA	RMN (^{1}H, ^{13}C, ^{19}F)
386	- - -	3370, 2937, 2876, 1736, 1649, 1575, 1528, 1478, 1451	HRMS - ESI (*m/z*) ($[M+H]^+$) calculada para $C_{30}H_{37}N_2O_6$, 521.2646, encontrada, 521.2645	^{1}H RMN (500 MHz, $CDCl_3$) δ 12.07 (d, *J* = 0.7 Hz, 1H), 8.36 (d, *J* = 8.1 Hz, 1H), 7.94 (d, *J* = 5.2 Hz, 1H), 7.56 - 7.53 (m, 2H), 7.44 - 7.41 (m, 2H), 7.37 - 7.32 (m, 1H), 7.29 (d, *J* = 7.8 Hz, 1H), 7.16 - 7.10 (m, 2H), 6.89 (ddd, *J* = 8.2, 2.5, 0.9 Hz, 1H), 6.82 (dd, *J* = 5.3, 0.6 Hz, 1H), 5.27 (qd, *J* = 6.4, 5.9, 3.7 Hz, 1H), 4.61 - 4.48 (m, 2H), 3.92 (s, 3H), 1.71 - 1.61 (m, 1H), 1.59 (s, 1H), 1.53 - 1.48 (m, 1H), 1.48 - 1.33 (m, 2H), 1.40 (d, *J* = 6.5 Hz, 3H), 1.21 (d, *J* 7.2 Hz, 3H), 0.94 (t, *J* = 6.9 Hz, 3H) 0.91 (t, *J* = 7.2 Hz, 3H)
387	- - -	3370, 2963, 2937, 2876, 1736, 1649, 1528, 1517, 1482	HRMS - ESI (*m/z*) ($[M+H]^+$) calculada para $C_{30}H_{37}N_2O_6$, 521.2646, encontrada, 521.2654	^{1}H RMN (500 MHz, $CDCl_3$) δ 12.08 (d, *J* = 0.6 Hz, 1H), 8.36 (d, *J* = 7.9 Hz, 1H), 7.93 (d, *J* = 5.2 Hz, 1H), 7.53 - 7.48 (m, 2H), 7.46 - 7.37 (m, 4H), 7.32 - 7.27 (m, 1H), 6.97 (d, *J* = 8.8 Hz, 2H), 6.80 (dd, *J* = 5.3, 0.6 Hz, 1H), 5.28 (qd, *J* = 6.4, 4.1 Hz, 1H), 4.63 - 4.55 (m, 1H), 4.48 (dd, *J* = 6.7, 4.1 Hz, 1H), 3.89 (s, 3H), 1.69 - 1.62 (m, 1H), 1.62 - 1.56 (m, 1H), 1.55 1.47 (m, 1H), 1.48 - 1.37 (m, 2H), 1.39 (d, *J* = 6.5 Hz, 3H), 1.26 (d, *J* =

*Comp. No.	P.F. (°C)	*1R (cm^{-1})	MASA	RMN (^{1}H, ^{13}C, ^{19}F)
				7.2 Hz, 3H), 0.94 (t, *J* = 7.6 Hz, 3H), 0.91 (t, *J* = 7.4 Hz, 3H)
388	- - -	- - -	HRMS - ESI (*m/z*) ($[M+H]^+$) calculada para $C_{28}H_{33}N_2O_6$, 493.2333, encontrada, 493.2336	^{1}H RMN (500 MHz, $CDCl_3$) δ 12.08 (d, *J* = 0.7 Hz, 1H), 8.36 (d, *J* = 7.9 Hz, 1H), 7.92 (d, *J* = 5.1 Hz, 1H), 7.56 - 7.47 (m, 2H), 7.45 - 7.37 (m, 4H), 7.32 - 7.27 (m, 1H), 6.99 (d, *J* = 8.8 Hz, 2H), 6.79 (d, *J* = 5.2 Hz, 1H), 5.27 (qd, *J* = 6 5, 4.1 Hz, 1H), 4.58 (p, *J* = 7.3 Hz, 1H), 4.25 (dd, *J* = 7.3, 3.8 Hz, 1H), 3.88 (s, 3H), 1.99 (h, *J* = 6.8 Hz, 1H), 1.39 (d, *J* = 6.5 Hz, 3H), 1.26 (d, *J* = 7.2 Hz, 3H), 1.05 (d, *J* = 6.7 Hz, 3H), 1.03 (d, *J* = 6.8 Hz, 3H) ^{13}C RMN (126 MHz, $CDCl_3$) δ 171.54, 168.68, 159.63, 155.30, 140.69, 140.43, 134.02, 130.35, 128.68, 128.67, 128.09, 126.68, 126.66, 116.36, 109.40, 84.11, 73.01, 56.01, 48.01, 30.52, 19.22, 18.77, 17.62, 14.50
389	- - -	- - -	HRMS - ESI (*m/z*) ($[M+H]^+$) calculada para $C_{28}H_{33}N_2O_6$, 493.2333;	^{1}H RMN (500 MHz, $CDCl_3$) δ 12.07 (s, 1H), 8.36 (d, *J* = 7.7 Hz, 1H), 7.94 (d, *J* = 5.2 Hz, 1H), 7.60 - 7.50 (m, 2H), 7.43 (t, *J* = 7.6 Hz, 2H), 7.40 - 7.27

*Comp. No.	P.F. (°C)	*1R (cm^{-1})	MASA	RMN (^{1}H, ^{13}C, ^{19}F)
			encontrada, 493.2339	(m, 2H), 7.19 - 7.10 (m, 2H), 6.91 (dd, *J* = 8.2, 1.7 Hz, 1H), 6.82 (d, *J* = 5.2 Hz, 1H), 5.30 - 5.21 (m, 1H), 4.55 (p, *J* = 7.2 Hz, 1H), 4.30 (dd, *J* = 7.1, 4.0 Hz, 1H), 3.92 (s, 3H), 1.99 (h, *J* = 6.8 Hz, 1H), 1.39 (d, *J* = 6.5 Hz, 3H), 1.21 (d, *J* = 7.2 Hz, 3H), 1.07 (d, *J* = 6.7 Hz, 3H), 1.04 (d, *J* = 6.8 Hz, 3H) ^{13}C RMN (126 MHz, $CDCl_3$) δ 171.59, 168.64, 160.46, 155.31, 148.69, 142.79, 140.91, 140.43, 130.39, 129.74, 128.73, 127.42, 127.10, 119.98, 115.33, 114.72, 109.39, 84.06, 73.06, 56.05, 47.95, 30.46, 19.23, 18.75, 17.55, 14.59
390	- - -	- - -	HRMS - ESI (*m/z*) ($[M+H]^+$) calculada para $C_{22}H_{28}FN_2O_6$, 435.1926, encontrada, 435.1935	^{1}H RMN (500 MHz, $CDCl_3$) δ 12.20 11.96 (m, 1H), 8.37 (d, *J* = 7.6 Hz, 1H), 7.97 (d, *J* = 5.2 Hz, 1H), 7.22 - 7.08 (m, 1H), 6.86 (d, *J* = 5.2 Hz, 1H), 6.70 (dd, *J* = 8 4, 1.7Hz, 1H), 6.67 - 6.53 (m, 2H), 5.24 (td, *J* = 6 5, 3.8 Hz, 1H), 4.58 (p, *J* = 7.2 Hz, 1H), 4.19 (dd, *J* = 7.2, 3.9 Hz, 1H), 3.94 (s, 3H), 1.96 (dq, *J* = 13.7, 6.8 Hz, 1H), 1.35 (d, *J* = 6.5 Hz, 3H), 1.29 (d, *J* = 7.2 Hz, 3H), 1.06 - 0.95 (m, 6H)

*Comp. No.	P.F. (°C)	*1R (cm^{-1})	MASA	RMN (^{1}H, ^{13}C, ^{19}F)
				^{13}C RMN (126 MHz, $CDCl_3$) δ 171.53, 168.67, 163.53 (d, 245.5 Hz), 161.32 (d, *J* = 10.8 Hz), 155.35, 148.72, 140.47, 130.36, 130.18 (d, *J* = 10.1 Hz), 111.55 (d, *J* = 2.9 Hz), 109.43, 107.79 (d, *J* = 21.3 Hz), 103.74 (d, *J* = 24.5 Hz), 84.24, 72.79, 56.08, 47.94, 30.39, 19.14, 18.65, 17.67, 14.44
391	- - -	- - -	HRMS - ESI (*m/z*) ($[M+H]^+$) calculada para $C_{22}H_{28}FN_2O_6$, 435.1926; encontrada, 435.1928	^{1}H RMN (500 MHz, $CDCl_3$) δ 12.15 12.00 (m, 1H), 8.34 (d, *J* = 7.6 Hz, 1H), 7.96 (d, *J* = 5.2 Hz, 1H), 7.03 - 6.77 (m, 5H), 5.23 (td, *J* = 6 5, 3.6 Hz, 1H), 4.56 (p, *J* = 7.2 Hz, 1H), 4.08 (dd, *J* = 7.3, 3.7 Hz, 1H), 3.95 (d, *J* = 2.8 Hz, 3H), 1.94 (dq, *J* = 13.7, 6.9 Hz, 1H), 1.35 (d, *J* = 6.5 Hz, 3H), 1.27 (d, *J* = 7.2 Hz, 3H), 1.03 (d, *J* = 6.7 Hz, 3H), 1.00 (d, *J* = 6.8 Hz, 3H) ^{13}C RMN (126 MHz, $CDCl_3$) δ 171.50, 168 68, 157.21 (d, *J* = 238.9 Hz), 156.21 (d, *J* = 2.3 Hz), 155.38, 148.73, 140 46, 130.34, 117.29 (d, *J* = 8.0 Hz), 115.73 (d, *J* = 23.0 Hz), 109.45, 85.21, 72.97, 56.08, 47.97, 30.47, 19.21, 18.81, 17.65, 14.42

*Comp. No.	P.F. (°C)	*1R (cm^{-1})	MASA	RMN (^{1}H, ^{13}C, ^{19}F)
392	- - -	- - -	HRMS - ESI (*m/z*) ($[M+H]^+$) calculada para $C_{22}H_{27}F_2N_2O_6$, 453.1832; encontrada, 453.1841	^{1}H RMN (500 MHz, $CDCl_3$) δ 12.05 (s, 1H), 8.36 (d, *J* = 7.6 Hz, 1H), 7.97 (d, *J* = 5.2 Hz, 1H), 6.97 (ddd, *J* = 10.5, 9.1, 5.4 Hz, 1H), 6.86 (d, *J* = 5.2 Hz, 1H), 6.71 (ddd, *J* = 9.7, 6.6, 2.9 Hz, 1H), 6.61 6.50 (m, 1H), 5.34 - 5.20 (m, 1H), 4.55 (p, *J* = 7.3 Hz, 1H), 4.14 (dd, *J* = 7.6, 3.3 Hz, 1H), 3.94 (s, 3H), 2.00 (dq, *J* = 13.8, 6.8 Hz, 1H), 1.39 (d, *J* = 6.5 Hz, 3H), 1.26 (d, *J* = 7.2 Hz, 3H), 1.07 (d, *J* = 6.7 Hz, 3H), 1.03 (d, *J* = 6.8 Hz, 3H) ^{13}C RMN (126 MHz, $CDCl_3$) δ 171.50, 168.66, 158.49 (dd, *J* = 242.5, 2.4 Hz), 155.36, 149.55 (dd, *J* = 241.5, 3.2 Hz), 148.72, 148.47 (dd, *J* = 12.2, 10.5 Hz), 140.48, 130.36, 116.64 (dd, *J* = 21.3, 10.2 Hz), 109.44, 107.39 (dd, *J* = 23.9, 7.0 Hz), 104.95 (d, *J* = 25.1 Hz), 86.68, 72.89, 56.08, 47.90, 30.32, 19.03, 18.82, 17.58, 14.01
393	- - -	- - -	HRMS - ESI (*m/z*) ($[M+H]^+$) calculada para $C_{22}H_{27}ClFN_2O_6$, 469.1536;	^{1}H RMN (500 MHz, $CDCl_3$) δ 12.03 (s, 1H), 8.37 (d, *J* = 7.9 Hz, 1H), 7.96 (d, *J* = 5.2 Hz, 1H), 6.86 (d, *J* = 5.3 Hz, 1H), 6.72 (q, *J* = 1.7 Hz, 1H), 6.63 (dt, *J* = 8.3, 2.0 Hz, 1H), 6.54 (dt, *J* =

*Comp. No.	P.F. (°C)	*1R (cm^{-1})	MASA	RMN (^{1}H, ^{13}C, ^{19}F)
			encontrada, 469.1539	10.6, 2.3 Hz, 1H), 5.24 (qd, *J* = 6.4, 3.7 Hz, 1H), 4.60 (p, *J* = 7.3 Hz, 1H), 4.15 (dd, *J* = 7.4, 3.7 Hz, 1H), 3.95 (s, 3H), 1.96 (h, *J* = 6.8 Hz, 1H), 1.38 - 1.32 (m, 6H), 1.01 (d, *J* = 4.5 Hz, 3H), 0.99 (d, *J* = 4.6 Hz, 3H) ^{13}C RMN (126 MHz, $CDCl_3$) δ 171.52, 168.69, 163.27 (d, *J* = 248.2 Hz), 161.41 (d, *J* = 12.3 Hz), 155.36, 148.73, 140.49, 135.37 (d, *J* = 13.6 Hz), 130.31, 112.30 (d, *J* = 3.2 Hz), 109.45, 108.90 (d, *J* = 25.2 Hz), 102.19 (d, *J* = 24.9 Hz), 84.60, 72.57, 56.08, 47.93, 30.38, 19.06, 18.63, 17.73, 14.33
394	- - -	- - -	HRMS - ESI (*m/z*) ($[M+H]^+$) calculada para $C_{23}H_{28}F_3N_2O_6$, 485.1894; encontrada, 485.1896	^{1}H RMN (500 MHz, $CDCl_3$) δ 12.05 (s, 1H), 8.33 (d, *J* = 7.8 Hz, 1H), 7.95 (d, *J* = 5.3 Hz, 1H), 7.53 - 7.39 (m, 2H), 6.97 (d, *J* = 8.5 Hz, 2H), 6.86 (d, *J* = 5.3 Hz, 1H), 5.26 (qd, *J* = 6.5, 3.7 Hz, 1H), 4.58 (p, *J* = 7.3 Hz, 1H), 4.27 (dd, *J* = 7.3, 3.7 Hz, 1H), 3.95 (s, 3H), 1.98 (hepteto, 6.9 Hz, 1H), 1.35 (d, *J* = 6.5 Hz, 3H), 1.28 (d, *J* = 7.2 Hz, 3H), 1.01 (d, *J* = 3.7 Hz, 3H), 1.00 (d, *J* = 3.7 Hz, 3H)

*Comp. No.	P.F. (°C)	*1R (cm^{-1})	MASA	RMN (^{1}H, ^{13}C, ^{19}F)
				^{13}C RMN (126 MHz, $CDCl_3$) δ 171.45, 168.73, 162.40, 155.39, 148.75, 140.49, 130.27, 126.90 (q, *J* = 3.7 Hz), 127.79 120.98 (m), 122.99 (q, *J* = 32.7 Hz), 115.77, 109.50, 84.15, 72.68, 56.08, 48.02, 30.52, 19.12, 18.63, 17.61, 14.40
395	- - -	- - -	HRMS - ESI (*m/z*) ($[M+H]^+$) calculada para $C_{25}H_{33}F_2N_2O_6$, 495.2301; encontrada, 495.2304	^{1}H RMN (500 MHz, $CDCl_3$) δ 12.08 (d, *J* = 0.6 Hz, 1H), 8.36 (d, *J* = 9.3 Hz, 1H), 7.97 (d, *J* = 5.2 Hz, 1H), 6.94 (ddd, *J* = 10.6, 9.0, 5.4 Hz, 1H), 6.86 (d, *J* = 5.2 Hz, 1H), 6.70 (ddd, *J* = 9.8, 6.7, 3.0 Hz, 1H), 6.53 (ddt, *J* = 8.9, 75, 3.1 Hz, 1H), 5.24 (qd, *J* = 6.4, 3.8 Hz, 1H), 4.55 (dd, *J* = 9.2, 4.9 Hz, 1H), 4.09 (dd, *J* = 7.2, 3.7 Hz, 1H), 3.95 (s, 3H), 2.01 (h, *J* = 6.8 Hz, 1H), 1.80 (dddd, *J* = 11.5, 9.2, 6.9, 3.4 Hz, 1H), 1.47 - 1.40 (m, 1H), 1.39 (d, *J* = 6.4 Hz, 3H), 1.211.11 (m, 1H), 1.06 (d, *J* = 6.7 Hz, 3H), 1.01 (d, *J* = 6.9 Hz, 3H), 0.91 (d, *J* = 6.9 Hz, 3H), 0.90 - 0.83 (m, 3H) ^{13}C RMN (126 MHz, $CDCl_3$) δ 170.30, 168.86, 158.49 (dd, *J* = 242.5, 2.4 Hz), 155.35, 149.51 (dd, *J* = 241.5,

*Comp. No.	P.F. (°C)	*1R (cm^{-1})	MASA	RMN (^{1}H, ^{13}C, ^{19}F)
				3.3 Hz), 148.68, 148.35 (dd, *J* = 12.2, 10.5 Hz), 140.47, 130.41, 116.55 (dd, *J* = 21.3, 10.1 Hz), 109.40, 107.32 (dd, *J* = 23.9, 7.0 Hz), 105.65 - 103.75 (m), 86.77, 72.53, 56.63, 56.08, 37.68, 30.27, 24.70, 19.16, 18.50, 15.61, 14.44, 11.43
396	- - -	- - -	HRMS - ESI (*m/z*) ($[M+H]^+$) calculada para $C_{26}H_{34}F_3N_2O_6$, 527.2363, encontrada, 527.2370	^{1}H RMN (500 MHz, $CDCl_3$) δ 12.09 (s, 1H), 8.36 (d, *J* = 9.2 Hz, 1H), 7.94 (d, *J* = 5.2 Hz, 1H), 7.54 - 7.36 (m, 2H), 7.04 6.93 (m, 2H), 6.86 (d, *J* = 5.3 Hz, 1H), 5.25 (qd, *J* = 6 3, 3.8 Hz, 1H), 4.57 (dd, *J* = 9 0, 5.1 Hz, 1H), 4.22 (dd, *J* = 6 9, 3.9 Hz, 1H), 3.95 (s, 3H), 2.00 (h, *J* = 6.8 Hz, 1H), 1.84 (ddt, 9 5, 7.1, 4.6 Hz, 1H), 1.40 14.8, 7.3, 3.7 Hz, 1H), 1.35 (d, *J* = 6.5 Hz, 3H), 1.17 (ddq, *J* = 14.6, 9.4, 7.4 Hz, 1H), 1.03 - 0.96 (m, 6H), 0.91 (d, *J* = 6.9 Hz, 3H), 0.88 - 0.83 (m, 3H) ^{13}C RMN (126 MHz, $CDCl_3$) δ 170.23, 168.94, 162.27, 155.40, 148.71, 140.48, 130.31, 126.86 (q, *J* = 3.8 Hz), 124.31 (q, *J* = 271.1 Hz), 122.91 (q, *J* = 32.7 Hz), 115.77, 109.48, 84.34, 72.37, 56.74, 56.07, 37.58,

*Comp. No.	P.F. (°C)	*1R (cm^{-1})	MASA	RMN (^{1}H, ^{13}C, ^{19}F)
				30.47, 24.77, 19.29, 18.38, 15.59, 14.77, 11.40
397	- - -	- - -	HRMS - ESI (*m/z*) ($[M+H]^+$) calculada para $C_{26}H_{31}N_2O_6$, 467.2177; encontrada, 467.2185	^{1}H RMN (500 $CDCl_3$) δ 12.06 (d, *J* = 0.7 Hz, 1H), 8.41 - 8.24 (m, 2H), 7.91 (d, *J* = 5.2 Hz, 1H), 7.82 - 7.72 (m, 1H), 7.52 - 7.44 (m, 2H), 7.36 (d, *J* = 8.2 Hz, 1H), 7.29 (d, *J* = 7.9 Hz, 1H), 6.90 - 6.74 (m, 2H), 5.35 (qd, *J* = 6 5, 4.2 Hz, 1H), 4.59 - 4.46 (m, 2H), 3.94 (s, 3H), 2.22 2.04 (m, 1H), 1.45 (d, *J* = 6.5 Hz, 3H), 1.19 (d, *J* = 7.2 Hz, 3H), 1.14 - 1.07 (m, 3H), 1.06 (d, *J* = 6.9 Hz, 3H) ^{13}C RMN (126 MHz, $CDCl_3$) δ 171.57, 168.62, 155.37, 155.30, 148.68, 140.41, 134.75, 130.35, 127.48, 126.34, 126.03, 125.61, 125.15, 122.14, 120.26, 109.38, 105.96, 83.26, 72.84, 56.07, 47.93, 30.57, 19.28, 18.46, 17 69, 14.88
398	- - -	- - -	HRMS - ESI (*m/z*) ($[M+H]^+$) calculada para $C_{26}H_{31}N_2O_6$, 467.2177; encontrada,	^{1}H RMN (500 MHz, $CDCl_3$) δ 12.03 (s, 1H), 8.34 (d, *J* = 7.8 Hz, 1H), 7.89 (d, *J* = 5.2 Hz, 1H), 7.82 - 7.59 (m, 3H), 7.51 7.35 (m, 1H), 7.35 - 7.27 (m, 1H), 7.17 (dd, *J* = 10.6, 1.7 Hz, 2H),

*Comp. No.	P.F. (°C)	*1R (cm^{-1})	MASA	RMN (^{1}H, ^{13}C, ^{19}F)
			467.2183	6.80 (d, *J* = 5.2 Hz, 1H), 5.38 - 5.23 (m, 1H), 4.56 (p, *J* = 7.2 Hz, 1H), 4.41 (dd, *J* = 7.0, 4.1 Hz, 1H), 3.92 (s, 3H), 2.03 (h, *J* = 6.8 Hz, 1H), 1.41 (d, *J* = 6.5 Hz, 3H), 1.20 (d, *J* = 7.2 Hz, 3H), 1.06 (d, *J* = 5.4 Hz, 3H), 1.05 (d, *J* = 5.5 Hz, 3H) ^{13}C RMN (126 MHz, $CDCl_3$) δ 171.58, 168.60, 157.81, 155.25, 148.63, 140.36, 134.39, 130.31, 129.51, 129.00, 127.54, 126.62, 126.35, 123.65, 119.26, 109.34, 109.00, 83.65, 72.89, 56.03, 47.94, 30.50, 19.25, 18.64, 17.72, 14.66
399	- - -	- - -	HRMS - ESI (*m/z*) $[M+CH_3CNNH_4]^+$ calculada para $C_{22}H_{37}N_4O_7$, 469.2657; encontrada, 469.2654	^{1}H RMN (500 MHz, $CDCl_3$) δ 12.11 (s, 1H), 8.46 (d, *J* = 7.9 Hz, 1H), 7.99 (d, *J* = 5.2 Hz, 1H), 6.87 (d, *J* = 5.2 Hz, 1H), 5.24 - 5.14 (m, 1H), 4.92 (dd, *J* = 7.7, 4.1 Hz, 1H), 4.66 (p, *J* = 7.3 Hz, 1H), 3.94 (s, 3H), 2.60 (p, *J* = 7.0 Hz, 1H), 1.86 (tq, *J* = 13.9, 7.0 Hz, 1H), 1.51 (d, *J* = 7.2 Hz, 3H), 1.26 (d, *J* = 6.5 Hz, 3H), 1.20 (d, *J* = 7.0 Hz, 6H), 0.95 (d, *J* = 6.8 Hz, 3H), 0.90 (d, *J* = 6.7 Hz, 3H) ^{13}C RMN (126 MHz, $CDCl_3$) δ 176.38,

*Comp. No.	P.F. (°C)	*1R (cm^{-1})	MASA	RMN (^{1}H, ^{13}C, ^{19}F)
				171.43, 168.73, 155.35, 148.73, 140.49, 130.46, 109.44, 71.34, 56.07, 47.93, 34.30, 29.11, 19.12, 19.09, 18.96, 18.15, 18.03, 14.23
400	- - -	- - -	HRMS - ESI (*m/z*) ($[M+H]^+$) calculada para $C_{28}H_{35}N_2O_6$, 495.2490, encontrada, 495.2492	^{1}H RMN (500 MHz, $CDCl_3$) δ 12.08 (s, 1H), 8.44 - 8.22 (m, 2H), 7.88 (d, *J* = 5.2 Hz, 1H), 7.79 - 7.71 (m, 1H), 7.52 - 7.42 (m, 2H), 7.31 (dd, *J* = 33.5, 8.0 Hz, 2H), 6.85 (d, *J* = 7.7 Hz, 1H), 6.82 (d, *J* = 5.2 Hz, 1H), 5.40 - 5.31 (m, 1H), 4.56 - (m, 2H), 3.94 (s, 3H), 2.13 (dq, *J* = 13.4, 6.7 Hz, 1H), 2.04 - 1.92 (m, 1H), 1.44 (d, *J* = 6.4 Hz, 3H), 1.09 (d, *J* = 6.7 Hz, 3H), 1.04 (d, *J* = 6.8 Hz, 3H), 0.87 (d, *J* = 6.8 Hz, 3H), 0.83 (d, *J* = 6.9 Hz, 3H) ^{13}C RMN (126 MHz, $CDCl_3$) δ 170.42, 168.98, 155.28, 148.61, 140.39, 134.73, 130.37, 127.44, 126.30, 126.02, 125.60, 125.10, 122.16, 120.24, 109.35, 106.04, 83.57, 72.51, 57.07, 56.07, 30.98, 30.50, 19.41, 19.29, 18.22, 17.23, 15.25
401	- - -	- - -	HRMS - ESI (*m/z*) ($[M+H]^+$) calculada	^{1}H RMN (500 MHz, $CDCl_3$) δ 12.17 11.92 (m, 1H), 8.36 (d, *J* = 9.3 Hz,

*Comp. No.	P.F. (°C)	*1R (cm^{-1})	MASA	RMN (^{1}H, ^{13}C, ^{19}F)
			para $C_{28}H_{35}N_2O_6$, 495.2490; encontrada, 495.2498	1H), 7.85 (d, *J* = 5.2 Hz, 1H), 7.70 (d, *J* = 8.1 Hz, 1H), 7.68 (d, *J* = 8.8 Hz, 1H), 7.63 (d, *J* = 8.2 Hz, 1H), 7.43 - 7.36 (m, 1H), 7.34 - 7.27 (m, 1H), 7.20 - 7.14 (m, 2H), 6.76 (d, *J* = 5.2 Hz, 1H), 5.35 - 5.27 (m, 1H), 4.53 (dd, *J* = 9 4, 4.6 Hz, 1H), 4.34 (dd, *J* = 6.7, 4.2 Hz, 1H), 3.92 (s, 3H), 2.04 (dq, *J* = 13.6, 6.8 Hz, 1H), 1.99 - 1.89 (m, 1H), 1.40 (d, *J* = 6.5 Hz, 3H), 1.06 (d, *J* = 6.7 Hz, 3H), 1.04 (d, *J* = 6.8 Hz, 3H), 0.82 (d, *J* = 6.9 Hz, 3H), 0.79 (d, *J* = 6.9 Hz, 3H) ^{13}C RMN (126 MHz, $CDCl_3$) δ 170.43, 168.97, 157.80, 155.21, 148.55, 140.32, 134.40, 130.32, 129.42, 129.01, 127.49, 126.64, 126.28, 123.64, 119.34, 109.29, 109.27, 84.19, 72.56, 56.98, 56.00, 31.01, 30.44, 19.36, 19.25, 18.51, 17.13, 14.93
402	- - -	- - -	HRMS - ESI (*m/z*) ($[M+H]^+$) calculada para $C_{23}H_{29}Cl_2N_2O_7$, 515.1352,	^{1}H RMN (400 MHz, $CDCl_3$) δ 12.02 (d, *J* = 0.6 Hz, 1H), 8.28 (d, *J* = 7.8 Hz, 1H), 7.95 (d, *J* = 5.2 Hz, 1H), 7.37 - 7.20 (m, 1H), 7.10 - 6.94 (m, 2H), 6.87 (d, *J* = 5.2 Hz, 1H), 5.17 (qd, *J* =

*Comp. No.	P.F. (°C)	*1R (cm^{-1})	MASA	RMN (^{1}H, ^{13}C, ^{19}F)
			encontrada, 515.1349	65, 2.8 Hz, 1H), 4.58 (p, *J* = 7.3 Hz, 1H), 4.42 (dd, *J* = 7.4, 2.8 Hz, 1H), 3.95 (s, 3H), 3.38 (s, 3H), 3.30 (td, *J* = 7.3, 3.9 Hz, 1H), 1.71 (dqd, *J* = 14.8, 7.4, 4.0 Hz, 1H), 1.58 1.46 (m, 1H), 1.45 (d, *J* = 6.5 Hz, 3H), 1.24 (d, *J* = 7.2 HZ, 31 - 1), 1.01 (t, *J* = 7.4 Hz, 3H) ^{13}C RMN (101 MHZ, $CDCl_3$) δ 171.39, 168.70, 155.35, 154.43, 148.70, 140.46, 130.24, 129.73, 127.52, 125.99, 124.47, 116.71, 109.48, 84.07, 82.19, 71.86, 59.27, 56.08, 47.96, 23.46, 17.51, 14.08, 9.05
403	- - -	- - -	HRMS - ESI (*m/z*) ($[M+H]^+$) calculada para $C_{23}H_{31}N_2O_7$, 447.2131; encontrada, 447.2133	^{1}H RMN (400 MHz, $CDCl_3$) δ 12.09 (d, *J* = 0.6 Hz, 1H), 8.39 (d, *J* = 7.9 Hz, 1H), 7.98 (d, *J* = 5.2 Hz, 1H), 7.25 - 7.20 (m, 2H), 7.02 - 6.97 (m, 2H), 6.92 (tt, *J* = 7.3, 1.1 Hz, 1H), 6.88 - 6.85 (m, 1H), 5.25 (qd, *J* = 6 5, 4.6 Hz, 1H), 4.69 - 4.54 (m, 1H), 4.45 (t, *J* = 4.8 Hz, 1H), 3.94 (s, 3H), 3.42 (s, 3H), 3.28 (dt, *J* = 7.0, 5.3 Hz, 1H), 1.70 - 1.54 (m, 2H), 1.38 (d, *J* = 6.5 Hz, 3H), 1.30 (d, *J* = 7.2 Hz, 3H), 0.95 (t, *J* = 7.4 Hz, 3H)

*Comp. No.	P.F. (°C)	*1R (cm^{-1})	MASA	RMN (^{1}H, ^{13}C, ^{19}F)
				^{13}C RMN (101 MHz, $CDCl_3$) δ 171.38, 168.71, 159.70, 155.38, 148.76, 14048, 130.40, 129.45, 121.36, 116.30, 109.46, 82.32, 80.94, 72.19, 59.10, 56.09, 47.99, 23.28, 17.74, 15.38, 9.71
404	- - -	3373, 2964, 2936, 2876, 1734, 1652, 1609, 1591, 1527	HRMS - ESI calculada para $C_{26}H_{36}FN_2O_6$, 491.2552; encontrada, 491.2563	^{1}H RMN (500 MHz, $CDCl_3$) δ 12.09 (s, 1H), 8.39 (d, *J* = 9.5 Hz, 1H), 7.97 (d, *J* = 5.2 Hz, 1H), 7.13 (td, *J* = 8.3, 6.9 Hz, 1H), 6.86 (d, *J* = 5.2 Hz, 1H), 6.67 (dd, *J* = 8.3, 2.4 Hz, 1H), 6.62 - 6.53 (m, 2H), 5.26 (qd, *J* = 6.4, 4.3 Hz, 1H), 4.56 (dd, *J* = 9.4, 4.6 Hz, 1H), 4.35 (dd, *J* = 6.2, 4.3 Hz, 1H), 3.95 (s, 3H), 2.14 - 2.01 (m, 1H), 1.66 - 1.47 (m, 2H), 1.50 - 1.27 (m, 3H), 1.35 (d, *J* = 6.4 Hz, 3H), 0.95 (d, *J* = 6.9 Hz, 3H), 0.92 - 0.85 (m, 9H)
405	- - -	3373, 2964, 2936, 2876, 1733, 1652, 1527, 1502	HRMS - ESI (*m/z*) ($[M+H]^+$) calculada para $C_{26}H_{36}FN_2O_6$, 491.2552; encontrada, 491.255	^{1}H RMN (500 MHz, $CDCl_3$) δ 12.10 (s, 1H), 8.37 (d, *J* = 9.5 Hz, 1H), 7.96 (d, *J* = 5.2 Hz, 1H), 6.90 - 6.80 (m, 5H), 5.26 (qd, *J* = 6.3, 4.0 Hz, 1H), 4.54 (dd, *J* = 9.3, 4.6 Hz, 1H), 4.25 (dd, *J* = 6.4, 4.0 Hz, 1H), 3.95 (s, 3H), 2.04 (pd, *J* = 6.9, 4.9 Hz, 1H), 1.68 - 1.48

*Comp. No.	P.F. (°C)	*1R (cm^{-1})	MASA	RMN (^{1}H, ^{13}C, ^{19}F)
				(m, 2H), 1.50 1.29 (m, 3H), 1.35 (d, *J* = 6.4 Hz, 3H), 0.95 (d, *J* = 6.9 Hz, 3H), 0.92 - 0.85 (m, 9H)
406	- - -	3370, 2964, 2936, 2876, 1735, 1652, 1591, 1576, 1528	HRMS - ESI (*m/z*) ($[M+H]^+$) calculada para $C_{26}H_{36}ClN_2O_6$, 507.2256; encontrada, 507.2265	^{1}H RMN (500 MHz, $CDCl_3$) δ 12.09 (s, 1H), 8.38 (d, *J* = 9.5 Hz, 1H), 7.96 (d, *J* = 5.2 Hz, 1H), 7.10 (t, *J* = 8.1 Hz, 1H), 6.90 2.2 Hz, 1H), 6.86 (d, *J* = 5.2 Hz, 1H), 6.84 (ddd, *J* = 8.0, 2.0, 0.9 Hz, 1H), 6.78 (ddd, *J* = 8.4, 2.8, 1.0 Hz, 1H), 5.27 (qd, *J* = 6.4, 4.2 Hz, 1H), 4.56 (dd, *J* = 9.4, 4.6 Hz, 1H), 4.34 (dd, *J* = 6.4, 4.1 Hz, 1H), 3.95 (s, 3H), 2.12 - 2.03 (m, 1H), 1.64 - 1.50 (m, 2H), 1.52 - 1.28 (m, 3H), 1.35 (d, *J* = 6.4 Hz, 3H), 0.96 (d, *J* = 6.9Hz, 3H), 0.92 - 0.84 (m, 9H)
407	- - -	3373, 2964, 2937, 2876, 1734, 1652, 1593, 1528, 1487	HRMS - ESI (*m/z*) ($[M+H]^+$) calculada para $C_{26}H_{36}ClN_2O_6$, 507.2256; encontrada, 507.2263	^{1}H RMN (500 MHz, $CDCl_3$) δ 12.10 (s, 1H), 8.36 (d, *J* = 9.4 Hz, 1H), 7.95 (d, *J* = 5.2 Hz, 1H), 7.13 - 7.06 (m, 2H), 6.87 (d, *J* = 5.3 Hz, 1H), 6.84 - 6.78 (m, 2H), 5.26 (qd, *J* = 6.3, 3.9 Hz, 1H), 4.55 (dd, *J* = 9.3, 4.7 Hz, 1H), 4.29 (dd, *J* = 6 4, 4.1 Hz, 1H), 3.95 (s, 3H), 2.05 (pd, *J* = 6.8, 4.8 Hz, 1H), 1.66 - 1.47 (m, 2H), 1.49 - 1.27 (m,

*Comp. No.	P.F. (°C)	*1R (cm^{-1})	MASA	RMN (^{1}H, ^{13}C, ^{19}F)
				3H), 1.34 (d, *J* = 6.5 Hz, 3H), 0.96 (d, *J* = 6.9 Hz, 3H), 0.93 - 0.81 (m, 9H)
408	- - -	3373, 2964, 2935, 2876, 1735, 1662, 1577, 1528, 1477	HRMS - ESI (*m/z*) ($[M+H]^+$) calculada para $C_{26}H_{35}Cl_2N_2O_6$, 541.1867; encontrada, 541.1874	^{1}H RMN (500 MHz, $CDCl_3$) δ 12.07 (s, 1H), 8.33 (d, *J* = 9.3 Hz, 1H), 7.95 (d, *J* = 5.2 Hz, 1H), 7.23 (d, *J* = 2.5 Hz, 1H), 6.98 (dd, *J* = 8.9, 2.6 Hz, 1H), 6.87 (d, *J* = 5.1 Hz, 1H), 6.80 (d, *J* = 8.9 Hz, 1H), 5.29 (qd, *J* = 6.5, 3.7 Hz, 1H), 4.54 (dd, *J* = 9.3, 4.7 Hz, 1H), 4.38 (dd, *J* = 6.8, 3.7 Hz, 1H), 3.96 (s, 3H), 2.11 - 1.99 (m, 1H), 1.67 - 1.57 (m, 1H), 1.57 - 1.52 (m, 2H), 1.52 - 1.44 (m, 1H), 1.41 (d, *J* = 6.5 Hz, 3H), 1.45 - 1.32 (m, 1H), 0.95 (d, *J* = 6.9 Hz, 3H), 0.93 - 0.84 (m, 9H)
409	- - -	3373, 2965, 2938, 2877, 1736, 1652, 1528, 1508	HRMS - ESI (*m/z*) ($[M+H]^+$) calculada para $C_{26}H_{35}F_2N_2O_6$, 509.2458; encontrada, 509.2463	^{1}H RMN (500 MHz, $CDCl_3$) δ 12.08 (s, 1H), 8.38 (d, *J* = 9.3 Hz, 1H), 7.97 (d, *J* = 5.2 Hz, 1H), 6.94 (ddd, *J* = 10.7, 9.0, 5.4 Hz, 1H), 6.87 (d, *J* = 5.2 Hz, 1H), 6.69 (ddd, *J* = 9.8, 6.6, 2.9 Hz, 1H), 6.53 (ddt, *J* = 9.0, 7.6, 3.1 Hz, 1H), 5.28 (qd, *J* = 6.3, 3.7 Hz, 1H), 4.54 (dd, *J* = 9.4, 4.5 Hz, 1H), 4.31 (dd, *J* = 6.6, 3.7 Hz, 1H), 3.95 (s, 3H), 2.00 (pd, *J* = 6.9, 4.7 Hz, 1H), 1.71 -

*Comp. No.	P.F. (°C)	*1R (cm^{-1})	MASA	RMN (^{1}H, ^{13}C, ^{19}F)
				1.57 (m, 2H), 1.52 - 1.45 (m, 1H), 1.47 - 1.34 (m, 2H), 1.39 (d, *J* = 6.4 Hz, 3H), 0.94 (d, *J* = 6.9 Hz, 3H), 0.94 - 0.86 (m, 9H)
410	- - -	3374, 2964, 2936, 2876, 1735, 1652, 1603, 1588, 1527	HRMS - ESI (*m/z*) ($[M+H]^+$) calculada para $C_{26}H_{35}ClFN_2O_6$, 525.2162; encontrada, 525.2165	^{1}H RMN (500 MHz, $CDCl_3$) δ 12.06 (s, 1H), 8.39 (d, *J* = 9.3 Hz, 1H), 7.96 (d, *J* = 5.2 Hz, 1H), 6.87 (d, *J* = 5.2 Hz, 1H), 6.69 (q, *J* = 1.7 Hz, 1H), 6.60 (dt, *J* = 8.3, 2.0 Hz, 1H), 6.51 (dt, *J* = 10.6, 2.3 Hz, 1H), 5.26 (qd, *J* = 6.4, 4.1 Hz, 1H), 4.58 (dd, *J* = 9.4, 4.6 Hz, 1H), 4.31 (dd, *J* = 6.4, 4.0 Hz, 1H), 3.95 (s, 3H), 2.13 (pd, *J* = 7.0, 4.8 Hz, 1H), 1.63 - 1.49 (m, 3H), 1.48 - 1.35 (m, 2H), 1.34 (d, *J* = 6.5 Hz, 3H), 0.98 (d, *J* = 6.9 Hz, 3H), 0.93 (d, *J* = 6.9 Hz, 3H), 0.89 (t, *J* = 7.4 Hz, 3H), 0.87 (t, *J* = 7.3 Hz, 3H)
411	- - -	3367, 2964, 2876, 1734, 1651, 1576, 1527, 1479	HRMS - ESI (*m/z*) ($[M+H]^+$) calculada para $C_{26}H_{36}ClN_2O_6$, 507.2256; encontrada, 507.2265	^{1}H RMN (500 MHz, $CDCl_3$) δ 12.09 (s, 1H), 8.35 (d, *J* = 9.4 Hz, 1H), 7.97 (d, *J* = 5.2 Hz, 1H), 7.23 (dd, *J* = 7.9, 1.7 Hz, 1H), 7.09 (ddd, *J* = 8.9, 7.4, 1.7 Hz, 1H), 6.90 (dd, *J* = 8.4, 1.4 Hz, 1H), 6.87 (d, *J* = 5.2 Hz, 1H), 6.78 (td, *J* = 7.6, 1.4 Hz, 1H), 5.29 (qd, *J* = 6.4,

*Comp. No.	P.F. (°C)	*1R (cm^{-1})	MASA	RMN (^{1}H, ^{13}C, ^{19}F)
				4.0 Hz, 1H), 4.53 (dd, *J* = 9.4, 4.6 Hz, 1H), 4.45 (dd, *J* = 6.4, 3.9 Hz, 1H), 3.95 (s, 3H), 2.01 (pd, *J* = 6.9, 4.7 Hz, 1H), 1.68 - 1.58 (m, 2H), 1.58 - 1 44 (m, 3H), 1.42 (d, *J* = 5.6 Hz, 3H), 0.94 - 0.87 (m, 9H), 0.85 (d, *J* = 7.0 Hz, 3H)
412	- - -	3376, 2965, 2937, 2877, 1736, 1652, 1613, 1576, 1527, 1516	HRMS - ESI (*m/z*) ($[M+H]^{+}$) calculada para $C_{27}H_{36}F_3N_2O_6$, 541.252; encontrada, 541.2525	^{1}H RMN (500 MHz, $CDCl_3$) δ 12.08 (s, 1H), 8.37 (d, *J* = 9.4 Hz, 1H), 7.95 (d, *J* = 5.2 Hz, 1H), 7.43 (d, *J* = 8.7 Hz, 2H), 6.96 (d, *J* = 8.5 Hz, 2H), 6.86 (d, *J* = 5.3 Hz, 1H), 5.29 (qd, *J* = 6.4, 4.0 Hz, 1H), 4.54 (dd, *J* = 9.2, 4.8 Hz, 1H), 4.43 (dd, *J* = 6.4, 4.0 Hz, 1H), 3.95 (s, 3H), 2.03 (pd, *J* = 6.9, 4.9 Hz, 1H), 1.65 - 1.50 (m, 3H), 1.52 - 1.23 (m, 2H), 1.35 (d, *J* = 6.5 Hz, 3H), 0.94 (d, *J* = 6.9 Hz, 3H), 0.92 - 0.84 (m, 9H)
413	- - -	3367, 2963, 2875, 1733, 1651, 1596, 1575, 1527, 1478	HRMS - ESI (*m/z*) ($[M+H]^{+}$) calculada para $C_{32}H_{41}N_2O_6$, 549.2959; encontrada, 549.2954	^{1}H RMN (500 MHz, $CDCl_3$) δ 12.10 (s, 1H), 8.39 (d, *J* = 9.5 Hz, 1H), 7.94 (d, *J* = 5.2 Hz, 1H), 7.56 - 7.53 (m, 2H), 7.46 7.40 (m, 2H), 7.36 - 7.32 (m, 1H), 7.27 (t, *J* = 7.9 Hz, 1H), 7.16 - 7.10 (m, 2H), 6.88 (dd, *J* = 8.3, 2.4

*Comp. No.	P.F. (°C)	*1R (cm^{-1})	MASA	RMN (^{1}H, ^{13}C, ^{19}F)
				Hz, 1H), 6.81 (d, *J* = 5.3 Hz, 1H), 5.29 (qd, *J* = 6 4, 4.1 Hz, 1H), 4.55 (dd, *J* = 9.4, 4.5 Hz, 1H), 4.45 (dd, *J* = 6 3, 4.3 Hz, 1H), 3.91 (s, 3H), 2.03 (pd, *J* = 6 9, 4.7 Hz, 1H), 1.71 - 1.62 (m, 1H), 1.61 - 1.51 (m, 1H), 1.54 - 1.34 (m, 3H), 1.39 (d, *J* = 6.5 Hz, 3H), 0.96 - 0.87 (m, 9H), 0.84 (d, *J* = 6.8 Hz, 3H)
414	- - -	3373, 2963, 2935, 2875, 1733, 1652, 1606, 1576, 1517, 1483	HRMS - ESI (*m/z*) ($[M+H]^+$) calculada para $C_{32}H_{41}N_2O_6$, 549.2959; encontrada, 549.2955	^{1}H RMN (500 MHz, $CDCl_3$) δ 12.11 (s, 1H), 8.40 (d, *J* = 9.5 Hz, 1H), 7.92 (d, *J* = 5.2 Hz, 1H), 7.51 (dd, *J* = 8.2, 1.4 Hz, 2H), 7.43 - 7.36 (m, 4H), 7.32 - 7.27 (m, 1H), 6.97 (d, *J* = 8.7 Hz, 2H), 6.78 (d, *J* = 5.2 Hz, 1H), 5.30 (qd, *J* = 6 4, 4.1 Hz, 1H), 4.57 (dd, *J* = 9.4, 4.7 Hz, 1H), 4.41 (dd, *J* = 6 4, 4.2 Hz, 1H), 3.87 (s, 3H), 2.04 (pd, *J* = 6 9, 4.8 Hz, 1H), 1.69 - 1.59 (m, 1H), 1.60 - 1.53 (m, 1H), 1.53 - 1.44 (m, 1H), 1 46 - 1.33 (m, 2H), 1.38 (d, *J* = 6.6 Hz, 3H), 0.94 - 0.86 (m, 12H)
415	- - -	- - -	HRMS - ESI (*m/z*) ($[M+H]^+$) calculada para $C_{23}H_{28}N_2O_6$, 429.2020,	^{1}H RMN (500 MHz, $CDCl_3$) δ 12.08 (s, 1H), 8.35 (d, *J* = 7.9 Hz, 1H), 7.96 (dd, *J* = 5.3, 1.1 Hz, 1H), 7.25 - 7.15 (m, 2H), 6.97 - 6.80 (m, 4H), 5.79

*Comp. No.	P.F. (°C)	*1R (cm^{-1})	MASA	RMN (^1H, ^{13}C, ^{19}F)
			encontrada, 429.2026	(ddd, *J* = 16.7, 10.2, 8.6 Hz, 1H), 5.19 (qd, *J* = 6 5, 3.2 Hz, 1H), 5.16 - 5.02 (m, 2H), 4.53 (p, *J* = 7.4 Hz, 1H), 4.35 (dd, *J* = 8.4, 3.4 Hz, 1H), 3.94 (s, 3H), 2.52 (h, *J* = 7.3 Hz, 1H), 1.37 (d, *J* = 6.4 Hz, 3H), 1.18 (d, *J* = 7.2 Hz, 3H), 1.14 (d, *J* = 6.7 Hz, 3H) ^{13}C RMN (126 MHz, $CDCl_3$) δ 171.52, 168.63, 159.90, 155.35, 148.72, 140.44, 139.47, 130.42, 129.45, 121.25, 116.37, 115.86, 109.41, 82.41, 73.50, 56.07, 47.92, 41.06, 17.54, 17.09, 13.86
416	- - -	3347, 2964, 1728, 1655, 1525, 1482, 1240	ESIMS *m/z* 487.4 ($[M+H]^+$)	^1H RMN (400 MHz, $CDCl_3$) δ 12.10 (s, 1H), 8.32 (s, 1H), 7.95 (d, *J* = 5.2 Hz, 1H), 7.22 - 7.15 (m, 2H), 6.98 - 6.93 (m, 2H), 6.90 - 6.85 (m, 2H), 5.22 - 5.12 (m, 1H), 4.39 (dd, *J* = 5.8, 3.7 Hz, 1H), 3.95 (s, 3H), 3 47 (t, *J* = 6.8 Hz, 2H), 3.38 3.27 (m, 1H), 1.65 - 1.56 (m, 1H), 1.56 - 1.46 (m, 4H), 1.41 - 1.34 (m, 1H), 1.31 (d, *J* = 6.4 Hz, 3H), 1.22 - 1.13 (m, 2H), 0.92 (t, *J* = 7 4 Hz, 3H), 0.84 (t, *J* = 7 4 Hz, 3H)
417	- - -	3366, 2964,	HRMS - ESI (*m/z*)	^1H RMN (400 MHz, $CDCl_3$) δ 12.18 (s,

*Comp. No.	P.F. (°C)	*1R (cm^{-1})	MASA	RMN (^{1}H, ^{13}C, ^{19}F)
		2937, 1735, 1651, 1527, 1266, 1239	$[M]^+$ calculada para $C_{26}H_{36}N_2O_7$, 488.2523; encontrada, 488.2529	1H), 8.34 (bs, 1H), 7.97 (d, *J* = 5.2 Hz, 1H), 7.18 - 7.12 (m, 2H), 6.99 - 6.94 (m, 2H), 6.89 - 6.83 (m, 2H), 5.29 - 5.19 (m, 1H), 4.41 (dd, *J* = 5.8, 3.5 Hz, 1H), 3.95 (s, 3H), 3.53 - 3.42 (m, 2H), 3.39 - 3.31 (m, 1H), 1.70 - 1.47 (m, 4H), 1.48 (s, 6H), 1.34 (d, *J* = 6.5 Hz, 3H), 0.95 (t, *J* = 7.4Hz, 3H), 0.85 (t, *J* = 7.4 Hz, 3H)
418	- - -	- - -	HRMS - ESI (*m/z*) $[M]^+$ calculada para $C_{23}H_{30}N_2O_6$, 430.2104; encontrada, 430.2104	^{1}H RMN (500 MHz, $CDCl_3$) δ 12.09 (d, *J* = 0.6 Hz, 1H), 8.38 (d, *J* = 7.9 Hz, 1H), 7.94 (d, *J* = 5.2 Hz, 1H), 7.24 - 7.17 (m, 2H), 6.98 - 6.85 (m, 3H), 6.83 (d, *J* = 5.2 Hz, 1H), 5.23 (qd, *J* = 65, 3.9 Hz, 1H), 4.60 - 4.50 (m, 1H), 4.21 (dd, *J* = 7.27 3.9 Hz, 1H), 4.15 (q, *J* = 7.0 Hz, 2H), 2.03 - 1.89 (m, *J* = 6.8 Hz, 1H), 1.51 (t, *J* = 7.0 Hz, 3H), 1.36 (d, *J* = 6.5 Hz, 3H), 1.22 (d, *J* = 7.2 Hz, 3H), 1.02 (dd, *J* = 14.0, 6.7 Hz, 6H) ^{13}C RMN (126 MHz, $CDCl_3$) δ 171.57, 168.71, 160.08, 154.69, 148.79, 140.39, 130.48, 129.43, 121.02, 116.21, 110.09, 83.96, 73.02, 64.64, 47.93, 30.41, 19.22, 18.70, 17 62,

*Comp. No.	P.F. (°C)	*1R (cm^{-1})	MASA	RMN (^{1}H, ^{13}C, ^{19}F)
				14.54, 14.38
419	- - -	3369, 2964, 2937, 2877, 1738, 1650, 1610, 1591, 1486	HRMS - ESI (*m/z*) ($[M+H]^+$) calculada para $C_{24}H_{32}FN_2O_6$, 463.2239; encontrada, 463.2239	^{1}H RMN (500 MHz, $CDCl_3$) δ 12.09 (s, 1H), 8.38 (d, *J* = 8.0 Hz, 1H), 7.98 (d, *J* = 5.2 Hz, 1H), 7.15 (td, *J* = 8.3, 6.9 Hz, 1H), 6.86 (d, *J* = 5.2 Hz, 1H), 6.72 (dd, *J* = 8.4, 2.3 Hz, 1H), 6.65 (dt, *J* = 11.1, 2.4 Hz, 1H), 6.58 (td, *J* = 8.3, 2.3 Hz, 1H), 5.32 (p, *J* = 6.5 Hz, 1H), 4.57 (p, *J* = 7.2 Hz, 1H), 4.36 (dd, *J* = 6 9, 4.0 Hz, 1H), 3.94 (s, 3H), 1.65 - 1.46 (m, 2H), 1.47 - 1.39 (m, 2H), 1.39 - 1.33 (m, 1H), 1.31 (d, *J* = 6.5 Hz, 3H), 1.22 (d, *J* = 7.2 Hz, 3H), 0.92 (t, *J* = 7.4 Hz, 3H), 0.87 (t, *J* = 7.4 Hz, 3H)
420	- - -	3368, 2963, 2937, 2876, 1737, 1649, 1577, 1528, 1487	HRMS - ESI (*m/z*) ($[M+H]^+$) calculada para $C_{24}H_{32}ClN_2O_6$, encontrada,	^{1}H RMN (500 MHz, $CDCl_3$) δ 12.06 (s, 1H), 8.35 (d, *J* = 7.9 Hz, 1H), 7.98 (d, *J* = 5.2 Hz, 1H), 7.21 - 7.03 (m, 2H), 7.02 - 6.70 (m, 3H), 5.31 (p, *J* = 6.5 Hz, 1H), 4.56 (p, *J* = 7.4 Hz, 1H), 4.33 (dd, *J* = 7.1, 3.9 Hz, 1H), 1.65 - 1.53 (m, 1H), 3.94 (s, 3H), 1.54 - 1.47 (m, 1H), 1.47 - 1.38 (m, 2H), 1.36 - 1.31 (m, 1H), 1.30 (d, *J* = 6.4 Hz, 3H), 1.25 (d, *J* = 7.2 Hz, 3H), 0.92 (t, *J* = 7.4 Hz,

*Comp. No.	P.F. (°C)	*1R (cm^{-1})	MASA	RMN (^{1}H, ^{13}C, ^{19}F)
				3H), 0.84 (t, *J* = 7.5 Hz, 3H)
421	- - -	3367, 2963, 2937, 2877, 1738, 1649, 1577, 1529, 1477	HRMS - ESI (*m/z*) ($[M+H]^+$) calculada para $C_{24}H_{31}Cl_2N_2O_6$, 513.1554; encontrada, 513.1554	^{1}H RMN (500 MHz, $CDCl_3$) δ 12.05 (s, 1H), 8.35 (d, J: 7.9 Hz, 1H), 7.98 (d, *J* = 5.2 Hz, 1H), 7.30 (d, *J* = 2.5 Hz, 1H), 7.05 (dd, *J* = 8.9, 2.5 Hz, 1H), 6.99 (d, *J* = 8.9 Hz, 1H), 6.87 (d, *J* = 5.1 Hz, 1H), 5.33 (p, *J* = 6.6 Hz, 1H), 4.56 (p, *J* = 7.2 Hz, 1H), 4.40 (dd, *J* = 7.5, 2.6 Hz, 1H), 3.95 (s, 3H), 1.68 - 1.58 (m, 1H), 1.55 - 1.41 (m, 4H), 1.32 (d, *J* = 6.4 Hz, 3H), 1.35 - 1.28 (m, 1H), 1.26 (d, *J* = 7.2 Hz, 3H), 0.95 (t, *J* = 7.0 Hz, 3H), 0.84 (t, *J* = 7.4 Hz, 3H)
422	- - -	3369, 2965, 2938, 2877, 1739, 1649, 1528, 1508, 1481	HRMS - ESI (*m/z*) ($[M+H]^+$) calculada para $C_{24}H_{31}F_2N_2O_6$, 481.2145; encontrada, 481.2143	^{1}H RMN (500 MHz, $CDCl_3$) δ 12.07 (s, 1H), 8.39 (d, *J* = 7.9 Hz, 1H), 7.98 (d, *J* = 5.1 Hz, 1H), 6.96 (ddd, *J* = 10.7, 9.0, 5.4 Hz, 1H), 6.86 (d, *J* = 5.2 Hz, 1H), 6.81 (ddd, *J* = 9.9, 6 7, 2.9 Hz, 1H), 6.58 6.46 (m, 1H), 5.33 (p, *J* = 6.5 Hz, 1H), 4.60 (p, *J* = 7.4 Hz, 1H), 4.35 (dd, *J* = 3.7 Hz, 1H), 3.94 (s, 3H), 1.66 - 1.58 (m, 1H), 1.56 - 1.50 (m, 1H), 1.50 - 1.41 (m, 2H), 1.41 - 1.34 (m, 1H), 1.33 (d, *J* = 6.7 Hz, 3H), 1.28

*Comp. No.	P.F. (°C)	*1R (cm^{-1})	MASA	RMN (^{1}H, ^{13}C, ^{19}F)
				(d, *J* = 7.2 Hz, 3H), 0.94 (t, *J* = 7 4 Hz, 3H), 0.87 (t, *J* = 7.4 Hz, 3H)
423	- - -	3369, 2964, 2937, 2877, 1739, 1649, 1603, 1578, 1528, 1439	HRMS - ESI (*m/z*) ($[M+H]^+$) calculada para $C_{24}H_{31}ClFN_2O_6$, 497.1849; encontrada, 497.1849	^{1}H RMN (500 MHz, $CDCl_3$) δ 12.06 (s, 1H), 8.36 (d, *J* = 7.9 Hz, 1H), 7.98 (d, *J* = 5.3 Hz, 1H), 6.87 (d, *J* = 5.3 Hz, 1H), 6.74 (d, *J* = 2.2 Hz, 1H), 6.62 (dt, *J* = 8.2, 2.0 Hz, 1H), 6.57 (dt, 103, 2.3 Hz, 1H), 5.30 (p, *J* = 6.5 Hz, 1H), 4.58 (p, *J* = 7.3 Hz, 1H), 4.32 (dd, *J* = 7.0, 3.9 Hz, 1H), 3.94 (s, 3H), 1.63 - 1.52 (m, 1H), 1.54 - 1.49 (m, 1H), 1.47 - 1.37 (m, 2H), 1.36 - 1.32 (m, 1H), 1.31 (d, *J* = 6.5 Hz, 3H), 1.26 (d, *J* = 7.3 Hz, 3H), 0.92 (t, *J* = 7.4 Hz, 3), 0.87 (t, *J* = 7.4 Hz, 3H)
424	- - -	- - -	HRMS - ESI (*m/z*) ($[M+H]^+$) calculada para $C_{21}H_{26}N_2O_5$, 386.1842; encontrada, 386.1848	^{1}H RMN (500 MHz, $CDCl_3$) δ 11.84 (s, 1H), 8.35 (d, *J* = 7.9 Hz, 1H), 8.06 (dd, *J* = 4.3, 1.5 Hz, 1H), 7.39 - 7.17 (m, 4H), 6.99 - 6.85 (m, 3H), 5.24 (qd, *J* = 6.5, 3.9 Hz, 1H), 4.62 - 4.52 (m, 1H), 4.22 (dd, *J* = 7.2, 3.9 Hz, 1H), 2.03 - 1.90 (m, *J* = 6.8 Hz, 1H), 1.37 (d, *J* = 6.5 Hz, 3H), 1.23 (d, *J* = 7.2 Hz, 3H), 1.03 (dd, *J* = 13.6, 6.8 Hz, 6H)

*Comp. No.	P.F. (°C)	*1R (cm^{-1})	MASA	RMN (^{1}H, ^{13}C, ^{19}F)
				^{13}C RMN (126 MHz, $CDCl_3$) δ 171.58, 168.32, 160.08, 157.77, 139.66, 131.11, 129.43, 128.75, 126.02, 121.03, 116.19, 83.94, 73.06, 47.92, 30.43, 19.21, 18.72, 17.62, 14.52
425	- - -	- - -	HRMS - ESI (*m/z*) ($[M+H]^+$) calculada para $C_{21}H_{25}ClN_2O_5$, 421.1525, encontrada, 421.1534	^{1}H RMN (500 MHz, $CDCl_3$) δ 12.55 (s, 1H), 8.36 (d, *J* = 7.9 Hz, 1H), 7.95 (d, *J* = 4.9 Hz, 1H), 7.43 (d, *J* = 4.9 Hz, 1H), 7.25 - 7.12 (m, 2H), 6.96 - 6.82 (m, 3H), 5.24 (qd, *J* = 6 5, 3.9 Hz, 1H), 4.61 - 4.50 (m, 1H), 4.22 (dd, *J* = 7.3, 3.8 Hz, 1H), 1.96 (dq, *J* = 13.7, 6.8 Hz, 1H), 1.37 (d, *J* = 6.5 Hz, 3H), 1.22 (d, *J* = 7.2 Hz, 3H), 1.03 (dd, *J* = 12.0, 6.7 Hz, 6H) ^{13}C RMN (126 MHz, $CDCl_3$) δ 171.36, 167.81, 160.05, 154.41, 139.20, 132.34, 131.83, 129.42, 128.86, 121.03, 116.14, 83.88, 73.21, 48.11, 30.43, 19.19, 18.79, 17.56, 14.44
426	- - -	3368, 2961, 2875, 1739, 1650, 1610, 1591, 1577, 1530, 1486	HRMS - ESI (*m/z*) ($[M+H]^+$) calculada para $C_{27}H_{38}FN_2O_6$, 505.2708, encontrada,	¹H RMN (500 MHz, $CDCl_3$) δ 12.10 (s, 1H), 8.22 (d, *J* = 8.9 Hz, 1H), 7.98 (d, *J* = 5.2 Hz, 1H), 7.15 (td, *J* = 8.3, 6.9 Hz, 1H), 6.86 (d, *J* = 5.2 Hz, 1H), 6.72 (dd, *J* = 8.3, 2.5 Hz, 1H), 6.65 (dt, *J* =

*Comp. No.	P.F. (°C)	*1R (cm^{-1})	MASA	RMN (^{1}H, ^{13}C, ^{19}F)
			505.2709	11.1, 2.4 Hz, 1H), 6.58 (td, *J* = 8.3, 2.2 Hz, 1H), 5.28 (p, *J* = 6.4 Hz, 1H), 4.59 (ddd, *J* = 10 4, 8.8, 4.2 Hz, 1H), 4.38 (dd, *J* = 7 6, 3.4 Hz, 1H), 3.94 (s, 3H), 1.64 - 1.51 (m, 2H), 1.52 - 1.38 (m, 3H), 1.31 (d, *J* = 64 Hz, 3H), 1.36 - 1.21 (m, 3H), 0.92 (t, *J* = 7.4 Hz, 3H), 0.86 (t, *J* = 7.4 Hz, 3H), 0.80 (d, *J* = 6.5 Hz, 3H), 0.75 (d, *J* = 6.6 Hz, 3H)
427	- - -	3366, 2960, 2874, 1738, 1650, 1577, 1530, 1488, 1438	HRMS - ESI (*m/z*) ($[M+H]^+$) calculada para $C_{27}H_{38}ClN_2O_6$, 521.2413; encontrada, 521.2412	^{1}RMN (400 MHz, $CDCl_3$) δ 12.08 (s, H 1H), 8.22 (d, *J* = 8.6 Hz, 1H), 7.96 (d, *J* = 5.2 Hz, 1H), 7.13 (d, *J* = 9.0 Hz, 2H), 6.90 - 6.83 (m, 3H), 5.33 - 5.21 (m, 1H), 4.57 (ddd, *J* = 10.4, 8.7, 4.4 Hz, 1H), 4.37 (dd, *J* = 7.7, 3.1 Hz, 1H), 3.94 (s, 3H), 1.63 - 1.52 (m, 2H), 1.51 - 1.36 (m, 3H), 1.30 (d, *J* = 6.4 Hz, 3H), 1.37 - 1.19 (m, 3H), 0.92 (t, *J* = 7.2 Hz, 3H), 0.84 (t, *J* = 7.4 Hz, 3H), 0.81 (d, *J* = 6.6 Hz, 3H), 0.78 (d, *J* = 6.6 Hz, 3H)
428	- - -	3366, 2961, 2875, 1740, 1650, 1577, 1530, 1508,	HRMS - ESI (*m/z*) ($[M+H]^+$) calculada para $C_{27}H_{37}F_2N_2O_6$,	^{1}H RMN (400 MHz, $CDCl_3$) δ 12.09 (s, 1H), 8.25 (d, *J* = 8.8 Hz, 1H), 7.97 (d, *J* = 5.2 Hz, 1H), 6.97 (ddd, *J* = 10.7, 9.0, 5.4 Hz, 1H), 6.86 (d, *J* = 5.2 Hz,

*Comp. No.	P.F. (°C)	*1R (cm^{-1})	MASA	RMN (^{1}H, ^{13}C, ^{19}F)
		1481	523.2614; encontrada, 523.2613	1H), 6.88 - 6.78 (m, 1H), 6.52 (ddt, *J* = 8.9, 7.6, 3.1 Hz, 1H), 5.30 (dq, *J* = 7.8, 6.4 Hz, 1H), 4.62 (ddd, *J* = 10.3, 8.8, 4.3 Hz, 1H), 4.38 (dd, *J* = 7.7, 2.8 Hz, 1H), 3.94 (s, 3H), 1.68 - 1.54 (m, 2H), 1.57 - 1.40 (m, 4H), 1.33 (d, *J* = 6.4 Hz, 3H), 1.39 - 1.25 (m, 2H), 0.94 (t, *J* = 7.3 Hz, 3H), 0.86 (t, *J* = 7.4 Hz, 3H), 0.82 (d, *J* = 6.4 Hz, 3H), 0.77 (d, *J* = 6.6 Hz, 3H)
429	- - -	3367, 2961, 2875, 1739, 1650, 1604, 1587, 1530, 1439	HRMS - ESI (*m/z*) ($[M+H]^+$) calculada para $C_{27}H_{37}ClFN_2O_6$, 539.2319; encontrada, 539.2312	^{1}H RMN (400 MHz, $CDCl_3$) δ 12.09 (s, 1H), 8.24 (d, *J* = 8.7 Hz, 1H), 7.97 (d, *J* = 5.2 Hz, 1H), 6.86 (d, *J* = 5.2 Hz, 1H), 6.75 (td, *J* = 2.0, 1.1 Hz, 1H), 6.62 (dt, *J* = 8.3, 2.1 Hz, 1H), 6.58 (dt, *J* = 10.7, 2.4 Hz, 1H), 5.28 (dq, *J* = 7.8, 6.4 Hz, 1H), 4.59 (ddd, *J* = 10.5, 8.7, 4.2 Hz, 1H), 4.36 (dd, *J* = 7.7, 3.1 Hz, 1H), 3.94 (s, 3H), 1.67 - 1 48 (m, 2H), 1.54 - 1.40 (m, 3H), 1.44 - 1.34 (m, 1H), 1.31 (d, *J* = 6.4 Hz, 3H), 1.29 - 1.19 (m, 2H), 0.93 (t, *J* = 7.3 Hz, 3H), 0.87 (t, *J* = 7.3 Hz, 3H), 0.83 (d, *J* = 6.5Hz, 3H), 0.79 (d, *J* = 6.7 Hz, 3H)
430	- - -	3366, 2960,	HRMS - ESI (*m/z*)	^{1}H RMN (400 MHz, $CDCl_3$) δ 12.07 (s,

*Comp. No.	P.F. (°C)	*1R (cm^{-1})	MASA	RMN (^{1}H, ^{13}C, ^{19}F)
		2875, 1739, 1650, 1550, 1478	($[M+H]^+$) calculada para $C_{27}H_{37}ClN_2O_6$, 555.2023; encontrada, 555.2021	1H), 8.23 (d, *J* = 8.7 Hz, 1H), 7.97 (d, *J* = 5.2 Hz, 1H), 7.30 (d, *J* = 2.5 Hz, 1H), 7.06 (dd, *J* = 8.9, 2.5 Hz, 1H), 7.00 (d, *J* = 9.0 Hz, 1H), 6.87 (d, *J* = 5.3 Hz, 1H), 5.31 (dq, *J* = 7.9, 6.5 Hz, 1H), 4.56 (ddd, *J* = 10.2, 8.7, 4.4 Hz, 1H), 4.43 (dd, *J* = 8.0, 2.3 Hz, 1H), 3.94 (s, 3H), 1.69 - 1.55 (m, 2H), 1.58 - 1.40 (m, 4H), 1.32 (d, *J* = 6.4 Hz, 3H), 1.30 - 1.22 (m, 2H), 0.95 (t, *J* = 7.3 Hz, 3H), 0.83 (t, *J* = 7.3 Hz, 3H), 0.80 (d, *J* = 6.5 Hz, 3H), 0.78 (d, *J* = 6.6 Hz, 3H)
431	- - -	- - -	HRMS - ESI (*m/z*) ($[M+H]^+$) calculada para $C_{23}H_{29}N_2O_7$, 445.1969, encontrada, 445.1966	^{1}H RMN (500 MHz, $CDCl_3$) δ 12.07 (s, 1H), 8.42 (d, *J* = 7.8 Hz, 1H), 8.03 (d, *J* = 7.7 Hz, 2H), 7.98 (d, *J* = 5.2 Hz, 1H), 7.57 (t, *J* = 7.4 Hz, 1H), 7.44 (t, *J* = 7.7 Hz, 2H), 6.86 (d, *J* = 5.2 Hz, 1H), 5.35 (p, *J* = 6.3 Hz, 1H), 5.12 (t, *J* = 5.8 Hz, 1H), 4.69 (p, *J* = 7.3 Hz, 1H), 3.94 (s, 3H), 2.06 (dp, *J* = 13.3, 6.3 Hz, 1H), 1.38 (d, *J* = 7.2 Hz, 3H), 1.31 (d, *J* = 6.4 Hz, 3H), 0.98 (d, *J* = 6.8 Hz, 6H) ^{13}C RMN (126 MHz, $CDCl_3$) δ 171.65, 168.66, 166.14, 155.35, 148.73,

*Comp. No.	P.F. (°C)	*1R (cm^{-1})	MASA	RMN (^{1}H, ^{13}C, ^{19}F)
				140.44, 133.12, 130.42, 129.83, 129.70, 128.45, 109.42, 79.27, 71.32, 56.07, 47.97, 29.08, 19.33, 18.15, 17.17, 16.83
432	- - -	- - -	HRMS - ESI (*m/z*) ($[M+H]^+$) calculada para $C_{22}H_{28}ClN_2O_6$, 451.1630, encontrada, 451.1632	^{1}H RMN (500 MHz, $CDCl_3$) δ 12.08 (s, 1H), 8.39 (d, *J* = 7.9 Hz, 1H), 7.98 (d, *J* = 5.2 Hz, 1H), 7.14 (t, *J* = 8.2 Hz, 1H), 6.95 (t, *J* = 2.1 Hz, 1H), 6.90 - 6.78 (m, 3H), 5.25 (p, *J* = 6.4 Hz, 1H), 4.60 (p, *J* = 7.3 Hz, 1H), 4.14 (dd, *J* = 6.2, 5.1 Hz, 1H), 3.94 (s, 3H), 2.12 - 1.94 (m, 1H), 1.31 (d, *J* = 6.5 Hz, 3H), 1.27 (d, *J* = 7.2 Hz, 3H), 1.00 (d, *J* = 6.8 Hz, 3H), 0.97 (d, *J* = 6.9 Hz, 3H) ^{13}C RMN (126 MHz, $CDCl_3$) δ 171.66, 168.65, 160.69, 155.35, 148.73, 140.47, 134.80, 130.42, 130.21, 120.96, 116.06, 113.79, 109.43, 83.93, 72.83, 56.08, 48.02, 29.73, 19.80, 17.80, 16.80, 16.71
433	- - -	- - -	HRMS - ESI (*m/z*) ($[M+H]^+$) calculada para $C_{23}H_{28}F_3N_2O_6$, 485.1894,	^{1}H RMN (500 MHz, $CDCl_3$) δ 12.07 (s, 1H), 8.37 (d, *J* = 7.7 Hz, 1H), 7.98 (d, *J* = 5.2 Hz, 1H), 7.34 (t, *J* = 7.9 Hz, 1H), 7.18 (s, 1H), 7.16 - 7.10 (m, 2H), 6.86 (d, *J* = 5.2 Hz, 1H), 5.32 - 5.21

*Comp. No.	P.F. (°C)	*1R (cm^{-1})	MASA	RMN (^{1}H, ^{13}C, ^{19}F)
			encontrada, 485.1896	(m, 1H), 4.57 (p, *J* = 7.3 Hz, 1H), 4.21 (dd, *J* = 6.4, 4.9 Hz, 1H), 3.94 (s, 3H), 2.12 - 1.98 (m, 1H), 1.32 (d, *J* = 6.5 Hz, 3H), 1.22 (d, *J* = 7.2 Hz, 3H), 1.02 (d, *J* = 6.8 Hz, 3H), 0.98 (d, *J* = 6.8 Hz, 3H) ^{13}C RMN (126 MHz, $CDCl_3$) δ 171.66, 168.66, 160.05, 155.35, 148.72, 140.47, 131.86 (q, *J* = 32.3 Hz), 130.38, 130.01, 123.88 (q, *J* = 272.5 Hz), 118.61, 117.42 (q, *J* = 3.9 Hz), 112.52 (q, *J* = 3.7 Hz), 109.43, 83.94, 72.88, 56.07, 47.99, 29.72, 19.82, 17.69, 16.73, 16.70
434	- - -	- - -	HRMS - ESI (*m/z*) ($[M+H]^+$) calculada para $C_{26}H_{31}N_2O_6$, 467.2177; encontrada, 467.2176	^{1}H RMN (500 MHz, $CDCl_3$) δ 12.08 (s, 1H), 8.32 (d, *J* = 7.9 Hz, 1H), 8.29 - 8.17 (m, 1H), 7.96 (d, *J* = 5.2 Hz, 1H), 7.81 7.70 (m, 1H), 7.46 (ddt, *J* = 9.3, 6 8, 3.3 Hz, 2H), 7.43 - 7.34 (m, 1H), 7.30 (t, *J* = 7.9 Hz, 1H), 6.94 (d, *J* = 7.6 Hz, 1H), 6.85 (d, *J* = 5.2 Hz, 1H), 5 48 - 5.38 (m, 1H), 4.52 (p, *J* = 7.3 Hz, 1H), 4.47 - 4.38 (m, 1H), 3.93 (s, 3H), 2.24 - 2.07 (m, 1H), 1.35 (d, *J* = 6.5 Hz, 3H), 1.12 (d, *J* = 6.8 Hz, 3H), 1.03 (t, *J* = 7.1 Hz, 6H)

*Comp. No.	P.F. (°C)	*1R (cm^{-1})	MASA	RMN (^{1}H, ^{13}C, ^{19}F)
				^{13}C RMN (126 MHz, $CDCl_3$) δ 171.67, 168.55, 155.45, 155.32, 148.69, 140.42, 134.72, 130.43, 127.43, 126.35, 125.97, 125.66, 125.21, 122.21, 120.16, 109.38, 105.89, 83.78, 72.92, 56.06, 47.94, 29.87, 19.86, 17.52, 17.06, 16.83
435	- - -	- - -	HRMS - ESI (*m/z*) ($[M+H]^+$) calculada para $C_{19}H_{31}N_2O_6$, 383.2177; encontrada, 383.2179	^{1}H RMN (500 MHz, $CDCl_3$) δ 12.15 (s, 1H), 8.51 (d, *J* = 7.8 Hz, 1H), 7.99 (d, *J* = 5.2 Hz, 1H), 6.87 (d, *J* = 5.2 Hz, 1H), 5.10 (dq, *J* = 12.7, 6.4, 5.9 Hz, 1H), 4.81 - 4.64 (m, 1H), 3.95 (s, 3H), 3.65 - 3.51 (m, 1H), 3.50 - 3.37 (m, 1H), 3.02 - 2.91 (m, 1H), 1.91 - 1.75 (m, *J* = 6.7 Hz, 1H), 1.57 - 1.52 (m, 5H), 1.27 (d, *J* = 6.5 Hz, 3H), 0.96 - 0.87 (m, 9H) ^{13}C RMN (126 MHz, $CDCl_3$) δ 171.80, 168.64, 155.36, 148.75, 140.46, 130.51, 109.41, 85.94, 74.73, 73.59, 56.08, 48.09, 29.65, 23.47, 19.74, 18.37, 17.80, 16.36, 10.62
436	- - -	- - -	HRMS - ESI (m/z) ($[M+Na]^+$) calculada para	^{1}H RMN (400 MHz, $CDCl_3$) δ 12.11 (s, 1H), 8.49 (d, *J* = 8.0 Hz, 1H), 7.98 (d, *J* = 5.2 Hz, 1H), 7.32 - 7.26 (m, 1H),

*Comp. No.	P.F. (°C)	*1R (cm^{-1})	MASA	RMN (^{1}H, ^{13}C, ^{19}F)
			$C_{23}H_{24}N_2O_6SNa$, 479.1253; encontrada, 479.1244	7.24 7.15 (m, 2H), 7.07 (dd, *J* = 3.5, 1.2 Hz, 1H), 6.96 (dd, *J* = 5.1, 3.5 Hz, 1H), 6.93 - 6.88 (m, 3H), 6.86 (d, *J* = 5.2 Hz, 1H), 5.50 - 5.35 (m, 2H), 4.79 - 4.65 (m, 1H), 3.94 (s, 3H), 1.47 (d, *J* = 7.2 Hz, 3H), 1.34 - 1.22 (m, 3H) ^{13}C RMN (101 MHz, $CDCl_3$) δ 171.68, 168.70, 157.64, 155.36, 148.75, 140.46, 140.15, 130.48, 129.41, 126.78, 126.28, 125.92, 121.59, 115.96, 109.44, 78.29, 73.83, 56.07, 48.02, 18.38, 16.14
437	- - -	3366, 2941, 1738, 1648, 1597, 1575, 1528, 1481, 1453, 1437, 1383, 1322, 1306, 1280, 1262, 1239, 1150, 1062, 1096, 1035, 980, 954, 918, 849, 801, 753 727, 692	HRMS - ESI (*m/z*) ($[M+H]^+$) calculada para $C_{22}H_{27}N_2O_6$, 415.1864; encontrada, 415.1867	^{1}H RMN (400 MHz, $CDCl_3$) δ 12.10 (s, 1H), 8.44 (d, *J* = 8.0 Hz, 1H), 7.98 (dd, *J* = 18.8, 5.2 Hz, 1H), 7.32 - 7.13 (m, 2H), 7.02 - 6.88 (m, 2H), 6.84 (dd, *J* = 10.8, 5.2 Hz, 1H), 5.86 (ddt, *J* = 17.1, 10.2, 7.0 Hz, 1H), 5.25 - 5.01 (m, 2H), 4.65 (p, *J* = 7.3 Hz, 1H), 4.42 (ddd, *J* = 6.9, 5.4, 3.9 Hz, 1H), 3.93 (s, 3H), 2.58 - 2.33 (m, 2H), 2.04 - 1.81 (m, 2H), 1.41 (d, *J* = 7.2 Hz, 3H), 1.38 (d, *J* = 6.5 Hz, 3H)

*Comp. No.	P.F. (°C)	*1R (cm^{-1})	MASA	RMN (^{1}H, ^{13}C, ^{19}F)
438	- - -	3367, 2959, 2874, 1737, 1649, 1597, 1576, 1528, 1481, 1452, 1438, 1381, 1326, 1281, 1263, 1240, 1151, 1116, 1095, 1055, 955, 911, 877, 849, 800, 753, 731, 692	HRMS - ESI (*m/z*) ($[M+H]^+$) calculada para $C_{22}H_{29}N_2O_6$, 417.2020; encontrada, 417.2015	^{1}H RMN (400 MHz, $CDCl_3$) δ 12.11 (s, 1H), 8.43 (d, *J* = 8.0 Hz, 1H), 7.96 (d, *J* = 5.2 Hz, 1H), 7.31 - 7.13 (m, 2H), 7.01 6.75 (m, 4H), 5.15 (qd, *J* = 6.5, 3.4 Hz, 1H), 4.63 (p, *J* = 7.3 Hz, 1H), 4.38 (dt, *J* = 7.8, 3.7 Hz, 1H), 3.93 (s, 3H), 1 80 1.47 (m, 3H), 1.47 - 1.29 (m, 7H), 0.94 (t, *J* = 7.2 Hz, 3H)
439	- - -	3365, 2982, 2941, 1739, 1648, 1576, 1529, 1477, 1453, 1438, 1384, 1325, 1281, 1262, 1242, 1209, 1150, 1103, 1059, 981 955, 921, 869, 849,	HRMS - ESI (*m/z*) ($[M+H]^+$) calculada para $C_{22}H_{25}Cl_2N_2O_6$, 483.1084; encontrada, 483.1083	^{1}H RMN (400 MHz, $CDCl_3$) δ 12.04 (s, 1H), 8.36 (d, *J* = 7.8 Hz, 1H), 7.95 (d, *J* = 5.2 Hz, 1H), 7.40 - 7.20 (m, 1H), 7.07 (dd, *J* = 8.8, 2.6 Hz, 1H), 6.94 - 6.75 (m, 2H), 5.83 (ddt, *J* = 17.1, 10.2, 7.1 Hz, 1H), 5.33 - 5.02 (m, 3H), 4.64 (p, *J* = 7.3 Hz, 1H), 4.43 (ddd, *J* = 7.2, 5.6, 3.3 Hz, 1H), 3.95 (s, 3H), 2.61 - 2.48 (m, 1H), 2.47 - 2.37 (m, 1H), 1.42 (dd, *J* = 6.9, 1.6 Hz, 6H)

*Comp. No.	P.F. (°C)	*1R (cm^{-1})	MASA	RMN (^{1}H, ^{13}C, ^{19}F)
		800, 734		
440	- - -	- - -	HRMS - ESI (*m/z*) ($[M+H]^+$) calculada para $C_{23}H_{30}N_2O_6$, 431.2177; encontrada, 431.2174	^{1}H RMN (500 MHz, $CDCl_3$) δ 12.10 (s, 1H), 8.39 (d, *J* = 7.9 Hz, 1H), 7.97 (d, *J* = 5.2 Hz, 1H), 7.24 - 7.18 (m, 2H), 6.99 6.81 (m, 4H), 5.23 (qd, *J* = 6.4, 4.7 Hz, 1H), 4.59 (p, *J* = 7.3 Hz, 1H), 4.33 (t, *J* = 5.3 Hz, 1H), 3.94 (s, 3H), 1.79 - 1.69 (m, 1H), 1.53 - 1.43 (m, 1H), 1.35 (d, *J* = 6.4 Hz, 3H), 1.30 (d, *J* = 7.2 Hz, 3H), 1.32 1.22 (m, 1H), 1.02 (d, *J* = 6.7 Hz, 3H), 0.91 (t, *J* = 7.4 Hz, 3H) ^{13}C RMN (126 MHz, $CDCl_3$) δ 171.51, 168.67, 159.90, 155.36, 148.74, 140.46, 130.42, 129.46, 120.99, 116.08, 109.43, 82.13, 72.71, 56.08, 47.99, 36.74, 26.08, 17.71, 15.33, 14.48, 11.33
441	- - -	- - -	HRMS - ESI (*m/z*) ($[M+H]^+$) calculada para $C_{24}H_{26}N_3O_6$, 452.1821, encontrada, 452.1814	^{1}H RMN (400 MHz, $CDCl_3$) δ 12.06 (s, 1H), 8.66 (d, *J* = 2.2 Hz, 1H), 8.53 (td, *J* = 5.0, 1.7 Hz, 1H), 8.38 (s, 1H), 7.97 (d, *J* = 5.3 Hz, 1H), 7.78 (dt, *J* = 7.9, 2.0 Hz, 1H), 7.31 - 7.27 (m, 1H), 7.23 - 7.14 (m, 2H), 6.92 (ddt, *J* = 8.5, 7.3, 1.1 Hz, 1H), 6.88 - 6.85 (m, 1H), 6.84

*Comp. No.	P.F. (°C)	*1R (cm^{-1})	MASA	RMN (^{1}H, ^{13}C, ^{19}F)
				- 6.78 (m, 2H), 5.36 - 5.28 (m, 1H), 5.24 (d, *J* = 5.4 Hz, 1H), 4.62 (q, *J* = 7.4 Hz, 1H), 3.94 (s, 3H), 1.41 (d, *J* = 6.3 Hz, 3H), 1.32 (d, *J* = 7.2 Hz, 3H) ^{13}C RMN (101 MHz, $CDCl_3$) δ 171.41, 157.15, 149.34, 149.21, 148.33, 146.70, 135.34, 133.62, 129.58, 126.71, 123.91, 121.85, 118.84, 115.97, 109.47, 99.99, 79.13, 73.82, 56.09, 47.90, 17.90, 15.49
442	- - -	- - -	HRMS - ESI (*m/z*) ($[M+H]^+$) calculada para $C_{29}H_{33}N_2O_6$, 505.2333; encontrada, 505.2333	^{1}H RMN (400 MHz, $CDCl_3$) δ 12.10 (s, 1H), 8.40 (d, *J* = 7.8 Hz, 1H), 7.96 (d, *J* = 5.1 Hz, 1H), 7.57 (dd, *J* = 10.0, 2.0 Hz, 3H), 7.53 - 7.49 (m, 1H), 7.46 - 7.40 (m, 3H), 7.39 - 7.30 (m, 3H), 6.87 - 6.82 (m, 1H), 5.20 (p, *J* = 6.3 Hz, 1H), 4.63 - 4 54 (m, 1H), 4.42 (d, *J* = 6.3 Hz, 1H), 3.93 (s, 3H), 3.28 - 3.20 (m, 2H), 1.39 (d, *J* = 6.3 Hz, 3H), 1.21 (d, *J* = 7.2 Hz, 3H), 1.08 0.98 (m, 1H), 0.54 - 0.44 (m, 2H), 0.18 - 0.07 (m, 2H) ^{13}C RMN (126 MHz, $CDCl_3$) δ 171.42, 168.59, 155.32, 148.70, 141.20, 140.81, 140.44, 139.33, 130.43, 128.80, 128.75, 127.40, 127.09,

*Comp. No.	P.F. (°C)	*1R (cm^{-1})	MASA	RMN (^{1}H, ^{13}C, ^{19}F)
				126.81, 126.46, 126.29, 109.40, 83.10, 74.50, 73.89, 56.05, 47.89, 17.94, 16.03, 10.61, 3.22, 2.75
443	- - -	- - -	ESIMS *m/z* 559 ($[M+H]^+$)	^{1}H RMN (400 MHz, $CDCl_3$) δ 8.36 (d, *J* = 8.4 Hz, 1H), 8.26 (d, *J* = 5.3 Hz, 1H), 7.32 - 7.24 (m, 2H), 7.22 - 7.14 (m, 3H), 6.94 (d, *J* = 5.4 Hz, 1H), 5.74 (q, *J* = 6.4 Hz, 2H), 5.12 (qd, *J* = 65, 3.2 Hz, 1H), 4.78 - 4.71 (m, 1H), 3.90 (s, 3H), 3.40 (dd, *J* = 8 6, 6.3 Hz, 1H), 3.27 (dt, *J* = 7.8, 3.7 Hz, 1H), 3.12 (dd, *J* = 8.5, 6.7 Hz, 1H), 2.83 (ddd, *J* = 14.8, 9.7, 5.6 Hz, 1H), 2.63 (ddd, *J* = 13.8, 9.5, 7.2 Hz, 1H), 2.07 (s, 3H), 1.98 - 1.71 (m, 5H), 1.52 - 1.36 (m, 2H), 1.23 (d, *J* = 6.5 Hz, 3H), 0.97 - 0.87 (m, 9H) ^{13}C RMN (101 MHz, $CDCl_3$) δ 171.83, 170.28, 163.08, 160.34, 145.68, 144.10, 142.44, 142.08, 128.37, 125.81, 109.54, 89.64, 80.61, 77.56, 72.86, 56.18, 52.25, 34.75, 32.48, 31.86, 29.01, 20.88, 19.48, 19.44, 18.58, 15.13, 13.76
444	- - -	- - -	ESIMS *m/z* 559	^{1}H RMN (400 MHz, $CDCl_3$) δ 8.33 (d,

*Comp. No.	P.F. (°C)	*1R (cm^{-1})	MASA	RMN (^{1}H, ^{13}C, ^{19}F)
			([M+H]$^{+}$)	*J* = 8.4 Hz, 1H), 8.25 (d, *J* = 5.3 Hz, 1H), 7.29 - 7.23 (m, 2H), 7.20 - 7.13 (m, 3H), 6.93 (d, *J* = 5.4 Hz, 1H), 5.79 - 5.70 (m, 2H), 5.20 - 5.09 (m, 1H), 4 72 (td, *J* = 7.8, 5.3 Hz, 1H), 3.90 (s, 3H), 3.36 (dd, *J* = 8.8, 6.4 Hz, 1H), 3.33 - 3.26 (m, 1H), 3.22 (dd, *J* = 8.8, 6.7 Hz, 1H), 2.85 - 2.75 (m, 1H), 2.61 (dt, *J* = 13.8, 8.2 Hz, 1H), 2.07 (s, 3H), 1.92 - 1.67 (m, 5H), 1.50 1.33 (m, 2H), 1.24 (d, *J* = 6.5 Hz, 3H), 0.93 (td, *J* = 7.1, 2.7 Hz, 9H) ^{13}C RMN (101 MHz, $CDCl_3$) δ 171.90, 170.28, 163.11, 160.34, 145.67, 144.11, 142.41, 142.04, 128.36, 125.81, 109.54, 89.65, 79.31, 77.48, 71.55, 56.18, 52.20, 34.74, 31.81, 31.35, 28.98, 20.88, 19.48, 19.43, 18.73, 14.58, 13.78
445	- - -	- - -	ESIMS *m/z* 545 ([M+H]$^{+}$)	^{1}H RMN (300 MHz, $CDCl_3$) δ 8.32 (t, *J* = 5.3 Hz, 1H), 8.26 (d, *J* = 5.3 Hz, 1H), 7.30 - 7.20 (m, 2H), 7.20 - 7.11 (m, 3H), 6.94 (d, *J* = 5.3 Hz, 1H), 5.75 (s, 2H), 5.25 - 5.13 (m, 1H), 4.29 - 4.11 (m, 2H), 3.91 (s, 3H), 3.42 (dd, *J* = 8.6, 6.6 Hz, 1H), 3.35 - 3.28 (m,

*Comp. No.	P.F. (°C)	*1R (cm^{-1})	MASA	RMN (^{1}H, ^{13}C, ^{19}F)
				1H), 3.22 (dd, *J* = 8.6, 6.6 Hz, 1H), 2.97 (dd, *J* = 13.7, 4.4 Hz, 1H), 2.43 (dd, *J* = 13.7, 9.7 Hz, 1H), 2.07 (s, 3H), 1.84 (dt, *J* = 12.9, 6.4 Hz, 1H), 1.74 (dq, 10.5, 5.3 Hz, 1H), 1.40 - 1.22 (m, 2H), 1.31 (d, *J* = 6.3 Hz, 3H), 0.92 (d, *J* = 6.9 Hz, 6H), 0.86 (t, *J* = 7.4 Hz, 3H) ^{13}C RMN (75 MHz, $CDCl_3$) δ 170.50, 169.26, 163.79, 160.51, 145.98, 144.21, 142.60, 141.80, 129.35, 128.41, 125.85, 109.86, 89.72, 82.08, 79.72, 73.44, 56.40, 43.80, 41.79, 35.61, 29.40, 22.29, 21.07, 19.70, 15.60, 10.80
446	- - -	3381, 2963, 1740, 1677, 1493, 1236	HRMS - ESI (*m/z*) $[M]^+$ calculada para $C_{28}H_{38}N_2O_9$, 546.2577; encontrada, 546.2584	^{1}H RMN (400 MHz, $CDCl_3$) δ 8.29 8.22 (m, 2H), 7.25 - 7.18 (m, 2H), 7.03 - 6.98 (m, 2H), 6.94 (d, *J* = 5.4 Hz, 1H), 6.93 - 6.87 (m, 1H), 5.77 - 5.69 (m, 2H), 5.27 - 5.19 (m, 1H), 4.66 - 4.57 (m, 1H), 4.45 (dd, *J* = 5.7, 4.0 Hz, 1H), 3.91 (s, 3H), 3.47 (t, *J* = 6.7 Hz, 2H), 3.40 - 3.31 (m, 1H), 2.07 (s, 3H), 1.69 - 1.57 (m, 1H), 1.57 - 1.46 (m, 3H), 1.38 (d, *J* = 6.5 Hz, 3H), 1.22 (d, *J* = 7.2 Hz, 3H), 0.97 (t, *J* =

*Comp. No.	P.F. (°C)	*1R (cm^{-1})	MASA	RMN (^1H, ^{13}C, ^{19}F)
				7.3 Hz, 3H), 0.85 (t, *J* = 7.4 Hz, 3H)
447	- - -	3384, 2965, 1758, 1683, 1504, 1236	ESIMS *m/z* 575.6 ($[M+H]^+$)	^1H RMN (400 MHz, $CDCl_3$) δ 8.30 (d, *J* = 9.4 Hz, 1H), 8.26 (d, *J* = 5.4 Hz, 1H), 7.24 - 7.18 (m, 2H), 7.05 - 6.99 (m, 2H), 6.94 (d, *J* = 5.4 Hz, 1H), 6.93 - 6.87 (m, 1H), 5.78 - 5.68 (m, 2H), 5.29 - 5.20 (m, 1H), 4.61 (dd, *J* = 9 3, 4.4 Hz, 1H), 4.40 (dd, *J* = 5.8, 3.8 Hz, 1H), 3.91 (s, 3H), 3.51 - 3.41 (m, 2H), 3.40 - 3.32 (m, 1H), 2.06 (s, 3H), 2.03 - 1.93 (m, 1H), 1.70 - 1.59 (m, 1H), 1.59 - 1.46 (m, 3H), 1.37 (d, *J* = 6.5 Hz, 3H), 0.95 (t, *J* = 7.4 Hz, 3H), 0.89 (d, *J* = 6.8 Hz, 3H), 0.85 (t, *J* = 7.4 Hz, 3H), 0.78 (d, *J* = 6.9 Hz, 3H)
448	- - -	3380, 2961, 1740, 1680, 1494, 1237	ESIMS *m/z* 589.6 ($[M+H]^+$)	^1H RMN (400 MHz, $CDCl_3$) δ 8.25 (d, *J* = 5.4 Hz, 1H), 8.13 (d, *J* = 8.8 Hz, 1H), 7.24 - 7.18 (m, 2H), 7.04 - 6.99 (m, 2H), 6.94 (d, *J* = 5.4 Hz, 1H), 6.93 - 6.87 (m, 1H), 5.76 - 5.69 (m, 2H), 5.25 - 5.14 (m, 1H), 4.69 - 4.58 (m, 1H), 4.43 (dd, *J* = 6.1, 3.6 Hz, 1H), 3.90 (s, 3H), 3.51 - 3.42 (m, 2H), 3.38 - 3.30 (m, 1H), 2.06 (s, 3H), 1.71 - 1.57 (m, 2H), 1.57 - 1.45 (m, 3H), 1

*Comp. No.	P.F. (°C)	*1R (cm^{-1})	MASA	RMN (^{1}H, ^{13}C, ^{19}F)
				42 - 1.31 (m, 2H), 1.38 (d, *J* = 6.5 Hz, 3H), 0.96 (t, *J* = 7.4 Hz, 3H), 0.87 - 0.79 (m, 9H)
449	- - -	3385, 2965, 1758, 1682, 1495, 1236	ESIMS *m/z* 589.6 ($[M+H]^+$)	^{1}H RMN (400 MHz, $CDCl_3$) δ 8.33 (d, *J* = 9.1 Hz, 1H), 8.25 (d, *J* = 5.4 Hz, 1H), 7.23 - 7.18 (m, 2H), 7.03 - 6.99 (m, 2H), 6.94 (d, *J* = 5.5 Hz, 1H), 6.92 - 6.87 (m, 1H), 5.78 - 5.69 (m, 2H), 5.29 - 5.20 (m, 1H), 4.65 (dd, *J* = 9.1, 4.7 Hz, 1H), 4.40 (dd, *J* = 5.7, 3.9 Hz, 1H), 3.91 (s, 3H), 3.49 - 3.42 (m, 2H), 3.40 - 3.31 (m, 1H), 2.06 (s, 3H), 1.87 - 1.76 (m, 1H), 1.69 - 1.58 (m, 1H), 1.58 - 1.46 (m, 3H), 1.43 - 1.33 (m, 1H), 1.37 (d, *J* = 6.5 Hz, 3H), 1.19 - 1.07 (m, 1H), 0.94 (t, *J* = 7.4 Hz, 3H), 0.90 - 0.82 (m, 6H), 0.80 (t, *J* = 7.4 Hz, 3H)
450	- - -	3379, 2964, 1772, 1738, 1679, 1508, 1311	HRMS - ESI (*m/z*) $[M]^+$ calculada para $C_{27}H_{36}N_2O_8$, 516.2472; encontrada, 516.2465	^{1}H RMN (400 MHz, $CDCl_3$) δ 8.45 (d, *J* = 8.2 Hz, 1H), 8.31 (d, *J* = 5.4 Hz, 1H), 7.24 - 7.19 (m, 2H), 7.03 - 6.98 (m, 3H), 6.95 - 6.86 (m, 1H), 5.28 - 5.16 (m, 1H), 4.65 - 4.55 (m, 1H), 4.44 (dd, *J* = 5.6, 4.0 Hz, 1H), 3.91 (s, 3H), 3.46 (t, *J* = 6.7 Hz, 2H), 3.41 -

*Comp. No.	P.F. (°C)	*1R (cm^{-1})	MASA	RMN (^1H, ^{13}C, ^{19}F)
				3.30 (m, 1H), 2.39 (s, 3H), 1.69 - 1.59 (m, 1H), 1.58 - 1.46 (m, 3H), 1.37 (d, *J* = 6.5 Hz, 3H), 1.21 (d, *J* = 7.2 Hz, 3H), 0.96 (t, *J* = 7.4 Hz, 3H), 0.85 (t, *J* = 7.4 Hz, 3H)
451	- - -	3385, 2964, 1772, 1735, 1683, 1506, 1312	HRMS - ESI (*m/z*) $[M]^+$ calculada para $C_{29}H_{40}N_2O_8$, 544.2785; encontrada, 544.2775	^1H RMN (400 MHz, $CDCl_3$) δ 8.45 (d, *J* = 9.3 Hz, 1H), 8.30 (d, *J* = 5.4 Hz, 1H), 7.24 - 7.18 (m, 2H), 7.04 - 6.97 (m, 3H), 6.96 - 6.85 (m, 1H), 5.30 - 5.18 (m, 1H), 4.57 (dd, *J* = 9.4, 4.5 Hz, 1H), 4.39 (dd, *J* = 5.7, 3.8 Hz, 1H), 3.90 (s, 3H), 3.45 (t, *J* = 6.7 Hz, 2H), 3.41 - 3.30 (m, 1H), 2.38 (s, 3H), 2.03 - 1.92 (m, 1H), 1.70 - 1.59 (m, 1H), 1.59 - 1.45 (m, 3H), 1.36 (d, *J* = 6.4 Hz, 3H), 0.94 (t, *J* = 7.4 Hz, 3H), 0.90 - 0.82 (m, 6H), 0.78 (d, *J* = 6.9 Jz, 3H)
452	- - -	3379, 2960, 1772, 1737, 1680, 1508, 1310	HRMS - ESI (*m/z*) $[M]^+$ calculada para $C_{30}H_{42}N_2O_8$, 558.2941; encontrada, 558.2934	^1H RMN (400 MHz, $CDCl_3$) δ 8.30 (d, *J* = 5.4 Hz, 1H), 8.25 (d, *J* = 8.5 Hz, 1H), 7.24 - 7.16 (m, 2H), 7.03 - 6.96 (m, 3H), 6.94 - 6.85 (m, 1H), 5.25 - 5.14 (m, 1H), 4.67 - 4.56 (m, 1H), 4.42 (dd, *J* = 5.9, 3.7 Hz, 1H), 3.90 (s, 3H), 3.45 (t, *J* = 6.7 Hz, 2H), 3.39 -

*Comp. No.	P.F. (°C)	*1R (cm^{-1})	MASA	RMN (^{1}H, ^{13}C, ^{19}F)
				3.29 (m, 1H), 2.38 (s, 3H), 1.69 - 1.45 (m, 5H), 1.43 - 1.30 (m, 2H), 1.36 (d, *J* = 6.5 Hz, 3H), 0.95 (t, *J* = 7.4 Hz, 3H), 0.87 - 0.77 (m, 9H)
453	- - -	3386, 2964, 1772, 1735, 1681, 1505, 1310	HRMS - ESI (*m/z*) $[M]^+$ calculada para $C_{30}H_{42}N_2O_8$, 558.2941, encontrada, 558.2936	^{1}H RMN (400 MHz, $CDCl_3$) δ 8.46 (d, *J* = 9.5 Hz, 1H), 8.30 (d, *J* = 5.4 Hz, 1H), 7.24 - 7.16 (m, 2H), 7.03 - 6.97 (m, 3H), 6.93 - 6.86 (m, 1H), 5.30 - 5.19 (m, 1H), 4.62 (dd, *J* = 9 3, 4.7 Hz, 1H), 4.39 (dd, *J* = 5 6, 4.0 Hz, 1H), 3.90 (s, 3H), 3.45 (t, *J* = 6.7Hz, 2H), 3.38 - 3.29 (m, 1H), 2.38 (s, 3H), 1.86 - 1.75 (m, 1H), 1.69 - 1.45 (m, 4H), 1.43 - 1.31 (m, 1H), 1.36 (d, *J* = 6.5 Hz, 3H), 1.19 - 1.05 (m, 1H), 0.93 (t, *J* = 7.4 Hz, 3H), 0.91 - 0.80 (m, 6H), 0.80 t, *J* = 7.4 Hz, 3H)
454	- - -	- - -	ESIMS *m/z* 559 ($[M+H]^+$)	^{1}H RMN (400 MHz, $CDCl_3$, mezcla 1:1 de diaestereómeros en la amina que lleva el carbono) δ 8.39 (m, 1H), 8.26 (m, 1H), 7.24 (m, 2H), 7.16 (m, 3H), 6.94 (m, 1H), 5.75 (m, 2H), 5.19 (m, 1H), 4.73 (m, 1H), 3.91 (s, 3H), 3.44 (m, 1H), 3.32 (m, 1H), 3.23 (m, 1H), 2.99 (m, 1H), 2.42 (m, 1H), 2.08 (s,

*Comp. No.	P.F. (°C)	*1R (cm^{-1})	MASA	RMN (^{1}H, ^{13}C, ^{19}F)
				3H), 1.84 (m, 1H), 1.72 (m, 1H), 1.53 (m, 3H), 1.39 - 1.24 (m, 2H), 1.31 (m, 3H), 0.92 (m, 6H), 0.85 (t, *J* = 7.5 Hz, 3H) ^{13}C RMN (101 MHz $CDCl_3$, mezcla 1:1 de diaestereómeros en la amina que lleva el carbono) δ 172.15, 172.13, 170.29, 170.29, 162.97, 162.96, 160.31, 145.70, 144.06, 144.05, 142.45, 141.61, 141.58, 129.17, 128.18, 128.17, 125 63, 125 60, 109.57, 109.56, 89 61, 89.59, 81.76, 81.74, 79.51, 73.03, 72.92, 56.19, 48.31, 48.25, 43.63, 43.56, 35.41, 29.20, 22.16, 21.91, 20.88, 19.53, 19.48, 18.52, 15.58, 15.19, 10.83, 10.53
455	- - -	3381, 2970, 1740, 1676, 1596, 1493, 1234	HRMS - ESI (*m/z*) $[M]^+$ calculada para $C_{28}H_{36}N_2O_9$, 544.2421; encontrada, 544.2422	^{1}H RMN (400 MHz, $CDCl_3$) δ 8.29 - 8.24 (m, 2H), 7.25 - 7.19 (m, 2H), 7.06 - 6.99 (m, 2H), 6.97 - 6.87 (m, 2H), 5.82 (ddd, *J* = 17.2, 10.3, 8.0 Hz, 1H), 5.75 - 5.71 (m, 2H), 5.37 - 5.28 (m, 2H), 5.28 - 5.17 (m, 1H), 4.68 - 4.56 (m, 1H), 4.42 (dd, *J* = 5.7, 4.3 Hz, 1H), 3.91 (s, 3H), 3.86 (dd, *J* = 8.0, 5.8 Hz, 1H), 3.53 - 3.44 (m, 1H),

*Comp. No.	P.F. (°C)	*1R (cm^{-1})	MASA	RMN (^{1}H, ^{13}C, ^{19}F)
				3.26 - 3.17 (m, 1H), 2.07 (s, 3H), 1.60 - 1.48 (m, 2H), 1.37 (d, *J* = 6.5 Hz, 3H), 1.24 (d, *J* = 7.2 Hz, 3H), 0.85 (t, *J* = 7.4 Hz, 3H)
456	- - -	3381, 2938, 1772, 1739, 1678, 1595, 1508, 1201	HRMS - ESI (*m/z*) $[M]^+$ calculada para $C_{27}H_{34}N_2O_8$, 514.2315; encontrada, 514.2325	^{1}H RMN (400 MHz, $CDCl_3$) δ 8.45 (d, *J* = 8.6 Hz, 1H), 8.31 (d, *J* = 5.4 Hz, 1H), 7.25 - 7.18 (m, 2H), 7.04 - 6.97 (m, 3H), 6.95 - 6.88 (m, 1H), 5.81 (ddd, *J* = 17.3, 10.3, 8.0 Hz, 1H), 5.37 - 5.28 (m, 2H), 5.28 - 5.17 (m, 1H), 4.65 - 4.57 (m, 1H), 4.41 (dd, *J* = 5.6, 4.3 Hz, 1H), 3.91 (s, 3H), 3.85 (dd, *J* = 8.0, 5.7 Hz, 1H), 3.52 - 3.43 (m, 1H), 3.26 - 3.17 (m, 1H), 2.39 (s, 3H), 1.62 - 1.47 (m, 2H), 1.36 (d, *J* = 6.5 Hz, 3H), 1.23 (d, *J* = 7.2 Hz, 3H), 0.85 (t, *J* = 7.4 Hz, 3H)
457	- - -	3381, 2965, 2937, 1741, 1677, 1494, 1235	HRMS - ESI (*m/z*) $[M]^+$ calculada para $C_{28}H_{38}N_2O_9$, 546.2577; encontrada, 546.2585	^{1}H RMN (400 MHz, $CDCl_3$) δ 8.28 (d, *J* = 5.4 Hz, 1H), 8.24 (d, *J* = 7.8 Hz, 1H), 7.27 - 7.22 (m, 2H), 7.05 - 7.01 (m, 2H), 6.95 (d, *J* = 5.5 Hz, 1H), 6.95 - 6.89 (m, 1H), 5.78 - 5.70 (m, 2H), 5.28 - 5.21 (m, 1H), 4.65 - 4.53 (m, 1H), 4.46 (dd, *J* = 5.4, 4.0 Hz, 1H), 3.92 (s, 3H), 3.47 (t, *J* = 6.7 Hz, 2H),

*Comp. No.	P.F. (°C)	*1R (cm^{-1})	MASA	RMN (^{1}H, ^{13}C, ^{19}F)
				3.42 - 3.33 (m, 1H), 2.07 (s, 3H), 1.69 - 1.57 (m, 1H), 1.57 - 1.48 (m, 3H), 1.38 (d, *J* = 7.1 Hz, 3H), 1.35 (d, *J* = 6.5 Hz, 3H), 0.95 (t, *J* = 7.4 Hz, 3H), 0.84 t, *J* = 7.4 Hz, 3H)
458	- - -	3380, 2967, 2937, 1737, 1678, 1493, 1234, 1201	HRMS - ESI (*m/z*) $[M]^+$ calculada para $C_{29}H_{40}N_2O_9$, 560.2734; encontrada, 560.2738	^{1}H RMN (400 MHz, $CDCl_3$) δ 8.32 8.23 (m, 2H), 7.24 - 7.18 (m, 2H), 7.04 - 6.99 (m, 2H), 6.94 (d, *J* = 5.4 Hz, 1H), 6.93 - 6.88 (m, 1H), 5.77 - 5.70 (m, 2H), 5.28 - 5.18 (m, 1H), 4.65 - 4.55 (m, 1H), 4.42 (dd, *J* = 5.8, 3.8 Hz, 1H), 3.91 (s, 3H), 3.47 (td, *J* = 6.7, 1.5 Hz, 2H), 3.41 - 3.31 (m, 1H), 2.06 (s, 3H), 1.78 - 1.58 (m, 2H), 1.58 - 1.46 (m, 4H), 1.38 (d, *J* = 6.5 Hz, 3H), 0.96 (t, *J* = 7.4 Hz, 3H), 0.85 (t, *J* = 7.4 Hz, 3H), 0.81 (t, *J* = 7.5 Hz, 3H)
459	- - -	3379, 2936, 1742, 1676, 1494, 1201	HRMS - ESI (*m/z*) $[M]^+$ calculada para $C_{28}H_{38}N_2O_{10}$, 562.2526; encontrada, 562.2539	^{1}H RMN (400 MHz, $CDCl_3$) δ 8.30 (d, *J* = 7.8 Hz, 1H), 8.27 (d, *J* = 5.4 Hz, 1H), 7.27 - 7.20 (m, 2H), 7.07 - 7.00 (m, 2H), 6.97 - 6.89 (m, 2H), 5.78 - 5.69 (m, 2H), 5.33 - 5.24 (m, 1H), 4.71 - 4.59 (m, 1H), 4.55 (dd, *J* = 5.6, 3.9 Hz, 1H), 3.91 (s, 3H), 3.69 - 3.37 (m, 5H), 3.28 (s, 3H), 2.07 (s, 3H),

*Comp. No.	P.F. (°C)	*1R (cm^{-1})	MASA	RMN (^{1}H, ^{13}C, ^{19}F)
				1.62 - 1.52 (m, 2H), 1.36 (d, *J* = 6.4 Hz, 3H), 1.34 (d, *J* = 7.3 Hz, 3H), 0.87 (t, *J* = 7.4 Hz, 3H)
460	- - -	3380, 2936, 1750, 1677, 1494, 1201	HRMS - ESI (*m/z*) $[M]^+$ calculada para $C_{28}H_{38}N_2O_{10}$, 562.2526; encontrada, 562.2535	^{1}H RMN (400 MHz, $CDCl_3$) δ 8.32 - 8.23 (m, 2H), 7.31 - 7.21 (m, 2H), 7.08 - 7.03 (m, 2H), 6.97 - 6.91 (m, 2H), 5.78 - 5.70 (m, 2H), 5.35 - 5.27 (m, 1H), 4.70 - 4.58 (m, 1H), 4.56 (dd, *J* = 5.8, 3.7 Hz, 1H), 3.91 (s, 3H), 3.71 - 3.64 (m, 1H), 3.62 - 3.39 (m, 4H), 3.28 (s, 3H), 2.07 (s, 3H), 1.61 - 1.49 (m, 2H), 1.43 (d, *J* = 7.2 Hz, 3H), 1.33 (d, *J* = 6.4 Hz, 3H), 0.84 (t, *J* = 7.4 Hz, 3H)
461	- - -	3391, 2936, 1753, 1678, 1493, 1312	HRMS - ESI (*m/z*) $[M]^+$ calculada para $C_{27}H_{36}N_2O_{10}$, 548.2370; encontrada, 548.2377	^{1}H RMN (400 MHz, $CDCl_3$) δ 8.28 (d, *J* = 5.4 Hz, 1H), 8.28 - 8.21 (m, 1H), 7.30 - 7.21 (m, 2H), 7.07 - 7.00 (m, 2H), 6.99 - 6.90 (m, 2H), 5.74 (s, 2H), 5.37 - 5.28 (m, 1H), 4.56 (dd, *J* = 5.3, 3.9 Hz, 1H), 4.20 - 4.00 (m, 2H), 3.92 (s, 3H), 3.69 - 3.39 (m, 5H), 3.28 (s, 3H), 2.08 (s, 3H), 1.62 - 1.50 (m, 2H), 1.36 (d, *J* = 6.4 Hz, 3H), 0.87 (t, *J* = 7.3 Hz, 3H)
462	- - -	3381, 2964,	HRMS - ESI (*m/z*)	^{1}H RMN (400 MHz, $CDCl_3$) δ 8.32 -

*Comp. No.	P.F. (°C)	*1R (cm^{-1})	MASA	RMN (^{1}H, ^{13}C, ^{19}F)
		2937, 1740, 1677, 1494, 1235, 1202	$[M]^+$ calculada para $C_{28}H_{38}N_2O_9$, 546.2577; encontrada, 546.2589	8.17 (m, 2H), 7.29 - 7.17 (m, 2H), 7.06 - 6.98 (m, 2H), 6.97 - 6.86 (m, 2H), 5.78 - 5.68 (m, 2H), 5.30 - 5.18 (m, 1H), 4.67 - 4.54 (m, 1H), 4.49 - 4.41 (m, 1H), 3.96 - 3.85 (m, 3H), 3.51 - 3.42 (m, 2H), 3.42 - 3.30 (m, 1H), 2.11 - 2.01 (m, 3H), 1.70 - 1.44 (m, 4H) 1.42 - 1.16 (m, 6H), 1.01 - 0.89 (m, 3H), 0.89 - 0.78 (m, 3H)
463	- - -	3391, 2964, 2937, 1752, 1679, 1511, 1235, 1202	HRMS - ESI (*m/z*) $[M]^+$ calculada para $C_{27}H_{36}N_2O_9$, 532.2421; encontrada, 532.2418	^{1}H RMN (400 MHz, $CDCl_3$) δ 8.27 (d, *J* = 5.4 Hz, 1H), 8.24 - 8.17 (m, 1H), 7.27 - 7.20 (m, 2H), 7.04 - 6.98 (m, 2H), 6.95 (d, *J* = 5.4 Hz, 1H), 6.95 - 6.90 (m, 1H), 5.74 (s, 2H), 5.31 - 5.21 (m, 1H), 4.46 (dd, *J* = 5.6, 4.0 Hz, 1H), 4.16 - 3.89 (m, 2H), 3.92 (s, 3H), 3.48 (t, *J* = 6.7 Hz, 2H), 3.40 - 3.34 (m, 1H), 2.07 (s, 3H), 1.71 - 1.47 (m, 4H), 1.37 (d, *J* = 6.5 Hz, 3H), 0.96 (t, *J* = 7.4 Hz, 3H), 0.85 (t, *J* = 7.4 Hz, 3H)
464	- - -	3388, 2971, 2937, 1746, 1679, 1510, 1492, 1231	HRMS - ESI (*m/z*) $[M]^+$ calculada para $C_{29}H_{40}N_2O_9$, 560.2734; encontrada,	^{1}H RMN (400 MHz, $CDCl_3$) δ 8.31 - 8.23 (m, 2H), 7.33 - 7.20 (m, 2H), 7.05 - 6.97 (m, 2H), 6.97 - 6.87 (m, 2H), 5.76 (s, 2H), 5.31 - 5.22 (m, 1H), 4.49 - 4.44 (m, 1H), 4.17 - 3.87 (m,

*Comp. No.	P.F. (°C)	*1R (cm^{-1})	MASA	RMN (^{1}H, ^{13}C, ^{19}F)
			560.2741	2H), 3.92 (s, 3H), 3.48 (t, *J* = 6.7 Hz, 2H), 3.41 - 3.33 (m, 1H), 2.61 - 2.49 (m, 1H), 1.67 - 1.48 (m, 4H), 1.37 (d, *J* = 6.5 Hz, 3H), 1.14 (d, *J* = 7.0 Hz, 6H), 0.96 (t, *J* = 7.4 Hz, 3H), 0.85 (t, *J* = 7.4 Hz, 3H)
465	- - -	3378, 2972, 2936, 1734, 1678, 1494, 1236	HRMS - ESI (*m/z*) $[M]^+$ calculada para $C_{30}H_{42}N_2O_9$, 574.2890; encontrada, 574.2895	^{1}H RMN (400 MHz, $CDCl_3$) δ 8.32 (d, *J* = 7.8 Hz, 1H), 8.25 (d, *J* = 5.3 Hz, 1H), 7.26 - 7.18 (m, 2H), 7.04 - 6.98 (m, 2H), 6.93 (d, *J* = 5.3 Hz, 1H), 6.93 - 6.86 (m, 1H), 5.79 - 5.73 (m, 2H), 5.28 - 5.17 (m, 1H), 4.66 - 4.57 (m, 1H), 4.47 - 4.43 (m, 1H), 3.89 (s, 3H), 3.47 (t, *J* = 6.7 Hz, 2H), 3.41 - 3.33 (m, 1H), 2.62 - 2.47 (m, 1H), 1.71 - 1.46 (m, 4H), 1.38 (d, *J* = 6.5 Hz, 3H), 1.23 (d, *J* = 7.2 Hz, 3H), 1.14 (d, *J* = 7.0 Hz, 6H), 0.97 (t, *J* = 7.4 Hz, 3H), 0.85 t, *J* = 7.4 Hz, 3H)
466	- - -	3373, 2971, 2937, 1738, 1676, 1492, 1234	HRMS - ESI (*m/z*) $[M]^+$ calculada para $C_{30}H_{42}N_2O_{10}$, 590.2839; encontrada, 590.2844	^{1}H RMN (400 MHz, $CDCl_3$) δ 8.26 (dd, *J* = 8.5, 6.2 Hz, 2H), 7.25 - 7.18 (m, 2H), 7.05 - 6.98 (m, 2H), 6.94 (d, *J* = 5.4 Hz, 1H), 6.93 - 6.87 (m, 1H), 5.84 - 5.79 (m, 2H), 5.26 - 5.18 (m, 1H), 4.65 - 4.54 (m, 1H), 4.45 (dd, *J* = 5.7,

*Comp. No.	P.F. (°C)	*1R (cm^{-1})	MASA	RMN (^{1}H, ^{13}C, ^{19}F)
				4.0 Hz, 1H), 4.09 (s, 2H), 3.90 (s, 3H), 3.63 - 3.54 (m, 2H), 3.47 (t, *J* = 6.7 Hz, 2H), 3.41 - 3.31 (m, 1H), 1.71 - 1.58 (m, 1H), 1.58 - 1.47 (m, 3H), 1.38 (d, *J* = 6.5 Hz, 3H), 1.22 (d, *J* = 7.1 Hz, 6H), 0.97 (t, *J* = 7.3 Hz, 3H), 0.85 (t, *J* = 7.4 Hz, 3H)
467	- - -	3385, 2964, 2935, 1769, 1738, 1678, 1507, 1236	HRMS - ESI (*m/z*) $[M]^+$ calculada para $C_{29}H_{40}N_2O_9$, 560.2734; encontrada, 560.2735	^{1}H RMN (400 MHz, $CDCl_3$) δ 8.49 - 8.37 (m, 1H), 8.31 (d, *J* = 5.4 Hz, 1H), 7.24 - 7.19 (m, 2H), 7.03 - 6.97 (m, 3H), 6.95 - 6.86 (m, 1H), 5.26 - 5.18 (m, 1H), 4.65 - 4.54 (m, 1H), 4.44 (dd, *J* = 5.7, 4.0 Hz, 1H), 3.90 (s, 3H), 3.80 (t, *J* = 6.6 Hz, 2H), 3.46 (t, *J* = 6.7 Hz, 2H), 3.40 (s, 3H), 3.39 - 3.31 (m, 1H), 2.97 (t, *J* = 6.7 Hz, 2H), 1.70 - 1.58 (m, 1H), 1.58 - 1.46 (m, 3H), 1.37 (d, *J* = 6.5 Hz, 3H), 1.21 (d, *J* = 7.2 Hz, 3H), 0.96 (t, *J* = 7.4 Hz, 3H), 0.85 (t, *J* = 7.4 Hz, 3H)
468	- - -	- - -	HRMS - ESI (*m/z*) $([M+H]^+)$ calculada para $C_{32}H_{39}N_2O_8$, 579.2701, encontrada,	^{1}H RMN (600 MHz, $CDCl_3$) δ 8.47 (s, 1H), 8.30 (d, *J* = 5.4 Hz, 1H), 7.24 - 7.18 (m, 2H), 7.09 - 7.04 (m, 2H), 6.99 (d, *J* = 5.5 Hz, 1H), 6.92 - 6.85 (m, 3H), 6.85 - 6.77 (m, 2H), 5.34 -

*Comp. No.	P.F. (°C)	*1R (cm^{-1})	MASA	RMN (^{1}H, ^{13}C, ^{19}F)
			579.2698	5.25 (m, 1H), 4.67 - 4.59 (m, 1H), 4.47 (t, *J* = 5.2 Hz, 1H), 3.90 (s, 3H), 3.79 (s, 3H), 2.94 (dd, *J* = 13.9, 4.7 Hz, 1H), 2.50 (dd, *J* = 13.9, 9.8 Hz, 1H), 2.39 (s, 3H), 1.89 (dt, *J* = 10.7, 5.3 Hz, 1H), 1.44 - 1.38 (m, 1H), 1.36 (d, *J* = 6.4 Hz, 3H), 1.35 - 1.30 (m, 1H), 1.26 (d, *J* = 7.2 Hz, 3H), 0.90 (t, *J* = 7.5 Hz, 3H) ^{13}C RMN (151 MHz, $CDCl_3$) δ 172.04, 162.35, 159.59, 159.46, 157.81, 146.64, 132.85, 130.10, 129.50, 121.05, 116.02, 113.70, 109.75, 79.78, 72.31, 56 29, 55.25, 48.02, 43 65, 34.46, 21.62, 20.76, 18.17, 15.67, 10.64
469	- - -	- - -	HRMS - ESI (*m/z*) ($[M+H]^+$) calculada para $C_{31}H_{36}FN_2O_7$, 567.2501; encontrada, 567.2511	^{1}H RMN (600 $CDCl_3$) δ 8.45 (s, 1H), 8.30 (d, *J* = 5.4 Hz, 1H), 7.22 (dd, *J* = 8.7, 7.3 Hz, 2H), 7.13 - 7.08 (m, 2H), 6.99 (d, *J* = 5.5 Hz, 1H), 6.97 - 6.92 (m, 2H), 6.92 - 6.89 (m, 1H), 6.89 - 6.85 (m, 2H), 5.33 - 5.23 (m, 1H), 4.67 - 4.58 (m, 1H), 4.46 (t, *J* = 5.2 Hz, 1H), 3.91 (s, 3H), 2.98 (dd, *J* = 13.9, 4.6 Hz, 1H), 2.52 (dd, *J* = 13.9, 9.8 Hz, 1H), 2.38 (s, 3H), 1.88 (dt, *J* =

*Comp. No.	P.F. (°C)	*1R (cm^{-1})	MASA	RMN (^{1}H, ^{13}C, ^{19}F)
				10.9, 5.3 Hz, 1H), 1.43 - 1.38 (m, 1H), 1.36 (d, *J* = 6.4 Hz, 3H), 1.34 - 1.29 (m, 1H), 1.27 (d, *J* = 7.2 Hz, 3H), 0.89 (t, *J* = 7.4 Hz, 3H) ^{13}C RMN (151 $CDCl_3$) δ 172.03, 162.36, 159.50, 146.63, 141.43, 136.48, 130.54, 130.49, 129.54, 121.15, 115.98, 115.09, 114.95, 109.77, 79.68, 72.18, 56.29, 48.01, 43.57, 34.60, 21.67, 20.75, 18.13, 15.69, 10.64
470	- - -	- - -	HRMS - ESI (*m/z*) ($[M+H]^+$) calculada para $C_{33}H_{41}N_2O_9$, 609.2807; encontrada, 609.2813	^{1}H RMN (500 MHz, $CDCl_3$) δ 8.29 (d, *J* = 7.8 Hz, 1H), 8.25 (d, *J* = 5.4 Hz, 1H), 7.22 (t, *J* = 7.9 Hz, 2H), 7.07 (d, *J* = 8.4 Hz, 2H), 6.94 (d, *J* = 5.4 Hz, 1H), 6.89 (dd, *J* = 14.4, 7.9 Hz, 3H), 6.82 (d, *J* = 8.4 Hz, 2H), 5.77 - 5.69 (m, 2H), 5.30 (p, *J* = 6.2 Hz, 1H), 4.64 (p, *J* = 7.3 Hz, 1H), 4.48 (t, *J* = 5.1 Hz, 1H), 3.91 (s, 3H), 3.79 (s, 3H), 2.95 (dd, *J* = 13.8, 4.6 Hz, 1H), 2.50 (dd, *J* = 13.8, 9.8 Hz, 1H), 2.07 (s, 3H), 1.89 (dq, 10.1, 5.2 Hz, 1H), 1.38 (d, *J* = 6.4 Hz, 3H), 1.33 (dd, *J* = 12.8, 7.3 Hz, 2H), 1.28 (d, *J* = 7.2 Hz, 3H), 0.90 (t, *J* = 7.4 Hz, 3H)

*Comp. No.	P.F. (°C)	*1R (cm^{-1})	MASA	RMN (^{1}H, ^{13}C, ^{19}F)
				^{13}C RMN (126 MHz, $CDCl_3$) δ 172.16, 170.29, 162.94, 160.30, 159.61, 157.81, 145.68, 144.08, 142.39, 132.84, 130.10, 129.50, 121.05, 116.03, 113.70, 109.55, 89.60, 79.77, 72.29, 56.18, 55.25, 48.22, 43.64, 34.46, 20.88, 17.99, 15.65, 10.61
471	- - -	- - -	HRMS - ESI (*m/z*) ($[M+H]^+$) calculada para $C_{32}H_{38}FN_2O_8$, 597.2607; encontrada, 597.2606	^{1}H RMN (500 MHz, $CDCl_3$) δ 8.28 (d, *J* = 7.8 Hz, 1H), 8.25 (d, *J* = 5.4 Hz, 1H), 7.22 (t, *J* = 7.9 Hz, 2H), 7.11 (dd, *J* = 8.3, 5.6 Hz, 2H), 6.99 - 6.92 (m, 3H), 6.92 - 6.85 (m, 3H), 5.78 - 5.70 (m, 2H), 5.30 (t, *J* = 5.8 Hz, 1H), 4.72 - 4.58 (m, 1H), 4.48 (t, *J* = 5.2 Hz, 1H), 3.91 (s, 3H), 2.99 (dd, *J* = 13.8, 4.5 Hz, 1H), 2.53 (dd, *J* = 13.9, 9.8 Hz, 1H), 2.07 (s, 3H), 1.93 - 1.83 (m, 1H), 1.38 (d, *J* = 6.4 Hz, 3H), 1.36 - 1.30 (m, 2H), 1.28 (d, *J* = 7.2 Hz, 3H), 0.90 (t, *J* 7.4 Hz, 3H) ^{13}C RMN (126 MHz, $CDCl_3$) δ 172.15, 170.29, 162.95, 160.31, 159.52, 145.67, 144.10, 142.34, 136.49, 130.54, 130.48, 129.54, 121.16, 115.99, 115.11, 114.94, 109.57, 89.59, 79 68, 72.17, 56.19, 48.22,

*Comp. No.	P.F. (°C)	*1R (cm^{-1})	MASA	RMN (^{1}H, ^{13}C, ^{19}F)
				43.57, 34.59, 21.64, 20.88, 17.96, 15.66, 10.60
472	- - -	- - -	HRMS - ESI (*m/z*) ($[M+H]^+$) calculada para $C_{34}H_{43}N_2O_8$, 607.3019; encontrada, 607.3019	^{1}H RMN (500 $CDCl_3$) δ 8.42 (s, 1H), 8.29 (d, *J* = 5.4 Hz, 1H), 7.21 (t, *J* = 7.7 Hz, 2H), 7.07 (d, *J* = 8.3 Hz, 2H), 6.97 (d, *J* = 5.4 Hz, 1H), 6.89 (dd, *J* = 16.9, 7.8 Hz, 3H), 6.81 (d, *J* = 8.2 Hz, 2H), 5.29 (p, 5.9 Hz, 1H), 4.63 (p, *J* = 7.2 Hz, 1H), 4.46 (t, *J* = 5.0 Hz, 1H), 3.89 (s, 3H), 3.79 (s, 3H), 3.00 - 2.88 (m, 2H), 2.49 (dd, *J* = 13.7, 9.8 Hz, 1H), 1.88 (dt, *J* = 9.8, 4.9 Hz, 1H), 1.45 - 1.29 (m, 1 1H), 1.26 (d, *J* = 7.1 Hz, 3H), 0.90 (t, *J* = 7.4 Hz, 3H) ^{13}C RMN (126 MHz, $CDCl_3$) δ 174.71, 172.13, 162.33, 159.57, 159.42, 157.80, 146.54, 141.84, 137.68, 132.86, 130.10, 129.49, 121.03, 116.01, 113.69, 109.58, 79.76, 72.23, 56.29, 55.24, 47.97, 43.65, 34.46, 33.95, 21.63, 18.78, 15.70, 10.67
473	- - -	- - -	HRMS - ESI (*m/z*) ($[M+H]^+$) calculada para $C_{33}H_{40}FN_2O_7$, 595.2814;	^{1}H RMN (500 MHz, $CDCl_3$) δ 8.40 (s, 1H), 8.29 (d, *J* = 5.4 Hz, 1H), 7.22 (t, *J* = 7.9 Hz, 2H), 7.10 (dd, *J* = 8.1, 5.7 Hz, 2H), 6.98 - 6.89 (m, 4H), 6.87 (d,

*Comp. No.	P.F. (°C)	*1R (cm^{-1})	MASA	RMN (^{1}H, ^{13}C, ^{19}F)
			encontrada, 595.2823	*J* = 8.2 Hz, 2H), 5.28 (p, *J* = 6.2 Hz, 1H), 4.64 (p, *J* = 7.3 Hz, 1H), 4.46 (t, *J* = 5.1 Hz, 1H), 3.89 (s, 3H), 3.01 - 2.90 (m, 2H), 2.52 (dd, *J* = 13.8, 9.9 Hz, 1H), 1.88 (dt, *J* = 9.9, 5.0 Hz, 1H), 1.40 - 1.30 (m, 11H), 1.27 (d, *J* = 7.2 HZ, 31 - 1), 0.89 (t, *J* = 7.4 Hz, 3H) ^{13}C RMN (126 MHz, $CDCl_3$) δ 174.70, 172.12, 162.33, 161.29 (d, *J* = 243.6 Hz), 159.46 (d, *J* = 5.0 Hz), 146.53, 141.79, 137.70, 136.51, 130.51 (d, *J* = 7.8 Hz), 129.53, 115.01 (d, *J* = 21.1 Hz), 109.60, 79.66, 72.09, 56.29, 47.97, 43.57, 34.59, 33.95, 21.68, 18.80, 18.18, 15.73, 10.67
474	- - -	3382, 2964, 2938, 2876, 1770, 1738, 1677, 1506, 1197, 1173	HRMS - ESI (*m/z*) ($[M+H]^+$) calculada para $C_{25}H_{33}N_2O_8$, 489.2231; encontrada, 489.2233	^{1}H RMN (400 MHz, $CDCl_3$) δ 8.50 (d, *J* = 8.7 Hz, 1H), 8.30 (d, *J* = 5.4 Hz, 1H), 7.29 - 7.20 (m, 2H), 7.00 - 6.92 (m, 4H), 5.32 - 5.22 (m, 1H), 4.73 - 4.62 (m, 1H), 4.52 - 4.44 (m, 1H), 3.90 (s, 3H), 3.68 - 3.59 (m, 2H), 3.45 - 3.36 (m, 2H), 2.39 (s, 3H), 1.64 - 1.50 (m, 2H), 1.39 (d, *J* = 3.8 Hz, 3H), 1.37 (d, *J* = 3.1 Hz, 3H), 0.89 t, *J* = 7.4 Hz, 3H)

*Comp. No.	P.F. (°C)	*1R (cm^{-1})	MASA	RMN (^1H, ^{13}C, ^{19}F)
475	- - -	- - -	HRMS - ESI (*m/z*) $[M]^+$ calculada para $C_{25}H_{32}N_2O_8$, 488.2159; encontrada, 488.2180	^1H RMN (400 MHz, $CDCl_3$) δ 8.31 - 8.22 (m, 2H), 7.25 - 7.16 (m, 2H), 7.01 - 6.84 (m, 4H), 5.79 - 5.69 (m, 2H), 5.22 (pd, *J* = 6.3, 4.0 Hz, 1H), 4.64 - 4.46 (m, 1H), 4.21 (dt, *J* = 7.1, 4.4 Hz, 1H), 3.91 (s, 3H), 2.06 (s, 3H), 1.97 (dq, *J* = 13.6, 6.8 Hz, 1H), 1.35 (d, *J* = 6.5 Hz, 3H), 1.20 (d, *J* = 7.2 Hz, 3H), 1.07 - 0.97 (m, ^{13}C RMN (126 MHz, $CDCl_3$) δ 172.19, 170.28, 162.95, 160.28, 160.11, 145.69, 144.02, 142.44, 129.42, 120.98, 116.25, 109.54, 89.59, 84.03, 72.70, 56.18, 48.18, 30.39, 20.88, 19.27, 18.60, 17.78, 14.67
476	- - -	- - -	HRMS - ESI (*m/z*) $[M]^+$ calculada para $C_{28}H_{38}N_2O_9$, 546.2577; encontrada, 546.2587	^1H RMN (400 MHz, $CDCl_3$) δ 8.33 - 8.20 (m, 2H), 7.27 - 7.17 (m, 2H), 6.99 - 6.83 (m, 4H), 5.79 - 5.69 (m, 2H), 5.25 (qd, *J* = 6.4, 4.7 Hz, 1H), 4.69 - 4.58 (m, 1H), 4.46 (t, *J* = 5.2 Hz, 1H), 3.91 (s, 3H), 3.41 (qt, *J* = 9.4, 6.6 Hz, 2H), 3.30 (s, 3H), 2.07 (s, 3H), 1.84 - 1.55 (m, 4H), 1 48 - 1.36 (m, 1H), 1.35 (d, *J* = 6.4 Hz, 3H), 1.30 (d, *J* = 7.1 Hz, 3H), 0.92 (t, *J* = 7.4 Hz, 3H)

*Comp. No.	P.F. (°C)	*1R (cm^{-1})	MASA	RMN (^1H, ^{13}C, ^{19}F)
				^{13}C RMN (126 MHz, $CDCl_3$) δ 172.14, 170.29, 162.94, 160.29, 159.60, 145.69, 144.04, 142.45, 129.48, 120.99, 115.96, 109.54, 89.59, 80.68, 72.42, 70.65, 58.58, 56.18, 48.20, 38.63, 29.46, 22.03, 20.88, 17.99, 15.56, 11.60
477	- - -	- - -	HRMS - ESI (*m/z*) $[M]^+$ calculada para $C_{27}H_{36}N_2O_8$, 516.2472; encontrada, 516.2475	^1H RMN (400 MHz, $CDCl_3$) δ 8.32 - 8.17 (m, 2H), 7.29 - 7.16 (m, 2H), 6.99 - 6.84 (m, 4H), 5.79 - 5.66 (m, 2H), 5.31 - 5.10 (m, 1H), 4.65 - 4.51 (m, 1H), 4.51 - 4.38 (m, 1H), 3.91 (s, 3H), 2.07 (s, 2H), 1.71 - 1.29 (m, 6H), 1.36 (d, *J* = 6.4 Hz, 3H), 1.20 (d, *J* = 7.2 Hz, 3H), 0.95 - 0.86 (m, 6H) ^{13}C RMN (126 MHz, $CDCl_3$) δ 172.21, 170.29, 162.93, 160.29, 159.95, 145.68, 144.04, 142.44, 129.45, 120.90, 116.03, 109.53, 89.60, 80.49, 72.74, 56.18, 48.18, 42.71, 21.58, 21.29, 20.88, 17.82, 14.96, 11.49, 10.61
478	- - -	- - -	HRMS - ESI (*m/z*) $[M]^+$ calculada para $C_{24}H_{30}N_2O_7$,	^1H RMN (400 MHz, $CDCl_3$) δ 8.43 (d, *J* = 8.0 Hz, 1H), 8.30 (d, *J* = 5.4 Hz, 1H), 7.28 - 7.16 (m, 2H), 7.04 - 6.84

*Comp. No.	P.F. (°C)	*1R (cm^{-1})	MASA	RMN (^{1}H, ^{13}C, ^{19}F)
			458.2053; encontrada, 458.2059	(m, 4H), 5.21 (qd, *J* = 6.5, 4.1 Hz, 1H), 4.64 - 4.44 (m, 1H), 4.20 (td, *J* = 6.8, 4.2 Hz, 1H), 3.90 (s, 3H), 2.39 (s, 3H), 2.04 - 1.88 (m, 1H), 1.34 (d, *J* = 6.5 Hz, 3H), 1.22 - 1.13 (m, 3H), 1.02 (dd, 10.5, 6.8 Hz, 6H) ^{13}C RMN (126 MHz, $CDCl_3$) δ 172.10, 168.89, 162.35, 160.08, 159.43, 146.64, 141.47, 137.47, 129.41, 120.97, 116.23, 109.73, 84.00, 72.71, 56.28, 47.96, 30.38, 20.75, 19.27, 18.58, 17.93, 14.66
479	- - -	- - -	HRMS - ESI (*m/z*) $[M]^+$ calculada para $C_{26}H_{34}N_2O_7$, 486.2366; encontrada, 486.2373	^{1}H RMN (400 MHz, $CDCl_3$) δ 8.44 (d, *J* = 7.9 Hz, 1H), 8.38 - 8.27 (m, 1H), 7.28 - 7.16 (m, 2H), 7.04 - 6.97 (m, 1H), 6.96 - 6.83 (m, 3H), 5.28 - 5.17 (m, 1H), 4.65 4.45 (m, 1H), 4.43 (dd, *J* = 6.5, 4.2 Hz, 1H), 3.90 (s, 3H), 2.39 (s, 3H), 1.71 - 1.23 (m, 5H), 1.35 (d, *J* = 6.5 Hz, 3H), 1.19 (d, *J* = 7.2 Hz, 3H), 0.90 (dt, *J* = 11.2, 7.4 Hz, 6H) ^{13}C RMN (126 MHz, $CDCl_3$) δ 172.11, 168.89, 162.33, 159.92, 159.44, 146.63, 141.48, 137.49, 129.44, 120.90, 116.02, 109.72, 80.47, 72.74, 56.28, 47.96, 42.71, 21.58, 21.28,

*Comp. No.	P.F. (°C)	*1R (cm^{-1})	MASA	RMN (^{1}H, ^{13}C, ^{19}F)
				20.75, 14.96, 11.48, 10.62
480	- - -	- - -	HRMS - ESI (*m/z*) $[M]^+$ calculada para $C_{25}H_{32}N_2O_7$, 472.2210; encontrada, 472.2211	^{1}H RMN (400 MHz, $CDCl_3$) δ 8.36 (t, *J* = 5.5 Hz, 1H), 8.32 (d, *J* = 5.4 Hz, 1H), 7.30 - 7.18 (m, 2H), 7.00 (d, *J* = 5.4 Hz, 1H), 6.98 - 6.84 (m, 3H), 5.27 (qd, *J* = 6.5, 3.9 Hz, 1H), 4.44 (dd, *J* = 6.8, 3.9 Hz, 1H), 4.03 (dd, *J* = 18.5, 5.7 Hz, 1H), 3.91 (s, 3H), 3.87 - 3.71 (m, 1H), 2.39 (s, 3H), 1.70 - 1.36 (m, 5H), 1.35 (d, *J* = 6 4 Hz, 3H), 0.90 (dt, *J* = 13.8, 7.5 Hz, 6H) ^{13}C RMN (126 MHz, $CDCl_3$) δ 169.12, 168.90, 162.98, 159.85, 159.46, 146.69, 141.30, 137.50, 129.48, 120.95, 116.02, 109.84, 80.24, 72.93, 56.29, 42.51, 41.11, 21.45, 21.32, 20.74, 14.68, 11.26, 10.52
481	- - -	- - -	HRMS - ESI (*m/z*) $[M]^+$ calculada para $C_{27}H_{36}N_2O_8$, 516.2472; encontrada, 516.2473	^{1}H RMN (400 MHz, $CDCl_3$) δ 8.43 (d, *J* = 7.6 Hz, 1H), 8.33 (d, *J* = 5.4 Hz, 1H), 7.32 - 7.16 (m, 2H), 7.03 - 6.83 (m, 4H), 5.34 - 5.19 (m, 1H), 4.67 - 4.51 (m, 1H), 4.47 - 4.35 (m, 1H), 3.91 (s, 3H), 3.50 3.34 (m, 2H), 3.30 (s, 3H), 2.40 (s, 3H), 1.84 - 1.53 (m, 4H), 1.47 - 1.24 (m, 7H), 0.91 (td, *J* =

*Comp. No.	P.F. (°C)	*1R (cm^{-1})	MASA	RMN (^{1}H, ^{13}C, ^{19}F)
				7.4, 3.8 Hz, 3H) ^{13}C RMN (126 MHz, $CDCl_3$) δ 171.93, 168.90, 162.39, 159.50, 159.45, 146.65, 141.51, 137.48, 129.51, 121.00, 116.02, 109.75, 80.65, 72.54, 70.66, 58.57, 56.28, 48.00, 38.60, 29.35, 22.14, 20.76, 18.26, 15.22, 11.38
482	- - -	- - -	ESIMS *m/z* 517 ($[M+H]^+$)	^{1}H RMN (400 MHz, $CDCl_3$) δ 8.47 (d, *J* = 8.0 Hz, 1H), 8.31 (d, *J* = 5.5 Hz, 1H), 7.30 - 7.17 (m, 2H), 7.05 - 6.97 (m, 1H), 6.96 - 6.83 (m, 3H), 5.24 (tdd, *J* = 6.4, 5.6, 3.8 Hz, 1H), 4.61 (dq, *J* = 8.1, 7.2 Hz, 1H), 4.49 - 4.40 (m, 1H), 3.91 (s, 3H), 3.40 (qt, *J* = 9.4, 6.5 Hz, 2H), 3.30 (s, 3H), 2.44 - 2.36 (m, 3H), 1.83 - 1.55 (m, 3H), 1 48 - 1.36 (m, 1H), 1.33 (d, *J* = 6.4 Hz, 3H), 1.28 (d, *J* = 7.2 Hz, 3H), 0.91 (t, *J* = 7.4 Hz, 3H), 0.87 - 0.79 (m, 1H) ^{13}C RMN (101 MHz, $CDCl_3$) δ 172.04, 168.89, 162.35, 159.58, 159.45, 146.65, 141.50, 137.50, 129.48, 120.98, 115.96, 109.73, 80.68, 72.44, 70.67, 58.57, 56.28, 47.99, 38.64, 29.46, 22.03, 20.75, 18.15, 15.55,

*Comp. No.	P.F. (°C)	*1R (cm^{-1})	MASA	RMN (^{1}H, ^{13}C, ^{19}F)
				11.60
483	- - -	3382, 2975, 2940, 1741, 1676	HRMS - ESI (*m/z*) ($[M+H]^+$) calculada para $C_{31}H_{37}N_2O_9$, 581.2494, encontrada, 581.2501	^{1}H RMN (400 MHz, $CDCl_3$) δ 8.25 (d, *J* = 5.4 Hz, 1H), 8.23 (d, *J* = 7.8 Hz, 1H), 7.26 - 7.18 (m, 4H), 7.02 - 6.96 (m, 2H), 6.96 - 6.88 (m, 5H), 5.73 (d, *J* = 0.9 Hz, 2H), 5.29 (qd, *J* = 6 5, 4.6 Hz, 1H), 4.67 - 4.54 (m, 2H), 4.41 (dt, *J* = 6.5, 5.3 Hz, 1H), 3.90 (s, 3H), 2.06 (s, 3H), 1.96 - 1.82 (m, 1H), 1.81 - 1.71 (m, 1H), 1.42 (d, *J* = 6.5 Hz, 3H), 1.18 (d, *J* = 7.2 Hz, 3H), 1.01 (t, *J* = 7.4 Hz, 3H)
484	- - -	3380, 2968, 2937, 2876, 1771, 1738, 1589, 1506, 1195, 1173	HRMS - ESI (*m/z*) ($[M+H]^+$) calculada para $C_{26}H_{35}N_2O_8$, 503.2388, encontrada, 503.2399	^{1}H RMN (400 MHz, $CDCl_3$) δ 8.55 - 8.48 (m, 1H), 8.35 - 8.27 (m, 1H), 7.31 - 7.19 (m, 2H), 7.03 - 6.90 (m, 4H), 5.35 - 5.24 (m, 1H), 4.71 - 4.59 (m, 1H), 4.51 - 4.41 (m, 1H), 3.90 (app s, 3H), 3.72 3.58 (m, 2H), 3.45 - 3.35 (m, 2H), 2.39 (s, 3H), 1.98 - 1.81 (m, 1H), 1.80 - 1.66 (m, 1H), 1.64 - 1.50 (m, 2H), 1.40 - 1.33 (m, 3H), 0.95 - 0.83 (m, 6H)
485	- - -	- - -	ESIMS *m/z* 549 ($[M+H]^+$)	^{1}H RMN (400 MHz, $CDCl_3$) δ 8.48 (d, *J* = 6.8 Hz, 1H), 8.30 (d, *J* = 5.4 Hz, 1H), 7.32 - 7.10 (m, 7H), 6.99 (d, *J* =

*Comp. No.	P.F. (°C)	*1R (cm^{-1})	MASA	RMN (^{1}H, ^{13}C, ^{19}F)
				5.5 Hz, 1H), 6.93 - 6.84 (m, 3H), 5.34 - 5.26 (m, 1H), 4.68 – 4.58 (m, 1H), 4.48 (t, *J* = 5.2 Hz, 1H), 3.90 (s, 3H), 3.01 (dd, *J* = 13.7, 4.6 Hz, 1H), 2.55 (dd, *J* = 13.9, 9.7 Hz, 1H), 2.39 (s, 3H), 1.95 (m, 1H), 1.44 - 1.31 (m, 2H), 1.37 (d, *J* = 6.4 Hz, 3H), 1.26 (d, *J* = 7.2 Hz, 3H), 0.91 (t, *J* = 7.4 Hz, 3H) ^{13}C RMN (101 MHz, $CDCl_3$) δ 172.04, 168.92, 162.37, 159.56, 159.46, 146.65, 141.46, 140.90, 137.52, 129.51, 129.22, 128.29, 125.87, 121.08, 116.01, 109.76, 79.78, 72.29, 56.29, 48.02, 43.50, 35.43, 21.74, 20.76, 18.15, 15.68, 10.64
486	- - -	- - -	ESIMS *m/z* 535 ($[M+H]^+$)	^{1}H RMN (400 MHz, $CDCl_3$) δ 8.40 (t, *J* = 5.4 Hz, 1H), 8.31 (d, *J* = 5.5 Hz, 1H), 7.31 - 7.14 (m, 7H), 7.00 (d, *J* = 5.5 Hz, 1H), 6.94 - 6.89 (m, 1H), 6.86 (dd, *J* = 8.7, 0.9 Hz, 2H), 5.36 - 5.25 (m, 1H), 4.47 (t, *J* = 5.3 Hz, 1H), 4.09 (dd, *J* = 20.0, 4.0 Hz, 1H), 3.90 (s, 3H), 3.93 - 3.85 (m, 1H), 2.99 (dd, *J* = 13.7, 5.1 Hz, 1H), 2.56 (dd, *J* = 13.8, 9.2 Hz, 1H), 2.39 (s, 3H), 2.02 - 1.91 (m, 1H), 1.49 - 1.25 (m, 2H), 1.36 (d,

*Comp. No.	P.F. (°C)	*1R (cm^{-1})	MASA	RMN (^{1}H, ^{13}C, ^{19}F)
				J = 6.4 Hz, 3H), 0.92 (t, *J* = 7.4 Hz, 3H) ^{13}C RMN (101 MHz, $CDCl_3$) δ 168.98, (168.93, 163.03, 159.48, 159.45, 146.71, 141.28, 140.86, 137.54, 129.53, 129.23, 128.31, 125.90, 121.11, 116.03, 109.88, 79.70, 72.47, 56.30, 43.43, 41.21, 35.45, 21.77, 20.75, 15.61, 10.57
487	- - -	- - -	ESIMS *m/z* 549 ($[M+H]^+$)	^{1}H RMN (400 MHz, $CDCl_3$) δ 8.45 (d, *J* = 6.1 Hz, 1H), 8.31 (d, *J* = 5.4 Hz, 1H), 7.33 - 7.13 (m, 7H), 6.99 (d, *J* = 5.5 Hz, 1H), 6.96 - 6.84 (m, 3H), 5.36 (p, *J* = 6.6 Hz, 1H), 4.60 - 4.51 (m, 1H), 4.48 (dd, *J* = 7.3, 3.3 Hz, 1H), 3.90 (s, 3H), 2.95 (dd, *J* = 14.0, 4.7 Hz, 1H), 2.64 (dd, *J* = 14.0, 9.5 Hz, 1H), 2.39 (s, 3H), 1.92 (m, 1H), 1.42 - 1.22 (m, 2H) 1.32 (d, *J* = 6.4 Hz, 3H), 1.08 (d, *J* = 7.2 Hz, 3H), 0.82 (t, *J* = 7.4 Hz, 3H) ^{13}C RMN (101 MHz, $CDCl_3$) δ 172.29, 168.90, 162.31, 159.63, 159.43, 146.66, 141.54, 140.82, 137.47, 129.43, 129.16, 128.37, 125.99, 120.83, 115.51, 109.73, 79.46, 72.82,

*Comp. No.	P.F. (°C)	*1R (cm^{-1})	MASA	RMN (^{1}H, ^{13}C, ^{19}F)
				56.28, 48.02, 43.52, 35.14, 22.65, 20.76, 17.96, 17.10, 11.71
488	- - -	3377, 2986, 2941, 1769, 1739, 1675, 1589, 1492, 1198, 1172, 1042	HRMS - ESI (*m/z*) ($[M+H]^+$) calculada para $C_{28}H_{31}N_2O_8$, 523.2075, encontrada, 523.2085	^{1}H RMN (400 MHz, $CDCl_3$) δ 8.53 8.43 (m, 1H), 8.32 - 8.26 (m, 1H), 7.32 - 7.21 (m, 4H), 7.04 - 6.84 (m, 7H), 5.40 (app qd, *J* = 6 5, 4.4 Hz, 1H), 4.75 - 4.60 (m, 2H), 4.27 - 4.13 (m, 2H), 3.92 - 3.85 (m, 3H), 2.44 - 2.32 (m, 3H), 1.43 (app d, *J* = 6.8 Hz, 3H), 1.36 (app d, *J* = 7.2 Hz, 3H)
489	- - -	3382, 2972, 2938, 1770, 1739, 1678, 1588, 1493, 1195, 1172, 1050	HRMS - ESI (*m/z*) ($[M+H]^+$) calculada para $C_{29}H_{33}N_2O_8$, 537.2231; encontrada, 537.2236	^{1}H RMN (400 MHz, $CDCl_3$) δ 8.51 (d, *J* = 8.7 Hz, 1H), 8.29 (d, *J* = 5.4 Hz, 1H), 7.29 - 7.23 (m, 4H), 7.04 - 6.87 (m, 7H), 5.46 - 5.36 (m, 1H), 4.72 - 4.62 (m, 2H), 4.26 - 4.13 (m, 2H), 3.93 - 3.87 (m, 3H), 2.41 - 2.35 (m, 3H), 1.95 - 1.82 (m, 1H), 1.81 - 1.66 (m, 1H), 1.43 (d, *J* = 6.5 Hz, 3H), 0.97 - 0.83 (m, 3H)
490	- - -	- - -	ESIMS *m/z* 621 ($[M+H]^+$)	^{1}H RMN (400 MHz, $CDCl_3$) δ 8.38 (d, *J* = 7.8 Hz, 1H), 8.25 (d, *J* = 5.3 Hz, 1H), 7.31 - 7.23 (m, 4H), 7.22 - 7.13 (m, 6H), 6.92 (d, *J* = 5.4 Hz, 1H), 5.79 - 5.71 (m, 2H), 5.22 (qd, *J* = 7.4, 6 4, 2.3 Hz, 1H), 4.73 (p, *J* = 7.3 Hz, 1H),

*Comp. No.	P.F. (°C)	*1R (cm^{-1})	MASA	RMN (^{1}H, ^{13}C, ^{19}F)
				3.89 (s, 3H), 3.70 (dt, *J* = 8.9, 6.2 Hz, 1H), 3.45 (dt, *J* = 9.0, 6.3 Hz, 1H), 3.37 - 3.31 (m, 1H), 2.99 (dd, *J* = 13.7, 4.3 Hz, 1H), 2.73 - 2.64 (m, 2H), 2.44 (dd, *J* = 13.8, 9.9 Hz, 1H), 2.07 (s, 3H), 1.93 - 1.82 (m, 2H), 1.74 (m, 1H), 1.49 (d, *J* = 7.2 Hz, 3H), 1.39 - 1.26 (m, 2H), 1.33 (d, *J* = 6.4 Hz, 3H), 0.86 (t, *J* = 7.5 Hz, 3H) ^{13}C RMN (101 $CDCl_3$) δ 172.13, 170.28, 162.95, 160.31, 145.68, 144.09, 142.41, 142.04, 141.48, 129.17, 128.40, 128.33, 128.22, 125.78, 125.68, 109.58, 89.60, 82.12, 72.88, 71.99, 56.18, 48.31, 43.56, 35.44, 32.49, 32.00, 22.05, 20.89, 18.49, 15.44, 10.73
491	- - -	- - -	ESIMS *m/z* 591 ($[M+H]^+$)	^{1}H RMN (400 MHz, $CDCl_3$) δ 8.55 (d, *J* = 6.4 Hz, 1H), 8.29 (d, *J* = 5.5 Hz, 1H), 7.31 - 7.22 (m, 4H), 7.21 - 7.12 (m, 6H), 6.97 (d, *J* = 5.5 Hz, 1H), 5.20 (td, *J* = 6.4, 4.6 Hz, 1H), 4.77 - 4.65 (m, 1H), 3.89 (s, 3H), 3.68 (dt, *J* = 8.9, 6.3 Hz, 1H), 3.44 (dt, *J* = 9.0, 6.3 Hz, 1H), 3.36 - 3.29 (m, 1H), 2.98 (dd, *J* = 13.7, 4.3 Hz, 1H), 2.72 - 2.63 (m, 2H),

*Comp. No.	P.F. (°C)	*1R (cm^{-1})	MASA	RMN (^{1}H, ^{13}C, ^{19}F)
				2.44 (dd, *J* = 13.9, 10.0 Hz, 1H), 2.40 (s, 3H), 1.94 - 1.81 (m, 2H), 1.77 - 1.67 (m, 1H), 1.47 (d, *J* = 7.2 Hz, 3H), 1.40 - 1.24 (m, 2H), 1.31 (d, *J* = 6.4 Hz, 3H), 0.85 (t, *J* = 7.5 Hz, 3H) ^{13}C RMN (101 MHz, $CDCl_3$) δ 172.00, 168.92, 162.38, 159.48, 146.65, 142.07, 141.48, 137.55, 129.17, 128.40, 128.32, 128.22, 125.77, 125.68, 109.78, 82.11, 72.96, 71.99, 56.29, 48.12, 43.53, 35.43, 32.50, 32.01, 22.02, 20.78, 18.62, 15.36, 10.68
492	- - -	- - -	HRMS - ESI (*m/z*) $[M]^+$ calculada para $C_{26}H_{32}N_2O_8$, 500.2159; encontrada, 500.2165	^{1}N RMN (500 MHz, $CDCl_3$) δ 8.31 - 8.22 (m, 2H), 7.36 - 7.20 (m, 5H), 6.94 (d, *J* = 5.4 Hz, 1H), 5.78 - 5.68 (m, 2H), 5.12 (h, *J* = 6.4 Hz, 1H), 4.68 - 4.55 (m, 1H), 4.33 (d, *J* = 6.4 Hz, 1H), 3.90 (s, 3H), 3.19 (dd, *J* = 6.8, 2.4 Hz, 2H), 2.06 (s, 3H), 1.35 (d, *J* = 6.3 Hz, 3H), 1.17 (d, *J* = 7.1 Hz, 3H), 1.01 (ttt, *J* = 8.0, 6.7, 4.9 Hz, 1H), 0.54 - 0.41 (m, 2H), 0.19 - 0.04 (m, 2H) ^{13}C RMN (126 MHz, $CDCl_3$) δ 172.03, 170.27, 162.86, 160.26, 145.68,

*Comp. No.	P.F. (°C)	*1R (cm^{-1})	MASA	RMN (^{1}H, ^{13}C, ^{19}F)
				143.97, 142.51, 138.81, 128.21, 127.95, 127.60, 109.52, 89.56, 83.08, 74.22, 73.75, 56.17, 48.08, 20.87, 18.13, 16.07, 10.59, 3.17, 2.71
493	- - -	- - -	HRMS - ESI (*m/z*) $[M]^+$ calculada para $C_{23}H_{34}N_2O_8$, 466.2315; encontrada, 466.2321	^{1}H RMN (500 MHz, $CDCl_3$) δ 8.37 (d, *J* = 7.7 Hz, 1H), 8.28 (dd, *J* = 5.4, 1.9 Hz, 1H), 6.95 (d, *J* = 5.4 Hz, 1H), 5.79 - 5.71 (m, 2H), 5.13 (qd, *J* = 6.5, 3.8 Hz, 1H), 4.77 - 4.64 (m, 1H), 3.91 (s, 3H), 3.51 (dd, *J* = 9.8, 6.9 Hz, 1H), 3.27 (dd, *J* = 9.8, 6.8 Hz, 1H), 3.04 (dd, *J* = 7.2, 3.7 Hz, 1H), 2.08 (s, 3H), 1.72 (dp, *J* = 13.5, 6.8 Hz, 1H), 1.51 (d, *J* = 7.2 Hz, 3H), 1.27 (d, *J* = 6.4 Hz, 3H), 1.11 - 0.99 (m, 1H), 0.96 (dd, 16.8, 6.7 Hz, 6H), 0.55 - 0.43 (m, 2H), 0.23 - 0.09 (m, 2H) ^{13}C RMN (126 MHz, $CDCl_3$) δ 172.13, 170.29, 162.94, 160.33, 145.69, 144.10, 142.39, 109.56, 89.61, 86.08, 77.79, 73.59, 56.19, 48.29, 30.51, 20.89, 19.59, 18.67, 18.42, 14.43, 11.10, 2.95, 2.82
494	- - -	- - -	HRMS - ESI (*m/z*) ($[M+H]^+$) calculada	^{1}H RMN (500 MHz, $CDCl_3$) δ 8.50 (s, 1H), 8.31 (d, *J* = 5.4 Hz, 1H), 7.21

*Comp. No.	P.F. (°C)	*1R (cm^{-1})	MASA	RMN (^{1}H, ^{13}C, ^{19}F)
			para $C_{33}H_{41}N_2O_9$, 609.2807; encontrada, 609.2814	(ddq, *J* = 9.1, 4.3, 2.1 Hz, 2H), 7.07 (d, *J* = 8.6 Hz, 2H), 6.99 (d, *J* = 5.5 Hz, 1H), 6.93 - 6.89 (m, 1H), 6.89 - 6.85 (m, 2H), 6.84 - 6.80 (m, 2H), 5.32 (p, *J* = 6.4 Hz, 1H), 4.67 (p, *J* = 7.2 Hz, 1H), 4.49 (dd, *J* = 5.5, 4.3 Hz, 1H), 3.91 (s, 3H), 3.79 (s, 3H), 3.33 (dt, *J* = 9.7, 6.7 Hz, 1H), 3.27 (dt, *J* = 9.6, 6.6 Hz, 1H), 3.19 (s, 3H), 2.98 (dd, ___ 14.0, 5.0 Hz, 1H), 2.51 (dd, *J* = 14.0, 9.6 Hz, 1H), 2.39 (s, 3H), 2.12 (dt, *J* = 11.0, 5.9 Hz, 1H), 1.67 (dq, *J* = 13.5, 6.7 Hz, 1H), 1.60 - 1.51 (m, 1H), 1.37 (d, *J* = 7.2 Hz, 3H), 1.35 (d, *J* = 6.4 Hz, 3H) ^{13}C RMN (126 MHz, $CDCl_3$) δ 171.96, 168.92, 162.37, 159.46, 159.21, 157.89, 146.66, 141.46, 137.52, 132.54, 130.13, 129.51, 121.09, 115.95, 113.77, 109.75, 80.14, 72.04, 70.68, 58.42, 56.29, 55.26, 48.04, 39.55, 35.12, 29.54, 20.76, 18.35, 16.30
495	- - -	- - -	HRMS - ESI (*m/z*) ($[M+H]^+$) calculada para $C_{32}H_{38}FN_2O_8$,	^{1}H RMN (500 MHz, $CDCl_3$) δ 8.49 (s, 1H), 8.30 (d, *J* = 5.4 Hz, 1H), 7.22 (tt, *J* = 7.5, 2.3 Hz, 2H), 7.14 - 7.08 (m,

*Comp. No.	P.F. (°C)	*1R (cm^{-1})	MASA	RMN (^{1}H, ^{13}C, ^{19}F)
			597.2607; encontrada, 597.2609	2H), 6.99 (d, *J* = 5.5 Hz, 1H), 6.97 - 6.90 (m, 3H), 6.89 - 6.85 (m, 2H), 5.32 (p, *J* = 6.3 Hz, 1H), 4.67 (p, *J* = 7.2 Hz, 1H), 4.48 (dd, *J* = 5.6, 4.2 Hz, 1H), 3.91 (s, 3H), 3.32 (dt, *J* = 9.6, 6.6 Hz, 1H), 3.26 (dt, *J* = 9.6, 6.5 Hz, 1H), 3.18 (d, *J* = 1.7 Hz, 3H), 3.02 (dd, *J* = 14.0, 4.8 Hz, 1H), 2.54 (dd, *J* = 14.0, 9.6 Hz, 1H), 2.39 (s, 3H), 2.13 (dq, *J* = 9.5, 4.7 Hz, 1H), 1.66 (dq, *J* = 13.4, 6.5 Hz, 1H), 1.58 - 1.49 (m, 1H), 1.37 (d, *J* = 7.2 Hz, 3H), 1.35 (d, *J* = 6.4 Hz, 3H) ^{13}C RMN (126 MHz, $CDCl_3$) δ 171.96, 168.91, 162.38, 161.35 (d, *J* = 243.6 Hz), 159.47, 159.14, 146.65, 141.42, 137.54, 136.24 (d, *J* = 3.2 Hz), 130.56 (d, *J* = 7.7 Hz), 129.55, 121.20, 115.92, 115.08 (d, *J* = 21.1 Hz), 109.77, 80.07, 71.90, 70.54, 58.43, 56.30, 48.03, 39.39, 35.18, 29.57, 20.75, 16.32
496	- - -	- - -	HRMS - ESI (*m/z*) ($[M+H]^+$) calculada para $C_{30}H_{40}FN_2O_9$, 591.2712;	^{1}H RMN (500 MHz, $CDCl_3$) δ 8.51 (s, 1H), 8.30 (d, *J* = 5.4 Hz, 1H), 7.12 - 7.04 (m, 2H), 7.01 - 6.90 (m, 3H), 5.33 - 5.21 (m, 1H), 5.14 (dd, *J* = 5.9,

*Comp. No.	P.F. (°C)	*1R (cm^{-1})	MASA	RMN (^{1}H, ^{13}C, ^{19}F)
			encontrada, 591.2719	4.7 Hz, 1H), 4.70 (p, *J* = 7.2 Hz, 1H), 3.90 (s, 3H), 3.36 - 3.28 (m, 1H), 3.28 - 3.22 (m, 1H), 3.18 (s, 3H), 2.90 (dd, *J* = 14.0, 3.9 Hz, 1H), 2.58 (p, *J* = 7.0 Hz, 1H), 2.39 (s, 3H), 2.35 (dd, *J* = 14.5, 10.8 Hz, 1H), 2.14 - 2.03 (m, 1H), 1.55 - 1.50 (m, 1H), 1.49 (d, *J* = 7.2 Hz, 3H), 1.41 (dq, *J* = 14.1, 6.3 Hz, 1H), 1.27 (d, *J* = 6.4 Hz, 3H), 1.20 (d, *J* = 7.0 Hz, 6H) ^{13}C RMN (126 MHz, $CDCl_3$) δ 176.34, 171.93, 168.91, 162.40, 161.36 (d, *J* = 243.8 Hz), 159.46, 146.65, 141.40, 137.53, 135.81 (d, *J* = 3.2 Hz), 130.40 (d, *J* = 7.7 Hz), 115.12 (d, *J* = 21.1 Hz), 109.77, 74.30, 70.45, 69.69, 58.45, 56.29, 47.98, 37.37, 34.99, 34.25, 29.47, 20.75, 19.07, 15.68
497	- - -	- - -	HRMS - ESI (*m/z*) ($[M+H]^+$) calculada para $C_{34}H_{43}N_2O_{10}$, 639.2912; encontrada, 639.2916	^{1}H RMN (500 MHz, $CDCl_3$) δ 8.33 (d, *J* = 7.7 Hz, 1H), 8.26 (d, *J* = 5.4 Hz, 1H), 7.22 (td, *J* = 7.4, 2.0 Hz, 2H), 7.08 (d, *J* = 8.6 Hz, 2H), 6.94 (d, *J* = 5.4 Hz, 1H), 6.93 - 6.89 (m, 1H), 6.89 - 6.86 (m, 2H), 6.84 - 6.79 (m, 2H), 5.75 (d, *J* = 6.4 Hz, 1H), 5.73 (d, *J* = 6.4 Hz, 1H), 5.34 (p, *J* = 6.3 Hz, 1H),

*Comp. No.	P.F. (°C)	*1R (cm^{-1})	MASA	RMN (^{1}H, ^{13}C, ^{19}F)
				4.68 (p, *J* = 7.2 Hz, 1H), 4.50 (dd, *J* = 5.5, 4.3 Hz, 1H), 3.91 (s, 3H), 3.79 (s, 3H), 3.33 (dt, *J* = 9.4, 6.6 Hz, 1H), 3.27 (dt, *J* = 9.6, 6.6 Hz, 1H), 3.19 (s, 3H), 2.99 (dd, *J* = 13.9, 5.0 Hz, 1H), 2.52 (dd, *J* = 14.0, 9.6 Hz, 1H), 2.13 (dd, *J* = 11.3, 5.5 Hz, 1H), 2.07 (s, 3H), 1.68 (dq, *J* = 13.5, 6.7 Hz, 1H), 1.58 (d, *J* = 5.6 Hz, 1H), 1.39 (d, *J* = 7.2 Hz, 3H), 1.36 (d, *J* = 6.4 Hz, 3H) ^{13}C RMN (126 MHz, $CDCl_3$) δ 172.09, 170.29, 162.96, 160.30, 159.22, 157.89, 145.70, 144.07, 142.41, 132.54, 130.13, 129.51, 121.09, 115.96, 113.77, 109.56, 99.98, 89.59, 80.15, 72.01, 70.67, 58.43, 56.18, 55.26, 48.25, 39.54, 35.13, 29.54, 20.89, 18.19, 16.31
498	- - -	- - -	HRMS - ESI (*m/z*) ($[M+H]^+$) calculada para $C_{33}H_{40}FN_2O_9$, 627.2712; encontrada, 627.2722	^{1}H RMN (500 MHz, $CDCl_3$) δ 8.31 (d, *J* = 7.7 Hz, 1H), 8.25 (d, *J* = 5.4 Hz, 1H), 7.23 (dd, *J* = 8.7, 7.4 Hz, 2H), 7.15 - 7.07 (m, 2H), 7.00 - 6.85 (m, 6H), 5.74 (d, *J* = 6.4 Hz, 1H), 5.73 (d, *J* = 6.4 Hz, 1H), 5.33 (p, *J* = 6.3 Hz, 1H), 4.68 (p, *J* = 7.2 Hz, 1H), 4.49 (dd, *J* = 5.6, 4.2 Hz, 1H), 3.91 (s, 3H),

*Comp. No.	P.F. (°C)	*1R (cm^{-1})	MASA	RMN (^{1}H, ^{13}C, ^{19}F)
				3.33 (dt, *J* = 9.4, 6.6 Hz, 1H), 3.26 (dt, *J* = 9.6, 6.4 Hz, 1H), 3.19 (s, 3H), 3.03 (dd, *J* = 14.0, 4.8 Hz, 1H), 2.55 (dd, *J* = 14.0, 9.7 Hz, 1H), 2.14 (ddd, *J* = 12.2, 10.0, 5.3 Hz, 1H), 2.07 (s, 3H), 1.67 (dq, *J* = 13.4, 6.5 Hz, 1H), 1.56 - 1.50 (m, 1H), 1.39 (d, *J* = 7.2 Hz, 3H), 1.36 (d, *J* = 6.4 Hz, 3H) ^{13}C RMN (126 MHz, $CDCl_3$) δ 172.09, 170.30, 162.97, 161.35 (d, *J* = 243.8 Hz), 160.31, 159.17, 145.69, 144.09, 142.35, 136.24 (d, *J* = 3.2 Hz), 130.56 (d, *J* = 7.7 Hz), 129.56, 121.21, 115.93, 115.09 (d, *J* = 21.0 Hz), 109.58, 89.57, 80.08, 71.88, 70.52, 58.44, 56.19, 48.24, 39.39, 35.18, 29.58, 20.88, 18.14, 16.32
499	- - -	- - -	HRMS - ESI (*m/z*) ($[M+H]^+$) calculada para $C_{31}H_{42}FN_2O_{10}$, 621.2818; encontrada, 621.2830	^{1}H RMN (500 MHz, $CDCl_3$) δ 8.34 (d, *J* = 7.8 Hz, 1H), 8.26 (d, *J* = 5.4 Hz, 1H), 7.11 - 7.04 (m, 2H), 6.98 - 6.89 (m, 3H), 5.75 (d, *J* = 6.4 Hz, 1H), 5.73 (d, *J* = 6.4 Hz, 1H), 5.32 - 5.25 (m, 1H), 5.19 - 5.12 (m, 1H), 4.71 (p, *J* = 7.2 Hz, 1H), 3.91 (s, 3H), 3.32 (dt, *J* = 9.5, 6.9 Hz, 1H), 3.26 (dp, *J* = 10.3, 3.8 Hz, 1H), 3.19 (s, 3H), 2.91 (dd, *J* =

*Comp. No.	P.F. (°C)	*1R (cm^{-1})	MASA	RMN (^{1}H, ^{13}C, ^{19}F)
				14.0, 3.9 Hz, 1H), 2.58 (p, *J* = 7.0 Hz, 1H), 2.35 (dd, *J* = 14.0, 10.2 Hz, 1H), 2.13 - 2.04 (m, 4H), 1.53 (dd, *J* = 6.4, 4.0 Hz, 1H), 1.51 (d, *J* = 7.2 Hz, 3H), 1.43 (dt, *J* = 14.1, 7.0 Hz, 1H), 1.29 (d, *J* = 6.4 Hz, 3H), 1.21 (d, *J* = 7.0 Hz, 6H) ^{13}C RMN (126 MHz, $CDCl_3$) δ 176.36, 172.05, 170.30, 163.01, 161.37 (d, *J* = 243.8 Hz), 160.31, 145.70, 144.08, 142.35, 135.80 (d, *J* = 3.3 Hz), 130.40 (d, *J* = 7.8 Hz), 115.14 (d, *J* = 21.1 Hz), 109.58, 89.58, 74.33, 70.45, 69.67, 58.45, 56.19, 48.21, 37.41, 35.02, 34.26, 29.46, 29.28, 20.89, 19.08, 18.28, 15.65
500	- - -	- - -	HRMS - ESI (*m/z*) $[M]^+$ calculada para $C_{28}H_{30}N_2O_8$, 522.2002; encontrada, 522.2005	^{1}H RMN (500 MHz, $CDCl_3$) δ 8.32 - 8.26 (m, 1H), 8.24 (d, *J* = 5.4 Hz, 1H), 7.44 - 7.21 (m, 5H), 7.22 - 7.08 (m, 2H), 6.94 - 6.89 (m, 1H), 6.89 - 6.78 (m, 3H), 5.77 - 5.67 (m, 2H), 5.33 - 5.25 (m, 1H), 5.21 (d, *J* = 5.1 Hz, 1H), 4.66 (p, *J* = 7.2 Hz, 1H), 3.90 (s, 3H), 2.06 (s, 3H), 1.39 (d, *J* = 6.4 Hz, 3H), 1.26 (d, *J* = 7.2 Hz, ^{13}C RMN (126 MHz, $CDCl_3$) δ 172.22,

*Comp. No.	P.F. (°C)	*1R (cm^{-1})	MASA	RMN (^{1}H, ^{13}C, ^{19}F)
				170.27, 162.94, 160.26, 157.88, 145.68, 144.00, 142.41, 137.59, 129.33, 128.50, 128.14, 126.98, 121.15, 115.97, 109.55, 89.55, 81.23, 74.29, 56.17, 48.12, 20.87, 18.18, 15.10
501	- - -	- - -	HRMS - ESI (*m/z*) $[M]^+$ calculada para $C_{27}H_{28}N_2O_7$, 492.1897; encontrada, 492.1900	^{1}H RMN (500 MHz, $CDCl_3$) δ 8.50 - 8.42 (m, 1H), 8.33 - 8.23 (m, 1H), 7.42 - 7.35 (m, 2H), 7.34 - 7.20 (m, 3H), 7.20 7.11 (m, 2H), 7.01 - 6.92 (m, 1H), 6.90 - 6.76 (m, 3H), 5.32 - 5.16 (m, 2H), 4.64 (t, *J* = 10.1, 5.1 Hz, 1H), 3.86 (s, 3H), 2.38 (s, 3H), 1.38 (d, *J* = 6.3 Hz, 3H), 1.24 (d, *J* = 7.2 Hz, 3H) ^{13}C RMN (126 MHz, $CDCl_3$) δ 172.08, 168.87, 162.36, 159.40, 157.85, 146.63, 141.41, 137.54, 137.45, 129.32, 128.49, 128.13, 126.97, 121.15, 115.96, 109.76, 81.19, 74.29, 56.24, 47.89, 20.74, 15.09
502	- - -	3380, 2956, 1739, 1677, 1493, 1235	HRMS - ESI (*m/z*) $[M]^+$ calculada para $C_{30}H_{42}N_2O_8$, 558.2941;	^{1}H RMN (400 MHz, $CDCl_3$) δ 8.29 - 8.22 (m, 2H), 7.25 - 7.17 (m, 2H), 6.97 - 6.85 (m, 4H), 5.76 - 5.70 (m, 2H), 5.28 - 5.18 (m, 1H), 4.65 - 4.55

*Comp. No.	P.F. (°C)	*1R (cm^{-1})	MASA	RMN (^{1}H, ^{13}C, ^{19}F)
			encontrada, 558.2944	(m, 1H), 4.43 (dd, *J* = 6.2, 4.5 Hz, 1H), 3.91 (s, 3H), 2.07 (s, 3H), 1.68 - 1.29 (m, 6H), 1.36 (d, *J* = 6.4 Hz, 3H), 1.26 - 1.14 (m, 2H), 1.23 (d, *J* = 7.2 Hz, 3H), 0.92 - 0.80 (m, 9H)
503	- - -	3381, 2956, 2934, 1737, 1678, 1504, 1202	HRMS - ESI (*m/z*) $[M]^+$ calculada para $C_{28}H_{44}N_2O_8$, 536.3098; encontrada, 536.3102	^{1}H RMN (400 MHz, $CDCl_3$) δ 8.38 (d, *J* = 7.8 Hz, 1H), 8.28 (d, *J* = 5 4 Hz, 1H), 6.95 (d, *J* = 5.4 Hz, 1H), 5.80 - 5.70 (m, 2H), 5.20 - 5.09 (m, 1H), 4.77 - 4.67 (m, 1H), 3.91 (s, 3H), 3.50 (dd, *J* = 9.8, 6.8 Hz, 1H), 3.30 - 3.21 (m, 2H), 2.08 (s, 3H), 1.63 - 1.44 (m, 2H), 1.51 (d, *J* = 7.2 Hz, 3H), 1.41 - 1.22 (m, 4H), 1.28 (d, *J* = 6.4 Hz, 3H), 1.21 - 1.09 (m, 2H), 1.09 - 0.98 (m, 1H), 0.91 - 0.81 (m, 9H), 0.53 - 0.43 (m, 2H), 0.18 - 0.12 (m, 2H)
504	- - -	3390, 2956, 2931, 1737, 1680, 1508, 1367	HRMS - ESI (*m/z*) $[M]^+$ calculada para $C_{27}H_{42}N_2O_7$, 506.2992; encontrada, 506.2989	^{1}H RMN (400 MHz, $CDCl_3$) δ 8.63 - 8.47 (m, 1H), 8.33 (d, *J* = 5.4 Hz, 1H), 7.00 (d, *J* = 5.5 Hz, 1H), 5.18 - 5.08 (m, 1H), 4.76 - 4.64 (m, 1H), 3.91 (s, 3H), 3.49 (dd, *J* = 9.8, 6.8 Hz, 1H), 3.28 - 3.20 (m, 2H), 2.40 (s, 3H), 1.63 - 1.43 (m, 2H), 1.49 (d, *J* = 7.2 Hz, 3H), 1.41 - 1.21 (m, 4H), 1.27 (d, *J* =

*Comp. No.	P.F. (°C)	*1R (cm^{-1})	MASA	RMN (^{1}H, ^{13}C, ^{19}F)
				6.4 Hz, 3H), 1.19 - 1.08 (m, 2H), 1.08 - 0.97 (m, 1H), 0.93 0.79 (m, 9H), 0.51 - 0.43 (m, 2H), 0.18 - 0.10 (m, 2H)
505	- - -	3384, 2962, 2936, 1755, 1678, 1494, 1237	HRMS - ESI (*m/z*) $[M]^+$ calculada para $C_{29}H_{38}N_2O_9$, 558.2577; encontrada, 558.2584	^{1}H RMN (400 MHz, $CDCl_3$) δ 8.31 - 8.26 (m, 1H), 8.26 (d, *J* = 5.4 Hz, 1H), 7.25 - 7.20 (m, 2H), 7.07 - 7.02 (m, 2H), 6.94 (d, *J* = 5.4 Hz, 1H), 6.94 - 6.88 (m, 1H), 5.77 - 5.70 (m, 2H), 5.41 - 5.33 (m, 1H), 4.68 - 4.59 (m, 1H), 4.48 (dd, *J* = 5.2, 4.4 Hz, 1H), 3.91 (s, 3H), 3.73 - 3.65 (m, 1H), 3.36 - 3.28 (m, 1H), 2.82 (dd, *J* = 8.6, 4.3 Hz, 1H), 2.07 (s, 3H), 1.60 - 1.49 (m, 2H), 1.38 (d, *J* = 6.5 Hz, 3H), 1.29 (d, *J* = 7.2 Hz, 3H), 1.02 - 0.92 (m, 1H), 0.86 (t, *J* 7.4 Hz, 3H), 0.71 - 0.62 (m, 1H), 0.51 - 0.40 (m, 2H), 0.24 - 0.15 (m, 1H)
506	- - -	3381, 2955, 1737, 1678, 1503, 1311, 1202	HRMS - ESI (*m/z*) $[M]^+$ calculada para $C_{28}H_{44}N_2O_8$, 536.3098; encontrada, 536.3105	^{1}H RMN (400 MHz, $CDCl_3$) δ 8.38 (d, *J* = 7.8 Hz, 1H), 8.28 (d, *J* = 5.4 Hz, 1H), 6.95 (d, *J* = 5.4 Hz, 1H), 5.78 - 5.72 (m, 2H), 5.18 - 5.09 (m, 1H), 4.77 - 4.67 (m, 1H), 3.91 (s, 3H), 3.55 - 3.48 (m, 1H), 3.28 - 3.22 (m, 2H),

*Comp. No.	P.F. (°C)	*1R (cm^{-1})	MASA	RMN (^{1}H, ^{13}C, ^{19}F)
				2.08 (s, 3H), 1.60 - 1.39 (m, 2H), 1.51 (d, *J* = 7.2 Hz, 3H), 1.39 - 1.23 (m, 4H), 1.28 (d, *J* = 6.4 Hz, 3H), 1.23 - 0.99 (m, 3H), 0.91 - 0.83 (m, 9H), 0.54 - 0.44 (m, 2H), 0.19 - 0.12 (m, 2H)
507	- - -	3093, 2924, 1777, 1731, 1646, 1571, 1180	HRMS - ESI (*m/z*) $[M]^{+}$ calculada para $C_{27}H_{42}N_2O_7$, 506.2992; encontrada, 506.2996	^{1}H RMN (400 MHz, $CDCl_3$) δ 8.60 - 8.50 (m, 1H), 8.33 (d, *J* = 5.4 Hz, 1H), 7.01 (d, *J* = 5.4 Hz, 1H), 5.18 - 5.09 (m, 1H), 4.75 - 4.66 (m, 1H), 3.91 (s, 3H), 3.50 (dd, *J* = 9.9, 6.8 Hz, 1H), 3.29 - 3.20 (m, 2H), 2.40 (s, 3H), 1.66 - 1.39 (m, 2H), 1.49 (d, *J* = 7.1 Hz, 3H), 1.38 - 1.21 (m, 4H), 1.27 (d, *J* = 6.4 Hz, 3H), 1.22 - 0.98 (m, 3H), 0.92 - 0.82 (m, 9H), 0.51 0.44 (m, 2H) 0.17 - 0.12 (m, 2H)
508	- - -	3384, 2941, 1773, 1737, 1679, 1506, 1200	HRMS - ESI (*m/z*) $[M]^{+}$ calculada para $C_{28}H_{42}N_2O_7$, 518.2992; encontrada, 518.2999	^{1}H RMN (400 MHz, $CDCl_3$) δ 8.63 - 8.47 (m, 1H), 8.33 (d, *J* = 5.4 Hz, 1H), 7.00 (d, *J* = 5.5 Hz, 1H), 5.16 - 5.06 (m, 1H), 4.75 - 4.65 (m, 1H), 3.91 (s, 3H), 3.47 (dd, *J* = 9.8, 6.8 Hz, 1H), 3.30 - 3.22 (m, 2H), 2.40 (s, 3H), 1.87 - 1.52 (m, 6H), 1.49 (d, *J* = 7.2 Hz, 3H), 1.48 - 1.18 (m, 6H), 1.28 (d, *J* =

*Comp. No.	P.F. (°C)	*1R (cm^{-1})	MASA	RMN (^1H, ^{13}C, ^{19}F)
				6.4 Hz, 3H), 1.13 - 0.93 (m, 3H), 0.89 (t, *J* = 7.1 Hz, 3H), 0.52 - 0.43 (m, 2H), 0.19 - 0.11 (m, 2H)
509	- - -	3380, 2939, 1737, 1678, 1503, 1202	HRMS - ESI (*m/z*) $[M]^+$ calculada para $C_{29}H_{44}N_2O_8$, 548.3098; encontrada, 548.3106	^1H RMN (400 MHz, $CDCl_3$) δ 8.38 (d, *J* = 7.8 Hz, 1H), 8.28 (d, *J* = 5.4 Hz, 1H), 6.95 (d, *J* = 5.4 Hz, 1H), 5.79 - 5.71 (m, 2H), 5.17 - 5.07 (m, 1H), 4.77 - 4.67 (m, 1H), 3.91 (s, 3H), 3.48 (dd, *J* = 9.8, 6.8 Hz, 1H), 3.32 - 3.22 (m, 2H), 2.08 (s, 3H), 1.88 - 1.54 (m, 6H), 1.51 (d, *J* = 7.1 Hz, 3H), 1.50 - 1.23 (m, 6H), 1.29 (d, *J* = 6.3 Hz, 3H), 1.15 - 0.95 (m, 3H), 0.90 (t, *J* = 7.0 Hz, 3H), 0.52 - 0.45 (m, 2H), 0.19 - 0.13 (m, 2H)
510	- - -	3383, 2967, 2937, 2878, 1738, 1676	HRMS - ESI (*m/z*) ($[M+H]^+$) calculada para $C_{28}H_{38}N_2O_9$, 547.2650; encontrada, 547.2660	^1H RMN (400 MHz, $CDCl_3$) δ 8.32 (d, *J* = 7.8 Hz, 1H), 8.27 (d, *J* = 5.4 Hz, 1H), 7.30 - 7.19 (m, 2H), 6.97 - 6.90 (m, 4H), 5.74 (d, *J* = 1.2 Hz, 2H), 5.16 (qd, *J* = 6.4, 4.3 Hz, 1H), 4.73 - 4.64 (m, 1H), 4.28 - 4.19 (m, 1H), 3.91 (s, 3H), 3.66 3.45 (m, 3H), 2.07 (s, 3H), 1.88 - 1.76 (m, 1H), 1.76 - 1.65 (m, 1H), 1.62 - 1.50 (m, 2H), 1.42 (d, *J* = 7.2 Hz, 3H), 1.36 (d, *J* = 6.4 Hz, 3H),

*Comp. No.	P.F. (°C)	*1R (cm^{-1})	MASA	RMN (^{1}H, ^{13}C, ^{19}F)
				1.00 (t, *J* = 7.4 Hz, 3H), 0.87 (t, *J* = 7.4 Hz, 3H)
511	- - -	3382, 2967, 2937, 2978, 1771, 1736, 1677	HRMS - ESI (*m/z*) ($[M+H]^+$) calculada para $C_{27}H_{36}N_2O_8$, 517.2544; encontrada, 517.2546	^{1}H RMN (400 MHz, $CDCl_3$) δ 8.49 (d, *J* = 7.8 Hz, 1H), 8.32 (d, *J* = 5.4 Hz, 1H), 7.30 - 7.18 (m, 2H), 7.00 (d, *J* = 5.4 Hz, 1H), 6.96 - 6.86 (m, 3H), 5.15 (qd, *J* = 6.4, 4.2 Hz, 1H), 4.66 (dq, *J* = 8.2, 7.1 Hz, 1H), 4.22 (td, *J* = 6.0, 4.8 Hz, 1H), 3.90 (s, 3H), 3.64 - 3.42 (m, 3H), 2.40 (s, 3H), 1.88 - 1.75 (m, 1H), 1.76 - 1.65 (m, 1H), 1.53 (dtd, *J* = 14.0, 7.4, 6.6 Hz, 2H), 1.41 (d, *J* = 7.1 Hz, 3H), 1.35 (d, *J* = 6.4 Hz, 3H), 0.99 (t, *J* = 7.4 Hz, 3H), 0.86 (t, *J* = 7.4 Hz, 3H)
512	- - -	3383, 2973, 2936, 2878, 1774, 1737, 1677	HRMS - ESI (*m/z*) ($[M+H]^+$) calculada para $C_{30}H_{42}N_2O_{10}$, 591.2912; encontrada, 591.2913	^{1}H RMN (400 MHz, $CDCl_3$) δ 8.33 (d, *J* = 7.8 Hz, 1H), 8.26 (d, 5 4 Hz, 1H), 7.29 - 7.19 (m, 2H), 6.98 - 6.89 (m, 4H), 5.82 (d, *J* = 1.0 Hz, 2H), 5.16 (qd, *J* = 6.4, 4.2 Hz, 1H), 4.72 - 4.63 (m, 1H), 4.27 - 4.17 (m, 1H), 4.10 (s, 2H), 3.90 (s, 3H), 3.65 - 3.47 (m, 5H), 1.88 - 1.76 (m, 1H), 1.75 - 1.65 (m, 1H), 1.59 - 1.49 (m, 2H), 1.42 (d, *J* = 7.2 Hz, 3H), 1.36 (d, *J* = 6.4 Hz, 3H),

*Comp. No.	P.F. (°C)	*1R (cm^{-1})	MASA	RMN (^1H, ^{13}C, ^{19}F)
				1.23 (t, *J* = 7.0 Hz, 3H), 1.00 (t, *J* = 7.4 Hz, 3H), 0.87 (t, *J* = 7.4 Hz, 3H)
513	- - -	- - -	HRMS - ESI (*m/z*) ($[M+H]^+$) calculada para $C_{36}H_{47}N_2O_9$, 651.3276; encontrada, 651.3277	^1H RMN (500 MHz, $CDCl_3$) δ 8.51 (s, 1H), 8.30 (d, *J* = 5.4 Hz, 1H), 7.25 - 7.18 (m, 2H), 7.10 - 7.04 (m, 2H), 6.99 (d, *J* = 5.5 Hz, 1H), 6.96 - 6.85 (m, 3H), 6.85 _ 6.77 (m, 2H), 5.40 - 5.28 (m, 1H), 4.72 - 4.61 (m, 1H), 4.59 (t, *J* = 5.1 Hz, 1H), 3.90 (s, 3H), 3.78 (s, 3H), 3.30 (dt, *J* = 8.9, 6.4 Hz, 1H), 3.22 (dt, *J* = 8.9, 6.6 Hz, 1H), 2.99 (dd, *J* = 13.9, 4.8 Hz, 1H), 2.51 (dd, *J* = 14.0, 9.7 Hz, 1H), 2.39 (s, 3H), 2.16 - 2.08 (m, 1H), 1.64 (dq, *J* = 13.1, 6.6 Hz, 1H), 1.52 (td, *J* = 9.5, 8.3, 5.8 Hz, 1H), 1.36 (d, *J* = 2.2 Hz, 3H), 1.34 (d, *J* = 1.4 Hz, 3H), 1.11 (s, 9H) ^{13}C RMN (126 MHz, $CDCl_3$) δ 171.92, 168.91, 162.34, 159.49, 159.44, 157.83, 146.65, 141.49, 137.50, 132.73, 130.14, 129.43, 120.99, 116.13, 113.73, 109.73, 80.68, 72.55, 72.23, 59.71, 56.28, 55.27, 48.02, 40.08, 35.12, 30.17, 27.50, 20.76, 18.45, 16.07

*Comp. No.	P.F. (°C)	*1R (cm^{-1})	MASA	RMN (^{1}H, ^{13}C, ^{19}F)
514	- - -	- - -	HRMS - ESI (*m/z*) ($[M+H]^+$) calculada para $C_{37}H_{49}N_2O_{10}$, 681.3382, encontrada, 681.3386	^{1}H RMN (500 MHz, $CDCl_3$) δ 8.32 (d, *J* = 7.7 Hz, 1H), 8.26 (d, *J* = 5.4 Hz, 1H), 7.22 (tt, *J* = 7.3, 2.2 Hz, 2H), 7.08 (d, *J* = 8.6 Hz, 2H), 6.95 - 6.87 (m, 4H), 6.83 - 6.76 (m, 2H), 5.79 - 5.69 (m, 2H), 5.36 (p, *J* = 6.2 Hz, 1H), 4.66 (p, *J* = 7.2 Hz, 1H), 4.60 (t, *J* = 5.0 Hz, 1H), 3.91 (s, 3H), 3.79 (s, 3H), 3.30 (dt, *J* = 8.9, 6.4 Hz, 1H), 3.23 (dt, *J* = 8.9, 6.6 Hz, 1H), 3.00 (dd, *J* = 13.9, 4.7 Hz, 1H), 2.52 (dd, *J* = 13.9, 9.7 Hz, 1H), 2.12 (dt, *J* = 10.1, 4.6 Hz, 1H), 2.07 (s, 3H), 1.64 (dq, *J* = 13.1, 6.5 Hz, 1H), 1.56 - 1.48 (m, 1H), 1.37 (d, *J* = 3.8 Hz, 3H), 1.36 (d, *J* = 3.0 Hz, 3H), 1.11 (s, 9H) ^{13}C RMN (126 MHz, $CDCl_3$) δ 172.04, 170.29, 162.93, 160.29, 159.51, 157.84, 145.70, 144.03, 142.47, 132.74, 130.14, 129.43, 121.00, 116.15, 113.73, 109.54, 89.59, 80.69, 72.56, 72.21, 59.70, 56.18, 55.27, 48.23, 40.07, 35.14, 30.19, 27.50, 20.89, 18.29, 16.08
515	- - -	3382, 2959, 2938, 2873,	HRMS - ESI (*m/z*) ($[M+H]^+$) calculada	^{1}H RMN (500 MHz, $CDCl_3$) δ 8.38 (d, *J* = 7.9 Hz, 1H), 8.22 (d, *J* = 5.4 Hz,

*Comp. No.	P.F. (°C)	*1R (cm^{-1})	MASA	RMN (^{1}H, ^{13}C, ^{19}F)
		2248, 1737, 1676, 1578, 1503, 1454, 1437, 1366, 1310, 1274, 1236, 1201, 1180, 1156, 1100, 1043, 1003, 968, 914, 830, 807, 786, 732, 698, 646, 594	para $C_{26}H_{35}N_2O_8$, 503.2388; encontrada, 503.2400	1H), 7.35 - 7.28 (m, 4H), 7.28 - 7.21 (m, 1H), 6.92 (d, *J* = 5.4 Hz, 1H), 5.74 (d, *J* = 0.7 Hz, 2H), 5.13 (qd, 6 5, 3.0 Hz, 1H), 4.80 - 4.71 (m, 1H), 4.69 (d, *J* = 11.4 Hz, 1H), 4.47 (d, *J* = 11.4 Hz, 1H), 3.89 (s, 3H), 3.50 (ddd, *J* = 8.4, 4.0, 3.0 Hz, 1H), 2.07 (s, 3H), 1.59 - 1.31 (m, 3H), 1.52 (d, *J* = 7.2 Hz, 3H), 1.29 (d, *J* = 6.5 Hz, 3H), 1.25 (s, 1H), 0.90 (t, *J* = 7.1 Hz, 3H)
516	- - -	3383, 2983, 2940, 2249, 1738, 1675, 1578, 1503, 1454, 1437, 1366, 1310, 1274, 1236, 1201, 1180, 1154, 1101, 1042, 1003, 969, 914, 830, 807, 785, 731,	HRMS - ESI (*m/z*) ($[M+H]^+$) calculada para $C_{26}H_{33}N_2O_8$, 501.2231; encontrada, 501.2235	^{1}H RMN (500 MHz, $CDCl_3$) δ 8.37 (d, *J* = 7.7 Hz, 1H), 8.23 (d, *J* = 5.4 Hz, 1H), 7.35 - 7.29 (m, 4H), 7.29 - 7.23 (m, 1H), 6.92 (d, *J* = 5.4 Hz, 1H), 5.85 (ddt, *J* = 17.1, 10.2, 7.0 Hz, 1H), 5.74 (d, 0.8 Hz, 2H), 5.16 - 5.02 (m, 3H), 4.74 (p, *J* = 7.3 Hz, 1H), 4.64 (d, *J* = 11.5 Hz, 1H), 4.54 (d, *J* = 11.5 Hz, 1H), 3.89 (s, 2H), 3.57 (ddd, *J* = 7.2, 5.2, 3.6 Hz, 1H), 2.41 - 2.24 (m, 2H), 2.07 (s, 3H), 1.51 (d, *J* = 7.2 Hz, 3H), 1.31 (d, *J* = 6.5 Hz, 3H), 1.28 - 1.18 (m, 1H)

*Comp. No.	P.F. (°C)	*1R (cm^{-1})	MASA	RMN (^{1}H, ^{13}C, ^{19}F)
		698, 646		
517	- - -	3382, 2979, 2939, 1773, 1737, 1676, 1579, 1503, 1454, 1437, 1401, 1378, 1350, 1310, 1273, 1209, 1158, 1126, 1097, 1060, 1028, 959, 918, 831, 807, 786, 735, 699, 594, 576, 546	HRMS - ESI (*m/z*) ($[M+H]^+$) calculada para $C_{28}H_{37}N_2O_9$, 545.2494; encontrada, 545.2497	^{1}H RMN (500 MHz, $CDCl_3$) δ 8.38 (d, *J* = 7.7 Hz, 1H), 8.22 (d, *J* = 5.4 Hz, 1H), 7.38 - 7.29 (m, 4H), 7.29 - 7.24 (m, 1H), 6.92 (d, *J* = 5.4 Hz, 1H), 5.90 - 5.79 (m, 3H), 5.16 - 5.01 (m, 3H), 4.77 - 4.67 (m, 1H), 4.64 (d, *J* = 11.5 Hz, 1H), 4.54 (d, *J* = 11.5 Hz, 1H), 4.10 (s, 2H), 3.89 (s, 2H), 3.65 - 3.53 (m, 3H), 2.40 - 2.23 (m, 2H), 1.51 (d, *J* = 7.1 Hz, 3H), 1.31 (d, *J* = 6.5 Hz, 3H), 1.27 - 119 (m, 4H)
518	- - -	3383, 2958, 2937, 2873, 2248, 1771, 1735, 1677, 1590, 1572, 1507, 1453, 1436, 1366, 1310, 1276,	HRMS - ESI (*m/z*) ($[M+H]^+$) calculada para $C_{25}H_{33}N_2O_7$, 473.2282, encontrada, 473.2284	^{13}C RMN (126 MHz, $CDCl_3$) δ 172.12, 168.90, 162.39, 159.43, 146.64, 141.44, 138.60, 137.50, 128.27, 127.75, 127.51, 109.74, 80.57, 73.74, 72.77, 56.27, 48.11, 33.21, 29.27, 20.76, 18.99, 14.61, 14.08

*Comp. No.	P.F. (°C)	*1R (cm^{-1})	MASA	RMN (^{1}H, ^{13}C, ^{19}F)
		1200, 1175, 1098, 1061, 1010, 953, 907, 827, 803, 732, 698, 647 574		
519	- - -	3383, 2982, 2940, 2248, 1770, 1736, 1676, 1642, 1590, 1572, 1507, 1453, 1435, 1366, 1310, 1276, 1199, 1075, 1099, 1060, 1009, 953, 909, 827, 803, 732, 698, 647, 594	HRMS - ESI (*m/z*) ($[M+H]^+$) calculada para $C_{25}H_{31}N_2O_7$, 471.2126, encontrada, 471.2131	^{1}H RMN (500 MHz, $CDCl_3$) δ 8.63 - 8.43 (m, 1H), 8.27 (d, *J* = 5.4 Hz, 1H), 7.38 - 7.22 (m, 5H), 6.96 (d, *J* = 5.4 Hz, 1H), 5.84 (ddt, *J* = 17.2, 10.2, 7.0 Hz, 1H), 5.16 - 5.02 (m, 3H), 4.76 - 4.68 (m, 1H), 4.63 (d, *J* = 11.5 Hz, 1H), 4.53 (d, *J* = 11.4 Hz, 1H), 3.88 (s, 3H), 3.56 (ddd, *J* = 7.3, 5.3, 3.6 Hz, 1H), 2.39 (s, 3H), 2.37 2.23 (m, 2H), 1.50 (d, *J* = 7.2 Hz, 3H), 1.29 (d, *J* = 6.5 Hz, 3H)
520	- - -	3381, 2984, 2938, 1739, 1675	HRMS - ESI (*m/z*) ($[M+H]^+$) calculada para $C_{23}H_{28}N_2O_8$, 461.1918;	^{1}H RMN (400 MHz, $CDCl_3$) δ 8.35 (d, *J* = 7.8 Hz, 1H), 8.27 (d, *J* = 5.4 Hz, 1H), 7.39 - 7.26 (m, 5H), 6.94 (d, *J* = 5.4 Hz, 1H), 5.75 (d, *J* = 0.8 Hz, 2H),

*Comp. No.	P.F. (°C)	*1R (cm^{-1})	MASA	RMN (^{1}H, ^{13}C, ^{19}F)
			encontrada, 161.1920	5.21 (pd, *J* = 6.5, 4.1 Hz, 1H), 4.78 - 4.68 (m, 1H), 4.54 (d, *J* = 5.9 Hz, 2H), 3.91 (s, 3H), 3.63 - 3.46 (m, 2H), 2.07 (s, 3H), 1.51 (d, *J* = 7.2Hz, 3H), 1.29 Hz, 3H)
521	- - -	- - -	HRMS - ESI (*m/z*) ($[M+H]^+$) calculada para $C_{18}H_{27}N_2O_7$, 383.1813; encontrada, 383.1815	^{1}H RMN (500 MHz, $CDCl_3$) δ 8.54 (s, 1H), 8.33 (d, *J* = 5.4 Hz, 1H), 7.00 (d, *J* = 5.5 Hz, 1H), 5.15 (td, *J* = 6.5, 4.2 Hz, 1H), 4.71 (p, *J* = 7.2 Hz, 1H), 3.91 (s, 3H), 3.53 - 3.33 (m, 4H), 2.40 (s, 3H), 1.60 - 1.51 (m, 2H), 1.50 (d, *J* = 7.1 Hz, 3H), 1.25 (d, *J* = 6.5 Hz, 3H), 0.89 (t, *J* = 7.4 Hz, 3H) ^{13}C RMN (126 MHz, $CDCl_3$) δ 172.39, 168.93, 162.39, 159.43, 146.67, 141.60, 137.48, 109.71, 73.04, 72.99, 70.67, 56.28, 48.00, 30.94, 22.86, 20.77, 18.73, 16.60, 10.50
522	- - -	- - -	HRMS - ESI (*m/z*) ($[M+H]^+$) calculada para $C_{19}H_{29}N_2O_8$, 413.1918; encontrada, 413.1922	^{1}H RMN (500 MHz, $CDCl_3$) δ 8.36 (d, *J* = 7.7 Hz, 1H), 8.28 (d, *J* = 5.4 Hz, 1H), 6.94 (d, *J* = 5.4 Hz, 1H), 5.75 (d, *J* = 1.3 Hz, 2H), 5.16 (pd, *J* = 6.5, 4.2 Hz, 1H), 4.73 (p, *J* = 7.2 Hz, 1H), 3.91 (s, 3H), 3.50 (dd, *J* = 10.7, 6.6 Hz, 1H), 3.48 - 3.34 (m, 3H), 2.07 (s, 3H),

*Comp. No.	P.F. (°C)	*1R (cm^{-1})	MASA	RMN (^{1}H, ^{13}C, ^{19}F)
				1.63 - 1.53 (m, 2H), 1.52 (d, *J* = 7.2 Hz, 3H), 1.27 (d, *J* = 6.5 Hz, 3H), 0.90 (t, *J* = 7.4 Hz, 3H) ^{13}C RMN (126 MHz, $CDCl_3$) δ 172.51, 170.30, 162.98, 160.27, 145.72, 144.00, 142.58, 109.52, 89.61, 73.04, 73.01, 70.65, 56.17, 48.23, 22.86, 20.89, 18.60, 16.61, 10.50
523	- - -	- - -	HRMS - ESI (*m/z*) ($[M+H]^+$) calculada para $C_{21}H_{33}N_2O_8$, 441.2231; encontrada, 441.2232	^{1}H RMN (500 MHz, $CDCl_3$) δ 8.41 (d, *J* = 7.7 Hz, 1H), 8.27 (d, *J* = 5.4 Hz, 1H), 6.93 (d, *J* = 5.4 Hz, 1H), 5.79 (d, *J* = 6.4 Hz, 1H), 5.77 (d, *J* = 6.4 Hz, 1H), 5.22 - 5.08 (m, 1H), 4.77 - 4.67 (m, 1H), 3.89 (s, 3H), 3.50 (dd, *J* = 10.7, 6.6 Hz, 1H), 3.47 - 3.41 (m, 2H), 3.37 (dt, *J* = 9.2, 6.6 Hz, 1H), 2.55 (hepteto, *J* = 7.0 Hz, 1H), 1.59 - 1.53 (m, 2H), 1.52 (d, *J* = 7.2 Hz, 3H), 1.27 (d, *J* = 6.5 Hz, 3H), 1.15 (d, *J* = 7.0 Hz, 6H), 0.90 (t, *J* = 7.4 Hz, 3H) ^{13}C RMN (126 MHz, $CDCl_3$) δ 176.28, 172.52, 162.96, 160.26, 145.58, 144.24, 142.23, 109.47, 89.98, 73.05, 73.02, 70.65, 56.13, 48.23, 33.87, 22.87, 18.69, 18.61, 16.62, 10.51

*Comp. No.	P.F. (°C)	*1R (cm^{-1})	MASA	RMN (^1H, ^{13}C, ^{19}F)
524	- - -	- - -	HRMS - ESI (*m/z*) ($[M+H]^+$) calculada para C H 21 25 NO2 7, 417.1656; encontrada, 417.1656	^1H RMN (500 MHz, $CDCl_3$) δ 8.53 (s, 1H), 8.32 (d, *J* = 5.4 Hz, 1H), 7.30 - 7.24 (m, 2H), 7.00 (d, *J* = 5.5 Hz, 1H), 6.95 (tt, *J* = 7.5, 1.0 Hz, 1H), 6.92 - 6.87 (m, 2H), 5.34 (pd, *J* = 6 5, 4.4 Hz, 1H), 4.78 - 4.66 (m, 1H), 4.08 - 3.96 (m, 2H), 3.91 (s, 3H), 2.40 (s, 3H), 1.48 (d, *J* = 7.2 Hz, 3H), 1.38 (d, *J* = 6.5 Hz, 3H) ^{13}C RMN (126 MHz, $CDCl_3$) δ 172.41, 168.93, 162.45, 159.44, 158.49, 146.67, 141.53, 137.50, 129.49, 121.10, 114.69, 114.60, 109.74, 69.99, 69.86, 56.28, 48.00, 20.77, 18 66, 16.62
525	- - -	- - -	HRMS - ESI (*m/z*) ($[M+H]^+$) calculada para $C_{22}H_{27}N_2O_8$, 447.1762; encontrada, 447.1768	^1H RMN (500 MHz, $CDCl_3$) δ 8.34 (d, *J* = 7.6 Hz, 1H), 8.27 (d, *J* = 5.4 Hz, 1H), 7.31 - 7.22 (m, 2H), 7.00 - 6.93 (m, 2H), 6.93 - 6.83 (m, 2H), 5.74 (d, *J* = 1.0 Hz, 2H), 5.40 - 5.28 (m, 1H), 4.79 - 4.68 (m, 1H), 4.07 - 3.97 (m, 2H), 3.91 (s, 3H), 2.07 (s, 3H), 1.50 (d, *J* = 7.2 Hz, 3H), 1.40 (d, *J* = 6.5 Hz, 3H) ^{13}C RMN (126 MHz, $CDCl_3$) δ 172.53, 170.30, 163.04, 160.28, 158.50,

*Comp. No.	P.F. (°C)	*1R (cm^{-1})	MASA	RMN (^{1}H, ^{13}C, ^{19}F)
				145.72, 144.03, 142.48, 129.49, 121.11, 114.68, 114.59, 109.55, 89.59, 69.99, 69.90, 56.18, 48.23, 20.89, 18.52, 16.62
526	- - -	3384, 2983, 2936, 2878, 1739, 1677, 1579, 1504, 1454, 1437, 1367, 1311, 1274, 1236, 1203, 1181, 1154, 1115, 1044, 1004, 970, 830, 807, 788, 741, 699 646, 637 620, 611 601	HRMS - ESI (*m/z*) ($[M+H]^+$) calculada para $C_{26}H_{35}N_2O_9$, 519.2337; encontrada, 519.2337	^{1}H RMN (400 MHz, $CDCl_3$) δ 8.38 (d, *J* = 7.8 Hz, 1H), 8.23 (d, *J* = 5.3 Hz, 1H), 7.39 - 7.21 (m, 5H), 6.92 (d, *J* = 5.4 Hz, 1H), 5.74 (d, 0.8 Hz, 2H), 5.19 (qd, *J* = 6.5, 2.9 Hz, 1H), 4.82 - 4.64 (m, 2H), 4.47 (d, *J* = 11.3 Hz, 1H), 3.90 (s, 3H), 3.67 (dt, *J* = 9.2, 3.4 Hz, 1H), 3.55 - 3.38 (m, 2H), 3.29 (s, 3H), 2.07 (s, 3H), 1.88 - 1.64 (m, 2H), 1.52 (d, *J* = 7.2 Hz, 3H), 1.29 (d, *J* = 6.5 Hz, 3H)
527	- - -	- - -	HRMS - ESI (*m/z*) ($[M+H]^+$) calculada para $C_{20}H_{29}N_2O_8$, 425.1918, encontrada, 425.1925	^{1}H RMN (500 MHz, $CDCl_3$) δ 8.35 (d, *J* = 7.7 Hz, 1H), 8.28 (d, *J* = 5.4 Hz, 1H), 6.95 (d, *J* = 5.4 Hz, 1H), 5.77 - 5.72 (m, 2H), 5.25 - 5.10 (m, 1H), 4.81 - 4.66 (m, 1H), 3.91 (s, 3H), 3.53 (dd, *J* = 10.7, 6.5 Hz, 1H), 3.48 (dd, *J*

*Comp. No.	P.F. (°C)	*1R (cm^{-1})	MASA	RMN (^{1}H, ^{13}C, ^{19}F)
				= 10.7, 4.3 Hz, 1H), 3.32 (dd, *J* = 10.3, 6.9 Hz, 1H), 3.28 (dd, 10.3, 6.8 Hz, 1H), 2.07 (s, 3H), 1.53 (d, *J* = 7.2 Hz, 3H), 1.27 (d, *J* = 6.5 Hz, 3H), 1.10 - 0.96 (m, 1H), 0.56 - 0.46 (m, 2H), 0.27 - 0.14 (m, 2H) ^{13}C RMN (126 MHz, $CDCl_3$) δ 172.50, 170.30, 162.98, 160.27, 145.72, 144.00, 142.57, 109.52, 89 60, 75.89, 72.78, 70 63, 56.18, 48.23, 20.89, 18 60, 16 64, 10.52, 2.91, 2.86
528	- - -	- - -	HRMS - ESI (*m/z*) ($[M+H]^+$) calculada para $C_{22}H_{33}N_2O_8$, 453.2231, encontrada, 453.2234	^{1}H RMN (500 MHz, $CDCl_3$) δ 8.41 (d, *J* = 7.7 Hz, 1H), 8.27 (d, *J* = 5.3 Hz, 1H), 6.93 (d, *J* = 5.4 Hz, 1H), 5.79 (d, *J* = 6.4 Hz, 1H), 5.77 (d, *J* = 6.4 Hz, 1H), 5.23 - 5.11 (m, 1H), 4.80 - 4.67 (m, 1H), 3.89 (s, 3H), 3.53 (dd, *J* = 10.7, 6.5 Hz, 1H), 3.48 (dd, *J* = 10.7, 4.3 Hz, 1H), 3.32 (dd, *J* = 10.3, 6.9 Hz, 1H), 3.28 (dd, *J* = 10.3, 6.8 Hz, 1H), 2.55 (p, *J* = 7.0 Hz, 1H), 1.64 - 1.57 (m, 1H), 1.52 (d, *J* = 7.2 Hz, 3H), 1.27 (d, *J* = 6.5 Hz, 3H), 1.15 (s, 3H), 1.14 (s, 3H), 1.07 - 0.95 (m, 1H), 0.57 - 0 46 (m, 2H), 0.26 - 0.12 (m, 2H) ^{13}C RMN (126 MHz, $CDCl_3$) δ 176.27,

*Comp. No.	P.F. (°C)	*1R (cm^{-1})	MASA	RMN (^{1}H, ^{13}C, ^{19}F)
				172.51, 162.96, 160.26, 145.57, 144.23, 142.21, 109.46, 89.97, 75.89, 72.78, 70.61, 56.12, 48.22, 33.86, 18.68, 18.60, 16.64, 10.52, 2.91, 2.86
529	- - -	- - -	HRMS - ESI (*m/z*) ($[M+H]^+$) calculada para $C_{19}H_{27}N_2O_7$, 395.1813, encontrada, 395.1817	^{1}H RMN (500 MHz, $CDCl_3$) δ 8.54 (s, 1H), 8.33 (d, *J* = 5.4 Hz, 1H), 7.00 (d, *J* = 5.5 Hz, 1H), 5.16 (pd, *J* = 6 4, 4.3 Hz, 1H), 4.77 - 4.64 (m, 1H), 3.91 (s, 3H), 3.52 (dd, *J* = 10.8, 6.5 Hz, 1H), 3.47 (dd, *J* = 10.8, 4.3 Hz, 1H), 3.32 (dd, *J* = 10.3, 6.9 Hz, 1H), 3.27 (dd, *J* = 10 3, 6.8 Hz, 1H), 2.40 (s, 3H), 1.51 (d, *J* = 7.2 Hz, 3H), 1.26 (d, *J* = 6.5 Hz, 3H), 1.09 - 0.95 (m, 1H), 0.57 - 0.45 (m, 2H), 0.25 - 0.12 (m, 2H) ^{13}C RMN (126 MHz, $CDCl_3$) δ 172.39, 168.92, 162.38, 159.43, 146.67, 141.59, 137.48, 109.72, 75.89, 72.76, 70.65, 56.28, 48.01, 20.77, 18.74, 16.62, 10.52, 2.91, 2.86
530	- - -	- - -	HRMS - ESI (*m/z*) ($[M+H]^+$) calculada para $C_{20}H_{29}N_2O_9$, 441.1868; encontrada,	^{1}H RMN (500 MHz, $CDCl_3$) δ 8.34 (d, *J* = 7.7 Hz, 1H), 8.28 (d, *J* = 5.4 Hz, 1H), 6.95 (d, *J* = 5.4 Hz, 1H), 5.79 - 5.69 (m, 2H), 5.26 - 5.18 (m, 1H), 4.78 - 4.66 (m, 1H), 4.23 (dd, *J* =

*Comp. No.	P.F. (°C)	*1R (cm^{-1})	MASA	RMN (^{1}H, ^{13}C, ^{19}F)
			441.1871	11.9, 3.4 Hz, 1H), 4.06 (dd, *J* = 11.9, 7.0 Hz, 1H), 3.91 (s, 3H), 2.67 - 2.47 (m, 1H), 2.07 (s, 3H), 1.51 (d, *J* = 7.2 Hz, 3H), 1.30 (d, *J* = 6.5 Hz, 3H), 1.17 (d, 2 7 Hz, 3H), 1.15 (d, *J* = 2.7 Hz, 3H) ^{13}C RMN (126 MHz, $CDCl_3$) δ 176.63, 172.33, 170.30, 163.02, 160.28, 145.73, 144.03, 142.46, 109.57, 89.56, 69.54, 65.71, 56.19, 48.14, 33.91, 20 88, 18.91, 18.50, 16.43
531	- - -	- - -	HRMS - ESI (*m/z*) ($[M+H]^+$) calculada para $C_{22}H_{33}N_2O_9$, 469.2181; encontrada, 469.2187	^{1}H RMN (500 MHz, $CDCl_3$) δ 8.39 (d, *J* = 7.7 Hz, 1H), 8.27 (d, *J* = 5.3 Hz, 1H), 6.94 (d, *J* = 5.4 Hz, 1H), 5.79 (d, *J* = 6.4 Hz, 1H), 5.76 (d, *J* = 6.4 Hz, 1H), 5.26 - 5.19 (m, 1H), 4.80 - 4.66 (m, 1H), 4.23 (dd, *J* = 11.8, 3.3 Hz, 1H), 4.06 (dd, *J* = 11.9, 7.0 Hz, 1H), 3.89 (s, 3H), 2.64 - 2.48 (m, 2H), 1.51 (d, *J* = 7.2 Hz, 3H), 1.30 (d, *J* = 6.5 Hz, 3H), 1.17 (d, *J* = 2.7 Hz, 3H), 1.16 - 1.14 (m, 9H) ^{13}C RMN (126 MHz, $CDCl_3$) δ 176.63, 176.27, 172.33, 162.99, 160.27, 145.58, 144.26, 142.10, 109.51, 89.93, 69.52, 65.71, 56.13, 48.14,

*Comp. No.	P.F. (°C)	*1R (cm^{-1})	MASA	RMN (^{1}H, ^{13}C, ^{19}F)
				33.91, 33.86, 18.91, 18.68, 18.50, 16.43
532	- - -	- - -	HRMS - ESI (*m/z*) ($[M+H]^+$) calculada para $C_{19}H_{27}N_2O_8$, 411.1762; encontrada, 411.1768	^{1}H RMN (500 MHz, $CDCl_3$) δ 8.52 (d, *J* = 2.6 Hz, 1H), 8.34 (d, *J* = 5.4 Hz, 1H), 7.01 (d, *J* = 5.5 Hz, 1H), 5.29 - 5.16 (m, 1H), 4.80 - 4.65 (m, 1H), 4.23 (dd, *J* = 11.9, 3.4 Hz, 1H), 4.05 (dd, *J* = 11.9, 7.0 Hz, 1H), 3.91 (s, 3H), 2.63 - 2.49 (m, 1H), 2.40 (s, 3H), 1.49 (d, *J* = 7.2 Hz, 3H), 1.29 (d, *J* = 6.5 Hz, 3H), 1.16 (d, *J* = 2.9 Hz, 3H), 1.15 (d, *J* = 2.9 Hz, 3H) ^{13}C RMN (126 MHz, $CDCl_3$) δ 176.62, 172.22, 168.92, 162.42, 159.45, 146.68, 141.50, 137.51, 109.77, 69.55, 65.70, 56.29, 47.91, 33.91, 20.76, 18.90, 18.65, 16.41
533	- - -	- - -	HRMS - ESI (*m/z*) ($[M+H]^+$) calculada para $C_{20}H_{31}N_2O_8$, 427.2075; encontrada, 427.2075	^{1}H RMN (500 MHz, $CDCl_3$) δ 8.36 (d, *J* = 7.7 Hz, 1H), 8.28 (d, *J* = 5.4 Hz, 1H), 6.94 (d, *J* = 5.4 Hz, 1H), 5.85 - 5.70 (m, 2H), 5.15 (pd, *J* = 6.5, 4.2 Hz, 1H), 4.73 (p, *J* = 7.2 Hz, 1H), 3.91 (s, 3H), 3.50 (dd, *J* = 10.6, 6.6 Hz, 1H), 3.43 (dd, *J* = 10.6, 4.1 Hz, 1H), 3.23 (dd, *J* = 9.0, 6.6 Hz, 1H), 3.17

*Comp. No.	P.F. (°C)	*1R (cm^{-1})	MASA	RMN (^{1}H, ^{13}C, ^{19}F)
				(dd, *J* = 9.0, 6.7 Hz, 1H), 2.07 (s, 3H), 1.91 - 1.75 (m, 1H), 1.52 (d, *J* = 7.2 Hz, 3H), 1.27 (d, *J* = 6.5 Hz, 3H), 0.88 (s, 3H), 0.87 (s, 3H) ^{13}C RMN (126 MHz, $CDCl_3$) δ 172.50, 170.30, 162.98, 160.27, 145.72, 143.99, 142.59, 109.52, 89.60, 78.24, 73.21, 70.69, 56.17, 48.22, 28.44, 20.89, 19.25, 18.60, 16.62
534	- - -	- - -	HRMS - ESI (*m/z*) ($[M+H]^+$) calculada para $C_{21}H_{31}N_2O_8$, 439.2075; encontrada, 439.2072	^{1}H RMN (500 MHz, $CDCl_3$) δ 8.36 (d, *J* = 7.7 Hz, 1H), 8.28 (d, *J* = 5.4 Hz, 1H), 6.94 (d, *J* = 5.4 Hz, 1H), 5.86 - 5.67 (m, 2H), 5.17 - 5.04 (m, 1H), 4.77 - 4.66 (m, 1H), 3.91 (s, 3H), 3.90 - 3.85 (m, 1H), 3.52 - 3.35 (m, 2H), 2.07 (s, 3H), 1.73 1.58 (m, 6H), 1.51 (d, *J* = 7.2 Hz, 3H), 1.50 - 1.45 (m, 2H), 1.25 (d, *J* = 6.5 Hz, 3H) ^{13}C RMN (126 MHz, $CDCl_3$) δ 172.51, 170.30, 162.97, 160.27, 145.72, 143.99, 142.60, 109.51, 89.61, 81.71, 70.99, 70.89, 56.17, 48.22, 32.30, 32.14, 23.48, 20.89, 18.64, 16.71
535	- - -	- - -	HRMS - ESI (*m/z*) ($[M+H]^+$) calculada	^{1}H RMN (500 MHz, $CDCl_3$) δ 8.37 (d, *J* = 7.7 Hz, 1H), 8.28 (d, *J* = 5.4 Hz,

*Comp. No.	P.F. (°C)	*1R (cm^{-1})	MASA	RMN (^{1}H, ^{13}C, ^{19}F)
			para $C_{20}H_{31}N_2O_8$, 427.2075; encontrada, 427.2077	1H), 6.94 (d, *J* = 5.4 Hz, 1H), 5.81 - 5.70 (m, 2H), 5.06 (pd, *J* = 6.5, 4.6 Hz, 1H), 4.73 (p, *J* = 7.2 Hz, 1H), 3.91 (s, 3H), 3.42 (dd, *J* = 9.8, 6.5 Hz, 1H), 3.35 (dd, *J* = 9.8, 4.6 Hz, 1H), 2.07 (s, 3H), 1.52 (d, *J* = 7.2 Hz, 3H), 1.26 (d, *J* = 6.5 Hz, 3H), 1.17 (s, 9H) ^{13}C RMN (126 MHz, $CDCl_3$) δ 172.52, 170.30, 162.96, 160.26, 145.71, 143.98, 142.62, 109.50, 89.61, 72.97, 71.45, 64.32, 56.17, 48.24, 27.44, 20.89, 18.75, 16.80
536	- - -	- - -	HRMS - ESI (*m/z*) $[M]^+$ calculada para $C_{27}H_{36}N_2O_8$, 516.2472; encontrada, 516.2474	^{1}H RMN (500 MHz, $CDCl_3$) δ 8.30 (d, *J* = 7.8 Hz, 1H), 8.25 (d, *J* = 5.3 Hz, 1H), 7.25 - 7.17 (m, 2H), 7.01 - 6.84 (m, 4H), 5.79 - 5.72 (m, 2H), 5.21 (qd, *J* = 6.5, 4.2 Hz, 1H), 4.58 (p, *J* = 7.2 Hz, 1H), 4.22 (dd, *J* = 6.9, 4.1 Hz, 1H), 3.88 (s, 3H), 2.63 - 2.48 (m, 1H), 1.97 (h, *J* = 6.8 Hz, 1H), 1.35 (d, *J* = 6.5 Hz, 3H), 1.20 (d, *J* = 7.2 Hz, 3H), 1.14 (d, *J* = 7.0 Hz, 6H), 1.02 (dd, *J* = 13.8, 6.8 Hz, 6H) ^{13}C RMN (126 MHz, $CDCl_3$) δ 176.25, 172.20, 162.93, 160.26, 160.11, 145.54, 144.25, 142.07, 129.42,

*Comp. No.	P.F. (°C)	*1R (cm^{-1})	MASA	RMN (^{1}H, ^{13}C, ^{19}F)
				120.97, 116.25, 109.48, 89.95, 84.03, 72.67, 56.13, 48.17, 33.85, 30.38, 29.58, 19.27, 18.67, 18.59, 17.77, 14.67
537	- - -	- - -	HRMS - ESI (*m/z*) $[M]^+$ calculada para $C_{27}H_{36}N_2O_7$, 500.2523, encontrada, 500.2526	^{1}H RMN (500 MHz, $CDCl_3$) δ 8.43 - 8.37 (m, 1H), 8.30 (d, *J* = 5.4 Hz, 1H), 7.28 - 7.16 (m, 2H), 7.02 - 6.84 (m, 4H), 5.20 (qd, *J* = 6 4, 4.0 Hz, 1H), 4.57 (dq, *J* = 8.1, 7.2Hz, 1H), 4.24 - 4.16 (m, 1H), 3.89 (s, 3H), 2.73 - 2.65 (m, 2H), 1.96 (h, *J* = 6.8 Hz, 1H), 1.82 - 1.68 (m, 2H), 1.53 - 1.37 (m, 2H), 1.33 (dd, *J* = 11.1, 6.5 Hz, 3H), 1.18 (d, *J* = 7.2 Hz, 3H), 1.06 - 0.90 (m, 9H) ^{13}C RMN (126 MHz, $CDCl_3$) δ 172.15, 171.60, 162.36, 160.08, 159.44, 146.55, 141.67, 137.57, 129.42, 120.96, 116.23, 109.64, 84.00, 72.68, 56.25, 47.94, 33.64, 30.39, 26.62, 22.20, 19.28, 18.57, 17.97, 14.67, 13.77
538	- - -	3381, 2984, 2938, 1738, 1674, 1503,	HRMS - ESI (*m/z*) ($[M+H]^+$) calculada para $C_{24}H_{31}N_2O_8$,	^{1}H RMN (400 MHz, $CDCl_3$) δ 8.38 (d, *J* = 8.0 Hz, 1H), 8.26 (d, *J* = 5.4 Hz, 1H), 7.33 - 7.18 (m, 5H), 6.94 (d, *J* =

*Comp. No.	P.F. (°C)	*1R (cm^{-1})	MASA	RMN (^{1}H, ^{13}C, ^{19}F)
		1201	475.2075; encontrada, 475.2079	5.4 Hz, 1H), 5.79 - 5.70 (m, 2H), 5.06 (qd, *J* = 6.5, 3.4 Hz, 1H), 4.79 - 4.70 (m, 1H), 3.90 (s, 3H), 3.48 (ddd, *J* = 6.7, 6 0, 3.4 Hz, 1H), 3.27 (s, 3H), 2.77 (d, *J* = 6.4 Hz, 2H), 2.07 (s, 3H), 1.54 (d, *J* = 7.2 Hz, 3H), 1.31 (d, *J* = 6.4 Hz, 3H)
539	- - -	3382, 2955, 2872, 1738, 1676, 1503, 1201	HRMS - ESI (*m/z*) ($[M+H]^+$) calculada para $C_{27}H_{37}N_2O_8$, 517.2544; encontrada, 517.2546	^{1}H RMN (400 MHz, $CDCl_3$) δ 8.37 (d, *J* = 7.7 Hz, 1H), 8.27 (d, *J* = 5.4 Hz, 1H), 7.31 - 7.16 (m, 5H), 6.94 (d, *J* = 5.4 Hz, 1H), 5.79 - 5.71 (m, 2H), 5.05 (qd, *J* = 6.5, 3.4 Hz, 1H), 4.80 - 4.68 (m, 1H), 3.91 (s, 3H), 3.51 (ddd, *J* = 7 6, 5.2, 3.4 Hz, 1H), 3.28 - 3.19 (m, 1H), 2.94 (dd, *J* = 8 6, 6.3 Hz, 1H), 2.80 - 2.73 (m, 2H), 2.07 (d, *J* = 2.0 Hz, 3H), 1.77 - 1.59 (m, 1H), 1.53 (d, *J* = 7.1 Hz, 3H), 1.31 (d, *J* = 6.5 Hz, 3H), 0.86 - 0.52 (m, 6H)
540	- - -	1R 3382, 2986, 2939, 1737, 1675, 1502, 1201	HRMS - ESI (*m/z*) ($[M+H]^+$) calculada para $C_{27}H_{35}N_2O_8$, 515.2388; encontrada, 515.2390	^{1}H RMN (400 MHz, $CDCl_3$) δ 8.38 (d, *J* = 7.6 Hz, 1H), 8.27 (d, *J* = 5.3 Hz, 1H), 7.32 - 7.17 (m, 5H), 6.95 (d, *J* = 5.4 Hz, 1H), 5.79 - 5.70 (m, 2H), 5.03 (qd, *J* = 6.5, 3.9 Hz, 1H), 4.80 - 4.68 (m, 1H), 3.90 (s, 3H), 3.56 (ddd, *J* =

*Comp. No.	P.F. (°C)	*1R (cm^{-1})	MASA	RMN (^1H, ^{13}C, ^{19}F)
				7.9, 5.0, 3.9 Hz, 1H), 3.32 (dd, *J* = 9.9, 6.7 Hz, 1H), 2.98 (dd, *J* = 9.9, 6.9 Hz, 1H), 2.80 - 2.73 (m, 2H), 2.07 (s, 3H), 1.54 (d, *J* = 7.2 Hz, 3H), 1.32 (d, *J* = 6.5 Hz, 3H), 0.94 - 0.81 (m, 1H), 0.44 - 0.35 (m, 2H), 0.08 - 0.04 m, 2H)
541	- - -	- - -	HRMS - ESI (*m/z*) ($[M+H]^+$) calculada para $C_{23}H_{27}N_2O_7$, 443.1813; encontrada, 443.1817	^1H RMN (500 MHz, $CDCl_3$) δ 8.57 - 8.41 (m, 1H), 8.31 (d, *J* = 5.4 Hz, 1H), 7.31 - 7.20 (m, 2H), 7.03 - 6.92 (m, 2H), 6.92 - 6.85 (m, 2H), 5.34 (pd, *J* = 6.5, 4.4 Hz, 1H), 4.82 - 4.68 (m, 1H), 4.09 - 3.95 (m, 2H), 3.90 (s, 3H), 2.03 - 1.90 (m, 1H), 1.47 (d, *J* = 7.2 Hz, 3H), 1.38 (d, *J* = 6.5 Hz, 3H), 1.26 (dt, *J* = 7.1, 3.5 Hz, 2H), 1.06 (dq, *J* = 7.0, 3.6 Hz, 2H) ^{13}C RMN (126 MHz, $CDCl_3$) δ 172.48, 172.46, 162.40, 159.47, 158.49, 146.59, 141.88, 137.45, 129.48, 121.09, 114.69, 114.60, 109.66, 69.93, 69.86, 56.30, 47.94, 18.74, 16.62, 13.01, 9.29
542	- - -	- - -	HRMS - ESI (*m/z*) $[M]^+$ calculada	^1H RMN (500 MHz, $CDCl_3$) δ 8.37 (d, *J* = 6.0 Hz, 1H), 8.30 (d, *J* = 5.4 Hz,

*Comp. No.	P.F. (°C)	*1R (cm^{-1})	MASA	RMN (^{1}H, ^{13}C, ^{19}F)
			para $C_{26}H_{34}N_2O_7$, 486.2371; encontrada, 486.2371	1H), 7.28 - 7.16 (m, 2H), 7.01 - 6.84 (m, 4H), 5.20 (qd, *J* = 6.5, 4.1 Hz, 1H), 4.62 - 4.52 (m, 1H), 4.20 (dd, *J* = 7 0, 4.1 Hz, 1H), 3.88 (s, 3H), 3.00 - 2.87 (m, 1H), 2.03 - 1.89 (m, 6.7 Hz, 1H), 1.41 - 1.31 (m, 9H), 1.18 (d, *J* = 7.2 Hz, 3H), 1.02 (dd, *J* = 12.5, 6.8 Hz, 6H) ^{13}C RMN (126 MHz, $CDCl_3$) δ 174.69, 172.19, 162.33, 160.08, 159.40, 146.53, 141.87, 137.65, 129.41, 120.96, 116.23, 109.56, 84.01, 72.65, 56.28, 47.93, 33.93, 30.39, 19.28, 18.80, 18.56, 17.99, 14.68
543	- - -	3378, 2984, 2939, 1769, 1736, 1675, 1505, 1493, 1196, 1173	HRMS - ESI (*m/z*) ($[M+H]^+$) calculada para $C_{28}H_{31}N_2O_7$, 507.2126; encontrada, 507.2131	^{1}H RMN (400 MHz, $CDCl_3$) δ 8.47 (d, *J* = 7.9 Hz, 1H), 8.29 (d, *J* = 5.4 Hz, 1H), 7.30 - 7.11 (m, 8H), 6.98 (d, *J* = 5.4 Hz, 1H), 6.92 - 6.83 (m, 1H), 6.76 - 6.71 (m, 1H), 5.12 (qd, *J* = 6.5, 3.7 Hz, 1H), 4.65 (dq, *J* = 8.1, 7.2 Hz, 1H), 4.54 (ddd, *J* = 7.7, 4.9, 3.6 Hz, 1H), 3.88 (s, 3H), 3.01 (dd, *J* = 14.2, 7.7 Hz, 1H), 2.94 (dd, *J* = 14.1, 4.8 Hz, 1H), 2.38 (s, 3H), 1.38 (d, *J* = 6.5 Hz, 3H), 1.32 d, *J* = 7.2 Hz, 3H), 1.32 (d, *J* = 7.2 Hz, 3H)

*Comp. No.	P.F. (°C)	*1R (cm^{-1})	MASA	RMN (^1H, ^{13}C, ^{19}F)
544	- - -	3383, 2946, 2869, 1770, 1736, 1677, 1507, 1476, 1199, 1174	HRMS - ESI c(*m/z*) ($[M+H]^+$) alculada para $C_{26}H_{31}Cl_2N_2O_7$, 553.1503; encontrada, 553.1499	^1H RMN (400 MHz, $CDCl_3$) δ 8.39 - 8.31 (m, 1H), 8.25 (d, *J* = 5.4 Hz, 1H), 7.31 - 7.25 (m, 1H), 7.00 (d, *J* = 5.5 Hz, 1H), 6.92 (dd, *J* = 8.9, 2.5 Hz, 1H), 6.83 (dd, *J* = 8.8, 0.7 Hz, 1H), 5.14 (qd, *J* = 6.5, 2.6 Hz, 1H), 4.66 - 4.53 (m, 1H), 4.33 (dd, *J* = 8.6, 2.7 Hz, 1H), 3.91 (s, 3H), 2.39 (s, 3H), 2.26 - 2.09 (m, 1H), 1.89 - 1.79 (m, 1H), 1.78 - 1.48 (m, 5H), 1.44 - 1.21 (m, 8H)
545	- - -	3380.9, 2964.9, 1736.1, 1675.6, 1491.2, 1199.7	HRMS - ESI (*m/z*) ($[M+H]^+$) calculada para $C_{25}H_{33}N_2O_8$, 489.2231; encontrada, 489.2231	^1H RMN (400 MHz, $CDCl_3$) δ 8.29 (d, *J* = 5.4 Hz, 1H), 8.17 (d, *J* = 7.7 Hz, 1H), 7.26 - 7.18 (m, 2H), 7.00 - 6.92 (m, 3H), 6.92 - 6.86 (m, 1H), 5.74 (s, 2H), 5.34 - 5.20 (m, 1H), 4.61 - 4.50 (m, 1H), 4.16 - 4.07 (m, 1H), 3.91 (s, 3H), 2.10 - 1.98 (m, 1H), 2.07 (s, 3H), 1.36 (d, *J* = 7.2 Hz, 3H), 1.28 (d, *J* = 6.5 Hz, 3H), 1.02 (d, *J* = 6.7 Hz, 3) 1.00 (d, *J* = 6.8 Hz, 3H)
546	- - -	3376.o, 2965.1, 1737.3, 1675.1,	HRMS - ESI (*m/z*) ($[M+H]^+$) calculada para $C_{25}H_{33}N_2O_8$, 489.2231,	^1H RMN (400 MHz, $CDCl_3$) δ 8.28 (d, *J* = 5.3 Hz, 1H), 8.20 (d, *J* = 7.7 Hz, 1H), 7.26 - 7.20 (m, 2H), 7.01 - 6.85 (m, 4H), 5.79 - 5.70 (m, 2H), 5.23 (qd,

*Comp. No.	P.F. (°C)	*1R (cm^{-1})	MASA	RMN (^{1}H, ^{13}C, ^{19}F)
		1490.5, 1199.6	encontrada, 489.2234	*J* = 6 4, 4.0 Hz, 1H), 4.52 (p, *J* = 7.3 Hz, 1H), 4.20 (dd, *J* = 7.1, 4.1 Hz, 1H), 3.91 (s, 3H), 2.07 (s, 3H), 1.97 (h, *J* = 6.8 Hz, 1H), 1.34 (d, *J* = 7.1 Hz, 3H), 1.32 (d, *J* = 6.3 Hz, 3H), 1.03 (d, *J* = 6.7 Hz, 3H), 0.99 (d, *J* = 6.8 Hz, 3H)
547	- - -	3376.1, 2985.2, 1739.5, 1675.7, 1493.9, 1200.1	HRMS - ESI (*m/z*) ($[M+H]^+$) calculada para $C_{28}H_{31}N_2O_8$, 523.2075, encontrada, 523.2075	^{1}H RMN (400 MHz, $CDCl_3$) δ 8.31 - 8.26 (m, 2H), 7.43 - 7.36 (m, 2H), 7.34 - 7.28 (m, 2H), 7.26 - 7.21 (m, 1H), 7.20 - 7.13 (m, 2H), 6.95 (d, *J* = 5.4 Hz, 1H), 6.91 - 6.80 (m, 3H), 5.75 - 5.71 (m, 2H), 5.32 - 5.18 (m, 2H), 4.74 - 4.60 (m, 1H), 3.91 (s, 3H), 2.05 (s, 3H), 1.43 (d, *J* = 7.1 Hz, 3H), 1.36 (d, *J* = 6.2 Hz, 3H)
548	- - -	3379.6, 2965.5, 1736.7, 1674.6, 1490.9, 1199.7, 1001.8, 967.2	HRMS - ESI (*m/z*) ($[M+H]^+$) calculada para $C_{25}H_{33}N_2O_8$, 489.2231; encontrada, 489.2239	^{1}H RMN (400 MHz, $CDCl_3$) δ 8.30 - 8.16 (m, 2H), 7.26 - 7.15 (m, 2H), 7.01 - 6.80 (m, 4H), 5.75 - 5.71 (m, 2H), 5.21 (qd, *J* = 6.4, 4.1 Hz, 1H), 4.64 - 4.52 (m, 1H), 4.22 (dd, *J* = 7.0, 4.1 Hz, 1H), 3.90 (s, 3H), 2.06 (s, 3H), 1.97 (h, *J* = 6.8 Hz, 1H), 1.35 (d, *J* = 6.4 Hz, 3H), 1.20 (d, *J* = 7.1 Hz, 3H), 1.04 (d, *J* = 6.7 Hz, 3H), 1.01 (d, *J* =

*Comp. No.	P.F. (°C)	*1R (cm^{-1})	MASA	RMN (^{1}H, ^{13}C, ^{19}F)
				6.8 Hz, 3H)
549	- - -	3378.2, 2984.4, 1740.5, 1674.7, 1493.1, 1199.6	HRMS - ESI (*m/z*) ($[M+H]^+$) calculada para $C_{28}H_{31}N_2O_8$, 523.2075; encontrada, 523.2087	^{1}H RMN (400 MHz, $CDCl_3$) δ 8.28 (d, *J* = 7.8 Hz, 1H), 8.24 (d, *J* = 5.4 Hz, 1H), 7.43 - 7.37 (m, 2H), 7.36 - 7.21 (m, 3H), 7.20 - 7.13 (m, 2H), 6.93 (d, *J* = 5.4 Hz, 1H), 6.90 - 6.79 (m, 3H), 5.74 (d, *J* = 6.4 Hz, 1H), 5.71 (d, *J* = 6.4 Hz, 1H), 5.33 - 5.18 (m, 2H), 4.67 (dq, *J* = 11.0, 7.2 Hz, 1H), 3.90 (s, 3H), 2.06 (s, 3H), 1.39 (d, *J* = 6.4 Hz, 3H) 1.26 (d, *J* = 7.2 Hz, 3H)
550	- - -	3380, 2985, 2939, 1739, 1674, 1492, 1192, 966	HRMS - ESI (*m/z*) ($[M+H]^+$) calculada para $C_{29}H_{33}N_2O_8$, 537.2231; encontrada, 537.2234	^{1}H RMN (400 MHz, $CDCl_3$) δ 8.27 (dd, *J* = 15.1, 6.5 Hz, 2H), 7.30 - 7.12 (m, 7H), 6.93 (d, *J* = 5.4 Hz, 1H), 6.91 - 6.84 (m, 1H), 6.77 - 6.70 (m, 2H), 5.77 - 5.70 (m, 2H), 5.14 (qd, *J* = 6.5, 3.6 Hz, 1H), 4.72 - 4.60 (m, 1H), 4.59 - 4.50 (m, 1H), 3.90 (s, 3H), 3.03 (dd, *J* = 14.2, 7.8 Hz, 1H), 2.95 (dd, *J* = 14.2, 4.9 Hz, 1H), 2.06 (s, 3H), 1.40 (d, *J* = 6.5 Hz, 3H), 1.34 (d, *J* = 7.2 Hz, 3H)
551	- - -	3378, 2947, 2870, 1738, 1675, 1503,	HRMS - ESI (*m/z*) ($[M+H]^+$) calculada para	^{1}H RMN (400 MHz, $CDCl_3$) δ 8.25 - 8.17 (m, 2H), 7.29 (d, *J* = 2.6 Hz, 1H), 7.00 - 6.92 (m, 2H), 6.85 (dd, *J* = 8.8,

*Comp. No.	P.F. (°C)	*1R (cm^{-1})	MASA	RMN (^{1}H, ^{13}C, ^{19}F)
		1476, 1200	$C_{27}H_{33}Cl_2N_2O_8$, 583.1608; encontrada, 583.1614	0.6 Hz, 1H), 5.73 (s, 2H), 5.15 (qd, *J* = 6.5, 2.7 Hz, 1H), 4.66 - 4.54 (m, 1H), 4.35 (dd, *J* = 8.5, 2.8 Hz, 1H), 3.92 (s, 3H), 2.26 - 2.11 (m, 1H), 2.07 (s, 3H), 1.93 - 1.79 (m, 1H), 1.81 - 1.48 (m, 5H), 1.45 - 1.22 (m, 8H)
552	- - -	- - -	HRMS - ESI (*m/z*) ($[M+H]^+$) calculada para $C_{25}H_{33}N_2O_8$, 489.2231, encontrada, 489.2232	^{1}H RMN (500 MHz, $CDCl_3$) δ 8.27 (d, *J* = 5.4 Hz, 2H), 7.23 (tt, *J* = 7.4, 2.3 Hz, 2H), 7.00 - 6.92 (m, 3H), 6.89 (tt, *J* = 7.4, 1.0 Hz, 1H), 5.78 - 5.69 (m, 2H), 5.25 (p, *J* = 6.4 Hz, 1H), 4.63 (p, *J* = 7.2 Hz, 1H), 4.19 - 4.13 (m, 1H), 3.91 (s, 3H), 2.06 (s, 3H), 2.06 - 1.98 (m, 1H), 1.31 (d, *J* = 6.5 Hz, 3H), 1.21 (d, *J* = 7.2 Hz, 3H), 1.02 (d, *J* = 6.8 Hz, 3H), 0.98 (d, *J* = 6.8 Hz, 3H) ^{13}C RMN (126 MHz, $CDCl_3$) δ 172.40, 170.29, 162.92, 160.26, 159.98, 145.70, 143.98, 142.53, 129.41, 120.71, 115.57, 109.52, 89.58, 83.38, 72.70, 56.18, 48.25, 29.78, 20.88, 19.82, 18.00, 17.15, 16.66
553	- - -	3380, 2962, 2876, 1735, 1676, 1502	HRMS - ESI (*m/z*) ($[M+H]^+$) calculada para $C_{25}H_{39}N_2O_8$,	^{1}H RMN (400 MHz, $CDCl_3$) δ 8.23 (d, *J* = 7.8 Hz, 1H), 8.12 (d, *J* = 5.3 Hz, 1H), 6.81 (d, *J* = 5.4 Hz, 1H), 5.64 -

*Comp. No.	P.F. (°C)	*1R (cm^{-1})	MASA	RMN (^1H, ^{13}C, ^{19}F)
			495.2701, encontrada, 495.2686	5.52 (m, 2H), 4.99 (qd, *J* = 6 4, 3.8 Hz, 1H), 4.61 - 4.48 (m, 1H), 3.76 (s, 3H), 3.35 (dd, *J* = 9.8, 6.8 Hz, 1H), 3.10 (td, *J* = 6 7, 3.3 Hz, 2H), 1.92 (s, 3H), 1.50 - 1.39 (m, 1H), 1.36 (d, *J* = 7.2 Hz, 3H), 1.30 - 1.23 (m, 1H), 1.23 - 1.14 (m, 4H), 1.13 (d, *J* = 6.4 Hz, 3H), 0.94 - 0.83 (m, 1H), 0.71 (dt, *J* = 9.3, 7.1 Hz, 5H), 0.38 - 0.27 (m, 2H), 0.04 - 0.05 (m, 2H)
554	- - -	3382, 2959, 2875, 1736, 1676, 1503	HRMS - ESI (*m/z*) ($[M+H]^+$) calculada para $C_{25}H_{41}N_2O_8$, 497.2857; encontrada, 497.2839	^1H RMN (400 MHz, $CDCl_3$) δ 8.39 (d, *J* = 7.8 Hz, 1H), 8.27 (d, *J* = 5.4, 1.6 Hz, 1H), 6.96 (d, *J* = 5.4 Hz, 1H), 5.77 - 5.73 (m, 2H), 5.13 (qd, *J* = 6.4, 4.0 Hz, 1H), 4.72 (p, *J* = 7.3 Hz, 1H), 3.91 (s, 3H), 3.42 (dd, *J* = 8.4, 6.4 Hz, 1H), 3.23 (dd, *J* = 5.7, 4.0 Hz, 1H), 3.17 (dd, *J* = 8.5, 6.4 Hz, 1H), 2.08 (s, 3H), 1.87 - 1.73 (m, 1H), 1.52 (d, *J* = 7.2 Hz, 3H), 1.44 - 1.29 (m, 5H), 1.27 (d, *J* = 6.4 Hz, 3H), 0.92 - 0.83 (m, 12H)
555	- - -	3383, 2962, 2876, 1771, 1733, 1677, 1505	HRMS - ESI (*m/z*) ($[M+H]^+$) calculada para $C_{24}H_{37}N_2O_7$, 465.2595;	^1H RMN (400 MHz, $CDCl_3$) δ 8.54 (d, *J* = 7.9 Hz, 1H), 8.33 (d, *J* = 5.4 Hz, 1H), 7.01 (d, *J* = 5.5 Hz, 1H), 5.14 (qd, *J* = 6.4, 3.7 Hz, 1H), 4.81 - 4.54

*Comp. No.	P.F. (°C)	*1R (cm^{-1})	MASA	RMN (^{1}H, ^{13}C, ^{19}F)
			encontrada, 465.2581	(m, 1H), 3.91 (s, 3H), 3.49 (dd, *J* = 9.8, 6.8 Hz, 1H), 3.30 - 3.16 (m, 2H), 2.40 (s, 3H), 1.66 - 1.54 (m, 1H), 1.49 (d, *J* = 7.2 Hz, 3H), 1.47 - 1.37 (m, 1H), 1.39 - 1.27 (m, 3H), 1.27 (d, J: 6.4 Hz, 3H), 1.09 - 0.96 (m, 1H), 0.90 - 0.83 (m, 6H), 0.51 - 0.41 (m, 2H), 0.17 - 0.09 (m, 2H)
556	- - -	3379, 2945, 2869, 1737, 1675, 1492, 1310, 1234, 1201, 970	HRMS - ESI (*m/z*) ($[M+H]^+$) calculada para $C_{27}H_{35}N_2O_8$, 515.2388, encontrada, 515.2381	^{1}H RMN (400 MHz, $CDCl_3$) δ 8.27 - 8.20 (m, 2H), 7.24 - 7.15 (m, 2H), 6.96 - 6.85 (m, 4H), 5.77 - 5.70 (m, 2H), 5.14 (qd, *J* = 65, 3.1 Hz, 1H), 4.64 - 4.50 (m, 1H), 4.35 (dd, *J* = 8.2, 3.0 Hz, 1H), 3.91 (s, 3H), 2.20 - 2.09 (m, 1H), 2.06 (s, 3H), 1.95 - 1.27 (m, 1H), 1.19 (d, *J* = 7.2 Hz, 3H)
557	- - -	3380, 2956, 1739, 1675, 1493, 1200, 1002, 969	HRMS - ESI (*m/z*) ($[M+H]^+$) calculada para $C_{26}H_{35}N_2O_8$, 503.2388, encontrada, 503.2388	^{1}H RMN (400 MHz, $CDCl_3$) δ 8.31 - 8.22 (m, 2H), 7.27 - 7.18 (m, 2H), 6.97 - 6.86 (m, 4H), 5.78 - 5.69 (m, 2H), 5.12 (qd, *J* = 6 6, 3.0 Hz, 1H), 4.71 - 4.58 (m, 1H), 4.47 (ddd, *J* = 8.9, 3.9, 2.9 Hz, 1H), 3.91 (s, 3H), 2.06 (s, 3H), 1.87 - 1.65 (m, 2H), 1.44 - 1.28 (m, 7H), 0.97 (d, *J* = 6.6 Hz, 3H), 0.92 (d, *J* = 6.5 Hz, 3H)

*Comp. No.	P.F. (°C)	*1R (cm^{-1})	MASA	RMN (^{1}H, ^{13}C, ^{19}F)
558	- - -	3378.5, 2965.6, 1737.6, 1675. ı, 1491.], 1200.2	HRMS - ESI (*m/z*) ($[M+H]^+$) calculada para $C_{25}H_{33}N_2O_8$, 489.2231; encontrada, 489.2232	^{1}H RMN (400 MHz, $CDCl_3$) δ 8.28 (d, *J* = 5.4 Hz, 1H), 8.19 (d, *J* = 7.7 Hz, 1H), 7.26 - 7.19 (m, 2H), 7.01 - 6.86 (m, 4H), 5.77 - 5.72 (m, 2H), 5.23 (qd, *J* = 6 4, 4.0 Hz, 1H), 4.58 - 4.46 (m, 1H), 4.20 (dd, *J* = 4.1 Hz, 1H), 3.91 (s, 3H), 2.07 (s, 3H), 1.97 (h, *J* = 6.8 Hz, 1H), 1.34 (d, *J* = 7.1 Hz, 3H), 1.32 (d, *J* = 6.3 Hz, 3H), 1.03 (d, *J* = 6.7 Hz, 3H), 0.99 (d, *J* = 6.8 Hz, 3H)
559	- - -	3379.2, 2966.o, 1735.9, 1675.3, 1491.2, 1199.9	HRMS - ESI (*m/z*) ($[M+H]^+$) calculada para $C_{25}H_{33}N_2O_8$, 489.2231; encontrada, 489.2231	^{1}H RMN (400 MHz, $CDCl_3$) δ 8.29 (d, *J* = 5.3 Hz, 1H), 8.17 (d, *J* = 7.7 Hz, 1H), 7.26 - 7.18 (m, 2H), 7.01 - 6.93 (m, 3H), 6.93 - 6.82 (m, 1H), 5.74 (s, 2H), 5.38 - 5.21 (m, 1H), 4.65 - 4.49 (m, 1H), 4.19 - 4.07 (m, 1H), 3.92 (s, 3H), 2.11 - 1.97 (m, 1H), 2.07 (s, 3H), 1.36 (d, *J* = 7.2 Hz, 3H), 1.28 (d, *J* = 6.5 Hz, 3H), 1.02 (d, *J* = 6.8 Hz, 3H) 1.00 (d, *J* = 6.8 Hz, 3H)
560	- - -	3379.7, 2965.8, 1738.1, 1675.o, 1491.9,	HRMS - ESI (*m/z*) ($[M+H]^+$) calculada para $C_{25}H_{33}N_2O_8$, 489.2231, encontrada,	^{1}H RMN (400 MHz, $CDCl_3$) δ 8.33 - 8.23 (m, 2H), 7.27 - 7.18 (m, 2H), 6.99 - 6.92 (m, 3H), 6.91 - 6.84 (m, 1H), 5.75 - 5.71 (m, 2H), 5.36 - 5.14 (m, 1H), 4.78 - 4.49 (m, 1H), 4.16 (dd,

*Comp. No.	P.F. (°C)	*1R (cm^{-1})	MASA	RMN (^{1}H, ^{13}C, ^{19}F)
		1201.2	489.2229	*J* = 6 3, 5.1 Hz, 1H), 3.90 (s, 3H), 2.11 - 1.97 (m, 1H), 2.06 (s, 3H), 1.31 (d, *J* = 6.4 Hz, 3H), 1.21 (d, *J* = 7.2 Hz, 3H), 1.01 (d, *J* = 6.8 Hz, 3H), 0.98 (d, *J* = 6.8 Hz, 3H)
561	- - -	- - -	HRMS - ESI (*m/z*) ($[M+H]^+$) calculada para $C_{25}H_{32}ClN_2O_8$, 523.1842; encontrada, 523.1846	^{1}H RMN (500 MHz, $CDCl_3$) δ 8.25 (d, *J* = 5.4 Hz, 2H), 7.16 - 7.08 (m, 1H), 6.97 - 6.91 (m, 2H), 6.86 (ddd, *J* = 7.9, 1.9, 0.9 Hz, 1H), 6.82 (ddd, *J* = 8 4, 2.5, 0.9 Hz, 1H), 5.73 (d, 06 Hz, 2H), 5.27 - 5.16 (m, 1H), 4.67 - 4.55 (m, 1H), 4.19 (dd, *J* = 7.2, 3.9 Hz, 1H), 3.91 (s, 3H), 2.07 (s, 3H), 1.96 (dq, *J* = 13.6, 6.8 Hz, 1H), 1.34 (d, *J* = 6.5 Hz, 3H), 1.26 (d, *J* = 7.2 Hz, 3H), 1.01 (d, *J* = 4.1 Hz, 3H), 1.00 (d, *J* = 4.2 Hz, 3H) ^{13}C RMN (126 MHz, $CDCl_3$) δ 172.17, 170.29, 162.96, 160.75, 160.28, 145.69, 144.05, 142.35, 134.76, 130.22, 121.11, 116.57, 114.34, 109.55, 89.59, 84.37, 72.49, 56.18, 48.18, 30.40, 20.88, 19.18, 18.61, 17.83, 14.50
562	- - -	- - -	HRMS - ESI (*m/z*)	^{1}H RMN (500 MHz, $CDCl_3$) δ 8.24 (d,

*Comp. No.	P.F. (°C)	*1R (cm^{-1})	MASA	RMN (^{1}H, ^{13}C, ^{19}F)
			([M+H]$^{+}$) calculada para $C_{25}H_{31}Cl_2N_2O_8$, 557.1452, encontrada, 557.1456	*J* = 5.4 Hz, 1H), 8.19 (d, *J* = 7.7 Hz, 1H), 7.30 (d, *J* = 2.5 Hz, 1H), 6.99 (dd, *J* = 8 9, 2.6 Hz, 1H), 6.95 (d, *J* = 5.4 Hz, 1H), 6.84 (dd, *J* = 8 9, 0.6 Hz, 1H), 5.73 (s, 2H), 5.23 (qd, *J* = 6 5, 3.6 Hz, 1H), 4.66 - 4.55 (m, 1H), 4.20 (ddd, *J* = 7.5, 3.5, 0.6 Hz, 1H), 3.92 (s, 3H), 2.07 (s, 3H), 2.05 - 1.96 (m, 1H), 1.40 (d, *J* = 6.4 Hz, 3H), 1.25 (d, *J* = 7.2 Hz, 3H), 1.03 (d, *J* = 6.7 Hz, 3H), 1.00 (d, *J* = 6.8 Hz, 3H) ^{13}C RMN (126 MHz, $CDCl_3$) δ 172.03, 170.30, 162.94, 160.29, 154.38, 145.65, 144.06, 142.24, 130.07, 127.33, 125.50, 124.38, 115.59, 109.60, 89.58, 86.02, 72.47, 56.19, 48.24, 30.46, 20.89, 19.03, 18.74, 17.81, 14.19
563	- - -	- - -	HRMS - ESI (*m/z*) ([M+H]$^{+}$) calculada para $C_{25}H_{32}ClN_2O_8$, 523.1842; encontrada, 523.1842	^{1}H RMN (500 MHz, $CDCl_3$) δ 8.26 - 8.20 (m, 2H), 7.17 - 7.08 (m, 2H), 6.95 (d, *J* = 5.4 Hz, 1H), 6.88 - 6.82 (m, 2H), 5.73 (s, 2H), 5.21 (qd, 6 5, 3.9 Hz, 1H), 4.65 - 4.56 (m, 1H), 4.13 (dd, *J* = 7.2, 3.8 Hz, 1H), 3.92 (s, 3H), 2.07 (s, 3H), 1.95 (dq, *J* = 13.7, 6.9 Hz, 1H), 1.33 (d, *J* = 6.4 Hz, 3H), 1.27

*Comp. No.	P.F. (°C)	*1R (cm^{-1})	MASA	RMN (^{1}H, ^{13}C, ^{19}F)
				(d, *J* = 7.2 Hz, 3H), 1.00 (d, *J* = 2.1 Hz, 3H), 0.99 (d, *J* = 2.3 Hz, 3H) ^{13}C RMN (126 MHz, $CDCl_3$) δ 172.10, 170.29, 162.96, 160.29, 158.69, 145.66, 144.06, 142.28, 129.26, 125.59, 117.37, 109.60, 89.58, 84.62, 72.48, 56.19, 48.22, 30.48, 20.88, 19.21, 18 64, 17.87, 14.48
564	- - -	- - -	HRMS - ESI (*m/z*) ($[M+H]^+$) calculada para $C_{27}H_{36}ClN_2O_8$, 551.2155; encontrada, 551.2163	^{1}H RMN (500 MHz, $CDCl_3$) δ 8.35 - 8.27 (m, 1H), 8.25 (d, *J* = 5.4 Hz, 1H), 7.15 - 7.08 (m, 1H), 6.97 - 6.91 (m, 2H), 6.85 (ddd, *J* = 7.9, 1.9, 0.9 Hz, 1H), 6.81 (ddd, *J* = 8.5, 2.5, 0.9 Hz, 1H), 5.75 (d, *J* = 6.4 Hz, 1H), 5.72 (d, *J* = 6.5 Hz, 1H), 5.22 (qd, *J* = 6 4, 4.0 Hz, 1H), 4.59 (dd, *J* = 9.3, 4.6 Hz, 1H), 4.12 (dd, *J* = 6 8, 4.0 Hz, 1H), 3.91 (s, 3H), 2.06 (s, 3H), 2.04 - 1.94 (m, 2H), 1.33 (d, *J* = 6.4 Hz, 3H), 1.01 (d, *J* = 6.8 Hz, 3H), 0.99 (d, *J* = 6.9 Hz, 3H), 0.93 (d, *J* = 6.8 Hz, 3H), 0.87 (d, *J* = 6.9 Hz, 3H) ^{13}C RMN (126 MHz, $CDCl_3$) δ 171.07, 170.28, 163.32, 160.70, 160.34, 145.65, 144.14, 142.30, 134.73, 130.17, 121.11, 116.68, 114.46,

*Comp. No.	P.F. (°C)	*1R (cm^{-1})	MASA	RMN (^1H, ^{13}C, ^{19}F)
				109.52, 89.68, 84.80, 72.15, 57.16, 56.18, 31.07, 30.33, 20.89, 19.33, 18.41, 17.34, 14.85
565	- - -	- - -	HRMS - ESI (*m/z*) ($[M+H]^+$) calculada para $C_{28}H_{37}Cl_2N_2O_8$, 599.1921; encontrada, 599.1923	^1H RMN (500 $CDCl_3$) δ 8.22 (d, *J* = 5.4 Hz, 1H), 8.06 (d, *J* = 8.6 Hz, 1H), 7.30 (d, *J* = 2.6 Hz, 1H), 6.97 - 6.93 (m, 2H), 6.83 (dd, *J* = 8.9, 06 Hz, 1H), 5.74 (d, *J* = 6.4 Hz, 1H), 5.72 (d, *J* = 6.4 Hz, 1H), 5.21 (qd, *J* = 6.5, 3.1 Hz, 1H), 4.61 (ddd, *J* = 9.8, 8.6, 4.9 Hz, 1H), 4.18 (ddd, *J* = 7.8, 3.1, 0.6 Hz, 1H), 3.91 (s, 3H), 2.07 (s, 3H), 2.03 - 1.95 (m, 1H), 1.64 1.58 (m, 1H), 1.40 (d, *J* = 6.5 Hz, 3H), 1.39 - 1.29 (m, 2H), 1.03 (d, *J* = 6.6 Hz, 3H), 1.00 (d, *J* = 6.9 Hz, 3H), 0.88 (d, *J* = 5.5 Hz, 3H), 0.86 (d, *J* = 5.7 Hz, 3H) ^{13}C RMN (126 MHz, $CDCl_3$) δ 172.05, 170.30, 163.15, 160.36, 154.50, 145.55, 144.20, 142.08, 130.07, 127.33, 125.45, 124.40, 115.72, 109.60, 89.64, 86.18, 72.39, 56.19, 50.85, 40.97, 30.51, 24.72, 22.99, 21.50, 20.88, 19.02, 13.92
566	- - -	- - -	HRMS - ESI (*m/z*)	^1H RMN (500 MHz, $CDCl_3$) δ 8.43 (d,

*Comp. No.	P.F. (°C)	*1R (cm^{-1})	MASA	RMN (^{1}H, ^{13}C, ^{19}F)
			([M+H]$^{+}$) calculada para $C_{24}H_{30}ClN_2O_7$, 493.1736, encontrada, 493.1738	*J* = 7.8 Hz, 1H), 8.30 (d, *J* = 5.4 Hz, 1H), 7.15 - 7.08 (m, 1H), 6.99 (d, *J* = 5.5 Hz, 1H), 6.93 (t, *J* = 2.2 Hz, 1H), 6.86 (ddd, *J* = 7.9, 2.0, 0.9 Hz, 1H), 6.81 (ddd, *J* = 8.5, 2.5, 0.9 Hz, 1H), 5.21 (qd, *J* = 6 5, 3.9 Hz, 1H), 4.59 (dq, *J* = 8.0, 7.2 Hz, 1H), 4.18 (dd, *J* = 7.1, 3.9 Hz, 1H), 3.91 (s, 3H), 2.39 (s, 3H), 1.95 (dq, *J* = 13.7, 6.8 Hz, 1H), 1.32 (d, *J* = 6.5 Hz, 3H), 1.25 (d, *J* = 7.1 Hz, 3H), 1.01 (d, *J* = 3.0 Hz, 3H), 1.00 (d, *J* = 3.1 Hz, 3H) ^{13}C RMN (126 MHz, $CDCl_3$) δ 172.08, 168.89, 162.37, 160.73, 159.43, 146.64, 141.42, 137.49, 134.75, 130.22, 121.11, 116.57, 114.28, 109.74, 84.32, 72.50, 56.29, 47.96, 30.39, 20.75, 19.18, 18.58, 14.50
567	- - -	- - -	HRMS - ESI (*m/z*) ([M+H]$^{+}$) calculada para $C_{24}H_{29}Cl_2N_2O_7$, 527.1346; encontrada, 527.1354	^{1}H RMN (500 MHz, $CDCl_3$) δ 8.42 - 8.30 (m, 1H), 8.27 (d, *J* = 5.4 Hz, 1H), 7.29 (d, *J* = 2.6 Hz, 1H), 7.00 (d, *J* = 5.5 Hz, 1H), 6.95 (ddd, *J* = 9.1, 6 2, 1.6 Hz, 1H), 6.82 (dd, *J* = 8.9, 0.7 Hz, 1H), 5.22 (qd, *J* = 6.4, 3.4 Hz, 1H), 4.58 (dq, *J* = 8.0, 7.2 Hz, 1H), 4.19 (ddd, *J* = 7.5, 3.5, 0.6 Hz, 1H), 3.92

*Comp. No.	P.F. (°C)	*1R (cm^{-1})	MASA	RMN (^{1}H, ^{13}C, ^{19}F)
				(s, 3H), 2.39 (s, 3H), 2.00 (dp, *J* = 7.5, 6.8 Hz, 1H), 1.39 (d, *J* = 6.5 Hz, 3H), 1.25 (d, *J* = 7.2 Hz, 3H), 1.02 (d, *J* = 6.7 Hz, 3H), 1.00 (d, *J* = 6.8 Hz, 3H) ^{13}C RMN (126 MHz, $CDCl_3$) δ 171.91, 168.93, 162.37, 159.45, 154.34, 146.57, 141.29, 137.51, 130.00, 127.36, 125.43, 124.27, 109.81, 85.99, 72.50, 56.30, 48.05, 30.49, 20.77, 19.02, 18.76, 17.96, 14.12
568	- - -	- - -	HRMS - ESI (*m/z*) ($[M+H]^+$) calculada para $C_{24}H_{30}ClN_2O_7$, 493.1736; encontrada, 493.1736	^{1}H RMN (500 MHz, $CDCl_3$) δ 8.39 (d, *J* = 7.0 Hz, 1H), 8.27 (d, *J* = 5.4 Hz, 1H), 7.14 - 7.08 (m, 2H), 7.00 (d, *J* = 5.5 Hz, 1H), 6.87 - 6.79 (m, 2H), 5.20 (qd, *J* = 6.5, 3.7 Hz, 1H), 4.59 (dq, *J* = 8.0, 7.2 Hz, 1H), 4.12 (dd, *J* = 7.2, 3.8 Hz, 1H), 3.92 (s, 3H), 2.39 (s, 3H), 1.94 (dq, *J* = 13.7, 6.8 Hz, 1H), 1.32 (d, *J* = 6.5 Hz, 3H), 1.26 (d, *J* = 7.2 Hz, 3H), 0.98 (d, *J* = 6.8 Hz, 6H) ^{13}C RMN (126 MHz, $CDCl_3$) δ 171.99, 168.92, 162.38, 159.44, 158.67, 146.59, 141.34, 137.51, 129.25, 125.54, 117.34, 109.81, 84.59, 72.50, 56.29, 48.01, 30.51, 20.77, 19.21, 18.65, 18.04, 14.43

*Comp. No.	P.F. (°C)	*1R (cm^{-1})	MASA	RMN (^{1}H, ^{13}C, ^{19}F)
569	- - -	- - -	HRMS - ESI (*m/z*) ($[M+H]^+$) calculada para $C_{26}H_{34}ClN_2O_7$, 521.2049, encontrada, 521.2058	^{1}H RMN (500 MHz, $CDCl_3$) δ 8.42 (d, *J* = 9.6 Hz, 1H), 8.30 (d, *J* = 5.4 Hz, 1H), 7.16 - 7.05 (m, 1H), 7.05 - 6.90 (m, 2H), 6.82 (dddd, *J* = 22.5, 8.5, 2.2, 0.9 Hz, 2H), 5.21 (qd, *J* = 6.5, 4.0 Hz, 1H), 4.56 (dd, *J* = 9 4, 4.6 Hz, 1H), 4.12 (dd, *J* = 6.8, 4.0 Hz, 1H), 3.91 (s, 3H), 2.39 (s, 3H), 2.07 - 1.92 (m, 2H), 1.32 (d, *J* = 6.4 Hz, 3H), 1.00 (t, *J* = 6.6 Hz, 6H), 0.91 (d, *J* = 6.8 Hz, 3H), 0.86 (d, *J* = 6.9 Hz, 3H) ^{13}C RMN (126 MHz, $CDCl_3$) δ 170.92, 168.88, 162.74, 160.67, 159.42, 146.64, 141.52, 137.47, 134.71, 130.17, 121.08, 116.68, 114.37, 109.69, 84.73, 72.15, 56.99, 56.29, 31.14, 30.34, 20.78, 19.32, 18.39, 17.36, 14.85
570	- - -	- - -	HRMS - ESI (*m/z*) ($[M+H]^+$) calculada para $C_{27}H_{35}Cl_2N_2O_7$, 569.1816; encontrada, 569.1821	^{1}H RMN (500 MHz, $CDCl_3$) δ 8.26 (d, *J* = 5.4 Hz, 1H), 8.15 (d, *J* = 8.7 Hz, 1H), 7.29 (d, *J* = 2.6 Hz, 1H), 7.00 (d, *J* = 5.5 Hz, 1H), 6.91 (d, *J* = 8.9 Hz, 1H), 6.81 (dd, *J* = 8.8, 0.7 Hz, 1H), 5.20 (qd, *J* = 6.5, 3.1 Hz, 1H), 4.62 - 4.55 (m, 1H), 4.17 (ddd, *J* = 7.9, 3.1, 0.6 Hz, 1H), 3.92 (s, 3H), 2.39 (s, 3H),

*Comp. No.	P.F. (°C)	*1R (cm^{-1})	MASA	RMN (^1H, ^{13}C, ^{19}F)
				1.98 (dp, *J* = 7.8, 6.7 Hz, 1H), 1.66 - 1.56 (m, 1H), 1.40 - 1.34 (m, 5H), 1.02 - 0.98 (m, 6H), 0.87 (d, *J* = 2.7 Hz, 3H), 0.86 (d, *J* = 2.8 Hz, 3H) ^{13}C RMN (126 MHz, $CDCl_3$) δ 171.86, 168.92, 162.58, 159.44, 154.43, 146.53, 141.35, 137.50, 129.96, 127.37, 125.33, 124.24, 115.71, 109.79, 86.09, 72.38, 56.30, 50.77, 41.01, 30.57, 24.71, 22.95, 21.58, 20.80, 18.96, 13.86
571	- - -	- - -	HRMS - ESI (*m/z*) ($[M+H]^+$) calculada para $C_{27}H_{36}ClN_2O_8$, 551.2155; encontrada, 551.2156	^1H RMN (500 MHz, $CDCl_3$) δ 8.31 (d, *J* = 7.8 Hz, 1H), 8.24 (d, *J* = 5.4 Hz, 1H), 7.16 - 7.09 (m, 1H), 6.96 - 6.90 (m, 2H), 6.86 (ddd, *J* = 7.9, 2.0, 0.9 Hz, 1H), 6.81 (ddd, *J* = 8.4, 2.5, 0.9 Hz, 1H), 5.77 (d, *J* = 6.4 Hz, 1H), 5.75 (d, *J* = 6.4 Hz, 1H), 5.22 (qd, *J* = 6.5, 3.8 Hz, 1H), 4.65 - 4 55 (m, 1H), 4.19 (dd, *J* = 7.2, 3.9 Hz, 1H), 3.89 (s, 3H), 2.62 - 2.50 (m, 1H), 1.96 (dq, *J* = 13.6, 6.8 Hz, 1H), 1.34 (d, *J* = 6.5 Hz, 3H), 1.26 (d, *J* = 7.2 Hz, 3H), 1.14 (dd, *J* = 7.0, 04 Hz, 6H), 1.01 (d, *J* = 4.1 Hz, 3H), 1.00 (d, *J* = 4.2 Hz, 3H) ^{13}C RMN (126 MHz, $CDCl_3$) δ 176.26,

*Comp. No.	P.F. (°C)	*1R (cm^{-1})	MASA	RMN (^{1}H, ^{13}C, ^{19}F)
				172.19, 162.94, 160.76, 160.26, 145.54, 144.28, 141.99, 134.76, 130.22, 121.11, 116.57, 114.34, 109.49, 89.96, 84.37, 72.47, 56.13, 48.17, 33.86, 30.40, 19.18, 18.68, 17.83, 14.51
572	- - -	- - -	HRMS - ESI (*m/z*) ($[M+H]^+$) calculada para $C_{27}H_{35}Cl_2N_2O_8$, 585.1765, encontrada, 585.1769	^{1}H RMN (500 MHz, $CDCl_3$) δ 8.30 - 8.18 (m, 2H), 7.30 (d, *J* = 2.6 Hz, 1H), 6.98 (dd, *J* = 8.9, 2.6 Hz, 1H), 6.94 (d, *J* = 5.4 Hz, 1H), 6.84 (dd, *J* = 8.9, 0.6 Hz, 1H), 5.76 (s, 2H), 5.23 (qd, *J* = 6.4, 3.5 Hz, 1H), 4.59 (p, *J* = 7.3 Hz, 1H), 4.26 4.17 (m, 1H), 3.89 (s, 3H), 2.60 - 2.51 (m, 1H), 2.01 (dq, *J* = 13.7, 6.8 Hz, 1H), 1.40 (d, *J* = 6.5 Hz, 3H), 1.25 (d, *J* = 7.1 Hz, 3H), 1.19 - 1.11 (m, 6H), 1.03 (d, *J* = 6.7 Hz, 3H), 1.00 (d, *J* = 6.9 Hz, 3H) ^{13}C RMN (126 MHz, $CDCl_3$) δ 176.28, 172.04, 162.92, 160.27, 154.38, 145.50, 144.29, 141.88, 130.06, 127.34, 125.50, 124.37, 115.60, 109.54, 89.95, 86.03, 72.45, 56.14, 48.24, 33.86, 30.46, 19.03, 18.73, 18.69, 17.81, 14.19

*Comp. No.	P.F. (°C)	*1R (cm^{-1})	MASA	RMN (^{1}H, ^{13}C, ^{19}F)
573	- - -	- - -	HRMS - ESI (*m/z*) ($[M+H]^+$) calculada para $C_{27}H_{36}ClN_2O_8$, 551.2155; encontrada, 551.2159	^{1}H RMN (500 MHz, $CDCl_3$) δ 8.27 (dd, *J* = 8.0, 6.5 Hz, 1H), 8.23 (d, *J* = 5.3 Hz, 1H), 7.16 - 7.09 (m, 2H), 6.94 (d, *J* = 5.4 Hz, 1H), 6.88 - 6.81 (m, 2H), 5.80 - 5.73 (m, 2H), 5.21 (qd, *J* = 6.4, 3.8 Hz, 1H), 4.64 - 4.56 (m, 1H), 4.13 (dd, *J* = 7.2, 3.9 Hz, 1H), 3.89 (s, 3H), 2.63 - 2.48 (m, 1H), 1.95 (h, *J* = 6.8 Hz, 1H), 1.33 (d, *J* = 6.4 Hz, 3H), 1.27 (d, *J* = 7.2 Hz, 3H), 1.15 (dd, *J* = 7.0, 0.6 Hz, 6H), 1.00 (d, *J* = 2.3 Hz, 3H), 0.99 (d, *J* = 2.4 Hz, 3H) ^{13}C RMN (126 MHz, $CDCl_3$) δ 176.27, 172.11, 162.94, 160.27, 158.69, 145.51, 144.30, 141.92, 129.26, 125.59, 117.38, 109.54, 89.96, 84.62, 72.46, 56.13, 48.21, 33.86, 30.48, 19.21, 18.68, 18.63, 17.87, 14.49
574	3943	3380, 2970, 1740, 1675, 1504, 1488, 1202, 1132	HRMS - ESI (*m/z*) ($[M+H]^+$) calculada para $C_{28}H_{30}FN_2O_8$, 541.1981; encontrada, 541.1990	^{1}H RMN (500 MHz, $CDCl_3$) δ 8.30 - 8.22 (m, 2H), 7.41 - 7.24 (m, 5H), 7.10 (td, *J* = 8.3, 6.7 Hz, 1H), 6.93 (d, *J* = 5.4 Hz, 1H), 6.64 - 6.50 (m, 3H), 5.76 - 5.68 (m, 2H), 5.32 - 5.21 (m, 1H), 5.19 (d, *J* = 4.9 Hz, 1H), 4.67 (p, *J* = 7.2 Hz, 1H), 3.90 (s, 3H), 2.06 (s, 3H), 1.38 (d, *J* = 6.4 Hz, 3H), 1.28 (d,

*Comp. No.	P.F. (°C)	*1R (cm^{-1})	MASA	RMN (^{1}H, ^{13}C, ^{19}F)
				J = 7.2 Hz, 3H)
575	- - -	3380, 2970, 2941, 1768, 1738, 1676, 1507, 1488, 1199, 1132	HRMS - ESI (*m/z*) ($[M+H]^+$) calculada para $C_{27}H_{28}FN_2O_7$, 511.1875; encontrada, 511.1883	^{1}H RMN (500 MHz, $CDCl_3$) δ 8.45 (br s, 1H), 8.29 (d, *J* = 5.4 Hz, 1H), 7.40 - 7.26 (m, 5H), 7.10 (td, *J* = 8.3, 6.8 Hz, 1H), 6.99 (d, *J* = 5.5 Hz, 1H), 6.63 - 6.50 (m, 3H), 5.26 (qd, *J* = 6.4, 4.7 Hz, 1H), 5.18 (d, *J* = 4.9 Hz, 1H), 4.65 (p, *J* = 7.4 Hz, 1H), 3.90 (s, 3H), 2.39 (s, 3H), 1.36 (d, *J* = 6.4 Hz, 3H) 1.27 (d, *J* = 7.1 Hz, 3H)
576	- - -	3379, 2970, 1740, 1676, 1488, 1200	HRMS - ESI (*m/z*) ($[M+H]^+$) calculada para $C_{34}H_{34}FN_2O_8$, 617.2294; encontrada, 617.2304	^{1}H RMN (500 MHz, $CDCl_3$) δ 8.29 (d, *J* = 8.3 Hz, 1H), 8.22 (d, *J* = 5.4 Hz, 1H), 7.39 - 7.25 (m, 5H), 7.18 - 7.06 (m, 4H), 7.05 - 6.99 (m, 2H), 6.92 (d, *J* = 5.4 Hz, 1H), 6.64 - 6.56 (m, 2H), 6.52 (dt, *J* = 10.8, 2.4 Hz, 1H), 5.71 - 5.64 (m, 2H), 5.21 - 5.10 (m, 2H), 4.99 (dt, *J* = 8.5, 5.9 Hz, 1H), 3.90 (s, 3H), 3.07 (qd, *J* = 13.9, 6.0 Hz, 2H), 2.04 (d, *J* = 2.0 Hz, 3H), 1.34 (d, *J* = 6.4 Hz, 3H)
577	- - -	- - -	HRMS - ESI (*m/z*) ($[M+H]^+$) calculada para $C_{33}H_{32}FN_2O_7$, 587.2188;	^{1}H RMN (400 MHz, $CDCl_3$) δ 8.45 (d, *J* = 8.4 Hz, 1H), 8.25 (d, *J* = 5.5 Hz, 1H), 7.39 - 7.24 (m, 5H), 7.17 - 7.03 (m, 4H), 7.02 - 6.94 (m, 3H), 6.65 -

*Comp. No.	P.F. (°C)	*1R (cm^{-1})	MASA	RMN (^{1}H, ^{13}C, ^{19}F)
			encontrada, 587.2184	6.55 (m, 2H), 6.52 (dt, *J* = 10.9, 2.4 Hz, 1H), 5.19 - 5.08 (m, 2H), 4.97 (dt, *J* = 8.5, 5.6 Hz, 1H), 3.89 (s, 3H), 3.09 (app d, *J* = 5.7 Hz, 2H), 2.39 (s, 3H), 1.32 (d, *J* = 6.3 Hz, ^{19}F RMN 376 MHz, $CDCl_3$) δ - 111.61
578	- - -	- - -	HRMS - ESI (*m/z*) ($[M+H]^+$) calculada para $C_{28}H_{29}F_2N_2O_8$, 559.1886; encontrada, 559.1909	^{1}H RMN (400 MHz, $CDCl_3$) δ 8.31 - 8.22 (m, 2H), 7.44 - 7.27 (m, 5H), 7.02 - 6.91 (m, 2H), 6.58 - 6.44 (m, 2H), 5.77 - 5.68 (m, 2H), 5.33 (qd, *J* = 6.4, 5.0 Hz, 1H), 5.20 (d, *J* = 5.1 Hz, 1H), 4.73 - 4.60 (m, 1H), 3.90 (s, 3H), 2.06 (s, 3H), 1.41 (d, *J* = 6.4 Hz, 3H), 1.28 (d, *J* = 7.2 Hz, 3H) ^{19}F RMN (376 MHz, $CDCl_3$) δ -116.68 (d, *J* = 15.0 Hz), -138.67 (d, *J* = 15.0 Hz)
579	- - -	- - -	HRMS - ESI (*m/z*) ($[M+H]^+$) calculada para $C_{27}H_{27}F_2N_2O_7$, 529.1781; encontrada, 529.1784	^{1}H RMN (400 MHz, $CDCl_3$) δ 8.46 (d, *J* = 8.0 Hz, 1H), 8.29 (d, *J* = 5.4 Hz, 1H), 7.43 - 7.25 (m, 5H), 7.04 - 6.91 (m, 2H), 6.57 - 6.43 (m, 2H), 5.31 (qd, *J* = 6.5, 5.1 Hz, 1H), 5.18 (d, *J* = 5.1 Hz, 1H), 4.65 (dq, *J* = 8.3, 7.2 Hz, 1H), 3.89 (s, 3H), 2.39 (s, 3H), 1.40 (d, *J* = 6.4 Hz, 3H), 1.27 (d, *J* = 7.2

*Comp. No.	P.F. (°C)	*1R (cm^{-1})	MASA	RMN (^{1}H, ^{13}C, ^{19}F)
				Hz, 3H) ^{19}F RMN (376 MHz, $CDCl_3$) δ -116.69 (d, *J* = 15.0 Hz), -138.71 (d, *J* = 14.9 Hz)
580	- - -	- - -	HRMS - ESI (*m/z*) ($[M+H]^+$) calculada para $C_{29}H_{31}F_2N_2O_8$, 573.2043; encontrada, 573.2058	^{1}H RMN (400 MHz, $CDCl_3$) δ 8.35 - 8.22 (m, 2H), 7.44 - 7.27 (m, 5H), 7.02 - 6.91 (m, 2H), 6.58 - 6.42 (m, 2H), 5.78 5.68 (m, 2H), 5.32 (qd, *J* = 6.4, 5.0 Hz, 1H), 5.19 (d, *J* = 5.0 Hz, 1H), 4.66 (ddd, *J* = 8.3, 6.6, 5.2 Hz, 1H), 3.91 (s, 3H), 2.06 (s, 3H), 1.87 - 1.75 (m, 1H), 1.69 - 1.57 (m, 1H), 1.41 (d, *J* = 6.4 Hz, 3H), 0.75 (t, *J* = 7.4 Hz, 3H) ^{19}F RMN (376 MHz, $CDCl_3$) δ -116.70 (d, *J* = 15.0 Hz), - 138.70 (d, *J* = 14.9Hz)
581	48-52	- - -	HRMS - ESI (*m/z*) ($[M+H]^+$) calculada para $C_{28}H_{29}F_2N_2O_7$, 543.1937; encontrada, 543.1948	^{1}H RMN (400 MHz, $CDCl_3$) δ 8.49 (d, *J* = 8.6 Hz, 1H), 8.30 (d, *J* = 5.4 Hz, 1H), 7.43 - 7.27 (m, 5H), 7.02 - 6.91 (m, 2H), 6.57 - 6.42 (m, 2H), 5.30 (qd, *J* = 6.4, 4.9 Hz, 1H), 5.19 (d, *J* = 5.0 Hz, 1H), 4.64 (ddd, *J* = 8.5, 6.5, 5.2 Hz, 1H), 3.89 (s, 3H), 2.39 (s, 3H), 1.86 - 1.72 (m, 1H), 1.68 - 1.56 (m,

*Comp. No.	P.F. (°C)	*1R (cm^{-1})	MASA	RMN (^1H, ^{13}C, ^{19}F)
				1H), 1.40 (d, *J* = 6.4 Hz, 3H), 0.74 (t, *J* = 7.4 Hz, 3H)
582	43-48	- - -	HRMS - ESI (*m/z*) ($[M+H]^+$) calculada para $C_{29}H_{30}F_3N_2O_8$, 591.1949; encontrada, 591.1953	^1H RMN (400 MHz, $CDCl_3$) δ 8.26 (d, *J* = 7.8 Hz, 1H), 8.22 (d, *J* = 5.4 Hz, 1H), 7.45 - 7.26 (m, 7H), 6.96 - 6.84 (m, 3H), 5.76 - 5.67 (m, 2H), 5.34 - 5.24 (m, 2H), 4.67 (p, *J* = 7.3 Hz, 1H), 3.90 (s, 3H), 2.06 (s, 3H), 1.39 (d, *J* = 6.1 Hz, 3H), 1.30 (d, *J* = 7.2 Hz, 3H)
583	61-66	- - -	HRMS - ESI (*m/z*) ($[M+H]^+$) calculada para $C_{28}H_{28}F_3N_2O_7$, 561.1843; encontrada, 561.1853	^1H RMN (400 MHz, $CDCl_3$) δ 8.44 (d, *J* = 8.2 Hz, 1H), 8.25 (d, *J* = 5.4 Hz, 1H), 7.43 - 7.28 (m, 7H), 6.97 (d, *J* = 5.5 Hz, 1H), 6.90 - 6.86 (m, 2H), 5.33 - 5.22 (m, 2H), 4.72 - 4.59 (m, 1H), 3.89 (s, 3H), 2.39 (s, 3H), 1.37 (d, *J* = 6.0 Hz, 3H), 1.29 (d, *J* = 7.2 Hz, 3H)
584	- - -	- - -	HRMS - ESI (*m/z*) ($[M+H]^+$) calculada para $C_{31}H_{34}F_3N_2O_8$, 619.2262; encontrada, 619.2266	^1H RMN (400 MHz, $CDCl_3$) δ 8.34 (d, *J* = 9.2 Hz, 1H), 8.21 (d, *J* = 5.3 Hz, 1H), 7.44 - 7.27 (m, 7H), 6.93 (d, *J* = 5.4 Hz, 1H), 6.90 - 6.83 (m, 2H), 5.77 - 5.67 (m, 2H), 5.29 (q, *J* = 2.4, 1.9 Hz, 2H), 4.64 (dd, *J* = 9.1, 4.8 Hz, 1H), 3.90 (s, 3H), 2.20 - 2.08 (m, 1H), 2.06 (s, 3H), 1.40 - 1.34 (m, 3H), 0.90 (d, *J* = 6.8 Hz, 3H), 0.77 (d, *J* = 6.8

*Comp. No.	P.F. (°C)	*1R (cm^{-1})	MASA	RMN (^{1}H, ^{13}C, ^{19}F)
				Hz, 3H) ^{19}F RMN 376 MHz, $CDCl_3$) δ - 61.61
585	- - -	- - -	HRMS - ESI (*m/z*) ($[M+H]^+$) calculada para $C_{30}H_{32}F_3N_2O_7$, 589.2156; encontrada, 589.2158	^{1}H RMN (400 MHz, $CDCl_3$) δ 8.48 (d, *J* = 9.4 Hz, 1H), 8.24 (d, *J* = 5.4 Hz, 1H), 7.43 - 7.29 (m, 7H), 6.97 (d, *J* = 5.5 Hz, 1H), 6.89 - 6.82 (m, 2H), 5.31 - 5.23 (m, 2H), 4.60 (dd, *J* = 9 4, 4.8 Hz, 1H), 3.89 (s, 3H), 2.39 (s, 3H), 2.17 - 2.04 (m, 1H), 1.35 (d, *J* = 6.1 Hz, 3H), 0.89 (d, *J* = 6.8 Hz, 3H), 0.77 (d, *J* = 6.8 Hz, 3H) ^{19}F RMN 376 MHz, $CDCl_3$ - 61.60
586	- - -	3379, 2965, 2878, 1739, 1676, 1609, 1590, 1504, 1487	HRMS - ESI (*m/z*) ($[M+H]^+$) calculada para $C_{27}H_{36}FN_2O_8$, 535.245; encontrada, 535.2462	^{1}H RMN (500 MHz, $CDCl_3$) δ 8.26 (d, *J* = 5.7 Hz, 2H), 7.15 (td, *J* = 8.2, 6.8 Hz, 1H), 6.94 (d, J: 5.4 Hz, 1H), 6.70 (dd, *J* = 8.3, 2.4 Hz, 1H), 6.65 - 6.56 (m, 2H), 5.77 - 5.69 (m, 2H), 5.23 (qd, *J* = 6 5, 4.2 Hz, 1H), 4.61 (p, *J* = 7.3 Hz, 1H), 4.41 (dd, *J* = 6.7, 4.1 Hz, 1H), 3.91 (s, 3H), 2.07 (s, 3H), 1.66 - 1.52 (m, 1H), 1.51 - 1.43 (m, 1H), 1.44 - 1.28 (m, 3H), 1.35 (d, *J* = 6.5 Hz, 3H), 1.26 (d, *J* = 7.2 Hz, 3H), 0.92 (t, *J* = 7.5 Hz, 3H), 0.89 (t, *J* = 7.4 Hz, 3H)

*Comp. No.	P.F. (°C)	*1R (cm^{-1})	MASA	RMN (^{1}H, ^{13}C, ^{19}F)
587	- - -	3378, 2964, 2877, 1738, 1676, 1501, 1458	HRMS - ESI (*m/z*) ($[M+H]^{+}$) calculada para $C_{27}H36FN_2O_8$, 535.245; encontrada, 535.2456	^{1}H RMN (500 MHz, $CDCl_3$) δ 8.27 - 8.19 (m, 2H), 6.94 (d, *J* = 5.5 Hz, 1H), 6.93 - 6.79 (m, 4H), 5.73 (s, 2H), 5.23 (qd, *J* = 6.4, 4.0 Hz, 1H), 4.60 (p, *J* = 7.3 Hz, 1H), 4.31 (dd, *J* = 6.7, 4.0 Hz, 1H), 3.91 (s, 3H), 2.07 (s, 3H), 1.66 - 1.58 (m, 1H), 1.56 - 1.51 (m, 1H), 1.51 1.43 (m, 1H), 1.44 - 1.30 (m, 2H), 1.35 (d, *J* = 6.4 Hz, 3H), 1.24 (d, *J* = 7.2 Hz, 3H), 0.91 (t, *J* = 7.2 Hz, 3H), 0.88 t, *J* = Hz, 3H)
588	- - -	3378, 2964, 2877, 1739, 1676, 1590, 1503, 1475	HRMS - ESI (*m/z*) ($[M+H]^{+}$) calculada para $C_{27}H_{36}ClN_2O_8$, 551.2155; encontrada, 551.2152	^{1}H RMN (500 MHz, $CDCl_3$) δ 8.31 - 8.21 (m, 2H), 7.12 (t, *J* = 8.2 Hz, 1H), 6.94 (d, *J* = 5.4 Hz, 1H), 6.92 (t, *J* = 2.2 Hz, 1H), 6.88 - 6.84 (m, 1H), 6.80 (dd, *J* = 8.4, 2.4 Hz, 1H), 5.73 (s, 2H), 5.24 (qd, *J* = 6.4, 3.9 Hz, 1H), 4.60 (p, *J* = 7.3 Hz, 1H), 4.41 (dd, *J* = 6.7, 4.0 Hz, 1H), 3.91 (s, 3H), 2.07 (s, 3H), 1.66 - 1.51 (m, 2H), 1.52 - 1.43 (m, 1H), 1.44 - 1.29 (m, 2H), 1.34 (d, *J* = 6.5 Hz, 3H), 1.26 (d, *J* = 7.2 Hz, 3H), 0.92 (t, *J* = 7.4 Hz, 3H), 0.88 (t, *J* = 7.4 Hz, 3H)
589	- - -	3378, 2964,	HRMS - ESI (*m/z*)	^{1}H RMN (500 MHz, $CDCl_3$) δ 8.30

*Comp. No.	P.F. (°C)	*1R (cm^{-1})	MASA	RMN (^{1}H, ^{13}C, ^{19}F)
		2878, 1740, 1677, 1580, 1505, 1489	($[M+H]^+$) calculada para $C_{27}H_{36}ClN_2O_8$, 551.2155; encontrada, 551.2155	8.15 (m, 2H), 7.17 - 7.06 (m, 2H), 6.95 (d, *J* = 5.4 Hz, 1H), 6.84 (d, *J* = 9.0 Hz, 2H), 5.73 (s, 2H), 5.23 (qd, *J* = 6.5, 3.8 Hz, 1H), 4.69 - 4.54 (m, 1H), 4.36 (dd, *J* = 6.7, 4.0 Hz, 1H), 3.91 (s, 3H), 2.07 (s, 3H), 1.66 - 1.47 (m, 2H), 1.51 - 1.34 (m, 3H), 1.34 (d, *J* = 6.4 Hz, 3H), 1.27 (d, *J* = 7.2 Hz, 3H), 0.91 (t, *J* = 7.5 Hz, 3H), 0.87 (t, *J* = 7.4 Hz, 3H)
590	- - -	3378, 2964, 2877, 1739, 1674, 1581, 1504, 1476	HRMS - ESI (*m/z*) ($[M+H]^+$) calculada para C 27 H 35 C1NO2 2 8, 585.1765; encontrada, 585.1781	^{1}H RMN (500 MHz, $CDCl_3$) δ 8.24 (d, *J* = 5.4 Hz, 1H), 8.21 (d, *J* = 7.7 Hz, 1H), 7.30 (d, *J* = 2.6 Hz, 1H), 7.00 (dd, *J* = 8.9, 2.6 Hz, 1H), 6.95 (d, *J* = 5.5 Hz, 1H), 6.83 (d, *J* = 8.9 Hz, 1H), 5.73 (s, 2H), 5.25 (qd, *J* = 6.5, 3.5 Hz, 1H), 4.60 (p, *J* = 7.3 Hz, 1H), 4.43 (dd, *J* = 6.9, 3.7 Hz, 1H), 3.92 (s, 3H), 2.07 (s, 3H), 1.65 - 1.58 (m, 2H), 1.49 (ddd, *J* = 14.4, 7.4, 5.2 Hz, 1H), 1.40 (d, *J* = 6.5 Hz, 3H), 1.47 - 1.33 (m, 2H), 1.25 (d, *J* = 7.2 Hz, 3H), 0.91 (t, *J* = 7.5 Hz, 3H), 0.88 (t, *J* = 7.3 Hz, 3H)
591	- - -	3379, 2966, 2879, 1740,	HRMS - ESI (*m/z*) ($[M+H]^+$) calculada	^{1}H RMN (500 MHz, $CDCl_3$) δ 8.34 - 8.16 (m, 2H), 6.98 (ddd, *J* = 10.8, 9.1,

*Comp. No.	P.F. (°C)	*1R (cm^{-1})	MASA	RMN (^{1}H, ^{13}C, ^{19}F)
		1676, 1622, 1580, 1506	para $C_{27}H_{35}F_2N_2O_8$, 553.2356; encontrada, 553.2354	5.5 Hz, 1H), 6.94 (d, *J* = 5.4 Hz, 1H), 6.70 (ddd, *J* = 9.8, 6.6, 3.0 Hz, 1H), 6.54 (ddt, *J* = 8.9, 7.6, 3.2 Hz, 1H), 5.75 - 5.70 (m, 2H), 5.25 (qt, *J* = 5.8, 2.8 Hz, 1H), 4.58 (p, *J* = 7.3 Hz, 1H), 4.37 (dd, *J* = 7.0, 3.6 Hz, 1H), 3.91 (s, 3H), 2.07 (s, 3H), 1.71 - 1.56 (m, 2H), 1.54 - 1.46 (m, 1H), 1.46 - 1.32 (m, 2H), 1.39 (d, *J* = 6.5 Hz, 3H), 1.23 (d, *J* = 7.2 Hz, 3H), 0.93 (t, *J* = 7.4 Hz, 3H), 0.91 (t, *J* = 7.3 Hz, 3H)
592	- - -	3377, 2965, 2878, 1740, 1676, 1603, 1586, 1504, 1451	HRMS - ESI (*m/z*) ($[M+H]^+$) calculada para $C_{27}H_{35}ClFN_2O_8$, 569.206; encontrada, 569.207	^{1}H RMN (500 MHz, $CDCl_3$) δ 8.29 - 8.24 (m, 2H), 6.94 (d, *J* = 5.4 Hz, 1H), 6.75 - 6.68 (m, 1H), 6.63 (dt, *J* = 8.3, 2.1 Hz, 1H), 6.54 (dt, *J* = 10.6, 2.3 Hz, 1H), 5.80 - 5.68 (m, 2H), 5.23 (qd, *J* = 6.5, 3.9 Hz, 1H), 4.62 (p, *J* = 7.3 Hz, 1H), 4.37 (dd, *J* = 6.7, 3.9 Hz, 1H), 3.91 (s, 3H), 2.07 (s, 3H), 1.63 - 1.51 (m, 2H), 1.50 - 1.42 (m, 1H), 1.44 - 1.27 (m, 2H), 1.33 (d, *J* = 6.5 Hz, 3H), 1.31 (d, *J* = 7.2 Hz, 3H), 0.92 (t, *J* = 7.5 Hz, 3H), 0.88 (t, *J* = 7.3 Hz, 3H)
593	- - -	3379, 2965, 2877, 1738,	HRMS - ESI (*m/z*) ($[M+H]^+$) calculada	^{1}H RMN (500 MHz, $CDCl_3$) δ 8.26 (d, *J* = 5.4 Hz, 1H), 8.22 (d, *J* = 7.8 Hz,

*Comp. No.	P.F. (°C)	*1R (cm^{-1})	MASA	RMN (^1H, ^{13}C, ^{19}F)
		1675, 1585, 1504, 1479	para $C_{27}H_{36}ClN_2O_8$, 551.2155; encontrada, 551.2155	1H), 7.30 (dd, *J* = 7.9, 1.7 Hz, 1H), 7.10 (ddd, *J* = 8.8, 7.5, 1.7 Hz, 1H), 6.98 - 6.89 (m, 2H), 6.81 (td, *J* = 7.6, 1.4 Hz, 1H), 5.79 5.70 (m, 2H), 5.25 (qd, *J* = 6.4, 3.9 Hz, 1H), 4.58 (p, *J* = 7.2 Hz, 1H), 4.51 (dd, *J* = 6.8, 3.9 Hz, 1H), 3.91 (s, 3H), 2.07 (s, 3H), 1.65 (dp, 17.0, 5.7, 5.0 Hz, 2H), 1.55 - 1.48 (m, 1H), 1.49 - 1.37 (m, 2H), 1.42 (d, *J* = 6.5 Hz, 3H), 1.17 (d, *J* = 7.2 Hz, 3H), 0.93 (t, *J* = 7.5 Hz, 3H), 0.91 (t, *J* = 7.3 Hz, 3H)
594	- - -	3385, 2966, 2879, 1740, 1676, 1613, 1582, 1504	HRMS - ESI (*m/z*) ($[M+H]^+$) calculada para $C_{28}H_{36}F_3N_2O_8$, 585.2418; encontrada, 585.2422	^1H RMN (500 MHz, $CDCl_3$) δ 8.23 (d, *J* = 5.5 Hz, 2H), 7.43 (d, *J* = 8.5 Hz, 2H), 6.97 (d, *J* = 8.7 Hz, 2H), 6.94 (d, *J* = 5.4 Hz, 1H), 5.73 (s, 2H), 5.25 (qd, *J* = 6.4, 3.9 Hz, 1H), 4.60 (p, *J* = 7.3 Hz, 1H), 4.50 (dd, *J* = 6.6, 3.9 Hz, 1H), 3.91 (s, 3H), 2.07 (s, 3H), 1.64 - 1.52 (m, 2H), 1.51 - 1.42 (m, 1H), 1.41 - 1.36 (m, 2H), 1.35 (d, *J* = 6.4 Hz, 3H), 1.25 (d, *J* = 7.2 Hz, 3H), 0.92 (t, *J* = 7.4 Hz, 3H), 0.87 (t, *J* = 7.3 Hz, 3H)
595	- - -	3379, 2964,	HRMS - ESI (*m/z*)	^1H RMN (500 MHz, $CDCl_3$) δ 8.24 (t, *J*

*Comp. No.	P.F. (°C)	*1R (cm^{-1})	MASA	RMN (^{1}H, ^{13}C, ^{19}F)
		2877, 1740, 1678, 1571, 1505, 1478	($[M+H]^+$) calculada para $C_{33}H_{41}N_2O_8$, 593.2857, encontrada, 593.286	= 6.4 Hz, 2H), 7.61 - 7.52 (m, 2H), 7.43 (t, *J* = 7.7 Hz, 2H), 7.37 - 7.32 (m, 1H), 7.28 (d, *J* = 8.0 Hz, 1H), 7.17 - 7.08 (m, 2H), 6.94 - 6.86 (m, 2H), 5.78 - 5.68 (m, 2H), 5.26 (qd, *J* = 6.4, 4.3 Hz, 1H), 4.59 (p, *J* = 7.3 Hz, 1H), 4.52 (dd, *J* = 6.6, 4.3 Hz, 1H), 3.89 (s, 3H), 2.06 (s, 3H), 1.71 - 1.61 (m, 1H), 1.62 - 1.53 (m, 1H), 1.55 - 1.47 (m, 1H), 1.49 - 1.33 (m, 2H), 1.39 (d, *J* = 6.4 Hz, 3H), 1.19 (d, *J* = 7.2 Hz, 3H), 0.94 (t, *J* = 7.4 Hz, 3H), 0.91 (t, *J* = 7.2 Hz, 3H)
596	- - -	3378, 2964, 2876, 1737, 1675, 1504, 1484, 1451	HRMS - ESI (*m/z*) ($[M+H]^+$) calculada para $C_{33}H_{41}N_2O_8$, 593.2857; encontrada, 593.2871	^{1}H RMN (500 MHz, $CDCl_3$) δ 8.25 (dd, *J* = 6.5, 3.3 Hz, 1H), 8.21 (d, *J* = 5.4 Hz, 1H), 7.52 – 7.49 (m, 2H), 7.44 - 7.37 (m, 4H), 7.33 - 7.27 (m, 1H), 6.98 (d, *J* = 8.7 Hz, 2H), 6.87 (d, *J* = 5.4 Hz, 1H), 5.72 (s, 2H), 5.26 (qd, *J* = 6.3, 4.2 Hz, 1H), 4.62 (p, *J* = 7.4 Hz, 1H), 4.48 (dd, *J* = 6.7, 4.2 Hz, 1H), 3.86 (s, 3H), 2.06 (s, 3H), 1.70 - 1.61 (m, 1H), 1.62 - 1.53 (m, 1H), 1.55 - 1.47 (m, 1H), 1.46 - 1.39 (m, 2H), 1.38 (d, *J* = 6.4 Hz, 3H), 1.24 (d, *J* = 7.2 Hz, 3H), 0.94 (t, *J* = 8.5 Hz, 3H),

*Comp. No.	P.F. (°C)	*1R (cm^{-1})	MASA	RMN (^{1}H, ^{13}C, ^{19}F)
				0.91 (t, *J* = 8.5 Hz, 3H)
597	- - -	3383, 2965, 2939, 2878, 1771, 1737, 1677, 1591, 1508, 1488	HRMS - ESI (*m/z*) ($[M+H]^+$) calculada para $C_{26}H_{34}FN_2O_7$, 505.2345; encontrada, 505.2358	^{1}H RMN (500 MHz, $CDCl_3$) δ 8.48 - 8.39 (m, 1H), 8.31 (d, *J* = 5.5 Hz, 1H), 7.14 (td, *J* = 8.3, 6.9 Hz, 1H), 6.99 (d, *J* = 5.4 Hz, 1H), 6.69 (dd, *J* = 8.2, 2.3 Hz, 1H), 6.65 - 6.53 (m, 2H), 5.22 (qd, *J* = 6.5, 4.2 Hz, 1H), 4.59 (p, *J* = 7.3 Hz, 1H), 4.40 (dd, *J* = 6.5, 4.2 Hz, 1H), 3.91 (s, 3H), 2.39 (s, 3H), 1.65 - 1.50 (m, 1H), 1.50 - 1.42 (m, 1H), 1.44 - 1.27 (m, 3H), 1.33 (d, *J* = 6.6 Hz, 3H), 1.24 (d, *J* = 7.2 Hz, 3H), 0.92 (t, *J* = 7.5 Hz, 3H), 0.88 (t, *J* = 7.4 Hz, 3H)
598	- - -	3382, 2964, 2939, 2877, 1771, 1736, 1676, 1502	HRMS - ESI (*m/z*) ($[M+H]^+$) calculada para $C_{26}H_{34}FN_2O_7$, 505.2345; encontrada, 505.2352	^{1}H RMN (500 MHz, $CDCl_3$) δ 8.40 (d, *J* = 7.8 Hz, 1H), 8.29 (d, *J* = 5.4 Hz, 1H), 6.99 (d, *J* = 5.5 Hz, 1H), 6.94 - 6.76 (m, 4H), 5.22 (qd, *J* = 6.4, 3.8 Hz, 1H), 4.59 (p, *J* = 7.3 Hz, 1H), 4.30 (dd, *J* = 6.7, 3.9 Hz, 1H), 3.91 (s, 3H), 2.39 (s, 3H), 1.66 - 1.58 (m, 1H), 1.55 - 1.50 (m, 1H), 1.50 - 1.42 (m, 1H), 1.42 - 1.29 (m, 2H), 1.34 (d, *J* = 6.5 Hz, 3H), 1.23 (d, *J* = 7.2 Hz, 3H), 0.91 (t, *J* = 7.4 Hz, 3H), 0.88 (t, *J* = 7.1 Hz,

*Comp. No.	P.F. (°C)	*1R (cm^{-1})	MASA	RMN (^{1}H, ^{13}C, ^{19}F)
				3H)
599	- - -	3383, 2964, 2938, 2877, 1771, 1737, 1676, 1590, 1573, 1507, 1476	HRMS - ESI (*m/z*) ($[M+H]^+$) calculada para $C_{26}H_{34}ClN_2O_7$, 521.2049; encontrada, 521.2057	^{1}H RMN (500 MHz, $CDCl_3$) δ 8.44 (s, 1H), 8.30 (d, *J* = 5.5 Hz, 1H), 7.11 (t, *J* = 8.2 Hz, 1H), 6.99 (d, *J* = 5.4 Hz, 1H), 6.91 (t, *J* = 2.2 Hz, 1H), 6.85 (ddd, *J* = 7.9, 2.0, 1.0 Hz, 1H), 6.79 (dd, *J* = 8.5, 2.4 Hz, 1H), 5.23 (qd, *J* = 6.5, 4.1 Hz, 1H), 4.59 (p, *J* = 7.3 Hz, 1H), 4.40 (dd, *J* = 6.7, 4.0 Hz, 1H), 3.91 (s, 3H), 2.39 (s, 3H), 1.65 – 1.49 (m, 2H), 1.50 - 1.42 (m, 1H), 1.44 - 1.27 (m, 2H), 1.33 (d, *J* = 6.5 Hz, 3H), 1.25 (d, *J* = 7.2 Hz, 3H), 0.92 (t, *J* 7.4 Hz, 3H), 0.88 (t, *J* = 7.4 Hz, 3H)
600	- - -	3381, 2964, 2939, 2877, 1771, 1736, 1676, 1591, 1507, 1487	HRMS - ESI (*m/z*) ($[M+H]^+$) calculada para $C_{26}H_{34}ClN_2O_7$, 521.2049, encontrada, 521.2055	^{1}H RMN (500 MHz, $CDCl_3$) δ 8.40 (d, *J* = 7.9 Hz, 1H), 8.28 (d, *J* = 5.4 Hz, 1H), 7.11 (d, *J* = 8.9 Hz, 2H), 7.00 (d, *J* = 5.4 Hz, 1H), 6.82 (d, *J* = 9.0 Hz, 2H), 5.22 (qd, *J* = 6.4, 4.0 Hz, 1H), 4.60 (p, *J* = 7.3 Hz, 1H), 4.34 (dd, *J* = 6.7, 3.9 Hz, 1H), 3.91 (s, 3H), 2.39 (s, 3H), 1.65 - 1.48 (m, 1H), 1.49 - 1.41 (m, 1H), 1.43 - 1.28 (m, 3H), 1.33 (d, *J* = 6.5 Hz, 3H), 1.26 (d, *J* = 7.2 Hz, 3H), 0.90 (t, *J* = 7.4 Hz, 3H), 0.86 t, *J*

*Comp. No.	P.F. (°C)	*1R (cm^{-1})	MASA	RMN (^{1}H, ^{13}C, ^{19}F)
				= 7.3 Hz, 3H)
601	- - -	3381, 2965, 2940, 2877, 1770, 1736, 1675, 1507, 1476	HRMS - ESI (*m/z*) ($[M+H]^+$) calculada para $C_{26}H_{33}Cl_2N_2O_7$, 555.1659; encontrada, 555.1658	^{1}H RMN (500 MHz, $CDCl_3$) δ 8.41 - 8.31 (m, 1H), 8.27 (d, *J* = 5.5 Hz, 1H), 7.30 - 7.28 (m, 1H), 7.00 (d, *J* = 5.4 Hz, 1H), 6.98 - 6.92 (m, 1H), 6.82 (d, *J* = 9.0 Hz, 1H), 5.25 (pd, *J* = 6.4, 5.5, 2.4 Hz, 1H), 4.59 (p, *J* = 7.3 Hz, 1H), 4.41 (dd, *J* = 6.9, 3.6 Hz, 1H), 3.92 (s, 3H), 2.39 (s, 3H), 1.66 - 1.53 (m, 2H), 1.53 - 1.44 (m, 1H), 1.39 (d, *J* = 6.5 Hz, 3H), 1.45 - 1.32 (m, 2H), 1.25 (d, *J* = 7.2 Hz, 3H), 0.91 (t, *J* = 8.1 Hz, 3H), 0.87 (t, *J* = 7.5 Hz, 3H)
602	- - -	3382, 2965, 2940, 2878, 1770, 1738, 1676, 1507	HRMS - ESI (*m/z*) ($[M+H]^+$) calculada para $C_{26}H_{33}F_2N_2O_7$, 523.225; encontrada, 523.225	RMN (500 MHz, $CDCl_3$) δ 8.42 (d, *J* = 7.6 Hz, 1H), 8.31 (d, *J* = 5.4 Hz, 1H), 7.03 - 6.98 (m, 1H), 6.98 - 6.90 (m, 1H), 6.70 (ddd, *J* = 9.9, 6.6, 3.0 Hz, 1H), 6.54 (ddt, *J* = 8.9, 7.5, 3.2 Hz, 1H), 5.24 (t, *J* = 6.4, 3.3 Hz, 1H), 4.56 (p, *J* = 7.3 Hz, 1H), 4.35 (dd, *J* = 7.0, 3.6 Hz, 1H), 3.91 (s, 3H), 2.38 (s, 3H), 1.70 - 1.57 (m, 2H), 1.54 - 1.45 (m, 1H), 1.46 - 1.31 (m, 2H), 1.37 (d, *J* = 6.5 Hz, 3H), 1.21 (d, *J* = 7.2 Hz, 3H), 0.93 (t, *J* = 7.3 Hz, 3H), 0.90 (t, *J* =

*Comp. No.	P.F. (°C)	*1R (cm^{-1})	MASA	RMN (^{1}H, ^{13}C, ^{19}F)
				7.4 Hz, 3H)
603	- - -	3381, 2965, 2940, 2877, 1771, 1738, 1676, 1603, 1588, 1507	HRMS - ESI (*m/z*) ($[M+H]^+$) calculada para $C_{26}H_{33}ClFN_2O_7$, 539.1955; encontrada, 539.197	^{1}H RMN (500 MHz, $CDCl_3$) δ 8.44 (s, 1H), 8.31 (d, *J* = 5.5 Hz, 1H), 7.00 (d, *J* = 5.3 Hz, 1H), 6.71 (d, *J* = 2.5 Hz, 1H), 6.63 (dt, *J* = 8.3, 2.0 Hz, 1H), 6.53 (dt, *J* = 10.8, 2.2 Hz, 1H), 5.22 (qd, *J* = 6.5, 4.0 Hz, 1H), 4.60 (p, *J* = 7.3 Hz, 1H), 4.36 (dd, *J* = 6.6, 4.0 Hz, 1H), 3.91 (s, 3H), 2.39 (s, 3H), 1.61 - 1.48 (m, 2H), 1.49 - 1.22 (m, 3H), 1.32 (d, *J* = 6.5 Hz, 3H), 1.30 (d, *J* = 7.3 Hz, 3H), 0.92 (t, *J* = 7.4 Hz, 3H), 0.88 (t, *J* = 7.2 Hz, 3H)
604	- - -	3381, 2964, 2939, 2877, 1771, 1736, 1675, 1587, 1507, 1479	HRMS - ESI (*m/z*) ($[M+H]^+$) calculada para $C_{26}H_{34}ClN_2O_7$, 521.2049, encontrada, 521.2059	^{1}H RMN (500 MHz, $CDCl_3$) δ 8.43 - 8.38 (m, 1H), 8.30 (d, *J* = 5.4 Hz, 1H), 7.29 (dd, *J* = 7.8, 1.7 Hz, 1H), 7.09 (ddd, *J* = 8.8, 7.4, 1.7 Hz, 1H), 6.99 (d, *J* = 5.5 Hz, 1H), 6.92 (dd, *J* = 8.6, 1.2 Hz, 1H), 6.80 (td, *J* = 7.6, 1.4 Hz, 1H), 5.25 (qd, *J* = 6.5, 3.8 Hz, 1H), 4.56 (p, *J* = 7.3 Hz, 1H), 4.50 (dd, *J* = 6.9, 3.8 Hz, 1H), 3.91 (s, 3H), 2.38 (s, 3H), 1.71 - 1.59 (m, 2H), 1.54 - 1.47 (m, 1H), 1.49 - 1.35 (m, 2H), 1.41 (d, *J* = 6.4 Hz, 3H), 1.16 (d, *J* = 7.2 Hz,

*Comp. No.	P.F. (°C)	*1R (cm^{-1})	MASA	RMN (^{1}H, ^{13}C, ^{19}F)
				3H), 0.93 (t, *J* = 7.4 Hz, 3H), 0.91 (t, *J* = 7.4 Hz, 3H)
605	- - -	3382, 2966, 2941, 2878, 1772, 1738, 1677, 1513	HRMS - ESI (*m/z*) ($[M+H]^+$) calculada para $C_{27}H_{34}F_3N_2O_7$, 555.2313; encontrada, 555.2313	^{1}H RMN (500 MHz, $CDCl_3$) δ 8.39 (d, *J* = 8.1 Hz, 1H), 8.26 (d, *J* = 5.4 Hz, 1H), 7.41 (d, *J* = 8.5 Hz, 2H), 6.99 (d, *J* = 5.5 Hz, 1H), 6.96 (d, *J* = 8.5 Hz, 2H), 5.24 (qd, *J* = 6.0, 3.5 Hz, 1H), 4.59 (p, *J* = 7.3 Hz, 1H), 4.48 (dd, *J* = 6.7, 3.8 Hz, 1H), 3.91 (s, 3H), 2.39 (s, 3H), 1.63 - 1.50 (m, 2H), 1.51 - 1.43 (m, 1H), 1.43 - 1.29 (m, 2H), 1.33 (d, *J* = 6.5 Hz, 3H), 1.25 (d, *J* = 7.1 Hz, 3H), 0.91 (t, *J* = 7.4 Hz, 3H), 0.87 (t, *J* = 7.3 Hz, 3H)
606	- - -	3382, 2964, 2938, 2876, 1771, 1736, 1677, 1592, 1570, 1507	HRMS - ESI (*m/z*) ($[M+H]^+$) calculada para $C_{32}H_{39}N_2O_7$, 563.2752, encontrada, 563.2756	^{1}H RMN (500 MHz, $CDCl_3$) δ 8.43 (s, 1H), 8.28 (d, *J* = 5.4 Hz, 1H), 7.59 - 7.49 (m, 2H), 7.43 (dd, *J* = 8.5, 6.9 Hz, 2H), 7.38 - 7.30 (m, 1H), 7.31 - 7.23 (m, 1H), 7.13 (ddd, *J* = 8.9, 5.1, 1.6 Hz, 2H), 6.96 (d, *J* = 5.4 Hz, 1H), 6.90 (dd, *J* = 7.9, 2.3 Hz, 1H), 5.25 (qd, *J* = 6.4, 4.3 Hz, 1H), 4.58 (p, *J* = 7.3 Hz, 1H), 4.51 (dd, *J* = 6.6, 4.3 Hz, 1H), 3.89 (s, 3H), 2.38 (s, 3H), 1.70 - 1.61 (m, 1H), 1.63 - 1.53 (m, 1H),

*Comp. No.	P.F. (°C)	*1R (cm^{-1})	MASA	RMN (^{1}H, ^{13}C, ^{19}F)
				1.53 - 1.46 (m, 1H), 1.47 - 1.32 (m, 2H), 1.37 (d, *J* 6.4 Hz, 3H), 1.18 (d, *J* = 7.2 Hz, 3H), 0.94 (t, *J* = 7.4 Hz, 3H), 0.91 (t, *J* = 7.1 Hz, 3H)
607	- - -	3382, 2964, 2938, 2876, 1771, 1736, 1676, 1509, 1485	HRMS - ESI (*m/z*) ($[M+H]^+$) calculada para $C_{32}H_{39}N_2O_7$, 563.2752, encontrada, 563.2748	^{1}H RMN (500 MHz, $CDCl_3$) δ 8.42 (d, *J* = 7.8 Hz, 1H), 8.24 (d, *J* = 5.4 Hz, 1H), 7.52 - 7.46 (m, 2H), 7.44 - 7.34 (m, 4H), 7.32 - 7.27 (m, 1H), 7.00 - 6.93 (m, 2H), 6.90 (d, *J* = 5.5 Hz, 1H), 5.26 (qd, *J* = 6.4, 3.3 Hz, 1H), 4.61 (p, *J* = 7.3 Hz, 1H), 4.46 (dd, *J* = 6.7, 4.1 Hz, 1H), 3.85 (s, 3H), 2.38 (s, 3H), 1.69 - 1.52 (m, 1H), 1.56 - 1.43 (m, 1H), 1.46 - 1.32 (m, 3H), 1.37 (d, *J* = 6.5 Hz, 3H), 1.23 (d, *J* = 7.2 Hz, 3H), 0.93 (t, *J* = 7.4 Hz, 3H), 0.90 (t, *J* = 7.4 Hz, 3H)
608	- - -	- - -	HRMS - ESI (*m/z*) ($[M+H]^+$) calculada para $C_{26}H_{33}Cl_2N_2O_9$, 587.1563, encontrada, 587.1564	^{1}H RMN (400 MHz, $CDCl_3$) δ 8.23 (d, *J* = 5.4 Hz, 1H), 8.18 (d, *J* = 7.7 Hz, 1H), 7.29 (dd, *J* = 1.7, 1.1 Hz, 1H), 7.03 - 7.01 (m, 2H), 6.95 (d, *J* = 5.4 Hz, 1H), 5.79 - 5.65 (m, 2H), 5.16 (qd, *J* = 6 5, 2.9 Hz, 1H), 4.60 (p, *J* = 7.2 Hz, 1H), 4.43 (dd, *J* = 7.3, 2.9 Hz, 1H), 3.91 (s, 3H), 3.38 (s, 3H), 3.30

*Comp. No.	P.F. (°C)	*1R (cm^{-1})	MASA	RMN (^{1}H, ^{13}C, ^{19}F)
				(td, *J* = 7.3, 4.0 Hz, 1H), 2.07 (s, 3H), 1.77 - 1.63 (m, 1H), 1.57 - 1.44 (m, 1H), 1.44 (d, *J* = 6.5 Hz, 3H), 1.21 (d, *J* = 7.2 Hz, 3H), 1.01 (t, *J* = 7.4 Hz, 3H) 13C RMN (101 MHz, $CDCl_3$) δ 171.99, 170.24, 162.97, 160.26, 154.45, 145.65, 143.98, 142.21, 129.70, 127.50, 125.86, 124.46, 116.78, 109.62, 89.51, 84.06, 82.21, 71.56, 59.23, 56.18, 48.19, 23.45, 20.85, 17.64, 14.11, 9.07
609	- - -	- - -	HRMS - ESI (*m/z*) ($[M+H]^+$) calculada para $C_{25}H_{33}N_2O_8$, 489.2237, encontrada, 489.2241	^{1}H RMN (400 MHz, $CDCl_3$) δ 8.46 (d, *J* = 8.0 Hz, 1H), 8.31 (d, *J* = 5.4 Hz, 1H), 7.26 - 7.17 (m, 2H), 7.04 - 6.97 (m, 3H), 6.91 (tt, *J* = 7.4, 1.1 Hz, 1H), 5.24 (qd, *J* = 6.5, 4.7Hz, 1H), 4.69 - 4.57 (m, 1H), 4.44 (t, *J* = 4.8 Hz, 1H), 3.89 (s, 3H), 3.42 (s, 3H), 3.27 (ddd, *J* = 6.7, 5.5, 4.8 Hz, 1H), 2.38 (s, 3H), 1.66 - 1.56 (m, 2H), 1.36 (d, *J* = 6.5 Hz, 3H), 1.26 (d, *J* = 7.2 Hz, 3H), 0.94 (t, *J* = 7.4 Hz, 3H) ^{13}C RMN (101 MHz, $CDCl_3$) δ 171.91, 168.87, 162.41, 159.71, 159.46, 146.66, 141.44, 137.51, 129.44,

*Comp. No.	P.F. (°C)	*1R (cm^{-1})	MASA	RMN (^{1}H, ^{13}C, ^{19}F)
				121.31, 116.31, 109.79, 82.29, 80.94, 71.88, 59.08, 56.29, 48.00, 23.28, 20.73, 18.06, 15.45, 9.73
610	- - -	- - -	HRMS - ESI (*m/z*) ($[M+H]^+$) calculada para $C_{26}H_{35}N_2O_9$, 519.2342, encontrada, 519.2344	^{1}H RMN (400 MHz, $CDCl_3$) δ 8.32 - 8.23 (m, 2H), 7.26 - 7.17 (m, 2H), 7.05 - 6.97 (m, 2H), 6.97 - 6.86 (m, 2H), 5.73 (d, *J* = 0.7 Hz, 2H), 5.24 (qd, *J* = 6 5, 4.6 Hz, 1H), 4.70 - 4.56 (m, 1H), 4.45 (t, *J* = 4.8 Hz, 1H), 3.90 (s, 3H), 3.42 (s, 3H), 3.29 (dt, *J* = 6 9, 5.3 Hz, 1H), 2.07 (s, 3H), 1.67 - 1.56 (m, 2H), 1.38 (d, *J* = 6.5 Hz, 3H), 1.28 (d, *J* = 7.2 Hz, 3H), 0.95 (t, *J* = 7.4 Hz, 3H) ^{13}C RMN (101 MHz, $CDCl_3$) δ 172.01, 170.26, 163.00, 160.29, 159.73, 145.71, 144.01, 142.41, 129.43, 121.31, 116.32, 109.60, 89.54, 82.30, 81.00, 71.87, 59.09, 56.19, 48.20, 23.29, 20.86, 17.91, 15.42, 9.72
611	- - -	- - -	HRMS - ESI (*m/z*) ($[M+H]^+$) calculada para $C_{28}H_{39}N_2O_9$, 547.2655; encontrada,	^{1}H RMN (400 MHz, $CDCl_3$) δ 8.34 (d, *J* = 7.8 Hz, 1H), 8.25 (d, *J* = 5.3 Hz, 1H), 7.26 - 7.18 (m, 2H), 7.07 - 6.97 (m, 2H), 6.97 - 6.83 (m, 2H), 5.89 - 5.69 (m, 2H), 5.24 (qd, *J* = 6.5, 4.7

*Comp. No.	P.F. (°C)	*1R (cm^{-1})	MASA	RMN (^{1}H, ^{13}C, ^{19}F)
			547.2653	Hz, 1H), 4.70 - 4.56 (m, 1H), 4.45 (t, *J* = 4.8 Hz, 1H), 3.88 (s, 3H), 3.42 (s, 3H), 3.29 (dt, *J* = 6 9, 5.3 Hz, 1H), 2.55 (hepteto, *J* = 7.0 Hz, 1H), 1.71 - 1.51 (m, 2H), 1.37 (d, *J* = 6.5 Hz, 3H), 1.28 (d, *J* = 7.2 Hz, 3H), 1.14 (d, *J* = 7.0 Hz, 6H), 0.95 (t, *J* = 7.4 Hz, 3H) ^{13}C RMN (101 MHz, $CDCl_3$) δ 176.23, 172.02, 162.97, 160.28, 159.74, 145.55, 144.26, 142.05, 129.43, 121.30, 116.32, 109.53, 89.92, 82.30, 81.00, 71.85, 59.10, 56.13, 48.19, 33.84, 23.29, 18.66, 17.92, 15.43, 9.72
612	- - -	- - -	HRMS - ESI (*m/z*) ($[M+H]^+$) calculada para $C_{31}H_{37}N_2O_8$, 565.2544; encontrada, 565.2549	^{1}H RMN (500 MHz, $CDCl_3$) δ 8.24 (dd, *J* = 6.5, 3.0 Hz, 1H), 8.20 (d, *J* = 5.4 Hz, 1H), 7.59 - 7.46 (m, 2H), 7.46 - 7.36 (m, 4H), 7.35 - 7.27 (m, 1H), 6.99 (d, *J* = 8.8 Hz, 2H), 6.86 (d, *J* = 5.4 Hz, 1H), 5.72 (s, 2H), 5.32 - 5.20 (m, 1H), 4.61 (p, *J* = 7.2 Hz, 1H), 4.25 (dd, *J* = 7.1, 4.0 Hz, 1H), 3.85 (s, 3H), 2.06 (s, 3H), 1.99 (dq, *J* = 13 6, 6.8 Hz, 1H), 1.37 (d, *J* = 6.5 Hz, 3H), 1.24 (d, *J* = 7.2 Hz, 3H), 1.05 (d, *J* = 6.7 Hz, 3H), 1.03 (d, *J* = 6.8 Hz, 3H)

*Comp. No.	P.F. (°C)	*1R (cm^{-1})	MASA	RMN (^{1}H, ^{13}C, ^{19}F)
				^{13}C RMN (126 MHz, $CDCl_3$) δ 172.18, 170.28, 162.96, 160.23, 159.68, 145.65, 144.02, 142.34, 140.76, 133.98, 128.67, 128.09, 126.71, 126.63, 116.42, 109.52, 89.59, 84.20, 72.67, 56.12, 48.24, 30.50, 20.87, 19.27, 18.68, 17.81, 14.61
613	- - -	- - -	HRMS - ESI (*m/z*) ($[M+H]^+$) calculada para $C_{31}H_{37}N_2O_8$, 565.2544; encontrada, 565.2546	^{1}H RMN (500 MHz, $CDCl_3$) δ 8.33 - 8.14 (m, 2H), 7.68 - 7.53 (m, 2H), 7.43 (t, *J* = 7.6 Hz, 2H), 7.38 - 7.26 (m, 2H), 7.19 - 7.09 (m, 2H), 6.92 (dd, *J* = 7.5, 3.9 Hz, 2H), 5.78 - 5.66 (m, 2H), 5.31 - 5.17 (m, 1H), 4.65 - 4.52 (m, 1H), 4.29 (dd, *J* = 6.9, 4.2 Hz, 1H), 3.89 (s, 3H), 2.06 (s, 3H), 2.00 (dq, *J* = 13 6, 6.9 Hz, 1H), 1.38 (d, *J* = 6.5 Hz, 3H), 1.18 (d, *J* = 7.2 Hz, 3H), 1.06 (d, *J* = 6.7 Hz, 3H), 1.03 (d, *J* = 6.8 Hz, 3H) ^{13}C RMN (126 MHz, $CDCl_3$) δ 172.23, 170.29, 162.94, 160.49, 160.25, 145.67, 144.02, 142.79, 142.40, 140.97, 129.73, 128.73, 127.39, 127.13, 119.95, 115.36, 114.82, 109.51, 89.59, 84.15, 72.71, 56.16, 48.18, 30.43, 20.87, 19.29, 18 63,

*Comp. No.	P.F. (°C)	*1R (cm^{-1})	MASA	RMN (^{1}H, ^{13}C, ^{19}F)
				17.72, 14.74
614	- - -	- - -	HRMS - ESI (*m/z*) ($[M+H]^+$) calculada para $C_{25}H_{32}FN_2O_8$, 507.2137, encontrada, 507.2141	^{1}H RMN (500 MHz, $CDCl_3$) δ 8.25 (t, *J* = 5.8 Hz, 2H), 7.20 - 7.08 (m, 1H), 6.94 (d, *J* = 5.4 Hz, 1H), 6.71 (dd, *J* = 8.3, 2.0 Hz, 1H), 6.67 - 6.51 (m, 2H), 5.73 (s, 2H), 5.26 - 5.14 (m, 1H), 4.60 (p, *J* = 7.3 Hz, 1H), 4.19 (dd, *J* = 7.1, 4.0 Hz, 1H), 3.91 (s, 3H), 2.07 (s, 3H), 1.97 (h, *J* = 6.8 Hz, 1H), 1.34 (d, *J* = 6.5 Hz, 3H), 1.26 (d, *J* = 7.2 Hz, 3H), 1.02 (d, *J* = 4.6 Hz, 3H), 1.00 (d, *J* = 4.7 Hz, 3H) ^{13}C RMN (126 MHz, $CDCl_3$) δ 172.17, 170.30, 163.53 (d, *J* = 245.3 Hz), 162.97, 161.36 (d, *J* = 10.8 Hz), 160.29, 145.69, 144.04, 142.36, 130.17 (d, *J* = 10.1 Hz), 111.67 (d, *J* = 2.8 Hz), 109.55, 107.74 (d, *J* = 21.3 Hz), 103.75 (d, *J* = 24.4 Hz), 89.59, 84.32, 72.47, 56.19, 48.18, 30.36, 20.88, 19.19, 18.56, 17.82, 14.55
615	- - -	- - -	HRMS - ESI (*m/z*) ($[M+H]^+$) calculada para $C_{25}H_{32}FN_2O_8$, 507.2137;	^{1}H RMN (500 MHz, $CDCl_3$) δ 8.24 (d, *J* = 5.4 Hz, 1H), 8.22 (d, *J* = 7.6 Hz, 1H), 6.98 - 6.84 (m, 5H), 5.73 (s, 2H), 5.21 (td, *J* = 6 5, 3.9 Hz, 1H), 4.59 (p,

*Comp. No.	P.F. (°C)	*1R (cm^{-1})	MASA	RMN (^{1}H, ^{13}C, ^{19}F)
			encontrada, 507.2143	*J* = 7.3 Hz, 1H), 4.08 (dd, *J* = 7.2, 3.8 Hz, 1H), 3.91 (d, *J* = 2.6 Hz, 3H), 2.07 (s, 3H), 1.95 (dq, *J* = 13.7, 6.8 Hz, 1H), 1.34 (d, *J* = 6.5 Hz, 3H), 1.24 (d, *J* = 7.2 Hz, 3H), 1.02 (d, *J* = 6.7 Hz, 3H), 1.00 (d, *J* = 6.8 Hz, 3H) ^{13}C RMN (126 MHz, $CDCl_3$) δ 172.13, 170.30, 162.96, 160.30, 157.20 (d, *J* = 237.0 Hz), 156.25, 145.67, 144.05, 142.35, 117.37 (d, *J* = 7.9 Hz), 115.71 (d, *J* = 23.0 Hz), 109.57, 89.58, 85.31, 72.65, 56.19, 48.20, 30.45, 20.88, 19.25, 18.74, 17.83, 14.50
616	- - -	- - -	HRMS - ESI (*m/z*) ($[M+H]^+$) calculada para $C_{25}H_{31}F_2N_2O_8$, 525.2043; encontrada, 525.2058	^{1}H RMN (500 MHz, $CDCl_3$) δ 8.24 (dd, *J* = 13.8, 6.5 Hz, 2H), 7.08 - 6.96 (m, 1H), 6.96 - 6.86 (m, 1H), 6.72 (ddd, *J* = 9.8, 6.6, 2.9 Hz, 1H), 6.55 (ddt, *J* = 9.0, 7.7, 3.1 Hz, 1H), 5.74 (dd, *J* = 6.5, 0.9 Hz, 2H), 5.24 (qd, *J* = 6.5, 3.6 Hz, 1H), 4.57 (p, *J* = 7.2 Hz, 1H), 4.14 (dd, *J* = 7.5, 3.4 Hz, 1H), 3.91 (s, 3H), 2.07 (d, *J* = 2.2 Hz, 3H), 2.01 (dq, *J* = 13.7, 6.8 Hz, 1H), 1.38 (d, *J* = 6.5 Hz, 3H), 1.23 (d, *J* = 7.2 Hz, 3H), 1.07 (d, *J* = 6.7 Hz, 3H), 1.02 (d, *J* = 6.9 Hz, 3H)

*Comp. No.	P.F. (°C)	*1R (cm^{-1})	MASA	RMN (^1H, ^{13}C, ^{19}F)
				^{13}C RMN (126 MHz, $CDCl_3$) δ 172.13, 170.30, 162.97, 160.29, 158.47 (d, *J* = 242.4 Hz), 149.57 (dd, *J* = 240.5, 2.2 Hz), 148.52 (dd, *J* = 11.3, 9.6 Hz), 145.70, 144.03, 142.36, 116.62 (dd, *J* = 21.3, 10.2 Hz), 109.56, 107.31 (dd, *J* = 23.8, 6.9 Hz), 104.97 (d, *J* = 28.4 Hz), 89.58, 86.73, 72.58, 56.18, 48.16, 30.31, 20.87, 19.05, 18.76, 17.70, 14.06
617	- - -	- - -	HRMS - ESI (*m/z*) ($[M+H]^+$) calculada para $C_{25}H_{31}ClFN_2O_8$, 541.1747, encontrada, 541.1751	^1H RMN (500 MHz, $CDCl_3$) δ 8.32 - 8.22 (m, 2H), 6.94 (d, *J* = 5.4 Hz, 1H), 6.73 (s, 1H), 6.64 (dt, *J* = 8.3, 2.0 Hz, 1H), 6.55 (dt, *J* = 10 6, 2.2 Hz, 1H), 5.80 - 5.67 (m, 2H), 5.22 (td, 6 5, 3.9 Hz, 1H), 4.61 (p, *J* = 7.2 Hz, 1H), 4.15 (dd, *J* = 7.2, 3.8 Hz, 1H), 3.91 (s, 3H), 2.07 (s, 3H), 2.02 - 1.90 (m, 1H), 1.33 (d, *J* = 4.9 Hz, 3H), 1.32 (d, *J* = 5.6 Hz, 3H), 1.00 (d, *J* = 3.2 Hz, 3H), 0.99 (d, *J* = 3.1 Hz, 3H) ^{13}C RMN (126 MHz, $CDCl_3$) δ 172.16, 170.30, 163.27 (d, 248.0 Hz), 163.00, 161.47 (d, *J* = 12.3 Hz), 160.29, 145.70, 144.06, 142.29, 135.33 (d, *J* = 13.6 Hz), 112.39 (d, *J* = 3.2 Hz),

*Comp. No.	P.F. (°C)	*1R (cm^{-1})	MASA	RMN (^{1}H, ^{13}C, ^{19}F)
				109.58, 108.85 (d, *J* = 25.3 Hz), 102.25 (d, *J* = 24.7 Hz), 89.59, 84.70, 72.26, 56.19, 48.19, 30.35, 20.88, 19.11, 18.54, 17.83, 14.43
618	- - -	- - -	HRMS - ESI (*m/z*) ($[M+H]^+$) calculada para $C_{26}H_{32}F_3N_2O_8$, 557.2105; encontrada, 557.2108	^{1}H RMN (500 MHz, $CDCl_3$) δ 8.25 - 8.18 (m, 2H), 7.43 (d, *J* = 8.6 Hz, 2H), 6.98 (d, *J* = 8.6 Hz, 2H), 6.94 (d, *J* = 5.4 Hz, 1H), 5.73 (s, 2H), 5.29 - 5.19 (m, 1H), 4.60 (p, *J* = 7.3 Hz, 1H), 4.27 (dd, *J* = 7.2, 3.8 Hz, 1H), 3.91 (d, *J* = 3.3 Hz, 3H), 2.07 (s, 3H), 1.99 (dq, *J* = 13.7, 6.8 Hz, 1H), 1.34 (d, *J* = 6.5 Hz, 3H), 1.26 (d, *J* = 7.2 Hz, 3H), 1.01 (d, *J* = 4.3 Hz, 3H), 0.99 (d, *J* = 4.2 Hz, 3H) ^{13}C RMN (126 MHz, $CDCl_3$) δ 172.09, 170.31, 163.00, 162.46 (d, *J* = 1.3 Hz), 160.31, 145.67, 144.08, 142.24, 126.88 (q, *J* = 3.7 Hz), 124.33 (q, *J* = 271.2 Hz), 122.90 (q, *J* = 32.7 Hz), 115.83, 109.64, 89.57, 84.24, 72.36, 56.18, 48.25, 30.52, 20.87, 19.16, 18.59, 17.77, 14.45
619	- - -	- - -	HRMS - ESI (*m/z*) ($[M+H]^+$) calculada	^{1}H RMN (500 MHz, $CDCl_3$) δ 8.32 - 8.22 (m, 2H), 7.01 - 6.90 (m, 2H),

*Comp. No.	P.F. (°C)	*1R (cm^{-1})	MASA	RMN (^{1}H, ^{13}C, ^{19}F)
			para $C_{28}H_{37}F_2N_2O_8$, 567.2512; encontrada, 567.2517	6.72 (ddd, *J* = 9.8, 6.7, 2.9 Hz, 1H), 6.58 - 6.50 (m, 1H), 5.74 (d, *J* = 6.5 Hz, 1H), 5.72 (d, *J* = 6.5 Hz, 1H), 5.23 (td, *J* = 6.4, 3.8 Hz, 1H), 4.59 (dd, *J* = 9.0, 4.9 Hz, 1H), 4.09 (dd, *J* = 7.0, 3.8 Hz, 1H), 3.91 (s, 3H), 2.06 (s, 3H), 2.05 - 1.94 (m, 1H), 1.81 - 1.70 (m, 1H), 1.44 - 1.34 (m, 4H), 1.21 - 1.09 (m, 1H), 1.06 (d, *J* = 6.7 Hz, 3H), 1.01 (d, *J* = 6.9 Hz, 3H), 0.89 (d, *J* = 6.9 Hz, 3H), 0.85 (t, *J* = 7.4 Hz, 3H) ^{13}C RMN (126 MHz, $CDCl_3$) δ 170.92, 170.30, 163.16, 160.36, 158.47 (d, *J* = 242.2 Hz), 149.56 (dd, *J* = 241.4, 3.4 Hz), 148.42 (dd, *J* = 12.1, 10.4 Hz), 145.65, 144.15, 142.31, 116.54 (dd, *J* = 21.3, 10.2 Hz), 109.51, 107.25 (dd, *J* = 23.8, 7.0 Hz), 104.96 (dd, *J* = 26.9, 1.8 Hz), 89.69, 86.90, 72.23, 56.87, 56.18, 37.73, 30.25, 24.80, 20.88, 19.22, 18.42, 15.58, 14.54, 11.50
620	- - -	- - -	HRMS - ESI (*m/z*) ($[M+H]^+$) calculada para $C_{29}H_{38}F_3N_2O_8$,	^{1}H RMN (500 MHz, $CDCl_3$) δ 8.40 - 8.24 (m, 1H), 8.20 (d, *J* = 5.4 Hz, 1H), 7.40 (d, *J* = 8.6 Hz, 2H), 6.97 (d, *J* = 8.6 Hz, 2H), 6.94 (d, *J* = 5.4 Hz, 1H),

*Comp. No.	P.F. (°C)	*1R (cm^{-1})	MASA	RMN (^{1}H, ^{13}C, ^{19}F)
			599.2575; encontrada, 599.2578	5.75 (d, *J* = 6.5 Hz, 1H), 5.73 (d, *J* = 6.5 Hz, 1H), 5.28 - 5.18 (m, 1H), 4.62 (dd, *J* = 9.0, 5.0 Hz, 1H), 4.22 (dd, *J* = 6.8, 3.9 Hz, 1H), 3.91 (s, 3H), 2.07 (s, 3H), 2.04 - 1.95 (m, 1H), 1.89 - 1.76 (m, 1H), 1.40 (ddd, *J* = 13.3, 7.4, 4.1 Hz, 1H), 1.33 (d, *J* = 6.4 Hz, 3H), 1.21 - 1.08 (m, 1H), 1.00 (d, *J* = 2.7 Hz, 3H), 0.98 (d, *J* = 2.5 Hz, 3H), 0.90 (d, *J* = 6.9 Hz, 3H), 0.84 (t, *J* = 7.4 Hz, 3H) ^{13}C RMN (126 MHz, $CDCl_3$) δ 170.87, 170.30, 163.18, 162.34, 160.39, 145.60, 144.19, 142.17, 126.83 (q, *J* = 3.6 Hz), 124.35 (q, *J* = 271.1 Hz), 122.81 (q, *J* = 32.7 Hz), 115.86, 109.61, 89.66, 84.50, 72.05, 56.93, 56.17, 37.68, 30.47, 24.85, 20.88, 19.33, 18.34, 15.59, 14.83, 11.48
621	- - -	- - -	HRMS - ESI (*m/z*) ($[M+H]^+$) calculada para $C_{29}H_{35}N_2O_8$, 539.2388, encontrada, 539.2395	^{1}H RMN (500 MHz, $CDCl_3$) δ 8.35 - 8.27 (m, 1H), 8.27 - 8.16 (m, 2H), 7.82 - 7.74 (m, 1H), 7.50 - 7.42 (m, 2H), 7.36 (d, *J* = 8.2 Hz, 1H), 7.32 - 7.23 (m, 1H), 6.92 (d, *J* = 5.4 Hz, 1H), 6.86 (d, *J* = 7.7 Hz, 1H), 5.71 (s, 2H), 5.40 - 5.28 (m, 1H), 4.62 - 4.49 (m,

*Comp. No.	P.F. (°C)	*1R (cm^{-1})	MASA	RMN (^{1}H, ^{13}C, ^{19}F)
				2H), 3.90 (d, *J* = 2.6 Hz, 3H), 2.26 - 2.09 (m, 1H), 2.05 (s, 3H), 1.43 (d, *J* = 6.5 Hz, 3H), 1.19 (d, *J* = 7.2 Hz, 3H), 1.09 (d, *J* = 6.7 Hz, 3H), 1.05 (d, *J* = 6.8 Hz, 3H) ^{13}C RMN (126 MHz, $CDCl_3$) δ 172.21, 170.29, 162.93, 160.25, 155.38, 145.65, 144.02, 142.37, 134.75, 127.48, 126 34, 126.05, 125.65, 125.15, 122.18, 120.20, 109.51, 106.01, 89.59, 83.32, 72.51, 56.17, 48.18, 30.53, 20.87, 19.35, 18.31, 17.89, 15.05
622	- - -	- - -	HRMS - ESI (*m/z*) ($[M+H]^+$) calculada para $C_{29}H_{35}N_2O_8$, 539.2388; encontrada, 539.2397	^{1}H RMN (500 MHz, $CDCl_3$) δ 8.23 (dd, *J* = 10.4, 6.6 Hz, 1H), 8.18 (d, *J* = 5.4 Hz, 1H), 7.72 (t, *J* = 8.4 Hz, 2H), 7.65 (d, *J* = 8.2 Hz, 1H), 7.46 - 7.36 (m, 1H), 7.36 - 7.27 (m, 1H), 7.21 - 7.16 (m, 2H), 6.88 (d, *J* = 5.4 Hz, 1H), 5.79 - 5.67 (m, 2H), 5.31 - 5.24 (m, 1H), 4.59 (p, *J* = 7.2 Hz, 1H), 4.41 (dd, 6 8, 4.3 Hz, 1H), 3.89 (s, 3H), 2.11 - 1.99 (m, 4H), 1.39 (d, *J* = 6.5 Hz, 3H), 1.18 (d, *J* = 7.2 Hz, 3H), 1.05 (t, *J* = 6.4 Hz, 6H) ^{13}C RMN (126 MHz, $CDCl_3$) δ 172.24,

*Comp. No.	P.F. (°C)	*1R (cm^{-1})	MASA	RMN (^{1}H, ^{13}C, ^{19}F)
				170.28, 162.94, 160.21, 157.85, 145.60, 143.99, 142.31, 134.43, 129.49, 129.02, 127.55, 126.66, 126.31, 123.62, 119.37, 109.48, 109.07, 89.59, 83.77, 72.54, 56.14, 48.19, 30.48, 20.87, 19.32, 18.50, 17.87, 14.83
623	- - -	- - -	HRMS - ESI (*m/z*) ($[M+H]^+$) calculada para $C_{23}H_{35}N_2O_9$, 483.2337, encontrada, 483.2344	^{1}H RMN (500 MHz, $CDCl_3$) δ 8.34 (d, *J* = 7.8 Hz, 1H), 8.28 (d, *J* = 5.3 Hz, 1H), 6.95 (d, *J* = 5.4 Hz, 1H), 5.81 - 5.71 (m, 2H), 5.23 - 5.13 (m, 1H), 4.92 (dd, J__ 7 6, 4.2 Hz, 1H), 4.68 (p, *J* = 7.2 Hz, 1H), 3.91 (s, 3H), 2.60 (dt, 14.0, 7.0 Hz, 1H), 2.07 (s, 3H), 1.85 (dq, *J* = 13.8, 6.8 Hz, 1H), 1.48 (d, *J* = 7.2 Hz, 3H), 1.26 (d, *J* = 6.5 Hz, 3H), 1.22 - 1.18 (m, 6H), 0.95 (d, *J* = 6.8 Hz, 3H), 0.90 (d, *J* = 6.7 Hz, 3H) ^{13}C RMN (126 MHz, $CDCl_3$) δ 176.39, 172.08, 170.29, 163.01, 160.29, 145.72, 144.02, 142.47, 109.55, 89.61, 71.01, 56.18, 48.15, 34.31, 29.09, 20.88, 19.14, 19.10, 18.99, 18.22, 18.10, 14.31

*Comp. No.	P.F. (°C)	*1R (cm^{-1})	MASA	RMN (^{1}H, ^{13}C, ^{19}F)
624	- - -	- - -	HRMS - ESI (*m/z*) ($[M+H]^+$) calculada para $C_{31}H_{39}N_2O_8$, 567.2701; encontrada, 567.2703	^{1}H RMN (500 MHz, $CDCl_3$) δ 8.36 - 8.22 (m, 2H), 8.19 (d, *J* = 5.4 Hz, 1H), 7.81 - 7.72 (m, 1H), 7.52 - 7.43 (m, 2H), 7.35 (d, *J* = 8.3 Hz, 1H), 7.26 (d, *J* = 2.9 Hz, 1H), 6.91 (d, *J* = 5.4 Hz, 1H), 6.87 (d, *J* = 7.7Hz, 1H), 5.73 (d, *J* = 6.5 Hz, 1H), 5.71 (d, *J* = 6.5 Hz, 1H), 5.39 - 5.26 (m, 1H), 4.57 (dd, *J* = 9.3, 4.6 Hz, 1H), 4.53 - 4.42 (m, 1H), 3.90 (s, 3H), 2.25 - 2.11 (m, 1H), 2.05 (s, 3H), 2.02 - 1.90 (m, 1H), 1.42 (d, *J* = 6.4 Hz, 3H), 1.09 (d, *J* = 6.8 Hz, 3H), 1.04 (d, *J* = 6.9 Hz, 3H), 0.86 (d, *J* = 6.8 Hz, 3H), 0.81 (d, *J* = 6.9 Hz, 3H) ^{13}C RMN (126 MHz, $CDCl_3$) δ 171.07, 170.27, 163.28, 160.32, 155.31, 145.59, 144.11, 142.30, 134.73, 127.44, 126.32, 126.07, 125.63, 125.12, 122.22, 120.18, 109.48, 106.14, 89.68, 83.71, 72.20, 57.22, 56.18, 31.05, 30 45, 20.88, 19.49, 19.30, 18.06, 17.34, 15.44.
625	- - -	- - -	HRMS - ESI (*m/z*) ($[M+H]^+$) calculada para $C_{30}H_{35}N_2O_7$,	^{1}H RMN (500 MHz, $CDCl_3$) δ 8.42 (d, *J* = 6.6 Hz, 1H), 8.23 (d, *J* = 5.4 Hz, 1H), 7.59 - 7.45 (m, 2H), 7.40 (t, *J* =

*Comp. No.	P.F. (°C)	*1R (cm^{-1})	MASA	RMN (^{1}H, ^{13}C, ^{19}F)
			535.2439; encontrada, 535.2437	8.8 Hz, 4H), 7.29 (t, *J* = 7.3 Hz, 1H), 6.98 (d, *J* = 8.6 Hz, 2H), 6.89 (d, *J* = 5.4 Hz, 1H), 5.24 (dt, *J* = 9.9, 5.0 Hz, 1H), 4.69 - 4.52 (m, 1H), 4.24 (dd, *J* = 7.0, 3.9 Hz, 1H), 3.84 (s, 3H), 2.39 (s, 3H), 1.98 (dd, *J* = 13.1, 6.3 Hz, 1H), 1.36 (d, *J* = 6.5 Hz, 3H), 1.23 (d, *J* = 7.2 Hz, 3H), 1.03 (t, *J* = 7.5 Hz, 6H) ^{13}C RMN (126 MHz, $CDCl_3$) δ 172.06, 168.92, 162.38, 159.65, 159.37, 146.57, 141.37, 140.78, 137.47, 133.91, 128.66, 128.07, 126.76, 126.70, 126.59, 116.37, 109.70, 84.16, 72.68, 56.21, 48.02, 30.53, 20.76, 19.27, 18.69, 14.57
626	- - -	- - -	HRMS - ESI (*m/z*) ($[M+H]^+$) calculada para $C_{24}H_{30}FN_2O_7$, 477.2032; encontrada, 477.2037	^{1}H RMN (500 MHz, $CDCl_3$) δ 8.39 (s, 1H), 8.29 (d, *J* = 5.4 Hz, 1H), 6.99 (d, *J* = 5.5 Hz, 1H), 6.94 - 6.78 (m, 4H), 5.27 - 5.11 (m, 1H), 4.58 (p, *J* = 7.4 Hz, 1H), 4.07 (dd, *J* = 7.0, 3.5 Hz, 1H), 3.91 (s, 3H), 2.39 (s, 3H), 1.94 (dq, *J* = 13.5, 6.7 Hz, 1H), 1.33 (d, *J* = 6.6 Hz, 3H), 1.23 (d, *J* = 7.2 Hz, 3H), 1.02 (d, *J* = 6.8 Hz, 3H), 1.00 (d, *J* = 6.9 Hz, 3H) ^{13}C RMN (126 MHz, $CDCl_3$) δ 172.03,

*Comp. No.	P.F. (°C)	*1R (cm^{-1})	MASA	RMN (^{1}H, ^{13}C, ^{19}F)
				168.92, 162.37, 159.46, 157.17 (d, *J* = 240.8 Hz), 156.23, 146.61, 141.40, 137.51, 117.33 (d, *J* = 7.9 Hz), 115.70 (d, *J* = 23.1 Hz), 109.77, 85.26, 72.67, 56.30, 47.98, 30.47, 20.76, 19.25, 18.73, 14.47
627	- - -	- - -	HRMS - ESI (*m/z*) ($[M+H]^+$) calculada para $C_{24}H_{29}F_2N_2O_7$, 495.1937; encontrada, 495.1944	^{1}H RMN (500 MHz, $CDCl_3$) δ 8.50 - 8.35 (m, 1H), 8.31 (d, *J* = 5.4 Hz, 1H), 7.06 - 6.92 (m, 2H), 6.71 (ddd, *J* = 9 6, 6.8, 2.8 Hz, 1H), 6.59 - 6.49 (m, 1H), 5.34 - 5.08 (m, 1H), 4.55 (p, *J* = 7.4 Hz, 1H), 4.13 (dd, *J* = 7.4, 3.2 Hz, 1H), 3.91 (s, 3H), 2.39 (s, 3H), 2.00 (tt, *J* = 13.7, 6.1 Hz, 1H), 1.37 (d, *J* = 6.5 Hz, 3H), 1.21 (d, *J* = 7.2 Hz, 3H), 1.06 (d, *J* = 6.6 Hz, 3H), 1.02 (d, *J* = 6.9 Hz, 3H) ^{13}C RMN (126 MHz, $CDCl_3$) δ 172.04, 168.90, 162.39, 159.44, 157.52 (d, *J* = 2.5 Hz), 149.55 (dd, *J* = 241.3, 3.1 Hz), 148.49 (dd, *J* = 12.2, 10.3 Hz), 146.65, 141.39, 137.49, 116.60 (dd, *J* = 21.3, 10.1 Hz), 109.76, 107.31 (dd, *J* = 23.8, 7.1 Hz), 104.96 (d, *J* = 26.9 Hz), 86.69, 72.59, 56.29, 47.96, 30.94, 30.30, 19.05, 18.74, 14.06

*Comp. No.	P.F. (°C)	*1R (cm^{-1})	MASA	RMN (^{1}H, ^{13}C, ^{19}F)
628	- - -	- - -	HRMS - ESI (*m/z*) ($[M+H]^+$) calculada para $C_{24}H_{29}ClFN_2O_7$, 511.1642; encontrada, 511.1644	^{1}H RMN (500 $CDCl_3$) δ 8.44 (s, 1H), 8.31 (d, *J* = 5.4 Hz, 1H), 7.00 (d, *J* = 5.4 Hz, 1H), 6.74 (d, *J* = 14.7 Hz, 1H), 6.63 (d, *J* = 8.2 Hz, 1H), 6.54 (d, *J* = 10.7 Hz, 1H), 5.25 - 5.16 (m, 1H), 4.60 (p, *J* = 7.4 Hz, 1H), 4.14 (dd, *J* = 6 9, 3.9 Hz, 1H), 3.91 (s, 3H), 2.39 (s, 3H), 1.95 (h, *J* = 7.0 Hz, 1H), 1.31 (d, *J* = 4.1 Hz, 3H), 1.30 (d, *J* = 5.0 Hz, 3H), 1.00 (d, *J* = 4.4 Hz, 3H), 0.99 (d, *J* = 4.4 Hz, 3H) ^{13}C RMN (126 MHz, $CDCl_3$) δ 172.07, 168.91, 163.27 (d, *J* = 248.0 Hz), 162 42, 161.44 (d, *J* = 12.3 Hz), 159.45, 146.65, 141.36, 137.51, 135.32 (d, *J* = 13.6 Hz), 112.39, 109.77, 108.85 (d, *J* = 25.3 Hz), 102.21 (d, *J* = 24.8 Hz), 84 65, 72.26, 56.29, 47.97, 30.34, 20.75, 19.11, 18.51, 17.99, 14.44
629	- - -	- - -	HRMS - ESI (*m/z*) ($[M+H]^+$) calculada para $C_{25}H_{30}F_3N_2O_7$, 527.2000, encontrada, 527.2016	^{1}H RMN (500 MHz, $CDCl_3$) δ 8.38 (d, *J* = 7.5 Hz, 1H), 8.26 (d, *J* = 5.4 Hz, 1H), 7.41 (d, *J* = 8.5 Hz, 2H), 7.07 - 6.90 (m, 3H), 5.34 - 5.12 (m, 1H), 4.68 - 4.45 (m, 1H), 4.26 (dd, *J* = 6.9, 3.5 Hz, 1H), 3.91 (s, 3H), 2.39 (s, 3H), 1.97 (dd, *J* = 13.4, 6.5 Hz, 1H), 1.33

*Comp. No.	P.F. (°C)	*1R (cm^{-1})	MASA	RMN (^{1}H, ^{13}C, ^{19}F)
				(d, *J* = 6.4 Hz, 3H), 1.25 (d, *J* = 7.2 Hz, 3H), 0.99 (t, *J* = 6.8 Hz, 6H) ^{13}C RMN (126 MHz, $CDCl_3$) δ 171.97, 168.92, 162.42, 159.47, 146.59, 141.29, 137.53, 126.86 (q, *J* = 3.7 Hz), 124.34 (q, 270.9 Hz), 123.63 - 122.28 (m), 115.79, 109.84, 84.21, 72.39, 56.28, 48.05, 30.55, 20.76, 19.16, 18 60, 17.94, 14.39
630	- - -	- - -	HRMS - ESI (*m/z*) ($[M+H]^+$) calculada para $C_{27}H_{35}F_2N_2O7$ 537.2407; encontrada, 537.2410	^{1}H RMN (500 MHz, $CDCl_3$) δ 8.39 (d, *J* = 7.8 Hz, 1H), 8.31 (d, *J* = 5.4 Hz, 1H), 6.99 (d, *J* = 5.6 Hz, 1H), 6.96 (dt, *J* = 9.9, 4.7 Hz, 1H), 6.76 - 6.68 (m, 1H), 6.54 (t, *J* = 8.2 Hz, 1H), 5.28 - 5.14 (m, 1H), 4.54 (dd, *J* = 9.0, 4.9 Hz, 1H), 4.08 (dd, *J* = 6.8, 3.7 Hz, 1H), 3.91 (s, 3H), 2.39 (s, 3H), 2.01 (dq, *J* = 13 6, 7.1 Hz, 1H), 1.74 (d, *J* = 3.8 Hz, 1H), 1.45 - 1.32 (m, 4H), 1.21 - 1.08 (m, 1H), 1.05 (d, *J* = 6.7 Hz, 3H), 1.00 (d, *J* = 6.8 Hz, 3H), 0.88 (d, *J* = 6.8 Hz, 3H), 0.85 (t, *J* = 7.4 Hz, 3H) ^{13}C RMN (126 MHz, $CDCl_3$) δ 170.78, 168.89, 162.60, 159.44, 159.55 - 157.25 (m), 149.53 (dd, *J* = 241.3, 3.2

*Comp. No.	P.F. (°C)	*1R (cm^{-1})	MASA	RMN (^{1}H, ^{13}C, ^{19}F)
				Hz), 148.40 (dd, *J* = 12.2, 10.5 Hz), 146.64, 141.50, 137.48, 116.50 (dd, *J* = 21.3, 10.1 Hz), 109.69, 107.75 - 106.62 (m), 104.93 (dd, *J* = 26.8, 1.5 Hz), 86.84, 72.23, 56.75, 56.29, 37.72, 30.25, 24.80, 20.78, 19.20, 18.40, 15.48, 14 53, 11.50
631	- - -	- - -	HRMS - ESI (*m/z*) ($[M+H]^{+}$) calculada para $C_{28}H_{33}N_2O_7$, 509.2282, encontrada, 509.2285	^{1}H RMN (500 MHz, $CDCl_3$) δ 8.41 (s, 1H), 8.32 - 8.27 (m, 1H), 8.25 (d, *J* = 5.2 Hz, 1H), 7.84 - 7.71 (m, 1H), 7.51 - 7.43 (m, 2H), 7.35 (d, *J* = 8.0 Hz, 1H), 7.31 - 7.23 (m, 1H), 6.97 (d, *J* = 5.4 Hz, 1H), 6.86 (d, *J* = 7.8 Hz, 1H), 5.32 (p, *J* = 6.4 Hz, 1H), 4.64 - 4.44 (m, 2H), 3.90 (s, 3H), 2.38 (s, 3H), 2.12 (dt, *J* = 13.3, 6.6 Hz, 1H), 1.42 (d, *J* = 6.4 Hz, 3H), 1.17 (d, *J* = 7.2 Hz, 3H), 1.08 (d, *J* = 6.6 Hz, 3H), 1.05 (d, *J* = 6.6 Hz, 3H) ^{13}C RMN (126 MHz, $CDCl_3$) δ 172.11, 168.90, 162.35, 159.41, 155.34, 146.61, 141.43, 137.47, 134.74, 127.48, 126.33, 126.04, 125.67, 125.13, 122.18, 120.19, 109.70, 106.01, 83.29, 72.53, 56.28, 47.98, 30.54, 20.75, 19.35, 18.28, 15.05

*Comp. No.	P.F. (°C)	*1R (cm^{-1})	MASA	RMN (^{1}H, ^{13}C, ^{19}F)
632	- - -	- - -	HRMS - ESI (*m/z*) ($[M+H]^+$) calculada para $C_{28}H_{33}N_2O_7$, 509.2282; encontrada, 509.2288	^{1}H RMN (500 MHz, $CDCl_3$) δ 8.42 (s, 1H), 8.21 (d, *J* = 5.4 Hz, 1H), 7.71 (t, *J* = 9.3 Hz, 2H), 7.64 (d, *J* = 8.3 Hz, 1H), 7.39 (t, *J* = 7.5 Hz, 1H), 7.30 (t, *J* = 7.5 Hz, 1H), 7.22 - 7.13 (m, 2H), 6.92 (d, *J* = 5.4 Hz, 1H), 5.27 (p, *J* = 6.1 Hz, 1H), 4.58 (p, *J* = 7.1 Hz, 1H), 4.39 (dd, *J* = 6.5, 4.4 Hz, 1H), 3.89 (s, 3H), 2.37 (s, 3H), 2.09 - 1.94 (m, 1H), 1.38 (d, *J* = 6.4 Hz, 3H), 1.17 (d, *J* = 7.2 Hz, 3H), 1.05 (d, *J* = 4.8 Hz, 3H), 1.04 (d, *J* = 4.9 Hz, 3H) ^{13}C RMN (126 MHz, $CDCl_3$) δ 172.13, 168.90, 162.35, 159.35, 157.83, 146.53, 141.37, 137.43, 134.43, 129.48, 129.01, 127.54, 126.68, 126.29, 123.60, 119.34, 109.66, 109.06, 83.75, 72.55, 56.24, 47.98, 30.48, 20.75, 19.32, 18.49, 18.05, 14.82
633	- - -	- - -	HRMS - ESI (*m/z*) ($[M+H]^+$) calculada para $C_{31}H_{39}N_2O_8$, 567.2701; encontrada, 567.2697	^{1}H RMN (500 MHz, $CDCl_3$) δ 8.30 (d, *J* = 9.3 Hz, 1H), 8.15 (d, *J* = 5.4 Hz, 1H), 7.71 (dd, *J* = 11.0, 8.8 Hz, 2H), 7.64 (d, *J* = 8.2 Hz, 1H), 7.45 - 7.35 (m, 1H), 7.35 - 7.27 (m, 1H), 7.23 - 7.13 (m, 2H), 6.85 (d, *J* = 5.4 Hz, 1H),

*Comp. No.	P.F. (°C)	*1R (cm^{-1})	MASA	RMN (^{1}H, ^{13}C, ^{19}F)
				5.73 (d, *J* = 6.4 Hz, 1H), 5.70 (d, *J* = 6.5 Hz, 1H), 5.35 - 5.24 (m, 1H), 4.59 (dd, *J* = 9.3, 4.5 Hz, 1H), 4.33 (dd, *J* = 6 4, 4.5 Hz, 1H), 3.87 (s, 3H), 2.12 - 2.00 (m, 4H), 1.97 - 1.84 (m, 1H), 1.39 (d, *J* = 6.4 Hz, 3H), 1.07 (d, *J* = 6.7 Hz, 3H), 1.03 (d, *J* = 6.9 Hz, 3H), 0.81 (d, *J* = 6.9 Hz, 3H), 0.77 (d, *J* = 6.9 Hz, 3H) ^{13}C RMN (126 MHz, $CDCl_3$) δ 171.10, 170.24, 163.30, 160.24, 157.85, 145.53, 144.04, 142.20, 134.43, 129.43, 129.05, 127.51, 126.67, 126.25, 123.62, 119.48, 109.44, 89.63, 84.39, 72.22, 57.12, 56.12, 30.98, 30.36, 20.87, 19.45, 19.26, 18.33, 17.23, 15.13
634	- - -	3382, 2987, 2941, 1742, 1674, 1574, 1504, 1478, 1200, 729	HRMS - ESI (*m/z*) ($[M+H]^+$) calculada para $C_{28}H_{29}Cl_2N_2O_8$, 591.1295; encontrada, 591.1301	^{1}H RMN (500 $CDCl_3$) δ 8.28 8.21 (m, 2H), 7.40 - 7.27 (m, 6H), 6.97 - 6.91 (m, 2H), 6.57 (d, *J* = 8.9 Hz, 1H), 5.75 - 5.67 (m, 2H), 5.32 (qd, *J* = 6.4, 4.6 Hz, 1H), 5.24 (d, *J* = 4.6 Hz, 1H), 4.67 (p, *J* = 7.3 Hz, 1H), 3.91 (s, 3H), 2.07 (s, 3H), 1.42 (d, *J* = 6.4 Hz, 3H), 1.32 (d, *J* = 7.2 Hz, 3H)

*Comp. No.	P.F. (°C)	*1R (cm^{-1})	MASA	RMN (^1H, ^{13}C, ^{19}F)
635	59-64	- - -	HRMS - ESI (*m/z*) ($[M+H]^+$) calculada para $C_{27}H_{27}Cl_2N_2O_7$, 561.1190; encontrada, 561.1207	^1H RMN (500 $CDCl_3$) δ 8.43 (s, 1H), 8.28 (d, *J* = 5.5 Hz, 1H), 7.40 - 7.27 (m, 6H), 6.98 (d, *J* = 5.5 Hz, 1H), 6.92 (dd, *J* = 8.9, 2.5 Hz, 1H), 6.56 (d, *J* = 8.9 Hz, 1H), 5.33 - 5.25 (m, 1H), 5.23 (d, *J* = 4.5 Hz, 1H), 4.65 (p, *J* = 7.4 Hz, 1H), 3.91 (s, 3H), 2.38 (s, 3H), 1.40 (d, *J* = 6.5 Hz, 1.31 Hz, 3H)
636	- - -	- - -	HRMS - ESI (*m/z*) ($[M+H]^+$) calculada para $C_{28}H_{30}ClN_2O_8$, 557.1685; encontrada, 557.1702	^1H RMN (500 MHz, $CDCl_3$) δ 8.28 - 8.21 (m, 2H), 7.39 - 7.25 (m, 5H), 7.12 - 7.07 (m, 2H), 6.93 (d, *J* = 5.4 Hz, 1H), 6.77 - 6.71 (m, 2H), 5.72 (app q, *J* = 6.5 Hz, 2H), 5.27 (qd, *J* = 6.5, 4.8 Hz, 1H), 5.16 (d, *J* = 4.9 Hz, 1H), 4.66 (p, *J* = 7.3 Hz, 1H), 3.91 (s, 3H), 2.06 (s, 3H), 1.37 (d, *J* = 6.4 Hz, 3H), 1.29 (d, *J* = 7.2 Hz, 3H)
637	- - -	3379, 2986, 2940, 1742, 1675, 1593, 1578, 1504, 1201, 1002	HRMS - ESI (*m/z*) ($[M+H]^+$) calculada para $C_{28}H_{30}ClN_2O_8$, 557.1685; encontrada, 557.1688	^1H RMN (500 MHz, $CDCl_3$) δ 8.30 - 8.22 (m, 2H), 7.41 - 7.26 (m, 5H), 7.11 - 7.03 (m, 1H), 6.93 (d, *J* = 5.4 Hz, 1H), 6.89 - 6.83 (m, 2H), 6.72 - 6.66 (m, 1H), 5.76 - 5.68 (m, 2H), 5.32 - 5.22 (m, 1H), 5.19 (d, *J* = 4.9 Hz, 1H), 4.66 (p, *J* = 7.4 Hz, 1H), 3.90 (s, 3H), 2.06 (s, 3H), 1.37 (d, *J* = 6.4

*Comp. No.	P.F. (°C)	*1R (cm^{-1})	MASA	RMN (^{1}H, ^{13}C, ^{19}F)
				Hz, 3H), 1.28 (d, *J* = 7.2 Hz, 3H)
638	- - -	3380, 2985, 2940, 1769, 1737, 1676, 1592, 1507, 1197, 1174	HRMS - ESI (*m/z*) ($[M+H]^+$) calculada para $C_{27}H_{28}ClN_2O_7$, 527.1580; encontrada, 527.1590	^{1}H RMN (500 MHz, $CDCl_3$) δ 8.45 (br s, 1H), 8.29 (d, *J* = 5.4 Hz, 1H), 7.40 - 7.26 (m, 5H), 7.10 - 7.03 (m, 1H), 6.98 (d, *J* = 5.5 Hz, 1H), 6.88 - 6.82 (m, 2H), 6.72 - 6.66 (m, 1H), 5.30 - 5.22 (m, 1H), 5.18 (d, *J* = 4.9 Hz, 1H), 4.65 (p, *J* = 7.4 Hz, 1H), 3.90 (s, 3H), 2.39 (s, 3H), 1.36 (d, *J* = 6.4 Hz, 3H), 1.27 (d, *J* = 7.2 Hz, 3H)
639	45-50	- - -	HRMS - ESI (*m/z*) ($[M+H]^+$) calculada para $C_{28}H_{30}ClN_2O_8$, 557.1685; encontrada, 557.1691	^{1}H RMN (500 MHz, $CDCl_3$) δ 8.30 - 8.22 (m, 2H), 7.44 - 7.38 (m, 2H), 7.37 - 7.26 (m, 4H), 6.99 (ddd, *J* = 8.2, 7.4, 1.7 Hz, 1H), 6.93 (d, *J* = 5.4 Hz, 1H), 6.81 (td, *J* = 7.7, 1.5 Hz, 1H), 6.67 (dd, *J* = 8.4, 1.4 Hz, 1H), 5.76 - 5.69 (m, 2H), 5.37 - 5.26 (m, 2H), 4.67 (p, *J* = 7.3 Hz, 1H), 3.90 (s, 3H), 2.06 (s, 3H), 1.44 (d, *J* = 6.4 Hz, 3H), 1.29 (d, *J* = 7.2 Hz, 3H)
640	- - -	3379, 2985, 2940, 1769, 1739, 1674, 1589, 1507, 1481, 1195,	HRMS - ESI (*m/z*) ($[M+H]^+$) calculada para $C_{27}H_{28}ClN_2O_7$, 527.1580;	^{1}H RMN (500 MHz, $CDCl_3$) δ 8.46 (br s, 1H), 8.29 (d, *J* = 5.4 Hz, 1H), 7.44 - 7.38 (m, 2H), 7.37 - 7.24 (m, 4H), 7.02 - 6.95 (m, 2H), 6.81 (td, *J* = 73, 1.4 Hz, 1H), 6.66 (dd, *J* = 8.3, 1.5 Hz,

*Comp. No.	P.F. (°C)	*1R (cm^{-1})	MASA	RMN (^{1}H, ^{13}C, ^{19}F)
		1174, 1059, 729	encontrada, 527.1585	1H), 5.36 - 5.25 (m, 2H), 4.66 (p, *J* = 7.4 Hz, 1H), 3.90 (s, 3H), 2.38 (s, 3H), 1.43 (d, *J* = 6.4 Hz, 3H), 1.27 (d, *J* = 7.2 Hz, 3H)
641	- - -	- - -	HRMS - ESI (*m/z*) ($[M+H]^+$) calculada para $C_{28}H_{29}ClFN_2O_8$, 575.1591; encontrada, 575.1597	^{1}H RMN (500 MHz, $CDCl_3$) δ 8.29 - 8.22 (m, 2H), 7.38 - 7.27 (m, 5H), 6.94 (d, *J* = 5.4 Hz, 1H), 6.67 - 6.59 (m, 2H), 6.43 (dt, *J* = 10.5, 2.3 Hz, 1H), 5.72 (app q, *J* = 6.4 Hz, 2H), 5.30 - 5.22 (m, 1H), 5.17 (d, *J* = 4.8 Hz, 1H), 4.66 (p, *J* = 7.3 Hz, 1H), 3.91 (s, 3H), 2.07 (s, 3H), 1.36 (d, *J* = 6.4 Hz, 3H), 1.30 (d, *J* = 7.2 Hz, 3H) ^{19}F RMN (471 MHz, $CDCl_3$) δ - 09.91 (dd, *J* = 10.3, 8.4 Hz)
642	- - -	- - -	HRMS - ESI (*m/z*) ($[M+H]^+$) calculada para $C_{27}H_{27}ClFN_2O_7$, 545.1485; encontrada, 545.1485	^{1}H RMN (500 MHz, $CDCl_3$) δ 8.44 (br s, 1H), 8.29 (d, *J* = 5.4 Hz, 1H), 7.37 - 7.27 (m, 5H), 6.99 (d, *J* = 5.5 Hz, 1H), 6.67 - 6.58 (m, 2H), 6.42 (dt, *J* = 10.6, 2.3 Hz, 1H), 5.25 (qd, *J* = 6.4, 4.5 Hz, 1H), 5.15 (d, *J* = 4.7 Hz, 1H), 4.64 (p, *J* = 7.4 Hz, 1H), 3.90 (s, 3H), 2.39 (s, 3H), 1.34 (d, *J* = 6.4 Hz, 3H), 1.30 (d, *J* = 7.2 Hz, 3H) ^{19}F RMN (471 MHz, $CDCl_3$) δ -109.96

*Comp. No.	P.F. (°C)	*1R (cm^{-1})	MASA	RMN (^{1}H, ^{13}C, ^{19}F)
				(dd, *J* = 10.3, 8.5 Hz)
643	- - -	- - -	HRMS - ESI (*m/z*) ($[M+H]^+$) calculada para $C_{29}H_{31}ClFN_2O_8$, 589.1747; encontrada, 589.1752	^{1}H RMN (500 MHz, $CDCl_3$) δ 8.31 (d, *J* = 8.3 Hz, 1H), 8.25 (d, *J* = 5.4 Hz, 1H), 7.38 - 7.28 (m, 5H), 6.94 (d, *J* = 5.4 Hz, 1H), 6.66 - 6.58 (m, 2H), 6.42 (dt, *J* = 10.5, 2.2 Hz, 1H), 5.76 - 5.68 (m, 2H), 5.26 (td, *J* = 6.4, 4.7 Hz, 1H), 5.17 (d, *J* = 4.7 Hz, 1H), 4.66 (ddd, *J* = 8.3, 6.6, 5.2 Hz, 1H), 3.91 (s, 3H), 2.06 (s, 3H), 1.88 1.77 (m, 1H), 1.71 - 1.62 (m, 1H), 1.35 (d, *J* = 6.4 Hz, 3H), 0.79 (t, *J* = 7.5 Hz, 3H) ^{19}F RMN (471 MHz, $CDCl_3$) δ -109.92 (dd, 10.4, 8.3 Hz)
644	- - -	- - -	HRMS - ESI (*m/z*) ($[M+H]^+$) calculada para $C_{28}H_{29}ClFN_2O7$ 559.1642; encontrada, 559.1646	^{1}H RMN (500 MHz, $CDCl_3$) δ 8.50 - 8.45 (m, 1H), 8.30 (d, *J* = 5.4 Hz, 1H), 7.37 - 7.27 (m, 5H), 6.99 (d, *J* = 5.5 Hz, 1H), 6.65 - 6.58 (m, 2H), 6.41 (dt, *J* = 10.6, 2.3 Hz, 1H), 5.25 (qd, *J* = 6.3, 4.4 Hz, 1H), 5.16 (d, *J* = 4.6 Hz, 1H), 4.67 - 4.59 (m, 1H), 3.90 (s, 3H), 2.39 (s, 3H), 1.87 - 1.77 (m, 1H), 1.71 - 1.61 (m, 1H), 1.33 (d, *J* = 6.4 Hz, 3H), 0.78 (t, *J* = 7.4 Hz, 3H) ^{19}F RMN (471 MHz, $CDCl_3$) δ -109.96

*Comp. No.	P.F. (°C)	*1R (cm^{-1})	MASA	RMN (^{1}H, ^{13}C, ^{19}F)
				(dd, *J* = 10.3, 8.3 Hz)
645	- - -	3381, 2964, 2877, 1736, 1681, 1590, 1503, 1488	HRMS - ESI (*m/z*) ($[M+H]^+$) calculada para $C_{29}H_{40}FN_2O_8$, 563.2763; encontrada, 563.2765	^{1}H RMN (500 MHz, $CDCl_3$) δ 8.30 (d, *J* = 9.4 Hz, 1H), 8.25 (d, *J* = 5.3 Hz, 1H), 7.18 - 7.06 (m, 1H), 6.94 (d, *J* = 5.3 Hz, 1H), 6.69 (dd, *J* = 8.5, 2.2 Hz, 1H), 6.62 (dt, *J* = 10.9, 2.3 Hz, 1H), 6.58 (td, *J* = 8.3, 2.2 Hz, 1H), 5.73 (q, *J* = 6.6 Hz, 2H), 5.29 - 5.19 (m, 1H), 4.61 (dd, *J* = 9.3, 4.5 Hz, 1H), 4.35 (dd, *J* = 6.1, 4.3 Hz, 1H), 3.91 (s, 3H), 2.06 (s, 3H), 2.07 - 1.98 (m, 1H), 1.66 - 1.50 (m, 2H), 1.49 - 1.35 (m, 3H), 1.34 (d, *J* = 6.4 Hz, 3H), 0.94 (d, *J* = 6.9 Hz, 3H), 0.91 - 0.83 (m, 9H)
646	- - -	3382, 2964, 2877, 1735, 1681, 1502	HRMS - ESI (*m/z*) ($[M+H]^+$) calculada para $C_{29}H_{40}FN_2O_8$, 563.2763; encontrada, 563.2765	^{1}H RMN (500 MHz, $CDCl_3$) δ 8.28 (d, *J* = 9.6 Hz, 1H), 8.24 (d, *J* = 5.3 Hz, 1H), 6.94 (d, *J* = 5.6 Hz, 1H), 6.88 - 6.79 (m, 4H), 5.74 (q, *J* = 6.6 Hz, 2H), 5.23 (td, *J* = 6, 4.0 Hz, 1H), 4.60 (dd, *J* = 9.3, 4.6 Hz, 1H), 4.24 (dd, *J* = 6 4, 4.1 Hz, 1H), 3.91 (s, 3H), 2.06 (s, 3H), 2.05 - 1.94 (m, 1H), 1.67 - 1.59 (m, 1H), 1.56 - 1.50 (m, 1H), 1.49 - 1.42 (m, 1H), 1.42 - 1.35 (m, 2H), 1.34 (d, *J* = 6.4 Hz, 3H), 0.93 (d, *J* = 6.8 Hz,

*Comp. No.	P.F. (°C)	*1R (cm^{-1})	MASA	RMN (^{1}H, ^{13}C, ^{19}F)
				3), 0.91 - 0.84 (m, 9H)
647	- - -	3382, 2964, 2876, 1736, 1680, 1590, 1503, 1475	HRMS - ESI (*m/z*) ($[M+H]^+$) calculada para $C_{29}H_{40}ClN_2O_8$, 579.2468, encontrada, 579.2471	^{1}H RMN (500 MHz, $CDCl_3$) δ 8.30 (d, *J* = 9.3 Hz, 1H), 8.25 (d, *J* = 5.3 Hz, 1H), 7.11 (t, *J* = 8.1 Hz, 1H), 6.94 (d, *J* = 5.3 Hz, 1H), 6.92 (s, 1H), 6.85 (d, *J* = 8.1 Hz, 1H), 6.80 (dd, *J* = 8.4, 2.3 Hz, 1H), 5.73 (q, *J* = 6.6 Hz, 2H), 5.32 - 5.18 (m, 1H), 4.61 (dd, *J* = 9.3, 4.5 Hz, 1H), 4.34 (dd, *J* = 6.2, 4.2 Hz, 1H), 3.91 (s, 3H), 2.06 (s, 3H), 2.13 - 1.97 (m, 1H), 1.64 - 1.51 (m, 2H), 1.50 - 1.27 (m, 3H), 1.33 (d, *J* = 6.5 Hz, 3H), 0.94 (d, *J* = 6.9 Hz, 3H), 0.92 - 0.84 (m, 9H)
648	- - -	3382, 2964, 2876, 1735, 1681, 1503, 1488	HRMS - ESI (*m/z*) ($[M+H]^+$) calculada para $C_{29}H_{40}ClN_2O_8$, 579.2468; encontrada, 579.2471	^{1}H RMN (500 MHz, $CDCl_3$) δ 8.28 (d, *J* = 9.4 Hz, 1H), 8.22 (d, *J* = 5.3 Hz, 1H), 7.10 (d, *J* = 8.5 Hz, 2H), 6.95 (d, *J* = 5.4 Hz, 1H), 6.83 (d, *J* = 8.5 Hz, 2H), 5.74 (q, *J* = 6.5 Hz, 2H), 5.29 - 5.20 (m, 1H), 4.60 (dd, *J* = 9.3, 4.6 Hz, 1H), 4.29 (dd, *J* = 6.3, 4.1 Hz, 1H), 3.92 (s, 3H), 2.07 (s, 3H), 2.04 - 1.96 (m, 1H), 1.66 - 1.48 (m, 2H), 1.51 - 1.28 (m, 3H), 1.33 (d, *J* = 6.5 Hz, 3H), 0.94 (d, *J* = 6.9 Hz, 3H), 0.92

*Comp. No.	P.F. (°C)	*1R (cm^{-1})	MASA	RMN (^{1}H, ^{13}C, ^{19}F)
				- 0.81 (m, 9H)
649	- - -	3382, 2964, 2877, 1736, 1680, 1503, 1476	HRMS - ESI (*m/z*) ($[M+H]^+$) calculada para $C_{29}H_{39}Cl_2N_2O_8$, 613.2078; encontrada, 613.2094	^{1}H RMN (500 MHz, $CDCl_3$) δ 8.26 (d, *J* = 9.2 Hz, 1H), 8.22 (d, *J* = 5.3 Hz, 1H), 7.28 (d, *J* = 2.5 Hz, 1H), 6.99 - 6.90 (m, 2H), 6.82 (d, *J* = 8.8 Hz, 1H), 5.74 (q, *J* = 6.6 Hz, 2H), 5.27 (qd, *J* = 7.4, 6.6, 2.9 Hz, 1H), 4.59 (dd, *J* = 9.2, 4.7 Hz, 1H), 4.37 (dd, *J* = 6.5, 3.7 Hz, 1H), 3.92 (s, 3H), 2.07 (s, 3H), 2.06 - 1.96 (m, 1H), 1.61 (tt, *J* = 11.5, 5.5 Hz, 2H), 1.54 - 1.31 (m, 3H), 1.39 (d, *J* = 6.5 Hz, 3H), 0.94 (d, *J* = 6.9 Hz, 3H) 0.93 - 0.79 (m, 9H)
650	- - -	3381, 2965, 2877, 1737, 1681, 1506	HRMS - ESI (*m/z*) ($[M+H]^+$) calculada para $C_{29}H_{39}F_2N_2O_8$, 581.2669; encontrada, 581.2672	^{1}H RMN (500 MHz, $CDCl_3$) δ 8.29 (d, *J* = 9.3 Hz, 1H), 8.26 (d, *J* = 5.4 Hz, 1H), 7.01 - 6.91 (m, 2H), 6.71 (ddd, *J* = 9.9, 6.6, 2.9 Hz, 1H), 6.55 (td, *J* = 8.7, 7.8, 3.7 Hz, 1H), 5.73 (q, 6.6 Hz, 2H), 5.26 (dt, *J* = 10.2, 5.1 Hz, 1H), 4.58 (dd, *J* = 9.2, 4.5 Hz, 1H), 4.30 (dd, *J* = 6.6, 3.7 Hz, 1H), 3.91 (s, 3H), 2.06 (s, 3H), 1.99 - 1.91 (m, 1H), 1.70 - 1.58 (m, 2H), 1.54 - 1.39 (m, 3H), 1.38 (d, *J* = 6.4 Hz, 3H), 0.94 - 0.88 (m, 9H), 0.86 (d, *J* = 6.9 Hz, 3H)

*Comp. No.	P.F. (°C)	*1R (cm^{-1})	MASA	RMN (^{1}H, ^{13}C, ^{19}F)
651	- - -	3381, 2965, 2877, 1737, 1661, 1604, 1587, 1503, 1457	HRMS - ESI (*m/z*) ($[M+H]^+$) calculada para $C_{29}H_{39}ClFN_2O_8$, 597.2373; encontrada, 597.2377	^{1}H RMN (500 MHz, $CDCl_3$) δ 8.32 (d, *J* = 9.2 Hz, 1H), 8.25 (d, *J* = 5 4 Hz, 1H), 6.94 (d, *J* = 5.4 Hz, 1H), 6.72 (s, 1H), 6.63 (dt, *J* = 8.3, 1.8 Hz, 1H), 6.54 (dt, *J* = 10.2, 1.8 Hz, 1H), 5.80 - 5.67 (m, 2H), 5.24 (dt, *J* = 9.9, 5.1 Hz, 1H), 4.62 (dd, *J* = 9.3, 4.5 Hz, 1H), 4.31 (dd, *J* = 6.2, 4.1 Hz, 1H), 3.91 (s, 3H), 2.13 - 2.04 (m, 1H), 2.06 (s, 3H), 1.63 - 1.48 (m, 2H), 1.49 - 1.27 (m, 3H), 1.32 (d, *J* = 6.5 Hz, 3H), 0.96 (d, *J* = 6.9 Hz, 3H), 0.94 - 0.80 (m, 9H)
652	- - -	3381, 2964, 2876, 1735, 1680, 1503, 1479	HRMS - ESI (*m/z*) ($[M+H]^+$) calculada para $C_{29}H_{40}ClN_2O_8$, 579.2468; encontrada, 579.2465	^{1}H RMN (500 MHz, $CDCl_3$) δ 8.30 - 8.22 (m, 2H), 7.28 (d, *J* = 7.7 Hz, 1H), 7.11 - 7.03 (m, 1H), 6.93 (t, *J* = 6.0 Hz, 2H), 6.79 (t, *J* = 7.7 Hz, 1H), 5.73 (q, *J* = 6.6 Hz, 2H), 5.27 (dt, *J* = 10.4, 5.2 Hz, 1H), 4.59 (dd, *J* = 9.3, 4.5 Hz, 1H), 4.45 (dd, *J* = 6.2, 4.2 Hz, 1H), 3.91 (s, 3H), 2.06 (s, 3H), 2.02 - 1.92 (m, 1H), 1.71 - 1.59 (m, 2H), 1.55 - 1.33 (m, 3H), 1.41 (d, *J* = 6.4 Hz, 3H), 0.93 - 0.87 (m, 9H), 0.83 (d, *J* = 6.9 Hz, 3H)
653	- - -	3381, 2965,	HRMS - ESI (*m/z*)	^{1}H RMN (500 MHz, $CDCl_3$) δ 8.28 (d,

*Comp. No.	P.F. (°C)	*1R (cm^{-1})	MASA	RMN (^{1}H, ^{13}C, ^{19}F)
		2878, 1737, 1682, 1504	($[M+Na]^{+}$) calculada para $C_{30}H_{39}F_{3}N2NaO$ 8, 635.2551; encontrada, 635.2557	*J* = 9.2 Hz, 1H), 8.22 (d, *J* = 5.3 Hz, 1H), 7.41 (d, *J* = 8.4 Hz, 2H), 6.97 (d, *J* = 8.7 Hz, 2H), 6.94 (d, *J* = 5.5 Hz, 1H), 5.74 (q, 6.4 Hz, 2H), 5.33 - 5.19 (m, 1H), 4.59 (dd, *J* = 9.1, 4.7 Hz, 1H), 4.43 (dd, *J* = 6.4, 4.0 Hz, 1H), 3.91 (s, 3H), 2.06 (s, 3H), 2.03 - 1.95 (m, 1H), 1.64 - 1.49 (m, 2H), 1.50 - 1.30 (m, 3H), 1.34 (d, *J* = 6.2 Hz, 3H), 0.92 (d, *J* = 7.1 Hz, 3H), 0.91 - 0.84 (m, 9H)
654	- - -	3380, 2963, 2876, 1735, 1680, 1502, 1477	HRMS - ESI calculada para $C_{35}H_{45}N_{2}O_{8}$, 621.3170; encontrada, 621.3171	^{1}H RMN (500 MHz, $CDCl_{3}$) δ 8.30 (d, *J* = 9.4 Hz, 1H), 8.23 (d, *J* = 5.3 Hz, 1H), 7.56 (d, *J* = 7.9 Hz, 2H), 7.43 (t, *J* = 7.5 Hz, 2H), 7.39 - 7.31 (m, 1H), 7.27 (t, *J* = 8.0 Hz, 1H), 7.16 - 7.08 (m, 2H), 6.94 - 6.84 (m, 2H), 5.79 - 5.68 (m, 2H), 5.32 - 5.22 (m, 1H), 4.61 (dd, *J* = 9.3, 4.4 Hz, 1H), 4.44 (t, *J* = 5.3 Hz, 1H), 3.89 (s, 3H), 2.05 (s, 3H), 2.02 - 1.94 (m, 1H), 1.74 - 1.61 (m, 1H), 1.62 - 1.53 (m, 1H), 1.55 - 1.31 (m, 3H), 1.38 (d, *J* = 6.5 Hz, 3H), 0.95 - 0.86 (m, 9H), 0.81 (d, *J* = 6.8 Hz, 3H)

*Comp. No.	P.F. (°C)	*1R (cm^{-1})	MASA	RMN (^{1}H, ^{13}C, ^{19}F)
655	- - -	3382, 2964, 2876, 1756, 1735, 1681, 1503, 1485	HRMS - ESI (*m/z*) ($[M+H]^+$) calculada para $C_{35}H_{45}N_2O_8$, 621.317; encontrada, 621.3167	^{1}H RMN (500 MHz, $CDCl_3$) δ 8.30 (d, *J* = 9.5 Hz, 1H), 8.19 (d, *J* = 5.5 Hz, 1H), 7.51 (d, *J* = 7.8 Hz, 2H), 7.43 - 7.37 (m, 4H), 7.32 - 7.27 (m, 1H), 6.98 (d, *J* = 8.3 Hz, 2H), 6.85 (d, *J* = 5.4 Hz, 1H), 5.72 (q, 6.4 Hz, 2H), 5.33 - 5.19 (m, 1H), 4.62 (dd, *J* = 9.3, 4.6 Hz, 1H), 4.40 (dd, *J* = 6.2, 4.3 Hz, 1H), 3.84 (s, 3H), 2.06 (s, 3H), 2.04 - 1.97 (m, 1H), 1.70 - 1.53 (m, 2H), 1.49 (dt, *J* = 14.1, 7.0 Hz, 1H), 1.46 - 1.32 (m, 2H), 1.37 (d, *J* = 6.5 Hz, 3H), 0.94 - 0.87 (m, 9H), 0.85 (d, *J* = 6.8 Hz, 3H)
656	- - -	3383, 2964, 2877, 1771, 1734, 1681, 1591, 1505, 1487	HRMS - ESI (*m/z*) ($[M+H]^+$) calculada para $C_{28}H_{38}FN_2O_7$, 533.2658, encontrada, 533.2659	^{1}H RMN (500 MHz, $CDCl_3$) δ 8.42 (d, *J* = 9.6 Hz, 1H), 8.30 (d, *J* = 5.4 Hz, 1H), 7.13 (q, *J* = 7.9 Hz, 1H), 7.00 (d, *J* = 5.4 Hz, 1H), 6.69 (dd, *J* = 8.4, 2.2 Hz, 1H), 6.62 (dt, *J* = 10.9, 2.3 Hz, 1H), 6.57 (td, *J* = 8.3, 2.2 Hz, 1H), 5.23 (dt, *J* = 10.4, 5.4 Hz, 1H), 4.57 (dd, *J* = 9.4, 4.6 Hz, 1H), 4.37 - 4.30 (m, 1H), 3.91 (s, 3H), 2.38 (s, 3H), 2.07 - 1.98 (m, 1H), 1.65 - 1.49 (m, 2H), 1.50 - 1.34 (m, 3H), 1.33 (d, *J* = 6.3 Hz, 3H), 0.94 - 0.84 (m, 12H)

*Comp. No.	P.F. (°C)	*1R (cm^{-1})	MASA	RMN (^{1}H, ^{13}C, ^{19}F)
657	- - -	3384, 2964, 2877, 1771, 1733, 1680, 1502	HRMS - ESI (*m/z*) ($[M+H]^+$) calculada para $C_{28}H_{38}FN_2O_7$, 533.2658; encontrada, 533.2661	^{1}H RMN (500 MHz, $CDCl_3$) δ 8.40 (d, *J* = 9.5 Hz, 1H), 8.28 (d, *J* = 5.5 Hz, 1H), 7.00 (d, *J* = 5.6 Hz, 1H), 6.91 - 6.79 (m, 4H), 5.23 (td, *J* = 6.5, 3.8 Hz, 1H), 4.56 (dd, *J* = 9.4, 4.7 Hz, 1H), 4.23 (dd, *J* = 6.5, 4.0 Hz, 1H), 3.91 (s, 3H), 2.39 (d, *J* = 1.1 Hz, 3H), 2.03 - 1.96 (m, 1H), 1.66 - 1.47 (m, 2H), 1.48 - 1.34 (m, 3H), 1.33 (d, *J* = 6.5 Hz, 3H), 0.94 - 0.83 (m, 12H)
658	- - -	3380, 2964, 2876, 1771, 1734, 1680, 1590, 1505	HRMS - ESI (*m/z*) ($[M+H]^+$) calculada para $C_{28}H_{38}ClN_2O_7$, 549.2362; encontrada, 549.2367	^{1}H RMN (500 MHz, $CDCl_3$) δ 8.42 (d, *J* = 9.7 Hz, 1H), 8.30 (d, *J* = 5.4 Hz, 1H), 7.10 (t, *J* = 8.1 Hz, 1H), 7.00 (d, *J* = 5.4 Hz, 1H), 6.91 (t, 2.2 Hz, 1H), 6.84 (dd, *J* = 7.9, 1.8 Hz, 1H), 6.79 (dd, *J* = 8.4, 2.4 Hz, 1H), 5.23 (td, *J* = 6.3, 4.0 Hz, 1H), 4.57 (dd, *J* = 9.5, 4.6 Hz, 1H), 4.33 (dd, *J* = 6.2, 4.2 Hz, 1H), 3.91 (s, 3H), 2.38 (s, 3H), 2.08 - 1.97 (m, 1H), 1.66 - 1.50 (m, 2H), 1.50 - 1.34 (m, 3H), 1.32 (d, *J* = 6.4 Hz, 3H), 0.94 - 0.84 (m, 12)
659	- - -	3380, 2964, 2876, 1771, 1734, 1680,	HRMS - ESI (*m/z*) ($[M+H]^+$) calculada para	^{1}H RMN (500 MHz, $CDCl_3$) δ 8.40 (d, *J* = 9.4 Hz, 1H), 8.26 (d, *J* = 5.5 Hz, 1H), 7.08 (d, *J* = 8.7 Hz, 2H), 7.00 (d,

*Comp. No.	P.F. (°C)	*1R (cm^{-1})	MASA	RMN (^{1}H, ^{13}C, ^{19}F)
		1506, 1488	$C_{28}H_{38}ClN_2O_7$, 549.2362; encontrada, 549.2372	*J* = 5.3 Hz, 1H), 6.82 (d, *J* = 8.5 Hz, 2H), 5.29 - 5.15 (m, 1H), 4.56 (dd, *J* = 9.4, 4.7 Hz, 1H), 4.28 (dd, *J* = 6.4, 3.9 Hz, 1H), 3.92 (s, 3H), 2.39 (s, 3H), 2.08 - 1.96 (m, 1H), 1.66 - 1.48 (m, 2H), 1.49 - 1.33 (m, 3H), 1.32 (d, *J* = 6.5 Hz, 3H), 0.92 (d, *J* = 7.0 Hz, 3H), 0.90 - 0.80 (m, 9H)
660	- - -	3379, 2964, 2876, 1770, 1734, 1679, 1506, 1476	HRMS - ESI (*m/z*) ($[M+H]^+$) calculada para $C_{28}H_{37}Cl_2N_2O_7$, 583.1972; encontrada, 583.1983	^{1}H RMN (500 MHz, $CDCl_3$) δ 8.36 (d, *J* = 9.4 Hz, 1H), 8.25 (d, *J* = 5.4 Hz, 1H), 7.29 - 7.24 (m, 1H), 7.00 (d, *J* = 5.4 Hz, 1H), 6.93 (dd, 18.1, 9.0 Hz, 1H), 6.87 - 6.74 (m, 1H), 5.26 (th, 8.3, 3.7 Hz, 1H), 4.54 (dd, *J* = 9.2, 4.8 Hz, 1H), 4.35 (dd, *J* = 6.9, 3.5 Hz, 1H), 3.92 (s, 3H), 2.39 (s, 3H), 2.06 - 1.96 (m, 1H), 1.66 - 1.51 (m, 2H), 1.51 - 1.44 (m, 1H), 1.45 - 1.33 (m, 2H), 1.38 (d, *J* = 6.6 Hz, 3H), 0.92 (d, *J* = 6.9 Hz, 3H), 0.91 - 0.84 (m, 9)
661	- - -	3380, 2965, 2877, 1771, 1735, 1680, 1603, 1588, 1505	HRMS - ESI (*m/z*) ($[M+H]^+$) calculada para $C_{28}H_{37}ClFN_2O_7$, 567.2268,	^{1}H RMN (500 MHz, $CDCl_3$) δ 8.43 (d, *J* = 9.3 Hz, 1H), 8.31 (d, *J* = 5.6 Hz, 1H), 7.00 (d, *J* = 5.5 Hz, 1H), 6.72 (d, *J* = 8.6 Hz, 1H), 6.63 (d, *J* = 8.3 Hz, 1H), 6.58 - 6.48 (m, 1H), 5.23 (dt, *J* =

*Comp. No.	P.F. (°C)	*1R (cm^{-1})	MASA	RMN (^{1}H, ^{13}C, ^{19}F)
			encontrada, 567.2273	10.1, 5.1 Hz, 1H), 4.57 (dd, *J* = 9.4, 4.6 Hz, 1H), 4.34 - 4.23 (m, 1H), 3.91 (s, 3H), 2.38 (s, 3H), 2.12 - 2.02 (m, 1H), 1.62 - 1.50 (m, 2H), 1.50 - 1.26 (m, 3H), 1.31 (d, *J* = 6.5 Hz, 3H), 0.94 (d, *J* = 6.9 Hz, 3H), 0.92 - 0.84 (m, 9H)
662	- - -	3384, 2964, 2876, 1771, 1734, 1680, 1505, 1479	HRMS - ESI (*m/z*) ($[M+H]^+$) calculada para $C_{28}H_{38}ClN_2O_7$, 549.2362; encontrada, 549.2367	^{1}H RMN (500 MHz, $CDCl_3$) δ 8.39 (d, *J* = 9.4 Hz, 1H), 8.30 (d, *J* = 5.4 Hz, 1H), 7.28 (d, *J* = 7.9 Hz, 1H), 7.07 (t, *J* = 7.9 Hz, 1H), 6.99 (d, *J* = 5.4 Hz, 1H), 6.92 (d, *J* = 8.2 Hz, 1H), 6.79 (t, *J* = 7.7 Hz, 1H), 5.27 (tt, *J* = 10.0, 5.5 Hz, 1H), 4.55 (dd, *J* = 9.4, 4.5 Hz, 1H), 4.44 (dd, *J* = 6.1, 4.1 Hz, 1H), 3.91 (s, 3H), 2.39 (s, 3H), 1.98 - 1.92 (m, 1H), 1.71 - 1.58 (m, 2H), 1.55 - 1.34 (m, 3H), 1.40 (d, *J* = 6.4 Hz, 3H), 0.90 (t, *J* = 7.6 Hz, 9H), 0.82 (d, *J* = 6.9 Hz, 3H)
663	- - -	3384, 2965, 2878, 1772, 1735, 1682, 1506	HRMS - ESI (*m/z*) ($[M+H]^+$) calculada para $C_{29}H_{38}F_3N_2O_7$, 583.2626;	^{1}H RMN (500 MHz, $CDCl_3$) δ 8 40 (d, *J* = 9.3 Hz, 1H), 8.25 (d, *J* = 5.4 Hz, 1H), 7.39 (d, *J* = 8.5 Hz, 2H), 6.99 (d, *J* = 5.4 Hz, 1H), 6.95 (d, *J* = 8.5 Hz, 2H), 5.28 - 5.21 (m, 1H), 4.55 (dd, *J* =

*Comp. No.	P.F. (°C)	*1R (cm^{-1})	MASA	RMN (^1H, ^{13}C, ^{19}F)
			encontrada, 583.2634	9.2, 4.8 Hz, 1H), 4.41 (dd, *J* = 6.6, 3.7 Hz, 1H), 3.91 (s, 3H), 2.43 - 2.37 (m, 3H), 2.01 (dp, *J* = 13.2, 6.3 Hz, 1H), 1.64 - 1.48 (m, 2H), 1.50 - 1.28 (m, 3H), 1.33 (d, *J* = 6.4 Hz, 3H), 0.93 - 0.82 (m, 12H)
664	- - -	3384, 2963, 2875, 1771, 1734, 1680, 1504, 1477	HRMS - ESI (*m/z*) ($[M+H]^+$) calculada para $C_{34}H_{43}N_2O_7$, 591.3065; encontrada, 591.3063	^1H RMN (500 MHz, $CDCl_3$) δ 8.42 (d, *J* = 9.8 Hz, 1H), 8.28 (d, *J* = 5.4 Hz, 1H), 7.56 (d, *J* = 7.8 Hz, 2H), 7.43 (t, *J* = 7.6 Hz, 2H), 7.38 - 7.30 (m, 1H), 7.30 - 7.23 (m, 1H), 7.20 - 7.07 (m, 2H), 6.95 (d, *J* = 5.5 Hz, 1H), 6.90 (dd, *J* = 8.2, 2.5 Hz, 1H), 5.29 - 5.22 (m, 1H), 4.57 (dd, *J* = 9.4, 4.5 Hz, 1H), 4.43 (t, *J* = 5.4 Hz, 1H), 3.89 (s, 3H), 2.38 (s, 3H), 2.01 - 1.93 (m, 1H), 1.70 - 1.61 (m, 1H), 1.62 - 1.53 (m, 1H), 1.55 - 1.32 (m, 3H), 1.37 (d, *J* = 6.4 Hz, 3H), 0.93 - 0.88 (m, 6H), 0.87 (d, *J* = 6.9 Hz, 3H) 0.81 (d, *J* = 6.9 Hz, 3H)
665	- - -	3377, 2965, 1758, 1687, 1494, 1237	ESIMS *m/z* 559.6 ($[M+H]^+$)	^1H RMN (400 MHz, $CDCl_3$) δ 8.25 - 8.19 (m, 2H), 7.22 - 7.15 (m, 2H), 6.99 - 6.95 (m, 2H), 6.94 (d, *J* = 5.4 Hz, 1H), 6.92 - 6.86 (m, 1H), 5.73 (s,

*Comp. No.	P.F. (°C)	*1R (cm^{-1})	MASA	RMN (^1H, ^{13}C, ^{19}F)
				2H), 5.19 - 5.10 (m, 1H), 4.40 (dd, *J* = 5.8, 3.6 Hz, 1H), 3.90 (s, 3H), 3.52 - 3.43 (m, 2H), 3.37 - 3.30 (m, 1H), 2.07 (s, 3H), 1.65 - 1.56 (m, 1H), 1.56 - 1.44 (m, 4H), 1.37 - 1.29 (m, 1H), 1.31 (d, *J* = 6.5 Hz, 3H), 1.18 - 1.08 (m, 2H), 0.92 (t, *J* = 7.4 Hz, 3H), 0.84 (t, *J* = 7.4 Hz, 3H)
666	- - -	3378, 2965, 2937, 1735, 1677, 1504, 1235	HRMS - ESI (*m/z*) $[M]^+$ calculada para $C_{29}H_{40}N_2O_9$, 560.2734; encontrada, 560.2729	^{1}H RMN (400 MHz, $CDCl_3$) δ 8.27 - 8.21 (m, 2H), 7.19 - 7.12 (m, 2H), 7.02 - 6.96 (m, 2H), 6.93 (d, *J* = 5.4 Hz, 1H), 6.90 - 6.83 (m, 1H), 5.71 (s, 2H), 5.26 - 5.17 (m, 1H), 4.44 (dd, *J* = 5.8, 3.6 Hz, 1H), 3.90 (s, 3H), 3.54 - 3.42 (m, 2H), 3.40 - 3.31 (m, 1H), 2.06 (s, 3H), 1.71 - 1.47 (m, 4H), 1.46 (s, 6H), 1.34 (d, *J* = 6.5 Hz, 3H), 0.95 (t, *J* = 7.4 Hz, 3H), 0.85 (t, *J* = 7.4 Hz, 3H)
667	- - -	- - -	HRMS - ESI (*m/z*) $[M]^+$ calculada para $C_{25}H_{32}N_2O_7$, 472.2210; encontrada, 472.2207	^{1}H RMN (400 MHz, $CDCl_3$) δ 8.43 (d, *J* = 7.8 Hz, 1H), 8.33 - 8.24 (m, 1H), 7.28 - 7.16 (m, 2H), 7.03 - 6.84 (m, 4H), 5.20 (qd, *J* = 6 5, 4.1 Hz, 1H), 4.57 (dq, *J* = 7.9, 7.2 Hz, 1H), 4.25 - 4.15 (m, 1H), 4.12 (q, *J* = 7.0 Hz, 2H),

*Comp. No.	P.F. (°C)	*1R (cm^{-1})	MASA	RMN (^{1}H, ^{13}C, ^{19}F)
				2.38 (s, 3H), 2.07 - 1.88 (m, 1H), 1.44 (t, *J* = 7.0 Hz, 3H), 1.34 (d, *J* = 6.5 Hz, 3H), 1.18 (d, *J* = 7.2 Hz, 3H), 1.02 (dd, *J* = 10.4, 6.8 Hz, 6H) ^{13}C RMN (126 MHz, $CDCl_3$) δ 172.12, 168.87, 162.42, 160.08, 158.77, 146.54, 141.54, 137.57, 129.41, 120.96, 116.23, 110.36, 84.00, 72.70, 64.95, 47.95, 30.39, 20.70, 19.27, 18.57, 17.95, 14 67, 14.26
668	- - -	3384, 2964, 2937, 2877, 1740, 1676, 1610, 1589, 1503, 1487	HRMS - ESI (*m/z*) ($[M+H]^+$) calculada para $C_{27}H_{36}FN_2O_8$, 535.245; encontrada, 535.2445	^{1}H RMN (500 MHz, $CDCl_3$) δ 8.27 (d, *J* = 5.4 Hz, 1H), 8.27 - 8.23 (m, 1H), 7.16 (td, *J* = 8.3, 6.9 Hz, 1H), 6.94 (d, *J* = 5.5 Hz, 1H), 6.74 (ddd, *J* = 8.4, 2.5, 0.9 Hz, 1H), 6.66 (dt, *J* = 11.2, 2.4 Hz, 1H), 6.59 (tdd, *J* = 8.2, 2.4, 0.8 Hz, 1H), 5.75 - 5.70 (m, 2H), 5.30 (p, *J* = 6.6 Hz, 1H), 4.64 - 4.55 (m, 1H), 4.36 (dd, *J* = 6.9, 4.0 Hz, 1H), 3.91 (s, 3H), 2.07 (s, 3H), 1.65 - 1.58 (m, 1H), 1.56 - 1.48 (m, 1H), 1 47 - 1.38 (m, 2H), 1.38 - 1.32 (m, 1H), 1.30 (d, *J* = 6.5 Hz, 3H), 1.17 (d, *J* = 7.2 Hz, 3H), 0.93 (t, *J* = 7.5 Hz, 3H), 0.87 (t, *J* = 7.4 Hz, 3H)

*Comp. No.	P.F. (°C)	*1R (cm^{-1})	MASA	RMN (^{1}H, ^{13}C, ^{19}F)
669	- - -	3380, 2964, 2837, 2877, 1739, 1675, 1579, 1503, 1488	HRMS - ESI (*m/z*) ($[M+H]^+$) calculada para $C_{27}H_{36}ClN_2O_8$, 551.2155; encontrada, 551.2147	^{1}H RMN (500 MHz, $CDCl_3$) δ 8.27 (d, *J* = 5.3 Hz, 1H), 8.25 (d, *J* = 7.8 Hz, 1H), 7.16 (d, *J* = 9.0 Hz, 2H), 6.94 (d, *J* = 5.4 Hz, 1H), 6.89 (d, *J* = 9.0 Hz, 2H), 5.76 - 5.66 (m, 2H), 5.28 (p, *J* = 6.5 Hz, 1H), 4.60 (p, *J* = 7.3 Hz, 1H), 4.33 (dd, *J* = 7.0, 4.0 Hz, 1H), 3.91 (d, *J* = 1.4 Hz, 3H), 2.07 (s, 3H), 1.66 - 1.54 (m, 1H), 1.55 - 1.46 (m, 1H), 1.47 - 1.37 (m, 2H), 1.36 - 1.31 (m, 1H), 1.30 (d, *J* = 6.4 Hz, 3H), 1.19 (d, *J* = 7.2 Hz, 3H), 0.92 (t, *J* = 7.5 Hz, 3H), 0.85 (t, *J* = 7.4 Hz,3H)
670	- - -	3375, 2964, 2937, 2877, 1740, 1675, 1580, 1503, 1476	HRMS - ESI (*m/z*) ($[M+H]^+$) calculada para $C_{27}H_{35}Cl_2N_2O$, 585.1765; encontrada, 585.1774	^{1}H RMN (500 MHz, $CDCl_3$) δ 8.27 (d, *J* = 5.3 Hz, 1H), 8.25 (d, *J* = 7.1 Hz, 1H), 7.31 (d, *J* = 2.6 Hz, 1H), 7.10 (dd, *J* = 8.9, 2.6 Hz, 1H), 7.03 (d, *J* = 9.0 Hz, 1H), 6.95 (d, *J* = 5.4 Hz, 1H), 5.77 - 5.68 (m, 2H), 5.31 (dq, *J* = 7.7, 6.5 Hz, 1H), 4.59 (p, *J* = 7.2 Hz, 1H), 4.41 (dd, *J* = 7.6, 2.7 Hz, 1H), 3.91 (s, 3H), 2.07 (s, 3H), 1.68 - 1.60 (m, 1H), 1.56 - 1.49 (m, 2H), 1.49 - 1.41 (m, 1H), 1.35 - 1.29 (m, 1H), 1.32 (d, *J* = 6.4 Hz, 3H), 1.19 (d, *J* = 7.2 Hz, 3H), 0.95 (t, *J* = 7.2 Hz, 3H), 0.84 (t, *J* =

*Comp. No.	P.F. (°C)	*1R (cm^{-1})	MASA	RMN (^{1}H, ^{13}C, ^{19}F)
				7.3 Hz, 3H)
671	- - -	3371, 2965, 2878, 1741, 1675, 1623, 1506, 1430	HRMS - ESI (*m/z*) ($[M+H]^+$) calculada para $C_{27}H_{35}F_2N_2O_8$, 553.2356; encontrada, 553.2349	^{1}H RMN (500 MHz, $CDCl_3$) δ 8.32 - 8.23 (m, 1H), 8.27 (d, *J* = 5.4 Hz, 1H), 7.01 - 6.92 (m, 1H), 6.94 (d, *J* = 5.5 Hz, 1H), 6.84 (ddd, *J* = 10.0, 6.7, 3.0 Hz, 1H), 6.53 (ddt, *J* = 8.9, 7.7, 3.1 Hz, 1H), 5.78 - 5.70 (m, 2H), 5.41 - 5.28 (m, 1H), 4.67 - 4.57 (m, 1H), 4.35 (dd, *J* = 7.1, 3.7 Hz, 1H), 3.91 (s, 3H), 2.07 (s, 3H), 1.68 - 1.59 (m, 1H), 1.57 - 1.51 (m, 1H), 1.51 - 1.41 (m, 2H), 1.41 - 1.34 (m, 1H), 1.32 (d, *J* = 6.4 Hz, 3H), 1.23 (d, *J* = 7.2 Hz, 3H), 0.94 (t, *J* = 7.4 Hz, 3H), 0.87 (t, *J* = 7.4 Hz, 3H)
672	- - -	3377, 2965, 2877, 2741, 1676, 1603, 1585, 1503, 1450	HRMS - ESI (*m/z*) ($[M+H]^+$) calculada para $C_{27}H_{35}ClFN_2O_8$, 569.2060; encontrada, 569.2057	^{1}H RMN (500 MHz, $CDCl_3$) δ 8.27 (d, *J* = 5.4 Hz, 1H), 8.25 (d, *J* = 7.8 Hz, 1H), 6.94 (d, *J* = 5.4 Hz, 1H), 6.76 (td, *J* = 2.1, 1.1 Hz, 1H), 6.64 (dt, *J* = 8.3, 2.0 Hz, 1H), 6.59 (dt, *J* = 10.7, 2.3 Hz, 1H), 5.77 - 5.70 (m, 2H), 5.28 (p, *J* = 6.5 Hz, 1H), 4.60 (p, *J* = 7.3 Hz, 1H), 4.32 (dd, *J* = 7.0, 3.9 Hz, 1H), 3.91 (s, 3H), 2.07 (s, 3H), 1.63 - 1.48 (m, 2H), 1.49 - 1.37 (m, 2H), 1.36 - 1.31 (m,

*Comp. No.	P.F. (°C)	*1R (cm^{-1})	MASA	RMN (^{1}H, ^{13}C, ^{19}F)
				1H), 1.30 (d, *J* = 6.4 Hz, 3H), 1.21 (d, *J* = 7.2 Hz, 3H), 0.93 (t, *J* = 7.5 Hz, 3H), 0.87 (t, *J* = 7.5 Hz, 3H)
673	- - -	3380, 2964, 3938, 2877, 1771, 1738, 1677, 1610, 1590, 1508, 1488	HRMS - ESI (*m/z*) ($[M+H]^+$) calculada para $C_{26}H_{34}FN_2O_7$, 505.2345; encontrada, 505.2343	^{1}H RMN (500 MHz, $CDCl_3$) δ 8.45 (s, 1H), 8.32 (d, *J* = 5.5 Hz, 1H), 7.16 (td, *J* = 8.3, 6.9 Hz, 1H), 6.99 (d, *J* = 5.5 Hz, 1H), 6.73 (ddd, *J* = 8.4, 2.4, 0.8 Hz, 1H), 6.66 (dt, *J* = 11.2, 2.4 Hz, 1H), 6.62 - 6.56 (m, 1H), 5.28 (h, *J* = 6.4 Hz, 1H), 4.62 - 4.54 (m, 1H), 4.35 (dd, *J* = 7.0, 4.1 Hz, 1H), 3.90 (s, 3H), 2.39 (s, 3H), 1.65 - 1.53 (m, 1H), 1.54 - 1.47 (m, 1H), 1.47 - 1.37 (m, 2H), 1.37 - 1.30 (m, 1H), 1.29 (d, *J* = 6.5 Hz, 3H), 1.15 (d, *J* = 7.2 Hz, 3H), 0.92 (t, *J* = 7.5 Hz, 3H), 0.86 (t, *J* = 7.4 Hz, 3H)
674	- - -	3384, 2964, 2938, 2877, 1771, 1738, 1677, 1508, 1488	HRMS - ESI (*m/z*) ($[M+H]^+$) calculada para $C_{26}H_{34}ClN_2O_7$, 521.2049; encontrada, 521.2040	^{1}H RMN (500 MHz, $CDCl_3$) δ 8.44 (s, 1H), 8.32 (d, *J* = 5.4 Hz, 1H), 7.16 (d, *J* = 9.0 Hz, 2H), 7.00 (d, *J* = 5.5 Hz, 1H), 6.88 (d, *J* = 9.0 Hz, 2H), 5.28 (p, *J* = 6.5 Hz, 1H), 4.63 - 4.52 (m, 1H), 4.32 (dd, *J* = 7.0, 4.0 Hz, 1H), 3.91 (s, 3H), 2.39 (s, 3H), 1.64 - 1.53 (m, 1H), 1.54 - 1.47 (m, 1H), 1.46 - 1.36 (m,

*Comp. No.	P.F. (°C)	*1R (cm^{-1})	MASA	RMN (^{1}H, ^{13}C, ^{19}F)
				2H), 1.36 - 1.30 (m, 1H), 1.28 (d, *J* = 6.5 Hz, 3H), 1.17 (d, *J* = 7.2 Hz, 3H), 0.92 (t, *J* = 7.5 Hz, 3H), 0.84 (t, *J* = 7.4 Hz, 3H)
675	- - -	3377, 2964, 2938, 2877, 1770, 1738, 1676, 1508, 1477	HRMS - ESI (*m/z*) ($[M+H]^+$) calculada para $C_{26}H_{33}Cl_2N_2O_7$, 555.1659; encontrada, 555.1653	^{1}H RMN (500 MHz, $CDCl_3$) δ 8.45 (s, 1H), 8.32 (d, *J* = 5.5 Hz, 1H), 7.31 (d, *J* = 2.5 Hz, 1H), 7.10 (dd, *J* = 9.0, 2.6 Hz, 1H), 7.03 - 6.98 (m, 2H), 5.33 - 5.26 (m, 1H), 4.62 - 4.50 (m, 1H), 4.39 (dd, *J* = 7.5, 2.7 Hz, 1H), 3.91 (s, 3H), 2.39 (s, 3H), 1.68 - 1.58 (m, 1H), 1.55 - 1.39 (m, 3H), 1.39 - 1.32 (m, 1H), 1.30 (d, *J* = 6.4 Hz, 3H), 1.18 (d, *J* = 7.1 Hz, 3H), 0.95 (t, *J* = 7.3 Hz, 3H), 0.83 t, *J* = 7.4 Hz, 3H)
676	- - -	3379, 2965, 2878, 1771, 1739, 1677, 1507	HRMS - ESI (*m/z*) ($[M+H]^+$) calculada para $C_{26}H_{33}F_2N_2O_7$, 523.2250; encontrada, 523.2256	^{1}H RMN (500 MHz, $CDCl_3$) δ 8.46 (s, 1H), 8.32 (d, *J* = 5.5 Hz, 1H), 6.99 (d, *J* = 5.5 Hz, 1H), 6.96 (ddd, *J* = 10.7, 9.0, 5.4 Hz, 1H), 6.83 (ddd, *J* = 9.9, 6.7, 2.9 Hz, 1H), 6.52 (ddt, *J* = 8.9, 7.6, 3.1 Hz, 1H), 5.35 - 5.24 (m, 1H), 4.64 - 4.56 (m, 1H), 4.34 (dd, *J* = 7.1, 3.7 Hz, 1H), 3.91 (s, 3H), 2.39 (s, 3H), 1.66 - 1.58 (m, 1H), 1.55 - 1.50 (m, 1H), 1.50 - 1.42 (m, 2H), 1.42 - 1.32

*Comp. No.	P.F. (°C)	*1R (cm^{-1})	MASA	RMN (^{1}H, ^{13}C, ^{19}F)
				(m, 1H), 1.31 (d, *J* = 6.5 Hz, 3H), 1.21 (d, *J* = 7.2 Hz, 3H), 0.94 (t, *J* = 7.4 Hz, 3H), 0.87 (t, *J* = 7.4 Hz, 3H)
677	- - -	3380, 2965, 2938, 2877, 1771, 1739, 1648, 1604, 1589, 1508	HRMS - ESI (*m/z*) ($[M+H]^+$) calculada para $C_{26}H_{33}ClFN_2O_7$, 539.1955; encontrada, 539.1964	^{1}H RMN (500 MHz, $CDCl_3$) δ 8.44 (s, 1H), 8.32 (d, *J* = 5.5 Hz, 1H), 7.00 (d, *J* = 5.4 Hz, 1H), 6.75 (td, *J* = 2.0, 1.1 Hz, 1H), 6.64 (dt, ^{1}H 8.3, 2.0 Hz, 1H), 6.58 (dt, *J* = 10.7, 2.3 Hz, 1H), 5.28 (p, *J* = 6.5 Hz, 1H), 4.63 - 4.55 (m, 1H), 4.31 (dd, *J* = 7.0, 4.0 Hz, 1H), 3.91 (s, 3H), 2.39 (s, 3H), 1.63 - 1.53 (m, 1H), 1.54 - 1.49 (m, 1H), 1.47 - 1.38 (m, 2H), 1.38 - 1.30 (m, 1H), 1.28 (d, *J* = 6.4 Hz, 3H), 1.19 (d, *J* = 7.1 Hz, 3H), 0.92 (t, *J* = 7.4 Hz, 3H), 0.87 (t, *J* = 7.4 Hz, 3H)
678	- - -	- - -	HRMS - ESI (*m/z*) $[M]^+$ calculada para $C_{23}H_{28}N_2O_6$, 428.1947, encontrada, 428.1949	^{1}H RMN (400 MHz, $CDCl_3$) δ 8.51 - 8.36 (m, 2H), 7.54 - 7.42 (m, 2H), 7.29 - 7.15 (m, 2H), 7.00 - 6.83 (m, 3H), 5.21 (qd, *J* = 6 5, 4.0 Hz, 1H), 4.57 (dq, *J* = 8.1, 7.2 Hz, 1H), 4.21 (dd, *J* = 7.0, 4.0 Hz, 1H), 2.38 (s, 3H), 2.04 - 1.88 (m, 1H), 1.35 (d, *J* = 6.5 Hz, 3H), 1.19 (d, *J* = 7.2 Hz, 3H), 1.02 (dd, *J* = 10.2, 6.8 Hz, 6H)

*Comp. No.	P.F. (°C)	*1R (cm^{-1})	MASA	RMN (^{1}H, ^{13}C, ^{19}F)
				^{13}C RMN (126 MHz, $CDCl_3$) δ 172.07, 169.49, 162.30, 160.08, 147.38, 145.46, 141.07, 132.92, 129.41, 127.42, 120.98, 116.22, 83.98, 72.77, 47.98, 30.40, 21.05, 19.26, 18.61, 17.92, 14.62
679	- - -	- - -	HRMS - ESI (*m/z*) ($[M+H]^+$) calculada para $C_{24}H_{30}ClN_2O_7$, 493.1736; encontrada, 493.1738	^{1}H RMN (500 MHz, $CDCl_3$) δ 8.30 (d, *J* = 7.7 Hz, 1H), 8.25 (d, *J* = 5.0 Hz, 1H), 7.49 (d, *J* = 5.0 Hz, 1H), 7.23 - 7.18 (m, 2H), 6.93 (dt, *J* = 7.1, 1.1 Hz, 2H), 6.88 (tt, *J* = 7.3, 1.1 Hz, 1H), 5.78 (q, 6.7 Hz, 2H), 5.23 (qd, *J* = 6 4, 4.0 Hz, 1H), 4.56 (p, *J* = 7.3 Hz, 1H), 4.22 (dd, *J* = 7.1, 3.9 Hz, 1H), 2.09 (s, 3H), 1.97 (h, *J* = 6.8 Hz, 1H), 1.36 (d, *J* = 6.5 Hz, 3H), 1.20 (d, *J* = 7.2 Hz, 3H), 1.03 (dd, *J* = 13.0, 6.8 Hz, 6H) ^{13}C RMN (126 MHz, $CDCl_3$) δ 172.00, 170.31, 162.17, 160.09, 151.18, 144.24, 142 67, 140.42, 129.42, 127.97, 121.00, 116.22, 90.26, 83.98, 72.88, 60.39, 48.30, 30.40, 20.86, 19.24, 18.68, 17.67, 14.58, 14.20
680	- - -	3372, 2960, 2875, 1740,	HRMS - ESI (*m/z*) ($[M+H]^+$) calculada	^{1}H RMN (500 MHz, $CDCl_3$) δ 8.26 (d, *J* = 5.3 Hz, 1H), 8.13 (d, *J* = 8.8 Hz,

*Comp. No.	P.F. (°C)	*1R (cm^{-1})	MASA	RMN (^{1}H, ^{13}C, ^{19}F)
		1679, 1610, 1589, 1504, 1487	para $C_{30}H_{42}FN_2O_8$, 577.2920; encontrada, 577.2913	1H), 7.16 (td, *J* = 8.3, 6.9 Hz, 1H), 6.94 (d, *J* = 5.4 Hz, 1H), 6.74 (ddd, *J* = 8.4, 2.5, 0.9 Hz, 1H), 6.67 (dt, *J* = 11.2, 2.4 Hz, 1H), 6.59 (tdd, *J* = 8.3, 2.4, 0.8 Hz, 1H), 5.79 - 5.67 (m, 2H), 5.26 (dq, *J* = 7.7, 6.5 Hz, 1H), 4.61 (ddd, *J* = 10.3, 8.7, 4.3 Hz, 1H), 4.39 (dd, *J* = 7.6, 3.4 Hz, 1H), 3.90 (s, 3H), 2.06 (s, 3H), 1.64 - 1.52 (m, 2H), 1.52 - 1.46 (m, 1H), 1.46 - 1.37 (m, 3H), 1.37 - 1.30 (m, 1H), 1.30 (d, *J* = 6.4 Hz, 3H), 1.27 - 1.17 (m, 1H), 0.93 (t, *J* = 7.4 Hz, 3H), 0.86 (t, *J* = 7.3 Hz, 3H), 0.78 (d, *J* = 6.5 Hz, 3H) 0.73 (d, J.66 Hz, 3H)
681	- - -	3374, 2960, 2874, 1739, 1677, 1504, 1488	HRMS - ESI (*m/z*) ($[M+H]^+$) calculada para $C_{30}H_{42}ClN_2O_8$, 593.2624, encontrada, 593.2625	^{1}H RMN (500 MHz, $CDCl_3$) δ 8.25 (d, *J* = 5.4 Hz, 1H), 8.12 (d, *J* = 8.7 Hz, 1H), 7.16 (d, *J* = 9.0 Hz, 2H), 6.94 (d, *J* = 5.4 Hz, 1H), 6.88 (d, *J* = 9.0 Hz, 2H), 5.78 - 5.63 (m, 2H), 5.25 (dq, *J* = 7.6, 6.5 Hz, 1H), 4.59 (ddd, *J* = 10.4, 8.7, 4.3 Hz, 1H), 4.37 (dd, *J* = 7.6, 3.3 Hz, 1H), 3.90 (s, 3H), 2.06 (s, 3H), 1.66 - 1.51 (m, 2H), 1.52 – 1.44 (m, 1H), 1.44 - 1.34 (m, 2H), 1.34 - 1.30 (m, 1H), 1.29 (d, *J* = 6 4 Hz, 3H), 1.28

*Comp. No.	P.F. (°C)	*1R (cm^{-1})	MASA	RMN (^{1}H, ^{13}C, ^{19}F)
				- 1.24 (m, 1H), 1.18 (ddd, *J* = 13.9, 9.5, 4.4 Hz, 1H), 0.92 (t, *J* = 7.4 Hz, 3H), 0.84 (t, *J* = 7.3 Hz, 3H), 0.79 (d, *J* = 6.5 Hz, 3H), 0.75 (d, *J* = 6.7 Hz, 3H)
682	- - -	3374, 2961, 2875, 1741, 1678, 1623, 1506, 1464, 1430	HRMS - ESI (*m/z*) ($[M+H]^+$) calculada para $C_{30}H_{41}F_2N_2O_8$, 595.2825; encontrada, 595.2835	^{1}H RMN (500 MHz, $CDCl_3$) δ 8.26 (d, *J* = 5.4 Hz, 1H), 8.15 (d, *J* = 8.7 Hz, 1H), 7.00 - 6.95 (m, 1H), 6.94 (d, *J* = 5.4 Hz, 1H), 6.86 (ddd, *J* = 10.0, 2.9 Hz, 1H), 6.53 (ddt, *J* = 8.9, 7.6, 3.1 Hz, 1H), 5.77 5.68 (m, 2H), 5.28 (dq, *J* = 7.9, 6.5 Hz, 1H), 4.64 (ddd, *J* = 10.3, 8.6, 4.3 Hz, 1H), 4.37 (dd, *J* = 7.7, 2.9 Hz, 1H), 3.90 (s, 3H), 2.06 (s, 3H), 1.66 - 1.54 (m, 2H), 1.55 - 1.39 (m, 4H), 1.32 (d, *J* = 6.4 Hz, 3H), 1.39 - 1.20 (m, 2H), 0.94 (t, *J* = 7.3 Hz, 3H), 0.86 (t, *J* = 7.3 Hz, 3H), 0.80 (d, *J* = 6.5 Hz, 3H) 0.74 (d, *J* = 6.7 Hz, 3H)
683	- - -	3375, 2961, 2875, 1741, 1678, 1604, 1585, 1504, 1457, 1438	HRMS - ESI (*m/z*) ($[M+H]^+$) calculada para $C_{30}H_{41}ClFN_2O_8$, 611.2530, encontrada, 611.2525	^{1}H RMN (500 MHz, $CDCl_3$) δ 8.26 (d, *J* = 5.4 Hz, 1H), 8.12 (d, *J* = 8.6 Hz, 1H), 6.94 (d, *J* = 5.4 Hz, 1H), 6.75 (td, *J* = 2.1, 1.1 Hz, 1H), 6.64 (dt, *J* = 8.3, 2.1 Hz, 1H), 6.59 (dt, *J* = 10.8, 2.2 Hz, 1H), 5.76 - 5.68 (m, 2H), 5.30 - 5.18 (m, 1H), 4.60 (ddd, *J* = 10.5, 8.6, 4.2

*Comp. No.	P.F. (°C)	*1R (cm^{-1})	MASA	RMN (^{1}H, ^{13}C, ^{19}F)
				Hz, 1H), 4.35 (dd, *J* = 7.7, 3.1 Hz, 1H), 3.90 (s, 3H), 2.06 (s, 3H), 1.65 - 1.51 (m, 2H), 1.52 - 1.44 (m, 1H), 1.46 - 1.34 (m, 3H), 1.30 (d, *J* = 64 Hz, 3H), 1.29 - 1.24 (m, 1H), 1.18 (ddd *J* = 13.8, 9.6, 4.3 Hz, 1H), 0.93 (t, *J* = 7.4 Hz, 3H), 0.87 (t, *J* = 7.4 Hz, 3H), 0.80 (d, *J* = 6.6 Hz, 3H), 0.76 (d, *J* = 6.7 Hz, 3H)
684	- - -	3374, 2960, 2875, 1740, 1678, 1581, 1504, 1477	HRMS - ESI (*m/z*) ($[M+H]^{+}$) calculada para $C_{30}H_{41}Cl_2N_2O_8$, 627.2234; encontrada, 627.2234	^{1}H RMN (500 MHz, $CDCl_3$) δ 8.26 (d, *J* = 5.4 Hz, 1H), 8.14 (d, *J* = 8.7 Hz, 1H), 7.31 (d, *J* = 2.6 Hz, 1H), 7.10 (dd, *J* = 8.9, 2.5 Hz, 1H), 7.04 (d, *J* = 9.0 Hz, 1H), 6.94 (d, *J* = 5.3 Hz, 1H), 5.76 - 5.68 (m, 2H), 5.28 (dq, *J* = 7.7, 6.3 Hz, 1H), 4.58 (ddd, *J* = 10.3, 8.6, 4.4 Hz, 1H), 4.43 (dd, *J* = 8.0, 2.2 Hz, 1H), 3.91 (s, 3H), 2.06 (s, 3H), 1.69 - 1.58 (m, 1H), 1.61 - 1.53 (m, 1H), 1.54 - 1.45 (m, 3H), 1.46 - 1.39 (m, 1H), 1.31 (d, *J* = 6.3 Hz, 3H), 1.29 - 1.24 (m, 1H), 1.19 (ddd, *J* = 13.8, 9.4, 4.4 Hz, 1H), 0.95 (t, *J* = 7.2 Hz, 3H), 0.83 (t, *J* = 7.3 Hz, 3H), 0.77 (d, *J* = 6.5 Hz, 3H), 0.74 (d, *J* = 6.6 Hz, 3H)

*Comp. No.	P.F. (°C)	*1R (cm^{-1})	MASA	RMN (^{1}H, ^{13}C, ^{19}F)
685	- - -	3378, 2961, 2876, 1772, 1739, 1680, 1610, 1590, 1509, 1488	HRMS - ESI (*m/z*) ($[M+Na]^+$) calculada para $C_{29}H_{39}FN2Na07$ 569.2634; encontrada, 569.2639	^{1}H RMN (500 MHz, $CDCl_3$) δ 8.32 (d, *J* = 5.4 Hz, 1H), 8.24 (d, *J* = 8.9 Hz, 1H), 7.16 (td, *J* = 8.3, 6.9 Hz, 1H), 6.99 (d, *J* = 5.5 Hz, 1H), 6.74 - 6.71 (m, 1H), 6.66 (dt, *J* = 11.2, 2.4 Hz, 1H), 6.59 (tdd, *J* = 8.2, 2.4, 0.9 Hz, 1H), 5.28 - 5.20 (m, 1H), 4.59 (ddd, *J* = 10.2, 8.9, 4.4 Hz, 1H), 4.37 (dd, *J* = 7.5, 3.6 Hz, 1H), 3.90 (s, 3H), 2.38 (s, 3H), 1.64 - 1.49 (m, 2H), 1.53 - 1.43 (m, 1H), 1.47 - 1.35 (m, 3H), 1.37 - 1.30 (m, 1H), 1.29 (d, *J* = 6.4 Hz, 3H), 1.26 – 1.18 (m, 1 H), 0.92 (t, *J* = 7.4 Hz, 3H), 0.85 (t, *J* = 7.4 Hz, 3H), 0.77 (d, *J* = 6.5 Hz, 3H), 0.72 (d, *J* = 6.7 Hz, 3H)
686	- - -	3377, 2960, 2875, 1772, 1738, 1679, 1591, 1508, 1489	HRMS - ESI (*m/z*) ($[M+H]^+$) calculada para $C_{29}H_{40}ClN_2O_7$, 563.2519; encontrada, 563.2537	^{1}H RMN (500 MHz, $CDCl_3$) δ 8.31 (d, *J* = 5.4 Hz, 1H), 8.23 (d, *J* = 9.0 Hz, 1H), 7.16 (d, *J* = 9.0 Hz, 2H), 6.99 (d, *J* = 5.5 Hz, 1H), 6.87 (d, *J* = 9.0 Hz, 2H), 5.30 - 5.16 (m, 1H), 4.57 (ddd, *J* = 10.1, 8.9, 4.4 Hz, 1H), 4.35 (dd, *J* = 7.5, 3.5 Hz, 1H), 3.90 (s, 3H), 2.38 (s, 3H), 1.64 - 1.49 (m, 2H), 1.51 - 1.43 (m, 1H), 1.47 - 1.34 (m, 3H), 1.35 - 1.29 (m, 1H), 1.28 (d, *J* = 6.4 Hz, 3H),

*Comp. No.	P.F. (°C)	*1R (cm^{-1})	MASA	RMN (^{1}H, ^{13}C, ^{19}F)
				1.25 - 1.15 (m, 1H), 0.92 (t, *J* = 7.4 Hz, 3H), 0.84 (t, *J* = 7.4 Hz, 3H), 0.78 (d, *J* = 6.6 Hz, 3H), 0.74 (d, *J* = 6.7 Hz, 3H)
687	- - -	3379, 2961, 2876, 1772, 1740, 1680, 1508	HRMS - ESI (*m/z*) ($[M+H]^+$) calculada para $C_{29}H_{39}F_2N_2O_7$, 565.272; encontrada, 565.2722	^{1}H RMN (500 MHz, $CDCl_3$) δ 8.32 (d, *J* = 5.4 Hz, 1H), 8.26 (d, *J* = 8.8 Hz, 1H), 6.99 (d, *J* = 5.5 Hz, 1H), 6.96 (ddd, *J* = 10.7, 9.0, 5.4 Hz, 1H), 6.85 (ddd, *J* = 9.9, 6.7, 3.0 Hz, 1H), 6.52 (ddt, *J* = 9.0, 7.7, 3.1 Hz, 1H), 5.27 (dq, *J* = 7.7, 6.4 Hz, 1H), 4.61 (ddd, *J* = 10.0, 8.8, 4.4 Hz, 1H), 4.35 (dd, *J* = 7.6, 3.1 Hz, 1H), 3.90 (s, 3H), 2.38 (s, 3H), 1.66 - 1.52 (m, 2H), 1.54 - 1.40 (m, 4H), 1.31 (d, *J* = 6.4 Hz, 3H), 1.37 - 1.23 (m, 2H), 0.94 (t, *J* = 7.3 Hz, 3H), 0.85 (t, *J* = 7.3 Hz, 3H), 0.79 (d, *J* = 6.5Hz, 3H), 0.73 (d, *J* = 6.6 Hz, 3H)
688	- - -	3379, 2961, 2875, 1772, 1740, 1680, 1604, 1589, 1509	HRMS - ESI (*m/z*) ($[M+H]^+$) calculada para $C_{29}H_{39}ClFN_2O_7$, 581.2424; encontrada, 581.2425	^{1}H RMN (500 MHz, $CDCl_3$) δ 8.32 (d, *J* = 5.5 Hz, 1H), 8.24 (d, *J* = 8.8 Hz, 1H), 6.99 (d, *J* = 5.4 Hz, 1H), 6.75 - 6.74 (m, 1H), 6.63 (dt, *J* = 8.3, 2.1 Hz, 1H), 6.58 (dt, *J* = 10.7, 2.3 Hz, 1H), 5.24 (dq, *J* = 7.8, 6.3 Hz, 1H), 4.58 (ddd, *J* = 10.2, 8.8, 4.4 Hz, 1H), 4.33

*Comp. No.	P.F. (°C)	*1R (cm^{-1})	MASA	RMN (^{1}H, ^{13}C, ^{19}F)
				(dd, *J* = 7.6, 3.3 Hz, 1H), 3.90 (s, 3H), 2.38 (s, 3H), 1.63 - 1.51 (m, 2H), 1.51 - 1.44 (m, 1H), 1.46 - 1.34 (m, 3H), 1.35 - 1.23 (m, 1H), 1.28 (d, *J* = 6.4 Hz, 3H), 1.25 - 1.16 (m, 1H), 0.92 (t, *J* = 7.5 Hz, 3H), 0.86 (t, *J* = 7.3 Hz, 3H), 0.79 (d, *J* = 6.6 Hz, 3H), 0.75 (d, *J* = 6.6 Hz, 3H)
689	- - -	3376, 2961, 2875, 1772, 1740, 1680, 1510, 1478	HRMS - ESI (*m/z*) ($[M+H]^+$) calculada para $C_{29}H_{39}Cl_2N_2O_7$, 597.2129; encontrada, 597.2136	^{1}H RMN (500 MHz, $CDCl_3$) δ 8.31 (d, *J* = 5.4 Hz, 1H), 8.25 (d, *J* = 8.8 Hz, 1H), 7.31 (d, *J* = 2.6 Hz, 1H), 7.10 (dd, *J* = 9.0, 2.6 Hz, 1H), 7.02 (d, *J* = 9.0 Hz, 1H), 6.99 (d, *J* = 5.5 Hz, 1H), 5.27 (dq, *J* = 8.0, 6.3 Hz, 1H), 4.56 (td, *J* = 9.5, 4.5 Hz, 1H), 4.41 (dd, *J* = 8.0, 2.4 Hz, 1H), 3.90 (s, 3H), 2.38 (s, 3H), 1.67 - 1.59 (m, 1H), 1.56 - 1.38 (m, 4H), 1.30 (d, *J* = 6.4 Hz, 3H), 1.32 - 1.17 (m, 3H), 0.95 (t, *J* = 7.2 Hz, 3H), 0.82 (t, *J* = 7.3 Hz, 3H), 0.76 (d, *J* = 6.5 Hz, 3H), 0.73 (d, *J* = 6.6 Hz, 3H)
690	- - -	- - -	HRMS - ESI (m/z) ($[M+Na]^+$) calculada para $C_{25}H_{26}N_2O7SNa$	^{1}H RMN (400 MHz, $CDCl_3$) δ 8.54 (d, *J* = 8.1 Hz, 1H), 8.32 (d, *J* = 5.4 Hz, 1H), 7.30 - 7.23 (m, 1H), 7.24 - 7.16 (m, 2H), 7.06 (dd, *J* = 3.7, 1.2 Hz,

*Comp. No.	P.F. (°C)	*1R (cm^{-1})	MASA	RMN (^{1}H, ^{13}C, ^{19}F)
			521.1359; encontrada, 521.1354	1H), 7.00 (d, *J* = 5.5 Hz, 1H), 6.95 (dd, *J* = 5.0, 3.5 Hz, 1H), 6.94 - 6.86 (m, 3H), 5.50 - 5.34 (m, 2H), 4.73 (dq, *J* = 8.2, 7.1 Hz, 1H), 3.91 (s, 3H), 2.40 (s, 3H), 1.42 (d, *J* = 7.1 Hz, 3H), 1.25 (d, *J* = 6.2 Hz, 3H) ^{13}C RMN (101 MHz, $CDCl_3$) δ 172.20, 168.92, 162.40, 159.44, 157.66, 146.65, 141.54, 140.20, 137.51, 129.39, 126.74, 126.26, 125.85, 121.54, 115.99, 109.74, 78.23, 73.49, 56.28, 48.03, 20.76, 18.70, 16.04
691	100-108	- - -	HRMS - ESI (*m/z*) ($[M+H]^+$) calculada para $C_{25}H_{32}N_2O_7$, 473.2282, encontrada, 473.2282	^{1}H RMN (500 MHz, $CDCl_3$) δ 8.46 (s, 1H), 8.31 (d, *J* = 5.4 Hz, 1H), 7.25 - 7.19 (m, 2H), 6.99 (d, *J* = 5.5 Hz, 1H), 6.94 - 6.86 (m, 3H), 5.21 (qd, *J* = 6.4, 4.8 Hz, 1H), 4.60 (p, *J* = 7.4 Hz, 1H), 4.32 (t, *J* = 5.3 Hz, 1H), 3.91 (s, 3H), 2.39 (s, 3H), 1.73 (ddt, *J* = 8.3, 6.7, 5.3 Hz, 1H), 1.48 (ddd, *J* = 13.0, 7.3, 5.1 Hz, 1H), 1.33 (d, *J* = 6.4 Hz, 3H), 1.30 - 1.22 (m, 4H), 1.01 (d, *J* = 6.8 Hz, 3H), 0.91 (t, *J* = 7.4 Hz, 3H) ^{13}C RMN (126 MHz, $CDCl_3$) δ 172.06, 168.91, 162.36, 159.90, 159.45, 146.64, 141.49, 137.50, 129.45,

*Comp. No.	P.F. (°C)	*1R (cm^{-1})	MASA	RMN (^{1}H, ^{13}C, ^{19}F)
				120.95, 116.11, 109.73, 82.17, 72.40, 56.29, 47.99, 36.75, 26.13, 20.75, 18.08, 15.44, 14.43, 11.40
692	- - -	- - -	HRMS - ESI (*m/z*) ($[M+H]^+$) calculada para $C_{26}H_{34}N_2O_8$, 503.2388; encontrada, 503.2386	^{1}H RMN (500 MHz, $CDCl_3$) δ 8.30 - 8.23 (m, 2H), 7.22 (dd, *J* = 8.7, 7.3 Hz, 2H), 6.96 - 6.86 (m, 4H), 5.75 - 5.69 (m, 2H), 5.22 (qd, *J* = 6.4, 4.9 Hz, 1H), 4.62 (p, *J* = 7.3 Hz, 1H), 4.33 (t, *J* = 5.3 Hz, 1H), 3.91 (s, 3H), 2.07 (s, 3H), 1.74 (ddt, *J* = 8.3, 6.8, 5.3 Hz, 1H), 1.49 (ddd, *J* = 12.9, 7.4, 5.0 Hz, 1H), 1.34 (d, *J* = 6.4 Hz, 3H), 1.31 - 1.23 (m, 4H), 1.02 (d, *J* = 6.7 Hz, 3H), 0.91 (t, *J* = 7.4 Hz, 3H) ^{13}C RMN (126 MHz, $CDCl_3$) δ 172.16, 170.30, 162.95, 160.29, 159.92, 145.69, 144.04, 142.44, 129.45, 120.95, 116.12, 109.54, 89.60, 82.20, 72.39, 56.18, 48.20, 36.74, 30.94, 26.13, 20.88, 17.92, 15.44, 14.44, 11.40
693	123-129	- - -	HRMS - ESI (*m/z*) ($[M+H]^+$) calculada para $C_{25}H_{30}N_2O_7$, 471.2126,	^{1}H RMN (500 MHz, $CDCl_3$) δ 8.45 8.37 (m, 1H), 8.30 (d, *J* = 5.4 Hz, 1H), 7.21 (dd, *J* = 8.6, 7.2 Hz, 2H), 6.99 (d, *J* = 5.5 Hz, 1H), 6.96 - 6.91 (m, 2H),

*Comp. No.	P.F. (°C)	*1R (cm^{-1})	MASA	RMN (^{1}H, ^{13}C, ^{19}F)
			encontrada, 471.2123	6.89 (td, *J* = 7.3, 0.9 Hz, 1H), 5.79 (ddd, *J* = 17.1, 10.3, 8.6 Hz, 1H), 5.17 (qd, *J* = 6.6, 3.6 Hz, 1H), 5.15 - 5.03 (m, 2H), 4.54 (p, *J* = 7.3 Hz, 1H), 4.34 (dd, *J* = 8.0, 3.4 Hz, 1H), 3.90 (s, 3H), 2.56 - 2.47 (m, 1H), 2.38 (s, 3H), 1.34 (d, *J* = 6.5 Hz, 3H), 1.18 - 1.09 (m, 6H) ^{13}C RMN (126 MHz, $CDCl_3$) δ 172.07, 168.91, 162.34, 159.89, 159.43, 146.63, 141.48, 139.60, 137.48, 129.44, 121.20, 116.41, 115.76, 109.72, 82.49, 73.19, 56.28, 47.95, 41.03, 30.94, 20.75, 16.99, 13.96
694	- - -	- - -	HRMS - ESI (*m/z*) ($[M+H]^+$) calculada para $C_{26}H_{32}N_2O_8$, 501.2231, encontrada, 501.2230	^{1}H RMN (500 MHz, $CDCl_3$) δ 8.25 (d, *J* = 5.4 Hz, 1H), 8.22 (d, *J* = 7.9 Hz, 1H), 7.21 (dd, *J* = 8.6, 7.2 Hz, 2H), 6.97 - 6.91 (m, 3H), 6.92 - 6.87 (m, 1H), 5.79 (ddd, *J* = 17.1, 10.3, 8.6 Hz, 1H), 5.72 (d, *J* = 0.7 Hz, 2H), 5.18 (qd, *J* = 6.4, 3.3 Hz, 1H), 5.15 - 5.03 (m, 2H), 4.56 (p, *J* = 7.3 Hz, 1H), 4.35 (dd, *J* = 8.0, 3.4 Hz, 1H), 3.91 (s, 3H), 2.52 (h, *J* = 7.2 Hz, 1H), 2.06 (s, 3H), 1.36 (d, *J* = 6.5 Hz, 3H), 1.15 (dd, *J* = 11.9, 6.9 Hz, 6H)

*Comp. No.	P.F. (°C)	*1R (cm^{-1})	MASA	RMN (^{1}H, ^{13}C, ^{19}F)
				^{13}C RMN (126 MHz, $CDCl_3$) δ 172.17, 170.30, 162.93, 160.28, 159.92, 145.68, 144.03, 142.43, 139.58, 129.44, 121.21, 116.43, 115.77, 109.53, 89.59, 82.51, 73.17, 56.18, 48.16, 41.03, 30.94, 20.87, 17.72, 17.01, 13.95
695	- - -	3379, 2982, 2940, 1770, 1737, 1676, 1593, 1572, 1507, 1453, 1436, 1367, 1310, 1277, 1199, 1174, 1097, 1061, 1039, 1009, 979, 954, 907, 828, 804, 754, 733, 693	HRMS - ESI (*m/z*) ($[M+H]^+$) calculada para $C_{24}H_{29}N_2O_7$, 457.1969; encontrada, 457.1968	RMN (400 MHz, $CDCl_3$) δ 8.49 (d, *J* = 8.0 Hz, 1H), 8.30 (d, *J* = 5.4 Hz, 1H), 7.31 - 7.17 (m, 2H), 7.02 - 6.83 (m, 4H), 5.86 (ddt, *J* = 17.1, 10.1, 7.0 Hz, 1H), 5.22 - 5.01 (m, 3H), 4.72 - 4.57 (m, 1H), 4.41 (ddd, *J* = 6.8, 5.4, 4.1 Hz, 1H), 3.90 (s, 3H), 2.57 - 2.41 (m, 2H), 2.39 (s, 3H), 1.37 (d, *J* = 7.2 Hz, 3H), 1.36 (d, *J* = 6.5 Hz, 3H)
696	- - -	3380, 2959, 2874, 1770, 1737, 1676, 1592, 1572,	HRMS - ESI (*m/z*) ($[M+H]^+$) calculada para $C_{24}H_{31}N_2O_7$, 459.2126;	^{1}H RMN (400 MHz, $CDCl_3$) δ 8.48 (d, *J* = 7.8 Hz, 1H), 8.30 (d, *J* = 5.5 Hz, 1H), 7.32 - 7.15 (m, 2H), 6.99 (d, *J* = 5.4 Hz, 1H), 6.97 - 6.83 (m, 3H), 5.12

*Comp. No.	P.F. (°C)	*1R (cm^{-1})	MASA	RMN (^{1}H, ^{13}C, ^{19}F)
		1507, 1493, 1454, 1436, 1366, 1310, 1277, 1199, 1174, 1116, 1098, 1057, 1009, 972, 954, 907, 827, 803 754, 731, 693	encontrada, 459.2125	(qd, *J* = 6.5, 3.6 Hz, 1H), 4.71 - 4.57 (m, 1H), 4.37 (dt, *J* = 7.9, 3.8 Hz, 1H), 3.90 (s, 3H), 2.39 (s, 3H), 1.80 - 1.35 (m, 4H), 1.33 (d, *J* = 6.5 Hz, 3H), 1.32 (d, *J* = 7.2 Hz, 3H), 0.93 (t, *J* = 7.2 Hz, 3H)
697	- - -	3382, 2981, 2942, 1770, 1739, 1676, 1589, 1572, 1508, 1477, 1455, 1436, 1367, 1311, 1258, 1198, 1174, 1123, 1102, 1059, 1008, 980, 954, 908, 870, 826 804, 733, 698	HRMS - ESI (*m/z*) ($[M+H]^+$) calculada para $C_{24}H_{27}Cl_2N_2O_7$, 525.1190; encontrada, 525.1186	^{1}H RMN (400 MHz, $CDCl_3$) δ 8.41 (d, *J* = 8.0 Hz, 1H), 8.27 (d, *J* = 5.4 Hz, 1H), 7.31 (d, *J* = 2.6 Hz, 1H), 7.07 - 7.01 (m, 1H), 6.99 (d, *J* = 5.5 Hz, 1H), 6.82 (d, *J* = 8.9 Hz, 1H), 5.89 - 5.75 (m, 1H), 5.22 - 5.05 (m, 3H), 4.71 - 4.58 (m, 1H), 4.42 (ddd, *J* = 7.1, 5.5, 3.4 Hz, 1H), 3.91 (s, 3H), 2.57 - 2.45 (m, 1H), 2.45 - 2.40 (m, 1H), 2.39 (s, 3H), 1.40 (d, *J* = 6.5 Hz, 3H), 1.37 (d, *J* = 7.2 Hz, 3H)

*Comp. No.	P.F. (°C)	*1R (cm^{-1})	MASA	RMN (^{1}H, ^{13}C, ^{19}F)
698	- - -	3378, 2984, 2941, 1741, 1675, 1596, 1584, 1493, 1454, 1436, 1366, 1310, 1275, 1235, 1201, 1179, 1153, 1101, 1041, 1002, 970, 921, 889, 830, 806, 754, 693	HRMS - ESI (*m/z*) ($[M+H]^+$) calculada para $C_{25}H_{31}N_2O_8$, 487.2075; encontrada, 487.2078	^{1}H RMN (400 MHz, $CDCl_3$) δ 8.30 (d, *J* = 7.8 Hz, 1H), 8.25 (d, *J* = 5.3 Hz, 1H), 7.30 - 7.18 (m, 2H), 6.97 - 6.86 (m, 4H), 5.86 (ddt, *J* = 17.2, 10.2, 7.1 Hz, 1H), 5.73 (d, *J* = 1.0 Hz, 2H), 5.20 - 5.02 (m, 3H), 4.67 (p, *J* = 7.2 Hz, 1H), 4.42 (ddd, *J* = 6.9, 5.4, 4.0 Hz, 1H), 3.90 (s, 3H), 2.56 - 2.35 (m, 2H), 2.07 (s, 3H), 1.38 (d, *J* = 7.2 Hz, 3H), 1.37 (d, *J* = 6.5 Hz, 3H)
699	- - -	3379, 2959, 2874, 1739, 1674, 1596, 1583, 1493, 1455, 1437, 1366, 1310, 1275, 1234, 1201, 1179, 1101, 1042, 1002, 968 918, 876, 830, 806,	HRMS - ESI calculada para $C_{25}H_{33}N_2O_8$, 489.2231; encontrada, 489.2236	^{1}H RMN (400 MHz, $CDCl_3$) δ 8.29 (d, *J* = 7.6 Hz, 1H), 8.25 (d, *J* = 5.4 Hz, 1H), 7.30 - 7.17 (m, 2H), 7.00 - 6.86 (m, 5H), 5.73 (d, *J* = 0.9 Hz, 2H), 5.13 (qd, *J* = 6.5, 3.5 Hz, 1H), 4.65 (p, *J* = 7.3 Hz, 1H), 4.38 (dt, *J* = 7.9, 3.8 Hz, 1H), 3.90 (s, 3H), 2.06 (s, 3H), 1.78 - 1.65 (m, 1H), 1.65 - 1.37 (m, 2H), 1.38 - 1.30 (m, 6H), 0.94 (t, *J* = 7.1 Hz, 3H)

*Comp. No.	P.F. (°C)	*1R (cm^{-1})	MASA	RMN (^{1}H, ^{13}C, ^{19}F)
		754, 731, 692		
700	- - -	3379, 2985, 2942, 1743, 1675, 1580, 1505, 1478, 1437, 1366, 1311, 1246, 1202, 1180, 1154, 1103, 1059, 1042, 1003, 972 921, 869, 829, 807, 738	HRMS - ESI (*m/z*) ($[M+H]^+$) calculada para C 25 H 29 C1NO2 2 8, 555.1295; encontrada, 555.1294	^{1}H RMN (400 MHz, $CDCl_3$) δ 8.30 - 8.18 (m, 2H), 7.31 (d, *J* = 2.6 Hz, 1H), 7.05 (dd, *J* = 8.8, 2.6 Hz, 1H), 6.94 (d, *J* = 5.4 Hz, 1H), 6.84 (d, *J* = 8.9 Hz, 1H), 5.89 - 5.76 (m, 1H), 5.73 (s, 2H), 5.23 - 5.03 (m, 3H), 4.66 (p, *J* = 7.3 Hz, 1H), 4.43 (ddd, *J* = 7.1, 5.5, 3.3 Hz, 1H), 3.91 (s, 3H), 2.53 (dtt, *J* = 14.0, 7.0, 1.4 Hz, 1H), 2.42 (dddt, *J* = 13.0, 7.8, 6.7, 1.2 Hz, 1H), 2.07 (s, 3H), 1.41 (d, *J* = 6.5 Hz, 3H), 1.39 (d, *J* = 7.2 Hz, 3H)
701	- - -	- - -	ESIMS *m/z* 402. 1 ($[M+Na]^+$)	^{1}H RMN (400 MHz, $CDCl_3$) δ 7.25 (td, *J* = 7.4, 2.1 Hz, 2H), 7.02 - 6.93 (m, 2H), 6.90 (t, *J* = 7.3 Hz, 1H), 4.87 (s, 1H), 4.64 (dd, *J* = 16.5, 4.4 Hz, 1H), 4.08 (dt, *J* = 14.7, 7.2 Hz, 1H), 2.10 (dtd, *J* = 13.6, 6.7, 4.5 Hz, 1H), 1.59 - 1.52 (m, 6H), 1.44 (s, 9H), 1.18 (d, *J* = 7.1 Hz, 3H), 1.06 (dd, *J* = 6.9, 1.6 Hz, 3H), 1.01 (dd, *J* = 6.8, 1.5 Hz, 3H) ^{13}C RMN (101 MHz, $CDCl_3$) δ 172.33,

*Comp. No.	P.F. (°C)	*1R (cm^{-1})	MASA	RMN (^1H, ^{13}C, ^{19}F)
				160.22, 160.17, 155.02, 129.46, 120.69, 120.63, 115.69, 115.64, 86.65, 86.43, 84.12, 83.92, 79.59, 49.85, 29.60, 29.54, 28.34, 23.56, 23.42, 22.59, 22.56, 22.45, 22.38, 18.36, 18.29, 18.25
702	- - -	- - -	ESIMS *m/z* 352 ($[M+H]^+$)	^1H RMN (400 MHz, $CDCl_3$) δ 7.29 - 7.21 (m, 2H), 6.95 - 6.89 (m, 3H), 5.22 (qd, *J* = 6.4, 3.8 Hz, 1H), 4.78 (s, 1H), 4.18 (dd, *J* = 7.3, 3.9 Hz, 1H), 3.71 (dd, *J* = 18.3, 5.6 Hz, 1H), 3.56 (dd, *J* = 18.3, 5.8 Hz, 1H), 1.93 (dt, *J* = 13.7, 6.8 Hz, 1H), 1.44 (s, 9H), 1.32 (d, *J* = 6.5 Hz, 3H), 1.03 (d, *J* = 6.7 Hz, 3H), 0.99 (d, *J* = 6.8 Hz, 3H) ^{13}C RMN (101 MHz, $CDCl_3$) δ 169.67, 160.10, 155.63, 129.48, 121.04, 116.27, 83.88, 79.90, 72.64, 68.46, 42.49, 30.34, 28.30, 19.09, 18.86, 14.36
703	- - -	- - -	ESIMS *m/z* 380 ($[M+H]^+$)	^1H RMN (400 MHz, $CDCl_3$) δ 7.25 (dd, *J* = 8.9, 7.3 Hz, 2H), 6.97 - 6.89 (m, 3H), 5.18 (qd, *J* = 6 5, 4.1 Hz, 1H), 4.88 (d, *J* = 8.5 Hz, 1H), 4.15 (dd, *J* = 6.9, 4.2 Hz, 1H), 4.15 - 4.05 (m, 1H),

*Comp. No.	P.F. (°C)	*1R (cm^{-1})	MASA	RMN (^{1}H, ^{13}C, ^{19}F)
				1.96 (h, *J* = 6.8 Hz, 1H), 1.43 (s, 9H), 1.39 - 1.34 (m, 1H), 1.33 (d, *J* = 6.4 Hz, 3H), 1.30 - 1.24 (m, 1H), 1.04 (d, *J* = 6.7 Hz, 3H), 1.00 (d, *J* = 6.8 Hz, 3H), 0.79 (t, *J* = 7.4 Hz, 3H) ^{13}C RMN (101 MHz, $CDCl_3$) δ 171.88, 160.12, 155.28, 129.43, 121.04, 121.02, 116.38, 84.39, 79.65, 72.40, 54.70, 30.27, 28.31, 25.41, 19.34, 18.50, 14.79, 9.49
704	- - -	- - -	ESIMS *m/z* 394 ($[M+H]^+$)	^{1}H RMN (400 MHz, $CDCl_3$) δ 7.31 - 7.19 (m, 2H), 6.96 - 6.86 (m, 3H), 5.19 (qd, *J* = 65, 4.2 Hz, 1H), 4.82 (d, *J* = 9.3 Hz, 1H), 4.17 - 4.02 (m, 2H), 1.98 (dq, *J* = 13.5, 6.8 Hz, 1H), 1.87 - 1.73 (m, 1H), 1.44 (s, 9H), 1.33 (d, *J* = 6.5 Hz, 3H), 1.05 (d, *J* = 6.7 Hz, 3H), 1.00 (d, *J* = 6.8 Hz, 3H), 0.85 (d, *J* = 6.9 Hz, 3H), 0.72 (d, *J* = 6.9 Hz, 3H) ^{13}C RMN (101 MHz, $CDCl_3$) δ 171.47, 160.07, 155.61, 129.44, 121.06, 116.42, 84.56, 79.66, 72.36, 58.63, 30.87, 30.24, 28.32, 19.41, 19.17, 18.43, 17.03, 14.94
705	- - -	- - -	ESIMS *m/z* 442	^{1}H RMN (400 MHz, $CDCl_3$) δ 7.32 -

*Comp. No.	P.F. (°C)	*1R (cm^{-1})	MASA	RMN (^{1}H, ^{13}C, ^{19}F)
			($[M+H]^+$)	7.17 (m, 5H), 7.10 - 6.99 (m, 2H), 6.91 (dd, *J* = 8.0, 6.4 Hz, 3H), 5.14 (qd, *J* = 6.4, 3.7 Hz, 1H), 4.77 (d, *J* = 8.4 Hz, 1H), 4.38 (p, *J* = 8.1, 7.6 Hz, 1H), 4.07 (dd, *J* = 7.0, 3.8 Hz, 1H), 2.85 (dd, *J* = 13.9, 5.8 Hz, 1H), 2.71 (dd, *J* = 13.9, 7.2 Hz, 1H), 1.98 - 1.79 (m, 1H), 1.38 (s, 9H), 1.29 (d, *J* = 6.4 Hz, 3H), 1.03 (d, *J* = 6.7 Hz, 3H), 0.98 (d, *J* = 6.8 Hz, 3H) ^{13}C RMN (101 MHz, $CDCl_3$) δ 171.20, 160.09, 154.94, 136.16, 129.49, 129.30, 128.47, 126.90, 121.12, 116.44, 84.37, 79.80, 72.94, 54.72, 38.12, 30.22, 28.29, 19.39, 18.66, 14.62
706	- - -	- - -	ESIMS *m/z* 408 ($[M+H]^+$)	^{1}H RMN (400 MHz, $CDCl_3$) δ 7.28 - 7.21 (m, 2H), 6.97 - 6.90 (m, 3H), 5.17 (qd, *J* = 6.5, 3.7 Hz, 1H), 4.69 (d, *J* = 8.9 Hz, 1H), 4.20 - 4.09 (m, 1H), 4.15 - 4.06 (m, 1H), 2.04 - 1.87 (m, 6.8 Hz, 1H), 1.63 - 1.50 (m, 1H), 1.43 (s, 9H), 1.33 (d, *J* = 6.5 Hz, 3H), 1.21 - 1.13 (m, 2H), 1.04 (d, *J* = 6.7 Hz, 3H), 1.01 (d, *J* = 6.8 Hz, 3H), 0.81 (d, *J* = 6.6 Hz, 3H), 0.81 (d, *J* = 6.7 Hz,

*Comp. No.	P.F. (°C)	*1R (cm^{-1})	MASA	RMN (^{1}H, ^{13}C, ^{19}F)
				3H) ^{13}C RMN (101 MHz, $CDCl_3$) δ 172.71, 160.19, 155.35, 129.45, 121.05, 116.33, 84.25, 79.68, 72.48, 52.20, 41.19, 30.38, 28.31, 24.57, 22.97, 21.42, 19.26, 18.80, 14.42
707	- - -	3356, 2923, 2850, 1712	ESIMS *m/z* 428 ($[M+Na]^+$)	^{1}H RMN (400 MHz, $CDCl_3$) δ 7.28 (dd, *J* = 5.1, 1.2 Hz, 1H), 7.24 - 7.17 (m, 2H), 7.07 (dd, *J* = 3.5, 1.2 Hz, 1H), 6.97 (dd, *J* = 5.0, 3.5 Hz, 1H), 6.95 - 6.85 (m, 3H), 5.46 - 5.34 (m, 2H), 5.06 (d, *J* = 7.0 Hz, 1H), 4.41 - 4.22 (m, 1H), 1.44 (s, 9H), 1.29 (d, *J* = 7.2 Hz, 3H), 1.25 (d, *J* = 6.0 Hz, 3H)
708	- - -	3358, 2979, 2929, 1712	ESIMS *m/z* 428 ($[M+Na]^+$)	^{1}H RMN (400 MHz, $CDCl_3$) δ 7.31 - 7.17 (m, 3H), 7.07 (dt, 3.4, 1.0 Hz, 1H), 7.00 - 6.85 (m, 4H), 5.42 (d, *J* = 5.1 Hz, 1H), 5.39 - 5.31 (m, 1H), 5.06 - 4.93 (m, 1H), 4.40 - 4.21 (m, 1H), 1.43 (s, 9H), 1.39 (d, *J* = 6.4 Hz, 3H), 1.21 (d, *J* = 7.2 Hz 3H)
709	- - -	- - -	ESIMS *m/z* 490.5 ($[M+Na]^+$)	^{1}H RMN (400 MHz, $CDCl_3$) δ 7.40 - 7.29 (m, 6H), 6.97 (dd, *J* = 8.8, 2.6 Hz, 1H), 6.64 (d, *J* = 8.9 Hz, 1H), 5.50 - 5.37 (m, 1H), 5.14 (d, *J* = 6.8 Hz,

*Comp. No.	P.F. (°C)	*1R (cm^{-1})	MASA	RMN (^{1}H, ^{13}C, ^{19}F)
				1H), 5.07 (d, *J* = 8.1 Hz, 1H), 4.37 - 4.24 (m, 1H), 1.44 (s, 9H), 1.29 (d, *J* = 7.2 Hz, 3H), 1.21 (d, *J* = 6.5 Hz, 3H) ^{13}C RMN (101 MHz, $CDCl_3$) δ 206.90, 172.67, 155.04, 151.85, 136.01, 130.07, 128.88, 128.81, 127.30, 127.18, 125.99, 124.11, 115.42, 82.78, 79.76, 73.14, 49.33, 28.33, 18.68, 16.21
710	- - -	- - -	ESIMS *m/z* 401 ($[M+H]^+$)	^{1}H RMN (400 MHz, $CDCl_3$) δ 8.66 (d, *J* = 2.2 Hz, 1H), 8.55 (dd, *J* = 4.8, 1.7 Hz, 1H), 7.74 (dt, *J* = 7.9, 2.0 Hz, 1H), 7.33 - 7.27 (m, 1H), 7.24 - 7.10 (m, 2H), 6.92 (t, *J* = 7.3, 1.1 Hz, 1H), 6.87 - 6.74 (m, 2H), 5.32 - 5.24 (m, 1H), 5.21 (d, *J* = 5.4 Hz, 1H), 4.95 (d, *J* = 7.4 Hz, 1H), 4.31 - 4.14 (m, 1H), 1.42 (s, 9H), 1.40 (d, *J* = 6.3 Hz, 3H), 1.14 (d, *J* = 7.2 Hz, 3H)
711	- - -	3351, 2979, 1704, 1491	ESIMS *m/z* 407 ($[M+H]^+$)	^{1}H RMN (400 MHz, $CDCl_3$) δ 7.80 (dd, *J* = 3.2, 1.3 Hz, 1H), 7.35 (t, 3.2 Hz, 1H), 7.25 - 7.16 (m, 2H), 7.03 - 6.89 (m, 3H), 5.66 - 5.54 (m, 1H), 5.54 - 5.45 (m, 1H), 5.18 - 5.01 (m, 1H), 4.38 - 4.22 (m, 1H), 1.44 (s, 9H), 1.35

*Comp. No.	P.F. (°C)	*1R (cm^{-1})	MASA	RMN (^{1}H, ^{13}C, ^{19}F)
				(d, *J* = 6.4 Hz 3H) , 1.25 (d, *J* = 7.8 Hz, 3H)
712	- - -	- - -	ESIMS *m/z* 384 ($[M+H]^+$)	^{1}H RMN (400 MHz, $CDCl_3$) δ 5.14 - 5.00 (m, 2H), 4.34 - 4.23 (m, 1H), 3.49 (dd, *J* = 9.8, 7.0 Hz, 1H), 3.29 (dd, *J* = 9.8, 6.8 Hz, 1H), 3.05 (dd, *J* = 7.4, 3.6 Hz, 1H), 1.95 (d, 12.4 Hz, 1H), 1.73 (d, *J* = 11.8 Hz, 2H), 1.62 (d, *J* =12.5 Hz, 2H), 1.46 - 1.36 (m, 14H), 1.27 - 0.99 (m, 10H), 0.55 - 0.50 (m, 2H), 0.23 - 0.18 (m, 2H) ^{13}C RMN (101 MHz, $CDCl_3$) δ 85.28, 77.87, 73.24, 40.26, 29.82, 28.85, 28.34, 26.37, 26.21, 26.03, 18.78, 14.43, 11.12, 3.01, 2.90
713	- - -	- - -	ESIMS *m/z* 494 ($[M+H]^+$)	^{1}H RMN (400 MHz, $CDCl_3$) δ 7.59 - 7.51 (m, 4H), 7.46 - 7.40 (m, 3H), 7.35 (ddd, *J* = 4.9, 4.1, 2.6 Hz, 2H), 7.16 7.09 (m, 1H), 6.61 (ddt, *J* = 13.3, 4.6, 2.3 Hz, 3H), 5.33 - 5.27 (m, 2H), 5.23 (d, *J* = 4.9 Hz, 1H), 4.95 (d, *J* = 7.2 Hz, 1H), 4.30 - 4.20 (m, 1H), 1.42 (s, 9H), 1.40 (d, *J* = 6.4 Hz, 3H), 1.11 (d, *J* = 7.2 Hz, 3H) ^{13}C RMN (101 MHz, $CDCl_3$) δ 164.64,

*Comp. No.	P.F. (°C)	*1R (cm^{-1})	MASA	RMN (^{1}H, ^{13}C, ^{19}F)
				141.66, 140.57, 137.60, 130.24, 129.12, 128.84, 127.58, 127.20, 127.14, 125.75, 125.53, 111.62, 108.30, 108.09, 103.94, 103.69, 99.99, 81.63, 74.01, 60.39, 28.29, 18.39, 14.90, 14.20
714	- - -	- - -	ESIMS *m/z* 380.6 ($[M+H]^+$)	^{1}H RMN (400 MHz, $CDCl_3$) δ 7.38 - 7.27 (m, 5H), 5.26 - 4.89 (m, 2H), 4.39 - 4.26 (m, 1H), 4.22 (d, *J* = 6.8 Hz, 1H), 3.15 - 2.97 (m, 2H), 1.92 - 1.74 (m, 1H), 1.44 (s, 9H), 1.35 (dd, *J* = 7.0, 2.6 Hz, 3H), 1.06 (d, *J* = 6.5 Hz, 3H), 0.86 (d, *J* = 6.7 Hz, 6H)
715	- - -	- - -	ESIMS *m/z* 380.6 ($[M+H]^+$)	^{1}H RMN (400 MHz, $CDCl_3$) δ 7.37 - 7.27 (m, 5H), 5.11 - 5.03 (m, 1H), 4.97 (d, *J* = 7.9 Hz, 1H), 4.22 (d, *J* = 6.1 Hz, 1H), 4.18 (d, *J* = 8.1 Hz, 1H), 3.14 (dd, *J* = 8.8, 6.5 Hz, 1H), 3.04 (dd, *J* = 8.8, 6.4 Hz, 1H), 1.92 - 1.76 (m, 1H), 1.43 (s, 9H), 1.30 (d, *J* = 6.3 Hz, 3H), 1.06 (d, *J* = 7.2 Hz, 3H), 0.90 (d, *J* = 3.9 Hz, 3H), 0.88 (d, *J* = 3.9 Hz, 3H)
716	- - -	- - -	ESIMS *m/z* 388 ($[M+Na]^+$)	^{1}H RMN (400 MHz, $CDCl_3$) δ 7.39 - 7.27 (m, 5H), 5.22 - 5.10 (m, 1H),

*Comp. No.	P.F. (°C)	*1R (cm^{-1})	MASA	RMN (^{1}H, ^{13}C, ^{19}F)
				5.09 (d, *J* = 7.8 Hz, 1H), 4.40 - 4.27 (m, 1H), 4.22 (d, *J* = 6.9 Hz, 1H), 3.36 - 3.16 (m, 2H), 1.60 - 1.48 (m, 2H), 1.44 (s, 9H), 1.35 (d, *J* = 7.1 Hz, 3H), 1.06 (d, *J* = 6.5 Hz, 3H), 0.87 (t, *J* = 7.4 Hz, 3H)
717	- - -	- - -	ESIMS *m/z* 388 ($[M+Na]^{+}$)	^{1}H RMN (400 MHz, $CDCl_3$) δ 7.39 - 7.27 (m, 5H), 5.18 - 5.02 (m, 1H), 4.98 (d, *J* = 8.0 Hz, 1H), 4.24 (d, *J* = 6.1 Hz, 1H), 4.23 - 4.12 (m, 1H), 3.33 (dt, *J* = 9.1, 6.6 Hz, 1H), 3.25 (dt, *J* = 9.1, 6.4 Hz, 1H), 1.57 (dtd, *J* = 13.8, 7.4, 6.5 Hz, 2H), 1.43 (s, 9H), 1.29 (d, *J* = 6.4 Hz, 3H), 1.06 (d, *J* = 7.2 Hz, 3H), 0.90 (t, *J* = 7.4 Hz, 3H)
718	- - -	- - -	ESIMS *m/z* 360 ($[M+Na]^{+}$)	^{1}H RMN (400 MHz, $CDCl_3$) δ 7.41 - 7.28 (m, 5H), 5.24 - 5.12 (m, 1H), 5.08 (d, *J* = 5.5 Hz, 1H), 4.40 - 4.24 (m, 1H), 4.11 (d, *J* = 6.9 Hz, 1H), 3.90 (s, 3H), 1.44 (s, 9H), 1.36 (d, *J* = 7.0 Hz, 3H), 1.07 (d, *J* = 6.5 Hz, 3H)
719	- - -	- - -	ESIMS *m/z* 360 ($[M+Na]^{+}$)	^{1}H RMN (400 MHz, $CDCl_3$) δ 7.38 - 7.28 (m, 5H), 5.16 - 5.05 (m, 1H), 4.97 (d, *J* = 7.7 Hz, 1H), 4.31 - 4.18 (m, 1H), 4.17 (d, *J* = 5.9 Hz, 1H), 3.26

*Comp. No.	P.F. (°C)	*1R (cm^{-1})	MASA	RMN (^{1}H, ^{13}C, ^{19}F)
				(s, 3H), 1.43 (s, 9H), 1.28 (d, *J* = 6.4 Hz, 3H), 1.08 d, *J* = 7.2 Hz, 3H)
720	- - -	- - -	ESIMS *m/z* 400 ($[M+Na]^+$)	^{1}H RMN (400 MHz, $CDCl_3$) δ 7.36 - 7.28 (m, 5H), 5.22 - 5.11 (m, 1H), 5.10 (d, *J* = 5.1 Hz, 1H), 4.37 - 4.27 (m, 2H), 3.90 (s, 3H), 3.21 - 3.08 (m, 2H), 1.44 (s, 9H), 1.37 (d, *J* = 7.1 Hz, 3H), 1.08 (d, *J* = 6.5 Hz, 3H), 1.01 - 0.94 (m, 1H), 0.54 - 0.39 (m, 2H) 0.17 - 0.02 (m, 2H)
721	- - -	3366.0, 2903.7, 1713.1, 1492.1, 1236.6, 1164.5	HRMS – ESI (*m/z*) ($[M+Na]^+$) calculada para $C_{27}H_{39}NNaO_5$, 480.2720; encontrada, 480.2726	^{1}H RMN (400 MHz, $CDCl_3$) δ 7.30 - 7.22 (m, 2H), 7.02 - 6.95 (m, 2H), 6.95 6.88 (m, 1H), 5.36 (qd, *J* = 6.4, 2.2 Hz, 1H), 4.96 (d, *J* = 7.8 Hz, 1H), 4.31 - 4.11 (m, 1H), 3.91 (d, *J* = 2.4 Hz, 1H), 2.03 1.94 (m, 3H), 1.77 - 1.62 (m, 12H), 1.44 (s, 9H), 1.30 (d, *J* = 6.5 Hz, 3H), 1.20 (d, *J* = 7.3 Hz, 3H)
722	- - -	3356.7, 2902.4, 1713.8, 1163.8, 1052.3	HRMS – ESI (*m/z*) ($[M+Na]^+$) calculada para $C_{25}H_{41}NNaO_5$, 458.2877; encontrada, 458.2883	^{1}H RMN (400 MHz, $CDCl_3$) δ 5.00 (qd, *J* = 6.4, 1.7 Hz, 1H), 4.84 (d, *J* = 7.9 Hz, 1H), 4.13 - 3.95 (m, 1H), 3.30 (dd, *J* = 9.9, 6.7 Hz, 1H), 3.01 (dd, *J* = 9.9, 6.7 Hz, 1H), 2.56 (d, *J* = 1.8 Hz, 1H), 1.79 1.71 (m, 3H), 1.53 - 1.28 (m, 12H), 1.22 (s, 9H), 1.13 (d, *J* = 7.2 Hz,

*Comp. No.	P.F. (°C)	*1R (cm^{-1})	MASA	RMN (^{1}H, ^{13}C, ^{19}F)
				3H), 1.04 (d, *J* = 6.4 Hz, 3H), 0.93 - 0.78 (m, 1H), 0.37 - 0.21 (m, 2H), -0.07 (m, 2H)
723	- - -	3365.9, 2903.1, 1712.5, 1164.1, 1053.6	HRMS - ESI (*m/z*) ($[M+Na]^+$) calculada para $C_{25}H_{41}NNaO_5$, 458.2877; encontrada, 458.2883	^{1}H RMN (400 MHz, $CDCl_3$) δ 5.02 4.88 (m, 2H), 4.15 - 4.01 (m, 1H), 3.29 (dd, *J* = 9.8, 6.6 Hz, 1H), 3.20 - 3.09 (m, 1H), 2.43 (d, *J* = 2.7 Hz, 1H), 1.75 - 1.68 (m, 3H), 1.52 - 1.31 (m, 12H), 1.22 (s, 9H), 1.17 (d, *J* = 6.8 Hz, 3H), 1.09 (d, *J* = 6.5 Hz, 3H), 0.94 - 0.81 (m, 1H), 0.34 0.25 (m, 2H), 0.04 - 0.05 (m, 2H)
724	- - -	3355.9, 2902.4, 1713.9, 1163.8, 1052.3	HRMS – ESI (*m/z*) ($[M+Na]^+$) calculada para $C_{22}H_{37}NNaO_5$, 418.2564; encontrada, 418.257	^{1}H RMN (400 MHz, $CDCl_3$) δ 5.02 4.88 (m, 2H), 4.15 - 4.01 (m, 1H), 3.29 (dd, *J* = 9.8, 6.6 Hz, 1H), 3.20 - 3.09 (m, 1H), 2.43 (d, *J* = 2.7 Hz, 1H), 1.75 - 1.68 (m, 3H), 1.52 - 1.31 (m, 12H), 1.22 (s, 9H), 1.17 (d, *J* = 6.8 Hz, 3H), 1.09 (d, *J* = 6.5 Hz, 3H), 0.94 - 0.81 (m, 1H), 0.34 - 0.25 (m, 2H), 0.04 - -0.05 (m, 2H)
725	- - -	3365.6, 2903.4, 1712.3, 1164.0,	HRMS – ESI (*m/z*) ($[M+Na]^+$) calculada para $C_{22}H_{37}NNaO_5$,	^{1}H RMN (400 MHz, $CDCl_3$) δ 5.28 5.16 (m, 1H), 5.16 - 5.05 (m, 1H), 4.31 (dt, 16.1, 7.9 Hz, 1H), 3.55 (s, 3H), 2.58 - 2.49 (m, 1H), 2.03 - 1.93

*Comp. No.	P.F. (°C)	*1R (cm^{-1})	MASA	RMN (^{1}H, ^{13}C, ^{19}F)
		1052.8	418.2564; encontrada, 418.2572	(m, 3H), 1.74 - 1.53 (m, 12H), 1.44 (s, 9H), 1.39 (d, *J* = 7.6 Hz, 3H), 1.33 (d, *J* = 6.5 Hz, 3H)
726	- - -	- - -	ESIMS *m/z* 476 ($[M+H]^+$)	^{1}H RMN (400 MHz, $CDCl_3$) δ 7.62 (s, 1H), 7.55 (d, *J* = 7.4 Hz, 2H), 7.51 (dd, *J* = 7.0, 1.7 Hz, 1H), 7.46 - 7.32 (m, 5H), 7.19 (dd, *J* = 8.2, 7.6 Hz, 2H), 6.88 (dd, *J* = 13.9, 7.9 Hz, 3H), 5.34 - 5.28 (m, 1H), 5.25 (d, *J* = 5.0 Hz, 1H), 4.96 (d, *J* = 7.3 Hz, 1H), 4.29 - 4.17 (m, 1H), 1.44 - 1.39 (m, 12H), 1.09 (d, *J* = 7.2 Hz, 3H) ^{13}C RMN (101 MHz, $CDCl_3$) δ 172.80, 157.95, 154.98, 141.49, 140.68, 138.25, 129.41, 129.01, 128.81, 127.50, 127.13, 126.97, 125.86, 125.65, 121.29, 116.04, 81.38, 74.23, 49.24, 28.30, 18.39, 15.03
727	- - -	- - -	ESIMS *m/z* 386 ($[M+H]^+$)	^{1}H RMN (400 MHz, $CDCl_3$) δ 5.08 (qt, *J* = 6.5, 3.1 Hz, 2H), 4.30 (p, *J* = 7.6 Hz, 1H), 4.04 (h, 3.9 Hz, 1H), 3.33 (dd, *J* = 5.8, 3.5 Hz, 1H), 1.81 - 1.57 (m, 5H), 1.59 - 1.39 (m, 6H), 1.45 (s, 9H), 1.38 (d, *J* = 7.2 Hz, 3H), 1.36 - 1.27 (m, 2H), 1.24 (d, *J* = 6.4 Hz, 3H),

*Comp. No.	P.F. (°C)	*1R (cm^{-1})	MASA	RMN (^1H, ^{13}C, ^{19}F)
				0.91 - 0.83 (m, 6H) ^{13}C RMN (101 MHz, $CDCl_3$) δ 172.65, 155.01, 81.85, 80.40, 79.70, 73.58, 49.41, 42.99, 33.01, 32.28, 28.32, 27.75, 23.16, 22.15, 21.50, 18.75, 15.15, 11.57, 11.19
728	- - -	- - -	ESIMS *m/z* 380.6 ($[M+H]^+$)	^1H RMN (400 MHz, $CDCl_3$) δ 7.33 - 7.17 (m, 2H), 7.03 - 6.82 (m, 3H), 4.86 (s, 1H), 4.64 (dd, *J* = 16.5, 4.4 Hz, 1H), 4.20 - 3.90 (m, 1H), 2.18 - 2.03 (m, 1H), 1.59 - 1.51 (m, 6H), 1.44 (s, 9H), 1.17 (t, *J* = 6.9 Hz, 3H), 1.06 (dd, *J* = 6.9, 1.5 Hz, 3H), 1.01 (dd, *J* = 6.8, 1.6 Hz, 3H) ^{13}C RMN (101 MHz, $CDCl_3$) δ 160.23, 160.18, 129.47, 120.69, 120.63, 115.70, 115.64, 86.66, 86.45, 84.13, 83.93, 49.92, 29.60, 29.54, 28.33, 23.56, 23.42, 22.59, 22.45, 22.38, 18.37, 18.30, 18.25
729	- - -	- - -	ESIMS *m/z* 498 ($[M+Na]^+$)	^1H RMN (400 MHz, $CDCl_3$) δ 7.58 7.54 (m, 4H), 7.48 - 7.40 (m, 4H), 7.36 7.31 (m, 1H), 7.23 - 7.17 (m, 2H), 6.93 - 6.84 (m, 3H), 5.29 (p, *J* = 6.3 Hz, 1H), 5.23 (d, *J* = 4.9 Hz, 1H),

*Comp. No.	P.F. (°C)	*1R (cm^{-1})	MASA	RMN (^{1}H, ^{13}C, ^{19}F)
				4.96 (d, *J* = 7.1 Hz, 1H), 4.31 - 4.20 (m, 1H), 1.42 (s, 9H), 1.40 (d, *J* = 6.4 Hz, 3H), 1.14 (d, *J* = 7.2 Hz, 3H) ^{13}C RMN (101 MHz, $CDCl_3$) δ 172.77, 157.90, 141.05, 140.53, 136.56, 129.40, 128.77, 127.42, 127.39, 127.24, 127.04, 121.25, 116.00, 81.03, 74.17, 49.29, 28.30, 18.47, 15.03
730	- - -	- - -	ESIMS *m/z* 406 ($[M+H]^+$)	^{1}H RMN (400 MHz, $CDCl_3$) δ 7.26 7.21 (m, 2H), 6.96 - 6.87 (m, 3H), 5.23 5.16 (m, 1H), 4.88 (d, *J* = 5.6 Hz, 1H), 4.22 (dd, *J* = 7.2, 3.8 Hz, 1H), 4.19 - 4.05 (m, 1H), 1.94 (d, *J* = 11.8 Hz, 1H), 1.81 - 1.59 (m, 5H), 1.43 (s, 9H), 1.33 (d, *J* = 6.5 Hz, 3H), 1.28 - 1.09 (m, 5H), 1.03 (d, *J* = 7.2 Hz, 3H) ^{13}C RMN (101 MHz, $CDCl_3$) δ 172.59, 160.26, 129.44, 120.97, 116.28, 83.42, 72.39, 40.04, 29.51, 28.98, 28.33, 26.26, 26.07, 25.93, 18.11, 14.42
731	- - -	3359, 2956, 2870, 1712, 1609, 1591,	ESIMS *m/z* 410 ($[M+H]^+$)	^{1}H RMN (500 MHz, $CDCl_3$) δ 7.21 7.13 (m, 1H), 6.76 - 6.68 (m, 1H), 6.67 6.59 (m, 2H), 5.10 (qd, *J* = 6.5,

*Comp. No.	P.F. (°C)	*1R (cm^{-1})	MASA	RMN (^1H, ^{13}C, ^{19}F)
		1487		3.1 Hz, 1H), 4.89 (s, 1H), 4.29 (dd, *J* = 8.3, 3.1 Hz, 1H), 4.17 (dd, *J* = 15 9, 8.5 Hz, 1H), 2.13 (h, *J* = 8.6 Hz, 1H), 1.83 (dtd, *J* = 12.0, 7.5, 3.9 Hz, 1H), 1.79 - 1.47 (m, 6H), 1.43 (s, 9H), 1.48 - 1.33 (m, 1H), 1.33 (d, *J* = 6.6 Hz, 3H), 1.11 (d, *J* = 7.2 Hz, 3H)
732	- - -	3360, 2956, 2870, 1712, 1502, 1452	ESIMS *m/z* 410 ($[M+H]^+$)	^1H RMN (500 MHz, $CDCl_3$) δ 6.97 - 6.91 (m, 2H), 6.90 - 6.85 (m, 2H), 5.10 (qd, *J* = 6.5, 2.9 Hz, 1H), 4.87 (s, 1H), 4.24 - 4.06 (m, 1H), 4.18 (dd, *J* = 8.4, 2.9 Hz, 1H), 2.12 (h, *J* = 8.6 Hz, 1H), 1.91 - 1.81 (m, 1H), 1.79 - 1.50 (m, 7H), 1.43 (s, 9H), 1.34 (d, *J* = 6.5 Hz, 3H), 1.08 (d, *J* = 7.2 Hz, 3H)
733	- - -	3365, 2957, 2870, 1713, 1591, 1496	ESIMS *m/z* 448 ($[M+Na]^+$)	^1H RMN (500 MHz, $CDCl_3$) δ 7.19 7.13 (m, 1H), 6.96 - 6.91 (m, 1H), 6.90 (dd, *J* = 8.0, 2.0 Hz, 1H), 6.82 (dd, *J* = 8.4, 2.4 Hz, 1H), 5.10 (qd, *J* = 6.5, 3.0 Hz, 1H), 4.99 - 4.85 (m, 1H), 4.29 (dd, *J* = 8.3, 2.9 Hz, 1H), 4.21 - 4.09 (m, 1H), 2.13 (h, *J* = 8.5 Hz, 1H), 1.84 (dtd, *J* = 12.1, 7.5, 3.9 Hz, 1H), 1.79 - 1.49 (m, 6H), 1.43 (s, 9H), 1.41 - 1.36 (m, 1H), 1.33 (d, *J* = 6.7 Hz,

*Comp. No.	P.F. (°C)	*1R (cm^{-1})	MASA	RMN (^{1}H, ^{13}C, ^{19}F)
				3H), 1.12 (d, *J* = 7.2 Hz, 3H)
734	- - -	3361, 2955, 2869, 1711, 1488	ESIMS (*m/z*) 448 ($[M+Na]^{+}$)	^{1}H RMN (500 MHz, $CDCl_3$) δ 7.20 (d, *J* = 9.0 Hz, 2H), 6.87 (d, *J* = 8.9 Hz, 2H), 5.10 (dd, *J* = 6.5, 3.0 Hz, 1H), 4.89 (s, 1H), 4.24 (dd, *J* = 8.3, 3.0 Hz, 1H), 4.19 _ 4.14 (m, 1H), 2.12 (h, *J* = 8.5 Hz, 1H), 1.87 - 1.78 (m, 1H), 1.78 - 1.49 (m, 6H), 1.43 (s, 9H), 1.41 - 1.35 (m, 1H), 1.33 (d, *J* = 6.6Hz, 3H), 1.10 (d, *J* = 7.1 Hz, 3H)
735	- - -	3359, 2954, 2869, 1712, 1495	ESIMS *m/z* 440 ($[M+H]^{+}$)	^{1}H RMN (500 MHz, $CDCl_3$) δ 7.16 (d, *J* = 2.2Hz, 1H), 6.95 - 6.91 (m, 1H), 6.84 (d, *J* = 8.4 Hz, 1H), 5.10 (qd, *J* = 6 6, 2.9 Hz, 1H), 4.88 (s, 1H), 4.32 (dd, *J* = 8.3, 2.9 Hz, 1H), 4.19 - 4.09 (m, 1H), 2.24 (s, 3H), 2.22 - 2.13 (m, 1H), 1.94 - 1.84 (m, 1H), 1.77 - 1.51 (m, 6H), 1.51 - 1.44 (m, 1H), 1.43 (s, 9H), 1.40 (d, *J* = 6.5 Hz, 3H), 1.04 (d, *J* = 7.2 Hz, 3H)
736	- - -	3366, 2659, 2870, 1711, 1573, 1492, 1449	ESIMS *m/z* 478 ($[M+Na]^{+}$)	^{1}H RMN (500 MHz, $CDCl_3$) δ 7.19 (d, *J* = 8.9 Hz, 1H), 6.54 (d, *J* = 2.7 Hz, 1H), 6.46 (dd, *J* = 8.7, 2.7 Hz, 1H), 5.15 - 5.06 (m, 1H), 4.90 (d, *J* = 7.9 Hz, 1H), 4.28 (dd, *J* = 8.2, 3.2 Hz,

*Comp. No.	P.F. (°C)	*1R (cm^{-1})	MASA	RMN (^1H, ^{13}C, ^{19}F)
				1H), 4.22 - 4.17 (m, 1H), 3.87 (s, 3H), 2.13 (h, *J* = 8.3 Hz, 1H), 1.88 - 1.77 (m, 1H), 1.78 - 1.49 (m, 7H), 1.43 (s, 9H), 1.34 (d, *J* = 6.5 Hz, 3H), 1.13 (d, *J* = 7.2 Hz, 3H)
737	- - -	3362, 2951, 2869, 1714, 1500, 1451	ESIMS *m/z* 370 ($[M+H]^+$)	^1H RMN (500 MHz, $CDCl_3$) δ 5.10 4.96 (m, 2H), 4.34 - 4.22 (m, 1H), 3.54 (dd, *J* = 9.8, 7.0 Hz, 1H), 3.30 (dd, *J* = 9.8, 6.8 Hz, 1H), 3.16 (dd, *J* = 8 4, 2.5 Hz, 1H), 1.95 - 1.81 (m, 3H), 1.71 - 1.59 (m, 3H), 1.57 - 1.49 (m, 3H), 1.45 (s, 9H), 1.38 (d, *J* = 7.2 Hz, 3H), 1.26 (d, *J* = 6.6 Hz, 3H), 1.12 - 1.01 (m, 1H), 0.56 - 0.46 (m, 2H), 0.24 - 0.17 (m, 2H)
738	- - -	3360, 2955, 2871, 1716, 1499, 1451	ESIMS *m/z* 372 ($[M+H]^+$)	^1H RMN (500 MHz, $CDCl_3$) δ 5.12 4.94 (m, 2H), 4.36 - 4.24 (m, 1H), 3.48 (dd, *J* = 8 6, 6.3 Hz, 1H), 3.17 (dd, *J* = 8 6, 6.5 Hz, 1H), 3.12 (dd, *J* = 8.0, 2.4 Hz, 1H), 1.94 - 1.75 (m, 4H), 1.70 - 1.58 (m, 3H), 1.56 - 1.47 (m, 3H), 1.45 (s, 9H), 1.39 (d, *J* = 7.1 Hz, 3H), 1.24 (d, *J* = 6.7Hz, 3H), 0.91 d, *J* = 6.6 Hz, 6H)
739	- - -	- - -	ESIMS	^1H RMN (400 MHz, $CDCl_3$) δ 5.07 (s,

*Comp. No.	P.F. (°C)	*1R (cm^{-1})	MASA	RMN (^{1}H, ^{13}C, ^{19}F)
			m/z 316.5 ($[M+H]^+$)	1H), 4.97 (qd, 6 5, 4.1 Hz, 1H), 4.30 (s, 1H), 3.47 (pd, *J* = 6 5, 4.2 Hz, 1H), 3.33 (ddd, *J* = 9.8, 6 8, 3.3 Hz, 2H), 1.45 (s, 9H), 1.39 (d, *J* = 7.1 Hz, 3H), 1.24 (d, *J* = 6.5 Hz, 3H), 1.14 (d, *J* = 6.4 Hz, 3H), 1.02 (dddd, *J* = 14.8, 6.8, 3.1, 2.0 Hz, 1H), 0.59 - 0.46 (m, 2H), 0.26 - 0.14 (m, 2H) ^{13}C RMN (126 MHz, $CDCl_3$) δ 172.81, 155.04, 79.74, 76.61, 74.13, 73.46, 49.38, 28.34, 18.90, 15.88, 15.31, 10.89, 2.98, 2.91
740	- - -	- - -	ESIMS *m/z* 418 ($[M+H]^+$)	^{1}H RMN (400 MHz, $CDCl_3$) δ 7.40 - 7.34 (m, 2H), 7.22 - 7.15 (m, 2H), 7.02 (dd, *J* = 14.6, 5.9 Hz, 2H), 6.90 (t, *J* = 7.4 Hz, 1H), 6.83 - 6.78 (m, 2H), 5.26 - 5.19 (m, 1H), 5.15 (d, *J* = 5.1 Hz, 1H), 4.94 (d, *J* = 7.2 Hz, 1H), 4.24 (dt, *J* = 13.4, 6.8 Hz, 1H), 1.42 (s, 9H), 1.37 (d, *J* = 6.4 Hz, 3H), 1.13 (d, *J* = 7.2 Hz, 3H) ^{19}F RMN (376 $CDCl_3$) δ - 113.75 s, 1F)
741	- - -	- - -	ESIMS *m/z* 418.6	^{1}H RMN (400 MHz, $CDCl_3$) δ 7.39 7.27 (m, 5H), 6.90 - 6.81 (m, 2H),

*Comp. No.	P.F. (°C)	*1R (cm^{-1})	MASA	RMN (^{1}H, ^{13}C, ^{19}F)
			($[M+H]^+$)	6.81 6.68 (m, 2H), 5.24 (qd, *J* = 6 4, 4.8 Hz, 1H), 5.09 (d, *J* = 4.9 Hz, 1H), 5.00 - 4.89 (m, 1H), 4.32 - 4.16 (m, 1H), 1.42 (s, 9H), 1.36 (d, *J* = 6.5 Hz, 3H), 1.12 (d, *J* = 7.2 Hz, 3H) ^{19}F RMN 376 MHz, $CDCl_3$) δ - 123.15
742	- - -	- - -	ESIMS *m/z* 436.6 ($[M+H]^+$)	^{1}H RMN (400 MHz, $CDCl_3$) δ 7.39 7.29 (m, 2H), 7.11 - 6.98 (m, 2H), 6.92 6.81 (m, 2H), 6.79 - 6.68 (m, 2H), 5.39 5.27 (m, 1H), 5.05 - 4.98 (m, 2H), 4.38 - 4.25 (m, 1H), 1.44 (s, 9H), 1.27 (d, *J* = 7.3 Hz, 3H), 1.19 (d, *J* = 6.5 Hz, 3H) ^{19}F RMN (376 MHz, $CDCl_3$) δ - 113.06, 122.98
743	- - -	3359, 2980, 2937, 1708, 1602, 1503, 1452, 1366, 1246, 1205, 1162, 1095, 1067, 1007, 932, 829 753	ESIMS *m/z* 356.5 ($[M+H]^+$)	^{1}H RMN (500 MHz, $CDCl_3$) δ 6.95 (t, *J* = 8.6 Hz, 2H), 6.89 - 6.77 (m, 2H), 5.08 (dt, *J* = 10.5, 5.3 Hz, 1H), 5.05 - 4.97 (m, 1H), 4.32 (tt, *J* = 10.1, 5.2 Hz, 2H), 1.44 (s, 9H), 1.33 (d, *J* = 6.7 Hz, 6H), 1.29 (d, *J* = 6.3 Hz, 3H)
744	- - -	3361, 2980, 2937, 1709,	ESIMS *m/z* 356.5	^{1}H RMN (500 MHz, $CDCl_3$) δ 7.20 (q, *J* = 8.0 Hz, 1H), 6.65 (t, *J* = 8.0 Hz,

*Comp. No.	P.F. (°C)	*1R (cm^{-1})	MASA	RMN (^1H, ^{13}C, ^{19}F)
		1609, 1592, 1488, 1450, 1366, 1277, 1262, 1212, 1162, 1132, 1101, 1067, 1016, 992 968, 851, 806, 768, 682	($[M+H]^+$)	2H), 6.58 (d, *J* = 10.9 Hz, 1H), 5.16 - 5.05 (m, 1H), 5.05 - 4.91 (m, 1H), 4.49 - 4.35 (m, 1H), 4.34 - 4.22 (m, 1H), 1.44 (s, 9H), 1.36 - 1.29 (m, 9H)
745	- - -	3361, 2981, 2937, 1708, 1589, 1502, 1499, 1380, 1366, 1249, 1164, 1141, 1067, 1024, 847	ESIMS *m/z* 390.5 ($[M+H]^+$)	^1H RMN (500 MHz, $CDCl_3$) δ 6.78 - 6.62 (m, 2H), 6.49 (d, *J* = 10.3 Hz, 1H), 5.15 - 5.05 (m, 1H), 5.04 - 4.91 (m, 1H), 4.45 - 4.32 (m, 1H), 4.28 (d, *J* = 6.8 Hz, 1H), 1.44 (s, 9H), 1.37 - 1.29 (m, 9H)
746	- - -	3368.7, 2979.7, 2936.o, 1707.41, 1596.3, 1489.1, 14489,	ESIMS *m/z* 372.5 ($[M+H]^+$)	^1H RMN (500 MHz, $CDCl_3$) δ 7.22 (d, *J* = 8.8 Hz, 2H), 6.80 (d, *J* = 8.8 Hz, 2H), 5.13 - 5.05 (m, 1H), 5.05 - 4.93 (m, 1H), 4.46 - 4.32 (m, 1H), 4.32 - 4.19 (m, 1H), 1.45 - 1.41 (m, 9H), 1.36 - 1.27 (m, 9H)

*Comp. No.	P.F. (°C)	*1R (cm^{-1})	MASA	RMN (^{1}H, ^{13}C, ^{19}F)
		1365.8, 1280.0, 1239.7, 1212.4, 1161.6, 1091.0, 1066.7, 1005.8, 929.9, 902.3, 856.7, 825.6, 8044, 752.5, 669.3		
747	- - -	3359, 2981, 2937, 1707, 1634, 1601, 1508, 1451, 1380, 1298, 1247, 1207, 1152, 1098, 1067, 793	ESIMS *m/z* 374.5 ($[M+H]^{+}$)	^{1}H RMN (500 MHz, $CDCl_3$) δ 7.00 (td, *J* = 9.9, 5.3 Hz, 1H), 6.69 (ddd, *J* = 9.5, 6 7, 2.9 Hz, 1H), 6.63 (dt, *J* = 11.9, 5.8 Hz, 1H), 5.13 (dt, *J* = 10.1, 5.0 Hz, 1H), 5.10 4.93 (m, 1H), 4.48 - 4.32 (m, 1H), 4.32 4.20 (m, 1H), 1.44 (s, 9H), 1.37 - 1.31 (m, 9H)
748	- - -	3359, 2979, 2935, 1709, 1596, 1578, 1506, 1449, 1380, 1366,	ESIMS *m/z* 388.6 ($[M+H]^{+}$)	^{1}H RMN (500 MHz, $CDCl_3$) δ 8.21 (d, *J* = 7.9 Hz, 1H), 7.79 (d, *J* = 8.2 Hz, 1H), 7.53 - 7.40 (m, 3H), 7.36 (q, *J* = 8.0, 6.9 Hz, 1H), 6.81 (d, *J* = 7.6 Hz, 1H), 5.29 5.15 (m, 1H), 5.01 (s, 1H),

*Comp. No.	P.F. (°C)	*1R (cm^{-1})	MASA	RMN (^{1}H, ^{13}C, ^{19}F)
		1303, 1265, 1239, 1212, 1162, 1097, 1060, 1018, 994, 905 791, 772, 732		4.73 - 4.55 (m, 1H), 4.30 (d, *J* = 6.8 Hz, 1H), 1.48 1.40 (m, 15H), 1.32 (t, *J* = 6.9 Hz, 3H)
749	- - -	3360, 2979, 2936, 1709, 1598, 1587, 1493, 1453, 1366, 1292, 1240, 1162, 1101, 1067, 1026, 931 902, 858 783, 752, 692	ESIMS *m/z* 338.5 ($[M+H]^+$)	^{1}H RMN (500 MHz, $CDCl_3$) δ 7.31 - 7.23 (m, 2H), 6.99 - 6.89 (m, 1H), 6.87 (d, *J* = 8.0 Hz, 2H), 5.18 - 4.93 (m, 2H), 4.42 (dp, *J* = 10 6, 6 2, 5.5 Hz, 1H), 4.35 - 4.19 (m, 1H), 1.44 (s, 9H), 1.37 - 1.29 (m, 9H)
750	- - -	3363, 2979, 2934, 1711, 1603, 1509, 1450, 1366, 1287, 1235, 1162, 1100, 1067, 932	ESIMS *m/z* 352.5 ($[M+H]^+$)	^{1}H RMN (500 MHz, $CDCl_3$) δ 7.06 (d, *J* = 8.2 Hz, 2H), 6.77 (d, *J* = 8.3 Hz, 2H), 5.07 (ddt, *J* = 19.1, 12.5, 5.6 Hz, 2H), 4.42 - 4.32 (m, 1H), 4.29 (d, *J* = 6.3 Hz, 1H), 2.28 (s, 3H), 1.44 (d, *J* = 3.2 Hz, 9H), 1.36 - 1.30 (m, 6H), 1.29 (d, *J* = 6.3 Hz, 3H)

*Comp. No.	P.F. (°C)	*1R (cm^{-1})	MASA	RMN (^{1}H, ^{13}C, ^{19}F)
		902, 858, 805, 749		
751	- - -	3359, 2957, 1711, 1599, 1491, 1449, 1366, 1303, 1251, 1200, 1163, 1123, 1067, 1026, 995, 918 834, 784, 733, 674	ESIMS *m/z* 444.6 ($[M+H]^+$)	^{1}H RMN (500 MHz, $CDCl_3$) δ 7.21 (d, *J* = 8.7 Hz, 1H), 6.50 (d, *J* = 2.4 Hz, 1H), 6.42 (dd, *J* = 8.7, 2.4 Hz, 1H), 5.09 (dt, *J* = 9.1, 4.6 Hz, 1H), 4.95 (s, 1H), 4.41 (dd, *J* = 8.0, 4.0 Hz, 1H), 4.21 (dd, *J* = 16 7, 7.2 Hz, 1H), 3.86 (s, 3H), 1.78 (tt, *J* = 13.2, 6.5 Hz, 1H), 1.68 (ddd, *J* = 14.2, 8.9, 5.4 Hz, 1H), 1.43 (s, 9H), 1.40 - 1.33 (m, 1H), 1.31 (d, *J* = 6.6 Hz, 3H), 1.24 (d, *J* = 7.2 Hz, 3H), 0.97 (d, *J* = 6.6 Hz, 3H), 0.92 (d, *J* = 6.6 Hz, 3H)
752	- - -	3361, 2957, 2871, 1713, 1603, 1495, 1452, 1366, 1251, 1209, 1163, 1121, 1057, 978, 950, 859, 804, 758, 683	ESIMS *m/z* 428.6 ($[M+H]^+$)	^{1}H RMN (500 MHz, $CDCl_3$) δ 7.16 (s, 1H), 6.95 (d, *J* = 7.7 Hz, 1H), 6.80 (d, *J* = 8.4 Hz, 1H), 5.08 (tt, *J* = 6 5, 3.3 Hz, 1H), 4.94 (s, 1H), 4.54 - 4.37 (m, 1H), 4.21 (s, 1H), 2.25 (s, 3H), 1.87 - 1.70 (m, 2H), 1.43 (s, 9H), 1.41 - 1.37 (m, 1H), 1.35 (d, *J* = 6.5 Hz, 3H), 1.18 (d, *J* = 7.1 Hz, 3H), 0.98 (d, *J* = 6.5 Hz, 3H), 0.93 (d, *J* = 6.5 Hz, 3H)
753	- - -	3361, 2958,	ESIMS	^{1}HRMN (500 $CDCl_3$) δ 7.17 (t, *J* = 8.0

*Comp. No.	P.F. (°C)	*1R (cm^{-1})	MASA	RMN (^{1}H, ^{13}C, ^{19}F)
		2871, 1712, 1592, 1495, 1476, 1454, 1366, 1282, 1228 1163, 1123, 1091, 1052, 997, 982, 951, 904, 857 774, 681	*m/z* 414.6 ($[M+H]^+$)	Hz, 1H), 6.96 - 6.84 (m, 2H), 6.82 - 6.70 (m, 1H), 5.08 (td, *J* = 6 5, 2.4 Hz, 1H), 4.96 (s, 1H), 4.44 (dq, *J* = 6 6, 4 4, 3.0 Hz, 1H), 4.26 - 4.12 (m, 1H), 1.77 (tt, *J* = 13.2, 6.4 Hz, 1H), 1.69 (ddd, *J* = 14.2, 8.9, 5.5 Hz, 1H), 1.43 (s, 9H), 1.40 - 1.33 (m, 1H), 1.31 (d, *J* = 6.5 Hz, 3H), 1.23 (d, *J* = 7.2 Hz, 3H), 0.97 (d, *J* = 6.6 Hz, 314), 0.92 (d, *J* = 6.5 Hz, 3H)
754	- - -	3359, 2959, 1711, 1623, 1601, 1507, 1454, 1430, 1366, 1299, 1246, 1204, 1162, 1124, 1098, 1053, 993, 856 837, 789, 759, 725	ESIMS *m/z* 416.6 ($[M+H]^+$)	^{1}H RMN (500 MHz, $CDCl_3$) δ 7.00 (td, *J* = 9.8, 5.3 Hz, 1H), 6.70 (ddd, *J* = 9 6, 6 6, 2.9 Hz, 1H), 6.60 (t, *J* = 8.3 Hz, 1H), 5.09 (tt, *J* = 6 5, 3.2 Hz, 1H), 4.94 (s, 1H), 4.41 (dd, *J* = 5.7, 2.9 Hz, 1H), 4.20 (d, *J* = 7.0 Hz, 1H), 1.82 (dt, *J* = 13.4, 6.6 Hz, 1H), 1.75 (ddd, *J* = 14.2, 8.9, 5.3 Hz, 1H), 1.43 (s, 9H), 1.40 - 1.35 (m, 1H), 1.33 (d, *J* = 6.6 Hz, 3H), 1.22 (d, *J* = 7.2 Hz, 3H), 0.98 (d, *J* = 6.6 Hz, 3H), 0.94 (d, *J* = 6.5 Hz, 3H)
755	- - -	3360, 2958, 1712, 1608, 1592, 1488, 1449, 1366,	ESIMS *m/z* 398.6 ($[M+H]^+$)	^{1}H RMN (500 MHz, $CDCl_3$) δ 7.19 (q, *J* = 8.0 Hz, 1H), 6.73 - 6.55 (m, 3H), 5.09 (qd, *J* = 6 5, 2.7 Hz, 1H), 4.95 (s, 1H), 4.43 (dt, *J* = 8 6, 3.3 Hz, 1H),

*Comp. No.	P.F. (°C)	*1R (cm^{-1})	MASA	RMN (^1H, ^{13}C, ^{19}F)
		1307, 1277, 1211, 1163, 1131, 1053, 1007, 989 962, 852 768, 681		4.21 (d, *J* = 6.5 Hz, 1H), 1.78 (tt, *J* = 13.2, 6.5 Hz, 1H), 1.69 (ddd, *J* = 14.3, 9.0, 5.4 Hz, 1H), 1.43 (s, 9H), 1.37 (ddd, *J* = 13.7, 8.5, 3.9 Hz, 1H), 1.31 (d, *J* = 6.6 Hz, 3H), 1.22 (d, *J* = 7.2 Hz, 3H), 0.97 (d, *J* = 6.6 Hz, 3H), 0.92 (d, *J* = 6.5 Hz, 3H)
756	- - -	3358, 2957, 2871, 1711, 1596, 1489, 1453, 1366, 1278, 1238, 1163, 1124, 1092, 1053, 978, 950, 825, 783, 752, 667	ESIMS *m/z* 414.6 ($[M+H]^+$)	^{1}HRMN (500 $CDCl_3$) δ 7.21 (d, *J* = 8.8 Hz, 2H), 6.83 (d, *J* = 8.8 Hz, 2H), 5.13 - 5.02 (m, 1H), 4.94 (s, 1H), 4.44 4.33 (m, 1H), 4.27 - 4.13 (m, 1H), 1.77 (dq, *J* = 13.1, 6.5 Hz, 1H), 1.72 - 1.65 (m, 1H), 1 43 (s, 9H), 1.39 - 1.35 (m, 1H), 1.30 (d, *J* = 6.6 Hz, 3H), 1.22 (d, *J* = 7.2 Hz, 3H), 0.97 (d, *J* = 6.6 Hz, 3H), 0.91 (d, *J* = 6.6 Hz, 3H)
757	- - -	3358, 2957, 2870, 1712, 1629, 1600, 1509, 1467, 1389, 1366, 1254, 1215, 1165, 1119, 1053, 986	ESIMS *m/z* 430.6 ($[M+H]^+$)	^{1}H RMN (500 MHz, $CDCl_3$) δ 7.74 (t, *J* = 8.3 Hz, 2H), 7.68 (d, *J* = 8.2 Hz, 1H), 7.42 (t, *J* = 7.4 Hz, 1H), 7.33 (t, *J* = 7.4 Hz, 1H), 7.16 (s, 1H), 7.12 (dd, *J* = 8 9, 2.2 Hz, 1H), 5.18 (qd, *J* = 6 5, 2.9 Hz, 1H), 4.96 (s, 1H), 4.62 (dt, *J* = 7.9, 3.2 Hz, 1H), 4.21 (d, *J* = 6.8 Hz, 1H), 1.85 (dq, *J* = 13.3, 6.6 Hz, 1H),

*Comp. No.	P.F. (°C)	*1R (cm^{-1})	MASA	RMN (^{1}H, ^{13}C, ^{19}F)
		836, 810 747		1.77 (ddd, *J* = 14.2, 8.8, 5.4 Hz, 1H), 1.48 - 1.44 (m, 1H), 1.41 (s, 9H), 1.36 (d, *J* = 6.6 Hz, 3H), 1.18 (d, *J* = 7.2 Hz, 3H), 1.00 (d, *J* = 6.6 Hz, 3H), 0.94 (d, *J* = 6.5 Hz, 3H)
758	- - -	3357, 2956, 2870, 1715, 1602, 1502, 1453, 1366, 1307, 1249, 1212, 1166, 1063, 1021, 857, 782	ESIMS *m/z* 358.6 ($[M+H]^+$)	^{1}H RMN (500 MHz, $CDCl_3$) δ 5.13 4.94 (m, 2H), 4.37 - 4.22 (m, 1H), 3.45 (dd, *J* = 9.8, 7.1 Hz, 1H), 3.43 - 3.35 (m, 1H), 3.26 (dd, *J* = 9.9, 6.8 Hz, 1H), 1.88 - 1.74 (m, 1H), 1.53 - 1.46 (m, 1H), 1.45 (s, 9H), 1.39 (d, *J* = 7.0 Hz, 3H), 1.22 (d, *J* = 6.6 Hz, 3H), 1.15 (ddd, *J* = 15.8, 7.7, 2.9 Hz, 1H), 1.05 (dq, *J* = 12.4, 6 2, 5.7 Hz, 1H), 0.94 (d, *J* = 6.7 Hz, 3H), 0.90 (d, *J* = 6.6 Hz, 3H), 0.56 - 0.47 (m, 2H), 0.19 (d, *J* = 4.5 Hz, 2H)
759	- - -	3359, 2957, 2871, 1718, 1502, 1453, 1366, 1307, 1248, 1214, 1168, 1094, 1067, 857	ESIMS *m/z* 360.6 ($[M+H]^+$)	^{1}H RMN (500 $CDCl_3$) δ 5.16 4.97 (m, 2H), 4.37 - 4.23 (m, 1H), 3.46 3.36 (m, 1H), 3.36 - 3.26 (m, 1H), 3.11 (dd, *J* = 8 4, 6.7 Hz, 1H), 1.80 (d hepteto, *J* = 12.0, 6.5 Hz, 2H), 1.47 (d, *J* = 9.1 Hz, 1H), 1.45 (s, 9H), 1.39 (d, *J* = 7.0 Hz, 3H), 1.21 (d, *J* = 6.5 Hz, 3H), 1.14 (ddt, *J* = 16.3, 10.8, 5.2 Hz, 1H), 0.93

*Comp. No.	P.F. (°C)	*1R (cm^{-1})	MASA	RMN (^{1}H, ^{13}C, ^{19}F)
				(d, *J* = 6.6 Hz, 3H), 0.89 (d, *J* = 6.6 Hz, 9H)
760	- - -	- - -	ESIMS *m/z* 252 ($[M+H]^+$)	- - -
761	- - -	- - -	ESIMS *m/z* 280 ($[M+H]^+$)	- - -
762	- - -	- - -	ESIMS *m/z* 294 ($[M+H]^+$)	- - -
763	- - -	- - -	ESIMS *m/z* 342 ($[M+H]^+$)	- - -
764	- - -	- - -	ESIMS *m/z* 308 ($[M+H]^+$)	- - -
765	- - -	- - -	ESIMS *m/z* 368.0 ($[M+H]^+$)	- - -
766	- - -	- - -	ESIMS *m/z* 280.19 ($[M+H]^+$)	- - -
767	- - -	- - -	- - -	- - -
768	- - -	- - -	ESIMS *m/z* 394 ($[M+H]^+$)	- - -
769	- - -	- - -	ESIMS *m/z* 280.4 ($[M+H]^+$)	- - -

*Comp. No.	P.F. (°C)	*1R (cm^{-1})	MASA	RMN (^{1}H, ^{13}C, ^{19}F)
770	- - -	- - -	ESIMS *m/z* 280.4 ($[M+H]^+$)	- - -
771	- - -	- - -	ESIMS *m/z* 358.6 ($[M+H]^+$)	- - -
772	- - -	- - -	ESIMS *m/z* 336.5 ($[M+H]^+$)	- - -
773	- - -	- - -	ESIMS *m/z* 336.5 ($[M+H]^+$)	- - -
774	- - -	- - -	ESIMS *m/z* 296.6 ($[M+H]^+$)	- - -
775	- - -	- - -	ESIMS *m/z* 296.5 ($[M+H]^+$)	- - -
776	- - -	- - -	ESIMS *m/z* 376 ($[M+H]^+$)	- - -
777	- - -	- - -	ESIMS *m/z* 376 ($[M+H]^+$)	- - -
778	- - -	- - -	ESIMS *m/z* 306 ($[M+H]^+$)	- - -
779	- - -	- - -	ESIMS *m/z* 280.4 ($[M+H]^+$)	- - -
780	- - -	- - -	ESIMS *m/z* 256.4 ($[M+H]^+$)	- - -

*Comp. No.	P.F. (°C)	*1R (cm^{-1})	MASA	RMN (^{1}H, ^{13}C, ^{19}F)
781	- - -	- - -	ESIMS *m/z* 310 ($[M+H]^+$)	- - -
782	- - -	- - -	ESIMS *m/z* 310 ($[M+H]^+$)	- - -
783	- - -	- - -	ESIMS *m/z* 326 ($[M+H]^+$)	- - -
784	- - -	- - -	ESIMS *m/z* 326 ($[M+H]^+$)	- - -
785	- - -	- - -	ESIMS *m/z* 340 ($[M+H]^+$)	- - -
786	- - -	- - -	ESIMS *m/z* 270 ($[M+H]^+$)	- - -
787	- - -	- - -	ESIMS *m/z* 272 ($[M+H]^+$)	- - -
788	- - -	- - -	ESIMS *m/z* 318.5 ($[M+H]^+$)	- - -
789	- - -	- - -	ESIMS *m/z* 336.5 ($[M+H]^+$)	- - -
790	- - -	- - -	ESIMS *m/z* 256.4 ($[M+H]^+$)	- - -
791	- - -	- - -	ESIMS *m/z* 290.4 ($[M+H]^+$)	- - -

*Comp. No.	P.F. (°C)	*1R (cm^{-1})	MASA	RMN (^{1}H, ^{13}C, ^{19}F)
792	- - -	- - -	ESIMS *m/z* 272.4 ($[M+H]^+$)	- - -
793	- - -	- - -	ESIMS *m/z* 274.4 ($[M+H]^+$)	- - -
794	- - -	- - -	ESIMS *m/z* 288.4 ($[M+H]^+$)	- - -
795	- - -	- - -	ESIMS *m/z* 238.4 ($[M+H]^+$)	- - -
796	- - -	- - -	ESIMS *m/z* 252.4 ($[M+H]^+$)	- - -
797	- - -	- - -	ESIMS *m/z* 344.5 ($[M+H]^+$)	- - -
798	- - -	- - -	ESIMS *m/z* 328.5 ($[M+H]^+$)	- - -
799	- - -	- - -	ESIMS *m/z* 314.4 ($[M+H]^+$)	- - -
800	- - -	- - -	ESIMS *m/z* 316.5 ($[M+H]^+$)	- - -
801	- - -	- - -	ESIMS *m/z* 298.5 ($[M+H]^+$)	- - -

***Comp. No.**	**P.F. (°C)**	***1R (cm^{-1})**	**MASA**	**RMN (^{1}H, ^{13}C, ^{19}F)**
802	- - -	- - -	ESIMS *m/z* 314.4 ($[M+H]^+$)	- - -
803	- - -	- - -	ESIMS *m/z* 330.5 ($[M+H]^+$)	- - -
804	- - -	- - -	ESIMS *m/z* 258.5 ($[M+H]^+$)	- - -
805	- - -	- - -	- - -	^{1}H RMN (400 MHz, $CDCl_3$) δ 8.79 (s, 3H), 5.07 (d, *J* = 6.4 Hz, 1H), 4.15 (s, 1H), 3.43 - 3.30 (m, 2H), 3.11 (dd, *J* = 8.6, 6.6 Hz, 1H), 1.92 - 1.74 (m, 2H), 1.72 (d, *J* = 7.2 Hz, 3H), 1.45 (ddd, *J* = 14.3, 9.5, 5.1 Hz, 1H), 1.23 (d, *J* = 6.5 Hz, 3H), 1.17 - 1.08 (m, 1H), 0.93 (d, *J* = 6.7 Hz, 30.89 (d, *J* = 6.7 Hz, 9H)
806	- - -	- - -	ESIMS *m/z* 216.4 ($[M+H]^+$)	- - -
807	- - -	- - -	ESIMS *m/z* 204.3 ($[M+H]^+$)	- - -
808	- - -	3369, 2985, 2939, 1742	HRMS - ESI (*m/z*) ($[M+H]^+$)	^{1}H RMN (400 MHz, $CDCl_3$) δ 12.19 - 12.04 (m, 1H), 8.56 - 8.39 (m, 1H),

*Comp. No.	P.F. (°C)	*1R (cm^{-1})	MASA	RMN (^{1}H, ^{13}C, ^{19}F)
			calculada para $C_{22}H_{24}N306S$, 458.1379; encontrada, 458.1374	8.09 - 7.95 (m, 1H), 7.87 - 7.74 (m, 1H), 7.45 - 7.30 (m, 1H), 7.23 (t, *J* = 8.0 Hz, 2H), 6.98 - 6.92 (m, 3H), 6.86 (d, *J* = 5.2 Hz, 1H), 5.66 - 5.42 (m, 2H), 4.81 - 4.56 (m, 1H), 3.95 (s, 3H), 1.42 (d, *J* = 7.2 Hz, 3H), 1.38 (d, *J* = 6.4 Hz, 3H)
809	- - -	3372, 2964, 1743, 1650, 1577, 1534, 1481	HRMS – ESI (*m/z*) ($[M+H]^+$) calculada para $C_{21}H_{27}N_2O_6$, 403.1864; encontrada, 403.1853	^{1}H RMN (400 MHz, $CDCl_3$) δ 12.03 (s, 1H), 8.35 (t, *J* = 5.8 Hz, 1H), 7.97 (dd, *J* = 5.2, 1 4 Hz, 1H), 7.24 (dd, *J* = 8.6, 7.1 Hz, 2H), 6.98 - 6.87 (m, 3H), 6.86 (d, *J* = 5.2 Hz, 1H), 5.27 (qd, *J* = 6.5, 3.7 Hz, 1H), 4.23 (dd, *J* = 7.3, 3.7 Hz, 1H), 4.04 (dd, *J* = 18.2, 5.9 Hz, 1H), 3.93 (d, *J* = 1.7 Hz, 3H), 3.82 (dd, *J* = 18.2, 5.7 Hz, 1H), 2.04 - 1.84 (m, 6.9 Hz, 1H), 1.36 (d, *J* = 6.5 Hz, 3H), 1.03 (d, *J* = 6.7 Hz, 3H), 1.00 (d, *J* = 6.8 Hz, 3H)
810	- - -	3368, 2967, 2938, 2877, 1735, 1649, 1576, 1528, 1481	HRMS – ESI (*m/z*) ($[M+H]^+$) calculada para $C_{23}H_{31}N_2O_6$, 431.2177; encontrada, 431.2169	^{1}H RMN (400 MHz, $CDCl_3$) δ 12.11 (s, 1H), 8.37 (d, *J* = 8.4 Hz, 1H), 7.97 (d, *J* = 5.2 Hz, 1H), 7.21 (dd, *J* = 8.8, 7.3 Hz, 2H), 6.96 - 6.89 (m, 2H), 6.89 - 6.83 (m, 2H), 5.24 (qd, *J* = 6.4, 4.0 Hz, 1H), 4.52 (ddd, *J* = 8.5, 7.5, 5.0

*Comp. No.	P.F. (°C)	*1R (cm^{-1})	MASA	RMN (^{1}H, ^{13}C, ^{19}F)
				Hz, 1H), 4.18 (dd, *J* = 7.0, 4.0 Hz, 1H), 3.94 (s, 3H), 2.05 1.89 (m, 6.8 Hz, 1H), 1.78 - 1.64 (m, 1H), 1.60 - 1.46 (m, 1H), 1.36 (d, *J* = 6.5 Hz, 3H), 1.04 (d, *J* = 6.7 Hz, 3H), 1.01 (d, *J* = *J* = 6.9 Hz, 3H), 0.86 (t, *J* = 7.4 Hz, 3H)
811	- - -	3372, 2964, 2875, 1734, 1651, 1527, 1482	HRMS – ESI (*m/z*) ($[M+H]^+$) calculada para $C_{24}H_{33}N_2O_6$, 445.2333; encontrada, 445.2325	^{1}H RMN (400 MHz, $CDCl_3$) δ 12.12 (s, 1H), 8.39 (d, *J* = 9.5 Hz, 1H), 7.97 (d, *J* = 5.2 Hz, 1H), 7.20 (dd, *J* = 8.8, 7.3 Hz, 2H), 6.93 - 6.90 (m, 2H), 6.88 - 6.84 (m, 2H), 5.24 (qd, *J* = 6.5, 4.2 Hz, 1H), 4.53 (dd, *J* = 9.4, 4.6 Hz, 1H), 4.16 (dd, *J* = 6.7, 4.2 Hz, 1H), 3.94 (s, 3H), 2.10 - 1.86 (m, 2H), 1.36 (d, *J* = 6.4 Hz, 3H), 1.03 (d, *J* = 6.7 Hz, 3H), 1.00 (d, *J* = 6.9 Hz, 3H), 0.92 (d, *J* = 6.9 Hz, 3H), 0.86 (d, *J* = 6.8 Hz, 3H)
812	- - -	3368, 2965, 1738, 1650, 1528, 1482	HRMS – ESI (*m/z*) ($[M+H]^+$) calculada para $C_{28}H_{33}N_2O_6$, 493.2333; encontrada, 493.2335	^{1}H RMN (400 MHz, $CDCl_3$) δ 11.98 (s, 1H), 8.32 (d, *J* = 8.5 Hz, 1H), 7.93 (d, *J* = 5.2 Hz, 1H), 7.29 - 7.22 (m, 3H), 7.19 (dd, *J* = 8.7, 7.2 Hz, 2H), 7.15 - 7.08 (m, 2H), 6.90 - 6.85 (m, 3H), 6.83 (d, *J* = 5.2 Hz, 1H), 5.18 (qd, *J* = 6.4, 3.8 Hz, 1H), 4.79 (ddd, *J* = 8.5,

*Comp. No.	P.F. (°C)	*1R (cm^{-1})	MASA	RMN (^{1}H, ^{13}C, ^{19}F)
				7.6, 5.8 Hz, 1H), 4.09 (dd, *J* = 7.0, 3.8 Hz, 1H), 3.91 (s, 3H), 2.97 (dd, *J* = 14.0, 5.8 Hz, 1H), 2.87 (dd, *J* = 14.0, 7.6 Hz, 1H), 1.98 - 1.79 (m, *J* = 6.9 Hz, 1H), 1.32 (d, *J* = 6.4 Hz, 3H), 1.01 (d, *J* = 6.7 Hz, 3H), 0.97 (d, *J* = 6.8 Hz, 3H)
813	- - -	3370, 2958, 2872, 1731, 1650, 1596, 1530, 1490	HRMS – ESI (*m/z*) ($[M+H]^+$) calculada para $C_{25}H_{35}N_2O_6$, 459.249; encontrada, 459.2482	^{1}H RMN (400 MHz, $CDCl_3$) δ 12.11 (s, 1H), 8.20 (d, *J* = 8.9 Hz, 1H), 7.97 (d, *J* = 5.2 Hz, 1H), 7.24 - 7.17 (m, 2H), 6.98 - 6.88 (m, 3H), 6.86 (d, *J* = 5.1 Hz, 1H), 5.24 - 5.16 (m, 1H), 4.58 (td, *J* = 9.5, 4.7 Hz, 1H), 4.19 (td, *J* = 6 6, 6.1, 3.5 Hz, 1H), 3.94 (s, 3H), 2.01 - 1.86 (m, 2H), 1.45 - 1.37 (m, 1H), 1.36 (d, *J* = 6.5 Hz, 3H), 1.24 - 1.15 (m, 1H), 1.07 - 0.99 (m, 6H), 0.86 - 0.79 (m, 6H)
814	- - -	- - -	HRMS – ESI (*m/z*) ($[M+H]^+$) calculada para $C_{31}H_{30}FN_2O_6$, 545.2082, encontrada, 545.2098	^{1}H RMN (400 MHz, $CDCl_3$) δ 12.02 (s, 1H), 8.39 (d, *J* = 8.0 Hz, 1H), 7.96 (d, *J* = 5.2 Hz, 1H), 7.60 - 7.50 (m, 4H), 7.47 7.33 (m, 5H), 7.11 (dd, *J* = 15.1, 8.2 Hz, 1H), 6.85 (d, *J* = 5.3 Hz, 1H), 6.64 - 6.55 (m, 3H), 5.34 (dt, *J* = 11.6, 6.6 Hz, 1H), 5.26 (d, *J* = 4.9 Hz, 1H),

*Comp. No.	P.F. (°C)	*1R (cm^{-1})	MASA	RMN (^{1}H, ^{13}C, ^{19}F)
				4.69 - 4.60 (m, 1H), 3.94 (s, 3H), 1.46 (d, *J* = 7.2 Hz, 1H), 1.42 (d, *J* = 6.4 Hz, 3H), 1.39 (d, *J* = 6.3 Hz, 1H), 1.32 (d, *J* = 7.2 Hz, 3H) ^{13}C RMN (126 MHz, $CDCl_3$) δ 171.60, 168.72, 159.13, 155.34, 148.72, 141.69, 140.46, 137.50, 130.33, 130.23, 130.15, 129.16, 128.83, 127.58, 127.23, 127.13, 125.70, 125.46, 111.44, 109.44, 108.11, 103.87, 103.67, 81.54, 74.39, 56.06, 47.98, 31.87, 17.95, 14.83
815	- - -	- - -	ESIMS *m/z* 431.2 ($[M+H]^+$)	^{1}H RMN (400 MHz, $CDCl_3$) δ 12.10 (s, 1H), 8.41 (d, *J* = 7.8 Hz, 1H), 7.97 (d, *J* = 5.2 Hz, 1H), 7.28 - 7.15 (m, 2H), 6.96 - 6.81 (m, 4H), 5.13 (dt, *J* = 8.9, 4.0 Hz, 1H), 4.65 - 4.54 (m, 1H), 4.24 (dd, *J* = 6.7, 4.3 Hz, 1H), 3.94 (s, 3H), 2.04 - 1.92 (m, 1H), 1.89 - 1.69 (m, 2H), 1.25 (d, *J* = 7.2 Hz, 3H), 1.04 (d, *J* = 6.7 Hz, 3H), 1.02 (d, *J* = 6.9 HZ, 31 - 1), 0.93 (t, *J* = 7.4 Hz, 3H) ^{13}C RMN (101 MHz, $CDCl_3$) δ 171.96, 168.67, 159.99, 155.35, 148.74, 140.44, 130.45, 129.45, 121.00, 116.08, 109.42, 83.39, 77.69, 56.07,

*Comp. No.	P.F. (°C)	*1R (cm^{-1})	MASA	RMN (^{1}H, ^{13}C, ^{19}F)
				47.90, 30.33, 22.13, 19.49, 18.45, 17.65, 10.11
816	- - -	- - -	HRMS – ESI (*m/z*) ([M+H]$^{+}$) calculada para $C_{23}H_{35}N_2O_6$, 435.2490, encontrada, 435.2499	^{1}H RMN (400 MHz, $CDCl_3$) δ 12.13 (s, 1H), 8.47 (d, *J* = 7.7 Hz, 1H), 7.99 (d, *J* = 5.2 Hz, 1H), 6.87 (d, *J* = 5.2 Hz, 1H), 5.16 (qd, *J* = 6 4, 3.5 Hz, 1H), 4.75 - 4.66 (m, 1H), 3.95 (s, 3H), 3.47 (dd, *J* = 9.7, 6.9 Hz, 1H), 3.23 (dd, *J* = 9.8, 6.9 Hz, 1H), 3.07 (dd, *J* = 7.5, 3.4 Hz, 1H), 1.96 (d, *J* = 12.8 Hz, 1H), 1.78 - 1.68 (m, 2H), 1.68 - 1.59 (m, 2H), 1.55 (d, *J* = 7.2 Hz, 3H), 1.45 - 1 36 (m, 1H), 1.27 (d, *J* = 6.4 Hz, 3H), 1.24 - 0.95 (m, 6H), 0.47 (ddd, *J* = 7.6, 4.5, 2.5 Hz, 2H), 0.12 (dt, *J* = 6.8, 2.9 Hz, 2H) ^{13}C RMN (126 MHz, $CDCl_3$) δ 171.45, 168.68, 155.39, 148.76, 140.50, 130.41, 109.46, 85.22, 77.84, 73.70, 56 09, 48.11, 40.27, 29.78, 28.90, 26.34, 26.18, 26.00, 18.25, 14.32, 11.06, 2.93, 2.82
817	- - -	- - -	HRMS – ESI (*m/z*) ([M+H]$^{+}$) calculada para	^{1}H RMN (400 MHz, $CDCl_3$) δ 12.13 (s, 1H), 8.47 (d, *J* = 8.2 Hz, 1H), 7.95 (d, *J* = 5.1 Hz, 1H), 7.43 - 7.22 (m, 6H),

*Comp. No.	P.F. (°C)	*1R (cm^{-1})	MASA	RMN (^{1}H, ^{13}C, ^{19}F)
			$C_{25}H_{25}Cl_2N_2O_6$, 519.1089, encontrada, 519.1077	6.95 (dd, *J* = 8.8, 2.6 Hz, 1H), 6.86 (d, *J* = 5.3 Hz, 1H), 6.63 (d, *J* = 8.9 Hz, 1H), 5.53 5.39 (m, 1H), 5.16 (d, *J* = 6.8 Hz, 1H), 4.81 - 4.63 (m, 1H), 3.94 (s, 3H), 1.47 (d, *J* = 7.2 Hz, 3H), 1.24 (d, *J* = 6.4 Hz, 3H) ^{13}C RMN (101 MHz, $CDCl_3$) δ 171.43, 168.67, 155.34, 151.86, 148.74, 140.44, 135.93, 130.42, 130.01, 128.91, 128.82, 127.27, 127.16, 125.98, 124.14, 115.40, 109.44, 82.80, 73.57, 56 08, 48.02, 18.26, 16.18
818	- - -	- - -	HRMS – ESI (*m/z*) ($[M+H]^+$) calculada para $C_{25}H_{27}N_2O_6$, 451.1869, encontrada, 451.1868	^{1}H RMN (400 MHz, $CDCl_3$) δ 12.13 (d, *J* = 0.6 Hz, 1H), 8.48 (d, *J* = 8.0 Hz, 1H), 7.97 (d, *J* = 5.2 Hz, 1H), 7.42 - 7.35 (m, 2H), 7.36 - 7.24 (m, 3H), 7.22 - 7.08 (m, 2H), 6.93 - 6.79 (m, 4H), 5.53 - 5.33 (m, 1H), 5.13 (d, *J* = 6.5 Hz, 1H), 4.79 - 4.61 (m, 1H), 3.93 (s, 3H), 1.42 (d, *J* = 7.2 Hz, 3H), 1.24 (d, *J* = 6.5 Hz, 3H) ^{13}C RMN (101 (MHZ, $CDCl_3$) δ 171.71, 168.67, 157.82, 155.35, 148.75, 140.46, 137.30, 130.49, 129.35, 128.64, 128.41, 127.12,

*Comp. No.	P.F. (°C)	*1R (cm^{-1})	MASA	RMN (^{1}H, ^{13}C, ^{19}F)
				121.09, 115.75, 109.44, 81.86, 74.06, 56.07, 48.01, 18.41, 16.35
819	- - -	- - -	HRMS – ESI (*m/z*) ($[M+H]^+$) calculada para $C_{23}H_{31}N_2O_6$, 431.2182, encontrada, 431.2192	^{1}H RMN (400 MHz, $CDCl_3$) δ 12.18 (s, 1H), 8.50 (d, *J* = 8.0 Hz, 1H), 8.00 (d, *J* = 5.2 Hz, 1H), 7.39 - 7.27 (m, 5H), 6.87 (d, *J* = 5.2Hz, 1H), 5.19 (p, *J* = 6.5 Hz, 1H), 4.72 (dq, *J* = 8 6, 7.2 Hz, 1H), 4.25 (d, *J* = 6.7 Hz, 1H), 3.95 (s, 3H), 3.18 - 2.99 (m, 2H), 1.89 - 1.75 (m, 1H), 1.50 (d, *J* = 7.2 Hz, 3H), 1.10 (d, *J* = 6.5 Hz, 3H), 0.89 - 0.81 (m, 6H) ^{13}C RMN (101 MHz, $CDCl_3$) δ 171.63, 168.62, 155.36, 148.75, 140.45, 138.47, 130.57, 128.31, 128.10, 127.62, 109.41, 84.00, 76.10, 74.45, 56.07, 48.04, 28.63, 19.41, 19.36, 18.47, 16.34
820	- - -	- - -	HRMS – ESI (*m/z*) ($[M+H]^+$) calculada para $C_{23}H_{31}N_2O_6$, 431.2182, encontrada, 431.2187	^{1}H RMN (400 MHz, $CDCl_3$) δ 12.13 (s, 1H), 8.40 (d, *J* = 7.9 Hz, 1H), 7.98 (d, *J* = 5.2 Hz, 1H), 7.43 - 7.21 (m, 5H), 6.86 (d, *J* = 5.3 Hz, 1H), 5.13 (p, *J* = 6.3 Hz, 1H), 4.67 - 4.49 (m, 1H), 4.25 (d, *J* = 6.1 Hz, 1H), 3.94 (s, 3H), 3.14 (dd, *J* = 8.8, 6.5 Hz, 1H), 3.05 (dd, *J* =

*Comp. No.	P.F. (°C)	*1R (cm^{-1})	MASA	RMN (^{1}H, ^{13}C, ^{19}F)
				8.8, 6.4 Hz, 1H), 1.92 - 1.76 (m, 1H), 1.33 (d, *J* = 6.3 Hz, 3H), 1.25 (d, *J* = 7.2 Hz, 3H), 0.89 (d, *J* = 3.1 Hz, 3H), 0.87 (d, *J* = 3.2 Hz, 3H) ^{13}C RMN (101 MHz, $CDCl_3$) δ 171.40, 168.58, 155.36, 148.73, 140.44, 138.80, 13049, 128.21, 127.94, 127.54, 109.42, 83.71, 76.27, 74.67, 56.07, 47.89, 28.63, 19.33, 18.00, 15.85
821	- - -	3372, 2964, 2875, 1650	HRMS - ESI (*m/z*) ($[M+H]^+$) calculada para $C_{22}H_{29}N_2O_6$, 417.2025, encontrada, 417.2016	^{1}H RMN (400 MHz, $CDCl_3$) δ 12.18 (d, *J* = 0.6 Hz, 1H), 8.50 (d, *J* = 7.8 Hz, 1H), 8.00 (d, *J* = 5.2 Hz, 1H), 7.40 - 7.27 (m, 5H), 6.87 (d, *J* = 5.3 Hz, 1H), 5.27 - 5.11 (m, 1H), 4.80 - 4.67 (m, 1H), 4.26 (d, *J* = 6.7 Hz, 1H), 3.95 (s, 3H), 3.30 (dt, *J* = 9.0, 6.8 Hz, 1H), 3.23 (dt, *J* = 9.1, 6.5 Hz, 1H), 1.60 - 1.53 (m, 2H), 1.50 (d, *J* = 7.2 Hz, 3H), 1.10 (d, *J* = 6.5 Hz, 3H), 0.87 (t, *J* = 7.4 Hz, 3H)
822	- - -	3370, 2964, 2876, 1734	HRMS - ESI (*m/z*) ($[M+H]^+$) calculada para $C_{22}H_{29}N_2O_6$, 417.2025,	^{1}H RMN (400 MHz, $CDCl_3$) δ 12.12 (s, 1H), 8.40 (d, *J* = 8.0 Hz, 1H), 7.98 (d, *J* = 5.2 Hz, 1H), 7.37 - 7.26 (m, 5H), 6.86 (d, *J* = 5.2 Hz, 1H), 5.20 - 5.06

*Comp. No.	P.F. (°C)	*1R (cm^{-1})	MASA	RMN (^{1}H, ^{13}C, ^{19}F)
			encontrada, 417.2018	(m, 1H), 4.66 - 4.51 (m, 1H), 4.27 (d, *J* = 6.1 Hz, 1H), 3.94 (s, 3H), 3.33 (dt, *J* = 9.1, 6.5 Hz, 1H), 3.25 (dt, *J* = 9.2, 6.5 Hz, 1H), 1.55 (dtd, *J* = 13.8, 7.4, 6.5 Hz, 2H), 1.32 (d, *J* = 6.3 Hz, 3H), 1.24 (d, *J* = 7.2 Hz, 3H), 0.89 (t, *J* = 7.4 Hz, 3H) ^{13}C RMN (126 MHz, $CDCl_3$) δ 171.40, 168.59, 155.35, 148.73, 140.44, 138.84, 130.50, 128.23, 127.97, 127.54, 109.41, 83.51, 74.57, 71.13, 56.08, 47.90, 23.00, 18.01, 15.87, 10.65
823	- - -	3367, 2984, 2938, 1739	HRMS - ESI (*m/z*) ($[M+H]^+$) calculada para $C_{20}H_{25}N_2O_6$, 389.1712; encontrada, 389.1713	^{1}H RMN (400 MHz, $CDCl_3$) δ 12.17 (d, *J* = 0.6 Hz, 1H), 8.50 (d, *J* = 8.0 Hz, 1H), 8.00 (d, *J* = 5.2 Hz, 1H), 7.40 - 7.28 (m, 5H), 6.87 (d, *J* = 5.1 Hz, 1H), 5.28 - 5.15 (m, 1H), 4.80 - 4.64 (m, 1H), 4.14 (d, *J* = 6.8 Hz, 1H), 3.95 (s, 3H), 3.24 (s, 3H), 1.51 (d, *J* = 7.2 Hz, 3H), 1.11 (d, *J* = 6.5 Hz, 3H)
824	- - -	3366, 2938, 1737, 1648	HRMS - ESI (*m/z*) ($[M+H]^+$) calculada para $C_{20}H_{25}N_2O_6$, 389.1712,	^{1}H RMN (400 MHz, $CDCl_3$) δ 12.12 (s, 1H), 8.40 (d, *J* = 8.0 Hz, 1H), 7.98 (d, *J* = 5.2 Hz, 1H), 7.37 - 7.28 (m, 5H), 6.86 (d, *J* = 5.2Hz, 1H), 5.14 (p, *J* =

*Comp. No.	P.F. (°C)	*1R (cm^{-1})	MASA	RMN (^{1}H, ^{13}C, ^{19}F)
			encontrada, 389.1709	6.4 Hz, 1H), 4.66 - 4.54 (m, 1H), 4.19 (d, *J* = 5.9 Hz, 1H), 3.94 (s, 3H), 3.26 (s, 3H), 1.31 (d, *J* = 6.4 Hz, 3H), 1.26 (d, *J* = 7.2 Hz, 3H)
825	- - -	3367, 2985, 2872, 1738	HRMS - ESI (*m/z*) ($[M+H]^+$) calculada para $C_{23}H_{29}N_2O_6$, 429.2025; encontrada, 429.2009	^{1}H RMN (400 MHz, $CDCl_3$) δ 12.18 (d, *J* = 0 6 Hz, 1H), 8.51 (d, *J* = 8.3 Hz, 1H), 8.00 (d, *J* = 5.2 Hz, 1H), 7.36 - 7.26 (m, 5H), 6.87 (d, *J* = 5.3 Hz, 1H), 5.27 - 5.15 (m, 1H), 4.80 - 4.65 (m, 1H), 4.34 (d, *J* = 6.8 Hz, 1H), 3.95 (s, 3H), 3.17 (dd, *J* = 6.8, 3.2 Hz, 2H), 1.52 (d, *J* = 7.2 Hz, 3H), 1.12 (d, *J* = 6.5 Hz, 3H), 1.03 - 0.93 (m, 1H), 0.53 - 0.34 (m, 2H), 0.16 - 0.05 (m, 2H)
826	- - -	3366.2, 2902.2, 1734.7, 1649.4, 1527.5, 1481.7, 1238.2	HRMS – ESI (*m/z*) ($[M+H]^+$) calculada para $C_{29}H_{37}N_2O_6$, 509.2647, encontrada, 509.2646	^{1}H RMN (400 MHz, $CDCl_3$) δ 12.11 (s, 1H), 8.42 (d, *J* = 7.9 Hz, 1H), 7.98 (d, *J* = 5.1 Hz, 1H), 7.23 - 7.16 (m, 2H), 6.99 6.94 (m, 2H), 6.89 - 6.84 (m, 2H), 5.47 - 5.36 (m, 1H), 4.67 - 4.55 (m, 1H), 3.97 - 3.91 (m, 1H), 3.94 (s, 3H), 2.03 - 1.96 (m, 3H), 1.76 - 1.60 (m, 12H), 1.36 (d, *J* = 7.2Hz, 3H), 1.34 (d, *J* = 6.4 Hz, 3H)
827	- - -	3369.6, 2901.8,	HRMS – ESI (*m/z*) ($[M+H]^+$)	^{1}H RMN (400 MHz, $CDCl_3$) δ 12.13 (s, 1H), 8.47 (d, *J* = 7.8 Hz, 1H), 7.98 (d,

*Comp. No.	P.F. (°C)	*1R (cm^{-1})	MASA	RMN (^{1}H, ^{13}C, ^{19}F)
		1732.6, 1649.2, 15274, 1262.5, 1053.2	calculada para $C_{27}H_{39}N_2O_6$, 487.2803; encontrada, 487.2807	*J* = 5.2 Hz, 1H), 6.88 (d, *J* = 5.2 Hz, 1H), 5.29 (qd, *J* = 6 5, 1.6 Hz, 1H), 4.81 - 4.56 (m, 1H), 3.95 (s, 3H), 3.48 (dd, *J* = 10 0, 6.7 Hz, 1H), 3.19 (dd, *J* = 9.9, 6.7 Hz, 1H), 2.81 (d, *J* = 1.6 Hz, 1H), 2.00 - 1.91 (m, 3H), 1.74 - 1.57 (m, 12H), 1.54 (d, *J* = 7.2 Hz, 3H), 1.29 (d, *J* = 6.4 Hz, 3H), 1.10 - 0.99 (m, 1H), 0 53 - 0.41 (m, 2H), 0.17 - 0.10 (m, 2H)
828	- - -	3377.2, 2929.8, 1740.7, 1649.0, 1529 4, 1439 9, 1058	HRMS – ESI (*m/z*) ([M+H]$^{+}$) calculada para $C_{27}H_{39}N_2O6$ 487.2730, encontrada, 487.2806	^{1}H RMN (400 MHz, $CDCl_3$) δ 11.96 (s, 1H), 8.31 (d, *J* = 8.0 Hz, 1H), 7.76 (d, *J* = 5.2 Hz, 1H), 6.65 (d, *J* = 5.2 Hz, 1H), 5.00 (pd, *J* = 6 4, 2.8 Hz, 1H), 4.60 - 4.48 (m, 1H), 3.72 (s, 3H), 3.30 (dd, *J* = 9.8, 6.5 Hz, 1H), 3.15 (dd, *J* = 9.8, 6.7 Hz, 1H), 2.45 (d, *J* = 2.7 Hz, 1H), 1.71 - 1.62 (m, 3H), 1.43 (td, *J* = 15.3, 13.5, 7.8 Hz, 12H), 1.35 (d, *J* = 7.1 Hz, 3H), 1.12 (d, *J* = 6.5 Hz, 3H), 0.87 (dtdd, *J* = 8.1, 6.6, 4.9, 1.8 Hz, 1H), 0.34 - 0.25 (m, 2H), 0.05 - -0.06 (m, 2H)
829	- - -	3367.2, 2901.4,	HRMS – ESI (*m/z*) ([M+H]$^{+}$)	^{1}H RMN (400 MHz, $CDCl_3$) δ 12.13 (s, 1H), 8.50 (d, *J* = 7.9 Hz, 1H), 7.98 (d,

*Comp. No.	P.F. (°C)	*1R (cm^{-1})	MASA	RMN (^{1}H, ^{13}C, ^{19}F)
		1733.5, 1649.o, 1527.2, 1449.3, 1262.9	calculada para $C_{24}H_{35}N_2O_6$, 447.2490; encontrada, 447.2481	*J* = 5.2 Hz, 1H), 6.87 (d, *J* = 5.2 Hz, 1H), 5.30 (qd, *J* = 6 5, 1.7 Hz, 1H), 4.77 - 4.63 (m, 1H), 3.95 (s, 3H), 3.44 (s, 3H), 2.72 (d, *J* = 1.6 Hz, 1H), 2.01 - 1.92 (m, 3H), 1.73 - 1.58 (m, 12H), 1.56 (d, *J* = 7.2 Hz, 3H), 1.29 (d, *J* = 6.5 Hz, 3H)
830	- - -	3368.5, 2902.6, 1733.4, 1648.8, 1527.o, 1448.8, 1262.4	HRMS – ESI (*m/z*) ($[M+H]^+$) calculada para $C_{24}H_{35}N_2O_6$, 447.2490, encontrada, 447.2494	^{1}H RMN (400 MHz, $CDCl_3$) δ 12.16 (s, 1H), 8.52 (d, *J* = 8.0 Hz, 1H), 7.98 (d, *J* = 5.2 Hz, 1H), 6.86 (d, *J* = 5.2 Hz, 1H), 5.25 (pd, *J* = 6 4, 2.5 Hz, 1H), 4.82 - 4.70 (m, 1H), 3.94 (s, 3H), 3.56 (s, 3H), 2.56 (d, *J* = 2.7 Hz, 1H), 1.98 - 1.89 (m, 3H), 1.72 - 1.58 (m, 12H), 1.56 (d, *J* = 7.2 Hz, 3H), 1.36 (d, *J* = 6.5 Hz, 3H)
831	- - -	- - -	ESIMS *m/z* 431.1 ($[M+H]^+$)	^{1}H RMN (300 MHz, $CDCl_3$) δ 12.18 (dd, *J* = 2.8, 0.6 Hz, 1H), 8.40 (d, *J* = 7.7 Hz, 1H), 7.99 (dd, *J* = 5.2, 1.0 Hz, 1H), 7.23 (ddd, *J* = 7.3, 5.4, 3.6 Hz, 2H), 7.08 - 6.93 (m, 2H), 6.93 - 6.82 (m, 2H), 4.67 (dd, *J* = 14 4, 4.4 Hz, 1H), 4.61 - 4.32 (m, 1H), 3.94 (s, 3H), 2.25 - 1.98 (m, 1H), 1.63 - 1.54 (m, 6H), 1.35 (dd, *J* = 7.1, 6.5 Hz, 3H),

*Comp. No.	P.F. (°C)	*1R (cm^{-1})	MASA	RMN (^{1}H, ^{13}C, ^{19}F)
				1.06 (dd, *J* = 6.9, 1.6 Hz, 3H), 1.01 (dd, *J* = 6 8, 0.9 Hz, 3H) ^{13}C RMN (101 MHz, $CDCl_3$) δ 171.31, 171.28, 168.63, 168.55, 160.11, 155.35, 148.73, 148.71, 140.47, 130.54, 129.48, 120.75, 120.67, 115.72, 115.58, 109.41, 109.40, 87.26, 86.96, 84.10, 83.64, 56.07, 48.53, 48.44, 29.71, 29.60, 23.77, 23.46, 22.66, 22.43, 22.29, 18.33, 18.26, 18.01, 17.92
832	- - -	- - -	HRMS – ESI (*m/z*) ($[M+H]^+$) calculada para $C_{29}H_{33}N_2O_6$, 505.2330; encontrada, 505.2347	^{1}H RMN (400 MHz, $CDCl_3$) δ 12.14 (s, 1H), 8.43 (d, *J* = 7.7 Hz, 1H), 7.99 - 7.97 (m, 1H), 7.58 - 7.53 (m, 2H), 7.48 (d, *J* = 8.2 Hz, 2H), 7.43 (dd, *J* = 10.3, 4.8 Hz, 2H), 7.36 - 7.30 (m, 1H), 7.29 - 7.24 (m, 5H), 6.85 (d, *J* = 5.2 Hz, 1H), 5.31 - 5.21 (m, 1H), 4.72 - 4.61 (m, 1H), 3.93 (s, 3H), 2.97 (dd, *J* = 13.9, 7.5 Hz, 1H), 2.89 (dd, *J* = 13.9, 5.7 Hz, 1H), 1.38 (d, *J* = 7.2 Hz, 3H), 1.34 (d, *J* = 6.3 Hz, 3H) ^{13}C RMN (126 MHz, $CDCl_3$) δ 171.42, 168.61, 155.35, 148.73, 140.91, 140.70, 140.45, 137.70, 130.47, 128.77, 128.02, 127.34, 127.05,

*Comp. No.	P.F. (°C)	*1R (cm^{-1})	MASA	RMN (^{1}H, ^{13}C, ^{19}F)
				126.98, 109.40, 82.77, 74.48, 73.84, 56.06, 47.90, 18.00, 16.02, 10.60, 3.21, 2.74
833	- - -	- - -	HRMS - ESI (*m/z*) ($[M+H]^+$) calculada para $C_{31}H_{31}N_2O_6$, 527.2177, encontrada, 527.2184	^{1}H RMN (400 MHz, $CDCl_3$) δ 12.08 (s, 1H), 8.41 (d, *J* = 7.9 Hz, 1H), 7.96 (d, *J* = 5.2 Hz, 1H), 7.57 - 7.52 (m, 4H), 7.48 7.40 (m, 4H), 7.34 (ddd, *J* = 7.3, 3.8, 1.2 Hz, 1H), 7.21 - 7.16 (m, 2H), 6.91 - 6.83 (m, 4H), 5.38 - 5.31 (m, 1H), 5.26 (d, *J* = 4.9 Hz, 1H), 4.67 (p, *J* = 7.2 Hz, 1H), 3.93 (s, 3H), 1.43 (d, *J* = 6.4 Hz, 3H), 1.33 (d, *J* = 7.2 Hz, 3H) ^{13}C RMN (101 MHz, $CDCl_3$) δ 171.61, 168.69, 157.86, 155.36, 148.75, 141.08, 140.52, 140.45, 136.45, 130.42, 129.40, 128.77, 127.42, 127.40, 127.26, 127.05, 121.27, 115.97, 109.43, 81.01, 74.54, 56.06, 47.96, 18.05, 15.10
834	- - -	- - -	HRMS – ESI (*m/z*) ($[M+H]^+$) calculada para $C_{31}H_{31}N_2O_6$, 527.2177,	^{1}H RMN (400 MHz, $CDCl_3$) δ 12.06 (s, 1H), 8.40 (d, *J* = 7.8 Hz, 1H), 7.95 (d, *J* = 5.2 Hz, 1H), 7.63 (s, 1H), 7.56 (dd, *J* = 5.2, 3.3 Hz, 2H), 7.52 - 7.49 (m, 1H), 7.46 - 7.32 (m, 6H), 7.20 - 7.15

*Comp. No.	P.F. (°C)	*1R (cm^{-1})	MASA	RMN (^{1}H, ^{13}C, ^{19}F)
			encontrada, 527.2187	(m, 2H), 6.90 - 6.83 (m, 4H), 5.36 (dt, *J* = 12.2, 6.1 Hz, 1H), 5.28 (s, 1H), 4.64 (p, *J* = 7.2 Hz, 1H), 3.93 (s, 3H), 1.44 (d, *J* = 6.4 Hz, 3H), 1.28 (d, *J* = 7.2 Hz, 3H) ^{13}C RMN (101 MHz, $CDCl_3$) δ 171.65, 168.69, 157.92, 155.35, 148.73, 141.53, 140.65, 140.46, 138.18, 130.40, 129.41, 129.05, 128.81, 127.51, 127.13, 127.03, 125.85, 125.62, 121.31, 116.01, 109.43, 81.35, 74.63, 56.06, 47.95, 17.98, 15.04
835	- - -	- - -	HRMS – ESI (*m/z*) ($[M+H]^+$) calculada para $C_{23}H_{31}N_2O_6$, 431.2177, encontrada, 431.2187	^{1}H RMN (300 MHz, $CDCl_3$) δ 12.17 (dd, *J* = 2.8, 0.5 Hz, 1H), 8.40 (d, *J* = 8.0 Hz, 1H), 7.99 (dd, *J* = 5.2, 1.1 Hz, 1H), 7.29 - 7.19 (m, 3H), 6.95 (ddt, *J* = 8.5, 4.9, 2.6 Hz, 2H), 6.91 - 6.82 (m, 2H), 4.67 (dd, *J* = 14 6, 4.5 Hz, 1H), 4.47 (dp, 22.2, 7.2 Hz, 1H), 3.95 (s, 3H), 2.27 - 2.02 (m, 1H), 1.66 - 1.51 (m, 8H), 1.41 - 1.31 (m, 3H), 1.06 (dd, *J* = 6.9, 1.7 Hz, 3H), 1.01 (dd, *J* = 6.8, 0.9 Hz, 3H)
836	- - -	- - -	ESIMS	^{1}H RMN (400 MHz, $CDCl_3$) δ 12.10 (s,

*Comp. No.	P.F. (°C)	*1R (cm^{-1})	MASA	RMN (^1H, ^{13}C, ^{19}F)
			m/z 457 ($[M+H]^+$)	1H), 8.37 (d, *J* = 7.8 Hz, 1H), 7.96 (d, *J* = 5.2 Hz, 1H), 7.23 - 7.18 (m, 2H), 6.93 - 6.85 (m, 4H), 5.24 (qd, *J* = 6 5, 3.9 Hz, 1H), 4.54 (p, *J* = 7.3 Hz, 1H), 4.26 (dd, *J* = 7.1, 3.8 Hz, 1H), 3.94 (s, 3H), 1.93 (d, *J* = 11.3 Hz, 1H), 1.79 - 1.60 (m, 5H), 1.36 (d, *J* = 6.5 Hz, 3H), 1.27 - 1.07 (m, 8H) ^{13}C RMN (101 MHz, $CDCl_3$) δ 171.56, 168.64, 160.17, 155.35, 148.73, 140.44, 130.43, 129.41, 120.95, 116.16, 109.42, 83.20, 72.80, 56.07, 47.95, 40.06, 29.51, 28.95, 26.24, 26.06, 25.92, 17 60, 14.46
837	- - -	- - -	HRMS – ESI (*m/z*) ($[M+H]^+$) calculada para $C_{25}H_{26}FN_2O_6$, 469.1775; encontrada, 469.1778	^1H RMN (400 MHz, $CDCl_3$) δ 12.05 (s, 1H), 8.38 (d, *J* = 7.9 Hz, 1H), 7.96 (d, *J* = 5.2 Hz, 1H), 7.41 - 7.18 (m, 5H), 6.91 6.77 (m, 3H), 6.77 - 6.60 (m, 2H), 5.29 (qd, *J* = 6 4, 4.9 Hz, 1H), 5.11 (d, *J* = 4.9 Hz, 1H), 4.76 - 4.55 (m, 1H), 3.94 (s, 3H), 1.38 (d, *J* = 6.4 Hz, 3H), 1.33 (d, *J* = 7.2 Hz, 3H) ^{19}F RMN (376 MHz, $CDCl_3$) δ - 123.13
838	- - -	- - -	HRMS – ESI (*m/z*) ($[M+H]^+$)	^1H RMN (400 MHz, $CDCl_3$) δ 12.10 (s, 1H), 8.44 (d, *J* = 8.0 Hz, 1H), 7.97 (d,

*Comp. No.	P.F. (°C)	*1R (cm^{-1})	MASA	RMN (^1H, ^{13}C, ^{19}F)
			calculada para $C_{25}H_{25}F_2N_2O_6$, 487.1680; encontrada, 487.1678	*J* = 5.2 Hz, 1H), 7.41 - 7.29 (m, 2H), 7.16 6.95 (m, 2H), 6.91 - 6.78 (m, 3H), 6.78 - 6.60 (m, 2H), 5.42 - 5.30 (m, 1H), 5.03 (d, *J* = 6.6 Hz, 1H), 4.79 - 4.66 (m, 1H), 3.94 (s, 3H) 1.45 (d, *J* = 7.2 Hz, 3H), 1.21 (d, *J* = 6.4 Hz, 3H) ^{19}F RMN (376 MHz, $CDCl_3$) δ -113.00, -122.95
839	- - -	3368, 2948, 2870, 1738, 1649, 1609, 1591, 1577, 1529, 1483	HRMS – ESI (*m/z*) ($[M+H]^+$) calculada para $C_{24}H_{30}FN_2O_6$, 461.2082; encontrada, 461.2083	^1H RMN (300 MHz, $CDCl_3$) δ 12.07 (s, 1H), 8.37 (d, *J* = 8.0 Hz, 1H), 7.96 (d, *J* = 5.2 Hz, 1H), 7.14 (td, *J* = 8.3, 6.9 Hz, 1H), 6.86 (d, *J* = 5.2 Hz, 1H), 6.70 (ddd, *J* = 8.4, 2.5, 0.8 Hz, 1H), 6.69 - 6.52 (m, 2H), 5.16 (qd, *J* = 6.5, 2.9 Hz, 1H), 4.64 4.52 (m, 1H), 4.33 (dd, *J* = 8.4, 2.9 Hz, 1H), 3.94 (s, 3H), 2.21 - 2.04 (m, 1H), 1.91 - 1.45 (m, 7H), 1.48 - 1.29 (m, 1H), 1.37 (d, *J* = 6.6 Hz, 3H), 1.28 (d, *J* = 7.2 Hz, 3H)
840	- - -	3368, 2944, 2869, 1736, 1648, 1576, 1528, 1502	HRMS – ESI (*m/z*) ($[M+H]^+$) calculada para $C_{24}H_{30}FN_2O_6$, 461.2082; encontrada,	^1H RMN (300 MHz, $CDCl_3$) δ 12.08 (s, 1H), 8.34 (d, *J* = 7.9 Hz, 1H), 7.95 (d, *J* = 5.2 Hz, 1H), 6.89 - 6.84 (m, 5H), 5.15 (qd, *J* = 6.5, 2.8 Hz, 1H), 4.63 - 4.51 (m, 1H), 4.22 (dd, *J* = 8.4, 2.8 Hz, 1H), 3.94 (s, 3H), 2.17 - 2.03 (m,

*Comp. No.	P.F. (°C)	*1R (cm^{-1})	MASA	RMN (^{1}H, ^{13}C, ^{19}F)
			461.2084	1H), 1.94 - 1.78 (m, 1H), 1.78 - 1.47 (m, 6H), 1.37 (d, *J* = 6.5 Hz, 3H), 1.49 - 1.27 (m, 1H), 1.27 (d, *J* = 7.2 Hz, 3H)
841	- - -	3367, 2943, 2868, 1736, 1648, 1575, 1527, 1477	HRMS – ESI (*m/z*) ($[M+H]^+$) calculada para $C_{24}H_{30}ClN_2O_6$, 477.1787; encontrada, 477.1786	^{1}H RMN (300 MHz, $CDCl_3$) δ 12.07 (d, *J* = 0.6 Hz, 1H), 8.37 (d, *J* = 8.0 Hz, 1H), 7.96 (d, *J* = 5.2 Hz, 1H), 7.12 (t, *J* = 8.1 Hz, 1H), 6.92 (q, *J* = 2.4 Hz, 1H), 6.93 - 6.80 (m, 2H), 6.88 - 6.75 (m, 1H), 5.16 (qd, *J* = 65, 2.8 Hz, 1H), 4.64 - 4.53 (m, 1H), 4.33 (dd, *J* = 8.4, 2.9 Hz, 1H), 3.94 (s, 3H), 2.21 - 2.04 (m, 1H), 1.94 - 1.45 (m, 7H), 1.45 - 1.38 (m, 1H), 1.37 (d, *J* = 6.6 Hz, 3H), 1.29 (d, *J* = 7.2 Hz, 3H)
842	- - -	3367, 2869, 1736, 1648, 1577, 1528, 1486	HRMS – ESI (*m/z*) ($[M+H]^+$) calculada para $C_{24}H_{30}ClN_2O_6$, 477.1787; encontrada, 477.1788	^{1}H RMN (300 MHz, $CDCl_3$) δ 12.08 (d, *J* = 0.6 Hz, 1H), 8.35 (d, *J* = 8.0 Hz, 1H), 7.94 (d, *J* = 5.2 Hz, 1H), 7.11 (d, *J* = 9.0 Hz, 2H), 6.91 - 6.86 (m, 1H), 6.84 (d, *J* = 9.0 Hz, 2H), 5.15 (qd, *J* = 6 5, 4.2 Hz, 1H), 4.65 - 4.52 (m, 1H), 4.27 (dd, *J* = 8.4, 2.9 Hz, 1H), 3.94 (s, 3H), 2.20 - 2.04 (m, 1H), 1.88 - 1.46 (m, 7H), 1.45 - 1.38 (m, 1H), 1.36 (d, *J* = 6.5 Hz, 3H), 1.30 (d, *J* = 7.2 Hz,

*Comp. No.	P.F. (°C)	*1R (cm^{-1})	MASA	RMN (^{1}H, ^{13}C, ^{19}F)
				3H)
843	- - -	3368, 2946, 2869, 1737, 1649, 1576, 1529, 1495	HRMS – ESI (*m/z*) ($[M+H]^+$) calculada para $C_{25}H_{32}ClN_2O_6$, 491.1943, encontrada, 491.1947	^{1}H RMN (300 MHz, $CDCl_3$) δ 12.10 (d, *J* = 0.6 Hz, 1H), 8.35 (d, *J* = 7.8 Hz, 1H), 7.96 (d, *J* = 5.2 Hz, 1H), 7.08 (dd, *J* = 2.1, 0.8 Hz, 1H), 6.94 - 6.77 (m, 3H), 5.16 (tdd, *J* = 6.5, 5.7, 2.8 Hz, 1H), 4.61 - 4.49 (m, 1H), 4.36 (dd, *J* = 8.4, 2.9 Hz, 1H), 3.94 (s, 3H), 2.21 (s, 3H), 2.20 2.09 (m, 1H), 2.00 - 1.82 (m, 1H), 1.82 1.48 (m, 7H), 1.45 (d, *J* = 6.6 Hz, 3H), 1.21 (d, *J* = Hz, 3H)
844	- - -	3368, 2953, 2870, 1734, 1649, 1576, 1527, 1481	HRMS – ESI (*m/z*) ($[M+H]^+$) calculada para $C_{22}H_{35}N_2O6$ 423.2490; encontrada, 423.2494	^{1}H RMN (300 MHz, $CDCl_3$) δ 12.15 (s, 1H), 8.50 (d, *J* = 7.9 Hz, 1H), 7.98 (dd, *J* = 5.2, 0.8 Hz, 1H), 6.87 (d, *J* = 5.2 Hz, 1H), 5.10 (qd, *J* = 6 5, 2.3 Hz, 1H), 4.81 - 4.63 (m, 1H), 3.94 (s, 3H), 3.46 (dd, *J* = 8 6, 6.2 Hz, 1H), 3.18 - 3.09 (m, 2H), 1.96 - 1.72 (m, 3H), 1.73 - 1.39 (m, 6H), 1.56 (d, *J* = 7.2 Hz, 3H), 1.43 - 1.27 (m, 1H), 1.27 (d, *J* = 6.5 Hz, 3H), 0.86 (d, *J* = 6.7Hz, 3H), 0.85 (d, *J* = 6.7 Hz, 3H)
845	- - -	3369, 2942, 2867, 1734,	HRMS – ESI (*m/z*) ($[M+H]^+$)	^{1}H RMN (300 MHz, $CDCl_3$) δ 12.13 (d, *J* = 0.6 Hz, 1H), 8.47 (d, *J* = 7.9 Hz,

*Comp. No.	P.F. (°C)	*1R (cm^{-1})	MASA	RMN (^{1}H, ^{13}C, ^{19}F)
		1648, 1576, 1527, 1481, 1438	calculada para $C_{22}H_{33}N_2O_6$, 421.2333; encontrada, 421.2331	1H), 7.99 (d, *J* = 5.2 Hz, 1H), 6.88 (dd, *J* = 5.3, 0.6 Hz, 1H), 5.09 (qd, *J* = 6.57 2.3 Hz, 1H), 4.78 - 4.66 (m, 1H), 3.95 (s, 3H), 3.51 (dd, *J* = 9.8, 6.9 Hz, 1H), 3.23 (dd, *J* = 9 9, 6.8 Hz, 1H), 3.17 (dd, *J* = 8.5, 2.3 Hz, 1H), 2.01 - 1.72 (m, 2H), 1.75 - 1.45 (m, 6H), 1.56 (d, *J* = 7.2 Hz, 3H), 1.46 - 1.29 (m, 1H), 1.28 (d, *J* = 6.6 Hz, 3H), 1.11 - 0.96 (m, 1H), 0.55 - 0.41 , 0.15 - 0.06 (m, 2H)
846	- - -	3367, 2942, 2868, 1735, 1648, 1576, 1527, 1508, 1481	HRMS – ESI (*m/z*) ($[M+H]^+$) calculada para $C_{25}H_{33}N_2O_6$, 457.2333; encontrada, 457.2335	^{1}H RMN (400 MHz, $CDCl_3$) δ 12.11 (d, *J* = 0.6 Hz, 1H), 8.38 (d, *J* = 8.1 Hz, 1H), 7.96 (d, *J* = 5.2 Hz, 1H), 7.01 - 6.96 (m, 2H), 6.86 (d, *J* = 5.4 Hz, 1H), 6.81 (d, *J* = 8.5 Hz, 2H), 5.15 (qd, *J* = 6 5, 3.0 Hz, 1H), 4.64 - 4.49 (m, 1H), 4.28 (dd, *J* = 8.2, 3.0 Hz, 1H), 3.94 (s, 3H), 2.24 (s, 3H), 2.18 - 2.04 (m, 1H), 1.91 - 1.78 (m, 1H), 1.78 - 1.64 (m, 2H), 1.62 - 1.40 (m, 5H), 1.37 (d, *J* = 6.5 Hz, 3H), 1.24 (d, *J* = 7.3 Hz, 3H)
847	- - -	3367, 2490, 2869, 1736, 1649, 1528,	HRMS – ESI (*m/z*) ($[M+H]^+$) calculada para	^{1}H RMN (400 MHz, $CDCl_3$) δ 12.10 (s, 1H), 8.39 (d, *J* = 8.1 Hz, 1H), 7.96 (d, *J* = 5.2 Hz, 1H), 7.09 (t, *J* = 8.2 Hz,

*Comp. No.	P.F. (°C)	*1R (cm^{-1})	MASA	RMN (^{1}H, ^{13}C, ^{19}F)
		1450	$C_{25}H_{33}N_2O_7$, 473.2282; encontrada, 473.2279	1H), 6.86 (d, *J* = 5.1 Hz, 1H), 6.55 - 6.41 (m, 3H), 5.15 (qd, *J* = 6 5, 3.1 Hz, 1H), 4.57 (p, *J* = 7.3 Hz, 1H), 4.35 (dd, *J* = 8.2, 3.2 Hz, 1H), 3.94 (s, 3H), 3.76 (s, 3H), 2.23 - 2.03 (m, 1H), 1.93 - 1.76 (m, 1H), 1.79 1.54 (m, 2H), 1.61 - 1.44 (m, 3H), 1.49 - 1.32 (m, 2H), 1.37 (d, *J* = 6.6 Hz, 3H), 1.27 (d, *J* = 7.2 Hz, 3H)
848	- - -	- - -	HRMS – ESI (*m/z*) ($[M+H]^+$) calculada para $C_{25}H_{26}FN_2O_6$, 469.1769; encontrada, 469.1777	^{1}H RMN (400 MHz, $CDCl_3$) δ 12.06 (s, 1H), 8.39 (d, *J* = 7.7 Hz, 1H), 7.97 (d, *J* = 5.2 Hz, 1H), 7.40 - 7.34 (m, 2H), 7.20 7.13 (m, 2H), 7.03 - 6.96 (m, 2H), 6.88 (dd, *J* = 15.2, 6.3 Hz, 2H), 6.82 - 6.78 (m, 2H), 5.31 - 5.24 (m, 1H), 5.18 (d, *J* = 5.2 Hz, 1H), 4.64 (p, *J* = 7.2 Hz, 1H), 3.93 (s, 3H), 1.39 (d, *J* = 6.4 Hz, 3H), 1.33 (d, *J* = 7.2 Hz, 3H) ^{13}C RMN (101 MHz, $CDCl_3$) δ 171.49, 168.69, 163.72, 161.27, 157.58, 155.39, 148.76, 140.48, 133.27, 133.24, 130.37, 129.41, 128.75, 128.67, 121.41, 115.95, 115.64, 115.43, 109.49, 80.61, 74.32, 56.07, 47.95, 18.01, 15.20

*Comp. No.	P.F. (°C)	*1R (cm^{-1})	MASA	RMN (^{1}H, ^{13}C, ^{19}F)
				^{19}F RMN (376 MHz, $CDCl_3$) δ - 113.62 (s)
849	- - -	3380, 2938, 1770, 1509	HRMS – ESI (*m/z*) ($[M+H]^+$) calculada para $C_{26}H_{28}N_3O_7$, 494.1936; encontrada, 494.1931	^{1}H RMN (400 MHz, $CDCl_3$) δ 8.66 (d, *J* = 2.2 Hz, 1H), 8.54 4.8, 1.7 Hz, 1H), 8.44 (d, *J* = 7.9 Hz, 1H), 8.30 (d, *J* = 5.5 Hz, 1H), 7.74 (dt, *J* = 7.9, 2.0 Hz, 1H), 7.24 (dd, *J* = 4.9, 0.8 Hz, 1H), 7.22 - 7.13 (m, 2H), 6.99 (d, *J* = 5.5 Hz, 1H), 6.91 (tt, *J* = 7.2, 1.1 Hz, 1H), 6.82 (dt, *J* = 7.8, 1.1 Hz, 2H), 5.35 - 5.26 (m, 1H), 5.23 (d, *J* = 5.4 Hz, 1H), 4.72 - 4.61 (m, 1H), 3.91 (s, 3H), 2.39 (s, 3H), 1.40 (d, *J* = 6.4 Hz, 3H), 1.27 (d, *J* = 7.2 Hz, 3H) ^{13}C RMN (101 MHz, $CDCl_3$) δ 171.99, 168.91, 162.41, 159.46, 157.31, 151.89, 149.74, 148.94, 146.65, 141.40, 134.73, 133.23, 129.53, 123.58, 121.71, 116.04, 109.79, 79.29, 73.70, 56.29, 47.86, 20.75, 18.29, 15.48
850	- - -	- - -	HRMS – ESI (*m/z*) ($[M+H]^+$) calculada para $C_{22}H_{35}N_2O_8$,	^{1}H RMN (500 MHz, $CDCl_3$) δ 8.38 (d, *J* = 7.6 Hz, 1H), 8.28 (d, *J* = 5.4 Hz, 1H), 6.94 (d, *J* = 5.4 Hz, 1H), 5.80 - 5.72 (m, 2H), 5.15 - 5.02 (m, 1H),

*Comp. No.	P.F. (°C)	*1R (cm^{-1})	MASA	RMN (^{1}H, ^{13}C, ^{19}F)
			455.2388, encontrada, 455.2386	4.74 (p, *J* = 7.3 Hz, 1H), 3.91 (s, 3H), 3.59 (dt, *J* = 8.7, 6.7 Hz, 1H), 3.50 - 3.40 (m, 1H), 2.95 (t, *J* = 5.7 Hz, 1H), 2.08 (s, 3H), 1.83 (h, *J* = 6.7 Hz, 1H), 1.66 - 1.54 (m, 2H), 1.52 (d, *J* = 7.1 Hz, 3H), 1.26 (d, *J* = 6.5 Hz, 3H), 0.97 - 0.88 (m, 9H) ^{13}C RMN (126 MHz, $CDCl_3$) δ 172.47, 170.30, 162.91, 160.28, 145.69, 144.02, 142.55, 109.52, 89.61, 85.93, 74.64, 73.31, 56.18, 48.32, 29.60, 23.48, 20.89, 19.77, 18.53, 17.82, 16.34, 10.64
851	- - -	- - -	HRMS – ESI (*m/z*) ($[M+H]^+$) calculada para $C_{26}H_{33}N_2O_9$, 517.2181, encontrada, 517.2188	^{1}H RMN (500 MHz, $CDCl_3$) δ 8.30 (d, *J* = 7.7 Hz, 1H), 8.27 (d, *J* = 5.4 Hz, 1H), 8.10 - 7.98 (m, 2H), 7.57 (t, *J* = 7.4 Hz, 1H), 7.45 (t, *J* = 7.7 Hz, 2H), 6.94 (d, *J* = 5.4 Hz, 1H), 5.74 (d, *J* = 6.4 Hz, 1H), 5.71 (d, *J* = 6.4 Hz, 1H), 5.33 (p, *J* = 6.4 Hz, 1H), 5.10 (t, *J* = 5.8 Hz, 1H), 4.72 (p, *J* = 7.3 Hz, 1H), 3.91 (s, 3H), 2.12 - 2.00 (m, 4H), 1.35 (d, *J* = 7.2 Hz, 3H), 1.30 (d, *J* = 6.4 Hz, 3H), 0.98 (d, *J* = 6.8 Hz, 6H) ^{13}C RMN (126 MHz, $CDCl_3$) δ 172.33, 170.28, 166.18, 162.95, 160.27,

*Comp. No.	P.F. (°C)	*1R (cm^{-1})	MASA	RMN (^{1}H, ^{13}C, ^{19}F)
				145.69, 144.01, 142.47, 133.09, 129.91, 129.74, 128.45, 109.54, 89.56, 79.41, 70.99, 56.18, 48.19, 29.09, 20.87, 19.29, 18.36, 17.34, 16.84
852	- - -	- - -	HRMS – ESI (*m/z*) ($[M+H]^+$) calculada para $C_{25}H_{32}ClN_2O_8$, 523.1842; encontrada, 523.1843	^{1}H RMN (500 MHz, $CDCl_3$) δ 8.27 (q, *J* = 4.6, 3.6 Hz, 2H), 7.15 (t, *J* = 8.2 Hz, 1H), 7.01 - 6.92 (m, 2H), 6.92 - 6.81 (m, 2H), 5.78 - 5.69 (m, 2H), 5.28 - 5.18 (m, 1H), 4.62 (p, *J* = 7.2 Hz, 1H), 4.19 - 4.08 (m, 1H), 3.91 (s, 3H), 2.07 (s, 3H), 2.06 1.97 (m, 1H), 1.30 (d, *J* = 6.5 Hz, 3H), 1.23 (d, *J* = 7.2 Hz, 3H), 1.00 (d, *J* = 6.8 Hz, 3H), 0.97 (d, *J* = 6.8 Hz, 3H) ^{13}C RMN (126 MHz, $CDCl_3$) δ 172.33, 170.29, 162.95, 160.73, 160.27, 145.71, 143.99, 142.45, 134.78, 130.21, 120.93, 116.14, 113.79, 109.54, 89.57, 83.98, 72.53, 56.18, 48.24, 29.71, 20.88, 19.80, 17.94, 16.89, 16.68
853	- - -	- - -	HRMS – ESI (*m/z*) ($[M+H]^+$) calculada para	^{1}H RMN (500 MHz, $CDCl_3$) δ 8.33 - 8.18 (m, 2H), 7.35 (t, *J* = 8.0 Hz, 1H), 7.23 - 7.11 (m, 3H), 6.94 (d, *J* = 5.3

*Comp. No.	P.F. (°C)	*1R (cm^{-1})	MASA	RMN (^{1}H, ^{13}C, ^{19}F)
			$C_{26}H_{32}F_3N_2O_8$, 557.2105; encontrada, 557.2108	Hz, 1H), 5.80 - 5.65 (m, 2H), 5.25 (p, *J* = 6.5 Hz, 1H), 4.60 (p, *J* = 7.3 Hz, 1H), 4.27 - 4.17 (m, 1H), 3.91 (s, 3H), 2.13 - 2.00 (m, 4H), 1.31 (d, *J* = 6.5 Hz, 3H), 1.17 (d, *J* = 7.2 Hz, 3H), 1.02 (d, *J* = 6.8 Hz, 3H), 0.98 (d, *J* = 6.8 Hz, 3H) ^{13}C RMN (126 MHz, $CDCl_3$) δ 172.33, 170.29, 162.96, 160.26, 160.09, 145.71, 144.00, 142.41, 131.85 (q, *J* = 32.3 Hz), 130.01, 123.90 (q, *J* = 272.5 Hz), 118.59, 117.39 (q, *J* = 3.7 Hz), 112.63 (q, *J* = 3.7 Hz), 109.55, 89.56, 83.98, 72.59, 56.18, 48.21, 29.71, 20.87, 19.83, 17.81, 16.80, 16.67
854	- - -	- - -	HRMS – ESI (*m/z*) ($[M+H]^+$) calculada para $C_{29}H_{35}N_2O_8$, 539.2388, encontrada, 539.2386	^{1}H RMN (500 MHz, $CDCl_3$) δ 8.28 (dd, *J* = 6.0, 3.6 Hz, 1H), 8.26 (d, *J* = 5.4 Hz, 1H), 8.21 (d, *J* = 7.8 Hz, 1H), 7.77 (dt, *J* = 6.7, 3.7 Hz, 1H), 7.50 - 7.43 (m, 2H), 7.38 (d, *J* = 8.1 Hz, 1H), 7.36 - 7.29 (m, 1H), 6.97 (d, *J* = 7.6 Hz, 1H), 6.93 (d, *J* = 5.4 Hz, 1H), 5.72 (d, *J* = 1.7 Hz, 2H), 5.40 (p, *J* = 6.4 Hz, 1H), 4.58 (p, *J* = 7.3 Hz, 1H), 4.43 (t, *J* = 5.6 Hz, 1H), 3.90 (s, 3H), 2.23 - 2.12 (m, 1H), 2.05 (s, 3H), 1.34 (d, *J* =

*Comp. No.	P.F. (°C)	*1R (cm^{-1})	MASA	RMN (^{1}H, ^{13}C, ^{19}F)
				6.5 Hz, 3H), 1.12 (d, *J* = 6.8 Hz, 3H), 1.03 (d, *J* = 6.8 Hz, 3H), 1.00 (d, *J* = 7.2 Hz, 3H) ^{13}C RMN (126 MHz, $CDCl_3$) δ 172.38, 170.27, 162.90, 160.25, 155.46, 145.69, 143.95, 142.49, 134.73, 127.41, 126.32, 125.99, 125.73, 125.16, 122.27, 120.11, 109.51, 105.91, 89.56, 83.76, 72.59, 56.17, 48.19, 29.87, 20.87, 19.83, 17.70, 17.19, 16.79
855	- - -	- - -	HRMS – ESI (*m/z*) ($[M+H]^+$) calculada para $C_{21}H_{33}N_2O_7$, 425.2282; encontrada, 425.2292	^{1}H RMN (500 MHz, $CDCl_3$) δ 8.56 (s, 1H), 8.33 (d, *J* = 5.4 Hz, 1H), 7.00 (d, *J* = 5.5 Hz, 1H), 5.08 (dp, 12.6, 6.3 Hz, 1H), 4.72 (h, *J* = 7.5 Hz, 1H), 3.91 (s, 3H), 3.58 (dt, *J* = 8.7, 6.6 Hz, 1H), 3.51 - 3.31 (m, 1H), 2.95 (t, *J* = 5.8 Hz, 1H), 2.40 (s, 3H), 1.82 (h, *J* = 6.7 Hz, 1H), 1.58 - 1.52 (m, 2H), 1.50 (d, *J* = 7.1 Hz, 3H), 1.25 (d, *J* = 6.5 Hz, 3H), 1.02 - 0.85 (m, 9H) ^{13}C RMN (126 MHz, $CDCl_3$) δ 172.33, 168.93, 162.32, 159.44, 146.65, 141.58, 137.49, 109.72, 85.86, 74.55, 73.34, 56.28, 48.11, 29.55, 23.47, 20.77, 19.77, 18.67, 17.79, 16.28,

*Comp. No.	P.F. (°C)	*1R (cm^{-1})	MASA	RMN (^{1}H, ^{13}C, ^{19}F)
				10.63
856	- - -	- - -	HRMS – ESI (*m/z*) ($[M+H]^+$) calculada para $C_{25}H_{31}N_2O_8$, 487.2075, encontrada, 487.2079	^{1}H RMN (500 MHz, $CDCl_3$) δ 8.49 (s, 1H), 8.32 (d, *J* = 5.5 Hz, 1H), 8.05 (d, *J* = 7.4 Hz, 2H), 7.57 (t, *J* = 7.4 Hz, 1H), 7.45 (t, *J* = 7.7 Hz, 2H), 6.99 (d, *J* = 5.5 Hz, 1H), 5.33 (p, *J* = 6.4 Hz, 1H), 5.09 (t, *J* = 5.8 Hz, 1H), 4.70 (p, *J* = 7.2 Hz, 1H), 3.90 (s, 3H), 2.38 (s, 3H), 2.05 (dq, *J* = 13.4, 6.8 Hz, 1H), 1.33 (d, *J* = 7.2 Hz, 3H), 1.28 (d, *J* = 6.4 Hz, 3H), 0.98 (d, *J* = 6.7 Hz, 6H) ^{13}C RMN (126 MHz, $CDCl_3$) δ 172.22, 168.92, 166.17, 162.36, 159.44, 146.64, 141.50, 137.49, 133.09, 129.91, 129.74, 128.45, 109.74, 79.42, 70.97, 56.28, 47.98, 29.10, 20.75, 19.27, 18.52, 17.39, 16.84
857	- - -	- - -	HRMS – ESI (*m/z*) ($[M+H]^+$) calculada para $C_{24}H_{30}ClN_2O_7$, 493.1736; encontrada, 493.1748	^{1}H RMN (500 MHz, $CDCl_3$) δ 8.46 (s, 1H), 8.33 (d, *J* = 5.5 Hz, 1H), 7.14 (t, *J* = 8.2 Hz, 1H), 7.00 (d, *J* = 5.5 Hz, 1H), 6.98 - 6.93 (m, 1H), 6.93 - 6.78 (m, 2H), 5.22 (p, *J* = 6.6 Hz, 1H), 4.60 (p, *J* = 7.3 Hz, 1H), 4.18 - 4.08 (m, 1H), 3.91 (s, 3H), 2.39 (s, 3H), 2.02 (dq, *J* = 13.4, 6.7 Hz, 1H), 1.29 (d, *J* =

*Comp. No.	P.F. (°C)	*1R (cm^{-1})	MASA	RMN (^{1}H, ^{13}C, ^{19}F)
				6.5 Hz, 3H), 1.21 (d, *J* = 7.2 Hz, 3H), 1.00 (d, *J* = 6.8 Hz, 3H), 0.97 (d, *J* = 6.8 Hz, 3H) ^{13}C RMN (126 MHz, $CDCl_3$) δ 172.22, 168.91, 162.35, 160.71, 159.44, 146.66, 141.49, 137.48, 134.78, 130.21, 120.94, 116.13, 113.79, 109.74, 83.93, 72.54, 56.28, 48.02, 29.70, 20.76, 19.79, 18.13, 16.91, 16.62
858	- - -	- - -	HRMS – ESI (*m/z*) ($[M+H]^+$) calculada para $C_{25}H_{30}F_3N_2O_7$, 527.2000, encontrada, 527.2010	^{1}H RMN (500 MHz, $CDCl_3$) δ 8.44 (s, 1H), 8.32 (d, *J* = 5.4 Hz, 1H), 7.34 (t, *J* = 8.0 Hz, 1H), 7.22 - 7.10 (m, 3H), 6.99 (d, *J* = 5.5 Hz, 1H), 5.24 (p, Hz, 1H), 4.58 (p, *J* = 7.3 Hz, 1H), 4.24 - 4.13 (m, 1H), 3.90 (s, 3H), 2.38 (s, 3H), 2.10 1.98 (m, 1H), 1.30 (d, *J* = 6.5 Hz, 3H), 1.16 (d, *J* = 7.2 Hz, 3H), 1.01 (d, *J* = 6.7 Hz, 3H), 0.98 (d, *J* = 6.8 Hz, 3H) ^{13}C RMN (126 MHz, $CDCl_3$) δ 172.21, 168.90, 162.35, 160.06, 159.44, 146.65, 141.46, 137.48, 131.86 (q, *J* = 33.0, 32.0 Hz), 130.01, 123.9 (q, *J* = 272 Hz), 118.57, 117.39 (q, *J* = 3.9 Hz), 112.63 (q, *J* = 3.7 Hz), 109.74,

*Comp. No.	P.F. (°C)	*1R (cm^{-1})	MASA	RMN (^{1}H, ^{13}C, ^{19}F)
				83.94, 72.57, 56.28, 47.98, 29.70, 20.75, 19.81, 18.01, 16 83, 16.61
859	- - -	- - -	HRMS – ESI (*m/z*) ([M+H]$^{+}$) calculada para $C_{28}H_{33}N_2O_7$, 509.2282; encontrada, 509.2293	^{1}H RMN (500 MHz, $CDCl_3$) δ 8.42 (s, 1H), 8.38 - 8.22 (m, 2H), 7.77 (dd, *J* = 6.0, 3.0 Hz, 1H), 7.50 - 7.44 (m, 2H), 7.38 (d, *J* = 8.2 Hz, 1H), 7.33 (t, *J* = 7.9 Hz, 1H), 6.97 (dd, *J* = 14 9, 6.5 Hz, 2H), 5.39 (p, *J* = 6.4 Hz, 1H), 4.57 (p, *J* = 7.3 Hz, 1H), 4.42 (t, *J* = 5.6 Hz, 1H), 3.90 (s, 3H), 2.38 (s, 3H), 2.22 - 2.11 (m, 1H), 1.33 (d, *J* = 6.5 Hz, 3H), 1.11 (d, *J* = 6.7 Hz, 3H), 1.08 - 0.96 (m, 6H) ^{13}C RMN (126 MHz, $CDCl_3$) δ 172.26, 168.90, 162.30, 159.42, 155.44, 146.64, 141.50, 137.46, 134.73, 127.42, 126.32, 125.99, 125.73, 125.16, 122.26, 120.12, 109.70, 105.88, 83.73, 72.55, 56.27, 47.98, 29.86, 20.75, 19.79, 17.28, 16.75
860	- - -	3376, 2928, 1770, 1676	HRMS – ESI (*m/z*) ([M+H]$^{+}$) calculada para $C_{24}H_{26}N_3O7S$, 500.1483;	^{1}H RMN (500 MHz, $CDCl_3$) δ 8.52 (s, 1H), 8.36 - 8.29 (m, 1H), 7.84 - 7.74 (m, 1H), 7.38 - 7.31 (m, 1H), 7.26 - 7.18 (m, 2H), 7.05 - 6.91 (m, 4H), 5.67 - 5.56 (m, 1H), 5.58 - 5.47 (m,

*Comp. No.	P.F. (°C)	*1R (cm^{-1})	MASA	RMN (^{1}H, ^{13}C, ^{19}F)
			encontrada, 500.1478	1H), 4.78 - 4.67 (m, 1H), 3.91 (s, 3H), 1.44 - 1.34 (m, 6H)
861	- - -	3378, 2986, 1747, 1674	HRMS – ESI (*m/z*) ($[M+H]^+$) calculada para $C_{25}H_{28}N308S$, 530.1591; encontrada, 530.1585	^{1}H RMN (500 MHz, $CDCl_3$) δ 8.40 8.24 (m, 2H), 7.80 - 7.77 (m, 1H), 7.39 - 7.31 (m, 1H), 7.25 - 7.18 (m, 2H), 7.00 - 6.87 (m, 4H), 5.73 (d, *J* = 1.9 Hz, 2H), 5.66 - 5.46 (m, 2H), 4.79 - 4.65 (m, 1H), 3.91 (s, 3H), 2.07 (d, *J* = 1.8 Hz, 3H), 1.45 - 1.31 (m, 6H)
862	- - -	3389, 2962, 2924, 1749, 1677, 1584, 1510, 1489	HRMS – ESI (*m/z*) ($[M+H]^+$) calculada para $C_{24}H_{31}N_2O_8$, 475.2075; encontrada, 475.2081	^{1}H RMN (400 MHz, $CDCl_3$) δ 8.27 (d, *J* = 5.4 Hz, 1H), 8.18 (t, *J* = 5.6 Hz, 1H), 7.26 - 7.21 (m, 2H), 7.00 - 6.90 (m, 4H), 5.74 (s, 2H), 5.26 (qd, *J* = 6.4, 3.9 Hz, 1H), 4.22 (dd, *J* = 7.2, 3.9 Hz, 1H), 4.05 (dd, *J* = 18.4, 5.6 Hz, 1H), 3.91 (s, 3H), 3.85 (dd, *J* = 18.4, 5.5 Hz, 1H), 2.07 (s, 3H), 1.99 - 1 89 (m, 1H), 1.35 (d, *J* = 6.5 Hz, 3H), 1.03 (d, *J* = 6.7 Hz, 3H), 1.00 (d, *J* = 6.9 Hz, 3H)
863	- - -	3378, 2966, 2936, 1737, 1677, 1583, 1492	HRMS – ESI (*m/z*) ($[M+H]^+$) calculada para $C_{26}H_{35}N_2O_8$, 503.2388;	¹H RMN (400 MHz, $CDCl_3$) δ 8.26 (d, *J* = 5.4 Hz, 1H), 8.24 - 8.22 (m, 1H), 7.21 (dd, *J* = 8.7, 7.3 Hz, 2H), 6.96 - 6.92 (m, 3H), 6.89 (tt, *J* = 7.3, 1.1 Hz, 1H), 5.77 - 5.66 (m, 2H), 5.22 (qd, *J* =

*Comp. No.	P.F. (°C)	*1R (cm^{-1})	MASA	RMN (^{1}H, ^{13}C, ^{19}F)
			encontrada, 503.2398	6.4, 4.2 Hz, 1H), 4.57 (ddd, *J* = 8.3, 7.2, 5.1 Hz, 1H), 4.18 (dd, *J* = 6.7, 4.2 Hz, 1H), 3.91 (s, 3H), 2.06 (s, 3H), 2.06 - 1.90 (m, 1H), 1.76 - 1.65 (m, 1H), 1.59 - 1.45 (m, 1H), 1.35 (d, *J* = 6.5 Hz, 3H), 1.04 (d, *J* = 6.7 Hz, 3H), 1.00 (d, *J* = 6.9 Hz, 3H), 0.84 (t, *J* = 7.5 Hz, 3H)
864	- - -	3380, 2964, 2932, 1756, 1735, 1681, 1596,	HRMS – ESI (*m/z*) ($[M+H]^{+}$) calculada para $C_{27}H_{37}N_2O_8$, 517.2544; encontrada, 517.2554	^{1}H RMN (400 MHz, $CDCl_3$) δ 8.31 - 8.27 (m, 1H), 8.26 (d, *J* = 5.4 Hz, 1H), 7.20 (dd, *J* = 8.7, 7.3 Hz, 2H), 6.95 - 6.91 (m, 3H), 6.88 (tt, *J* = 7.2, 1.1 Hz, 1H), 5.75 (d, *J* = 6.5 Hz, 1H), 5.72 (d, *J* = 6.4 Hz, 1H), 5.22 (qd, *J* = 6.4, 4.3 Hz, 1H), 4.59 (dd, *J* = 9.3, 4.6 Hz, 1H), 4.15 (dd, *J* = 6.6, 4.4 Hz, 1H), 3.91 (s, 3H), 2.06 (s, 3H), 2.04 - 1.90 (m, 2H), 1.34 (d, *J* = 6.4 Hz, 3H), 1.03 (d, *J* = 6.7 Hz, 3H), 1.00 (d, *J* = 6.9 Hz, 3H), 0.91 (d, *J* = 6.8 Hz, 3H), 0.84 (d, *J* = 6.9 Hz, 3H)
865	- - -	3376, 2963, 1738, 1677, 1583, 1492	HRMS – ESI (*m/z*) ($[M+H]^{+}$) calculada para $C_{31}H_{37}N_2O_8$,	^{1}H RMN (400 MHz, $CDCl_3$) δ 8.22 (d, *J* = 5.3 Hz, 1H), 8.21 - 8.19 (m, 1H), 7.28 - 7.14 (m, 5H), 7.15 - 7.11 (m, 2H), 6.95 - 6.83 (m, 4H), 5.67 (d, *J* =

*Comp. No.	P.F. (°C)	*1R (cm^{-1})	MASA	RMN (^{1}H, ^{13}C, ^{19}F)
			565.2544; encontrada, 565.2555	6.4 Hz, 1H), 5.63 (d, *J* = 6.4 Hz, 1H), 5.15 (qd, *J* = 6.4, 3.9 Hz, 1H), 4.84 (ddd, *J* = 8.4, 7.2, 6.1 Hz, 1H), 4.07 (dd, *J* = 6.8, 3.9 Hz, 1H), 3.89 (s, 3H), 2.96 (dd, *J* = 14.0, 6.1 Hz, 1H), 2.88 (dd, *J* = 13.9, 7.2 Hz, 1H), 2.03 (s, 3H), 1.96 - 1.79 (m, 1H), 1.30 (d, *J* = 6.4 Hz, 3H), 1.01 (d, *J* = 6.7 Hz, 3H), 0.96 (d, *J* = 6.8 Hz, 3H)
866	- - -	3372, 2958, 2922, 2872, 2851, 1740, 1680, 1583, 1493	HRMS – ESI (*m/z*) ($[M+H]^+$) calculada para $C_{28}H_{39}N_2O_8$, 531.2701; encontrada, 531.2711	^{1}H RMN (400 MHz, $CDCl_3$) δ 8.25 (d, *J* = 5.4 Hz, 1H), 8.10 (d, *J* = 8.8 Hz, 1H), 7.20 (dd, *J* = 8.7, 7.2 Hz, 2H), 6.96 - 6.91 (m, 3H), 6.88 (t, *J* = 7.3, 1.1 Hz, 1H), 5.81 - 5.63 (m, 2H), 5.19 (qd, *J* = 6.5, 3.8 Hz, 1H), 4.61 (ddd, *J* = 9.9, 8.7, 4.8 Hz, 1H), 4.19 (dd, *J* = 7.2, 3.8 Hz, 1H), 3.91 (d, *J* = 3.0 Hz, 3H), 2.06 (s, 3H), 2.02 1.87 (m, 1H), 1.68 - 1.53 (m, 1H), 1.44 - 1.36 (m, 1H), 1.35 (d, *J* = 6.5 Hz, 3H), 1.34 - 1.29 (m, 1H), 1.03 (d, *J* = 6.7 Hz, 3H), 1.00 (d, *J* = 6.9 Hz, 3H), 0.84 (d, *J* = 6.5 Hz, 3H), 0.83 d, *J* = 6.6 Hz, 3H)
867	- - -	- - -	HRMS – ESI (*m/z*) ($[M+H]^+$)	^{1}H RMN (400 MHz, $CDCl_3$) δ 8.53 (d, *J* = 5.5 Hz, 1H), 8.29 (d, *J* = 5.4 Hz,

*Comp. No.	P.F. (°C)	*1R (cm^{-1})	MASA	RMN (^{1}H, ^{13}C, ^{19}F)
			calculada para $C_{27}H_{27}Cl_2N_2O_7$, 561.1195, encontrada, 561.1179	1H), 7.43 - 7.23 (m, 6H), 7.05 - 6.87 (m, 2H), 6.65 (d, *J* = 8.9 Hz, 1H), 5.50 - 5.36 (m, 1H), 5.17 (d, *J* = 6.6 Hz, 1H), 4.79 - 4.65 (m, 1H), 3.89 (s, 3H), 2.39 (s, 3H), 1.41 (d, *J* = 7.2 Hz, 3H), 1.21 (d, *J* = 6.5 Hz, 3H) ^{13}C RMN (101 MHz, $CDCl_3$) δ 171.96, 168.90, 162.39, 159.45, 151.89, 146.64, 141.45, 137.51, 135.96, 130.00, 128.82, 128.75, 127.28, 127.21, 125.92, 124.14, 115.46, 109.80, 82.63, 73.24, 56.29, 48.04, 20.76, 18.53, 16.07
868	- - -	- - -	HRMS – ESI (*m/z*) ($[M+H]^+$) calculada para $C_{29}H_{31}Cl_2N_2O_7$, 589.1508, encontrada, 589.1495	^{1}H RMN (400 MHz, $CDCl_3$) δ 8.47 (d, *J* = 7.9 Hz, 1H), 8.29 (d, *J* = 5.4 Hz, 1H), 7.45 - 7.27 (m, 6H), 7.05 - 6.91 (m, 2H), 6.65 (d, *J* = 8.9 Hz, 1H), 5.54 - 5.35 (m, 1H), 5.17 (d, *J* = 6.5 Hz, 1H), 4.81 - 4.62 (m, 1H), 3.88 (s, 3H), 3.03 - 2.87 (m, 1H), 1 40 (d, *J* = 7.2 Hz, 3H), 1.36 (d, *J* = 7.0 Hz, 6H), 1.21 (d, *J* = 6.6 Hz, 3H) ^{13}C RMN (101 (MHZ, $CDCl_3$) δ 174.71, 172.05, 162.37, 159.43, 151.90, 146.54, 141.84, 137.68, 135.96, 130.01, 128.79, 128.73,

*Comp. No.	P.F. (°C)	*1R (cm^{-1})	MASA	RMN (^{1}H, ^{13}C, ^{19}F)
				127.28, 127.22, 125.92, 124.16, 115.46, 109.63, 82.58, 73.18, 56.30, 48.03, 33.96, 18.83, 18.57, 16.04
869	- - -	- - -	HRMS – ESI (*m/z*) ($[M+H]^+$) calculada para $C_{28}H_{29}Cl_2N_2O_8$, 591.1301, encontrada, 591.1289	^{1}H RMN (400 MHz, $CDCl_3$) δ 8.36 (d, *J* = 7.9 Hz, 1H), 8.24 (d, *J* = 5.4 Hz, 1H), 7.40 - 7.27 (m, 6H), 7.02 - 6.90 (m, 2H), 6.66 (d, *J* = 8.9 Hz, 1H), 5.75 (s, 2H), 5.51 - 5.39 (m, 1H), 5.18 (d, *J* = 6.8 Hz, 1H), 4.84 - 4.63 (m, 1H), 3.91 (s, 3H), 2.07 (s, 3H), 1.44 (d, *J* = 7.2 Hz, 3H), 1.23 (d, *J* = 6.5 Hz, 3H) ^{13}C RMN (101 MHz, $CDCl_3$) δ 172.08, 170.26, 162.94, 160.28, 151.90, 145.67, 144.00, 142.38, 135.99, 129.99, 128.84, 128.77, 127.28, 127.20, 125.91, 124.11, 115.43, 109.59, 89.53, 82.75, 73.26, 56.19, 48.25, 20.87, 18.41, 16.13
870	- - -	- - -	HRMS – ESI (*m/z*) ($[M+H]^+$) calculada para $C_{27}H_{29}N_2O_7$, 493.1975; encontrada, 493.1969	^{1}H RMN (400 MHz, $CDCl_3$) δ 8.53 (d, *J* = 7.0 Hz, 1H), 8.30 (d, *J* = 5.4 Hz, 1H), 7.43 - 7.35 (m, 2H), 7.34 - 7.23 (m, 3H), 7.21 - 7.08 (m, 2H), 6.98 (d, *J* = 5.5 Hz, 1H), 6.91 - 6.74 (m, 3H), 5.50 - 5.32 (m, 1H), 5.12 (d, *J* = 6.4 Hz, 1H), 4.79 - 4.62 (m, 1H), 3.88 (s,

*Comp. No.	P.F. (°C)	*1R (cm^{-1})	MASA	RMN (^{1}H, ^{13}C, ^{19}F)
				3H), 2.39 (s, 3H), 1.37 (d, *J* = 7.1 Hz, 3H), 1.21 (d, *J* = 6.5 Hz, 3H) ^{13}C RMN (101 MHz, $CDCl_3$) δ 172.24, 168.92, 162.40, 159.45, 157.85, 146.69, 141.54, 137.50, 137.36, 129.35, 128.60, 128.36, 127.18, 121.05, 115.79, 109.78, 81.81, 73.75, 56.29, 48.03, 20.77, 18.71, 16.27
871	- - -	- - -	HRMS – ESI (*m/z*) ($[M+H]^+$) calculada para $C_{29}H_{33}N_2O7$ 521.2288; encontrada, 521.2285	RMN (400 MHz, $CDCl_3$) δ 8.47 (d, *J* = 6.6 Hz, 1H), 8.29 (d, *J* = 5.4 Hz, 1H), 7.41 - 7.35 (m, 2H), 7.35 - 7.21 (m, 3H), 7.19 - 7.11 (m, 2H), 6.96 (d, *J* = 5.5 Hz, 1H), 6.91 - 6.72 (m, 3H), 5.49 - 5.28 (m, 1H), 5.12 (d, *J* = 6.4 Hz, 1H), 4.80 - 4.60 (m, 1H), 3.86 (s, 3H), 3.09 - 2.82 (m, 1H), 1.41 - 1.32 (m, 9H), 1.21 (d, *J* = 6.5 Hz, 3H) ^{13}C RMN (101 MHz, $CDCl_3$) δ 174.72, 172.32, 162.39, 159.42, 157.86, 146.59, 141.93, 137.66, 137.37, 129.34, 128.59, 128.34, 127.18, 121.04, 115.79, 109.63, 81.78, 73.70, 56.29, 48.02, 33.96, 18.83, 18.74, 16.25
872	- - -	- - -	HRMS – ESI	^{1}H RMN (400 MHz, $CDCl_3$) δ 8.35 (d,

*Comp. No.	P.F. (°C)	*1R (cm^{-1})	MASA	RMN (^{1}H, ^{13}C, ^{19}F)
			(*m/z*) ($[M+H]^+$) calculada para $C_{28}H_{31}N_2O_8$, 523.2080, encontrada, 523.2081	*J* = 7.9 Hz, 1H), 8.26 (d, *J* = 5.4 Hz, 1H), 7.45 - 7.36 (m, 2H), 7.36 - 7.22 (m, 3H), 7.21 - 7.09 (m, 2H), 6.94 (d, *J* = 5.4 Hz, 1H), 6.91 - 6.75 (m, 3H), 5.74 (s, 2H), 5.48 - 5.34 (m, 1H), 5.13 (d, *J* = 6.5 Hz, 1H), 4.82 - 4.64 (m, 1H), 3.89 (s, 3H), 2.06 (s, 3H), 1.39 (d, *J* = 7.2 Hz, 3H), 1.23 (d, *J* = 6.5 Hz, 3H) ^{13}C RMN (101 MHz, $CDCl_3$) δ 172.36, 170.28, 162.97, 160.27, 157.86, 145.72, 143.98, 142.50, 137.38, 129.34, 128.61, 128.36, 127.16, 121.04, 115.78, 109.59, 89.54, 81.87, 73.76, 56.19, 48.25, 20.88, 18.55, 16.32
873	- - -	- - -	HRMS – ESI (*m/z*) ($[M+H]^+$) calculada para $C_{32}H_{37}N_2O_8$, 577.2544, encontrada, 577.2557.	^{1}H RMN (400 MHz, $CDCl_3$) δ 8.26 (t, *J* = 7.2 Hz, 2H), 7.60 - 7.56 (m, 3H), 7.52 7.49 (m, 1H), 7.46 - 7.31 (m, 6H), 6.92 (d, *J* = 5.4 Hz, 1H), 5.72 (s, 2H), 5.18 (p, *J* = 6.4 Hz, 1H), 4.61 (p, *J* = 7.2 Hz, 1H), 4.42 (d, *J* = 6.4 Hz, 1H), 3.89 (s, 3H), 3.24 (d, *J* = 6.7 Hz, 2H), 2.05 (s, 3H), 1.38 (d, *J* = 6.3 Hz, 3H), 1.16 (d, *J* = 7.2 Hz, 3H), 1.08 - 1.00 (m, 1H), 0.55 - 0.43 (m, 2H),

*Comp. No.	P.F. (°C)	*1R (cm^{-1})	MASA	RMN (^{1}H, ^{13}C, ^{19}F)
				0.19 - 0.08 (m, 2H) ^{13}C RMN (101 MHz, $CDCl_3$) δ 172.11, 170.26, 162.89, 160.25, 145.68, 143.97, 142.50, 141.19, 140.88, 139.47, 128.79, 128.72, 127.38, 127.11, 126.76, 126.50, 126.32, 109.51, 89.57, 83.15, 74.28, 73.90, 56.16, 48.09, 20.86, 18.09, 16.03, 10.63, 3.22, 2.75
874	- - -	- - -	HRMS – ESI (*m/z*) ($[M+H]^+$) calculada para $C_{34}H_{34}FN_2O_8$, 617.2294; encontrada, 617.2312.	^{1}H RMN (400 MHz, $CDCl_3$) δ 8.28 (d, *J* = 7.8 Hz, 1H), 8.24 (d, *J* = 5.4 Hz, 1H), 7.60 (s, 1H), 7.57 - 7.51 (m, 3H), 7.46 7.40 (m, 3H), 7.39 - 7.34 (m, 2H), 7.11 (dd, *J* = 15.1, 8.2 Hz, 1H), 6.93 (d, *J* = 5.4 Hz, 1H), 6.66 - 6.56 (m, 3H), 5.74 5.69 (m, 2H), 5.32 (dd, *J* = 6 3, 5.0 Hz, 1H), 5.27 (d, *J* = 4.9 Hz, 1H), 4.67 (p, *J* = 7.2 Hz, 1H), 3.90 (s, 3H), 2.06 (s, 3H), 1.42 (d, *J* = 6.4 Hz, 3H), 1.26 (d, *J* = 7.1 Hz, 3H) ^{13}C RMN (101 MHz, $CDCl_3$) δ 172.27, 170.27, 163.00, 160.27, 145.67, 144.03, 142.36, 141.66, 140.58, 137.63, 130.21, 130.11, 129.12, 128.83, 127.55, 127.14, 125.76, 125.51, 111.56, 109.56, 108.25,

*Comp. No.	P.F. (°C)	*1R (cm^{-1})	MASA	RMN (^{1}H, ^{13}C, ^{19}F)
				108.04, 103.94, 103.69, 56.17, 48.16, 20.87, 18.11, 14.86 ^{19}F RMN (376 MHz, $CDCl_3$) δ - 111.52 (s, 1F)
875	- - -	- - -	HRMS – ESI (*m/z*) ($[M+H]^+$) calculada para $C_{31}H_{35}N_2O_7$, 547.2439, encontrada, 547 2447	^{1}H RMN (400 MHz, $CDCl_3$) δ 8.45 (s, 1H), 8.30 (d, *J* = 5.4 Hz, 1H), 7.60 - 7.55 (m, 3H), 7.52 - 7.48 (m, 1H), 7.47 - 7.30 (m, 5H), 6.98 (d, *J* = 5.5 Hz, 1H), 5.17 (p, *J* = 6.4 Hz, 1H), 4.64 - 4.55 (m, 1H), 4.41 (d, *J* = 6.3 Hz, 1H), 3.89 (s, 3H), 3.24 (d, *J* = 6.8 Hz, 2H), 2.38 (s, 3H), 1.37 (d, *J* = 6.3 Hz, 3H), 1.14 (d, *J* = 7.2 Hz, 3H), 1.03 (tdd, *J* = 8.0, 7.4, 1.9 Hz, 1H), 0.55 - 0.43 (m, 2H), 0.19 - 0.07 (m, 2H) ^{13}C RMN (101 MHZ, $CDCl_3$) δ 172.00, 168.89, 162.30, 159.41, 146.63, 141.53, 141.19, 140.88, 139.45, 128.79, 128.72, 127.37, 127.12, 126.75, 126.46, 126.31, 109.69, 83.11, 74.34, 73.91, 56.26, 47.88, 20.75, 18.27, 15.96, 10.63, 3.21, 2.75
876	- - -	- - -	HRMS – ESI (*m/z*) ($[M+H]^+$) calculada para	^{1}H RMN (400 MHz, $CDCl_3$) δ 8.45 (s, 1H), 8.28 (d, *J* = 5.4 Hz, 1H), 7.59 (s, 1H), 7.57 - 7.50 (m, 3H), 7.46 - 7.34

*Comp. No.	P.F. (°C)	*1R (cm^{-1})	MASA	RMN (^{1}H, ^{13}C, ^{19}F)
			$C_{33}H_{32}FN_2O_7$, 587.2188; encontrada, 587.2196	(m, 5H), 7.11 (dd, *J* = 15.2, 8.2 Hz, 1H), 6.98 (d, *J* = 5.5 Hz, 1H), 6.66 - 6.55 (m, 3H), 5.32 (dd, *J* = 8.8, 3.9 Hz, 1H), 5.26 (d, *J* = 4.8 Hz, 1H), 4.65 (p, *J* = 7.3 Hz, 1H), 3.90 (s, 3H), 2.38 (s, 3H), 1.40 (d, *J* = 6.3 Hz, 3H), 1.25 (d, *J* = 7.2 Hz, 3H) ^{13}C RMN (101 MHz, $CDCl_3$) δ 172.16, 168.90, 162.44, 159.43, 146.62, 141.65, 141.40, 140.58, 137.61, 130.19, 130.09, 129.12, 128.82, 127.54, 127.18, 127.15, 125.75, 125.51, 111.60, 111.57, 109.75, 108.23, 104.03, 103.93, 103.69, 81.59, 74.21, 56.27, 47.95, 20.75, 18.25, 14.83
877	- - -	3376, 2969, 2878, 1754, 1677, 1596, 1584, 1492, 1459, 1437, 1311, 1275, 1237, 1202, 1179, 1043, 1004, 971, 807, 754,	HRMS – ESI (*m/z*) ($[M+H]^+$) calculada para $C_{23}H_{30}N_2O_6$, 505.2447, encontrada, 505.2453	^{1}H RMN (500 MHz, $CDCl_3$) δ 8.36 - 8.19 (m, 2H), 7.25 - 7.15 (m, 2H), 7.04 6.80 (m, 4H), 5.82 - 5.68 (m, 2H), 5.11 (dt, *J* = 8.6, 4.1 Hz, 1H), 4.73 - 4.52 (m, 1H), 4.24 (dd, *J* = 6 5, 4.4 Hz, 1H), 3.91 (s, 3H), 2.06 (s, 3H), 2.05 - 1.93 (m, 1H), 1.79 (dddd, *J* = 16 2, 10.5, 8.3, 5.3 Hz, 2H), 1.23 (d, *J* = 7.2 Hz, 3H), 1.09 - 0.97 (m, 6H), 0.93 (t, *J* = 7.4 Hz, 3H)

*Comp. No.	P.F. (°C)	*1R (cm^{-1})	MASA	RMN (^{1}H, ^{13}C, ^{19}F)
		692		^{13}C RMN (126 MHz, $CDCl_3$) δ 172.60, 170.30, 162.93, 160.27, 160.00, 145.69, 144.02, 142.46, 129.45, 120.96, 116.11, 109.53, 89.59, 83.38, 56.18, 48.12, 30.30, 22.26, 20.88, 19.55, 18.34, 17.85, 10.10
878	- - -	- - -	HRMS – ESI (*m/z*) ($[M+H]^+$) calculada para $C_{25}H_{33}N_2O_7$, 473.2288, encontrada, 473.2290	^{1}H RMN (400 MHz, $CDCl_3$) δ 8.55 (d, *J* = 5.9 Hz, 1H), 8.33 (d, *J* = 5.4 Hz, 1H), 7.38 - 7.22 (m, 5H), 7.00 (d, *J* = 5.5 Hz, 1H), 5.25 - 5.11 (m, 1H), 4.82 - 4.63 (m, 1H), 4.24 (d, *J* = 6.7 Hz, 1H), 3.89 (s, 3H), 3.14 - 2.97 (m, 2H), 2.40 (s, 3H), 1 46 (d, *J* = 7.2 Hz, 3H), 1.07 (d, *J* = 6.5 Hz, 3H), 0.90 - 0.81 (m, 6H) ^{13}C RMN (101 (MHZ, $CDCl_3$) δ 172.17, 168.89, 162.34, 159.44, 146.67, 146.65, 141.61, 138.52, 137.48, 128.27, 128.04, 127.66, 109.75, 83.96, 76.05, 74.13, 56.28, 48.06, 28.62, 20.76, 19.41, 19.36, 18.75, 16.27
879	- - -	- - -	HRMS – ESI (*m/z*) ($[M+H]^+$) calculada para	^{1}H RMN (400 MHz, $CDCl_3$) δ 8.46 (d, *J* = 7.9 Hz, 1H), 8.31 (d, *J* = 5.4 Hz, 1H), 7.35 - 7.18 (m, 5H), 6.99 (d, *J* =

*Comp. No.	P.F. (°C)	*1R (cm^{-1})	MASA	RMN (^{1}H, ^{13}C, ^{19}F)
			$C_{25}H_{33}N_2O_7$, 473.2288, encontrada, 473.2288	5.4 Hz, 1H), 5.18 - 5.01 (m, 1H), 4.70 - 4.52 (m, 1H), 4.35 - 4.14 (m, 1H), 3.88 (d, *J* = 1.6 Hz, 3H), 3.19 - 3.10 (m, 1H), 3.09 - 3.00 (m, 1H), 2.38 (d, *J* = 1.4 Hz, 3H), 1.30 (d, *J* = 6.5, 3H), 1.19 (d, *J* = 7.1 Hz, 3H), 0.93 - 0.80 (m, 6H) ^{13}C RMN (101 MHz, $CDCl_3$) δ 171.96, 168.88, 162.31, 159.43, 146.65, 141.53, 138.89, 137.46, 128.18, 127.89, 127.53, 109.75, 83.70, 76.28, 74.48, 56.27, 47.89, 28.64, 20.74, 19.36, 19.34, 18.32, 15.79
880	- - -	- - -	HRMS – ESI (*m/z*) ($[M+H]^+$) calculada para $C_{26}H_{35}N_2O_8$, 503.2393, encontrada, 503.2401	^{1}H RMN (400 MHz, $CDCl_3$) δ 8.37 (d, *J* = 7.8 Hz, 1H), 8.28 (d, *J* = 5.4 Hz, 1H), 7.43 - 7.25 (m, 5H), 6.96 (d, *J* = 5.4 Hz, 1H), 5.75 (s, 2H), 5.19 (p, *J* = 6.5 Hz, 1H), 4.74 (p, *J* = 7.2 Hz, 1H), 4.25 (d, *J* = 6.7 Hz, 1H), 3.91 (s, 3H), 3.17 - 2.97 (m, 2H), 2.07 (s, 3H), 1.48 (d, *J* = 7.1 Hz, 3H), 1.09 (d, *J* = 6.5 Hz, 3H), 0.92 - 0.81 (m, 6H) ^{13}C RMN (101 MHz, $CDCl_3$) δ 172.29, 170.26, 162.92, 160.26, 145.72, 143.94, 142.61, 138.53, 128.27, 128.05, 127.65, 109.55, 89.54, 84.01,

*Comp. No.	P.F. (°C)	*1R (cm^{-1})	MASA	RMN (^{1}H, ^{13}C, ^{19}F)
				76.06, 74.13, 56.18, 48.27, 28.62, 20.86, 19.40, 19.36, 18 60, 16.32
881	- - -	- - -	HRMS – ESI (*m/z*) ([M+H]$^{+}$) calculada para $C_{26}H_{39}N_2O_8$, 507.2701; encontrada, 507.2720.	^{1}H RMN (400 MHz, $CDCl_3$) δ 8.37 (d, *J* = 7.7 Hz, 1H), 8.28 (d, *J* = 5.4 Hz, 1H), 6.95 (d, *J* = 5.4 Hz, 1H), 5.77 - 5.72 (m, 2H), 5.17 - 5.10 (m, 1H), 4.72 (p, *J* = 7.2 Hz, 1H), 3.91 (s, 3H), 3.49 (dd, *J* = 97, 6.9 Hz, 1H), 3.25 (dd, *J* = 9 8, 6.9 Hz, 1H), 3.08 (dd, *J* = 7.4, 3.5 Hz, 1H), 2.08 (s, 3H), 1.96 (d, *J* = 12.2 Hz, 1H), 1.73 (d, *J* = 11.1 Hz, 2H), 1.63 (d, *J* = 12.6 Hz, 3H), 1.51 (d, *J* = 7.2 Hz, 3H), 1.46 - 1.36 (m, 1H), 1.27 (d, *J* = 6.4 Hz, 3H), 1.23 0.97 (m, 6H), 0.52 - 0.44 (m, 2H), 0.14 (q, *J* = 4.6 Hz, 2H) ^{13}C RMN (101 MHz, $CDCl_3$) δ 172.14, 170.28, 162.92, 160.33, 145.68, 144.10, 142.42, 109.56, 89.61, 85.26, 77.84, 73.41, 56.19, 48.30, 40.27, 29.80, 28.89, 26.36, 26.20, 26.01, 20.88, 18.46, 14.36, 11.09, 2.95, 2.83
882	- - -	- - -	HRMS – ESI (*m/z*) ([M+H]$^{+}$) calculada para	^{1}H RMN (400 MHz, $CDCl_3$) δ 8.54 (d, *J* = 5.2 Hz, 1H), 8.33 (d, *J* = 5.4 Hz, 1H), 7.00 (d, *J* = 5.5 Hz, 1H), 5.13

*Comp. No.	P.F. (°C)	*1R (cm^{-1})	MASA	RMN (^{1}H, ^{13}C, ^{19}F)
			$C_{25}H_{37}N_2O_7$, 477.2595; encontrada, 477.2604	(qd, *J* = 6.3, 3.4 Hz, 1H), 4.74 - 4.65 (m, 1H), 3.91 (s, 3H), 3.49 (dd, *J* = 9.8, 6.9 Hz, 1H), 3.24 (dd, *J* = 9.8, 6.9 Hz, 1H), 3.07 (dd, *J* = 7.5, 3.4 Hz, 1H), 2.40 (s, 3H), 1.96 (d, *J* = 12.9 Hz, 1H), 1.77 - 1.69 (m, 2H), 1.63 (d, *J* = 2.5 Hz, 2H), 1.49 (d, *J* = 7.2 Hz, 3H), 1.46 - 1.35 (m, 1H), 1.27 0.99 (m, 9H), 0.47 (ddd, *J* = 8.0, 3.7, 2.4 Hz, 2H), 0.16 - 0.11 (m, 2H) ^{13}C RMN (101 MHz, $CDCl_3$) δ 172.02, 168.90, 162.35, 159.48, 146.65, 141.49, 137.54, 109.75, 85.23, 77.83, 73 48, 56.29, 48.10, 40.26, 29.78, 28.93, 26.36, 26.18, 26.00, 20.75, 18.59, 14.28, 11.09, 2.95, 2.83
883	- - -	- - -	HRMS - ESI (*m/z*) ($[M+H]^+$) calculada para $C_{24}H_{31}N_2O_7$, 459.2131; encontrada, 459.2124	^{1}H RMN (400 MHz, $CDCl_3$) δ 8.55 (d, *J* = 7.7 Hz, 1H), 8.34 (d, *J* = 5.5 Hz, 1H), 7.41 - 7.27 (m, 5H), 7.00 (d, *J* = 5.5 Hz, 1H), 5.24 - 5.11 (m, 1H), 4.78 - 4.65 (m, 1H), 4.25 (d, *J* = 6.8 Hz, 1H), 3.91 (s, 3H), 3.29 (dt, *J* = 9.1, 6.8 Hz, 1H), 3.23 (dt, *J* = 9.1, 6.5 Hz, 1H), 2.40 (s, 3H), 1.59 - 1.49 (m, 2H), 1.46 (d, *J* = 7.2 Hz, 3H), 1.07 (d, *J* = 6.5 Hz, 3H), 0.87 (t, *J* = 7.3 Hz, 3H)

*Comp. No.	P.F. (°C)	*1R (cm^{-1})	MASA	RMN (^1H, ^{13}C, ^{19}F)
884	- - -	3379, 2963, 2937, 1771	HRMS - ESI (*m/z*) ($[M+H]^+$) calculada para $C_{24}H_{31}N_2O_7$, 459.2131; encontrada, 459.2125	^1H RMN (400 MHz, $CDCl_3$) δ 8.46 (s, 1H), 8.32 (d, *J* = 5.4 Hz, 1H), 7.36 - 7.27 (m, 5H), 6.99 (d, *J* = 5.5 Hz, 1H), 5.10 (p, *J* = 6.3 Hz, 1H), 4.60 (dq, *J* = 8.2, 7.2 Hz, 1H), 4.27 (d, *J* = 6.1 Hz, 1H), 3.90 (s, 3H), 3.33 (dt, *J* = 9.1, 6.6 Hz, 1H), 3.25 (dt, *J* = 9.1, 6.5 Hz, 1H), 2.39 (s, 3H), 1.60 - 1.50 (m, 2H), 1.30 (d, *J* = 6.3 Hz, 3H), 1.18 (d, *J* = 7.1 Hz, 3H), 0.89 (t, *J* = 7.4 Hz, 3H)
885	- - -	3379, 2984, 2939, 1770	HRMS - ESI (*m/z*) ($[M+H]^+$) calculada para $C_{22}H_{27}N_2O_7$, 431.1818; encontrada, 431.1818	^1H RMN (400 MHz, $CDCl_3$) δ 8.56 (d, *J* = 7.8 Hz, 1H), 8.33 (d, *J* = 5.4 Hz, 1H), 7.40 - 7.26 (m, 5H), 7.00 (d, *J* = 5.5 Hz, 1H), 5.27 - 5.14 (m, 1H), 4.83 - 4.66 (m, 1H), 4.14 (d, *J* = 6.9 Hz, 1H), 3.90 (s, 3H), 3.23 (s, 3H), 2.40 (s, 3H), 1 47 (d, *J* = 7.1 Hz, 3H), 1.08 (d, *J* = 6.5 Hz, 3H)
886	- - -	3377, 2985, 2938, 1740	HRMS - ESI (*m/z*) ($[M+H]^+$) calculada para $C_{23}H_{29}N_2O_8$, 461.1924; encontrada, 461.1922	^1H RMN (400 MHz, $CDCl_3$) δ 8.37 (d, *J* = 7.8 Hz, 1H), 8.28 (d, *J* = 5.3 Hz, 1H), 7.39 - 7.27 (m, 5H), 6.95 (d, *J* = 5.4 Hz, 1H), 5.75 (s, 2H), 5.28 - 5.15 (m, 1H), 4.75 (p, *J* = 7.2 Hz, 1H), 4.14 (d, *J* = 6.9 Hz, 1H), 3.91 (s, 3H), 3.24 (s, 3H), 2.07 (s, 3H), 1.49 (d, *J* = 7.2

*Comp. No.	P.F. (°C)	*1R (cm^{-1})	MASA	RMN (^{1}H, ^{13}C, ^{19}F)
				Hz, 3H), 1.10 (d, *J* = 6.5 Hz, 3H)
887	- - -	3377, 2984, 1770, 1675	HRMS - ESI (*m/z*) ($[M+H]^+$) calculada para $C_{22}H_{27}N_2O_7$, 431.1818; encontrada, 431.1808	^{1}H RMN (400 MHz, $CDCl_3$) δ 8.46 (d, *J* = 7.1 Hz, 1H), 8.32 (d, *J* = 5.5 Hz, 1H), 7.39 - 7.26 (m, 5H), 6.99 (d, *J* = 5.5 Hz, 1H), 5.17 - 4.99 (m, 1H), 4.60 (dq, *J* = 8.1, 7.1 Hz, 1H), 4.18 (d, *J* = 5.9 Hz, 1H), 3.90 (s, 3H), 3.26 (s, 3H), 2.39 (s, 3H), 1.29 (d, *J* = 6.4 Hz, 3H), 1.20 (d, *J* = 7.2 Hz, 3H)
888	- - -	3378, 2986, 1771, 1676	HRMS - ESI (*m/z*) ($[M+H]^+$) calculada para C 25 H NO31 2 7, 471.2131; encontrada, 471.2123	^{1}H RMN (400 MHz, $CDCl_3$) δ 8.56 (d, *J* = 7.9 Hz, 1H), 8.33 (d, *J* = 5.5 Hz, 1H), 7.37 - 7.28 (m, 5H), 7.00 (d, *J* = 5.5 Hz, 1H), 5.25 - 5.13 (m, 1H), 4.80 - 4.67 (m, 1H), 4.32 (d, *J* = 6.8 Hz, 1H), 3.90 (s, 3H), 3.16 (dd, *J* = 6.8, 1.2 Hz, 2H), 2.40 (s, 3H), 1.48 (d, *J* = 7.2 Hz, 3H), 1.08 (d, *J* = 6.5 Hz, 3H), 1.04 - 0.94 (m, 1H), 0.53 - 0.39 (m, 2H), 0.17 - 0.02 (m, 2H)
889	- - -	3385, 2986, 1771, 1676	HRMS - ESI (*m/z*) ($[M+H]^+$) calculada para $C_{25}H_{31}N_2O_7$, 471.2131; encontrada, 471.2126	^{1}H RMN (400 MHz, $CDCl_3$) δ 8.53 8.40 (m, 1H), 8.32 (d, *J* = 5.5 Hz, 1H), 7.36 - 7.27 (m, 5H), 6.99 (d, *J* = 5.5 Hz, 1H), 5.20 - 5.05 (m, 1H), 4.71 - 4.48 (m, 1H), 4.33 (d, *J* = 6.3 Hz, 1H), 3.90 (s, 3H), 3.19 (dd, *J* = 6.8, 1.3 Hz,

*Comp. No.	P.F. (°C)	*1R (cm^{-1})	MASA	RMN (^{1}H, ^{13}C, ^{19}F)
				2H), 2.39 (s, 3H), 1.33 (d, *J* = 6.3 Hz, 3H), 1.16 (d, *J* = 7.2 Hz, 3H), 1.06 - 0.90 (m, 1H), 0.53 - 0.38 (m, 2H), 0.22 - 0.04 (m, 2H)
890	- - -	- - -	HRMS – ESI (*m/z*) ($[M+H]^+$) calculada para $C_{32}H_{37}N_2O_8$, 577.2544, encontrada, 577.2553	^{1}H RMN (400 MHz, $CDCl_3$) δ 8.26 (t, *J* = 7.7 Hz, 2H), 7.59 - 7.51 (m, 4H), 7.46 7.38 (m, 4H), 7.34 (dd, *J* = 8.3, 6.3 Hz, 1H), 6.92 (d, *J* = 5.5 Hz, 1H), 5.73 (s, 2H), 5.17 (p, *J* = 6.3 Hz, 1H), 4.63 (dd, *J* = 14 8, 7.3 Hz, 1H), 4.39 (d, *J* = 6.2 Hz, 1H), 3.89 (s, 3H), 3.24 (d, *J* = 6.8 Hz, 2H), 2.06 (s, 3H), 1.37 (d, *J* = 6.3 Hz, 3H), 1.21 (d, *J* = 7.2 Hz, 3H), 1.04 (tdd, *J* = 8.0, 7.4, 2.5 Hz, 1H), 0.55 - 0.43 (m, 2H), 0.20 - 0.09 (m, 2H) ^{13}C RMN (101 MHz, $CDCl_3$) δ 172.08, 170.27, 162.89, 160.26, 145.68, 143.98, 142.53, 140.86, 140.76, 137.84, 128.75, 128.03, 127.31, 127.06, 126.95, 109.51, 89.57, 82.83, 74.25, 73.85, 56.16, 48.11, 20.87, 18.17, 16.03, 10.62, 3.21, 2.74
891	- - -	3380.2, 2904.3,	HRMS – ESI (*m/z*) ($[M+H]^+$)	^{1}H RMN (400 MHz, $CDCl_3$) δ 8.31 (d, *J* = 8.0 Hz, 1H), 8.27 (d, *J* = 5.3 Hz,

*Comp. No.	P.F. (°C)	*1R (cm^{-1})	MASA	RMN (^{1}H, ^{13}C, ^{19}F)
		1737.o, 1676.6, 1492.7, 1202.3,	calculada para $C_{32}H_{41}N_2O_8$, 581.2857, encontrada, 581.2869	1H), 7.24 - 7.18 (m, 2H), 7.00 - 6.96 (m, 2H), 6.95 (d, *J* = 5.4 Hz, 1H), 6.92 - 6.85 (m, 1H), 5.79 - 5.70 (m, 2H), 5.40 (qd, *J* = 6 6, 2.3 Hz, 1H), 4.64 (p, *J* = 7.3 Hz, 1H), 3.94 (d, *J* = 2.5 Hz, 1H), 3.91 (s, 3H), 2.07 (s, 3H), 2.03 - 1.95 (m, 3H), 1.77 1.60 (m, 12H), 1.34 (d, *J* = 7.4 Hz, 3H), 1.32 (d, *J* = 6.6 Hz, 3H)
892	- - -	3380.2, 2902.8, 1734.3, 1675.5, 1503.8, 1201.3, 1042.2	HRMS – ESI (*m/z*) ($[M+H]^+$) calculada para $C_{30}H_{43}N_2O_8$, 559.3014; encontrada, 559.3024	^{1}H RMN (400 MHz, $CDCl_3$) δ 8.20 (d, *J* = 7.8 Hz, 1H), 8.10 (d, *J* = 5.4 Hz, 1H), 6.79 (d, *J* = 5.4 Hz, 1H), 5.63 - 5.54 (m, 2H), 5.10 (qd, *J* = 6 4, 1.7 Hz, 1H), 4.53 (p, *J* = 7.3 Hz, 1H), 3.74 (s, 3H), 3.34 (dd, *J* = 10.0, 6.7 Hz, 1H), 3.04 (dd, *J* = 9.9, 6.7 Hz, 1H), 2.65 (d, *J* = 1.7 Hz, 1H), 1.91 (s, 3H), 1.82 - 1.76 (m, 3H), 1.56 1.39 (m, 12H), 1.33 (d, *J* = 7.2 Hz, 3H), 1.12 (d, *J* = 6.4 Hz, 3H), 0 96 - 0.83 (m, 1H), 0 40 - 0.24 (m, 2H), 0.12 - -0 06 (m, 2H)
893	- - -	3380.3, 2903.4, 1756.4,	HRMS – ESI (*m/z*) ($[M+H]^+$) calculada para	^{1}H RMN (400 MHz, $CDCl_3$) δ 8.39 (d, *J* = 8.1 Hz, 1H), 8.28 (d, *J* = 5.4 Hz, 1H), 6.94 (dd, *J* = 5.4, 1.3 Hz, 1H),

*Comp. No.	P.F. (°C)	*1R (cm^{-1})	MASA	RMN (^{1}H, ^{13}C, ^{19}F)
		1735.1, 1676.1, 1503.3, 1201.9, 1043.6	$C_{30}H_{43}N_2O_8$, 559.3014, encontrada, 559.3029	5.79 - 5.72 (m, 2H), 5.22 (qd, *J* = 6 5, 2.9 Hz, 1H), 4.82 - 4.69 (m, 1H), 3.91 (s, 3H), 3.53 (dd, *J* = 9.8, 6.5 Hz, 1H), 3.36 (dd, *J* = 9.9, 6.8 Hz, 1H), 2.67 (d, *J* = 2.8 Hz, 1H), 2.08 (s, 3H), 1.92 (p, 4.1, 2.9 Hz, 3H), 1.76 - 1.56 (m, 12H), 1.54 (d, *J* = 7.1 Hz, 3H), 1.33 (d, *J* = 6.5 Hz, 3H), 1.15 - 1.05 (m, 1H), 0.55 - 0.44 (m, 2H), 0.31 - 0.13 (m, 2H)
894	- - -	3379.9, 2903.1, 1735.3, 1675.7, 1503.8, 1201.6, 1003.4	HRMS – ESI (*m/z*) ($[M+H]^+$) calculada para $C_{27}H39\ N_2O_8$, 519.2701; encontrada, 519.2716	^{1}H RMN (400 MHz, $CDCl_3$) δ 8.39 (d, *J* = 7.7 Hz, 1H), 8.26 (d, *J* = 5.3 Hz, 1H), 6.96 (d, *J* = 5.4 Hz, 1H), 5.80 - 5.71 (m, 2H), 5.29 (qd, *J* = 6 5, 1.8 Hz, 1H), 4.72 (p, *J* = 7.3 Hz, 1H), 3.91 (s, 3H), 3.45 (s, 3H), 2.72 (d, *J* = 1.7 Hz, 1H), 2.08 (s, 3H), 1.97 (td, *J* = 8.4, 7.8, 5.4 Hz, 3H), 1.75 - 1.55 (m, 12H), 1.52 (d, *J* = 7.2 Hz, 3H), 1.28 (d, *J* = 6.4 Hz, 3H)
895	- - -	3381.2, 2904.o, 1756.2, 1735.8, 1676.6, 1503.7,	HRMS – ESI (*m/z*) ($[M+H]^+$) calculada para $C_{27}H_{39}N_2O_8$, 519.2701, encontrada,	^{1}H RMN (400 MHz, $CDCl_3$) δ 8.39 (d, *J* = 7.5 Hz, 1H), 8.27 (d, *J* = 5.4 Hz, 1H), 6.95 (d, *J* = 5.4 Hz, 1H), 5.82 - 5.66 (m, 2H), 5.30 - 5.16 (m, 1H), 4.76 (p, *J* = 7.3 Hz, 1H), 3.91 (s, 3H), 3.55 (s, 3H), 2.56 (d, *J* = 2.7 Hz, 1H),

*Comp. No.	P.F. (°C)	*1R (cm^{-1})	MASA	RMN (^{1}H, ^{13}C, ^{19}F)
		1202.3, 1003.8	519.2715	2.07 (s, 3H), 1.99 1.89 (m, 3H), 1.73 - 1.55 (m, 12H), 1.53 (d, *J* = 7.2 Hz, 3H), 1.35 (d, *J* = 6.5 Hz, 3H)
896	- - -	3381.7, 2903.6, 1771.3, 1734.8, 1677.1, 1506.6, 1492.3, 1200.4, 1173.7	HRMS – ESI (*m/z*) ($[M+H]^+$) calculada para $C_{31}H_{39}N_2O_7$, 551.2752; encontrada, 551.2757	^{1}H RMN (400 MHz, $CDCl_3$) δ 8.49 (d, *J* = 7.8 Hz, 1H), 8.32 (d, *J* = 5.4 Hz, 1H), 7.22 - 7.16 (m, 2H), 7.00 (d, *J* = 5.5 Hz, 1H), 6.98 - 6.94 (m, 2H), 6.92 - 6.84 (m, 1H), 5.39 (qd, *J* = 6 4, 2.3 Hz, 1H), 4.66 - 4.58 (m, 1H), 3.97 - 3.91 (m, 1H), 3.90 (s, 3H), 2.39 (s, 3H), 2.02 - 1.96 (m, 3H), 1.77 - 1.59 (m, 12H), 1.33 (d, *J* = 7.2 Hz, 3H), 1.31 (d, *J* = 6.5 Hz, 3H)
897	- - -	3382.5, 2902.6, 1771.o, 1732.0, 1675.6, 1506.6, 1201.1, 1174.7	HRMS – ESI (*m/z*) ($[M+H]^+$) calculada para $C_{29}H_{41}N_2O_7$, 529.2916, encontrada, 529.2916	^{1}H RMN (400 MHz, $CDCl_3$) δ 8.37 (d, *J* = 8.1 Hz, 1H), 8.16 (d, *J* = 5.4 Hz, 1H), 6.84 (d, *J* = 5.5 Hz, 1H), 5.10 (qd, *J* = 6.4, 1.6 Hz, 1H), 4.62 - 4.43 (m, 1H), 3.74 (s, 3H), 3.33 (dd, *J* = 9.9, 6.8 Hz, 1H), 3.04 (dd, *J* = 9.9, 6.8 Hz, 1H), 2.65 (d, *J* = 1.7 Hz, 1H), 2.24 (s, 3H), 1.84 1.75 (m, 3H), 1.57 - 1.38 (m, 12H), 1.32 (d, *J* = 7.2 Hz, 3H), 1.11 (d, *J* = 6.4 Hz, 3H), 0.99 - 0.82 (m, 1H), 0.38 - 0.24 (m, 2H), 0.06 - 0.09 (m, 2H)

*Comp. No.	P.F. (°C)	*1R (cm^{-1})	MASA	RMN (^{1}H, ^{13}C, ^{19}F)
898	- - -	3380.1, 2902.9, 1770.8, 1732.4, 1675.3, 1505.9, 1201.3, 1175.2	HRMS – ESI (*m/z*) ($[M+H]^+$) calculada para $C_{26}H_{37}N_2O_7$, 489.2595; encontrada, 489.2606	^{1}H RMN (400 MHz, $CDCl_3$) δ 8.55 (d, *J* = 7.6 Hz, 1H), 8.31 (d, *J* = 5.5 Hz, 1H), 7.00 (d, *J* = 5.5 Hz, 1H), 5.28 (qd, *J* = 6.5, 1.6 Hz, 1H), 4.77 - 4.64 (m, 1H), 3.91 (s, 3H), 3.43 (s, 3H), 2.71 (d, *J* = 1.7 Hz, 1H), 2.40 (s, 3H), 2.01 - 1.88 (m, 3H), 1.73 - 1.54 (m, 12H), 1.50 (d, *J* = 7.2 Hz, 31.27 (d, *J* = 6.5 Hz, 3H)
899	- - -	- - -	HRMS – ESI (*m/z*) ($[M+H]^+$) calculada para $C_{27}H_{28}FN_2O_7$, 511.1880, encontrada, 511.1879	^{1}H RMN (400 MHz, $CDCl_3$) δ 8.45 (d, *J* = 6.4 Hz, 1H), 8.29 (d, *J* = 5.4 Hz, 1H), 7.43 - 7.27 (m, 5H), 6.98 (d, *J* = 5.5 Hz, 1H), 6.92 - 6.80 (m, 2H), 6.81 - 6.66 (m, 2H), 5.26 (qd, *J* = 6.5, 5.0 Hz, 1H), 5.11 (d, *J* = 4.9 Hz, 1H), 4.65 (dq, *J* = 8.1, 7.2 Hz, 1H), 3.90 (s, 3H), 2.39 (s, 3H), 1.36 (d, *J* = 6.4 Hz, 3H), 1.26 (d, *J* = 7.2 Hz, 3H) ^{19}F RMN (376 MHz, $CDCl_3$) δ - 123.24
900	- - -	- - -	HRMS – ESI (*m/z*) ($[M+H]^+$) calculada para $C_{27}H_{27}F_2N_2O_7$, 529.1786; encontrada,	^{1}H RMN (400 MHz, $CDCl_3$) δ 8.49 (d, *J* = 7.9 Hz, 1H), 8.31 (d, *J* = 5.4 Hz, 1H), 7.38 - 7.28 (m, 2H), 7.09 - 6.93 (m, 3H), 6.92 - 6.79 (m, 2H), 6.79 - 6.64 (m, 2H), 5.40 - 5.28 (m, 1H), 5.03 (d, *J* = 6.5 Hz, 1H), 4.72 (dq, *J* =

*Comp. No.	P.F. (°C)	*1R (cm^{-1})	MASA	RMN (^{1}H, ^{13}C, ^{19}F)
			529.1788	8.2, 7.2 Hz, 1H), 3.92 (s, 3H), 2.40 (s, 3H), 1.40 (d, *J* = 7.2 Hz, 3H), 1.19 (d, *J* = 6.5 Hz, 3H) ^{19}F RMN (376 MHz, $CDCl_3$) δ -113.21, -123.09
901	- - -	- - -	HRMS – ESI (*m/z*) ($[M+H]^+$) calculada para $C_{28}H_{30}FN_2O_8$, 541.1986; encontrada, 541.1992	^{1}H RMN (400 MHz, $CDCl_3$) δ 8.27 (d, *J* = 5.1 Hz, 1H), 8.25 (d, *J* = 5.5 Hz, 1H), 7.45 - 7.25 (m, 5H), 6.93 (d, *J* = 5.5 Hz, 1H), 6.90 - 6.80 (m, 2H), 6.80 - 6.68 (m, 2H), 5.78 - 5.61 (m, 2H), 5.27 (qd, *J* = 6.4, 4.9 Hz, 1H), 5.12 (d, *J* = 4.9 Hz, 1H), 4.66 (p, *J* = 7.2 Hz, 1H), 3.91 (s, 3H), 2.07 (s, 3H), 1.38 (d, *J* = 6.4 Hz, 3H), 1.27 (d, *J* = 7.2 Hz, 3H) ^{19}F RMN (376 MHz, $CDCl_3$) δ -123.22
902	- - -	- - -	HRMS – ESI (*m/z*) ($[M+H]^+$) calculada para $C_{28}H_{29}F_2N_2O_8$, 559.1892; encontrada, 559.1889	^{1}H RMN (400 MHz, $CDCl_3$) δ 8.32 (d, *J* = 7.9 Hz, 1H), 8.26 (d, *J* = 4.9 Hz, 1H), 7.40 - 7.30 (m, 2H), 7.04 - 6.98 (m, 2H), 6.95 (d, *J* = 5.1 Hz, 1H), 6.90 - 6.81 (m, 2H), 6.78 - 6.71 (m, 2H), 5.74 (s, 2H), 5.42 - 5.29 (m, 1H), 5.03 (d, *J* = 6.5 Hz, 1H), 4.82 - 4.70 (m, 1H), 3.92 (s, 3H), 2.07 (s, 3H), 1 42

*Comp. No.	P.F. (°C)	*1R (cm^{-1})	MASA	RMN (^{1}H, ^{13}C, ^{19}F)
				(d, *J* = 7.2 Hz, 3H), 1.20 (d, *J* = 6.5 Hz, 3H) ^{19}F RMN (376 MHz, $CDCl_3$) δ -113.16, -122.86, -123.06
903	- - -	- - -	HRMS – ESI (*m/z*) ($[M+H]^+$) calculada para $C_{26}H_{35}N_2O_8$, 503.2388, encontrada, 503.2345	^{1}H RMN (500 MHz, $CDCl_3$) δ 8.28 (dt, *J* = 6.2, 3.1 Hz, 2H), 7.24 (t, *J* = 8.0 Hz, 2H), 7.00 - 6.92 (m, 3H), 6.88 (td, *J* = 7.3, 3.5 Hz, 1H), 5.75 (s, 2H), 4.65 (dd, *J* = 34 4, 4.5 Hz, 1H), 4.53 (dp, *J* = 21.9, 7.2 Hz, 1H), 3.91 (s, 3H), 2.13 (dq, *J* = 11.5, 6.7 Hz, 1H), 2.09 - 2.05 (m, 3H), 1.56 (d, *J* = 8.9 Hz, 6H), 1.33 (dd, *J* = 12.7, 7.2 Hz, 3H), 1.12 - 0.97 (m, 6H) ^{13}C RMN (126 MHz, $CDCl_3$) δ 172.00, 171.92, 170.30, 162.90, 162.85, 160.30, 160.15, 145.71, 144.02, 142.59, 142.57, 129.46, 120.67, 120.60, 115.67, 115.58, 109.49, 89 65, 89.63, 86.81, 86.54, 84.19, 83.69, 56.18, 48.75, 48.69, 30.94, 29.73, 29.60, 23.87, 23.55, 22.58, 22.46, 22.41, 22.29, 20.90, 18.40, 18.35, 18.23, 18.15
904	- - -	- - -	HRMS – ESI	^{1}H RMN (500 MHz, $CDCl_3$) δ 8.28 (dt,

*Comp. No.	P.F. (°C)	*1R (cm^{-1})	MASA	RMN (^{1}H, ^{13}C, ^{19}F)
			(*m/z*) ($[M+H]^+$) calculada para $C_{26}H_{35}N_2O_8$, 503.2388; encontrada, 503.2345	*J* = 6.0, 3.1 Hz, 2H), 7.23 (t, *J* = 8.0 Hz, 2H), 7.01 - 6.92 (m, 3H), 6.88 (td, *J* = 7.3, 3.5 Hz, 1H), 5.75 (s, 2H), 4.65 (dd, *J* = 34.4, 4.5 Hz, 1H), 4.53 (dp, *J* = 21.9, 7.2 Hz, 1H), 3.91 (s, 3H), 2.16 - 2.09 (m, 1H), 2.07 (d, *J* = 1.2 Hz, 3H), 1.58 (t, *J* = 3.9 Hz, 6H), 1.33 (dd, *J* = 12.7, 7.2 Hz, 3H), 1.09 - 0.96 (m, 6H) ^{13}C RMN (126 MHz, $CDCl_3$) δ 172.00, 171.92, 170.29, 162.90, 162.85, 160.29, 160.15, 145.71, 144.02, 142.59, 129.46, 120.67, 120.60, 115.67, 115.58, 109.49, 89.62, 86.81, 86.54, 84.19, 83.69, 56.18, 48.75, 48.69, 30.94, 29.73, 29.60, 23.87, 23.55, 22.58, 22.46, 22.41, 22.29, 20.89, 18.39, 18.35, 18.14
905	- - -	- - -	HRMS – ESI (*m/z*) ($[M+H]^+$) calculada para $C_{34}H_{35}N_2O_8$, 599.2388, encontrada, 599.2395	^{1}H RMN (400 MHz, $CDCl_3$) δ 8.28 (d, *J* = 7.8 Hz, 1H), 8.24 (d, *J* = 5.4 Hz, 1H), 7.57 - 7.52 (m, 4H), 7.49 - 7.39 (m, 4H), 7.34 (dd, *J* = 8.3, 6.3 Hz, 1H), 7.19 (dd, *J* = 8 6, 7.4 Hz, 2H), 6.93 - 6.85 (m, 4H), 5.72 (t, *J* = 3.6 Hz, 2H), 5.35 - 5.29 (m, 1H), 5.26 (d, *J* = 5.0 Hz, 1H), 4.69 (p, *J* = 7.2 Hz,

*Comp. No.	P.F. (°C)	*1R (cm^{-1})	MASA	RMN (^{1}H, ^{13}C, ^{19}F)
				1H), 3.90 (s, 3H), 2.06 (s, 3H), 1.42 (d, *J* = 6.4 Hz, 3H), 1.28 (d, *J* = 7.2 Hz, 3H) ^{13}C RMN (101 MHz, $CDCl_3$) δ 172.27, 170.28, 162.97, 160.27, 157.91, 145.68, 144.01, 142.44, 141.03, 140.57, 136.59, 129.38, 128.76, 127.42, 127.39, 127.24, 127.05, 121.22, 116.02, 109.54, 89.56, 81.06, 74.31, 56.16, 48.16, 20.87, 18.20, 15.10
906	- - -	- - -	HRMS – ESI (*m/z*) ($[M+H]^+$) calculada para $C_{34}H_{35}N_2O_8$, 599.2388; encontrada, 599.2393	^{1}H RMN (400 MHz, $CDCl_3$) δ 8.28 (d, *J* = 7.8 Hz, 1H), 8.24 (d, *J* = 5.4 Hz, 1H), 7.63 (s, 1H), 7.56 (dd, *J* = 5.1, 3.4 Hz, 2H), 7.52 - 7.49 (m, 1H), 7.45 - 7.38 (m, 4H), 7.35 (ddd, *J* = 7.3, 3.8, 1.2 Hz, 1H), 7.21 - 7.15 (m, 2H), 6.93 - 6.86 (m, 4H), 5.74 - 5.70 (m, 2H), 5.37 - 5.30 (m, 1H), 5.29 (d, *J* = 1.8 Hz, 1H), 4.67 (p, *J* = 7.2 Hz, 1H), 3.90 (s, 3H), 2.06 (s, 3H), 1.43 (d, *J* = 6.3 Hz, 3H), 1.23 (d, *J* = 7.2 Hz, 3H) ^{13}C RMN (101 $CDCl_3$) δ 172.31, 170.28, 162.98, 160.27, 157.97, 145.69, 144.01, 142.43, 141.50, 140.69, 138.29, 129.39, 129.01,

*Comp. No.	P.F. (°C)	*1R (cm^{-1})	MASA	RMN (^{1}H, ^{13}C, ^{19}F)
				128.80, 127.48, 127.14, 126.97, 125.88, 125.65, 121.26, 116.06, 109.54, 89.57, 81.39, 74.40, 56.17, 48.14, 20.87, 18.13, 15.05
907	- - -	- - -	HRMS – ESI (*m/z*) ($[M+H]^+$) calculada para $C_{28}H_{37}N_2O_8$, 529.2544; encontrada, 529.2548	^{1}H RMN (400 MHz, $CDCl_3$) δ 8.24 (t, *J* = 7.1 Hz, 2H), 7.20 (t, *J* = 8.0 Hz, 2H), 6.97 - 6.85 (m, 4H), 5.73 (s, 2H), 5.26 - 5.19 (m, 1H), 4.57 (p, *J* = 7.2 Hz, 1H), 4.26 (dd, *J* = 6 9, 3.9 Hz, 1H), 3.91 (s, 3H), 2.06 (s, 3H), 1.93 (d, *J* = 11.7 Hz, 1H), 1.79 - 1.61 (m, 6H), 1.35 (d, *J* = 6.5 Hz, 3H), 1.24 - 1.10 (m, 7H) ^{13}C RMN (101 MHz, $CDCl_3$) δ 172.21, 170.28, 162.94, 160.28, 160.20, 145.69, 144.01, 142.48, 129.40, 120.92, 116.22, 109.53, 89.58, 83.31, 72.48, 56.18, 48.18, 40.07, 29.55, 28.88, 26.26, 26.09, 25.94, 20.87, 17.79, 14.55
908	- - -	- - -	HRMS – ESI (*m/z*) ($[M+H]^+$) calculada para $C_{27}H_{35}N_2O_7$, 499.2439;	^{1}H RMN (400 MHz, $CDCl_3$) δ 8.43 (d, *J* = 6.8 Hz, 1H), 8.30 (d, *J* = 5.4 Hz, 1H), 7.20 (t, *J* = 7.9 Hz, 2H), 6.99 (d, *J* = 5.5 Hz, 1H), 6.94 - 6.84 (m, 3H), 5.25 - 5.18 (m, 1H), 4.56 (p, *J* = 7.2

*Comp. No.	P.F. (°C)	*1R (cm^{-1})	MASA	RMN (^{1}H, ^{13}C, ^{19}F)
			encontrada, 499 2440	Hz, 1H), 4.25 (dd, *J* = 7.0, 3.9 Hz, 1H), 3.90 (s, 3H), 2.39 (s, 3H), 1.92 (d, *J* = 9.8 Hz, 1H), 1.79 - 1.60 (m, 6H), 1.34 (d, *J* = 6.5 Hz, 3H), 1.23 - 1.11 (m, 7H) ^{13}C RMN (101 MHz, $CDCl_3$) δ 172.13, 168.90, 162.35, 160.18, 159.44, 146.64, 141.52, 137.49, 129.40, 120.92, 116.20, 109.72, 83.29, 72.50, 56.28, 47.96, 40.08, 29.55, 28.87, 26.26, 26.09, 25.94, 20.75, 17.95, 14.55
909	- - -	3383, 2948, 2870, 1739, 1676, 1609, 1590, 1504, 1487	HRMS – ESI (*m/z*) ($[M+H]^+$) calculada para $C_{27}H_{34}FN_2O_8$, 533.2294, encontrada, 533.2292	^{1}H RMN (500 MHz, $CDCl_3$) δ 8.30 8.19 (m, 2H), 7.13 (td, *J* = 8.3, 6.9 Hz, 1H), 6.94 (d, *J* = 5.4 Hz, 1H), 6.71 (ddd, *J* = 8.2, 2.4, 0.8 Hz, 1H), 6.64 (dt, *J* = 11.1, 2.4 Hz, 1H), 6.58 (tdd, *J* = 8.2, 2.4, 0.9 Hz, 1H), 5.74 - 5.71 (m, 2H), 5.14 (qd, *J* = 6.5, 3.0 Hz, 1H), 4.60 (p, *J* = 7.3 Hz, 1H), 4.33 (dd, *J* = 8.3, 3.0 Hz, 1H), 3.91 (s, 3H), 2.21 - 2.08 (m, 1H), 2.07 (s, 3H), 1.88 - 1.78 (m, 1H), 1.77 - 1.70 (m, 1H), 1.70 - 1.64 (m, 1H), 1.65 - 1.57 (m, 2H), 1.57 - 1.47 (m, 2H), 1.45 - 1.38 (m, 1H), 1.36 (d, *J* = 6.4 Hz, 3H), 1.25 (d,

*Comp. No.	P.F. (°C)	*1R (cm^{-1})	MASA	RMN (^{1}H, ^{13}C, ^{19}F)
				J = 7.2 Hz, 3H)
910	- - -	3381, 2947, 2869, 1738, 1675, 1502	HRMS – ESI (*m/z*) ([M+H]$^{+}$) calculada para $C_{27}H_{34}FN_2O_8$, 533.2294, encontrada, 533.2291	^{1}H RMN (500 MHz, $CDCl_3$) δ 8.24 (d, *J* = 5.4 Hz, 1H), 8.21 (d, *J* = 7.7 Hz, 1H), 6.94 (d, *J* = 5.4 Hz, 1H), 6.89 - 6.84 (m, 4H), 5.73 (s, 2H), 5.13 (qd, *J* = 6.5, 2.8 Hz, 1H), 4.59 (p, *J* = 7.3 Hz, 1H), 4.21 (dd, *J* = 8.4, 2.9 Hz, 1H), 3.91 (s, 3H), 2.16 - 2.09 (m, 1H), 2.07 (s, 3H), 1.89 - 1.79 (m, 1H), 1.77 - 1.69 (m, 1H), 1.71 - 1.46 (m, 5H), 1.45 - 1.38 (m, 1H), 1.36 (d, *J* = 6.5 Hz, 3H), 1.23 (d, *J* = 7.2 Hz, 3H)
911	- - -	3377, 2947, 2869, 1740, 1676, 1591, 1504, 1477	HRMS - ESI calculada para $C_{27}H_{34}ClN_2O_8$, 549.1998; encontrada, 549.1997	^{1}H RMN (500 MHz, $CDCl_3$) δ 8.29 - 8.20 (m, 2H), 7.11 (t, *J* = 8.1 Hz, 1H), 6.95 - 6.91 (m, 2H), 6.86 (ddd, *J* = 8.0, 2.0, 0.9 Hz, 1H), 6.81 (ddd, *J* = 8.4, 2.5, 0.9 Hz, 1H), 5.73 (s, 2H), 5.17 - 5.10 (m, 1H), 4.64 - 4.55 (m, 1H), 4.32 (dd, *J* = 8.4, 3.0 Hz, 1H), 3.91 (s, 3H), 2.17 - 2.09 (m, 1H), 2.07 (s, 3H), 1.87 - 1.79 (m, 1H), 1.78 - 1.70 (m, 1H), 1.70 - 1.64 (m, 1H), 1.57 (s, 4H), 1.42 - 1.36 (m, 1H), 1.36 (d, *J* = 6.6 Hz, 3H), 1.26 (d, *J* = 7.1 Hz, 3H)

*Comp. No.	P.F. (°C)	*1R (cm^{-1})	MASA	RMN (^{1}H, ^{13}C, ^{19}F)
912	- - -	3376, 2946, 2869, 1738, 1675, 1504, 1488	HRMS – ESI (*m/z*) ($[M+H]^+$) calculada para $C_{27}H_{34}ClN_2O_8$, 549.1998, encontrada, 549.1994	^{1}H RMN (500 MHz, $CDCl_3$) δ 8.23 (d, *J* = 5.3 Hz, 1H), 8.22 (d, *J* = 7.8 Hz, 1H), 7.14 - 7.07 (m, 2H), 6.94 (d, *J* = 5.4 Hz, 1H), 6.88 - 6.80 (m, 2H), 5.80 - 5.66 (m, 2H), 5.13 (qd, *J* = 6.57 2.9 Hz, 1H), 4.60 (p, *J* = 7.3 Hz, 1H), 4.26 (dd, *J* = 8.37 2.9 Hz, 1H), 3.92 (d, *J* = 1.3 Hz, 3H), 2.16 - 2.08 (m, 1H), 2.07 (s, 3H), 1.87 - 1.77 (m, 1H), 1.77 - 1.68 (m, 1H), 1.69 - 1.63 (m, 1H), 1.57 (s, 4H), 1.40 - 1.36 (m, 1H), 1.35 (d, *J* = 6.5 Hz, 3H), 1.27 (d, *J* = 7.2 Hz, 3H) ^{13}C RMN (126 MHz, $CDCl_3$) δ 172.14, 170.29, 162.95, 160.29, 158.52, 145.65, 144.05, 142.27, 129.22, 125.63, 117.58, 109.60, 89.57, 83.93, 73.58, 56.18, 48.23, 42.26, 29.75, 28.93, 25.34, 25.04, 20.88, 17.89, 14.06
913	- - -	3384, 2947, 2869, 1739, 1676, 1495	HRMS – ESI (*m/z*) ($[M+H]^+$) calculada para $C_{28}H_{36}ClN_2O_8$, 563.2155, encontrada,	^{1}H RMN (500 MHz, $CDCl_3$) δ 8.25 (d, *J* = 5.4 Hz, 1H), 8.23 (d, *J* = 7.7 Hz, 1H), 7.11 (dd, *J* = 2.1, 0.8 Hz, 1H), 6.94 (d, *J* = 5.4 Hz, 1H), 6.86 (ddd, *J* = 8.3, 2.2, 0.7 Hz, 1H), 6.82 (d, *J* = 8.4 Hz, 1H), 5.74 5.71 (m, 2H), 5.14

*Comp. No.	P.F. (°C)	*1R (cm^{-1})	MASA	RMN (^{1}H, ^{13}C, ^{19}F)
			563.2156	(qd, *J* = 6 5, 2.9 Hz, 1H), 4.58 (p, *J* = 7.2 Hz, 1H), 4.36 (dd, *J* = 8.3, 2.9 Hz, 1H), 3.91 (s, 3H), 2.21 (d, *J* = 0.7 Hz, 3H), 2.20 - 2.15 (m, 1H), 2.07 (s, 3H), 1.93 - 1.84 (m, 1H), 1.79 - 1.50 (m, 6H), 1.50 - 1.44 (m, 1H), 1.43 (d, *J* = 6.6 Hz, 3H), 1.19 (d, *J* = 7.2 Hz, 3H)
914	- - -	3382, 2945, 2868, 1735, 1675, 1503	HRMS – ESI (*m/z*) ($[M+H]^{+}$) calculada para $C_{25}H_{37}N_2O_8$, 493.2544; encontrada, 493.254	^{1}H RMN (500 MHz, $CDCl_3$) δ 8.37 (d, *J* = 7.8 Hz, 1H), 8.28 (dd, *J* = 5.4, 2.2 Hz, 1H), 6.95 (d, *J* = 5.4 Hz, 1H), 5.82 - 5.70 (m, 2H), 5.07 (qd, *J* = 6.5, 2.4 Hz, 1H), 4.79 - 4.58 (m, 1H), 3.91 (s, 3H), 3.54 (dd, *J* = 9.8, 6.9 Hz, 1H), 3.25 (dd, *J* = 9.9, 6.8 Hz, 1H), 3.18 (dd, *J* = 8.5, 2.3 Hz, 1H), 2.08 (s, 3H), 1.94 - 1.80 (m, 2H), 1.70 - 1.61 (m, 2H), 1.61 - 1.54 (m, 2H), 1.52 (d, *J* = 7.2 Hz, 3H), 1.49 (d, *J* = 6.5 Hz, 2H), 1.38 (qd, *J* = 8.0, 7.4, 3.2 Hz, 1H), 1.27 (d, *J* = 6.6 Hz, 3H), 1.09 - 0.99 (m, 1H), 0.51 - 0.43 (m, 2H), 0.14 (qt, *J* = 4.0, 3.3, 1.4 Hz, 2H)
915	- - -	3385, 2954, 2870, 1757, 1736, 1677,	HRMS – ESI (*m/z*) ($[M+H]^{+}$) calculada para	^{1}H RMN (500 MHz, $CDCl_3$) δ 8.38 (d, *J* = 7.8 Hz, 1H), 8.27 (d, *J* = 5.3 Hz, 1H), 6.95 (d, *J* = 5.4 Hz, 1H), 5.78 -

*Comp. No.	P.F. (°C)	*1R (cm^{-1})	MASA	RMN (^1H, ^{13}C, ^{19}F)
		1504	$C_{25}H_{39}N_2O_8$, 495.2701; encontrada, 495.2697	5.67 (m, 2H), 5.08 (qd, *J* = 6 5, 2.3 Hz, 1H), 4.79 _ 4.64 (m, 1H), 3.91 (s, 3H), 3.48 (dd, *J* = 8 6, 6.3 Hz, 1H), 3.14 (dd, *J* = 8 6, 6.5 Hz, 2H), 2.08 (s, 3H), 1.93 - 1.74 (m, 3H), 1.70 - 1.55 (m, 4H), 1.57 - 1.43 (m, 3H), 1.51 - 1.44 (m, 1H), 1.43 - 1.33 (m, 1H), 1.33 - 1.27 (m, 1H), 1.26 (d, *J* = 6.6 Hz, 3H), 0.88 (d, *J* = 2.0 Hz, 3H), 0.87 (d, *J* = 2.0 Hz, 3H)
916	- - -	3385, 2944, 2868, 1738, 1676, 1507	HRMS – ESI (*m/z*) ($[M+H]^+$) calculada para $C_{28}H_{37}N_2O_8$, 529.2544; encontrada, 529.254	^1H RMN (500 MHz, $CDCl_3$) δ 8.26 (d, *J* = 6.4 Hz, 1H), 8.25 (d, *J* = 5.4 Hz, 1H), 7.03 - 6.96 (m, 2H), 6.94 (d, *J* = 5.4 Hz, 1H), 6.86 - 6.79 (m, 2H), 5.76 - 5.67 (m, 2H), 5.13 (qd, *J* = 6 5, 3.2 Hz, 1H), 4.66 - 4.54 (m, 1H), 4.27 (dd, *J* = 8.1, 3.1 Hz, 1H), 3.91 (s, 3H), 2.24 (s, 3H), 2.16 2.09 (m, 1H), 2.06 (s, 3H), 1.90 - 1.79 (m, 1H), 1.77 - 1.69 (m, 1H), 1.69 - 1.49 (m, 5H), 1 49 - 1.41 (m, 1H), 1.36 (d, *J* = 6.6 Hz, 3H), 1.22 (d, *J* = 7.2 Hz, 3H)
917	- - -	3385, 2945, 2870, 1738, 1676, 1588,	HRMS – ESI (*m/z*) ($[M+H]^+$) calculada para	^1H RMN (500 MHz, $CDCl_3$) δ 8.27 - 8.24 (m, 2H), 7.09 (t, *J* = 8.2 Hz, 1H), 6.94 (d, *J* = 5.5 Hz, 1H), 6.52 (ddd, *J*

*Comp. No.	P.F. (°C)	*1R (cm^{-1})	MASA	RMN (^{1}H, ^{13}C, ^{19}F)
		1471	$C_{28}H_{37}N_2O_9$, 545 2494; encontrada, 545.2493	= 8.2, 2.4, 0.7 Hz, 1H), 6.49 (t, *J* = 2.4 Hz, 1H), 6.45 (ddd, *J* = 8 2, 2 4, 0.8 Hz, 1H), 5.80 - 5.67 (m, 2H), 5.13 (qd, *J* = 6.5, 3.1 Hz, 1H), 4.67 - 4.53 (m, 1H), 4.34 (dd, *J* = 8.2, 3.2 Hz, 1H), 3.91 (s, 3H), 3.77 (s, 3H), 2.17 - 2.09 (m, 1H), 2.06 (s, 3H), 1.88 - 1.78 (m, 1H), 1.73 (dtt, *J* = 10.5, 6.6, 3.5 Hz, 1H), 1.69 - 1.48 (m, 5H), 1.48 - 1.39 (m, 1H), 1.36 (d, *J* = 6.5 Hz, 3H), 1.24 (d, *J* = 7.2 Hz, 3H)
918	- - -	3382, 2946, 2870, 1771, 1737, 1675, 1609, 1590, 1508, 1487	HRMS – ESI (*m/z*) ($[M+H]^+$) calculada para $C_{26}H_{32}FN_2O_7$, 503.2188, encontrada, 503.2183	^{1}H RMN (500 MHz, $CDCl_3$) δ 8.42 (d, *J* = 7.6 Hz, 1H), 8.30 (d, *J* = 5.4 Hz, 1H), 7.13 (td, *J* = 8.4, 7.0 Hz, 1H), 6.99 (d, *J* = 5.4 Hz, 1H), 6.73 - 6.66 (m, 1H), 6.63 (dt, *J* = 11.1, 2.4 Hz, 1H), 6.58 (tdd, *J* = 8.3, 2.4, 0.9 Hz, 1H), 5.13 (qd, *J* = 6.5, 3.0 Hz, 1H), 4.62 - 4.54 (m, 1H), 4.32 (dd, *J* = 8.4, 3.0 Hz, 1H), 3.91 (s, 3H), 2.39 (s, 3H), 2.18 - 2.07 (m, 1H), 1.87 1.77 (m, 1H), 1.76 - 1.69 (m, 1H), 1.69 1.47 (m, 5H), 1.41 - 1.36 (m, 1H), 1.34 (d, *J* = 6.5 Hz, 3H), 1.24 (d, *J* = 7.2 Hz, 3H)

*Comp. No.	P.F. (°C)	*1R (cm^{-1})	MASA	RMN (^{1}H, ^{13}C, ^{19}F)
919	- - -	3378, 2946, 2870, 1771, 1736, 1676, 1502	HRMS – ESI (*m/z*) ($[M+H]^+$) calculada para $C_{26}H_{32}FN_2O_7$, 503.2188; encontrada, 503.2187	^{1}H RMN (500 MHz, $CDCl_3$) δ 8.39 (d, *J* = 8.0 Hz, 1H), 8.28 (d, *J* = 5.4 Hz, 1H), 6.99 (d, *J* = 5.5 Hz, 1H), 6.86 - 6.83 (m, 4H), 5.12 (qd, *J* = 6.5, 2.9 Hz, 1H), 4.64 _ 4.55 (m, 1H), 4.20 (dd, *J* = 8.4, 2.8 Hz, 1H), 3.91 (s, 3H), 2.39 (s, 3H), 2.16 2.05 (m, 1H), 1.83 (ddd, *J* = 12.0, 9.8, 5.6 Hz, 1H), 1.72 (qd, *J* = 7.7, 3.6 Hz, 1H), 1.69 - 1.47 (m, 5H), 1.42 - 1.37 (m, 1H), 1.35 (d, *J* = 6.6 Hz, 3H), 1.23 (d, *J* = 7.2 Hz, 3H)
920	- - -	3378, 2946, 2869, 1770, 1736, 1676, 1591, 1507	HRMS – ESI (*m/z*) ($[M+H]^+$) calculada para $C_{26}H_{32}ClN_2O_7$, 519.1893; encontrada, 519.1888	^{1}H RMN (500 MHz, $CDCl_3$) δ 8.42 (d, *J* = 8.0 Hz, 1H), 8.30 (d, *J* = 5.4 Hz, 1H), 7.10 (t, *J* = 8.2 Hz, 1H), 7.01 - 6.96 (m, 1H), 6.93 (t, *J* = 2.2 Hz, 1H), 6.85 (ddd, *J* = 7.9, 1.9, 0.9 Hz, 1H), 6.80 (ddd, *J* = 8.4, 2.5, 0.9 Hz, 1H), 5.13 (qd, *J* = 6.5, 2.9 Hz, 1H), 4.63 - 4.54 (m, 1H), 4.31 (dd, *J* = 8.4, 3.0 Hz, 1H), 3.91 (s, 3H), 2.39 (s, 3H), 2.16 - 2.09 (m, 1H), 1.82 (td, *J* = 10.1, 7.6, 4.9 Hz, 1H), 1.73 (qd, *J* = 7.5, 3.4 Hz, 1H), 1.69 - 1.46 (m, 5H), 1.43 - 1.36 (m, 1H), 1.34 (d, *J* = 6.5 Hz, 3H), 1.25 (d, *J* = 7.2 Hz, 3H)

*Comp. No.	P.F. (°C)	*1R (cm^{-1})	MASA	RMN (^{1}H, ^{13}C, ^{19}F)
921	- - -	3384, 2869, 1771, 1736, 1677, 1508, 1488	HRMS – ESI (*m/z*) ($[M+H]^+$) calculada para $C_{26}H_{32}ClN_2O_7$, 519.1893; encontrada, 519.1886	^{1}H RMN (500 MHz, $CDCl_3$) δ 8.38 (d, *J* = 8.1 Hz, 1H), 8.26 (d, *J* = 5.4 Hz, 1H), 7.13 - 7.05 (m, 2H), 7.00 (d, *J* = 5.5 Hz, 1H), 6.85 - 6.79 (m, 2H), 5.12 (qd, *J* = 6.6, 2.8 Hz, 1H), 4.65 - 4.56 (m, 1H), 4.25 (dd, *J* = 8.4, 2.9 Hz, 1H), 3.92 (s, 3H), 2.39 (s, 3H), 2.14 - 2.07 (m, 1H), 1.85 - 1.76 (m, 1H), 1.76 - 1.68 (m, 1H), 1.68 - 1 46 (m, 5H), 1.40 - 1.36 (m, 1H), 1.34 (d, *J* = 6.5 Hz, 3H), 1.26 (d, *J* = 7.2 Hz, 3H)
922	- - -	3383, 2954, 2870, 1772, 1735, 1678, 1507	HRMS – ESI (*m/z*) ($[M+H]^+$) calculada para $C_{24}H_{37}N_2O_7$, 465.2595; encontrada, 465.2591	^{1}H RMN (500 MHz, $CDCl_3$) δ 8.56 (s, 1H), 8.33 (d, *J* = 5.4 Hz, 1H), 7.00 (d, *J* = 5.5 Hz, 1H), 5.07 (qd, *J* = 6.5, 2.4 Hz, 1H), 4.83 - 4.63 (m, 1H), 3.91 (s, 3H), 3.53 - 3.37 (m, 1H), 3.17 - 3.09 (m, 2H), 2.40 (d, *J* = 0.9 Hz, 3H), 1.96 - 1.71 (m, 3H), 1.71 - 1.54 (m, 3H), 1.56 - 1.44 (m, 2H), 1.50 (d, *J* = 7.1 Hz, 3H), 1.39 - 1.34 (m, 1H), 1.31 - 1.26 (m, 1H), 1.25 (d, *J* = 6.5 Hz, 3H), 0.87 (d, *J* = 6.7 Hz, 3H), 0.87 (d, *J* = 6.7 Hz, 3H)
923	- - -	3381, 2943, 2868, 1771,	HRMS – ESI (*m/z*) ($[M+H]^+$)	^{1}H RMN (500 MHz, $CDCl_3$) δ 8.45 (d, *J* = 8.1 Hz, 1H), 8.30 (d, *J* = 5.4 Hz,

*Comp. No.	P.F. (°C)	*1R (cm^{-1})	MASA	RMN (^1H, ^{13}C, ^{19}F)
		1735, 1677, 1507	calculada para $C_{27}H_{35}N_2O_7$, 499.2439 encontrada, 499.2433	1H), 7.05 - 6.93 (m, 3H), 6.82 (d, *J* = 8.6 Hz, 2H), 5.12 (qd, *J* = 6 5, 3.1 Hz, 1H), 4.60 _ 4.53 (m, 1H), 4.26 (dd, *J* = 8.0, 3.1 Hz, 1H), 3.91 (s, 3H), 2.39 (s, 3H), 2.24 (s, 3H), 2.16 - 2.06 (m, 1H), 1.87 - 1.78 (m, 1H), 1.76 - 1.67 (m, 1H), 1.67 - 1.48 (m, 5H), 1.46 - 1.40 (m, 1H), 1.35 (d, *J* = 6.5 Hz, 3H), 1.20 (d, *J* = 7.2 Hz, 3H)
924	- - -	- - -	ESIMS *m/z* 541 ($[M+H]^+$)	^1H RMN (400 MHz, $CDCl_3$) δ 8.26 (t, *J* = 6.2 Hz, 2H), 7.40 - 7.35 (m, 2H), 7.17 (dd, *J* = 8.4, 7.6 Hz, 2H), 7.01 (t, *J* = 8.6 Hz, 2H), 6.94 (d, *J* = 5.4 Hz, 1H), 6.89 (t, *J* = 7.3 Hz, 1H), 6.83 - 6.79 (m, 2H), 5.74 - 5.70 (m, 2H), 5.29 - 5.22 (m, 1H), 5.18 (d, *J* = 5.3 Hz, 1H), 4.66 (p, *J* = 7.2 Hz, 1H), 3.91 (s, 3H), 2.06 (s, 3H), 1.39 (d, *J* = 6.4 Hz, 3H), 1.28 (d, *J* = 7.2 Hz, 3H) ^{13}C RMN (151 $CDCl_3$) δ 172.16, 170.29, 163.30, 162.97, 161.67, 160.29, 157.64, 145.70, 142.39, 133.40, 133.38, 129.40, 128.76, 128.71, 121.37, 116.00, 115.59, 115.44, 109.59, 89.56, 80.67, 74.11, 56.19, 48.13, 20.88, 18.20, 15.23

*Comp. No.	P.F. (°C)	*1R (cm^{-1})	MASA	RMN (^{1}H, ^{13}C, ^{19}F)
925	- - -	- - -	ESIMS *m/z* 511 ($[M+H]^+$)	^{1}H RMN (400 MHz, $CDCl_3$) δ 8.45 (d, *J* = 6.7 Hz, 1H), 8.29 (d, *J* = 5.4 Hz, 1H), 7.40 - 7.33 (m, 2H), 7.20 - 7.14 (m, 2H), 7.03 - 6.97 (m, 3H), 6.89 (t, *J* = 7.4 Hz, 1H), 6.83 - 6.78 (m, 2H), 5.28 - 5.21 (m, 1H), 5.17 (d, *J* = 5.2 Hz, 1H), 4.65 (dq, *J* = 14.5, 7.2 Hz, 1H), 3.90 (s, 3H), 2.39 (s, 3H), 1.37 (d, *J* = 6.4 Hz, 3H), 1.27 (d, *J* = 7.2 Hz, 3H) ^{13}C RMN (151 MHz, $CDCl_3$) δ 172.04, 168.91, 163.30, 162.40, 161.67, 159.47, 157.64, 146.66, 141.43, 137.52, 133.36, 133.34, 129.40, 128.77, 128.72, 121.37, 116.01, 115.58, 115.44, 109.81, 80.64, 74.12, 56 30, 47.90, 20.76, 15.24
926	- - -	- - -	ESIMS *m/z* 300 ($[M+H]^+$)	- - -
927	- - -	- - -	ESIMS *m/z* 314 ($[M+H]^+$)	- - -
928	- - -	- - -	ESIMS *m/z* 328 ($[M+H]^+$)	- - -
929	- - -	- - -	ESIMS	- - -

*Comp. No.	P.F. (°C)	*1R (cm^{-1})	MASA	RMN (^{1}H, ^{13}C, ^{19}F)
			m/z 344 ($[M+H]^+$)	
930	- - -	- - -	ESIMS *m/z* 242 ($[M+H]^+$)	- - -
931	- - -	- - -	ESIMS *m/z* 244 ($[M+H]^+$)	- - -
932	- - -	- - -	ESIMS *m/z* 258 ($[M+H]^+$)	- - -
933	- - -	- - -	ESIMS *m/z* 312 ($[M+H]^+$)	- - -
934	- - -	- - -	ESIMS *m/z* 328 ($[M+H]^+$)	- - -
935	- - -	- - -	ESIMS *m/z* 314 ($[M+H]^+$)	- - -
936	- - -	- - -	ESIMS *m/z* 330 ($[M+H]^+$)	- - -
937	- - -	- - -	ESIMS *m/z* 298 ($[M+H]^+$)	- - -
938	- - -	- - -	ESNS *m/z* 320.4 ($[M+H]^+$)	- - -
939	- - -	(Película delgada) 3380, 2979,	HRMS - ESI (*m/z*) ($[M+H]^+$) calculada para $C_{13}H_{24}NO_3$,	^{1}H RMN (500 MHz, Metanol - d4) 5.87 (ddt, *J* = 17.1, 10.2, 7.0 Hz, 1H), 5.09 (dq, 17.3, 1.7 Hz, 1H), 5.04 (dd, *J* =

*Comp. No.	P.F. (°C)	*1R (cm^{-1})	MASA	RMN (^{1}H, ^{13}C, ^{19}F)
		1731, 1185, 1062, 914, 854	242.1751; encontrada, 242.1743	10.2, 1.8 Hz, 1H), 4.99 (qd, *J* = 6.5, 4.0 Hz, 1H), 3.50 (q, *J* = 7.0 Hz, 1H), 3.45 (ddd, *J* = 7.0, 5.4, 4.1 Hz, 1H), 3.43 3.33 (m, 2H), 2.28 (ddd, *J* = 8.5, 6.2, 2.3 Hz, 2H), 1.32 (d, *J* = 7.0 Hz, 3H), 1.23 (d, *J* = 6.5 Hz, 3H), 1.02 (dddd, *J* = 14.8, 8.1, 6.9, 2.6 Hz, 1H), 0.55 - 0.45 (m, 2H), 0.20 (q, *J* = 4.9 Hz, 2H) (NH no se observaron protones).
940	- - -	(Película delgada) 2982, 1731, 1507, 1148, 991, 791	HRMS - ESI (*m/z*) ($[M+H]^+$) calculada para $C_{15}H_{20}F_2NO_3$, 300.1406; encontrada, 300.1414	^{1}H RMN (500 MHz, Metanol - d4) 7.08 (ddd, *J* = 10.9, 9.1, 5.3 Hz, 1H), 6.95 (ddd, *J* = 9.9, 6.7, 3.0 Hz, 1H), 6.67 (tt, *J* = 8.5, 3.1 Hz, 1H), 5.89 (ddt, *J* = 17.2, 10.2, 7.0 Hz, 1H), 5.20 - 5.06 (m, 3H), 4.54 (ddd, *J* = 7.9, 5.2, 3.3 Hz, 1H), 3.42 (q, *J* = 7.1 Hz, 1H), 2.50 (dq, *J* = 19.2, 7.9 Hz, 2H), 1.34 (d, *J* = 6.5 Hz, 3H), 1.18 (d, *J* = 7.1 Hz, 3H) (NH no se observaron protones). ^{19}F RMN (471 MHz, Metanol - d4) 118.71 (td, *J* = 14.7, 14.2, 7.6 Hz), 140.43 (dddd, *J* = 15.0, 10.5, 6.9, 3.4 Hz).
941	- - -	(Película delgada) 2981, 1732,	HRMS - ESI (*m/z*) ($[M+H]^+$) calculada para	^{1}H RMN (500 MHz, Metanol - d4) 6.83 (d, *J* = 2.2 Hz, 1H), 6.77 (dt, *J* = 8.5, 2.1 Hz, 1H), 6.71 (dt, *J* = 10.8, 2.3 Hz,

*Comp. No.	P.F. (°C)	*1R (cm^{-1})	MASA	RMN (^{1}H, ^{13}C, ^{19}F)
		1604, 1588, 1138, 1021, 833	$C_{15}H_{20}ClFNO_3$, 316.1110; encontrada, 316.1127	1H), 5.86 (ddt, *J* = 17.1, 10.2, 7.0 Hz, 1H), 5.19 - 5.07 (m, 3H), 4.58 (td, *J* = 6.3, 3.6 Hz, 1H), 3.45 (q, *J* = 7.0 Hz, 1H), 2.50 2.41 (m, 2H), 1.32 (d, *J* = 6.5 Hz, 3H), 1.22 (d, *J* = 7.0 Hz, 3H) (NH no se observaron protones). ^{19}F RMN (471 MHz, Metanol - d4) 111.97 (dd, *J* = 10.7, 8.5 Hz).
942	- - -	(Película delgada) 2982, 1733, 1325, 1250, 1111, 1067, 837	HRMS - ESI (*m/z*) ($[M+H]^+$) calculada para $C_{16}H21F_3NO_3$, 332.1468, encontrada, 332.1444	^{1}H RMN (500 MHz, Metanol - d4) 7.56 (d, *J* = 8.6 Hz, 2H), 7.09 (d, *J* = 8.6 Hz, 2H), 5.88 (ddt, *J* = 17.2, 10.2, 7.0 Hz, 1H), 5.21 - 5.11 (m, 2H), 5.08 (dd, *J* = 10.2, 1.7 Hz, 1H), 4.66 (td, *J* = 6.2, 3.7 Hz, 1H), 3.44 (q, *J* = 7.1 Hz, 1H), 2.50 (ddt, *J* = 8.5, 7.0, 1.5 Hz, 2H), 1.34 (d, *J* = 6.5 Hz, 3H), 1.19 (d, *J* = 7.1 Hz, 3H) (NH no se observaron protones). ^{19}F RMN (471 MHz, Metanol - d4) -63.09
943	- - -	(Película delgada) 3381, 2980, 1733, 1592, 1476, 1229,	HRMS - ESI (*m/z*) ($[M+H]^+$) calculada para $C_{15}H21ClNO_3$, 298.1204;	^{1}H RMN (500 MHz, Metanol - d4) 7.23 (t, *J* = 8.2 Hz, 1H), 6.97 (t, 2.2 Hz, 1H), 6.94 (dd, *J* = 7.9, 1.9 Hz, 1H), 6.89 (dd, *J* = 8.4, 2.4 Hz, 1H), 5.87 (ddt, *J* = 17.2, 10.2, 7.0 Hz, 1H), 5.19

*Comp. No.	P.F. (°C)	*1R (cm^{-1})	MASA	RMN (^{1}H, ^{13}C, ^{19}F)
		1184, 997	encontrada, 298.1214	- 5.05 (m, 3H), 4.54 (ddd, *J* = 6.9, 5.6, 3.6 Hz, 1H), 3.44 (q, *J* = 7.1 Hz, 1H), 2.51 - 2.44 (m, 2H), 1.33 (d, *J* = 6.5 Hz, 3H), 1.20 (d, *J* = 7.1 Hz, 3H) (NH no se observaron protones).
944	- - -	(Película delgada) 2982, 1741, 1247, 1226, 1161, 1036	HRMS - ESI (*m/z*) ($[M+H]^+$) calculada para $C_{13}H_{24}NO_3$, 242.1751; encontrada, 242.1748	^{1}H RMN (500 MHz, Metanol - d4) 5.87 (ddt, *J* = 17.2, 10.3, 7.0 Hz, 1H), 5.18 5.01 (m, 3H), 4.96 (s, 1H), 3.98 (q, *J* = 12.2 Hz, 2H), 3.77 (q, *J* = 7.1 Hz, 1H), 3.49 (td, *J* = 6.1, 3.6 Hz, 1H), 2.32 (t, *J* = 6.6 Hz, 2H), 2.15 (s, 1H), 1.74 (s, 3H), 1.42 (d, *J* = 7.1 Hz, 3H), 1.26 (d, *J* = 6.5 Hz, 3H) (NH no se observaron protones).
945	- - -	(Película delgada) 2871, 1596, 1585, 1492, 1204, 1148, 1114, 912, 743, 685	HRMS - ESI (*m/z*) ($[M+H]^+$) calculada para $C_{16}H_{24}NO_3$, 278.1751; encontrada, 278.1741	- - -
946	- - -	(Película delgada) 2962, 2876, 1744, 1595,	HRMS - ESI (*m/z*) ($[M+H]^+$) calculada para $C_{17}H_{28}NO_3$, 294.2064;	- - -

*Comp. No.	P.F. (°C)	*1R (cm^{-1})	MASA	RMN (^{1}H, ^{13}C, ^{19}F)
		1490, 1465, 1228, 1202, 1117, 751, 691	encontrada, 294.2057	
947	- - -	(Película delgada) 2971, 2882, 1747, 1595, 1493, 1208, 1107, 1080, 1030, 746, 688	HRMS - ESI (*m/z*) ($[M+H]^+$) calculada para $C_{16}H_{26}NO_4$, 296.1856; encontrada, 296.1855	- - -
948	- - -	(Película delgada) 2964, 2874, 1738, 1595, 1585, 1491, 1210, 1113, 984, 746, 688	HRMS - ESI (*m/z*) ($[M+H]^+$) calculada para $C_{17}H_{28}NO_3$, 294.2064; encontrada, 294.2048	- - -
949	- - -	(Película delgada) 2968, 2876, 1743, 1594, 1492, 1231,	HRMS - ESI (*m/z*) ($[M+H]^+$) calculada para $C_{16}H_{26}NO_4$, 296.1856; encontrada,	- - -

*Comp. No.	P.F. (°C)	*1R (cm^{-1})	MASA	RMN (^{1}H, ^{13}C, ^{19}F)
		1209, 1118, 1043, 746, 688	296.1854	
950	- - -	(Película delgada) 2964, 2872, 1751, 1596, 1586, 1506, 1490, 1468, 1451, 1402, 1374, 1352, 1332, 1302, 1288, 1240, 1207, 1145, 1107, 1073, 1026, 1003, 990, 949 937, 912, 755, 691	HRMS - ESI (*m/z*) ($[M+H]^+$) calculada para $C_{17}H_{28}NO_3$, 294.2064; encontrada, 294.2057	- - -
951	- - -	(Película delgada) 2959, 2872, 1759, 1744, 1595, 1584, 1489, 1455,	HRMS - ESI (*m/z*) ($[M+H]^+$) calculada para $C_{17}H_{28}NO_3$, 295.2097; encontrada, 295.2101	- - -

*Comp. No.	P.F. (°C)	*1R (cm^{-1})	MASA	RMN (^{1}H, ^{13}C, ^{19}F)
		1226, 1198, 1143, 1119, 1076, 1008, 970, 945 930, 884 752		
952	- - -	(Película delgada) 2959, 2873, 1757, 1597, 1489, 1229, 1202, 1150, 1119, 1025, 1004, 992 946, 918 758, 695	HRMS - ESI (*m/z*) ($[M+H]^+$) calculada para $C_{16}H_{24}NO_3$, 278.1751, encontrada, 275.1738	- - -
953	- - -	- - -	ESIMS *m/z* 330.5 ($[M+H]^+$)	- - -
954	- - -	- - -	ESIMS *m/z* 298.5 ($[M+H]^+$)	- - -
955	- - -	- - -	ESIMS *m/z* 316.5 ($[M+H]^+$)	- - -
956	- - -	- - -	ESIMS *m/z* 314.4 ($[M+H]^+$)	- - -
957	- - -	- - -	ESIMS *m/z* 328.5	- - -

*Comp. No.	P.F. (°C)	*1R (cm^{-1})	MASA	RMN (^{1}H, ^{13}C, ^{19}F)
			($[M+H]^+$)	
958	- - -	- - -	ESNS *m/z* 344.5 ($[M+H]^+$)	- - -
959	- - -	- - -	- - -	^{1}H RMN (400 MHz, $CDCl_3$) δ 8.79 (s, 3H), 5.07 (d, *J* = 6.4 Hz, 1H), 4.15 (s, 1H), 3.43 - 3.30 (m, 2H), 3.11 (dd, *J* = 8.6, 6.6 Hz, 1H), 1.92 - 1.74 (m, 2H), 1.72 (d, *J* = 7.2 Hz, 3H), 1.45 (ddd, *J* = 14.3, 9.5, 5.1 Hz, 1H), 1.23 (d, *J* = 6.5 Hz, 3H), 1.17 - 1.08 (m, 1H), 0.93 (d, *J* = 6.7 Hz, 3H), 0.89 (d, *J* = 6.7 Hz, 9H).
960	- - -	- - -	ESIMS *m/z* 258.5 ($[M+H]^+$)	- - -
961	- - -	- - -	ESIMS *m/z* 314.4 ($[M+H]^+$)	- - -
962	- - -	(Película delgada) 3367, 2962, 2874, 1712, 1592, 1495, 1476	ESIMS *m/z* 400 ($[M+H]^+$)	^{1}H RMN (300 MHz, $CDCl_3$) δ 7.17 (t, *J* = 8.1 Hz, 1H), 7.02 - 6.85 (m, 2H), 6.78 (ddd, *J* = 8.4, 2.4, 1.0 Hz, 1H), 5.09 (qd, *J* = 6 6, 3.4 Hz, 1H), 5.01 - 4.90 (m, 1H), 4.34 (dt, *J* = 7.8, 3.7 Hz, 1H), 4.22 (s, 1H), 1.77 - 1.43 (m, 2H), 1.52 - 1.33 (m, 2H), 1.43 (s, 9H), 1.32 (d, *J* = 6.6 Hz, 3H), 1.23 (d, *J* = 7.2

*Comp. No.	P.F. (°C)	*1R (cm^{-1})	MASA	RMN (^{1}H, ^{13}C, ^{19}F)
				Hz, 3H), 0.94 (t, *J* = 7.1 Hz, 3H).
963	- - -	(Película delgada) 3360, 2961, 2874, 1712, 1495, 1452	ESIMS *m/z* 415 ($[M+H]^+$)	^{1}H RMN (300 MHz, $CDCl_3$) δ 7.16 (d, *J* = 2.2 Hz, 1H), 6.95 (dd, *J* = 8.4, 2.3 Hz, 1H), 6.80 (d, *J* = 8.3 Hz, 1H), 5.09 (qd, *J* = 6.5, 3.2 Hz, 1H), 4.96 (d, *J* = 6.8 Hz, 1H), 4.36 (dt, *J* = 7.7, 3.5 Hz, 1H), 4.20 (q, *J* = 7.6 Hz, 1H), 2.25 (s, 3H), 1.85 1.65 (m, 1H), 1.65 - 1.51 (m, 2H), 1.43 (s, 9H), 1.52 - 1.31 (m, 1H), 1.37 (d, *J* = 6.5 Hz, 3H), 1.18 (d, *J* = 7.2 Hz, 3H), 0.95 (t, *J* = 7.0 Hz, 3H).
964	- - -	(Película delgada) 3360, 2978, 1708, 1583, 1490, 1448	ESIMS *m/z* 429 ($[M+H]^+$)	^{1}H RMN (300 MHz, $CDCl_3$) δ 7.20 (d, *J* = 8.7Hz, 1H), 6.52 (d, *J* = 2.6 Hz, 1H), 6.40 (dd, *J* = 8.7, 2.7 Hz, 1H), 5.25 - 5.09 (m, 1H), 5.04 - 4.87 (m, 1H), 4.26 (s, 1H), 3.86 (s, 3H), 3.78 (dd, *J* = 7.7, 3.5 Hz, 1H), 1.43 (s, 9H), 1.41 (d, *J* = 6.6 Hz, 3H), 1.26 (d, *J* = 7.2 Hz, 3H), 1.15 - 1.02 (m, 1H), 0 64 - 0.53 (m, 2H), 0.41 - 0.32 (m, 2H).
965	- - -	(Película delgada) 3349, 2975, 1739, 1708,	ESIMS *m/z* 445 ($[M+H]^+$)	^{1}H RMN (300 MHz, $CDCl_3$) δ 7.22 (d, *J* = 8.7Hz, 1H), 6.58 (d, *J* = 2.7 Hz, 1H), 6.53 (dd, *J* = 8.7, 2.7 Hz, 1H), 5.37 - 5.23 (m, 1H), 4.98 - 4.89 (m,

*Comp. No.	P.F. (°C)	*1R (cm^{-1})	MASA	RMN (^{1}H, ^{13}C, ^{19}F)
		1596, 1581, 1490		1H), 4.29 - 4.13 (m, 1H), 4.02 (d, *J* = 2.8 Hz, 1H), 3.89 (s, 3H), 1.44 (s, 9H), 1.28 (d, *J* = 6.5 Hz, 3H), 1.26 (d, *J* = 7.1 Hz, 3H), 1.01 (s, 9H)
966	- - -	(Película delgada) 3356, 2979, 2936, 1713, 1500, 1451	ESIMS *m/z* 342 ($[M+H]^+$)	^{1}H RMN (300 MHz, $CDCl_3$) δ 5.12 (qd, *J* = 7.4, 7.0, 4.1 Hz, 1H), 5.10 - 4.99 (m, 1H), 4.31 (s, 1H), 3.40 (dd, *J* = 10.0, 6.7 Hz, 1H), 3.33 (dd, *J* = 10.0, 6.9 Hz, 1H), 2.70 (dd, *J* = 8.5, 3.5 Hz, 1H), 1.45 (s, 9H), 1.39 (d, *J* = 7.2 Hz, 3H), 1.32 (d, *J* = 6.6 Hz, 3H), 1.12 - 0.94 (m, 1H), 0.92 - 0.78 (m, 1H), 0 66 - 0.44 (m, 4H), 0.42 0.30 (m, 1H), 0.30 - 0.22 (m, 1H), 0.22 0.13 (m, 2H).
967	- - -	(Película delgada) 3358, 2960, 2935, 2873, 1714, 1497	ESNS *m/z* 344 ($[M+H]^+$)	^{1}H RMN (300 MHz, $CDCl_3$) δ 5.13 - 5.05 (m, 1H), 5.00 (qd, *J* = 6 5, 3.4 Hz, 1H), 4.28 (d, *J* = 6.9 Hz, 1H), 3.43 (dd, *J* = 10.0, 7.0 Hz, 1H), 3.39 - 3.22 (m, 2H), 1.45 (s, 9H), 1.59 - 1.25 (m, 4H), 1.38 (d, *J* = 7.1 Hz, 3H), 1.24 (d, *J* = 6.5 Hz, 3H), 1.11 - 0.98 (m, 1H), 0.92 (t, *J* = 6.9 Hz, 3H), 0.55 - 0.47 (m, 2H), 0 28 - 0.12 (m, 2H)
968	- - -	(Película	ESIMS *m/z* 358	^{1}H RMN (300 MHz, $CDCl_3$) δ 5.19 (qd,

*Comp. No.	P.F. (°C)	*1R (cm^{-1})	MASA	RMN (^{1}H, ^{13}C, ^{19}F)
		delgada) 3360, 2978, 2872, 1714, 1501	($[M+H]^+$)	*J* = 6.5, 2.1 Hz, 1H), 5.04 (s, 1H), 4.26 (d, *J* = 8.2 Hz, 1H), 3.56 (dd, *J* = 9.9, 6.6 Hz, 1H), 3.26 (dd, *J* = 9.8, 6.7 Hz, 1H), 2.96 (d, *J* = 2.1 Hz, 1H), 1.45 (s, 9H), 1.36 (d, *J* = 7.2 Hz, 3H), 1.27 (d, *J* = 6.5 Hz, 3H), 1.16 - 0.97 (m, 1H), 0.94 (s, 9H), 0.58 - 0.45 (m, 2H), 0.26 - 0.16 (m, 2H).
969	- - -	(Película delgada) 3360, 2979, 2933, 1710, 1495	ESIMS *m/z* 413 ($[M+H]^+$)	^{1}H RMN (300 MHz, $CDCl_3$) δ 7.15 (dd, *J* = 2.1, 0.7 Hz, 1H), 6.97 - 6.91 (m, 1H), 6.80 (d, *J* = 8.4 Hz, 1H), 5.21 (qd, *J* = 6.6, 3.2Hz, 1H), 5.08 - 4.96 (m, 1H), 4.38 - 4.16 (m, 1H), 3.77 (dd, *J* = 8.0, 3.2 Hz, 1H), 2.26 (s, 3H), 1.47 (d, *J* = 6.6 Hz, 3H), 1.43 (s, 9H), 1.25 (d, *J* = 7.2 Hz, 3H), 1.16 - 0.99 (m, 1H), 0 62 - 0.47 (m, 2H), 0.32 (dq, *J* = 4 6, 1.5 Hz, 2H)
970	- - -	(Película delgada) 3355, 2975, 1713, 1495	ESIMS *m/z* 429 ($[M+H]^+$)	^{1}H RMN (300 $CDCl_3$) δ 7.20 - 7.16 (m, 1H), 7.01 - 6.93 (m, 1H), 6.90 (d, *J* = 8.5 Hz, 1H), 5.33 (qd, *J* = 6 5, 2.5 Hz, 1H), 4.97 (s, 1H), 4.36 - 4.13 (m, 1H), 4.10 (d, *J* = 2.6 Hz, 1H), 2.26 (d, *J* = 0.7 Hz, 3H), 1.44 (s, 9H), 1.32 (d, *J* = 6.5 Hz, 3H), 1.25 (d, *J* = 7.2 Hz,

*Comp. No.	P.F. (°C)	*1R (cm^{-1})	MASA	RMN (^{1}H, ^{13}C, ^{19}F)
				3H), 1.04 (s, 9H)
971	- - -	(Película delgada) 3354, 2975, 1712, 1591, 1477	ESNS *m/z* 415 ($[M+H]^+$)	^{1}H RMN (300 $CDCl_3$) δ 7.19 (t, *J* = 8.2Hz, 1H), 7.01 (t, 2.2 Hz, 1H), 6.92 (ddd, *J* = 8.0, 2.0, 0.9 Hz, 1H), 6.87 (ddd, *J* = 8.3, 2.5, 0.9 Hz, 1H), 5.39 - 5.25 (m, 1H), 4.97 (s, 1H), 4.30 - 4.11 (m, 1H), 4.04 (d, *J* = 2.4 Hz, 1H), 1.44 (s, 9H), 1.28 (d, *J* = 6.5 Hz, 3H), 1.27 (d, *J* = 7.2 Hz, 3H), 1.02 (s, 9H).
972	- - -	(Película delgada) 3369, 2962, 2874, 1711, 1584, 1491, 1449	ESIMS *m/z* 431 ($[M+H]^+$)	RMN (300 MHz, $CDCl_3$) δ 7.21 (d, *J* = 8.7 Hz, 1H), 6.51 (d, *J* = 2.7 Hz, 1H), 6.42 (dd, *J* = 8.7, 2.7 Hz, 1H), 5.10 (qd, *J* = 6.5, 3.5 Hz, 1H), 4.96 (s, 1H), 4.32 (dt, *J* = 7.9, 3.8 Hz, 1H), 4.24 (s, 1H), 3.87 (s, 3H), 1.78 - 1.43 (m, 4H), 1.43 (s, 9H), 1.32 (d, *J* = 6.6 Hz, 3H), 1.24 (d, *J* = 7.2 Hz, 3H), 0.94 (t, *J* = 7.2 Hz, 3H).
973	- - -	(Película delgada) 3355, 2979, 2934, 1707, 1591, 1493	ESIMS *m/z* 398 ($[M+H]^+$)	^{1}H RMN (300 MHz, $CDCl_3$) δ 7.16 (t, *J* = 8.1 Hz, 1H), 6.97 - 6.81 (m, 2H), 6.77 (ddd, *J* = 8.3, 2.5, 0.9 Hz, 1H), 5.19 (qd, *J* = 6.6, 3.4 Hz, 1H), 5.00 (d, *J* = 7.9 Hz, 1H), 4.33 - 4.14 (m, 1H), 3.81 (dd, *J* = 7.7, 3.4 Hz, 1H), 1.43 (s, 9H), 1.41 (d, *J* = 6.5 Hz, 3H), 1.25 (d,

*Comp. No.	P.F. (°C)	*1R (cm^{-1})	MASA	RMN (^{1}H, ^{13}C, ^{19}F)
				J = 7.2 Hz, 3H), 1.16 - 0.99 (m, 1H), 0.65 - 0.51 (m, 2H), 0.43 - 0.33 (m, 2H).
974	- - -	(Película delgada) 3328.11, 2969.11, 1744.12, 1701.66, 1206.30, 1126.65	HRMS – ESI (*m/z*) ($[M+Na]^+$) calculada para $C_{23}H_{26}F_3NNaO5$ 476.1655; encontrada, 476.1654	^{1}H RMN (400 NMz, $CDCl_3$) δ 7.43 - 7.29 (m, 5H), 7.22 (ddd, *J* = 9.4, 5.7, 2.4 Hz, 2H), 6.96 - 6.87 (m, 3H), 5.39 (d, *J* = 9.4 Hz, 1H), 5.24 (qd, *J* = 6.5, 4.4 Hz, 1H), 5.12 (d, *J* = 3.6 Hz, 2H), 5.00 - 4.87 (m, 1H), 4.18 (dd, *J* = 6.5, 4.3 Hz, 1H), 2.07 - 1.87 (m, 1H), 1.36 (d, *J* = 6.2 Hz, 3H), 1.01 (d, *J* = 6.8 Hz, 3H), 0.99 (d, *J* = 6.9 Hz, 3H). ^{19}F RMN (376 MHz, $CDCl_3$) δ -72.90
975	- - -	(Película delgada) 3353, 2979, 1714, 1501, 1366, 1164, 1062	HRMS - ESI (*m/z*) ($[M+Na]^+$) calculada para $C_{18}H_{31}NNaO_5$, 364.2094; encontrada, 364.2100	^{1}H RMN (400 MHz, $CDCl_3$) δ 5.85 (ddt, *J* = 17.1, 10.2, 7.0 Hz, 1H), 5.16 - 5.04 (m, 3H), 5.00 (qd, *J* = 6.5, 4.1 Hz, 1H), 4.38 - 4.20 (m, 1H), 3.44 - 3.28 (m, 3H), 2.35 - 2.19 (m, 2H), 1.45 (s, 9H), 1.39 (d, *J* = 7.2 Hz, 3H), 1.26 (d, *J* = 6.5 Hz, 3H), 1.04 (dddd, *J* = 13.2, 6.8, 5.0, 2.6 Hz, 1H), 0.59 - 0.46 (m, 2H), 0.19 (dt, *J* = 5.8, 4.5 Hz, 2H). ^{13}C RMN (101 MHz, $CDCl_3$) δ 172.61, 155.02, 134.51, 117.15,

*Comp. No.	P.F. (°C)	*1R (cm^{-1})	MASA	RMN (^{1}H, ^{13}C, ^{19}F)
				80.40, 79.73, 75.42, 72.90, 49.41, 35.48, 28.35, 18.78, 15.02, 10.94, 2.94.
976	- - -	(Película delgada) 3363, 2979, 1715, 1501, 1366, 1166, 1064	HRMS - ESI (*m/z*) ($[M+Na]^+$) calculada para $C_{18}H_{31}NNaO_5$, 364.2094; encontrada, 364.2098	^{1}H RMN (400 MHz, $CDCl_3$) δ 5.84 (ddt, *J* = 17.2, 10.2, 7.1 Hz, 1H), 5.16 - 5.05 (m, 3H), 5.02 (td, *J* = 6.5, 3.7 Hz, 1H), 4.96 (dq, *J* = 2.2, 1.1 Hz, 1H), 4.89 - 4.83 (m, 1H), 4.29 (q, *J* = 7.5 Hz, 1H), 3.95 (q, *J* = 12.1 Hz, 2H), 3.43 (ddd, *J* = 6.9, 5.4, 3.7 Hz, 1H), 2.37 - 2.21 (m, 2H), 1.74 (t, 1.2 Hz, 3H), 1.44 (s, 9H), 1.39 (d, *J* = 7.1 Hz, 3H), 1.26 (d, *J* = 6.5 Hz, 3H). ^{13}C RMN (101 MHz, $CDCl_3$) δ 172.63, 155.04, 142.29, 134.38, 117.32, 112.21, 80.17, 79.73, 74.46, 72.69, 49.42, 35.29, 28.35, 19.63, 18.77, 14.88.
977	- - -	(Película delgada) 3364, 2981, 1709, 1507, 1160, 1064, 992	HRMS - ESI (*m/z*) ($[M+Na]^+$) calculada para $C_{20}H_{27}F_2NNaO5$ 422.1750; encontrada, 422.1763	^{1}H RMN (400 MHz, $CDCl_3$) δ 7.00 (ddd, *J* = 10.5, 9.0, 5.3 Hz, 1H), 6.72 (ddd, *J* = 9.6, 6.6, 3.0 Hz, 1H), 6.62 (ddt, *J* = 9.0, 7.6, 3.2 Hz, 1H), 5.85 (ddt, *J* = 17.2, 10.2, 7.0 Hz, 1H), 5.23 - 5.08 (m, 3H), 5.01 (d, *J* = 7.9 Hz, 1H), 4.36 (ddd, *J* = 7.4, 5.2, 3.5 Hz,

*Comp. No.	P.F. (°C)	*1R (cm^{-1})	MASA	RMN (^{1}H, ^{13}C, ^{19}F)
				1H), 4.24 (dq, *J* = 14.6, 7.9, 7.3 Hz, 1H), 2.59 - 2.47 (m, 1H), 2.42 (dddt, *J* = 14.8, 7.5, 5.3, 1.2 Hz, 1H), 1.43 (s, 9H), 1.37 (d, *J* = 6.5 Hz, 3H), 1.25 (d, *J* = 7.2 Hz, 3H). ^{13}C RMN (101 MHz, $CDCl_3$) δ 172.59, 158.54 (dd, *J* = 242.6, 2.5 Hz), 155.04, 150.04 (dd, *J* = 241.9, 3.4 Hz), 146.96 (dd, *J* = 12.4, 10.5 Hz), 132.90, 118.54, 116.77 (dd, *J* = 21.3, 10.2 Hz), 108.21 (dd, *J* = 23.8, 7.1 Hz), 106.09 (dd, *J* = 26.5, 1.8 Hz), 81.73, 79.81, 72.21, 49.38, 35.04, 28.32, 18.32, 14.53. ^{19} F RMN (376 MHz, $CDCl_3$) δ - 116.69 (d, *J* = 15.0 Hz), - 137.86 (d, *J* = 15.0 Hz).
978	- - -	(Película delgada) 3371, 2980, 1712, 1604, 1163, 1140, 1021	HRMS - ESI (*m/z*) ($[M+Na]^+$) calculada para $C_{20}H_{27}ClFNNaO_5$, 438.1454; encontrada, 438.1460	^{1}H RMN (400 MHz, $CDCl_3$) δ 6.73 6.65 (m, 2H), 6.53 (dt, *J* = 10.4, 2.3 Hz, 1H), 5.80 (ddt, *J* = 17.1, 10.2, 7.0 Hz, 1H), 5.20 - 5.06 (m, 3H), 5.00 (d, *J* = 7.8 Hz, 1H), 4.36 (ddd, *J* = 7.2, 53, 3.7 Hz, 1H), 4.32 - 4.15 (m, 1H), 2.53 - 2.34 (m, 2H), 1.43 (s, 9H), 1.33 (d, *J* = 6.5 Hz, 3H), 1.28 (d, *J* = 7.3 Hz, 3H).

*Comp. No.	P.F. (°C)	*1R (cm^{-1})	MASA	RMN (^{1}H, ^{13}C, ^{19}F)
				^{13}C RMN (101 MHz, $CDCl_3$) δ 172.57, 163.29 (d, *J* = 248.3 Hz), 159.99 (d, *J* = 12.3 Hz), 155.00, 135.44 (d, *J* = 13.5 Hz), 132.65, 118.64, 112.62 (d, *J* = 3.3 Hz), 109.30 (d, *J* = 25.3 Hz), 102.57 (d, *J* = 24.8 Hz), 79.84, 79.67, 71.97, 49.34, 34.80, 28.28, 18.37, 14.75. ^{19}F RMN (376 MHz, $CDCl_3$) δ -109.82 .
979	- - -	(Película delgada) 3360, 2981, 1712, 1326, 1251, 1161, 1114, 1068	HRMS - ESI (*m/z*) ($[M+Na]^+$) calculada para $C_{21}H_{28}F_3NNaO5$ 454.1812; encontrada, 454.1828	^{1}H RMN (400 NMz, $CDCl_3$) δ 7.58 7.48 (m, 2H), 7.01 - 6.93 (m, 2H), 5.82 (ddt, *J* = 17.1, 10.2, 7.0 Hz, 1H), 5.21 5.07 (m, 3H), 4.98 (d, *J* = 7.7 Hz, 1H), 4.48 (ddd, *J* = 7.1, 5.3, 3.8 Hz, 1H), 4.33 - 4.16 (m, 1H), 2.56 - 2.36 (m, 2H), 1 43 (s, 9H), 1.35 (d, *J* = 6.5 Hz, 3H), 1.25 (d, *J* = 7.2 Hz, 3H). ^{13}C RMN (101 MHz, $CDCl_3$) δ 172.61, 160.97, 155.04, 132.87, 127.02 (q, *J* = 3.8 Hz), 124.32 (q, *J* = 271.2 Hz), 123.52 (q, *J* = 32.8 Hz), 118.54, 116.10, 79.89, 79.19, 72.10, 49.39, 34.89, 28.32, 18.41, 14.87. ^{19}F RMN (376 MHz, $CDCl_3$) δ -61.63

*Comp. No.	P.F. (°C)	*1R (cm^{-1})	MASA	RMN (^{1}H, ^{13}C, ^{19}F)
980	- - -	(Película delgada) 3357, 2979, 1710, 1476, 1162, 1065	HRMS - ESI (*m/z*) ($[M+Na]^+$) calculada para $C_{20}H_{28}ClNNaO5$ 420.1548, encontrada, 420.1551	^{1}H RMN (400 MHz, $CDCl_3$) δ 7.17 (t, *J* = 8.1 Hz, 1H), 6.97 - 6.89 (m, 2H), 6.79 (ddd, *J* = 8.3, 2.4, 0.9 Hz, 1H), 5.82 (ddt, *J* = 17.1, 10.2, 7.0 Hz, 1H), 5.21 - 5.07 (m, 3H), 5.07 - 4.93 (m, 1H), 4.38 (ddd, *J* = 7.1, 5.3, 3.8 Hz, 1H), 4.34 - 4.15 (m, 1H), 2.53 - 2.36 (m, 2H), 1.43 (s, 9H), 1.34 (d, *J* = 6.5 Hz, 3H), 1.26 (d, *J* = 7.2 Hz, 3H) ^{13}C RMN (101 MHz, $CDCl_3$) δ 172.59, 159.24, 155.01, 134.89, 133.02, 130.31, 121.62, 118.39, 116.89, 114.73, 79.80, 79.47, 72.20, 49.37, 34.94, 28.32, 18.42, 14.83.
981	- - -	(Película delgada) 3372, 2975, 1714, 1596, 1492, 1366, 1237, 1164, 1065, 753, 691	HRMS - ESI (*m/z*) ($[M+Na]^+$) calculada para $C_{21}H_{32}NO_5$, 400.2087; encontrada, 400.2094	^{1}H RMN (400 MHz, $CDCl_3$) δ 7.32 - 7.19 (m, 2H), 7.02 - 6.89 (m, 3H), 5.84 (ddd, *J* = 17.3, 10.6, 6.7 Hz, 1H), 5.55 (t, *J* = 6.7 Hz, 1H), 5.40 (d, *J* = 17.2 Hz, 1H), 5.28 (d, *J* = 10.6 Hz, 1H), 4.67 (s, 1H), 4.26 - 4.07 (m, 2H), 2.11 - 1.95 (m, 1H), 1 44 (s, 9H), 1.22 (d, *J* = 7.1 Hz, 3H), 1.03 (d, *J* = 7.1 Hz, 3H), 1.01 (d, *J* = 7.0 Hz, 3H). ^{13}C RMN (126 MHz, $CDCl_3$) δ 172.08 159.94, 155.01, 132.34, 129.47, 121.06 119.22, 116.00, 83.14, 79.61,

*Comp. No.	P.F. (°C)	*1R (cm^{-1})	MASA	RMN (^{1}H, ^{13}C, ^{19}F)
				49.29 29.58, 28.35, 19.85, 18.39, 16.85
982	- - -	(Película delgada) 3408, 2966, 2934, 2877, 1715, 1596, 1492, 1366, 1238, 1164, 1053, 752, 691	ESIMS *m/z* 416.2 ($[M+Na]^{+}$)	^{1}H RMN (400 MHz, $CDCl_3$) δ 7.28 - 7.17 (m, 2H), 6.97 - 6.86 (m, 3H), 5.15 (dd, *J* = 7.0, 4.3 Hz, 1H), 4.63 (s, 1H), 4.30 (dd, *J* = 7.0, 4.1 Hz, 1H), 4.06 (s, 1H), 2.08 - 1.90 (m, 2H), 1.44 (s, 9H), 1.18 (d, *J* = 7.2 Hz, 3H), 1.03 (d, *J* = 6.9 Hz, 3H), 1.01 (d, *J* = 7.7 Hz, 3H), 0.93 (d, *J* = 6.7 Hz, 3H), 0.90 (d, *J* = 6.8 Hz, 3H). ^{13}C RMN (126 MHz, $CDCl_3$) δ 172.72, 160.12, 154.89, 129.42, 120.76, 115.60, 81.34, 79.16, 49.23, 29.52, 28.77 28.37, 20.14, 19.76, 18.39, 16.57, 16.40
983	- - -	(Película delgada) 3359, 2976, 2932,1714, 1596, 1492, 1366, 1237, 1164, 753, 692	HRMS - ESI (*m/z*) ($[M+Na]^{+}$) calculada para $C_{21}H_{33}NO6Na$, 418.2178; encontrada, 418.2200	^{1}H RMN (400 MHz, $CDCl_3$) δ 7.29 - 7.21 (m, 2H), 6.97 (d, *J* = 8.2 Hz, 2H), 6.92 (t, *J* = 7.4 Hz, 1H), 5.36 - 5.27 (m, 1H), 4.80 (s, 1H), 4.36 (t, *J* = 5.6 Hz, 1H), 4.21 (s, 1H), 3.56 - 3.44 (m, 2H), 3.26 (s, 3H), 2.10 - 1.94 (m, 1H), 1.44 (s, 9H), 1.26 (d, *J* = 7.2 Hz, 3H), 1.05 - 0.95 (m, 6H) ^{13}C RMN (126 MHz, $CDCl_3$) δ 172.79

*Comp. No.	P.F. (°C)	*1R (cm^{-1})	MASA	RMN (^{1}H, ^{13}C, ^{19}F)
				160.00, 154.98, 129.45, 120.92, 115.74, 80.46, 73.72, 70.75, 59.07, 49.36 29.70, 28.33, 19.61, 17.86
984	- - -	(Película delgada) 3371, 2962, 2933, 1714, 1596, 1492, 1365, 1238, 1164, 1064, 1027, 751, 691	ESIMS *m/z* 416.2 ($[M+Na]^{+}$)	^{1}H RMN (400 MHz, $CDCl_3$) δ 7.29 - 7.21 (m, 2H), 7.00 - 6.85 (m, 3H), 5.29 5.16 (m, 1H), 4.74 (s, 1H), 4.18 - 4.06 (m, 2H), 2.10 - 1.93 (m, 1H), 1.67 - 1.56 (m, 2H), 1.44 (s, 9H), 1.40 - 1.25 (m, 2H), 1.23 (d, *J* = 7.2 Hz, 3H), 1.03 - 0.98 (m, 6H), 0.88 (t, *J* = 7.3 Hz, 3H). ^{13}C RMN (126 MHz, $CDCl_3$) δ 172.81, 159.92, 154.98, 129.46, 120.82, 115.61, 82.60, 79.53, 75.20, 49.35, 29.68 28.33, 19.83, 18.38, 13.92
985	- - -	(Película delgada) 3356, 2973, 2932, 1715, 1596, 1493, 1366, 1236, 1164, 1053, 753, 691	ESIMS *m/z* 418.2 ($[M+Na]^{+}$)	^{1}H RMN (400 MHz, $CDCl_3$) δ 7.28 - 7.21 (m, 2H), 6.98 - 6.88 (m, 3H), 5.26 - 5.15 (m, 1H), 5.01 (s, 1H), 4.46 (dd, *J* = 6.5, 4.8 Hz, 1H), 4.30 (s, 1H), 3.67 (dd, *J* = 11.0, 2.9 Hz, 1H), 3.55 (dd, *J* = 11.0, 5.2 Hz, 1H), 3.22 (s, 3H), 2.07 - 1.92 (m, 1H), 1 44 (s, 9H), 1.25 (d, *J* = 7.2 Hz, 3H), 1.01 (d, *J* = 3.3 Hz, 3H), 1.00 (d, *J* = 3.2 Hz, 3H) ^{13}C RMN (126 MHz, $CDCl_3$) δ 172.58, 159.66, 154.91, 129.47,

*Comp. No.	P.F. (°C)	*1R (cm^{-1})	MASA	RMN (^{1}H, ^{13}C, ^{19}F)
				121.13, 115.98, 80.25, 73.66, 70.39, 58.90, 49.33 29.76, 28.32, 19.71, 18.45, 16.82
986	- - -	- - -	HRMS - ESI (*m/z*) ($[M+Na]^+$) calculada para $C_{22}H_{35}NO5Na$, 416.2407; encontrada, 416.2390	^{1}H RMN (300 MHz, $CDCl_3$) δ 7.30 - 7.19 (m, 2H), 6.99 - 6.86 (m, 3H), 5.10 (dd, *J* = 6.7, 4.2 Hz, 1H), 5.01 (d, *J* = 7.9 Hz, 1H), 4.38 - 4.20 (m, 2H), 2.03 (ddtd, *J* = 29.3, 13.6, 6.8, 4.0 Hz, 2H), 1.44 (s, 9H), 1.31 (d, *J* = 7.2 Hz, 3H), 1.03 (d, *J* = 2.4 Hz, 3H), 1.00 (d, *J* = 2.5 Hz, 3H), 0.93 (d, *J* = 6.9 Hz, 3H), 0.89 (d, *J* = 6.8 Hz, 3H) ^{13}C RMN (126 MHz, $CDCl_3$) δ 172.86, 159.45, 155.02, 129.50, 120.90, 115.72, 80.68, 79.76, 77.92, 49.37, 29.68, 28.60, 28.32, 20.45, 20.08, 18.37, 16.88
987	- - -	- - -	HRMS - ESI (*m/z*) ($[M+Na]^+$) calculada para $C_{22}H_{35}NO5Na$, 416.2407; encontrada, 416.2391	^{1}H RMN (300 MHz, $CDCl_3$) δ 7.28 - 7.11 (m, 2H), 6.95 - 6.84 (m, 3H), 5.16 (ddd, *J* = 9.9, 4.1, 2.9 Hz, 1H), 4.93 (d, *J* = 7.8 Hz, 1H), 4.25 - 4.03 (m, 2H), 2.04 - 1.91 (m, 1H), 1.78 (ddd, *J* = 14.7, 9.7, 4.8 Hz, 1H), 1.70 - 1.58 (m, 1H), 1.43 (s, 9H), 1.35 - 1.21 (m, 2H), 1.04 (q, 6.9 Hz, 9H), 0.90 (t,

*Comp. No.	P.F. (°C)	*1R (cm^{-1})	MASA	RMN (^{1}H, ^{13}C, ^{19}F)
				J = 7.3 Hz, 3H). ^{13}C RMN (126 MHz, $CDCl_3$) δ 172.97, 160.08, 154.95, 129.47, 121.00, 116.19, 83.84, 79.72, 75.66, 49.28, 31.03, 30.33, 28.31, 19.48, 18.76, 18.56, 18.09, 13.89
988	- - -	- - -	HRMS - ESI (*m/z*) ($[M+Na]^+$) calculada para $C_{21}H_{31}NO5Na$, 400.2094; encontrada, 400.2100	^{1}H RMN (300 MHz, $CDCl_3$) δ 7.31 - 7.19 (m, 2H), 6.99 - 6.84 (m, 3H), 6.02 (ddd, *J* = 17.5, 10.5, 7.2 Hz, 1H), 5.54 5.46 (m, 1H), 5.44 - 5.27 (m, 2H), 4.89 (s, 1H), 4.27 - 4.12 (m, 2H), 1.97 (dq, *J* = 13.7, 6.9 Hz, 1H), 1.42 (s, 9H), 1.14 0.93 (m, 9H). ^{13}C RMN (126 MHz, $CDCl_3$) δ 172.23, 159.99, 154.92, 131.86, 129.46, 121.19, 119.90, 116.45, 84.01, 79.77, 76.55, 49.35, 30.20, 28.31, 19.24, 18.53, 18.17
989	- - -	(Película delgada) 3358, 2957, 2870, 1712, 1629, 1600, 1509, 1467, 1389, 1366,	ESIMS *m/z* 430.6 ($[M+H]^+$)	^{1}H RMN (500 MHz, $CDCl_3$) δ 7.74 (t, *J* = 8.3 Hz, 2H), 7.68 (d, *J* = 8.2 Hz, 1H), 7.42 (t, *J* = 7.4 Hz, 1H), 7.33 (t, *J* = 7.4 Hz, 1H), 7.16 (s, 1H), 7.12 (dd, *J* = 8.9, 2.2 Hz, 1H), 5.18 (qd, *J* = 6.5, 2.9 Hz, 1H), 4.96 (s, 1H), 4.62 (dt, *J* = 7.9, 3.2 Hz, 1H), 4.21 (d, *J* = 6.8 Hz,

*Comp. No.	P.F. (°C)	*1R (cm^{-1})	MASA	RMN (^1H, ^{13}C, ^{19}F)
		1254, 1215, 1165, 1119, 1053, 986 836, 810 747		1H), 1.85 (dq, *J* = 13.3, 6.6 Hz, 1H), 1.77 (ddd, *J* = 14.2, 8.8, 5.4 Hz, 1H), 1.48 - 1.44 (m, 1H), 1.41 (s, 9H), 1.36 (d, *J* = 6.6 Hz, 3H), 1.18 (d, *J* = 7.2 Hz, 3H), 1.00 (d, *J* = 6.6 Hz, 3H), 0.94 (d, *J* = 6.5 Hz, 3H).
990	- - -	(Película delgada) 3360, 2958, 1712, 1608, 1592, 1488, 1449, 1366, 1307, 1277, 1211, 1163, 1131, 1053, 1007, 989 962, 852, 768, 681	ESMS *m/z* 398.6 ($[M+H]^+$)	^1H RMN (500 MHz, $CDCl_3$) δ 7.19 (q, *J* = 8.0 Hz, 1H), 6.73 - 6.55 (m, 3H), 5.09 (qd, *J* = 6.5, 2.7 Hz, 1H), 4.95 (s, 1H), 4.43 (dt, *J* = 8.6, 3.3 Hz, 1H), 4.21 (d, *J* = 6.5 Hz, 1H), 1.78 (t, *J* = 13.2, 6.5 Hz, 1H), 1.69 (ddd, *J* = 14.3, 9.0, 5.4 Hz, 1H), 1.43 (s, 9H), 1.37 (ddd, *J* = 13.7, 8.5, 3.9 Hz, 1H), 1.31 (d, *J* = 6.6 Hz, 3H), 1.22 (d, *J* = 7.2 Hz, 3H), 0.97 (d, *J* = 6.6 Hz, 3H), 0.92 (d, *J* = 6.5 Hz, 3H).
991	- - -	(Película delgada) 3359, 2959, 1711, 1623, 1601, 1507, 1454, 1430, 1366, 1299,	ESIMS *m/z* 416.6 ($[M+H]^+$)	^1H RMN (500 MHz, $CDCl_3$) δ 7.00 (td, *J* = 9.8, 5.3 Hz, 1H), 6.70 (ddd, *J* = 9 6, 6 6, 2.9 Hz, 1H), 6.60 (t, *J* = 8.3 Hz, 1H), 5.09 (tt, *J* = 6.5, 3.2 Hz, 1H), 4.94 (s, 1H), 4.41 (dd, *J* = 5.7, 2.9 Hz, 1H), 4.20 (d, *J* = 7.0 Hz, 1H), 1.82 (dt, *J* = 13.4, 6.6 Hz, 1H), 1.75 (ddd, *J* = 14.2,

*Comp. No.	P.F. (°C)	*1R (cm^{-1})	MASA	RMN (^{1}H, ^{13}C, ^{19}F)
		1246, 1204, 1162, 1124, 1098, 1053, 993, 856, 837, 789, 759, 725		8.9, 5.3 Hz, 1H), 1.43 (s, 9H), 1.40 - 1.35 (m, 1H), 1.33 (d, *J* = 6.6 Hz, 3H), 1.22 (d, *J* = 7.2 Hz, 3H), 0.98 (d, *J* = 6.6 Hz, 3H), 0.94 (d, *J* = 6.5 Hz, 3H).
992	- - -	(Película delgada) 3361, 2958, 2871, 1712, 1592, 1495, 1476, 1454, 1366, 1282, 1228 1163, 1123, 1091, 1052, 997 982, 951, 904, 857, 774, 681	ESIMS *m/z* 414.6 ($[M+H]^{+}$)	^{1}H RMN (500 MHz, $CDCl_3$) δ 7.17 (t, *J* = ^{1}H RMN (500 8.0 Hz, 1H), 6.96 - 6.84 (m, 2H), 6.82 6.70 (m, 1H), 5.08 (td, *J* = 6 5, 2.4 Hz, 1H), 4.96 (s, 1H), 4.44 (dq, *J* = 6.6, 4.4, 3.0 Hz, 1H), 4.26 - 4.12 (m, 1H), 1.77 (tt, *J* = 13.2, 6.4 Hz, 1H), 1.69 (ddd, *J* = 14.2, 8.9, 5.5 Hz, 1H), 1.43 (s, 9H), 1.40 - 1.33 (m, 1H), 1.31 (d, *J* = 6.5 Hz, 3H), 1.23 (d, *J* = 7.2 Hz, 3H), 0.97 (d, *J* = 6.6 Hz, 3H), 0.92 (d, *J* = 6.5 Hz, 3H)
993	- - -	(Película delgada) 3361, 2957, 2871, 1713, 1603, 1495, 1452, 1366,	ESIMS *m/z* 428.6 ($[M+H]^{+}$)	^{1}H RMN (500 MHz, $CDCl_3$) δ 7.16 (s, 1H), 6.95 (d, *J* = 7.7 Hz, 1H), 6.80 (d, *J* = 8.4 Hz, 1H), 5.08 (tt, *J* = 6 5, 3.3 Hz, 1H), 4.94 (s, 1H), 4.54 - 4.37 (m, 1H), 4.21 (s, 1H), 2.25 (s, 3H), 1.87 - 1.70 (m, 2H), 1.43 (s, 9H), 1.41 - 1.37

*Comp. No.	P.F. (°C)	*1R (cm^{-1})	MASA	RMN (^{1}H, ^{13}C, ^{19}F)
		1251, 1209, 1163, 1121, 1057, 978, 950, 859, 804, 758, 683		(m, 1H), 1.35 (d, *J* = 6.5 Hz, 3H), 1.18 (d, *J* = 7.1 Hz, 3H), 0.98 (d, *J* = 6.5 Hz, 3H), 0.93 (d, *J* = 6.5 Hz, 3H).
994	- - -	(Película delgada) 3359, 2957, 1711, 1599, 1491, 1449, 1366, 1303, 1251, 1200, 1163, 1123, 1067, 1026, 995, 918 834, 784, 733, 674	ESIMS *m/z* 444.6 ($[M+H]^+$)	^{1}H RMN (500 MHz, $CDCl_3$) δ 7.21 (d, *J* = 8.7 Hz, 1H), 6.50 (d, *J* = 2.4 Hz, 1H), 6.42 (dd, *J* = 8.7, 2.4 Hz, 1H), 5.09 (dt, *J* = 9.1, 4.6 Hz, 1H), 4.95 (s, 1H), 4.41 (dd, *J* = 8.0, 4.0 Hz, 1H), 4.21 (dd, *J* = 16.7, 7.2 Hz, 1H), 3.86 (s, 3H), 1.78 (tt, *J* = 13.2, 6.5 Hz, 1H), 1.68 (ddd, *J* = 14.2, 8.9, 5.4 Hz, 1H), 1.43 (s, 9H), 1.40 - 1.33 (m, 1H), 1.31 (d, *J* = 6.6 Hz, 3H), 1.24 (d, *J* = 7.2 Hz, 3H), 0.97 (d, *J* = 6.6 Hz, 3H), 0.92 (d, *J* = 6.6 Hz, 3H).
995	- - -	(Película delgada) 3359, 2957, 2871, 1718, 1502, 1453, 1366, 1307, 1248, 1214,	ESIMS *m/z* 360.6 ($[M+H]^+$)	^{1}H RMN (500 MHz, $CDCl_3$) δ 5.16 4.97 (m, 2H), 4.37 - 4.23 (m, 1H), 3.46 - 3.36 (m, 1H), 3.36 - 3.26 (m, 1H), 3.11 (dd, *J* = 8.4, 6.7 Hz, 1H), 1.80 (d hepteto, *J* = 12.0, 6.5 Hz, 2H), 1.47 (d, *J* = 9.1 Hz, 1H), 1.45 (s, 9H), 1.39 (d, *J* = 7.0 Hz, 3H), 1.21 (d, *J* =

*Comp. No.	P.F. (°C)	*1R (cm^{-1})	MASA	RMN (^{1}H, ^{13}C, ^{19}F)
		1168, 1094, 1067, 857		6.5 Hz, 3H), 1.14 (ddt, *J* = 16.3, 10.8, 5.2 Hz, 1H), 0.93 (d, *J* = 6.6 Hz, 3H), 0.89 (d, *J* = 6.6 Hz, 9H)
996	- - -	(Película delgada) 3357, 2956, 2870, 1715, 1602, 1502, 1453, 1366, 1307, 1249, 1212, 1166, 1063, 1021, 857, 782	ESMS *m/z* 358.6 ($[M+H]^+$)	^{1}H RMN (500 NMz, $CDCl_3$) δ 5.13 - 4.94 (m, 2H), 4.37 - 4.22 (m, 1H), 3 45 (dd, *J* = 9.8, 7.1 Hz, 1H), 3.43 - 3.35 (m, 1H), 3.26 (dd, *J* = 9.9, 6.8 Hz, 1H), 1.88 1.74 (m, 1H), 1.53 - 1.46 (m, 1H), 1.45 (s, 9H), 1.39 (d, *J* = 7.0 Hz, 3H), 1.22 (d, *J* = 6.6 Hz, 3H), 1.15 (ddd, *J* = 15.8, 7.7, 2.9 Hz, 1H), 1.05 (dq, *J* = 12.4, 6.2, 5.7 Hz, 1H), 0.94 (d, *J* = 6.7 Hz, 3H), 0.90 (d, *J* = 6.6 Hz, 3H), 0.56 - 0.47 (m, 2H), 0.19 (d, *J* = 4.5 Hz, 2H).
997	- - -	(Película delgada) 3358, 2957, 2871, 1711, 1596, 1489, 1453, 1366, 1278, 1238, 1163, 1124, 1092, 1053, 978, 950	ESIMS *m/z* 414.6 ($[M+H]^+$)	^{1}H RMN (500 MHz, $CDCl_3$) δ 7.21 (d, *J* = 8.8 Hz, 2H), 6.83 (d, *J* = 8.8 Hz, 2H), 5.13 - 5.02 (m, 1H), 4.94 (s, 1H), 4.44 - 4.33 (m, 1H), 4.27 - 4.13 (m, 1H), 1.77 (dq, *J* = 13.1, 6.5 Hz, 1H), 1.72 - 1.65 (m, 1H), 1.43 (s, 9H), 1.39 - 1.35 (m, 1H), 1.30 (d, *J* = 6.6 Hz, 3H), 1.22 (d, *J* = 7.2 Hz, 3H), 0.97 (d, *J* = 6.6 Hz, 3H), 0.91 (d, *J* = 6.6 Hz, 3H).

*Comp. No.	P.F. (°C)	*1R (cm^{-1})	MASA	RMN (^{1}H, ^{13}C, ^{19}F)
		825, 783, 752, 667		
998	- - -	(Película delgada) 3369, 2960, 2874, 1738, 1650, 1591, 1576, 1529, 1480	HRMS - ESI (*m/z*) ($[M+H]^+$) calculada para $C_{22}H_{28}ClN_2O_6$, 451.163; encontrada, 451.1639	^{1}H RMN (300 MHz, $CDCl_3$) δ 12.07 (s, 1H), 8.41 (d, *J* = 8.0 Hz, 1H), 7.97 (dd, *J* = 5.2, 0.9 Hz, 1H), 7.14 (t, *J* = 8.4 Hz, 1H), 6.98 - 6.82 (m, 3H), 6.77 (ddd, *J* = 8.3, 2.4, 1.0 Hz, 1H), 5.14 (qd, *J* = 6.5, 3.3 Hz, 1H), 4.74 - 4.54 (m, 1H), 4.37 (dt, *J* = 7.8, 3.8 Hz, 1H), 3.94 (s, 3H), 1.77 - 1 48 (m, 4H), 1.41 (d, *J* = 7.2 Hz, 3H), 1.35 (d, *J* = 6.5 Hz, 3H), 0.93 (t, *J* = 7.2 Hz, 3H)
999	- - -	(Película delgada) 3368, 2960, 2873, 1737, 1649, 1606, 1576, 1528, 1495, 1481	HRMS - ESI (*m/z*) ($[M+H]^+$) calculada para $C_{23}H_{30}ClN_2O_6$, 465.1787; encontrada, 465.1801	^{1}H RMN (300 NMz, $CDCl_3$) δ 12.10 (d, *J* = 0.6 Hz, 1H), 8.40 (d, *J* = 7.8 Hz, 1H), 7.97 (d, *J* = 5.2 Hz, 1H), 7.11 (dd, *J* = 2.1, 0.8 Hz, 1H), 6.92 (ddd, *J* = 8.3, 2.2, 0.8 Hz, 1H), 6.86 (dd, *J* = 5.3, 0.6 Hz, 1H), 6.79 (d, *J* = 8.4 Hz, 1H), 5.14 (qd, *J* = 6.5, 3.1 Hz, 1H), 4.70 - 4.53 (m, 1H), 4.39 (dt, *J* = 7.7, 3.6 Hz, 1H), 3.94 (s, 3H), 2.23 (s, 3H), 1.83 - 1.67 (m, 1H), 1.67 - 1.47 (m, 3H), 1.41 (d, *J* = 6.5 Hz, 3H), 1.35 (d, *J* = 7.2 Hz, 3H), 0.95 (t, *J* = 7.1 Hz, 3H).

*Comp. No.	P.F. (°C)	*1R (cm^{-1})	MASA	RMN (^{1}H, ^{13}C, ^{19}F)
1000	- - -	(Película delgada) 3368, 2940, 1737, 1648, 1578, 1528, 1481, 1448	HRMS - ESI (*m/z*) ($[M+H]^+$) calculada para $C_{23}H_{28}ClN_2O_7$, 479.158; encontrada, 479.159	^{1}H RMN (300 MHz, $CDCl_3$) δ 12.07 (d, *J* = 0.7 Hz, 1H), 8.39 (d, *J* = 7.8 Hz, 1H), 7.94 (d, *J* = 5.2 Hz, 1H), 7.15 (dd, *J* = 13.3, 8.6 Hz, 1H), 6.86 (dd, *J* = 5.3, 0.7 Hz, 1H), 6.49 (dd, *J* = 6 4, 2.7 Hz, 1H), 6.42 - 6.31 (m, 1H), 5.24 (qd, *J* = 6.5, 3.5 Hz, 1H), 4.78 - 4.59 (m, 1H), 3.95 (s, 3H), 3.85 (s, 3H), 3.81 (dd, *J* = 7.8, 3.4 Hz, 1H), 1.45 (d, *J* = 7.2 Hz, 3H), 1.44 (d, *J* = 6.5 Hz, 3H), 1.08 (C1t, *J* = 8.0, 5.2 Hz, 1H), 0.59 (ddd, *J* = 7.7, 4.5, 2.8 Hz, 2H), 0.45 - 0.31 (m, 2H).
1001	- - -	(Película delgada) 3369, 2961, 1736, 1649, 1578, 1528, 1481	HRMS - ESI (*m/z*) ($[M+H]^+$) calculada para $C_{24}H_{32}ClN_2O_7$, 495.1893; encontrada, 495.1906	^{1}H RMN (300 MHz, $CDCl_3$) δ 12.07 (s, 1H), 8.39 (d, *J* = 7.8 Hz, 1H), 7.98 (d, *J* = 5.3 Hz, 1H), 7.05 (d, *J* = 8.7 Hz, 1H), 6.89 (d, *J* = 5.2 Hz, 1H), 6.55 (d, *J* = 2.7 Hz, 1H), 6.46 (dd, *J* = 8.7, 2.7 Hz, 1H), 5.37 (qd, *J* = 6.4, 2.5 Hz, 1H), 4.64 (p, *J* = 7.2 Hz, 1H), 4.04 (d, *J* = 2.6 Hz, 1H), 3.95 (s, 3H), 3.87 (s, 3H), 1.44 (d, *J* = 7.2 Hz, 3H), 1.31 (d, *J* = 6.5 Hz, 3H), 1.02 (s, 9H)
1002	- - -	(Película delgada)	HRMS - ESI (*m/z*) ($[M+H]^+$) calculada	^{1}H RMN (300 MHz, $CDCl_3$) δ 12.15 (d, *J* = 0.6 Hz, 1H), 8.49 (d, *J* = 8.0 Hz,

*Comp. No.	P.F. (°C)	*1R (cm^{-1})	MASA	RMN (^{1}H, ^{13}C, ^{19}F)
		3370, 3004, 2939, 2876, 1734, 1648, 1576, 1527, 1481	para $C_{20}H_{29}N_2O_6$, 393.202; encontrada, 393.2026	1H), 7.99 (d, *J* = 5.2 Hz, 1H), 6.87 (dd, *J* = 5.3, 0.7 Hz, 1H), 5.17 (qd, *J* = 6.6, 3.5 Hz, 1H), 4.82 - 4.64 (m, 1H), 3.95 (s, 3H), 3.38 (dd, *J* = 10.2, 6.8 Hz, 1H), 3.32 (dd, *J* = 10.0, 6.9 Hz, 1H), 2.73 (dd, *J* = 8.5, 3.5 Hz, 1H), 1.56 (d, *J* = 7.2 Hz, 3H), 1.35 (d, *J* = 6.5 Hz, 3H), 1.09 - 0.94 (m, 1H), 0.94 - 0.80 (m, 1H), 0.65 - 0.42 (m, 4H), 0.42 - 0.32 (m, 1H), 0.31 - 0.21 (m, 1H), 0.21 - 0.10 (m, 2H).
1003	- - -	(Película delgada) 3370, 2958, 2872, 1735, 1649, 1576, 1527, 1481	HRMS - ESI (*m/z*) ($[M+H]^+$) calculada para $C_{20}H_{31}N_2O_6$, 395.2177; encontrada, 395.2184	^{1}H RMN (300 MHz, $CDCl_3$) δ 12.14 (d, *J* = 0.6 Hz, 1H), 8.48 (d, *J* = 7.9 Hz, 1H), 7.99 (d, *J* = 5.2 Hz, 1H), 6.87 (dd, *J* = 5.2, 0.7 Hz, 1H), 5.05 (qd, *J* = 6.5, 3.3 Hz, 1H), 4.78 - 4.61 (m, 1H), 3.95 (s, 3H), 3.42 (dd, *J* = 9.9, 7.0 Hz, 1H), 3.34 (dt, *J* = 8.3, 3.5 Hz, 1H), 3.24 (dd, *J* = 9.9, 6.7 Hz, 1H), 1.63 - 1.50 (m, 2H), 1.56 (d, *J* = 7.2 Hz, 3H), 1.53 - 1.31 (m, 2H), 1.26 (d, *J* = 6.5 Hz, 3H), 1.11 - 0.95 (m, 1H), 0.92 (t, *J* = 7.0 Hz, 3H), 0.53 0.41 (m, 2H), 0.21 - 0.09 (m, 2H).
1004	- - -	(Película	HRMS - ESI (*m/z*)	^{1}H RMN (300 MHz, $CDCl_3$) δ 12.13 (d,

*Comp. No.	P.F. (°C)	*1R (cm^{-1})	MASA	RMN (^{1}H, ^{13}C, ^{19}F)
		delgada) 3370, 2954, 2871, 1733, 1649, 1576, 1528, 1481	($[M+H]^+$) calculada para $C_{21}H_{33}N_2O_6$, 409.2333; encontrada, 409.2342	*J* = 0.6 Hz, 1H), 8.47 (d, *J* = 7.9 Hz, 1H), 7.99 (d, *J* = 5.2 Hz, 1H), 6.88 (dd, *J* = 5.3, 0.6 Hz, 1H), 5.25 (qd, *J* = 6.5, 2.0 Hz, 1H), 4.69 (dq, 8.1, 7.2 Hz, 1H), 3.95 (s, 3H), 3.51 (dd, *J* = 9.8, 6.7 Hz, 1H), 3.21 (dd, *J* = 9.8, 6.7 Hz, 1H), 2.98 (d, *J* = 1.9 Hz, 1H), 1.54 (d, *J* = 7.2 Hz, 3H), 1.29 (d, *J* = 6.4 Hz, 3H), 1.10 - 0.96 (m, 1H), 0.95 (s, 9H), 0.51 - 0.40 (m, 2H), 0.21 - 0.09 (m, 2H).
1005	- - -	(Película delgada) 3366, 2940, 1737, 1648, 1576, 1528, 1495, 1481	HRMS - ESI (*m/z*) ($[M+H]^+$) calculada para $C_{23}H_{28}ClN_2O_6$, 463.163; encontrada, 463.1642	^{1}H RMN (300 MHz, $CDCl_3$) δ 12.12 (d, *J* = 0.7 Hz, 1H), 8.44 (d, *J* = 8.0 Hz, 1H), 7.97 (d, *J* = 5.1 Hz, 1H), 7.11 (dd, *J* = 2.1, 0.8 Hz, 1H), 6.91 (ddd, *J* = 8.3, 2.2, 0.8 Hz, 1H), 6.86 (d, *J* = 5.2 Hz, 1H), 6.79 (d, *J* = 8.3 Hz, 1H), 5.26 (qd, *J* = 6.6, 3.1 Hz, 1H), 4.74 - 4.62 (m, 1H), 3.94 (s, 3H), 3.80 (dd, *J* = 8.0, 3.1 Hz, 1H), 2.24 (t, 0.7 Hz, 3H), 1.50 (d, *J* = 6.6 Hz, 3H), 1.42 (d, *J* = 7.2 Hz, 3H), 1.12 (qt, *J* = 8.1, 5.1 Hz, 1H), 0.62 - 0.45 (m, 2H), 0.37 - 0.28 (m, 2H).
1006	- - -	(Película	HRMS - ESI (*m/z*)	^{1}H RMN (300 MHz, $CDCl_3$) δ 12.10 (d,

*Comp. No.	P.F. (°C)	*1R (cm^{-1})	MASA	RMN (^{1}H, ^{13}C, ^{19}F)
		delgada) 3370, 2959, 1736, 1649, 1576, 1529, 1496, 1481	($[M+H]^+$) calculada para $C_{24}H_{32}ClN_2O_6$, 479.1943 encontrada, 479.1957	*J* = 0.6 Hz, 1H), 8.42 (d, *J* = 7.9 Hz, 1H), 7.99 (d, *J* = 5.2 Hz, 1H), 7.14 - 7.10 (m, 1H), 6.88 (dd, *J* = 5.3, 0.6 Hz, 1H), 6.85 - 6.79 (m, 2H), 5.38 (qd, *J* = 6.5, 2.5 Hz, 1H), 4.74 - 4.53 (m, 1H), 4.14 (d, *J* = 2.5 Hz, 1H), 3.95 (s, 3H), 2.22 (s, 3H), 1.41 (d, *J* = 7.2 Hz, 3H), 1.36 (d, *J* = 6.5 Hz, 3H), 1.05 (s, 9H).
1007	- - -	(Película delgada) 3367, 2960, 1736, 1649, 1590, 1576, 1528, 1478	HRMS - ESI (*m/z*) ($[M+H]^+$) calculada para $C_{23}H_{30}ClN_2O_6$, 465.1787; encontrada, 465.1797	^{1}H RMN (300 MHz, $CDCl_3$) δ 12.08 (d, *J* = 0.6 Hz, 1H), 8.42 (d, *J* = 7.9 Hz, 1H), 7.98 (d, *J* = 5.2 Hz, 1H), 7.12 (t, *J* = 8.1 Hz, 1H), 6.98 (t, 2.2 Hz, 1H), 6.91 6.80 (m, 3H), 5.37 (qd, *J* = 6.5, 2.5 Hz, 1H), 4.72 - 4.57 (m, 1H), 4.08 (d, *J* = 2.5 Hz, 1H), 3.95 (s, 3H), 1.42 (d, *J* = 7.2 Hz, 3H), 1.32 (d, *J* = 6.5 Hz, 3H), 1.02 (s, 9H)
1008	- - -	(Película delgada) 3368, 2960, 2873, 1737, 1649, 1577, 1528, 1481, 1448	HRMS - ESI (*m/z*) ($[M+H]^+$) calculada para $C_{23}H_{30}ClN_2O_7$, 481.1736; encontrada, 481.1748	^{1}H RMN (300 NMz, $CDCl_3$) δ 12.07 (d, *J* = 0.6 Hz, 1H), 8.38 (d, *J* = 7.8 Hz, 1H), 7.94 (d, *J* = 5.2 Hz, 1H), 7.14 (d, *J* = 8.7 Hz, 1H), 6.86 (dd, *J* = 5.3, 0.6 Hz, 1H), 6.48 (d, *J* = 2.7 Hz, 1H), 6.39 (dd, *J* = 8.8, 2.7 Hz, 1H), 5.15 (qd, *J* = 6.6, 34 Hz, 1H), 4.71 - 4.56 (m, 1H),

*Comp. No.	P.F. (°C)	*1R (cm^{-1})	MASA	RMN (^{1}H, ^{13}C, ^{19}F)
				4.34 (dt, *J* = 7.9, 4.0 Hz, 1H), 3.95 (s, 3H), 3.85 (s, 3H), 1.81 - 1.48 (m, 4H), 1.43 (d, *J* = 7.3 Hz, 3H), 1.35 (d, *J* = 6.6 Hz, 3H), 0.93 (t, *J* = 7.2 Hz, 3H).
1009	- - -	(Película delgada) 3368, 2985, 2940, 1736, 1648, 1591, 1576, 1528, 1479	HRMS - ESI (*m/z*) ($[M+H]^+$) calculada para $C_{22}H_{26}ClN_2O_6$, 449.1474; 449.1484	^{1}H RMN (300 MHz, $CDCl_3$) δ 12.08 (s, 1H), 8.42 (d, *J* = 8.1 Hz, 1H), 7.97 (d, *J* = 5.2Hz, 1H), 7.14 (t, *J* = 8.O Hz, 1H), 6.96 - 6.82 (m, 3H), 6.76 (dd, *J* = 9.07 2.1 Hz, 1H), 5.28 - 5.18 (m, 1H), 4.68 (h, *J* = 7.5 Hz, 1H), 3.95 (s, 3H), 3.84 (dd, *J* = 7.7, 3.4 Hz, 1H), 1.44 (d, *J* = 6.6 Hz, 3H), 1.43 (d, *J* = 7.2 Hz, 3H), 1.18 - 1.01 (m, 1H), 0.67 - 0.55 (m, 2H), 0.46 - 0.34 (m, 2H)
1010	- - -	(Película delgada) 3368, 2984, 2940, 1737, 1648, 1576, 1528, 1508, 1480	HRMS - ESI (*m/z*) ($[M+H]^+$) calculada para $C_{23}H_{29}N_2O_6$, 429.202; encontrada, 429.2018	^{1}H RMN (500 MHz, $CDCl_3$) δ 12.12 (d, *J* = 0.6 Hz, 1H), 8.45 (d, *J* = 8.0 Hz, 1H), 7.97 (d, *J* = 5.2 Hz, 1H), 7.04 - 6.95 (m, 2H), 6.86 (d, *J* = 5.3 Hz, 1H), 6.78 (d, *J* = 8.5 Hz, 2H), 5.23 (qd, *J* = 6 5, 3.4 Hz, 1H), 4.71 - 4.61 (m, 1H), 3.94 (s, 3H), 3.76 (dd, *J* = 7.8, 3.5 Hz, 1H), 2.26 (s, 3H), 1.43 (d, *J* = 6.5 Hz, 3H), 1.42 (d, *J* = 7.2 Hz, 3H), 1.14 - 1.02 (m, 1H), 0.62 0.47 (m, 2H), 0.42 - 0.32 (m, 2H).

*Comp. No.	P.F. (°C)	*1R (cm^{-1})	MASA	RMN (^{1}H, ^{13}C, ^{19}F)
1011	- - -	(Película delgada) 3369, 2957, 1736, 1650, 1577, 1529, 1508, 1481	HRMS - ESI (*m/z*) ($[M+H]^+$) calculada para $C_{24}H_{33}N_2O_6$, 445.2333; 445.2342	^{1}H RMN (500 MHz, $CDCl_3$) δ 12.11 (d, *J* = 0.6 Hz, 1H), 8.43 (d, *J* = 7.9 Hz, 1H), 7.99 (d, *J* = 5.2 Hz, 1H), 7.02 - 6.94 (m, 2H), 6.87 (d, *J* = 5.1 Hz, 1H), 6.85 (d, *J* = 8.6 Hz, 2H), 5.35 (qd, *J* = 6 5, 2.6 Hz, 1H), 4.66 - 4.58 (m, 1H), 4.04 (d, *J* = 2.7 Hz, 1H), 3.95 (s, 3H), 2.25 (s, 3H), 1.38 (d, *J* = 7.2 Hz, 3H), 1.33 (d, *J* = 6.5 Hz, 3H), 1.02 (s, 9H).
1012	- - -	(Película delgada) 3368, 2959, 2873, 1737, 1649, 1576, 1528, 1509, 1481	HRMS - ESI (*m/z*) ($[M+H]^+$) calculada para $C_{23}H_{31}N_2O_6$, 431.2177; encontrada, 431.2173	^{1}H RMN (500 MHz, $CDCl_3$) δ 12.12 (s, 1H), 8.43 (d, *J* = 7.9 Hz, 1H), 7.97 (d, *J* = 5.2 Hz, 1H), 7.05 - 7.00 (m, 2H), 6.86 (d, *J* = 5.3 Hz, 1H), 6.79 (d, *J* = 8.6 Hz, 2H), 5.14 (qd, *J* = 6.5, 3.5 Hz, 1H), 4.67 - 4.59 (m, 1H), 4.31 (dt, *J* = 7.9, 3.7 Hz, 1H), 3.94 (s, 3H), 2.26 (s, 3H), 1.75 - 1.64 (m, 1H), 1.63 - 1.47 (m, 2H), 1.47 - 1.37 (m, 1H), 1.39 (d, *J* = 7.2 Hz, 3H), 1.34 (d, *J* = 6.5 Hz, 3H), 0.93 (t, *J* = 7.2 Hz, 3H).
1013	- - -	(Película delgada) 3368, 2959, 1737, 1649, 1577, 1528,	HRMS - ESI (*m/z*) ($[M+H]^+$) calculada para $C_{23}H_{31}N_2O_7$, 447.2126; encontrada	^{1}H RMN (500 MHz, $CDCl_3$) δ 12.10 (d, *J* = 0.6 Hz, 1H), 8.43 (d, *J* = 8.0 Hz, 1H), 7.97 (d, *J* = 5.2 Hz, 1H), 7.12 (t, *J* = 8.2 Hz, 1H), 6.87 - 6.82 (m, 1H), 6.50 - 6.46 (m, 2H), 6.45 (t, *J* = 2.3

*Comp. No.	P.F. (°C)	*1R (cm^{-1})	MASA	RMN (^{1}H, ^{13}C, ^{19}F)
		1481	447.214	Hz, 1H), 5.15 (qd, *J* = 6.5, 3.5 Hz, 1H), 4.68 - 4.60 (m, 1H), 4.37 (dt, *J* = 8.0, 3.8 Hz, 1H), 3.94 (s, 3H), 3.77 (s, 3H), 1.76 - 1.65 (m, 1H), 1.66 - 1.45 (m, 2H), 1.47 - 1.36 (m, 1H), 1.40 (d, *J* = 7.2 Hz, 3H), 1.35 (d, *J* = 6.5 Hz, 3H), 0.93 (t, *J* = 7.3 Hz, 3H)
1014	- - -	(Película delgada) 3368, 2940, 2838, 1737, 1649, 1600, 1577, 1529	HRMS - ESI (*m/z*) ($[M+H]^+$) calculada para $C_{23}H_{29}N_2O_7$, 445.1969; encontrada, 445.198	^{1}H RMN (500 MHz, $CDCl_3$) δ 12.11 (d, *J* = Hz, 1H), 8.44 (d, *J* = 8.0 Hz, 1H), 7.97 (d, *J* = 5.2 Hz, 1H), 7.11 (t, *J* = 8.2 Hz, 1H), 6.86 (dd, *J* = 5.3, 0.6 Hz, 1H), 6.48 (tdd, *J* = 8.0, 2.4, 0.9 Hz, 2H), 6.45 (t, *J* = 2.3 Hz, 1H), 5.24 (qd, *J* = 6 5, 3.6 Hz, 1H), 4.72 - 4.61 (m, 1H), 3.94 (s, 3H), 3.87 - 3.82 (m, 1H), 3.77 (s, 3H), 1.44 (d, *J* = 6.6 Hz, 3H), 1.42 (d, *J* = 7.3 Hz, 3H), 1.19 - 1.02 (m, 1H), 0.65 - 0.50 (m, 2H), 0.48 - 0.30 (m, 2H).
1015	- - -	(Película delgada) 3367, 2959, 1736, 1649, 1577, 1529, 1481	HRMS - ESI (*m/z*) ($[M+H]^+$) calculada para $C_{24}H_{33}N_2O_7$, 461.2282, encontrada, 461.2292	^{1}H RMN (300 MHz, $CDCl_3$) δ 12.11 (d, *J* = 0.6 Hz, 1H), 8.44 (d, *J* = 7.9 Hz, 1H), 7.98 (d, *J* = 5.2 Hz, 1H), 7.10 (t, *J* = 8.2 Hz, 1H), 6.87 (d, *J* = 5.1 Hz, 1H), 6.60 - 6.51 (m, 2H), 6.46 (ddd, *J* = 8.2, 2.4, 0.8 Hz, 1H), 5.35 (qd, *J* =

*Comp. No.	P.F. (°C)	*1R (cm^{-1})	MASA	RMN (^{1}H, ^{13}C, ^{19}F)
				6.5, 2.8 Hz, 1H), 4.71 - 4.54 (m, 1H), 4.10 (d, *J* = 2.8 Hz, 1H), 3.94 (s, 3H), 3.78 (s, 3H), 1.40 (d, *J* = 7.2 Hz, 3H), 1.33 (d, *J* = 6.5 Hz, 3H), 1.02 (s, 9H).
1016	- - -	(Película delgada) 3369, 2985, 2940, 1737, 1648, 1596, 1576, 1481	HRMS - ESI (*m/z*) ($[M+H]^+$) calculada para $C_{22}H_{27}N_2O_6$, 415.1864; encontrada, 415.1869	^{1}H RMN (500 MHz, $CDCl_3$) δ 12.11 (d, *J* = 0.7 Hz, 1H), 8.43 (d, *J* = 7.9 Hz, 1H), 7.97 (d, *J* = 5.2 Hz, 1H), 7.22 (dd, *J* = 8.7, 7.4 Hz, 2H), 6.92 (tt, *J* = 7.4, 1.1 Hz, 1H), 6.88 (dt, *J* = 7.9, 1.1 Hz, 2H), 6.86 (d, *J* = 5.3 Hz, 1H), 5.24 (qd, *J* = 6.6, 3.5 Hz, 1H), 4.71 - 4.59 (m, 1H), 3.94 (s, 3H), 3.85 (dd, *J* = 7.7, 3.5 Hz, 1H), 1.45 (d, *J* = 6.6 Hz, 3H), 1.39 (d, *J* = 7.2 Hz, 3H), 1.18 - 1.04 (m, 1H), 0.63 - 0.50 (m, 2H), 0.44 - 0.28 (m, 2H)
1017	- - -	(Película delgada) 3368, 2959, 1737, 1650, 1577, 1491, 1481	HRMS - ESI (*m/z*) ($[M+H]^+$) calculada para $C_{23}H_{31}N_2O_6$, 431.2177; encontrada, 431.2164	^{1}HRMN (500 NMz, $CDCl_3$) δ 12.10 (d, *J* = Hz, 1H), 8.42 (d, *J* = 7.9 Hz, 1H), 7.99 (d, *J* = 5.2 Hz, 1H), 7.21 (dd, *J* = 8.8, 7.3 Hz, 2H), 6.99 - 6.93 (m, 2H), 6.92 - 6.84 (m, 2H), 5.36 (qd, *J* = 6.5, 2.6 Hz, 1H), 4.62 (p, *J* = 7.3 Hz, 1H), 4.10 (d, *J* = 2.6 Hz, 1H), 3.95 (s, 3H), 1.37 (d, *J* = 7.2 Hz, 3H), 1.34 (d, *J* = 6.5 Hz, 3H), 1.03 (s, 9H).

*Comp. No.	P.F. (°C)	*1R (cm^{-1})	MASA	RMN (^{1}H, ^{13}C, ^{19}F)
1018	- - -	(Película delgada) 3358, 2966, 1750, 1659, 1524, 1491, 1239, 1132	HRMS - ESI (*m/z*) ($[M+H]^+$) calculada para $C_{22}H_{26}F_3N_2O_6$, 471.1737; encontrada, 471.1731	^{1}H RMN (400 MHz, $CDCl_3$) δ 11.63 - 11.33 (m, 1H), 8.80 - 8.57 (m, 1H), 8.17 - 7.92 (m, 1H), 7.27 - 7.16 (m, 2H), 6.97 - 6.86 (m, 4H), 5.41 - 4.97 (m, 2H), 4.33 - 4.20 (m, 1H), 4.06 - 3.93 (m, 3H), 2.07 - 1.90 (m, 1H), 1.42 - 1.36 (m, 3H), 1.08 0.93 (m, 6H). ^{19}F RMN (376 MHz, $CDCl_3$) δ - 71.86, - 71.89.
1019	- - -	(Película delgada) 3367, 2981, 1737, 1649, 1528, 1263, 1058	HRMS - ESI (*m/z*) ($[M+H]^+$) calculada para $C_{20}H_{29}N_2O_6$, 393.2020; encontrada, 393.2018	^{1}H RMN (400 MHz, $CDCl_3$) δ 12.13 (s, 1H), 8.50 (d, *J* = 7.9 Hz, 1H), 7.98 (d, *J* = 5.2 Hz, 1H), 6.87 (d, *J* = 5.3 Hz, 1H), 5.84 (ddt, *J* = 17.2, 10.2, 7.0 Hz, 1H), 5.18 - 5.02 (m, 3H), 4.94 (dq, *J* = 2.2, 1.1 Hz, 1H), 4.84 (ddd, *J* = 2.5, 1.7, 0.9 Hz, 1H), 4.79 - 4.62 (m, 1H), 4.05 - 3.84 (m, 5H), 3.46 (ddd, *J* = 7.0, 5.4, 3.6 Hz, 1H), 2.39 - 2.21 (m, 2H), 1.72 (t, 1.1 Hz, 3H), 1.56 (d, *J* = 7.2 Hz, 3H), 1.29 (d, *J* = 6.5 Hz, 3H) ^{13}C RMN (101 MHz, $CDCl_3$) δ 171.46, 168.71, 155.37, 148.76, 142.23, 140.46, 134.28, 130.45, 117.33, 112.09, 109.46, 80.11, 74.45, 73.17, 56.04, 48.05, 35.31, 19.55, 18.29,

*Comp. No.	P.F. (°C)	*1R (cm^{-1})	MASA	RMN (^{1}H, ^{13}C, ^{19}F)
				14.72.
1020	- - -	(Película delgada) 3373, 2942, 1740, 1529, 1325, 1249, 1112, 1067	HRMS - ESI (*m/z*) ($[M+H]^+$) calculada para $C_{23}H_{26}F_3N_2O_6$, 483.1737; encontrada, 483.1732	^{1}H RMN (400 MHz, $CDCl_3$) δ 12.05 (s, 1H), 8.39 (d, *J* = 7.8 Hz, 1H), 7.94 (d, *J* = 5.2 Hz, 1H), 7.53 - 7.43 (m, 2H), 6.95 (d, *J* = 8.6 Hz, 2H), 6.86 (d, *J* = 5.2 Hz, 1H), 5.81 (ddt, *J* = 17.1, 10.2, 7.0 Hz, 1H), 5.28 - 5.06 (m, 3H), 4.65 (p, *J* = 7.3 Hz, 1H), 4.49 (ddd, *J* = 7.1, 5.5, 3.7 Hz, 1H), 3.94 (s, 3H), 2.56 - 2.34 (m, 2H), 1.43 (d, *J* = 7.2 Hz, 3H), 1.38 (d, *J* = 6.5 Hz, 3H). ^{19} F RMN (376 MHz, $CDCl_3$) δ - 61.59
1021	- - -	(Película delgada) 3366, 2981, 1739, 1528, 1479, 1241	HRMS - ESI (*m/z*) ($[M+H]^+$) calculada para $C_{22}H_{26}ClN_2O_6$, 449.1474; encontrada, 449.1472	^{1}H RMN (400 MHz, $CDCl_3$) δ 12.06 (d, *J* = 0.6 Hz, 1H), 8.42 (d, *J* = 7.9 Hz, 1H), 7.96 (d, *J* = 5.2 Hz, 1H), 7.15 (t, *J* = 8.4 Hz, 1H), 6.95 - 6.88 (m, 2H), 6.86 (d, *J* = 5.2 Hz, 1H), 6.78 (ddd, *J* = 8.4, 2.2, 1.1 Hz, 1H), 5.82 (ddt, *J* = 17.1, 10.2, 7.0 Hz, 1H), 5.23 - 5.05 (m, 3H), 4.73 - 4.59 (m, 1H), 4.41 (ddd, *J* = 7.0, 5.5, 3.7 Hz, 1H), 3.93 (d, *J* = 2.6 Hz, 3H), 2.56 - 2.32 (m, 2H), 1.44 (d, *J* = 7.2 Hz, 3H), 1.37 (d, *J* = 6.5 Hz, 3H) ^{13}C RMN (101 MHz, $CDCl_3$) δ 171.44,

*Comp. No.	P.F. (°C)	*1R (cm^{-1})	MASA	RMN (^{1}H, ^{13}C, ^{19}F)
				168.74, 159.13, 155.36, 148.75, 140.46, 134.85, 132.90, 130.37, 130.28, 121.59, 118.42, 116.85, 114.50, 109.48, 79.29, 72.57, 56.05, 47.99, 34.91, 18.01, 14.72.
1022	- - -	(Película delgada) 3371, 2941, 1740, 1649, 1438, 1263, 1139	HRMS - ESI (*m/z*) ($[M+H]^+$) calculada para $C_{22}H_{25}ClFN_2O_6$, 467.1380; encontrada, 467.1371	^{1}H RMN (400 MHz, $CDCl_3$) δ 12.04 (s, 1H), 8.42 (d, *J* = 7.9 Hz, 1H), 7.96 (d, *J* = 5.2 Hz, 1H), 6.86 (d, *J* = 5.2 Hz, 1H), 6.72 - 6.68 (m, 1H), 6.67 (dt, *J* = 8.2, 2.1 Hz, 1H), 6.51 (dt, 10 4, 2.3 Hz, 1H), 5.80 (ddt, *J* = 17.1, 10.2, 7.0 Hz, 1H), 5.27 - 5.05 (m, 3H), 4.67 (p, *J* = 7.3 Hz, 1H), 4.38 (ddd, *J* = 7.0, 5.5, 3.7 Hz, 1H), 3.94 (s, 3H), 2.54 - 2.34 (m, 2H), 1.47 (d, *J* = 7.2 Hz, 3H), 1.37 (d, *J* = 6.5 Hz, 3H). ^{19}F RMN (376 MHz, $CDCl_3$) δ -109.74
1023	- - -	(Película delgada) 3367, 2942, 1739, 1648, 1528, 1148, 800	HRMS - ESI (*m/z*) ($[M+H]^+$) calculada para $C_{22}H_{25}F_2N_2O_6$, 451.1675; encontrada, 451.1671	^{1}H RMN (400 MHz, $CDCl_3$) δ 12.07 (s, 1H), 8.43 (d, *J* = 7.9 Hz, 1H), 7.96 (d, *J* = 5.2 Hz, 1H), 6.99 (ddd, *J* = 10.6, 9.0, 5.3 Hz, 1H), 6.86 (d, *J* = 5.3 Hz, 1H), 6.72 (ddd, *J* = 9.7, 6.6, 3.0 Hz, 1H), 6.60 (ddt, *J* = 9.0, 7.6, 3.2 Hz, 1H), 5.85 (ddt, *J* = 17.1, 10.2, 7.0 Hz,

*Comp. No.	P.F. (°C)	*1R (cm^{-1})	MASA	RMN (^{1}H, ^{13}C, ^{19}F)
				1H), 5.30 - 5.06 (m, 3H), 4.65 (p, *J* = 7.3 Hz, 1H), 4.38 (ddd, *J* = 7.3, 5.3, 3.4 Hz, 1H), 3.94 (s, 3H), 2.60 - 2.49 (m, 1H), 2.44 (dddt, 14 3, 7.6, 5.3, 1.2 Hz, 1H), 1.43 (d, *J* = 7.2 Hz, 3H), 1.40 (d, *J* = 6.5 Hz, 3H). ^{19}F RMN (376 MHz, $CDCl_3$) δ - 116.61 (d, *J* = 15.2 Hz), - 137.88 (d, *J* =15.0 Hz).
1024	- - -	(Película delgada) 3372, 2982, 1736, 1648, 1528, 1264, 1060, 800	HRMS - ESI (*m/z*) ($[M+H]^+$) calculada para $C_{20}H_{29}N_2O_6$, 393.2020; encontrada, 393.2016	^{1}H RMN (400 MHz, $CDCl_3$) δ 12.13 (s, 1H), 8.49 (d, *J* = 7.9 Hz, 1H), 7.99 (d, *J* = 5.2 Hz, 1H), 6.88 (d, *J* = 5.2 Hz, 1H), 5.85 (ddt, *J* = 17.1, 10.2, 7.0 Hz, 1H), 5.15 - 5.00 (m, 3H), 4.76 - 4.65 (m, 1H), 3.95 (s, 3H), 3.46 - 3.34 (m, 2H), 3.30 (dd, *J* = 10.0, 6.7 Hz, 1H), 2.37 - 2.20 (m, 2H), 1.56 (d, *J* = 7.2 Hz, 3H), 1.29 (d, *J* = 6.5 Hz, 3H), 1.01 (dddd, *J* = 11.5, 8.0, 6.8, 2.6 Hz, 1H), 0.56 - 0.44 (m, 2H), 0.15 (tdd, *J* = 4.8, 3.1, 2.2 Hz, 2H). ^{13}C RMN (101 MHz, $CDCl_3$) δ 171.42, 168.71, 155.37, 148.76, 140.46, 134.40, 130.44, 117.16, 109.46, 80.30, 75.46, 73.40, 56.05, 48.06, 35.53, 18.29, 14.81, 10.88, 2.86.

*Comp. No.	P.F. (°C)	*1R (cm^{-1})	MASA	RMN (^1H, ^{13}C, ^{19}F)
1025	- - -	(Película delgada) 3372, 2964, 1736, 1558, 1426, 1239, 1168, 1115	HRMS - ESI (*m/z*) ($[M+H]^+$) calculada para $C_{21}H26BrN_2O_5$, 467.1002; encontrada, 467.0975	^1H RMN (400 MHz, $CDCl_3$) δ 12.67 (s, 1H), 8.37 (d, *J* = 7.9 Hz, 1H), 7.86 (d, *J* = 4.9 Hz, 1H), 7.60 (d, *J* = 4.8 Hz, 1H), 7.23 - 7.16 (m, 2H), 6.99 - 6.82 (m, 3H), 5.24 (qd, *J* = 6.5, 3.9 Hz, 1H), 4.61 - 4.51 (m, 1H), 4.22 (dd, *J* = 7.3, 3.8 Hz, 1H), 2.02 - 1.92 (m, 1H), 1.37 (d, *J* = 6.4 Hz, 3H), 1.22 (d, *J* = 7.2 Hz, 3H), 1.03 (dd, *J* = 9.7, 6.8 Hz, 6H). ^{13}C RMN (101 MHz, $CDCl_3$) δ 171.35, 167.72, 160.05, 155.37, 139.44, 132.15, 131.53, 129.42, 122.07, 121.03, 116.13, 83.87, 73.20, 48.13, 30.42, 19.19, 18.78, 17.56, 14.44.
1026	- - -	(Película delgada) 3365, 2965, 1741, 1649, 1576, 1528, 1481, 1438, 1263, 1238, 1150, 753, 692	HRMS - ESI (*m/z*) ($[M+H]^+$) calculada para $C_{23}H_{29}N_2O_6$, 429.2020, encontrada, 429.2018	^1H RMN (500 MHz, $CDCl_3$) δ 12.14 (s, 1H), 8.33 (d, *J* = 7.9 Hz, 1H), 8.00 (d, *J* = 5.2 Hz, 1H), 7.27 - 7.21 (m, 2H), 6.98 - 6.85 (m, 4H), 5.86 (ddd, *J* = 17.3, 10.5, 6.8 Hz, 1H), 5.61 (t, *J* = 6.8 Hz, 1H), 5.42 (dd, *J* = 17.3, 1.3 Hz, 1H), 5.30 (dd, *J* = 10.6, 1.2 Hz, 1H), 4.52 (p, *J* = 7.3 Hz, 1H), 4.22 (dd, *J* = 6.7, 4.8 Hz, 1H), 3.95 (s, 3H), 2.08 - 1.98 (m, 1H), 1.37 (d, *J* = 7.2 Hz, 3H), 1.03 (d, *J* = 6.7 Hz, 3H), 1.00

*Comp. No.	P.F. (°C)	*1R (cm^{-1})	MASA	RMN (^{1}H, ^{13}C, ^{19}F)
				(d, *J* = 6.8 Hz, 3H). ^{13}C RMN (126 MHz, $CDCl_3$) δ 171.07, 168.61, 159.81, 155.35, 148.73, 140.43 132.26, 129.45, 121.06 119.58, 115.91, 109.42, 82.90, 76.93 56.08, 47.88, 19.83, 17.99 16.78 .
1027	- - -	(Película delgada) 3369, 2965, 2877, 1738, 1650, 1576, 1527, 1452, 1237, 1150, 752, 731, 691	HRMS - ESI (*m/z*) ($[M+H]^+$) calculada para $C_{24}H_{33}N_2O_6$, 445.2333; encontrada, 445.2337	^{1}H RMN (500 MHz, $CDCl_3$) δ 12.21 (s, 1H), 8.31 (d, *J* = 7.9 Hz, 1H), 8.02 (d, *J* = 5.2 Hz, 1H), 7.23 (dd, *J* = 8.4, 7.1 Hz, 2H), 6.93 - 6.85 (m, 4H), 5.21 (dd, *J* = 7.4, 4.0 Hz, 1H), 4.40 (p, 7 4 Hz, 1H), 4.31 (dd, *J* = 7.4, 3.9 Hz, 1H), 3.96 (s, 3H), 2.06 – 1.94 (m, 2H), 1.30 (d, *J* = 7.2 Hz, 3H), 1.04 (d, *J* = 6.7 Hz, 3H), 0.99 (d, *J* = 6.7 Hz, 3H), 0.92 (d, *J* = 6.7 Hz, 3H), 0.91 (d, *J* = 7.1 Hz, 3H). ^{13}C RMN (126 MHz, $CDCl_3$) δ 171.65 168.56, 160.05, 155.33, 148.71, 140.41 130.59, 129.42, 120.77, 115.51 109.38, 81.10, 79.54, 56.07, 47.93 29.53, 28.74, 20.18, 19.79, 17.99 16.34, 16.14 .
1028	- - -	(Película delgada)	HRMS - ESI (*m/z*) ($[M+H]^+$) calculada	^{1}H RMN (500 MHz, $CDCl_3$) δ 12.15 (s, 1H), 8.38 (d, *J* = 7.8 Hz, 1H), 8.01

*Comp. No.	P.F. (°C)	*1R (cm^{-1})	MASA	RMN (^{1}H, ^{13}C, ^{19}F)
		3370, 2965, 2935, 1741, 1649, 1576, 1527, 1481, 1452, 1436, 1262, 1237, 1207, 752, 730, 691	para $C_{23}H_{31}N_2O_7$, 447.2126; encontrada, 447.2118	(dd, *J* = 5.3, 0.9 Hz, 1H), 7.27 - 7.22 (m, 2H), 6.97 (d, *J* = 8.2 Hz, 2H), 6.91 (td, *J* = 7.3, 1.1 Hz, 1H), 6.88 (d, *J* = 5.3 Hz, 1H), 5.38 (q, *J* = 5.1 Hz, 1H), 4.59 (p, *J* = 7.3 Hz, 1H), 4.36 (t, *J* = 5.5 Hz, 1H), 3.95 (s, 3H), 3.55 (dd, *J* = 10.5, 5.5 Hz, 1H), 3.51 (dd, *J* = 10.5, 4.6 Hz, 1H), 3.27 (s, 3H), 2.09 - 1.97 (m, 1H), 1.42 (d, *J* = 7.2 Hz, 3H), 1.02 (d, *J* = 6.8 Hz, 3H), 0.99 (d, *J* = 6.8 Hz, 3H). ^{13}C RMN (126 MHz, $CDCl_3$) δ 171.72, 168.70, 159.89, 155.35, 148.74, 140.44 130.51, 129.45, 120.94, 115.72 109.42, 80.36, 74.07, 70.84, 59.13 56.08, 48.01, 19.63, 18.05 17.74 .
1029	- - -	(Película delgada) 3366, 2962, 2874, 1737, 1649, 1576, 1527, 1237, 1149, 800, 752, 731, 691	HRMS - ESI (*m/z*) ($[M+H]^+$) calculada para $C_{24}H_{33}N_2O_6$, 445.2333; encontrada, 445.2333	^{1}H RMN (500 $CDCl_3$) δ 12.18 (s, 1H), 8.36 (d, *J* = 7.8 Hz, 1H), 8.04 - 7.97 (m, 1H), 7.23 (t, *J* = 7.8 Hz, 2H), 6.96 - 6.86 (m, 4H), 5.29 (q, *J* = 6.2 Hz, 1H), 4.48 (p, *J* = 7.3 Hz, 1H), 4.16 (t, *J* = 5.7 Hz, 1H), 3.95 (s, 3H), 2.06 - 1.98 (m, 1H), 1.66 - 1.60 (m, 2H), 1.38 (d, *J* = 7.2 Hz, 3H), 1.36 - 1.26 (m, 2H), 1.02 (d, *J* = 6.7 Hz, 3H), 0.99

*Comp. No.	P.F. (°C)	*1R (cm^{-1})	MASA	RMN (^{1}H, ^{13}C, ^{19}F)
				(d, *J* = 6.8 Hz, 3H), 0.89 (t, *J* = 7.3 Hz, 3H). ^{13}C RMN (126 MHz, $CDCl_3$) δ 171.78 168.59, 159.83, 155.34, 148.73, 140.43 130.55, 129.46, 120.83, 115.58 109.40, 82.49, 75.59, 56.08, 47.95 32.61, 29.71, 19.85, 18.41, 18.10 17.31, 13.89.
1030	- - -	(Película delgada) 3369, 2965, 2934, 1740, 1648, 1595, 1576, 1527, 1481, 1452, 1438, 1280, 1263, 1237, 1198, 1149, 1047, 753, 729, 691	HRMS - ESI (*m/z*) ($[M+H]^+$) calculada para $C_{23}H_{31}N_2O_7$, 447.2126; encontrada, 447.2117	^{1}H RMN (500 MHz, $CDCl_3$) δ 12.11 (s, 1H), 8.47 (d, *J* = 7.8 Hz, 1H), 7.98 (d, *J* = 5.3 Hz, 1H), 7.23 (dd, *J* = 8.5, 7.1 Hz, 2H), 6.97 - 6.85 (m, 4H), 5.26 (td, *J* = 5.8, 2.7 Hz, 1H), 4.71 (p, *J* = 7.3 Hz, 1H), 4.47 (t, *J* = 5.7 Hz, 1H), 3.94 (s, 3H), 3.70 (dd, *J* = 11.1, 2.9 Hz, 1H), 3.59 (dd, *J* = 11.0, 5.4 Hz, 1H), 3.24 (s, 3H), 2.07 1.96 (m, 1H), 1.40 (d, *J* = 7.2 Hz, 3H), 1.01 (d, *J* = 6.8 Hz, 6H). ^{13}C RMN (126 MHz, $CDCl_3$) δ 171.60, 168.67, 159.63, 155.35, 148.74, 140.47 130.44, 129.46, 121.16, 115.96 109.43, 80.46, 74.20, 70.30, 58.93 56.08, 47.99, 29.92, 19.62, 17.90, 17.05.

*Comp. No.	P.F. (°C)	*1R (cm^{-1})	MASA	RMN (^{1}H, ^{13}C, ^{19}F)
1031	- - -	- - -	HRMS - ESI (*m/z*) ($[M+H]^+$) calculada para $C_{24}H_{33}N_2O_6$, 445.2333; encontrada, 445.2325	^{1}H RMN (500 MHz, $CDCl_3$) δ 12.12 (s, 1H), 8.46 (d, *J* = 7.9 Hz, 1H), 7.98 (d, *J* = 5.2 Hz, 1H), 7.24 (dd, *J* = 8 6, 7.4 Hz, 2H), 6.96 - 6.89 (m, 3H), 6.87 (d, *J* = 5.2 Hz, 1H), 5.14 (dd, *J* = 6.4, 4.3 Hz, 1H), 4.73 - 4.64 (m, 1H), 4.34 (dd, *J* = 6.4, 4.2 Hz, 1H), 3.94 (s, 3H), 2.16 - 2.06 (m, 1H), 2.06 - 1.94 (m, 1H), 1.47 (d, *J* = 7.2 Hz, 3H), 1.04 (d, *J* = 6.8 Hz, 3H), 1.02 (d, *J* = 6.9 Hz, 3H), 0.95 (d, *J* = 7.0 Hz, 3H), 0.91 (d, *J* = 6.8 Hz, 3H) ^{13}C RMN (126 MHz, $CDCl_3$) δ 171.71, 168.71, 159.43, 155.36, 148.75, 140.47 130.46, 129.50, 120.94, 115.71, 109.44, 80.80, 78.50, 56.08, 47.96, 29.78, 28.58, 20.39, 20.16, 18.00, 17.12, 16.99.
1032	- - -	- - -	HRMS - ESI (*m/z*) ($[M+H]^+$) calculada para $C_{24}H_{33}N_2O_6$, 445.2333; encontrada, 445.2324	^{1}H RMN (500 MHz, $CDCl_3$) δ 12.10 (s, 1H), 8.39 (d, *J* = 7.9 Hz, 1H), 7.97 (d, *J* = 5.2 Hz, 1H), 7.21 (dd, *J* = 8.7, 7.2 Hz, 2H), 6.93 - 6.83 (m, 4H), 5.21 (ddd, *J* = 10.1, 3.9, 2.8 Hz, 1H), 4.61 - 4.52 (m, 1H), 4.22 (dd, *J* = 7.0, 3.9 Hz, 1H), 3.94 (s, 3H), 1.97 (hepteto, 6.8 Hz, 1H), 1.90 - 1.80 (m, 1H), 1.70

*Comp. No.	P.F. (°C)	*1R (cm^{-1})	MASA	RMN (^{1}H, ^{13}C, ^{19}F)
				- 1.62 (m, 1H), 1.48 - 1.39 (m, 1H), 1.35 - 1.26 (m, 1H), 1.21 (d, *J* = 7.2 Hz, 3H), 1.05 (d, *J* = 6.7 Hz, 3H), 1.02 (d, *J* = 6.9 Hz, 3H), 0.91 (t, *J* = 7.3 Hz, 3H). ^{13}C RMN (126 MHz, $CDCl_3$) δ 171.96, 168.64, 160.06, 155.34, 148.72, 140.44 130.45, 129.45, 121.02, 116.15, 109.41, 83.81, 76.25, 56.07, 47.88, 30.80, 19.40, 18.82, 18.72, 17.59, 13.88
1033	- - -	- - -	HRMS - ESI (*m/z*) ($[M+H]^+$) calculada para $C_{23}H_{29}N_2O_6$, 429.2020, encontrada, 429.2008	^{1}H RMN (500 $CDCl_3$) δ 12.07 (s, 1H), 8.37 (d, *J* = 7.9 Hz, 1H), 7.96 (d, *J* = 5.2 Hz, 1H), 7.21 (dd, *J* = 8.7, 7.3 Hz, 2H), 6.95 - 6.87 (m, 3H), 6.86 (d, *J* = 5.2 Hz, 1H), 6.05 (ddd, *J* = 17.6, 10.5, 7.3 Hz, 1H), 5.55 (dd, *J* = 7.4, 3.9 Hz, 1H), 5.41 (dt, *J* = 17.3, 1.2 Hz, 1H), 5.36 (dt, *J* = 10.5, 1.1 Hz, 1H), 4.64 - 4.53 (m, 1H), 4.25 (dd, *J* = 7.4, 3.8 Hz, 1H), 3.94 (s, 3H), 2.03 - 1.91 (m, 1H), 1.24 (d, *J* = 7.3 Hz, 3H), 1.05 (d, *J* = 6.7 Hz, 3H), 1.03 (d, *J* = 6.9 Hz, 3H). ^{13}C RMN (126 , $CDCl_3$) δ 171.25, 168.64, 159.93, 155.34, 148.72,

*Comp. No.	P.F. (°C)	*1R (cm^{-1})	MASA	RMN (^{1}H, ^{13}C, ^{19}F)
				140.43, 131.67, 130.41, 129.42, 121.16, 120.26, 116.33, 109.42, 83.84, 77.07, 56.07, 47.95, 30.26, 19.18, 18.62 17.63
1034	- - -	- - -	HRMS - ESI (*m/z*) ($[M+H]^+$) calculada para $C_{26}H_{31}N_2O_5$, 451.2227, encontrada, 451.2224	^{1}H RMN (500 MHz, $CDCl_3$) δ 11.83 (s, 1H), 8.39 (d, *J* = 7.8 Hz, 1H), 8.00 (dd, *J* = 4.3, 1.5 Hz, 1H), 7.75 - 7.64 (m, 3H), 7.41 (ddd, *J* = 8.2, 6.9, 1.2 Hz, 1H), 7.31 (ddd, *J* = 8.1, 6.9, 1.2 Hz, 1H), 7.28 (dd, *J* = 8.5, 4.3 Hz, 1H), 7.24 (dd, *J* = 8.5, 1.5 Hz, 1H), 7.15 (d, *J* = 2.4 Hz, 1H), 7.12 (dd, *J* = 8.9, 2.5 Hz, 1H), 5.24 (qd, *J* = 6.5, 3.0 Hz, 1H), 4.77 - 4.59 (m, 2H), 1.90 - 1.80 (m, 1H), 1.77 (ddd, *J* = 14.2, 8.7, 5.4 Hz, 1H), 1.45 (ddd, *J* = 13.5, 8.0, 3.8 Hz, 1H), 1.40 (d, *J* = 6.6 Hz, 3H), 1.37 (d, *J* = 7.2 Hz, 3H), 0.99 (d, *J* = 6.6 Hz, 3H), 0.93 (d, *J* = 6.5 Hz, 3H). ^{13}C RMN (126 MHz, $CDCl_3$) δ 171.68, 168.33, 157.71, 156.50, 139.60, 134.40, 131.03, 129.62, 129.11, 128.69, 127.58, 126.67, 126.37, 125.96, 123.76, 119.40, 108.82, 77.35, 73.30, 47.98, 39.53, 24.61, 23.30, 22.34, 18.08, 14.73.

*Comp. No.	P.F. (°C)	*1R (cm^{-1})	MASA	RMN (^{1}H, ^{13}C, ^{19}F)
1035	- - -	- - -	HRMS - ESI (*m/z*) ($[M+H]^+$) calculada para $C_{22}H_{28}FN_2O_5$, 419.1977; encontrada, 419.1975	^{1}H RMN (500 MHz, $CDCl_3$) δ 11.84 (s, 1H), 8.39 (d, *J* = 7.7 Hz, 1H), 8.06 (dd, *J* = 4.3, 1.4 Hz, 1H), 7.33 (dd, *J* = 8.5, 4.3 Hz, 1H), 7.29 (dd, *J* = 8.5, 1.4 Hz, 1H), 7.21 - 7.10 (m, 1H), 6.70 - 6.57 (m, 3H), 5.15 (qd, *J* = 6.5, 2.8 Hz, 1H), 4.66 (p, *J* = 7.2 Hz, 1H), 4.52 - 4.40 (m, 1H), 1.86 - 1.73 (m, 1H), 1.73 - 1.63 (m, 1H), 1.41 (d, *J* = 7.2 Hz, 3H), 1.40 - 1.36 (m, 1H), 1.34 (d, *J* = 6.6 Hz, 3H), 0.96 (d, *J* = 6.6 Hz, 3H), 0.91 (d, *J* = 6.5 Hz, 3H) ^{13}C RMN (126 MHz, $CDCl_3$) δ 171.63, 168.37, 163.57 (d, *J* = 245.6 Hz), 160.08 (d, *J* = 10.8 Hz), 157.78, 139.68, 131.07 130.29 (d, *J* = 10.1 Hz), 128.77, 126.03, 111.53 (d, *J* = 2.8 Hz), 107.98 (d, *J* = 21.3 Hz), 103.73 (d, *J* = 24.4 Hz), 77.83, 73.27, 47.96, 39.49, 24.52, 23.24, 22.23, 18.03, 14.55
1036	- - -	- - -	HRMS - ESI (*m/z*) ($[M+H]^+$) calculada para $C_{22}H_{27}F_2N_2O_5$, 437.1883;	^{1}H RMN (500 MHz, $CDCl_3$) δ 11.83 (s, 1H), 8.39 (d, *J* = 7.7 Hz, 1H), 8.06 (dd, *J* = 4.3, 1.4 Hz, 1H), 7.34 (dd, *J* = 8.4, 4.3 Hz, 1H), 7.29 (dd, *J* = 8.5, 1.4 Hz, 1H), 6.98 (ddd, *J* = 10.7, 9.0, 5.4

*Comp. No.	P.F. (°C)	*1R (cm^{-1})	MASA	RMN (^{1}H, ^{13}C, ^{19}F)
			encontrada, 437.1883	Hz, 1H), 6.70 (ddd, *J* = 9.7, 6.6, 3.0 Hz, 1H), 6.58 (ddt, *J* = 9.0, 7.7, 3.1 Hz, 1H), 5.16 (qd, *J* = 6.6, 2.5 Hz, 1H), 4.64 (p, *J* = 7.3 Hz, 1H), 4.50 - 4.28 (m, 1H), 1.87 - 1.79 (m, 1H), 1.79 - 1.71 (m, 1H), 1.46 - 1.42 (m, 1H), 1.41 (d, *J* = 7.2 Hz, 3H), 1.36 (d, *J* = 6.6 Hz, 3H), 0.98 (d, *J* = 6.6 Hz, 3H), 0.94 (d, *J* = 6.5 Hz, 3H) ^{13}C RMN (126 MHz, $CDCl_3$) δ 171.65, 168.37, 158.53 (dd, *J* = 242.5, 2.5 Hz), 157.78, 149.89 (dd, *J* = 241.6, 3.3 Hz), 147.10 (dd, *J* = 12.3, 10.5 Hz), 139.68 131.08, 128.78, 126.04, 116.76 (dd, *J* = 21.4, 10.2 Hz), 107.82 (dd, *J* = 23.8, 7.1 Hz), 105.37 (dd, *J* = 26.7, 1.9 Hz), 80.11 (d, *J* = 0.8 Hz), 73.21, 47.93, 39 44 24.53, 23.21, 22.18, 17.94, 14.31
1037	- - -	- - -	HRMS - ESI (*m/z*) ($[M+H]^+$) calculada para $C_{22}H_{28}ClN_2O_5$, 435.1681; encontrada, 435.1679	^1H RMN (500 MHz, $CDCl_3$) δ 11.83 (s, 1H), 8.39 (d, *J* = 7.7 Hz, 1H), 8.06 (dd, *J* = 4.3, 1.4 Hz, 1H), 7.34 (dd, *J* = 8.5, 4.3 Hz, 1H), 7.29 (dd, *J* = 8.5, 1.4 Hz, 1H), 7.18 - 7.11 (m, 1H), 6.92 - 6.86 (m, 2H), 6.80 - 6.75 (m, 1H), 5.14 (qd, *J* = 6.6, 2.8 Hz, 1H), 4.65 (p,

*Comp. No.	P.F. (°C)	*1R (cm^{-1})	MASA	RMN (^{1}H, ^{13}C, ^{19}F)
				J = 7.3 Hz, 1H), 4.55 - 4.39 (m, 1H), 1.83 - 1.72 (m, 1H), 1.69 (ddd, *J* = 14.3, 8.9, 5.4 Hz, 1H), 1.42 (d, *J* = 7.2 Hz, 3H), 1.40 - 1.35 (m, 1H), 1.34 (d, *J* = 6.6 Hz, 3H), 0.96 (d, *J* = 6.6 Hz, 3H), 0.91 (d, *J* = 6.5 Hz, 3H) ^{13}C RMN (126 MHz, $CDCl_3$) δ 171.63, 168.37, 159.49, 157.77, 139.68, 134.88, 131.06, 130.30, 128.78, 126.03, 121.34, 116.52, 114.21, 77.83, 73.32, 47.96, 39.53, 24.53, 23.25, 22.24, 18.04, 14.52
1038	- - -	- - -	HRMS - ESI (*m/z*) ($[M+H]^+$) calculada para $C_{23}H_{30}ClN_2O_5$, 449.1838, encontrada, 449.1837	^{1}H RMN (500 MHz, $CDCl_3$) δ 11.85 (s, 1H), 8.38 (d, *J* = 7.7 Hz, 1H), 8.06 (dd, *J* = 4.3, 1.4 Hz, 1H), 7.34 8.5, 4.3 Hz, 1H), 7.29 (dd, *J* = 8.5, 1.4 Hz, 1H), 7.10 (d, *J* = 1.8 Hz, 1H), 6.91 (dd, *J* = 8.4, 1.7 Hz, 1H), 6.79 (d, *J* = 8.4 Hz, 1H), 5.14 (qd, *J* = 6.6, 2.7 Hz, 1H), 4.64 (p, *J* = 7.3 Hz, 1H), 4.58 - 4.44 (m, 1H), 2.23 (s, 3H), 1.88 - 1.72 (m, 2H), 1.47 - 1.41 (m, 1H), 1.40 (d, *J* = 6.6 Hz, 3H), 1.36 (d, *J* = 7.2 Hz, 3H), 0.98 (d, *J* = 6.5 Hz, 3H), 0.93 (d, *J* = 6.5 Hz, 3H) ^{13}C RMN (126 MHz, $CDCl_3$) δ 171.62,

*Comp. No.	P.F. (°C)	*1R (cm^{-1})	MASA	RMN (^{1}H, ^{13}C, ^{19}F)
				168.30, 157.75, 152.14, 139.65, 131.53, 131.12, 130.95, 128.72, 128.00, 125.99, 123.65, 115.25, 79.07, 73.47, 47.96, 39.66, 24.58, 23.22, 22.37, 20.25, 18.00, 14.32
1039	- - -	- - -	HRMS - ESI (*m/z*) ($[M+H]^+$) calculada para $C_{24}H_{32}FN_2O_6$, 463.2239, encontrada, 463.2238	^{1}H RMN (500 MHz, $CDCl_3$) δ 12.08 (s, 1H), 8.43 (d, *J* = 7.1 Hz, 1H), 7.93 (d, *J* = 5.2 Hz, 1H), 7.22 - 7.08 (m, 1H), 6.84 (d, *J* = 5.3 Hz, 1H), 6.74 - 6.53 (m, 3H), 5.14 (qd, *J* = 6.6, 2.9 Hz, 1H), 4.64 (p, *J* = 7.3 Hz, 1H), 4.46 (dt, *J* = 8.8, 3.8 Hz, 1H), 4.15 (q, *J* = 7.0 Hz, 2H), 1.82 - 1.73 (m, 1H), 1.69 (ddd, *J* = 14.3, 8.9, 5.4 Hz, 1H), 1.51 (t, *J* = 7.0 Hz, 3H), 1.40 (d, *J* = 7.3 Hz, 3H), 1.39 - 1.35 (m, 1H), 1.34 (d, *J* = 6.6 Hz, 3H), 0.96 (d, *J* = 6.6 Hz, 3H), 0.91 (d, *J* = 6.5 Hz, 3H). ^{13}C RMN (126 MHz, $CDCl_3$) δ 171.63, 168.72, 163.56 (d, *J* = 245.4 Hz), 160.09 (d, *J* = 10.7 Hz), 154.78, 148.86, 140.33 130.38, 130.29 (d, *J* = 10.1 Hz), 111.51 2.8 Hz), 110.08, 107.95 (d, *J* = 21.3 Hz), 103.74 (d, *J* = 24.4 Hz), 77.84, 73.24, 64.66, 47.98, 39.49, 24.52, 23.24, 22.24, 18.01,

*Comp. No.	P.F. (°C)	*1R (cm^{-1})	MASA	RMN (^{1}H, ^{13}C, ^{19}F)
				14.55, 14.37
1040	- - -	- - -	HRMS - ESI (*m/z*) ($[M+H]^+$) calculada para $C_{24}H_{31}F_2N_2O_6$, 481.2145; encontrada, 481.2141	^{1}H RMN (500 MHz, $CDCl_3$) δ 12.08 (s, 1H), 8.43 (d, *J* = 6.9 Hz, 1H), 7.94 (d, *J* = 5.2 Hz, 1H), 6.98 (ddd, *J* = 10.6, 9.0, 5.4 Hz, 1H), 6.84 (d, *J* = 5.3 Hz, 1H), 6.70 (ddd, *J* = 9.7, 6.6, 3.0 Hz, 1H), 6.64 - 6.50 (m, 1H), 5.15 (qd, *J* = 6.6, 2.6 Hz, 1H), 4.63 (p, *J* = 7.2 Hz, 1H), 4.49 - 4.39 (m, 1H), 4.16 (q, *J* = 7.0 Hz, 2H), 1.88 - 1.68 (m, 2H), 1.51 (t, *J* = 7.0 Hz, 3H), 1.46 - 1.41 (m, 1H), 1.39 (d, *J* = 7.2 Hz, 3H), 1.36 (d, *J* = 6.6 Hz, 3H), 0.98 (d, *J* = 6.6 Hz, 3H), 0.94 (d, *J* = 6.5 Hz, 3H) ^{13}C RMN (126 MHz, $CDCl_3$) δ 171.65, 168.73, 158.53 (dd, *J* = 242.6, 2.4 Hz), 154.76, 149.90 (dd, *J* = 241.6, 3.4 Hz), 148.85, 147.11, (dd, *J* = 12.3, 10.5 Hz), 140.36, 130.42, 116.76 (dd, *J* = 21.4, 10.1 Hz), 110.09, 107.82 (dd, *J* = 23.8, 7.1 Hz), 105.40 (dd, *J* = 26.6, 1.9 Hz), 80.14 (d, *J* = 0.8 Hz), 73.20, 64.66, 47.94, 39.45, 24.52, 23.21, 22.18, 17.93, 14.37, 14.31
1041	- - -	- - -	HRMS - ESI (*m/z*)	^{1}H RMN (500 MHz, $CDCl_3$) δ 12.10 (s,

*Comp. No.	P.F. (°C)	*1R (cm^{-1})	MASA	RMN (^{1}H, ^{13}C, ^{19}F)
			([M+H]$^{+}$) calculada para $C_{24}H_{32}ClN_2O_6$, encontrada, 479.1941	1H), 8.42 (d, *J* = 7.6 Hz, 1H), 7.93 (d, *J* = 5.2 Hz, 1H), 7.14 (t, *J* = 8.4 Hz, 1H), 6.97 - 6.86 (m, 2H), 6.84 (d, *J* = 5.2 Hz, 1H), 6.77 (ddd, *J* = 8.3, 2.3, 0.9 Hz, 1H), 5.14 (qd, *J* = 6.5, 2.8 Hz, 1H), 4.64 (p, *J* = 7.3 Hz, 1H), 4.49 - 4.42 (m, 1H), 4.16 (q, *J* = 7.0 Hz, 2H), 1.83 - 1.72 (m, 1H), 1.68 (ddd, *J* = 14.3, 8.9, 5.4 Hz, 1H), 1.52 (t, *J* = 7.0 Hz, 3H), 1.41 (d, *J* = 7.2 Hz, 3H), 1.39 - 1.35 (m, 1H), 1.34 (d, *J* = 6.6 Hz, 3H), 0.96 (d, *J* = 6.6 Hz, 3H), 0.91 (d, *J* = 6.5 Hz, 3H) ^{13}C RMN (126 MHz, $CDCl_3$) δ 171.64, 168.75, 159.50, 154.74, 148.82, 140.40, 134.85, 130.41, 130.30, 121.31, 116.55, 114.18, 110.10, 77.84, 73.30, 64.66, 47.99, 39.55, 24.53, 23.24, 22.25, 17.99, 14.50, 14.37.
1042	- - -	- - -	HRMS - ESI (*m/z*) ([M+H]$^{+}$) calculada para $C_{25}H_{34}ClN_2O_6$, 493.2100; encontrada,	^{1}H RMN (500 MHz, $CDCl_3$) δ 12.12 (s, 1H), 8.41 (d, *J* = 7.6 Hz, 1H), 7.93 (d, *J* = 5.2 Hz, 1H), 7.17 - 7.03 (m, 1H), 6.95 - 6.87 (m, 1H), 6.83 (d, *J* = 5.3 Hz, 1H), 6.79 (d, *J* = 8.4 Hz, 1H), 5.13 (qd, *J* = 6.6, 2.7 Hz, 1H), 4.62 (p, *J* =

*Comp. No.	P.F. (°C)	*1R (cm^{-1})	MASA	RMN (^{1}H, ^{13}C, ^{19}F)
			493.2097	7.2 Hz, 1H), 4.49 (ddd, *J* = 8.3, 4.1, 2.8 Hz, 1H), 4.16 (q, *J* = 7.0 Hz, 2H), 2.23 (s, 3H), 1.87 - 1.69 (m, 2H), 1.51 (t, *J* = 7.0 Hz, 3H), 1.45 - 1.40 (m, 1H), 1.39 (d, *J* = 6.6 Hz, 3H), 1.35 (d, *J* = 7.2 Hz, 3H), 0.97 (d, *J* = 6.5 Hz, 3H), 0.93 (d, *J* = 6.5 Hz, 3H). ^{13}C RMN (126 MHz, $CDCl_3$) δ 171.63, 168.69, 154.72, 152.15, 148.80, 140.36, 131.53, 130.93, 130.47, 128.00, 123.66, 115.31, 110.05, 79.12, 73.48, 64.66, 24.57, 23.22, 22.37, 20.25, 17.95, 14.38, 14.31.
1043	- - -	- - -	HRMS - ESI (*m/z*) ($[M+H]^+$) calculada para $C_{25}H_{34}ClN_2O_7$, 509.2049; encontrada, 509.2045	^{1}H RMN (500 MHz, $CDCl_3$) δ 12.08 (s, 1H), 8.41 (d, *J* = 6.6 Hz, 1H), 7.91 (d, *J* = 5.2 Hz, 1H), 7.14 (d, *J* = 8.7 Hz, 1H), 6.84 (d, *J* = 5.2 Hz, 1H), 6.48 (d, *J* = 2.7 Hz, 1H), 6.40 (dd, *J* = 8.8, 2.7 Hz, 1H), 5.14 (qd, *J* = 6.5, 2.9 Hz, 1H), 4.65 (p, *J* = 7.3 Hz, 1H), 4.48 - 4.35 (m, 1H), 4.16 (qd, *J* = 7.0, 1.9 Hz, 2H), 3.85 (s, 3H), 1.75 13.1, 6.5 Hz, 1H), 1.67 (ddd, *J* = 14.2, 8.7, 5.5 Hz, 1H), 1.52 (t, *J* = 7.0 Hz, 3H), 1.43 (d, *J* = 7.2 Hz, 3H), 1.38 (ddd, *J* = 14.1, 8.4, 4.3 Hz, 1H), 1.34 (d, *J* = 6.6

*Comp. No.	P.F. (°C)	*1R (cm^{-1})	MASA	RMN (^{1}H, ^{13}C, ^{19}F)
				Hz, 3H), 0.95 (d, *J* = 6.6 Hz, 3H), 0.91 (d, *J* = 6.5 Hz, 3H) ^{13}C RMN (126 MHz, $CDCl_3$) δ 171.57, 168.76, 158.53, 155.68, 154.81, 148.86, 140.32, 130.28, 130.07, 114.37, 110.10, 106.96, 102.02, 77.88, 73.12, 64.68, 56.04, 48.07, 39.56, 24.51, 23.22, 22.29, 18.02, 14.53, 14.38.
1044	- - -	- - -	HRMS - ESI (*m/z*) ($[M+H]^+$) calculada para $C_{21}H_{35}N_2O_6$, 411.2490; encontrada, 411.2484	^{1}H RMN (500 MHz, $CDCl_3$) δ 12.16 (s, 1H), 8.50 (d, *J* = 7.8 Hz, 1H), 8.12 - 7.90 (m, 1H), 6.87 (d, *J* = 5.2 Hz, 1H), 5.09 (qd, *J* = 6.5, 2.4 Hz, 1H), 4.72 (p, *J* = 7.4 Hz, 1H), 3.94 (s, 3H), 3.40 (dd, *J* = 8.5, 6.5 Hz, 1H), 3.35 (dt, *J* = 9.4, 3.0 Hz, 1H), 3.09 (dd, *J* = 8.4, 6.7 Hz, 1H), 1.78 (dq, *J* = 13.2, 6.6 Hz, 2H), 1.56 (d, *J* = 7.1 Hz, 3H), 1.47 (ddd, *J* = 14.1, 9.4, 5.0 Hz, 1H), 1.24 (d, *J* = 6.5 Hz, 3H), 1.16 (ddd, *J* = 13.1, 9.0, 3.6 Hz, 1H), 0.93 (d, *J* = 6.6 Hz, 3H), 0.89 (d, *J* = 6.5 Hz, 3H), 0.86 (d, *J* = 6.7 Hz, 6H) ^{13}C RMN (126 MHz, $CDCl_3$) δ 171.65, 168.70, 155.38, 148.76, 140.48, 130.47, 109.44, 79.31, 77.70, 74.02,

*Comp. No.	P.F. (°C)	*1R (cm^{-1})	MASA	RMN (^{1}H, ^{13}C, ^{19}F)
				56.07, 48.10, 40.04, 28.99, 24.46, 23.57, 21.94, 19.40, 19.37, 18.38, 14.56.
1045	- - -	- - -	HRMS - ESI (*m/z*) ($[M+H]^+$) calculada para $C_{21}H_{33}N_2O_6$, 409.2333; encontrada, 409.2331	^{1}H RMN (500 MHz, $CDCl_3$) δ 12.01 (s, 1H), 8.36 (d, *J* = 7.8 Hz, 1H), 7.86 (d, *J* = 5.2 Hz, 1H), 6.75 (d, *J* = 5.2 Hz, 1H), 4.94 (qd, *J* = 6.4, 2.6 Hz, 1H), 4.64 - 4.49 (m, 1H), 3.82 (s, 3H), 3.42 - 3.24 (m, 2H), 3.10 (dd, *J* = 9.9, 6.7 Hz, 1H), 1.77 - 1.58 (m, 1H), 1.44 (d, *J* = 7.1 Hz, 3H), 1.39 - 1.30 (m, 1H), 1.12 (d, *J* = 6.5 Hz, 3H), 1.08 - 0.98 (m, 1H), 0.96 - 0.84 (m, 1H), 0.80 (d, *J* = 6.7 Hz, 3H), 0.77 (d, *J* = 6.6 Hz, 3H), 0.43 - 0.30 (m, 2H), 0.08 - 0.05 (m, 2H). ^{13}C RMN (126 MHz, $CDCl_3$) δ 171.59, 168.70, 155.39, 148.76, 140.50, 130.43, 109.46, 78.92, 75.63, 74.28, 56.08, 48.11, 40.20, 24.47, 23.52, 21.93, 18.35, 14.54, 11.00, 2.92, 2.87
1046	- - -	- - -	HRMS - ESI (*m/z*) ($[M+H]^+$) calculada para $C_{27}H_{33}N_2O_6$, 481.2333;	^{1}H RMN (500 MHz, $CDCl_3$) δ 12.07 (s, 1H), 8.40 (d, *J* = 7.8 Hz, 1H), 7.90 (d, *J* = 5.2 Hz, 1H), 7.75 - 7.64 (m, 3H), 7.41 (ddd, *J* = 8.1, 6.9, 1.2 Hz, 1H),

*Comp. No.	P.F. (°C)	*1R (cm^{-1})	MASA	RMN (^{1}H, ^{13}C, ^{19}F)
			encontrada, 481.2329	7.31 (ddd, *J* = 8.1, 6.9, 1.2 Hz, 1H), 7.18 - 7.09 (m, 2H), 6.80 (d, *J* = 5.2 Hz, 1H), 5.23 (qd, *J* = 6.5, 3.0 Hz, 1H), 4.78 - 4.51 (m, 2H), 3.91 (s, 3H), 1.89 - 1.71 (m, 2H), 1.48 - 1.42 (m, 1H), 1.40 (d, *J* = 6.6 Hz, 3H), 1.36 (d, *J* = 7.2 Hz, 3H), 0.99 (d, *J* = 6.6 Hz, 3H), 0.93 (d, *J* = 6.5 Hz, 3H). ^{13}C RMN (126 MHz, $CDCl_3$) δ 171.66, 168.66, 156.51, 155.28, 148.66, 140.38, 134.40, 130.34, 129.61, 129.10, 127.57, 126.68, 126.35, 123.73, 119.40, 109.36, 108.85, 77.36, 73.31, 56.03, 48.01, 39.56, 24.61, 23.30, 22.35, 18.08, 14.73.
1047	- - -	- - -	HRMS - ESI (*m/z*) ($[M+H]^+$) calculada para $C_{23}H_{30}ClN_2O_6$, 465.1787; encontrada, 465.1784	^{1}H RMN (500 MHz, $CDCl_3$) δ 12.10 (s, 1H), 8.41 (d, *J* = 7.8 Hz, 1H), 7.94 (d, *J* = 5.2 Hz, 1H), 7.22 - 7.07 (m, 2H), 6.89 - 6.76 (m, 3H), 5.14 (qd, *J* = 6.6, 2.8 Hz, 1H), 4.64 (p, *J* = 7.3 Hz, 1H), 4.41 (dt, *J* = 8.7, 3.6 Hz, 1H), 3.93 (s, 3H), 1.77 (ddq, *J* = 20.3, 13.1, 6.3 Hz, 1H), 1.68 (ddd, *J* = 14.2, 8.8, 5.5 Hz, 1H), 1.42 (d, *J* = 7.2 Hz, 3H), 1.39 - 1.34 (m, 1H), 1.33 (d, *J* = 6.6 Hz, 3H), 0.95 (d, *J* = 6.6 Hz, 3H), 0.90 (d, *J* =

*Comp. No.	P.F. (°C)	*1R (cm^{-1})	MASA	RMN (^{1}H, ^{13}C, ^{19}F)
				6.5 Hz, 3H) ^{13}C RMN (126 MHz, $CDCl_3$) δ 171.52, 168.74, 157.35, 155.33, 148.70, 140.47, 130.26, 129.36, 125.86, 117.38, 109.49, 78.13, 73.16, 56.05, 48.05, 39.53, 24.49, 23.22, 22.21, 17.94, 14.49
1048	- - -	- - -	HRMS - ESI (*m/z*) ($[M+H]^+$) calculada para $C_{23}H_{30}FN_2O_6$, 449.2082; encontrada, 449.2081	^{1}H RMN (500 MHz, $CDCl_3$) δ 12.09 (s, 1H), 8.42 (d, *J* = 7.8 Hz, 1H), 7.96 (d, *J* = 5.2 Hz, 1H), 7.25 - 7.06 (m, 1H), 6.86 (d, *J* = 5.2 Hz, 1H), 6.70 - 6.53 (m, 3H), 5.15 (qd, *J* = 6.6, 2.9 Hz, 1H), 4.64 (p, *J* = 7.2 Hz, 1H), 4.53 - 4.38 (m, 1H), 3.94 (d, *J* = 2.5 Hz, 3H), 1.84 - 1.73 (m, 1H), 1.73 - 1.65 (m, 1H), 1.41 (d, *J* = 7.2 Hz, 3H), 1.39 - 1.35 (m, 1H), 1.34 (d, *J* = 6.6 Hz, 3H), 0.96 (d, *J* = 6.6 Hz, 3H), 0.91 (d, *J* = 6.5 Hz, 3H). ^{13}C RMN (126 MHz, $CDCl_3$) δ 171.61, 168.71, 163.56 (d, *J* = 245.4 Hz), 160.08 (d, *J* = 10.7 Hz), 155.35, 148.72, 140.48 130.36, 130.30 (d, *J* = 10.1 Hz), 111.51 (d, *J* = 2.8 Hz), 109.46, 107.95 (d, *J* = 21.3 Hz), 103.73 (d, *J* = 24.3 Hz), 77.83, 73.23,

*Comp. No.	P.F. (°C)	*1R (cm^{-1})	MASA	RMN (^{1}H, ^{13}C, ^{19}F)
				56.06, 47.99, 39.47, 24.52, 23.24, 22.23, 17.98, 14.55
1049	- - -	- - -	HRMS - ESI (*m/z*) ($[M+H]^+$) calculada para $C_{23}H_{29}F_2N_2O_6$, 467.1988; encontrada, 467.1987	^{1}H RMN (500 MHz, $CDCl_3$) δ 12.08 (s, 1H), 8.42 (d, *J* = 7.5 Hz, 1H), 7.97 (d, *J* = 5.2 Hz, 1H), 6.98 (ddd, *J* = 10.6, 9.0, 5.4 Hz, 1H), 6.86 (d, *J* = 5.2 Hz, 1H), 6.70 (ddd, *J* = 9.7, 6.6, 3.0 Hz, 1H), 6.58 (ddt, *J* = 9.0, 7.7, 3.1 Hz, 1H), 5.15 (qd, *J* = 6.6, 2.6 Hz, 1H), 4.63 (p, *J* = 7.2 Hz, 1H), 4.44 (ddd, *J* = 8.7, 3.9, 2.7 Hz, 1H), 3.94 (d, *J* = 2.1 Hz, 3H), 1.89 - 1.69 (m, 2H), 1.47 - 1.41 (m, 1H), 1.40 (d, *J* = 7.2 Hz, 3H), 1.36 (d, *J* = 6.6 Hz, 3H), 0.98 (d, *J* = 6.6 Hz, 3H), 0.94 (d, *J* = 6.5 Hz, 3H) ^{13}C RMN (126 MHz, $CDCl_3$) δ 171.63, 168.67, 158.53 (dd, *J* = 242.5, 2.4 Hz), 155.41, 149.90 (dd, *J* = 241.6, 3.3 Hz), 148.77, 147.10 (dd, *J* = 12.4, 10.5 Hz), 140.43, 130.35, 116.76 (dd, *J* = 21.4, 10.2 Hz), 109.44, 107.82 (dd, *J* = 23.8, 7.1 Hz), 105.39 (dd, *J* = 26.6, 1.9 Hz), 80.13, 73.20, 56.08, 47.96, 39.44, 24.52, 23.21, 22.18, 17.90, 14.31

*Comp. No.	P.F. (°C)	*1R (cm^{-1})	MASA	RMN (^{1}H, ^{13}C, ^{19}F)
1050	- - -	- - -	HRMS - ESI (*m/z*) ($[M+H]^+$) calculada para $C_{23}H_{30}ClN_2O_6$, 465.1787; encontrada, 465.1783	^{1}H RMN (500 MHz, $CDCl_3$) δ 12.08 (s, 1H), 8.41 (d, *J* = 7.5 Hz, 1H), 7.96 (d, *J* = 5.2 Hz, 1H), 7.14 (t, *J* = 8.4 Hz, 1H), 6.94 - 6.82 (m, 3H), 6.77 (ddd, *J* = 8.3, 2.3, 0.7 Hz, 1H), 5.14 (qd, *J* = 6.5, 2.8 Hz, 1H), 4.64 (p, *J* = 7.3 Hz, 1H), 4.52 - 4.34 (m, 1H), 3.94 (s, 3H), 1.82 - 1.72 (m, 1H), 1.69 (ddd, *J* = 14.3, 8.9, 5.4 Hz, 1H), 1.41 (d, *J* = 7.2 Hz, 3H), 1.39 - 1.35 (m, 1H), 1.34 (d, *J* = 6.6 Hz, 3H), 0.96 (d, *J* = 6.6 Hz, 3H), 0.91 (d, *J* = 6.5 Hz, 3H) ^{13}C RMN (126 MHz, $CDCl_3$) δ 171.60, 168.68, 159.49, 155.37, 148.74, 140.44, 134.86, 130.34, 130.31, 121.32, 116.54, 114.18, 109.44, 77.83, 73.29, 56.07, 47.99, 39.53, 24.53, 23.24, 22.25, 18.00, 14.51.
1051	- - -	- - -	HRMS - ESI (*m/z*) ($[M+H]^+$) calculada para $C_{24}H_{32}ClN_2O_6$, 479.1943; encontrada, 479.1940	^{1}H RMN (500 MHz, $CDCl_3$) δ 12.12 (s, 1H), 8.41 (d, *J* = 7.5 Hz, 1H), 7.96 (d, *J* = 5.1 Hz, 1H), 7.10 (d, *J* = 1.6 Hz, 1H), 6.95 - 6.89 (m, 1H), 6.86 (d, *J* = 5.2 Hz, 1H), 6.79 (d, *J* = 8.4 Hz, 1H), 5.14 (qd, *J* = 6.6, 2.7 Hz, 1H), 4.62 (p, *J* = 7.2 Hz, 1H), 4.56 - 4.41 (m, 1H), 3.94 (s, 3H), 2.23 (s, 3H), 1.87 - 1.70

*Comp. No.	P.F. (°C)	*1R (cm^{-1})	MASA	RMN (^{1}H, ^{13}C, ^{19}F)
				(m, 2H), 1.45 - 1.40 (m, 1H), 1.39 (d, *J* = 6.6 Hz, 3H), 1.36 (d, *J* = 7.2 Hz, 3H), 0.97 (d, *J* = 6.5 Hz, 3H), 0.93 (d, *J* = 6.5 Hz, 3H) ^{13}C RMN (126 MHz, $CDCl_3$) δ 171.61, 168.64, 155.36, 152.14, 148.71, 140.43, 131.53, 130.93, 130.40, 128.01, 123.65, 115.30, 109.40, 79.10, 73.47, 56.07, 48.00, 39.66, 24.57, 23.22, 22.37, 20.25, 17.92, 14.32
1052	- - -	- - -	HRMS - ESI (*m/z*) ($[M+H]^+$) calculada para $C_{24}H_{32}ClN_2O_7$, 495.1893, encontrada, 495.1890	^{1}H RMN (500 MHz, $CDCl_3$) δ 12.08 (s, 1H), 8.39 (d, *J* = 6.2 Hz, 1H), 7.94 (d, *J* = 5.2 Hz, 1H), 7.14 (d, *J* = 8.7 Hz, 1H), 6.86 (d, *J* = 5.2 Hz, 1H), 6.48 (d, *J* = 2.7 Hz, 1H), 6.40 (dd, *J* = 8.8, 2.7 Hz, 1H), 5.14 (qd, *J* = 6.5, 3.0 Hz, 1H), 4.65 (p, *J* = 7.3 Hz, 1H), 4.45 - 4.36 (m, 1H), 3.95 (s, 3H), 3.85 (s, 3H), 1.75 (ddd, *J* = 14 6, 12.8, 6.6 Hz, 1H), 1.67 (ddd, *J* = 14.2, 8.7, 5.5 Hz, 1H), 1.43 (d, *J* = 7.2 Hz, 3H), 1.41 - 1.35 (m, 1H), 1.34 (d, *J* = 6.6 Hz, 3H), 0.96 (d, *J* = 6.6 Hz, 3H), 0.91 (d, *J* = 6.5 Hz, 3H) ^{13}C RMN (126 MHz, $CDCl_3$) δ 171.66,

*Comp. No.	P.F. (°C)	*1R (cm^{-1})	MASA	RMN (^{1}H, ^{13}C, ^{19}F)
				168.84, 158.64, 155.79, 155.49, 148.85, 140.55, 130.37, 130.18, 114.48, 109.57, 107.05, 102.10, 77.97, 73.23, 56.19, 56.14, 48.19, 39.67, 24.62, 23.32, 22.40, 18.12, 14.63.
1053	- - -	(Película delgada) 3379, 2985, 2940, 1770, 1737, 1676, 1591, 1507, 1478	HRMS - ESI (*m/z*) ($[M+H]^+$) calculada para $C_{24}H_{28}ClN_2O_7$, 491.158; encontrada, 491.1576	^{1}H RMN (500 (MHZ, $CDCl_3$) δ 8.47 (s, 1H), 8.30 (d, *J* = 5.4 Hz, 1H), 7.16 - 7.09 (m, 1H), 6.99 (d, *J* = 5.5 Hz, 1H), 6.93 - 6.86 (m, 2H), 6.76 (ddd, *J* = 8.4, 2.3, 1.1 Hz, 1H), 5.20 (qd, *J* = 6.5, 3.4 Hz, 1H), 4.72 - 4.61 (m, 1H), 3.91 (s, 3H), 3.83 (dd, *J* = 7.7, 3.5 Hz, 1H), 2.39 (s, 3H), 1.41 (d, *J* = 6.5 Hz, 3H), 1.38 (d, *J* = 7.2 Hz, 3H), 1.12 - 1.04 (m, 1H), 0.64 - 0.51 (m, 2H), 0.41 - 0.32 (m, 2H)
1054	- - -	(Película delgada) 3379, 2960, 2874, 1770, 1737, 1676, 1589, 1507, 1491	HRMS - ESI (*m/z*) ($[M+H]^+$) calculada para $C_{25}H_{32}ClN_2O_8$, 523.1842; encontrada, 523.1839	^{1}H RMN (500 MHz, $CDCl_3$) δ 8.44 (d, *J* = 8.3 Hz, 1H), 8.25 (d, *J* = 5.4 Hz, 1H), 7.12 (d, *J* = 8.7 Hz, 1H), 6.99 (d, *J* = 5.5 Hz, 1H), 6.49 (d, *J* = 2.6 Hz, 1H), 6.40 (dd, *J* = 8.7, 2.7 Hz, 1H), 5.11 (qd, *J* = 6.6, 3.5 Hz, 1H), 4.72 - 4.59 (m, 1H), 4.33 (dt, *J* = 7.9, 4.0 Hz, 1H), 3.91 (s, 3H), 3.85 (s, 3H), 2.39

*Comp. No.	P.F. (°C)	*1R (cm^{-1})	MASA	RMN (^{1}H, ^{13}C, ^{19}F)
				(s, 3H), 1.73 - 1.62 (m, 1H), 1.62 - 1.53 (m, 1H), 1.53 - 1.45 (m, 1H), 1.47 - 1.40 (m, 1H), 1.39 (d, *J* = 7.2 Hz, 3H), 1.33 (d, *J* = 6.5 Hz, 3H), 0.92 (t, *J* = 7.4 Hz, 3H).
1055	- - -	(Película delgada) 3380, 2960, 1770, 1736, 1676, 1590, 1573, 1507, 1478	HRMS - ESI (*m/z*) ($[M+H]^+$) calculada para $C_{25}H_{32}ClN_2O_7$, 507.1893; encontrada, 507.1892	^{1}H RMN (500 MHz, $CDCl_3$) δ 8.54 - 8.39 (m, 1H), 8.31 (d, *J* = 5.4 Hz, 1H), 7.10 (t, *J* = 8.1 Hz, 1H), 7.00 (d, *J* = 5.5 Hz, 1H), 6.98 (t, 2.2 Hz, 1H), 6.88 - 6.83 (m, 2H), 5.35 (qd, *J* = 6.5, 2.4 Hz, 1H), 4.69 - 4.56 (m, 1H), 4.07 (d, *J* = 2.5 Hz, 1H), 3.90 (s, 3H), 2.39 (s, 3H), 1.39 (d, *J* = 7.2 Hz, 3H), 1.29 (d, *J* = 6.5 Hz, 3H), 1.02 (s, 9H)
1056	- - -	(Película delgada) 3381, 2960, 2874, 1771, 1739, 1678, 1591, 1509, 1479	HRMS - ESI (*m/z*) ($[M+H]^+$) calculada para $C_{24}H_{30}ClN_2O_7$, 493.1736; encontrada, 493.1739	^{1}H RMN (500 NMz, $CDCl_3$) δ 8.46 (d, *J* = 7.6 Hz, 1H), 8.29 (d, *J* = 5.5 Hz, 1H), 7.16 - 7.11 (m, 1H), 6.99 (d, *J* = 5.4 Hz, 1H), 6.91 - 6.87 (m, 2H), 6.80 - 6.75 (m, 1H), 5.11 (qd, *J* = 6.6, 3.3 Hz, 1H), 4.69 - 4.60 (m, 1H), 4.36 (dt, *J* = 7.9, 3.9 Hz, 1H), 3.90 (s, 3H), 2.39 (s, 3H), 1.74 - 1.64 (m, 1H), 1.63 - 1.54 (m, 1H), 1.54 - 1.45 (m, 1H), 1.44 - 1.38 (m, 1H), 1.36 (d, *J* = 7.1 Hz, 3H), 1.33 (d, *J* = 6.6 Hz, 3H), 0.93

*Comp. No.	P.F. (°C)	*1R (cm^{-1})	MASA	RMN (^{1}H, ^{13}C, ^{19}F)
				(t, *J* = 7.3 Hz, 3H)
1057	- - -	(Película delgada) 3382, 2958, 2872, 1771, 1735, 1677, 1507	HRMS - ESI (*m/z*) ($[M+H]^+$) calculada para $C_{22}H_{33}N_2O_7$, 437.2282; encontrada, 437.2283	^{1}H RMN (500 MHz, $CDCl_3$) δ 8.56 - 8.48 (m, 1H), 8.33 (d, *J* = 5.4 Hz, 1H), 7.01 (d, *J* = 5.5 Hz, 1H), 5.02 (qd, *J* = 6.4, 3.2 Hz, 1H), 4.76 - 4.63 (m, 1H), 3.91 (s, 3H), 3.43 (dd, *J* = 10.0, 7.0 Hz, 1H), 3.34 (dt, *J* = 8.5, 3.5 Hz, 1H), 3.25 (dd, *J* = 10.0, 6.8 Hz, 1H), 2.40 (s, 3H), 1.50 (d, *J* = 7.1 Hz, 3H), 1.59 - 1.44 (m, 2H), 1.44 - 1.29 (m, 2H), 1.25 (d, *J* = 6.5 Hz, 3H), 1.07 - 0.98 (m, 1H), 0.92 (t, *J* = 7.2 Hz, 3H), 0.53 - 0.44 (m, 2H), 0.17 - 0.11 (m, 2H)
1058	- - -	(Película delgada) 3380, 2985, 2940, 1770, 1736, 1675, 1507	HRMS - ESI (*m/z*) ($[M+H]^+$) calculada para $C_{25}H_{31}N_2O_7$, 471.2126; encontrada, 471.2100	^{1}H RMN (500 MHz, $CDCl_3$) δ 8.54 - 8.46 (m, 1H), 8.29 (d, *J* = 5.4 Hz, 1H), 7.02 - 6.99 (m, 2H), 6.98 (d, *J* = 5.5 Hz, 1H), 6.78 (d, *J* = 8.5 Hz, 2H), 5.20 (qd, *J* = 6.4, 3.6 Hz, 1H), 4.67 (dq, 8.9, 7.3 Hz, 1H), 3.88 (s, 3H), 3.75 (dd, *J* = 7.7, 3.6 Hz, 1H), 2.39 (s, 3H), 2.25 (s, 3H), 1.41 (d, *J* = 6.6 Hz, 3H), 1.37 (d, *J* = 7.2 Hz, 3H), 1.14 - 1.03 (m, 1H), 0.63 - 0 48 (m, 2H), 0.42 - 0.28 (m, 2H)
1059	- - -	(Película	HRMS - ESI (*m/z*)	^{1}H RMN (500 MHz, $CDCl_3$) δ 8.50 (d,

*Comp. No.	P.F. (°C)	*1R (cm^{-1})	MASA	RMN (^1H, ^{13}C, ^{19}F)
		delgada) 3381, 2958, 1771, 1735, 1676, 1507	([M+H]$^+$) calculada para $C_{26}H_{35}N_2O_7$, 487.2439; encontrada, 487.2419	*J* = 8.0 Hz, 1H), 8.31 (d, *J* = 5.5 Hz, 1H), 7.01 - 6.97 (m, 3H), 6.88 - 6.84 (m, 2H), 5.33 (qd, *J* = 6.5, 2.8 Hz, 1H), 4.68 - 4.57 (m, 1H), 4.03 (d, *J* = 2.7 Hz, 1H), 3.88 (s, 3H), 2.39 (s, 3H), 2.24 (s, 3H), 1.35 (d, *J* = 7.2 Hz, 3H), 1.30 (d, *J* = 6.5 Hz, 3H), 1.01 (s, 9H)
1060	- - -	(Película delgada) 3381, 2959, 2874, 1771, 1737, 1677, 1507	HRMS - ESI (*m/z*) ([M+H]$^+$) calculada para $C_{25}H_{33}N_2O_7$, 473.2282, encontrada, 473.2263	^{1}H RMN (500 MHz, $CDCl_3$) δ 8.49 (d, *J* = 7.0 Hz, 1H), 8.30 (d, *J* = 5.4 Hz, 1H), 7.03 - 7.01 (m, 2H), 6.99 (d, *J* = 5.5 Hz, 1H), 6.79 (d, *J* = 8.5 Hz, 2H), 5.11 (qd, *J* = 6.5, 3.6 Hz, 1H), 4.68 - 4.61 (m, 1H), 4.29 (dt, *J* = 7.8, 3.7 Hz, 1H), 3.90 (s, 3H), 2.39 (s, 3H), 2.26 (s, 3H), 1.74 - 1.63 (m, 1H), 1.63 - 1.47 (m, 2H), 1.45 - 1.37 (m, 1H), 1.34 (d, *J* = 7.2 Hz, 3H), 1.32 (d, *J* = 6.6 Hz, 3H), 0.93 (t, *J* = 7.2 Hz, 3H)
1061	- - -	(Película delgada) 3380, 2941, 1770, 1736, 1676, 1590, 1508, 1491	HRMS - ESI (*m/z*) ([M+H]$^+$) calculada para $C_{25}H_{31}N_2O_8$, 487.2075; encontrada, 487.2071	^{1}H RMN (500 MHz, $CDCl_3$) δ 8.49 (d, *J* = 7.9 Hz, 1H), 8.29 (d, *J* = 5.5 Hz, 1H), 7.10 (t, *J* = 8.1 Hz, 1H), 6.99 (d, *J* = 5.4 Hz, 1H), 6.50 - 6.43 (m, 3H), 5.21 (qd, *J* = 6.5, 3.6 Hz, 1H), 4.72 - 4.61 (m, 1H), 3.88 (s, 3H), 3.84 (dd, *J* = 7.6, 3.7 Hz, 1H), 3.76 (s, 3H), 2.39

*Comp. No.	P.F. (°C)	*1R (cm^{-1})	MASA	RMN (^{1}H, ^{13}C, ^{19}F)
				(s, 3H), 1.41 (d, *J* = 6.6 Hz, 3H), 1.38 (d, *J* = 7.2 Hz, 3H), 1.14 - 1.04 (m, 1H), 0.62 - 0.50 (m, 2H), 0.43 - 0.32 (m, 2H)
1062	- - -	(Película delgada) 3378, 2958, 1771, 1735, 1677, 1590, 1508, 1491	HRMS - ESI (*m/z*) ($[M+H]^+$) calculada para $C_{26}H_{35}N_2O_8$, 503.2388; encontrada, 503.2391	^{1}H RMN (500 NMz, $CDCl_3$) δ 8.50 (d, *J* = 7.9 Hz, 1H), 8.32 (d, *J* = 5.4 Hz, 1H), 7.10 (t, *J* = 8.2 Hz, 1H), 7.00 (d, *J* = 5.5 Hz, 1H), 6.57 (ddd, *J* = 8.2, 2.4, 0.8 Hz, 1H), 6.53 (t, *J* = 2.4 Hz, 1H), 6.46 (ddd, *J* = 8.3, 2.4, 0.8 Hz, 1H), 5.33 (qd, *J* = 6.5, 2.8 Hz, 1H), 4.67 - 4.59 (m, 1H), 4.08 (d, *J* = 2.8 Hz, 1H), 3.90 (s, 3H), 3.78 (s, 3H), 2.39 (s, 3H), 1.37 (d, *J* = 7.2 Hz, 3H), 1.30 (d, *J* = 6.5 Hz, 3H), 1.01 (s, 9H)
1063	- - -	(Película delgada) 3378, 2959, 1770, 1737, 1676, 1590, 1507, 1491	HRMS - ESI (*m/z*) ($[M+H]^+$) calculada para $C_{25}H_{33}N_2O_8$, 489.2231; encontrada, 489.2234	^{1}H RMN (500 MHz, $CDCl_3$) δ 8.52 - 8.43 (m, 1H), 8.29 (d, *J* = 5.5 Hz, 1H), 7.12 (t, *J* = 8.1 Hz, 1H), 6.98 (d, *J* = 5.5 Hz, 1H), 6.51 - 6.44 (m, 3H), 5.12 (qd, *J* = 6.5, 3.5 Hz, 1H), 4.69 - 4.59 (m, 1H), 4.36 (dt, *J* = 8.0, 3.9 Hz, 1H), 3.88 (s, 3H), 3.76 (s, 3H), 2.39 (s, 3H), 1.75 - 1.65 (m, 1H), 1.64 - 1.45 (m, 2H), 1.44 - 1.38 (m, 1H), 1.36 (d, *J* = 7.2 Hz, 3H), 1.33 (d, *J* = 6.6 Hz,

*Comp. No.	P.F. (°C)	*1R (cm^{-1})	MASA	RMN (^{1}H, ^{13}C, ^{19}F)
				3H), 0.93 (t, *J* = 7.3 Hz, 3H)
1064	- - -	(Película delgada) 3381, 2986, 2940, 1770, 1737, 1676, 1507, 1492	HRMS - ESI (*m/z*) ($[M+H]^+$) calculada para $C_{24}H_{29}N_2O_7$, 457.1969; encontrada, 457.1966	^{1}H RMN (500 MHz, $CDCl_3$) δ 8.54 - 8.44 (m, 1H), 8.30 (d, *J* = 5.5 Hz, 1H), 7.21 (dd, *J* = 8.7, 7.3 Hz, 2H), 6.99 (d, *J* = 5.5 Hz, 1H), 6.92 (tt, *J* = 7.4, 1.1 Hz, 1H), 6.90 - 6.86 (m, 2H), 5.21 (qd, *J* = 6.6, 3.5 Hz, 1H), 4.71 - 4.61 (m, 1H), 3.90 (s, 3H), 3.84 (dd, *J* = 7.7, 3.6 Hz, 1H), 2.39 (s, 3H), 1.42 (d, *J* = 6.6 Hz, 3H), 1.35 (d, *J* = 7.2 Hz, 3H), 1.15 - 1.05 (m, 1H), 0.62 - 0.51 (m, 2H), 0.43 - 0.32 (m, 2H)
1065	- - -	(Película delgada) 3379, 2958, 1771, 1734, 1676, 1593, 1507, 1491	HRMS - ESI (*m/z*) ($[M+H]^+$) calculada para $C_{25}H_{33}N_2O_7$, 473.2282; encontrada, 473.2234	^{1}H RMN (500 MHz, $CDCl_3$) δ 8.48 (d, *J* = 8.0 Hz, 1H), 8.31 (d, *J* = 5.4 Hz, 1H), 7.20 (dd, *J* = 8.8, 7.3 Hz, 2H), 7.00 (d, *J* = 5.5 Hz, 1H), 6.98 - 6.95 (m, 2H), 6.91 - 6.85 (m, 1H), 5.34 (qd, *J* = 6.5, 2.5 Hz, 1H), 4.69 - 4.56 (m, 1H), 4.10 (d, *J* = 2.6 Hz, 1H), 3.89 (s, 3H), 2.39 (s, 3H), 1.34 (d, *J* = 7.1 Hz, 3H), 1.31 (d, *J* = 6.5 Hz, 3H), 1.02 (s, 9H).
1066	- - -	(Película delgada) 3381, 3081,	HRMS - ESI (*m/z*) ($[M+H]^+$) calculada para $C_{22}H_{31}N_2O_7$,	^{1}H RMN (500 MHz, $CDCl_3$) δ 8.38 (d, *J* = 7.8 Hz, 1H), 8.17 (d, *J* = 5.4 Hz, 1H), 6.85 (d, *J* = 5.5 Hz, 1H), 4.97

*Comp. No.	P.F. (°C)	*1R (cm^{-1})	MASA	RMN (^{1}H, ^{13}C, ^{19}F)
		3003, 2940, 1771, 1734, 1675, 1506	435.2126; encontrada, 435.212	(qd, *J* = 6.5, 3.5 Hz, 1H), 4.61 - 4.50 (m, 1H), 3.74 (s, 3H), 3.22 (dd, *J* = 10.0, 6.8 Hz, 1H), 3.17 (dd, *J* = 10.0, 6.8 Hz, 1H), 2.57 (dd, *J* = 8.4, 3.5 Hz, 1H), 2.24 (s, 3H), 1.35 (d, *J* = 7.2 Hz, 3H), 1.17 (d, *J* = 6.6 Hz, 3H), 0.92 - 0.80 (m, 1H), 0.75 - 0.62 (m, 1H), 0.44 - 0.38 (m, 1H), 0.38 - 0.29 (m, 3H), 0.24 - 0.17 (m, 1H), 0.14 - 0.07 (m, 1H), 0.01 - 0.04 (m, 2H)
1067	- - -	(Película delgada) 3381, 2959, 1771, 1735, 1677, 1496	HRMS - ESI (*m/z*) ($[M+H]^+$) calculada para $C_{26}H_{34}ClN_2O_7$, 521.2049; encontrada, 521.2046	^{1}H RMN (500 MHz, $CDCl_3$) δ 8.53 - 8.42 (m, 1H), 8.31 (d, *J* = 5.4 Hz, 1H), 7.13 (d, *J* = 2.1 Hz, 1H), 7.01 (d, *J* = 5.5 Hz, 1H), 6.87 (d, *J* = 8.5 Hz, 1H), 6.82 (dd, *J* = 8.6, 2.1 Hz, 1H), 5.36 (qd, *J* = 6.6, 2.6 Hz, 1H), 4.65 (p, *J* = 7.3 Hz, 1H), 4.20 - 4.07 (m, 1H), 3.91 (s, 3H), 2.39 (s, 3H), 2.21 (s, 3H), 1.37 (d, *J* = 7.2 Hz, 3H), 1.33 (d, *J* = 6.5 Hz, 3H), 1.04 (s, 9H)
1068	- - -	(Película delgada) 3378, 2960, 2874, 1770, 1737, 1676,	HRMS - ESI (*m/z*) ($[M+H]^+$) calculada para $C_{25}H_{32}ClN_2O_7$, 507.1893;	^{1}H RMN (500 MHz, $CDCl_3$) δ 8.49 - 8.41 (m, 1H), 8.30 (d, *J* = 5.4 Hz, 1H), 7.13 (d, *J* = 2.1 Hz, 1H), 6.99 (d, *J* = 5.5 Hz, 1H), 6.90 (ddd, *J* = 8.4, 2.2, 0.8 Hz, 1H), 6.79 (d, *J* = 8.4 Hz, 1H),

*Comp. No.	P.F. (°C)	*1R (cm^{-1})	MASA	RMN (^{1}H, ^{13}C, ^{19}F)
		1495	encontrada, 507.1889	5.12 (qd, *J* = 6.5, 3.2 Hz, 1H), 4.68 - 4.58 (m, 1H), 4.38 (dt, *J* = 7.8, 3.7 Hz, 1H), 3.90 (s, 3H), 2.39 (s, 3H), 2.23 (s, 3H), 1.82 - 1.66 (m, 2H), 1.65 - 1.48 (m, 2H), 1.38 (d, *J* = 6.5 Hz, 3H), 1.30 (d, *J* = 7.2 Hz, 3H), 0.94 (t, *J* = 7.2 Hz, 3H)
1069	- - -	(Película delgada) 3376, 2941, 1770, 1737, 1676, 1590, 1508, 1491	HRMS - ESI (*m/z*) ($[M+H]^+$) calculada para $C_{25}H_{30}ClN_2O_8$, 521.1685; encontrada, 521.1680	^{1}H RMN (500 MHz, $CDCl_3$) δ 8.44 (d, *J* = 8.0 Hz, 1H), 8.25 (d, *J* = 5.5 Hz, 1H), 7.11 (d, *J* = 8.7 Hz, 1H), 6.99 (d, *J* = 5.5 Hz, 1H), 6.50 (d, *J* = 2.7 Hz, 1H), 6.37 (dd, *J* = 8.7, 2.7 Hz, 1H), 5.20 (qd, *J* = 6.5, 3.4 Hz, 1H), 4.71 - 4.63 (m, 1H), 3.91 (s, 3H), 3.85 (s, 3H), 3.80 (dd, *J* = 7.8, 3.5 Hz, 1H), 2.39 (s, 3H), 1.42 (d, *J* = 6.7 Hz, 3H), 1.40 (d, *J* = 7.1 Hz, 3H), 1.07 (qt, *J* = 8.2, 5.0 Hz, 1H), 0.64 - 0.50 (m, 2H), 0.40 - 0.30 (m, 2H).
1070	- - -	(Película delgada) 3380, 2961, 1770, 1735, 1676, 1507, 1491, 1449	HRMS - ESI (*m/z*) ($[M+H]^+$) calculada para $C_{26}H_{34}ClN_2O_8$, 537.1998, encontrada,	^{1}H RMN (500 MHz, $CDCl_3$) δ 8.43 (d, *J* = 8.0 Hz, 1H), 8.29 (d, *J* = 5.5 Hz, 1H), 7.05 - 7.00 (m, 2H), 6.55 (d, *J* = 2.7 Hz, 1H), 6.48 (dd, *J* = 8.8, 2.7 Hz, 1H), 5.34 (qd, *J* = 6.5, 2.4 Hz, 1H), 4.69 - 4.60 (m, 1H), 4.04 (d, *J* = 2.6

*Comp. No.	P.F. (°C)	*1R (cm^{-1})	MASA	RMN (^{1}H, ^{13}C, ^{19}F)
			537.1996	Hz, 1H), 3.91 (s, 3H), 3.86 (s, 3H), 2.39 (s, 3H), 1.40 (d, *J* = 7.2 Hz, 3H), 1.29 (d, *J* = 6.5 Hz, 3H), 1.01 (s, 9H).
1071	- - -	(Película delgada) 3381, 2954, 2872, 1772, 1732, 1677, 1506	HRMS - ESI (*m/z*) ($[M+H]^+$) calculada para $C_{23}H_{35}N_2O_7$, 451.2439; encontrada, 451.2444	^1H RMN (500 NMz, $CDCl_3$) δ 8.44 - 8.30 (m, 1H), 8.16 (d, *J* = 5 4 Hz, 1H), 6.85 (d, *J* = 5.5 Hz, 1H), 5.07 (qd, *J* = 6.4, 1.9 Hz, 1H), 4.56 - 4.47 (m, 1H), 3.74 (s, 3H), 3.37 (dd, *J* = 9.9, 6.6 Hz, 1H), 3.06 (dd, *J* = 9.9, 6.7 Hz, 1H), 2.83 (d, *J* = 1.9 Hz, 1H), 2.24 (s, 3H), 1.33 (d, *J* = 7.1 Hz, 3H), 1.12 (d, *J* = 6.5 Hz, 3H), 0.95 - 0.81 (m, 1H), 0.78 (s, 9H), 0.35 - 0.26 (m, 2H), 0.02 - 0.05 (m, 2H).
1072	- - -	(Película delgada) 3380, 2985, 2940, 1770, 1737, 1676, 1572, 1496	HRMS - ESI (*m/z*) ($[M+H]^+$) calculada para $C_{25}H_{30}ClN_2O_7$, 505.1736; encontrada, 505.1733	^1H RMN (500 MHz, $CDCl_3$) δ 8.48 (d, *J* = 7.3 Hz, 1H), 8.30 (d, *J* = 5.5 Hz, 1H), 7.14 - 7.10 (m, 1H), 6.99 (d, *J* = 5.5 Hz, 1H), 6.89 (ddd, *J* = 8 4, 2.1, 0.8 Hz, 1H), 6.79 (d, *J* = 8.3 Hz, 1H), 5.23 (qd, *J* = 6.6, 3.4 Hz, 1H), 4.72 - 4.62 (m, 1H), 3.90 (d, *J* = 1.6 Hz, 3H), 3.80 (dd, *J* = 8.0, 3.3 Hz, 1H), 2.39 (s, 3H), 2.24 (s, 3H), 1.47 (d, *J* = 6.5 Hz, 3H), 1.37 (d, *J* = 7.2 Hz, 3H), 1.16 - 1.06 (m, 1H), 0.60 - 0.47 (m, 2H),

*Comp. No.	P.F. (°C)	*1R (cm^{-1})	MASA	RMN (^{1}H, ^{13}C, ^{19}F)
				0.37 - 0.26 (m, 2H)
1073	- - -	(Película delgada) 3366, 2967, 1752, 1695, 1493, 1202, 1003	HRMS - ESI (*m/z*) ($[M+H]^+$) calculada para $C_{25}H_{30}F_3N_2O_8$, 543.1949; encontrada, 543.1959	^{1}H RMN (400 MHz, $CDCl_3$) δ 8.74 - 8.58 (m, 1H), 8.31 - 8.25 (m, 1H), 7.26 - 7.18 (m, 2H), 7.04 - 6.85 (m, 4H), 5.86 - 5.62 (m, 2H), 5.45 - 5.16 (m, 2H), 4.31 - 4.19 (m, 1H), 3.99 - 3.85 (m, 3H), 2.10 - 2.04 (m, 3H), 2.04 - 1.93 (m, 1H), 1.40 - 1.34 (m, 3H), 1.11 - 0.94 (m, 6H) ^{19}F RMN (471 MHz, $CDCl_3$) δ -71.84 (d, *J* = 7.8 Hz), -71.92 (d, *J* = 7.7 Hz)
1074	- - -	(Película delgada) 3382, 2982, 1771, 1677, 1507, 1311, 1200, 1175, 1061	HRMS - ESI (*m/z*) ($[M+H]^+$) calculada para $C_{22}H_{31}N_2O_7$, 435.2126; encontrada, 435.2127	^{1}H RMN (400 NMz, $CDCl_3$) δ 8.54 (d, *J* = 7.9 Hz, 1H), 8.32 (d, *J* = 5.4 Hz, 1H), 7.00 (d, *J* = 5.5 Hz, 1H), 5.84 (ddt, *J* = 17.1, 10.2, 7.0 Hz, 1H), 5.17 - 4.99 (m, 3H), 4.94 (dq, *J* = 2.3, 1.2 Hz, 1H), 4.90 - 4.82 (m, 1H), 4.78 - 4.65 (m, 1H), 4.04 - 3.85 (m, 5H), 3.45 (ddd, *J* = 7.0, 5.4, 3.6 Hz, 1H), 2.40 (s, 3H), 2.37 - 2.21 (m, 2H), 1.72 (t, 1.2 Hz, 3H), 1.51 (d, *J* = 7.2 Hz, 3H), 1.27 (d, *J* = 6.5 Hz, 3H) ^{13}C RMN (101 MHz, $CDCl_3$) δ 172.04, 168.86, 162.40, 159.50, 146.66,

*Comp. No.	P.F. (°C)	*1R (cm^{-1})	MASA	RMN (^{1}H, ^{13}C, ^{19}F)
				142.35, 141.58, 137.56, 134.39, 117.31, 112.14, 109.77, 80.18, 74.53, 73.03, 56.29, 48.09, 35.42, 20.74, 19.61, 18.66, 14.74
1075	- - -	(Película delgada) 3379, 2986, 1743, 1675, 1506, 1201, 1001, 969	HRMS - ESI (*m/z*) ($[M+H]^+$) calculada para $C_{25}H_{29}F_2N_2O_8$, 523.1886; encontrada, 523.1886	^{1}H RMN (400 MHz, $CDCl_3$) δ 8.28 (d, *J* = 8.5 Hz, 1H), 8.26 (d, *J* = 5.4 Hz, 1H), 6.99 (ddd, *J* = 10.6, 9.0, 5.3 Hz, 1H), 6.94 (d, *J* = 5.4 Hz, 1H), 6.72 (ddd, *J* = 93, 6.6, 3.0 Hz, 1H), 6.60 (ddt, *J* = 9.0, 7.7, 3.2 Hz, 1H), 5.85 (ddt, *J* = 17.1, 10.2, 7.0 Hz, 1H), 5.74 (d, *J* = 1.2 Hz, 2H), 5.23 - 5.07 (m, 3H), 4.66 (p, *J* = 7.3 Hz, 1H), 4.38 (ddd, *J* = 7.4, 5.3, 3.5 Hz, 1H), 3.91 (s, 3H), 2.60 - 2.48 (m, 1H), 2.48 - 2.38 (m, 1H), 2.07 (s, 3H), 1.39 (d, *J* = 6.8 Hz, 6H) ^{19}F RMN (376 MHz, $CDCl_3$) δ -116.71 (d, *J* = 15.0 Hz), -137.88 (d, *J* = 15.1 Hz)
1076	- - -	(Película delgada) 3381, 2984, 1737, 1675, 1503, 1201,	HRMS - ESI (*m/z*) ($[M+H]^+$) calculada para $C_{23}H_{33}N_2O_8$, 465.2231; encontrada,	^{1}H RMN (400 MHz, $CDCl_3$) δ 8.37 (d, *J* = 7.8 Hz, 1H), 8.28 (d, *J* = 5.3 Hz, 1H), 6.95 (d, *J* = 5.4 Hz, 1H), 5.85 (ddt, *J* = 17.1, 10.2, 7.0 Hz, 1H), 5.75 (d, *J* = 1.3 Hz, 2H), 5.16 - 4.96 (m,

*Comp. No.	P.F. (°C)	*1R (cm^{-1})	MASA	RMN (^{1}H, ^{13}C, ^{19}F)
		1043, 1103, 968, 830	465.2226	3H), 4.72 (p, *J* = 7.3 Hz, 1H), 3.91 (s, 3H), 3.47 - 3.35 (m, 2H), 3.31 (dd, *J* = 10.0, 6.8 Hz, 1H), 2.36 - 2.19 (m, 2H), 2.07 (s, 3H), 1.53 (d, *J* = 7.1 Hz, 3H), 1.28 (d, *J* = 6.5 Hz, 3H), 1.09 - 0.96 (m, 1H), 0.53 - 0.45 (m, 2H), 0.16 (q, *J* = 4.9 Hz, 2H). ^{13}C RMN (101 MHz, $CDCl_3$) δ 172.13, 170.25, 162.98, 160.34, 145.69, 144.08, 142.53, 134.52, 117.15, 109.58, 89.62, 80.40, 75.52, 73.20, 56.19, 48.30, 35.61, 20.87, 18.53, 14.91, 10.94, 2.92
1077	- - -	(Película delgada) 3379, 2985, 1745, 1676, 1506, 1325, 1202, 1111, 1004	HRMS - ESI (*m/z*) ($[M+H]^+$) calculada para $C_{26}H_{30}F_3N_2O_8$, 555.1949; encontrada, 555.1943	^{1}H RMN (400 MHz, $CDCl_3$) δ 8.26 (d, *J* = 7.7 Hz, 1H), 8.22 (d, *J* = 5.4 Hz, 1H), 7.50 - 7.43 (m, 2H), 7.02 - 6.88 (m, 3H), 5.89 - 5.74 (m, 1H), 5.73 (d, 0.7 Hz, 2H), 5.21 - 5.07 (m, 3H), 4.67 (p, *J* = 7.3 Hz, 1H), 4.49 (ddd, *J* = 7.0, 5.5, 3.7 Hz, 1H), 3.91 (s, 3H), 2.57 - 2.35 (m, 2H), 2.07 (s, 3H), 1.40 (d, *J* = 7.2 Hz, 3H), 1.37 (d, *J* = 6.5 Hz, 3H) ^{19}F RMN (376 MHz, $CDCl_3$) δ - 61.57
1078	- - -	(Película delgada)	HRMS - ESI (*m/z*) ($[M+H]^+$) calculada	^{1}H RMN (400 MHz, $CDCl_3$) δ 8.29 (d, *J* = 7.9 Hz, 1H), 8.25 (d, *J* = 5.3 Hz,

*Comp. No.	P.F. (°C)	*1R (cm^{-1})	MASA	RMN (^{1}H, ^{13}C, ^{19}F)
		3380, 2987, 1746, 1677, 1605, 1604, 1505, 1203, 1140, 1005	para $C_{25}H_{29}ClFN_2O_8$, 539.1591; encontrada, 539.1581	1H), 6.94 (d, *J* = 5.4 Hz, 1H), 6.73 - 6.64 (m, 2H), 6.52 (dt, *J* = 10.5, 2.3 Hz, 1H), 5.88 - 5.75 (m, 1H), 5.73 (d, *J* = 1.3 Hz, 2H), 5.22 - 5.06 (m, 3H), 4.68 (p, *J* = 7.2 Hz, 1H), 4.38 (ddd, *J* = 7.1, 5.4, 3.7 Hz, 1H), 3.91 (s, 3H), 2.56 - 2.30 (m, 2H), 2.07 (s, 3H), 1.43 (d, *J* = 7.2 Hz, 3H), 1.35 (d, *J* = 6.5 Hz, 3H) ^{19}F RMN (376 MHz $CDCl_3$) δ -109.86
1079	- - -	(Película delgada) 3380, 2983, 1770, 1677, 1508, 1199, 1175, 1063, 910	HRMS - ESI (*m/z*) ($[M+H]^+$) calculada para $C_{24}H_{28}ClN_2O_7$, 491.1580; encontrada, 491.1575	^{1}H RMN (400 MHz, $CDCl_3$) δ 8.47 (d, *J* = 7.8 Hz, 1H), 8.29 (d, *J* = 5.4 Hz, 1H), 7.14 (t, *J* = 8.4 Hz, 1H), 6.99 (d, *J* = 5.5 Hz, 1H), 6.94 - 6.88 (m, 2H), 6.78 (ddd, *J* = 8.4, 2.4, 1.0 Hz, 1H), 5.82 (ddt, *J* = 17.1, 10.2, 7.0 Hz, 1H), 5.19 - 5.04 (m, 3H), 4.72 - 4.59 (m, 1H), 4.39 (ddd, *J* = 7.0, 5.4, 3.9 Hz, 1H), 3.90 (s, 3H), 2.54 - 2.34 (m, 5H), 1.39 (d, *J* = 7.2 Hz, 3H), 1.35 (d, *J* = 6.5 Hz, 3H) ^{13}C RMN (101 MHz, $CDCl_3$) δ 171.99, 168.86, 162.45, 159.48, 159.18, 146.64, 141.48, 137.54, 134.86, 133.00, 130.28, 121.55, 118.39, 116.88, 114.61, 109.78, 79.37, 72.31,

*Comp. No.	P.F. (°C)	*1R (cm^{-1})	MASA	RMN (^{1}H, ^{13}C, ^{19}F)
				56.28, 48.03, 34.92, 20.74, 18.33, 14.84
1080	- - -	(Película delgada) 3378, 2985, 1770, 1677, 1589, 1507, 1139, 1040	HRMS - ESI (*m/z*) ($[M+H]^+$) calculada para $C_{24}H_{27}ClFN_2O_7$, 509.1485; encontrada, 509.1474	^{1}H RMN (400 MHz, $CDCl_3$) δ 8.46 (d, *J* = 8.0 Hz, 1H), 8.30 (d, *J* = 5.5 Hz, 1H), 6.99 (d, *J* = 5.5 Hz, 1H), 6.71 - 6.63 (m, 2H), 6.52 (dt, *J* = 10.4, 2.3 Hz, 1H), 5.79 (ddt, *J* = 17.1, 10.2, 7.0 Hz, 1H), 5.21 - 5.06 (m, 3H), 4.71 - 4.60 (m, 1H), 4.36 (ddd, *J* = 7.0, 5.5, 3.8 Hz, 1H), 3.90 (s, 3H), 2.53 - 2.33 (m, 5H), 1.42 (d, *J* = 7.2 Hz, 3H), 1.34 (d, *J* = 6.5 Hz, 3H) ^{13}C RMN (101 MHz, $CDCl_3$) δ 171.96, 168.87, 163.30 (d, *J* = 248.2 Hz), 162.50, 159.94 (d, *J* = 12.4 Hz), 159.49, 146.63, 141.41, 137.56, 135.41 (d, *J* = 13.4 Hz), 132.65, 118.68, 112.60 (d, *J* = 3.3 Hz), 109.82, 109.24 (d, *J* = 25.2 Hz), 102.49 (d, *J* = 24.7 Hz), 79.56, 72.06, 56.28, 48.06, 34.77, 20.74, 18.26, 14.75 ^{19}F RMN (376 MHz, $CDCl_3$) δ -109.86
1081	- - -	(Película	HRMS - ESI (*m/z*)	^{1}H RMN (400 MHz, $CDCl_3$) δ 8.46 (d,

*Comp. No.	P.F. (°C)	*1R (cm^{-1})	MASA	RMN (^{1}H, ^{13}C, ^{19}F)
		delgada) 3384, 2985, 1770, 1676, 1506, 1198, 1149, 731	($[M+H]^+$) calculada para $C_{24}H_{27}F_2N_2O_7$, 493.1781; encontrada, 493.1776	*J* = 8.0 Hz, 1H), 8.30 (d, *J* = 5.4 Hz, 1H), 7.04 - 6.93 (m, 2H), 6.71 (ddd, *J* = 9.7, 6.6, 3.0 Hz, 1H), 6.59 (ddt, *J* = 9.0, 7.7, 3.1 Hz, 1H), 5.85 (ddt, *J* = 17.1, 10.2, 7.0 Hz, 1H), 5.22 - 5.05 (m, 3H), 4.70 - 4.58 (m, 1H), 4.37 (ddd, *J* = 7.2, 5.3, 3.5 Hz, 1H), 3.90 (s, 3H), 2.53 (dtt, *J* = 14.0, 6.9, 1.4 Hz, 1H), 2.47 - 2.36 (m, 4H), 1.39 - 1.34 (m, 6H) ^{19}F RMN (376 MHz, $CDCl_3$) δ -116.69 (d, *J* = 15.0 Hz), -137.93 (d, *J* = 15.0 Hz)
1082	- - -	(Película delgada) 3380, 2982, 1739, 1676, 1504, 1202, 1043, 1103, 969	HRMS - ESI (*m/z*) ($[M+H]^+$) calculada para $C_{23}H_{33}N_2O_8$, 465.2231; encontrada, 465.2227	^{1}H RMN (400 MHz, $CDCl_3$) δ 8.37 (d, *J* = 7.8 Hz, 1H), 8.27 (d, *J* = 5.4 Hz, 1H), 6.95 (d, *J* = 5.4 Hz, 1H), 5.84 (ddt, *J* = 17.2, 10.2, 7.0 Hz, 1H), 5.75 (d, *J* = 1.4 Hz, 2H), 5.17 - 5.00 (m, 3H), 4.94 (dq, *J* = 2.2, 1.2 Hz, 1H), 4.85 (ddt, 2.3, 1.6, 0.8 Hz, 1H), 4.73 (p, *J* = 7.3 Hz, 1H), 4.06 - 3.84 (m, 5H), 3.46 (ddd, *J* = 7.0, 5.4, 3.6 Hz, 1H), 2.30 (dtdd, *J* = 15.4, 14.1, 6.8, 5.3 Hz, 2H), 2.07 (s, 3H), 1.72 (t, *J* = 1.1 Hz, 3H), 1.53 (d, *J* = 7.2 Hz, 3H), 1.28 (d, *J* = 6.5 Hz, 3H)

*Comp. No.	P.F. (°C)	*1R (cm^{-1})	MASA	RMN (^{1}H, ^{13}C, ^{19}F)
				^{13}C RMN (101 MHz, $CDCl_3$) δ 172.17, 170.24, 162.99, 160.33, 145.69, 144.08, 142.55, 142.34, 134.40, 117.31, 112.15, 109.59, 89.61, 80.20, 74.52, 72.97, 56.19, 48.30, 35.40, 20.87, 19.62, 18.54, 14.80
1083	- - -	(Película delgada) 3378, 2984, 1743, 1676, 1504, 1201, 1000, 970	HRMS - ESI (*m/z*) ($[M+H]^+$) calculada para $C_{25}H_{30}ClN_2O_8$, 521.1685; encontrada, 521.1686	^{1}H RMN (400 MHz, $CDCl_3$) δ 8.29 (d, *J* = 7.9 Hz, 1H), 8.25 (d, *J* = 5.4 Hz, 1H), 7.15 (t, *J* = 8.4 Hz, 1H), 6.94 (d, *J* = 5.5 Hz, 1H), 6.93 - 6.89 (m, 2H), 6.79 (ddd, *J* = 8.3, 2.4, 1.0 Hz, 1H), 5.83 (ddt, *J* = 17.2, 10.2, 7.0 Hz, 1H), 5.73 (d, *J* = 1.0 Hz, 2H), 5.21 - 5.04 (m, 3H), 4.67 (p, *J* = 7.3 Hz, 1H), 4.40 (ddd, *J* = 7.0, 5.4, 3.8 Hz, 1H), 3.91 (s, 3H), 2.55 - 2.33 (m, 2H), 2.07 (s, 3H), 1.41 (d, *J* = 7.2 Hz, 3H), 1.36 (d, *J* = 6.5 Hz, 3H) ^{13}C RMN (101 MHz, $CDCl_3$) δ 172.09, 170.22, 163.02, 160.28, 159.19, 145.66, 144.03, 142.42, 134.84, 133.00, 130.27, 121.55, 118.36, 116.87, 114.62, 109.58, 89.56, 79.39, 72.30, 56.16, 48.22, 34.92, 20.84, 18.18, 14.81

*Comp. No.	P.F. (°C)	*1R (cm^{-1})	MASA	RMN (^{1}H, ^{13}C, ^{19}F)
1084	- - -	(Película delgada) 3377, 2986, 1771, 1678, 1514, 1327, 1176, 1113, 1067	HRMS - ESI (*m/z*) ($[M+H]^+$) calculada para $C_{25}H_{28}F_3N_2O_7$, 525.1843; encontrada, 525.1836	^{1}H RMN (400 MHz, $CDCl_3$) δ 8.43 (d, *J* = 8.0 Hz, 1H), 8.25 (d, *J* = 5.4 Hz, 1H), 7.46 (d, *J* = 8.5 Hz, 2H), 6.96 (dd, *J* = 13.4, 7.0 Hz, 3H), 5.80 (ddt, *J* = 17.1, 10.2, 7.0 Hz, 1H), 5.20 - 5.02 (m, 3H), 4.71 - 4.57 (m, 1H), 4.48 (ddd, *J* = 7.0, 5.5, 3.7 Hz, 1H), 3.90 (s, 3H), 2.54 - 2 33 (m, 5H), 1.39 (d, *J* = 7.2 Hz, 3H), 1.36 (d, *J* = 6.5 Hz, 3H) ^{19}F RMN (376 MHz, $CDCl_3$) δ - 61.54
1085	- - -	(Película delgada) 3382, 2983, 1772, 1679, 1509, 1202, 1177, 1063	HRMS - ESI (*m/z*) ($[M+H]^+$) calculada para $C_{22}H_{31}N_2O_7$, 435.2126; encontrada, 435.2122	^{1}H RMN (400 MHz, $CDCl_3$) δ 8.53 (d, *J* = 7.9 Hz, 1H), 8.33 (d, *J* = 5.5 Hz, 1H), 7.00 (d, *J* = 5.5 Hz, 1H), 5.85 (ddt, *J* = 17.1, 10.1, 7.0 Hz, 1H), 5.15 - 4.96 (m, 3H), 4.77 - 4.64 (m, 1H), 3.91 (s, 3H), 3.46 - 3.36 (m, 2H), 3.30 (dd, *J* = 10.0, 6.8 Hz, 1H), 2.40 (s, 3H), 2.34 - 2.19 (m, 2H), 1.51 (d, *J* = 7.2 Hz, 3H), 1.27 (d, *J* = 6.4 Hz, 3H), 1.02 (dddd, *J* = 11.6, 8.1, 6.8, 2.6 Hz, 1H), 0.53 - 0.44 (m, 2H), 0.16 (td, *J* = 5.5, 4.3 Hz, 2H) ^{13}C RMN (101 MHz, $CDCl_3$) δ 172.00, 168.86, 162.39, 159.50, 146.65, 141.56, 137.56, 134.51, 117.15, 109.77, 80.37, 75.54, 73.26, 56.29,

*Comp. No.	P.F. (°C)	*1R (cm^{-1})	MASA	RMN (^{1}H, ^{13}C, ^{19}F)
				48.09, 35.63, 20.74, 18.64, 14.84, 10.94, 2.91
1086	- - -	(Película delgada) 3384, 2968, 1738, 1676, 1492, 1201, 968	HRMS - ESI (*m/z*) ($[M+H]^+$) calculada para $C_{24}H_{30}BrN_2O_7$, 539.1214; encontrada, 539.1202	^{1}H RMN (400 HMz, $CDCl_3$) δ 8.31 (d, *J* = 7.7 Hz, 1H), 8.15 (d, *J* = 4.9 Hz, 1H), 7.67 (d, *J* = 5.0 Hz, 1H), 7.21 (ddd, *J* = 11.4, 5.9, 2.3 Hz, 2H), 6.96 - 6.85 (m, 3H), 5.78 (q, *J* = 6.8 Hz, 2H), 5.22 (qd, *J* = 6.5, 4.0 Hz, 1H), 4.56 (p, *J* = 7.3 Hz, 1H), 4.21 (dd, *J* = 7.1, 4.0 Hz, 1H), 2.09 (s, 3H), 1.97 (h, *J* = 6.8 Hz, 1H), 1.36 (d, *J* = 6.6 Hz, 3H), 1.20 (d, *J* = 7.2 Hz, 3H), 1.02 (dd, *J* = 10.4, 6.8 Hz, 6H) ^{13}C RMN (101 MHz, $CDCl_3$) δ 171.99, 170.33, 162.14, 160.08, 152.31, 144.27, 142.22, 131.26, 130.75, 129.42, 120.99, 116.21, 90.38, 83.97, 72.87, 48.31, 30.40, 20.95, 19.24, 18.68, 17.67, 14.58
1087	- - -	- - -	HRMS - ESI (*m/z*) ($[M+H]^+$) calculada para $C_{26}H_{33}N_2O_8$, 501.2231, encontrada, 501.2231	^{1}H RMN (300 MHz, $CDCl_3$) δ 8.29 - 8.21 (m, 2H), 7.21 (dd, *J* = 8.8, 7.3 Hz, 2H), 6.97 - 6.84 (m, 4H), 6.03 (ddd, *J* = 17.5, 10.5, 7.2 Hz, 1H), 5.72 (s, 2H), 5.59 - 5.50 (m, 1H), 5.40 (dt, *J* = 17.3, 1.3 Hz, 1H), 5.34 (dt, *J* = 10.5,

*Comp. No.	P.F. (°C)	*1R (cm^{-1})	MASA	RMN (^{1}H, ^{13}C, ^{19}F)
				1.2 Hz, 1H), 4.70 - 4.53 (m, 1H), 4.25 (dd, *J* = 7.2, 4.0 Hz, 1H), 3.91 (s, 3H), 2.06 (s, 3H), 2.04 - 1.91 (m, 1H), 1.22 (d, *J* = 7.2 Hz, 3H), 1.07 - 1.00 (m, 6H) ^{13}C RMN (126 MHz, $CDCl_3$) δ 171.88, 170.30, 162.91, 160.27, 159.94, 145.66, 144.04, 142.41, 131.86, 129.41, 121.12, 119.96, 116.40, 109.53, 89.58, 83.91, 76.68, 56.18, 48.18, 30.24, 20.88, 19.25, 18.52, 17.84
1088	- - -	- - -	HRMS - ESI (*m/z*) ($[M+H]^+$) calculada para $C_{27}H_{37}N_2O_8$, 517.2544, encontrada, 517.2557	^{1}H RMN (300 $CDCl_3$) δ 8.36 (d, *J* = 7.7 Hz, 1H), 8.27 (d, *J* = 5.3 Hz, 1H), 7.24 (dd, *J* = 9.0, 7.0 Hz, 2H), 6.99 - 6.85 (m, 4H), 5.80 - 5.68 (m, 2H), 5.13 (dd, *J* = 6.7, 4.1 Hz, 1H), 4.79 - 4.67 (m, 1H), 4.35 (dd, *J* = 6.7, 4.0 Hz, 1H), 3.91 (s, 3H), 2.16 - 1.93 (m, 5H), 1.44 (d, *J* = 7.2 Hz, 3H), 1.04 (d, *J* = 5.8 Hz, 3H), 1.01 (d, *J* = 5.9 Hz, 3H), 0.94 (d, *J* = 6.9 Hz, 3H), 0.90 (d, *J* = 6.8 Hz, 3H) ^{13}C RMN (126 MHz, $CDCl_3$) δ 172.34, 170.30, 162.96, 160.28, 159.46, 145.69, 144.03, 142.45, 129.48,

*Comp. No.	P.F. (°C)	*1R (cm^{-1})	MASA	RMN (^{1}H, ^{13}C, ^{19}F)
				120.88 115.73, 109.54, 89.59, 80.74, 78.14 56.18, 48.18, 31.59, 29.75, 28.61 20.89, 20.15, 18.20, 17.00
1089	- - -	(Película delgada) 3377, 2964, 1745, 1675, 1582, 1491, 1234, 1199, 1042, 1002, 968, 753, 730, 692	HRMS - ESI (*m/z*) ($[M+H]^+$) calculada para $C_{26}H_{35}N_2O_9$, 519.2337, encontrada, 519.2330	^{1}H RMN (500 MHz, $CDCl_3$) δ 8.30 (d, *J* = 7.9 Hz, 1H), 8.27 (dd, *J* = 5.3, 1.1 Hz, 1H), 7.23 (t, *J* = 7.8 Hz, 2H), 6.98 (d, *J* = 8.2 Hz, 2H), 6.96 (d, *J* = 5.5 Hz, 1H), 6.90 (t, *J* = 7.3 Hz, 1H), 5.74 (s, 2H), 4.74 (p, *J* = 7.3 Hz, 1H), 4.35 (dd, *J* = 11.5, 6.1 Hz, 1H), 4.27 (dd, *J* = 11.5, 4.9 Hz, 1H), 4.14 (dd, *J* = 6 7, 4.3 Hz, 1H), 3.91 (s, 3H), 3.67 (q, *J* = 5.1 Hz, 1H), 3.49 (d, *J* = 1.1 Hz, 3H), 2.14 - 2.05 (m, 4H), 1.50 (d, *J* = 7.2 Hz, 3H), 0.99 (d, *J* = 6.8 Hz, 3H), 0.97 (d, *J* = 6.8 Hz, 3H) ^{13}C RMN (126 MHz, $CDCl_3$) δ 172.49, 170.30, 163.04, 160.35, 159.93, 145.69, 144.15, 142.31, 129.44, 120.88, 115.87, 109.64, 89.60, 82.56, 79.32, 64.30, 59.38, 56.21, 48.11, 29.85, 20.88, 19.58, 18.46, 18.31
1090	- - -	(Película delgada) 3380, 2966,	HRMS - ESI (*m/z*) ($[M+H]^+$) calculada para $C_{26}H_{35}N_2O_9$,	^{1}H RMN (500 $CDCl_3$) δ 8.29 (d, *J* = 5.4 Hz, 1H), 8.24 (d, *J* = 7.7 Hz, 1H), 7.24 (t, *J* = 7.8 Hz, 2H), 7.01 - 6.94

*Comp. No.	P.F. (°C)	*1R (cm^{-1})	MASA	RMN (^{1}H, ^{13}C, ^{19}F)
		1743, 1676, 1595, 1583, 1492, 1233, 1200, 1178, 1041, 1003, 967, 729, 692	519.2337, encontrada, 519.2332	(m, 3H), 6.90 (t, *J* = 7.3 Hz, 1H), 5.74 (s, 2H), 5.37 (q, *J* = 5.1 Hz, 1H), 4.65 (p, *J* = 7.3 Hz, 1H), 4.34 (t, 5.6 Hz, 1H), 3.92 (s, 3H), 3.58 - 3.46 (m, 2H), 3.26 (s, 3H), 2.07 (s, 4H), 1.42 (d, *J* = 7.3 Hz, 3H), 1.02 - 0.98 (m, 6H) ^{13}C RMN (126 MHz, $CDCl_3$) δ 172.35, 170.30, 162.93, 160.27, 159.92, 145.69, 144.02, 142.54, 129.43, 120.90, 115.77, 109.52, 89.63, 80.55, 73.67, 70.76, 59.08, 56.18, 48.23, 29.79, 20.88, 19.58, 18.04
1091	- - -	(Película delgada) 3370, 2963, 1742, 1648, 1576, 1528, 1481, 1452, 1438, 1238, 1149, 1061, 752, 729, 691	HRMS - ESI (*m/z*) ($[M+H]^+$) calculada para $C_{23}H_{31}N_2O_7$, 447.2126; encontrada, 447.2124	^{1}H RMN (500 MHz, $CDCl_3$) δ 12.08 (s, 1H), 8.42 (d, *J* = 7.8 Hz, 1H), 8.00 (dd, *J* = 5.2, 1.0 Hz, 1H), 7.24 - 7.18 (m, 2H), 6.96 (d, *J* = 8.1 Hz, 2H), 6.92 - 6.86 (m, 2H), 4.72 (p, *J* = 7.3 Hz, 1H), 4.36 (dd, *J* = 11.4, 6.0 Hz, 1H), 4.28 (dd, *J* = 11.4, 5.0 Hz, 1H), 4.12 (dd, *J* = 6.7, 4.3 Hz, 1H), 3.95 (s, 3H), 3.66 (q, 5.1 Hz, 1H), 3.48 (s, 3H), 2.10 (h, *J* = 6.7 Hz, 1H), 1.53 (d, *J* = 7.2 Hz, 3H), 0.99 (d, *J* = 6.7 Hz, 3H), 0.96 (d, *J* = 6.8 Hz, 3H) ^{13}C RMN (126 MHz, $CDCl_3$) δ 171.81, 168.79, 159.90, 155.44, 148.80,

*Comp. No.	P.F. (°C)	*1R (cm^{-1})	MASA	RMN (^{1}H, ^{13}C, ^{19}F)
				140.54, 130.35, 129.45, 120.91, 115.84, 109.54, 82.48, 79.26, 64.32, 59.35, 56.11, 47.88, 29.83, 19.58, 18.45, 18.12.
1092	- - -	(Película delgada) 3377, 2966, 1742, 1676, 1583, 1491, 1310, 1232, 1200, 1178, 1041, 1003, 968, 729, 692	HRMS - ESI (*m/z*) ($[M+H]^+$) calculada para $C_{26}H_{33}N_2O_8$, 501.2231; encontrada, 501.2223	^{1}H RMN (500 MHz, $CDCl_3$) δ 8.28 (d, *J* = 5.4 Hz, 1H), 8.18 (d, *J* = 7.8 Hz, 1H), 7.22 (dd, *J* = 8.5, 7.2 Hz, 2H), 6.99 - 6.93 (m, 3H), 6.90 (t, *J* = 7.3 Hz, 1H), 5.86 (ddd, *J* = 17.2, 10.6, 6.7 Hz, 1H), 5.74 (s, 2H), 5.60 (t, *J* = 6.6 Hz, 1H), 5.41 (dd, *J* = 17.2, 1.2 Hz, 1H), 5.28 (dd, *J* = 10.6, 1.3 Hz, 1H), 4.59 (p, *J* = 7.2 Hz, 1H), 4.20 (dd, *J* = 6.4, 5.1 Hz, 1H), 3.92 (s, 3H), 2.07 - 1.99 (m, 4H), 1.37 (d, *J* = 7.2 Hz, 3H), 1.03 (d, *J* = 6.8 Hz, 3H), 1.00 (d, *J* = 6.8 Hz, 3H) ^{13}C RMN (126 MHz, $CDCl_3$) δ 171.70, 170.31, 162.90, 160.28, 159.81, 145.68, 144.02, 142.57, 132.38, 129.43, 121.02, 119.30, 115.99, 109.52, 89.63, 83.02, 76.52, 56.19, 48.15, 29.70, 20.88, 19.77, 18.20, 17.06
1093	- - -	(Película	HRMS - ESI (*m/z*)	^{1}H RMN (500 MHz, $CDCl_3$) δ 8.29 (d,

*Comp. No.	P.F. (°C)	*1R (cm^{-1})	MASA	RMN (^{1}H, ^{13}C, ^{19}F)
		delgada) 3377, 2962, 2874, 1737, 1677, 1596, 1583, 1492, 1310, 1234, 1201, 1179, 1041, 1003, 967, 753, 692	([M+H]$^{+}$) calculada para $C_{27}H_{37}N_2O_8$, 517.2544; encontrada, 517.2538	*J* = 5.3 Hz, 1H), 8.23 (d, *J* = 7.7 Hz, 1H), 7.22 (t, *J* = 7.8 Hz, 2H), 6.98 - 6.93 (m, 3H), 6.89 (t, *J* = 7.3 Hz, 1H), 5.74 (s, 2H), 5.31 - 5.21 (m, 1H), 4.55 (p, *J* = 7.3 Hz, 1H), 4.14 (t, *J* = 5.7 Hz, 1H), 3.92 (s, 3H), 2.07 (s, 3H), 2.05 - 1.99 (m, 1H), 1.66 - 1.60 (m, 2H), 1.39 (d, *J* = 7.2 Hz, 3H), 1.37 - 1.27 (m, 2H), 1.01 (d, *J* = 6.7 Hz, 3H), 1.00 (d, *J* = 7.0 Hz, 3H), 0.89 (t, *J* = 7.3 Hz, 3H) ^{13}C RMN (126 MHz, $CDCl_3$) δ 172.41, 170.30, 162.87, 160.28, 159.82, 145.68, 144.03, 142.60, 129.44, 120.80, 115.66, 109.49, 89.66, 82.59, 75.23, 56.18, 48.23, 32.52, 29.73, 20.89, 19.80, 18.50, 18.34, 17.69, 13.91
1094	- - -	(Película delgada) 3377, 2965, 2877, 1738, 1677, 1583, 1493, 1234, 1200, 1179, 1002, 966,	HRMS - ESI (*m/z*) ([M+H]$^{+}$) calculada para $C_{27}H_{37}N_2O_8$, 517.2544; encontrada, 517.2532	^{1}H RMN (500 MHz, $CDCl_3$) δ 8.30 (d, *J* = 5.4 Hz, 1H), 8.19 (d, *J* = 7.7 Hz, 1H), 7.21 (t, *J* = 7.8 Hz, 2H), 6.95 (d, *J* = 5.3 Hz, 1H), 6.93 (d, *J* = 8.1 Hz, 2H), 6.87 (t, *J* = 7.3 Hz, 1H), 5.74 (s, 2H), 5.19 (dd, *J* = 7.0, 4.4 Hz, 1H), 4.47 (p, *J* = 7.3 Hz, 1H), 4.30 (dd, *J* = 7.0, 4.3 Hz, 1H), 3.92 (s, 3H), 2.06 (s,

*Comp. No.	P.F. (°C)	*1R (cm^{-1})	MASA	RMN (^{1}H, ^{13}C, ^{19}F)
		729, 692		3H), 2.04 - 1.96 (m, 1H), 1.32 (m, 4H), 1.03 (d, *J* = 6.7 Hz, 3H), 0.99 (d, *J* = 6.7 Hz, 3H), 0.92 (d, *J* = 6.8 Hz, 6H) ^{13}C RMN (126 MHz, $CDCl_3$) δ 172.30, 170.30, 162.80, 160.29, 160.09, 145.64, 144.04, 142.67, 129.39, 120.75, 115.62, 109.47, 89.70, 81.35, 79.20, 56.17, 48.25, 29.61, 28.80, 20.89, 20.13, 19.79, 18.26, 16.64, 16.41
1095	- - -	(Película delgada) 3377, 2967, 1748, 1676, 1595, 1493, 1310, 1234, 1200, 1179, 1152, 1042, 1003, 969 755, 692	HRMS - ESI (*m/z*) ($[M+H]^+$) calculada para $C_{26}H_{35}N_2O_9$, 519.2337, encontrada, 519.2331	^{1}H RMN (500 MHz, $CDCl_3$) δ 8.35 (d, *J* = 7.7 Hz, 1H), 8.27 (d, *J* = 5.5 Hz, 1H), 7.24 (t, *J* = 7.8 Hz, 2H), 6.96 (d, *J* = 9.0 Hz, 3H), 6.91 (t, *J* = 7.3 Hz, 1H), 5.74 (s, 3H), 5.27 - 5.18 (m, 1H), 4.74 (p, *J* = 7.3 Hz, 1H), 4.49 (t, *J* = 5.7 Hz, 1H), 3.91 (s, 3H), 3.69 (dd, *J* = 11.1, 2.8 Hz, 1H), 3.57 (dd, *J* = 11.0, 5.1 Hz, 1H), 3.23 (s, 2H), 2.07 (s, 3H), 2.06 - 1.97 (m, 1H), 1.38 (d, *J* = 7.2 Hz, 3H), 1.01 (d, *J* = 6.8 Hz, 6H) ^{13}C RMN (126 MHz, $CDCl_3$) δ 172.21, 170.32, 162.92, 160.29, 159.67, 145.69, 144.07, 142.44, 129.46, 121.11, 116.00, 109.56, 89.62, 80.34, 73.92, 70.36, 58.93, 56.22, 48.19,

*Comp. No.	P.F. (°C)	*1R (cm^{-1})	MASA	RMN (^{1}H, ^{13}C, ^{19}F)
				29.84, 20.89, 19.70, 18.13, 16.91
1096	- - -	- - -	HRMS - ESI (*m/z*) ($[M+H]^+$) calculada para $C_{27}H_{37}N_2O_8$, 517.2544, encontrada, 517.2559	^{1}H RMN (300 $CDCl_3$) δ 8.32 - 8.23 (m, 2H), 7.22 (dd, *J* = 8.8, 7.3 Hz, 2H), 6.97 - 6.82 (m, 4H), 5.73 (d, 0.9 Hz, 2H), 5.19 (ddd, *J* = 10.0, 4.1, 2.9 Hz, 1H), 4.61 (p, *J* = 7.3 Hz, 1H), 4.22 (dd, *J* = 6 9, 4.0 Hz, 1H), 3.91 (s, 3H), 2.06 (s, 3H), 2.04 - 1.91 (m, 1H), 1.90 - 1.74 (m, 1H), 1.73 - 1.61 (m, 1H), 1.48 - 1.36 (m, 1H), 1.18 (d, *J* = 7.2 Hz, 3H), 1.04 (d, *J* = 6.9 Hz, 3H), 1.02 (d, *J* = 7.0 Hz, 3H), 0.90 (t, *J* = 7.3 Hz, 3H) ^{13}C RMN (126 MHz, $CDCl_3$) δ 172.59, 170.29, 162.91, 160.28, 160.08, 145.68, 144.03, 142.46, 129.45, 120.98, 116.19, 109.52, 89.60, 83.83, 75.90, 56.18, 48.09, 30.97, 30.39, 20.88, 19.47, 18.81, 18.62, 17.80, 13.91
1097	- - -	- - -	HRMS - ESI (*m/z*) ($[M+H]^+$) calculada para $C_{25}H_{32}ClN_2O_6$, 491.1943;	^{1}H RMN (500 MHz, $CDCl_3$) δ 8.53 - 8.37 (m, 2H), 7.53 - 7.43 (m, 2H), 7.12 (d, *J* = 1.8 Hz, 1H), 6.89 (dd, *J* = 8.5, 1.8 Hz, 1H), 6.79 (d, *J* = 8.4 Hz, 1H), 5.11 (qd, *J* = 6.5, 2.7 Hz, 1H),

*Comp. No.	P.F. (°C)	*1R (cm^{-1})	MASA	RMN (^{1}H, ^{13}C, ^{19}F)
			encontrada, 491.1937	4.63 (p, *J* = 7.2 Hz, 1H), 4.57 - 4.40 (m, 1H), 2.39 (s, 3H), 2.22 (s, 3H), 1.87 - 1.69 (m, 2H), 1.44 - 1.36 (m, 4H), 1.31 (d, *J* = 7.2 Hz, 3H), 0.97 (d, *J* = 6.5 Hz, 3H), 0.92 (d, *J* = 6.5 Hz, 3H) ^{13}C RMN (126 MHz, $CDCl_3$) δ 172.13, 169.52, 162.30, 152.19, 147.37, 145.45, 141.10, 132.89, 131.46, 130.93, 127.99, 127.38, 123.66, 115.37, 79.18, 73.30, 48.02, 39.76, 24.57, 23.25, 22.37, 21.06, 20.26, 18.28, 14.34
1098	- - -	- - -	HRMS - ESI (*m/z*) ($[M+H]^+$) calculada para $C_{27}H_{36}ClN_2O_7$, 535.2206; encontrada, 535.2204	^{1}H RMN (500 MHz, $CDCl_3$) δ 8.44 (s, 1H), 8.27 (d, *J* = 5.4 Hz, 1H), 7.12 (d, *J* = 1.7 Hz, 1H), 6.95 (d, *J* = 5.5 Hz, 1H), 6.90 (dd, *J* = 8.4, 1.8 Hz, 1H), 6.79 (d, *J* = 8.4 Hz, 1H), 5.10 (qd, *J* = 6.6, 2.7 Hz, 1H), 4.63 (p, *J* = 7.2 Hz, 1H), 4.54 - 4.43 (m, 1H), 4.12 (q, *J* = 7.0 Hz, 2H), 2.38 (s, 3H), 2.23 (s, 3H), 1.87 - 1.69 (m, 2H), 1.44 (t, *J* = 7.0 Hz, 3H), 1.42 - 1.38 (m, 1H), 1.37 (d, *J* = 6.5 Hz, 3H), 1.30 (d, *J* = 7.2 Hz, 3H), 0.97 (d, *J* = 6.5 Hz, 3H), 0.92 (d, *J* = 6.5 Hz, 3H)

*Comp. No.	P.F. (°C)	*1R (cm^{-1})	MASA	RMN (^{1}H, ^{13}C, ^{19}F)
				^{13}C RMN (126 MHz, $CDCl_3$) δ 172.18, 168.89, 162.42, 158.76, 152.21, 146.53, 141.56, 137.56, 131.45, 130.91, 127.99, 123.66, 115.42, 110.33, 79.22, 73.27, 64.95, 47.98, 39.78, 24.56, 23.25, 22.37, 20.70, 20.26, 18.28, 14.33, 14.27
1099	- - -	- - -	HRMS - ESI (*m/z*) ($[M+H]^+$) calculada para $C_{29}H_{35}N_2O_7$, 523.2439, encontrada, 523.2445	^{1}H RMN (500 MHz, $CDCl_3$) δ 8.46 (s, 1H), 8.22 (d, *J* = 5.4 Hz, 1H), 7.73 (d, *J* = 8.0 Hz, 1H), 7.71 (d, *J* = 8.8 Hz, 1H), 7.66 (d, *J* = 8.2 Hz, 1H), 7.45 - 7.38 (m, 1H), 7.37 - 7.28 (m, 1H), 7.18 - 7.10 (m, 2H), 6.92 (d, *J* = 5.5 Hz, 1H), 5.20 (qd, *J* = 6.5, 3.0 Hz, 1H), 4.69 - 4.59 (m, 2H), 3.88 (s, 3H), 2.38 (s, 3H), 1.87 - 1.73 (m, 2H), 1.49 - 1.41 (m, 1H), 1.37 (d, *J* = 6.5 Hz, 3H), 1.32 (d, *J* = 7.2 Hz, 3H), 0.99 (d, *J* = 6.6 Hz, 3H), 0.93 (d, *J* = 6.5 Hz, 3H) ^{13}C RMN (126 MHz, $CDCl_3$) δ 172.21, 168.91, 162.39, 159.36, 156.55, 146.55, 141.41, 137.44, 134.44, 129.57, 129.10, 127.57, 126.73, 126.30, 123.67, 119.49, 109.66, 108.90, 77.48, 73.05, 56.24, 48.02,

*Comp. No.	P.F. (°C)	*1R (cm^{-1})	MASA	RMN (^1H, ^{13}C, ^{19}F)
				39.62, 24.60, 23.33, 22.37, 20.76, 18.41, 14.75
1100	- - -	- - -	HRMS - ESI (*m/z*) ($[M+H]^+$) calculada para $C_{28}H_{39}N_2O_8$, 531.2701; encontrada, 531.2710	^1H RMN (400 MHz, $CDCl_3$) δ 8.43 (s, 1H), 8.30 (d, *J* = 5.4 Hz, 1H), 7.25 - 7.18 (m, 2H), 6.98 (d, *J* = 5.5 Hz, 1H), 6.94 - 6.86 (m, 3H), 5.11 (qd, *J* = 6.5, 2.8 Hz, 1H), 4.62 (p, *J* = 7.2 Hz, 1H), 4.46 (dt, *J* = 8.8, 3.6 Hz, 1H), 3.90 (s, 3H), 3.81 (t, *J* = 6.6 Hz, 2H), 3.40 (s, 3H), 2.98 (t, *J* = 6.6 Hz, 2H), 1.80 (dt, *J* = 13.3, 6.6 Hz, 1H), 1.70 (ddd, *J* = 14.2, 8.9, 5.3 Hz, 1H), 1.37 (ddd, *J* = 14.3, 8.1, 3.9 Hz, 1H), 1.33 (d, *J* = 3.4 Hz, 3H), 1.31 (d, *J* = 4.0 Hz, 3H), 0.96 (d, *J* = 6.6 Hz, 3H), 0.92 (d, *J* = 6.6 Hz, 3H) ^{13}C RMN (101 MHz, $CDCl_3$) δ 172.21, 169.42, 162.33, 159.45, 158.84, 146.68, 141.57, 137.35, 129.50, 121.17, 116.32, 109.71, 77.73, 73.29, 67.60, 58.78, 56.31, 48.00, 39.77, 34.64, 24.53, 23.36, 22.27, 18.36, 14.67
1101	- - -	- - -	HRMS - ESI (*m/z*) ($[M+H]^+$) calculada	^1H RMN (400 MHz, $CDCl_3$) δ 8.34 (d, *J* = 7.8 Hz, 1H), 8.24 (d, *J* = 5.4 Hz,

*Comp. No.	P.F. (°C)	*1R (cm^{-1})	MASA	RMN (^{1}H, ^{13}C, ^{19}F)
			para $C_{28}H_{39}N_2O_8$, 531.2701; encontrada, 531.2714	1H), 7.23 (dd, *J* = 8.5, 7.4 Hz, 2H), 6.96 - 6.86 (m, 4H), 5.77 (d, *J* = 6.4 Hz, 1H), 5.75 (d, *J* = 6.4 Hz, 1H), 5.12 (qd, *J* = 6 6, 3.0 Hz, 1H), 4.64 (p, *J* = 7.3 Hz, 1H), 4.47 (dt, *J* = 8.8, 3.6 Hz, 1H), 3.88 (s, 3H), 2.54 (p, *J* = 7.0 Hz, 1H), 1.82 (dq, *J* = 13.3, 6.6 Hz, 1H), 1.71 (ddd, *J* = 14.2, 8.9, 5.2 Hz, 1H), 1.45 - 1.35 (m, 1H), 1.34 (s, 3H), 1.32 (s, 3H), 1.14 (d, *J* = 7.0 Hz, 6H), 0.97 (d, *J* = 6.6 Hz, 3H), 0.92 (d, *J* = 6.5 Hz, 3H) ^{13}C RMN (101 MHz, $CDCl_3$) δ 176.25, 172.32, 162.94, 160.27, 158.86, 145.52, 144.26, 142.14, 129.51, 121.17, 116.34, 109.47, 89.97, 77.77, 73.25, 56.12, 48.22, 39.74, 33.87, 24.54, 23.36, 22.27, 18.68, 18.20, 14.69
1102	- - -	- - -	HRMS - ESI (*m/z*) ($[M+H]^+$) calculada para $C_{25}H_{33}N_2O_7$, 473.2282, encontrada, 473.2288	^{1}H RMN (400 MHz, $CDCl_3$) δ 8.46 (s, 1H), 8.30 (d, *J* = 5.4 Hz, 1H), 7.25 - 7.18 (m, 2H), 6.99 (d, *J* = 5.5 Hz, 1H), 6.90 (t, *J* = 8.2 Hz, 3H), 5.11 (qd, *J* = 6.6, 2.9 Hz, 1H), 4.63 (p, *J* = 7.2 Hz, 1H), 4.47 (dt, *J* = 8.7, 3.5 Hz, 1H), 3.90 (s, 3H), 2.39 (s, 3H), 1.80 (dt, *J* =

*Comp. No.	P.F. (°C)	*1R (cm^{-1})	MASA	RMN (^1H, ^{13}C, ^{19}F)
				13.4, 6.6 Hz, 1H), 1.70 (ddd, *J* = 14.2, 8.9, 5.2 Hz, 1H), 1.42 - 1.35 (m, 1H), 1.32 (dd, *J* = 6.9, 2.0 Hz, 6H), 0.97 (d, *J* = 6.6 Hz, 3H), 0.92 (d, *J* = 6.6 Hz, 3H) ^{13}C RMN (101 MHz, $CDCl_3$) δ 172.20, 168.90, 162.37, 159.44, 158.85, 146.63, 141.54, 137.50, 129.50, 121.17, 116.32, 109.72, 77.74, 73.31, 56.28, 48.01, 39.77, 24.53, 23.35, 22.27, 20.75, 18.35, 14.67
1103	- - -	- - -	HRMS - ESI (*m/z*) ($[M+H]^+$) calculada para $C_{28}H_{33}N_2O_6$, 493.2333; encontrada, 493.2330	^1H RMN (500 MHz, $CDCl_3$) δ 8.46 (d, *J* = 7.9 Hz, 1H), 8.40 - 8.35 (m, 1H), 7.76 - 7.64 (m, 3H), 7.45 - 7.38 (m, 3H), 7.36 - 7.28 (m, 1H), 7.19 - 7.10 (m, 2H), 5.21 (qd, *J* = 6.5, 3.0 Hz, 1H), 4.83 - 4.55 (m, 2H), 2.38 (s, 3H), 1.89 - 1.71 (m, 2H), 1.52 - 1.40 (m, 1H), 1.38 (d, *J* = 6.6 Hz, 3H), 1.33 (d, *J* = 7.2 Hz, 3H), 0.99 (d, *J* = 6.6 Hz, 3H), 0.93 (d, *J* = 6.5 Hz, 3H) ^{13}C RMN (126 MHz, $CDCl_3$) δ 172.19, 169.51, 162.33, 156.54, 147.33, 145.39, 141.00, 134.43, 132.85, 129.58, 129.10, 127.58, 127.36, 126.71, 126.33, 123.71, 119.47,

*Comp. No.	P.F. (°C)	*1R (cm^{-1})	MASA	RMN (^1H, ^{13}C, ^{19}F)
				108.88, 77.46, 73.09, 48.04, 39.61, 24.60, 23.33, 22.36, 21.05, 18.39, 14.75.
1104	- - -	- - -	HRMS - ESI (*m/z*) ($[M+H]^+$) calculada para $C_{24}H_{30}FN_2O_6$, 461.2082; encontrada, 461.2080	^1H RMN (500 NMz, $CDCl_3$) δ 8.53 - 8.33 (m, 2H), 7.54 - 7.43 (m, 2H), 7.21 - 7.08 (m, 1H), 6.67 (dd, *J* = 8.8, 1.7 Hz, 1H), 6.63 - 6.52 (m, 2H), 5.12 (qd, *J* = 6.5, 2.9 Hz, 1H), 4.65 (p, *J* = 7.2 Hz, 1H), 4.45 (dt, *J* = 8.8, 3.6 Hz, 1H), 2.39 (s, 3H), 1.77 (dt, *J* = 13.4, 6.6 Hz, 1H), 1.69 (ddd, *J* = 14.2, 8.9, 5.4 Hz, 1H), 1.45 - 1.37 (m, 1H), 1.36 (d, *J* = 7.2 Hz, 3H), 1.32 (d, *J* = 6.6 Hz, 3H), 0.96 (d, *J* = 6.6 Hz, 3H), 0.91 (d, *J* = 6.5 Hz, 3H) ^{13}C RMN (126 MHz, $CDCl_3$) δ 172.13, 169.51, 163.56 (d, *J* = 245.4 Hz), 162.35, 160.12 (d, *J* = 10.8 Hz), 147.39, 145.46, 141.04, 132.92, 130.26 (d, *J* = 10.1 Hz), 127.44, 111.58 (d, *J* = 2.8 Hz), 107.92 (d, 21.3 Hz), 103.76 (d, *J* = 24.4 Hz), 77.89, 73.09, 48.01, 39.56, 24.52, 23.27, 22.24, 21.06, 18.33, 14.55
1105	- - -	- - -	HRMS - ESI (*m/z*)	^1H RMN (500 MHz, $CDCl_3$) δ 8.45 (dt,

*Comp. No.	P.F. (°C)	*1R (cm^{-1})	MASA	RMN (^{1}H, ^{13}C, ^{19}F)
			([M+H]$^{+}$) calculada para $C_{24}H_{29}F_2N_2O_6$, 479.1988; encontrada, 479.1985	*J* = 4.0, 2.6 Hz, 2H), 7.57 - 7.42 (m, 2H), 6.98 (ddd, *J* = 10.6, 9.1, 5.4 Hz, 1H), 6.70 (ddd, *J* = 9.7, 6.6, 3.0 Hz, 1H), 6.57 (ddt, *J* = 9.0, 7.7, 3.1 Hz, 1H), 5.12 (qd, *J* = 6.5, 2.5 Hz, 1H), 4.63 (p, *J* = 7.2 Hz, 1H), 4.51 - 4.33 (m, 1H), 2.39 (s, 3H), 1.88 - 1.71 (m, 2H), 1.48 - 1.37 (m, 1H), 1.37 - 1.32 (m, 6H), 0.98 (d, *J* = 6.6 Hz, 3H), 0.94 (d, *J* = 6.5 Hz, 3H) ^{13}C RMN (126 MHz, $CDCl_3$) δ 172.14, 169.51, 162.36, 158.53 (d, *J* = 242.5 Hz), 149.89 (dd, *J* = 241.5, 3.3 Hz), 147.39, 147.17 (dd, *J* = 12.3, 10.6 Hz), 145.46, 141.03, 132.92, 127.44, 116.71 (dd, *J* = 21.4, 10.2 Hz), 107.74 (dd, *J* = 23.8, 7.1 Hz), 105.41 (dd, *J* = 26 6, 1.7 Hz), 80.16, 73.07, 48.00, 39.53, 24.52, 23.22, 22.19, 21.05, 18.18, 14.26
1106	- - -	- - -	HRMS - ESI (*m/z*) ([M+H]$^{+}$) calculada para $C_{24}H_{30}ClN_2O_6$, 477.1787; encontrada,	^{1}H RMN (500 $CDCl_3$) δ 8.48 - 8.37 (m, 2H), 7.56 - 7.42 (m, 2H), 7.13 (t, 8 1 Hz, 1H), 6.92 - 6.84 (m, 2H), 6.77 (dd, *J* = 8.4, 1.9 Hz, 1H), 5.12 (qd, *J* = 6.5, 2.8 Hz, 1H), 4.65 (p, *J* = 7.3 Hz, 1H), 4.45 (dt, *J* = 8.8, 3.7 Hz, 1H), 2.39 (s,

*Comp. No.	P.F. (°C)	*1R (cm^{-1})	MASA	RMN (^{1}H, ^{13}C, ^{19}F)
			477.1787	3H), 1.85 - 1.72 (m, 1H), 1.68 (ddd, *J* = 14.2, 8.9, 5.4 Hz, 1H), 1.44 - 1.38 (m, 1H), 1.37 (d, *J* = 7.2 Hz, 3H), 1.32 (d, *J* = 6.6 Hz, 3H), 0.96 (d, *J* = 6.6 Hz, 3H), 0.91 (d, *J* = 6.5 Hz, 3H) ^{13}C RMN (126 MHz, $CDCl_3$) δ 172.13, 169.51, 162.35, 159.53, 147.39, 145.47, 141.03, 134.84, 132.92, 130.29, 127.44, 121.29, 116.57, 114.24, 77.88, 73.13, 48.01, 39.59, 24.53, 23.28, 22.25, 21.06, 18.33, 14.52
1107	- - -	- - -	HRMS - ESI (*m/z*) ($[M+H]^+$) calculada para $C_{26}H_{34}FN_2O_7$, 505.2345; encontrada, 505.2341	^{1}H RMN (500 MHz, $CDCl_3$) δ 8.57 - 8.38 (m, 1H), 8.27 (d, *J* = 5.4 Hz, 1H), 7.20 - 7.10 (m, 1H), 6.96 (d, *J* = 5.5 Hz, 1H), 6.67 (dd, *J* = 8 9, 1.8 Hz, 1H), 6.64 - 6.55 (m, 2H), 5.11 (qd, *J* = 6.5, 2.9 Hz, 1H), 4.64 (p, *J* = 7.3 Hz, 1H), 4.45 (dt, *J* = 8.8, 3.6 Hz, 1H), 4.12 (q, *J* = 7.0 Hz, 2H), 2.38 (s, 3H), 1.83 - 1.72 (m, 1H), 1.72 - 1.65 (m, 1H), 1.44 (t, *J* = 7.0 Hz, 3H), 1.41 - 1.37 (m, 1H), 1.35 (d, *J* = 7.2 Hz, 3H), 1.32 (d, *J* = 6.6 Hz, 3H), 0.96 (d, *J* = 6.6 Hz, 3H), 0.91 (d, *J* = 6.6 Hz, 3H) ^{13}C RMN (126 MHz, $CDCl_3$) δ 172.17,

*Comp. No.	P.F. (°C)	*1R (cm^{-1})	MASA	RMN (^{1}H, ^{13}C, ^{19}F)
				168.88, 163.56 (d, *J* = 245.3 Hz), 162.47, 160.13 (d, *J* = 10.8 Hz), 158.77, 146.54, 141.49, 137.58, 130.26 (d, *J* = 10.1 Hz), 111.59 (d, *J* = 2.8 Hz), 110.38, 107.90 (d, *J* = 21.3 Hz), 103.77 (d, *J* = 24.3 Hz), 77.90, 73.03, 64.96, 47.97, 39.56, 24.52, 23.27, 22.24, 20.70, 18.35, 14.56, 14.26
1108	- - -	- - -	HRMS - ESI (*m/z*) ($[M+H]^{+}$) calculada para $C_{26}H_{33}F_2N_2O_7$, 523.2250, encontrada, 523.2246	^{1}H RMN (500 MHz, $CDCl_3$) δ 8.58 - 8.35 (m, 1H), 8.28 (d, *J* = 5.5 Hz, 1H), 6.96 (d, *J* = 5.5 Hz, 2H), 6.70 (ddd, *J* = 9.7, 6.6, 3.0 Hz, 1H), 6.57 (ddt, *J* = 9.0, 7.7, 3.1 Hz, 1H), 5.11 (qd, *J* = 6.6, 2.6 Hz, 1H), 4.62 (p, *J* = 7.2 Hz, 1H), 4.51 - 4.37 (m, 1H), 4.12 (q, *J* = 7.0 Hz, 2H), 2.38 (s, 3H), 1.88 - 1.69 (m, 2H), 1.44 (t, *J* = 7.0 Hz, 3H), 1.39 (ddd, *J* = 10.3, 4.8, 2.7 Hz, 1H), 1.34 (dd, *J* = 6.9, 1.3 Hz, 6H), 0.98 (d, *J* = 6.6 Hz, 3H), 0.94 (d, *J* = 6.5 Hz, 3H) ^{13}C RMN (126 MHz, $CDCl_3$) δ 172.19, 168.88, 162.48, 158.78, 158.52 (dd, *J* = 242.4, 2.4 Hz), 149.90 (dd, *J* = 241.5, 3.3 Hz), 147.18 (dd, *J* = 12.2, 10.5 Hz), 146.55, 141.50, 137.59,

*Comp. No.	P.F. (°C)	*1R (cm^{-1})	MASA	RMN (^{1}H, ^{13}C, ^{19}F)
				116.71 (dd, *J* = 21.4, 10.2 Hz), 110.38, 107.73 (dd, *J* = 23.9, 7.1 Hz), 105.42 (dd, *J* = 26.7, 1.7 Hz), 80.18, 73.02, 64.95, 47.95, 39.54, 24.52, 23.22, 22.19, 20.69, 18.21, 14.27
1109	- - -	- - -	HRMS - ESI (*m/z*) ($[M+H]^{+}$) calculada para $C_{26}H_{34}ClN_2O_7$, 521.2049, encontrada, 521.2048	^{1}H RMN (500 MHz, $CDCl_3$) δ 8.51 - 8.38 (m, 1H), 8.26 (d, *J* = 5.4 Hz, 1H), 7.13 (t, *J* = 8.1 Hz, 1H), 6.96 (d, *J* = 5.5 Hz, 1H), 6.88 (t, *J* = 4.8 Hz, 2H), 6.77 (dd, *J* = 8.4, 1.6 Hz, 1H), 5.11 (qd, *J* = 6.6, 2.8 Hz, 1H), 4.64 (p, *J* = 7.2 Hz, 1H), 4.45 (dt, *J* = 8.8, 3.6 Hz, 1H), 4.12 (q, *J* = 7.0 Hz, 2H), 2.38 (s, 3H), 1.75 (dq, *J* = 13.0, 6.6 Hz, 1H), 1.68 (ddd, *J* = 14.2, 8.9, 5.4 Hz, 1H), 1.44 (t, *J* = 7.0 Hz, 3H), 1.42 - 1.37 (m, 1H), 1.36 (d, *J* = 7.2 Hz, 3H), 1.32 (d, *J* = 6.6 Hz, 3H), 0.96 (d, *J* = 6.6 Hz, 3H), 0.91 (d, *J* = 6.5 Hz, 3H) ^{13}C RMN (126 MHz, $CDCl_3$) δ 172.17, 168.89, 162.47, 159.54, 158.77, 146.55, 141.50, 137.59, 134.83, 130.29, 121.27, 116.58, 114.24, 110.37, 77.91, 73.08, 64.96, 47.97, 39.60, 24.53, 23.28, 22.25, 20.70, 18.36, 14.53, 14.27

*Comp. No.	P.F. (°C)	*1R (cm^{-1})	MASA	RMN (^{1}H, ^{13}C, ^{19}F)
1110	- - -	- - -	HRMS - ESI (*m/z*) ($[M+H]^+$) calculada para $C_{27}H_{36}ClN_2O_8$, 551.2155, encontrada, 551.2152	^{1}H RMN (500 MHz, $CDCl_3$) δ 8.43 (d, *J* = 6.8 Hz, 1H), 8.23 (d, *J* = 5.4 Hz, 1H), 7.11 (d, *J* = 8.7 Hz, 1H), 6.96 (d, *J* = 5.5 Hz, 1H), 6.48 (d, *J* = 2.6 Hz, 1H), 6.40 (dd, *J* = 8.7, 2.7 Hz, 1H), 5.11 (qd, *J* = 5, 2.9 Hz, 1H), 4.66 (p, *J* = 7.2 Hz, 1H), 4.50 - 4.35 (m, 1H), 4.17 - 4.07 (m, 2H), 3.85 (s, 3H), 2.38 (s, 3H), 1.75 (dp, *J* = 13.1, 6.5 Hz, 1H), 1.66 (ddd, *J* = 14.2, 8.7, 5.5 Hz, 1H), 1.45 (t, *J* = 7.0 Hz, 3H), 1.38 (d, *J* = 7.2 Hz, 3H), 1.37 - 1.34 (m, 1H), 1.32 (d, *J* = 6.5 Hz, 3H), 0.96 (d, *J* = 6.6 Hz, 3H), 0.90 (d, *J* = 6.5 Hz, 3H) ^{13}C RMN (126 MHz, $CDCl_3$) δ 172.11, 168.89, 162.51, 158.77, 158.60, 155.64, 146.50, 141.40, 137.59, 130.08, 114.28, 110.42, 107.10, 102.02, 77.94, 72.95, 64.97, 56.04, 48.05, 39.70, 24.51, 23.25, 22.29, 20.71, 18.39, 14.50, 14.28
1111	- - -	- - -	HRMS - ESI (*m/z*) ($[M+H]^+$) calculada para $C_{23}H_{37}N_2O_7$, 453.2595, encontrada,	^{1}H RMN (500 MHz, $CDCl_3$) δ 8.55 (s, 1H), 8.33 (d, *J* = 5.4 Hz, 1H), 7.00 (d, *J* = 5.5 Hz, 1H), 5.05 (qd, *J* = 6.5, 2.6 Hz, 1H), 4.71 (p, *J* = 7.2 Hz, 1H), 3.91 (s, 3H), 3.40 (dd, *J* = 8.6, 6.5 Hz, 1H),

*Comp. No.	P.F. (°C)	*1R (cm^{-1})	MASA	RMN (^{1}H, ^{13}C, ^{19}F)
			453.2591	3.35 (dt, *J* = 9.4, 3.4 Hz, 1H), 3.10 (dd, *J* = 8.6, 6.5 Hz, 1H), 2.40 (s, 3H), 1.78 (ddtt, *J* = 13.2, 10.1, 6.6, 2.8 Hz, 2H), 1.51 (d, *J* = 7.2 Hz, 3H), 1.49 - 1.41 (m, 1H), 1.22 (d, *J* = 6.5 Hz, 3H), 1.15 (ddd, *J* = 13.7, 9.0, 3.7 Hz, 1H), 0.92 (d, *J* = 6.7 Hz, 3H), 0.89 (d, *J* = 6.6 Hz, 3H), 0.87 (d, *J* = 6.7 Hz, 6H) ^{13}C RMN (126 MHz, $CDCl_3$) δ 172.20, 168.92, 162.37, 159.46, 146.66, 141.55, 137.51, 109.73, 79.30, 77.76, 73.95, 56.28, 48.09, 40.16, 29.01, 24.46, 23.58, 21.94, 20.76, 19.42, 19.39, 18.73, 14.48
1112	- - -	- - -	HRMS - ESI (*m/z*) ($[M+H]^+$) calculada para $C_{23}H_{35}N_2O_7$, 451.2439; encontrada, 451.2449	^{1}H RMN (500 MHz, $CDCl_3$) δ 8.54 (s, 1H), 8.33 (d, *J* = 5.4 Hz, 1H), 7.01 (d, *J* = 5.5 Hz, 1H), 5.02 (qd, *J* = 6.5, 2.6 Hz, 1H), 4.71 (p, *J* = 7.2 Hz, 1H), 3.91 (s, 3H), 3.46 (dd, *J* = 9.9, 7.0 Hz, 1H), 3.42 (dt, *J* = 9.6, 3.1 Hz, 1H), 3.23 (dd, *J* = 9.9, 6.8 Hz, 1H), 2.40 (s, 3H), 1.80 (dtt, *J* = 11.7, 9.1, 5.9 Hz, 1H), 1.51 (d, *J* = 7.2 Hz, 3H), 1.50 - 1.41 (m, 1H), 1.23 (d, *J* = 6.5 Hz, 3H), 1.15 (ddd, *J* = 13.9, 9.1, 3.5 Hz, 1H), 1.07 - 0.98 (m, 1H), 0.93 (d, *J* = 6.7 Hz, 3H),

*Comp. No.	P.F. (°C)	*1R (cm^{-1})	MASA	RMN (^{1}H, ^{13}C, ^{19}F)
				0.90 (d, *J* = 6.6 Hz, 3H), 0.52 - 0.43 (m, 2H), 0.23 - 0.10 (m, 2H) ^{13}C RMN (126 MHz, $CDCl_3$) δ 172.13, 168.91, 162.36, 159.47, 146.66, 141.49, 137.52, 109.76, 78.92, 75.71, 74.25, 56.29, 48.10, 40.35, 24.48, 23.53, 21.93, 20.76, 18.69, 14.44, 11.03, 2.94, 2.88
1113	- - -	- - -	HRMS - ESI (*m/z*) ($[M+H]^+$) calculada para $C_{25}H_{32}FN_2O_7$, 491.2188; encontrada, 491.2184	^{1}H RMN (500 MHz, $CDCl_3$) δ 8.54 - 8.38 (m, 1H), 8.30 (d, *J* = 5.4 Hz, 1H), 7.16 (q, *J* = 8.3 Hz, 1H), 6.99 (d, *J* = 5.5 Hz, 1H), 6.74 - 6.64 (m, 1H), 6.64 - 6.56 (m, 2H), 5.11 (qd, *J* = 6.5, 2.9 Hz, 1H), 4.64 (p, *J* = 7.3 Hz, 1H), 4.45 (dt, *J* = 8.7, 3.6 Hz, 1H), 3.90 (s, 3H), 2.39 (s, 3H), 1.76 (dq, *J* = 13.1, 6.5 Hz, 1H), 1.69 (ddd, *J* = 14.2, 8.9, 5.4 Hz, 1H), 1.42 1.37 (m, 1H), 1.35 (d, *J* = 7.2 Hz, 3H), 1.32 (d, *J* = 6.6 Hz, 3H), 0.96 (d, *J* = 6.6 Hz, 3H), 0.91 (d, *J* = 6.6 Hz, 3H) ^{13}C RMN (126 MHz, $CDCl_3$) δ 172.16, 168.91, 163.56 (d, *J* = 245.3 Hz), 162.40, 160.13 (d, *J* = 10.8 Hz), 159.43, 146.64, 141.43, 137.49, 130.26 (d, *J* = 10.1 Hz), 111.59 (d, *J* =

*Comp. No.	P.F. (°C)	*1R (cm^{-1})	MASA	RMN (^{1}H, ^{13}C, ^{19}F)
				2.9 Hz), 109.74, 107.91 (d, *J* = 21.3 Hz), 103.76 (d, *J* = 24.4 Hz), 77.90, 73.04, 56.28, 47.99, 39.55, 24.52, 23.27, 22.24, 20.75, 18.33, 14.55
1114	- - -	- - -	HRMS - ESI (*m/z*) ($[M+H]^+$) calculada para $C_{25}H_{31}F_2N_2O_7$, 509.2094; encontrada, 509.2090	^{1}H RMN (500 MHz, $CDCl_3$) δ 8.66 - 8.36 (m, 1H), 8.31 (d, *J* = 5.5 Hz, 1H), 7.01 - 6.94 (m, 2H), 6.70 (ddd, *J* = 9.7, 6.6, 3.0 Hz, 1H), 6.58 (ddt, *J* = 8.9, 7.7, 3.1 Hz, 1H), 5.11 (qd, *J* = 6.6, 2.6 Hz, 1H), 4.62 (p, *J* = 7.2 Hz, 1H), 4.47 - 4.39 (m, 1H), 3.90 (s, 3H), 2.39 (s, 3H), 1.86 - 1.69 (m, 2H), 1.43 - 1.37 (m, 1H), 1.36 - 1.30 (m, 6H), 0.98 (d, *J* = 6.6 Hz, 3H), 0.94 (d, *J* = 6.5 Hz, 3H) ^{13}C RMN (126 MHz, $CDCl_3$) δ 172.17, 168.91, 162.41, 159.44, 158.52 (dd, *J* = 242.4, 2.4 Hz), 149.89 (dd, *J* = 241.6, 3.3 Hz), 147.17 (dd, *J* =12.3, 10.5 Hz), 146.64, 141.43, 137.49, 116.71 (dd, *J* = 21.4, 10.2 Hz), 109.75, 107.73 (dd, *J* = 23.8, 7.1 Hz), 105.41 (dd, *J* = 26.7, 1.8 Hz), 80.17, 73.03, 56.28, 47.97, 39.53, 24.52, 23.22, 22.19, 20.75, 18.19, 14.26

*Comp. No.	P.F. (°C)	*1R (cm^{-1})	MASA	RMN (^{1}H, ^{13}C, ^{19}F)
1115	- - -	- - -	HRMS - ESI (*m/z*) ($[M+H]^+$) calculada para $C_{26}H_{34}ClN_2O_7$, 521.2049, encontrada, 521.2044	^{1}H RMN (500 MHz, $CDCl_3$) δ 8.44 (s, 1H), 8.30 (d, *J* = 5.4 Hz, 1H), 7.12 (d, *J* = 1.7 Hz, 1H), 6.99 (d, *J* = 5.5 Hz, 1H), 6.90 (dd, *J* = 8.4, 1.8 Hz, 1H), 6.79 (d, *J* = 8.4 Hz, 1H), 5.10 (qd, *J* = 6.5, 2.7 Hz, 1H), 4.62 (p, *J* = 7.2 Hz, 1H), 4.53 - 4.42 (m, 1H), 3.90 (s, 3H), 2.39 (s, 3H), 2.23 (s, 3H), 1.87 - 1.70 (m, 2H), 1.45 - 1.38 (m, 1H), 1.37 (d, *J* = 6.5 Hz, 3H), 1.30 (d, *J* = 7.2 Hz, 3H), 0.97 (d, *J* = 6.5 Hz, 3H), 0.92 (d, *J* = 6.5 Hz, 3H) ^{13}C RMN (126 MHz, $CDCl_3$) δ 172.16, 168.91, 162.35, 159.42, 152.20, 146.62, 141.50, 137.46, 131.45, 130.92, 127.99, 123.66, 115.41, 109.70, 79.21, 73.27, 56.27, 48.00, 39.77, 24.56, 23.25, 22.37, 20.76, 20.26, 18.28, 14.34
1116	- - -	- - -	HRMS - ESI (*m/z*) ($[M+H]^+$) calculada para $C_{26}H_{34}ClN_2O_8$, 537.1998, encontrada,	^{1}H RMN (500 MHz, $CDCl_3$) δ 8.43 (d, *J* = 6.8 Hz, 1H), 8.26 (d, *J* = 5.4 Hz, 1H), 7.11 (d, *J* = 8.7 Hz, 1H), 6.99 (d, *J* = 5.5 Hz, 1H), 6.48 (d, *J* = 2.6 Hz, 1H), 6.40 (dd, *J* = 8.7, 2.7 Hz, 1H),

*Comp. No.	P.F. (°C)	*1R (cm^{-1})	MASA	RMN (^{1}H, ^{13}C, ^{19}F)
			537.1998	5.11 (qd, *J* = 6.5, 2.8 Hz, 1H), 4.66 (p, *J* = 7.2 Hz, 1H), 4.47 - 4.37 (m, 1H), 3.91 (s, 3H), 3.85 (s, 3H), 2.39 (s, 3H), 1.74 (dq, *J* = 13.0, 6.6 Hz, 1H), 1.66 (ddd, *J* = 14.2, 8.7, 5.5 Hz, 1H), 1.38 (d, *J* = 7.2 Hz, 3H), 1.37 - 1.33 (m, 1H), 1.32 (d, *J* = 6.6 Hz, 3H), 0.96 (d, *J* = 6.6 Hz, 3H), 0.90 (d, *J* = 6.5 Hz, 3H) ^{13}C RMN (126 MHz, $CDCl_3$) δ 172.09, 168.92, 162.44, 159.42, 158.59, 155.64, 146.59, 141.34, 137.49, 130.07, 114.27, 109.79, 107.08, 102.00, 77.93, 72.96, 56.29, 56.04, 48.06, 39.70, 24.51, 23.25, 22.29, 20.76, 18.38, 14.49

*Comp. No.- Número de compuesto.

Tabla 3

Escala de evaluación de prueba biológica

Tabla de evaluación para patógenos fúngicos	
% Control	Evaluación
>80	A
≤80	B
No probado	C
No se observó ninguna actividad en el ensayo reportado	D

Tabla 4

Actividad biológica – Control de enfermedades PUCCRT y SEPTTR en aplicaciones de alto y bajo volumen (HV y LV)

	Actividad LV* con 125.1 g/H				**Actividad HV* con 100 ppm**			
	PUCCRT*		**SEPTTR***		**PUCCRT***		**SEPTTR***	
***Comp. No.**	**1DP***	**3DC***	**1DP***	**3DC***	**1DP***	**3DC***	**1DP***	**3DC***
286	C	C	C	C	A	A	B	A
287	C	C	C	C	A	D	B	B
288	C	C	C	C	A	B	D	B
289	C	C	C	C	A	A	B	A
290	C	C	C	C	A	B	B	B
291	C	C	C	C	B	D	D	D

	Actividad LV* con 125.1 g/H				Actividad HV* con 100 ppm			
	PUCCRT*		SEPTTR*		PUCCRT*		SEPTTR*	
*Comp. No.	1DP*	3DC*	1DP*	3DC*	1DP*	3DC*	1DP*	3DC*
292	C	C	C	C	B	B	D	B
293	C	C	C	C	A	B	A	B
294	C	C	C	C	A	A	A	A
295	C	C	C	C	B	B	D	B
296	C	C	C	C	B	A	B	B
297	C	C	C	C	A	A	B	A
298	C	C	C	C	A	A	D	B
299	C	C	C	C	A	A	B	B
300	C	C	C	C	A	A	B	A
301	C	C	C	C	A	A	D	B
302	C	C	C	C	A	A	B	B
303	C	C	C	C	A	A	A	D
304	C	C	C	C	A	A	A	A
305	C	C	C	C	A	A	A	A
306	C	C	C	C	A	A	A	A
307	C	C	C	C	A	A	D	A

	Actividad LV* con 125.1 g/H				Actividad HV* con 100 ppm			
	PUCCRT*		SEPTTR*		PUCCRT*		SEPTTR*	
*Comp. No.	1DP*	3DC*	1DP*	3DC*	1DP*	3DC*	1DP*	3DC*
308	C	C	C	C	D	D	D	B
309	C	C	C	C	A	A	A	B
310	C	C	C	C	A	A	D	B
311	C	C	C	C	A	A	A	B
312	C	C	C	C	A	A	D	D
313	C	C	C	C	A	A	A	B
314	C	C	C	C	A	B	B	D
315	C	C	C	C	B	A	B	B
316	C	C	C	C	A	A	B	B
317	C	C	C	C	A	B	A	B
318	C	C	C	C	D	B	D	B
319	C	C	C	C	A	B	A	A
320	C	C	C	C	C	C	C	C
321	C	C	C	C	B	D	D	D
322	C	C	C	C	C	C	C	C
323	C	C	C	C	A	A	A	A

	Actividad LV* con 125.1 g/H				Actividad HV* con 100 ppm			
	PUCCRT*		SEPTTR*		PUCCRT*		SEPTTR*	
*Comp. No.	1DP*	3DC*	1DP*	3DC*	1DP*	3DC*	1DP*	3DC*
324	C	C	C	C	B	A	D	B
325	C	C	C	C	A	A	A	A
326	C	C	C	C	A	A	D	D
327	C	C	C	C	A	A	A	B
328	C	C	C	C	B	D	D	A
329	C	C	C	C	A	B	D	D
330	C	C	C	C	A	A	A	D
331	C	C	C	C	B	A	B	D
332	C	C	C	C	A	A	B	B
333	C	C	C	C	A	A	B	B
334	C	C	C	C	D	B	B	B
335	C	C	C	C	A	A	B	D
336	C	C	C	C	D	D	B	B
337	C	C	C	C	B	B	B	D
338	C	C	C	C	B	D	B	D
339	C	C	C	C	B	A	B	D

	Actividad LV* con 125.1 g/H				Actividad HV* con 100 ppm			
	PUCCRT*		SEPTTR*		PUCCRT*		SEPTTR*	
*Comp. No.	1DP*	3DC*	1DP*	3DC*	1DP*	3DC*	1DP*	3DC*
340	C	C	C	C	B	A	B	D
341	C	C	C	C	B	B	B	B
342	C	C	C	C	B	A	D	B
343	C	C	C	C	A	A	A	B
344	C	C	C	C	B	A	D	B
345	C	C	C	C	A	A	D	B
346	C	C	C	C	B	D	D	B
347	C	C	C	C	B	A	B	B
348	C	C	C	C	C	C	C	C
349	C	C	C	C	D	D	D	B
350	C	C	C	C	D	A	D	B
351	C	C	C	C	D	D	B	D
352	C	C	C	C	D	D	D	B
353	C	C	C	C	A	A	B	B
354	C	C	C	C	B	A	B	B
355	C	C	C	C	A	A	A	A

	Actividad LV* con 125.1 g/H				Actividad HV* con 100 ppm			
	PUCCRT*		SEPTTR*		PUCCRT*		SEPTTR*	
*Comp. No.	1DP*	3DC*	1DP*	3DC*	1DP*	3DC*	1DP*	3DC*
356	C	C	C	C	A	A	A	B
357	C	C	C	C	A	A	A	A
358	C	C	C	C	B	B	B	B
359	C	C	C	C	A	A	A	A
360	C	C	C	C	A	A	A	B
361	C	C	C	C	B	D	B	B
362	C	C	C	C	D	D	D	B
363	C	C	C	C	D	D	B	B
364	C	C	C	C	D	D	D	B
365	C	C	C	C	A	A	A	A
366	C	C	C	C	A	A	A	A
367	C	C	C	C	A	A	B	A
368	C	C	C	C	A	B	A	B
369	C	C	C	C	A	B	B	A
370	C	C	C	C	A	A	A	A
371	C	C	C	C	A	B	B	B

	Actividad LV* con 125.1 g/H				Actividad HV* con 100 ppm			
	PUCCRT*		SEPTTR*		PUCCRT*		SEPTTR*	
*Comp. No.	1DP*	3DC*	1DP*	3DC*	1DP*	3DC*	1DP*	3DC*
372	C	C	C	C	A	A	A	A
373	C	C	C	C	B	D	B	B
374	C	C	C	C	B	D	D	B
375	C	C	C	C	A	A	A	A
376	C	C	C	C	A	B	D	B
377	C	C	C	C	A	A	B	B
378	C	C	C	C	A	A	B	B
379	C	C	C	C	A	A	B	B
380	C	C	C	C	A	A	D	B
381	C	C	C	C	D	D	D	D
382	C	C	C	C	A	A	D	B
383	C	C	C	C	A	A	B	A
384	C	C	C	C	A	A	B	A
385	C	C	C	C	B	A	D	D
386	C	C	C	C	B	B	D	D
387	C	C	C	C	B	D	D	D

	Actividad LV* con 125.1 g/H				Actividad HV* con 100 ppm			
	PUCCRT*		SEPTTR*		PUCCRT*		SEPTTR*	
*Comp. No.	1DP*	3DC*	1DP*	3DC*	1DP*	3DC*	1DP*	3DC*
388	C	C	C	C	A	B	A	B
389	C	C	C	C	A	D	B	B
390	C	C	C	C	A	A	B	A
391	C	C	C	C	A	A	A	A
392	C	C	C	C	A	A	A	A
393	C	C	C	C	A	B	B	A
394	C	C	C	C	B	B	A	B
395	C	C	C	C	B	D	B	B
396	C	C	C	C	B	D	B	B
397	C	C	C	C	A	A	B	B
398	C	C	C	C	A	B	D	B
399	C	C	C	C	B	D	B	D
400	C	C	C	C	A	B	B	B
401	C	C	C	C	A	B	B	B
402	C	C	C	C	B	B	B	B
403	A	A	B	A	C	C	C	C

	Actividad LV* con 125.1 g/H				Actividad HV* con 100 ppm			
	PUCCRT*		SEPTTR*		PUCCRT*		SEPTTR*	
*Comp. No.	1DP*	3DC*	1DP*	3DC*	1DP*	3DC*	1DP*	3DC*
404	C	C	C	C	B	D	A	D
405	C	C	C	C	A	B	B	B
406	C	C	C	C	B	B	B	B
407	C	C	C	C	B	B	B	D
408	C	C	C	C	B	D	B	D
409	C	C	C	C	B	B	D	D
410	C	C	C	C	A	B	B	B
411	C	C	C	C	A	D	B	B
412	C	C	C	C	B	D	B	B
413	C	C	C	C	B	D	B	D
414	C	C	C	C	B	B	A	B
415	C	C	C	C	A	A	A	A
416	C	C	C	C	B	D	B	D
417	C	C	C	C	D	D	D	B
418	C	C	C	C	B	A	B	D
419	C	C	C	C	A	D	B	B

	Actividad LV* con 125.1 g/H				Actividad HV* con 100 ppm			
	PUCCRT*		SEPTTR*		PUCCRT*		SEPTTR*	
*Comp. No.	1DP*	3DC*	1DP*	3DC*	1DP*	3DC*	1DP*	3DC*
420	C	C	C	C	B	B	A	B
421	C	C	C	C	B	D	B	D
422	C	C	C	C	A	B	A	B
423	C	C	C	C	A	B	A	A
424	C	C	C	C	A	A	A	A
425	C	C	C	C	B	D	D	D
426	C	C	C	C	B	D	D	D
427	C	C	C	C	B	D	D	D
428	C	C	C	C	B	D	D	D
429	C	C	C	C	B	D	B	D
430	C	C	C	C	B	D	D	D
431	C	C	C	C	A	D	D	D
432	C	C	C	C	A	B	A	D
433	C	C	C	C	A	A	D	D
434	C	C	C	C	A	D	A	D
435	C	C	C	C	B	B	D	D

	Actividad LV* con 125.1 g/H				Actividad HV* con 100 ppm			
	PUCCRT*		SEPTTR*		PUCCRT*		SEPTTR*	
*Comp. No.	1DP*	3DC*	1DP*	3DC*	1DP*	3DC*	1DP*	3DC*
436	C	C	C	C	B	B	A	B
437	C	C	C	C	A	A	B	A
438	C	C	C	C	A	A	A	A
439	C	C	C	C	A	A	B	D
440	C	C	C	C	A	A	A	A
441	C	C	C	C	C	C	C	C
442	C	C	C	C	B	B	D	B
443	C	C	C	C	A	A	A	A
444	C	C	C	C	A	B	A	A
445	C	C	C	C	A	A	B	D
446	A	A	A	A	A	A	A	A
447	C	C	C	C	A	A	A	B
448	C	C	C	C	A	B	B	B
449	C	C	C	C	A	A	A	B
450	A	A	B	B	A	A	A	A
451	C	C	C	C	A	A	B	A

	Actividad LV* con 125.1 g/H				Actividad HV* con 100 ppm			
	PUCCRT*		SEPTTR*		PUCCRT*		SEPTTR*	
*Comp. No.	1DP*	3DC*	1DP*	3DC*	1DP*	3DC*	1DP*	3DC*
452	C	C	C	C	A	A	B	B
453	C	C	C	C	A	A	B	B
454	C	C	C	C	A	A	A	A
455	A	A	A	A	A	A	A	A
456	A	A	A	A	A	A	A	A
457	C	C	C	C	A	A	B	B
458	A	A	B	A	A	A	A	A
459	A	A	B	A	A	A	B	A
460	C	C	C	C	B	A	D	B
461	C	C	C	C	A	A	D	B
462	A	A	B	A	C	C	C	C
463	A	A	B	D	C	C	C	C
464	B	A	B	B	C	C	C	C
465	A	A	B	A	C	C	C	C
466	A	A	B	A	C	C	C	C
467	A	A	B	B	C	C	C	C

	Actividad LV* con 125.1 g/H				Actividad HV* con 100 ppm			
	PUCCRT*		SEPTTR*		PUCCRT*		SEPTTR*	
*Comp. No.	1DP*	3DC*	1DP*	3DC*	1DP*	3DC*	1DP*	3DC*
468	A	A	A	A	C	C	C	C
469	A	A	A	A	C	C	C	C
470	A	A	A	A	C	C	C	C
471	A	A	A	A	C	C	C	C
472	A	B	A	A	C	C	C	C
473	A	D	B	B	C	C	C	C
474	A	A	B	A	C	C	C	C
475	A	A	A	A	C	C	C	C
476	A	A	A	A	C	C	C	C
477	A	A	A	A	C	C	C	C
478	A	A	A	A	C	C	C	C
479	A	A	A	A	C	C	C	C
480	A	A	B	B	C	C	C	C
481	A	A	B	A	C	C	C	C
482	A	A	A	A	C	C	C	C
483	A	A	B	A	C	C	C	C

	Actividad LV* con 125.1 g/H				Actividad HV* con 100 ppm			
	PUCCRT*		SEPTTR*		PUCCRT*		SEPTTR*	
*Comp. No.	1DP*	3DC*	1DP*	3DC*	1DP*	3DC*	1DP*	3DC*
484	B	A	B	D	C	C	C	C
485	A	A	A	A	C	C	C	C
486	A	A	B	B	C	C	C	C
487	A	A	A	A	C	C	C	C
488	A	A	A	B	C	C	C	C
489	A	A	A	A	C	C	C	C
490	A	B	A	B	C	C	C	C
491	A	B	B	D	C	C	C	C
492	A	A	A	A	C	C	C	C
493	A	A	B	B	C	C	C	C
494	A	A	A	A	C	C	C	C
495	A	A	A	A	C	C	C	C
496	B	A	B	D	C	C	C	C
497	A	A	A	A	C	C	C	C
498	A	A	A	A	C	C	C	C
499	A	A	D	B	C	C	C	C

	Actividad LV* con 125.1 g/H				Actividad HV* con 100 ppm			
	PUCCRT*		SEPTTR*		PUCCRT*		SEPTTR*	
*Comp. No.	1DP*	3DC*	1DP*	3DC*	1DP*	3DC*	1DP*	3DC*
500	A	A	A	A	C	C	C	C
501	A	A	A	A	C	C	C	C
502	A	A	A	A	C	C	C	C
503	A	A	B	A	C	C	C	C
504	A	A	B	B	C	C	C	C
505	A	A	B	B	C	C	C	C
506	A	B	B	B	C	C	C	C
507	B	B	B	B	C	C	C	C
508	B	B	B	B	C	C	C	C
509	B	B	B	D	C	C	C	C
510	A	A	A	B	C	C	C	C
511	A	A	B	A	C	C	C	C
512	A	A	B	A	C	C	C	C
513	A	B	A	B	C	C	C	C
514	A	A	A	B	C	C	C	C
515	A	A	A	B	C	C	C	C

	Actividad LV* con 125.1 g/H				Actividad HV* con 100 ppm			
	PUCCRT*		SEPTTR*		PUCCRT*		SEPTTR*	
*Comp. No.	1DP*	3DC*	1DP*	3DC*	1DP*	3DC*	1DP*	3DC*
516	A	A	B	D	C	C	C	C
517	A	A	A	D	C	C	C	C
518	A	A	B	D	C	C	C	C
519	B	B	B	D	C	C	C	C
520	B	B	B	D	C	C	C	C
521	D	D	D	D	C	C	C	C
522	D	D	B	B	C	C	C	C
523	D	D	D	D	C	C	C	C
524	D	B	B	B	C	C	C	C
525	D	B	B	D	C	C	C	C
526	D	B	B	B	C	C	C	C
527	B	B	D	A	C	C	C	C
528	D	D	D	B	C	C	C	C
529	D	D	B	B	C	C	C	C
530	D	D	B	B	C	C	C	C
531	D	D	D	B	C	C	C	C

	Actividad LV* con 125.1 g/H				Actividad HV* con 100 ppm			
	PUCCRT*		SEPTTR*		PUCCRT*		SEPTTR*	
*Comp. No.	1DP*	3DC*	1DP*	3DC*	1DP*	3DC*	1DP*	3DC*
532	D	D	B	A	C	C	C	C
533	D	A	D	A	C	C	C	C
534	D	A	D	A	C	C	C	C
535	D	B	D	B	C	C	C	C
536	A	A	A	A	C	C	C	C
537	A	A	A	A	C	C	C	C
538	B	A	D	B	C	C	C	C
539	A	A	A	A	C	C	C	C
540	A	A	B	A	C	C	C	C
541	D	D	B	B	C	C	C	C
542	A	A	A	A	C	C	C	C
543	A	A	A	A	C	C	C	C
544	B	B	A	B	C	C	C	C
545	B	B	B	B	C	C	C	C
546	A	A	B	A	C	C	C	C
547	A	A	A	A	C	C	C	C

	Actividad LV* con 125.1 g/H				Actividad HV* con 100 ppm			
	PUCCRT*		SEPTTR*		PUCCRT*		SEPTTR*	
*Comp. No.	1DP*	3DC*	1DP*	3DC*	1DP*	3DC*	1DP*	3DC*
548	D	D	B	B	C	C	C	C
549	D	D	B	B	C	C	C	C
550	A	A	A	A	C	C	C	C
551	A	B	A	B	C	C	C	C
552	A	A	A	A	C	C	C	C
553	A	A	B	A	C	C	C	C
554	A	A	B	A	C	C	C	C
555	A	A	B	A	C	C	C	C
556	A	A	A	A	C	C	C	C
557	A	A	A	A	C	C	C	C
558	D	B	B	B	C	C	C	C
559	D	D	B	A	C	C	C	C
560	D	D	B	B	C	C	C	C
561	A	A	A	A	C	C	C	C
562	A	A	D	A	C	C	C	C
563	A	A	B	A	C	C	C	C

	Actividad LV* con 125.1 g/H				Actividad HV* con 100 ppm			
	PUCCRT*		SEPTTR*		PUCCRT*		SEPTTR*	
*Comp. No.	1DP*	3DC*	1DP*	3DC*	1DP*	3DC*	1DP*	3DC*
564	A	A	A	A	C	C	C	C
565	B	B	D	B	C	C	C	C
566	A	A	B	A	C	C	C	C
567	A	A	D	A	C	C	C	C
568	A	A	B	A	C	C	C	C
569	A	A	B	A	C	C	C	C
570	D	D	D	D	C	C	C	C
571	A	A	B	A	C	C	C	C
572	A	A	B	B	C	C	C	C
573	A	A	A	A	C	C	C	C
574	A	A	A	A	C	C	C	C
575	A	A	A	A	C	C	C	C
576	A	B	B	D	C	C	C	C
577	A	B	B	D	C	C	C	C
578	A	A	D	B	C	C	C	C
579	A	A	A	B	C	C	C	C

	Actividad LV* con 125.1 g/H				Actividad HV* con 100 ppm			
	PUCCRT*		SEPTTR*		PUCCRT*		SEPTTR*	
*Comp. No.	1DP*	3DC*	1DP*	3DC*	1DP*	3DC*	1DP*	3DC*
580	A	A	B	D	C	C	C	C
581	A	B	B	D	C	C	C	C
582	A	B	A	A	C	C	C	C
583	A	B	A	A	C	C	C	C
584	A	B	A	D	C	C	C	C
585	A	B	A	D	C	C	C	C
586	A	A	B	A	C	C	C	C
587	A	A	A	A	C	C	C	C
588	A	A	A	A	C	C	C	C
589	A	A	A	A	C	C	C	C
590	A	B	B	B	C	C	C	C
591	A	A	B	A	C	C	C	C
592	A	A	A	A	C	C	C	C
593	A	A	A	A	C	C	C	C
594	A	A	A	B	C	C	C	C
595	A	B	A	A	C	C	C	C

	Actividad LV* con 125.1 g/H				Actividad HV* con 100 ppm			
	PUCCRT*		SEPTTR*		PUCCRT*		SEPTTR*	
*Comp. No.	1DP*	3DC*	1DP*	3DC*	1DP*	3DC*	1DP*	3DC*
596	A	B	A	B	C	C	C	C
597	A	A	A	A	C	C	C	C
598	A	A	A	A	C	C	C	C
599	B	A	A	A	C	C	C	C
600	A	A	A	A	C	C	C	C
601	A	B	B	B	C	C	C	C
602	A	A	A	A	C	C	C	C
603	A	A	A	A	C	C	C	C
604	A	A	B	A	C	C	C	C
605	A	B	A	B	C	C	C	C
606	A	B	A	B	C	C	C	C
607	A	B	A	B	C	C	C	C
608	A	A	D	B	C	C	C	C
609	A	A	B	A	C	C	C	C
610	A	A	D	A	C	C	C	C
611	A	A	B	A	C	C	C	C

	Actividad LV* con 125.1 g/H				Actividad HV* con 100 ppm			
	PUCCRT*		SEPTTR*		PUCCRT*		SEPTTR*	
*Comp. No.	1DP*	3DC*	1DP*	3DC*	1DP*	3DC*	1DP*	3DC*
612	A	B	D	B	C	C	C	C
613	A	A	B	B	C	C	C	C
614	A	A	B	A	C	C	C	C
615	A	A	A	A	C	C	C	C
616	A	A	B	A	C	C	C	C
617	A	A	A	A	C	C	C	C
618	A	A	B	A	C	C	C	C
619	A	A	D	D	C	C	C	C
620	B	B	D	B	C	C	C	C
621	A	A	B	A	C	C	C	C
622	A	A	D	B	C	C	C	C
623	A	A	D	B	C	C	C	C
624	A	A	B	D	C	C	C	C
625	A	B	D	D	C	C	C	C
626	A	A	A	A	C	C	C	C
627	A	A	B	A	C	C	C	C

	Actividad LV* con 125.1 g/H				Actividad HV* con 100 ppm			
	PUCCRT*		SEPTTR*		PUCCRT*		SEPTTR*	
*Comp. No.	1DP*	3DC*	1DP*	3DC*	1DP*	3DC*	1DP*	3DC*
628	A	A	B	A	C	C	C	C
629	A	A	B	B	C	C	C	C
630	A	A	D	D	C	C	C	C
631	A	A	B	D	C	C	C	C
632	A	A	D	D	C	C	C	C
633	A	A	B	A	C	C	C	C
634	A	B	A	A	C	C	C	C
635	A	B	A	A	C	C	C	C
636	A	A	A	A	C	C	C	C
637	A	B	A	A	C	C	C	C
638	A	B	A	A	C	C	C	C
639	A	A	B	A	C	C	C	C
640	A	A	A	A	C	C	C	C
641	A	B	A	A	C	C	C	C
642	A	B	A	A	C	C	C	C
643	A	B	A	A	C	C	C	C

	Actividad LV* con 125.1 g/H				Actividad HV* con 100 ppm			
	PUCCRT*		SEPTTR*		PUCCRT*		SEPTTR*	
*Comp. No.	1DP*	3DC*	1DP*	3DC*	1DP*	3DC*	1DP*	3DC*
644	A	B	A	A	C	C	C	C
645	A	A	D	A	A	A	A	A
646	A	A	B	B	A	A	A	A
647	A	B	A	B	C	C	C	C
648	A	B	B	A	C	C	C	C
649	A	B	D	D	C	C	C	C
650	A	B	D	B	C	C	C	C
651	A	B	A	A	C	C	C	C
652	A	B	B	B	C	C	C	C
653	A	B	D	B	C	C	C	C
654	A	D	B	D	C	C	C	C
655	A	B	A	B	C	C	C	C
656	A	B	B	B	C	C	C	C
657	A	B	A	B	C	C	C	C
658	A	B	D	B	C	C	C	C
659	A	B	B	D	C	C	C	C

	Actividad LV* con 125.1 g/H				Actividad HV* con 100 ppm			
	PUCCRT*		SEPTTR*		PUCCRT*		SEPTTR*	
*Comp. No.	1DP*	3DC*	1DP*	3DC*	1DP*	3DC*	1DP*	3DC*
660	A	D	D	B	C	C	C	C
661	A	B	B	A	C	C	C	C
662	A	B	D	B	C	C	C	C
663	A	B	B	B	C	C	C	C
664	A	D	D	D	C	C	C	C
665	C	C	C	C	A	B	B	D
666	C	C	C	C	B	B	B	B
667	B	B	D	B	C	C	C	C
668	A	A	A	A	C	C	C	C
669	A	A	A	A	C	C	C	C
670	A	A	A	A	C	C	C	C
671	A	A	D	B	C	C	C	C
672	A	B	A	B	C	C	C	C
673	A	B	B	A	C	C	C	C
674	A	B	A	A	C	C	C	C
675	A	B	A	A	C	C	C	C

	Actividad LV* con 125.1 g/H				Actividad HV* con 100 ppm			
	PUCCRT*		SEPTTR*		PUCCRT*		SEPTTR*	
*Comp. No.	1DP*	3DC*	1DP*	3DC*	1DP*	3DC*	1DP*	3DC*
676	A	A	B	B	C	C	C	C
677	B	B	B	B	C	C	C	C
678	B	D	A	B	C	C	C	C
679	B	D	D	B	C	C	C	C
680	D	B	B	B	C	C	C	C
681	D	D	D	B	C	C	C	C
682	B	B	B	B	C	C	C	C
683	D	D	D	B	C	C	C	C
684	B	D	D	D	C	C	C	C
685	B	D	D	B	C	C	C	C
686	D	D	D	B	C	C	C	C
687	D	B	D	B	C	C	C	C
688	D	D	D	B	C	C	C	C
689	D	D	D	B	C	C	C	C
690	B	B	B	B	C	C	C	C
691	A	A	A	A	C	C	C	C

	Actividad LV* con 125.1 g/H				Actividad HV* con 100 ppm			
	PUCCRT*		SEPTTR*		PUCCRT*		SEPTTR*	
*Comp. No.	1DP*	3DC*	1DP*	3DC*	1DP*	3DC*	1DP*	3DC*
692	A	A	A	A	C	C	C	C
693	A	A	B	A	C	C	C	C
694	A	A	B	A	C	C	C	C
695	A	A	B	B	C	C	C	C
696	A	A	A	A	C	C	C	C
697	A	A	D	B	C	C	C	C
698	A	A	B	A	C	C	C	C
699	A	A	A	A	C	C	C	C
700	A	A	D	B	C	C	C	C
808	C	C	C	C	A	B	B	D
809	C	C	C	C	A	A	D	D
810	C	C	C	C	A	A	A	A
811	C	C	C	C	A	A	B	B
812	C	C	C	C	A	A	B	B
813	C	C	C	C	B	D	D	B
814	C	C	C	C	B	D	D	D

	Actividad LV* con 125.1 g/H				Actividad HV* con 100 ppm			
	PUCCRT*		SEPTTR*		PUCCRT*		SEPTTR*	
*Comp. No.	1DP*	3DC*	1DP*	3DC*	1DP*	3DC*	1DP*	3DC*
815	C	C	C	C	A	A	B	D
816	C	C	C	C	A	B	B	B
817	C	C	C	C	A	A	A	B
818	C	C	C	C	A	D	A	A
819	C	C	C	C	D	B	B	D
820	C	C	C	C	A	A	A	A
821	C	C	C	C	A	A	B	B
822	C	C	C	C	C	C	C	C
823	C	C	C	C	B	A	D	B
824	C	C	C	C	C	C	C	C
825	C	C	C	C	A	A	B	B
826	C	C	C	C	A	D	B	B
827	C	C	C	C	A	D	B	D
828	C	C	C	C	C	C	C	C
829	C	C	C	C	B	D	D	D
830	C	C	C	C	C	C	C	C

	Actividad LV* con 125.1 g/H				Actividad HV* con 100 ppm			
	PUCCRT*		SEPTTR*		PUCCRT*		SEPTTR*	
*Comp. No.	1DP*	3DC*	1DP*	3DC*	1DP*	3DC*	1DP*	3DC*
831	C	C	C	C	B	D	D	D
832	C	C	C	C	C	C	C	C
833	C	C	C	C	A	B	A	B
834	C	C	C	C	A	B	A	A
835	C	C	C	C	A	A	D	B
836	C	C	C	C	A	A	A	A
837	C	C	C	C	A	A	A	A
838	C	C	C	C	A	B	A	A
839	C	C	C	C	A	A	B	B
840	C	C	C	C	A	A	B	A
841	C	C	C	C	A	A	A	A
842	C	C	C	C	A	A	A	B
843	C	C	C	C	D	D	D	B
844	C	C	C	C	A	A	B	A
845	C	C	C	C	A	A	B	B
846	C	C	C	C	A	A	B	B

	Actividad LV* con 125.1 g/H				Actividad HV* con 100 ppm			
	PUCCRT*		SEPTTR*		PUCCRT*		SEPTTR*	
*Comp. No.	1DP*	3DC*	1DP*	3DC*	1DP*	3DC*	1DP*	3DC*
847	C	C	C	C	A	A	B	A
848	C	C	C	C	A	B	B	A
849	D	B	D	B	C	C	C	C
850	B	A	D	B	C	C	C	C
851	B	B	D	D	C	C	C	C
852	A	A	B	A	C	C	C	C
853	A	A	B	A	C	C	C	C
854	A	B	B	A	C	C	C	C
855	B	B	D	D	C	C	C	C
856	B	B	D	D	C	C	C	C
857	A	A	B	B	C	C	C	C
858	A	A	B	A	C	C	C	C
859	A	B	B	D	C	C	C	C
860	B	A	D	B	C	C	C	C
861	A	A	D	B	C	C	C	C
862	A	A	D	D	C	C	C	C

	Actividad LV* con 125.1 g/H				Actividad HV* con 100 ppm			
	PUCCRT*		SEPTTR*		PUCCRT*		SEPTTR*	
*Comp. No.	1DP*	3DC*	1DP*	3DC*	1DP*	3DC*	1DP*	3DC*
863	A	A	B	A	C	C	C	C
864	A	A	D	A	C	C	C	C
865	A	A	B	B	C	C	C	C
866	C	C	C	C	C	C	C	C
867	A	B	A	A	C	C	C	C
868	B	B	B	B	C	C	C	C
869	A	B	A	A	C	C	C	C
870	A	B	A	A	C	C	C	C
871	D	D	A	B	C	C	C	C
872	A	A	A	A	C	C	C	C
873	A	A	B	A	C	C	C	C
874	A	B	A	B	C	C	C	C
875	A	A	A	A	C	C	C	C
876	A	B	A	A	C	C	C	C
877	A	A	B	B	C	C	C	C
878	A	A	B	B	C	C	C	C

	Actividad LV* con 125.1 g/H				Actividad HV* con 100 ppm			
	PUCCRT*		SEPTTR*		PUCCRT*		SEPTTR*	
*Comp. No.	1DP*	3DC*	1DP*	3DC*	1DP*	3DC*	1DP*	3DC*
879	A	A	B	A	C	C	C	C
880	A	A	B	B	C	C	C	C
881	A	A	B	B	C	C	C	C
882	A	A	D	B	C	C	C	C
883	A	A	B	A	C	C	C	C
884	A	A	B	A	C	C	C	C
885	D	A	D	B	C	C	C	C
886	A	A	D	A	C	C	C	C
887	D	A	D	A	C	C	C	C
888	A	A	D	A	C	C	C	C
889	A	A	A	A	C	C	C	C
890	A	B	A	A	C	C	C	C
891	A	B	B	A	C	C	C	C
892	A	D	B	B	C	C	C	C
893	A	B	B	B	C	C	C	C
894	B	D	B	B	C	C	C	C

	Actividad LV* con 125.1 g/H				Actividad HV* con 100 ppm			
	PUCCRT*		SEPTTR*		PUCCRT*		SEPTTR*	
*Comp. No.	1DP*	3DC*	1DP*	3DC*	1DP*	3DC*	1DP*	3DC*
895	B	D	D	A	C	C	C	C
896	A	B	A	A	C	C	C	C
897	A	B	B	B	C	C	C	C
898	A	D	B	B	C	C	C	C
899	A	A	A	A	C	C	C	C
900	A	A	A	A	C	C	C	C
901	A	A	A	A	C	C	C	C
902	A	A	A	A	C	C	C	C
903	B	D	B	A	C	C	C	C
904	A	A	B	A	C	C	C	C
905	A	B	A	A	C	C	C	C
906	A	B	A	A	C	C	C	C
907	A	B	B	B	C	C	C	C
908	A	A	A	A	C	C	C	C
909	A	A	A	A	C	C	C	C
910	A	A	A	A	C	C	C	C

	Actividad LV* con 125.1 g/H				Actividad HV* con 100 ppm			
	PUCCRT*		SEPTTR*		PUCCRT*		SEPTTR*	
*Comp. No.	1DP*	3DC*	1DP*	3DC*	1DP*	3DC*	1DP*	3DC*
911	A	A	A	A	C	C	C	C
912	A	A	A	A	C	C	C	C
913	A	B	D	B	C	C	C	C
914	A	A	B	B	C	C	C	C
915	A	A	B	A	C	C	C	C
916	A	A	A	B	C	C	C	C
917	A	A	B	A	C	C	C	C
918	A	A	A	A	C	C	C	C
919	A	A	A	A	C	C	C	C
920	A	A	A	A	C	C	C	C
921	A	A	A	B	C	C	C	C
922	A	A	A	B	C	C	C	C
923	A	A	B	B	C	C	C	C
924	A	A	A	A	C	C	C	C
925	A	A	A	A	C	C	C	C
998	C	C	C	C	A	A	A	A

	Actividad LV* con 125.1 g/H				Actividad HV* con 100 ppm			
	PUCCRT*		SEPTTR*		PUCCRT*		SEPTTR*	
*Comp. No.	1DP*	3DC*	1DP*	3DC*	1DP*	3DC*	1DP*	3DC*
999	C	C	C	C	A	A	B	B
1000	C	C	C	C	A	A	B	B
1001	C	C	C	C	A	A	B	D
1002	C	C	C	C	A	A	B	B
1003	C	C	C	C	A	A	A	B
1004	C	C	C	C	A	A	B	B
1005	C	C	C	C	A	A	B	B
1006	C	C	C	C	A	A	B	B
1007	C	C	C	C	A	A	A	B
1008	C	C	C	C	B	B	B	B
1009	C	C	C	C	A	A	A	A
1010	C	C	C	C	A	A	B	B
1011	C	C	C	C	A	A	B	B
1012	C	C	C	C	A	A	B	B
1013	C	C	C	C	A	A	B	B
1014	C	C	C	C	A	A	B	B

	Actividad LV* con 125.1 g/H				Actividad HV* con 100 ppm			
	PUCCRT*		SEPTTR*		PUCCRT*		SEPTTR*	
*Comp. No.	1DP*	3DC*	1DP*	3DC*	1DP*	3DC*	1DP*	3DC*
1015	C	C	C	C	A	A	B	B
1016	C	C	C	C	A	A	B	B
1017	C	C	C	C	A	A	B	B
1018	C	C	C	C	A	A	A	D
1019	C	C	C	C	A	A	B	A
1020	C	C	C	C	A	A	B	B
1021	C	C	C	C	A	A	A	A
1022	C	C	C	C	B	A	D	B
1023	C	C	C	C	A	A	D	B
1024	C	C	C	C	B	A	D	B
1025	C	C	C	C	A	B	D	B
1026	C	C	C	C	C	C	C	C
1027	C	C	C	C	C	C	C	C
1028	C	C	C	C	C	C	C	C
1029	C	C	C	C	C	C	C	C
1030	C	C	C	C	C	C	C	C

	Actividad LV* con 125.1 g/H				Actividad HV* con 100 ppm			
	PUCCRT*		SEPTTR*		PUCCRT*		SEPTTR*	
*Comp. No.	1DP*	3DC*	1DP*	3DC*	1DP*	3DC*	1DP*	3DC*
1031	C	C	C	C	B	D	B	D
1032	C	C	C	C	D	D	B	D
1033	C	C	C	C	A	A	A	B
1034	C	C	C	C	B	B	D	B
1035	C	C	C	C	A	A	B	D
1036	C	C	C	C	A	B	B	D
1037	C	C	C	C	A	A	A	B
1038	C	C	C	C	A	B	D	B
1039	C	C	C	C	A	A	D	B
1040	C	C	C	C	B	A	D	D
1041	C	C	C	C	A	A	B	D
1042	C	C	C	C	B	B	D	D
1043	C	C	C	C	A	A	D	D
1044	C	C	C	C	A	A	B	A
1045	C	C	C	C	A	A	D	B
1046	C	C	C	C	A	A	D	D

	Actividad LV* con 125.1 g/H				Actividad HV* con 100 ppm			
	PUCCRT*		SEPTTR*		PUCCRT*		SEPTTR*	
*Comp. No.	1DP*	3DC*	1DP*	3DC*	1DP*	3DC*	1DP*	3DC*
1047	C	C	C	C	A	A	B	A
1048	C	C	C	C	A	A	B	A
1049	C	C	C	C	A	A	A	B
1050	C	C	C	C	A	A	A	A
1051	C	C	C	C	A	B	B	D
1052	C	C	C	C	A	A	A	A
1053	A	A	B	A	C	C	C	C
1054	A	A	B	B	C	C	C	C
1055	A	A	B	A	C	C	C	C
1056	A	A	A	A	C	C	C	C
1057	B	A	B	B	C	C	C	C
1058	A	A	B	B	C	C	C	C
1059	A	A	B	B	C	C	C	C
1060	A	A	B	B	C	C	C	C
1061	B	A	D	B	C	C	C	C
1062	A	A	B	B	C	C	C	C

	Actividad LV* con 125.1 g/H				Actividad HV* con 100 ppm			
	PUCCRT*		SEPTTR*		PUCCRT*		SEPTTR*	
*Comp. No.	1DP*	3DC*	1DP*	3DC*	1DP*	3DC*	1DP*	3DC*
1063	A	A	B	A	C	C	C	C
1064	A	A	B	A	C	C	C	C
1065	A	A	B	A	C	C	C	C
1066	B	A	B	B	C	C	C	C
1067	A	B	D	B	C	C	C	C
1068	A	B	B	B	C	C	C	C
1069	A	A	B	B	C	C	C	C
1070	A	A	B	D	C	C	C	C
1071	A	A	B	B	C	C	C	C
1072	A	B	B	B	C	C	C	C
1073	A	A	B	B	C	C	C	C
1074	D	B	D	D	C	C	C	C
1075	A	B	D	B	C	C	C	C
1076	B	B	D	D	C	C	C	C
1077	A	B	B	D	C	C	C	C
1078	A	A	B	B	C	C	C	C

	Actividad LV* con 125.1 g/H				Actividad HV* con 100 ppm			
	PUCCRT*		SEPTTR*		PUCCRT*		SEPTTR*	
*Comp. No.	1DP*	3DC*	1DP*	3DC*	1DP*	3DC*	1DP*	3DC*
1079	A	A	B	B	C	C	C	C
1080	A	B	B	B	C	C	C	C
1081	A	B	D	D	C	C	C	C
1082	B	A	D	D	C	C	C	C
1083	A	A	B	A	C	C	C	C
1084	B	D	B	B	C	C	C	C
1085	D	B	D	D	C	C	C	C
1086	B	D	D	D	C	C	C	C
1087	A	A	B	A	C	C	C	C
1088	B	D	D	D	C	C	C	C
1089	D	D	D	D	C	C	C	C
1090	D	B	D	D	C	C	C	C
1091	C	C	C	C	C	C	C	C
1092	B	B	D	D	C	C	C	C
1093	D	D	D	D	C	C	C	C
1094	D	D	D	D	C	C	C	C

	Actividad LV* con 125.1 g/H				Actividad HV* con 100 ppm			
	PUCCRT*		SEPTTR*		PUCCRT*		SEPTTR*	
*Comp. No.	1DP*	3DC*	1DP*	3DC*	1DP*	3DC*	1DP*	3DC*
1095	B	B	D	D	C	C	C	C
1096	D	D	D	B	C	C	C	C
1097	C	C	C	C	C	C	C	C
1098	D	B	D	D	C	C	C	C
1099	A	A	B	D	C	C	C	C
1100	A	A	A	A	C	C	C	C
1101	A	A	A	A	C	C	C	C
1102	A	A	B	A	C	C	C	C
1103	B	D	D	D	C	C	C	C
1104	B	B	D	D	C	C	C	C
1105	D	D	A	A	C	C	C	C
1106	B	D	D	D	C	C	C	C
1107	B	B	D	D	C	C	C	C
1108	B	D	D	D	C	C	C	C
1109	B	B	D	B	C	C	C	C
1110	D	D	D	D	C	C	C	C

	Actividad LV* con 125.1 g/H				Actividad HV* con 100 ppm			
	PUCCRT*		SEPTTR*		PUCCRT*		SEPTTR*	
*Comp. No.	1DP*	3DC*	1DP*	3DC*	1DP*	3DC*	1DP*	3DC*
1111	A	A	B	A	C	C	C	C
1112	B	A	D	D	C	C	C	C
1113	A	A	A	A	C	C	C	C
1114	A	A	A	A	C	C	C	C
1115	A	A	B	B	C	C	C	C
1116	A	A	A	A	C	C	C	C

*Comp. No.- Número de compuesto

*LV - Volumen bajo

*HV - Volumen alto

*PUCCRT - Roya marrón del trigo *(Puccinia triticina)*

*SEPTTR - Mancha de hoja de trigo (*Zymoseptoria tritici)*

*1DP - 1 Día de protección

*3DC - 3 Días de curación

g/H - Gramos por hectárea

ppm - Partes por millón

Tabla 5

Actividad biológica - Control de enfermedades con 100 ppm

	ALTESO	CERCBE	COLLLA	ERYSCI
***Comp. No.**	**1DP***			
446	D	B	B	C
475	B	A	A	B
476	B	B	B	B
477	B	A	A	A
478	B	B	B	B
479	B	A	A	A
482	B	A	A	B
500	B	A	A	C
545	B	B	C	C
546	B	B	C	C
547	B	B	C	C
548	B	B	C	C
549	B	B	C	C
552	B	B	C	C
556	B	A	A	C
557	B	B	C	C

	ALTESO	CERCBE	COLLLA	ERYSCI
*Comp. No.	1DP*			
558	B	B	C	C
559	B	B	C	C
560	B	B	C	C
566	B	B	A	C
574	B	A	A	C
587	D	A	A	C
617	D	B	A	C
637	D	B	B	C
640	B	A	A	C
642	D	A	A	C
691	D	B	A	C
692	B	A	A	C
694	B	A	A	C
699	B	A	A	C
899	B	A	A	C
900	B	A	B	C
901	B	A	B	C
902	A	A	B	C

	ALTESO	CERCBE	COLLLA	ERYSCI
***Comp. No.**	**1DP***			
1101	D	A	A	C

*Comp. No.- Número de compuesto

ALTESO - Tizón temprano del tomate (*Alternaria solani)*

CERCBE - Mancha de la hoja de la remolacha azucarera (*Cercospora beticola)*

COLLLA - Antracnosis de cucurbitáceas *(Colletotricum lagenarium)*

ERYSCI - Moho polvoroso de cucurbitáceas *(Erysiphe cichoracearum)*

*1DP - 1 Día de protección

Tabla 6

Actividad biológica - Control de enfermedades con 100 ppm

	LEPTNO	PYRIOR	RHYNSE	VENTIN
***Comp. No.**	**1DP***			
446	A	C	B	C
475	A	A	B	A
476	A	A	B	C
477	A	A	B	B
478	A	A	B	C
479	A	A	B	A
482	A	A	C	C

	LEPTNO	PYRIOR	RHYNSE	VENTIN
***Comp. No.**	**1DP***			
500	A	A	A	B
545	C	C	C	B
546	C	C	C	A
547	C	C	C	B
548	C	C	C	B
549	C	C	C	B
552	C	C	C	B
556	A	A	B	A
557	C	C	C	B
558	C	C	C	B
559	C	C	C	B
560	C	C	C	B
566	A	C	A	C
574	A	A	A	C
587	A	A	B	C
617	A	C	B	C
637	B	B	D	C

	LEPTNO	PYRIOR	RHYNSE	VENTIN
***Comp. No.**	**1DP***			
640	A	A	B	C
642	A	A	A	A
691	A	C	B	C
692	A	A	A	B
694	A	A	B	B
699	A	A	B	B
899	A	A	A	B
900	A	A	A	A
901	A	A	A	B
902	A	A	A	A
1101	B	B	A	C

*Comp. No.- Número de compuesto

LEPTNO - Mancha de gluma del trigo *(Leptosphaeria nodorum)*

PYRIOR - Añublo del arroz (*Pyricularia oryzae)*

RHYNSE - Escaldadura de la cebada (*Rhyncosporium secalis)*

VENTIN - Costra de la manzana (*Venturia inaequalis)*

*1DP - 1 Día de protección

Tabla 7

Actividad biológica – Control de enfermedad con 25 ppm

	PHAKPA*	
***Comp. No.**	**1DP***	**3DC***
304	D	B
446	A	B
455	A	B
459	A	B
468	A	B
474	B	B
475	A	A
476	A	B
477	A	B
478	A	B
479	A	B
480	B	B
483	A	B
492	A	B
498	A	B
500	B	B

	PHAKPA*	
*Comp. No.	1DP*	3DC*
501	B	B
502	A	B
539	A	B
545	B	B
546	A	B
547	B	D
548	B	D
549	D	D
550	B	B
552	A	B
553	A	A
554	A	B
556	A	B
557	A	B
558	B	D
559	B	B
560	B	D
561	A	A

	PHAKPA*	
*Comp. No.	1DP*	3DC*
563	A	B
566	A	B
568	A	B
569	A	B
574	A	B
575	A	B
587	A	B
588	A	B
589	A	B
592	A	A
593	A	B
597	A	B
598	A	B
599	A	A
600	B	B
604	B	B
614	A	A
615	A	B

	PHAKPA*	
*Comp. No.	1DP*	3DC*
616	A	A
617	A	B
621	A	D
626	A	B
627	B	B
637	A	B
639	A	B
640	B	B
642	B	B
668	B	B
669	A	B
670	B	B
691	A	B
692	A	B
693	A	B
694	A	B
696	A	A
699	A	B

	PHAKPA*	
*Comp. No.	1DP*	3DC*
863	A	A
873	A	B
879	A	B
884	A	D
886	B	B
889	A	B
899	B	B
900	A	D
901	B	B
902	B	B
904	A	B
908	A	B
909	A	B
910	A	B
911	A	B
912	B	B
915	A	B
916	A	D

	PHAKPA*	
***Comp. No.**	**1DP***	**3DC***
917	B	B
918	A	D
919	A	D
920	B	B
923	A	B
924	A	D
925	A	B
1101	A	A

*Comp. No.- Número de compuesto

*PHAKPA - Roya de semilla de soya asiática *(Phakopsorapachyrhizi)*

*1DP - 1 Día de protección

*3DC - 3 Días de curación